ANNALEN

der

SCHWEIZERISCHEN METEOROLOGISCHEN ZENTRAL-ANSTALT

1939

„Der Schweizerischen meteorologischen Beobachtungen"

Sechsundsiebzigster Jahrgang

City—Druck A.G. Zürich 1
1940

Inhalt.

Einleitung . . . . . Pag. III

Verzeichnis der schweizerischen meteorologischen Literatur (November 1938 bis Dezember 1939) . . . IV

Bemerkungen über tägliche Beobachtungen V

Tägliche Beobachtungen

der Stationen: Bern, Neuchâtel, Altdorf, Genf, Zürich, Rigi-Kulm, Bevers, Sitten, Lugano, Basel, Säntis und St. Gotthard nebst ergänzenden Witterungsnotizen. Pag. 1–75

Tägliche Maxima und Minima der Lufttemperatur der Stationen Zürich und Säntis . . . . . Pag. 76–77

Temperaturextreme von 7 Normal-Stationen . . . . . „ 78–81

Zürich: Abkühlungsgrösse und Wärmeeinstrahlung . . . . . „ 82

Monats- und Jahres-Uebersichten der meteorologischen Beobachtungen sämtlicher Stationen. 83–130

	Pag.		Pag.		Pag.		Pag.
Aarau	98 u. 99	Elm	88 u. 89	Lohn	100 u. 101	Schiers	128
Adelboden	125	Engelberg	94 u. 95	Lugano	118 u. 119	Schuls	112 u. 113
Airolo	129	Faido	123	Lungern	122	Schwäbrig (bei Gais)	120
Altdorf	94 u. 95	Flims	128	Luzern	90 u. 91	Seewis	128
Altstätten	86 u. 87	Frauenfeld	84 u. 85	Marsens	126	Siders	126
Andermatt	123	Freiburg	102 u. 103	Meiringen	104 u. 105	Sils-Maria	114 u. 115
Arosa	110 u. 111	Generoso Monte	130	Montana	103 u. 109	Sitten	108 u. 109
Auen (Linthal)	90 u. 91	Genf	106 u. 107	Montreux-Clarens	106 u. 107	Soleil Mont (ob St. Imier)	124
Baden	120	Glarus	88 u. 89	Muri	120	Solothurn	98 u. 99
Basel (Binningen)	96 u. 97	Göschenen	94 u. 95	Neuchâtel	96 u. 97	Splügen (Dorf)	116 u. 117
Bellinzona	116 u. 117	Grächen	127	Oberiberg	90 u. 91	St. Beatenberg	102 u. 103
Bern	100 u. 101	Grimsel	104 u. 105	Olten	124	St. Bernhard	108 u. 109
Bernhardin	116 u. 117	Grono	129	Pilatus-Kulm	92 u. 93	St. Gallen	86 u. 87
Bevers	114 u. 115	Gurtnellen	123	Platta (Medels)	110 u. 111	St. Gotthard	94 u. 95
Beznau	100 u. 101	Guttannen	104 u. 105	Ragaz, Bad	122	Sta. Maria	114 u. 115
Bosco-Gurin	118 u. 119	Haidenhaus	86 u. 87	Reckingen	110 u. 111	St. Moritz	129
Braggio	116 u. 117	Hallau	100 u. 101	Rheinfelden	124	Thun	125
Braunwald (ob Linthal)	121	Heiden	86 u. 87	Rigi-Kulm	92 u. 93	Tschiertschen	128
Brè Monte (ob Lugano)	130	Heiligenschwendi (Thun)	125	Rochers de Naye	106 u. 107	Vättis	121
Brévine, la	123	Interlaken	102 u. 103	Romont	126	Vicosoprano	114 u. 115
Buffalora (Ofenpass)	112 u. 113	Jungfraujoch	104 u. 105	Rorschach (Mariaberg)	120	Walchwil	92 u. 93
Cernier	123	Kreuzlingen	84 u. 85	Saas-Fee	127	Wald-Hittenberg	121
Château d'Oex	126	Langenbruck	98 u. 99	Säntis	88 u. 89	Weggis	122
Chaumont	96 u. 97	Langnau i. E.	102 u. 103	Sargans	88 u. 89	Weissenstein	98 u. 99
Chaux-de-Fonds, la	96 u. 97	Lausanne (Champ de l'air)	106 u. 107	Sarnen	92 u. 93	Werthenstein	122
Chur	110 u. 111	Leukerbad	127	Scarl (Unterengadin)	129	Winterthur	84 u. 85
Comprovasco	130	Leysin	108 u. 109	Schaffhausen	125	Zermatt	127
Davos-Platz	112 u. 113	Liestal	124	Schatzalp (ob Davos)	112 u. 113	Zürich	84 u. 85
Ebnat	121	Locarno (Muralto)	118 u. 119				
Einsiedeln	90 u. 91	Locarno-Monti	118 u. 119				

Anhang: Ergänzende Beobachtungen und Abhandlungen.

Nr. 1. M. Grütter. Uebersicht über den Witterungsverlauf in der Schweiz im Jahre 1939.

Nr. 2. Ch. Golaz. Liste des chutes de grêle en Suisse pendant l'année 1939.

Nr. 3. Ergebnisse der Niederschlagsmessungen im Jahre 1939.
M. Z. A. und L. G. Ergebnisse der im Alpengebiet aufgestellten Totalisatoren für das hydrographische Jahr 1938/39.

Nr. 4. Ergebnisse der Registrierungen der Sonnenscheinautographen im Jahre 1939.

Nr. 5. Dr. E. Wanner. Jahresbericht des Erdbebendienstes der Schweiz im Jahre 1939.

Nr. 6. Dr. W. Brückmann und F. Ambrosetti. Beobachtungen 1939 des Observatoriums Locarno-Monti.

Nr. 7. Dr. E. Wanner. Ueber die Frequenz der Windstärke auf dem Säntis 1932–39.

Nr. 8. Dr. E. Wanner. Die erdmagnetische Station Regensberg.

Nr. 9. Prof. Dr. P.-L. Mercanton. Recherches de technique pluviométrique. III. Essais comparatifs sur le toit de la Station météorologique centrale à Zurich.

Nr. 10. Dr. Jean Lugeon. Le radiogoniographe de la Station centrale suisse de météorologie et son utilisation pour la prévision du temps.

Einleitung

Im Berichtsjahr traten im *Netz der meteorologischen und Regenmeßstationen* nur wenig Aenderungen ein. Ein Opfer der Mobilisation der schweizerischen Armee, welche im übrigen nur vorübergehende Störungen bei einigen wenigen Stationen brachte, wurde die meteorologische Station des Sanatoriums Schatzalp, welche auf Ende des Jahres aufgegeben werden mußte. Eingegangen ist ferner die Regenmeßstation Wildhaus (Beobachter B. Alpiger). Die meteorologische Station Pontresina konnte seit dem Rücktritt von Herrn Pfarrer Schmid im Mai 1938 nicht wieder besetzt werden und muß nunmehr ebenfalls als aufgehoben betrachtet werden. Neu errichtet wurde eine Regenmeßstation in Vallorbe-Village (Beobachter Ls. H. Glardon). Die meteorologische Station Valeyres-sous-Rances wurde in eine Regenmeßstation umgewandelt. Wir treten somit in das Jahr 1940 mit einem Bestand von 117 meteorologischen und 284 Regenmeß-Stationen.

An folgenden Stationen fanden Beobachterwechsel statt:

	bisher:	neu:
Basthal:	Frau A. Maag;	Oscar Profos.
Courtelary:	V. Sunier;	René Langel, Secr. municipal.
Kölliken:	R. Häny †, Frau Häny;	Alfred Vogel.
Montana:	A. Hauenstein;	E. Pralong.
Rigi-Kulm:	J. Steiner;	J. Wiget.
Rochers de Naye:	A. Lenoir, Ch. Grandchamps;	Pierre Nicollier.
Splügen:	Anna Felix;	Miggi Schwarz.
Surrhein:	Johann Schmid;	Willibald Schmid.

Schließlich sei an dieser Stelle noch eines Jubilars gedacht. Herr Arnold Michel, alt Sekundarlehrer in Meiringen, besorgt die dortige meteorologische Station seit Juli 1889 und konnte somit im Landesausstellungsjahr 1939 auf eine 50jährige Tätigkeit im Dienste der schweizerischen Meteorologie zurückblicken. Trotzdem er das 80. Lebensjahr bereits hinter sich hat, amtet Herr Michel auch heute noch in vorbildlicher Weise. Für diese einzig dastehende Leistung gebührt ihm höchste Anerkennung.

Die mit der Mobilisation erfolgende Einstellung des internationalen und internen Flugverkehrs ermöglichte es, unsere *Flugplatzmeteorologen*, von denen die meisten ohnehin militärpflichtig sind, dem sich sukzessive entwickelnden Wetterdienst für die Armee einzugliedern.

Der *Wetterdienst* am Institut selber wurde zwar im selben Umfang weitergeführt, dagegen ist die Abgabe von Wetterübersicht und Prognose an das Publikum durch Telegraph und Radio auf Verlangen der Militärbehörde eingestellt. Auch unser tägliches Bulletin mit der Wetterkarte — die übrigens wegen Ausfall der meisten ausländischen Wettertelegramme eine sehr lückenhafte geworden ist — darf nur noch mit einem Tag Verspätung publiziert werden.

An der *Landesausstellung* in Zürich beteiligte sich unser Institut in der Abteilung «Elektrizität» durch eine Darstellung der Niederschlagsmessung in unserem Lande und deren Hauptresultaten, wobei mit Rücksicht auf den Zweck auch die jährlichen Firnzuwachsbestimmungen und die Gletscherschwankungen einbezogen wurden.

Als Ersatz für den austretenden Flugplatzmeteorologen Werner Aebi, Lehrer, wurde auf November Ing. Walter Kuhn angestellt. Damit zeigt der Personalbestand unseres Institutes mit 28 Personen keine Veränderung.

Zürich, im Dezember 1940.

Der Direktor der Schweizerischen Meteorologischen Zentralanstalt:

Prof. Dr. P.-L. Mercanton.

Eidgenössische Meteorologische Kommission:

Prof. Dr. Th. Niethammer, Observatorium, Binningen-Basel, Präsident
Prof. Dr. L. W. Collet, Universität, Genève, Vizepräsident
Prof. Dr. P. Gruner, Bern, Lindenrain 3
Prof. Dr. W. Jost, Gymnasium, Bern
Prof. A. Kreis, Kantonsschule, Chur
Prof. Dr. Ch. Borel, Gymnasium, La Chaux-de-Fonds.

Verzeichnis der schweizerischen meteorologischen und seismologischen Literatur November 1939 bis Dezember 1940.

Abkürzungen: A. MZA. = Annalen der Schweizerischen Meteorologischen Zentralanstalt. — A. G. = Archives des Sciences physiques et naturelles, Genève. — B. G. = Gerlands Beiträge zur Geophysik. — H. P. A. = Helvetica Physica Acta. — M. Z. = Meteorologische Zeitschrift. — SNG. = Schweizerische Naturforschende Gesellschaft. — Z. a. Met. = Zeitschrift für angewandte Meteorologie (Das Wetter).

Annalen der Schweizerischen Meteorologischen Zentralanstalt (MZA), 76, 1939.

Täglicher Wetterbericht der MZA, 59, 1939.

Ergebnisse der täglichen Niederschlagsmessungen auf den meteorologischen und Regenmeß-Stationen der Schweiz im Jahre 1939.

Meteorologische Monatsberichte: Januar-Dezember 1939 bis Oktober 1940.

Observatoire de Genève: Résumé météorologique de l'année 1939 pour Genève. (A.G. 21 et 22, 1939/40.)

Observatoire de Lausanne (Champ de l'Air): Résumés mensuels pour 1939, publ. par le Service météorologique universitaire vaudois.

P. Berger: Contribution à l'étude des nuages. (A.G. 22. 1940, 99.)

M. Bider: Phänologische Beobachtungen in den Kantonen Baselland, Basel-Stadt, Uri und Graubünden (mit Untersuchungen über den Einfluß der Temperatur auf den Zeitpunkt der Obstbaumblüte. (XI. Tätigkeitsber. NG. Baselland 1936/38, 57.)

– Die meteorologischen Verhältnisse während des internationalen Segelfluglagers auf dem Jungfraujoch. (Mittlg. Naturw. Ges. Thun, H. 4, 1939.)

R. Billwiller: Der Firnzuwachs pro 1937/38 in einigen schweizerischen Firngebieten. (XXVI. Ber. Zürich. Gletscherkommission V.J.-Schrift NGZ., 1939, 331.)

W. Brückmann: L'Osservatorio Ticinese nell'anno 1939. A.MZA. 1939.)

– Stato meteorologico del 1938. (Boll. Soc. Ticinese di Sc. natur. XXXIV-1939.)

P. Götz: Ozonwolken. (H.P.A. XIII, 1940, 3.)

– Saharasand im Rauhreif. (Z.a.Met. 1940.)

– Die Schwächung der Sonnenstrahlung in einer reinen Atmosphäre. (M.Z. 1940.)

u. W. Brunner: Das Nordlicht vom 29./30. März 1940. (Die Sterne, 20, 1940, 113.)

Ch. Golaz: Etude sur la variation de la vitesse du vent en fonction de l'altitude. (Thèse nº 1010 présentée à la faculté des sciences de l'université de Genève pour obtenir le grade de docteur ès sciences mathématiques.)

— Liste des chutes de grêle en Suisse pendant l'année 1939.

M. Grütter: Uebersicht über den Witterungsverlauf in der Schweiz. (A.MZA. 1939.)

M. Hottinger: Vergleichsversuch zwischen Decken- und Heizkörperheizung. (Z. Schweiz. Bl. f. Heizung u. Lüftung 1939, H. 2, 34 und H. 3, 55.)

– Das heiztechnische Klima der Schweiz im Winter 1939/40. Z. Schweiz. Bl. f. Heizung u. Lüftung, Oktober 1940.)

– Brennstoffrationierung und Zentralheizung. (Z. Schweiz. Bl. f. Heizung u. Lüftung, Oktober 1940.)

– Der Wärme- und Wasserdampfgehalt feuchter Luft in verschiedenen Höhenlagen ü. M. (Gesundheits-Ingenieur, 63, 1940, 389.)

Leins (Bürglen): Zur Symptomatologie und Therapie der Migräne. (Schweiz. Med. Wochenschr., 40, 766.)

J. Lugeon: Mémoire sur la Méthode d'intégration des altitudes en Aérologie. Nivellement barométrique de précision. (Publ. MZA. 1939 et Extr. Bull. techn. Suisse romande, 13 et 27 janvier 1940.)

– Le radiogoniographe de la Station centrale suisse de météorologie et son utilisation pour la prévision du temps. (A.MZA. 1939).

P.-L. Mercanton: Les variations périodiques des Glaciers des Alpes suisses, 60e rapport 1939. («Les Alpes» nº 6, 1940.)

Recherches de technique pluviométrique: III Essais comparatifs sur le toit de la Station météor. suisse. (MZA.) (A.MZA. 1939).

– La pluie à Ouchy et à Lausanne. (Service météorologique universitaire vaudois.)

– Schnee- und Gletscherbeobachtungen 1939 in den Schweizeralpen. («Die Alpen», H. 6, 1940.)

– Bemerkungen von Prof. Mercanton (Zürich) zur Geschichte der Wetterfahne. (Z. a. Met. «Das Wetter», 1938, 171.)

W. Mörikofer: Meteorologische Strahlungsmethoden für biologische und ökologische Untersuchungen. (Ber. über d. Geobot. Forschungsinst. Rübel, Zürich 1939, 1940, 13.)

– Die Abkühlungsgröße auf der Liegehalle. (Gesundheit u. Wohlfahrt, v.-Gonzenbach-Festschrift, 1940, 283.)

– Das Schweizerische Forschungsinstitut für Hochgebirgsklima und Tuberkulose in Davos. (Schweiz. Hochschulztg. 1940.)

M. Nicolet: Considérations sur les identifications des transitions interdites atomiques dans les spectres de l'aurore et du ciel nocturne. (Ac. Sc. Belg. [5] 25, 1939, 81.)

F. Prohaska: Erfahrungen mit einem Doppelthermometer zur Messung der kalorischen Einstrahlung. (Biokl. Beibl. M.Z. 1940, 39.)

— Neuere Schnee- und Lawinenforschungen in der Schweiz. (MZ. 57, 1940, 249.)

– u. Chr. Thams: Neue Untersuchungen über die Strahlungseigenschaften der Schneedecke. (H.P.A. XIII, 1940, 21.)

E. Stucki: Die Meßgeräte für Druck, Temperatur und Feuchtigkeit in der Heizung und Lüftung. (Z. Schweiz. Bl. f. Heizung u. Lüftung, LA-Sondernr. 1939.)

H. Uttinger: Vom Zürcher Klima. (Zürch. Statistische Nachr. H. 2, 1940, 85.)

E. Wanner: Jahresbericht des Erdbebendienstes der Schweiz im Jahre 1939. (A.MZA. 1939.)

— Beiträge zur meteorologischen Statistik. (Mit 2 Abb. im Text.) (V.J.-Schr. NGZ. 1940, 15.)

— Ueber die Frequenz der Windstärke auf dem Säntis 1932 bis 1939. (A.MZA. 1939.)

— Die erdmagnetische Station Regensberg. (A.MZA. 1939.)

Tägliche Beobachtungen

der Stationen:

Bern, Neuchâtel, Altdorf, Genf, Zürich, Rigi-Kulm, Bevers, Sitten, Lugano, Basel, Säntis und St. Gotthard

im Jahre 1939

Für die Bezeichnung der Hydrometeore und anderer Phänomene werden nach dem Vorschlag des internationalen Meteorologen-Kongresses Wien 1873) folgende Symbole angewandt:

● = Regen.	⌓ = Tau.	⚡ = Gewitter.	(|) = Sonnenhof.
✳ = Schnee.	⊔ = Reif.	⚡ = Blitz, Wetterleuchten.	⊕ = Sonnenring.
△ = Graupeln, Riesel.	V = Duft.	⌓ = Nordlicht.	☾ = Mondhof.
▲ = Hagel.	∽ = Glatteis.	⚡ = starker Wind. ⚡ = Sturm.	⊕ = Mondring.
← = Eisnadeln.	≡ = Nebel.	✢ = Schneegestöber.	⌒ = Regenbogen.

Das Zeichen ⊠ bedeutet, dass mehr als die Hälfte der Bodenfläche in der Umgebung der Station an dem betreffenden Tag mit Schnee bedeckt war.

Die Intensität der einzelnen Erscheinungen wird durch eine dem Symbol als Exponent beigefügte ° als schwach und ² als stark bezeichnet.

In der Spalte „Witterung" bedeuten die Abkürzungen: fl. = Flocken. sch. = Schauer. tr. = Tropfen. T = Donner; fr. = früh, m. U. = mit Unterbrechungen.

Vom Jahrgang **1918** an ist die 24-Stundenzählung durchgeführt; wenn die Zeit nicht näher angegeben werden kann, bedeutet wie bis anhin: a: Vormittags (ante meridiem), p: Nachmittags (post meridiem), n: Nachts.

Alle Zeitangaben beziehen sich auf **mitteleuropäische Zeit.**

Die römischen Ziffern geben an, dass das betreffende Phänomen um die Zeit des ersten, resp. zweiten, resp. dritten Beobachtungstermins beobachtet worden ist, die arabischen bedeuten die bürgerlichen Zeitstunden, das Zeichen * interpolierte Daten.

Die Windstärken sind in der sechsteiligen (halben) Beaufortskala ausgedrückt.

λ bezeichnet die geographische Länge in Graden von Greenwich. β die geographische Breite, H_b die Höhe des Stationsbarometers über dem Meer in Metern. H die Höhe der Station (des Regenmessers) über der Meeresfläche, G ist die Korrektion, welche an den Luftdruckdaten für deren Reduktion auf die Normalschwere (45° Breite und das Meeresniveau) noch anzubringen ist, h_r die Höhe des oberen Randes des Regenmessers über dem Erdboden. Die Stationen, bei denen die Höhe (des Barometergefässes) bis auf den Dezimeter angegeben ist, sind an das schweizerische Präzisionsnivellement angeschlossen. Alle Höhen sind auf Pierre du Niton 373.6^m bezogen.

Die Schwerekorrektionen (G) sind vom Jahrgang 1936 an auf Grund neuer Berechnungen von Herrn Prof. Niethammer, Basel, eingesetzt worden.

Errata.

1937.

Seite 76. **Zürich.** Tägliche Maxima und Minima der Lufttemperatur: am 19. Februar sind Minimum und Maximum vertauscht. Ferner: Mittl. Max. 7,41 (nicht 7,12), Mittl. Min. 0,89 (nicht 1,16). Differenz 6,52 (nicht 5.96).

1938

Seite 90. **Einsiedeln.** Beobachter: P. C. Merkt (nicht P. Th. Schwegler). Wechsel erfolgte auf 1. Januar 1938.
Luzern. G = —0,02 (nicht —0,17).

Seite 106. **Leysin.** Temperatur Januar: Mittel 21^{30} —1,6 (nicht —1,3), Monatsmittel —1,2 (nicht —1,1).

Seite 108. **Sitten.** Die seit Ende 1936 in den Luftdruckwerten eingetretenen Fehler konnten aufgeklärt werden. Sie kamen durch zweimalige Reduktion der Barometerstände auf 0° zustande. Da dies anfänglich nur zeitweilig geschah, können die Jahrgänge 1936 und 1937 nicht rekonstruiert werden. Die Monatsmittel von 1938 werden hier noch ergänzt durch die Terminmittel (siehe Tägliche Beobachtungen).

	7^{30}	13^{30}	21^{30}	Mittel	Minimum	Tag	Maximum	Tag
Januar	715.8	715.3	715.9	715.7	700.5	10.	729.6	24.
Februar	719.2	718.5	718.9	718.9	704.1	13.	728.6	28.
März	721.8	720.1	720.5	720.8	711.5	26.	729.1	3.
April	715.7	713.5	714.5	714.6	706.4	30.	722.7	11.
Mai	713.1	711.7	712.3	712.4	705.9	19. 27.	719.4	13.
Juni	717.2	715.6	716.0	716.3	708.2	12.	721.3	20.
Juli	715.7	714.4	715.2	715.1	705.2	1.	719.9	10.
August	714.1	712.6	713.5	713.4	705.7	29.	718.0	22.
September	715.8	714.8	715.5	715.4	711.3	10. 15.	719.0	18.
Oktober	715.5	714.1	715.4	715.0	703.3	28.	723.4	13.
November	717.1	716.0	716.8	716.6	698.3	22.	726.1	14.
Dezember	711.8	711.1	711.8	711.6	700.6	20.	719.0	5.
Jahr				715.5	698.3	XI.	729.6	I.

Seite 122. **Weggis.** Tage mit Nebel, heitere und trübe Tage: Jahressummen sind zu streichen (es fehlen zwei Monate).

Anhang Nr. 5, Seite 1, Abschnitt b, 2. Absatz, 1. Zeile, in der Klammer: vgl. Tab. II (nicht Tab. I).

1939.

Seite 22. **Bevers.** Niederschlag: 30. April 0,5 mm, Monatssumme 59,9 mm (nicht 59,4).

Seite 32. **Altdorf.** Temperatur am 4. Juni 13^{30} 21.9 (nicht 21.3).

Seite 77. **Säntis.** Stündliche Monatsmittel der Lufttemperatur: Oktober, Mittel (unterste Zeile) —3.15 (nicht 3.15).

Seite 93. **Walchwil.** Tage mit Nebel: April 1, Jahr 17 (nicht 16).

Anhang Nr. 7, Seite 2, 2. Spalte, Tabelle, Ueberschrift der zweitletzten Kolonne: 70—80 (nicht 80—80).

$\lambda = 7° 26'$, $\beta = 46° 57'$;
$H_b = 572.2^m$, $G = 0.00^m/_m$.

Bern

Januar 1939.
Beobachter: *Tellur. Observatorium.*

Tag	Lufttemperatur 7³⁰	13³⁰	21³⁰	Mittel	Abweich. vom Normalst.	Luftdruck 7³⁰	13³⁰	21³⁰	Relative Feuchtigkeit 7³⁰	13³⁰	21³⁰	Windrichtung und Stärke 7³⁰	13³⁰	21³⁰	Bewölkung 7³⁰	13³⁰	21³⁰	Niederschlag	Witterung
1	1.0	4.1	1.0	2.0	3.6	707.3	705.4	703.4	91	72	89	SW 0	S 0	S 1	10	10	8	.	✳ 0–5½ zeitw.
2	2.5	4.8	3.0	3.4	5.0	703.2	702.4	702.4	85	78	79	SE 0	S 0	S 0	10	9	10	1.3	●° p–n ze tw., ● 11¼, 23¾
3	0.8	1.9	−0.6	0.7	2.3	705.0	706.7	709.2	80	71	84	SW 1	SW 1	WSW 2	10	9	10	0.9	● 0–1½, 19¾–22¼ m.U., ●=
4	−2.0	1.5	−4.0	−1.5	0.2	709.7	707.5	704.7	80	**48**	75	N 0	WNW 0	S 0	1	0	5	.	● 0¼, 0½ [13½–14
5	−2.5	2.0	−0.3	−0.3	1.4	703.0	704.3	707.9	80	87	88	S 0	WSW 1	SW 1	10	10	10	1.4	✳ 11¼, 15¾–16¾, 22¼–23¾
6	−1.6	0.0	−4.7	−2.1	−0.4	711.3	712.5	715.2	88	65	80	SW 0	NE 0	SE 0	7	1	5	.	
7	**−10.4**	−2.0	−3.7	−5.4	−3.0	718.2	718.6	719.2	85	61	75	S 0	E 0	S 0	0	8	10	.	
8	−1.9	3.0	−2.4	−0.4	1.4	719.5	**721.4**	718.4	70	49	85	S 0	WSW 0	SW 0	10	10	10	.	≡ 22–n
9	−5.8	−2.3	−5.2	−4.4	−2.6	716.1	714.0	713.6	95	83	87	SE 0	S 0	S 1	10	0	0	.	≡ n–11
10	−8.0	−0.3	−3.1	−3.8	−2.0	713.1	711.2	710.0	86	68	79	SE 0	SW 0	S 0	0	3	9	.	
11	−2.8	3.7	−2.0	−0.4	1.4	707.2	705.6	704.1	80	58	82	SE 0	SE 1	SE 0	9	7	2	.	
12	−1.0	3.0	1.1	1.0	2.8	702.3	701.3	704.9	80	68	95	W 0	W 1	W 1	9	10	10	2.8	● 15¾–18½, ●° 19¼
13	−0.3	4.1	0.0	1.3	3.1	706.3	707.4	707.8	92	61	83	SE 0	WSW 2	SE 1	10	7	2	0.1	✳ 6½–7, 9
14	−0.3	4.8	1.0	1.8	3.6	708.1	708.4	709.8	80	67	86	S 0	SW 0	SE 1	10	9	1	.	
15	0.6	5.1	2.3	2.7	4.5	709.7	709.7	708.7	85	68	85	S 1	SE 1	SE 0	9	9	9	.	
16	2.4	**7.2**	4.3	4.6	6.4	707.1	705.6	704.9	80	64	75	S 1	S 0	S 1	10	10	10	5.9	●sch. 24 [≡ 7¾–10¾
17	4.0	**7.2**	4.9	5.4	7.1	706.8	705.9	704.0	93	88	91	SW 1	SE 1	SE 0	10	10	10	0.7	● 0¾–3¾ m.U., 9½, 13–13¾,
18	4.1	6.8	4.3	5.1	6.8	702.6	702.8	705.7	86	88	92	E 1	W 0	SE 0	10	10	10●	**10.5**	● 6½, 12–n m.U., ≡ 1¼–10¾
19	3.0	6.2	2.1	3.8	5.5	708.1	710.5	712.9	94	85	94	SE 0	SE 0	SE 0	10	8	0	0.3	● n–0¼, 16¼
20	0.8	4.5	1.7	2.3	3.9	711.4	710.8	708.4	95	79	86	S 0	SW 1	S 1	7	10	3	1.7	
21	3.0	5.2	3.8	4.0	5.6	707.5	704.5	703.6	93	84	96	SE 1	S 0	E 0	10	10	10≡	3.8	● 3–8, 16–20¾ m.U., ≡ 20–n
22	3.4	6.8	6.0	5.4	7.0	707.1	709.3	708.0	95	92	82	S 0	SE 0	WSW 1	10	10	10	7.5	● 2, 9¼–11¼, 33¼–n m.U.
23	3.4	5.3	3.0	3.9	5.4	704.1	703.4	703.7	87	67	88	SW 2	WSW 2	WSW 2	8	9	10●	6.7	● n–6½, 20¾–23¾ m.U., ✳ ●
24	3.1	3.3	2.0	2.8	4.3	708.2	711.2	711.9	90	67	80	SW 1	W 1	S 0	10	9	10	.	● 1–1¾, 18–18¾ [18–20¼
25	0.0	3.0	0.9	1.3	2.7	704.9	701.6	697.9	85	66	85	E 0	ESE 0	N 0	10	5	10	4.4	✳° n
26	0.0	2.3	−1.3	0.3	1.7	697.5	696.9	**696.6**	94	70	88	SW 2	SW 0	E 1	10	7	8	2.9	✳ n–8¾ m.U., ≡ 22½–n
27	−5.2	0.1	−3.1	−2.7	−1.4	696.9	700.0	704.1	96	77	85	SW 0	SE 0	SE 0	10■	7	0	.	≡ n–9½
28	−7.3	−1.3	−4.3	−4.3	−3.0	705.7	705.4	705.9	89	70	90	SE 0	NE 1	NE 0	0	0	9	.	
29	−6.7	−0.2	−3.6	−3.5	−2.3	706.6	706.6	707.9	90	70	88	SE 0	N 0	NE 0	7	3	9	.	
30	−6.0	−1.6	−1.6	−3.1	−2.0	708.4	707.6	707.6	92	85	81	S 0	E 0	ENE 1	10	10	10	.	
31	−1.7	−0.2	−1.8	−1.2	−0.1	708.8	708.9	709.6	80	75	76	E 1	NNE 1	E 1	10	10	10	.	
																		Summe	
Mittel	−1.0	2.8	0.0	0.6	—	707.5	707.3	707.5	87	72	85				8.3	7.4	7.1	5.0.9	

$\lambda = 6° 57'$, $\beta = 47° 0'$,
$H_b = 487.3^m$, $G = 0.02^m/_m$.

Neuchâtel

Januar 1939.
Beobachter: *Observatorium.*

1	1.6	4.6	4.0	3.4	3.9	715.9	713.8	711.3	96	81	83	W 2	SW 2	W 2	10●	10	9	4.0	●° l
2	4.5	5.7	3.5	4.6	5.1	710.8	709.8	710.3	83	84	87	SW 3	SW 2	W 1	10●	9	10●	1.8	● n, abds.
3	1.9	1.1	−0.1	1.0	1.6	713.4	715.3	717.6	68	93	95	SW 1	W 1	W 1	2	9	9	3.1	✳sch. 11–12, ✳ abds.
4	−1.0	3.3	0.2	0.8	1.4	718.0	715.7	712.9	89	68	77	NW 1	W 2	NW 1	7	0	10	4.8	
5	0.4	1.8	0.6	0.9	1.5	710.7	712.8	716.5	100	95	94	SW 1	W 2	SW 2	10●*	10●	10●*	9.8	✳ n–9¼, ●✳fl. p, ✳ 19–n
6	−0.7	1.5	−1.5	−0.2	0.5	719.8	721.1	723.8	83	81	**61**	NW 1	E 1	N 2	8	1	0	.	
7	**−8.1**	−2.9	−2.7	−4.6	−3.9	726.9	727.2	727.7	92	83	81	NE 0	S 0	SE 0	0	8	10	.	
8	−2.8	2.6	−1.8	−0.7	0.0	**728.0**	727.7	726.7	96	73	96	S 1	SW 2	SW 1	7	7	0	.	
9	−1.9	−0.5	−1.8	−1.4	−0.7	724.4	722.5	722.0	100	95	100	SE 0	S 1	SE 0	10	10	10≡	.	≡ p–n
10	−5.0	−1.6	−2.5	−3.0	−2.3	721.6	719.9	718.4	97	100	100	E 1	S 0	E 0	10≡	10	10≡	.	≡ n–mtgs., n
11	−0.7	2.3	−1.1	0.2	0.9	715.8	713.9	712.1	100	89	98	SW 0	SE 1	NE 0	10	3	0	0.6	
12	−0.2	1.3	1.9	1.0	1.7	709.3	708.8	712.9	98	96	89	NE 0	SW 0	SW 1	10	10	4	2.3	● 14–21
13	1.7	4.7	1.7	2.7	3.4	714.4	715.8	715.9	93	73	85	SW 3	SW 3	W 1	10	9	10	0.9	● ✳ n–9¾ m.U.
14	3.5	6.9	4.1	4.8	5.5	716.3	716.6	717.9	87	75	82	SW 2	SW 2	NW 1	10	10	0	.	●tr. mtgs.
15	5.5	9.0	2.7	5.7	6.3	717.9	717.5	716.5	81	63	90	W 1	SW 1	NE 0	7	9	0	.	
16	3.0	8.6	**9.6**	7.0	7.6	715.2	713.3	712.7	93	75	72	W 1	W 1	NW 0	10●	10●	10	7.2	●tr. l. ll, ●sch. 14½, ● 22–n
17	9.3	9.0	7.0	8.4	9.0	714.5	713.8	711.2	86	95	100	SW 2	SW 1	W 0	10	10●	10	3.7	● n, 9–n m U.
18	5.4	6.4	5.2	5.7	6.3	709.5	710.3	713.8	100	98	97	NE 1	SW 0	W 0	10	10●	10●	25.9	● 10⅝–n
19	4.9	7.5	6.4	6.3	6.8	716.3	718.7	721.0	98	84	83	SW 1	SW 2	SW 2	10	9●	10	0.5	●sch. zeitw.
20	3.9	5.4	4.3	4.5	5.0	719.2	718.7	717.0	97	90	90	E 1	SW 1	NW 0	10	10●	6	6.2	●tr. a, ●° ll
21	5.2	6.7	6.0	6.0	6.5	715.4	712.4	711.4	97	82	97	W 1	W 3	W 1	10●	10●	10●	12.7	●tr. a, ● 13½–n
22	6.4	7.3	6.2	6.6	7.0	715.3	717.5	716.3	95	95	78	W 1	SW 2	SW 2	10	10	10	16.8	● 8¼–mtgs., ●°sch. p
23	5.5	2.3	2.1	3.3	3.7	711.6	711.1	712.2	72	95	96	W 2	W 3	W 2	10	10●	10●	**32.2**	● a m.U., ● ✳ p–n zeitw.
24	3.5	5.4	2.1	3.7	4.0	716.6	719.4	720.0	77	62	86	SW 3	SW 1	W 0	10	10●	8	0.8	●° a m.U., ✳°sch. 15
25	1.1	3.8	0.8	1.9	2.2	713.2	709.0	705.2	87	74	87	SW 1	SE 1	E 0	10	3	5	12.8	
26	0.1	3.3	0.2	1.2	1.4	705.0	703.9	**703.7**	91	87	86	W 1	S 1	NW 2	10	8	8	.	✳fl. 8½, 9½
27	−2.8	−0.4	−0.9	−1.4	−1.2	704.6	708.0	712.4	98	76	85	E 1	W 1	NW 1	10	9	7	.	
28	−4.2	−0.1	−0.5	−1.6	−1.5	714.1	714.1	714.3	93	76	74	NE 1	SE 0	NE 2	8	1	1	.	V fr.
29	−1.3	0.8	−0.9	−0.5	−0.4	714.7	715.2	716.6	83	60	81	E 2	SE 2	SE 1	10	7	1	.	
30	−1.7	−0.9	−1.2	−1.3	−1.3	716.9	716.0	716.1	92	89	89	SE 1	E 2	E 3	10	10	10	.	
31	−1.1	−0.6	−1.1	−0.9	−0.9	717.2	717.4	718.3	89	85	82	E 2	E 2	E 2	10	10	10	.	
																		Summe	
Mittel	1.2	3.4	1.7	2.1	—	715.6	715.4	715.6	91	83	87				9.0	8.1	7.1	146.1	

Januar 1939.
Beobachter: Frl. *H. Nager.*

Altdorf

$\lambda = 8° 39'$, $\beta = 46° 53'$,
$H_b = 456.3^m$, $G = -0.05^{mf}_{m}$.

Tag	Lufttemperatur					Luftdruck			Relative Feuchtigkeit			Windrichtung und Stärke			Bewölkung			Niederschlag	Witterung
	7^{30}	13^{30}	21^{30}	Mittel	Abweich. vom Normalst	7^{30}	13^{30}	21^{30}	7^{30}	13^{30}	21^{30}	7^{30}	13^{30}	21^{30}	7^{30}	13^{30}	21^{30}		
1	0.7	3.6	−0.1	1.4	1.2	718.8	716.7	714.0	92	75	96	W 0	E 0	SE 0	10*	7	5	1.0	
2	5.1	6.2	1.8	4.4	4.2	713.3	712.6	713.2	47	58	90	SE 1–2	NW 2	NW 0	10	4	10	2.6	
3	1.4	3.8	0.0	1.7	1.6	716.3	717.1	719.4	94	54	85	E 0	SE 0	E 0	10	6	10	0.1	✳ 16½
4	−0.8	1.9	−4.1	−1.0	−1.1	720.3	718.6	715.8	70	45	69	E 0	SE 0	SE 0	7	0	4	.	
5	3.1	3.6	1.3	2.7	2.6	713.1	714.9	718.0	31	55	75	SE 1	NE 0	NW 0	2	10*	10	2.7	✳ p
6	−0.2	1.4	−0.9	0.1	0.0	722.3	723.7	726.4	52	49	61	W 0	NW 0	W 0	10	8	8	0.0	✳ 20
7	−4.0	1.1	−1.4	−1.4	−1.5	729.4	729.4	730.2	66	47	64	N 0	SE 0	SE 0	8	4	10	.	
8	0.6	4.6	−1.2	1.3	1.2	**730.7**	730.2	729.2	64	55	65	SE 0	NW 0	NE 0	10	10	2	.	
9	−4.7	0.6	−3.6	−2.6	−2.7	726.9	724.9	725.0	89	88	100	E 0	E 0	SE 0	2	10≡	10≡	0.1	≡ p–n
10	−4.5	−0.5	−3.9	−2.0	−3.1	724.4	722.2	721.0	100	93	93	S 0	W 0	W 0	10≡	10≡	10≡	.	≡ n–n
11	−0.7	3.5	7.7	3.5	3.4	717.5	716.9	714.0	74	65	39	SW 0	E 0	SE 1	6	9	4	.	
12	9.1	11.2	1.4	7.2	7.0	712.0	709.2	715.7	31	30	95	SE 0–1	SE 1–2	NW 0	7	10	10●	10.9	● 19½–n
13	1.1	4.6	−0.6	1.7	1.5	716.7	718.5	718.4	95	64	82	E 0	SE 0	E 0	8	4	0	.	
14	2.8	7.3	1.1	3.7	3.5	718.9	718.9	720.7	64	49	96	SW 0	W 0	NW 0	8	4	2	.	
15	3.6	8.0	12.9	8.2	8.0	720.2	721.3	719.0	82	55	32	NW 0	NW 0	SE 2–3	10	10	0	.	
16	14.8	15.6	15.2	15.2	15.0	717.1	716.1	715.6	30	39	30	S 2–3	S 3–4	S 3–4	10	7	0	.	
17	13.3	**17.0**	16.6	15.6	15.4	717.4	715.8	714.1	35	**28**	29	SE 2	S 2	S 2	10	7	7	.	
18	16.4	15.8	8.8	13.7	13.4	712.1	711.9	716.4	29	30	70	S 2–3	E 1	NW 0	9	10	10	1.3	● abds.
19	6.2	8.1	5.8	6.7	6.4	719.3	721.8	723.9	90	84	92	NW 0	N 0	NW 1	10●	10●	10	2.5	● I, II
20	2.6	6.4	3.3	4.1	3.8	721.9	721.2	720.1	95	76	90	SE 0	NW 0	E 0	0	10	0	.	
21	3.1	7.6	6.9	5.9	5.6	718.6	714.4	713.8	88	60	70	E 0	NW 0–1	NW 0	8	10	10	.	
22	4.9	9.4	5.1	6.5	6.1	718.1	719.6	716.9	92	58	87	W 0	NW 0	E 0	10	10	8	3.0	
23	4.6	6.7	3.0	4.8	4.4	713.0	712.7	714.3	96	73	86	E 0	NW 0	NW 0	10●	4	10●	**18.6**	● I, 20–n, ✳ n
24	3.3	4.8	2.0	3.4	3.0	717.9	720.9	722.4	93	52	79	E 0	NW 1	NW 0	10●	10	10	4.7	● I
25	−0.6	3.4	6.1	3.0	2.5	716.0	711.2	708.0	76	58	29	E 0	NW 0–1	S 2	10	6	0	.	
26	3.7	1.8	0.3	1.9	1.4	**706.2**	706.5	707.2	67	86	95	NW 2	W 0	NW 0	10	10	10*	5.8	✳ a–11½, III
27	**−4.8**	0.5	0.1	−1.4	−2.0	706.7	709.9	714.3	80	65	80	S 0	SE 0	E 0	3	10*	10	0.8	✳ II
28	−3.2	0.4	−4.6	−2.5	−3.1	716.4	716.5	717.1	65	46	83	SE 0	SE 0	SE 0	7	2	1	.	
29	−3.0	0.8	−3.8	−2.0	−2.7	717.2	717.2	719.5	90	66	88	SE 0	NW 0–1	NW 0	10	0	4	.	
30	−1.1	0.3	−0.3	−0.4	−1.1	719.6	719.2	719.2	85	86	80	NE 0	NW 0	NW 0	10	10	10	.	
31	−0.8	1.0	−0.8	−0.2	−1.0	720.3	720.5	721.9	70	58	67	NE 0	E 0	E 0	10	10	10	.	
																		Summe	
Mittel	2.3	5.2	2.4	3.3	—	718.0	717.8	718.2	72	60	74				8.2	7.5	6.6	54.1	

Januar 1939.
Beobachter: *Observatorium.*

Genf

$\lambda = 6° 9'$, $\beta = 46° 12'$,
$H_b = 405.0^m$, $G = -0.03^{mf}_{m}$.

1	2.1	6.2	6.0	4.8	4.5	724.6	722.2	719.6	90	78	71	NNE 0	N 0	N 0	10	10	5	1.0	● n (1./2.)
2	5.2	6.8	5.5	5.8	5.5	718.6	717.7	718.2	85	74	78	NE 0	SW 1	SW 1	10●	10	9	3.4	● a, n
3	1.9	3.0	1.0	2.0	1.7	722.0	723.9	726.0	80	72	85	NW 1	SW 1	SSW 1	10	10	10	0.4	● ✳sch. a, ✳ n
4	0.0	3.4	1.6	1.7	1.5	725.9	723.1	721.3	96	63	89	WNW 0	NNE 0	SW 0	10	1	10●»	0.5	● ✳ 21–n
5	3.4	4.4	2.0	3.3	3.1	718.5	721.1	724.4	83	71	79	SW 1	SE 1	SE 0	10	10	10	1.8	●sch. a, ● ✳ p, n
6	−0.2	2.8	−1.0	0.5	0.3	727.0	728.0	731.5	86	58	70	NE 0	NE 1	ENE 0	3	0	1	.	
7	−6.8	−1.6	−1.2	−3.2	−3.4	733.8	734.6	735.5	93	82	86	E 0	NNE 0	ENE 0	0	9	9	.	
8	−1.6	2.2	−1.4	−0.3	−0.5	**735.8**	735.2	734.1	84	73	92	ENE 0	NE 1	ENE 0	10	0	0	.	
9	−5.6	1.4	−1.8	−2.0	−2.2	732.2	730.3	729.6	97	74	100	ENE 1	NNE 0	NE 0	0	0	10≡	.	≡ 17–n, ⌴ fr.
10	−5.4	−1.4	−1.1	−2.6	−2.8	729.1	727.3	725.9	100	96	96	ENE 0	NNE 1	NE 0	10	10	10■	0.6	≡ III, ● n
11	−1.4	3.0	0.8	0.8	0.6	723.6	721.2	719.4	100	83	92	E 0	NE 0	SE 0	10●	0	10	0.4	●° a, n
12	1.5	3.0	1.4	2.0	1.8	716.6	716.8	720.6	96	93	93	NE 0	SE 1	SSE 0	10≡	10●	1	12.9	● a, p, ≡ I
13	2.4	7.0	3.9	4.4	4.2	722.6	724.1	723.7	86	60	71	S 1	SW 1	WNW 1	9	1	10	0.2	●°sch. 6½, ● n
14	4.9	8.6	6.3	6.6	6.4	724.2	724.6	725.6	75	67	67	NE 0	ENE 0	N 0	10●	10	0	0.1	●° a
15	6.9	10.4	8.2	8.5	8.2	725.9	725.0	723.4	71	62	72	E 0	NE 0	NE 0	3	9	0	1.0	● n (15./16.)
16	10.4	**13.0**	12.0	11.8	11.5	722.8	721.3	720.3	82	**57**	65	SW 1	SSW 1	SW 2	10●	10●	10	0.5	●°sch. n–n zeitw.
17	10.3	11.0	11.4	10.9	10.6	721.7	721.0	718.1	85	83	80	NE 1	NE 0	E 1	10	10	10	0.8	●° a
18	13.0	10.2	6.0	9.7	9.4	716.2	717.0	721.3	63	93	91	NW 1	E 0	NNE 1	10	10●	10●	**22.0**	● n–n
19	5.8	10.4	7.0	7.7	7.3	724.3	726.5	728.8	91	65	85	NE 0	NE 1	E 0	10	7	10●	0.2	●° 21–n
20	3.7	7.0	6.7	5.8	5.4	727.0	726.0	724.8	91	81	84	E 0	NNE 0	NE 0	10	10	10	1.6	●° 11, 14½, n
21	7.0	7.3	7.8	7.4	7.0	723.0	721.0	718.9	83	85	83	NNE 1	SW 1	N 0	10	10●	10●	5.4	● n–n
22	7.8	9.2	7.7	8.2	7.7	723.3	726.0	725.0	87	84	81	N 0	SW 1	SW 1	9	10	10	7.8	● a, 22–n
23	5.2	5.5	4.4	5.0	4.5	721.1	719.3	721.3	81	77	90	W 1	SW 1	SW 1	10●	10●	10●	12.1	● n–n, ↯ 5½
24	4.6	4.2	3.9	4.2	3.6	725.2	727.5	727.4	84	80	67	W 1	NNE 1	E 0	10●	10●	10●	1.1	●sch. a, II, abds.
25	0.3	2.6	2.0	1.6	1.0	720.5	716.4	713.0	85	72	75	E 0	NE 0	E 1	10	9	10*	9.0	● ✳ 20½–n
26	2.2	4.2	0.5	2.3	1.6	712.8	711.3	**710.4**	72	59	81	S 1	SSW 1	NE 0	10	4	0	0.3	✳ n (26./27.)
27	−1.3	1.6	0.3	0.2	−0.5	711.5	715.8	719.5	94	71	93	ENE 1	NW 1	W 0	10*	10	2	.	✳ I
28	−3.1	0.6	−1.8	−1.4	−2.2	721.1	721.0	721.5	96	71	90	W 0	NNE 1	NE 0	10	1	1	.	⌴ fr.
29	−0.6	1.7	0.7	0.6	−0.2	722.2	721.7	723.5	85	73	82	NE 1	NNE 1	NNE 1	3	9	0	.	
30	−0.2	0.3	0.0	0.0	−0.9	723.1	722.8	723.0	85	83	85	NNE 1	NNE 1	NNE 1	10	10	10	.	
31	0.2	0.6	0.2	0.3	−0.7	724.1	724.5	725.6	84	80	81	NNE 1	NNE 2	NE 1	10	10	10	.	
																		Summe	
Mittel	2.3	4.8	3.2	3.4	—	723.2	723.0	723.3	86	75	82				8.6	7.4	7.0	83.1	

$\lambda = 8^\circ 33'$, $\beta = 47^\circ 23'$.
$H_b = 493.2^m$, $G = 0.03$ ‰.

Zürich

Januar 1939.
Beobachter: *Meteorol. Zentralanstalt.*

Tag	Lufttemperatur					Luftdruck			Relative Feuchtigkeit			Windrichtung und Stärke			Bewölkung			Niederschlag	Witterung
	7³⁰	13³⁰	21³⁰	Mittel	Abweich. vom Normalst	7³⁰	13³⁰	21³⁰	7³⁰	13³⁰	21³⁰	7³⁰	13³⁰	21³⁰	7³⁰	13³⁰	21³⁰		
1	0.5	4.3	1.4	2.1	2.9	714.8	712.6	710.5	100	70	70	S 1	S 1	SE 1	10*≡	10	9	2.8	✳ 2–8¾, ≡ n-9
2	2.7	3.7	3.1	3.2	4.1	710.4	709.6	709.3	71	79	88	SSE 1	SE 1	SE 1	10●	10	10	3.2	● 5½–13½ m.U., *)
3	2.0	0.9	0.2	1.0	1.9	711.9	713.8	716.0	88	88	88	WSW 2	WSW 1	SW 1	10*●	10*	10	1.9	● ✳ 7½–8½, *)
4	0.5	3.8	−1.8	0.8	1.7	717.0	714.9	712.1	88	88	88	WSW 2	SE 1	ESE 1	10	1	6	0.6	✳ n–2½, 7½–7¾
5	−0.9	1.3	0.9	0.4	1.4	709.6	711.4	714.7	88	92	81	SE 1	S 1	W 2	9	10	10*	2.3	✳ 11⅝–13, 16–17, Ω abds.
6	−1.8	2.8	−2.0	0.3	1.3	719.3	720.1	723.0	80	54	84	WNW 1	SSE 1	WNW 1	7	3	2	.	
7	−3.4	0.2	−2.9	−2.0	−1.0	725.8	726.1	726.5	82	62	82	WNW 1	SW 1	W 1	7	8	10	.	
8	0.0	3.2	0.8	1.3	2.3	**727.0**	726.4	725.5	69	73	99	SSE 1	SE 0	SE 1	10	10	1	.	
9	−1.8	−0.3	−2.4	−1.5	−0.5	722.9	720.8	720.7	100	90	94	SE 1	SE 1	NE 1	10≡	10≡	0	.	≡ n–13¼
10	**−4.0**	3.6	−1.3	−0.6	0.4	720.7	718.5	717.4	100	62	90	E 1	ESE 1	NE 0	5	5	9	.	
11	−1.5	4.0	−0.8	0.6	1.6	714.7	713.2	711.4	84	54	95	NNE 0	NW 0	SE 0	10	9	0	.	
12	−0.6	2.5	1.7	1.2	2.2	708.2	707.3	712.0	90	70	96	NW 0	WNW 0	WNW 1	8	10	10●	1.5	✳ ● 17⅝–24
13	0.9	4.9	1.1	2.3	3.3	713.3	714.7	715.7	100	60	87	SSE 1	W 2	SSE 1	10≡	6	7	0.1	≡ n–7⅝
14	5.1	8.0	3.3	5.5	6.5	714.9	715.6	717.2	53	53	66	SSW 2	SW 2	ESE 1	10	9	9	.	
15	3.7	7.1	5.2	5.3	6.3	716.9	717.2	715.7	68	58	67	S 1	S 1	SE 0	9	9	6	.	
16	4.5	**10.9**	6.0	7.1	8.1	714.0	712.2	711.8	73	57	76	SE 2	SE 1	E 0	9	10	6	**15.2**	
17	5.9	10.8	7.2	8.0	9.0	713.7	712.9	710.3	99	68	85	S 0	W 1	SE 1	10	10	10	0.1	● 0–6½, 14, 18½
18	6.3	10.2	6.6	7.7	8.7	709.6	709.0	712.7	92	72	84	NNW 0	NNW 1	S 1	10	10	10	3.4	● 16½–21½
19	6.1	7.6	5.3	6.3	7.3	715.6	717.9	720.0	78	74	86	S 1	S 1	SE 1	10	6	5	0.2	●° 9½–10
20	1.9	5.3	3.7	3.6	4.6	718.5	717.9	716.3	100	77	85	SSE 1	SW 1	SE 1	5	10	0	0.4	
21	4.9	8.7	5.1	6.2	7.1	714.8	711.4	710.9	86	60	100	SSW 1	NW 1	SSE 1	10●	7	10	5.6	●° 6¼–9½, 17⅝–23
22	4.9	9.5	7.4	7.3	8.2	714.3	716.0	714.9	97	68	67	SSW 1	WSW 2	W 3	10	10	10	10.0	● 4⅝–7½, 11½–15¼ m.U. *)
23	4.5	7.3	2.9	4.9	5.8	709.7	709.2	710.1	91	**52**	90	WNW 1	WNW 3	SW 2	10	8	10●	4.3	● n–3⅝, 6⅝–7½, 19½–n
24	3.4	3.9	2.9	3.4	4.3	714.8	717.8	718.6	87	72	69	W 2	W 2	W 2	10●	9	10	0.2	● n–2⅝, 7–8¼
25	0.7	3.9	1.3	2.0	2.8	712.7	708.2	704.3	87	60	75	SE 0	ESE 0	SE 1	10	7	6	2.2	
26	0.9	1.9	−0.4	0.8	1.6	704.1	703.7	703.4	75	81	84	WNW 2	SSE 1	SSE 1	10	8	10	0.2	✳ 6–7¼, ✳° a. p zeitw.
27	−0.3	0.3	−0.1	0.0	0.8	**703.1**	706.2	711.0	87	82	73	NNE 1	W 1	SW 2	10	10	10	0.8	✳ 9½–11¾, 16½–17
28	−3.4	2.8	−0.8	−0.5	0.2	713.3	713.3	714.1	92	55	81	SE 1	NNE 1	NE 1	0	6	4	.	
29	−1.6	2.2	−1.2	−0.2	0.5	714.4	714.6	716.2	78	62	80	E 2	NE 4	N 1	9	3	1	.	
30	−1.6	−0.7	−0.7	−1.0	−0.4	716.6	716.0	716.0	83	79	80	E 1	E 1	ENE 1	10	10	10	.	
31	−0.8	−0.5	−0.8	−0.7	−0.2	716.9	717.1	717.4	77	74	73	ESE 1	ENE 1	E 1	10	10	10	.	
																		Summe	
Mittel	1.2	4.3	1.6	2.4	—	714.6	714.4	714.7	85	69	83				9.0	8.2	7.1	55.0	

*) 2. ✳ 17–17⅝, 23⅝ 3. ✳ △ 12½–13½, ✳ 23⅝–n 22. 23½–n

$\lambda = 8^\circ 30'$, $\beta = 47^\circ 3'$.
$H_b = 1787.3^m$, $G = -0.20$ ‰.

Rigi-Kulm

Januar 1939.
Beobachter: *J. Steiner*

1	−3.9	−2.5	−3.1	−3.2	0.9	607.4	606.9	606.6	80	72	65	WSW 3	SW 3	SW 1	10*	10	3	0.6	✳ I
2	−4.0	−3.5	−4.8	−4.1	0.0	604.8	604.4	604.6	78	56	60	W 2	WSW 2	W 2	10*	10*	10≡	**23.8**	✳ seit 7½ zeitw., ≡ III
3	−7.6	−8.8	−9.5	−8.6	−4.5	604.8	605.9	606.0	60	86	89	W 3	W 3	W 2	10*	10≡	10≡	6.2	✳ I, ≡ II, III
4	−9.3	−8.6	−6.8	−8.2	−4.0	608.3	607.1	605.8	63	48	50	W 1	S 1	SSW 1	8	0	2	.	
5	−7.6	−5.8	−8.5	−7.3	−3.1	604.1	604.4	607.5	68	86	90	SSE 1	SW 3	SW 1	4	10*	10≡	12.3	✳ II
6	−11.0	−10.5	−12.0	−11.2	−7.0	609.8	610.6	613.9	91	89	82	W 1	W 1	NW 1	10≡	10≡	10≡	0.5	≡ n–n
7	**−13.5**	−10.3	−9.2	−11.1	−6.9	614.9	615.9	617.8	74	75	80	W 0	SW 1	W 1	0	8	10	0.1	
8	−1.2	2.2	2.0	1.0	5.3	618.7	619.0	**619.1**	56	41	24	W 1	W 1	SSW 2	10	0	0	.	
9	4.7	**7.2**	3.5	5.1	9.4	617.4	616.3	615.6	8	18	23	SW 2	SW 1	SW 1	1	1	1	.	
10	1.0	2.5	−2.1	0.5	4.8	614.2	612.6	610.3	20	23	34	SW 1	SSW 1	SW 1	1	3	5	.	
11	−1.0	1.2	−1.3	−0.4	3.9	609.2	607.8	606.0	44	40	47	S 1	WSW 0	S 3	8	7	6	.	
12	−0.4	0.0	−6.0	−2.1	2.2	603.5	603.0	605.8	42	46	61	S 3	W 1	W 2	5	10	10*	14.6	✳ 17–n
13	−7.2	−6.0	−4.7	−6.0	−1.6	606.3	607.7	609.5	53	60	58	SW 2	WSW 2	W 1	5	3	1	0.2	
14	−1.8	0.8	0.0	−0.3	4.1	609.5	610.2	612.4	42	50	51	SW 1	WSW 1	W 1	8	4	4	.	
15	3.0	5.4	4.0	4.1	8.5	612.6	613.3	613.4	31	46	50	W 1	WSW 2	S 2	5	10	10	.	
16	3.5	4.5	4.2	4.1	8.5	611.0	609.6	609.6	48	46	54	SSW 2	SSW 3	S 3	10	9	10	1.1	
17	4.3	5.6	6.0	5.3	9.7	610.1	610.1	608.8	58	48	56	SSW 3	SSW 2	S 2	10	10	10	.	
18	3.7	3.7	−2.1	1.8	6.3	606.8	606.1	608.0	52	52	54	S 3	S 2	W 1	10	10	10*	3.0	✳ III, ≡ 15–n
19	−1.8	−1.6	−3.0	−2.1	2.4	610.0	611.7	612.6	50	80	76	W 1	W 1	W 1	10*	10≡	6	1.5	✳ I, ≡ II
20	−4.0	−2.6	−1.8	−2.8	1.7	612.2	612.6	611.3	68	56	76	W 0	W 2	W 1	1	10	7	.	
21	−2.4	0.8	0.2	−0.5	4.0	609.5	606.7	606.4	64	54	58	W 1	S 2	S 1	10*	8	10	0.5	✳ seit 7½
22	0.0	−0.3	−1.2	−0.5	4.0	609.4	610.7	609.7	66	70	78	W 1	W 2	W 1	10*	10*	10≡	13.0	✳ seit 11¾ zeitw., ≡ III
23	−4.2	−5.2	−4.3	−4.6	−0.1	603.8	603.6	603.7	80	82	85	W 4	SW 3	W 4	10*	5	10*	18.2	✳ I, III
24	−4.8	−7.2	−7.5	−6.5	−1.9	607.7	610.1	610.9	82	76	80	WSW 3	W 2	W 2	10*	10≡	10	5.3	✳ I, ≡ II
25	−8.4	−6.8	−6.5	−7.2	−2.6	605.2	602.0	600.0	80	80	80	SE 1	SW 1	S 4	8	5	10	7.2	
26	−8.0	−6.6	−9.5	−8.0	−3.4	598.1	597.6	597.1	80	80	71	W 2	S 0	S 0	10*	10≡	10	4.3	✳ I, ≡ II
27	−10.0	−9.0	−9.5	−9.5	−4.9	**596.4**	598.8	603.1	60	60	80	ENE 1	W 1	W 1	3	10*	10≡	6.2	✳ II, ≡ III
28	−11.6	−8.9	−6.8	−9.1	−4.5	604.8	605.2	605.1	68	70	65	W 0	E 1	S 3	0	1	1	.	
29	−3.8	−2.8	−0.5	−2.4	2.2	606.5	606.6	608.5	38	48	40	SE 3	S 3	SW 0	5	2	1	.	
30	−1.5	1.0	−0.5	−0.3	4.3	608.7	608.1	608.3	40	38	39	SE 1	SE 2	SE 1	2	3	1	.	
31	−1.8	1.0	−0.5	−0.4	4.2	608.3	608.6	609.8	38	30	38	E 1	E 1	E 1	0	0	0	.	
																		Summe	
Mittel	−3.6	−2.3	−3.3	−3.1	—	608.2	608.2	608.6	58	58	61				6.6	6.7	6.7	118.6	

Januar 1939.
Beobachter: *P. Nogler.*

Bevers

$\lambda = 9° 53'$; $\beta = 46° 33'$.
Hb = ca. 1710m, $G = -0.23\,{}^{m}/_{m}$.

Tag	Lufttemperatur					Luftdruck			Relative Feuchtigkeit			Windrichtung und Stärke			Bewölkung			Niederschlag	Witterung
	7³⁰	13³⁰	21³⁰	Mittel	Abweich. vom Normalst	7³⁰	13³⁰	21³⁰	7³⁰	13³⁰	21³⁰	7³⁰	13³⁰	21³⁰	7³⁰	13³⁰	21³⁰		
1	-6.8	-4.6	-9.6	-7.0	2.6	614.8	614.7	614.5	90	62	93	W 0	W 0	SW 0	10*	10*	0	0.3	✳ I, III
2	-8.6	-2.3	-4.0	-5.0	4.6	613.7	611.9	610.9	84	86	100	W 0	W 0	W 0	10*	10*	10*	4.0	✳ n-n
3	-7.0	-3.8	-11.2	-7.3	2.4	610.6	611.0	613.8	97	60	88	W 0	SW 1	W 0	10*	10*	10	0.1	
4	-11.1	-10.5	-18.1	-13.2	-3.5	615.2	615.0	615.4	81	59	80	SW 1	SW 1	SW 0	6	0	0	0.0	
5	-12.2	-8.1	-9.0	-9.8	-0.1	612.8	612.7	612.3	80	66	95	NE 1	N 0	NW 0	10*	10*	10	0.1	✳ n-19
6	-8.8	-8.0	-9.8	-8.9	0.9	615.4	615.7	617.7	61	39	52	NW 1	NW 2-3	NW 2	10	3	6	.	
7	-13.8	-9.0	-17.5	-13.4	-3.6	621.2	623.2	624.0	66	60	73	SW 0	W 0	WSW 0	10	0	0	.	
8	-8.8	-0.9	-11.8	-7.2	2.6	624.2	624.8	626.8	91	63	85	NW 1	NW 0	NW 1	10	0	3	.	
9	-15.3	-5.3	-11.4	-10.7	-0.9	625.1	623.4	623.1	84	59	75	NW 1	W 0	W 1	2	0	0	.	
10	-14.0	-3.0	-8.5	-8.5	1.4	621.2	619.1	618.9	81	55	85	SW 0	SW 0	SW 1	1	3	8	0.1	
11	-6.5	0.3	-2.6	-2.9	7.0	617.1	615.4	614.9	94	82	96	NNW 1	W 0	NW 1	10*	10*	10*	2.9	✳ n-n
12	-2.8	-0.1	-2.2	-1.7	8.2	613.8	611.9	610.9	100	93	100	SW 1	SW 1	SW 0	10*	10*	10*	19.8	✳ n-n
13	-4.5	-2.8	-14.4	-7.2	2.7	612.8	614.1	617.7	94	51	87	NE 1	W 0-1	W 0	10	0	0	.	
14	-8.7	-0.4	-11.0	-6.7	3.1	618.2	619.6	620.8	84	52	94	NW 1	NW 1	W 0-1	8	0	0	.	
15	-11.5	0.2	-4.7	-5.3	4.5	621.8	622.3	622.2	83	65	97	NW 1	W 0	W 0	10	10	0	.	
16	2.1	4.2	2.1	2.8	12.6	620.1	619.7	620.2	85	72	89	W 1	SW 1-2	SW 1-2	10	9	10	.	
17	1.6	3.9	-1.2	1.4	11.2	619.4	619.1	618.0	92	77	80	W 1	SW 1	S 3	10	10	10	0.5	
18	2.9	4.2	1.8	3.0	12.7	615.6	614.7	615.1	85	70	94	S 1-2	SSW 1	W 1	10	8	10	3.6	
19	0.1	3.8	-1.0	1.0	10.7	616.0	617.3	619.8	100	75	91	NW 1	NE 1	NE 1	10	9*	10	0.1	✳ a, p zeitw.
20	-2.4	3.0	-0.8	-0.1	9.6	619.7	618.7	618.5	90	65	85	SSW 1	W 0	NW 0	10	6	10	0.1	
21	-2.5	1.0	-1.0	-0.8	8.8	616.8	615.1	614.8	86	76	94	SW 0	SW 1	SW 0	10	10*	10*	0.2	✳ p-n zeitw.
22	-2.6	1.2	-2.9	-1.4	8.2	617.0	617.4	617.4	85	60	83	SSW 1	W 0	NW 1	9	0	9	2.0	
23	-2.2	-0.5	-10.1	-4.3	5.2	610.9	610.9	610.4	87	78	78	SW 1	W 2	SW 0	10	10*	3	4.1	✳ 11½-13
24	-4.7	-1.2	-6.4	-4.1	5.3	612.7	614.5	616.4	97	63	73	SW 1	WSW 1	W 0	10	10*	10	1.0	✳ a-17
25	-15.4	-4.4	-6.8	-8.9	0.5	613.1	610.3	609.3	83	50	82	WSW 1	SW 1	NW 1	2	4	10	0.2	
26	-7.3	-3.2	-7.0	-5.8	3.5	606.1	604.4	603.2	92	78	88	NE 1	NE 1-2	NE 1	10*	10*	10*	5.7	✳ n-n
27	-11.4	-4.0	-8.2	-7.9	1.3	602.5	604.5	608.6	91	79	84	NW 1	NE 1	NW 0	10	10*	10	0.1	✳ p
28	-17.1	-7.8	-15.0	-13.3	-4.1	612.2	612.7	615.4	85	58	76	SW 0	SW 1	SW 1	0	2	4	.	
29	-13.2	-1.4	-11.0	-8.5	0.6	616.5	616.3	617.2	83	48	87	W 1	SSW 2	SW 0	10	6	1	.	
30	-14.3	-1.4	-12.1	-9.3	-0.3	616.6	615.7	619.2	93	50	82	SW 1	SW 0	SW 1	4	0	0	.	
31	-16.3	-6.3	-14.0	-12.2	-3.3	615.4	615.9	617.3	88	47	73	SW 0	SW 2	SW 0	0	0	0	.	
																		Summe	
Mittel	-7.8	-2.2	-7.7	-5.9	—	615.8	615.6	616.3	87	65	85				8.1	5.8	5.9	44.9	

Januar 1939.
Beobachter: *Kapuzinerkloster.*

Sitten

$\lambda = 7° 21'$, $\beta = 46° 14'$,
$Hb = 548.6$m, $G = -0.11\,{}^{m}/_{m}$.

1	1.0	4.0	0.0	1.7	2.5	711.4	710.1	708.4	95	74	93	NE 1	NE 1	NE 1	10	8	8	.	
2	1.4	3.7	1.4	2.2	3.1	707.7	706.6	706.3	83	80	100	E 1	E 1	E 1	10	10	10	4.3	△° I, ●° p m.U.
3	0.9	3.0	0.7	1.5	2.4	707.8	709.6	711.9	91	59	66	W 2	W 2	W 1	10	5	10	.	
4	-3.1	0.1	-2.2	-1.7	-0.8	713.5	712.0	710.1	71	54	59	NNE 1	E 1	W 2	2	0	4	.	
5	-2.4	-0.3	-2.2	-1.6	-0.6	707.9	709.4	710.9	61	89	100	E 1	E 1	E 1	10	10	10	3.0	✳ a
6	-3.0	0.3	-3.7	-2.1	-1.1	713.6	714.5	717.5	75	61	63	E 2	W 1	WSW 2	3	2	1	.	
7	-3.4	-3.4	-4.3	-3.7	-2.7	721.2	721.6	723.1	64	53	65	E 2	E 1	W 1	0	5	8	.	
8	-3.3	0.8	-2.1	-1.5	-0.5	722.8	722.9	722.8	68	53	69	E 0	E 0	E 0	4	1	0	.	
9	-3.2	2.2	0.0	-0.3	0.7	720.8	718.5	717.9	75	50	62	E 0	E 0	E 0	1	1	2	.	
10	-3.0	0.2	-3.3	-2.0	-1.0	716.3	714.1	713.7	64	59	75	E 0	E 0	E 0	1	2	2	.	
11	-3.1	4.7	-2.0	-0.1	0.9	711.6	708.8	708.5	75	52	57	W 2	W 1	E 1	9	3	1	.	
12	3.2	9.5	2.0	4.9	5.9	705.7	702.9	707.3	56	45	90	ENE 2	E 1	W 2	9	9	10	6.3	
13	-1.0	3.6	0.5	1.0	2.0	709.9	711.1	712.3	92	69	75	NE 1	NE 1	NE 1	9	3	2	0.1	
14	-0.8	4.2	2.3	1.9	2.8	713.2	712.9	714.8	73	54	66	E 2	ENE 1	NE 1	7	6	2	.	
15	2.2	6.9	6.6	5.2	6.1	714.8	714.0	713.1	65	54	54	ENE 1	ENE 1	ENE 1	3	9	2	.	
16	7.2	8.7	7.8	7.9	8.8	711.9	711.4	711.1	55	52	55	ENE 2	ENE 1	ENE 1	9	9	3	8.9	● n (16./17.)
17	4.8	7.1	7.4	6.4	7.2	713.2	711.5	709.0	98	78	70	ENE 1	ENE 1	ENE 1	9	9	10	0.2	
18	8.6	10.8	6.1	8.5	9.3	706.9	705.6	708.0	57	54	80	ENE 1	ENE 1	ENE 1	9	8	10	2.4	● n (18./19.)
19	4.4	6.1	4.6	5.0	5.7	711.6	713.7	715.0	92	86	90	NE 1	NE 1	NE 1	9	6	8	0.2	
20	2.6	5.4	3.0	3.7	4.4	715.4	714.4	713.2	77	80	82	ENE 2	ENE 1	ENE 1	3	9	3	2.0	
21	2.4	4.9	4.0	3.8	4.4	712.0	709.5	714.1	99	83	96	ENE 1	ENE 1	ENE 1	10●	10●	10	8.0	● I, II
22	3.4	7.8	5.0	5.4	6.0	712.1	713.1	712.2	94	93	85	ENE 1	ENE 0	ENE 1	9	6	9	8.2	
23	4.0	5.1	0.4	3.2	3.7	707.0	707.0	707.8	96	73	100	NW 1	W 1	W 1	10●	9	10*	18.2	● I, ✳ 19-n
24	3.1	4.2	1.0	2.8	3.2	710.9	713.4	715.1	89	74	70	W 1-2	W 1-2	E 0	10●	6	9	1.4	● I
25	-1.0	2.6	1.3	1.0	1.4	709.4	705.2	702.9	75	52	57	NE 1	E 1	E 1	7	5	5	3.5	
26	0.1	2.5	-1.9	0.2	0.5	700.5	699.2	698.7	98	76	74	NE 1	W 1	E 1	10*	9	3	1.4	✳ I
27	-5.1	0.9	-2.5	-2.2	-2.0	699.2	702.4	706.9	75	56	85	NE 1	W 1	W 1	8	6	4	.	
28	-5.4	-1.0	-2.0	-2.8	-2.7	709.4	709.0	709.9	66	45	58	W 1	W 1	W 1	1	1	4	.	
29	-1.3	5.2	1.4	1.8	1.8	709.8	709.6	711.1	60	43	60	ENE 2	ENE 1	ENE 1	8	2	3	.	
30	-1.4	5.0	-1.9	0.6	0.5	711.1	709.4	710.1	77	52	90	NE 1	NE 1	NE 1	5	4	4	.	
31	-2.7	-1.4	-2.8	-2.3	-2.5	711.4	711.4	712.9	99	87	93	W 1	W 1	NE 1	10	10	10	.	
																		Summe	
Mittel	0.2	3.7	0.8	1.6	—	711.3	710.8	711.5	78	64	75				6.9	5.9	5.7	68.1	

$\lambda = 8° 57'$, $\beta = 46° 0'$,
$H_b = 276.2^m$, $G = -0.01\ ^{m}/_{m}$.

Lugano

Januar 1939.
Beobachter: *G. Vicari.*

Tag	Lufttemperatur					Luftdruck			Relative Feuchtigkeit			Windrichtung und Stärke			Bewölkung			Niederschlag	Witterung
	7^{30}	13^{30}	21^{30}	Mittel	Abweich. vom Normalst	7^{30}	13^{30}	21^{30}	7^{30}	13^{30}	21^{30}	7^{30}	13^{30}	21^{30}	7^{30}	13^{30}	21^{30}		
1	−0.2	6.0	−1.0	1.6	−0.1	734.6	734.3	735.8	81	48	82	N 1	SSE 1	N 1	10	0	8	.	
2	1.0	2.0	0.8	1.3	−0.3	734.7	733.4	732.4	84	81	97	W 1	E 0	N 1	10	10	10*	1.8	● ✳ 10, 18-n
3	0.6	3.2	5.0	2.9	1.3	729.8	729.3	731.8	94	72	28	N 1	NNE 1	NE 1	10	2	0	.	
4	−1.6	4.4	−1.8	0.3	−1.3	735.1	735.4	736.5	54	48	68	N 1	SW 0	N 1	0	0	0	.	
5	−1.0	2.4	−1.4	0.0	−1.6	734.2	732.5	732.7	71	63	90	N 1	SE 1	NNE 1	10	10	0	.	
6	4.0	4.8	2.0	3.6	2.1	733.7	735.4	737.3	28	27	32	NNE 3	NNE 3	NNE 2	0	0	0	.	⊠
7	2.0	5.4	−1.2	2.1	0.6	741.0	741.2	744.0	29	34	61	NNE 2	SSE 1	N 1	0	5	0	.	
8	−3.4	2.8	−2.4	−1.0	−2.5	**745.1**	744.3	744.4	68	58	85	N 1	S 0	N 1	0	0	0	.	
9	**−4.4**	3.6	−1.4	−0.7	−2.2	743.1	740.8	742.0	93	74	85	N 1	SE 1	N 1	1	0	0	.	
10	−3.0	4.2	2.6	1.3	−0.2	742.0	740.1	739.7	88	61	88	N 1	S 1	N 1	0	10	10	0.1	
11	1.6	1.0	0.8	1.1	−0.3	738.2	736.7	737.4	97	97	99	NNE 0	SE 0	N 0	10●	10*	10●	14.5	● 5-7½, ● ✳ 7½-n
12	1.0	1.0	0.2	0.7	−0.7	734.7	731.8	730.7	98	96	98	N 0	N 1	N 1	10●	10●	10*●	41.5	● ✳ n-n
13	1.0	4.4	0.0	1.8	0.4	730.7	732.7	736.9	95	74	78	NW 1	S 1	N 1	0	0	0	.	⊠
14	1.8	5.8	1.6	3.1	1.7	739.4	739.4	741.2	74	58	84	N 1	E 0	NE 1	10	0	0	.	
15	1.8	5.2	2.8	3.3	1.9	742.5	742.9	743.4	79	57	78	N 1	S 0	N 0	10	10	10	3.1	● 22½-n
16	2.6	3.6	2.8	3.0	1.5	741.3	740.9	740.4	95	94	98	N 1	NNE 1	NNE 1	10●	10●≡	10●≡	13.1	● n-n, ≡ a-n
17	3.0	4.2	3.2	3.5	2.0	739.5	739.3	738.1	94	95	99	N 1	NNW 0	N 1	10●	10●≡	10●≡	15.1	● n-n, ≡ a-n ⊠
18	3.8	4.2	3.8	3.9	2.4	735.5	733.8	733.8	97	96	98	N 1	W 1	NNW 1	10●≡	10●≡	10●≡	**51.0**	● n-n, ≡ n-n ⊠
19	4.4	5.0	4.0	4.5	3.0	735.0	736.5	738.7	96	96	97	NNW 1	NW 1	NE 1	10●	10●	1	14.7	● n-14½
20	4.4	8.0	5.4	5.9	4.3	738.9	738.5	738.4	97	91	97	NW 1	W 1	ENE 1	7	10	7	4.4	
21	5.2	5.8	6.0	5.7	4.1	736.4	735.2	734.5	99	99	99	N 1	ESE 0	NNE 1	10●	10≡	10≡	8.2	● n-12½, 15½-20½ m.U.,
22	5.2	8.2	6.2	6.5	4.9	736.6	737.3	736.7	98	76	96	N 1	SE 0	S 0	10	7	10	6.1	{≡ 7½-21 m.U.
23	5.2	6.6	2.2	4.7	3.1	730.4	727.2	727.0	98	82	88	N 1	W 1	N 1	10	9	0	.	● n-6½
24	2.2	**12.4**	7.6	7.4	5.7	728.7	730.9	734.4	76	**26**	28	E 1	NNE 2	NNE 3	0	0	0	.	
25	1.8	6.8	4.2	4.3	2.6	732.0	729.9	728.9	55	46	75	N 1	SSE 0	N 1	10	8	10	4.9	
26	1.2	1.0	0.8	1.0	−0.7	725.1	722.8	721.3	99	98	99	N 1	NNW 0	NNW 1	10*●	10*	10●	17.2	● ✳ n-n ⊠
27	−2.4	6.6	2.8	2.3	0.5	**719.8**	720.2	725.9	82	35	40	N 1	ENE 2	NNE 2	0	5	0	.	
28	−0.6	7.0	0.8	2.4	0.6	730.9	732.9	736.3	62	35	70	N 1	SE 0	NE 1	0	0	0	.	
29	1.0	4.8	2.8	2.9	1.0	737.4	736.9	737.0	72	53	72	N 1	S 1	NNE 1	10	10	10	.	
30	0.2	6.8	1.6	2.9	1.0	735.9	735.3	735.3	84	56	82	N 1	SE 1	N 1	5	2	0	.	
31	−0.4	7.2	1.6	2.8	0.8	733.8	734.0	736.4	88	56	91	N 1	S 1	N 1	0	0	0	.	
																		Summe	
Mittel	1.2	5.0	2.0	2.7	—	735.3	734.9	735.8	81	67	80				6.2	5.7	5.7	195.7	

$\lambda = 7° 35'$, $\beta = 47° 33'$,
$H_b = 318^m$, $G = 0.11\ ^{m}/_{m}$.

Basel

Januar 1939.
Beobachter: *Astronom.-Meteorol. Anstalt.*

1	0.8	3.4	5.8	3.3	3.8	730.0	727.5	725.0	94	85	63	E 1	ENE 1	SSW 1	10●	10	7	1.1	● 7½, ∽ 1, ω 22 ⊠
2	6.2	4.8	3.4	4.8	5.3	725.0	723.9	724.7	64	81	87	SW 1	E 1	S 1	10	10	10	3.1	● 2¼-11¼, 20¼-23¼ m.U. ⊠
3	2.5	3.9	1.1	2.5	3.1	727.8	729.7	732.3	70	65	81	SW 1	WSW 2	WSW 1	9	8	7	0.3	△ 4¾, ✳ 9-9½, ● 9¼-⊠
4	−1.6	4.0	0.2	0.9	1.5	732.8	729.9	726.7	92	58	78	S 1	ESE 1	E 1	2	0	10	.	[9¾, ∽ 1
5	1.5	3.7	1.4	2.2	2.8	724.5	727.4	731.1	76	80	87	E 1	WSW 1	WSW 2	10	10	10	1.0	● 9¼-10½, 14-14½
6	−2.1	3.4	−0.9	0.1	0.7	735.5	736.5	739.8	94	**50**	94	WNW 1	WNW 1	SW 1	1	9	10	.	⊏° 1, ∽ 1
7	**−5.2**	−1.0	−1.2	−2.5	−1.9	742.3	742.4	742.3	89	71	68	SSE 1	E 1	ESE 1	0	9	10	.	⊏° 1
8	−0.8	3.2	1.3	1.2	1.8	**742.7**	742.5	741.5	75	70	90	ESE 1	SSE 0	S 1	10	10	10	.	⊏ 1
9	−1.4	3.4	−1.8	0.1	0.7	738.4	736.2	736.7	96	63	94	ESE 1	ESE 1	SE 1	1	1	0	.	⊏ ⊏ [
10	−2.0	3.2	−0.1	0.4	1.0	736.1	734.1	732.5	98	61	94	ESE 1	E 1	ESE 1	7	4	9	.	⊏ 1
11	1.2	4.1	2.2	2.5	3.1	729.9	727.6	726.2	82	59	75	ENE 1	ESE 1	E 1	10	6	2	0.1	
12	2.6	3.7	2.3	2.9	3.5	723.3	723.2	727.9	75	78	91	ENE 1	SW 0	SSE 1	10	10●	10	1.6	● 0¼, 4½, 13½-16½, 18¼
13	1.6	7.4	2.2	3.7	4.3	728.6	730.4	730.6	87	55	77	E 0	WSW 1	E 1	10	10	10	0.1	△ ● 8¼-8½, 14, ⌐ 12½,
14	2.1	8.3	4.6	5.0	5.6	729.8	730.6	731.8	84	65	78	ESE 1	ENE 1	ESE 1	10	10	5	.	[⌒ 14¼
15	4.4	8.2	5.8	6.1	6.6	731.0	730.8	730.0	76	65	70	E 1	ENE 1	ESE 1	9	10	1	0.4	
16	5.6	9.0	7.9	7.5	8.0	728.6	726.2	727.1	75	65	82	ESE 1	NE 1	SSW 1	10●	10	10	6.3	● 6¾-7¾, 14¼, 21¾-n
17	**10.7**	9.9	10.2	10.3	10.8	728.1	726.9	723.6	79	88	79	SE 1	ENE 1	ESE 1	10	10	10	1.4	● n-1¼, 12¾-13¾, 21¾-23¼ m.U.
18	7.5	7.8	6.8	7.4	7.9	723.3	724.2	727.1	90	92	85	E 1	E 1	E 1	10	10	10	**14.0**	● 6½-6¾, 13-19¼
19	5.5	10.6	6.8	7.6	8.0	730.8	733.1	735.5	93	58	85	E 1	WSW 1	E 1	10	9	10	0.1	● 8½-9¾, 22¾
20	2.8	6.8	4.5	4.7	5.1	733.9	732.5	730.7	94	84	86	E 1	ENE 1	E 1	4	10	0	3.4	● 12¾-13¼
21	4.2	10.5	7.6	7.4	7.8	729.3	725.9	724.9	93	64	80	E 1	SSE 1	ESE 1	10	10	10	3.9	● 0-8¾, 15¾-21 zeitw.
22	8.3	10.4	7.4	8.7	9.0	729.1	731.4	730.4	81	82	69	S 1	SSW 1	WSW 1	9	10●	10	10.4	● 8¼-8¾, 12¼-15 m.U., 22¾-n
23	5.1	7.3	5.5	6.0	6.3	725.4	724.1	725.5	85	59	82	W 1	WSW 2	WSW 2	10	10	10	0.8	● n-7½ zeitw., 18¼-18½
24	4.8	5.5	3.0	4.4	4.6	731.3	733.8	734.8	78	67	87	W 2	W 1	WSW 1	10	9	10	.	● 0¼, 4¼
25	1.0	4.3	3.1	2.8	3.0	728.6	723.4	718.8	96	63	68	E 1	E 1	E 1	10	9	9	1.8	
26	2.2	4.4	0.2	2.3	2.4	719.6	**718.5**	718.7	70	59	89	WSW 1	E 1	ESE 1	10	9	1	.	● 2½-2¾, 3¾-4½, ⊕ 14
27	−3.2	1.9	1.6	−0.2	−0.1	719.5	722.6	726.8	96	80	71	NNW 1	WNW 1	WSW 1	10	10	10	.	✳ 11¾, ≡ 7¾-10, ⊔ ⋁ 1,
28	−2.8	4.3	−1.2	0.1	0.1	729.3	729.2	730.3	87	51	88	E 1	NE 1	ENE 1	1	5	1	.	⊏ ⊏ 1, ω 23 [⊕ 12½
29	−3.8	3.0	0.3	−0.2	−0.3	730.6	730.4	731.9	95	59	70	WNW 1	ESE 1	ENE 1	10	1	0	.	⊏ ⊏ 1
30	0.1	0.9	0.3	0.4	0.3	732.4	731.8	732.2	75	73	74	ENE 1	ESE 1	ENE 1	10	9	10	.	⊏ 1
31	0.5	0.8	1.0	0.8	0.6	733.1	733.0	733.5	71	68	66	ENE 1	ESE 1	E 1	10	2	10	.	
																		Summe	
Mittel	1.9	5.2	2.9	3.3	—	730.0	729.7	730.0	84	68	80				8.2	8.1	7.5	49.8	

Januar 1939.
Beobachter: *Observatorium.*

Säntis

$\lambda = 9° 20'$, $\beta = 47° 15'$.
$H_b = 2500.1^m$. $G = -0.27\,^m/_m$.

Tag	Lufttemperatur					Luftdruck			Relative Feuchtigkeit			Windrichtung und Stärke			Bewölkung			Niederschlag	Witterung
	7³⁰	13³⁰	21³⁰	Mittel	Abweich. vom Normalst.	7³⁰	13³⁰	21³⁰	7³⁰	13³⁰	21³⁰	7³⁰	13³⁰	21³⁰	7³⁰	13³⁰	21³⁰		
1	-11.4	-7.0	-7.6	-8.7	-0.6	554.0	553.3	553.6	90	92	88	WNW 3	W 3	WSW 3	10≡*	10≡	3	5.7	✳ n-12, ≡ ⊹ n-1⅝, ⋁ 1, ☄ a, p
2	-8.0	-6.2	-8.6	-7.6	0.6	552.7	552.1	551.3	91	84	94	WSW 2	SW 2	SW 2	10≡*	10	10≡*	4.7	✳ ≡ 7¼-11 m.U., 20-n, ≡ 14-16
3	-12.6	-13.3	-14.7	-13.5	-5.3	550.6	551.5	552.8	93	91	93	W 2	W 2	WSW 2	10≡*	10≡*	10≡*	12.2	✳ ⊹ ≡ n-n, ⋁ 1 [m.U.
4	-14.8	-13.8	-11.0	-12.9	-4.7	553.8	553.9	553.6	93	82	58	W 3	SW 3	SSW 2	10≡*	1	4	0.5	✳ n-9, ≡ n-10¼, ⊹ a, ⋁ 1,
5	-11.0	-10.0	-13.8	-11.6	-3.3	551.1	551.1	552.0	68	92	87	SW 1	WNW 4	W 3	3	10≡*	10≡*	22.5	✳ 12¼-n, ≡ ⊹ 13-n [Ω III
6	-16.6	-16.6	-17.0	-16.7	-8.4	554.9	555.6	557.3	87	78	84	WNW 1	NW 2	NW 1	10≡	8	10≡*	6.6	✳ 14⅜-n m.U., ≡ n-8½, 12-n
7	**-17.6**	-16.4	-11.6	-15.2	-6.9	559.4	560.8	563.2	84	43	36	WNW 1	NNW 2	WSW 3	10≡	3	10	8.4	≡ n-9 [m.U.
8	-5.2	-3.6	-4.2	-4.3	4.1	565.4	565.7	**566.2**	96	93	44	WSW 2	SSW 2	W 3	10≡*	3	2	.	✳ n-8, ≡ n-11⅛ m.U.
9	-1.4	**0.4**	0.0	-0.3	8.1	565.2	564.3	563.5	25	23	**22**	W 4	W 4	W 3	1	3	0	.	☄ n-n
10	-4.8	-2.4	-4.2	-3.8	4.6	561.4	560.5	559.2	63	32	41	WSW 5	W 3	W 2	8	9	10	.	☄ 1
11	-7.2	-4.0	-6.6	-5.9	2.5	556.9	555.7	554.7	86	63	65	SW 2	SW 2	S 2	10	10	2	.	
12	-5.2	-4.4	-9.8	-6.5	2.0	552.7	551.4	552.2	60	68	93	SW 4	SSW 3	WSW 3	10	10	10≡*	6.4	✳ ≡ 17½-n
13	-11.4	-10.5	-11.4	-11.1	-2.6	553.1	553.7	555.8	90	88	68	W 3	WSW 3	WSW 4	10	10≡*	0	2.3	✳ 12¼-14 m.U., ⊹ ≡ 10-17 m.U.
14	-7.8	-5.8	-4.1	-5.9	2.6	556.7	557.7	559.2	62	92	60	SW 2	WSW 5	WSW 3	3	10	3	.	✳ 11⅜-12, ⊹ 11-16
15	-1.2	-1.2	0.3	-0.7	7.9	560.7	561.3	560.7	55	85	47	WSW 3	W 4	SW 3	10	10	3	.	
16	-1.0	-0.4	-1.6	-1.0	7.6	559.3	558.6	558.4	62	60	69	SSW 2	SW 4	SW 3	10	10	3	1.9	✳ 16-16¼
17	-2.2	0.3	0.0	-0.6	8.0	559.0	558.7	557.6	100	67	66	WSW 3	SW 3	SW 4	10	3	9	.	✳° n-8 m.U.
18	-1.0	-0.4	-3.6	-1.7	7.0	555.6	555.4	555.4	69	62	98	SW 4	SW 4	S 3	10	10	10	0.8	≡ 20-n zeitw.
19	-5.2	-5.4	-7.1	-5.9	2.8	557.5	559.0	560.8	98	96	96	SW 1	W 2	W 2	10≡*	10≡*	8	3.2	✳° n-16 m.U., ≡ n-20½
20	-7.0	-5.4	-5.6	-6.0	2.7	559.4	559.5	558.6	84	78	78	SSW 2	WSW 2	SW 2	3	9	8	1.2	≡ ✳ 16-18
21	-6.2	-4.8	-5.0	-5.3	3.5	556.9	555.0	554.7	83	72	95	SW 3	SSW 3	SW 2	10	4	10	1.9	✳ ≡ 17⅞-20½
22	-4.8	-4.0	-5.2	-4.7	4.1	557.0	558.4	557.1	98	98	97	WSW 3	WSW 3	SW 3	10≡	10≡*	10	7.5	✳ 12½-19⅞, ≡ n-20⅝
23	-7.2	-9.4	-9.3	-8.6	0.2	551.7	550.4	550.7	93	94	90	WSW 2	WSW 3	WSW 3	10≡*	10≡	10■*	**31.2**	✳ n-8½, 21-n, ✳ ⊹ n-n
24	-9.4	-10.8	-12.2	-10.8	-2.0	554.1	555.7	556.5	90	92	90	W 1	W 2	WSW 2	10≡*	10≡*	10≡*	26.6	✳ ≡ n-n [m.U.
25	-13.0	-11.2	-11.2	-11.6	-2.7	552.3	549.5	547.9	89	74	68	ESE 1	SSW 3	SW 2	10	8	3	0.9	⊕ 10½
26	-10.6	-11.8	-14.1	-12.2	-3.3	546.1	545.4	545.3	90	86	85	SSW 2	NE 1	WNW 1	10	10≡*	10■*	6.1	≡ ✳ 8-n, ⊹ 10-12
27	-14.0	-14.0	-14.8	-14.3	-5.4	**543.8**	545.4	548.4	85	84	85	NW 1	WSW 1	WSW 3	10≡	10≡*	10≡*	5.0	✳ 8-n, ⊹ 14-n, ≡ n-n
28	-14.8	-11.8	-11.6	-12.7	-3.7	551.2	552.1	553.9	76	61	37	SW 1	S 3	SSW 2	1	7	1	.	
29	-7.2	-5.0	-6.3	-6.2	2.8	555.1	555.1	556.6	55	70	65	SW 1	S 3	WSW 3	10	3	0	.	
30	-3.8	-3.2	-3.2	-3.4	5.6	557.1	556.6	556.3	49	51	50	NE 2	E 2	ENE 2	3	4	0	.	
31	-5.2	-3.2	-3.7	-4.0	5.1	556.2	556.9	557.5	52	37	42	E 3	NE 3	ENE 3	1	1	0	.	
																		Summe	
Mittel	-8.0	-6.9	-7.7	-7.5	—	555.5	555.5	555.8	78	74	71				8.2	7.6	6.1	155.6	

Januar 1939.
Beobachter: Frl. *F. Lombardi.*

St. Gotthard (Hospiz)

$\lambda = 8° 34'$, $\beta = 46° 33'$,
$H_b = 2095.7^m$. $G = -0.25\,^m/_m$.

1	-6.2	-4.7	-8.0	-6.3	0.7	584.9	585.1	584.9	90	89	94	N 1	S 1	S 0	10	10≡	5	0.6	≡ 13-17
2	-7.6	-6.8	-6.4	-6.9	0.2	583.6	583.6	581.9	84	84	88	SE 1	SE 1	SE 1	10	10	10*≡	2.5	✳° 15-n zeitw., ≡ 17-n
3	-9.0	-10.0	-13.2	-10.7	-3.6	581.2	581.9	583.2	73	74	86	SE 1	N 2	N 3	10■	10≈	10■	9.0	✳ ☄ 16¼-n, ≡ ⊹ n-n
4	-12.6	-9.2	-12.0	-11.3	-4.2	584.5	585.0	584.6	85	83	78	N 1	N 0	N 0	0	0	0	.	
5	-12.2	-10.0	-11.0	-11.1	-4.0	582.4	581.8	582.3	85	74	84	S 1	S 1	N 0	10	5	5	12.8	
6	-13.2	-12.0	-14.2	-13.1	-6.0	584.7	585.5	586.7	85	76	84	NE 3	N 2	N 3	5	0	10≡	8.6	≡ 20-n
7	-15.2	-14.6	-14.0	-14.6	-7.4	589.8	590.8	592.0	72	72	72	N 2	N 2	N 2	5	0	0	2.5	
8	-14.2	-3.0	-5.4	-7.5	-0.3	593.8	595.2	**595.6**	85	62	68	N 2	N 1	N 1	10≡	0	0	.	≡ n-8¾
9	-5.0	**0.4**	-2.7	-2.4	4.8	585.2	594.2	593.4	55	53	**45**	N 1	N 0	N 0	0	0	0	.	
10	-5.0	-1.2	-5.6	-3.9	3.3	591.7	591.1	589.7	53	80	88	SE 0	SE 1	SE 1	0	2	10≡	.	≡ 20-n
11	-5.2	-4.0	-4.8	-4.7	2.5	587.4	586.0	586.0	75	80	81	SE 1	SE 1	SE 1	10≡	10*≡	10*≡	6.0	✳ 9¼-n, ≡ n-n, ⊹ ztw.
12	-5.4	-3.4	-4.0	-4.3	2.9	584.0	583.2	581.6	80	80	80	SE 1	SE 2	SE 2	10≡	10*≡	10*≡	**33.3**	✳ ⊹ 8¾-n, ≡ n-n
13	-8.8	-6.2	-9.7	-8.2	-0.9	583.8	584.6	586.8	71	60	60	N 1	N 0	N 1	0	2	0	.	
14	-8.0	-6.3	-8.2	-7.5	-0.2	588.4	589.3	590.7	62	58	61	N 1	S 1	S 1	5	5	0	.	
15	-5.4	-3.3	-4.0	-4.2	3.1	592.3	592.6	592.6	75	74	76	S 1	S 1	S 3	5	10≡	10≡	2.2	≡ 20-n
16	-1.8	-0.3	-1.2	-1.1	6.2	591.0	590.8	590.6	84	81	90	S 1	S 1	S 2	10*≡	10*≡	10*≡	9.8	✳ ≡ n-n, ⊹ zeitw.
17	-2.0	0.0	-0.8	-0.9	6.4	590.2	590.2	589.7	89	85	92	S 2	S 2	S 2	10	10≡	10*≡	11.8	✳ ⊹ 14-n, ≡ 11-n
18	-1.0	-0.4	-1.2	-0.9	6.4	586.9	586.1	585.3	90	86	90	S 1	S 1	S 1	10*≡	10*≡	10*≡	31.0	✳ ⊹ ≡ n-n
19	-2.2	-2.4	-3.2	-2.6	4.8	587.3	588.4	590.4	83	84	81	S 1	NW 1	NW 1	10≡	10*≡	10*≡	13.0	✳° 9-n zeitw., ≡ n-n
20	-4.2	-1.6	-3.4	-3.1	4.3	590.1	590.1	589.5	80	87	84	SE 0	SE 0	SE 1	5	10≡	10≡	3.0	≡ 10½-n
21	-3.4	-2.5	-3.8	-3.2	4.2	587.1	586.3	585.5	81	88	84	SE 1	SE 1	SE 1	5≡	10≡	10≡	4.9	≡ n-n
22	-2.8	-1.0	-3.0	-2.3	5.1	588.1	588.7	588.9	90	85	92	SE 1	SE 0	SE 0	10≡	5	7	4.8	≡ n-9¼
23	-3.0	-4.3	-6.8	-4.7	2.7	581.5	580.6	580.0	94	81	72	SE 0	NE 1	NE 3	10*≡	5	5	27.0	✳ ≡ n-9, ☄ 19½-n
24	-6.5	-7.2	-8.4	-7.4	0.0	583.4	584.9	586.6	85	85	88	NE 3	N 3	N 3	10	10	10	8.0	
25	-9.8	-7.1	-10.2	-9.0	-1.6	582.6	581.1	580.0	74	71	85	N 0	S 2	S 2	10	5	10≡	2.8	≡ 17-n
26	-8.8	-5.0	-10.0	-7.9	-0.4	575.4	575.0	573.8	88	85	90	S 2	S 2	N 3	10*	10*≡	10≡	28.0	✳ ⊹ n-n, ≡ 10-n, ☄ 18-n
27	-14.2	-11.8	-12.9	-13.0	-5.5	**573.0**	574.3	577.4	88	80	90	N 1	N 3	N 4	0	10■	10■	9.0	✳ ☄ 11½-n, ≡ 10-n
28	**-16.2**	-8.8	-11.6	-12.2	-4.7	581.6	582.8	585.0	85	77	66	N 2	E 1	SE 1	0	0	0	.	
29	-9.2	-7.4	-7.7	-8.1	-0.6	586.2	586.6	587.2	70	74	76	SE 1	SE 1	SE 1	8	8	5	.	
30	-7.2	-2.6	-8.0	-5.9	1.6	586.7	586.6	586.1	60	64	69	S 1	S 1	S 1	2	5	0	.	
31	-7.4	-2.2	-4.0	-4.5	3.0	585.3	585.8	587.6	55	**45**	**45**	N 0	N 1	N 0	0	0	0	.	
																		Summe	
Mittel	-7.5	-5.1	-7.1	-6.6	—	585.9	586.1	586.3	78	76	79				6.5	6.2	6.4	230.6	

$\lambda = 7^\circ 26'$, $\beta = 46^\circ 57'$,
$H_b = 572.2^m$, $G = 0.00\ ^m/_m$.

Bern

Februar 1939.
Beobachter: *Tellur. Observatorium.*

Tag	Lufttemperatur					Luftdruck			Relative Feuchtigkeit			Windrichtung und Stärke			Bewölkung			Niederschlag	Witterung
	7^{30}	13^{30}	21^{30}	Mittel	Abweich. vom Normalst	7^{30}	13^{30}	21^{30}	7^{30}	13^{30}	21^{30}	7^{30}	13^{30}	21^{30}	7^{30}	13^{30}	21^{30}		
1	−3.0	−1.8	−2.6	−2.5	−1.5	709.3	709.5	708.2	85	80	84	NE 0	NE 0	NE 0	10	10	10	.	✱
2	−3.7	−2.7	−3.2	−3.2	−2.2	711.4	712.2	713.9	89	84	86	NE 1	WSW 0	NE 0	10	10	10	.	
3	−5.0	−2.7	−5.9	−4.5	−3.6	716.6	718.3	719.5	93	84	90	SW 0	W 0	W 0	10	9	0	.	
4	−8.4	−2.9	−5.5	−5.6	−4.8	721.5	722.3	722.7	95	85	96	SW 0	E 0	NW 0	10≡	0	10≡	.	≡ n–11¾, 17⅝–n, ⌴ l
5	−10.3	0.0	−3.7	−4.7	−4.0	722.0	721.1	720.7	95	70	94	SW 0	NE 0	N 0	6	7	5	.	⌴ l
6	−7.5	−1.0	−5.1	−4.5	−3.9	720.4	720.2	721.0	96	72	95	W 0	NE 0	NW 0	10≡	0	2	.	≡ n–10, ⌴ l
7	−8.5	0.4	−4.0	−4.0	−3.4	721.9	722.2	723.0	97	75	95	W 0	NE 0	W 0	10≡	0	0	.	≡ n–8¾
8	−8.0	1.2	−3.3	−3.4	−2.9	723.2	722.9	721.9	97	72	92	NW 0	NE 0	W 0	0	0	0	.	
9	−7.2	4.1	3.5	0.1	0.5	721.4	721.6	723.9	95	60	67	W 0	SW 1	N 0	9	7	10	.	⌴ l
10	4.0	**10.6**	3.3	6.0	6.3	724.6	725.0	**725.1**	85	57	88	E 0	SE 0	SE 0	10	9	0	.	
11	−0.9	6.6	2.2	2.6	2.8	724.9	723.7	722.4	95	75	90	S 0	NNE 1	S 0	1	0	0	.	⌴ l
12	1.4	5.6	2.1	3.0	3.1	721.5	720.8	718.1	94	74	95	S 0	W 0	SE 0	10	5	0	.	
13	4.1	3.7	0.9	2.9	2.9	713.2	711.7	713.2	65	90	97	WSW 2	SW 1	SW 0	9	10	10	2.2	● 12¹/₄–18¾, ✳ 20¹/₄
14	−0.6	1.2	−1.0	−0.1	−0.2	714.8	718.2	720.8	97	55	58	SE 0	ENE 2	E 1	10≡	1	0	.	●° ✳ᵛ 6⅝, ≡ n–8¹/₄ ✱
15	−5.5	1.3	−2.0	−2.1	−2.3	721.2	720.6	720.5	85	53	73	S 0	NE 0	SE 0	9	0	0	.	
16	−5.0	4.3	−0.6	−0.4	−0.7	719.6	718.1	716.2	88	**42**	75	S 0	W 0	N 0	0	0	0	.	
17	−2.0	4.3	0.8	1.0	0.6	713.8	711.9	711.3	77	53	97	S 0	SW 0	SW 0	7	10	10	0.1	● 18¹/₄–20, ✳ 20–20⅝
18	0.8	5.0	3.3	3.0	2.5	710.2	710.0	711.9	97	65	77	SE 0	W 2	W 1	10	9	10	.	
19	1.7	5.5	2.6	3.3	2.7	712.5	713.7	714.5	94	50	89	E 0	SW 1	SW 1	10	7	10●	1.2	● 19–22¹/₄ m.U.
20	1.8	6.6	1.6	3.3	2.6	714.5	713.9	714.7	97	57	89	W 0	N 1	N 1	10	10	10	0.7	● 15¹/₄–17⅝ m.U., ✳ 20⅝–[21¹/₄
21	0.0	1.7	0.9	0.9	0.1	714.0	712.5	711.1	85	65	72	NE 1	ENE 2	NE 1	10	5	10	.	
22	−3.8	2.5	1.0	−0.1	−1.0	708.2	706.1	704.0	95	60	80	NE 0	S 0	S 0	9	5	9	.	⌴ l
23	−0.4	6.8	4.2	3.5	2.5	702.1	701.4	699.7	81	57	80	SE 1	SW 0	NE 0	9	8	10	.	
24	0.6	9.5	5.5	5.2	4.1	**699.6**	701.1	706.6	93	55	73	W 0	NW 1	NE 0	5	9	1	.	
25	2.9	8.5	5.0	5.5	4.3	712.3	713.4	713.7	88	61	80	SW 0	W 1	SW 0	10	6	8	0.5	
26	4.3	9.7	7.6	7.2	5.8	712.6	711.4	710.8	97	80	91	S 0	NW 1	NE 0	10●	10	10	**6.4**	● 6⅝–7¹/₂, 18–n m.U.
27	4.3	7.5	2.0	4.6	3.1	712.9	713.5	711.9	94	60	85	SW 1	S 1	SE 1	9	9	1	.	● n–3¹/₂
28	−1.5	4.5	3.2	2.1	0.5	707.7	706.0	703.5	95	66	78	NW 0	W 1	S 1	10	5	3	5.5	● 23¹/₄–n, ≡ 7⅝–9¹/₄, ⌴ l
Mittel	−2.0	3.6	0.4	0.7	—	715.3	715.1	715.2	91	66	85				8.3	5.7	5.3	Summe 10.6	

$\lambda = 6^\circ 57'$, $\beta = 47^\circ 0'$,
$H_b = 487.3^m$, $G = 0.02\ ^m/_m$.

Neuchâtel

Februar 1939.
Beobachter: *Observatorium.*

1	−2.3	−1.5	−2.3	−2.0	−2.1	717.8	718.0	718.8	88	82	87	E 1	SE 0	SE 1	10	10	10	.	✱
2	−3.5	−3.1	−3.8	−3.5	−3.6	719.8	720.7	722.8	91	92	91	N 1	E 1	E 1	10	10	10	.	✱
3	−4.0	−2.7	−4.1	−3.6	−3.8	725.0	726.5	728.0	95	85	95	E 1	E 1	W 1	10	10	10	.	✱
4	−3.5	−2.4	−2.5	−2.8	−3.1	729.8	730.9	731.2	95	94	100	W 0	SW 1	NE 1	10	10	10	.	✱ ≡ seit 8
5	**−4.3**	−1.9	−2.2	−2.8	−3.1	730.4	729.8	729.2	100	96	100	SE 1	S 1	S 0	10≡	10	10	.	✱ ≡ a
6	−3.4	−2.6	−3.0	−3.0	−3.4	728.8	729.0	729.6	100	100	100	NE 0	SE 0	SE 0	10≡	10≡	10≡	.	✱ ≡ n–n, ⋁ l
7	−3.1	−2.3	−2.4	−2.6	−3.1	730.4	730.7	731.7	100	96	100	SW 0	SW 1	SW 0	10≡	10≡	10≡	.	✱ ≡ n–n, ⋁ l
8	−3.8	−1.7	−2.5	−2.7	−3.2	732.1	731.7	730.4	97	94	100	W 0	W 0	W 0	10≡	10≡	10≡	.	✱ ≡ a m.U., p, ⋁ l
9	−3.1	−0.3	4.4	0.3	−0.3	729.8	730.4	732.5	100	91	89	NW 1	SW 1	SW 2	10≡	10	10	1.4	✱ ≡ a, ⋁ l, ● seit 17¹/₄
10	5.1	9.2	3.6	6.0	5.3	732.8	733.2	**733.8**	84	65	90	SW 1	W 2	NE 0	10	9	0	.	
11	0.2	7.9	2.4	3.5	2.7	**733.3**	732.1	730.5	98	76	95	NE 0	SE 1	E 0	10≡	0	0	.	≡ n–10 m.U., ⌴ fr
12	0.9	6.7	3.8	3.8	3.0	729.6	728.9	726.3	100	73	89	SE 0	SW 2	SW 1	10	3	0	.	● 7⅝–mtgs. m.U., ✳ 19¹/₂
13	4.8	4.1	1.0	3.3	2.4	721.7	720.1	721.4	70	77	96	SW 3	SW 1	NE 1	10	10	10	2.2	✳° 8¹/₄, 8⅝
14	0.2	3.3	−1.0	0.8	−0.2	723.2	726.4	729.4	93	47	68	NE 1	E 4	E 3	9	0	0	0.1	
15	−3.9	2.8	−0.2	−0.4	−1.5	729.9	728.8	728.7	69	60	55	NE 1	SE 1	E 0	1	0	0	.	
16	−4.0	4.5	0.0	0.2	−1.0	727.9	726.4	724.6	76	53	78	E 0	E 1	W 1	0	0	0	.	⌴ fr.
17	−0.2	2.6	1.4	1.3	0.1	722.1	720.3	719.5	89	74	96	E 0	E 1	SW 1	10	10	10●	**7.4**	● 15¹/₂–n, ✳ abds. zeitw.
18	0.3	4.7	4.3	3.1	1.8	718.2	718.3	720.1	93	74	81	W 1	SW 2	W 1	8	10	10	0.3	●tr. 16–n
19	3.0	5.5	4.0	4.2	2.8	721.0	722.4	722.6	61	52	77	NE 3	SW 1	SW 1	8	10	10●	0.6	● 16⅝–n
20	3.3	5.8	1.8	3.6	2.1	722.9	722.2	723.2	82	74	89	W 0	NW 1	NW 1	10	10	10	.	●tr. seit 15¹/₄
21	0.4	5.0	0.4	1.9	0.3	722.5	720.9	719.3	79	56	68	NE 1	E 3	E 2	8	2	0	.	
22	−3.4	3.4	1.4	0.5	−1.2	716.6	714.4	711.8	87	61	77	NE 1	S 1	SW 1	0	2	10	0.2	⌴ fr., ⊕ 14¹/₂
23	0.8	7.5	4.8	4.4	2.6	700.4	708.2	716.9	93	74	78	SW 1	S 1	NW 1	10●	9	10	1.3	● 7¹/₂–10, ●tr. p zeitw.
24	1.0	6.5	6.4	4.6	2.7	**706.7**	708.5	714.8	89	69	67	W 0	SW 1	E 1	7	10	10	.	
25	3.4	**10.9**	6.5	6.9	4.9	720.4	721.7	722.0	92	57	70	E 0	SW 1	W 1	10	2	7	.	
26	5.5	6.9	7.6	6.7	4.6	720.5	719.5	718.6	83	89	78	SW 1	S 1	NW 1	10	10	10●	3.3	● a m.U., 17¹/₂–n
27	4.1	9.7	3.4	5.7	3.5	721.3	721.5	720.1	73	**40**	68	W 1	NE 2	NE 1	4	3	0	.	
28	−0.6	3.3	4.9	2.5	0.2	716.1	714.5	711.3	92	77	80	E 0	S 1	W 1	10	8	8	2.3	● ⸗ 22¹/₂–n, ⌴ fr.
Mittel	−0.4	3.3	1.4	1.4	—	723.6	723.4	723.5	88	74	84				8.4	7.1	7.0	Summe 19.1	

Februar 1930. Beobachter: Frl. *H. Nager.*

Altdorf

$\lambda = 8° 39'$, $\beta = 46° 53'$, $H_b = 456.3^m$, $G = -0.05$ ‰.

Tag	Lufttemperatur 7³⁰	13³⁰	21³⁰	Mittel	Abweich. vom Normalst.	Luftdruck 7³⁰	13³⁰	21³⁰	Relative Feuchtigkeit 7³⁰	13³⁰	21³⁰	Windrichtung und Stärke 7³⁰	13³⁰	21³⁰	Bewölkung 7³⁰	13³⁰	21³⁰	Niederschlag	Witterung
1	−2.2	0.8	−1.2	−0.9	−1.7	721.8	720.4	721.7	75	60	75	E 0	S 0	SE 0	10	10	10	.	⊠
2	−2.3	0.1	−1.7	−1.3	−2.2	722.7	723.2	725.4	76	63	73	E 0	E 0	E 0	10	10	10	.	⊠
3	−3.2	0.8	−4.4	−2.3	−3.3	728.1	729.3	731.0	78	63	87	E 0–1	E 0	SE 0	10	10≡	0	.	≡ II ⊠
4	−4.3	−0.2	−4.0	−2.8	−3.8	732.7	733.8	734.1	96	81	91	E 0	NW 0	NW 0	10≡	4	0	.	≡ I ⊠
5	−3.6	1.3	−1.8	−1.4	−2.5	733.6	732.8	732.1	98	76	95	SE 0	NW 0	NE 0	10	10	10	.	
6	−2.2	0.4	−2.2	−1.3	−2.5	731.6	731.7	732.7	100	84	97	NW 0	E 0	E 0	10≡	10	10≡	.	≡ I, III
7	−3.1	0.5	−2.8	−1.8	−3.0	733.2	733.4	734.2	100	83	99	E 0	E 0	SE 0	10≡	10≡	10≡	0.2	≡ n-n
8	−3.1	1.1	−2.8	−1.6	−2.9	734.8	734.2	733.4	100	88	100	E 0	E 0	E 0	10≡	10≡	10≡	0.2	≡ n-n
9	−4.2	1.1	1.3	−0.6	−2.0	732.5	732.4	734.5	100	94	96	SE 0	E 0	NW 0	10≡	10≡	10	.	≡ n-p
10	2.9	6.3	2.1	3.8	2.4	735.6	735.2	736.3	89	77	90	NW 0	NE 0	NW 0	10●	10	10	0.2	● I
11	−0.8	7.3	0.3	2.3	0.8	736.5	734.9	733.8	98	63	93	NE 0	NW 0	E 0	6	2	0	.	
12	2.5	7.2	2.0	3.9	2.3	732.4	730.8	728.3	88	60	88	E 0	E 0	E 0	10	4	0	.	
13	5.4	4.2	1.8	3.8	2.2	723.6	721.8	723.6	90	88	90	W 0	NW 0	NW 0	10	10●	10	6.1	● II seit 12½
14	0.8	3.3	−0.8	1.1	−0.6	726.0	728.8	732.7	95	49	88	N 0	NW 0	NW 0	10*	0	6	1.0	✳ a ⊠
15	−4.4	1.1	−1.9	−1.7	−3.5	733.1	731.7	732.2	69	52	74	SE 0	NW 0	NE 0	4	0	0	.	
16	−4.3	3.8	−1.4	−0.6	−2.5	730.7	728.9	727.2	82	46	73	N 0	NW 0	NE 0	0	0	0	.	
17	−3.0	5.2	1.9	1.4	−0.5	724.8	722.0	722.1	81	49	73	E 0	SE 0	NW 0	3	8	10	0.3	
18	0.8	5.6	3.0	3.1	1.1	721.0	720.4	722.9	96	60	95	W 0	NW 0	NW 0	10*	4	10●	2.7	✳ I, ● III
19	3.3	5.9	3.3	4.2	2.1	723.2	724.7	724.8	78	56	85	NW 0	NW 0	NW 0	10●	10	10	5.6	● I
20	2.1	8.6	3.3	4.7	2.5	725.0	725.0	725.2	98	39	70	NE 0	S 0	NW 0	10	8	10	0.4	
21	2.2	3.3	2.0	2.5	0.3	724.9	723.6	722.3	83	63	76	NW 0	NW 0	NW 0	10	10	10	.	
22	−1.4	3.4	0.0	0.7	−1.6	719.5	716.7	714.7	65	47	70	SE 0	NW 0	NW 0	3	2	4	.	
23	5.5	10.0	9.8	8.4	6.0	711.0	711.4	711.2	32	26	27	SE 2–3	SE 2–3	S 2	10	0	9	.	
24	11.0	14.6	13.3	13.0	10.5	709.8	711.7	716.5	29	29	31	SE 2–3	S 3–4	SE 3	4	6	4	.	
25	4.7	9.9	7.1	7.2	4.6	722.9	723.4	724.1	78	56	65	E 0	NW 1	E 0	8	2	2	.	
26	5.1	9.2	6.2	6.8	4.0	723.4	722.0	721.9	83	59	85	N 0	NW 0	NW 0	10	8	9	2.7	
27	4.3	5.7	1.6	3.9	1.0	723.8	724.5	723.6	94	64	93	W 0	NW 0	W 0	10●	10	8	2.6	● I
28	−1.8	5.9	1.7	1.9	−1.1	718.1	715.5	714.8	92	59	84	W 0	NW 0	W 0	5	7	10	1.5	● n (28./1.)
Mittel	0.2	4.5	1.3	2.0	—	726.3	725.9	726.3	84	62	81				8.3	6.6	6.9	Summe 23.5	

Februar 1930. Beobachter: *Observatorium.*

Genf

$\lambda = 6° 9'$, $\beta = 46° 12'$, $H_b = 405.0^m$, $G = -0.03$ ‰.

1	−0.8	0.5	−0.3	−0.2	−1.2	725.0	725.0	725.8	82	82	87	NE 1	NNE 0	NNE 1	10	10	10	.	
2	−0.8	−0.8	−1.0	−0.9	−2.0	727.1	727.6	729.6	88	89	88	NNE 1	NNE 1	NNE 1	10	10	10	.	
3	−2.2	−1.4	−2.2	−1.9	−3.1	732.4	733.9	735.6	89	92	94	NNE 1	NNE 1	E 1	10	10	10	.	
4	−3.1	−1.2	−2.1	−2.1	−3.3	737.4	738.3	738.3	96	91	94	E 1	NNE 2	E 1	10	10	10		
5	−4.0	−2.4	−1.8	−2.7	−4.0	738.2	737.6	737.0	95	92	92	E 1	NNW 0	NE 0	10	10	10	.	
6	−2.6	−0.7	−1.5	−1.6	−3.0	736.3	736.3	737.3	96	94	96	E 0	N 0	E 1	10	10	10	.	
7	−3.2	−1.6	−2.0	−2.3	−3.7	738.1	738.3	739.2	97	92	96	E 1	NNW 1	E 0	10≡	10≡	10≡	.	≡ n-n
8	−3.6	−1.0	−1.3	−2.0	−3.5	739.8	739.3	738.5	100	92	96	E 1	NNE 0	NNE 0	10≡	10≡	10≡	.	≡ n-n
9	−4.1	0.7	3.4	0.0	−1.6	737.8	738.7	739.6	96	84	90	E 0	NNW 0	NE 0	10≡	9	10	.	✳°sch. a, ≡ I
10	3.0	10.2	4.0	5.7	4.1	741.0	740.8	740.8	91	61	83	NE 0	NE 0	NE 0	10	3	0	.	
11	0.0	8.0	4.0	4.0	2.3	740.5	739.3	737.9	93	72	80	S 0	NNE 1	E 0	0	0	0	.	⌴ I
12	2.4	6.0	2.9	3.8	2.0	737.1	736.8	734.7	89	85	83	NE 0	N 0	NE 0	10	10	0	.	
13	6.0	6.4	3.6	5.3	3.4	730.5	728.1	728.6	65	70	73	S 1	W 1	NE 1	9	10●	2	0.2	●^sch. n-n zeitw.
14	2.0	3.6	1.7	2.4	0.5	729.5	731.4	734.8	86	52	69	NE 1	NNE 3	NNE 3	9	0	0	.	
15	−3.0	2.0	0.3	−0.2	−2.2	737.8	736.4	736.1	82	62	72	E 0	NE 1	E 0	0	0	0	.	
16	−4.0	3.9	1.3	0.4	−1.7	735.6	733.7	731.8	92	54	76	E 0	NNE 1	NE 0	0	0	0	.	
17	−2.6	5.6	1.1	1.4	−0.8	729.7	727.6	727.5	93	58	94	E 0	E 1	NNE 0	9	9	10	4.1	● 16-n
18	1.2	8.0	5.8	5.0	2.8	726.2	726.2	727.0	93	48	62	NNE 0	SW 1	NE 0	9	2	10	0.2	●°sch. 19½
19	3.6	7.4	5.4	5.5	3.2	728.5	729.4	730.2	83	51	64	NNE 0	NNE 1	NNE 0	10	0	0	2.3	● n (19./20.)
20	2.3	6.8	2.0	3.7	1.3	730.7	729.3	729.6	89	75	89	E 0	NE 0	NNE 2	9	10	10●	.	● abds.-n
21	2.2	4.0	2.9	3.0	0.5	728.8	727.9	726.7	70	65	66	NNE 2	NNE 2	NNE 1	9	9	7	.	
22	−2.4	4.2	4.5	2.1	−0.5	724.0	721.5	719.4	85	62	71	E 0	NNE 0	W 1	6	3	10	0.4	●° n (22./23.), ⌴ I
23	3.2	6.8	5.6	5.2	2.6	717.1	715.2	713.5	90	74	85	NW 1	NNE 0	E 0	10●	10	10	0.1	●°sch. a, n
24	2.2	7.6	8.2	6.0	3.3	713.3	715.5	722.5	93	72	73	NE 0	E 0	SW 1	9	10	10●	0.1	●° 2.,½-n
25	5.6	9.8	6.3	7.2	4.4	727.9	729.3	729.4	85	64	65	NE 0	SSW 1	E 0	9	9	10	1.2	● n (25./26.)
26	5.4	12.1	9.8	9.1	6.2	727.9	726.8	726.4	92	64	76	NNE 0	SW 1	SW 1	10	10	10●	1.8	● 18-n
27	5.8	7.8	4.9	6.2	3.1	728.9	728.8	726.9	80	59	59	S 0	NNE 1	NNE 1	9	3	2	.	
28	0.0	7.4	3.0	5.1	1.9	723.4	721.6	721.4	85	66	61	NE 0	NNE 0	SW 1	9	9	10	3.8	● 22-n, ⌴ I
Mittel	0.3	4.3	2.6	2.4	—	731.1	730.7	730.9	88	72	80				8.4	7.0	6.8	Summe 14.2	

$\lambda = 8^{\circ}\,33'$, $\beta = 47^{\circ}\,23'$.
$Hb = 493.2^{m}$, $G = 0.03\ ^{m}/_{m}$.

Zürich

Februar 1939.
Beobachter: *Meteorol. Zentralanstalt.*

Tag	Lufttemperatur					Luftdruck			Relative Feuchtigkeit			Windrichtung und Stärke			Bewölkung			Niederschlag	Witterung
	7^{30}	13^{30}	21^{30}	Mittel	Abweich. vom Normalst.	7^{30}	13^{30}	21^{30}	7^{30}	13^{30}	21^{30}	7^{30}	13^{30}	21^{30}	7^{30}	13^{30}	21^{30}		
1	−2.7	−1.8	−3.5	−2.7	−2.2	717.5	717.3	718.5	80	75	81	NNE 1	E 1	E 1	10	10	10	.	
2	−4.1	−3.3	−4.2	−3.9	−3.5	719.4	720.1	722.0	86	80	85	N 0	ESE 1	NE 1	10	10	10	.	
3	−4.4	−2.2	−4.6	−3.7	−3.4	724.4	725.7	727.3	86	76	92	WSW 1	SW 1	WNW 0	10	10	0	0.0	
4	−5.3	−2.4	−4.1	−3.9	−3.7	729.0	729.8	730.2	99	81	100	NW 0	SSW 1	SE 0	10−	10	10■	0.0	≡ III, ⋁ I
5	−5.8	−1.9	−3.2	−3.6	−3.5	729.7	729.0	728.4	100	89	96	SSW 1	SSE 1	S 0	10−	9	9	0.0	≡, ⌙¹ I
6	−5.2	−1.7	−2.6	−3.2	−3.2	728.1	727.9	728.6	100	78	100	SW 1	W 1	S 1	10≡	6	10≡	0.0	≡ n-n, ⌙° I
7	−3.2	1.1	−2.3	−2.1	−2.1	729.5	729.5	730.4	95	64	96	W 0	SSW 1	SSE 0	10≡	0	0	0.0	≡ a
8	−6.8	2.3	−2.3	−2.3	−2.4	731.0	730.6	729.2	97	60	100	W 1	SW 1	SSW 0	10−	0	9-	0.0	≡ a, ⌙² I
9	−3.9	7.9	6.0	3.3	3.1	728.5	728.2	730.9	100	50	60	SSW 0	WNW 1	NW 1	10■	3	10	0.0	●°tr. abds., n zeitw., ≡ n-9¹/₂
10	8.3	9.6	3.8	7.2	6.9	731.1	731.9	**733.1**	62	60	94	SSW 3	NW 1	SSE 1	10	9	0	0.0	● 22¹/₂-24
11	4.1	9.0	2.5	5.2	4.8	732.9	731.6	729.7	87	57	94	SE 1	E 0	NE 0	10	5	0	.	
12	2.8	7.7	5.1	5.2	4.7	728.3	727.3	724.5	93	61	81	E 1	SW 1	NE 1	10	9	0	0.0	
13	4.6	3.4	2.4	3.5	2.9	719.8	718.5	720.3	65	90	72	SSW 2	W 2	WNW 1	10●	10●	10	1.9	● 0¹/₄-1 3³/₄ m.U., △° ● 7-8
14	0.5	3.5	−2.0	0.6	−0.1	723.7	726.5	729.3	87	44	58	NW 1	E 2	SE 0	8	2	0	.	✳° 5-0
15	−4.2	3.9	−0.9	−0.4	−1.2	729.3	728.3	727.9	84	41	75	NE 0	NE 1	SSE 1	4	0	0	0.0	⌙¹ I
16	−3.3	7.0	0.7	1.5	0.6	727.0	725.2	723.6	91	40	65	SE 0	SW 1	SE 1	0	1	0	.	⌙² I
17	−0.5	5.4	1.8	2.2	1.2	721.1	718.8	718.5	76	47	95	SE 1	WNW 1	SSE 1	8	9	10●	2.7	●° 18-23
18	2.1	6.4	3.1	3.9	2.8	717.5	717.0	719.3	93	56	88	W 1	WSW 2	W 1	10	9	10	0.9	● 1⁰/₄-5³/₄ m.U., 17¹¹/₂-18¹/₂, 23
19	2.1	5.7	2.8	3.5	2.3	720.1	720.9	721.2	86	48	89	WNW 1	SW 2	WSW 1	10	10	10●	1.8	● 2¹ 2, ● 19¹/₂-22¹/₂
20	3.3	6.0	1.7	3.7	2.4	722.0	721.7	722.6	87	48	76	NW 1	WNW 1	NNW 1	9	10	5	0.0	
21	−0.5	4.2	−0.9	0.9	−0.5	722.3	720.6	718.9	85	50	70	NE 1	NE 1	ENE 1	8	9	1	0.0	
22	−3.4	3.2	0.4	0.1	−1.4	716.1	713.8	711.3	93	60	82	NW 1	NW 1	E 1	1	2	8	0.0	⌙²
23	−0.7	10.8	5.7	5.3	3.7	708.5	707.9	706.5	72	38	53	NW 1	NW 1	ESE 1	6	2	10	.	⌙¹
24	5.3	**17.8**	6.1	9.7	8.0	**708.1**	707.5	714.3	56	**29**	78	NW 1	SSE 2	N 1	9	9	0	.	
25	3.9	9.5	5.7	6.4	4.6	719.9	720.7	721.3	86	57	71	NW 1	NW 2	NW 0	3	6	10	0.2	⌙°
26	4.2	10.2	6.2	6.9	4.9	720.0	718.7	718.3	91	75	90	S 0	W 1	NW 1	9	9	10●	5.8	● 5¹/₄-6, 7¹/₂-9, 16, 21¹/₂-n
27	3.7	5.3	1.9	3.6	1.5	720.7	721.1	720.9	96	73	81	WSW 1	ESE 1	SE 1	9	9	1	0.0	● n-7¹/₄
28	−0.4	6.5	3.4	3.2	1.0	715.0	713.3	710.9	94	56	72	NE 1	SSE 1	SSE 1	7	6	9	2.2	⌙²
Mittel	−0.4	4.8	1.0	1.8	—	722.8	722.5	722.8	87	60	82				8.2	6.6	5.8	Summe 15.5	

$\lambda = 8^{\circ}\,30'$, $\beta = 47^{\circ}\,3'$.
$Hb = 1787.3^{m}$, $G = -0.20\ ^{m}/_{m}$.

Rigi-Kulm

Februar 1939.
Beobachter: *J. Steiner.*

1	−1.3	−1.7	−4.5	−2.5	2.1	609.2	609.4	610.2	33	41	45	W 1	W 1	W 0	0	0	0	.		✳
2	−4.4	−1.3	−1.9	−2.5	2.1	610.5	611.2	613.2	42	29	25	E 1	E 1	SE 2	0	0	0	.		✳
3	−1.0	0.8	−1.5	−0.6	4.0	615.5	617.1	619.0	18	16	17	NNW 1	SE 1	SE 1	0	0	0	.		✳
4	0.8	3.4	0.6	1.6	6.2	619.9	621.3	622.1	16	18	15	S 2	S 0	W 1	0	0	1	.		✳
5	2.2	6.0	3.0	3.7	8.3	621.3	621.4	621.4	8	10	15	W 1	W 0	W 0	3	6	3	.		✳
6	3.0	5.3	3.5	3.9	8.5	620.2	620.6	621.4	9	12	11	E 1	S 1	SW 1	0	0	0	.		✳
7	2.0	6.4	3.0	3.8	8.4	621.9	622.7	624.0	10	13	13	SW 1	SW 1	SW 1	0	0	0	.		✳
8	3.2	**7.0**	6.0	5.4	10.0	623.8	623.8	623.8	11	20	23	SW 1	SW 0	SW 0	0	0	0	.		✳
9	4.2	2.3	−1.0	1.8	6.4	621.8	621.6	623.1	20	24	82	WSW 2	W 2	W 3	0	2	10−	0.2	≡ III	✳
10	0.0	2.0	2.6	1.5	6.0	624.0	624.8	**625.6**	74	68	46	W 3	WSW 3	SW 2	10+	10	1	0.3	✳ seit 7¹/₂	✳
11	3.0	**7.0**	4.2	4.7	9.2	624.7	624.3	623.2	27	14	16	SW 1	SW 1	SW 0	1	1	0	.		✳
12	3.5	3.6	0.0	2.4	6.9	620.6	617.7	614.8	22	30	39	WSW 2	SW 1	SW 1	3	4	5	.		✳
13	−5.2	−4.8	−7.0	−5.7	−1.2	612.7	610.8	612.2	70	86	86	SW 2	W 2	W 1	10	10*	10*	26.7	✳ 10-n	✳
14	−8.2	−9.2	**−11.2**	−9.5	−5.0	613.3	615.7	618.8	78	78	48	NE 1	E 1	E 2	10*	1	1	0.6	✳ I	✳
15	−6.6	−2.8	−5.0	−4.8	−0.4	618.3	618.8	619.0	12	10	12	E 2	ESE 1	E 1	1	0	0	.		✳
16	−3.7	−0.1	−3.3	−2.4	2.0	617.0	617.4	614.9	9	17	47	W 0	SW 0	W 1	0	0	0	.		✳
17	−5.0	−1.5	−6.6	−4.4	0.0	613.2	612.1	611.3	56	45	72	WNW 1	WSW 1	W 1	2	8	10≡	4.7	≡ III	✳
18	−6.8	−5.3	−5.5	−5.9	−1.5	609.6	609.8	611.8	70	76	78	W 2	W 2	W 1	10−	10≡	10≡	11.5	≡ n-a m.U., p-n	✳
19	−7.0	−5.2	−6.5	−6.2	−1.9	611.8	613.0	613.7	78	76	81	NW 1	W 2	W 1	10≡	10	10≡	13.5	≡ I, III	✳
20	−5.5	−4.8	−7.5	−5.9	−1.6	613.7	613.9	613.8	80	80	80	NW 1	SW 1	E 1	10≡	10	10≡	6.8	≡ I, III	✳
21	−8.0	−6.3	−9.0	−7.8	−3.5	612.6	611.4	610.2	80	82	80	E 1	NE 1	E 1	10≡	10≡	10≡	0.1	≡ n-n	✳
22	−11.0	−7.5	−7.8	−8.8	−4.6	607.0	606.3	605.2	40	48	50	SW 1	SW 1	SW 1	0	1	6	.		✳
23	−6.0	−2.0	−1.2	−3.1	1.1	603.0	603.2	**602.4**	45	43	40	S 2	SE 2	SSE 3	8	4	7	.		✳
24	0.6	3.8	0.7	1.7	5.9	603.2	604.8	609.6	39	38	48	S 3	S 3	S 2	9	5	2	.		✳
25	−2.3	−0.5	−0.8	−1.2	2.9	613.1	614.4	615.6	48	60	56	SE 1	W 1	SW 1	10≡	2	3	.	≡ I	✳
26	0.4	2.8	−0.8	0.8	4.9	613.7	613.1	613.1	60	62	67	W 1	W 1	W 1	10	7	10≡	15.4	≡ III	✳
27	−4.6	−6.2	−7.5	−6.1	−2.1	612.7	613.2	612.6	60	67	70	W 1	W 1	W 1	10*	10≡	8	5.4	✳ I, ≡ II	✳
28	−4.0	−0.3	−2.0	−2.1	1.9	607.5	607.2	606.5	50	39	45	S 3	S 1	SW 1	3	7	5	7.0		✳
Mittel	−2.4	−0.3	−2.4	−1.7	—	614.9	615.0	615.4	42	43	46				4.6	4.2	4.4	Summe 92.2		

Februar 1939.
Beobachter: *P. Nogler.*

Bevers

$\lambda = 9^\circ 53'$, $\beta = 46^\circ 33'$.
$H_b = 48.1710^m$, $G = -0.23\,mgal$.

Tag	Lufttemperatur 7³⁰	13³⁰	21³⁰	Mittel	Abweich. vom Normalw.	Luftdruck 7³⁰	13³⁰	21³⁰	Relative Feuchtigkeit 7³⁰	13³⁰	21³⁰	Windrichtung und Stärke 7³⁰	13³⁰	21³⁰	Bewölkung 7³⁰	13³⁰	21³⁰	Niederschlag	Witterung
1	-16.6	-4.5	-13.3	-11.5	-2.6	616.4	615.6	617.3	82	55	78	W 0	SW 1	SW 0	0	0	0	.	
2	-17.5	-5.9	-16.2	-13.2	-4.4	618.0	618.4	621.6	84	53	70	WSW 0-1	WSW 0	SW 1	0	0	0	.	
3	-18.6	-6.0	-13.8	-12.8	-4.1	623.1	623.6	626.3	74	52	65	SW 0	SW 1	SW 0	0	0	0	.	
4	-17.5	-4.3	-13.3	-11.7	-3.1	628.0	628.3	629.6	75	46	64	SW 0	SW 1	SW 0	0	0	0	.	
5	-13.8	1.0	-5.8	-6.2	2.3	628.7	627.6	627.8	72	39	70	SW 1	SW 0-1	SW 0-1	8	7	5	.	
6	-13.2	1.1	-8.8	-7.0	1.4	627.8	627.2	628.3	75	43	70	SW 0	SW 0	SW 0	0	0	0	.	
7	-11.0	1.1	-7.6	-5.8	2.5	629.0	629.0	630.8	72	53	80	SW 0	SW 1	SW 0	0	0	0	.	
8	-10.2	2.0	-7.2	-5.1	3.1	630.8	630.0	630.5	78	53	75	NE 1	SW 0	SW 1	3	0	0	.	
9	-11.3	1.5	-2.6	-4.1	4.0	629.4	627.2	628.6	83	52	63	SW 1	SW 1	SW 0	0	0	0	.	
10	0.8	2.4	-0.8	0.8	8.8	628.5	628.6	630.3	75	80	59	NW 1-2	NE 1	NW 1	10*	10●	0	6.2	✳ 7½-a, ● a-15
11	-6.1	4.5	-5.5	-2.4	5.5	630.9	629.9	629.6	88	45	77	W 0	SW 1-2	W 0	5	5	0	.	
12	-8.1	4.9	-2.6	-1.9	5.9	626.7	625.2	623.7	90	43	74	W 0	NW 1	NW 0	2	1	10	.	
13	-9.0	-1.2	-4.2	-4.8	2.9	618.7	615.6	616.9	80	42	60	WSW 0	WSW 0	NW 3	4	10	10	0.2	✳ 14-18½
14	-5.5	-4.3	-12.7	-7.5	0.1	618.1	621.0	624.8	60	41	51	NE 2	NE 3-4	NE 2	10	1	4	.	
15	-18.7	-4.9	-11.3	-11.6	-4.0	625.5	624.9	625.9	77	43	70	WSW 0	SW 1	NW 0	0	0	0	.	
16	-14.0	-0.8	-8.2	-7.7	-0.2	625.0	623.4	622.7	88	53	80	W 0	W 0	SW 0	0	0	0	.	
17	-12.8	-1.2	-3.6	-5.9	1.5	620.6	617.1	617.1	98	81	73	W 1	SW 1	SW 3	0	6	0	0.2	
18	-7.1	+0.2	-3.4	-3.6	3.7	616.0	615.6	616.8	100	54	75	WSW 0	NW 1-2	NW 1	10*	6	10	0.0	✳ I
19	-8.0	0.1	-3.6	-3.8	3.4	617.2	617.8	618.7	80	49	80	W 1	NW 2	NW 1	5	6	10	0.1	
20	-9.0	-1.0	-6.5	-5.5	1.6	619.3	619.7	619.4	98	46	68	NW 1	WNW 2	NW 1	5	10	0	.	
21	-12.1	-4.5	-13.0	-9.9	-2.9	618.9	617.6	616.5	90	61	84	NE 1	W 2-3	W 1	5	7	0	.	
22	-17.1	-3.0	-10.5	-10.2	-3.3	614.8	613.9	613.2	62	58	80	W 1	W 2	NW 1	3	0	0	.	
23	-9.5	-1.6	-3.3	-4.8	2.0	613.3	613.3	613.2	75	66	95	N 1	NW 1-2	NW 1	6	9	10*	0.3	✳ 14, III
24	-1.3	1.2	0.2	0.0	6.7	613.7	615.2	618.2	85	64	96	NW 2	NW 3	NW 1	10*	10	6	0.5	✳ I
25	-1.5	3.8	0.5	0.9	7.5	620.7	621.8	622.2	100	65	95	NE 1	W 2	NW 1	10	6	10	1.0	
26	1.2	2.6	0.0	1.3	7.8	621.2	620.1	620.1	95	76	86	WSW 0	W 0	WNW 2	10*	10*	10	0.3	✳ I, II
27	-2.6	2.9	-2.5	-0.7	5.7	618.2	618.2	618.3	98	62	65	WNW 0	NW 3	NW 2	10	9	8	0.0	✳ zeitw.
28	-12.2	1.1	-6.2	-5.8	0.5	616.8	614.6	614.4	61	59	80	SW 1	NW 2-3	W 0	2	3	10	.	
Mittel	-10.1	-0.5	-6.6	-5.7	—	622.0	621.4	622.2	82	55	74				4.2	4.1	3.7	Summe 8.8	

Februar 1939.
Beobachter: *Kapuzinerkloster.*

Sitten

$\lambda = 7^\circ 21'$, $\beta = 46^\circ 14'$,
$H_b = 548.6^m$, $G = -0.11\,mgal$.

1	-4.4	-2.7	-3.8	-3.6	-3.9	712.3	711.9	713.1	100	94	100	W 1	W 1	W 1	10≡	10≡	0	.	≡ I, II
2	-4.8	-1.7	-2.8	-3.1	-3.5	714.4	714.2	716.5	100	83	85	W 1	W 1	W 1	10≡	0	0	.	≡ I
3	-5.7	1.8	-1.9	-1.9	-2.4	719.5	720.1	722.6	87	48	76	W 1	W 1	W 1	0	0	0	.	I
4	-4.2	3.7	-0.9	-0.5	-1.1	724.6	724.4	725.5	70	48	90	W 1	W 1	W 1	0	0	0	.	II
5	-1.4	6.2	-0.1	1.6	0.9	725.3	722.7	723.4	60	45	88	W 1	W 0	W 1	4	6	8	.	
6	-1.2	6.3	-0.5	1.5	0.7	723.2	722.3	724.1	66	44	52	W 0	W 0	W 0	0	0	0	.	I
7	-0.2	7.3	0.7	2.6	1.7	724.9	724.3	726.3	72	47	85	W 1	W 1	W 1	0	0	0	.	I
8	-0.1	8.7	1.8	3.5	2.5	726.6	725.3	725.3	78	50	84	W 1	W 1	W 1	0	0	0	.	I
9	1.1	6.7	5.5	4.4	3.3	724.7	724.1	726.4	66	56	58	W 0	W 2	W 0	0	5	7	.	I
10	5.9	9.3	5.4	6.9	5.7	727.2	727.7	727.7	69	62	70	E 1	SW 1	W 1	9	8	0	.	I
11	1.9	9.7	4.1	5.2	3.9	727.8	725.8	725.1	84	52	77	E 1	E 1	E 1	2	2	0	.	I
12	1.1	5.7	2.4	3.1	1.7	724.2	723.1	721.6	98	66	90	W 0	SW 1-2	SW 1	2	6	0	.	I
13	0.8	6.1	2.5	3.8	2.3	716.3	713.9	714.7	98	63	72	W 1	SW 1-2	SW 1-2	10	8	4	.	
14	0.9	5.7	0.0	2.2	0.6	716.4	717.9	721.4	71	45	63	NNE 1	W 1-2	W 1	9	3	0	.	
15	-5.0	4.3	-0.2	-0.3	-2.0	723.7	723.5	723.3	68	45	62	ENE 1	NE 1	NE 1	2	0	0	.	
16	-3.2	5.0	1.7	1.2	-0.6	722.7	720.0	719.3	77	43	57	NE 1	SW 1-2	W 1-2	0	0	0	.	
17	-2.7	5.4	2.8	1.8	-0.1	717.0	714.3	714.3	78	47	63	NNE 1	NW 1	W 1	2	8	8	.	
18	0.5	5.6	4.7	3.6	1.6	713.4	712.6	714.1	86	56	61	W 1	W 1	W 1	10	3	10	.	
19	2.9	8.1	4.9	5.3	3.1	714.6	715.2	716.7	78	50	57	ENE 1	W 2	W 1	4	3	5	.	
20	1.6	9.5	3.1	4.7	2.4	716.8	715.6	715.1	84	41	86	ENE 1	NE 0	W 2-3	2	6	10	.	
21	1.6	6.5	1.5	3.2	0.8	715.5	713.6	712.9	88	57	72	W 1	W 2	W 1	10	6	0	.	
22	-1.5	6.1	2.4	2.3	-0.2	711.4	708.3	707.2	74	40	77	NNE 1-2	E 1	E 1	0	6	8	.	
23	1.2	9.3	7.3	5.9	3.3	706.8	704.6	703.9	54	35	39	ENE 1	ENE 0	E 3	9	9	9	.	
24	8.3	9.0	7.9	8.4	5.7	704.6	706.5	710.8	39	55	64	E 3-4	ENE 4	ENE 1-2	8	9	8	.	
25	3.4	12.2	6.7	7.4	4.6	714.9	715.1	716.6	82	52	69	E 1	W 1	W 1-2	4	3	3	.	
26	4.3	12.3	7.4	8.0	5.0	716.5	713.4	713.8	84	51	73	ENE 1	W 2	W 1	9	9	9	1.5	
27	4.9	9.2	5.4	6.5	3.4	714.7	714.0	714.4	86	48	56	W 1	W 3-4	W 1-2	9	5	5	.	● fr.
28	0.5	9.5	4.1	4.7	1.5	711.6	708.8	707.7	65	38	72	ENE 1	NNE 1	NNE 1	5	8	4	1.9	
Mittel	0.2	6.6	2.6	3.1	-	718.3	717.3	718.0	77	52	71				4.6	4.4	3.5	Summe 3.4	

$\lambda = 8^{\circ}\,57'$, $\beta = 46^{\circ}\,0'$,
$H_b = 276{,}2^{m}$, $G = -0{,}01\ ^{m}/_{m}$.

Lugano

Februar 1939.
Beobachter: *G. Vicari.*

Tag	Lufttemperatur 7³⁰	13³⁰	21³⁰	Mittel	Abweich. vom Normalst	Luftdruck 7³⁰	13³⁰	21³⁰	Relative Feuchtigkeit 7³⁰	13³⁰	21³⁰	Windrichtung und Stärke 7³⁰	13³⁰	21³⁰	Bewölkung 7³⁰	13³⁰	21³⁰	Niederschlag	Witterung
1	0.6	3.2	1.8	1.9	−0.2	737.1	737.9	739.0	93	63	85	N 1	WSW 1	N 1	10	10	10	.	
2	−0.6	5.2	0.8	1.8	−0.4	739.2	739.4	741.5	83	57	85	N 1	S 1	NNE 1	8	0	0	.	
3	**−2.4**	5.2	0.4	1.1	−1.1	744.5	745.3	747.1	83	53	70	N 1	S 0	NE 1	0	0	0	.	
4	−1.8	6.4	1.0	1.9	−0.4	748.4	748.1	**748.5**	68	53	70	N 1	ESE 0	N 1	0	0	0	.	
5	−1.4	6.8	1.4	2.3	−0.1	747.0	746.2	745.7	68	52	80	N 1	S 0	NNE 1	0	4	0	.	
6	0.2	8.6	3.2	4.0	1.5	746.0	745.2	746.5	71	48	70	N 1	S 0	N 1	0	0	0	.	
7	0.6	8.6	3.6	4.3	1.8	746.6	747.0	**748.6**	73	52	72	N 1	ESE 0	N 1	0	0	0	.	
8	1.4	9.4	3.6	4.8	2.2	748.1	747.3	747.7	73	54	72	N 1	SE 0	N 1	0	0	0	.	
9	1.6	10.4	4.8	5.6	2.9	747.4	745.6	745.1	84	47	74	N 1	SSE 0	S 1	0	0	0	.	
10	6.0	**17.8**	11.4	11.7	8.9	745.8	744.8	745.6	64	36	38	NNW 0	NNE 1	NNE 1	2	7	6	.	
11	5.6	11.2	8.0	8.3	5.4	746.6	745.9	746.1	68	58	64	N 1	SW 1	NNE 1	2	5	0	.	
12	2.2	10.2	8.4	6.9	3.9	742.9	740.9	739.5	92	63	71	N 0	S 1	N 1	0	0	8	.	
13	4.4	10.2	8.8	7.8	4.7	735.1	**732.5**	734.4	58	57	30	N 1	NNE 0	ENE 2	5	10	0	.	
14	7.6	10.8	7.0	8.5	5.3	736.3	740.2	744.6	32	**22**	31	N 3	NNE 2	N 1	0	0	0	.	
15	1.6	6.8	2.0	3.5	0.2	747.8	747.3	748.2	85	59	73	N 0	W 1	N 1	7	0	0	.	
16	−1.0	8.4	2.8	3.4	0.1	746.6	744.6	742.7	84	48	70	N 1	E 0	N 1	0	0	0	.	
17	−1.0	7.4	3.4	3.3	−0.1	740.8	738.2	737.2	88	58	70	N 1	N 0	NNE 1	7	10	8	.	
18	2.0	8.0	3.2	4.4	0.9	736.6	735.4	736.2	84	66	78	N 1	S 1	NNE 1	10	0	0	.	
19	1.0	14.4	7.2	7.5	3.9	735.4	734.8	735.9	94	26	42	N 1	NNE 2	NE 1	0	0	10	.	
20	7.4	12.4	7.0	8.9	5.1	737.2	737.1	737.5	46	28	40	N 1	NNE 2	S 1	5	10	10	.	
21	3.8	9.0	3.8	5.5	1.6	738.4	737.2	736.7	81	63	80	N 1	S 1	N 1	10	8	8	.	
22	3.6	6.8	3.2	4.5	0.5	735.5	734.2	734.0	78	58	73	SE 0	SW 1	N 1	10	1	6	.	
23	2.2	5.6	2.6	3.5	−0.7	734.5	734.9	735.9	92	66	99	N 0	S 1	W 0	10	10	10●	20.1	● ✳ 17½–▷
24	0.6	1.8	1.6	1.3	−3.0	735.3	735.9	738.3	98	94	95	N 0	NNW 0	N 1	10*	10●	10●	**50.9**	● ✳ n–1.0, ● p–24½ m.U.
25	2.6	5.8	4.4	4.3	−0.1	741.6	742.9	742.8	95	84	90	NNE 1	E 0	N 0	10●	10	8	3.6	● ☾ 23–24
26	4.4	6.8	6.2	5.8	1.2	741.5	741.5	740.4	93	87	95	N 1	E 0	S 0	10	10	10●	7.0	●° 16½–n m.U.
27	5.4	9.6	6.4	7.1	2.4	737.9	736.6	735.6	94	65	62	NNW 0	ESE 1	S 1	10	3	0	.	
28	4.2	5.4	4.2	4.6	−0.3	735.7	735.3	733.9	64	89	95	N 1	SSE 0	N 1	10	10●	10	2.6	●° 8½–12½, 13½–14 m.U.
Mittel	2.2	8.3	4.4	5.0	—	741.3	740.8	741.3	78	57	70				4.9	4.2	4.1	Summe 84.2	

$\lambda = 7^{\circ}\,35'$, $\beta = 47^{\circ}\,35'$.
$H_b = 318^{m}$, $G = 0{,}11\ ^{m}/_{m}$.

Basel

Februar 1939.
Beobachter: *Astronom.-Meteorol. Anstalt.*

1	−1.7	0.2	−2.8	−1.4	−1.6	732.9	733.0	734.2	78	72	79	ENE 1	NE 2	ENE 1	4	1	4	.	⌊ |
2	−4.2	−1.2	−4.6	−3.3	−3.6	735.1	735.9	738.0	85	77	84	ENE 1	NE 1	E 1	2	1	0	.	⌊ ⌊ |
3	−5.6	2.0	−3.4	−2.3	−2.6	740.1	741.0	743.0	88	66	86	SE 1	ESE 1	ENE 1	1	0	0	.	⌊ ⌊ |
4	−5.5	2.1	−3.1	−2.2	−2.6	744.5	745.2	745.6	91	65	89	ENE 1	ESE 1	E 1	1	0	1	.	∈ (20), ⌊ |
5	−5.7	1.6	−1.1	−1.7	−2.2	745.3	744.6	744.4	92	68	80	ENE 1	E 1	E 1	5	2	8	.	⌊ |
6	−5.8	4.8	−1.8	−0.9	−1.4	743.8	743.3	743.9	95	61	94	ESE 1	SE 1	ESE 1	1	1	0	.	⌊ ⌊ |
7	−5.3	3.8	−1.2	−0.9	−1.5	744.7	744.9	745.9	98	58	88	E 1	ESE 1	ENE 1	0	0	0	.	⌊ ⌊ |
8	−5.6	4.9	0.2	−0.2	−0.9	746.4	746.0	744.2	96	55	89	E 1	ESE 1	ESE 1	0	0	0	.	⌊ ⌊ |
9	−4.8	7.5	6.7	3.1	2.4	744.4	744.2	747.2	100	47	86	E 1	ESE 1	WSW 1	0	9	10	.	●° 15–17¾, ⊕ (12¾), ⌊ |
10	8.0	10.3	5.9	7.8	7.0	747.1	748.0	**749.1**	67	73	84	SSW 1	WNW 1	SSW 1	10	9	9	.	●° 11½
11	4.6	**10.8**	1.5	5.6	4.7	748.7	747.4	746.0	90	56	94	E 1	SE 1	SSW 1	10	10	8	.	
12	3.0	9.4	7.2	6.5	5.5	744.0	743.3	741.2	90	63	90	E 1	WSW 1	W 1	10	8	7	.	
13	5.8	5.0	1.6	4.1	3.1	735.7	734.9	736.8	87	78	82	WSW 2	WSW 2	WSW 1	1●	10	10	2.6	● 7½, 8¾–12¾
14	0.6	5.0	−1.2	1.5	0.4	740.3	743.1	745.7	96	39	76	N 1	E 1	W 0	10	1	0	.	✳ 4¼–5½
15	−4.3	5.1	−1.4	−0.2	−1.4	745.6	744.6	744.3	93	54	84	ESE 1	WNW 1	SSE 1	9	0	0	.	⌊ ° |
16	−4.2	6.6	3.5	2.0	0.7	743.0	741.3	739.6	83	**38**	58	ESE 1	NW 1	E 1	1	9	10	.	⌊ ° |
17	1.5	4.4	1.7	2.5	1.2	736.8	735.1	734.2	74	80	94	ESE 1	WSW 1	SSE 1	10	10●	10●	7.0	● 11¾–21¾ m.U.
18	0.8	7.4	4.0	4.1	2.7	733.3	732.8	734.9	96	53	84	S 1	SW 1	SW 1	10	10	10	0.2	● ☾ 14¾–14⅝, 17⅝–18
19	1.7	5.5	3.0	3.4	1.9	736.4	737.1	736.9	82	48	91	WSW 1	W 1	ENE 1	1	10	10●	3.5	● 15⅝–21¾
20	3.1	5.3	1.4	3.3	1.7	738.1	738.1	739.1	84	68	93	WSW 1	NNE 1	WNW 1	2	10	10	.	
21	−1.6	1.5	1.4	0.4	−1.2	738.8	737.4	734.9	98	72	82	NNW 1	WNW 1	WSW 1	10	9	10	.	≈ 0–11
22	−4.2	4.1	1.1	0.3	−1.4	731.9	729.0	726.4	96	59	79	ESE 1	ESE 1	E 1	10	4	10	.	≡ 4½–5½, ⊕ 15–16, ⌊ |
23	2.0	9.6	5.2	5.6	3.8	722.9	722.8	**721.8**	69	54	90	E 1	ESE 1	W 1	10	6	10	0.7	● 8¾–9¾, 15½–16½
24	1.8	7.1	3.8	4.2	2.3	722.0	722.9	730.5	98	81	90	SSW 1	W 1	S 1	10	10	5	.	≈ 8–11
25	4.0	9.2	6.6	6.6	4.6	735.9	736.9	737.2	87	51	65	SW 0	WNW 1	W 0	10	9	10	.	
26	3.6	6.8	6.0	5.5	3.4	735.6	734.7	733.9	87	85	93	E 0	SE 1	WNW 0	10●	10●	10●	8.4	● 7–13½, 18–24¾
27	3.5	9.0	1.8	4.8	2.6	736.6	736.7	735.6	92	42	85	WSW 1	WSW 1	NE 1	6	4	0	.	● 1¼–1½, 2–2½
28	−0.8	8.4	5.4	4.3	2.0	731.1	728.1	724.7	100	55	65	WNW 1	ESE 1	SE 1	10	4	3	2.2	● 22⅝–24, ☋ 20, ☄ 22¾–n
Mittel	−0.6	5.6	1.7	2.2	—	738.6	738.3	738.5	89	61	84				6.2	5.6	5.9	Summe 24.6	

Februar 1939.
Beobachter: *Observatorium.*

Säntis

$\lambda = 9^\circ 20'$, $\beta = 47^\circ 15'$.
$H_b = 2500.1^m$. $G = -0.27\ ^m/_{m}$.

Tag	Lufttemperatur 7³⁰	13³⁰	21³⁰	Mittel	Abweich. vom Normalst.	Luftdruck 7³⁰	13³⁰	21³⁰	Relative Feuchtigkeit 7³⁰	13³⁰	21³⁰	Windrichtung und Stärke 7³⁰	13³⁰	21³⁰	Bewölkung 7³⁰	13³⁰	21³⁰	Niederschlag	Witterung
1	-6.8	-6.1	-7.0	-6.6	2.5	556.5	557.0	557.6	53	46	44	WSW 3	W 3	WNW 1	0	0	0	.	✳
2	-6.3	-4.2	-5.0	-5.2	3.9	558.0	559.3	560.8	38	39	37	N 3	ENE 2	E 2	0	0	0	.	✳
3	-5.4	-2.2	-2.8	-3.5	5.7	562.9	564.6	566.2	39	36	36	ENE 1	NE 1	ENE 2	0	0	0	.	✳
4	-1.6	0.4	-0.4	-0.5	8.7	567.9	569.4	569.9	34	33	26	E 1	E 1	N 1	1	1	2	.	✳
5	-0.7	-1.0	-1.6	-1.1	8.1	569.2	569.5	569.0	19	29	29	NNW 2	WNW 2	WSW 1	3	5	3	.	✳
6	-2.2	2.4	-1.4	-0.4	8.8	568.3	568.4	569.3	30	33	31	ESE 1	E 1	SW 1	1	1	1	.	✳
7	-1.4	3.6	1.4	1.2	10.4	570.1	570.9	571.5	30	32	23	SSE 0	SW 1	WSW 2	0	0	0	.	✳
8	0.4	3.0	1.0	1.5	10.7	571.4	571.9	571.0	23	35	27	WSW 2	WSW 2	SW 3	0	0	0	.	✳
9	-0.8	-3.1	-5.8	-3.2	6.0	569.6	568.6	568.5	30	44	98	W 3	W 4	WSW 4	1	1	10≡*	6.4	✳ ≡ 19½-n
10	-6.2	-4.4	-4.5	-5.0	4.2	568.4	571.2	572.2	96	96	80	WSW 6	WSW 3	WSW 3	10≡	10≡*	2	5.9	✳° 11-14 m.U., ≡ n-15
11	-3.6	-0.4	1.4	-0.9	8.3	571.8	571.8	570.7	55	38	28	W 3	WSW 3	WNW 3	2	3	0	.	✳
12	-2.6	-1.6	-5.4	-3.2	6.0	567.7	567.3	564.0	31	38	80	WSW 4	WSW 3	WSW 5	6	3	4	.	✳
13	-9.6	-8.8	-12.5	-10.3	-1.1	557.9	556.7	557.6	92	91	90	WSW 5	WNW 3	WNW 2	10≡	10≡*	10≡*	23.5	✳ 9-n, ≡ n-n, ⫩ 10-15
14	-15.0	-15.4	-13.3	-14.6	-5.5	559.0	561.4	564.0	88	41	30	NNE 3	NE 2	NE 3	10≡*	0	0	0.3	✳ n-8½, ≡ n-10, ⫩ n-12
15	-10.2	-6.8	-6.2	-7.7	1.4	564.6	565.1	565.7	30	30	76	N 2	NE 1	ENE 1	3	1	0	.	✳
16	-4.6	-2.4	-6.2	-4.4	4.7	565.1	564.6	563.0	55	54	59	NE 1	SE 0	E 0	1	1	1	.	✳
17	-8.2	-6.5	-9.2	-8.0	1.0	560.0	559.0	557.2	60	54	95	WSW 2	SW 2	WSW 3	3	10	10≡*	4.6	✳ ≡ 19½-n
18	-10.8	-10.9	-10.5	-10.7	-1.7	555.6	555.7	557.0	90	88	93	W 3	W 3	W 3	10≡	8	10≡*	14.7	✳ 16½-n, ≡ n-n m.U., ⫩ 14-n
19	-11.6	-10.6	-9.4	-10.5	-1.5	557.2	558.6	558.1	86	87	92	WNW 3	W 2	W 4	10≡	10≡	10≡*	20.0	✳ ⫩ 17-n, ≡ n-n, ⋁ I
20	-11.0	-10.4	-11.6	-11.0	-2.1	559.1	559.6	559.6	93	92	83	W 4	W 2	NE 0	10≡*	10≡	10≡	1.4	✳° n-9, ≡ n-n, ⋁ I
21	-14.0	-11.8	-14.0	-13.3	-4.4	558.4	557.3	555.9	80	82	80	SW 0	SE 1	SW 1	3	10≡	10≡*	0.5	✳° 8½-9¾, ≡ 7¾-n m.U.
22	-14.8	-11.8	-10.4	-12.3	-3.5	553.4	552.7	552.3	83	44	45	SW 2	WSW 3	W 3	0	1	3	.	✳
23	-8.2	-4.2	-6.6	-6.3	2.5	551.3	551.9	551.8	56	53	65	WSW 3	S 2	S 5	8	3	10	.	✳
24	-5.0	-1.6	-3.2	-3.3	5.4	552.4	554.2	558.2	74	65	64	SE 4	SSW 4	WSW 1	10	10	3	.	✳
25	-4.9	-1.8	-4.6	-3.8	4.8	560.8	562.1	562.7	98	67	76	SSE 3	SSW 2	SW 2	8	3	3	.	✳
26	-5.0	-2.2	-5.0	-4.1	4.5	561.4	560.8	561.1	90	74	100	SW 2	S 3	SW 2	10	10	10	8.8	✳ ≡ 14½-19½
27	-9.0	-8.8	-12.0	-9.9	1.4	558.9	559.5	558.8	98	92	83	WNW 2	WNW 0	NW 1	10≡*	10≡	5	2.7	✳ n-13, ≡ n-18
28	-7.7	-5.0	-6.4	-6.4	2.0	555.4	555.1	554.1	32	43	72	SW 2	SW 2	W 3	4	3	10	1.4	✳
Mittel	-6.7	-4.7	-6.1	-5.8	—	561.9	562.3	562.4	60	56	62				4.8	4.4	4.5	Summe 90.2	

Februar 1939.
Beobachter: Frl. *F. Lombardi.*

St. Gotthard (Hospiz)

$\lambda = 8^\circ 34'$, $\beta = 46^\circ 33'$,
$H_b = 2095.7^m$, $G = -0.25\ ^m/_{m}$.

1	-9.2	-6.0	-11.0	-8.7	-1.2	586.4	586.3	586.7	56	55	55	N 0	N 0	N 1	0	0	0	.	✳
2	-10.8	-3.7	-7.2	-7.2	0.3	587.5	589.1	590.4	52	54	48	N 0	N 0	SE 1	0	0	0	.	✳
3	-9.8	-2.6	-9.0	-7.1	0.4	592.8	595.2	595.8	42	45	41	N 0	SE 0	SE 1	0	0	0	.	✳
4	-7.0	0.0	-5.2	-4.1	3.4	597.6	598.5	599.2	40	60	35	N 0	E 1	N 0	0	0	0	.	✳
5	-3.0	1.8	-1.0	-0.7	6.8	598.2	598.8	598.5	32	30	35	NE 1	N 1	NE 1	3	5	5	.	✳
6	-5.0	2.2	-1.8	-1.5	6.0	597.9	598.1	598.5	38	55	40	N 1	SE 0	N 1	0	0	0	.	✳
7	-2.8	2.8	-1.8	-0.6	6.9	599.3	600.1	600.8	55	55	47	N 1	N 0	N 0	0	0	0	.	✳
8	0.8	2.2	-2.0	0.3	7.8	600.7	600.9	600.7	43	38	40	N 1	N 1	N 1	0	0	0	.	✳
9	-1.8	2.0	-3.2	-1.0	6.4	599.6	599.2	598.9	52	58	55	N 0	SE 1	NE 3	0	0	0	2.5	✳
10	-3.8	-0.8	-2.4	-2.3	5.1	598.8	599.7	601.2	85	78	73	N 3	N 3	N 3	5	10	2	1.5	✳
11	-2.0	1.0	2.0	0.3	7.7	600.9	601.5	599.9	39	43	59	NE 2	N 1	N 1	2	2	0	.	✳
12	-2.4	0.8	-1.2	-0.3	7.1	597.6	597.2	594.9	38	38	46	N 1	N 1	N 2	1	0	0	.	✳
13	-7.4	-5.2	-11.0	-7.9	-0.5	589.3	587.0	586.9	75	63	75	N 1	NE 1	N 3	10≡	5	10≡	10.1	≡ 7-9, 15-n, ⸗ seit 16½
14	-10.2	-10.2	-12.4	-10.9	-3.6	588.0	591.1	593.9	85	83	66	N 3	N 2	N 2	10≡	0	0	1.3	≡ ⸗ n-11
15	-11.8	-5.4	-8.7	-8.6	-1.3	594.6	595.2	596.1	44	40	57	N 1	N 1	N 1	0	0	0	.	✳
16	-7.0	-0.6	-7.6	-5.1	2.2	594.6	594.3	592.7	57	57	60	N 0	N 0	N 1	0	0	0	.	✳
17	-7.0	-1.8	-4.7	-4.5	2.7	590.5	589.0	587.9	60	71	60	E 1	SE 1	SE 0	3	5	5	.	✳
18	-7.8	-6.2	-6.4	-6.8	0.4	586.6	586.7	587.1	75	62	78	S 1	N 1	N 2	5	2	10≡	6.2	✳ ⫩ ≡ 18-n
19	-7.7	-6.5	-7.6	-7.3	-0.2	587.4	589.8	589.5	80	80	87	N 2	N 2	N 2	10≡	10≡	5≡	9.9	✳ ⫩ ≡ n-n
20	-7.2	-7.0	-9.7	-8.0	-1.0	589.2	590.0	589.3	88	78	79	N 3	N 2	N 2	10≡	10≡	10≡	3.4	✳ ⸗ ≡ n-n
21	-8.4	-7.3	-10.0	-8.6	-1.6	588.5	587.4	586.7	79	71	80	N 2	N 1	N 1	7	5	10≡	.	≡ 17-n
22	-12.2	-7.4	-9.4	-9.7	-2.8	584.2	583.9	582.6	63	61	75	SE 1	SE 1	SE 1	0	5	5	0.5	
23	-9.6	-7.3	-9.8	-8.9	-2.0	582.6	583.2	583.4	76	72	75	SE 1	SE 1	SE 3	10	10*	10*≡	8.0	✳° 8¼-n, ≡ zeitw., ⸗
24	-5.6	-3.5	-2.4	-3.8	3.0	585.2	585.7	588.3	79	80	82	SE 1	SE 2	SE 1	10*≡	10*≡	10*≡	20.4	✳ ≡ n-n [seit 17
25	-2.2	0.4	1.0	-0.3	6.4	591.5	592.7	592.1	80	86	90	SE 1	SE 0	SE 0	10	10	10≡	1.5	≡ 16-n
26	-1.4	1.0	-1.0	-0.5	6.2	591.6	591.0	590.5	89	90	90	SE 0	SE 0	SE 1	10≡	10*≡	10*≡	11.4	✳° 9¼-n, ≡ n-n
27	-4.2	-1.8	-4.0	-3.3	3.3	589.4	589.3	588.3	77	78	91	N 1	N 1	N 1	10	10≡	10≡	0.9	✳ zeitw., ≡ 11¾-n
28	-5.0	-3.6	-4.8	-4.8	1.8	586.4	586.0	584.9	85	86	82	SE 2	SE 2	SE 2	5	5	8	0.4	✳
Mittel	-6.1	-2.6	-5.4	-4.7	—	592.0	592.4	592.3	63	63	64				4.3	4.1	4.3	Summe 78.0	

$\lambda = 7^h\,26'$, $\beta = 46^\circ\,57'$,
$H_b = 572.2^m$, $G = 0.00^{m'}/_m$.

Bern

März 1939.
Beobachter: *Tellur. Observatorium.*

Tag	Lufttemperatur 7³⁰	13³⁰	21³⁰	Mittel	Abweich. vom Normalst.	Luftdruck 7³⁰	13³⁰	21³⁰	Relative Feuchtigkeit 7³⁰	13³⁰	21³⁰	Windrichtung und Stärke 7³⁰	13³⁰	21³⁰	Bewölkung 7³⁰	13³⁰	21³⁰	Niederschlag	Witterung
1	1.0	3.5	1.1	1.9	0.2	708.9	710.9	713.8	75	70	80	WSW 1	W 2	SE 0	1	9	1	0.6	✳° n–0¾, 9–14½ zeitw.
2	−1.8	6.0	2.2	2.1	0.3	715.2	715.4	715.0	88	50	85	E 0	NE 1	SW 0	4	6	0	.	⌊
3	−1.4	9.4	4.3	4.1	2.2	716.3	716.3	715.7	96	47	79	S 0	SE 1	SE 0	1	0	0	.	⌊
4	−0.4	10.0	6.2	5.3	3.2	715.0	714.2	715.2	93	47	69	S 0	W 1	SE 0	0	0	6	0.2	⌊
5	5.2	8.2	7.3	6.9	4.7	715.3	716.1	718.3	88	92	94	SW 0	SW 1	SE 0	9	10●	10	2.7	● 3, 9¼–13½ m.U.
6	7.4	**13.2**	11.1	10.6	8.3	717.9	718.1	716.6	94	71	86	NW 0	WSW 1	WSW 2	10	10	10●	4.9	● 1¼–21¾ zeitw.
7	10.0	10.5	2.0	7.5	5.1	713.5	710.5	715.0	75	81	95	WSW 2	WSW 2	SW 0	10●	10●	10●	**24.9**	● 6¾–23¾, ✳ 22¼–23¾
8	0.4	3.0	3.0	2.1	−0.4	717.5	717.4	715.6	83	80	87	S 1	SW 1	WSW 2	9	10	10	6.0	✳° a zeitw., ● 19–22¼ m.U.
9	0.0	1.0	0.1	0.4	−2.3	710.4	711.5	713.2	97	79	89	W 1	W 1	SW 1	10	10	10	0.7	● 1¾–4 zttw., ✳ 8¼–11, 19– ⊠
10	−2.5	4.0	1.0	1.5	−1.3	713.2	713.9	714.8	92	74	93	E 0	SE 1	SE 0	10	9	10	2.2	✳ 7¼–7¾, 21–21½ [22½ zttw. ⊠
11	−1.0	2.3	0.3	0.5	−2.4	715.2	715.7	714.8	97	60	83	S 0	N 0	S 0	7	5	8	0.0	✳ 7¾–9 zeitw., 17
12	−1.3	2.3	−1.7	−0.2	−3.2	712.9	713.6	716.1	80	53	75	E 0	NE 2	NE 1	9	8	8	0.4	✳° 10–18 zeitw., = 9¾–11
13	−3.3	0.0	−2.6	−2.0	−5.2	718.0	719.3	**720.2**	75	53	92	NE 2	NE 2	N 1	2	5	0	0.0	✳fl. 8–10¼
14	−3.4	−2.3	−1.2	−2.3	−5.6	718.4	715.5	714.6	82	94	90	S 0	SW 0	S 1	10	10●	10	9.1	✳ 7¾–14½ m.U., 22¼–23¾
15	0.1	0.8	−1.0	0.0	−3.4	708.6	708.8	712.5	98	87	91	W 1	NE 2	W 1	10	9	10	1.4	✳ 0¼–13, 20½–24 zttw., = n- ⊠
16	−2.5	2.4	−3.0	−1.0	−4.6	712.2	711.9	712.3	90	58	93	W 1	W 1	SE 1	8	9	9	0.5	✳ 3–4, 8½–14½ zttw. [8¼ ⊠
17	−3.8	0.4	0.3	−1.0	−4.7	706.5	704.2	703.7	92	95	98	S 0	WSW 2	SW 0	10=*	10	10*	6.3	✳ 8¾–12¾, 20½–21½ ⊠
18	−3.5	−2.0	−2.8	−2.8	−6.6	703.8	706.7	708.1	94	75	80	NNE 3	NE 1	NE 0	10	10	10	0.2	✳ 3¼–8¼ m.U. ⊠
19	−6.0	0.0	−3.2	−3.1	−7.1	707.7	707.8	707.6	89	91	77	NE 0	NE 0	S 0	1	9	4	.	⊠
20	−3.6	4.2	−1.7	−0.4	−4.5	705.8	706.7	708.4	86	53	94	S 0	E 1	NW 0	10	7	1	0.0	⊠
21	−1.6	1.2	−1.0	−0.5	−4.7	705.5	705.4	707.0	88	77	88	W 2	SW 1	W 1	10*	6	10	2.3	✳° l, ✳ 9½–17½ m.U. ⊠
22	−1.0	3.0	0.3	0.8	−3.6	707.0	706.6	703.4	75	54	97	W 0	SW 1	SW 0	6	10	10	3.1	✳ 15½–20¼ m.U. ⊠
23	0.3	4.5	−0.9	1.3	−3.2	**698.2**	699.8	701.7	99	57	85	W 1	WSW 1	SW 0	10=*	6	0	1.7	✳ 5¼–8¼, = n–8 ⊠
24	−0.6	4.0	0.0	1.1	−3.5	700.0	699.1	701.9	85	54	80	E 0	NE 1	N 0	9	6	2	.	⊠
25	−1.0	4.0	0.4	1.1	−3.7	701.1	700.0	700.9	94	57	88	N 0	NE 1	NE 1	9	6	8	.	✳ 18½ ⊠
26	−0.4	2.5	1.1	1.1	−3.8	701.5	701.6	701.9	87	66	75	NE 1	NNE 1	NE 0	1	3	9	.	
27	0.5	3.0	2.1	1.9	−3.1	701.9	701.4	701.9	83	73	77	E 0	NE 0	W 0	10	10	10	0.0	●° 8–9 zeitw.
28	0.8	3.0	1.6	1.8	−3.4	702.0	702.8	706.0	92	76	74	SE 0	NE 0	SW 0	9	10	10	0.0	✳° 11¾–13½ zeitw.
29	0.8	7.0	3.0	3.6	−1.7	707.5	707.6	707.4	85	58	67	SE 0	E 0	SE 0	7	1	0	.	
30	−1.8	7.1	3.4	2.9	−2.5	705.9	705.9	706.5	89	49	75	E 0	ENE 0	E 0	9	8	2	.	
31	0.3	11.9	6.5	6.2	0.6	708.4	708.2	708.2	82	**37**	85	S 0	N 1	SE 0	7	0	5	.	
																		Summe	
Mittel	−0.4	4.1	1.2	1.6	—	709.4	709.4	701.3	88	66	84				7.4	7.2	6.6	97.2	

$\lambda = 6^h\,57'$, $\beta = 47^\circ\,0'$,
$H_b = 487.3^m$, $G = 0.02^{m'}/_m$.

Neuchâtel

März 1939.
Beobachter: *Observatorium.*

1	2.1	4.6	2.1	2.9	0.5	717.4	719.2	722.0	67	65	80	W 2	W 3	NW 1	5	9	5	.	● n, ✳ 10¾
2	−1.6	6.9	1.9	2.4	−0.1	723.8	723.9	723.0	92	56	75	W 0	SE 1	NW 1	1	2	3	.	⌊ fr.
3	−1.8	9.7	3.9	3.9	1.2	724.7	724.6	723.7	93	48	74	N 0	S 1	W 0	0	0	0	.	⌊ fr.
4	−0.9	9.4	7.7	5.4	2.6	723.2	722.5	723.4	98	56	64	W 0	S 1	W 0	0	0	9	.	⌊ fr.
5	6.9	6.7	7.8	7.1	4.2	723.4	724.3	726.3	77	98	93	SW 0	SW 2	SW 2	10	10●	10●	8.4	● 7⁵/₄–n
6	8.8	10.4	9.7	9.6	6.5	726.2	726.0	724.7	96	90	96	W 3	SW 3	SW 3	10●	10●	10●	18.0	● n–n, ☔ n–n
7	9.2	9.2	3.7	7.4	4.2	721.7	719.0	723.1	89	93	71	SW 3	W 3	NW 2	10●	10●	10	**23.7**	● n,–n, ☔ n–15
8	1.5	2.3	2.2	2.0	−1.3	725.8	725.9	723.7	79	86	93	NW 1	W 1	W 4	9	10	10●	10.3	✳fl. a zeitw., ● 17–n,
9	0.1	2.4	1.9	1.5	−2.0	718.6	720.3	721.2	100	69	75	SW 1	NW 1	NW 1	10*	9	2	0.8	✳ n, ✳fl. a, p [☔ abds.–n
10	0.8	3.7	1.7	2.1	−1.5	721.6	722.3	723.0	85	62	91	NW 1	N 1	W 1	10	8	9	.	✳fl. 21¼
11	0.4	3.5	0.5	1.5	−2.2	723.5	723.9	722.9	82	72	84	NW 1	E 1	NE 1	5	10	7	0.4	✳°sch. n–n
12	0.1	3.2	−0.4	0.9	−3.0	721.3	722.2	724.0	88	58	74	NE 1	E 3	E 2	10	3	5	.	✳fl. zeitw.
13	−2.6	2.8	−1.9	−0.6	−4.6	726.5	727.7	**728.7**	63	45	94	NE 2	E 3	NE 1	1	7	0	0.3	✳° 20–21
14	−2.4	−1.9	−1.0	−1.8	−5.9	726.8	723.8	723.2	70	92	96	NE 0	W 3	W 1	10	10*	10*	18.2	✳ 8¼–n
15	0.8	4.3	−0.5	1.5	−2.8	717.0	719.1	721.3	100	55	96	SW 3	E 2	E 1	10*	5	10*	11.2	● 7⅝–10, ✳ 20–n, ☔ 9⅝ ⊠
16	−0.9	3.3	−2.3	0.0	−4.4	720.7	720.4	720.8	78	61	92	NW 2	NW 2	NW 1	10*	10*	1	1.5	✳sch. n–13½ ⊠
17	−2.0	0.0	0.7	−0.4	−4.9	714.7	712.6	711.8	98	98	95	SW 4	SW 4	SW 1	10*	10*	9	10.2	✳sch. n–14, ✳ 18½–n ⊠
18	−2.0	0.3	−2.1	−1.3	−6.0	712.3	714.8	716.5	96	75	61	E 2	E 3	E 3	10	9	10	0.2	✳fl. a ⊠
19	**−4.8**	1.6	−2.0	−1.7	−6.5	716.3	716.2	715.9	74	54	60	NE 2	SE 1	NW 1	8	2	0	.	⊠
20	−2.0	5.1	−1.7	0.5	−4.4	714.2	715.1	716.9	86	54	82	E 0	SE 1	NE 0	10	7	0	1.8	✳fl. a, p ⊠
21	−1.0	2.4	0.4	0.6	−4.5	714.5	713.4	715.3	96	73	81	SW 3	W 2	W 1	10*	2	8	3.7	✳sch. zeitw. ⊠
22	0.1	1.7	1.6	1.1	−4.1	716.3	715.1	711.1	75	61	93	W 0	SW 3	W 3	9	10	10	10.4	✳ 14⅝–n zeitw. ⊠
23	0.4	4.0	1.2	1.9	−3.4	**705.6**	707.1	709.6	98	61	78	W 2	W 1	W 1	10*	10	9	0.7	✳ n–8¼, △sch. 14½– ⊠
24	0.4	6.8	1.4	2.9	−2.6	706.9	706.3	708.1	89	53	79	SW 1	SE 1	NE 0	6	3	8	.	[✳sch. 15½
25	−0.2	5.7	1.4	2.3	−3.3	708.4	707.0	708.2	88	55	74	NE 0	E 3	E 1	10	7	6	.	✳fl. a
26	1.1	5.0	2.0	2.8	−2.9	709.0	709.0	709.5	72	60	72	E 2	E 3	E 2	7	6	10	.	
27	1.6	3.0	1.9	2.2	−3.7	708.3	708.9	709.8	82	73	84	NE 1	E 0	E 0	10	10	10	.	
28	0.2	5.6	2.3	2.7	−3.3	709.9	711.2	714.2	82	50	64	NE 0	SW 2	SW 1	9	9	10	.	
29	1.5	9.1	4.9	5.2	−0.9	715.8	715.8	715.4	81	48	44	W 0	S 1	NE 2	9	1	0	.	
30	0.4	8.3	3.4	4.0	−2.3	714.2	713.0	714.8	77	48	71	E 1	E 1	NE 1	10	8	4	.	
31	0.4	**12.7**	8.9	7.3	0.9	716.7	716.4	716.2	82	**40**	57	NE 1	E 1	E 1	6	0	1	.	
																		Summe	
Mittel	0.5	4.9	2.0	2.5	-	717.6	717.7	718.4	85	65	79				7.9	6.7	6.3	119.8	

März 1939.
Beobachter: Frl. *H. Nager.*

Altdorf

$\lambda = 8° 39'$, $\beta = 46° 53'$,
$H_b = 456.3^m$, $G = -0.05^m/_m$.

Tag	Lufttemperatur 7³⁰	13³⁰	21³⁰	Mittel	Abweich. vom Normalst.	Luftdruck 7³⁰	13³⁰	21³⁰	Relative Feuchtigkeit 7³⁰	13³⁰	21³⁰	Windrichtung und Stärke 7³⁰	13³⁰	21³⁰	Bewölkung 7³⁰	13³⁰	21³⁰	Niederschlag	Witterung
1	1.7	5.8	3.3	3.6	0.5	719.4	721.2	724.8	83	44	58	E 0	N 1	NW 0	4	10	8	.	
2	1.4	8.6	2.0	4.0	0.7	726.4	726.1	726.6	57	47	64	E 0	NW 0	NW 0	8	7	0	.	
3	−0.9	8.2	2.3	3.2	−0.2	727.3	727.2	726.7	74	49	70	SW 0	NW 0	NW 0	2	0	0	.	
4	−1.2	9.6	4.2	4.2	0.7	726.2	723.7	726.7	75	36	57	NW 0	NW 0	W 0	0	0	0	.	
5	5.6	7.6	6.3	6.5	2.9	726.9	727.2	729.5	78	71	98	E 0	NW 0	S 0	10	10●	10	6.4	
6	6.6	12.9	9.3	9.6	5.8	728.3	727.6	727.0	96	70	95	N 0	NW 0	E 0	10●	10	10●	8.0	● I, 10½, III
7	8.1	13.5	2.8	8.1	4.2	723.0	720.7	725.4	96	87	95	E 0	E 0	E 0	10	10●	10●	33.1	● II, III
8	1.6	5.8	2.8	3.4	−0.6	727.8	726.8	724.0	71	49	85	NE 0	N 0–1	E 0	10	10	10	11.8	● ✳ zeitw.
9	0.1	2.1	0.5	0.9	−3.2	720.6	721.8	723.6	91	67	97	N 1–2	NW 0–1	NW 0	10*	10	10	12.6	✳ I, p–n zeitw.
10	1.3	3.9	0.8	2.0	−2.3	723.7	724.2	725.4	81	45	95	W 0	NW 1	NW 0	10*	10*	10	7.9	✳ II, III
11	0.9	3.9	−0.6	1.4	−3.0	725.8	726.2	726.2	92	69	86	N 0	SE 0	E 0	10*	8	10	0.4	✳ I, p zeitw.
12	−0.7	2.3	0.2	0.6	−3.9	724.3	724.6	727.6	66	54	51	NE 0	NW 1	NW 1	9	7	10	.	
13	−3.3	2.0	−1.3	−0.9	−5.5	729.7	730.3	731.5	76	37	62	N 0	NW 0	E 0	7	8	4	.	
14	−2.3	−1.7	−0.8	−1.6	−6.4	729.3	726.2	724.9	61	83	93	S 0	W 0	NW 0	10	10*	10*	24.1	✳ II, III
15	2.8	−0.2	−1.3	0.4	−4.5	716.4	720.0	721.7	80	78	89	NE 2–3	NW 3–4	NW 4	10●	10*	10*	10.3	● I, ✳ II, III
16	−1.0	1.6	−0.2	0.1	−4.9	722.4	721.9	723.3	58	47	50	NW 0	NW 0	E 0	10	10	3	0.9	✳ p zeitw.
17	−2.2	0.2	1.2	−0.3	−5.4	718.5	714.8	714.9	63	90	94	E 0	E 0	E 0	10	10	10	20.1	✳ a–17⅝
18	−0.9	−0.6	−2.0	−1.2	−6.4	715.3	717.5	719.4	96	66	86	E 0	W 0	NE 0	10*	10	10	0.5	✳ I
19	−4.7	0.1	−1.3	−2.0	−7.4	718.8	718.7	718.9	68	54	76	E 0	NW 0	NW 0	8	6	10	.	
20	−2.4	0.4	−1.4	−1.1	−6.6	717.0	717.0	719.4	88	51	79	NW 0	NW 0–1	NW 1	10	9	8	.	
21	−0.9	2.8	1.2	1.0	−4.6	715.5	715.2	716.6	75	42	66	N 0	NW 0–1	NW 0–1	10*	10	10●	2.1	✳ I, ● III, ✳ abds. zeitw.
22	2.0	3.9	0.3	2.1	−3.6	717.5	716.7	715.7	44	38	97	NW 0–1	NW 0	NW 0	10	10	10	3.5	✳ 16½
23	−1.2	3.4	−0.2	0.7	−5.2	707.6	708.2	711.9	96	73	95	E 0	SE 0	E 0	7	9	10	3.1	
24	−1.2	5.3	−0.1	1.3	−4.7	710.3	708.8	711.9	85	44	85	E 0	E 0	E 0	7	9	10	0.9	✳ 17
25	0.4	3.7	1.8	2.0	−4.1	711.2	709.8	711.2	94	63	85	NW 0	NW 0	NW 0	10*	9	10	0.2	✳ 7¾–p zeitw.
26	−1.1	3.7	2.1	1.6	−4.6	712.2	711.4	712.7	82	53	75	SE 0	NW 0	NE 0	7	5	10	.	
27	1.1	4.2	2.6	2.6	−3.8	711.2	711.0	712.7	65	51	75	SW 0	NW 0	NW 0	10	10	10	1.1	
28	1.2	5.9	2.6	3.2	−3.3	712.7	713.3	717.1	97	43	85	NW 0	SE 0	NW 0	10	10	10	.	
29	2.0	7.2	1.7	3.6	−3.0	718.8	718.2	719.0	58	30	53	SE 0	NW 0	SE 0	9	2	0	.	
30	−0.4	7.0	3.1	3.2	−3.5	716.8	716.5	718.0	66	42	66	E 0	NW 1	NE 0	2	3	3	.	
31	2.8	12.6	8.9	8.1	1.2	719.4	718.7	719.5	81	40	39	NE 0	NW 0	E 0–1	5	1	2	.	
																		Summe	
Mittel	0.5	4.7	1.6	2.3	—	720.0	719.7	721.0	77	55	78				8.2	7.8	7.7	147.0	

März 1939.
Beobachter: *Observatorium.*

Genf

$\lambda = 6° 9'$, $\beta = 46° 12'$,
$H_b = 405.0^m$, $G = -0.03^m/_m$.

1	3.0	6.4	2.6	4.0	0.7	725.8	727.5	729.7	69	56	71	SW 1	SSW 2	NE 0	9	9	2	.	● ✳sch. 11¾
2	−1.6	5.0	3.0	2.1	−1.3	731.2	731.1	731.0	88	63	66	NE 0	NNE 1	NNE 0	3	3	0	.	
3	−1.2	7.8	5.0	3.9	0.4	732.5	731.8	730.9	90	59	72	NNE 1	NNE 1	NNE 1	0	0	0	.	⌣ I
4	−0.2	12.9	9.2	7.3	3.6	730.9	730.3	730.5	90	42	54	E 0	SSW 1	E 0	0	2	3	0.1	
5	7.2	8.4	8.0	7.9	4.1	731.3	731.5	734.5	83	94	94	NE 0	NNW 0	NNE 0	10●	10●	10●	8.1	● n–n
6	8.8	14.7	13.5	12.3	8.4	734.8	734.9	733.5	94	71	74	NE 0	S 1	SSW 1	10	10	10	0.2	●tr. a, p, ●° a
7	12.0	12.0	5.3	9.8	5.8	730.8	727.9	730.9	72	76	80	SW 2	SW 2	NE 1	10●	10●	10	6.1	● n–a, ●sch. p–n zeitw.
8	2.6	5.0	3.8	3.8	−0.3	734.2	735.0	733.9	86	67	74	NW 0	SW 1	SW 1	9	10	10●	6.2	● ✳sch. n
9	3.0	5.5	3.4	4.0	−0.3	726.7	728.4	729.6	86	56	54	SSW 1	NNE 1	NW 0	10	3	8	2.4	● ✳sch. a, ●^sch. n
10	1.0	4.8	3.7	3.2	−1.2	729.3	729.7	730.4	81	66	64	NNE 0	NNE 1	NE 1	10*	9	9	.	● ✳sch. a
11	−0.2	6.0	2.0	2.6	−1.9	731.1	730.8	730.6	89	42	77	NE 0	NNE 2	E 0	0	3	0	.	
12	−1.5	4.6	2.0	1.7	−2.9	728.6	728.2	731.2	80	54	65	NE 0	NNE 2	NNE 3	9	4	2	.	
13	−0.8	2.2	1.1	0.8	−3.9	732.6	733.6	735.1	77	53	65	NNE 3	NNE 3	NNE 2	0	1	9	.	
14	−1.4	−0.6	−1.2	−1.1	−6.0	734.5	732.1	731.6	78	89	92	E 0	E 0	NE 0	10	10*	10*	7.3	
15	0.0	−0.2	1.6	0.5	−4.5	726.8	727.2	729.4	97	59	70	E 0	NNE 1	NNE 1	10*	8	1	1.7	✳ n–n
																			✳ a, ✳sch. n
16	−1.0	3.2	1.4	1.2	−3.9	728.8	728.2	728.2	88	60	67	E 0	NNE 1	NNE 0	3	9	4	.	
17	−0.5	1.7	1.0	0.7	−4.5	724.0	721.2	719.9	83	83	88	NNE 0	SW 0	NW 0	10*	10*	10	3.3	✳ ●sch, mtgs.
18	0.2	0.0	−1.0	−0.3	−5.6	719.0	720.7	722.5	96	70	77	NE 0	NNE 2	NNE 3	10*	10	10	0.2	✳ n–n
19	−2.6	0.8	−0.2	−0.7	−6.2	723.2	723.6	723.4	90	85	66	NNE 1	NNE 1	NNE 0	10	6	10	.	● ✳ a
20	−1.2	3.7	0.6	1.0	−4.6	721.4	722.0	724.0	77	66	80	N 0	NNE 2	NE 1	10	3	0	.	
21	0.0	0.0	0.0	0.0	−5.7	723.6	722.8	723.7	82	98	96	E 0	NNE 1	NNE 1	10*	10*	9	1.9	
22	0.0	4.4	1.7	2.0	−3.8	724.5	723.5	720.0	78	47	87	NE 0	SSW 1	NE 0	9	10	10●	8.1	✳sch. a–n zeitw.
23	2.6	6.1	1.0	3.2	−2.7	714.2	714.9	717.6	86	56	86	SSW 1	W 1	SE 0	9●	4	4	0.9	● ✳sch. p, ● n
24	0.8	5.5	3.7	3.3	−2.8	714.2	713.3	715.4	85	62	58	NE 0	NNE 1	E 0	5	3	4	.	●sch. n–n zeitw.
25	0.8	5.4	4.0	3.4	−2.8	715.4	713.3	714.2	80	58	59	E 1	NNE 2	NNE 2	9	2	1	.	
26	0.8	5.4	3.0	3.1	−3.2	715.8	715.3	716.0	82	58	63	E 0	NNE 2	NNE 2	10	0	1	.	
27	1.2	4.6	3.6	3.1	−3.3	715.6	716.1	717.3	78	65	66	E 0	NNE 1	E 0	9	10	10	.	
28	1.2	6.5	2.5	3.4	−3.1	717.6	718.9	722.3	89	53	66	E 0	SSE 1	SE 0	10*	9	7	.	
29	1.2	6.3	5.2	4.2	−2.5	723.3	722.7	723.3	81	51	56	E 0	NNE 1	NE 0	0	0	0	.	✳fl. seit 7
30	0.8	7.2	5.0	4.3	−2.5	721.9	721.1	721.9	79	53	48	SE 0	NNE 1	E 0	9	9	6	.	
31	1.6	9.6	7.4	6.2	−0.7	723.8	723.6	723.0	85	46	51	NE 0	NNE 1	NW 0	0	7	0	.	
																		Summe	
Mittel	1.2	5.3	3.3	3.3	—	725.4	725.2	726.0	84	63	71				7.2	6.3	5.5	46.5	

$\lambda = 8°\,33'$, $\beta = 47°\,23'$;
$H_b = 493.2^{m}$, $G = 0.03\,{}^{m}/_{m}$.

Zürich

März 1939.
Beobachter: *Meteorol. Zentralanstalt.*

Tag	Lufttemperatur					Luftdruck			Relative Feuchtigkeit			Windrichtung und Stärke			Bewölkung			Niederschlag	Witterung
	7^{30}	13^{30}	21^{30}	Mittel	Abweich. vom Normalist	7^{30}	13^{30}	21^{30}	7^{30}	13^{30}	21^{30}	7^{30}	13^{30}	21^{30}	7^{30}	13^{30}	21^{30}		
1	2.2	4.7	3.4	3.4	1.1	716.0	718.0	721.3	66	60	67	WSW 2	WSW 2	W 0	2	7*	8	1.0	● 0–2, ⚹°, ☂ 12⅝, ⚹ △ [16¼, 18
2	0.3	9.4	4.0	4.6	2.2	723.3	723.0	722.9	86	48	54	SE 1	NNE 2	W 0	6	4	3	0.0	⌴ I
3	−1.3	12.3	5.3	5.4	2.9	724.0	723.5	723.0	92	45	73	WNW 1	WNW 1	SE 1	2	1	0	0.0	⌴ I
4	−0.3	12.6	9.2	7.2	4.5	722.5	721.2	722.5	99	45	50	SE 0	S 1	SE 1	0	0	2	0.1	
5	6.9	8.0	8.2	7.7	4.9	722.8	722.9	725.2	76	93	82	SSE 0	SSE 1	SW 1	9	10●	10	6.7	● 10½–16½, 19–21½
6	10.6	13.3	10.6	11.5	8.6	724.0	723.7	722.8	76	63	92	SW 3	WNW 2	SW 2	10	10	10●	18.1	● 0¼–6, 14½–n
7	10.9	8.7	2.0	7.2	4.2	719.4	717.7	721.8	66	89	97	SW 3	WNW 3	SE 2	10●	10●	10●	27.5	● n–12¼ m.U., 12½–24⅝
8	1.8	2.8	3.2	2.6	−0.5	723.9	723.2	720.4	71	79	75	SW 1	WSW 2	W 5	7	10*	10●	13.9	⚹ ●° 14⅝–16⅝ *)
9	0.3	1.1	0.3	0.6	−2.7	716.9	718.3	719.8	94	78	96	WNW 3	SW 2	SW 1	9	10*	10*	4.0	● ⚹ 0⅝–5, ☂ ⚹ 6–6⅝ *)
10	0.6	4.2	1.8	2.2	−1.2	720.4	720.8	722.1	92	62	88	W 1	W 2	W 1	10	9	9*	2.2	⚹° 5–7, 21½; ● 19⅝–20
11	0.4	2.0	0.3	0.9	−2.6	722.8	722.9	722.6	96	79	88	NNW 1	WNW 0	ESE 0	10*	7	10*	1.8	⚹ 1½–3½, 12–13, 22¼–24½
12	−1.0	1.4	−1.0	−0.2	−3.8	721.2	722.2	724.7	88	69	77	SE 0	N 2	N 2	9	9*	4*	0.6	⚹ 19¼
13	−2.5	0.0	−2.0	−1.5	−5.3	726.4	727.3	**728.3**	83	64	85	N 1	N 1	E 0	8	7*	10	1.0	⚹ 6⅝–7¼, 11⅝–12½, 16½–17
14	−2.7	−1.6	−1.0	−1.8	−5.7	724.8	722.2	721.0	83	81	89	SSW 2	WSW 1	SW 1	10*	10*	10	7.3	⚹° 8½–14½, 21–n
15	1.0	3.1	−1.6	0.8	−3.2	713.8	717.8	719.3	95	50	96	W 2	N 3	NW 1	10*	3	3	3.7	⚹ n–9½, 19¾–23¾ m.U.
16	−2.4	−1.1	−3.3	−2.3	−6.5	719.7	719.6	720.1	86	84	95	NE 0	S 1	S 1	10*	10*=	5	3.7	⚹ 9¼–14, 15⅝–16½
17	−3.1	0.1	0.1	−1.0	−5.3	713.6	711.0	710.8	92	88	98	SSE 1	WSW 1	SSE 1	10*	10*	10*	11.5	⚹ 7–14½, 20⅝–n
18	−3.1	−1.5	−3.6	−2.7	−7.1	712.8	715.2	716.5	83	69	75	NNE 2	NE 1	NNE 1	10*	10	2	0.1	⚹ n–4, 5–8¼
19	−6.0	1.5	−2.4	−2.3	−6.9	715.5	715.3	714.9	82	47	70	S 0	NNW 1	SSE 1	4	7	9	0.1	
20	−1.6	2.9	−1.8	−0.2	−4.9	713.4	714.4	715.7	83	55	92	S 1	SSE 1	SSE 0	10*	10*	7	2.5	⚹ 5–6, 15–17¼
21	−0.9	4.2	0.5	1.3	−3.5	711.5	711.6	713.2	87	58	77	SSW 3	WSW 2	NW 1	10*=	9	9	5.0	⚹ 1½–12¼ m.U., *)
22	0.0	3.4	2.1	1.8	−3.2	714.7	713.2	709.7	70	46	78	W 1	W 2	SSW 2	6	10	10	1.5	⚹ 17⅝–20¼
23	0.5	5.8	1.3	2.5	−2.6	**704.3**	705.7	708.1	97	52	74	SE 1	W 2	W 2	10*	5	7	5.4	⚹ 2⅝–3¼, 7½–11
24	0.6	6.1	0.1	2.3	−2.9	706.3	705.7	707.4	88	50	85	S 1	SE 1	N 0	10	6	1	0.0	
25	−0.8	4.0	2.1	1.8	−3.6	707.9	707.0	707.9	93	60	72	N 0	E 1	N 1	10	9	10	0.2	⚹ 8⅝–9½, △° p m.U.
26	−0.3	2.7	2.0	1.5	−4.0	708.7	708.9	709.0	86	66	70	NE 1	N 1	NNE 1	7	9	10	.	
27	1.4	3.7	2.1	2.4	−3.3	707.8	708.0	709.1	81	67	80	NNW 1	E 0	NNW 0	10	10	10	0.0	⚹ 9½–11⅝
28	1.4	6.6	2.1	3.4	−2.4	709.1	709.8	713.4	92	57	90	SE 1	SSE 1	SSE 1	10	8	10●*	0.9	⚹ ● 14–15, 21½
29	2.1	9.1	3.1	4.8	−1.2	715.2	715.0	715.4	75	38	58	SSE 1	SSE 1	E 1	10	3	0	.	
30	−0.3	11.9	4.9	5.5	−0.6	713.9	712.8	714.1	79	**32**	62	E 1	ENE 1	SSE 1	4	3	5	.	
31	1.3	**15.7**	8.0	8.3	2.0	715.7	715.6	716.0	82	35	55	SE 0	S 1	E 1	5	1	3	.	⌴ I
Mittel	0.5	5.1	1.9	2.5	—	716.5	716.6	717.4	84	62	79				8.0	7.3	7.0	Summe 118.8	

*) 8. ● 17⅝–24¼ m.U. 9. ⚹ fl. a, p, ⚹ 18–23 21. ⫩ a zeitw., ≡ I

$\lambda = 8°\,30'$, $\beta = 47°\,3'$,
$H_b = 1787.3^{m}$, $G = 0.20\,{}^{m}/_{m}$.

Rigi-Kulm

März 1939.
Beobachter: *J. Steiner.*

1	−8.0	−6.7	−6.2	−7.0	−3.1	608.1	610.2	613.0	83	78	65	WSW 3	W 2	W 1	2	9	4	.	
2	−5.8	1.8	−1.3	−1.8	2.0	614.7	616.2	616.7	45	**23**	38	W 0	SSW 1	SW 0	5	6	0	.	
3	−0.6	3.8	1.2	1.5	5.3	617.3	617.9	618.1	48	30	42	SE 0	S 0	S 0	0	0	0	.	
4	1.0	**4.8**	0.2	2.0	5.7	616.1	616.1	616.7	40	32	61	SE 0	WSW 1	W 1	0	0	3	1.4	
5	−0.8	−1.0	0.5	−0.4	3.2	616.6	617.4	618.6	98	100	97	W 2	W 2	W 2	8	10=	10	7.3	⚹ ● seit 10 zeitw., ≡ II
6	2.7	3.8	2.5	3.0	6.6	618.4	**618.9**	618.8	100	85	100	W 4	W 3	W 3–4	10=	10	10	12.6	● n–n zeitw., ≡ I
7	0.7	1.0	−6.0	−1.4	2.1	614.6	612.6	613.7	100	100	100	W 3	WSW 3	SE 2	10	10	10	**56.0**	●sch. n–15½ zeitw., ⚹ 15½–n
8	−9.0	−7.7	−7.0	−7.9	−4.5	614.8	614.0	612.2	100	100	100	WNW 2	NW 3	W 2	10	10=	10=	20.2	≡ II, III
9	−8.6	−9.0	−8.5	−8.7	−5.3	608.0	609.3	611.6	100	100	100	NNW 2	NW 2	W 2	10*	10	10*	15.6	⚹ I, III
10	−8.7	−7.2	−7.8	−7.9	−4.6	611.3	612.4	613.0	100	100	100	W 2	WNW 1	W 1	10*	10=	10=	15.8	⚹ n–n zeitw, ≡ n–n
11	−8.0	−7.0	−9.6	−8.2	−5.0	613.0	613.4	613.2	100	100	100	SW 1	N 1	W 1	10*	10=	10=	9.7	⚹ I, ≡ n–n
12	−9.7	−8.0	−11.8	−9.8	−6.6	611.3	612.0	613.8	100	100	100	NNE 1	W 1	NE 1	10=	10=	10=	2.3	≡ n–n
13	**−13.8**	−9.2	−12.5	−11.8	−8.7	614.1	615.9	616.6	100	98	98	E 2	E 1	E 1	4	7	1	0.3	
14	−12.7	−9.7	−9.3	−10.6	−7.6	613.9	611.7	611.8	92	100	92	NW 2	W 2	W 1	10	10*	10*	20.5	⚹ 8⅝–n
15	−6.0	−8.3	−10.0	−8.1	−5.1	605.9	608.4	609.1	98	98	98	W 3	W 1	W 1	10*	10=	10=	16.3	⚹ I, ≡ n–n
16	−11.7	−9.5	−10.8	−10.7	−7.8	609.4	609.4	610.4	94	98	98	W 1	W 1	W 1	10*	10=	10=	3.8	⚹ I, ≡ n–n
17	−10.2	−7.4	−9.0	−8.9	−6.1	602.7	603.4	603.6	94	98	98	W 3	W 4	W 1	10*	10*	10=	10.5	⚹ I, II, ≡ III
18	−9.5	−5.7	−12.0	−9.1	−6.3	603.8	605.1	606.4	98	96	100	E 1	E 1	E 1	10=	10=	10=	2.5	≡ n–n
19	−11.5	−6.7	−11.0	−9.7	−7.0	605.5	606.0	606.7	90	81	80	E 1	W 1	W 1	0	2	8	0.6	
20	−12.0	−6.4	−10.5	−9.6	−7.0	604.6	605.6	607.9	94	96	94	W 1	W 1	W 1	10*	10=	3	8.2	⚹ I, ≡ II
21	−9.5	−8.1	−9.0	−9.0	−6.4	603.7	603.8	605.0	98	96	96	W 4	NW 3	NW 3	10*	10*	10*	12.7	⚹ n–n
22	−10.6	−7.6	−5.8	−8.0	−5.5	606.1	605.7	603.4	96	90	96	W 2	W 1	NW 2	10=	10	10=	6.4	⚹ a, p zeitw., ≡ I, III
23	−6.8	−6.4	−8.0	−7.1	−4.7	**598.6**	599.5	600.9	90	92	99	WSW 1	W 1	W 1	8	10*	10=	18.2	⚹ II, ≡
24	−8.6	−4.5	−9.0	−7.4	5.0	599.8	599.4	601.0	98	90	75	W 1	ESE 1	E 1	10*	10=	1	0.5	⚹ I, ≡ II
25	−8.6	−5.0	−6.7	−6.8	−4.5	600.7	600.3	600.9	95	98	100	E 1	E 1	E 1	10*	10=	10=	2.7	⚹ I, ≡ n–n
26	−8.7	−4.0	−7.5	−6.7	−4.5	601.3	601.7	601.9	93	95	98	E 1	E 1	E 1	0	10=	10=	.	≡ II, III
27	−8.0	−2.0	−7.0	−5.7	−3.5	606.9	601.3	602.5	94	94	94	ENE 1	E 0	E 0	10=	10=	10=	0.9	≡ n–n
28	−7.8	−3.0	−7.3	−6.0	−3.9	602.2	603.5	606.3	94	94	94	W 0	W 1	W 1	10	10	10=	4.0	≡ III
29	−8.2	−5.0	−5.5	−6.2	−4.2	607.5	608.3	608.5	94	82	70	W 1	E 1	E 1	10	1	1	.	
30	−2.6	−0.8	−1.8	−1.7	0.3	607.3	607.3	609.0	71	54	65	SE 2	SE 3	W 1	3	4	7	.	
31	0.0	1.0	1.2	0.7	2.6	610.3	611.1	611.6	72	65	69	ENE 1	E 1	SE 1	7	1	2	.	
Mittel	−7.1	−4.5	−6.6	−6.1	—	608.7	609.0	609.8	89	86	88				7.6	8.1	7.4	Summe 249.0	

März 1930.
Beobachter: *P. Nogler.*

Bevers

$\lambda = 9^\circ 53'$, $\beta = 46^\circ 33'$.
$H_b = \text{ca. } 1710^m$, $G = -0.23\ ^m/_m$.

Tag	Lufttemperatur 7³⁰	13³⁰	21³⁰	Mittel	Abweich. vom Normalst.	Luftdruck 7³⁰	13³⁰	21³⁰	Relative Feuchtigkeit 7³⁰	13³⁰	21³⁰	Windrichtung und Stärke 7³⁰	13³⁰	21³⁰	Bewölkung 7³⁰	13³⁰	21³⁰	Niederschlag	Witterung
1	-4.2	-0.7	-5.9	-3.6	2.0	613.8	615.9	619.2	68	40	61	NW 2	NW 2	N 1	10	9	8	.	✳
2	-11.5	0.7	-7.0	-5.9	0.2	622.1	622.1	623.8	78	38	72	W 1	SW 1	W 1	0	3	0	.	✳
3	-9.5	3.2	-7.8	-4.7	1.2	623.7	623.9	624.6	79	41	89	W 0	W 0	W 0	2	0	0	.	✳
4	-10.4	4.9	-5.3	-3.6	2.2	623.9	622.1	622.6	90	38	73	SW 0	S 2	W 1	0	0	0	.	✳
5	-2.6	4.0	0.0	0.5	0.1	622.5	623.3	**625.0**	72	61	100	W 1	SW 2–3	W 0	6	10	10	.	✳
6	-1.0	8.4	2.2	3.2	8.7	624.7	624.3	624.0	91	45	98	W 1	SW 3–4	SW 2	10	5	3	3.2	● p zeitw. ✳
7	1.5	**9.0**	-1.8	2.9	8.2	619.7	618.6	617.5	93	62	67	NW 1	NW 1–2	NW 2–3	5	8	10*	1.8	● p, ● ✳ 18½–n
8	-6.2	-3.0	-5.5	-5.1	0.1	619.7	619.3	618.7	59	72	95	NE 1–2	NNW 1	NW 1–2	10	10*	10*	5.8	✳ n–n
9	-5.2	-3.1	-6.8	-5.0	0.0	612.5	614.3	616.7	95	60	77	NW 1	NNE 1–2	NE 1	10*	10*	10	3.2	✳ a. p
10	-7.4	-3.1	-8.0	-6.2	-1.3	616.8	616.8	618.1	90	61	90	NW 1	W 0	NW 1–2	9	10*	0	0.9	✳ a–20
11	-8.0	-4.0	-9.7	-7.2	2.5	618.0	618.0	619.1	90	45	68	NNW 1	NW 3	NW 1	10†	10*	6	0.3	✳ I, II
12	-11.2	-5.6	-10.4	-9.1	-4.5	617.4	617.0	618.8	72	42	55	NW 1	NE 3	NW 1–2	10*	7	0	.	✳ I
13	-17.2	-6.6	-12.7	-12.2	-7.8	620.7	620.9	622.6	83	40	61	W 1	NE 2	NW 1	5	4	0		
14	-16.0	-3.4	-8.0	-9.1	-4.8	619.6	619.4	619.2	78	54	79	W 1	NE 2	N 1	10	10*	10	9.5	✳ II
15	-7.7	-8.1	-10.5	-8.8	-4.7	620.6	620.4	621.2	100	60	100	NW 1	NW 2–3	N 4–5	10†	10†	10*	**19.9**	✳ 🌧 n–n
16	-12.8	-8.1	-11.0	-10.6	-6.0	611.5	614.5	614.7	96	40	82	NE 4	NE 4–5	N 1–2	5	10	10	0.6	✳ 🌧 n–n
17	-15.4	-6.9	-13.0	-11.8	-7.9	613.1	610.3	611.0	80	68	83	NW 1	NW 2–3	N 1	9	10*	10	0.2	✳ II
18	-18.0	-1.3	-10.2	-9.8	-6.1	610.0	611.7	612.9	85	63	83	NW 0	W 1	NW 2	10	5	10	.	
19	-19.8	-1.3	-10.4	-10.5	-6.9	613.2	610.8	611.5	89	63	68	W 0	SW 1	SW 1	2	0	0	.	
20	-11.5	-4.5	-8.8	-8.3	-4.9	610.0	610.1	612.2	81	62	55	SW 1	NE 2	NW 1	0	8	0	.	
21	-10.9	-4.8	-10.2	-8.6	-5.3	608.8	608.7	609.5	74	53	95	NE 1–2	W 2	NW 0	6	10*	10	7.8	☩ mtgs.
22	-7.0	-3.5	-6.3	-5.6	-2.5	610.6	611.1	609.5	70	49	93	NE 1	W 2–3	W 1	10	7	10		
23	-11.4	-2.8	-6.8	-7.0	-4.0	605.4	**604.6**	607.1	90	65	60	WSW 1	NE 2–3	W 0	8	10*	7	0.3	✳ II
24	-12.7	-1.1	-6.0	-6.6	-3.8	606.5	605.5	606.4	79	38	85	SW 1	W 0	NW 1	7	0	10	.	
25	-7.0	-0.2	-7.4	-4.9	-2.2	606.4	605.7	607.4	93	45	80	N 1	NW 1	W 0	10	10	4	0.0	
26	-13.0	0.0	-7.4	-6.8	-4.3	608.7	607.9	608.1	82	53	70	NE 1	W 0	W 1	3	2	5	.	✳
27	-8.8	1.2	-4.2	-3.9	-1.5	607.1	606.8	607.9	78	51	93	W 1	W 0	NW 1	10	10*	10	1.7	☩ p ✳
28	-7.0	0.2	-5.0	-3.9	-1.7	607.9	608.5	612.0	91	50	85	NW 1	W 0	W 1	5	6	4	.	✳
29	-12.0	-0.1	-9.3	-7.1	-5.0	614.1	614.4	616.1	81	43	70	WSW 0	WNW 1	W 0–1	4	0	0	.	✳
30	-15.0	3.8	-3.0	-4.7	-2.8	616.4	615.9	617.1	77	**38**	67	W 0	W 0–1	W 1–2	0	0	10	.	✳
31	-4.4	4.5	0.1	0.1	1.9	617.7	617.4	618.8	85	53	77	NW 1	W 0	SW 0	10	0	10	.	✳
																		Summe	
Mittel	-9.8	-1.1	-7.0	-6.0		614.6	614.4	615.5	82	51	78				6.9	6.3	6.1	55.2	

März 1939.
Beobachter: *Kapuzinerkloster.*

Sitten

$\lambda = 7^\circ 21'$, $\beta = 46^\circ 14'$,
$Hb = 548.6^m$, $G = -0.11\ ^m/_m$.

1	2.7	6.7	3.2	4.2	0.9	712.	713.6	716.6	66	45	57	W 1–2	W 2	W 1–2	3	9	6	.	✳° seit 11¾ m.U.
2	-0.8	7.3	4.0	3.5	0.1	719.0	718.3	718.4	66	41	63	N 1	NNE 1	NNE 1	5	5	0	.	
3	1.2	12.1	6.2	6.5	2.9	719.8	718.5	719.0	75	39	57	NNE 1	W 1	W 1	0	0	0	.	
4	1.3	12.4	7.3	7.0	3.3	718.5	716.2	718.1	70	37	55	E 1	S 1	NE 1	0	0	6		
5	4.4	5.2	4.2	4.0	0.8	718.9	720.5	**722.4**	75	100	100	NE 1	NE 1	NE 1	9	10●	10●	**18.0**	● II, III
6	4.9	11.0	9.6	8.5	4.5	722.2	721.5	720.5	90	73	97	NE 1	N 1	NE 1	10	9	10●	3.5	● III
7	9.1	10.7	5.1	8.3	4.2	717.4	714.6	715.4	84	84	81	NE 1	NE 1	W 3	10	10●	10●	7.0	● a–n m.U.
8	2.1	6.1	3.6	3.9	-0.4	720.0	720.0	720.0	59	47	62	W 1–2	W 1–2	W 1	10	10	10	1.1	● ✳ I, ✳ a m.U.
9	2.6	5.5	1.7	3.3	-1.1	719.5	713.5	715.7	86	45	74	W 2	W 2	N 2	10●*	10	10	1.4	
10	1.2	5.9	2.6	3.2	-1.4	716.1	715.3	717.0	79	51	66	W 1	W 1–2	W 1–2	8	10	10	.	⌴ I
11	-0.5	7.0	1.4	2.6	-2.1	717.7	716.5	717.2	73	37	63	N 1	W 1–2	W 1	7	7	0	.	
12	-2.6	5.3	1.0	1.2	-3.7	716.3	715.3	717.4	63	37	56	NNE 1	W 1	W 1	2	0	0	.	
13	-2.2	4.5	0.1	0.8	-4.2	719.6	719.4	721.0	59	43	49	NNE 1	W 1	NNE 1	3	4	0	.	
14	-2.2	-1.3	-0.6	-1.4	-6.4	721.1	719.2	716.6	63	83	80	NE 1	W 1–2	W 1–2	10	10*	10	3.8	✳ seit 11
15	0.7	4.5	0.7	2.0	-3.3	711.0	711.0	713.8	98	59	78	W 2–3	W 1–2	W 2–3	10*	9	10*	0.5	✳ I, a, III
16	-1.1	4.1	-1.8	0.4	-5.1	714.4	713.8	715.0	80	46	60	W 1–2	W 1	W 1–2	10	10	0	0.2	
17	-3.7	-1.5	-2.2	-2.5	-8.1	711.7	708.4	707.4	85	84	91	NE 1	E 1	E 1	10*	10*	10	8.0	✳ I, II
18	-1.8	3.7	-1.3	0.2	-5.6	706.6	706.5	708.4	86	50	71	E 1	W 1–2	W 1	10	5	0	.	
19	**-4.9**	2.9	-0.8	-0.4	-6.3	710.4	709.3	709.4	75	51	68	NE 1	W 1–2	W 1–2	0	1	0	.	
20	-1.7	4.1	0.7	1.0	-5.1	708.5	708.1	709.8	71	46	59	ENE 0	W 1	W 1–2	9	4	0	.	
21	0.5	0.6	0.4	0.5	-5.8	709.1	708.4	709.5	57	87	71	W 1–2	W 2	W 2	10	10	10	.	☩ 🌧 13½–14
22	0.2	4.2	0.7	1.7	-4.7	711.1	710.0	705.8	78	48	94	W 1–2	W 1	W 1–2	7	10*	10*	5.0	✳ II, 17½–n
23	0.5	4.1	1.6	2.1	-4.5	701.5	701.6	704.2	92	67	68	W 1	WSW 2	W 2	10*	8	10	2.2	✳ a m.U.
24	-0.5	6.4	3.5	3.1	-3.6	702.6	**700.1**	703.0	68	62	60	W 1	SW 1–2	W 1	4	6	9	.	
25	0.8	8.1	3.1	4.0	-2.9	702.9	700.5	701.6	88	41	63	W 1	W 1–2	W 1	10	6	6	.	
26	-0.2	8.3	3.1	3.7	-3.3	703.7	702.0	702.9	65	36	61	NE 1	NE 1	W 1	2	3	8	.	
27	0.4	7.8	2.9	3.7	-3.5	703.2	702.1	703.5	80	51	66	W 1	W 2	W 1–2	0	6	7	.	
28	1.9	7.7	2.5	4.0	-3.3	704.7	704.9	708.3	75	41	71	NE 1	W 2–3	W 2	8	8	8	.	🌧 15–16
29	0.5	8.9	4.7	4.7	-2.8	711.0	709.7	710.3	73	36	48	E 1	E 1	E 1	0	1	0	.	
30	0.3	12.9	5.3	6.2	-1.4	709.4	707.5	708.0	75	**31**	57	NE 1	NE 1	NE 1	9	9	0	.	
31	3.4	**14.7**	10.3	9.5	1.7	711.8	710.4	711.7	59	35	42	NE 1	NE 1	W 1–2	0	1	8	.	
																		Summe	
Mittel	0.5	6.5	2.7	3.2		712.3	711.5	712.5	75	53	67				6.3	6.5	5.7	51.3	

$\lambda = 8^\circ 57'$, $\beta = 46^\circ 0'$,
$H_b = 276.2^m$, $G = -0.01\ ^m/_m$.

Lugano

März 1939.
Beobachter: *G. Vicari.*

Tag	Lufttemperatur 7³⁰	13³⁰	21³⁰	Mittel	Abweich. vom Normalst	Luftdruck 7³⁰	13³⁰	21³⁰	Relative Feuchtigkeit 7³⁰	13³⁰	21³⁰	Windrichtung und Stärke 7³⁰	13³⁰	21³⁰	Bewölkung 7³⁰	13³⁰	21³⁰	Niederschlag	Witterung
1	3.6	11.6	5.2	6.8	1.8	732.3	733.8	738.4	88	**22**	40	N 1	N 2	N 1	2	0	0	.	
2	0.0	9.2	3.6	4.3	−0.8	742.7	742.3	743.8	72	46	54	N 1	S 0	N 1	0	0	0	.	
3	1.0	11.2	4.6	5.6	0.3	744.9	745.5	745.3	74	44	75	N 1	S 1	N 1	0	0	0	.	
4	1.0	11.0	4.2	5.4	0.0	744.4	742.2	741.8	88	46	71	N 1	SE 1	N 1	0	0	0	.	
5	2.0	9.2	6.6	5.9	0.4	743.0	744.1	744.6	92	68	84	N 0	SSE 0	N 1	5	10	10	.	
6	5.8	8.0	6.2	6.7	1.0	**746.7**	746.4	743.7	92	63	80	W 0	E 0	N 1	10	10	3	.	
7	5.0	9.0	7.2	7.1	1.3	740.1	736.7	732.9	88	78	80	N 0	S 0	W 1	10	10	3	.	
8	7.0	11.2	5.4	7.9	2.0	738.7	739.7	739.8	27	26	47	NNE 3	NNW 2	N 1	0	1	5	.	
9	4.0	11.0	5.6	6.9	0.8	731.2	733.1	734.8	73	24	29	W 3	N 2	NNE 2	10	1	0	.	
10	7.0	11.6	5.8	8.1	1.9	735.7	735.8	737.4	31	26	32	NNE 2	NNE 2	N 1	0	6	0	.	
11	2.2	10.4	5.4	6.0	−0.3	738.8	738.2	739.6	44	28	35	N 1	ENE 2	ENE 2	1	1	0	.	
12	−0.8	9.6	3.8	4.2	−2.3	739.1	737.5	740.0	53	26	32	N 1	N 2	NE 2	1	0	0	.	
13	2.2	7.6	1.6	3.8	−2.8	742.5	742.2	743.6	29	26	33	N 2	N 3	ENE 2	0	0	0	.	
14	**−1.0**	8.6	3.8	3.8	−2.9	741.1	735.6	736.2	51	38	45	N 1	S 1	NE 2	10	4	7	.	
15	4.8	8.8	3.4	5.7	−1.2	730.2	729.2	733.3	76	28	47	WNW 2	NNE 3	NNE 1	10	8	10	0.1	
16	2.2	6.6	2.0	3.6	−3.4	735.4	735.3	736.4	36	26	35	NNE 2	ENE 3	NNE 1	4	0	0	.	
17	**−1.0**	6.6	2.0	2.5	−4.6	735.0	732.9	732.8	43	31	50	NNW 1	S 1	NE 1	2	10	3	.	
18	−0.4	4.8	3.2	2.5	−4.8	732.0	731.5	733.2	66	56	83	N 1	S 1	SSW 1	7	10	10	0.2	●° n zeitw.
19	0.8	7.8	3.0	3.9	−3.5	734.5	732.8	731.6	88	52	63	WSW 1	S 1	N 1	3	1	0	.	
20	−0.4	11.2	3.4	4.7	−2.8	729.5	728.2	730.5	92	26	27	N 1	N 2	NE 2	2	0	0	.	
21	2.4	6.8	2.6	3.9	−3.8	728.1	728.0	728.6	51	33	40	E 0	N 2	N 1	0	4	0	.	
22	1.6	12.8	6.2	6.9	−0.9	729.3	728.8	727.0	48	**22**	45	NW 0	N 2	N 1	1	0	0	.	
23	3.0	7.4	7.6	6.0	−1.9	722.2	**721.7**	723.3	68	68	32	N 1	SW 2	E 1	10	10	10	.	
24	6.2	9.0	4.4	6.5	−1.6	723.2	723.2	725.1	32	45	82	ENE 1	S 1	W 1	3	10	10	.	
25	3.0	6.8	3.6	4.5	−3.7	725.6	723.8	726.9	88	72	92	ENE 0	S 1	NE 1	10	10	10	.	
26	3.0	10.8	5.2	6.3	−2.0	727.9	727.2	725.6	93	48	70	N 1	SSE 1	N 1	10	7	8	.	
27	4.2	8.2	5.8	6.1	−2.4	724.3	725.9	726.7	84	67	92	N 1	NNE 1	NE 1	10	10	10	**3.6**	●° 18½-19, n
28	4.4	9.8	5.8	6.7	−1.9	726.7	726.8	729.4	96	51	68	N 1	ESE 1	N 1	10	10	7	.	
29	2.0	**14.6**	6.2	7.6	−1.1	732.6	733.7	732.9	68	26	53	S 1	ESE 1	N 1	0	0	0	.	
30	2.6	13.0	8.2	7.9	−1.0	734.8	734.1	736.9	63	33	68	N 1	S 0	N 1	10	10	4	.	
31	7.0	11.8	8.2	9.0	0.0	736.7	736.2	737.4	85	58	65	E 0	S 0	NNE 1	10	8	7	.	
Mittel	2.7	9.6	4.8	5.7	—	734.5	733.9	734.8	67	42	56				4.9	4.9	3.8	Summe 3.9	

$\lambda = 7^\circ 35'$, $\beta = 47^\circ 33'$,
$H_b = 318^m$, $G = 0.11\ ^m/_m$.

Basel

März 1939.
Beobachter: *Astronom.-Meteorol. Anstalt.*

1	1.5	4.1	2.1	2.6	0.1	732.3	733.8	736.7	76	76	82	SW 1	W 2	E 1	3	10●△	2	0.8	● ✳ 12⅝, ● △ 13½
2	−0.4	9.6	6.6	5.3	2.7	738.7	738.5	737.9	89	42	40	E 1	ENE 1	E 1	5	3	0	.	⌴° l
3	1.0	14.6	6.2	7.3	4.6	738.9	738.6	738.0	70	42	65	ESE 1	ESE 1	ESE 1	1	1	0	.	
4	1.7	14.2	6.8	7.6	4.8	737.7	736.3	737.7	80	47	71	ESE 1	WNW 1	SSE 1	0	0	8	.	⌴° l
5	6.3	8.7	8.6	7.9	4.9	737.8	737.7	740.0	84	88	92	E 1	E 1	NE 1	10	10	10	2.7	● 9–11½
6	12.0	14.2	11.5	12.6	9.5	739.1	738.8	737.9	82	65	97	WSW 1	SW 2	WSW 1	10	10●	10●	8.8	● 3¼–n zeitw.
7	11.8	7.6	3.6	7.7	4.5	734.4	734.3	737.9	73	93	80	SSW 2	WNW 1	SW 1	10	10●	10●	**30.3**	● n–19¾ m.U.
8	2.1	4.6	5.0	3.9	0.6	740.6	739.6	736.4	80	71	75	WSW 1	WSW 2	WSW 2	9	10●	10●	9.3	● 18½–22⅝ m.U.
9	1.1	1.8	2.0	1.6	−1.9	733.5	734.5	735.9	87	78	89	WSW 2	WSW 2	WSW 2	9	10	10	2.3	● 1⅝–4⅝, ✳ 5¼–20¾ zlw
10	1.3	1.7	0.6	1.2	−2.4	736.8	737.3	738.6	91	93	96	WSW 1	WSW 1	S 1	9	8	9	5.3	✳ 3⅝–4¼, ●✳△ 12¾–18⅝ zlw.
11	0.8	5.1	0.6	2.2	−1.5	739.4	739.0	738.5	92	57	92	WSW 1	NNE 1	S 1	10	7	10	3.3	✳ 5¼
12	−1.0	3.3	0.5	0.9	−3.0	737.3	738.1	741.2	100	71	75	SE 0	SW 0	ESE 0	10	9	10	0.1	✳ 1¼–3½ ⊠
13	−1.8	1.8	−1.8	−0.6	−4.6	743.2	743.9	**744.7**	84	54	89	NW 1	N 1	W 1	10	10*	6	0.2	✳° 13–14
14	−1.8	−0.6	0.1	−0.8	−4.9	741.7	738.7	737.2	92	88	88	SW 1	S 1	SSE 1	10*	10*	10*	7.0	✳ 7–16¼ m.U., ✳° III
15	3.1	2.8	0.6	2.2	−2.0	730.4	734.8	736.2	84	45	82	W 2	NNE 1	W 1	10●	10*	7	1.7	✳ 0½–12¼ m.U., 16¼, ● 7¼–⊠
16	−1.7	1.6	−2.1	−0.7	−5.1	736.3	736.1	735.8	98	78	90	WNW 0	WNW 1	NE 1	10	9	0	2.0	✳ 2¼–2⅝, 10½–16⅝ m.U. [8¼ ⊠
17	−2.2	2.9	0.4	0.4	−4.1	728.1	726.8	726.6	100	78	100	ESE 1	WSW 1	SW 1	10*	10	9	13.9	✳ 7½–11½, 18¼–20¾ m.U., ⊠
18	−2.4	0.4	−2.2	−1.4	−6.0	729.7	731.7	733.1	97	62	61	NW 1	N 1	NNE 1	10*	10	3	0.9	✳ 0¼–7⅝, 14¼ [● 11½–12 ⊠
19	**−8.9**	2.8	−1.9	−2.0	−6.7	732.6	732.0	730.5	98	41	80	NE 0	NNW 1	S 1	10≡	2	7	.	≡ 6–9, ⊕ 12–16 ⊠
20	−1.1	2.8	−0.8	0.3	−4.6	729.7	730.8	731.6	80	59	81	WSW 1	N 1	SSW 1	10*	6	3	0.4	✳ 7½–11½ ⊠
21	1.2	3.3	1.4	2.0	−3.0	727.8	728.2	729.6	83	58	74	WSW 2	W 2	WSW 2	10*	10*	9	0.7	✳ 7–11⅝ zeitw.
22	0.5	3.2	1.6	1.8	−3.3	730.7	728.6	724.7	76	61	93	WSW 1	SSW 1	ENE 1	10	10	10	6.4	● 17, 23½, ✳ 24
23	0.4	6.3	−0.5	2.1	−3.2	**720.0**	721.8	723.7	96	60	90	ENE 0	WNW 1	SSE 1	10●	9	0	0.5	✳ 0¾–8¼ m.U.
24	1.8	8.0	0.7	3.5	−1.9	722.3	721.6	723.5	88	44	94	SSE 1	E 1	S 1	9	3	9	.	✳fl. 8
25	0.1	3.8	2.7	2.2	−3.3	723.9	723.1	724.0	94	83	85	E 0	NW 1	WNW 1	10*	10	10●	0.6	✳° 7½, ● 13¼, 21½
26	−0.5	4.8	3.5	2.6	−3.0	725.1	724.8	724.9	98	68	65	WNW 1	SE 1	NNE 1	10≡	10	10	.	≡ n–9½
27	0.5	3.2	2.2	2.0	−3.8	724.1	724.4	725.0	94	80	91	WNW 1	WNW 1	SW 1	10	10	10	0.3	✳ 12, ● △ 18–18¼
28	1.5	5.7	2.0	3.1	−2.8	725.0	726.4	729.5	91	63	75	SSW 0	WNW 2	S 1	10	9	10	.	
29	1.8	11.7	4.0	5.8	−0.2	730.8	730.7	730.9	82	36	58	E 1	E 1	E 1	10	5	0	.	
30	−1.0	11.0	4.6	4.9	−1.3	729.8	729.1	729.3	92	41	68	SW 0	NW 1	ESE 1	5	7	2	.	⊕ 13–15, ⌴ l
31	2.6	**15.1**	5.7	7.8	1.5	731.2	731.2	731.5	74	**34**	77	ESE 1	WNW 1	W 1	8	0	3	.	⊖ III
Mittel	1.0	5.8	2.4	3.1	—	732.6	732.6	733.2	87	63	81				8.6	7.7	6.7	Summe 97.5	

März 1939.
Beobachter: *Observatorium*

Säntis

$\lambda = 9^{\circ}\,20'$, $\beta = 47^{\circ}\,15'$,
$H_b = 2500.1^{m}$, $G = -0.27\,^{m}/_{m}$.

Tag	Lufttemperatur 7³⁰	13⁸⁰	21³⁰	Mittel	Abweich. vom Normalst.	Luftdruck 7³⁰	13³⁰	21³⁰	Relative Feuchtigkeit 7³⁰	13³⁰	21³⁰	Windrichtung und Stärke 7³⁰	13³⁰	21³⁰	Bewölkung 7³⁰	13³⁰	21³⁰	Niederschlag	Witterung
1	-12.6	-11.6	-12.0	-12.1	-3.7	553.8	556.0	558.7	88	90	90	W 3	W 2	W 2	10	10 *	10 *	10.1	* ⫩ 12-n, ⌒ n-n
2	-12.4	-8.2	-5.8	-8.8	0.5	560.8	563.0	564.1	86	46	60	W 3	NW 2	NW 1	1	7	2	.	
3	-3.4	-1.6	-2.0	-2.3	6.0	564.8	**565.8**	565.5	49	38	44	NW 1	W 1	WSW 0	3	1	0	.	
4	-2.7	**-0.3**	-5.0	-2.7	5.5	564.1	564.2	563.7	40	38	61	SSW 1	SW 2	WSW 4	0	1	8	4.2	
5	-4.6	-3.8	-3.8	-4.0	4.1	563.3	563.7	565.6	100	100	100	W 3	W 2	WSW 2	10 *	10 *	10 -	16.8	* n-17 m.U., ⫩ 11-17,*)
6	-1.2	-1.2	-1.1	-1.2	6.9	564.4	565.3	564.4	100	100	100	W 4	W 4	W 3	10	10 -	10 *	**64.6**	* 15-n m.U., ≡ n-n, *)
7	-3.4	-2.8	-10.8	-5.7	2.3	560.4	558.0	559.0	100	100	100	W 6	W 6	NW 3	10 *	10 *	10≡*	44.2	* n-n m.U., ≡ n-n, ⌿ n-p
8	-14.2	-12.6	-11.2	-12.7	4.8	559.7	558.8	556.5	98	86	83	WNW 2	WSW 3	WSW 4	10≡*	10-*	10 *	14.7	* ⫩ ≡ n-n, ⌿ p
9	-14.0	-14.2	-13.2	-13.8	-5.9	553.3	554.1	556.2	84	84	90	NW 3	W 4	WSW 3	10-*	10-*	10≡*	22.7	* ⫩ ≡ n-n
10	-13.4	-12.0	-12.8	-12.7	-4.9	556.8	557.5	558.3	88	90	90	WNW 2	NW 3	N 1	10 *	10 -*	10 *	29.8	* ≡ n-n
11	-14.4	-13.6	-15.0	-14.3	-6.6	558.3	558.6	558.4	86	87	86	NNE 1	NNW 1	NNW 1	10 *	8	10	3.2	* n-10, 16-17, ≡ n-n m.U.
12	-16.4	-14.8	-17.6	-16.3	-8.8	556.8	557.3	558.7	82	84	82	NW 2	NW 3	NNE 2	10	10 *	10≡*	3.0	* 9-n, ≡ n-n m.U.
13	-18.8	-17.6	-18.2	-18.2	-10.6	559.4	560.5	561.4	82	86	80	NNE 1	NE 2	NNE 1	10 *	10-*	3	1.1	* n-18 m.U., = n-21
14	-17.0	-14.8	-14.6	-15.5	-8.0	558.5	557.0	556.4	80	82	80	W 3	WSW 3	W 2	10≡*	10-*	10 *	2.5	* ⫩ ≡ n-n
15	-11.8	-17.1	-16.8	-15.2	-7.7	551.3	552.5	553.7	83	85	86	WNW 4	N 2	N 2	10 *	10-*	10-*	17.4	* ⫩ ≡ n-n
16	**-19.0**	-16.3	-18.2	-17.8	-10.4	554.2	554.4	554.7	75	80	78	N 2	N 1	NW 2	10	10-	10	3.5	* 14¹/₄-21, = n-n m.U.
17	-15.0	-12.4	-13.8	-13.7	-6.4	551.2	548.7	549.8	79	90	90	WSW 3	W 5	WSW 2	10 *	10-*	10-*	12.0	* ≡ n-n, ⫩ ⌿ n-16
18	-13.8	-12.0	-15.2	-13.7	-6.4	549.9	551.3	552.3	86	81	89	SE 0	E 0	NE 1	9	3	0	.	
19	-13.3	-11.2	-10.0	-13.5	-6.3	551.8	552.2	551.6	74	62	78	NE 2	NW 2	SW 3	1	1	10	1.2	
20	-16.7	-12.6	-15.8	-15.0	-7.9	550.1	551.2	552.0	82	85	83	SW 2	WSW 1	W 3	10-*	10≡*	10 *	5.6	* n-10 12¹/₄-n, ≡ n-n
21	-14.0	-14.0	-14.2	-14.1	-7.0	548.5	549.4	550.4	93	87	85	W 5	W 3	WSW 3	10-*	10-*	10-*	7.0	* ⫩ ≡ n-n, ⌿ l
22	-15.4	-13.2	-10.4	-13.0	-6.0	551.2	551.3	549.8	86	85	86	WSW 4	SW 3	WSW 3	10-*	10	10 *	12.7	* n-11, 14-n, ⫩ ⌒ n-n, ⌿ l
23	-12.2	-11.2	-13.7	-12.4	-5.5	546.4	**546.1**	547.7	70	90	85	WSW 2	WSW 4	SW 2	9	10-*	10≡	11.3	* ⫩ 10-17, = 9⅜-n
24	-13.2	-10.4	-12.6	-12.1	-5.2	546.9	546.9	547.7	86	86	87	WNW 1	E 0	E 0	10≡	10≡	10≡	4.9	*° 8-17 m.U., ⌒ n-n m.U.
25	-13.8	-11.6	-12.8	-12.7	-5.0	547.5	547.4	548.1	87	87	88	E 2	NNE 2	NE 1	10-	10 *	10≡	0.6	* 9-20, ≡ n-n
26	-10.0	-10.3	-11.2	-10.5	-3.8	548.5	549.2	549.1	89	69	85	SE 0	ESE 2	NE 2	1	1	3	.	
27	-11.1	-8.6	-12.2	-10.6	-3.9	547.9	548.2	549.0	84	65	95	NE 2	E 0	W 2	7	8	10≡	0.3	≡ 11¹/₂-13 m.U., 15-n
28	-12.8	-9.6	-11.9	-11.4	-4.8	548.8	550.1	552.5	93	90	90	W 2	WNW 1	W 1	10-*	10	10≡*	5.9	* ≡ n-n m.U.
29	-13.1	-8.4	-10.8	-10.8	-4.3	553.9	555.0	555.8	90	75	54	WSW 2	S 1	SW 3	10-	6	0	.	≡ n-8¹/₂
30	-5.4	-3.3	-6.6	-5.1	1.4	556.0	556.3	556.9	56	**35**	54	ESE 1	SSE 2	SW 2	4	3	8	.	
31	-5.4	-3.8	-5.7	-5.0	1.4	558.1	559.1	559.2	94	86	80	NW 3	ENE 1	ESE 3	10-	8	3	.	*° 7-11 m.U.
																		Summe	
Mittel	-11.8	-10.2	-11.0	-11.2	—	554.7	555.1	555.7	83	79	82				8.9	8.0	8.0	299.2	

*) 5. ≡ n-n, \ l, ⌒ (16¹/₂) 6. ⌒ l, ⌿ n-p

März 1939.
Beobachter: Frl. *F. Lombardi.*

St. Gotthard (Hospiz)

$\lambda = 8^{\circ}\,34'$, $\beta = 46^{\circ}\,33'$,
$H_b = 2095.7^{m}$, $G = +0.25\,^{m}/_{m}$.

1	-9.0	-6.0	-8.8	-7.9	-1.4	584.7	586.3	588.7	64	85	90	N 2	N 2	N 3	3	10-	10-	2.6	≡ 13-n
2	-9.7	-4.0	-7.6	-7.1	-0.7	591.3	592.7	593.7	89	83	70	N 1	N 1	N 1	3	0	0	.	
3	-6.4	-1.4	-5.2	-4.3	2.1	594.6	595.3	594.8	64	60	64	N 1	N 1	N 0	0	0	0	.	
4	-4.8	0.2	-2.0	-2.2	4.1	593.8	593.8	593.6	70	84	70	SE 0	SE 0	SE 2	0	0	2	0.2	
5	-3.0	-0.6	-1.4	-1.7	4.6	593.3	594.4	595.5	75	82	90	N 1	SE 1	SE 1	5	10-	10≡	9.0	*° 12⅝-15, = 14¹/₂-n
6	0.0	**3.6**	0.0	1.4	7.6	**596.4**	596.2	595.3	71	68	95	SE 1	SE 0	SE 1	5	5	10-	9.4	● * 15¹/₂-18¹/₂, = 16-n
7	0.8	1.8	-8.8	-2.1	1.0	591.8	589.4	586.9	83	65	72	N 0	N 1	N 3	7	10	10≡	25.0	* 15¹/₂-n, ≡ ⫩ 17-n
8	-10.8	-8.8	-9.0	-9.5	-3.4	589.5	590.0	589.6	70	83	80	NE 3	NE 3	NE 2	10≡	10≡	10≡	30.2	* ⌿ ≡ n-n
9	-10.2	-9.5	-11.2	-10.3	-4.3	583.5	584.9	585.9	80	80	75	NE 3	NE 3	NE 4	10	10≡	10-	21.0	* ⌿ ≡ n-n
10	-10.6	-8.4	-10.0	-9.7	-3.7	586.4	587.0	587.7	74	72	78	NE 3	NE 3	NE 3	10	10	10≡	10.2	* ⌿ ≡ n-n
11	-10.2	-8.8	-12.8	-10.6	-4.7	588.3	588.8	588.7	78	77	78	N 2	N 2	N 2	10≡	8-	10-	8.5	≡ n-n
12	-14.2	-10.6	-13.8	-12.9	-7.1	586.8	587.1	588.5	70	64	75	N 1	N 1	N 2	6	5	10≡	6.1	* ⫩ p zeitw., = 15-n
13	-14.8	-13.3	-14.6	-14.2	-8.4	589.8	590.8	591.6	72	64	71	N 2	N 2	N 3	5	3	6-	3.0	⌿ ≡ 16-n zeitw.
14	-14.2	-11.8	-12.2	-12.7	-7.0	588.9	587.3	586.6	65	67	70	N 2	N 3	N 4	10≡	10-	10*-	48.0	≡ n-n, * III, ⌿ abds.
15	-7.0	-10.8	-13.0	-10.3	-4.6	580.0	580.0	580.7	80	75	78	N 4	N 4	N 4	10≡	10-	10-	**60.1**	≡ ⌿ n-n
16	-14.4	-12.3	-13.4	-13.4	-7.8	583.5	583.8	584.5	83	80	87	N 3	N 3	N 2	10-	10-	10-	11.0	≡ ⌿ n-n
17	-13.2	-9.8	-10.0	-11.0	-5.5	582.4	581.7	580.9	81	72	84	NW 1	SE 2	SE 2	10*	10-	10-	3.5	*° n-13⅝, = n-n,
18	-7.2	-9.0	-9.2	-8.5	-3.0	580.1	581.0	582.5	70	63	74	SE 1	N 1	N 1	2	2	0	0.3	[⫩ zeitw.
19	-8.4	-6.5	-9.8	-8.2	-2.8	582.5	582.4	582.0	63	60	71	N 0	N 0	N 1	0	0	10-	0.5	= 19-n
20	-12.6	-9.6	-10.4	-10.9	-5.5	580.5	580.9	581.5	75	74	76	N 1	N 2	N 3	5	8	10-	25.0	* 9¹/₄-9⅝, * ⌿ 10-n
21	-9.2	-10.4	-11.0	-10.2	-4.9	579.3	579.5	579.3	80	75	75	N 2	NE 3	NE 4	8≡	10-	10≡	31.2	= n-n, ⌿ 11-n
22	-10.4	-9.0	-10.0	-9.8	-4.6	581.5	581.7	580.4	70	71	74	N 2	N 2	N 2	7	7	10-	18.0	≡ 19-n, * ⫩ n
23	-8.0	-5.6	-11.4	-8.3	-3.1	575.4	**575.2**	577.0	88	74	70	N 0	NE 2	NE 3	5	10	10≡	5.5	≡ ⌿ 17-n
24	-8.8	-6.2	-9.8	-8.3	-3.2	576.4	576.3	577.3	68	62	75	NE 1	N 0	N 1	6	8	10≡	2.1	= 19¹/₂-n
25	-9.0	-7.0	-10.0	-8.7	-3.6	577.0	576.5	577.7	68	63	73	N 0	N 0	N 0	5	8	7	1.0	
26	-8.4	-2.0	-10.0	-6.8	-1.8	578.5	579.0	578.7	70	60	68	N 0	S 0	N 0	5	6	5	.	
27	-8.2	-7.0	-9.8	-8.3	-3.4	578.1	577.8	578.6	55	61	80	N 0	N 1	N 1	5	5	10≡	5.8	≡ 18-n, *° n
28	-9.0	-5.4	-8.0	-7.5	-2.6	578.7	579.7	581.9	78	61	80	N 1	N 1	N 1	7	5	10≡	2.5	≡ 17-n
29	-8.0	-7.0	-12.0	-9.0	-4.2	584.1	584.7	585.6	65	**42**	58	N 0	N 1	N 1	0	0	0	.	
30	-7.0	0.5	-6.4	-4.3	0.5	585.6	587.9	587.7	59	75	60	SE 1	S 1	S 1	2	5	0	.	
31	-4.0	0.2	-3.0	-2.3	2.4	588.0	588.6	589.7	58	56	70	SE 1	SE 0	SE 0	5	10	5	.	
																		Summe	
Mittel	-8.7	-6.3	-9.2	-8.1	—	584.9	585.2	585.6	72	70	75				5.7	6.6	7.6	339.9	

$\lambda = 7^\circ 26'$, $\beta = 46^\circ 57'$,
$H_b = 572.2^m$, $G = 0.00^m/_m$.

Bern

April 1939.
Beobachter: *Tellur. Observatorium.*

Tag	Lufttemperatur 7³⁰	13³⁰	21³⁰	Mittel	Abweich. vom Normalst.	Luftdruck 7³⁰	13³⁰	21³⁰	Relative Feuchtigkeit 7³⁰	13³⁰	21³⁰	Windrichtung und Stärke 7³⁰		13³⁰		21³⁰		Bewölkung 7³⁰	13³⁰	21³⁰	Niederschlag	Witterung
1	3.0	14.2	7.4	8.2	2.5	709.2	708.6	706.9	85	43	67	S	0	NE	0	SE	0	2	8	3	.	
2	3.4	13.0	6.6	7.7	1.9	707.0	705.5	705.6	87	55	94	SE	0	NE	0	SW	1	9	9	10●	6.2	● 17, 19¾–n
3	5.0	10.3	7.8	7.7	1.7	704.7	703.7	702.6	94	66	83	SE	0	W	1	S	0	10	9	8	.	● n–2¾
4	5.8	15.0	12.0	10.9	4.8	702.5	701.0	**700.5**	85	43	65	SSE	0	SW	1	W	0	9	6	10	8.1	
5	9.4	9.5	7.5	8.8	2.5	702.3	702.9	702.7	94	94	97	SW	1	SW	0	NE	0	10●	10●	10	**13.5**	● 2¼–4⅓ m.U.
6	7.7	14.0	10.6	10.8	4.4	704.5	705.0	706.2	95	75	94	SE	0	NE	0	NW	0	10	10	10	1.5	● 7¾, 16, 22¼–22⅓
7	8.8	14.0	11.3	11.4	4.8	708.1	707.9	708.3	90	72	84	E	0	NE	0	N	0	10	9	9	1.2	● 5½–9 m.U.
8	10.0	12.1	10.4	10.8	4.1	708.6	708.5	709.7	83	76	85	S	0	NNE	1	NE	1	9	10	10	.	
9	9.4	11.4	9.3	10.0	3.1	708.3	708.5	709.0	86	73	82	NNE	1	ENE	1	NE	0	10	10	5	.	
10	6.6	15.0	11.1	10.9	3.9	709.4	709.4	709.9	90	63	86	S	0	NE	0	NNE	0	10	0	0	.	
11	6.0	20.6	14.9	13.8	6.6	712.0	711.7	713.0	94	38	64	S	0	NE	0	SE	0	0	1	0	.	△ l
12	9.7	20.1	14.5	14.8	7.4	716.7	716.8	717.1	83	48	80	S	0	NE	0	S	0	9	2	1	.	
13	10.4	19.9	15.1	15.1	7.6	717.5	715.5	714.5	85	45	74	S	0	W	1	S	0	7	1	0	.	△ l
14	11.0	**21.0**	11.0	14.3	6.6	712.6	710.8	709.8	87	50	94	S	0	E	1	W	1	9	7	10	11.1	● 18¼–23¼ m.U., △ l
15	8.1	12.0	10.1	10.1	2.2	712.1	714.0	716.8	90	73	83	S	0	W	0	SW	0	10●	9	2	3.3	● 0–11¾ m.U.
16	8.0	15.0	9.2	10.7	2.6	718.1	717.5	718.0	87	46	76	S	0	WSW	1	NW	0	1	1	0	.	△ l
17	10.0	16.0	6.1	10.7	2.4	716.6	713.7	716.7	72	48	90	NW	0	W	1	NW	0	10	7	10●	6.9	● 15¼–n m.U.
18	4.8	7.7	4.6	5.7	−2.8	715.3	715.5	717.2	91	63	85	W	0	NW	1	NE	1	7	7	10	0.5	● n–19¾ zeitw.
19	4.0	9.4	6.4	6.6	−2.0	718.0	**718.6**	718.3	80	52	63	NE	1	ENE	2	NE	1	10	7	0	0.3	● 9½–9¾, 10¼
20	4.7	13.0	10.7	9.5	0.7	718.1	717.8	717.3	73	43	53	NE	1	NE	1	N	1	2	3	0	.	
21	4.8	15.9	11.3	10.7	1.7	716.7	715.7	714.3	88	40	50	SE	0	NE	1	E	0	0	0	0	.	△ l
22	6.3	19.0	12.0	12.4	3.3	712.6	709.6	709.7	85	**33**	55	SE	0	SW	1	W	1	0	1	2	.	△ l
23	6.1	10.7	7.8	8.2	−1.1	710.8	709.1	707.9	65	40	60	NE	1	W	1	SW	1	9	5	10	.	
24	6.2	11.8	9.5	9.2	−0.2	706.4	704.6	703.3	78	43	64	SW	1	WNW	1	NW	0	10	9	7	.	
25	8.7	14.0	8.0	10.2	0.6	702.5	701.8	703.4	75	47	89	W	1	SW	2	NW	1	7	9	10●	6.2	● 21¼–23¾ m.U.
26	4.7	8.9	4.0	5.9	−3.8	702.6	702.6	706.3	98	83	90	NW	1	NW	0	NW	0	10	10	10	5.2	● 0–1½ zlw., 9½–10, 17¾–21¼
27	4.8	9.0	5.4	6.4	−3.5	708.2	708.5	709.6	96	75	96	NE	0	SE	1	N	0	10	10	10	8.3	● 5¾–9, 14½–n m.U.
28	4.5	8.7	5.7	6.3	−3.7	709.8	709.6	708.9	95	73	83	E	0	NE	1	NNE	1	10	10	10	.	● n–4¼
29	3.4	9.5	7.3	6.7	−3.5	707.6	707.6	708.3	96	68	78	N	1	NE	0	NW	0	10	10	10	7.0	
30	3.5	8.4	6.7	6.2	−4.1	707.6	707.6	709.5	94	64	78	NW	0	NW	1	NW	0	10	10	10	.	● 1¼–7½
																					Summe	
Mittel	6.6	13.3	9.1	9.7	—	710.2	709.7	710.0	87	57	78							7.7	6.7	6.2	79.3	

$\lambda = 6^\circ 57'$, $\beta = 47^\circ 0'$,
$H_b = 487.3^m$, $G = 0.02^m/_m$.

Neuchâtel

April 1939.
Beobachter: *Observatorium.*

1	4.4	11.3	8.6	8.1	1.6	717.6	716.9	715.1	84	54	64	E	1	SE	0	SW	1	10	10	2	.	
2	4.6	11.0	6.1	7.2	0.5	715.0	713.8	713.9	89	60	97	NE	0	SW	1	SW	2	7	10	10●	11.4	●tr. 15–16½, ● 16½–n
3	4.2	10.6	8.4	7.7	0.9	712.9	711.6	710.2	97	64	79	W	0	SE	1	W	1	9	9	9	.	
4	8.2	14.1	10.8	11.0	4.1	709.8	707.9	**707.2**	80	50	76	W	0	SW	2	W	2	10	7	10●	12.5	● 19–n
5	8.9	9.1	7.0	8.3	1.2	710.0	711.1	710.8	94	97	95	W	2	SW	1	W	0	10	10●	10	**24.4**	● n–15¾ m.U.
6	7.1	9.6	8.7	8.5	1.3	712.2	713.2	714.9	100	95	100	E	0	E	0	SW	1	10●	10●	10●	16.3	● n–n
7	8.3	12.1	11.6	10.7	3.3	716.5	716.0	716.2	98	80	78	NE	0	E	1	E	1	10●	10	9	1.0	● a zeitw.
8	9.8	12.9	11.3	11.3	3.8	716.7	716.4	717.6	93	74	78	NE	0	E	1	E	1	10	10	10	.	
9	9.9	12.0	9.6	10.5	2.8	716.3	716.6	717.0	84	72	85	E	2	NE	2	E	0	10	10	1	.	
10	7.9	17.6	11.0	12.2	4.4	717.6	717.3	718.0	90	59	84	E	0	SE	1	NE	1	9	0	0	.	
11	7.4	19.5	14.5	13.8	5.8	720.3	719.9	720.9	97	54	65	NE	0	SE	1	E	0	0	0	0	.	
12	10.6	20.7	14.3	15.2	7.1	724.8	724.8	724.8	84	50	65	E	0	SW	1	W	0	6	1	0	.	
13	10.3	**21.3**	13.7	15.1	6.8	725.5	723.6	722.2	81	45	70	NW	0	S	1	NW	0	7	0	1	.	
14	11.7	17.2	12.1	13.7	5.3	720.6	716.9	717.8	74	56	67	W	1	SE	1	NW	3	2	10	10●	6.4	● 17¾–n
15	7.7	12.7	11.8	10.7	2.1	720.3	722.3	724.8	95	72	58	W	1	S	1	N	3	10●	9	1	1.0	● a
16	8.1	16.1	11.3	11.8	3.0	726.2	725.6	725.7	83	47	57	W	1	SW	2	NW	2	0	1	0	.	
17	10.3	13.8	6.7	10.3	1.4	724.6	722.1	724.1	74	58	82	SW	1	SW	2	NW	1	10	8	2	4.0	● 17–18½
18	5.9	8.0	5.1	6.3	−2.8	723.3	723.6	725.3	75	51	71	N	1	NE	2	NE	2	10	5	3	3.4	● n, ●sch. p m.U.
19	6.1	11.3	7.8	8.4	−0.8	726.1	726.2	725.9	60	45	51	NE	3	NE	4	NE	3	6	5	0	.	
20	6.5	14.7	12.2	11.1	1.7	**728.4**	725.8	725.0	62	38	49	E	1	NE	3	NW	2	2	5	0	.	
21	9.1	19.3	11.7	13.1	3.8	724.9	723.6	722.4	67	**34**	57	SE	1	NE	2	NE	0	0	0	0	.	
22	6.7	18.3	11.8	12.3	2.6	720.6	717.6	717.4	85	38	36	NE	1	SW	2	NW	4	0	1	1	0.0	●sch. 19
23	6.3	9.7	7.7	7.9	−2.0	719.2	717.4	716.0	60	47	55	SW	1	SW	1	SW	2	10	10	10	.	
24	6.9	11.0	9.0	9.0	−1.0	714.4	712.3	710.5	69	48	59	SW	1	SW	1	W	1	8	10	8	.	
25	8.5	14.3	7.0	9.9	−0.3	709.6	709.1	711.6	71	41	93	SW	1	SW	3	SW	0	7	9	10●	14.9	●sch. 13¾, 19½, 20¼–n
26	5.5	7.7	3.9	5.7	−4.7	710.2	710.6	714.4	95	94	98	E	1	NE	1	W	0	10●	10●	10	18.2	● n–n
27	5.0	6.8	5.1	5.6	−4.9	716.6	716.7	717.9	92	93	97	NE	0	NE	2	NE	1	10	10●	10	6.4	● 11–n
28	4.6	8.5	6.9	6.7	−4.0	718.3	717.8	717.3	97	74	77	E	1	E	1	NE	2	10	10	10	0.4	
29	4.7	9.9	6.8	7.1	−3.7	715.7	715.8	716.4	97	68	75	E	1	SE	1	NW	3	9●	9	10	1.4	●° l
30	5.0	7.6	6.6	6.4	−4.6	715.9	716.0	717.5	93	77	73	SW	1	SW	1	NW	1	10●	10●	9	0.2	●tr. zeitw.
																					Summe	
Mittel	7.3	13.0	9.3	9.9	—	718.3	717.6	718.0	84	61	73							7.7	7.0	5.5	121.9	

April 1939.
Beobachter: Frl. *H. Nager.*

Altdorf

$\lambda = 8° 39'$, $\beta = 46° 53'$,
$H_b = 456.3^m$, $G = -0.03^{mgal}_{m}$.

Tag	Lufttemperatur 7³⁰	13³⁰	21³⁰	Mittel	Abweich. vom Normalst	Luftdruck 7³⁰	13³⁰	21³⁰	Relative Feuchtigkeit 7³⁰	13³⁰	21³⁰	Windrichtung und Stärke 7³⁰	13³⁰	21³⁰	Bewölkung 7³⁰	13³⁰	21³⁰	Niederschlag	Witterung
1	4.0	12.5	7.4	8.0	1.0	720.1	719.2	717.7	84	41	60	NE o	NWo-1	NE o	4	6	5	.	
2	5.3	13.0	8.6	9.0	1.9	717.8	715.6	715.3	78	51	86	E o	NW o	NW o	6	7	8	4.9	
3	6.1	10.0	4.8	7.0	−0.3	715.7	714.3	713.9	95	54	89	NW o	N o	NW o	10●	8	4	.	● f
4	8.1	17.2	14.5	13.3	5.9	712.2	711.4	**710.6**	62	**27**	29	NW 1-2	S 3	SE 3	8	5	7	.	
5	12.3	14.0	9.0	11.8	4.3	711.8	713.1	713.0	48	40	80	NW 1-2	SE 1	NW o	9	6	7	.	
6	9.1	15.4	15.0	13.2	5.5	715.2	715.5	716.6	84	54	40	NW o	NWo-1	SE 1-2	8	10	10	0.2	● n
7	10.0	14.2	11.8	12.0	4.2	718.8	718.5	718.5	88	59	70	NW o	NW o	E o	10	10	7	.	
8	10.6	12.9	11.0	11.5	3.6	719.6	719.1	721.0	90	71	86	NW 2	NWo-1	NW c	10	10	10	.	
9	10.2	14.3	11.0	11.8	3.7	719.4	718.8	720.1	76	56	79	NW 2	NWo-1	NW c	10	7	10	.	
10	8.6	15.2	10.8	11.5	3.3	720.5	719.9	721.1	75	54	66	E o	NWo-1	NE c	5	0	0	.	
11	6.8	17.9	14.8	13.2	4.8	717.8	722.3	724.3	95	46	38	N o	NW o	SE o	0	0	0	.	
12	11.9	19.8	14.3	15.3	6.8	727.5	726.7	726.9	55	48	55	SE o	NW o	NE o	0	2	0	0.3	● n-23, T 22¹/₂
13	12.0	19.2	13.8	15.0	6.4	728.3	725.7	725.2	85	45	55	NW o	NWo-1	N o	0	2	0	.	
14	11.7	**20.6**	15.6	16.0	7.2	723.1	719.9	719.2	71	32	47	SW o	NW 2-3	SE 2	6	10	0	4.7	≤ 20¹/₂
15	9.4	13.2	9.8	10.8	1.9	722.0	724.5	728.0	95	36	81	NW o	NW o	NW c	10●	10	9	1.5	● f
16	9.6	15.8	11.8	12.4	3.3	729.1	728.3	728.4	82	46	60	NW o	NW 1	E o	2	4	8	.	
17	10.7	16.7	6.8	11.4	2.2	727.6	723.2	727.2	83	37	54	N o	N o	NW c	8	1	10	6.5	● abds.
18	7.2	6.7	4.3	6.1	−3.3	725.0	726.6	727.8	66	84	95	NW o	NW o	NW 2-3	10	10●	10●	17.3	◎ p-n zeitw.
19	4.7	9.3	5.2	6.4	−3.1	728.5	729.6	**730.1**	93	50	72	NW o	NW 1-2	NW o	10●	9	7	0.2	● f
20	**2.5**	11.6	7.5	7.2	−2.4	729.2	729.2	728.7	82	42	70	S o	NW o	E c	0	3	0	.	
21	4.1	13.8	10.8	9.6	−0.2	727.7	726.4	725.6	83	42	59	E o	NW o	SE o	0	2	0	.	
22	7.9	18.2	14.6	13.6	3.7	722.3	719.2	718.6	74	36	43	E o	NWo-1	NW 1-2	0	2	8	4.0	● abds. zeitw.
23	7.2	11.2	8.3	8.9	−1.2	720.7	719.4	718.3	46	34	49	N 2	NW 1	NE o	9	7	7	.	
24	6.8	11.5	7.6	8.6	−1.6	717.2	714.5	713.4	72	44	67	N o	NWo-1	NW c	10	8	7	.	
25	7.8	13.8	7.8	9.8	−0.5	712.5	711.9	714.2	71	47	93	NE o	NW 1-2	NW c	10	9	10	2.7	● n (25./26.)
26	8.3	17.8	7.3	11.1	0.6	713.1	711.1	717.1	83	31	91	NE o	SE 1-2	NWo-1	10	7	10●	**38.5**	● 17-n
27	4.0	8.2	5.5	5.9	−4.7	720.2	719.7	720.7	98	84	98	N o	S o	SE c	10●	10●	10●	22.7	● n-n
28	5.2	10.7	7.8	7.9	−2.8	721.5	720.3	720.1	91	58	95	S o	NWo-1	NE c	10●	7	10●	12.8	● I, III
29	5.5	9.2	8.0	7.6	−3.3	718.1	718.4	718.7	90	62	75	S o	W o	W o	10●	8	10	2.7	● f
30	5.6	9.2	7.3	7.4	−3.6	718.3	718.4	720.5	89	55	92	N o	NW o	NW o	10●	10	10●	0.4	● n-n zeitw.
																		Summe	
Mittel	7.8	13.8	9.8	10.5	—	720.7	720.0	720.7	80	49	69				6.6	6.1	6.3	119.4	

April 1939.
Beobachter: *Observatorium.*

Genf

$\lambda = 6° 9'$, $\beta = 46° 12'$,
$H_b = 405.0^m$, $G = -0.03^{mgal}_{m}$.

1	6.8	12.0	10.6	9.8	2.8	724.4	723.4	722.2	74	49	50	NE o	NNE 1	SW o	10	3	7	0.4	●°sch. 7, ● n
2	7.4	10.0	6.2	7.9	0.8	722.0	721.4	721.9	90	84	91	NE o	NW o	NE c	10●	10●	10●	18.3	● n-n
3	5.8	12.6	10.7	9.7	2.4	720.1	719.0	717.6	92	60	72	E o	SW 1	SW 1	10	10	9	.	
4	10.0	17.4	12.5	13.3	5.9	716.9	715.3	714.5	66	46	73	N o	SW 2	SE o	10	10	10	10.0	● 6³/₄, n
5	9.8	7.8	8.5	8.7	1.1	717.4	717.8	717.7	89	100	88	SE o	NNE 1	NNE o	10●	10●	10●	20.8	● n-n, ≐ II
6	7.8	9.8	9.3	9.0	1.3	719.4	720.3	721.6	97	89	97	NNE 1	NNE o	NNE 1	10●	10	10	14.4	● n-n
7	8.2	10.0	11.9	10.0	2.2	723.3	722.7	723.2	100	89	80	NNE 1	NNE 1	NE o	10●	10	10	2.9	● ≡ a, ●°sch. n
8	9.7	13.0	11.2	11.3	3.3	723.8	723.3	723.9	90	75	85	NE o	NNE 1	NE 1	10	10	10	.	
9	9.6	12.2	10.0	10.6	2.5	723.0	723.2	724.1	86	72	82	NE 1	NNE 1	NE o	10	9	1	.	
10	9.2	14.4	12.0	11.9	3.8	724.8	724.2	725.1	80	63	78	E o	NNE 1	NNE 1	9	0	0	.	△ fr.
11	8.5	18.6	18.4	15.2	6.8	727.5	726.9	728.3	90	51	57	NE o	NNE 1	SE o	0	0	0	.	△ fr.
12	12.8	**21.7**	16.5	17.0	8.5	732.1	732.0	731.9	77	44	46	NE o	SW 1	S o	0	0	0	.	
13	11.5	17.4	15.4	14.8	6.1	732.8	730.5	729.8	78	57	45	NE o	NNE 1	SSW 1	0	0	0	.	
14	11.6	19.5	11.5	14.2	5.4	728.1	724.0	726.2	80	47	75	W 1	W 1	SW 1	9	9	10●	**25.1**	●°sch. p, ● 20-n
15	8.3	12.8	10.0	10.4	1.4	728.0	729.8	732.3	93	66	72	NE o	NNE 1	NNE o	10	9	1	0.2	●tr. a
16	8.9	17.4	12.0	12.5	3.4	**734.0**	732.1	732.2	83	50	64	E o	SE 1	NE o	3	2	1	.	
17	10.7	17.3	9.0	12.3	3.2	732.6	730.1	731.8	79	48	82	E o	SW 1	E 1	9	2	10	3.4	
18	6.6	8.5	6.2	7.1	−2.3	730.7	730.9	731.8	85	54	76	E o	NNE 2	NNE 2	10	9	9	1.6	
19	6.3	10.2	9.0	8.5	−1.1	731.1	731.1	731.6	62	46	42	NNE 3	NNE 3	NNE 2	1	0	0	.	
20	5.6	12.4	11.2	9.7	−0.1	733.2	732.2	731.5	70	48	59	NE o	NNE 1	NE o	0	1	0	.	
21	7.8	15.4	12.5	11.9	2.0	732.0	730.8	729.2	72	48	39	E o	NNE 1	E o	0	0	0	.	
22	8.3	21.0	13.7	14.3	4.2	728.2	725.5	725.4	71	**35**	47	E o	SSW 1	N o	0	2	3	.	
23	7.6	11.6	10.0	9.7	−0.5	726.5	724.6	723.7	59	37	52	NE 1	NNE 1	NE o	5	1	9	.	
24	7.8	15.0	9.9	10.9	0.5	721.9	719.6	717.6	72	41	57	NNE o	SW 1	SSW 1	9	8	10	.	
25	10.4	15.8	10.6	12.3	1.8	712.6	716.4	713.0	62	36	65	SW 1	SSW 2	NW 1	9	10	10●	6.5	● 21-n
26	6.0	5.9	5.0	5.6	−5.1	716.7	712.2	721.7	93	91	84	NNE 1	N o	NE o	10	10	2	16.9	
27	**4.2**	7.4	6.3	6.0	−4.8	723.6	723.8	725.2	92	80	89	N o	NNE 1	NNE o	10	10	9	1.9	● p, n
28	5.8	9.8	8.0	7.9	−3.1	725.1	724.5	723.7	94	64	77	NNE 1	NNE 1	NNE 2	10●	7	10	0.3	● a, 21¹/₄, n
29	6.4	10.8	7.0	8.1	−3.0	722.8	723.1	723.9	82	65	75	NE 1	E o	SE o	10●	10	10	3.0	● n (29./30.)
30	4.6	9.3	7.0	7.0	−4.3	723.8	**711.1**	710.8	87	67	74	E o	S o	E o	10●	9	6	0.1	●°sch. a
																		Summe	
Mittel	8.1	13.2	10.4	10.6	—	725.3	724.1	724.4	82	60	69				7.1	6.0	5.9	125.8	

$\lambda = 8^\circ 33'$, $\beta = 47^\circ 23'$.
$H_b = 493.2^m$, $G = 0.03\ ^m/_m$.

Zürich

April 1939.
Beobachter: *Meteorol. Zentralanstalt.*

Tag	Lufttemperatur 7³⁰	13³⁰	21³⁰	Mittel	Abweich. vom Normalst.	Luftdruck 7³⁰	13³⁰	21³⁰	Relative Feuchtigkeit 7³⁰	13³⁰	21³⁰	Windrichtung und Stärke 7³⁰	13³⁰	21³⁰	Bewölkung 7³⁰	13³⁰	21³⁰	Niederschlag	Witterung
1	3.2	14.2	7.8	8.4	2.0	716.9	715.9	714.4	84	37	64	ENE 0	SSW 1	SE 1	2	9	0	.	⌴° I
2	5.0	15.4	10.1	10.2	3.6	714.5	712.4	711.9	80	46	72	SE 1	W 1	SW 1	9	9	10	1.1	
3	5.4	10.7	7.7	7.9	1.2	712.2	711.1	709.7	95	55	76	S 1	S 1	SE 1	10	9	8	.	●° 2¼–6
4	7.0	18.7	12.2	12.6	5.7	708.9	**708.6**	706.8	78	34	67	SSE 0	SW 1	NNW 0	9	7	10	0.5	
5	10.3	10.3	8.0	9.5	2.5	709.4	710.4	710.1	89	86	95	S 1	W 1	ENE 1	10●	10●	9	5.3	● 4¼–5, 6–16½
6	7.3	15.0	10.8	11.0	3.8	712.1	712.4	713.4	94	55	82	SW 1	NNW 1	WNW 0	10	10	9	.	●tr. fr.
7	9.6	14.6	12.1	12.1	4.8	715.8	715.5	715.2	82	53	80	ESE 0	NNE 1	NNW 1	10	9	10	.	
8	10.5	12.1	10.8	11.1	3.6	716.1	716.2	717.7	86	72	82	N 0	NE 1	NE 1	10	10	10●	0.0	●° III
9	9.3	13.0	12.2	11.5	3.9	716.4	716.1	716.8	84	65	70	N 1	E 1	NE 2	10	7	10	.	
10	9.6	15.3	11.1	11.8	4.0	717.1	717.4	717.5	85	57	84	NNW 0	NNE 2	NE 1	10	2	0	.	
11	7.3	**22.9**	14.2	14.8	6.9	719.7	719.1	720.2	87	39	73	NE 0	SSW 1	ESE 1	0	1	1	.	△ I
12	11.1	21.4	15.3	15.9	7.8	723.8	723.5	723.8	69	40	64	SE 1	NW 1	W 1	3	1	0	.	≤ n
13	11.5	**22.9**	15.5	16.6	8.4	724.5	722.4	721.3	80	35	61	SE 1	WNW 1	SE 1	2	1	6	.	
14	12.7	21.6	11.7	15.3	6.9	719.8	715.9	717.4	67	43	87	SSE 1	SE 1	WNW 2	10	8	10●	8.7	⌒ ● 19–19¼, ● 21–n, ⊕ n
15	9.2	14.2	11.0	11.5	3.0	719.2	721.2	723.9	85	54	64	SSW 1	WNW 2	S 1	10●	8	9	1.3	● n–10
16	10.0	17.7	10.9	12.9	4.3	725.1	724.1	725.1	72	38	61	S 1	WSW 1	WNW 1	4	5	9	.	
17	10.4	17.8	7.4	12.2	3.4	723.3	720.1	723.1	58	43	70	SW 1	WNW 2	SSW 1	9	3	10	3.1	● 18¼–20, 22¼–24¼
18	6.1	8.9	4.7	6.6	−2.3	721.9	722.2	725.1	77	47	82	W 0	NNW 2	N 1	3	8	10●	0.7	● 21–21½
19	4.2	10.1	6.9	7.1	−2.0	726.6	**726.7**	**726.7**	81	46	57	NNW 1	ENE 2	NNE 1	10●	7	0	0.2	●° n
20	5.1	16.2	9.7	10.3	1.1	726.1	725.7	725.0	69	39	53	N 1	E 2	ENE 2	5	2	0	.	△ I
21	6.4	18.6	12.0	12.3	2.9	724.4	723.3	721.6	78	37	48	N 0	N 1	E 1	0	1	0	.	△ I
22	6.6	21.1	12.8	13.5	4.0	719.4	716.1	715.8	76	**31**	50	NNW 0	WSW 2	W 2	0	1	10	.	●tr. III, △ I
23	6.8	12.4	7.9	9.0	−0.7	717.8	716.1	714.8	59	43	56	W 2	WSW 2	W 1	8	8	10	0.1	
24	6.5	11.1	9.2	8.9	−0.9	713.7	711.4	709.7	82	50	63	WNW 1	SSE 1	N 0	10	9	9	.	●° 2–2⅝
25	9.0	13.1	7.5	9.9	−0.1	708.7	708.6	711.1	65	54	93	SSW 2	S 2	SSE 0	9	10	10	1.3	●tr. n, ● 14–23¾ zeitw.
26	6.5	14.4	5.9	8.9	−1.2	709.8	708.4	713.7	82	53	90	E 0	NE 1	W 1	9	8	10●	3.4	●° 4–6½, ● 19¼ 2–22½
27	6.7	10.7	6.5	8.0	−2.2	716.0	716.2	716.9	84	62	99	SE 1	S 1	NNW 1	10	10	10●	**10.6**	● 0–0½, 15¾–n
28	4.5	7.4	5.4	5.8	−4.5	717.6	717.6	717.2	93	78	91	N 1	NNW 1	N 1	10●	10	10	3.9	● n–2, ●° 3¼–8¼ m.U., 21
29	4.5	7.6	5.7	5.9	−4.6	714.7	715.0	715.7	94	73	82	E 2	NNW 1	NNW 1	10●	10	10	4.0	● 0–2¼, 22⅝–n
30	4.2	8.1	7.1	6.5	−4.2	714.8	715.1	717.2	93	63	67	WSW 1	SW 1	NNW 1	10	10	10	0.1	●° n–7½, 11¼, ●tr. p
Mittel	7.6	14.6	9.7	10.6	—	717.5	716.8	717.3	80	51	73				7.4	6.8	7.3	Summe 44.3	

$\lambda = 8^\circ 30'$, $\beta = 47^\circ 3'$.
$H_b = 1787.3^m$, $G = -0.20\ ^m/_m$.

Rigi-Kulm

April 1939.
Beobachter: *J. Steiner.*

1	1.5	5.2	2.2	3.0	4.8	610.8	611.8	610.6	52	46	65	SW 1	SSW 1	S 3	3	4	1	.	
2	0.2	3.8	1.0	1.7	3.4	609.5	607.7	607.5	98	100	100	W 1	E 1	W 0	10≡	9	10≡	7.6	≡ I, III
3	−2.4	0.7	−0.6	−0.8	0.8	607.5	606.2	606.0	98	100	68	WSW 1	W 1	W 1	10	10	3	0.1	≡ II
4	1.8	5.4	2.6	3.3	4.8	605.2	**604.6**	604.8	58	48	60	SSW 2	S 3	S 2	9	3	5	.	
5	2.4	3.4	3.0	2.9	4.3	605.8	606.2	607.6	89	78	67	S 1	SE 1	SE 2	9	10	5	.	
6	3.6	5.0	3.1	3.9	5.2	608.2	608.9	610.3	78	78	69	W 1	SE 1	SE 2	8	10	6	0.1	
7	2.0	4.7	4.7	3.8	5.0	611.2	611.4	611.8	100	88	65	NE 1	SE 2	SE 3	10	10	7	.	≡ II
8	3.7	5.2	1.8	3.6	4.7	611.6	611.7	612.3	88	100	100	SE 1	SE 1	SE 1	2	10	10	0.1	≡ II, III
9	1.3	3.8	0.8	2.0	2.9	610.6	611.3	612.4	100	72	68	ESE 2	ESE 1	SE 1	10≡	3	1	.	≡ n–8, 17–n zeitw.
10	6.8	9.8	7.5	8.0	8.8	612.5	613.6	614.6	**35**	39	55	SW 1	WSW 1	W 1	0	0	0	.	
11	8.2	**10.6**	8.4	9.1	9.8	616.0	617.0	617.4	52	52	53	SW 1	SW 0	S 2	0	0	0	.	
12	5.6	8.9	6.9	7.1	7.7	619.9	620.5	**620.9**	84	87	57	NW 1	WSW 1	SW 1	3	3	1	.	
13	6.8	9.8	7.2	7.9	8.4	620.3	619.8	618.8	68	65	76	SW 1	ENE 1	W 1	1	3	1	.	
14	6.9	9.7	3.7	6.8	7.1	616.4	613.9	613.4	69	68	100	SE 2	S 3	W 1	5	4	10	18.0	●zeh. 20, ≡ III
15	−0.4	1.6	1.0	0.7	0.9	613.6	616.1	618.5	100	98	97	W 1	NW 1	W 1	10*	10≡	10≡	0.5	✳ I, ≡ n–n
16	0.2	5.0	3.1	2.8	2.9	619.2	619.3	619.3	84	86	79	SW 1	W 1	W 1	1	5	7	.	
17	0.2	4.8	−3.0	0.7	0.7	617.7	616.0	616.4	88	76	100	W 2	SW 1	NW 1	10	2	10*	9.1	✳ III
18	−4.4	−1.3	**−5.2**	−3.6	−3.8	614.5	615.1	616.1	100	100	100	NW 1	W 1	ENE 3	10	10≡	10*	**20.4**	✳ n–n zeitw., ≡ n–n
19	−4.9	−2.7	−4.3	−4.0	−4.3	617.0	618.2	618.2	100	98	100	ENE 2	SE 2	E 2	10	10≡	1	2.0	≡ I, II
20	−4.0	0.0	0.0	−1.3	−1.7	617.8	619.5	619.2	100	88	76	E 3	ESE 1	SE 1	1	1	0	.	
21	2.4	4.4	3.6	3.5	2.9	618.1	618.6	617.8	45	48	74	E 2	NE 1	SE 1	0	0	0	.	
22	4.5	6.6	1.2	4.1	3.4	615.2	613.8	612.9	54	75	98	WSW 1	W 1	SW 2	0	3	10	.	
23	−5.0	0.0	−3.4	−2.8	3.6	611.1	610.2	609.2	90	85	95	W 1	W 1	W 2	10	9	10	2.2	
24	−4.2	0.8	−1.0	−1.5	2.5	607.6	606.9	605.5	100	68	80	W 1	SW 1	SW 1	10≡	10	7	0.1	≡ I
25	−1.8	2.0	−0.2	0.0	−1.1	**604.6**	605.2	606.8	100	78	92	W 1	SW 1	W 1	10*	10	10	1.9	✳ I
26	−0.7	4.4	−2.9	0.3	−0.9	605.0	605.2	607.1	100	60	100	E 1	SE 2	WSW 3	10	8	10*	15.2	✳ III
27	−3.0	−0.2	−2.0	−1.7	3.1	609.8	610.5	610.7	100	100	100	W 1	W 1	SE 1	10*	10*	10*	17.1	✳ n–n
28	−2.9	1.4	−2.2	−1.2	2.7	610.7	611.0	610.7	100	92	98	SE 1	E 1	W 1	10≡	10≡	10*	2.3	✳ III, ≡ n–n
29	−1.5	3.2	−2.9	−0.4	2.1	608.3	609.1	608.2	100	82	100	SE 2	SE 2	SW 1	10	10≡	10*	9.4	✳ III, ≡ II
30	−3.4	1.8	−1.8	−1.1	2.9	608.2	609.0	609.5	100	63	100	W 1	SW 1	SW 1	10*	10≡	10≡	0.4	✳ I, ≡ n–n
Mittel	0.7	3.9	1.1	1.9	—	612.1	612.3	612.5	84	77	83				6.7	6.6	6.2	Summe 106.5	

April 1939.
Beobachter: *P. Nogler.*

Bevers

$\lambda = 9^\circ 53'$; $\beta = 46^\circ 33'$.
Hb = ca. 1710^m, $G = -0.23\ ^m/_m$.

Tag	Lufttemperatur 7^{30}	13^{30}	21^{30}	Mittel	Abweich. vom Normalst.	Luftdruck 7^{30}	13^{30}	21^{30}	Relative Feuchtigkeit 7^{30}	13^{30}	21^{30}	Windrichtung und Stärke 7^{30}	13^{30}	21^{30}	Bewölkung 7^{30}	13^{30}	21^{30}	Niederschlag	Witterung
1	−1.5	5.8	−0.8	1.2	2.8	618.8	618.1	617.8	88	62	85	NNW 1	W 1	SW 0	5	6	0	.	✳
2	0.8	6.4	2.3	3.2	4.7	616.9	615.5	615.1	75	58	96	WSW 1	NW 1	SW 1	7	9	6	1.3	✳
3	1.8	3.7	1.2	2.2	3.5	613.2	613.0	613.5	84	61	83	WSW 1	W 1	SW 1	9	10	8	.	✳
4	1.4	3.2	1.3	2.0	3.2	614.1	614.4	614.6	78	70	90	S 1	SW 2–3	W 1	8	10	10	.	✳
5	1.8	5.8	2.0	3.2	4.2	614.2	614.4	615.9	87	64	93	SSW 1	SW 1–2	W 1	10	10	7	.	✳
6	4.5	4.0	1.8	3.1	4.3	615.9	617.7	618.3	76	86	100	SW 1	SW 1–2	W 1	9	10●	10●	13.7	● II, III ✳
7	4.2	8.7	2.8	5.2	5.9	618.5	619.1	619.2	89	57	89	SSW 1	S 1	W 0–1	10	6	0	.	✳
8	1.0	12.8	2.1	5.3	5.9	618.5	617.5	619.0	93	36	91	W 0	S 1–2	SW 0	10	9	10	.	✳
9	2.3	9.8	−2.3	3.9	4.3	618.4	618.0	619.1	88	44	86	SW 1	SSW 0–1	SW 1	10	5	0	.	✳
10	−0.2	12.2	−0.4	3.8	4.1	619.2	619.2	621.6	84	43	85	WSW 1	SW 1–2	SW 1	0	0	0	.	✳
11	0.7	13.2	1.2	5.0	5.1	623.0	622.8	623.2	85	67	85	SW 1	SW 1	SW 1	0	0	0	.	✳
12	1.8	13.2	3.0	6.0	5.9	625.1	626.0	**626.9**	86	38	62	SW 0	SW 0	W 0	0	1	0	.	✳
13	1.6	**14.8**	3.4	6.1	5.9	**626.9**	625.6	625.6	88	43	90	W 0	W 1	W 0	0	1	0	.	
14	3.0	9.1	4.4	5.5	5.1	624.0	621.9	621.0	75	60	98	W 0	S 1–2	SW 0	8	9	10	0.1	
15	2.0	5.0	3.1	3.4	2.8	620.4	621.4	623.0	95	73	92	S 0	S 0	W 0	10●	10	7	1.0	● I
16	3.5	11.8	4.2	6.5	5.8	625.2	624.3	624.7	64	27	63	WSW 0	S 0	SW 1	0	0	0	.	
17	−0.6	12.1	4.5	5.3	4.4	623.3	621.0	619.5	94	31	79	W 0	SW 1–2	W 1–2	0	0	5	1.8	
18	−0.2	3.5	−1.8	0.5	−0.6	619.2	619.1	620.5	58	45	68	NE 1	NE 1–2	NE 2	10*	10*	10	.	✳° I, II
19	−1.3	5.2	−1.2	0.9	−0.6	621.7	622.4	624.5	58	36	55	NW 1	WSW 2–3	NE 2–3	5	6	0	.	
20	**−4.0**	10.3	2.6	3.0	1.6	625.3	623.8	625.6	90	32	65	WSW 1	SW 1–2	SW 0–1	4	2	2	.	
21	−1.6	11.8	3.5	4.6	3.0	624.6	623.2	623.5	93	**26**	58	SW 0–1	SW 0–1	W 1	0	0	0	.	
22	−0.3	11.2	4.5	5.1	3.3	622.3	619.7	617.2	88	42	70	SW 0	SSW 3	SW 1	0	2	0	.	✳° 8½
23	1.6	5.0	−1.4	1.7	−0.3	615.6	615.2	614.9	57	40	58	NE 2–3	NE 2–3	NE 1–2	9	8	8	.	
24	0.4	6.6	1.0	2.7	0.5	613.4	612.3	612.2	73	40	90	NE 1	W 1–2	W 1–2	6	3	4	.	
25	2.3	4.3	1.8	2.8	0.5	**611.5**	612.1	613.0	74	73	98	SW 2	SSW 2–3	NW 1–2	9	10	10	6.4	⊣ n–n zeitw.
26	2.3	7.0	1.3	3.5	1.0	613.6	614.1	615.7	86	58	100	NW 1	SW 2	SW 0	10*	10	10*	2.3	⊣ n–n zeitw.
27	4.8	3.2	1.0	3.0	0.3	616.2	616.1	616.3	75	90	100	W 0	NE 2	NE 1	10	10*	10*	**17.0**	✳ 10½–n
28	2.1	4.0	1.2	2.4	−0.5	616.8	617.0	616.3	80	74	100	WSW 1	NW 1	NE 2	10	10*	10*	8.3	✳ n–n ✳
29	1.1	5.8	1.6	2.8	−0.3	615.2	615.1	614.9	88	90	96	SW 1	SW 2	SW 1	10*	10*	10	7.5	✳ n–n m.U. ✳
30	1.8	5.1	1.2	2.7	0.6	614.0	614.9	616.9	86	61	86	S 1	S 1–2	SW 1	10*	6	8	.	✳ a, p
Mittel	1.2	7.8	1.7	3.6	—	618.8	618.5	619.0	81	54	84				6.3	6.1	5.2	Summe 59.4	

April 1939.
Beobachter: *Kapuzinerkloster.*

Sitten

$\lambda = 7^\circ 21'$, $\beta = 46^\circ 14'$,
$Hb = 548.6^m$, $G = -0.11\ ^m/_m$.

1	6.0	16.8	10.1	11.0	3.1	713.0	710.5	710.2	64	38	55	NE 1	ENE 1	E 1–2	9	4	1	.	
2	6.3	15.0	8.1	9.8	1.7	709.8	707.2	709.2	78	49	81	NE 1	W 2–3	W 2–3	8	9	7	0.8	
3	6.0	13.3	9.5	9.6	1.4	707.8	706.0	705.7	92	52	50	W 1	WNW 1	W 2	9	7	8	.	
4	7.0	17.6	15.7	13.4	5.0	706.3	704.1	704.4	73	35	41	NE 1	NE 1	W 1	8	5	8	.	
5	11.6	16.9	13.4	14.0	5.5	705.8	705.2	706.3	66	45	47	WNW 1	W 1	W 1	9	9	8	.	
6	10.5	16.1	12.1	12.9	4.2	707.3	707.8	709.3	66	51	71	E 1	W 1	W 1	10	10	10	1.0	●° p zeitw.
7	9.2	17.4	12.2	12.9	4.1	711.4	710.0	710.6	95	48	72	E 1	ENE 1	E 1–2	10●	9	0	0.3	● I
8	9.7	17.3	13.7	13.6	4.6	711.3	709.6	711.3	81	57	66	NE 1	W 2–3	W 1	8	8	8	.	
9	8.8	19.6	12.8	13.7	4.6	710.5	708.9	711.3	80	42	68	ENE 1	W 2	SW 1	8	5	0	.	
10	7.8	20.7	14.9	14.5	5.2	712.9	710.9	712.3	79	39	50	NE 1	WSW 1	E 1–2	0	0	0	.	
11	10.3	**22.1**	17.0	16.5	7.1	715.8	713.9	716.0	60	**33**	40	ENE 1	ENE 1	ENE 1–2	0	0	0	.	
12	10.9	21.5	15.9	16.1	6.5	720.0	718.7	719.4	63	35	51	ENE 1	ENE 1	ENE 1	0	1	0	.	
13	9.9	21.2	16.0	15.7	6.0	721.0	718.5	717.2	72	39	55	ENE 1	ENE 1	NE 2	0	1	3	.	
14	11.6	20.7	16.1	16.1	6.2	715.6	712.6	711.9	70	39	54	ENE 1	E 3	E 3–4	8	8	10	2.4	● abds.
15	12.0	13.8	13.6	13.1	3.1	714.5	716.4	718.9	67	60	58	W 1–2	W 1–2	W 1	10●	9	8	1.4	● I, p
16	8.9	17.8	13.5	13.1	2.9	**721.4**	719.7	720.0	86	45	50	NE 1	W 1–2	W 1	9	3	0	.	
17	8.9	15.8	12.8	12.5	2.2	720.0	717.2	716.2	77	48	55	NE 1	W 1–2	W 2–3	9	2	10	.	
18	8.2	10.4	5.7	8.1	−2.4	717.2	716.6	718.1	68	57	78	W 1	W 2	W 1	7	8	10●	1.1	● III
19	5.0	8.7	7.9	7.2	−3.4	718.9	717.3	718.5	78	42	52	NE 1	W 1–2	W 1	7	3	0	.	
20	**4.5**	14.8	11.1	10.1	−0.7	720.3	718.6	718.3	71	43	57	NE 1	W 2–3	W 1–2	1	2	0	.	
21	7.8	18.1	13.1	13.0	2.1	719.1	716.7	716.5	72	43	50	NE 1	W 1	E 2	0	1	0	.	
22	9.7	20.0	14.1	14.6	3.5	716.2	711.9	711.3	64	38	46	NE 1	W 2	W 1	0	3	3	.	
23	9.4	15.2	10.8	11.8	0.6	712.2	710.2	708.4	53	37	44	W 2–3	SW 2–3	NW 3	3	2	8	.	
24	8.7	15.2	9.6	11.2	−0.2	708.9	706.0	705.0	65	44	53	W 1	W 2	W 1–2	2	5	8	.	
25	9.4	15.1	12.3	12.3	0.8	704.9	**704.0**	704.9	68	43	52	NE 1	W 1	NE 1–2	8	10	7	.	
26	9.4	14.1	5.8	9.8	−1.9	704.6	704.5	708.8	76	56	83	W 1	W 3–4	W 1	10	10	10	1.2	● abds.
27	6.6	9.5	7.4	7.8	−4.0	710.8	711.0	712.2	91	69	76	E 0	SW 1	SW 1	10	10●	10●	**11.4**	● p–n m.U.
28	5.1	15.1	9.5	9.9	−2.1	712.7	711.7	710.4	84	50	70	E 1	NW 1	W 1	9	8	10●	0.5	● III
29	6.9	14.2	6.5	9.2	−2.9	709.7	708.5	710.3	84	51	80	W 1–2	W 2–3	NW 1–2	10	9	9	.	●tr. abds.
30	6.7	12.0	7.6	8.8	−3.5	709.7	709.7	711.7	79	53	67	W 1	W 2–3	W 1	10	8	10	.	● abds.
Mittel	8.4	16.2	11.6	12.1	—	713.0	711.5	712.1	72	46	59				6.4	5.6	5.5	Summe 20.1	

$\lambda = 8^\circ 57'$, $\beta = 46^\circ 0'$,
$H_b = 276.2^m$, $G = -0.01\ ^{m}/_{m}$.

Lugano

April 1939.
Beobachter: *G. Vicari.*

Tag	Lufttemperatur 7³⁰	13³⁰	21³⁰	Mittel	Abweich. vom Normalst.	Luftdruck 7³⁰	13³⁰	21³⁰	Relative Feuchtigkeit 7³⁰	13³⁰	21³⁰	Windrichtung und Stärke 7³⁰	13³⁰	21³⁰	Bewölkung 7³⁰	13³⁰	21³⁰	Niederschlag	Witterung
1	8.2	13.4	9.0	10.2	1.1	737.8	737.3	736.9	92	58	70	SE 0	SE 1	S 1	10	10	10	.	● $15^1/_2$-n m.U.
2	7.8	15.0	8.0	10.3	1.0	735.4	733.7	733.4	88	57	98	N 0	SE 1	ESE 1	10	8	10●	20.1	
3	7.8	9.2	8.2	8.4	−1.0	732.1	731.8	732.3	96	82	98	S 0	S 0	S 0	10●	10●	10●	9.9	● n-n m.U.
4	8.4	8.6	8.4	8.5	−1.1	733.7	733.3	733.5	93	92	98	N 1	SW 0	S 0	10●	10●	10●	23.6	● n-n m.U.
5	8.2	9.0	8.6	8.6	−1.1	733.1	733.5	734.2	98	92	99	E 0	N 0	NW 1	10●	10●	10●	39.2	● n-n
6	9.2	9.2	8.6	9.0	−0.8	734.4	736.3	736.3	99	91	98	S 0	W 1	NNW 1	10●	10●	10●	53.8	● n-n
7	8.8	16.6	10.8	12.1	2.1	737.2	736.4	736.2	91	51	73	W 0	S 0	N 1	10	5	2	.	
8	10.4	18.8	13.0	14.1	4.0	734.6	733.7	733.9	78	47	84	N 1	S 1	NE 1	8	10	0	.	
9	10.8	**20.6**	14.4	15.3	5.1	732.8	731.9	731.8	73	41	52	N 1	S 0	N 1	8	10	0	.	
10	9.6	19.2	15.8	14.9	4.5	734.9	734.8	736.8	73	51	68	N 0	S 1	N 1	0	3	0	.	
11	13.2	18.6	16.2	16.0	5.5	739.9	739.7	741.0	82	45	62	E 0	S 1	NE 1	8	2	0	.	
12	10.2	20.4	16.2	15.6	5.0	743.3	742.7	743.2	82	43	63	N 0	W 1	NNE 1	0	3	0	.	
13	9.8	18.4	16.2	14.8	4.0	744.2	742.6	742.2	90	49	68	SE 1	S 1	NNE 1	0	4	4	.	
14	10.2	17.0	12.8	13.3	2.4	742.0	740.3	738.8	88	52	90	E 0	SSW 1	W 1	4	8	10●	1.2	●° abds. zeitw.
15	11.0	12.0	9.8	10.9	−0.1	738.3	740.6	741.0	84	67	86	E 1	N 1	N 1	10	10●	0	0.6	●° n-p zeitw.
16	7.4	20.2	12.6	13.4	2.2	742.7	741.9	740.7	76	38	53	N 1	S 1	N 1	0	0	0	.	
17	8.0	20.0	15.4	14.5	3.2	740.1	737.4	734.8	74	44	61	NNE 1	S 1	N 1	0	0	1	.	
18	12.4	16.6	11.4	13.5	2.1	735.5	735.6	737.6	28	26	30	NNE 2	NNE 3	NE 2	0	2	1	.	
19	12.2	17.8	13.2	14.4	2.8	739.3	739.3	742.6	28	24	33	NNE 2	NNE 3	N 1	2	3	0	.	
20	**5.4**	17.0	11.4	11.3	−0.4	**744.6**	742.5	742.0	67	45	65	N 1	SSE 1	N 1	0	0	0	.	
21	7.2	17.8	11.8	12.3	0.5	743.0	741.4	741.0	83	48	66	N 0	S 1	N 1	0	0	0	.	
22	9.0	19.4	12.6	13.7	1.7	740.6	739.9	739.0	83	38	53	N 1	S 1	N 1	2	0	0	.	
23	13.8	18.2	12.2	14.7	2.6	739.5	739.3	739.6	28	**22**	33	NNE 2	NNE 2	ENE 1	2	7	0	.	
24	9.8	14.8	10.6	11.7	−0.5	738.1	**729.4**	729.5	78	52	69	E 0	S 1	N 0	7	10	9	.	
25	10.2	9.8	8.8	9.6	−2.8	**729.4**	730.8	731.3	83	97	99	NNW 0	SE 1	NW 1	10	10●	10●	14.3	● $11^1/_2$-n m.U.
26	9.4	9.4	12.2	10.3	−2.2	732.0	732.5	732.5	78	88	70	ESE 1	SW 1	ESE 1	10●	10●	10●	11.7	● n-n m.U.
27	13.0	10.2	7.0	10.1	−2.5	733.6	734.0	735.2	63	88	97	ESE 1	S 1	NNW 1	10	10●	10●	44.5	●° n, ● $9^1/_2$-n
28	7.8	16.2	7.8	10.6	−2.2	735.6	734.8	734.8	92	55	93	N 1	SE 1	NE 1	8	7	10●	17.0	●srh. p, ● $19^1/_2$-n
29	8.8	13.8	9.4	10.7	−2.2	734.2	733.1	733.2	81	58	91	W 1	S 1	ENE 0	10	10	10●	15.3	● $17^1/_2$-n
30	8.2	10.8	9.0	9.3	−3.8	733.1	734.7	736.3	97	66	86	N 1	S 0	S 0	10●	10●	8	5.0	● n-11, ●° $13^{11}/_2$-$14^1/_2$
																		Summe	
Mittel	9.5	15.3	11.4	12.1	—	736.6	736.1	736.2	78	57	74				6.0	6.4	4.8	256.2	

$\lambda = 7^\circ 35'$, $\beta = 47^\circ 33'$,
$H_b = 318^m$, $G = 0.11\ ^{m}/_{m}$.

Basel

April 1939.
Beobachter: *Astronom.-Meteorol. Anstalt.*

1	**2.8**	17.1	6.9	8.9	2.4	732.5	731.4	729.6	82	41	74	E 1	ESE 1	SSE 1	9	9	4	.	
2	6.1	14.5	9.0	9.9	3.3	729.8	728.2	727.7	76	54	84	E 1	NW 1	WSW 1	9	8	10●	3.8	● $20^1/_4$-n
3	6.3	13.2	8.8	9.4	2.7	727.6	725.7	724.6	86	51	74	ESE 1	ESE 1	S 1	10	8	10	0.1	● n-3
4	8.8	17.8	10.6	12.4	5.5	723.3	721.8	**721.4**	72	38	89	E 1	SSE 1	ESE 1	10	10	10●	13.9	● $5^1/_4$, $19^1/_2$-n
5	9.2	12.8	8.3	10.1	3.1	724.2	725.0	725.5	96	75	93	SSE 1	SSE 1	SE 1	10	10●	10●	14.2	● n-$6^1/_4$, $13^1/_4$-n zeitw.
6	7.8	9.9	9.7	9.1	1.9	727.0	727.8	729.2	94	96	96	ESE 1	E 1	ENE 0	10●	10●	10●	17.0	● n-$14^1/_4$, $17^3/_4$-n
7	9.0	13.6	10.5	11.0	3.7	731.1	731.3	731.6	95	78	95	W 0	NW 1	W 1	10●	10	10	0.9	● n-12 m.U.
8	8.4	9.2	9.4	9.0	1.6	732.0	732.0	733.3	97	98	95	WNW 1	NW 1	SSW 1	10	10	10	.	≡ 1-13, 22-n
9	7.8	14.6	8.9	10.4	2.8	732.2	731.7	732.1	94	63	89	W 1	SSE 1	W 1	10	9	0	.	≐ n-9
10	6.4	18.4	11.7	12.2	4.5	732.7	731.9	732.3	90	49	78	W 1	E 1	ENE 1	8	0	0	.	△ l
11	10.1	24.0	13.0	15.7	7.8	734.2	734.0	735.4	68	36	80	ESE 1	S 1	SW 1	0	1	0	.	△ l
12	12.1	23.0	13.3	16.1	8.1	739.2	738.8	739.0	75	38	74	E 1	NW 1	SSW 0	2	1	1	.	△ l
13	10.8	**24.4**	16.4	17.2	9.1	739.6	737.3	736.1	76	35	65	E 1	SSE 1	SSW 1	10	1	8	.	△ l
14	12.4	23.8	11.7	16.0	7.7	734.6	730.2	732.9	85	35	79	SE 1	S 1	SSW 1	9	8	8●	4.8	● $18^1/_4$-n m.U., K$_4$ $18^1/_4$
15	9.7	16.0	10.5	12.1	3.7	734.7	736.3	739.6	89	53	69	SSW 1	SW 1	SW 1	10	7	1	.	● $1^3/_4$-$6^1/_4$ m.U.
16	10.7	17.9	10.6	13.1	4.5	740.8	739.8	740.7	76	40	75	SSW 1	WNW 1	SW 1	8	3	9	.	
17	12.0	17.4	6.8	12.1	3.4	738.8	735.3	738.6	69	49	82	SW 1	SW 1	W 1	9	9	10	6.5	● $15^3/_4$-$22^3/_4$ m.U.
18	7.2	10.8	5.8	7.9	−1.0	738.1	738.9	741.6	76	54	72	WSW 1	N 1	N 1	9	7	10	2.0	● △ $11^1/_2$, ● 16-$17^1/_4$ m.U., [△ 17
19	5.0	11.4	7.2	7.9	−1.1	**742.9**	742.7	742.8	83	42	60	NNE 1	NNE 1	E 1	10	5	0	.	
20	3.2	17.0	7.8	9.3	0.2	742.6	741.4	740.7	87	43	79	SSW 1	W 1	SW 1	5	1	0	.	
21	6.5	18.6	9.3	11.5	2.2	740.5	738.9	737.0	84	40	83	SSE 1	NW 1	S 1	0	0	1	.	△ l
22	9.0	21.1	11.4	13.8	4.4	734.5	731.4	732.4	67	**29**	43	E 1	WNW 1	W 2	0	1	9	0.4	● $18^3/_4$, K$_4$ 18-$18^3/_4$, △ l
23	6.9	10.8	8.2	8.6	−1.0	733.8	732.1	730.6	66	43	57	W 1	W 2	WSW 1	3	10	10	0.1	● $23^1/_4$-$23^3/_4$
24	6.6	11.6	8.2	8.8	−0.9	729.4	726.9	725.0	81	53	78	SW 1	NW 1	SW 1	10	10	10	0.2	
25	9.4	7.2	6.4	7.7	−2.1	724.1	725.3	727.1	74	89	91	E 1	NW 1	SW 1	9	10●	10●	14.4	● $4^1/_4$, $12^1/_4$-n m.U., ⊕ a
26	6.0	7.8	6.3	6.7	−3.3	725.7	725.6	728.8	91	89	96	ESE 1	WNW 1	SE 0	10●	10	10	4.2	● n-$11^1/_2$ m.U., $17^1/_2$-20
27	6.2	8.8	5.1	6.7	−3.4	731.8	731.9	733.2	91	77	95	ESE 1	NNE 1	W 1	10	10●	10●	10.5	● $14^1/_2$-n
28	4.6	6.0	5.4	5.3	−5.0	733.7	733.8	733.1	94	91	91	WNW 1	N 1	WNW 1	10	10	10	1.7	● $6^1/_2$-n m.U., $18^3/_4$-$19^1/_4$
29	4.3	6.4	6.6	5.8	−4.6	731.2	731.3	731.7	96	88	87	NW 1	NW 1	NNW 1	10●	10	10	4.7	● $2^1/_4$-$9^3/_4$, $11^1/_4$-$11^3/_4$
30	3.8	8.8	6.6	6.4	−4.1	730.9	730.8	732.9	90	66	80	WSW 1	WSW 1	W 1	10●	10	10	.	● $1^3/_4$-$7^1/_2$
																		Summe	
Mittel	7.6	14.5	9.0	10.4	—	733.1	732.3	732.9	83	58	80				8.0	6.9	7.0	99.4	

April 1930.
Beobachter: *Observatorium.*

Säntis

$\lambda = 9^\circ 20'$, $\beta = 47^\circ 15'$,
$H_b = 2500.1^m$, $G = -0.27\ ^m/_m$.

Tag	Lufttemperatur 7³⁰	13³⁰	21³⁰	Mittel	Abweich. vom Normalw.	Luftdruck 7³⁰	13³⁰	21³⁰	Relative Feuchtigkeit 7³⁰	13³⁰	21³⁰	Windrichtung und Stärke 7³⁰	13³⁰	21³⁰	Bewölkung 7³⁰	13³⁰	21³⁰	Niederschlag	Witterung
1	-3.1	0.2	-3.0	-2.0	4.4	559.5	559.9	559.0	61	61	78	SW 2	SW 2	SSE 2	2	9	2	.	⊕ (16½) ☾ III
2	-3.7	-1.4	-3.7	-2.9	3.3	557.7	557.1	556.0	77	79	80	S 1	SSW 2	SSW 2	9	10	10	1.5	☾ III
3	-5.8	-5.0	-5.0	-5.3	0.9	554.3	554.1	554.1	96	95	95	WSW 2	WSW 2	SW 2	10≡	10≡*	7	1.1	✳ n, ✳° 10½-17½ m.U.,
4	-3.4	-2.0	-3.0	-2.8	3.4	554.1	554.0	553.5	65	67	74	SW 2	SSE 2	SW 4	10	4	3	.	⊕ (10½) ☰ n-18 m.U.
5	-0.4	-1.2	-1.6	-1.1	5.0	554.2	553.2	553.5	76	90	80	SSW 4	SSE 2	SW 4	4	10≡	3	.	☰ 13-15, ⌿ a, p
6	-0.2	1.2	-0.3	0.2	6.2	556.7	557.8	558.9	75	69	80	SSW 4	SSW 4	SSW 3	9	10	10	.	⌿ n-n
7	0.0	2.0	0.3	0.8	6.7	560.2	560.7	561.0	85	68	62	SSW 2	S 2	SW 2	10	9	10	.	
8	0.4	5.2	0.2	1.9	7.8	560.6	560.7	561.5	64	46	72	SSW 2	S 1	ENE 2	3	9	7	.	
9	1.3	5.2	1.4	2.6	8.4	560.3	560.8	561.4	65	38	47	NE 3	S 2	S 2	3	2	0	.	
10	2.4	2.8	0.8	1.9	7.6	561.4	562.4	563.6	45	47	50	WSW 2	WSW 3	WSW 3	1	0	0	.	
11	2.5	5.6	2.1	3.4	9.0	564.7	566.0	566.9	58	52	65	WSW 2	NE 0	SW 1	0	3	0	.	
12	3.2	3.2	1.8	2.7	8.2	567.7	568.9	569.0	62	78	100	N 1	E 1	W 3	2	8	3	3.3	
13	0.4	5.0	2.4	2.6	8.0	568.4	568.3	567.4	68	58	62	WSW 2	SSW 1	SW 2	1	3	2	.	
14	1.8	4.2	0.0	2.0	7.3	565.3	563.2	562.1	67	56	100	SSE 2	SSW 3	SW 2	7	10	10*	2.1	☰ 21¼-n
15	-3.7	0.0	-3.8	-2.5	2.7	561.1	562.9	564.6	97	80	96	WNW 2	WSW 1	WNW 2	10≡*	10≡	10≡	.	✳° n-10 m.U., ☰ n-17, 19¼-n
16	-5.2	-1.0	-2.2	-2.8	2.2	566.0	566.8	566.6	94	49	100	SW 2	SW 3	WSW 3	4	8	10≡	.	☰ 17½-n ☰ n-n m.U.
17	-4.2	-1.0	-7.2	-4.1	0.8	564.5	563.5	562.1	98	98	93	WSW 2	SW 3	W 3	10≡	10≡	10≡*	21.2	✳ 17¼-n m.U., △ K₄ 17½,
18	-8.8	-7.8	-9.6	-8.7	-3.9	560.3	561.0	562.3	93	92	92	W 2	N 2	NNE 1	10≡*	10≡	10≡*	14.2	✳ n-n m.U., △ p ztw., ☰ n-n
19	-10.0	-8.0	-9.0	-9.0	-4.4	563.2	564.7	565.3	92	92	90	NE 3	NNE 2	NE 3	10≡	10=	10-	0.2	✳ 9½-11½, ☰ n-n, ⊹ n-17
20	-3.4	-3.2	-2.8	-3.1	1.4	565.8	567.1	567.0	69	56	37	NE 4	NE 4	NNE 3	2	3	1	.	
21	0.0	0.0	-0.2	-0.1	4.2	566.2	566.9	565.9	36	31	41	NE 3	ENE 2	NE 1	0	1	0	.	
22	0.8	1.7	-3.0	-0.2	4.0	563.2	561.7	559.2	38	49	100	SW 2	SW 3	W 3	1	1	10≡	10.0	☰ 20½-n
23	-10.1	-7.8	-8.8	-8.9	-4.9	556.8	557.0	555.9	97	92	93	W 2	W 3	W 2	10≡*	10≡*	10≡	4.0	✳ n-17 m.U.
24	-7.8	-5.3	-5.9	-6.3	-2.5	554.3	554.1	553.4	95	97	95	W 2	WSW 1	W 1	10≡*	10≡	10≡	0.2	✳° n-8, ☰ n-15, 19-n
25	-5.2	-1.4	-4.1	-3.6	0.1	552.5	553.2	554.2	96	96	98	WSW 1	SW 2	SSE 2	10≡*	10≡	10≡	4.2	✳° 6½-13, ✳ 17½-19½ m.U.,
26	-4.0	-1.2	-5.4	-3.5	0.0	553.7	554.0	556.1	92	77	100	S 3	SSW 4	W 3	8	8	10≡*	3.6	☰ ✳ 21-n, ⊹ n-12, ⌿ p ☰ n-n
27	-6.0	-5.0	-5.0	-5.3	-2.0	557.5	557.8	557.7	98	87	98	SE 1	ENE 2	E 2	10≡	10≡*	10≡	1.6	✳ n, ✳° 21½-21, ☰ n-n m.U.
28	-4.0	-2.2	-4.2	-3.5	-0.4	558.1	558.7	558.3	88	65	100	SSW 1	S 2	NE 2	3	1	10≡	0.3	☰ 18¾-n
29	-3.0	-2.0	-4.6	-3.2	-0.3	556.8	557.5	557.0	90	65	96	NE 1	SE 3	NNE 1	10	7	10≡	1.9	☰ ✳ 8¼-9, 19-21, ☰ n
30	-6.0	-2.4	-6.0	-4.8	-2.1	555.5	556.4	558.2	96	78	97	SW 1	S 2	SE 1	10≡*	4	10≡	.	✳° 7¼-10, ☰ n-17, 21-n
Mittel	-2.8	-0.7	-3.0	-2.2	—	560.0	560.4	560.5	78	70	82				6.3	7.0	6.9	Summe 69.4	

April 1939.
Beobachter: Frl. *F. Lombardi.*

St. Gotthard (Hospiz)

$\lambda = 8^\circ 34'$, $\beta = 46^\circ 33'$,
$H_b = 2095.7^m$, $G = -0.25\ ^m/_m$.

1	-1.9	1.7	-1.2	-0.5	4.1	589.6	589.8	588.8	70	64	74	E 0	E 0	E 0	6	10	10≡	.	☰ 19-n [17-n
2	-1.4	1.0	-2.0	-0.8	3.7	587.3	587.1	585.7	76	63	76	E 0	E 0	E 1	10≡	10	10*≡	9.0	✳ 16½-n, ⊹ ztw., ☰ n-10,
3	-0.1	1.0	-2.3	-0.6	3.9	584.2	583.9	584.2	85	61	80	S 0	S 0	S 1	10≡	10*≡	10*≡	7.5	✳° 10³/₄-n, ⊹ ztw., ☰ n-n
4	-1.6	0.4	-2.0	-1.1	3.3	584.8	585.0	584.8	80	78	89	E 1	SE 2	SE 3	10≡	10*≡	10*≡	35.0	✳° 9-n' ⊹ 17-n, ☰ n-n
5	-2.4	0.2	-2.0	-1.4	2.9	584.9	585.2	585.8	85	75	85	SE 2	SE 1	SE 2	10≡	10*≡	10*≡	26.5	✳ 8¾-n, ⊹ 16-n, ☰ n-n
6	-2.0	0.0	-0.5	-0.8	3.4	586.9	588.2	588.9	80	85	86	E 0	S 1	S 1	10*≡	10*≡	10*≡	23.7	✳ ☰ n-n, ⊹ zeitw.
7	0.2	0.5	1.0	0.6	4.7	589.3	590.4	590.6	86	90	95	SE 1	SE 1	SE 1	10≡	10*≡	10≡	5.6	● ✳ 8¼-14, ☰ n-n
8	1.4	3.8	0.8	2.0	6.0	589.7	589.8	590.1	90	75	80	E 0	S 1	S 1	8	10	5	.	
9	0.8	6.8	1.0	2.9	6.7	588.8	589.9	590.0	60	54	63	N 0	N 0	N 0	5	5	0	.	
10	1.0	4.8	2.0	2.6	6.2	590.0	591.2	592.0	61	51	59	N 0	N 0	N 0	0	0	0	.	
11	0.6	3.8	1.8	2.1	5.6	593.8	594.6	595.8	60	43	68	E 0	E 0	E 0	0	0	0	.	
12	1.4	3.6	0.8	1.9	5.2	597.0	597.7	598.2	63	54	68	NE 1	NE 1	NE 1	0	0	0	.	⊂ 20-n
13	1.8	4.2	2.0	2.7	5.8	597.9	597.5	597.0	75	64	80	N 0	N 0	SE 0	0	1	5	.	
14	2.0	1.2	1.2	1.5	4.4	594.6	593.8	591.5	85	85	85	E 1	SE 1	SE 3	10	10	10≡	9.5	● 9¾-10, ☰ 14-n
15	-0.4	2.8	-0.8	0.5	3.2	590.5	592.7	594.9	83	75	86	S 1	S 1	N 1	10*≡	8	5	0.6	✳ n-10¾, ☰ n-n
16	-2.4	2.2	0.5	0.1	2.6	595.6	596.4	596.3	68	53	80	N 1	N 1	N 1	0	0	5	.	
17	-1.8	1.4	-3.6	-1.3	1.0	594.3	593.3	591.7	71	60	85	N 2	N 1	N 3	3	0	7	11.0	✳ 18¼, ✳ ☰ 19¾-n, ✳ ⌿
18	-5.6	-4.7	-6.4	-5.6	-3.5	589.7	589.8	590.6	78	78	81	NE 3	NE 3	N 3	10	10≡	10≡	28.9	✳ ⌿ n-n, ✳ 10-n [21-n
19	-6.8	-2.7	-5.8	-5.1	-3.2	592.4	593.7	594.9	83	74	74	N 2	N 2	N 3	7≡	5≡	6	3.5	✳ ⌿ ☰ n-n
20	-3.2	-0.5	-1.4	-1.7	0.0	594.9	596.1	596.2	60	55	60	N 0	N 0	N 1	1	0	0	.	
21	-1.0	3.0	0.8	0.9	2.4	594.9	595.8	595.2	47	36	58	N 1	N 1	N 1	0	0	0	.	
22	-0.8	3.5	-1.2	0.5	1.8	593.3	591.9	589.4	69	50	65	N 0	E 0	N 1	0	5	5	1.0	
23	-5.8	-2.2	-5.0	-4.3	-3.2	586.0	586.4	585.6	74	57	73	N 2	N 2	N 2	5	5	10≡	1.4	☰ 19¾-n
24	-4.6	-0.7	-1.4	-2.2	-1.3	584.6	583.8	583.5	70	53	65	N 1	N 1	N 1	3	3	10≡	5.0	☰ 20-n
25	-2.0	-0.2	-0.4	-0.9	-0.2	582.2	583.1	583.8	77	71	80	E 2	S 1	S 2	10*≡	10*≡	10*≡	23.4	✳ ⊹ ☰ n-n
26	-0.2	0.2	-0.2	-0.1	0.4	583.3	584.1	584.7	80	80	85	S 1	S 2	S 3	10*≡	10*≡	10*≡	60.3	✳ ⊹ ☰ n-n
27	-0.5	0.2	0.0	-0.1	0.2	586.7	587.0	587.1	85	85	85	N 0	NE 1	NE 2	10*≡	10*≡	10*≡	61.0	✳ ⊹ ☰ n-n
28	0.0	0.4	-0.5	0.0	0.1	587.4	588.4	587.5	87	80	80	SE 0	SE 0	SE 1	5	5	10≡	19.4	✳° ⊹ 17⅝-n, ☰ 17-n
29	-0.2	0.4	-2.4	-0.7	-0.8	585.1	586.8	586.5	90	64	78	S 1	SE 0	N 2	10*	6	10≡	9.4	✳ n-9¼, 17¼-18¾, ☰ 16-n
30	-2.4	0.0	-2.4	-1.6	-1.9	585.1	585.9	587.0	84	81	83	NE 1	NE 0	SE 1	10≡	10≡	10≡	8.0	✳ 9¼-11¾, 14-15¼, ☰ n-n
Mittel	-1.3	1.2	-1.0	-0.4	—	589.5	590.0	589.9	75	67	77				6.1	6.1	6.9	Summe 349.7	

$\lambda = 7° 26'$, $\beta = 46° 57'$.
$H_b = 572.2^m$, $G = 0.00^m/_m$.

Bern

Mai 1939.
Beobachter: *Tellur. Observatorium.*

Tag	Lufttemperatur					Luftdruck			Relative Feuchtigkeit			Windrichtung und Stärke			Bewölkung			Niederschlag	Witterung
	7^{30}	13^{30}	21^{30}	Mittel	Abweich. vom Normals	7^{30}	13^{30}	21^{30}	7^{30}	13^{30}	21^{30}	7^{30}	13^{30}	21^{30}	7^{30}	13^{30}	21^{30}		
1	**3.0**	12.7	10.4	8.7	−1.7	709.3	708.4	706.4	95	**48**	60	NW 0	NW 1	N 0	0	9	8	.	
2	7.1	14.4	10.5	10.7	0.1	702.9	700.9	701.7	84	59	80	NE 1	NE 1	N 0	10	8	10	**30.3**	● $21^3/_4$-n
3	6.5	7.5	7.0	7.0	−3.7	703.1	705.0	707.2	94	84	96	SW 1	NE 1	W 0	10●	10	10●	15.1	● n-10, $14^1/_4$-$22^3/_4$
4	7.4	11.2	9.2	9.3	−1.6	706.8	705.5	704.4	94	73	87	E 0	N 1	N 0	10	10	10	0.0	● $0^1/_4$-$5^1/_4$ m.U, 19–$19^1/_2$ zeitw.
5	8.5	11.9	9.1	9.8	−1.2	702.4	702.3	702.3	90	65	88	N 1	N 1	NW 0	5	10	10●	0.3	● $14^3/_4$, $21^1/_4$–$21^1/_2$
6	6.9	**16.0**	13.1	12.0	0.9	701.3	700.0	**699.0**	89	53	82	NW 0	NE 1	NW 0	9	5	10	5.4	≡ n-$6^1/_2$
7	7.0	10.8	9.8	9.2	−2.1	702.6	704.2	706.8	94	79	84	W 1	S 0	N 0	10●	9	1	3.4	● $5^1/_2$–$11^3/_4$ m.U., 19
8	8.1	8.0	6.4	7.5	−3.9	708.6	709.5	711.6	88	96	97	W 0	S 1	SE 0	10	10●	10●	25.1	● $9^3/_4$-n
9	6.0	9.3	7.6	7.6	−3.9	711.4	711.9	713.2	97	80	98	E 0	E 1	N 0	10	10	10●	13.1	● n-$4^1/_2$, 16-n, ≡ 18–20
10	5.8	12.0	10.0	9.3	−2.4	712.8	712.7	713.2	95	70	86	SE 0	NNE 1	W 0	10	9	10	0.2	● n-$3^1/_4$, $5^1/_4$-$5^3/_4$, $17^3/_4$
11	7.0	14.4	9.0	10.1	−1.7	712.6	711.7	711.8	94	57	97	W 0	N 1	E 0	5	8	10	8.5	● $16^1/_4$, $18^1/_4$–$19^3/_4$, ⛈ $18^1/_2$
12	7.7	9.0	7.1	7.9	−4.0	707.9	707.1	706.8	96	75	88	S 0	SE 1	W 0	10●	10	9	12.2	● $1^3/_4$–$8^3/_4$ m.U., $11^3/_4$-n stw.
13	4.3	7.0	7.0	6.1	−6.0	706.5	707.3	707.6	97	85	92	SW 0	W 1	W 0	10●	10	10	1.6	● 1–$10^3/_4$ m.U.
14	5.6	6.3	6.5	6.1	−6.1	707.3	707.7	708.9	90	93	95	W 0	W 1	N 0	10●	10●	10●	9.3	● $7^1/_4$–$13^3/_4$, 18-n m.U.
15	6.7	11.3	8.3	8.8	−3.5	708.2	707.6	705.9	89	80	94	E 0	NW 1	SW 1	6	9	10	10.2	● n-13, $18^1/_4$-n m.U.
16	6.0	12.1	8.3	8.8	−3.6	705.8	705.0	705.8	86	53	88	SW 1	NW 1	E 0	6	5	6	0.2	● n-6 zeitw., $17^1/_4$
17	6.4	13.5	10.0	10.0	−2.6	705.7	705.1	704.1	90	56	75	E 0	NW 1	NE 0	9	9	10	0.1	
18	6.8	10.7	7.4	8.3	−4.4	704.4	704.6	704.0	94	70	98	W 1	NW 0	NW 0	10	9	10	11.3	● $0^1/_4$, 18–$22^3/_4$
19	6.0	12.0	10.6	9.5	−3.3	704.5	704.7	705.8	96	65	89	W 0	W 1	W 1	10	9	10	0.4	● $0^1/_2$–$4^1/_4$, 7, $19^1/_2$–$23^1/_4$ m.U.
20	7.5	13.3	9.0	9.9	−3.0	706.1	705.7	706.8	95	60	95	NE 0	NE 1	N 0	9	9	10	8.9	● $0^1/_2$–$0^3/_4$, $20^1/_4$, 23–$23^3/_4$
21	8.2	8.7	7.5	8.1	−5.0	706.7	707.2	709.2	99	96	99	N 0	ESE 0	SE 0	10●	10●	10●	16.1	● 0–24
22	7.2	9.4	8.8	8.5	−4.7	710.2	711.9	713.8	100	86	92	SE 0	NE 0	NE 0	10●	10	10	1.1	● $0^1/_4$-n zeitw.
23	8.1	10.4	9.8	9.4	−3.9	714.8	715.7	**717.1**	93	79	89	NE 1	NE 1	NE 1	10	10	9	.	
24	10.0	**16.0**	12.8	12.9	−0.5	716.0	715.2	715.3	82	50	48	NE 1	ENE 2	E 1	9	7	0	0.3	
25	7.8	8.5	6.8	7.7	−5.8	714.6	714.6	715.3	95	86	94	NE 1	NE 1	E 0	10	10●	10	4.4	● 7, $8^1/_4$, 13–$18^1/_4$ m.U., [●tr. a
26	6.7	11.5	10.7	9.6	−4.1	715.0	715.0	715.4	92	60	85	E 0	NE 1	E 0	10	7	0	.	
27	9.9	14.0	12.3	12.1	−1.7	715.5	715.5	715.2	82	75	85	SE 0	NNE 1	NE 0	1	9	1	.	
28	8.6	14.5	10.4	11.2	−2.7	713.9	713.4	714.5	92	60	68	S 0	NE 1	E 0	10	3	1	2.8	⏢ I
29	8.2	11.1	9.0	9.4	−4.6	714.2	714.1	713.3	85	65	78	NE 1	NE 1	NE 1	10	7	3	0.9	● $0^1/_2$–$4^3/_4$, $12^1/_4$–$16^1/_2$ m.U.
30	8.4	14.7	12.3	11.8	−2.3	711.6	712.1	712.1	78	52	60	NE 1	NE 2	E 1	8	7	3	.	
31	9.8	15.5	12.6	12.6	−1.6	710.9	710.3	710.3	75	54	70	ENE 1	NE 1	NE 0	1	4	10	.	⏢ I
																		Summe	
Mittel	7.2	11.5	9.3	9.3	—	708.8	708.8	709.2	91	70	85				8.3	8.5	7.8	181.2	

$\lambda = 6° 57'$, $\beta = 47° 0'$,
$H_b = 487.3^m$, $G = 0.02^m/_m$.

Neuchâtel

Mai 1939.
Beobachter: *Observatorium.*

1	**5.2**	12.6	11.9	9.9	−1.2	717.7	716.9	714.1	91	54	50	NW 1	S 1	NE 2	7	7	10	.	
2	8.2	16.5	11.6	12.1	0.8	710.0	707.7	708.6	79	51	78	NE 1	NE 2	W 0	10	6	10	**33.2**	●tr. $21^1/_4$-n
3	7.4	7.0	7.0	7.1	−4.3	710.8	713.4	715.2	95	95	97	SW 1	SW 3	SW 1	10●	10●	10●	13.3	●° n-n
4	7.1	10.7	9.3	9.0	−2.6	714.8	713.8	712.7	98	77	81	E 0	E 1	NW 0	10	10	10	.	
5	10.9	11.3	9.8	10.4	−1.3	710.1	709.6	709.8	84	75	80	E 1	NE 1	NE 1	5	10	10	0.4	●° 10–14 m.U.
6	6.8	16.5	12.5	11.9	0.1	708.4	706.6	**705.9**	97	58	72	E 0	SE 1	E 0	10≡	2	10	3.1	●tr. abds., ≡ $6^3/_4$–8
7	6.9	12.1	8.5	9.2	−2.8	710.4	712.2	714.8	97	72	78	SW 1	SW 1	NW 0	10	8	0	2.2	● n-$9^1/_2$ m.U.
8	7.8	10.2	8.2	8.7	−3.4	717.0	717.5	718.8	91	94	98	NE 0	E 0	NE 0	10	10●	10●	28.8	● $10^1/_2$-n
9	7.5	8.9	8.2	8.2	−4.0	719.7	720.3	721.2	98	84	97	SW 0	N 1	E 0	10●	10	10●	10.0	●° n-a, ● $17^1/_2$-n
10	7.5	11.9	10.1	9.8	−2.6	721.0	721.1	721.5	97	78	79	E 0	SE 0	E 0	10●	10	10	0.1	● n-$7^3/_4$
11	9.6	14.3	11.4	11.8	−0.7	720.9	720.1	720.0	89	67	75	NE 0	SE 0	NW 1	10	10	10	1.3	
12	8.4	9.1	7.1	8.2	−4.4	716.1	715.3	715.0	95	84	84	NW 0	NW 0	W 0	10●	10	10	10.1	● n-n m.U., T $16^1/_4$
13	5.7	8.0	7.4	7.0	−5.8	714.8	715.6	715.7	95	81	83	W 0	S 1	NW 1	10●	10	6	3.3	● a
14	6.0	7.1	6.9	6.7	−6.2	715.4	715.9	717.1	95	94	95	W 0	SW 1	W 1	10●	10●	10	9.2	● n-n m.U.
15	8.0	9.8	8.6	8.8	−4.2	716.3	715.6	713.8	92	88	94	SW 1	SW 2	SW 1	10	10	10●	9.0	● n-n m.U.
16	7.3	11.7	9.2	9.4	−3.7	714.2	713.1	713.6	82	63	81	SW 2	SW 1	SW 1	10	10	10	1.0	●sch. $15^1/_2$
17	8.3	14.7	11.3	11.4	−1.9	713.8	713.1	711.9	86	52	75	SE 1	S 1	SE 1	8	5	10	14.9	●sch. n-a m.U., ● $21^1/_2$-n
18	6.5	10.2	7.4	8.0	−5.4	712.5	712.6	711.7	94	84	97	W 0	S 1	SW 1	10●	10	10●	21.0	● n-abds. m.U.
19	6.7	13.2	7.2	9.0	−4.5	712.5	712.8	713.7	94	63	93	SW 1	SW 2	W 0	10	5	10	11.3	⛈ seit $19^3/_4$, ●▲ $20^1/_4$-$20^3/_4$
20	7.8	16.7	10.0	11.5	−2.1	714.3	713.8	715.0	89	56	86	SE 1	SE 1	NE 0	1	4	10●	2.4	●° $21^1/_4$-n
21	9.0	10.7	8.4	9.4	−4.4	715.2	715.4	717.3	97	73	97	E 0	NE 1	NE 0	10●	10●	10●	5.3	●° a, ● $13^1/_2$-n
22	8.6	10.0	8.6	9.1	−4.8	718.5	720.2	722.1	98	84	97	E 0	NE 1	NE 0	10	10	10●	1.2	● p
23	9.7	12.7	10.3	10.9	−3.1	722.9	723.8	**725.0**	86	75	90	NE 1	E 2	E 3	10	10	10	.	●° $15^1/_2$
24	11.6	18.2	14.4	14.7	0.6	723.7	723.0	723.2	78	50	**38**	E 3	E 3	NE 3	5	1	0	0.2	
25	8.6	10.1	7.9	8.9	−5.3	722.6	722.8	723.4	92	89	90	W 0	S 0	NE 1	10●	10●	10	1.1	●° m.U.
26	8.9	13.3	12.1	11.4	−3.0	723.2	723.0	723.5	84	63	69	E 1	NE 1	NE 1	1	8	0	.	
27	11.5	16.2	11.8	13.2	−1.3	723.9	723.5	723.3	84	65	83	E 1	NE 1	E 0	10	10	0	.	
28	8.6	17.9	10.6	12.4	−2.2	722.4	721.3	722.8	98	46	75	NE 1	NW 3	N 1	5	1	5	3.1	● n (28./29.), ≡ a zeitw.
29	8.6	10.6	10.2	9.8	−4.9	722.2	722.4	721.5	90	76	63	NE 2	NE 2	NE 3	5	6	1	1.1	●sch. seit $11^3/_4$ zeitw.
30	9.7	17.0	13.5	13.4	−1.4	719.5	720.0	720.1	70	52	52	E 4	E 4	NE 3	5	3	4	.	
31	11.3	**19.0**	14.1	14.8	−0.1	718.9	718.2	718.1	64	44	57	NE 3	E 3	NE 2	0	0	4	.	
																		Summe	
Mittel	8.2	12.5	9.8	10.2	—	716.9	716.8	717.1	90	70	80				8.1	7.6	7.7	186.6	

Mai 1939.
Beobachter: Frl. *H. Nager.*

Altdorf

$\lambda = 8° 39'$, $\beta = 46° 53'$,
$H_h = 456.3^m$, $G = -0.05^{m}/_{m}$.

Tag	Lufttemperatur					Luftdruck			Relative Feuchtigkeit			Windrichtung und Stärke			Bewölkung			Niederschlag	Witterung
	7^{30}	13^{30}	21^{30}	Mittel	Abweich. vom Normalst	7^{30}	13^{30}	21^{30}	7^{30}	13^{30}	21^{30}	7^{30}	13^{30}	21^{30}	7^{30}	13^{30}	21^{30}		
1	5.8	13.6	9.9	9.8	−1.4	720.5	718.8	717.2	89	47	57	NW 0	NW 1	E 0	2	7	10	.	
2	12.7	13.6	11.6	12.6	1.3	711.9	710.3	710.6	35	39	55	E 2	NW 1	NW 0	10	9	8	.	
3	9.6	11.1	8.1	9.6	−1.9	712.9	715.0	718.1	77	64	95	NW 0	NW 0-1	NW 0	7	10●	10●	6.1	● II, III
4	8.0	12.7	10.2	10.3	−1.3	717.6	715.9	714.7	97	63	85	N 0	NW 1	NW 0	10	10	10	0.1	
5	9.8	12.1	9.2	10.4	−1.4	712.5	711.9	713.5	84	63	93	NW 0	NW 0	NW 0	10	10	10	.	
6	8.2	15.5	16.1	13.3	1.4	711.0	709.2	**709.0**	82	50	**30**	E 0	NW 0	S 2	3	8	1	.	
7	12.0	12.8	9.4	11.4	−0.7	713.8	714.2	717.8	73	56	76	NW 0	NW 1	NW 0	10●	9	2	6.8	● I
8	8.2	8.8	7.7	8.2	−4.0	719.4	720.6	722.0	95	88	95	S 0	N 0	NW 0	10●	10●	10●	29.3	● n-n
9	7.6	9.6	7.5	8.2	−4.1	722.5	722.8	724.2	96	86	94	N 0	NW 0	W 0	10●	10●	10●	17.1	● n-n
10	7.3	14.7	10.9	11.0	−1.5	723.9	723.0	724.3	94	50	80	SE 0	NW 1	NW 0	10	7	10	.	
11	10.4	14.5	9.8	11.6	−1.0	723.3	722.0	723.0	89	58	96	W 0	NW 0-1	NW 0	7	8	10●	3.6	● 17½-n
12	8.7	9.8	7.5	8.7	−4.1	718.9	718.2	718.0	96	72	92	E 0	W 0	NW 0	10	10●	10●	6.0	● S-n
13	8.6	10.8	8.9	9.4	−3.5	716.9	717.2	718.5	88	63	85	E 0	NW 0-1	NW 0	9	8	10	0.3	● abds. zeitw.
14	9.2	8.8	7.7	8.6	−4.4	717.3	718.0	720.0	83	80	89	W 0	NW 0	S 0	10	10●	10●	16.7	● II, III
15	8.1	14.0	10.3	10.8	−2.4	719.0	717.5	716.7	96	49	83	E 0	NW 1	NW 0	10	9	10	1.3	
16	8.8	13.5	8.5	10.3	−3.0	715.7	715.9	717.4	69	49	93	NW 2	NW 0	NW 0	10●	9	0	6.7	● n-10, 16-n
17	8.6	11.9	8.8	9.8	−3.6	716.6	716.8	715.0	93	66	90	NE 0	NW 0	SE 0	10	10●	9	2.7	● II
18	10.9	12.7	9.8	11.1	−2.4	714.7	714.9	714.0	70	58	94	S 0	NW 0-1	NW 0	10●	9	10●	**29.5**	● a, abds. zeitw.
19	5.5	11.2	9.8	8.5	−5.2	716.0	715.7	716.2	95	61	85	NW 0	NW 0	SE 0	10●	10	8	6.4	● I
20	8.8	12.8	10.0	10.5	−3.3	716.9	716.9	717.4	96	61	93	E 0	N 0	NW 0	10●	9	10●	18.5	
21	8.6	8.6	8.1	8.4	−5.5	717.5	717.6	720.2	93	88	95	NW 0	NW 0	NW 0	10●	10●	10●	22.3	● n-n
22	8.9	11.8	9.5	10.1	−3.9	716.1	722.4	724.5	95	67	95	N 0	NW 0	NW 0	10●	10●	10	2.4	● n-p
23	11.9	11.5	10.2	11.2	−2.9	725.7	726.8	**728.6**	94	78	85	N 0	W 0	NW 0	9	10●	10	0.2	● p
24	10.9	**17.5**	12.2	13.5	−0.7	727.1	726.2	726.2	80	48	62	SW 0	NW 0	NW 0	6	5	6	0.4	
25	9.9	10.2	7.8	9.3	−5.0	724.9	725.3	726.6	83	80	95	SW 0	S 0	SE 0	10●	10●	10	8.2	● I, II
26	8.1	14.8	10.9	11.3	−3.1	726.1	725.2	726.6	83	47	80	E 1	NW 0-1	NW 0	7	6	10	.	
27	9.7	16.9	12.0	12.9	−1.6	726.9	725.9	726.2	88	56	89	E 0	W 0-1	W 0	7	8	10	.	
28	11.9	12.7	8.7	11.1	−3.5	723.9	724.4	725.2	81	70	95	NW 0	N 0-1	S 0	8	10	10●	22.3	● 11-n zeitw., ⊤ 16
29	8.2	12.0	9.9	10.0	−4.7	725.2	724.5	724.4	90	56	78	S 0	NE 0-1	NW 0	10●	8	9	0.7	
30	8.4	16.8	11.7	12.3	−2.5	722.6	722.6	723.0	84	48	84	E 0	NW 0-1	E 0	2	4	7	.	
31	11.5	15.0	10.8	12.4	−2.5	721.8	721.5	721.1	84	52	90	E 0	NW 0	SE 0	10	10	8	0.9	● 19-20
																		Summe	
Mittel	9.2	12.7	9.8	10.6	—	719.3	719.3	720.0	85	62	84				8.6	8.8	9.0	208.5	

Mai 1939.
Beobachter: *Observatorium.*

Genf

$\lambda = 6° 9'$, $\beta = 46° 12'$,
$H_b = 405.0^m$, $G = -0.03^{m}/_{m}$.

1	4.1	11.4	12.0	9.2	−2.2	725.1	723.6	720.5	83	59	61	E 1	NNE 1	NNE 1	0	3	10	.	
2	9.0	13.9	10.5	11.1	−0.5	716.6	715.1	716.1	77	54	78	NNE 1	NNE 1	SSW 1	10	8	10●	9.6	● 20-n
3	8.0	9.2	8.2	8.5	−3.2	719.0	721.1	722.8	91	84	96	SSE 1	SW 1	NE 0	10●	10●	10	11.5	● n-n
4	7.8	12.2	10.7	10.2	−1.7	721.7	720.8	719.4	97	76	76	NE 0	NNE 1	NNE 1	10●	9	10	0.1	● a, ●°sch. n
5	9.8	13.8	10.8	11.5	−0.5	717.2	716.7	716.9	84	71	75	NNE 0	E 0	E 0	10	9	10	.	●tr. a, abds.
6	7.6	12.6	11.3	10.5	−1.7	715.8	713.8	**713.1**	89	68	78	NE 1	NNE 0	W 0	0	10●	10	17.0	● seit 13¼, n
7	9.0	12.8	10.0	10.6	−1.7	717.7	719.3	722.2	86	64	77	W 0	E 1	NW 0	10	9	10●	0.1	●° n
8	9.4	10.6	9.0	9.7	−2.8	724.2	724.8	726.3	86	87	93	NNE 1	NE 0	NE 0	2	10●	10●	13.1	● p-n
9	8.0	9.8	9.8	9.2	−3.4	726.8	727.4	728.4	94	92	89	NE 0	NE 0	NNE 0	10●	10	10●	4.8	● a, n
10	8.6	13.0	11.5	11.0	−1.7	728.7	728.3	728.3	94	66	73	NNE 0	NNE 1	NNE 1	10●	9	3	.	●°sch. I
11	9.8	15.8	13.0	12.9	0.0	728.1	727.1	726.9	89	55	66	NNE 0	NNE 1	NE 0	10	5	9	0.2	●° n (11./12.)
12	10.6	9.8	8.5	9.6	−3.4	723.5	722.3	722.3	84	79	69	SE 1	E 1	NNE 0	9●	6	10	1.6	● a, n, ⊤ 8¾, 15½
13	7.7	11.4	7.8	9.0	−4.1	722.3	722.7	723.2	82	68	86	NE 0	NE 1	E 0	10●	10●	0	.	●sch. a
14	7.0	9.0	8.0	8.0	−5.3	723.2	723.7	724.8	85	84	86	NE 0	E 1	NE 0	10	10●	10	3.5	● a-n zeitw.
15	9.0	10.4	10.3	9.9	−3.5	723.9	723.4	721.4	89	86	91	NE 0	NE 0	E 0	10●	10●	10●	8.1	● n-n
16	9.8	14.4	9.1	11.1	−2.4	721.9	720.4	721.3	69	57	57	E 0	SSW 1	NE 0	3	7	9	2.1	● n (16./17.)
17	7.9	16.2	11.2	11.8	−1.9	721.3	719.7	718.5	90	50	68	E 1	SSW 1	NE 0	9●	3	10	11.9	● I, 22¼-n
18	7.2	7.2	5.6	6.7	−7.1	719.9	719.7	719.5	97	95	97	NE 0	NNE 1	NE 0	10●	10●	10●	**42.1**	● n-n
19	7.2	14.4	10.2	10.6	−3.3	719.9	720.0	720.7	90	60	68	NNE 0	NNE 1	E 0	9	8	10	2.9	●sch. p, ● n
20	6.4	14.4	11.7	10.8	−3.2	721.7	720.9	721.9	97	60	73	NE 0	NNE 1	NE 1	9≡	2	10	1.3	≡ I
21	9.2	11.6	9.6	10.1	−4.1	722.1	722.0	724.4	97	71	92	NNE 1	NE 1	NNE 1	10●	10●	10●	7.0	● n-n m.U.
22	10.7	13.4	10.2	11.4	−2.9	725.0	726.8	728.8	81	60	89	NE 1	NE 2	NE 1	10●	10	10	0.3	● I, ●°sch. p, n
23	10.7	13.4	12.0	12.0	−2.4	729.3	729.5	730.4	81	69	76	NNE 2	NNE 2	NNE 2	9	9	1	.	
24	11.2	14.5	13.6	13.1	−1.4	730.3	729.9	729.6	83	71	69	NE 1	NNE 1	NNE 1	10	9	0	.	
25	9.7	13.6	11.0	11.4	−3.3	729.3	729.5	730.3	78	58	69	E 0	NE 2	NE 1	9	9	9	.	●°sch. 12¾
26	9.2	15.4	12.6	12.4	−2.4	730.1	729.3	730.1	81	**45**	69	NE 1	NNE 2	NE 1	8	1	0	.	
27	11.0	16.6	13.0	13.5	−1.4	**731.0**	730.1	730.0	85	64	79	NE 0	NNE 1	NE 1	9	1	3	.	
28	12.6	**17.6**	12.0	14.1	−0.9	729.2	727.7	729.1	81	57	63	NE 0	NNE 1	NNE 1	0	2	2	.	
29	10.9	13.2	12.3	12.1	−3.1	728.1	727.5	726.2	71	60	62	NNE 2	NNE 4	NNE 3	2	1	2	.	
30	10.2	15.2	13.2	12.9	−2.4	726.0	726.5	726.0	72	62	57	NNE 2	NNE 2	NNE 2	9	1	2	.	
31	11.8	17.2	13.6	14.2	−1.2	725.9	724.9	724.3	71	59	62	NE 0	NNE 1	NE 1	0	0	9	.	
																		Summe	
Mittel	9.1	13.0	10.7	10.9	—	724.0	723.7	724.0	85	67	76				7.6	6.8	7.4	137.2	

$\lambda = 8^{\circ}\,33'$, $\beta = 47^{\circ}\,23'$.
$H_b = 493.2$ m, $G = 0.03$ m/m.

Zürich

Mai 1939.
Beobachter: *Meteorol. Zentralanstalt.*

Tag	Lufttemperatur					Luftdruck			Relative Feuchtigkeit			Windrichtung und Stärke			Bewölkung			Niederschlag	Witterung
	7³⁰	13³⁰	21³⁰	Mittel	Abweich. vom Normalst	7³⁰	13³⁰	21³⁰	7³⁰	13³⁰	21³⁰	7³⁰	13³⁰	21³⁰	7³⁰	13³⁰	21³⁰		
1	4.8	15.1	10.6	10.2	−0.6	717.0	716.0	714.1	86	53	61	NNW 0	NW 1	ENE 1	1	3	10	.	⌓ I
2	7.9	14.7	9.1	10.6	−0.4	709.6	707.5	708.3	76	57	97	ENE 2	NE 2	SE 1	10	10	10●	13.5	● 20½–23½
3	7.6	7.8	6.7	7.4	−3.7	709.8	712.1	714.4	81	78	95	W 1	W 2	SE 1	10	10●	10●	11.1	● 2½–7½, 14½–n
4	7.9	11.0	9.9	9.6	−1.7	714.4	713.3	712.0	87	71	75	SSE 0	NNW 1	N 0	10	10	10	0.0	● n–2
5	9.4	12.1	9.1	10.2	−1.2	709.2	708.4	708.9	85	60	91	NNW 0	NNW 1	ESE 0	10	10●	10	3.4	● 15½–18½ m.U.
6	9.4	17.9	13.1	13.5	1.9	707.9	706.2	704.9	74	57	61	ESE 0	ESE 1	NE 1	2	7	0	0.0	
7	10.4	11.8	10.8	11.0	−0.7	709.0	711.5	714.3	84	62	75	W 1	W 1	N 0	10	10	4	12.9	
8	8.5	17.7	7.1	7.8	−4.1	715.7	716.8	718.0	96	95	96	NW 1	SE 1	SE 1	10●	10●	10●	32.1	● 3½–23½
9	7.3	8.8	7.3	7.8	−4.3	718.8	719.2	720.2	96	91	97	S 1	SSE 1	SSE 1	10●	10●	10●	21.1	● 8½–10¾, 13½–n
10	8.3	13.3	10.7	10.8	−1.4	720.3	720.1	720.7	74	63	62	SE 0	WNW 1	N 1	7	9	10	0.0	● n–1, ●tr. 19–19¼
11	9.8	14.3	9.3	11.1	−1.3	720.0	719.2	719.1	85	63	98	NW 0	SSW 1	E 1	10	10	10●	15.4	● 13¾–18¾, 23–24¼
12	8.3	10.0	7.7	8.7	−3.8	715.1	714.3	714.2	96	70	90	SSE 1	SSW 1	SSW 0	10●	10	10	2.8	● 4¼–11¼
13	7.0	10.1	8.7	8.6	−4.1	713.5	714.3	714.7	87	73	80	ENE 0	WNW 1	NW 1	10	10	10	1.5	● 11¼–11¾
14	6.9	7.1	7.4	7.1	−5.7	714.0	714.0	715.7	88	87	87	SW 1	SSW 1	WNW 2	10●	10●	10	19.5	● 6–17½, 18¾–21¼
15	7.4	11.6	9.2	9.5	−3.4	715.3	714.5	713.4	91	66	83	SSE 1	S 2	SSW 1	10	10	10●	10.8	● 11¼–13¼ m.U., 18–n m.U.
16	7.0	13.5	8.0	9.5	−3.6	712.7	712.6	713.4	76	58	93	WSW 3	S 2	ESE 1	10	9	9●	4.4	● 6¼–7¼, 17½–22
17	6.5	12.4	8.6	9.2	−4.0	713.1	712.9	711.7	96	57	77	WNW 1	SE 2	SE 1	9≡	9	1	.	≡ I
18	9.7	13.7	10.6	11.3	−2.0	711.5	711.6	710.2	71	53	73	WNW 1	WNW 2	NW 1	8	9	10	4.6	
19	6.1	13.4	9.9	9.8	−3.7	711.9	712.0	712.8	89	58	86	SSE 2	WNW 2	SE 1	10	8	10	.	● 4–8
20	9.4	9.7	9.1	9.4	−4.2	713.5	713.6	714.1	77	92	98	NW 1	SSE 1	N 1	10	10●	10●	23.0	● 8½–14½, 20¼–n
21	8.5	8.9	7.9	8.4	−5.3	713.7	713.9	716.2	95	97	98	NW 1	SE 1	SE 1	10●	10●	10●	47.0	● n–n
22	8.7	10.8	9.2	9.6	−4.3	717.6	719.1	720.9	95	84	97	ESE 0	NW 0	WNW 1	10●	10●	10●	10.7	● n–4, ●° 4–n m.U.
23	8.8	9.9	9.8	9.5	−4.5	722.6	724.0	725.2	85	85	96	NNW 0	NNE 1	NE 1	10	10●	10●	2.4	●° 12⅝–22¾
24	10.6	17.7	10.2	12.8	−1.3	724.2	723.4	722.7	82	54	66	N 1	N 2	E 1	5	3	0	3.8	
25	8.6	8.8	7.8	8.4	−5.8	721.7	721.7	722.8	93	85	91	SE 0	WNW 2	SW 0	10●	10	10●	6.4	● 3¾–6¾, 7⅞–13½
26	8.0	14.7	11.4	11.4	−3.0	722.8	722.4	723.2	84	53	84	SSE 0	N 2	N 2	10	5	5	.	
27	11.3	14.3	12.9	12.8	−1.7	723.3	723.1	722.4	85	67	90	ESE 0	N 1	ESE 1	10	10	10	.	
28	11.7	16.3	10.3	12.8	−1.8	720.6	721.2	721.4	82	40	82	NE 1	NNW 2	WNW 1	10	9	8	6.5	● 23½–n
29	8.0	11.3	8.6	9.3	−5.4	722.1	722.1	721.9	93	71	73	NNW 1	ENE 2	E 1	10●	9●	1	2.3	● n–16 m.U.
30	9.3	16.0	12.3	12.5	−2.3	719.9	720.4	720.1	72	46	53	E 2	NE 3	NNE 2	8	9	1	.	
31	11.0	17.0	12.7	13.6	−1.3	718.6	718.3	717.9	61	45	67	ENE 2	E 2	NE 1	1	8	2	.	
																		Summe	
Mittel	8.5	12.3	9.6	10.1	—	716.1	716.1	716.4	85	67	83				8.7	8.9	7.8	255.2	

$\lambda = 8^{\circ}\,30'$, $\beta = 47^{\circ}\,3'$.
$H_b = 1787.3$ m, $G = -0.20$ m/m.

Rigi-Kulm

Mai 1939.
Beobachter: *J. Steiner.*

1	−0.3	4.0	1.0	1.6	−0.4	610.7	611.6	610.5	55	75	94	SE 1	SSW 1	S 1	0	7	7	.		✳
2	1.4	4.8	1.6	2.6	0.4	605.2	604.5	604.6	65	65	100	E 3	SE 2	SE 2	10	10	10	4.5		
3	0.0	−0.1	−1.5	−0.5	−2.9	605.1	607.1	608.6	100	100	100	W 1	W 1	W 1	10*	10≡	10≡	15.1	✳ I, ≡ II, III	✳
4	−0.4	1.6	0.4	0.5	−2.0	608.9	608.5	607.8	100	95	100	NW 1	ENE 1	SE 1	10≡	10≡	10≡	0.2	≡ n–n	
5	1.0	3.6	0.4	1.7	−1.0	605.1	605.0	605.1	100	85	98	SW 1	SW 1	W 1	10≡	10	10≡	0.6	≡ I, III	
6	2.6	8.3	4.8	5.2	2.3	604.4	604.2	603.4	75	67	56	SE 1	SE 1	S 3	1	5	3	.		
7	2.0	0.2	2.0	1.4	−1.7	605.5	607.9	608.9	100	90	90	WSW 1	SW 1	SW 1	10≡	10≡	3	16.4	≡ I, II	
8	−1.0	0.2	−0.5	−0.4	−3.7	610.4	611.3	612.0	100	100	100	SW 1	WNW 1	W 1	10*	10*	10≡	26.7	✳ I, II, ≡ III	✳
9	−0.6	1.0	−1.0	−0.2	−3.7	612.9	613.6	614.2	100	100	100	W 1	WNW 1	W 1	10≡	10*	10≡	20.6	✳ zeitw., ≡ n–n	✳
10	−0.1	3.8	0.6	1.4	−2.2	614.2	614.8	615.1	100	80	100	WSW 1	SW 1	E 1	10	10	10≡	.	≡ 15–n zeitw.	✳
11	2.6	6.5	0.7	3.3	−0.5	614.6	614.6	614.3	78	77	98	E 1	NW 1	W 1	10	10	10	5.9		✳
12	−0.8	−0.8	1.1	−0.2	−4.2	610.1	609.2	609.0	100	100	80	W 2	NW 1	W 1	10*	10*	10	6.0	✳ I, II	✳
13	−1.4	2.5	−0.3	0.2	−4.0	608.1	609.1	609.5	98	89	98	E 1	E 1	E 1	10≡	10≡	10≡	0.6	≡ n–n	✳
14	−1.9	−1.3	−1.3	−1.5	−5.8	608.7	609.6	609.6	100	100	100	SW 1	W 2	W 2	10≡	10*	10*	27.1	≡ I, ✳ II, III	✳
15	−0.8	0.4	0.5	0.0	−4.5	610.1	610.0	609.1	100	100	100	SW 2	WSW 2	W 2	10≡	10≡	10≡	4.1	≡ n–n m.U.	✳
16	−2.6	1.8	−1.1	−0.6	−5.3	606.8	608.4	608.3	100	90	100	W 3	SW 1	W 1	10≡	10	10≡	8.6	≡ I, III	✳
17	−0.8	3.4	2.0	1.5	−3.3	608.0	608.4	608.1	95	85	70	NE 1	NE 1	E 1	10≡	10	3	2.0	≡ I	✳
18	0.0	1.4	1.2	0.9	−4.1	607.1	608.4	606.7	100	92	100	SW 1	NNW 1	NE 1	10≡	10	10≡	23.9	≡ I, III	✳
19	−1.6	2.0	1.2	0.5	−4.6	606.4	608.0	608.5	100	95	70	W 3	W 1	NW 1	10≡	10≡	5	1.0	≡ I, II	✳
20	0.2	6.8	1.0	2.7	−2.5	608.8	609.1	609.3	100	72	100	NW 1	SW 1	W 1	10*	10≡	10*	33.6	✳ n–10½, ≡ II	✳
21	−0.5	0.3	0.2	−0.1	−5.5	608.7	609.2	610.0	100	100	100	SW 1	NW 1	W 1	10*	10*	10*	24.5	✳ n–n	✳
22	0.0	3.6	0.4	1.3	−4.2	613.3	613.8	615.3	100	75	100	W 1	W 0	W 1	10*	10≡	10≡	11.7	✳ I, ≡ II, III	✳
23	1.0	1.7	1.4	1.4	−4.2	616.4	617.8	618.9	100	100	100	E 1	NW 1	SE 1	10≡	10≡	10≡	1.6	≡ n–n	✳
24	1.8	5.0	3.0	3.3	−2.4	617.9	618.6	618.3	100	91	73	E 2	NE 1	SW 1	10≡	8	3	0.7	≡ I	✳
25	−0.6	−0.5	−1.6	−0.9	−6.7	615.9	615.2	616.0	100	100	98	W 1	W 1	W 1	10*	10*	10	20.1	✳ seit 6¼	✳
26	−1.0	4.6	2.0	1.9	−4.1	616.0	616.7	617.7	100	74	100	E 1	E 1	E 1	10≡	10≡	10	.	≡ I, II	✳
27	2.0	5.1	4.4	3.8	−2.3	617.6	618.2	618.1	100	94	94	E 2	E 1	SW 1	10≡	10≡	10	0.1	≡ I, II	✳
28	3.8	2.0	0.1	2.0	−4.2	616.4	616.3	616.1	100	100	100	SW 1	SW 1	W 1	10≡	10≡	10*	13.5	≡ I, II, ✳ III	✳
29	−1.7	−0.4	−0.5	−0.9	−7.2	615.1	615.5	615.4	100	96	100	NE 2	NE 3–4	NE 3–4	10*	10≡	10	4.1	✳ I, ≡ II	✳
30	−0.4	4.5	2.0	2.0	−4.4	613.3	615.6	615.1	100	80	100	E 2	NE 1	NE 2	2	8	10	.		✳
31	4.0	3.8	3.0	3.6	−2.9	613.2	614.1	613.7	88	94	100	ENE 1	E 1	SE 1	0	10≡	10≡	.	≡ II, III	✳
																		Summe		
Mittel	0.2	2.6	0.9	1.2	—	610.8	611.4	611.5	95	89	94				8.8	9.6	8.5	273.2		

Mai 1939.
Beobachter: *P. Nogler.*

Bevers

$\lambda = 9° 53'$; $\beta = 46° 33'$.
H_b = ca. 1710^m, $G = -0.23\,^m/_m$.

Tag	Lufttemperatur					Luftdruck			Relative Feuchtigkeit			Windrichtung und Stärke			Bewölkung			Niederschlag	Witterung
	7^{30}	13^{30}	21^{30}	Mittel	Abweich. vom Normalst.	7^{30}	13^{30}	21^{30}	7^{30}	13^{30}	21^{30}	7^{30}	13^{30}	21^{30}	7^{30}	13^{30}	21^{30}		
1	1.8	7.9	0.8	3.5	0.0	617.3	617.8	616.6	84	40	69	SW 1	SE 2	SW 0-1	7	6	10	.	
2	2.6	7.6	1.6	3.9	0.3	613.3	612.6	612.0	65	78	100	NE 2-3	NE 2-3	N 1	10	10*	10	2.3	✳ II
3	-0.4	7.8	2.6	3.3	0.5	612.8	613.0	614.6	86	48	86	SW 0	SW 3	SW 2-3	4	8	10	.	
4	3.0	8.7	5.2	5.6	1.6	614.3	613.3	612.4	74	50	76	SSE 2-3	NE 2-3	NW 1	10	10	10	.	
5	3.8	6.0	2.4	4.1	+0.1	610.4	610.0	611.1	74	51	74	NE 1-2	W 2	W 1	10	10	10	.	
6	2.7	8.8	3.0	4.8	0.4	611.0	611.0	612.1	71	49	95	SW 0-1	SW 1	W 0	3	8	10●	0.2	● III
7	2.0	10.1	−0.2	4.0	+0.6	613.1	613.6	616.0	100	45	94	W 1	SW 1-2	W 1	10*	4	0	2.1	✳ I
8	1.2	6.4	1.8	3.1	1.7	614.9	615.5	617.7	100	58	98	N 1-2	NW 1-2	N 1	10*	10	10	11.5	✳ n-10
9	2.5	3.7	2.2	2.8	-3.2	617.3	618.4	619.6	85	85	92	N 2	N 1	N 0	10	10*	10●	4.7	✳ II, ● III
10	2.3	9.1	2.8	4.7	0.4	620.3	620.5	621.0	91	46	94	N 0	SW 0	NW 1	10●	10	10●	0.1	● I, III
11	2.9	8.7	4.3	5.3	0.0	620.5	619.2	619.2	90	49	72	W 1	W 1-2	SW 1	10	9	0	0.1	
12	4.0	8.9	1.4	4.8	-0.7	616.2	615.5	615.0	81	79	99	N 0	N 2	NW 1	10	10●	4	3.4	● p
13	3.2	7.3	0.6	3.7	-1.9	614.5	614.8	615.9	88	50	98	S 1	NE 1-2	NW 1	10*	8	2	0.4	✳ 9-10, abds.
14	2.7	6.1	1.6	3.5	-2.3	615.7	614.1	615.1	68	46	96	WSW 0	SSE 2	NE 1	2	10	10*	0.1	✳ + 15-n
15	4.5	9.3	2.8	5.5	-0.5	616.4	616.1	616.1	64	40	86	NE 1	NW 1	W 1	7	10	10	0.4	
16	2.0	8.1	1.2	3.8	-2.3	614.0	614.2	614.9	100	89	100	W 0	SW 1	SW 1	10●	10●	10*	24.7	● n-p, ✳ 15-n
17	3.8	5.6	2.1	3.8	-2.5	614.5	614.9	615.8	80	70	92	SW 1	SW 1	W 0	10	9	4	2.4	⊛
18	1.5	8.6	4.0	4.7	-1.7	614.9	614.4	614.7	96	61	96	NE 1	S 2	SW 1	10*	10●	10●	33.4	✳ I, ● II, III
19	2.4	9.0	1.4	4.3	-2.3	613.1	613.9	615.4	97	52	86	S 1	SW 1	SW 1	10*	8	0	.	✳ I ⊛
20	4.8	12.1	5.0	7.3	0.8	615.0	613.6	613.9	72	36	81	SE 1	SE 2	S 1	9	8	10●	5.2	● III
21	3.1	5.5	3.6	4.1	-2.8	612.9	613.7	615.2	91	65	77	WSW 0	W 1-2	W 1	10●	10●	10	4.0	● I, II
22	4.2	7.1	4.2	5.2	-1.8	616.7	618.6	620.4	75	89	67	E 2	NE 2	N 2-3	10●	10●	10	0.6	● I, II
23	5.8	9.3	5.4	6.8	-0.3	621.6	621.8	624.0	65	55	80	NE 2	SW 2	N 2	10	10	9	.	
24	6.3	12.6	5.0	8.0	0.7	623.8	622.8	623.1	72	47	56	ENE 2	NE 2	NE 1	7	3	0	.	
25	4.6	6.8	2.0	4.5	-2.9	621.0	620.3	621.8	62	58	76	N 1	NE 2	N 2	10	10●	10	0.3	● II
26	3.6	13.8	4.6	7.3	-0.2	621.5	622.8	623.3	82	64	78	NE 2	N 2	N 1	10	10	6	.	
27	6.6	13.2	8.2	9.3	1.6	623.7	622.7	623.3	75	44	61	NE 1-2	N 2	N 1	5	5	0	.	
28	7.1	7.0	2.6	5.6	-2.2	620.9	619.0	620.1	58	55	85	W 1	SW 1	NW 1	9	10	9	2.6	●sch. a, ● p-17, ✳ 19-21
29	3.7	7.8	3.2	4.9	-3.0	619.1	619.5	620.5	72	47	60	NE 1-2	NNE 2	N 1	10	10	10	.	
30	5.7	13.1	5.0	7.9	-0.1	620.3	620.3	621.1	63	45	81	NE 1	ENE 2	N 2-3	10	10	4	.	
31	6.1	12.2	3.8	7.4	+0.7	620.1	618.5	620.7	75	57	100	NE 2-3	NE 2	NE 0-1	6	8	6	.	
Mittel	3.6	8.7	3.0	5.1	—	616.8	616.7	617.5	79	56	84				8.7	8.8	7.2	Summe 98.5	

Mai 1939.
Beobachter: *Kapuzinerkloster.*

Sitten

$\lambda = 7° 21'$, $\beta = 46° 14'$,
H_b = 548.6^m, $G = -0.11\,^m/_m$.

1	7.0	16.6	12.6	12.1	-0.3	712.5	710.2	708.6	77	40	36	NE 1	WSW 1-2	E 1	3	5	10	.	
2	10.4	16.9	12.0	13.1	0.5	705.4	702.4	703.9	57	39	48	E 0	E 3-4	E 1	10	7	7	9.4	
3	6.7	14.5	10.0	10.4	-2.3	706.9	707.2	709.5	98	58	72	N 1	W 1-2	W 2-3	9●	9	9	2.0	● I
4	8.0	15.4	11.3	11.6	-1.3	709.1	707.2	705.2	90	56	68	W 1	W 1-2	W 1	10	5	8	.	
5	10.1	14.1	11.9	12.0	-1.0	704.3	703.3	704.1	79	54	60	W 1	W 2-3	W 2-3	10	9	9	.	
6	10.6	18.7	14.4	14.6	1.4	703.5	701.0	701.3	73	37	46	N 1	W 1-2	W 1	4	7	7	.	
7	9.1	8.5	9.5	9.0	-4.3	704.4	708.0	709.5	82	85	54	W 2	W 1	W 1	10	10●	3	8.2	● 10-15
8	7.8	11.1	8.6	9.2	-4.3	711.5	711.6	712.6	86	77	82	NNE 1	W 1-2	W 1	9	10	10	2.0	● p m.U.
9	8.0	14.0	9.5	10.5	-3.1	713.3	713.4	715.2	82	56	77	W 1	W 1	W 2-3	10	10	9	.	
10	11.5	17.3	11.9	13.6	-0.2	715.6	714.4	715.0	67	48	69	W 1	W 2-3	W 1	10	7	9●	.	● III
11	12.0	17.9	13.5	14.5	0.6	715.2	713.3	713.5	76	44	58	W 1	W 2-3	W 1	8	9	7	0.6	● abds.
12	9.5	10.8	9.6	10.0	-4.0	710.9	709.2	709.0	86	62	65	W 2	W 3-4	W 1	10●	10	7	1.5	● a m.U.
13	5.7	13.5	7.9	9.0	-5.2	709.4	709.0	710.4	87	54	79	E 1	W 1-2	W 1-2	10	9	7	0.4	
14	7.3	10.7	8.5	8.8	-5.5	710.4	710.3	711.0	81	62	76	NE 1	SW 2-3	W 1-2	9	10	8	1.4	
15	7.7	15.1	10.7	11.2	-3.2	711.6	710.6	709.0	91	55	75	NW 1	W 1-2	W 1-2	9	10	10●	4.6	● III
16	7.7	15.9	8.8	10.8	-3.8	708.7	706.5	708.3	91	49	79	W 2-3	W 1-2	W 1	10●	10	5	0.8	●° n-abds. zeitw.
17	9.1	16.1	13.4	12.9	-1.8	708.9	706.6	706.2	73	46	48	NE 1	W 1	E 1	9	8	10	.	
18	10.9	14.9	8.1	11.3	-3.5	706.8	705.0	706.1	74	53	86	W 1	W 3-4	W 1	7	8	10	15.5	● abds.-n
19	5.8	15.4	11.9	11.0	-3.9	707.7	706.9	707.6	89	49	57	E 1-2	E 1	W 3	10	7	8	0.1	● abds.
20	10.5	16.0	11.7	12.7	-2.4	708.7	707.6	707.9	78	48	63	W 1	W 1-2	W 2-3	8	9	7	.	
21	10.2	15.1	10.1	11.8	-3.4	708.0	707.1	710.0	74	51	68	W 2	W 3-4	W 2-3	10	9	8	.	
22	11.3	15.5	12.2	13.0	-2.3	711.6	712.4	715.1	71	51	63	N 1	N 2-3	W 1-2	9	8	8	.	
23	12.0	18.9	12.2	14.4	-1.0	716.5	715.6	717.5	69	44	71	W 0	W 2-3	W 1-2	7	7	5	.	
24	12.4	20.9	16.1	16.5	1.0	717.5	714.7	715.5	75	49	49	NE 1	W 2-3	W 1	1	2	5	.	
25	12.5	17.5	12.1	14.0	-1.7	715.9	715.0	716.6	64	45	59	W 1	W 2-3	W 1-2	8	9	8	.	
26	10.0	18.7	13.1	13.9	-1.9	717.2	714.9	716.4	71	49	60	NE 1	W 2-3	W 1-2	8	2	0	.	
27	13.0	21.3	15.2	16.5	0.6	718.3	715.5	716.4	68	46	67	NE 1	W 2-3	W 1-2	0	4	1	.	
28	14.6	21.9	14.2	16.6	0.6	716.3	713.3	716.9	76	35	39	NE 1	W 1	W 2-3	1	6	3	.	
29	13.4	17.6	13.6	14.9	-1.2	714.6	712.8	712.2	56	42	49	W 1	W 2	W 2-3	3	4	7	.	
30	10.3	20.7	15.4	15.5	-0.7	714.3	711.7	713.6	66	44	60	NE 1	W 2-3	W 1-2	4	4	0	.	
31	13.9	19.9	15.3	16.4	0.1	712.7	710.7	711.8	69	54	66	NE 1	W 2-3	W 1	2	9	6	1.2	● abds.
Mittel	10.0	16.2	11.8	12.7	—	711.2	709.9	710.8	77	51	63				7.1	7.5	6.8	Summe 47.7	

$\lambda = 8^\circ 57'$, $\beta = 46^\circ 0'$,
$H_b = 276.2^m$, $G = -0.01\ ^m/_m$.

Lugano

Mai 1939.
Beobachter: *G. Vicari.*

Tag	Lufttemperatur					Luftdruck			Relative Feuchtigkeit			Windrichtung und Stärke			Bewölkung			Niederschlag	Witterung
	7^{30}	13^{30}	21^{30}	Mittel	Abweich. vom Normalst	7^{30}	13^{30}	21^{30}	7^{30}	13^{30}	21^{30}	7^{30}	13^{30}	21^{30}	7^{30}	13^{30}	21^{30}		
1	8.0	16.2	11.0	11.7	−1.6	736.8	735.5	734.7	86	47	76	N 1	SSW 1	W 1	1	3	10	5.6	● 18¼–18½
2	8.6	8.6	7.6	8.3	−5.1	732.2	730.7	731.1	87	92	98	SSW 1	S 0	E 0	10●	10●	10●	21.6	● n–24½
3	8.4	13.0	9.0	10.1	−3.5	730.7	731.5	732.2	84	62	82	WNW 0	S 1	NE 1	10	10	3	.	● fr.
4	7.8	15.8	13.2	12.3	−1.4	731.0	729.4	728.3	81	53	72	N 1	S 1	NE 1	1	5	10	.	
5	10.0	17.8	13.4	13.7	−0.1	725.5	**723.8**	724.9	76	48	39	ENE 1	ESE 0	S 1	2	9	3	.	
6	11.8	12.0	9.2	11.0	+3.0	727.5	728.4	729.1	83	87	98	S 1	S 1	E 1	10	10	10●	44.8	● 9–12½, 15½–n, K 15½
7	9.8	16.6	7.8	11.4	−2.7	729.8	730.6	734.5	93	47	89	N 1	ESE 1	N 1	10●	6	7	19.8	● n–17½, K p
8	8.8	13.8	10.0	10.2	−4.0	731.4	732.2	736.1	83	53	86	NE 1	S 1	S 1	10	8	10	0.2	●° 19–21 m.U.
9	7.4	14.8	10.6	10.9	−3.5	733.1	734.6	737.1	88	55	80	W 1	S 1	S 1	10	4	10●	7.1	●° 10–11, abds.–n
10	10.8	15.6	11.0	12.5	−2.0	739.5	739.2	738.7	93	48	76	SSE 0	S 1	N 1	10●	6	10	0.3	●° n–S
11	8.8	17.2	11.8	12.6	−2.0	738.0	736.0	736.9	84	53	84	N 1	S 1	N 1	2	7	5	4.2	
12	11.0	9.6	9.4	10.0	−4.8	734.4	733.3	733.2	93	88	99	N 0	ESE 1	NW 0	10●	10●	10●	42.4	● n–n
13	8.0	9.8	8.4	8.7	−6.2	733.1	733.9	734.8	88	84	94	W 1	E 1	NE 1	8	10●	10	6.6	● 10½–18
14	9.0	14.4	8.6	10.7	−4.3	733.6	732.2	732.2	83	48	70	E 0	SE 1	N 1	8	10	0	.	
15	8.8	17.6	11.0	12.5	−2.7	733.2	732.6	733.4	84	46	80	S 0	S 1	N 1	5	8	6	13.0	K ● 15⅝–16⅝, ● n
16	10.6	13.8	9.8	11.4	−3.9	731.9	731.8	731.5	91	68	93	NNW 1	NNW 1	N 1	10	10	10●	**65.7**	K ● 14½–17½, ● 20½–n
17	9.0	9.8	8.8	9.2	−6.2	732.8	733.5	733.3	97	88	95	SE 0	NW 1	S 0	10●	10●	10●	29.8	● n–n
18	9.2	10.0	10.0	9.7	−5.9	732.8	732.5	730.8	97	98	98	N 1	S 0	NNE 1	10●	10●	10●	32.3	● n–n m.U., K 21
19	11.6	16.8	12.0	13.5	−2.2	729.0	730.8	731.6	78	62	79	ESE 2	SSE 1	N 1	8	6	8	2.5	●sch. n–n, ●° n (19./20.)
20	12.0	15.4	13.0	13.5	−2.3	731.0	730.5	728.9	74	53	76	N 1	S 1	N 0	10	10	10	.	
21	17.2	19.4	13.2	16.6	0.6	725.6	726.4	728.3	33	31	34	NNE 2	NNE 2	NNE 2	10	10	4	.	
22	18.6	20.6	13.8	17.7	1.6	729.2	731.4	735.1	31	28	81	NNE 2	NNE 3	S 1	10	10	8	.	
23	11.6	18.0	12.6	14.1	−2.1	736.6	736.0	738.3	84	54	71	N 0	ENE 0	N 1	7	8	8	.	
24	14.0	21.4	18.2	17.9	1.5	738.5	736.3	737.4	77	48	29	E 0	S 1	NNE 2	3	1	1	.	
25	13.0	16.8	13.0	14.3	−2.2	736.7	735.7	737.5	74	65	89	W 1	SSW 1	N 1	10	8	8	1.0	K° ● 17¼–17⅝
26	11.8	21.4	16.4	16.5	−0.1	738.3	737.4	738.5	79	33	66	E 0	E 1	N 1	10	2	7	.	
27	14.2	22.0	16.4	17.5	0.7	**739.6**	738.0	738.3	73	46	80	E 0	S 1	N 1	3	0	2	1.2	●°sch. 17–17½
28	12.4	**26.0**	17.0	18.5	1.6	737.0	732.5	735.1	79	**25**	27	E 0	NNE 1	E 3	0	2	1	.	
29	16.8	19.8	14.8	17.1	0.1	734.5	734.1	736.5	33	26	34	N 2	N 3	N 1	4	7	4	.	
30	12.2	17.2	13.4	14.3	−2.9	736.9	736.9	738.6	76	48	68	W 0	S 1	SW 1	8	10	10	.	
31	13.2	17.0	11.4	13.9	−3.4	737.7	737.0	737.9	83	58	92	S 1	S 1	S 1	10	10	3	5.1	● 16½–18¾ m.U.
																		Summe	
Mittel	11.1	16.1	11.8	13.0	—	733.5	733.0	734.0	79	56	78				7.4	7.4	7.0	303.2	

$\lambda = 7^\circ 35'$, $\beta = 47^\circ 33'$,
$H_b = 318^m$, $G = 0.11\ ^m/_m$.

Basel

Mai 1939.
Beobachter: *Astronom.-Meteorol. Anstalt.*

1	4.4	15.1	9.0	9.5	−1.2	732.9	731.7	729.8	93	46	73	SSE 1	NE 1	WNW 1	3	3	9	.	
2	5.0	13.5	9.6	9.4	−1.4	726.1	723.7	723.8	92	63	82	WNW 1	NNW 1	NW 1	10	9	10	13.0	● 21½–n
3	8.0	9.0	8.3	8.4	−2.6	725.0	727.5	729.7	94	92	96	W 1	WNW 0	NW 1	10●	10●	10●	17.8	● n–n
4	8.0	11.1	9.5	9.5	−1.6	729.9	729.0	727.6	96	79	94	N 1	W 1	WSW 1	10	10	10	.	● n–2¼, ≡ 8–10
5	9.1	13.5	9.8	10.8	−0.4	724.9	724.2	724.1	93	63	87	W 0	N 1	S 1	10	10	10	.	
6	9.2	18.9	12.1	13.4	2.0	723.2	721.1	**720.6**	86	44	85	E 1	ENE 1	WSW 1	5	2	10	.	
7	9.6	13.6	7.9	10.4	−1.1	724.7	726.7	730.0	82	63	94	SSW 1	NW 1	SSW 1	10●	9	1	1.5	●° 7¼–11
8	9.5	10.3	9.2	9.7	−2.0	731.5	732.3	733.4	91	94	98	SSW 1	W 1	SSW 0	10	10●	10●	**20.7**	● 8¾–n m.U.
9	8.0	12.2	8.7	9.6	−2.2	734.8	735.1	735.6	94	70	95	WSW 1	NW 1	SSW 1	10	10	10●	19.0	● n–4, 16¼–n
10	8.8	12.5	10.6	10.6	−1.3	735.7	736.3	736.5	98	77	91	NW 1	NNW 1	W 1	10●	10	10	0.3	● n–9¾ m.U.
11	9.8	14.8	9.2	11.3	−0.8	736.0	735.3	734.5	95	70	92	WNW 1	NNW 1	S 1	10	9	9	3.0	T 19½
12	7.9	12.6	6.3	8.9	−3.3	730.7	729.4	730.0	90	67	98	SW 1	N 1	SSW 1	10●	10	5	13.5	● 1¾–9½ m.U., 14½–14¾, 18¾–
13	7.4	9.3	8.0	8.2	−4.2	729.5	730.3	730.4	94	88	90	WSW 1	WNW 1	SSW 1	10	10●	10	6.5	● 11–13½ [19¼
14	7.8	9.4	8.0	8.4	−4.1	729.6	729.7	731.1	94	92	90	SSW 1	SW 1	WNW 1	10●	10●	9	5.5	● 2⅝–9, 9⅝–14¼, K ● 16¼–
15	8.2	11.5	8.6	9.4	−3.2	730.4	729.9	728.0	93	74	95	E 1	WSW 1	ESE 1	10	10	8	3.2	● 2¼–20¼ zeitw. [16⅝
16	8.5	13.2	9.8	10.5	−2.3	728.3	727.9	728.2	69	44	76	WSW 1	WSW 1	ESE 1	7	9	10	.	● 0½ 5⅝ zeitw.
17	9.6	14.4	10.4	11.5	−1.4	728.4	727.5	726.7	79	54	70	ESE 1	NW 1	ESE 1	3	8	10	4.5	● 23¾–n
18	8.8	13.5	8.8	10.4	−2.6	727.3	727.1	726.4	92	68	93	SE 0	WNW 0	WNW 1	10●	10	10	18.0	● n–10⅝, 19½–n m.U.
19	8.4	14.5	8.9	10.6	−2.6	727.1	727.6	728.3	92	60	78	S 1	W 1	SW 1	10	10	7	3.3	● n–6¼, 22½–24½
20	10.0	14.8	9.8	11.5	−1.8	729.2	728.8	729.9	87	61	95	E 0	NNW 1	SW 1	10	10	10●	14.8	● 16¾–n m.U.
21	8.6	9.4	9.3	9.1	−4.3	730.1	730.3	732.3	98	95	96	NW 1	WNW 1	SW 1	10≡●	10●	10●	17.9	● n–n m.U., ≡ 1
22	9.4	11.6	9.2	10.1	−3.4	733.6	735.2	737.0	95	84	98	WSW 1	NNW 1	WSW 1	10●	10●	10●	8.7	● n–9⅝ m.U., 13–23½
23	8.8	11.5	11.4	10.6	−3.1	738.7	739.5	**740.7**	96	85	84	WNW 1	ENE 1	ESE 1	10	10	10	0.1	● 13⅜–14½
24	12.6	20.9	12.2	15.2	1.4	739.9	738.5	738.3	77	41	60	NW 1	NE 1	ESE 1	1	1	1	0.4	
25	9.2	9.8	8.2	9.1	−4.8	737.9	738.0	738.5	91	84	94	NW 1	NW 1	SSW 1	10●	10●	10	4.3	● 5⅜–8¼ teilw., 12–20⅝ m.U.
26	10.8	14.4	11.2	12.1	−1.9	738.4	738.1	739.2	83	59	90	ESE 1	WSW 1	WNW 1	3	10	10	.	
27	10.8	17.0	10.6	12.8	−1.3	739.2	738.8	737.7	98	70	95	W 1	SSW 1	SSW 1	10	7	1	.	
28	8.8	15.1	8.0	10.6	−3.6	736.9	737.7	737.5	95	52	90	ESE 0	NNW 1	SSW 1	10	9	1	3.3	● 22⅝–23⅝
29	9.8	11.0	10.2	10.3	−4.0	738.4	738.2	737.7	89	75	73	W 1	ENE 1	NNE 1	10	10●	6	2.4	● 13¼–16¼ m.U.
30	10.7	19.0	14.1	14.6	0.2	735.9	735.8	735.9	74	40	50	WNW 1	NE 2	NNE 1	6	6	1	.	
31	12.4	**21.8**	16.1	16.7	2.2	734.7	733.4	733.4	65	**36**	48	NW 1	NE 1	ENE 1	1	1	10	.	⌓ fr.
																		Summe	
Mittel	9.0	13.5	9.8	10.8	—	731.9	731.8	732.0	89	67	86				8.4	8.5	8.0	181.7	

Mai 1939.
Beobachter: *Observatorium.*

Säntis

$\lambda = 9^{\circ}\,20'$, $\beta = 47^{\circ}\,15'$,
$H_b = 2500.1^{m}$, $G = -0.27\ ^{m}/_{m}$.

Tag	Lufttemperatur					Luftdruck			Relative Feuchtigkeit			Windrichtung und Stärke			Bewölkung			Niederschlag	Witterung
	7^{30}	13^{30}	21^{30}	Mittel	Abweich. vom Normals.	7^{30}	13^{30}	21^{30}	7^{30}	13^{30}	21^{30}	7^{30}	13^{30}	21^{30}	7^{30}	13^{30}	21^{30}		
1	−2.8	0.4	−3.6	−2.0	0.5	558.3	559.3	558.3	78	65	98	SW 1	SSW 2	E 1	1	10	10≡	.	≡ 14–n m.U.
2	−3.4	−0.6	−2.6	−2.2	0.1	554.9	554.0	553.6	49	62	98	NE 1	ESE 3	ESE 2	10	10	10	.	✳ 18¼–19, ≡ 18–19½
3	−2.4	−2.4	−4.8	−3.2	−1.1	553.3	555.0	556.5	65	98	98	SW 2	W 2	WNW 2	6	10≡	10≡*	4.7	✳° ⸸ 16–n, ≡ 10–n
4	−4.0	−2.2	−3.2	−3.1	−1.2	556.6	556.7	555.6	97	90	100	NNE 1	NE 2	NNE 1	10≡	10≡	10≡	.	✳ 10¾–11¼ ztw., ≡ n-n m.U.
5	−4.4	−2.2	−3.8	−3.5	−1.8	553.0	553.1	553.4	83	85	100	NNE 1	WNW 0	W 2	10	10≡	10≡*	0.6	✳° 17½–n, ≡ 9–n
6	−1.4	1.8	−0.6	−0.1	1.3	**552.0**	553.3	553.0	89	62	62	SW 0	SSW 2	SSW 3	8	9	10	0.4	
7	−1.6	0.5	−2.6	−1.2	0.2	554.1	555.7	558.2	82	74	98	ESE 2	SE 2	SW 1	10≡*	8	10	6.1	✳ 6¾–10½, 15, ≡ 6¾–17 m.U.
8	−3.8	−3.0	−3.6	−3.5	−2.3	557.7	558.5	559.7	98	98	97	NNE 1	N 2	N 1	10≡*	10≡*	10≡*	13.4	✳ n-n m.U., ≡ n-n
9	−4.2	−2.8	−4.4	−3.8	−2.7	560.0	560.8	561.0	97	91	92	N 2	NNW 2	NW 2	10≡	10≡*	10≡*	11.6	✳ 10¼–n, ≡ n-n
10	−3.4	0.0	−3.2	−2.2	−1.3	561.7	562.8	563.2	96	78	78	NW 0	SW 1	N 1	10≡	10≡	2	.	✳° 16¾–17¼, ≡ n-9¾, 12-19½
11	−3.6	1.0	−2.2	−1.6	−0.8	562.1	562.2	561.8	92	72	96	NE 1	N 1	WSW 1	10≡	10≡	10≡*	8.0	✳° 10¼–n m.U., ≡ n-n
12	−3.0	−3.4	−5.7	−4.0	−3.3	558.0	556.9	557.1	96	95	94	WNW 1	W 2	WSW 1	10≡*	10≡*	9	17.0	✳ 7–18 m.U., ≡ n-19
13	−4.0	−1.8	−4.2	−3.3	−2.8	556.0	557.2	557.1	93	65	95	NE 2	E 1	WNW 2	10	10	10≡*	11.4	✳ 11½–12½, 18¾–n, ≡ 11¾–n
14	−5.3	−5.0	**−5.6**	−5.3	−4.9	556.0	555.7	556.8	95	90	91	W 2	W 2	WNW 3	10≡*	10≡*	10≡*	**33.4**	✳ ≡ n-n [n m.U.
15	−4.8	−0.8	−2.6	−2.7	−2.4	557.5	558.0	557.3	93	82	96	WNW 2	SW 2	SSW 2	10≡*	10	10≡	3.4	✳° n-9, ≡ n-n m.U.
16	−3.4	−2.0	−4.8	−3.4	−3.2	555.5	556.2	556.7	96	94	98	W 3	SE 2	WNW 2	10≡*	10≡	10≡*	6.6	✳ n-n m.U., ≡ n-n
17	−4.6	−2.4	−2.8	−3.3	−3.3	556.1	556.1	556.7	98	90	80	N 0	SE 2	SW 2	10≡*	10≡	3	0.6	✳ 6½–13, ≡ 7–17⅓ m.U.
18	−1.1	1.6	−1.8	−0.4	−0.3	555.3	556.1	555.7	78	88	94	SW 4	SSW 3	SE 3	8	10≡	9	3.6	✳° 16¾–17, ≡ 10–19½
19	−3.6	1.4	−3.0	−1.7	−1.9	554.3	556.0	557.2	98	71	100	W 3	SW 1	SW 0	10≡*	10≡	10	1.3	✳ n-9¾, 18-18⅓, ≡ n-n m.U.
20	−3.2	0.6	−3.0	−1.9	−2.2	556.9	557.3	557.3	95	80	98	NE 2	ENE 1	NE 2	10≡	10≡	10≡*	5.6	△ 16–16½, ✳ 16½–n, ≡ 6½–n
21	−4.1	−3.6	−3.2	−3.6	−4.0	556.0	556.6	558.6	97	96	97	NE 3	N 3	NNE 2	10≡*	10≡*	10≡*	11.1	✳ ⸸ ≡ n-n
22	−3.6	−2.2	−3.2	−3.0	−3.5	559.4	561.1	562.7	97	97	97	NW 2	NW 2	NW 2	10≡*	10≡*	10≡*	4.8	✳ ≡ n-n
23	−1.3	−1.3	−2.0	−1.5	−2.1	564.0	565.2	**566.5**	97	97	100	NNE 2	NE 3	NE 3	10≡	10≡*	10≡	1.3	✳° 12–14 m.U., ≡ n-n
24	−0.6	−0.5	−3.8	−1.6	−2.3	566.1	566.4	565.8	98	96	72	NE 3	NNE 2	NE 3	10≡	10≡	1	7.3	≡ n-7¾, 9-19¼
25	−4.2	−4.0	−5.0	−4.4	−5.2	562.5	562.0	563.5	92	92	91	WNW 1	WNW 2	WNW 0	10≡*	10≡*	10≡	14.6	✳ n-18, ≡ n-n
26	−1.8	1.8	0.3	0.1	−0.8	563.5	564.7	565.8	63	**38**	98	NE 3	NE 3	NE 3	1	9	10≡	.	≡ 18¾–n, ⸗ a
27	0.6	**2.2**	0.0	0.9	−0.1	565.7	566.3	566.3	95	80	91	NE 2	E 1	NE 0	10	4	10	.	≡ 9–21 m.U. [22-23
28	−0.4	−2.0	−4.1	−2.2	−3.3	563.7	563.4	562.5	98	97	96	W 2	NNW 2	N 1	10≡	10≡	10≡*	28.8	✳ △ sch. 9-n m.U., ≡ n-n; ⸜
29	−5.0	−4.2	−5.0	−4.7	−5.9	562.2	563.0	562.9	98	95	96	NNE 3	NE 1	NE 2	10≡*	10≡*	10≡	1.1	✳ n-14, ✳ △ sch. p ztw., ≡ n-n
30	−1.4	0.4	−1.4	−0.8	−2.1	562.2	563.8	563.7	80	74	98	E 2	NE 2	ENE 2	1	5	3	.	≡ 14–21
31	1.8	1.6	−0.6	0.9	−0.5	562.5	562.6	562.6	65	81	98	ENE 2	ENE 2	E 1	1	9	10	.	✳° 19¾–20¼, ≡ 14–20½
																		Summe	
Mittel	−2.8	−1.1	−3.1	−2.3	—	558.7	559.2	559.6	89	83	93				8.6	9.5	8.9	196.7	

Mai 1939.
Beobachter: Frl. *F. Lombardi.*

St. Gotthard (Hospiz)

$\lambda = 8^{\circ}\,34'$, $\beta = 46^{\circ}\,33'$,
$H_b = 2095.7^{m}$, $G = -0.25\ ^{m}/_{m}$.

1	−0.2	0.8	0.4	0.3	−0.2	588.2	589.1	588.0	85	63	71	S 0	S 0	S 1	10	8	8	1.0	
2	−2.2	0.2	−1.8	−1.3	−1.9	584.5	583.0	583.0	86	65	88	S 1	S 1	S 1	10	10≡	10≡	3.5	✳° zeitw., ≡ 10–n
3	−1.6	0.4	−1.8	−1.0	−1.8	583.3	584.9	585.8	85	68	81	S 1	S 0	S 0	10≡	10≡	10≡	2.0	≡ n-n
4	−1.4	0.0	−0.4	−0.6	−1.5	585.7	585.5	584.4	90	67	90	NW 1	N 0	N 0	10≡	5	10≡	.	≡ n-10¼, 17½-n
5	−2.2	0.2	−2.0	−1.3	−2.4	**581.9**	**581.9**	582.5	82	70	91	N 0	N 0	N 0	10≡	10≡	10≡	.	≡ n-n
6	−0.8	0.8	2.0	0.7	−0.5	582.1	582.5	582.5	64	73	90	N 0	SE 1	E 3	5	10≡	10*≡	16.0	≡ 11¼–n, ✳ 15¼–n
7	0.0	0.8	−0.8	0.0	−1.3	583.4	584.4	587.3	90	79	80	SE 1	SE 1	SE 1	10≡	10≡	0	7.4	✳° 14¼–19, ≡ n-18
8	−3.9	−0.7	−4.6	−3.1	−4.5	586.4	586.8	588.5	80	85	90	N 3	N 3	N 2	10≡	10≡	10*≡	19.1	✳ 18¼–n, ≡ ⸸ n-n
9	−5.0	−1.0	−5.4	−3.8	−5.3	588.7	589.3	590.6	90	90	95	N 3	N 2	N 3	10≡	10≡	10≡	17.9	✳ ⸗ ≡ n-n
10	−3.7	0.8	−0.8	−1.2	−2.8	591.0	592.0	592.3	74	63	92	N 2	E 0	N 1	5	5	10≡	.	≡ 18–n
11	−1.0	5.8	1.0	1.9	0.2	591.5	591.5	591.1	90	64	96	N 1	N 0	N 1	5	5	10≡	0.9	≡ 16–n
12	1.0	2.6	0.7	1.4	−0.4	587.6	586.3	586.1	79	88	95	NE 0	NE 1	NE 1	10	10*≡	10*≡	60.8	✳ 9¼–n, ≡ 8½–n
13	1.4	6.4	1.6	3.1	1.2	585.2	586.4	586.8	95	88	100	SE 0	S 0	S 0	10≡	8	10≡	7.6	✳ 8¼–9¾, 17¼–20½, ≡ 17-n
14	0.8	1.8	−3.4	−0.3	−2.3	585.9	586.0	586.0	64	75	86	S 0	S 0	N 2	5	10≡	10*≡	12.0	✳ 18–n, ≡ 11–n
15	−3.2	2.4	0.0	−0.3	−2.4	587.5	587.7	586.8	78	61	94	NE 0	SE 0	SE 0	8	6	8	8.5	✳ 14¼–17
16	0.2	3.0	0.0	1.1	−1.1	585.1	585.7	585.8	92	62	96	S 1	S 0	S 0	10*	8	10	5.6	✳ n-9¾
17	0.0	0.2	−2.0	−0.6	−2.9	585.3	585.7	586.2	87	66	95	S 0	S 0	S 2	10*≡	10*≡	10*≡	21.8	✳ ≡ ⸸ n-n
18	−0.8	2.0	−2.0	−0.3	−2.7	585.3	585.0	584.4	95	88	95	S 1	S 1	SE 3	10≡	10*≡	10*≡	36.3	✳ ≡ n-n, ⸗ 16-n, ⸜ 20½-n
19	−1.0	0.6	−2.0	−0.8	−3.3	583.9	585.2	586.3	95	95	81	SE 1	SE 1	SE 1	10*●	10*≡●	8	12.8	✳ ≡ n-17, ● 12–14¼
20	0.0	**7.2**	−1.4	1.9	−0.7	585.7	586.4	585.7	97	81	95	S 0	S 0	NW 3	10	10	10*≡	24.8	✳ 8½–10, ✳ ⸗ 17¾–n, ≡ 17-n
21	−3.5	−1.6	−4.2	−3.1	−5.8	584.4	585.0	586.7	95	95	95	NW 2	NW 3	N 3	10≡	10≡	10≡	23.8	✳ ⸗ seit 11¾, ≡ n-n
22	−3.5	0.8	−4.0	−2.2	−5.0	587.5	588.9	591.4	95	97	97	N 3	N 3	N 3	10≡	10≡	10≡	5.5	✳ ⸗ ≡ n-n
23	−3.8	2.6	−1.0	−0.7	−3.6	592.8	593.3	**595.4**	93	95	98	N 2	N 2	N 1	10≡	10≡	10≡	0.4	✳ ⸸ ≡ n-n
24	−3.8	5.8	0.0	1.7	−1.3	594.9	594.8	594.6	97	91	84	NE 1	NE 1	N 2	5	10≡	5≡	1.2	≡ 11–16½
25	−1.2	3.2	−2.1	0.0	−3.1	592.0	591.5	592.5	97	74	95	NE 1	N 2	N 2	10≡	5	10≡	5.0	✳ ● 9¼–11¼, ≡ n-10¾, [15–n
26	−1.2	4.0	−1.2	0.5	−2.7	592.5	593.3	594.9	74	**62**	68	N 2	N 1	N 1	3	0	10≡	.	≡ 17–n
27	−1.0	3.7	−1.0	0.6	−2.7	594.7	594.8	595.2	89	58	100	N 1	N 2	N 1	0	2	10≡	.	≡ 18½–n
28	−1.0	4.0	−3.7	−0.2	−3.6	593.0	592.0	592.0	68	68	100	N 2	N 2	NE 3	5	7	10	28.0	✳° 14¾–n, ⸗ 17½–n
29	−2.8	2.4	−1.8	−0.7	−4.2	59 >.5	591.3	592.0	100	88	91	N 3	N 3	N 2	10≡	10≡	10≡	3.0	⸗ n-14¼, ≡ n-n
30	0.0	5.2	1.3	2.2	−1.4	590.7	592.3	592.6	75	58	98	N 1	N 1	N 1	5	2	10≡	.	≡ 19–n
31	3.0	6.8	0.8	3.5	−0.1	591.1	592.8	591.6	70	80	90	S 0	S 0	S 0	5	10	10≡	10.5	✳ 18–20¾, ≡ 16½–n
																		Summe	
Mittel	−1.3	2.3	−1.3	−0.1	—	587.8	588.2	588.7	85	76	91				8.1	8.1	9.3	335.4	

$\lambda = 7° 26'$, $\beta = 46° 57'$,
$H_b = 572.2^m$, $G = 0.00\ ^m/_m$.

Bern

Juni 1939.
Beobachter: *Tellur. Observatorium.*

Tag	Lufttemperatur					Luftdruck			Relative Feuchtigkeit			Windrichtung und Stärke						Bewölkung			Niederschlag	Witterung
	7^{30}	13^{30}	21^{30}	Mittel	Abweich. vom Normalst	7^{30}	13^{30}	21^{30}	7^{30}	13^{30}	21^{30}	7^{30}		13^{30}		21^{30}		7^{30}	13^{30}	21^{30}		
1	10.0	17.2	16.0	14.4	0.1	709.7	709.6	710.5	84	55	72	NE	1	ENE	1	NE	0	0	7	6	.	
2	11.0	18.7	16.9	15.5	1.0	711.7	712.0	712.4	92	69	85	SE	0	NE	1	N	0	7	9	10	0.0	●° 14–15 zeitw.
3	14.5	20.8	17.6	17.6	3.0	713.3	713.0	712.9	93	59	88	N	0	NE	1	N	0	10	8	10	.	
4	14.2	23.0	19.7	19.0	4.3	713.9	713.3	713.3	89	50	43	E	0	N	0	NE	0	0	1	0	.	△ 1
5	14.0	23.6	20.0	19.2	4.4	714.2	713.2	713.4	70	37	64	NE	0	NNE	2	NE	0	0	7	4	.	
6	15.0	25.0	21.2	20.4	5.5	715.3	715.0	714.9	82	49	70	E	0	NE	1	NE	0	0	0	0	.	△ 1
7	15.5	23.6	17.9	19.0	4.0	716.5	715.3	715.2	89	61	92	SE	0	SE	0	E	0	4	5	6	0.1	● 15⁵/₄, T 15¹/₄
8	16.0	25.0	14.1	18.4	3.3	715.4	713.8	713.9	84	45	93	S	0	N	0	S	0	0	1	10	20.0	● 16⁵/₄, ●△ 18–19, K 17¹/₂–18⁵/₄
9	14.0	24.0	18.2	18.7	3.5	713.3	712.0	712.9	85	53	85	SE	0	N	1	NNE	1	0	6	10	0.1	●° 21¹/₄–21¹/₂, T 21¹/₂
10	14.3	23.5	15.0	17.6	2.3	712.3	710.8	710.9	94	53	91	S	0	NW	1	S	1	10	3	10	7.9	● 6⁵/₄, 16¹/₄–21¹/₂ m.U., K 14¹/₄–18¹/₂
11	14.9	19.7	14.2	16.3	0.9	709.1	707.3	706.0	89	58	90	S	0	SW	1	NW	0	8	7	10	11.5	● 19¹/₂–20 m.U., 23⁵/₄–n
12	11.9	11.0	8.6	10.5	−5.0	704.9	705.1	706.6	95	87	92	S	1	W	1	SW	0	10●	10	10	8.8	● n–10⁵/₄ m.U., 13¹/₄–20¹/₂ ztw.
13	7.9	8.4	6.8	7.7	−7.9	706.0	706.5	709.3	94	94	94	E	0	N	1	N	0	9	10●	10●	4.0	● 1–2¹/₂, 9¹/₄–13¹/₂, 17¹/₄– [22¹/₄ m.U.
14	7.0	10.9	9.4	9.1	−6.6	710.0	710.8	711.4	94	73	88	NNE	0	NNE	1	NNE	1	10	10	10	.	
15	9.5	13.5	11.6	11.5	−4.3	710.5	710.2	711.2	80	53	80	NNE	1	NE	1	E	0	4	10	10	.	
16	9.0	18.6	14.8	14.1	−1.8	710.0	708.4	708.3	84	53	78	ESE	0	NE	1	S	0	1	1	5	2.0	△ 1
17	12.1	15.7	11.2	13.0	−3.0	711.0	711.6	713.8	97	79	95	W	1	SE	1	NE	0	10●	8	10●	3.9	● 0¹/₄–n m.U.
18	10.1	18.6	14.3	14.3	−1.8	713.0	712.1	712.9	88	51	87	E	0	NE	1	NE	0	0	4	7	.	
19	13.1	18.2	14.8	15.4	−0.8	713.1	712.7	713.4	85	54	89	SE	0	N	1	E	0	8	7	10●	6.2	● 20¹/₂–22
20	11.3	12.5	12.2	12.1	−4.2	712.4	712.1	711.3	95	90	89	SW	0	N	1	E	1	10	10	10	0.4	● 0¹/₄–11¹/₂ zeitw.
21	12.0	18.7	16.4	15.7	−0.7	709.6	709.1	709.6	90	64	78	E	0	NE	0	NE	0	9	1	2	.	
22	14.5	21.0	15.0	16.8	0.3	709.4	707.9	708.9	86	65	95	NE	0	NE	1	E	1	9	3	10●	10.8	● 20–1⁵/₄, K 19–21⁵/₄, △ 1
23	13.1	22.0	19.3	18.1	1.5	708.0	706.2	703.8	99	61	94	SE	0	NNE	1	SW	0	7≡	1	10	4.8	● K 20¹/₂–22¹/₂, ≡ n–7⁵/₄
24	14.6	20.0	13.0	15.9	−0.7	703.6	**702.7**	703.5	89	62	95	N	0	S	1	SE	0	10	5	10	7.2	● 7–9¹/₂, 17⁵/₄–22⁵/₄ m.U.
25	13.0	19.0	13.6	15.2	−1.5	704.0	704.8	707.3	88	52	93	SE	0	SE	1	W	1	4	9	10●	13.7	● 2¹/₂, 16⁵/₄, 19¹/₂–n
26	12.6	19.4	13.1	15.0	−1.8	709.8	711.1	714.6	96	49	90	SE	0	WSW	2	SW	0	9	2	10	3.0	● n–7; 20¹/₂–23¹/₂ m.U.
27	13.0	18.3	14.9	15.4	−1.5	717.6	718.1	**718.2**	86	42	80	SW	1	W	1	NE	0	1	7	0	.	● 1¹/₂–4 m.U.
28	11.6	21.9	18.9	17.5	0.5	717.6	716.1	715.2	85	46	64	SE	0	NE	0	W	0	0	0	0	.	△ 1
29	16.0	**26.4**	18.4	20.3	3.3	714.8	714.1	714.8	79	45	88	SE	0	WSW	0	N	0	0	1	9	0.1	● 17¹/₂–17⁵/₄, △ 1
30	16.6	18.0	17.5	17.4	0.3	712.0	711.8	709.9	90	94	80	NE	0	N	0	SE	0	6	9	10●	**36.2**	K ● 8⁵/₄–14⁵/₄, 21¹/₂–n m.U.
																					Summe	
Mittel	12.8	19.2	15.2	15.7	—	711.4	710.9	711.3	86	58	81							5.2	5.4	7.6	139.7	

$\lambda = 6° 57'$, $\beta = 47° 0'$,
$Hb = 487.3^m$, $G = 0.02\ ^m/_m$.

Neuchâtel

Juni 1939.
Beobachter: *Observatorium.*

1	12.3	20.3	17.1	16.6	1.6	717.9	717.6	718.5	77	54	62	E	2	E	2	NE	1	6	1	5	.	
2	14.5	20.9	16.8	17.4	2.2	719.7	719.8	720.5	88	59	83	E	0	E	1	E	0	10	10	10	.	
3	14.3	22.3	17.8	18.2	2.9	721.5	721.0	721.1	91	57	80	NE	0	S	1	NE	0	9	6	8	.	●sch. 16
4	13.6	24.6	21.2	19.8	4.4	721.9	721.4	721.0	89	46	38	SE	0	SE	1	NE	2	0	0	0	.	△ fr.
5	17.2	25.9	21.8	21.6	6.1	722.1	721.3	721.3	48	**33**	54	E	2	E	3	NE	2	0	1	3	.	
6	16.8	25.6	21.7	21.4	5.8	723.4	723.1	722.6	77	47	64	E	1	SE	1	NE	1	1	0	0	.	
7	16.7	26.3	19.0	20.7	5.0	724.4	723.2	722.9	86	51	82	E	0	SW	1	SE	0	5	1	8	.	
8	17.1	27.3	18.5	21.0	5.2	723.4	721.8	721.8	86	46	76	SE	0	SE	1	NW	1	0	1	6	.	
9	16.4	24.7	19.0	20.0	4.1	721.3	720.2	720.6	84	55	75	SE	0	N	2	NE	2	0	6	9	.	T 10¹/₂–12¹/₂
10	15.9	24.5	14.6	18.3	2.3	720.3	718.5	719.1	85	62	95	E	0	S	1	NW	0	10	4	7	3.8	● 17⁵/₄–19¹/₂, K 18–18¹/₄
11	15.3	16.9	14.1	15.4	−0.7	716.9	715.4	713.9	93	76	91	SW	2	SW	3	SW	2	9	10●	10	23.6	● seit 9⁵/₄ m.U., ●²sch. 14¹/₂
12	11.9	10.8	9.1	10.6	−5.6	712.6	713.4	714.6	95	79	95	W	2	W	2	NW	0	10●	10●	8	3.2	● n–n m.U.
13	9.8	9.5	**8.2**	9.2	−7.1	714.0	714.6	717.4	72	68	85	SW	1	NW	2	NE	1	5	10	10	2.4	●sch. 8¹/₂
14	9.0	14.3	10.7	11.3	−5.1	718.2	718.8	719.2	85	58	54	SE	1	E	2	NE	2	2	8	10	0.2	●tr. seit 14
15	10.1	15.5	12.3	12.6	−3.9	718.7	718.5	719.3	75	54	72	E	1	NE	2	NE	1	0	9	7	.	
16	9.8	21.1	17.2	16.0	−0.6	718.1	716.5	717.0	88	50	70	E	1	SE	1	NW	1	0	0	10●	2.5	●tr. 20¹/₄–n
17	12.8	16.4	12.8	14.0	−2.7	718.9	719.8	721.5	98	81	74	SW	1	SW	1	NW	1	10●	10●	9	5.3	● n–10, ●sch. p zeitw., [T seit 12¹/₄
18	11.5	19.3	14.7	15.2	−1.6	721.0	720.4	720.9	90	61	73	SE	1	SE	1	N	1	0	8	2	.	
19	12.8	19.8	16.3	16.3	−0.6	721.3	720.9	720.9	92	48	61	N	0	NW	2	NW	3	9	8	10	4.2	● n (19./20.)
20	11.9	14.5	12.7	13.0	−4.0	720.5	720.2	719.0	96	79	86	NW	0	E	1	NE	2	10	10	3	.	●tr. 8¹/₄
21	12.8	20.5	17.7	17.0	0.0	717.8	717.3	717.5	88	63	75	E	0	SE	1	NW	0	10	1	6	.	
22	15.0	23.8	15.3	18.0	0.9	717.5	715.8	716.4	88	61	92	E	1	E	1	N	1	10	0	2	2.5	K ● 20–20⁵/₄
23	14.2	24.3	19.2	19.2	2.0	716.0	714.1	710.9	96	62	85	E	1	SE	1	E	0	10≡	1	10	8.6	●tr. 20¹/₄, K ● n–21, ≡ n–8⁵/₄
24	14.5	22.3	13.1	16.6	−0.7	711.0	**709.3**	710.9	89	60	95	SW	2	S	1	N	1	10●	2	10	7.5	●° a m.U., ● 16⁵/₄–18
25	13.6	17.8	13.6	15.0	−2.4	712.0	712.8	715.3	84	68	96	W	1	SW	2	SW	1	6	10	10●	17.9	●sch. 10, ● 16–n
26	13.3	19.2	13.0	15.2	−2.3	717.7	719.2	722.6	93	63	91	SW	1	SW	3	W	1	10	7	10●	7.3	●tr. a, ●²sch. 13⁵/₄–14¹/₄, [17⁵/₄–n
27	13.3	19.4	14.8	15.8	−1.7	725.3	**726.1**	725.9	91	60	71	S	0	SE	1	NE	1	3	6	0●	.	
28	13.4	22.8	17.4	17.9	0.3	725.5	723.9	722.8	87	53	71	SE	1	SE	0	NW	0	0	0	0	.	
29	16.0	**27.6**	18.2	20.6	2.9	722.8	722.1	722.7	85	49	81	SE	0	S	1	NE	0	0	3	10	1.0	●sch. 17¹/₄
30	17.4	18.8	16.4	17.5	−0.3	720.1	719.6	717.7	90	87	95	NE	0	SE	0	W	1	10	10	10●	**41.4**	●²sch. a–n zeitw., K abds.
																					Summe	
Mittel	13.8	20.6	15.8	16.7	—	719.4	718.9	719.2	86	60	77							5.5	5.1	6.8	131.4	

Juni 1939.
Beobachter: Frl. *H. Nager.*

Altdorf

$\lambda = 8° 39'$, $\beta = 46° 53'$,
$H_b = 456.3^m$, $G = -0.05$ mm.

Tag	Lufttemperatur 7³⁰	13³⁰	21³⁰	Mittel	Abweich. vom Normalwert	Luftdruck 7³⁰	13³⁰	21³⁰	Relative Feuchtigkeit 7³⁰	13³⁰	21³⁰	Windrichtung und Stärke 7³⁰	13³⁰	21³⁰	Bewölkung 7³⁰	13³⁰	21³⁰	Niederschlag	Witterung
1	8.4	15.7	15.6	13.2	−1.8	720.5	720.5	721.7	94	58	88	S o	NWo-1	NW o	2	4	7	.	
2	13.4	19.2	13.9	15.5	0.4	722.4	722.7	723.4	86	63	92	NW o	NWo-1	NW o	10	10	8	.	
3	14.3	22.7	16.6	17.9	2.7	724.2	723.1	723.8	83	56	75	NW o	NWo-1	S o	7	6	4	.	
4	14.2	21.3	18.3	18.1	2.8	724.2	723.9	724.3	77	53	66	SE o	SW o	SE o-1	0	2	0	.	
5	14.7	22.9	18.5	18.4	3.0	724.8	723.9	724.0	80	46	59	NE o	N o	E o-1	0	3	2	.	
6	15.6	24.3	20.0	20.0	4.6	725.9	725.5	725.6	77	50	60	E o	NW o	SE o	0	2	0	.	
7	17.8	**26.9**	17.3	20.7	5.2	726.7	724.8	726.2	74	48	92	E o	NWo-1	SE o	6	6	4	5.1	● 19
8	17.0	25.9	19.7	20.9	5.3	725.9	723.3	725.1	68	44	52	E o	NWo-1	NW o	0	4	10	.	
9	16.6	25.4	15.3	19.1	3.4	723.7	721.9	723.8	69	46	85	SE o	NW 1-2	SE o	0	4	8	2.7	●² seit 14½ zeitw.
10	14.9	23.7	16.3	18.3	2.5	722.9	720.6	721.9	85	54	88	E o	NW o	NW o	2	4	10	1.5	● seit 16½ zeitw., T p zeitw.
11	15.6	19.9	15.0	16.8	0.9	719.3	716.8	716.4	88	63	95	NW o	NW 1	NW o	6	10	10●	14.5	● abds. zeitw.
12	13.4	13.0	9.8	12.1	−3.8	715.1	715.0	717.7	93	74	90	E o	NW 1-2	E o	10●	10●	10	12.7	● I, II
13	9.8	11.2	8.3	9.8	−6.2	716.6	717.0	720.0	88	64	91	S o	NW o	NW o	10●	10●	10●	6.4	● n-n
14	**8.0**	11.0	9.4	9.5	−6.6	720.4	720.1	721.8	90	70	90	NE o	E o	E o	10	10	10	.	
15	10.6	14.7	11.5	12.3	−3.9	721.3	721.2	722.3	84	95	76	NW o	N o	NW o	9	10	10	.	
16	9.7	18.7	14.3	14.2	−2.1	721.1	718.5	719.7	86	47	83	SE o	NW o	NW o	4	4	10	0.2	
17	14.5	14.7	12.8	14.0	−2.3	721.0	723.3	725.3	90	85	95	W o	W o	NW o	10	10●	10	14.0	● II
18	12.3	14.2	13.2	13.2	−3.2	723.9	724.1	723.9	90	78	90	S o	N o	SW o	10●	10	10	0.2	● I, p zeitw.
19	12.5	17.7	14.4	14.9	−1.6	723.9	723.5	724.3	91	56	95	NE o	NW o	W o	7	8	10	4.5	● 19½
20	13.6	14.2	13.8	13.9	−2.7	722.7	723.1	721.8	94	78	80	W o	NW o	NW o	10●	10●	10	1.2	● I, II
21	13.8	19.3	15.8	16.3	−0.3	720.3	720.0	720.6	85	45	79	NW o	NW o	SE o	6	5	4	.	
22	13.9	21.8	18.6	18.1	1.4	719.9	718.3	718.3	79	54	68	N o	NW o	NW o	1	5	8	0.4	◁T 22
23	16.3	22.8	18.2	19.1	2.3	718.4	716.2	712.9	88	60	89	N o	NWo-1	E o	2	3	10	0.7	
24	17.5	20.9	13.9	17.4	0.5	713.3	**711.9**	713.5	76	52	95	NE o	N o	SE o	8	8	10	16.6	● 5½
25	12.8	20.7	15.5	16.3	−0.6	715.0	714.9	718.3	89	49	79	SE o	NW o	N o	1	9	10	1.7	
26	14.4	19.4	14.2	16.0	−1.0	720.4	721.4	725.7	90	52	92	NE o	NW o	E o	10●	6	10	2.1	● I
27	14.0	18.2	13.3	15.2	−1.9	728.0	728.9	**729.1**	85	48	76	NW o	NW o	SE o	10●	7	2	.	● I
28	12.0	20.2	17.0	16.4	−0.7	728.0	726.5	726.5	75	46	70	E o	NW o	SE o	0	0	0	.	
29	16.9	15.7	18.3	17.0	−0.2	725.5	724.3	725.8	59	**40**	90	NW o	NW o	NW o	0	0	8	0.2	● 20-20½
30	16.4	21.9	18.1	18.8	1.5	722.3	721.5	720.3	95	63	90	N o	NWo-1	E o	10	4	10	**20.1**	● 20, ≡ a
																		Summe	
Mittel	13.8	19.3	15.2	16.1	—	721.9	721.2	722.1	84	58	82				5.4	6.1	7.5	104.8	

Juni 1939.
Beobachter: *Observatorium.*

Genf

$\lambda = 6° 9'$, $\beta = 46° 12'$,
$H_b = 405.0^m$, $G = -0.03$ mm.

1	13.6	19.0	17.8	16.8	1.3	724.6	724.2	725.0	73	56	62	NE 1	NNE 1	NE o	3	2	9	.	
2	16.0	21.5	15.5	17.7	2.1	726.7	726.1	727.9	77	58	92	E o	NNE 1	NE o	9	5	10●	9.4	● 18-n, T seit 17¼
3	16.2	20.0	17.0	17.7	2.0	728.6	728.1	728.5	91	74	86	NNE o	NNE o	E o	9	8	9	1.4	●sch. 17¾, ◠ 20, ●^c sch. n
4	15.4	21.7	20.0	19.0	3.1	729.1	728.3	727.5	87	61	68	NNE o	NNE 1	NNE o	9	0	0	.	
5	17.2	23.3	21.0	20.5	4.5	729.2	728.0	728.1	70	54	65	NNE o	NNE 1	NNW o	0	0	9	.	
6	16.8	23.6	21.7	20.7	4.6	730.5	729.9	729.9	82	60	52	NNE o	NNE 1	W 1	9	0	8	.	
7	18.2	25.0	18.6	20.6	4.4	731.4	730.5	731.0	82	54	84	NE o	SW 1	E o	6	3	10●	6.1	● 20-n, T 18¼, ⛆ seit 20
8	17.6	24.8	21.0	21.1	4.8	730.8	728.8	728.4	84	60	72	NE o	NNE 1	NE 1	0	1	1	2.8	⛆ ●sch. 17½
9	17.5	24.7	22.0	21.4	5.0	728.5	726.7	726.7	85	56	66	NE o	NNE o	NE o	0	3	9	.	
10	18.2	25.8	16.2	20.1	3.6	727.3	725.2	726.2	82	50	77	NNE 1	W 1	NE 1	1	1	10	3.7	⛆ ●° seit 16, ● n
11	15.4	18.0	14.0	15.8	−0.8	724.9	723.5	721.9	93	71	92	NNE o	SSW 2	E o	10●	10●	10●	**22.0**	● n-n
12	12.4	12.8	**10.0**	11.7	−5.0	720.4	721.1	722.4	93	77	87	E o	SSW 1	NE 1	10●	10●	10	8.4	● n-n m.U.
13	10.4	13.0	**10.0**	11.1	−5.7	721.3	721.3	723.7	82	62	72	NE o	NNE 2	NNE 1	9	9	9	.	●tr. a
14	10.6	13.2	11.2	11.7	−5.2	724.5	727.3	725.7	72	56	65	NNE 1	NNE 2	NNE 1	2	7	6	.	
15	11.6	16.2	13.4	13.7	−3.3	725.2	725.4	725.8	65	65	75	NE 1	NNE 1	NNE o	1	8	8	.	
16	11.7	18.8	17.2	15.9	−1.2	724.9	723.7	724.7	67	53	70	NE o	NNE o	SSW o	0	1	7	4.8	● n (16./17.)
17	13.5	17.5	14.2	15.1	−2.1	726.5	727.0	728.9	95	64	78	ENE 1	NE 1	NNE 1	9	7	1	.	● 11¾
18	12.7	20.0	17.0	16.6	−0.7	727.9	727.2	728.7	83	57	72	NE o	NNE 1	NNE o	1	2	1	.	
19	16.6	21.2	16.7	18.2	0.8	728.5	727.9	728.4	75	**45**	63	E o	NNW 1	NE o	5	9	9	.	
20	14.7	17.2	15.0	15.6	−1.9	727.8	726.8	725.4	83	65	72	NNE 1	NNE 2	NNE 1	9	9	9	.	
21	14.8	17.4	18.4	16.9	−0.7	725.1	724.2	724.4	80	76	64	NNE 1	NNE 1	SSW 1	1	9	10	0.1	● n (21./22.)
22	16.2	21.4	18.3	18.6	1.0	724.1	721.6	723.5	85	67	85	NE o	NNE 1	NNE 1	10	3	10	0.2	●° 17½-n, ◠ 18½
23	17.5	22.6	20.0	20.0	2.3	722.7	721.2	718.5	83	59	81	NE o	NNE 1	SE o	0	9	10●	11.4	● 20-n
24	15.8	22.8	13.0	17.2	−0.6	**718.2**	**718.2**	718.5	85	57	88	NNE o	SSW 1	SW 1	10	9	10●	9.4	●sch. p, ● n, T 14¾
25	15.6	20.2	14.0	16.6	−1.3	719.4	720.2	723.0	73	61	95	SW o	SW 1	NE o	9	10	10●	18.1	●tr. seit 13, ● abds., n
26	14.8	18.4	14.0	15.7	−2.3	725.4	727.4	730.6	87	71	78	NNE o	SW 2	E o	10●	10●	10	14.2	● n-n zeitw., ⛆ 19¼
27	14.6	18.8	16.6	16.7	−1.4	732.9	**733.0**	732.5	89	56	61	NE o	NNE 1	NNE o	1	1	0	.	
28	14.8	22.4	21.0	19.4	1.3	732.7	731.0	730.0	80	58	57	NE o	NNE 1	NE o	0	0	0	.	
29	19.0	**28.6**	21.0	22.8	4.6	730.0	729.1	729.4	73	46	69	NE o	SSW 1	NE 1	0	0	9	.	●tr. 21
30	17.7	22.4	19.3	19.8	1.5	728.4	726.4	724.3	90	71	78	NW 1	NNE 1	W 1	10	10	10●	21.0	●°sch. 13, ● n
																		Summe	
Mittel	15.2	20.4	16.8	17.5	—	726.6	726.0	726.3	81	61	74				5.1	5.2	7.5	133.0	

$\lambda = 8^\circ 33'$, $\beta = 47^\circ 23'$.
$H_b = 493.2$ m, $G = 0.03$ mm.

Zürich

Juni 1939.
Beobachter: *Meteorol. Zentralanstalt.*

Tag	Lufttemperatur 7³⁰	13³⁰	21³⁰	Mittel	Abweich. vom Normalst	Luftdruck 7³⁰	13³⁰	21³⁰	Relative Feuchtigkeit 7³⁰	13³⁰	21³⁰	Windrichtung und Stärke 7³⁰	13³⁰	21³⁰	Bewölkung 7³⁰	13³⁰	21³⁰	Niederschlag	Witterung
1	11.1	19.7	16.9	15.9	0.9	717.4	717.5	718.1	77	50	77	ESE 1	NNW 1	NE 2	9	4	9	.	
2	15.9	20.2	16.9	17.7	2.6	719.0	719.7	719.8	80	60	85	NNE 2	ESE 2	ENE 0	10	5	8	0.1	
3	14.9	22.7	18.1	18.6	3.4	720.8	720.7	720.3	73	50	60	NW 1	NE 1	NE 1	5	6	3	.	
4	14.3	25.9	17.1	19.1	3.8	721.3	720.8	721.2	61	37	46	NW 1	NE 2	NE 0	1	1	1	.	
5	15.3	26.7	19.8	20.6	5.2	721.9	721.2	721.5	62	36	62	N 1	NNE 2	NE 2	2	4	3	.	
6	16.5	26.7	21.4	21.5	6.0	722.7	722.7	722.3	70	46	53	NW 1	NNW 1	NNE 1	2	1	0	.	
7	16.2	27.6	18.9	20.9	5.3	723.3	722.1	721.9	67	41	81	WNW 1	NW 1	E 1	1	1	1	.	
8	19.8	28.5	18.8	22.4	6.7	722.3	720.6	721.8	71	41	73	SE 1	S 1	SSE 2	1	2	10●	0.7	K$_z$ ● 21½-22½
9	17.0	25.3	17.3	19.9	3.9	720.6	719.9	720.2	80	47	81	SSE 1	N 2	NE 2	1	2	7	0.0	
10	15.0	25.4	17.6	19.3	3.4	719.7	717.9	718.2	80	51	80	WNW 1	SE 1	WNW 1	10	2	10	0.9	
11	16.6	22.2	16.1	18.3	2.3	715.8	713.7	712.8	81	53	71	SE 1	W 2	SSW 2	7	7	10●	4.9	●² 16³/₄-17
12	12.9	12.6	10.4	12.0	-4.1	711.8	711.9	713.4	91	79	76	SSW 1	WNW 1	S 1	10●	10●	10	7.0	● 1-2, 4³/₄-19¹/₄ m.C., 23¹/₂-0³/₄
13	9.0	10.7	8.0	9.2	-7.0	713.2	713.8	716.4	90	71	100	W 2	ESE 2	SSE 1	10	10	10	8.9	● 14³/₄-20¹/₂
14	7.8	10.9	9.8	9.5	-6.7	717.5	718.3	718.9	100	71	86	NW 1	NNE 0	NE 1	10●	10	10	0.1	● 2¹/₂-8
15	10.1	15.9	11.9	12.6	-3.7	718.3	718.1	718.6	70	50	74	N 2	E 2	ESE 1	5	9	7	.	
16	10.7	19.0	14.6	14.8	-1.6	717.5	715.7	716.1	80	46	73	NW 1	NE 2	NNE 0	0	3	1	0.6	
17	15.2	15.1	12.7	14.3	-2.2	717.8	719.4	720.8	82	80	97	WNW 1	SSW 1	SSE 0	10	10●	10●	7.8	● 3¹/₂-5³/₄, 10³/₄-n m.U.
18	12.6	15.2	14.0	13.9	-2.6	720.6	720.5	720.2	94	67	85	S 1	SE 1	ESE 1	10	10	9	0.1	● n-6
19	13.4	19.1	16.5	16.3	-0.3	720.4	720.3	720.8	85	51	65	SE 1	WNW 1	WNW 1	4	8	10	1.3	●° 21¹/₂-23¹/₄
20	12.1	13.0	12.8	12.6	-4.1	719.4	719.7	718.7	93	85	86	WNW 2	NW 1	NNE 1	10●	10●	10	2.9	● 0¹/₂-1, 8³/₄-13³/₄
21	13.1	20.1	15.4	16.2	-0.6	717.1	716.9	716.7	89	52	90	N 0	NW 1	NE 1	10	3	1	.	
22	13.9	25.2	19.5	19.5	2.7	716.5	714.8	714.8	91	48	77	WNW 1	N 2	NW 1	8	2	10	5.1	
23	16.0	26.1	21.6	21.2	4.3	715.4	713.1	710.3	90	43	66	ESE 1	ENE 2	NNE 1	2	1	10	1.8	K$_z$ ● 0-3
24	16.1	21.0	13.5	16.9	-0.1	709.9	708.9	709.9	75	50	97	SSW 1	WSW 1	SE 1	9	5	10	13.7	● 4³/₄-7, 17¹/₂-20¹/₂, 23³/₄-n
25	14.0	19.1	14.0	15.7	-1.3	711.5	712.3	714.8	80	52	92	SSE 2	WSW 1	SE 0	3	10	10●	10.9	● n-2, 18¹/₄-n
26	13.2	15.6	12.8	13.9	-3.2	717.1	718.5	721.9	88	85	98	WNW 1	SSE 1	N 1	10●	8	10	16.5	● n-8³/₄, 13¹/₄-23¹/₂ m.C., ▲●sch.
27	13.2	19.5	14.9	15.9	-1.3	724.8	725.5	725.7	81	47	70	WNW 1	NW 1	NE 1	8	8	1	0.1	● 0³/₄-5¹/₂ [15¹/₂, K$_z$ 20¹/₄
28	12.3	23.7	16.9	17.6	0.4	724.5	722.9	722.2	83	39	72	NW 0	W 1	E 1	1	1	0	.	
29	16.6	27.3	17.7	20.5	3.2	721.9	721.4	722.5	73	41	94	S 0	NW 1	NE 1	1	1	9	3.8	K$_z$ ● 2 0¹/₂-21¹/₄
30	16.4	19.5	17.2	17.7	0.4	719.3	718.9	716.9	93	77	93	W 0	WNW 1	SE 2	2	6	10●	21.7	● 12-23¹/₂ zeitw.
Mittel	14.0	20.7	15.8	16.8	—	718.6	718.3	718.6	81	55	79				5.7	5.3	7.0	Summe 108.9	

$\lambda = 8^\circ 30'$, $\beta = 47^\circ 3'$.
$H_b = 1787.3$ m, $G = -0.20$ mm.

Rigi-Kulm

Juni 1939.
Beobachter: *J. Steiner.*

1	7.1	10.3	6.5	8.0	1.4	613.2	614.3	615.3	52	74	100	E 1	SSE 1	SE 1	0	5	8	.	
2	10.5	12.5	9.3	10.8	4.1	615.8	617.0	617.5	58	59	82	S 0	SSW 1	S 1	9	7	7	.	
3	10.7	12.6	9.5	10.9	4.1	617.9	618.6	618.0	70	90	90	SE 1	NE 1	E 2	7	7	4	.	
4	11.0	12.2	10.5	11.2	4.3	618.3	619.3	619.4	60	94	71	SE 1	NE 1	E 1	0	1	0	.	
5	11.9	12.7	11.0	11.9	5.0	619.1	619.6	619.6	59	75	95	E 1	NE 1	E 1	1	1	2	.	
6	13.5	15.6	13.8	14.3	7.3	620.1	621.4	621.3	52	74	84	SW 2	NW 1	ENE 1	2	1	2	.	
7	12.0	14.6	12.6	13.1	6.0	621.1	621.1	620.5	85	88	75	SW 1	SW 1	SW 1	3	2	2	.	
8	12.6	13.1	7.0	10.9	3.7	620.3	620.0	619.3	78	82	91	SW 1	W 1	NE 1	2	3	10●	52.1	● K$_z$ 20¹/₄
9	13.0	12.0	9.4	11.5	4.3	618.4	618.4	617.9	82	100	70	E 1	NW 1	E 1	2	10	4	0.1	≡ II
10	11.3	14.8	9.5	11.9	4.6	617.2	617.1	616.1	80	83	80	WSW 1	SW 1	W 3	3	5	10	0.9	
11	8.2	9.5	6.4	8.0	0.6	613.7	612.4	611.7	84	86	92	W 1	SW 1	WSW 2	4	9	10	12.0	
12	3.6	3.0	-0.8	1.9	-5.5	608.7	608.4	609.0	98	100	100	SW 2	NNW 1	W 1	10	10●	10	25.0	● II
13	-0.8	-0.3	-1.8	-1.0	-8.5	608.3	608.6	610.0	100	100	100	WNW 1	NE 1	NE 2-3	10	10*	10*	26.4	✳ II, III, ≡ I
14	-1.2	-1.1	-0.2	-0.8	-8.4	611.5	612.9	613.5	100	100	100	NNE 2	ENE 3	E 3	10*	10	10	1.3	✳ I
15	0.3	2.5	2.2	1.7	-6.0	612.7	613.7	614.3	100	96	89	E 3	SE 1	ENE 1	10=	10	10	.	≡ I, II
16	3.8	9.0	7.6	6.8	-0.9	614.1	613.4	614.2	91	74	94	ENE 2	SSW 2	WSW 1	10	8	8	11.3	≡ I
17	5.9	4.8	4.4	5.0	-2.8	614.5	615.8	616.4	100	84	98	W 1	W 1	SW 1	10	10	10	19.0	≡ I
18	4.6	5.6	7.6	5.9	-2.0	615.9	616.5	616.8	78	84	71	ENE 1	E 1	WNW 1	8	10	8	.	
19	6.7	8.2	6.6	7.2	-0.8	616.9	617.3	617.4	93	96	100	W 1	NNW 1	W 1	6	10	10●	3.2	● III
20	5.8	8.2	5.3	6.4	-1.6	615.4	615.5	614.7	100	85	100	NNW 1	S 1	E 1	10	10=	10	3.2	≡ n-n
21	9.1	9.7	10.1	9.6	1.5	613.2	614.6	614.8	67	64	58	S 2	W 1	N 0	1	0	0	.	
22	11.0	14.0	12.6	12.5	4.3	614.3	614.4	614.0	71	84	98	E 1	E 1	E 1	0	1	1	10.1	
23	11.4	13.6	12.4	12.5	4.3	613.6	612.9	611.6	75	94	86	E 0	NNW 1	NNE 1	0	2	3	16.5	
24	6.2	10.7	5.5	7.5	-0.8	608.4	608.3	607.9	100	81	100	W 3	WSW 1	W 1	8	7	10	19.4	≡ III
25	5.8	11.6	6.1	7.8	0.6	608.9	610.6	611.7	94	90	85	SE 1	WSW 1	W 1	3	10	10	7.4	≡ II, III
26	4.4	8.0	6.2	6.2	-2.3	613.3	615.5	617.3	100	76	86	W 3	WSW 1	W 1	10●	10	10	43.9	● I
27	3.5	7.6	7.8	6.3	-2.2	619.7	621.2	621.4	100	76	75	W 2	W 1	E 1	10	6	0	0.1	≡ I
28	11.8	13.6	13.8	13.1	4.5	621.5	621.1	621.0	45	75	69	WSW 0	W 0	W 2	0	0	0	.	
29	14.8	15.6	11.4	13.9	5.2	621.4	620.6	620.6	54	77	92	SW 0	SW 1	W 1	0	0	10	1.5	≡ III
30	15.3	12.8	10.8	13.0	4.2	618.0	618.0	616.1	64	90	99	S 1	N 1	W 1	0	2	10●	21.0	● III
Mittel	8.1	9.9	7.8	8.6	—	615.5	615.9	616.0	80	84	88				5.0	5.9	6.6	Summe 274.4	

Juni 1939.
Beobachter: *P. Nogler.*

Bevers

$\lambda = 9^\circ 53'$, $\beta = 46^\circ 33'$.
H_b = ca. 1710^m, $G = -0.23\ ^m/_m$.

Tag	Lufttemperatur					Luftdruck			Relative Feuchtigkeit			Windrichtung und Stärke			Bewölkung			Niederschlag	Witterung
	7^{30}	13^{30}	21^{30}	Mittel	Abweich. vom Normalst.	7^{30}	13^{30}	21^{30}	7^{30}	13^{30}	21^{30}	7^{30}	13^{30}	21^{30}	7^{30}	13^{30}	21^{30}		
1	5.4	13.8	7.6	8.9	0.7	619.7	619.5	621.8	89	44	83	WSW 1	SW 1–2	WSW 1	10	10	4	.	
2	7.2	14.2	7.4	9.6	1.3	622.7	623.0	624.5	76	57	83	W 1	SW 1–2	W 0–1	0	10	0	.	
3	8.2	17.1	6.4	10.6	2.2	624.2	624.5	625.1	64	45	91	WSW 0	SW 1	SW 1	2	10	0	.	
4	10.8	19.7	8.4	13.0	4.5	625.3	624.4	625.4	72	61	83	W 0	SW 2	SW 1	0	0	0	.	
5	9.8	20.1	9.1	13.0	4.4	625.4	624.5	626.2	78	33	80	WSW 1	SW 1	W 0	0	0	0	.	
6	13.0	17.3	9.6	13.3	4.6	627.0	627.1	**627.6**	65	63	91	SW 0	SW 1	W 0–1	0	3	0	.	
7	10.8	20.0	12.2	14.3	5.5	627.1	627.3	627.0	72	63	81	SW 1	SW 2–3	SW 1	0	4	8	.	
8	10.1	20.7	8.6	13.1	4.2	626.4	625.0	625.1	67	34	91	W 0	SW 1	SW 0	0	0	0	.	
9	13.5	20.3	9.2	14.3	5.3	624.2	623.3	625.5	67	34	100	W 1	NW 2	NW 2	2	7	10●	12.4	● ⛆ 21$^t/_2$–22
10	12.3	20.2	9.8	14.1	5.0	623.2	622.7	622.3	68	39	85	W 0	NW 2	S 2	0	6	10●	**16.8**	●° 18–22
11	7.8	14.5	7.6	10.0	0.8	620.7	619.2	617.0	85	52	92	S 2	S 2	SE 1	10●	4	10	8.6	● n–9
12	4.6	10.3	2.0	5.6	−3.7	615.7	614.1	613.9	98	76	100	NW 1	N 2	NE 1	10●	10	10●	8.2	● n–n
13	3.8	6.2	3.2	4.4	−5.0	613.7	**613.1**	614.3	85	65	85	N 1	N 1	NE 0	10*	10	10	1.0	✳ I, ● a–13$^1/_2$, p–21 m.U.
14	4.4	4.2	2.8	3.8	−5.7	615.8	616.8	618.4	68	70	77	E 1	E 2–3	E 1	10	10●*	10	2.7	● ✳ II, bis 16
15	6.2	11.0	4.2	7.1	−2.5	617.9	618.1	620.1	65	50	85	ESE 1	NE 1	NNE 1	10	10	7	.	
16	4.8	9.6	5.7	6.7	−3.0	619.9	619.3	619.6	57	39	85	N 1	NE 1	NW 0	4	7	5	.	
17	6.3	10.2	7.7	8.1	−1.7	619.3	619.7	621.7	63	37	81	SW 1	SW 2–3	SW 2	2	7	10●	0.9	● 18$^t/_2$–n
18	9.7	11.4	6.6	9.2	−0.7	621.2	621.2	622.3	83	63	100	N 1	N 1	N 0	10	10●	10●	8.5	● n–n m.U.
19	8.8	14.7	7.8	10.4	0.4	622.4	622.4	622.9	74	46	86	N 0	NE 1	NW 1	10	6	4	.	
20	8.8	11.0	6.2	8.7	−1.4	622.0	621.0	620.9	80	96	97	N 0	SW 0	W 0	10	10●	3	3.2	● 8–p m.U.
21	7.3	13.2	8.1	9.5	−0.6	621.2	620.7	621.3	77	52	100	W 0	SW 1–2	S 1	8	6	0	.	
22	10.2	17.2	9.3	12.2	2.2	620.8	619.8	620.4	74	37	84	SW 1	SW 2–3	WSW 1	2	2	0	.	
23	13.0	19.0	12.8	14.9	4.6	620.0	619.1	618.0	65	43	83	W 1	WSW 1	WNW 1	2	7	10	4.6	
24	9.3	13.6	7.0	10.0	−0.4	615.7	615.3	614.6	86	58	98	NW 1	NW 1	N 1	10●	10	10●	7.7	● n–n zeitw.
25	10.8	13.1	7.3	10.4	0.0	616.7	617.6	619.7	71	56	90	W 1	SW 1	SW 0	6	8	10●	6.8	● 20$^1/_2$–n
26	10.4	8.8	6.2	8.5	−2.0	619.6	622.3	623.6	74	93	100	NE 1	SW 1	W 1	10	10●	8	15.6	● 8$^1/_2$–16
27	10.6	15.1	4.2	10.0	−0.6	625.1	625.9	**627.6**	57	42	83	NW 1	SW 1–2	WSW 1	10	4	4	.	
28	7.2	18.9	**1.3**	9.1	−1.5	**627.6**	626.4	627.2	64	36	88	SW 1	SW 1	W 1	6	2	4	.	
29	13.4	**23.0**	10.1	15.5	4.8	627.2	627.0	626.7	62	**32**	72	SW 1	SW 2–3	SW 0	0	0	0	.	
30	12.6	20.0	13.5	15.4	4.6	624.6	617.5	617.9	54	56	83	S 0	SW 2	S 1	0	8	9	0.4	
																		Summe	
Mittel	9.0	15.0	7.4	10.5	—	621.7	621.3	622.0	72	52	88				5.1	6.4	5.5	97.4	

Juni 1939.
Beobachter: *Kapuzinerkloster.*

Sitten

$\lambda = 7^\circ 21'$, $\beta = 46^\circ 14'$,
$H_b = 548.6^m$, $G = -0.11\ ^m/_m$.

1	13.5	22.4	17.5	17.8	1.4	712.3	710.8	712.4	74	41	62	NE 1	W 2–3	W 1	1	6	7	.	
2	15.2	23.0	19.1	19.1	2.6	714.3	713.5	715.2	71	47	49	NE 1	WSW 1	NE 1	5	10	4	.	
3	16.1	27.1	19.2	20.8	4.2	716.2	714.7	715.2	66	**39**	70	NE 1	SW 0	W 2–3	6	6	6	.	
4	16.8	27.1	19.1	21.0	4.3	716.8	714.9	715.4	67	**39**	56	NE 1	W 2	W 1–2	0	0	0	.	
5	16.1	27.4	21.9	21.8	5.0	717.1	714.5	715.5	57	40	57	NE 1	W 2	W 2	0	3	4	.	
6	18.8	**28.1**	23.3	23.4	6.5	718.2	716.7	717.8	64	45	53	NE 1	W 1–2	W 1	5	3	1	.	
7	17.8	28.0	20.9	22.2	5.2	719.5	716.7	718.6	66	45	57	NE 0	W 2–3	W 1–2	9	4	4	.	●tr. 17$^1/_4$
8	17.6	27.8	22.1	22.5	5.4	718.9	715.6	715.4	65	45	56	NE 1	W 1–2	W 1	1	3	2	.	
9	18.0	28.7	19.3	22.0	4.8	716.5	713.3	714.8	65	44	66	NE 1	W 2	W 2	1	4	7	.	●° 17$^1/_2$
10	17.8	26.7	16.4	20.3	3.0	715.2	712.9	715.4	67	48	90	NE 1	W 1–2	W 1	3	4	10●	7.2	● 17$^1/_4$–n
11	17.0	21.3	17.4	18.6	1.3	712.4	709.6	709.3	73	59	70	E 1	W 1	W 1	4	8	10●	2.8	●° p–n m.U.
12	13.6	15.3	**11.5**	13.5	−3.9	707.9	706.3	708.4	86	64	60	NW 1	W 3	W 2–3	10	10	10	0.3	
13	**11.5**	12.9	12.0	12.1	−5.4	708.0	707.8	710.4	61	52	57	W 1–2	W 3–4	W 1–2	8	10	10	.	
14	12.4	17.9	13.2	14.5	−3.1	711.2	710.7	711.8	58	42	49	N 1	W 2–3	W 1–2	8	7	5	.	
15	12.7	18.4	14.3	15.1	−2.6	713.4	711.7	713.0	63	44	54	NW 1	W 2–3	W 2–3	8	6	9	.	
16	12.8	20.8	18.7	17.4	−0.4	712.7	708.4	711.3	68	46	58	NE 1	W 2	W 1–2	1	7	8	.	
17	14.6	19.6	16.0	16.7	−1.2	712.6	713.3	714.5	71	62	56	NE 0	W 1	W 2–3	10	9	5	.	
18	15.7	22.6	17.5	18.6	0.7	715.5	713.2	714.4	61	40	56	NE 1	W 2	W 1	1	7	5	.	
19	15.8	23.4	18.5	19.2	1.2	716.0	713.9	714.5	65	41	53	NNE 1	W 2–3	W 2–3	4	7	9	1.7	⊕ II
20	12.5	17.6	15.0	15.0	−3.1	714.7	713.7	713.2	93	59	73	W 1–2	W 1	W 2	10●	9	10	3.1	● I
21	16.0	20.1	17.7	17.9	−0.3	712.4	710.8	711.8	72	49	63	NE 1	W 2–3	W 1	1	7	4	.	
22	15.3	25.0	19.2	19.8	1.5	712.4	709.4	711.3	76	44	74	WNW 0	W 2	W 2	9	4	7	0.4	●° p, ⛆ III
23	17.6	25.8	20.4	21.3	2.9	712.0	707.7	705.5	74	48	69	N 1	W 2–3	W 2	0	6	10	0.4	
24	15.3	22.2	14.6	17.4	−1.0	706.2	**703.8**	705.5	84	44	86	WNW 1	W 1	W 1	10●	7	8	2.9	● I, abds.
25	15.2	21.3	16.8	17.8	0.7	707.2	707.0	709.6	72	53	77	N 1	W 1–2	W 1	7	9	10●	5.0	● III
26	13.6	21.1	16.8	17.2	−1.4	712.9	714.0	715.9	96	50	59	W 1	W 1	W 1	10	7	7	0.5	
27	15.5	22.5	17.7	18.6	−0.1	719.6	718.8	719.7	73	40	50	W 1	W 2–3	W 2	5	4	0	.	
28	15.0	25.5	19.4	20.0	1.2	**720.7**	717.6	717.7	63	**39**	58	NE 1	W 1	W 2	0	0	0	.	
29	17.8	**28.1**	23.3	23.1	4.3	718.7	716.1	716.2	65	**39**	55	NE 1	W 2	W 0	0	0	4	.	
30	19.6	25.6	18.2	21.1	2.2	715.2	713.1	713.9	65	55	93	NE 1	W 2–3	W 1–2	8	7	10●	**17.2**	⛆ 17, ● III
																		Summe	
Mittel	15.6	23.1	17.9	18.9	—	714.2	712.4	713.4	70	47	63				4.8	5.8	6.2	41.5	

$\lambda = 8^\circ 57'$, $\beta = 46^\circ 0'$,
$Hb = 276.2^m$, $G = -0.01\ ^m/_m$.

Lugano

Juni 1939.
Beobachter: *G. Vicari.*

Tag	Lufttemperatur					Luftdruck			Relative Feuchtigkeit			Windrichtung und Stärke			Bewölkung			Niederschlag	Witterung
	7^{30}	13^{30}	21^{30}	Mittel	Abweich. vom Normalst.	7^{30}	13^{30}	21^{30}	7^{30}	13^{30}	21^{30}	7^{30}	13^{30}	21^{30}	7^{30}	13^{30}	21^{30}		
1	11.6	19.8	14.2	15.2	−2.2	736.3	735.3	736.9	79	53	84	NNE 0	S 0	N 1	8	10	10	0.4	●°sch. 17½–18, n
2	15.0	18.2	17.2	16.8	−0.7	738.5	739.3	739.9	84	72	85	E 0	S 0	N 1	10	10	10	0.9	●°sch. 9–11
3	16.6	22.6	17.6	18.9	1.2	740.9	740.2	739.7	83	56	71	NW 0	ENE 0	N 0	10	8	0	.	
4	15.8	25.4	21.2	20.8	3.0	740.7	739.0	738.2	83	44	64	N 0	S 1	N 0	0	0	0	.	
5	16.8	27.0	21.4	21.7	3.8	739.5	738.2	739.1	80	45	69	NE 1	S 1	N 1	0	5	0	12.3	
6	17.2	24.0	20.6	20.6	2.6	743.6	742.8	742.6	92	47	65	N 1	SSE 1	E 1	10	3	10	3.2	● 0½–5½, K 0–0½,
7	17.8	23.6	18.4	19.9	1.7	**744.9**	744.5	743.0	67	40	70	WSW 1	S 0	N 1	10	8	0	.	[K° ● 22½–24½
8	14.6	25.7	21.2	20.5	2.2	742.2	739.9	738.5	82	49	71	NNE 1	S 1	NE 1	0	0	0	.	
9	16.8	27.0	21.6	21.8	3.4	738.2	736.6	736.8	88	50	67	S 0	SW 1	N 0	0	4	3	.	
10	18.0	26.0	19.8	21.3	2.8	738.4	736.8	736.5	69	56	84	NNE 1	S 1	N 0	0	4	6	3.1	●° 16–16½, n
11	15.6	18.8	15.6	16.7	−1.9	735.7	734.0	732.4	92	68	93	N 1	SW 1	N 1	10	8	10●	**85.2**	K 9–11, 17, 17½, 19–20, ● a–n
12	13.6	13.8	12.8	13.4	−5.4	730.5	728.9	728.8	88	92	92	E 1	N 1	E 1	10●	10●	10●	55.6	● 7–n ziw., K 12–12½ [ziw.
13	11.8	**11.2**	11.4	11.5	−7.4	**728.2**	729.9	730.2	73	86	56	NE 1	ESE 1	N 2	7	10●	10●	11.4	● 12–n
14	16.4	21.0	17.8	18.4	−0.6	**728.2**	728.6	730.5	32	28	30	N 2	N 3	NE 3	3	6	6	.	
15	14.6	18.4	16.2	16.4	−2.7	733.3	733.1	736.2	67	58	67	N 1	S 1	S 1	8	10	10	.	
16	14.2	18.8	16.4	16.5	−2.7	735.9	735.9	735.5	77	59	65	W 1	W 1	N 1	10	10	2	.	
17	14.6	26.2	19.0	19.9	0.6	735.4	734.1	734.0	79	44	46	E 1	SE 1	NE 2	3	8	3	.	
18	17.6	27.0	20.4	21.7	2.3	734.7	734.0	735.1	75	28	44	SE 1	NNE 2	N 1	4	0	7	.	
19	18.2	24.0	18.6	20.3	0.8	736.2	736.5	737.2	74	55	86	S 1	S 1	S 1	1	2	10	9.8	● K n (19./20.)
20	14.8	15.0	15.6	15.1	−4.5	737.6	737.8	737.0	88	93	88	W 1	S 1	N 1	10●	10●	10	26.4	● n–14½ m.U.
21	16.2	23.2	18.4	19.3	−0.4	736.6	735.9	735.7	81	48	68	N 0	ESE 0	N 1	5	7	0	.	
22	17.0	25.8	19.2	20.7	0.9	735.3	734.2	733.8	77	48	67	S 1	SW 1	W 1	0	0	0	.	
23	17.0	26.8	20.8	21.5	1.6	733.6	731.9	731.2	78	48	81	NE 0	E 1	N 0	0	1	10	4.9	● K n (23./24.)
24	16.8	22.0	16.6	17.8	−2.2	729.9	729.7	729.2	92	69	93	ESE 0	N 1	S 1	10	8	10	16.4	● 11–n zeitw.
25	14.8	15.0	13.8	14.5	−5.6	732.3	733.5	735.0	87	92	93	S 0	NNE 1	N 1	10	10●	10●	44.4	● 11–n m.U.
26	15.0	17.8	16.0	16.3	−3.9	736.6	737.9	739.0	87	78	88	NNW 0	SE 1	N 0	10	8	0	27.3	● 10¾–12¼
27	15.2	**27.2**	21.2	21.2	0.9	739.9	739.7	741.4	84	**26**	36	SSE 0	N 1	NE 1	0	0	0	.	
28	15.8	25.2	18.0	19.7	−0.7	744.3	743.1	742.8	68	48	74	N 0	S 1	N 1	1	1	0	.	
29	18.2	27.0	21.4	22.2	1.7	742.8	741.4	740.8	82	48	67	E 0	E 0	N 1	0	0	0	.	
30	19.0	27.0	21.6	22.5	1.9	739.7	737.8	736.3	81	54	64	N 0	S 1	N 1	0	1	10	22.3	
Mittel	15.9	22.3	18.1	18.8	—	737.0	736.4	736.4	79	56	71				5.0	5.4	5.2	Summe 323.6	

$\lambda = 7^\circ 35'$, $\beta = 47^\circ 33'$,
$Hb = 318^m$, $G = 0.11\ ^m/_m$.

Basel

Juni 1939.
Beobachter: *Astronom.-Meteorol. Anstalt.*

1	13.7	21.3	16.4	17.1	2.5	733.0	732.5	733.4	68	49	75	W 1	NNW 1	NE 1	1	5	6	.	⌓ l
2	14.4	23.0	17.6	18.3	3.6	734.5	734.8	735.0	88	52	72	W 1	ESE 1	ENE 1	10	2	10	.	
3	14.4	25.2	17.5	19.0	4.2	736.4	735.9	735.7	86	54	81	W 1	WNW 1	WSW 1	6	6	4	.	
4	16.4	25.6	19.3	20.4	5.5	736.8	736.1	736.1	68	44	50	NNW 1	WNW 1	E 1	0	1	0	.	
5	16.0	25.0	20.6	20.5	5.5	737.6	736.4	736.4	63	46	59	NW 0	NNW 1	ENE 1	1	9	5	.	⊕ 12¼
6	19.0	27.4	19.2	21.9	6.8	737.9	737.6	737.2	66	43	85	WNW 1	ESE 1	SW 0	2	1	0	.	
7	18.7	**29.5**	18.2	22.1	6.9	738.4	736.7	737.0	60	44	76	E 1	W 1	SSE 1	0	1	2	.	⌓ l
8	20.6	28.4	20.4	23.1	7.8	737.5	735.9	735.7	65	48	76	ESE 1	W 1	E 1	0	5	9	.	T 18–18¾, ⌓ l
9	19.0	25.3	16.8	20.4	5.0	736.1	735.3	735.7	77	59	79	NW 1	NW 1	SW 1	10	4	9	.	
10	16.7	23.0	15.8	18.5	3.0	734.6	733.2	732.9	73	66	89	NE 0	W 1	E 1	2	8	10	6.5	K ● 19¾–21 m.U., T seit 19
11	16.7	19.6	15.8	17.4	1.8	730.6	728.8	727.7	84	76	90	SE 1	SE 1	ESE 1	9	9	10	6.6	● 10¼, 10¾, 11¾, 15¼, 22¾–n
12	12.5	12.5	10.8	11.9	−3.8	726.6	727.7	729.0	94	77	81	ESE 1	WSW 1	NNW 1	10●	10●	10●	3.4	● n–15¼ m.U, 21½, 22½
13	**7.6**	12.1	8.7	9.5	−6.3	729.6	729.9	731.9	90	62	88	NNW 1	NW 1	S 1	10●	10●	9	.	● 0¾–1½, 13–14¾ m.U.
14	8.9	18.0	10.8	12.6	−3.3	733.7	733.7	734.7	81	55	82	WNW 1	SSE 1	ESE 1	9	7	10	.	● 14, 16
15	10.6	16.4	13.5	13.5	−2.5	734.3	733.5	733.8	73	49	79	NW 0	NNW 1	ESE 1	2	10	9	.	
16	12.5	23.0	16.1	17.2	1.1	732.8	730.6	731.3	69	**40**	78	ESE 1	ESE 1	SSW 1	1	3	9	4.4	⌓ l
17	14.0	18.5	13.4	15.3	−0.9	733.3	734.6	736.1	94	64	91	SW 1	WNW 1	SSW 1	10●	10	9	3.6	● 0¾–1½, 5¾–10¾,
18	14.7	20.6	15.7	17.0	0.7	735.8	735.3	735.5	78	53	82	ESE 1	W 1	ESE 1	5	8	9	.	[17¼–17¾
19	12.6	21.2	16.4	16.7	0.3	735.7	735.6	736.0	91	46	68	E 1	WNW 1	WSW 1	10	4	9	3.1	
20	12.0	14.3	14.6	13.6	−2.9	735.6	735.4	734.1	94	76	85	NW 1	WNW 1	S 0	10	10	10	1.4	● 0¼–12½ m.U.
21	12.8	22.4	16.0	17.1	0.5	732.5	731.9	731.9	91	54	88	WNW 1	E 1	N 0	10≡	1	1	.	≡ n–7¾
22	15.4	25.2	17.2	19.3	2.6	731.9	730.2	730.6	91	61	88	ESE 1	NW 1	WSW 1	10	9	10	2.8	K ● 20¾–23½ m.U.
23	19.3	26.4	19.6	21.8	5.1	730.5	728.5	725.3	74	57	86	S 1	NW 1	SSW 1	1	1	10	11.3	
24	16.1	22.8	13.6	17.5	0.7	724.6	**723.6**	723.7	92	65	96	ESE 1	W 1	SE 1	10	6	9	9.8	● 2¼–23½ ziw., ▲ 17¼, K n,
25	14.5	20.1	14.6	16.4	−0.5	726.1	726.9	729.2	90	58	89	ENE 1	W 1	ESE 1	9	10	10●	7.5	● 11¾–12½, 19–23¾ [p ziw.
26	14.0	15.4	13.5	14.3	−2.7	731.9	733.6	736.9	94	86	93	SE 1	WNW 1	S 1	10	10●	10	12.8	● 0¾–6¼, 13¼–23¾ zeitw.,
27	16.1	22.3	13.5	17.3	0.2	740 3	740.8	**741.3**	73	44	88	SSE 1	W 1	W 1	8	5	1	.	[K° mtgs.
28	14.4	25.4	17.1	19 0	1.9	739.7	737.8	737.2	78	47	87	ESE 1	ESE 1	SSW 1	1	1	1	.	⌓ l
29	19.2	24.3	17.1	20.2	3.0	736.8	737.2	737.6	69	62	95	E 1	NW 1	SSE 1	4	9	9	4.3	● 16¼–20¾ m.U., T p ziw.
30	16.5	19.7	17.9	18.0	0.7	734.7	733.9	732.7	94	83	95	SE 0	SE 1	WSW 1	5	10	10●	**39.5**	● 9¼–11½, 20–22½, K ziw.
Mittel	15.0	21.8	15.9	17.6	—	734.0	733.5	733.7	80	57	82				5.9	6.2	7.3	Summe 117.0	

Juni 1939. Beobachter: *Observatorium.*

Säntis

$\lambda = 9^{\circ}\,20'$, $\beta = 47^{\circ}\,15'$, $H_b = 2500.1^{m}$, $G = -0.27\,{}^{m}/_{m}$.

Tag	Lufttemperatur					Luftdruck			Relative Feuchtigkeit			Windrichtung und Stärke			Bewölkung			Niederschlag	Witterung
	7^{30}	13^{30}	21^{30}	Mittel	Abweich. vom Normalst.	7^{30}	13^{30}	21^{30}	7^{30}	13^{30}	21^{30}	7^{30}	13^{30}	21^{30}	7^{30}	13^{30}	21^{30}		
1	3.2	3.8	2.7	3.2	1.7	562.1	563.2	564.6	53	40	100	NE 2	ENE 1	ENE 2	2	8	3	.	≡ 15–21½, ⊕ a
2	5.4	6.6	4.6	5.5	3.9	565.1	566.4	567.0	58	61	79	E 2	ESE 2	ESE 2	9	8	9	4.2	≡ △ ● 16¼–18
3	8.3	9.3	4.8	7.5	5.8	567.2	567.9	567.7	55	62	80	S 1	SE 1	NE 2	7	10	3	.	≡ 15½–21 m.U.
4	9.0	8.2	6.2	7.8	6.0	568.0	568.6	568.7	50	56	61	ENE 1	E 1	NE 2	0	3	1	.	
5	7.4	6.0	7.0	6.8	4.9	568.6	568.9	569.4	35	61	67	NE 3	NE 2	NE 2	6	6	1	.	≡ 16¼–19¼
6	9.8	11.6	8.2	9.7	7.7	569.7	**571.0**	570.7	47	60	68	SW 2	E 0	NE 1	2	3	0	.	
7	8.1	**12.6**	7.4	9.4	7.3	570.2	570.5	570.2	67	54	77	NNW 2	SSE 1	SE 0	1	6	1	.	
8	9.2	10.2	6.7	8.7	6.6	569.4	569.3	569.0	55	65	97	SE 0	S 0	NNE 0	1	6	10●	6.7	● △ 16½, ● 21¼–n
9	8.0	10.0	5.8	7.9	5.7	567.6	567.7	567.3	58	60	70	WSW 0	SW 0	SW 1	2	6	8	.	●tr. 19⅝, ≡ 18–20¼ m.U.
10	6.2	12.5	4.4	7.7	5.4	566.4	566.6	565.3	58	58	76	SW 2	SW 2	WSW 2	1	8	10●	19.3	⛆ ▲ 16¼–17½, *)
11	2.3	5.5	1.4	3.1	0.7	562.9	561.2	559.4	98	95	100	WSW 3	SW 2	WSW 4	10≡	10≡●	10≡	38.8	⛆ ● △ 13¼–13⅝, *)
12	−1.0	0.0	−4.3	−1.8	−4.3	556.8	557.1	556.8	100	100	100	WSW 3	WNW 1	WNW 3	10≡*	10≡*	10≡*	37.7	✳ 6–n, ≡ n–n, ∽ I
13	−4.2	−1.9	−5.4	−3.8	−6.4	**555.8**	556.3	558.0	98	92	95	NW 2	NW 0	NNE 2	10≡*	10≡*	10≡*	5.9	✳ ≡ n–n
14	−5.4	−5.2	**−6.0**	−5.5	−8.2	559.0	560.1	561.0	93	93	93	NNE 2	NE 1	NE 2	10≡*	10≡	10	0.8	✳ n–11, ≡ n–21, ⋁ I
15	−5.2	−0.2	−1.0	−2.1	−4.9	560.5	561.4	562.5	90	91	98	NE 3	ENE 2	ENE 1	10	10≡	10≡	.	≡ 9¾–n m.U.
16	0.2	4.2	2.0	2.1	−0.7	561.6	562.0	562.7	72	73	100	NE 1	SW 2	W 3	1	10≡	10≡	0.8	≡ 11–n m.U.
17	1.0	0.6	−0.7	0.3	−2.6	562.8	563.8	564.7	100	100	98	W 3	WSW 3	NNW 2	10≡	10≡●	10≡*	10.5	● 8½–15 m.U., ✳ 15–n, *)
18	−0.4	1.2	1.2	0.7	−2.3	564.1	564.6	565.0	98	98	100	NE 1	NNE 2	NNW 2	10≡*	10≡	10≡	20.9	✳ n–11, 13⅝–16 m.U., *)
19	0.7	3.4	1.6	1.9	−1.2	565.3	565.9	566.0	100	74	96	SW 2	S 1	NE 2	10≡	10≡	10	2.6	● 18⅝–20½, ≡ n–16 m.U.
20	2.6	3.2	2.3	3.0	−0.2	563.9	564.1	563.8	81	93	98	SSE 2	ESE 1	E 2	10	10≡●	9	1.1	● 9½–15½, ≡ 8–21 m.U.
21	6.4	8.2	4.8	6.5	3.2	563.1	564.0	564.6	56	66	63	SW 2	S 1	NE 1	1	3	9	.	≡ 18–18⅝
22	7.2	10.2	7.8	8.4	5.0	563.9	564.1	564.2	56	68	68	ENE 2	S 1	W 2	3	10	5	.	
23	9.2	11.8	7.8	9.6	6.1	563.5	563.4	561.6	62	63	97	SE 0	S 1	E 1	1	7	10≡	0.1	≡ 15–n m.U.
24	5.4	8.0	2.0	5.1	1.6	558.1	557.8	557.3	92	65	97	SSW 3	SSW 2	S 3	10	10	8	7.0	●tr. (17), ●° 19½–20½
25	3.8	8.3	2.2	4.8	1.2	558.3	560.1	561.1	64	61	87	SW 1	SW 2	SSW 2	2	10	10	2.2	● ✳ n, ●° 15–16⅝
26	2.0	1.2	0.7	1.3	−2.4	562.2	564.1	566.1	100	92	100	SW 2	SW 3	WNW 3	10≡●	10	10≡	26.6	● n–18¼ m.U., ✳ a ztw., *)
27	−1.1	0.0	0.2	−0.3	−4.1	567.4	569.1	569.7	100	83	70	W 2	W 2	WSW 2	10≡*	10	0	3.1	✳ n–11¼, ≡ n–17 m.U.
28	5.6	8.5	7.4	7.2	3.3	569.0	570.0	570.3	**30**	35	52	SW 3	WSW 2	SW 2	1	1	1	.	
29	8.1	11.6	8.0	9.2	5.2	569.8	570.3	570.1	58	65	97	SW 2	SW 1	SW 2	1	1	6	0.4	● 19½–20, ≡ 18–n m.U.
30	12.4	11.4	7.1	10.3	6.2	568.0	567.3	565.4	54	65	96	S 1	SE 2	SSW 3	1	6	10●	21.7	● 21–n, ≡ 11¼–n m.U.
Mittel	4.1	6.0	3.2	4.5	—	564.3	564.9	565.0	71	72	86				5.4	7.4	7.1	Summe 211.4	

*) **10.** ● 17¼–n m.U., ≡ 16½, **11.** ● 14¼–n m.U., ≡ n–n m.U., **17.** ≡ n–n m.U., **18.** ≡ n–n, **26.** 18¼–19½, ≡ n–n m.U.

Juni 1939. Beobachter: Frl. *F. Lombardi.*

St. Gotthard (Hospiz)

$\lambda = 8^{\circ}\,34'$, $\beta = 46^{\circ}\,33'$, $H_b = 2095.7^{m}$, $G = -0.25\,{}^{m}/_{m}$.

1	1.5	6.6	3.0	3.7	0.0	591.1	591.6	592.9	64	55	63	SE 0	N 0	N 0	0	2	5	.	
2	3.2	7.2	4.0	4.8	1.0	594.0	595.2	595.5	71	56	68	N 0	N 0	E 0	5	10	10	.	
3	5.0	4.0	4.2	4.4	0.5	596.4	596.5	596.7	72	55	68	E 0	E 0	E 0	6	6	0	.	
4	6.5	9.2	5.8	7.2	3.2	596.9	597.0	597.1	57	44	69	E 0	S 0	N 0	0	0	0	.	
5	6.0	10.4	5.2	7.2	3.1	597.0	597.2	597.8	54	34	61	N 0	N 0	N 1	0	2	0	.	
6	6.0	9.4	6.4	7.3	3.1	598.9	599.3	**599.5**	75	57	70	S 1	N 0	N 0	3	0	6	.	
7	6.4	10.2	4.8	7.1	2.8	599.3	599.3	599.4	62	65	89	N 0	SE 1	SE 0	5≡	10≡	10≡	.	≡ n–n
8	6.0	9.5	6.2	7.2	2.8	597.8	597.7	597.1	58	37	68	NE 0	N 0	N 1	0	0	5	.	
9	7.0	8.8	4.4	6.7	2.2	596.0	595.9	595.5	59	47	75	N 0	N 1	N 1	0	0	5	.	
10	6.0	10.6	4.2	6.9	2.3	595.3	595.4	594.1	64	57	80	S 0	SE 0	SE 0	0	5	6	2.0	
11	5.1	6.4	4.2	5.2	0.5	591.9	590.7	588.9	85	71	98	SE 0	SE 0	SE 0	10≡	10	10≡●	2.4	● 17⅝–n, ≡ n–n zeitw.
12	5.0	4.0	−0.4	2.9	−1.9	586.5	585.5	585.4	85	85	92	SE 0	SE 0	NW 3	10≡	10≡●	10≡*	24.5	● 8⅝–n, ✳ 16–n, ≡ n–n
13	−0.4	3.0	−0.3	0.8	−4.1	**584.8**	584.9	586.6	94	87	93	N 2	N 3	N 3	10≡	10≡	10≡	16.5	●sch. zeitw., ≡ n–n
14	−0.5	3.0	**−2.6**	0.0	−5.0	585.2	588.2	588.2	90	81	89	N 3	N 3	N 3	10≡	8≡	10≡	0.5	✳ ≡ n–n
15	−1.0	1.8	0.4	0.4	−4.7	589.2	590.1	591.2	88	62	84	NW 2	NW 2	NW 2	10≡	10	5	.	≡ n–9
16	1.2	8.4	3.0	4.2	−0.9	590.6	591.2	591.8	65	51	63	N 0	S 0	S 0	2	8	10	.	
17	4.0	4.2	1.0	3.1	−2.1	591.9	592.7	592.8	100	95	100	N 0	N 0	N 2	5	10●	10≡	2.5	● 12–14¼, ≡ 17–n
18	1.4	4.0	3.0	2.8	−2.5	593.6	593.3	593.5	84	100	98	N 2	N 1	N 1	8	10≡	0	.	≡ a–15½
19	3.0	7.2	4.5	4.9	−0.3	593.8	594.6	594.1	100	65	100	N 1	N 1	N 1	10	4	10≡	1.5	≡ 18–n zeitw.
20	3.8	5.0	4.5	4.4	−1.1	592.7	593.0	592.6	100	90	95	S 1	S 1	S 1	10●	10●	10≡	7.5	● n–16½, ≡ 18⅝–n
21	4.2	9.9	5.0	6.4	0.8	592.4	593.6	593.6	95	56	63	S 1	S 1	S 1	10	10	10		
22	8.0	11.5	5.4	8.3	2.6	592.6	593.7	592.3	46	55	62	S 1	S 1	N 0	0	2	4	.	
23	4.0	**13.0**	6.0	7.7	1.9	591.9	591.3	589.7	62	48	63	N 0	N 0	SE 1	3	2	10	14.5	
24	4.2	10.0	5.2	6.5	0.6	586.7	586.8	586.3	83	95	98	SE 0	SE 1	SE 1	10●	10≡●	10≡●	**60.8**	● ≡ n–n
25	7.0	7.5	5.4	6.6	0.6	587.6	588.5	589.5	100	100	89	SE 1	SE 1	SE 1	8	10●	10●	48.5	● 11⅝–n
26	3.4	6.8	3.6	4.6	−1.5	591.3	593.5	595.2	100	62	78	SE 0	N 0	N 0	10≡	5	8	10.5	≡ n–9¾, ● n
27	3.0	4.8	3.0	3.6	−2.6	596.3	596.9	598.7	89	70	89	N 1	N 1	N 1	8	4	2	.	
28	6.2	10.8	5.6	7.5	1.2	598.8	599.3	**599.5**	67	34	58	N 1	N 1	N 1	0	0	0	.	
29	5.2	**13.0**	7.4	8.5	2.1	598.5	598.9	598.8	55	47	70	N 0	N 0	N 1	0	0	2	.	
30	10.2	12.6	6.8	9.9	3.4	598.1	595.6	595.9	54	**32**	98	S 0	S 0	NE 0	0	5	10●	29.6	● 19⅝–n, ⛆ n
Mittel	4.3	7.8	4.0	5.4	—	593.2	593.6	593.7	76	63	80				5.1	5.8	6.6	Summe 220.8	

$\lambda = 7° 26'$, $\beta = 46° 57'$.
$H_b = 572.2^m$, $G = 0.00^m/_m$.

Bern

Juli 1939.
Beobachter: *Tellur. Observatorium.*

Tag	Lufttemperatur					Luftdruck			Relative Feuchtigkeit			Windrichtung und Stärke						Bewölkung			Niederschlag	Witterung
	7^{30}	13^{30}	21^{30}	Mittel	Abweich. vom Normalst.	7^{30}	13^{30}	21^{30}	7^{30}	13^{30}	21^{30}	7^{30}		13^{30}		21^{30}		7^{30}	13^{30}	21^{30}		
1	13.0	18.3	12.4	14.6	−2.6	709.7	710.3	712.6	90	45	78	WSW	1	W	1	WSW	1	10	4	10●	2.0	● n–a m.U., $21^1/_4$–22
2	10.0	13.0	12.3	11.8	−5.5	715.8	716.3	717.7	77	60	79	W	1	W	1	NE	0	7	8	0	0.1	● $10^3/_4$
3	10.6	18.4	15.2	14.7	−2.7	717.6	716.7	716.3	80	50	73	E	0	N	1	N	0	1	1	1	.	◺ l
4	12.7	22.8	19.9	18.5	1.1	716.5	715.0	713.4	85	50	70	S	0	NNE	1	SW	0	0	4	0	.	◺ l
5	15.9	24.2	17.0	19.0	1.5	713.0	712.6	715.1	85	47	95	SE	0	W	0	WSW	1	1	5	10●	21.0	K● $18^3/_4$, $20^1/_4$–$22^3/_4$ m.U.
6	15.0	18.8	17.0	16.9	−0.7	716.6	717.0	**717.8**	96	78	82	E	0	NNE	1	E	0	9	8	10	.	☰ n–$6^1/_4$
7	13.7	21.0	19.0	17.9	0.3	717.2	716.8	716.6	96	50	70	SE	0	SW	0	N	0	4	6	0	.	☰ n–$6^1/_4$, ◺ l
8	15.2	24.2	20.7	20.0	2.3	717.0	715.2	713.4	86	**43**	73	SE	0	SW	0	SW	0	0	0	0	.	◺ l
9	17.9	24.0	18.9	20.3	2.6	712.9	713.1	714.5	82	60	76	S	0	W	1	W	1	8	7	2	0.0	●° $9^1/_4$, $11^1/_4$, ◺ l
10	17.9	18.0	16.0	17.3	−0.5	713.7	714.9	717.3	77	67	66	W	1	W	1	N	0	5	8	10	0.0	●° 13
11	13.9	18.7	15.5	16.0	−1.8	714.6	715.3	714.5	82	52	68	N	0	NNE	1	NE	1	1	5	8	.	
12	13.0	19.0	16.0	16.0	−1.9	713.9	713.2	713.5	81	50	70	N	0	W	1	NE	0	9	9	10	.	
13	13.0	21.1	17.5	17.2	−0.7	713.0	711.2	710.9	88	55	85	E	0	WSW	0	SW	0	0	7	10	0.3	● 20–21, ◺ l
14	16.6	24.2	18.0	19.6	1.7	710.2	709.0	708.5	87	49	85	E	0	S	1	SE	0	7	7	10	17.1	● $8^1/_4$, K● $22^3/_4$, $23^1/_4$–n m.U.
15	15.0	17.0	14.1	15.4	−2.5	707.5	706.7	707.5	93	90	91	N	1	W	1	NE	0	8	8	10●	13.3	● n–$4^1/_4$, $12^1/_2$–$20^3/_4$ zeitw., [K 19
16	12.9	13.8	13.2	13.3	−4.7	706.7	706.6	708.5	98	98	98	SW	0	SE	0	SE	0	10●	10●	3	13.1	● $4^3/_4$–$19^3/_4$ m.U.
17	12.5	20.0	16.0	16.2	−1.8	710.0	710.5	711.9	98	**43**	65	WSW	0	W	1	N	0	4	3	7	.	● $2^1/_4$–$2^3/_4$
18	13.0	21.0	18.3	17.5	−0.5	712.2	711.4	710.9	84	50	83	S	0	NNE	0	SW	0	0	7	2	.	◺ l
19	15.0	24.2	17.0	18.7	0.7	710.2	709.4	712.3	88	47	85	SW	0	SW	0	N	0	7	7	10	0.2	● $20^1/_4$, $20^3/_4$, ◺ l
20	15.0	18.8	16.0	16.6	−1.4	711.6	711.4	711.6	90	78	87	NE	0	W	1	NE	0	4	8	4	2.2	● $14^1/_2$, K 14–15, ◺ l
21	14.5	19.8	18.3	17.5	−0.5	711.6	711.1	711.8	99	75	97	NNE	0	NE	0	SSE	0	10	8	10●	6.6	● $1^1/_4$–$2^1/_4$, K● 21–$23^3/_4$ m.U.
22	14.5	13.5	12.8	13.6	−4.4	712.0	711.7	711.5	97	94	94	S	0	W	0	SE	0	10	10●	9	4.4	● 0–$24^1/_2$ zeitw.
23	11.8	15.3	13.7	13.6	−4.4	710.1	709.4	709.5	98	84	93	SE	0	W	0	W	0	10●	10●	9	11.9	● $7^1/_2$–$11^3/_4$ m.U., $12^1/_2$–$23^3/_4$
24	12.1	17.0	8.5	12.5	−5.5	708.5	**705.8**	708.8	92	65	92	SW	0	W	0	SW	0	10	8	9	11.5	● 1, $17^3/_4$–$20^1/_2$ [zeitw.
25	**8.4**	11.2	9.5	9.7	−8.3	709.4	710.5	713.0	82	65	96	SW	1	SW	3	SW	1	10	10●	10●	16.6	● $2^1/_4$–12 zitw., 15–$23^1/_4$ m.U., K 17
26	10.2	18.0	15.8	14.7	−3.2	714.4	713.3	713.0	92	50	75	S	0	W	1	WSW	0	10	4	9	2.9	● $22^3/_4$–$23^1/_2$ m.U.
27	12.0	14.0	12.9	13.0	−4.9	714.2	715.3	716.2	96	80	80	SE	0	SSE	1	E	0	9	10	0	2.4	● $3^1/_2$–$16^1/_2$ zeitw.
28	10.0	19.0	16.9	15.3	−2.6	715.3	714.2	713.5	87	55	85	ESE	0	NNE	0	W	0	0	1	0	.	◺ l
29	13.4	23.7	19.0	18.7	0.8	713.5	712.6	712.1	90	47	88	SE	0	WNW	0	S	0	0	0	0	.	◺ l
30	14.8	**25.2**	21.2	20.4	2.6	712.1	711.0	710.3	89	52	70	S	0	NE	0	SW	0	0	1	1	0.3	
31	16.6	19.9	17.3	17.9	0.1	713.5	714.3	716.5	95	62	86	S	0	W	0	SW	0	8	9	10	0.7	● 4–$10^1/_4$ zeitw., $20^1/_2$
Mittel	13.6	19.3	16.0	16.3	—	712.7	712.3	712.9	89	61	82							5.5	6.2	5.9	Summe 126.6	

Neuchâtel

$\lambda = 6° 57'$, $\beta = 47° 0'$,
$H_b = 487.3^m$, $G = 0.02^m/_m$.

Juli 1939.
Beobachter: *Observatorium.*

1	13.0	18.4	12.4	14.6	−3.3	717.4	718.7	720.5	77	46	68	W	3	W	3	W	3	9	1	10	.	●tr. seit $18^1/_2$
2	11.3	13.3	12.5	12.4	−5.5	724.0	724.8	725.5	69	72	68	SW	2	W	2	NE	1	9	10	1	1.0	●sch. a zeitw., ●tr. p
3	11.6	21.1	16.0	16.2	−1.8	725.6	724.6	724.0	84	**42**	56	E	1	E	2	NE	1	0	0	2	.	
4	13.5	24.1	17.8	18.5	0.4	724.6	722.8	721.2	86	46	66	SE	1	S	1	NW	0	0	1	0	.	
5	15.8	26.3	17.7	19.9	1.7	720.9	720.5	722.5	85	52	74	E	0	SW	1	NW	2	1	2	10●	1.1	●sch. $17^3/_4$–$18^1/_2$, 21–n,
6	16.3	21.1	15.6	17.7	−0.5	724.7	724.9	**725.7**	87	60	85	SE	1	SE	1	NW	1	9	8	10	1.5	[T 20–$21^1/_2$ ● $20^1/_2$–$21^1/_4$
7	15.4	23.1	18.1	18.9	0.6	725.1	724.6	724.4	90	52	64	SE	1	S	1	NE	0	7	2	0	.	
8	15.9	26.3	20.2	20.8	2.4	724.9	722.9	721.1	85	49	71	SE	1	S	1	NW	0	0	0	0	.	
9	20.2	26.1	19.5	21.9	3.5	721.0	720.8	722.2	61	52	62	W	2	W	2	W	2	10	8	4	0.3	● $7^1/_2$–$9^1/_2$ m.U.
10	18.9	18.1	15.7	17.6	−0.9	721.8	723.5	724.9	67	60	59	SW	2	NW	4	NW	3	8	7	3	.	●°sch. 12–$13^1/_2$
11	14.6	23.2	16.6	18.1	−0.5	724.6	723.2	722.6	75	43	55	SE	1	SE	2	NE	2	0	3	7	.	
12	14.2	22.6	17.4	18.1	−0.5	721.8	721.3	721.2	76	45	48	SE	1	S	2	N	2	3	5	7	.	
13	14.1	21.7	17.6	17.8	−0.9	720.7	719.2	718.7	81	52	75	E	2	SW	2	NW	1	1	8	10	0.9	●° 17–21 m.U.
14	18.0	23.2	16.6	19.3	0.6	718.3	716.8	716.9	83	56	90	W	1	S	1	NW	2	7	8	10●	**16.2**	●tr, T seit 13, K $19^1/_2$–n
15	15.6	19.4	15.3	16.8	−1.9	715.4	715.0	715.4	97	80	93	N	0	SW	1	SW	3	9	9	10	13.2	● n–n m.U.
16	13.1	14.6	12.2	13.3	−5.5	715.0	**714.8**	716.2	99	95	99	NE	1	NE	0	NW	0	10●	10●	1	13.3	● n–15, ●sch. 15–$18^1/_2$
17	13.5	19.8	17.2	16.8	−2.0	718.0	718.8	719.5	90	51	59	W	1	W	3	NW	2	10	8	1	.	
18	14.0	23.3	17.5	18.3	−0.5	720.4	719.5	718.7	86	53	71	E	1	SE	1	NW	0	0	2	2	.	
19	16.2	25.1	16.5	19.3	0.5	718.3	717.2	719.8	90	55	64	SE	0	S	1	NW	3	7	7	10	1.3	●tr. p, ● seit $15^3/_4$, K seit 18
20	16.0	17.6	13.8	15.8	−3.0	719.7	719.8	719.8	83	89	91	SE	1	SW	1	NW	0	7	10	10	6.2	●tr. seit 11, ●sch. $12^3/_4$, seit [$13^1/_2$
21	14.7	21.9	19.2	18.6	−0.2	720.7	719.2	719.5	95	70	64	NW	1	E	1	NW	1	10●	8	10	6.6	●sch. $7^1/_2$
22	14.2	14.1	12.9	13.7	−5.2	720.2	719.6	719.5	92	98	96	W	1	NW	1	NW	0	10●	10	8	5.2	● n–n m.U.
23	12.8	15.4	15.8	14.7	−4.2	717.9	717.3	717.3	98	85	68	E	0	SW	3	NW	2	10●	10	10	5.7	● a
24	13.0	18.4	**8.7**	13.4	−5.5	716.1	713.3	716.8	77	60	84	W	0	SW	2	W	2	10	2	9	9.1	●sch. 11, ● 17–n, ✓ $16^3/_4$–18
25	8.9	11.9	10.6	10.5	−8.4	717.5	718.7	722.0	88	74	96	SW	3	SW	4	SW	2	10●	10	10●	13.6	● a, $15^3/_4$–n, T seit $16^1/_2$, [✓ p
26	11.2	20.2	16.6	16.0	−2.9	722.4	721.4	721.0	97	54	62	NW	0	S	1	NW	2	6	1	9	1.7	
27	12.8	17.9	13.9	14.9	−4.0	722.3	723.3	724.3	79	55	78	W	1	SE	1	NE	1	10	8	1	0.9	●sch. a
28	12.3	21.7	17.0	17.0	−1.8	723.6	722.4	721.6	92	52	66	SE	1	E	1	N	1	2	0	0	.	
29	13.6	24.4	18.2	18.7	−0.1	721.6	720.6	719.8	94	60	77	E	1	S	1	NW	1	0	0	0	.	
30	15.3	**26.4**	20.5	20.7	1.9	720.1	718.8	718.0	88	54	76	NE	0	SE	1	S	0	0	0	0	.	
31	18.8	17.1	17.7	17.9	0.9	721.5	722.5	724.5	57	79	76	SW	1	NW	1	W	1	10	10●	9	0.4	●sch. a, ●tr. p
Mittel	14.5	20.6	16.0	17.0	—	720.8	720.4	720.8	84	61	73							6.0	5.4	5.6	Summe 98.2	

Juli 1939.
Beobachter: Frl. *H. Nager.*

Altdorf

$\lambda = 8° 39'$, $\beta = 46° 53'$,
$H_b = 456.3^m$, $G = -0.05^{m}/_{m}$.

Tag	Lufttemperatur					Luftdruck			Relative Feuchtigkeit			Windrichtung und Stärke			Bewölkung			Niederschlag	Witterung
	7^{30}	13^{30}	21^{30}	Mittel	Abweich. vom Normalst.	7^{30}	13^{30}	21^{30}	7^{30}	13^{30}	21^{30}	7^{30}	13^{30}	21^{30}	7^{30}	13^{30}	21^{30}		
1	15.2	17.0	14.2	15.5	−1.8	719.7	722.8	722.5	89	79	78	W 0	W 0	NW 0	10●	10●	10●	6.6	● n-n
2	13.0	16.1	14.8	14.6	−2.8	727.2	727.1	**728.9**	75	45	66	E 0	W 0	NW 0	8	10	4	0.4	
3	10.1	18.7	14.8	14.5	−2.9	728.1	727.2	727.5	85	65	75	E 0	NW 0	SE 0	4	3	0	.	
4	13.3	21.3	15.8	16.8	−0.7	727.0	725.0	724.8	83	50	72	E 0	NW 0	NW 0	0	2	2	.	
5	21.7	**27.5**	19.5	22.9	5.4	723.4	722.0	724.4	30	**29**	47	S 0	NW 1-2	NW 0-1	2	8	10	1.4	● n (5./6.)
6	16.6	19.3	16.7	17.5	−0.1	727.6	727.4	**728.9**	82	64	91	S 0	NW 1	NW 0	7	8	10●	4.5	● 20-n
7	14.7	21.5	17.8	18.0	0.4	727.5	727.3	727.5	92	54	77	W 0	NW 0	NW 0	1	4	3	.	
8	16.7	23.7	19.2	19.9	2.2	727.6	725.2	725.2	85	52	80	SE 0	NW 0	N 0	1	1	0	.	
9	19.0	22.8	18.6	20.1	2.4	723.3	724.0	725.1	65	57	93	N 0	NW 0	SE 0	5	10●	10	13.4	● fr., p-n zeitw.
10	17.8	21.3	15.1	18.1	0.4	723.9	725.1	727.7	92	57	85	S 0	E 0	NW 0	10●	10	10	4.4	● l, p-n zeitw.
11	15.9	20.4	17.0	17.8	0.0	727.1	725.0	725.4	69	42	63	NE 0	NW 0-1	NE 0	6	4	8	.	
12	15.2	21.3	16.5	17.7	−0.1	724.3	722.8	724.4	80	46	77	NE 0	NW 0	NW 0	10	8	10	.	
13	15.4	22.4	18.4	18.7	0.9	723.8	721.2	721.3	79	44	75	N 0	NW 0	NW 0	0	4	10	7.9	⛆ ● (13./14.)
14	16.1	23.3	18.6	19.3	1.5	721.3	719.2	718.9	83	50	74	SE 0-1	NW 0	NW 0-1	10	7	8	.	
15	18.2	25.0	18.3	20.5	2.6	717.7	**716.2**	717.8	83	44	88	NE 0	W 0	NW 0	6	8	10●	1.4	● 21-n
16	16.6	15.1	13.8	15.2	−2.7	716.6	717.8	719.3	64	89	93	NE 0	NW 0	NW 0	7	10●	8	21.5	● 11-p
17	14.2	21.7	16.2	17.4	−0.5	721.0	720.7	722.9	91	47	86	N 0	NW 0-1	NW 0	10	5	10	0.5	
18	15.2	22.5	17.6	18.4	0.5	723.2	721.7	721.5	84	44	75	W 0	NW 0-1	SE 0	3	5	3	.	
19	19.4	26.7	20.8	22.3	4.4	721.0	719.6	722.1	50	30	61	S 0	S 1-2	NW 1	7	5	7	.	
20	17.0	21.1	16.2	18.1	0.2	722.6	722.1	722.3	72	46	90	NW 0	NW 0	NW 0	4	9	9	1.5	● 15
21	16.7	21.3	17.4	18.5	0.5	722.1	721.8	722.6	89	60	96	NW 0	NE 0	NW 0	10	6	10●	5.7	⛆ ● 16¼-n zeitw.
22	16.3	16.0	13.5	15.3	−4.7	722.8	722.4	722.4	98	80	92	NE 0	NW 0	NW 0	10●	10●	10●	22.3	● n-n m.U.
23	13.7	17.7	12.5	14.6	−3.4	720.5	719.8	720.8	92	60	93	S 0	NW 0-1	NW 0	10	10●	6	4.0	● ‖
24	13.3	17.9	11.7	14.3	−3.7	718.7	716.5	718.4	91	54	94	SE 0	W 0	NW 1	10	9	10●	7.8	⛆ ● 19¾-n
25	9.6	11.6	**8.2**	9.8	−8.2	720.3	720.4	724.8	88	67	97	E 0	NW 0	NW 0	10●	10	10●	13.5	● n-n m.U.
26	9.5	17.7	14.7	14.0	−4.0	725.6	723.7	723.6	94	56	80	S 0	NW 0-1	S 0	10●	5	10	9.7	● l, 18¾
27	11.8	14.1	12.3	12.7	−5.3	725.2	726.2	727.6	87	63	90	NW 0	NW 0	NW 0	10●	10	8	3.8	● l, p zeitw.
28	10.0	18.4	15.3	14.6	−3.4	726.3	724.8	724.7	93	50	83	SW 0	NW 0-1	SE 0	3	1	4	.	
29	14.8	22.3	17.4	18.2	0.2	724.0	723.9	723.1	70	47	80	S 0	NW 0	SE 0	0	2	0	.	
30	15.7	24.5	25.2	21.8	3.8	722.9	721.0	721.3	87	59	32	SE 0	NW 0	SE 3	0	0	0	.	
31	19.0	23.2	18.5	20.2	2.3	723.7	723.5	728.2	66	50	62	N 0	NW 0-1	NW 0	4	6	10●	**22.6** Summe	⛆ ● 18¼-n
Mittel	15.2	20.4	16.3	17.3	—	723.5	722.7	723.7	80	54	79				6.1	6.5	7.1	152.9	

Juli 1939.
Beobachter: *Observatorium.*

Genf

$\lambda = 6° 9'$, $\beta = 46° 12'$,
$H_b = 405.0^m$, $G = -0.03^{m}/_{m}$.

1	15.7	20.5	13.0	16.4	−2.0	726.3	726.5	729.0	62	45	62	W 1	SSW 1	SW 1	8	4	10	0.5	● n (1./2.)
2	12.0	15.4	13.7	13.7	−4.8	732.0	731.8	732.3	76	58	73	NNE 1	NNE 1	NE 1	9	7	0	.	
3	12.8	18.8	18.5	16.7	−1.9	**732.9**	731.6	731.1	77	54	**41**	NE 0	NNE 1	NNE 0	0	0	0	.	
4	14.3	22.2	23.0	19.8	1.2	731.7	729.7	728.0	78	49	54	NE 0	NNE 1	E 0	0	1	0	.	
5	19.0	**27.7**	20.0	22.2	3.5	727.7	727.2	730.0	72	**41**	43	E 0	NW 1	SW 0	3	2	9	0.6	● n (5./6.)
6	16.2	20.5	19.8	18.8	0.0	731.8	731.7	732.1	89	68	72	E 0	NNE 0	NE 1	5	9	5	.	
7	16.0	22.5	20.5	19.7	0.8	732.3	731.5	731.6	79	54	50	NE 0	NNE 1	NE 0	3	5	0	.	
8	17.2	24.9	23.4	21.8	2.8	732.0	730.0	728.3	72	47	36	E 0	NNE 1	NE 0	0	0	0	0.1	●°sch. (8./9.)
9	22.0	27.6	21.6	23.7	4.7	728.4	728.6	729.3	66	51	55	NE 0	NNW 0	NW 0	9	7	1	.	
10	20.0	23.2	18.0	20.4	1.3	730.3	731.0	731.9	69	52	61	SW 1	SSW 1	NNE 1	6	4	0	.	
11	15.6	21.2	17.5	18.1	−1.1	731.4	730.1	729.3	75	48	63	NNE 0	N 1	E 0	0	1	0	.	
12	16.0	21.4	18.0	18.5	−0.8	728.5	728.4	728.4	72	53	51	E 0	NNE 1	NE 1	0	6	0	.	
13	15.2	23.2	19.0	19.1	−0.2	728.0	726.0	725.3	66	55	53	E 0	NNE 0	NE 0	1	7	9	0.4	●°sch. 17½, ● 19½-n
14	17.6	27.0	23.0	22.5	3.1	725.2	723.4	722.4	82	49	58	NE 0	E 0	SW 1	7	1	9	8.8	● n (14./15.)
15	17.8	18.8	15.0	17.2	−2.2	722.4	722.1	722.7	92	86	96	NE 0	NNE 0	SW 1	10	10	10●	21.5	⛆ ● 4, 10, 12, ▲ 15, ● n
16	14.0	15.2	16.0	15.1	−4.3	722.2	722.0	723.2	95	95	69	NNW 0	E 0	W 1	10●	9	2	10.6	● a
17	17.4	22.0	17.0	18.8	−0.6	725.7	726.4	727.0	69	44	51	S 1	SW 1	SW 0	3	2	1	.	
18	14.6	21.4	19.2	18.4	−1.1	727.7	726.3	725.8	80	55	67	NE 0	NNE 1	NNE 0	3	9	4	.	
19	18.0	26.2	20.2	21.5	2.0	725.3	724.5	726.4	82	45	60	NE 0	SSW 1	NE 0	5	8	9	0.0	●fr. p
20	16.7	17.7	17.2	17.2	−2.3	727.1	728.4	726.6	80	87	76	NNE 0	NE 0	NNE 0	9●	10	8	3.1	⛆ ● a, ●°sch. n
21	17.8	21.7	19.8	19.8	0.3	726.3	726.0	726.7	84	62	83	NE 0	NNE 1	E 0	6	6	10●	14.0	●°sch. 17, ● n
22	15.2	16.4	16.7	16.1	−3.4	727.1	727.0	726.6	93	81	72	NE 0	NNW 1	NE 0	10●	10	9	2.7	● n. n
23	14.8	20.2	15.3	16.8	−2.7	725.4	725.1	725.5	87	62	90	E 0	SW 1	SW 1	10	9	10●	5.3	●sch. n, ● n
24	14.8	19.8	12.5	15.7	−3.8	723.6	**721.4**	724.4	78	55	79	SW 0	SW 2	SW 1	10	3	9	6.2	⛆ 18, ● n
25	**11.2**	13.4	13.0	12.5	−7.0	726.5	728.8	729.9	75	66	57	W 1	SSW 2	E 0	9	9●	8	0.0	●° a, p
26	12.0	19.8	17.4	16.4	−3.0	730.0	728.5	728.7	83	55	50	E 0	NNE 1	SW 0	0	1	10	0.8	● n (26./27.)
27	15.7	17.8	15.0	16.2	−3.2	729.9	730.5	730.6	73	55	72	SE 1	NNE 1	NE 1	8	3	0	.	
28	13.2	19.3	18.4	17.0	−2.4	730.6	729.6	728.6	82	60	51	NE 0	NNE 1	NE 0	0	0	0	.	
29	15.0	22.8	20.0	19.3	−0.1	728.9	726.6	727.0	78	62	76	NNE 1	NNE 1	SE 0	0	0	0	.	
30	17.5	24.8	23.0	21.8	2.5	727.2	725.6	724.6	84	62	49	NE 0	NNE 1	SW 1	0	0	1	0.0	
31	20.2	20.4	20.2	20.3	1.0	729.4	729.5	732.0	53	69	72	SW 1	NNE 0	NNE 1	9	9	9	0.0 Summe	●°sch. n, p zeitw., ⛆ a
Mittel	16.0	21.1	18.2	18.4	—	728.2	727.6	727.9	77	59	63				4.9	4.9	4.6	74.6	

$\lambda = 8° 33'$, $\beta = 47° 23'$,
$H_b = 493.2^m$, $G = 0.03\ ^m/_m$.

Zürich

Juli 1939.
Beobachter: *Meteorol. Zentralanstalt.*

Tag	Lufttemperatur					Luftdruck			Relative Feuchtigkeit			Windrichtung und Stärke			Bewölkung			Niederschlag	Witterung
	7^{30}	13^{30}	21^{30}	Mittel	Abweich. vom Normalst	7^{30}	13^{30}	21^{30}	7^{30}	13^{30}	21^{30}	7^{30}	13^{30}	21^{30}	7^{30}	13^{30}	21^{30}		
1	14.3	18.3	14.9	15.8	−1.6	716.2	717.4	718.9	90	44	60	WNW 2	WSW 2	W 1	10●	8	10●	9.5	● $0^1/_4$–$9^3/_4$, $21^1/_2$–n
2	11.1	14.8	11.0	12.3	−5.2	722.9	723.6	**725.1**	68	56	83	W 2	W 2	NE 1	8	8	1	0.0	● n–2, ●° 𝒻 $12^1/_2$
3	10.4	20.6	14.5	15.2	−2.3	725.2	724.2	723.6	78	40	65	SSE 0	NNE 1	NE 0	4	1	2	.	⌓ I
4	13.3	26.3	18.1	19.2	1.6	723.7	722.0	720.7	78	**29**	63	NW 0	NE 1	E 1	0	1	3	.	
5	15.9	28.4	17.4	20.6	2.9	720.2	719.2	721.8	75	36	84	NW 1	NNW 1	N 1	1	6	10●	4.6	K$_k$ ● $21^1/_4$–23
6	15.3	18.8	17.1	17.1	−0.6	724.4	724.8	725.0	90	64	73	NW 1	WNW 2	W 1	10	7	10	.	● $0^1/_4$–3
7	15.3	23.8	16.9	18.7	0.9	724.1	723.7	724.0	83	43	73	SSW 1	WSW 2	NW 1	2	5	3	.	
8	16.4	27.1	19.9	21.1	3.2	724.0	722.0	720.3	83	37	87	SE 1	NW 2	E 0	0	1	0	.	
9	21.1	25.5	19.8	22.1	4.2	719.9	720.1	721.8	56	44	70	S 1	W 2	W 2	3	5	4	.	●tr. 12
10	18.3	16.5	15.9	16.9	−1.1	720.7	722.4	724.5	70	97	72	NW 1	WNW 1	W 1	8	9●	9	3.2	●° 10, ● $12^1/_2$–15 m.U.
11	14.6	21.1	17.0	17.6	−0.4	723.9	722.6	721.9	76	42	57	WNW 1	NNW 2	N 1	4	3	8	.	
12	13.9	21.5	17.7	17.7	−0.4	721.0	720.0	720.9	75	45	53	NNW 1	WNW 2	WSW 1	5	5	9	.	
13	14.4	24.0	20.4	19.6	1.5	720.4	718.1	717.5	77	43	62	S 0	NNW 1	NW 2	2	4	7	1.0	●° $22^1/_2$–23
14	17.0	26.7	17.8	20.5	2.3	717.6	716.1	716.7	91	42	92	SSE 1	ESE 1	NW 1	8	5	9	6.3	●° $4^1/_2$–$7^1/_4$, $15^1/_4$–n zlw., K$_k$ $15^1/_2$
15	17.2	21.6	15.2	18.0	−0.2	714.8	714.2	715.4	82	58	100	ESE 1	WNW 3	NW 1	4	9	10●	7.4	● n–3 m.U., K$_k$ ● $14^1/_2$–$15^1/_4$, *)
16	15.9	14.4	12.9	14.4	−3.8	713.4	714.7	715.6	91	96	100	WSW 1	SSE 0	SE 1	9	10●	4	11.9	● $0^1/_2$–7 m.U., $12^1/_2$–$17^1/_4$,
17	13.4	22.1	17.4	17.6	−0.7	717.2	717.8	719.3	94	43	66	SE 1	WSW 2	NW 0	4	3	9	.	[K$_k$ $0^1/_2$–$1^1/_4$
18	15.5	25.1	18.3	19.6	1.3	719.6	718.7	718.2	84	41	75	ESE 0	E 1	ESE 1	1	3	9	.	
19	17.2	28.3	17.4	21.0	2.7	717.6	716.0	719.6	81	42	74	NW 0	NW 2	NW 2	4	3	10	13.3	K$_k$ ● $22^3/_4$–$23^3/_4$
20	14.7	22.7	16.5	18.0	−0.3	719.5	718.5	719.2	92	57	95	NNE 0	NNW 1	N 0	5	10	5	5.1	K$_k$ ● $0^1/_4$–$3^3/_4$, $14^1/_2$, $15^3/_4$–$16^1/_4$
21	15.7	20.4	18.2	18.1	−0.3	718.8	718.7	718.6	85	67	96	NW 1	E 1	SE 1	10	7	10●	8.8	● $3^1/_4$–$3^3/_4$, $20^3/_4$–n m.U., K$_k$ $20^1/_4$
22	15.0	14.5	14.0	14.5	−3.9	719.4	719.3	718.4	88	92	92	NNW 2	WNW 0	SE 1	10●	10●	10	9.0	● n–$3^1/_2$ m.U.
23	13.8	15.6	13.6	14.3	−4.1	717.2	716.8	716.8	89	72	100	SE 0	SW 1	WNW 0	10	10●	7●	15.5	● 12–$23^1/_4$ m.U.
24	12.4	17.5	**9.5**	13.1	−5.3	715.6	**713.2**	715.3	90	58	90	SSE 1	SE 1	SW 3	10	9	9●	7.2	●° $0^1/_2$–6, $17^1/_2$, K$_k$ ● $18^3/_4$–22
25	9.7	10.0	10.4	10.0	−8.4	716.2	717.0	720.5	72	83	85	SSW 2	W 3	SSW 2	9	10●	9	**18.0**	● $5^1/_2$–7, 9–$17^1/_2$
26	12.1	18.7	14.9	15.2	−3.2	721.4	720.6	719.9	77	48	83	S 1	SE 1	WSW 1	9	6	10	3.6	●° $1^1/_2$–$3^1/_2$, $21^3/_4$–24, K$_k$° $21^1/_4$
27	12.3	17.3	13.6	14.5	−3.8	721.6	722.8	723.8	80	62	77	SSW 1	S 2	SE 2	10	5	9	6.1	●° 1–$5^3/_4$ zeitw., K$_k$ ● $10^1/_4$–
28	11.5	22.2	16.1	16.6	−1.7	723.1	721.8	721.0	87	48	78	ESE 0	NNE 1	N 1	1	1	1	.	[$10^3/_4$, ●° 12
29	13.8	26.1	17.6	19.2	0.9	720.7	719.9	719.2	88	41	87	N 0	NW 1	ESE 0	1	0	0	.	
30	15.8	**29.2**	20.6	21.9	3.6	719.2	718.0	716.7	93	43	82	ESE 0	SSE 1	ESE 0	0	1	1	0.0	
31	20.4	21.5	17.2	19.7	1.5	720.7	721.6	723.9	58	59	83	WSW 0	NW 2	SE 1	5	9●	9	0.1	
																		Summe	
Mittel	14.8	21.3	16.2	17.4	—	720.0	719.5	720.1	82	54	79				5.4	5.6	6.7	131.5	

*) **15.** $21^1/_4$–$23^1/_4$

$\lambda = 8° 30'$, $\beta = 47° 3'$,
$H_b = 1787.3^m$, $G = -0.20\ ^m/_m$.

Rigi-Kulm

Juli 1939.
Beobachter: *J. Steiner.*

1	6.4	5.1	4.5	5.3	−3.5	613.1	614.4	614.8	100	92	100	W 4	W 2	SW 2	10	10	10●	23.0	● III
2	0.3	3.0	3.3	2.2	−6.7	616.9	617.5	619.8	100	95	82	SW 2	W 2	W 1	5	9	1	0.1	
3	4.4	9.8	8.4	7.5	−1.5	619.5	620.5	620.6	66	80	92	ENE 1	ESE 1	SE 1	2	1	1	.	
4	12.4	14.4	11.4	12.7	3.6	620.7	620.4	619.7	45	50	74	W 0	SE 1	E 1	1	1	0	.	
5	13.2	18.4	8.5	13.4	4.3	618.4	619.2	619.7	**38**	42	95	SSW 1	E 1	W 4–5	0	8	10●	6.8	K$_k$ ● $20^1/_4$–22
6	9.0	13.2	8.0	10.1	0.9	620.7	621.1	621.2	90	84	95	WSW 1	NW 1	NW 1	10	10	10	.	
7	8.8	14.2	11.0	11.3	2.0	620.4	621.3	621.3	71	78	68	WNW 1	W 1	NW 1	2	9	3	.	
8	13.0	17.8	16.0	15.6	6.2	**621.4**	621.2	620.4	68	54	45	SW 1	SW 1	W 1	0	0	0	.	
9	16.4	17.0	10.6	14.7	5.3	619.4	618.9	618.8	46	65	98	SW 1	W 1	W 1	2	7	10	.	
10	8.2	8.2	5.1	7.2	−2.3	618.0	619.1	619.4	100	100	96	W 2	W 1	SW 1	10≡	10●	10≡	6.0	● seit $13^1/_2$ zeitw., ≡ I, III
11	4.5	8.0	5.8	6.1	−3.5	619.4	619.3	618.7	85	79	86	WNW 1	WNW 1	NW 1	10	8	8	.	
12	7.7	8.6	6.4	7.6	−2.0	617.1	617.5	617.9	84	92	100	NW 1	W 1	SW 1	10	10≡	10≡	.	≡ II, III
13	8.4	14.5	11.4	11.4	1.7	617.1	616.7	616.5	75	66	94	SW 1	SSW 1	SW 1	1	3	10	12.0	● 20–$20^1/_2$, n zeitw.
14	10.2	15.2	12.0	12.5	2.7	615.7	615.4	615.0	63	74	69	SW 1	SSE 1	S 1	9	5	10	4.8	
15	11.5	12.3	9.4	11.1	1.3	613.6	613.6	613.0	74	100	100	ESE 2	E 2	W 2	4	10≡	10	**31.9**	≡ II
16	7.5	6.8	6.2	6.8	−3.1	611.4	611.8	612.8	95	100	90	NW 1	W 1	SW 1	10	10	10	19.1	
17	5.4	10.0	8.2	7.9	−2.0	614.1	615.6	616.5	100	86	68	SW 1	SW 1	NW 2	10≡	8	9	.	≡ I
18	8.5	13.0	11.4	11.0	1.1	616.8	617.1	617.0	78	72	74	S 0	WSW 1	WSW 1	0	0	1	.	
19	12.6	16.4	10.5	13.2	3.2	616.4	616.3	617.0	52	47	100	SSE 3	S 2	SW 2	3	0	10≡	12.2	≡ 20–n
20	10.4	13.0	9.0	10.8	0.8	616.9	616.8	618.0	75	65	100	E 1	ENE 1	SE 1	3	5	10≡	5.4	K$_k$ ● $14^1/_4$–$14^3/_4$, ≡ III
21	9.4	14.6	9.2	11.1	1.1	616.1	616.9	616.5	100	74	92	N 1	SW 1	SW 2	10≡	3	10	16.2	K$_k$ ● $7^1/_2$–$8^1/_4$, ≡ I
22	7.5	5.0	5.2	5.9	−4.1	616.4	615.8	614.9	100	90	96	E 1	NW 1	W 2	10≡	10●	10≡	23.8	● n–n zeitw., ≡ I, III
23	5.4	6.0	6.3	5.9	−4.1	613.8	613.8	613.7	82	89	95	SW 2	SW 2–3	SW 2–3	10	10≡	10	8.4	≡ II
24	4.0	8.2	0.3	4.2	−5.9	612.2	**610.5**	611.0	100	76	100	W 2	SW 1	W 3	10●	10	10≡	12.8	●, ≡ III
25	**−0.8**	1.0	0.3	0.2	−9.9	611.2	612.2	614.4	100	96	100	W 3	W 3	W 3–4	10*	10	10*	16.1	✳ n–n zeitw.
26	2.0	8.2	6.7	5.6	−4.5	616.8	617.3	616.9	100	72	100	W 2	SW 1	W 1	10	3	10≡	20.3	≡ III
27	2.3	2.6	4.2	3.0	−7.1	616.8	618.4	619.6	100	100	84	W 1	SW 2	W 1	10	10●	7	3.5	● II
28	6.0	10.0	9.0	8.3	−1.8	618.6	618.9	618.9	73	82	83	E 1	E 1	SW 1	0	1	1	.	
29	11.6	15.0	13.1	13.2	3.1	618.6	618.8	618.5	44	72	58	SW 1	SW 1	SW 1	0	0	0	.	
30	14.8	**19.2**	16.0	16.7	6.6	617.9	618.1	618.0	61	52	59	S 1	S 1	S 2	0	0	0	.	
31	12.7	13.8	9.0	11.8	1.7	619.2	619.4	620.6	76	91	96	SW 1	W 2	W 2	3	5	10	9.2	
																		Summe	
Mittel	8.2	11.1	8.3	9.2	—	616.9	617.2	617.5	79	78	87				5.6	6.0	7.1	231.6	

Juli 1939.
Beobachter: *P. Nogler.*

Bevers

$\lambda = 9° 53'$, $\beta = 46° 33'$,
$H_b = \text{ca. } 1710^m$, $G = -0.23$ m/m.

Tag	Lufttemperatur 7³⁰	13³⁰	21³⁰	Mittel	Abweich. vom Normalst	Luftdruck 7³⁰	13³⁰	21³⁰	Relative Feuchtigkeit 7³⁰	13³⁰	21³⁰	Windrichtung und Stärke 7³⁰	13³⁰	21³⁰	Bewölkung 7³⁰	13³⁰	21³⁰	Niederschlag	Witterung
1	11.0	13.9	8.1	11.0	0.2	619.0	619.7	620.3	94	65	99	NE 1	SW 1	NW 2	10●	9	10	23.2	● n-n m.U.
2	8.2	11.3	2.8	7.4	-3.5	622.6	623.3	625.9	58	43	74	N 1-2	SW 2	W 1	8	3	0		
3	5.1	20.4	8.1	11.2	0.2	626.5	626.6	626.8	74	38	69	NW 1	NE 2	E 1	6	4	0	.	
4	8.7	18.1	11.0	12.6	1.6	627.9	626.5	626.6	71	41	90	SW 0-1	SW 1	SW 1	0	1	3	.	
5	7.9	18.7	11.6	12.7	1.6	626.6	626.3	626.0	70	42	88	SW 0	SW 1-2	SW 0-1	0	1	5	.	●sch. 15
6	12.8	18.5	10.5	13.9	2.7	625.8	626.2	626.7	78	60	95	W 0	NW 1-2	NE 1-2	8	7	10●	0.7	● III
7	9.1	24.2	11.3	14.9	3.7	626.7	627.0	627.3	91	39	75	E 1	WSW 1-2	WNW 1	10	3	4	.	
8	9.5	21.2	11.6	14.1	2.8	627.5	626.9	627.1	78	42	88	SW 0-1	SW 2	W 1	0	3	0	.	
9	12.4	22.0	10.8	15.1	3.7	625.7	624.8	626.0	59	46	96	WNW 1	NE 2-3	N 1-2	3	6	2	.	
10	9.4	15.4	9.6	11.5	0.1	623.9	623.6	625.2	97	82	89	SW 1	W 1	NE 1	0	4	10●	5.7	▲ K 12-13, ● p-n zeitw.
11	11.6	15.8	9.3	12.2	0.7	624.5	624.2	624.0	88	39	65	NE 1	NE 0-1	NE 0	4	3	2	.	
12	10.4	13.7	7.7	10.6	-0.9	623.1	622.5	623.4	73	54	88	W 1	SW 3	W 1	7	8	0	.	
13	9.1	17.3	11.4	12.6	1.1	623.9	623.2	623.5	79	48	80	S 0-1	SW 3-4	SW 1	0	4	3	12.0	
14	9.5	16.5	10.0	12.0	0.4	622.9	622.5	623.2	100	59	100	WSW 0-1	S 2	SW 1	10●	8	10●	19.2	● n-8½, 14½-n
15	10.4	15.4	9.2	11.7	0.1	621.4	620.5	620.3	95	37	100	S 1	S 2	SSW 1	9	9	10●	9.6	● a zeitw., 17-n
16	10.7	17.0	6.8	11.5	-0.1	618.5	617.3	619.4	44	39	97	SW 2	SSW 3	NE 1	1	10	10	12.1	
17	7.6	14.9	8.6	10.4	-1.3	620.4	621.3	622.0	94	38	86	SE 2	SW 3	SE 1-2	10	6	10	3.6	
18	9.7	18.0	11.5	13.1	1.4	623.3	623.5	624.5	90	46	77	W 0-1	SSW 3	W 1	6	6	10	.	
19	12.5	21.8	12.3	15.5	3.8	624.0	623.9	623.8	66	42	70	W 0-1	W 2-3	N 1	2	3	3	.	
20	12.8	19.2	9.8	13.9	2.2	623.4	622.7	624.6	68	40	85	SW 0	SW 3	W 1	1	9	0	0.4	
21	13.4	20.1	15.3	16.3	4.5	623.0	623.3	622.8	81	42	40	SE 0-1	SW 2-3	SW 3	8	6	0	3.1	●ir. 13½-14
22	11.4	11.2	4.4	9.0	-2.8	622.0	620.8	621.6	98	95	100	NE 2	NE 1-2	NE 2	10●	10●	9	26.7	● n-21
23	7.6	13.9	5.6	9.0	-2.8	619.6	618.9	620.3	85	91	97	NE 2	SW 1-2	W 1	10	5	3	3.3	● 18½-19¼
24	9.0	6.2	5.2	6.8	-5.0	618.2	617.5	615.6	75	95	88	NE 1	NE 2	E 1	10●	10●	10	27.2	● I, II
25	3.0	9.5	3.7	5.4	-6.4	617.0	617.9	620.5	84	41	88	NE 1-2	W 2	WSW 1	5	6	6	0.6	
26	5.8	11.2	5.6	7.5	-4.2	622.4	622.9	622.8	88	53	88	NE 1	NW 1	SW 0	10	9	0	0.5	
27	4.8	11.4	5.0	7.1	-4.6	622.2	622.5	625.1	95	47	90	S 0-1	NW 1	W 1	10	9	8	1.6	
28	7.9	16.3	6.4	10.2	-1.5	624.5	623.8	625.3	62	37	83	NE 1-2	SW 2	SW 1	1	1	0	.	
29	7.9	19.9	9.9	12.6	0.9	625.0	624.3	625.5	77	39	90	WNW 0	SW 2	SW 1	2	0	0	.	
30	10.5	20.1	10.8	13.8	2.2	625.8	624.9	626.3	83	46	93	SW 0	SSW 2	SW 2-3	0	1	0	.	
31	12.9	21.8	13.5	16.1	4.5	626.1	625.6	626.6	75	38	72	SW 0	SW 1-2	WSW 1	2	3	6	.	
																		Summe	
Mittel	9.4	16.6	9.0	11.7	—	623.3	623.1	623.8	80	51	85				5.3	5.4	4.6	149.5	

Juli 1939.
Beobachter: *Kapuzinerkloster.*

Sitten

$\lambda = 7° 21'$, $\beta = 46° 14'$,
$H_b = 548.6^m$, $G = -0.11$ m/m.

1	15.2	21.8	15.9	17.6	-1.4	712.3	711.7	713.1	89	40	52	W 1-2	W 3-4	W 3-4	10	4	8	.	
2	13.3	19.4	13.4	15.4	-3.6	718.7	717.3	718.7	62	43	56	NW 1	W 2-3	W 1	6	7	0	.	
3	12.3	22.4	17.5	17.4	-1.7	720.5	717.9	718.2	68	43	56	NE 1	W 1-2	W 1	1	2	5	.	
4	15.7	26.2	18.8	20.2	1.0	720.0	717.5	716.3	63	53	56	NE 1	W 1	W 1-2	0	4	0	.	
5	18.9	27.7	19.9	22.2	3.0	717.6	714.7	716.1	57	37	65	NE 1	W 1-2	W 1	1	5	8●	3.7	K 18-18¼, ● III
6	16.9	24.5	19.4	20.3	1.0	719.5	717.9	718.7	78	58	60	NE 1	W 2-3	W 2	8	6	6	.	
7	18.0	25.2	19.9	21.0	1.7	720.0	717.7	719.0	66	43	52	NE 0	W 2	W 1-2	6	3	0	.	
8	18.2	27.5	21.4	22.4	3.1	720.0	716.9	715.8	66	44	54	NE 0	W 1-2	W 2	0	1	0	.	
9	21.5	27.1	21.9	23.5	4.1	716.8	715.3	715.6	57	46	59	NE 1	W 1	W 1	7	7	8	0.4	K ● 17-17½
10	21.0	23.3	18.1	20.8	1.4	716.6	716.5	717.9	65	52	57	NE 1	W 2-3	W 2	8	8	5	.	
11	16.8	24.2	18.9	20.0	0.6	720.1	714.9	715.6	60	45	54	W 1	W 1	W 1	0	1	2	.	
12	17.0	23.8	18.6	19.8	0.3	716.4	713.7	714.9	70	47	53	NE 1	W 2-3	W 2	6	4	0	.	
13	15.2	22.4	18.2	18.6	-0.9	716.0	713.0	715.0	71	48	79	ENE 1	W 2-3	W 1	0	7	10●	9.0	K 20-20¼, III
14	17.9	21.1	18.2	19.1	-0.4	714.3	713.2	711.6	77	64	74	E 1-2	W 1	W 2-3	5	9	7	1.7	● p zeitw.
15	17.5	21.5	17.1	18.7	-0.8	710.9	708.4	709.7	75	63	77	NE 1	W 3	W 1-2	6	9	10	0.0	
16	16.1	16.3	13.1	15.2	-4.4	709.1	709.6	711.3	81	86	83	W 1	W 1	W 2	8	10	1	9.0	● a, p m.U.
17	13.6	22.1	17.8	17.8	-1.8	713.4	712.6	713.6	81	57	58	E 1	W 2	W 1	3	3	5	.	
18	17.7	25.6	20.3	21.2	1.6	713.8	713.2	713.6	64	43	52	NE 1	NE 1	W 1	0	2	4	.	
19	18.1	25.8	20.6	21.5	1.9	714.1	711.7	713.5	65	36	63	NE 1	E 2-3	E 1	6	4	7	0.4	● n (19./20.)
20	19.1	21.7	18.7	19.8	0.2	714.6	712.9	714.0	70	64	70	E 1	W 2-3	W 1	5	5	7	.	K 13
21	16.2	24.7	18.8	19.9	0.3	716.1	712.4	713.9	85	59	85	N 1	W 1-2	W 1	10	5	10●	11.5	K ● 18, n
22	16.6	16.6	15.2	16.1	-3.4	713.9	714.6	713.9	85	76	81	W 1	W 1	W 1	10	10●	10	4.4	● a, p m.U.
23	15.3	16.7	15.5	15.8	-3.7	712.9	712.2	711.8	78	83	74	NE 1	W 1	W 1	10	10●	9	0.3	● II
24	15.6	20.9	11.7	16.1	-3.4	711.0	706.9	710.7	73	51	71	W 1	W 1	W 3-4	10	5	10	4.3	
25	9.9	14.6	10.6	11.7	-7.8	712.9	714.2	716.5	80	43	81	W 1-2	W 3-4	W 1	10	9	10●	2.2	● a, III
26	10.3	20.8	16.7	15.9	-3.5	717.2	715.2	714.9	88	51	67	NE 1	NE 1-2	W 1	6	4	6	.	
27	15.1	18.4	14.8	16.1	-3.3	716.4	716.3	717.8	75	52	60	W 1	W 3	W 1	7	8	0	.	
28	13.2	22.6	17.6	17.5	-1.9	718.5	715.8	715.9	72	42	44	NE 1	W 0	W 0	0	0	0	.	
29	15.4	25.9	18.7	20.0	0.6	717.5	714.5	714.8	73	45	49	NE 0	SW 1	NE 1-2	0	1	0	.	
30	18.5	28.1	25.3	24.0	4.7	715.9	713.4	713.8	65	43	43	E 1	W 1-2	NE 1	0	0	0	.	
31	19.2	21.8	17.6	19.5	0.2	718.9	716.4	719.0	70	63	80	W 1	SW 1	W 1	8	10	9	0.9	● zeitw.
																		Summe	
Mittel	16.3	22.6	17.8	18.9	—	716.0	714.1	715.0	72	52	63				5.1	5.3	5.1	47.8	

$\lambda = 8^{\circ}\,57'$, $\beta = 46^{\circ}\,0'$,
$Hb = 276.2^{m}$, $G = -0.01\ ^{m}/_{m}$.

Lugano

Juli 1939.
Beobachter: *G. Vicari.*

Tag	Lufttemperatur					Luftdruck			Relative Feuchtigkeit			Windrichtung und Stärke			Bewölkung			Niederschlag	Witterung
	7^{30}	13^{30}	21^{30}	Mittel	Abweich. vom Normalst.	7^{30}	13^{30}	21^{30}	7^{30}	13^{30}	21^{30}	7^{30}	13^{30}	21^{30}	7^{30}	13^{30}	21^{30}		
1	18.0	23.6	17.2	19.6	−1.0	734.5	734.1	734.4	91	58	93	N 1	E 1	S 1	10●	7	10●	39.0	● 7½–10, 15½–23 m.U., [K p–n zeitw.
2	15.4	24.0	23.2	20.9	0.2	736.6	737.2	740.1	53	27	29	N 2	N 2	NNE 2	0	0	0	.	
3	15.0	23.6	17.8	18.8	−2.0	743.5	742.6	742.9	58	44	66	E 0	SE 1	N 1	8	0	0	.	
4	17.4	24.8	18.2	20.1	−0.7	**745.6**	742.9	741.9	68	56	59	NNE 0	S 1	N 1	0	0	2	.	
5	18.0	24.4	19.2	20.5	−0.4	743.0	741.8	740.8	83	49	73	E 0	S 1	NE 1	0	8	3	.	
6	18.0	27.2	23.0	22.7	1.7	741.2	740.4	740.1	82	53	71	ENE 0	SE 1	N 1	3	2	10●	0.3	●sch. 22
7	18.4	27.8	20.2	22.1	1.1	741.9	740.9	741.4	74	55	74	N 1	SSE 1	NNE 1	0	3	0	.	
8	19.8	28.2	22.8	23.6	2.5	742.6	741.7	741.0	86	52	65	S 0	S 0	NNW 1	0	1	0	.	
9	20.8	**28.6**	23.4	24.6	3.5	740.4	738.8	737.8	79	57	76	N 0	SE 1	NNE 1	9	4	2	4.2	● K n (9./10.) zeitw.
10	20.4	25.6	24.0	23.3	2.1	737.6	736.4	737.8	84	57	26	N 0	S 1	NNE 2	7	4	0	.	
11	17.6	26.2	20.2	21.3	0.1	739.7	739.1	738.2	57	40	53	NNE 1	SSE 1	NNE 1	0	3	0	30.4	● K n (11./12.)
12	15.6	23.8	18.0	19.1	−2.2	740.2	738.8	738.1	93	48	73	N 1	S 1	N 1	10●	2	0	1.9	● n–S
13	17.8	25.2	20.4	21.1	−0.2	739.2	738.6	738.0	74	50	74	N 1	SSE 1	N 1	8	5	10	29.3	K ● 22–n zeitw.
14	17.2	22.0	18.0	19.1	−2.2	738.1	737.5	737.3	91	57	93	NNE 1	W 1	WSW 1	10●	10	10●	**46.3**	● n–S, K ● 15½–n zeitw.
15	18.4	19.8	17.4	18.5	−2.9	735.8	734.8	734.0	87	88	87	NE 1	NNE 1	N 1	10	10	10	33.9	●sch. a, ● 15½–19, K p abds. ztw.
16	18.0	22.0	15.6	18.5	−2.9	733.4	730.4	732.9	83	53	83	NE 0	E 1	NW 1	5	10	1	12.1	●sch. a, K ● 15½–18, [●°sch. n
17	15.8	22.4	16.6	18.3	−3.1	734.6	735.9	737.0	88	61	68	N 1	SSE 0	N 1	3	4	5	.	
18	17.8	25.2	18.6	20.5	−1.0	738.5	739.1	739.2	74	54	70	N 1	S 1	N 1	2	8	3	.	
19	17.4	26.8	20.8	21.7	0.2	739.0	738.0	737.9	73	46	61	N 1	S 1	NNE 1	1	1	1	.	
20	19.2	25.2	19.4	21.3	−0.2	737.8	737.6	738.4	78	54	86	S 0	S 1	NNE 1	0	10	10	0.8	●°sch. p
21	19.4	25.8	22.6	22.6	1.0	737.2	737.6	736.7	84	53	71	N 1	S 1	N 1	8	6	2	0.5	
22	20.0	18.2	17.2	18.5	−3.1	735.6	736.4	732.6	92	92	49	W 1	N 1	E 1	10●	10●	1	11.6	● 7–14 m.U., 18–18½
23	16.8	24.4	18.6	19.9	−1.7	732.4	732.9	733.3	65	43	56	SSE 0	SE 1	NW 1	10	2	0	0.9	● n (23./24.)
24	15.8	15.2	14.6	15.2	−6.4	733.5	731.7	**729.7**	78	93	84	N 1	SSE 1	N 1	7	10●	10	27.1	K ● 8–17½ m.U., ● n
25	**10.8**	22.8	16.8	16.8	−4.8	731.7	732.9	735.3	63	**26**	33	N 1	N 2	NE 2	0	2	3	.	
26	12.6	26.8	18.2	19.2	−2.4	737.1	736.3	736.2	68	31	65	N 1	NNW 1	N 1	0	0	0	.	
27	14.2	25.8	20.8	20.3	−1.3	736.2	735.6	738.3	80	28	29	N 1	NE 2	N 2	3	2	2	.	
28	13.8	24.6	18.8	19.1	−2.5	739.8	739.0	738.9	68	44	66	N 1	SSE 1	NE 1	0	0	2	.	
29	15.8	26.2	19.6	20.5	−1.0	740.5	739.7	739.0	83	46	54	N 0	S 1	N 1	0	0	0	.	
30	16.8	26.8	20.0	21.2	−0.3	741.1	740.4	740.3	83	53	62	N 0	S 1	N 1	0	0	0	.	
31	20.4	25.6	21.2	22.4	0.9	741.1	740.6	740.3	77	58	63	N 0	S 1	N 1	10	7	10	.	
Mittel	17.2	24.5	19.4	20.4	—	738.4	737.7	737.7	77	52	65				4.3	4.2	3.4	Summe 238.3	

$\lambda = 7^{\circ}\,35'$, $\beta = 47^{\circ}\,33'$,
$Hb = 318^{m}$, $G = 0.11\ ^{m}/_{m}$.

Basel

Juli 1939.
Beobachter: *Astronom.-Meteorol. Anstalt.*

1	14.4	17.6	12.6	14.9	−2.5	731.8	733.1	735.0	82	52	76	WSW 2	WSW 2	W 2	10	7	10	0.3	● 2½–6¾, 22¼
2	11.8	16.2	10.6	12.9	−4.5	738.7	729.2	740.5	73	70	92	SW 1	WSW 1	SSW 1	10	8	0	1.6	● 8¾–10¾ m.U.
3	10.6	22.2	13.4	15.4	−2.1	**740.9**	739.5	738.8	89	45	85	ESE 1	SE 1	ESE 0	1	1	4	.	△ l
4	16.2	27.0	17.4	20.2	2.6	738.5	736.5	735.1	68	**44**	75	SE 1	ESE 1	ESE 1	1	4	2	.	● 21¼–24¼ m.U , △ l
5	18.7	27.8	18.8	21.8	4.2	734.5	734.1	736.4	65	50	83	ESE 1	W 1	E 1	1	9	10●	0.7	△ l
6	15.5	20.6	16.0	17.4	−0.3	739.8	740.2	740.1	86	64	81	W 1	SW 1	SSW 1	10	10	8	.	⊕ 17
7	17.8	23.5	16.1	19.1	1.3	739.7	739.3	739.3	72	47	82	S 1	WNW 1	SSW 1	5	6	1	.	
8	18.6	28.0	19.8	22.1	4.3	739.2	736.7	734.9	68	**44**	83	ESE 1	ENE 1	E 0	0	0	0	.	△ l
9	20.6	25.8	18.6	21.7	3.8	734.4	735.1	736.7	66	62	71	ENE 1	WNW 2	WSW 1	9	5	2	.	●° 17¼, T 14
10	17.2	16.6	15.2	16.3	−1.6	736.0	738.6	739.8	82	83	83	NW 1	WSW 1	SW 1	10●	10	1	7.1	● 7½–12½ m.U.
11	15.8	21.0	13.4	16.7	−1.3	739.6	738.5	737.5	73	48	85	ESE 1	NNW 1	SSW 1	1	5	2	.	
12	15.4	21.2	14.5	17.0	−1.0	736.5	735.8	736.0	72	54	91	SSE 1	W 1	SSW 1	1	8	1	.	
13	15.2	25.0	17.8	19.3	1.3	735.5	732.9	732.7	76	48	90	E 1	ESE 1	SSE 1	1	8	10	1.3	● 20½–23¾ zeitw.
14	18.6	25.4	16.6	20.2	2.1	731.9	731.0	730.3	82	63	93	ENE 1	SSW 1	ENE 1	10	8	10	**24.8**	● 11–24¾ ztw., K p–n ztw.
15	17.0	15.6	15.7	16.1	−2.0	729.3	729.6	729.6	87	93	93	E 1	N 1	SE 1	9	10●	10●	21.9	● 12½–13½, 18–21½ m.U.
16	13.3	15.7	13.0	14.0	−4.1	729.1	729.1	730.2	97	90	97	S 0	ESE 1	ESE 1	10●	10●	1	7.9	● 6¾–10¼, 13½–18½ m.U.
17	13.0	21.2	15.7	16.6	−1.5	732.4	733.0	734.5	94	53	89	ESE 1	W 1	SSE 1	10	9	7	3.1	● 13½–14¾
18	16.6	26.6	19.3	20.8	2.6	734.7	733.3	732.7	76	**44**	72	ESE 1	ESE 1	SE 1	1	2	8	.	
19	18.6	27.2	15.2	20.3	2.1	732.4	731.3	735.2	75	50	90	ESE 1	NW 1	SSW 1	6	7	10	7.3	● 15–21¼ zeitw , K 15–21 zeitw.
20	17.2	19.5	15.4	17.4	−0.8	734.6	734.3	734.3	80	75	94	SE 1	WNW 1	NNW 0	3	10●	4	10.8	● 13½–16 zeitw., K 13¾
21	14.5	22.9	18.5	18.6	0.4	734.4	733.6	733.8	95	60	90	NNW 1	ESE 1	WSW 1	10	4	10	8.2	● 2¾–9 ztw., 19, K a, p ztw.
22	15.4	17.4	13.8	15.5	−2.7	734.7	734.0	733.4	91	84	92	SSW 1	SSE 1	ESE 1	10●	10	4	1.8	● 0¾–12 m.U.
23	12.6	15.8	13.9	14.1	−4.2	732.5	731.6	731.8	93	91	93	E 1	SE 1	SSW 1	10	10●	10	12.3	● 8½–24 m.U.
24	14.3	18.3	**9.6**	14.1	−4.2	730.5	**727.9**	730.0	83	66	82	SE 1	ESE 1	WSW 1	10	9	8	15.0	● 11¼–12, 16–20¾ m.U., K 17½–
25	9.9	12.0	11.2	11.0	−7.3	731.4	731.8	735.8	68	72	85	WSW 1	SSW 1	WSW 1	10	10●	10	9.7	● 13¾–16¼ zeitw. [18
26	14.2	22.9	15.6	17.6	−0.6	736.7	735.8	735.6	78	46	78	SSW 1	SW 1	WSW 1	9	4	10●	1.6	● 5½–5, 21½–22¾
27	13.1	17.1	12.4	14.2	−4.0	737.0	737.9	739.1	88	69	94	SW 1	NW 1	SSW 1	10	3	1	.	● 0¾–2¾ m.U.
28	12.1	23.4	15.0	16.8	−1.4	738.6	737.0	736.1	85	55	87	SE 1	NW 1	SW 1	1	1	1	.	
29	15.8	27.1	19.4	20.8	2.6	735.4	734.5	733.8	78	**44**	87	E 1	ENE 1	E 1	0	1	0	.	
30	17.9	**30.2**	19.7	22.6	4.5	733.6	732.0	731.7	74	47	90	ENE 1	ESE 1	SSW 1	1	1	4	.	
31	20.2	24.6	17.7	20.8	2.7	735.8	735.9	738.7	62	57	83	WSW 1	E 1	SW 1	10	9	9	.	
Mittel	15.6	21.8	15.5	17.6	—	735.2	734.6	735.1	79	60	86				6.1	6.4	5.4	Summe 135.4	

Juli 1939.
Beobachter: *Observatorium.*

Säntis

$\lambda = 9^{\circ}\,20'$, $\beta = 47^{\circ}\,15'$,
$H_b = 2500.1^{m}$, $G = -0.27\,{}^{m}/_{m}$.

Tag	Lufttemperatur 7h30	13h30	21h30	Mittel	Abweich. vom Normalw.	Luftdruck 7h30	13h30	21h30	Relative Feuchtigkeit 7h30	13h30	21h30	Windrichtung und Stärke 7h30	13h30	21h30	Bewölkung 7h30	13h30	21h30	Niederschlag	Witterung
1	2.6	0.0	0.0	0.9	-3.3	562.0	562.4	563.3	100	100	100	WSW 4	W 4	NW 2	10●≡	10●≡	10●≡	34.7	● n-n m.U., ∗ ztw., ≡ n-n, ⸗ a
2	-4.0	-2.0	-3.2	-3.1	-7.4	563.5	565.7	567.6	95	94	90	W 3	SW 2	W 2	10≡	10≡	1	0.6	∗ n, 10-11, ≡ n-17 ⊠
3	0.2	4.7	3.2	2.7	-1.6	567.7	568.9	569.4	65	67	57	S 1	SSW 2	SW 2	6	3	1	.	⊠
4	5.0	9.6	7.0	7.2	2.8	569.5	570.0	569.2	50	42	55	SW 3	SSW 2	SW 1	1	3	1	.	
5	8.9	12.2	6.8	9.3	4.8	568.1	569.1	569.0	38	46	97	SW 2	WSW 1	W 3	1	3	10≡	11.4	≡ $21^{1}/_{4}$-n, ⊼ n
6	3.6	7.6	4.0	5.1	0.5	569.2	569.9	569.9	83	80	98	WSW 2	W 1	N 2	10	10≡	10≡	3.5	● n-15 m.U., ≡ 10-n m.U.
7	5.4	9.4	6.5	7.1	2.5	569.4	570.2	570.4	65	62	97	SW 2	SW 2	WSW 3	2	8	10≡	.	≡ 19-n m.U.
8	7.3	12.5	10.2	10.0	5.3	570.5	**570.8**	570.5	**38**	55	65	SW 3	SW 2	SW 2	1	1	1	.	[≡ $15^{3}/_{4}$-n m.U.
9	10.0	8.6	6.0	8.2	3.4	569.1	568.9	568.4	57	71	100	WSW 4	WSW 2	NW 3	2	10	10≡	22.6	● 11-$18^{3}/_{4}$ m.U., ⊼ ▲ 18,
10	4.1	3.6	0.0	2.6	-2.2	566.4	567.2	568.2	100	100	100	WSW 3	W 3	NW 3	10●≡	10●≡	10≡	27.3	● n-21, ≡ n-n
11	0.0	5.0	2.8	2.6	-2.3	567.2	567.5	566.9	78	68	97	W 2	SW 2	SW 1	10≡	10≡	10≡	.	≡ n-n m.U.
12	2.4	5.1	2.2	3.2	-1.7	565.6	565.9	566.4	97	76	100	WSW 2	SW 2	WSW 2	10≡	10≡	10≡	.	≡ n-n m.U.
13	3.3	10.8	7.1	7.1	2.1	565.9	566.3	566.2	63	55	80	WSW 3	SW 2	SSW 1	3	2	10	9.2	
14	3.5	10.5	6.8	6.9	1.9	565.1	565.4	565.1	92	56	68	SW 2	SSW 2	SW 2	10●	9	4	7.1	● n-$7^{3}/_{4}$, $15^{3}/_{4}$-$16^{3}/_{4}$, ⊼ ▲ $16^{1}/_{4}$
15	8.0	9.6	5.7	7.8	2.7	563.8	563.4	563.0	65	52	74	SSE 3	SSW 3	SW 2	9	4	10●	0.3	●sch. $18^{3}/_{4}$, ●° abds. zeitw.
16	6.3	4.1	1.6	4.0	-1.1	560.6	560.8	562.0	68	99	89	ESE 3	S 3	W 3	2	10●≡	4	31.0	● n-n m.U., ∗ 17-abds. ztw., ≡ 11-
17	0.6	6.0	2.9	3.2	-1.9	562.3	564.4	565.5	100	77	98	W 3	SSW 2	SW 2	10≡	9	10≡	5.1	●▲⊼ 21, ← 1, ≡ n-n [$18^{1}/_{4}$
18	6.1	10.6	7.6	8.1	2.9	565.7	566.6	566.9	76	59	60	SSE 2	SSW 2	SSE 2	3	4	7	.	≡ n, p zeitw.
19	8.9	12.0	7.1	9.3	4.1	566.6	566.4	566.8	52	43	96	E 1	SSW 2	ESE 2	6	5	8	6.6	[18 m.U.
20	6.8	10.7	6.9	8.1	2.9	566.3	566.2	566.7	72	77	69	S 1	SW 2	S 4	9	9	3	0.7	●▲ n, ● $13^{1}/_{4}$-$15^{1}/_{2}$ ztw., ≡ 13-
21	9.6	11.5	5.5	8.9	3.6	565.7	566.1	566.5	65	62	99	SSW 3	SSW 3	WSW 3	2	4	10●	27.6	● $16^{3}/_{4}$-n m.U., ⊼ 20-$20^{1}/_{2}$
22	2.8	1.4	0.9	1.7	-3.6	565.3	564.0	563.5	100	100	100	NW 1	SE 1	W 2	10●≡	10●≡	10≡	27.4	● n-$12^{3}/_{4}$, ∗ $12^{1}/_{4}$-20, *)
23	0.1	3.8	1.5	1.8	-3.5	562.2	562.2	562.1	100	84	100	SW 2	WSW 1	WSW 3	10≡	10≡	10≡	6.9	∗ $7^{3}/_{4}$, ● $13^{3}/_{4}$-abds. ztw.*)
24	2.6	2.1	-3.0	0.6	-4.7	560.7	559.3	**557.3**	100	100	97	S 1	SE 2	W 5	10≡	10≡	10*≡	17.7	△sch. p ztw., ∗ abds., ≡ n-n m.U.
25	-4.5	-3.7	-2.5	-3.6	-9.0	557.9	558.8	562.3	100	96	99	W 4	SW 4	WSW 3	10*≡	10*≡	10≡	18.9	∗ ⸗ ⸗ n-abds., ≡ n-n ⊠
26	-0.9	0.1	1.2	0.1	-5.3	564.6	565.8	565.7	100	100	100	SW 3	WSW 3	W 4	10≡	10≡	10≡	30.5	∗ $8^{1}/_{2}$-$9^{1}/_{2}$, ≡ n-n m.U. ⊠
27	-2.0	-0.4	-0.2	-0.9	-6.3	564.3	565.6	567.5	100	97	100	WNW 2	WSW 2	WNW 1	10*≡	10≡	10≡	5.5	∗ n-a zeitw., 19, ≡ n-n ⊠
28	1.3	4.9	4.3	3.5	-1.9	567.0	567.6	567.6	76	76	59	NE 1	S 1	SW 3	1	4	1	.	≡ p zeitw. ⊠
29	7.3	10.5	8.4	8.7	3.3	567.5	568.5	568.6	**38**	46	68	SW 3	SW 1	SW 2	1	0	0	.	
30	11.8	**14.6**	11.9	12.8	7.4	568.3	568.7	568.5	42	56	46	SSE 2	S 1	S 2	0	1	0	.	
31	10.3	12.3	3.6	8.7	3.3	568.5	569.1	569.1	66	63	100	S 1	SSW 2	WSW 5	1	9	10●≡	12.1	● $17^{1}/_{4}$-n, ≡ 17-n
																		Summe	
Mittel	4.1	6.7	4.0	4.9	—	565.7	566.2	566.4	75	73	86				6.1	7.0	7.4	306.7	

*) **22.** ≡ n-n m.U., **23.** ≡ n-n m.U.

Juli 1939.
Beobachter: Frl. *F. Lombardi.*

St. Gotthard (Hospiz)

$\lambda = 8^{\circ}\,34'$, $\beta = 46^{\circ}\,33'$,
$H_b = 2095.7^{m}$, $G = -0.25\,{}^{m}/_{m}$.

1	5.2	8.5	2.7	5.5	-1.1	591.9	591.7	591.9	100	100	100	NE 0	NE 0	N 2	10●	10≡	10≡	6.0	● n-12, ≡ 10-n zeitw.
2	0.0	2.0	0.6	0.9	-5.8	593.1	594.9	596.6	89	76	100	N 1	N 1	N 2	8	5	10≡	.	≡ 18-n
3	2.4	9.2	5.4	5.7	-1.1	596.9	597.9	598.4	40	**36**	60	N 1	N 1	N 1	3	0	0	0.5	● n (3./4.)
4	6.0	11.0	8.6	8.5	1.6	599.1	598.9	598.1	78	44	76	N 0	N 0	N 0	5	5	5	.	
5	8.0	13.2	5.0	8.7	1.7	598.1	595.6	598.5	60	50	80	N 0	S 0	S 1	5	10	10≡	.	≡ 20-n
6	6.0	9.3	5.4	6.9	-0.2	598.2	598.3	598.2	76	64	100	N 1	N 1	N 1	5	5	10≡	0.4	● $14^{1}/_{4}$, $21^{3}/_{4}$, ≡ 16-n
7	4.8	11.0	6.4	7.4	0.2	597.8	598.9	599.0	64	40	89	N 1	N 1	N 1	0	0	0	.	
8	6.8	**14.8**	11.2	10.9	3.6	599.3	**599.6**	599.4	44	52	63	N 0	N 0	SE 1	0	3	5	.	
9	9.7	13.6	9.3	10.9	3.5	597.6	597.8	596.6	70	65	60	SE 0	SE 0	N 0	2	5	0	0.5	● 13
10	8.0	8.4	4.8	7.1	-0.4	596.7	596.1	596.6	100	75	100	NW 1	NW 1	NW 2	5	5	10≡	1.0	≡ 16-n, ● zeitw.
11	3.0	9.8	4.8	5.9	-1.7	596.3	596.2	595.8	80	**36**	100	N 1	N 1	N 1	2	0	10≡	.	≡ III
12	6.4	11.5	5.2	7.7	0.0	595.7	595.2	595.0	85	55	100	N 0	N 0	**N** 1	5	10	10≡	.	≡ $17^{1}/_{4}$-n
13	6.8	12.5	7.1	8.8	1.0	595.4	595.7	595.0	63	52	84	N 0	S 2	S 2	0	5	10	30.0	● $17^{1}/_{4}$-n
14	4.2	9.8	6.2	6.7	-1.2	594.1	594.4	594.0	100	68	83	E 1	SE 1	SE 1	0	10	10	14.4	
15	7.2	8.8	5.8	7.3	-0.7	592.6	592.2	591.2	100	70	98	SE 1	SE 1	SE 2	10●	10●	10≡●	31.0	● n-n, ≡ 14-n
16	6.0	6.5	4.2	5.6	-2.5	589.8	589.2	590.7	100	100	73	SE 1	SE 1	SE 0	10≡●	10●	8	46.0	● n-$14^{3}/_{4}$, ≡ n-10
17	6.4	11.5	7.0	8.3	0.1	591.6	593.2	594.3	55	56	74	N 1	N 1	SE 1	5	0	8	3.4	● $16^{3}/_{4}$-$17^{1}/_{4}$
18	6.8	12.0	8.0	8.9	0.6	594.6	595.6	596.0	73	57	89	E 0	E 1	SE 1	10	10	5	.	
19	8.7	11.0	6.8	8.8	0.5	595.5	595.6	595.4	55	50	71	SE 1	SE 1	SE 1	5	10	10	2.0	● $17^{1}/_{2}$-$18^{3}/_{4}$
20	9.0	8.6	8.0	8.5	0.1	595.1	594.9	595.3	64	62	74	E 1	E 1	E 1	10	10●	10	19.4	▲● $12^{1}/_{4}$-$12^{1}/_{2}$, ⊼ 12-$13^{1}/_{4}$
21	9.4	11.4	8.0	9.6	1.2	594.8	595.5	595.0	70	63	100	E 2	E 2	SE 2	10	10	10≡●	28.8	● $16^{3}/_{4}$-n, ≡ $18^{1}/_{2}$-n
22	5.8	4.8	2.4	4.3	-4.1	593.5	592.5	591.3	100	100	100	NE 1	NE 2	N 2	10≡●	10≡●	10≡	**64.5**	● n-$17^{1}/_{4}$, ≡ n-n
23	2.4	7.4	4.6	4.8	-3.7	590.7	591.1	591.7	100	56	90	N 2	N 1	N 1	10≡	10	10	1.4	● $13^{1}/_{4}$, 16-$16^{1}/_{2}$, ≡ n-9
24	5.2	6.8	1.4	4.5	-4.0	589.9	588.4	**587.4**	65	100	100	N 0	S 1	NE 0	10	10≡	10≡●	8.2	● 21-n, ≡ 11-n
25	-1.6	3.4	-0.8	0.3	-8.2	588.4	590.7	591.8	100	48	100	NW 1	NW 1	NW 1	10≡*	5	10≡	36.0	● ∗ n-$8^{3}/_{4}$, ≡ n-10, ● ≡ 16-n
26	0.8	4.0	4.0	2.9	-5.6	593.4	594.4	594.1	100	82	100	N 2	N 1	N 1	10≡	2	10●	1.4	● $19^{3}/_{4}$-n, ≡ n-10 ⊠
27	1.6	2.6	1.6	1.9	-6.6	593.6	594.5	596.1	100	100	100	N 1	N 1	N 2	8	5	10	3.5	● n (27./28.)
28	3.6	10.4	6.4	6.8	-1.7	595.8	596.2	596.7	52	28	72	N 2	N 1	N 1	0	0	0	.	
29	9.8	14.3	9.2	11.1	2.6	596.7	596.9	598.0	41	47	64	N 0	N 0	N 0	0	0	0	.	
30	8.4	14.2	11.0	11.2	2.7	597.4	597.8	598.2	92	66	63	S 1	S 0	SE 1	5	8	8	.	
31	9.6	11.0	8.1	9.6	1.1	596.9	598.3	598.5	77	70	89	SE 1	SE 1	SE 1	8	10	10≡●	6.0	● ⊼ $20^{1}/_{4}$-$21^{3}/_{4}$, ≡ 17-n
																		Summe	
Mittel	5.7	9.5	5.8	7.0	—	594.9	595.2	595.3	77	63	85				5.8	6.2	7.7	304.4	

$\lambda = 7° 26'$, $\beta = 46° 57'$,
$H_b = 572.2^m$, $G = 0.00^m/_m$.

Bern

August 1939.
Beobachter: *Tellur. Observatorium.*

Tag	Lufttemperatur					Luftdruck			Relative Feuchtigkeit			Windrichtung und Stärke						Bewölkung			Niederschlag	Witterung
	7^{30}	13^{30}	21^{30}	Mittel	Abweich. vom Normalst.	7^{30}	13^{30}	21^{30}	7^{30}	13^{30}	21^{30}	7^{30}		13^{30}		21^{30}		7^{30}	13^{30}	21^{30}		
1	15.0	21.6	17.7	18.1	0.4	**717.1**	716.7	716.9	95	46	82	SE	0	N	1	NE	0	4	8	5	.	
2	15.3	20.8	16.4	17.5	−0.2	716.7	715.3	714.2	83	53	83	N	0	N	1	SW	0	8	6	5	.	
3	13.8	20.0	16.8	16.9	−0.7	711.7	709.6	709.2	93	53	91	NE	0	W	0	E	0	9	8	10	1.3	△ l [≡ l
4	12.7	18.6	14.4	15.2	−2.4	708.1	707.6	709.3	99	73	94	NE	0	NNE	0	SE	0	10≡	8	10●	5.4	● 0½-4½ m.U., 12, 19¾-21½,
5	12.8	14.6	13.1	13.5	−4.0	708.6	708.1	707.9	98	86	98	NE	1	NNE	1	SW	0	10●	10	10●	**30.6**	● 5-8¾, 13½, 17¾-21¾
6	11.1	17.0	13.5	13.9	−3.6	710.6	711.3	713.0	96	65	90	SE	0	W	1	SW	0	10	8	2	0.5	● 0¾-6¼ m.U., 11¾
7	**10.8**	19.4	15.9	15.4	−2.0	712.4	710.7	710.1	93	47	76	SE	0	W	1	S	0	7	7	10	1.7	△ l
8	13.2	14.8	14.9	14.3	−3.1	708.5	708.6	710.6	96	93	88	SE	0	NW	0	W	1	10	10	5	8.0	● 0-24½ zeitw.
9	14.0	19.8	16.5	16.8	−0.5	713.0	713.2	714.3	95	47	85	S	0	W	1	W	0	7	7	4	.	
10	12.4	22.2	17.8	17.5	0.3	715.6	715.1	715.6	93	45	82	S	0	NE	1	W	0	3	1	1	.	△ l
11	14.6	23.7	19.7	19.3	2.1	716.2	714.9	714.9	89	**43**	83	SE	0	SW	1	W	0	2	3	1	.	
12	15.4	22.0	18.0	18.5	1.4	715.3	714.2	714.2	90	56	83	S	0	NE	1	NE	1	6	5	7	.	△ l
13	15.0	18.5	16.7	16.7	−0.3	713.7	713.9	714.8	92	77	92	NE	0	NE	1	NE	0	9	9	0	.	
14	13.5	20.4	17.5	17.1	0.1	714.9	714.7	716.7	91	64	71	N	0	N	1	NE	1	0	8	0	.	△ l
15	13.0	20.3	16.2	16.5	−0.4	715.7	716.1	716.7	81	49	63	NE	1	NE	1	NE	1	1	0	0	.	△ l
16	11.1	19.4	16.0	15.5	−1.3	716.2	714.6	714.2	88	47	60	NE	1	ENE	2	NE	1	0	0	0	.	
17	13.2	19.2	17.1	16.5	−0.3	712.8	712.4	711.4	87	65	78	NE	0	ENE	1	NE	1	4	7	0	.	
18	12.1	18.8	17.2	16.0	−0.7	711.5	711.1	710.2	98	73	94	SE	0	NE	1	NE	0	10≡	1	0	.	≡ l, △ l
19	14.0	20.3	18.4	17.6	1.0	710.5	709.5	709.1	93	54	70	W	1	W	0	SE	1	7	7	4	.	△ l
20	14.0	20.0	16.8	16.9	0.3	708.1	707.6	**707.4**	94	72	92	S	0	W	1	SE	0	7	9	5	1.1	● 15¼-16, 18¼-18¾, △ l
21	14.8	19.3	16.7	16.9	0.4	708.2	709.1	710.1	95	68	89	S	0	W	1	S	0	9	9	8	1.3	● 0-1 m.U., 23¼-n
22	15.2	20.3	16.0	17.2	0.8	711.9	711.7	711.9	98	72	96	S	0	NE	1	E	0	9	8	10	4.1	● n-2¼ m.U., 18¾-20¼
23	14.6	20.8	17.0	17.5	1.1	712.7	712.2	713.1	96	66	94	S	0	NE	1	W	0	9	9	8	.	
24	13.7	21.0	18.8	17.8	1.5	712.7	710.9	708.6	95	70	82	SE	0	N	1	NE	0	7	6	9	.	△ l
25	16.0	18.2	16.3	16.8	0.6	707.9	709.2	711.3	76	76	93	W	1	W	1	SW	0	9	10	10	.	● 23¼-23½
26	14.9	18.5	17.0	16.8	0.7	712.0	712.7	713.7	98	80	95	SW	0	NE	0	W	0	10	9	9	1.7	● 1-5¾
27	13.8	21.0	18.3	17.7	1.6	714.2	713.7	714.2	98	68	93	E	0	NNE	1	N	0	1	2	2	.	△ l
28	13.2	22.0	18.0	17.7	1.7	714.2	713.5	713.5	95	64	84	SE	0	S	1	W	0	1	5	3	.	△ l
29	13.6	23.3	18.0	18.3	2.4	712.9	711.5	710.9	95	48	85	SE	0	NW	1	SE	0	0	1	3	.	△ l
30	15.2	20.8	18.3	18.1	2.3	710.3	711.5	711.5	87	71	87	SE	0	E	1	SW	0	3	9	8	.	● 11¾-12
31	16.0	**24.2**	17.0	19.1	3.4	712.2	712.3	712.6	93	55	78	SE	0	E	0	SE	1	5	3	10	1.0	● 19-19¼, △ l
																					Summe	
Mittel	13.8	20.0	16.8	16.9	—	712.5	712.1	712.3	93	63	85							6.0	6.2	5.1	56.7	

$\lambda = 6° 57'$, $\beta = 47° 0'$,
$H_b = 487.3^m$, $G = 0.02^m/_m$.

Neuchâtel

August 1939.
Beobachter: *Observatorium.*

1	15.7	21.7	18.6	18.7	0.0	**725.3**	724.6	724.4	90	60	54	SE	1	SE	1	NW	2	1	4	2	.	
2	15.6	24.0	17.7	19.1	0.4	724.6	723.1	722.2	83	50	64	E	0	SE	1	NW	0	3	1	1	.	
3	14.2	21.6	17.7	17.8	−0.9	719.7	717.4	717.1	88	46	64	NE	0	SW	2	W	1	9	10	10	6.6	●²sch. 15⅝, ● n
4	14.4	21.5	16.6	17.5	−1.1	715.5	**715.3**	717.1	95	52	67	NE	1	SW	2	NE	0	9	8	10	8.0	●sch. a, ●tr. ⌒ 19⅜
5	13.3	14.7	13.6	13.9	−4.7	716.8	716.3	716.0	98	95	99	NE	0	NE	1	NE	0	10●	10●	10●	**29.2**	● n-n
6	12.4	16.8	14.9	14.7	−3.8	718.7	719.4	720.8	87	72	75	W	1	SW	2	W	1	10	10	8	0.4	● 10½-12
7	**11.8**	20.3	16.2	16.1	−2.4	720.6	719.0	717.9	94	56	83	SE	1	S	1	NW	1	5	6	10	5.3	● 21½-n
8	14.0	14.6	14.3	14.3	−4.1	716.5	716.4	718.7	93	97	90	SW	1	SW	3	NW	1	10●	10●	4	11.4	● n-n
9	14.0	19.2	17.2	16.8	−1.5	721.2	721.5	722.3	93	64	71	NW	0	SE	1	NW	1	10	9	3	.	
10	13.6	23.0	18.0	18.2	−0.1	723.7	723.5	723.7	94	59	84	E	1	S	1	NW	1	2	1	4	.	
11	15.1	24.9	20.6	20.2	2.0	724.3	722.9	722.8	92	53	57	E	1	S	1	NW	0	2	7	4	.	
12	16.8	**25.4**	19.1	20.4	2.3	723.4	722.5	722.2	91	52	67	E	1	SE	1	NE	3	9	2	8	.	
13	16.3	23.1	17.9	19.1	1.0	722.0	722.0	722.8	83	63	72	E	1	SE	2	E	1	9	4	0	.	
14	15.4	23.4	16.4	18.4	0.4	723.3	723.0	723.3	79	56	82	N	1	E	3	SE	0	8	5	0	.	
15	14.0	22.4	17.4	17.9	0.0	724.0	723.5	724.2	81	42	57	E	2	E	3	E	3	1	0	0	.	
16	13.8	22.1	17.5	17.8	−0.1	723.7	722.6	721.9	73	**37**	62	E	3	E	4	E	3	0	0	0	.	
17	15.3	22.4	18.6	18.8	1.0	720.7	720.3	719.3	78	55	61	E	3	E	3	E	3	3	4	0	.	
18	14.8	21.3	17.8	18.0	0.3	719.6	719.3	718.3	90	63	82	SE	0	SE	1	N	0	10	9	0	1.9	
19	15.6	22.5	18.3	18.8	1.1	718.4	717.6	717.2	98	66	73	SW	0	S	1	N	1	10●	3	6	4.6	⊤ ● 7¼-9¾
20	16.3	19.7	16.4	17.5	−0.1	716.0	715.5	715.4	93	79	82	W	1	S	1	SW	0	9	9	4	1.6	●sch. 17⅝
21	16.2	18.4	16.3	17.0	−0.5	716.2	717.3	718.3	99	79	91	NW	0	SW	2	N	1	10	10	7	0.5	●° n-n m.U.
22	15.7	24.4	16.6	18.9	1.5	720.0	719.9	720.3	95	62	95	W	0	S	1	NE	0	10	6	10	0.7	● 19¼-n
23	16.7	23.4	16.2	18.8	1.4	720.7	720.5	721.3	94	66	96	W	0	SE	1	SW	0	10	4	10	0.7	● 16⅝-n m.U.
24	16.6	23.6	20.4	20.2	2.9	720.7	718.9	716.4	92	67	67	E	0	S	1	NW	1	9	2	6	.	
25	16.8	18.8	16.6	17.4	0.2	716.1	717.4	718.8	84	79	84	SW	2	SW	2	SW	1	9	10	10●	0.4	● 21¼-n
26	15.8	21.1	17.2	18.0	0.9	720.2	720.8	721.7	93	66	82	SW	0	S	1	NW	1	10	10	4	0.1	●sch. 18
27	15.6	24.2	18.6	19.5	2.5	722.4	722.0	722.3	96	59	82	N	0	S	2	NW	1	10	1	5	.	
28	14.5	23.3	17.6	18.5	0.6	722.4	721.8	721.7	98	67	89	N	0	S	1	NW	1	0	4	2	0.4	● 18⅝-19¼, ≡ a-9½,
29	14.6	23.5	17.6	18.6	0.8	721.0	719.5	718.7	97	60	75	NE	1	SE	1	N	0	3	0	1	.	≡ a-9⅝ [K 18
30	16.4	22.4	18.1	19.0	1.3	718.4	719.2	719.5	90	69	84	NE	0	S	0	NW	0	4	8	7	.	●sch. 10⅝
31	16.2	24.6	19.2	20.0	2.4	720.4	720.0	720.5	92	57	73	NW	0	SE	1	NE	0	2	7	8	.	
																					Summe	
Mittel	15.1	21.7	17.4	18.1	—	720.5	720.1	720.2	90	63	76							6.7	5.6	5.0	71.8	

August 1939.
Beobachter: Frl. *H. Nager.*

Altdorf

$\lambda = 8^{\circ}\,39'$, $\beta = 46^{\circ}\,53'$,
$H_b = 456.3^{m}$, $G = -0.05\,{}^{m}/_{m}$.

Tag	Lufttemperatur					Luftdruck			Relative Feuchtigkeit			Windrichtung und Stärke			Bewölkung			Niederschlag	Witterung
	7^{30}	13^{30}	21^{30}	Mittel	Abweich. vom Normalst	7^{30}	13^{30}	21^{30}	7^{30}	13^{30}	21^{30}	7^{30}	13^{30}	21^{30}	7^{30}	13^{30}	21^{30}		
1	15.9	20.5	18.3	18.2	0.3	**727.6**	726.8	727.5	92	50	80	W 0	NWo-1	NW 0	7	7	10	.	
2	17.1	22.2	16.9	18.7	0.8	727.0	724.6	725.5	78	47	91	W 0	NW 1	NW 0	7	4	8	1.3	● 19
3	15.7	21.6	16.2	17.8	−0.1	722.2	719.4	720.4	92	53	91	SE 0	NWo-1	NW 0	4	7	10	2.1	● 18
4	13.5	20.2	16.8	16.8	−1.0	718.3	718.3	720.3	91	56	83	NW 0	NW 0	NW 0	10●	8	10	9.5	● 1, 17
5	14.8	15.1	13.3	14.4	−3.4	719.1	718.7	718.7	92	90	94	N 0	NW 0	NW 0	10●	10●	10●	**82.3**	● n-n
6	11.7	17.3	14.3	14.4	−3.4	722.7	721.7	723.6	89	54	89	W 0	NW 0	NW 0	10●	6	10	1.1	● 1
7	12.2	19.5	15.3	15.7	−2.0	723.3	721.2	721.3	90	50	86	NE 0	N 0	NW 0	6	5	10●	4.7	● III
8	14.8	16.6	15.2	15.5	−2.2	719.2	719.0	721.0	93	77	92	SW 0	NE 0	NW 0	10●	10●	10●	10.9	● n-n
9	14.2	19.0	15.2	16.1	−1.6	724.5	723.8	725.0	91	57	81	W 0	NW 0	SE 0	10●	7	0	0.9	● 1
10	13.2	21.0	17.2	17.1	−0.5	726.2	725.5	726.7	89	52	80	E 0	NW 0	SE 0	4	1	3	.	
11	15.0	**23.9**	18.7	19.2	1.6	726.9	724.9	725.8	91	55	87	E 0	NW 0	NW 0	1	2	3	.	
12	18.2	23.0	18.9	20.0	2.5	725.8	724.3	725.1	89	53	80	W 0	NW 1	NW 0	3	5	7	.	
13	17.3	18.1	16.7	17.4	−0.1	724.3	724.9	725.9	86	80	93	NW 0	NW 0	NW 0	10	10	10	0.3	
14	16.6	20.6	17.7	18.3	0.9	726.0	725.5	725.7	79	57	85	NW 0	N 0	NW 0	10	7	10	.	
15	16.1	20.2	14.8	17.0	−0.4	726.9	725.9	727.3	70	**46**	96	NE 0	NW 2	NE 0	8	2	0	.	
16	**11.5**	20.5	14.5	15.5	−1.8	725.8	725.3	725.6	88	47	78	S 0	NW 1-2	NE 0	2	4	0	.	
17	13.2	21.2	15.8	16.7	−0.5	723.5	722.5	722.1	86	54	85	S 0	W 0-1	NW 0	4	6	0	.	
18	14.0	20.5	16.4	17.0	−0.2	722.0	721.4	721.5	93	66	89	N 0	NWo-1	NE 0	8	4	0	.	
19	14.5	22.5	17.2	18.1	1.0	720.8	719.8	719.1	95	59	92	E 0	NW 0	NW 0	2	4	10	6.0	● 16, n, ◁ III
20	16.3	21.9	15.9	18.0	1.0	718.6	**717.7**	718.0	93	51	89	E 0	NW 0	NW 0	7	8	5	.	
21	15.5	23.3	17.2	18.7	1.7	719.0	718.4	720.8	89	53	85	W 0	NE 0	SE 0	8	3	7	.	
22	17.7	22.5	17.1	19.1	2.2	723.0	721.7	722.8	85	53	85	W 0	NW 0	W 0	9	4	7	.	
23	17.2	21.7	17.5	18.8	2.0	723.4	722.7	724.0	85	60	85	W 0	NW 0	NW 0	10	8	7	.	
24	16.5	21.7	17.2	18.5	1.8	723.0	721.2	719.1	85	59	81	N 0	NW 0	S 0	7	6	8	.	
25	17.3	20.7	16.8	18.3	1.6	718.0	718.8	721.3	88	57	92	S 0	NWo-1	NW 0	9	9	10●	20.9	● III
26	16.5	20.3	16.7	17.8	1.2	723.4	723.4	724.9	94	62	88	E 0	NW 0	NW 0	10	10	10	.	
27	14.8	22.2	16.5	17.8	1.3	725.2	723.8	725.1	78	61	89	NE 0	W 0-1	SE 0	4	2	0	.	
28	14.1	21.5	16.8	17.5	1.1	725.1	724.2	724.4	91	76	90	E 0	NW 0	NW 0	0	7	4	.	
29	13.7	20.7	18.2	17.5	1.2	723.5	722.0	721.6	92	56	74	NW 0	NW 0	S 0	0	2	6	1.5	≡ fr.
30	15.7	21.0	15.8	17.5	1.3	720.9	722.6	722.0	82	64	89	NE 0	SE 0	NW 0	4	8	2	1.5	● n-p zeitw.
31	14.5	23.5	18.1	18.7	2.6	723.0	722.5	723.3	92	50	85	SE 0	NW 0	NW 0	0	3	8	.	◁ III
Mittel	15.1	20.8	16.6	17.5	—	723.2	722.3	723.1	88	58	87				6.3	5.8	6.3	Summe 143.0	

August 1939.
Beobachter: *Observatorium.*

Genf

$\lambda = 6^{\circ}\,9'$, $\beta = 46^{\circ}\,12'$,
$H_b = 405.0^{m}$, $G = -0.03\,{}^{m}/_{m}$.

1	17.0	22.9	19.0	19.6	0.3	**732.2**	731.4	731.6	80	61	62	N 1	NNE 1	NE 1	8	1	2	.	
2	15.8	23.4	19.6	19.6	0.4	731.8	730.0	729.2	79	52	59	W 0	NNE 1	NE 0	9	1	1	.	
3	15.4	23.8	18.2	19.1	−0.1	726.8	724.5	724.1	81	53	67	E 1	NNW 1	NW 0	4	6	9	.	
4	17.0	22.6	18.7	19.4	0.2	722.8	722.4	723.5	80	52	61	N 0	SW 1	SW 0	9	9	10	0.5	●° n
5	15.4	14.6	13.4	14.5	−4.6	723.5	723.4	723 1	91	98	95	NE 0	NE 0	NE 0	10●	10●	10●	**21.4**	● n-n
6	13.0	20.6	16.0	16.5	−2.6	726.3	726.5	728.1	88	**51**	61	NE 0	NW 1	NE 0	3	3	1	.	
7	**12.4**	20.2	17.0	16.5	−2.5	727.6	725.7	725.6	83	61	67	NE 0	NNE 0	SW 1	8	9	9●	2.0	● 20¼-n
8	14.6	17.2	16.7	16.2	−2.8	724.0	723.7	725.8	93	88	84	W 0	SW 1	NNE 0	10●	10●	10●	9.8	● n-n
9	16.6	20.8	18.0	18.5	−0.4	727.9	728.4	729.4	85	67	71	NE 0	NNE 1	NE 0	9	2	0	.	
10	14.6	21.7	20.1	18.8	0.0	730.8	730.5	730.6	85	62	69	E 0	NNE 1	NE 0	0	0	0	.	
11	16.8	**25.0**	21.0	20.9	2.1	731.3	730.0	729.9	84	56	63	NE 0	NNE 1	NNE 0	0	0	1	.	
12	18.5	24.0	19.6	20.7	2.0	730.4	729.2	728.9	81	57	62	ENE 0	NNE 1	NE 0	8	1	2	.	
13	17.5	21.7	19.0	19.4	0.8	729.0	728.5	729.7	83	68	78	NE 0	NNW 1	NE 1	9	1	0	.	
14	17.0	21.0	19.5	19.2	0.7	730.4	730.1	729.8	80	67	71	NE 0	NNE 1	NNE 1	10	2	0	.	
15	16.0	21.4	18.3	18.6	0.1	730.6	730.0	730.3	77	62	66	NE 1	NNE 2	NNE 1	3	0	0	.	
16	14.6	20.8	17.8	17.7	−0.7	730.6	729.2	728.5	78	59	63	NE 0	NNE 1	NE 1	0	0	0	.	
17	14.0	20.0	18.4	17.5	0.8	728.0	727.1	726.0	80	67	67	E 0	NNE 1	NE 0	7	1	0	.	
18	15.6	20.8	19.6	18.7	0.5	726.4	725.8	725.0	87	68	67	ENE 0	NNE 1	NE 0	9	1	1	.	
19	17.6	23.7	17.6	19.6	1.5	725.2	724.4	724.0	86	66	90	NE 0	NE 0	E 0	0	8	8	1.3	◺ ● seit 15½, ●°sch. n
20	16.2	20.:	17.8	18.2	0.2	723.1	722.5	**722.1**	89	77	84	NE 0	NNE 1	NE 0	10	7	4	7.7	●° seit 8½, ● n
21	16.7	21.5	16.0	18.1	0.1	723.6	723.9	726.5	98	67	89	NE 0	E 1	NE 0	10●	9	9	7.4	◺ ● 19¼, ● n, T 18¾
22	15.2	22.0	19.0	18.7	0.8	726.9	726.6	727.0	96	61	79	ENE 0	NNE 1	E 0	10	8	10●	2.1	● 21-n, ≡ 6
23	15.9	22.4	16.2	18.2	0.4	728.0	727.7	728.6	92	71	97	W 0	NNE 0	NE 0	9	9	10●	17.1	●sch. 16¼, ▲ 16½, ● n, T 16¼
24	15.6	21.4	20.0	19.0	1.3	727.6	725.2	723.4	96	73	74	NE 0	NNE 1	NNW 0	9	7	10	4.1	●tr. p, ● 19½-n, ◺ 20,
25	16.6	21.9	17.2	18.6	1.0	723.8	724.5	726.4	83	66	78	NNE 0	SW 1	SW 0	9	9	1	.	[≡ fr.
26	16.8	22.0	19.0	19.3	3.8	727.1	727.6	728.8	88	64	79	E 0	NNE 1	NE 1	10	1	3	.	
27	16.0	21.4	18.3	18.6	1.2	729.3	729.0	729.0	89	72	76	E 0	NNE 1	NNE 0	9	2	0	.	
28	15.4	21.4	19.0	18.6	1.3	729.4	728.7	728.4	89	72	81	NNE 0	NNE 1	NE 0	2	3	0	.	
29	15.0	22.8	20.0	19.3	2.1	728.2	726.4	725.5	91	76	84	E 0	NNE 1	NNE 1	0	1	8	.	
30	16.6	23.8	21.0	20.5	3.4	726.0	726.2	726.3	91	60	64	W 1	SW 1	SSW 0	9	9	5	.	
31	16.8	23.2	17.6	19.2	2.2	727.2	726.8	728.5	88	66	86	SSW 1	NNE 1	SW 1	6	9	10	11.9	◺ ● ▲° 21½-n, ◁T seit 20½
Mittel	15.9	21.6	18.3	18.6	—	727.6	727.0	727.2	86	66	74				6.7	4.5	4.3	Summe 85.3	

$\lambda = 8^{\circ}\,33'$, $\beta = 47^{\circ}\,23'$.
$H_b = 493.2$ m, $G = 0.03$ m/m.

Zürich

August 1939.
Beobachter: *Meteorol. Zentralanstalt.*

Tag	Lufttemperatur					Luftdruck			Relative Feuchtigkeit			Windrichtung und Stärke			Bewölkung			Niederschlag	Witterung
	7^{30}	13^{30}	21^{30}	Mittel	Abweich. vom Normalst.	7^{30}	13^{30}	21^{30}	7^{30}	13^{30}	21^{30}	7^{30}	13^{30}	21^{30}	7^{30}	13^{30}	21^{30}		
1	16.5	21.3	17.3	18.4	0.2	**724.7**	723.9	724.0	67	52	70	NW 2	NW 1	NW 1	7	4	9	.	
2	16.4	23.3	17.9	19.2	1.0	723.9	722.2	721.7	74	44	65	NW 0	SW 1	W 1	6	3	5	.	
3	16.2	23.5	15.5	18.4	0.3	718.8	716.7	716.9	81	44	100	S 0	WSW 1	SE 1	7	5	10	4.8	● $15^{1}/_{4}$–$19^{1}/_{4}$ m.U., ⛆ $16^{3}/_{4}$
4	13.9	21.2	14.2	16.4	−1.7	715.3	715.1	716.9	88	55	95	NNE 0	ESE 1	NW 0	10	9	10	5.9	●° $3^{1}/_{4}$–$6^{1}/_{2}$, 16–21 m.U.
5	13.4	15.1	13.4	14.0	−4.0	716.0	715.3	715.0	92	82	100	NW 1	N 2	WNW 1	10	10	10●	**60.8**	● 0–$12^{1}/_{4}$ m.U., ● 14–23 [m.U.
6	**11.6**	16.2	14.6	14.1	−3.9	718.1	718.9	720.2	95	67	85	S 1	S 1	SE 1	10●	9	8	1.2	● 1–8
7	12.2	21.9	16.2	16.8	−1.2	719.9	718.1	717.0	95	41	78	SE 1	SE 2	SE 1	2	4	10	2.8	
8	13.9	15.8	14.8	14.8	−3.1	715.8	715.9	717.5	94	83	97	SE 1	NW 1	WNW 1	10●	10●	9	18.1	● $0^{1}/_{2}$–$15^{1}/_{4}$ zeitw., ⛆ ● 18– [21
9	14.1	20.3	15.0	16.5	−1.3	720.3	720.5	721.9	88	50	93	SSE 1	SSE 1	W 0	4	8	2	.	
10	14.8	24.6	16.7	18.7	0.9	722.8	722.4	722.8	95	47	82	SE 0	WSW 1	N 0	4	2	2	0.0	
11	15.9	25.3	17.6	19.6	1.9	723.5	722.0	722.2	92	47	87	E 0	NW 1	NNW 0	4	5	3	.	
12	17.3	24.9	17.9	20.0	2.4	722.7	721.8	722.2	82	46	81	NNW 1	W 1	NE 1	7	3	10	.	⧋ 1
13	15.9	20.4	17.6	18.0	0.4	721.6	721.8	722.5	83	57	73	NW 1	E 1	NE 1	9	9	9	.	
14	14.5	23.1	16.7	18.1	0.7	722.7	722.3	723.1	74	47	70	N 2	NE 1	NE 1	8	3	2	.	
15	14.4	22.0	15.7	17.4	0.1	723.9	723.7	724.3	72	**38**	64	NNE 1	N 2	NNE 1	1	2	0	.	⧋ 1
16	12.8	21.6	15.4	16.6	−0.6	723.7	722.9	722.4	82	41	71	NNE 1	NNE 2	E 1	1	1	0	.	
17	14.8	21.2	16.6	17.5	0.3	720.6	719.8	719.2	87	57	83	NE 3	NE 2	NE 1	4	8	0	.	
18	15.0	21.4	16.5	17.6	0.5	719.0	718.6	717.7	85	58	96	NNE 1	NW 1	N 0	10	3	0		
19	15.1	23.8	19.3	19.4	2.4	717.7	716.9	716.2	91	55	78	N 0	NW 1	NW 1	3	2	10		
20	16.4	23.4	18.0	19.3	2.4	715.3	714.5	**714.2**	82	57	93	E 0	SE 1	N 0	9	8	9	0.0	
21	18.0	24.4	17.2	19.9	3.1	715.4	715.5	717.6	83	48	99	SSE 1	NW 1	SE 1	9	8	10	6.2	●! $14^{3}/_{4}$–$19^{1}/_{2}$, $23^{3}/_{4}$–$25^{1}/_{4}$
22	16.8	22.6	16.2	18.5	1.7	719.4	719.1	719.3	89	53	100	SW 0	NNW 1	SW 0	9	7	7	6.1	● $2^{3}/_{4}$–$4^{1}/_{2}$, ⛆ ● 18–$20^{1}/_{4}$
23	16.7	22.7	18.5	19.3	2.6	720.0	719.7	720.0	84	57	89	N 0	NNW 1	NW 1	10	9	10	0.0	●°ir. p–n [m.U.
24	16.9	24.0	17.7	19.5	2.9	719.7	718.1	715.8	85	53	76	N 0	NW 1	SSE 1	7	5	10	0.0	●° $21^{1}/_{2}$
25	16.5	19.3	17.5	17.8	1.3	714.8	715.9	717.4	85	71	85	NW 0	WNW 1	SW 1	10	10	10	19.0	● $22^{1}/_{4}$–$0^{1}/_{4}$
26	16.0	20.3	17.1	17.8	1.4	719.2	719.9	720.9	98	61	96	W 1	NW 1	E 1	10●	9	10	0.3	● $2^{3}/_{4}$–$5^{1}/_{2}$, $7^{1}/_{4}$–$8^{1}/_{4}$
27	16.3	23.3	17.9	19.2	2.9	721.7	721.2	721.6	94	54	89	N 0	NNW 1	NW 0	10	4	4	.	⧋ 1
28	15.4	24.6	17.0	19.0	2.8	721.6	720.7	720.9	97	48	92	ESE 1	E 2	N 0	10	6	1	.	
29	14.6	25.1	17.6	19.1	2.9	720.2	718.9	718.0	98	43	91	ESE 1	NE 1	ESE 1	10≡	2	2	.	≡ 1
30	16.7	25.2	17.1	19.7	3.6	717.8	718.5	718.6	82	52	96	SE 1	SSE 1	SW 1	5	5	1	3.0	⧋ 1
31	16.0	**26.5**	19.3	20.6	4.6	719.5	719.3	720.1	99	46	98	ESE 1	NNW 1	SSE 1	4	3	10●	4.8	⛆ ● $1^{1}/_{4}$–$1^{3}/_{4}$, $20^{1}/_{4}$–$23^{3}/_{4}$
																		Summe	
Mittel	15.3	22.2	16.8	18.1	—	719.9	719.4	719.6	87	53	86				7.1	5.7	6.2	123.0	

$\lambda = 8^{\circ}\,30'$, $\beta = 47^{\circ}\,3'$.
$H_b = 1787.3$ m, $G = -0.20$ m/m.

Rigi-Kulm

August 1939.
Beobachter: *H. Haertl.*

1	9.5	11.8	9.3	10.2	0.1	621.2	621.2	620.8	92	84	100	SW 1	W 1	E 1	8	10≡	10≡	.	≡ II, III
2	8.0	10.4	7.5	8.6	−1.5	620.3	619.6	619.2	82	82	96	S 1	W 1	NW 1	10	3	10	0.5	
3	10.4	11.4	8.0	9.9	−0.2	616.0	615.1	614.0	78	86	95	SW 0	NW 1	SW 1	8	9	10●	13.7	● III
4	7.4	13.4	8.2	9.7	−0.4	**612.6**	613.6	614.3	98	75	100	SE 0	SW 1	NW 1	10	9	10●	8.1	● IV
5	7.5	9.9	6.5	8.0	−2.0	613.1	**612.8**	613.2	100	93	100	N 1	SW 1	W 1	10≡	10●	10●	**70.5**	● n-n zeitw.
6	**2.3**	5.6	5.7	4.5	−5.5	613.8	615.5	616.7	100	98	85	W 2	WSW 2	SW 1	10●	10≡	10	2.0	● ≡ II
7	6.4	11.3	7.7	8.5	−1.5	616.3	615.9	615.2	88	75	82	SE 1	SE 1	SW 1	3	3	10	3.0	
8	7.8	6.6	8.0	7.5	−2.5	613.2	613.0	614.8	70	100	100	WSW 1	W 1	W 2–3	10	10●	10●	22.3	● II, III
9	5.4	9.8	7.6	7.6	−2.3	616.7	617.9	618.8	100	72	68	W 1	WSW 1	SE 1	10●	5	1	0.4	● I
10	9.4	14.5	12.3	12.1	2.2	619.6	610.5	**621.3**	70	70	85	SW 1	SE 1	SW 1	3	2	1	.	
11	11.6	13.8	11.3	12.2	2.3	621.1	620.5	620.4	90	76	76	SE 1	SW 0	S 1	3	5	2	.	
12	10.0	12.0	10.0	10.7	0.9	620.1	620.1	619.5	92	81	100	WNW 1	NW 1	NE 1	9	5	10≡	0.2	≡ 16–n
13	9.5	11.4	9.0	10.0	0.2	618.3	618.9	619.5	99	96	94	ENE 1	E 1	E 1	10≡	10≡	9	0.1	≡ I, II
14	9.5	11.0	8.5	9.7	0.0	619.3	619.8	620.1	93	94	90	SSE 0	NE 1	NE 1	9	10≡	10≡	.	≡ II, III
15	6.8	8.2	6.5	7.2	−2.5	619.7	620.3	620.6	77	80	81	E 2	NE 2	NE 2	4	1	0	.	
16	6.0	8.8	6.7	7.2	−2.4	619.0	619.4	617.1	78	84	80	ENE 2	NE 0	E 1	0	3	1	.	
17	7.0	9.4	8.5	8.3	−1.2	616.5	617.3	616.8	85	100	75	ENE 3	NE 2	E 1	4	10≡	1	.	≡ II
18	11.4	14.0	10.3	11.9	2.4	616.2	617.1	616.3	60	**68**	65	SW 0	NNW 1	SE 1	0	1	0	.	
19	12.7	15.0	11.0	12.2	2.8	615.9	616.1	615.2	68	81	96	SW 0	SE 0	W 1	0	2	10●	8.2	● III
20	12.2	15.0	10.5	12.6	3.3	613.6	613.6	613.7	66	75	85	SW 0	SW 1	E 1	7	9	7	0.4	
21	9.6	13.6	8.9	10.7	1.4	613.9	614.5	615.7	89	79	85	W 1	SW 1	W 1	9	9	5	1.1	
22	8.4	13.0	13.0	11.5	2.3	616.8	617.1	617.2	76	79	82	W 0	ESE 0	NE 1	10	5	8	.	
23	9.3	13.4	10.5	11.1	2.0	617.3	618.0	618.2	92	85	96	SW 1	SE 1	E 1	10	10≡	5	.	≡ II
24	11.1	**15.1**	10.7	12.3	3.2	617.3	616.9	615.8	76	80	85	SE 1	ESE 1	SW 1	4	8	10	.	
25	10.3	9.9	9.3	9.8	0.8	613.3	614.2	615.0	94	100	100	WSW 1	W 1	W 2	10≡	10●	10●	48.6	● II, III, ≡ I
26	8.4	10.0	9.5	9.3	0.4	616.5	617.6	618.2	100	96	91	SW 1	SW 0	E 1	10●	10≡	5	1.0	● ≡ II
27	9.4	10.9	9.7	10.0	1.2	618.7	619.2	619.6	76	81	95	E 1	E 1	E 1	0	3	1	.	
28	10.0	14.0	10.2	11.4	2.6	619.0	619.3	619.2	94	80	98	ENE 1	SW 1	SW 1	0	8	2	.	
29	10.4	12.7	11.5	11.5	2.8	617.9	618.9	617.2	78	66	80	S 0	NW 1	SW 1	0	1	1	.	
30	12.1	13.8	12.9	12.9	4.3	616.8	617.7	618.4	76	77	61	SSE 1	SW 1	SE 1	7	9	3	.	
31	12.8	14.1	12.6	13.2	4.7	618.1	618.6	618.6	72	77	77	WSW 1	ENE 1	E 3	1	2	10	1.3	⛆ n (31./1.)
																		Summe	
Mittel	9.1	11.6	9.4	10.1	—	617.0	617.4	617.4	84	83	87				6.1	6.5	6.2	181.4	

August 1939.
Beobachter: *P. Nogler.*

Bevers

$\lambda = 9° 53'$, $\beta = 46° 33'$.
H_b = ca. 1710^m, $G = -0.23\,^{mgal}/_m$.

Tag	Lufttemperatur					Luftdruck			Relative Feuchtigkeit			Windrichtung und Stärke			Bewölkung			Niederschlag	Witterung
	7^{30}	13^{30}	21^{30}	Mittel	Abweich. vom Normalst.	7^{30}	13^{30}	21^{30}	7^{30}	13^{30}	21^{30}	7^{30}	13^{30}	21^{30}	7^{30}	13^{30}	21^{30}		
1	13.1	21.0	13.6	15.9	4.3	626.7	625.5	625.5	68	39	78	NE 1	SW 2	SW 0	4	3	2	.	
2	11.8	17.4	11.5	13.6	2.1	625.6	623.9	624.4	84	42	82	WNW 1	W 1-2	NW 1	9	7	8	0.2	● 21-21½
3	10.6	17.5	10.6	12.9	1.4	623.0	621.9	621.1	84	51	95	S 1	W 1	SW 1	7	10●	10	17.4	● 8¼-8½, 12½-n zeitw.
4	9.1	12.7	8.2	10.0	−1.4	618.7	619.9	621.2	100	81	91	S 1	SW 1	W 1	10●	10●	10●	**25.4**	● n-n
5	12.2	16.3	9.7	12.7	1.3	620.4	619.4	**618.1**	83	48	100	NE 1	NW 1-2	NE 1	9	9	10●	20.9	● n-n m.U.
6	10.2	10.3	4.3	8.3	−3.1	618.3	621.3	622.8	89	58	92	NE 1	N 2-3	WSW 1	9	10	0	1.7	
7	6.4	15.3	9.2	10.3	−1.0	622.7	621.7	621.4	76	47	89	S 1	S 2	SW 1	5	8	0	.	
8	8.1	13.1	6.8	9.3	−2.0	620.2	619.4	621.0	93	63	98	NW 1	WNW 1-2	W 1	10	10	0	.	
9	11.3	16.3	6.3	11.3	0.1	622.2	623.5	625.0	67	41	91	N 1	ENE 2	NE 1	8	3	0	.	
10	5.3	19.2	9.8	11.4	0.2	625.3	625.4	627.0	61	**30**	83	WSW 1	W 2	SW 1	6	0	0	.	
11	7.6	20.2	11.5	13.1	2.0	**627.3**	625.6	625.6	81	39	94	SW 0	SW 2	W 1	0	3	3	.	
12	9.6	18.2	12.2	13.3	2.2	625.6	625.4	624.7	83	42	83	NNW 1	W 2	NW 1	3	6	3	.	
13	14.2	17.9	10.6	14.2	3.2	623.8	623.8	625.5	81	55	94	W 1	W 3-4	WSW 1	6	10	8	.	
14	13.4	19.8	11.3	14.8	3.9	625.4	624.3	625.5	76	32	96	SSE 0	SW 2-3	SE 1	5	3	10●	0.7	● K$_A$ 20¼, ● III
15	10.5	**22.0**	6.2	12.9	2.0	624.9	625.4	625.9	86	35	77	NE 1	NE 2	NE 1	8	4	0	.	
16	**2.2**	16.5	9.5	9.4	−1.4	625.0	623.5	624.8	91	33	70	S 1	WSW 1-2	NW 0	0	1	3	.	
17	8.5	18.4	11.8	12.9	2.2	623.6	621.9	623.0	85	48	84	WSW 1	ENE 1	NE 1	4	4	6	.	
18	12.2	21.3	10.0	14.5	3.8	622.9	622.0	623.8	78	34	96	E 0	SSW 2	SW 1	8	6	0	5.2	● K$_A$ 19½-20
19	10.8	19.7	10.2	13.6	3.0	622.3	622.0	621.5	81	44	83	W 1	SW 2	NE 1	6	8	10	0.5	●sch. 13-14
20	11.6	14.8	9.8	12.1	1.6	620.1	619.8	620.3	78	59	85	W 1-2	S 2	S 0	10	10	8	0.9	● n (20./21.)
21	11.6	10.1	10.6	10.8	0.4	620.8	622.4	623.2	75	51	79	S 0	S 0	S 0	9	10	10●	2.3	● III
22	9.2	15.2	9.6	11.3	0.9	623.4	623.6	624.0	95	60	93	NW 0	S 0	S 0	7	10	7	.	
23	10.4	15.4	10.2	12.0	1.7	624.1	624.0	625.0	90	59	92	NW 0	SW 1	S 0	10	10	6	.	
24	8.8	14.0	9.5	10.8	0.6	624.4	622.5	621.0	95	57	98	S 0	SW 1	SW 1	8	7	8	2.2	● K$_A$ 16½-17
25	9.2	13.8	10.2	11.1	1.0	620.6	619.8	621.1	92	62	98	S 0	S 1	SW 1	10	10	10●	2.9	● 10-11, 16-n
26	10.9	15.2	10.0	12.0	2.0	622.1	622.5	623.2	72	53	90	SW 1	WSW 1	S 0	10	10	10	.	
27	11.2	17.1	10.8	13.0	3.1	623.5	624.8	625.3	69	50	85	SW 0	W 0	S 0	10	8	7	.	
28	9.2	18.3	10.0	12.5	2.7	625.2	625.4	625.4	84	43	78	W 0	SW 1	S 0	2	8	1	0.0	●tr. 8-8½
29	5.1	18.0	6.3	9.8	0.1	624.4	624.2	623.9	97	50	97	W 0	W 1	SW 0-1	0	1	1	.	
30	10.8	17.8	10.0	12.9	3.3	623.6	623.2	624.3	81	48	85	W 1	W 2-3	NW 2	6	6	3	.	
31	7.5	17.9	10.1	11.8	2.3	625.0	624.1	625.0	92	48	89	SW 0-1	SSW 2-3	SW 1	6	4	2	.	
																		Summe	
Mittel	9.8	16.8	9.7	12.1	—	623.3	623.0	623.5	83	48	88				6.6	6.7	5.0	80.3	

August 1939.
Beobachter: *Kapuzinerkloster.*

Sitten

$\lambda = 7° 21'$, $\beta = 46° 14'$,
$H_b = 548.6^m$, $G = -0.11\,^{mgal}/_m$.

1	16.0	24.6	20.4	20.3	1.0	**720.0**	717.7	718.0	84	52	55	NE 1	W 2	W 2	7	3	4	.	
2	18.7	24.2	19.9	20.9	1.7	718.9	716.1	716.1	69	49	56	NNE 1	W 2	W 2-3	3	3	0	.	
3	16.9	23.9	16.6	19.1	−0.1	714.6	710.9	711.3	75	52	88	W 1	SW 2-3	W 1-2	8	7	10●	1.8	● III
4	16.8	22.2	17.4	18.8	−0.3	710.4	**709.7**	711.4	82	58	78	E 1	W 1-2	W 1	4	8	10●	3.5	● III
5	15.5	18.1	14.9	16.2	−2.9	711.4	710.1	710.5	85	78	90	SW 1	W 2	W 1	10●	10	10●	**38.7**	● I, III
6	**13.6**	19.8	15.2	16.2	−2.8	714.9	713.8	715.0	86	55	75	N 1	W 1	NE 1	10	9	7	.	
7	14.1	20.7	17.1	17.3	−1.7	715.3	712.7	712.7	78	52	70	NE 0	W 1	W 1	9	5	10	2.8	
8	13.7	16.6	15.8	15.4	−3.5	712.1	712.1	714.9	99	83	88	N 0	W 1	W 1	10●	10●	9	8.9	● I, II
9	15.8	23.5	19.8	19.7	0.9	715.4	714.6	717.1	84	**46**	78	NW 0	W 2	W 1	8	5	2	.	
10	13.1	23.6	18.2	18.3	−0.5	718.8	717.1	717.9	87	53	75	NE 0	W 1-2	W 1	3	2	0	.	
11	16.6	**25.3**	20.1	20.7	2.0	719.4	717.6	717.6	78	52	65	NE 1	W 2-3	W 1-2	0	4	5	.	
12	16.9	24.5	19.9	20.4	1.8	718.3	715.4	715.5	76	52	69	NE 0	W 2	W 1-2	3	3	4	.	
13	19.4	23.0	20.2	20.9	2.3	716.3	714.7	715.6	74	58	66	N 1	W 3-4	W 2	8	2	0	.	
14	16.5	23.0	19.4	19.6	1.1	717.6	715.9	716.5	82	60	67	NNW 0	W 3	W 1	6	3	0	.	
15	16.6	22.8	17.6	19.0	0.6	717.9	716.0	717.1	83	62	72	NE 0	W 1-2	W 1-2	10	1	6	.	
16	15.7	23.5	19.8	19.7	1.4	717.7	714.6	717.1	83	**46**	78	NE 0	W 2	W 1	9	5	2	.	
17	17.3	23.2	18.2	19.6	1.3	718.1	716.5	713.5	70	53	76	NE 1	W 2	W 2	2	5	0	.	
18	15.0	23.6	18.9	19.2	1.0	714.4	712.5	712.7	82	69	66	NE 1	W 2-3	W 2	1	3	0	.	
19	16.4	23.8	18.0	19.4	1.3	713.3	711.1	713.5	74	56	82	NE 0	W 2-3	W 1	2	7	8●	4.3	● 18½-n
20	17.0	21.2	18.1	18.8	0.8	711.4	710.3	710.3	79	63	83	ENE 1	W 1	W 1	8	8	10	0.8	●° mtgs.
21	16.1	18.9	17.6	17.5	−0.5	711.3	712.3	712.8	91	81	82	ENE 0	W 1	W 1	9	10●	9	1.3	● n-n m.U.
22	17.1	20.6	16.7	18.1	0.2	714.9	714.7	714.4	90	70	80	WSW 1	W 0	W 1-2	10	9	8	0.7	●° n-n m.U.
23	15.8	22.3	17.9	18.7	0.9	715.8	715.9	716.0	85	88	77	N 0	W 2	W 1	10	10	7	0.1	
24	14.3	22.4	17.2	18.0	0.3	715.3	714.6	712.1	86	60	64	NE 0	W 2	W 1	8	8	8	.	
25	17.3	21.7	17.1	18.7	1.1	711.2	711.5	713.5	75	62	93	E 0	W 1-2	W 1	7	9	10	2.1	● p
26	17.6	22.8	18.7	19.7	2.1	714.8	714.0	715.9	81	54	68	W 1	W 1	W 1	5	7	3	.	
27	17.2	24.8	19.1	20.4	2.9	717.1	715.2	716.5	80	49	73	NE 0	W 2	W 1-2	9	4	3	.	
28	16.1	23.4	19.8	19.8	2.4	717.3	715.8	715.9	84	56	71	NE 1	W 2	W 1	4	5	2	.	
29	16.8	25.2	20.0	20.7	3.4	716.2	713.4	713.6	75	51	60	NE 1	W 1	W 1-2	1	4	3	.	
30	16.5	24.4	19.1	20.0	2.8	714.5	713.5	714.2	73	53	70	NE 1	W 0	W 1-2	3	5	4	.	
31	15.5	24.2	20.5	20.1	3.0	715.7	714.3	715.1	81	53	65	NE 0	W 1-2	W 0	4	5	8	.	
																		Summe	
Mittel	16.2	22.6	18.4	19.1	—	715.5	714.0	714.6	81	59	73				6.2	5.8	5.2	63.0	

$\lambda = 8° 57'$, $\beta = 46° 0'$,
$H_b = 276.2^m$, $G = -0.01\ ^m/_m$.

Lugano

August 1939.
Beobachter: *G. Vicari.*

Tag	Lufttemperatur 7³⁰	13³⁰	21³⁰	Mittel	Abweich. vom Normalst	Luftdruck 7³⁰	13³⁰	21³⁰	Relative Feuchtigkeit 7³⁰	13³⁰	21³⁰	Windrichtung und Stärke 7³⁰		13³⁰		21³⁰		Bewölkung 7³⁰	13³⁰	21³⁰	Niederschlag	Witterung
1	18.0	27.6	23.0	22.9	1.5	741.0	740.2	739.8	77	54	70	N	0	SW	1	N	1	2	2	2	.	
2	18.6	27.2	20.8	22.2	0.8	739.4	737.6	737.0	87	61	80	NE	0	SE	1	N	1	3	4	4	9.3	[14½
3	18.4	18.4	17.8	18.2	-3.1	737.8	737.1	735.0	88	89	93	SSW	0	W	1	S	1	10	10●	10●	64.9	⊼ ● 3½-4½, 21-n, ● 10½-
4	17.0	21.0	16.0	18.0	-3.3	733.6	734.8	735.7	92	81	92	E	1	E	1	N	1	10●	10●	10	67.1	● n-19½ m.U.
5	17.0	19.8	20.0	18.9	-2.3	735.0	733.1	**731.4**	93	85	77	W	0	S	1	S	1	9	10	8	37.8	⊼ ● n-20¾ zeitw.
6	15.2	23.8	16.2	18.4	-2.8	734.4	735.5	737.1	76	33	72	S	1	N	2	N	1	10	0	2	1.6	●sch. 7-8, ⊼ 7-7½
7	15.6	22.6	18.0	18.7	-2.4	738.1	737.6	736.6	66	53	80	N	1	S	1	N	1	9	4	10	6.2	● n (7./8.)
8	15.6	20.6	15.6	17.3	-3.7	735.3	734.3	735.8	88	64	84	W	1	SE	1	N	1	10	10	0	1.3	●ᶜsch. zeitw. p
9	**14.8**	25.4	19.8	19.9	-1.1	735.8	735.9	737.5	84	50	68	N	1	S	1	N	1	0	4	0	.	
10	15.8	26.2	20.4	20.8	-0.1	740.7	740.4	741.1	71	53	82	NNE	1	S	1	N	1	2	0	0	.	
11	17.8	27.2	20.6	21.9	1.1	**742.0**	740.2	739.5	84	58	68	N	1	S	0	N	1	0	1	0	.	
12	18.2	27.2	21.4	22.3	1.5	739.9	738.6	737.1	84	56	71	NE	1	SE	1	S	1	0	0	0	34.3	
13	19.0	22.0	20.0	20.3	-0.4	738.7	739.5	739.7	92	74	84	W	0	SSE	0	N	1	10	8	6	18.3	● ⊼ 3, ● 10-12 m.U.
14	18.4	26.4	20.8	21.9	1.3	740.0	739.4	739.0	86	58	80	N	0	SSE	1	N	1	7	2	0	.	
15	17.0	**29.4**	19.2	21.9	1.4	738.3	737.5	739.0	73	**25**	51	N	1	NNE	2	N	1	0	0	0	.	
16	16.0	25.2	17.4	19.5	-1.0	739.8	737.8	736.3	78	48	74	NE	0	S	1	S	1	0	0	0	.	
17	15.8	25.2	18.4	19.8	-0.6	737.8	737.2	737.2	78	54	68	NE	0	SE	1	N	1	5	2	4	.	
18	17.2	25.8	17.8	20.3	0.0	738.3	736.9	737.0	78	53	71	N	1	S	1	N	1	6	0	0	.	
19	18.2	25.4	15.6	19.7	-0.5	737.1	735.3	736.8	81	58	95	N	1	S	1	N	1	10	4	10●	63.3	⊼ ●² 21-21½, ● n zeitw.
20	15.8	22.4	17.8	18.7	-1.4	735.5	734.9	735.5	93	58	88	S	0	S	1	NNE	1	10	6	8	10.8	●sch. p, n
21	16.8	19.4	18.0	18.1	-2.1	735.7	736.3	736.5	88	72	90	N	1	W	1	N	1	10	10	4	.	
22	16.2	20.4	17.2	17.9	-2.1	737.5	738.7	738.5	83	77	83	NW	1	W	1	N	1	8	10	3	9.0	● n (22./23.)
23	16.2	17.6	17.4	17.1	-2.8	739.1	741.8	738.2	92	89	61	N	1	W	1	N	1	10●	10●	8	11.2	●° 7½-12½ m.U.
24	17.4	21.4	18.4	19.1	-0.7	738.1	738.2	737.2	63	61	85	N	1	NW	0	W	1	5	8	10	14.1	●sch. 12½, 16-16½
25	16.4	19.4	18.0	17.9	-1.8	735.4	735.0	735.9	91	78	80	N	1	W	1	N	1	10●	10●	7	6.2	● n-p m.U.
26	17.0	25.2	18.4	20.2	0.6	736.8	736.7	738.0	78	53	84	N	1	S	1	SE	1	3	3	0	.	
27	16.0	26.6	19.4	20.7	1.2	739.1	738.6	738.2	87	55	81	N	1	E	1	N	1	0	5	4	.	
28	17.0	27.0	20.0	21.3	1.9	739.5	738.5	738.0	80	50	71	NE	1	S	1	SE	1	3	4	8	0.5	● ⊼ 23
29	16.0	26.2	19.8	20.7	1.4	739.0	737.7	737.0	83	47	80	N	1	SSE	1	NE	1	7	5	8	.	
30	19.0	26.2	20.4	21.9	2.7	738.3	737.7	738.2	83	56	78	N	1	E	1	N	1	8	5	8	.	
31	18.0	26.8	21.0	21.9	2.8	739.4	738.7	738.5	81	52	84	N	1	S	1	SSE	1	4	5	7	.	
																					Summe	
Mittel	16.9	24.0	18.9	19.9	—	737.9	737.5	737.4	83	60	78							5.8	4.9	4.6	355.9	

$\lambda = 7° 35'$, $\beta = 47° 33'$,
$H_b = 318^m$, $G = 0.11\ ^m/_m$.

Basel

August 1939.
Beobachter: *Astronom.-Meteorol. Anstalt.*

1	17.2	21.8	17.0	18.7	0.6	**740.4**	739.5	739.4	76	54	89	SSW	0	WNW	1	SW	1	4	9	7	.	
2	17.3	23.9	15.8	19.0	1.0	739.4	737.7	736.7	76	**47**	82	SSE	0	WNW	1	SSW	1	1	5	5	.	
3	14.8	24.2	16.4	18.5	0.5	734.2	731.9	731.8	83	51	85	SE	1	WNW	1	WSW	1	7	9	10	1.2	
4	14.7	22.6	16.2	17.8	-0.1	730.0	729.7	731.9	83	57	85	E	1	WNW	1	E	1	9	6	10	2.2	● 2¼-3¼, 20½-24¼
5	14.1	15.0	13.2	14.1	-3.7	731.6	731.1	730.7	93	89	97	ESE	1	NW	1	W	1	10●	10	10●	25.6	● 1¾-23¼ m.U.
6	12.5	16.1	14.6	14.4	-3.4	732.7	733.8	735.2	94	77	84	ESE	1	NW	1	SW	1	10●	10	10	0.3	● 2¾-7½, 18¾
7	**11.0**	23.0	16.6	16.9	-0.8	735.1	733.3	731.7	97	49	90	E	1	S	0	S	0	10●	7	10	1.9	● 19¼, ≡ n-8. T 19¾
8	14.1	16.0	15.5	15.2	-2.4	730.9	730.6	732.7	94	92	91	SE	1	E	0	WSW	1	10	9	9	8.0	● 0-19 zeitw., ⊼ 18¼
9	16.7	20.0	15.2	17.3	-0.3	735.4	735.7	737.1	81	66	89	SE	1	W	0	S	1	4	9	1	.	⊕° 17
10	16.4	24.9	17.6	19.6	2.1	738.3	737.7	738.0	81	55	88	E	0	W	1	SSW	1	4	1	2	.	△ 1
11	17.1	26.6	17.6	20.4	3.0	738.6	737.5	737.2	87	52	87	ENE	1	WNW	1	S	1	7	5	4	.	
12	16.1	23.7	16.6	18.8	1.5	738.3	737.3	737.8	92	59	85	SW	0	WNW	1	W	1	10	6	10	0.3	● 7¼-7½, 11-11¼
13	14.3	21.2	16.5	17.3	0.0	737.4	737.1	737.7	95	61	85	WNW	1	WNW	1	WSW	1	10	9	8	.	
14	13.2	22.1	16.8	17.4	0.2	738.8	738.1	738.7	88	66	74	WSW	1	WNW	1	W	1	10	5	10	.	
15	12.3	22.2	13.8	16.1	1.0	739.7	739.2	739.7	89	55	84	W	0	WNW	1	SW	1	10	3	0	.	
16	12.2	22.2	14.6	16.3	-0.7	739.4	738.0	737.5	97	50	81	SW	0	NNE	1	ESE	1	0	2	0	.	
17	12.8	23.8	16.7	17.8	0.8	736.1	734.9	734.4	91	57	80	NW	1	SSE	1	NE	1	S	8	0	.	△ 1
18	13.3	21.8	16.8	17.3	0.4	734.3	733.5	732.5	98	63	92	W	1	ENE	1	ENE	1	10≡	0	0	.	≡ n-9
19	15.4	**27.9**	16.0	19.8	3.0	732.7	731.3	731.3	89	50	93	ENE	1	E	1	S	1	1	2	9	**49.2**	⊼ 16⅝-18½, T 18½-20
20	16.1	25.1	18.2	19.8	3.1	730.4	729.4	**729.1**	92	62	94	ESE	1	WNW	1	SE	0	10	6	9	0.3	⊓T 12¼, 21¼
21	17.0	22.1	17.6	18.9	2.3	730.4	731.0	732.5	94	70	91	ESE	1	W	1	SW	1	10	10	10●	3.0	● 3¼-4⅝, 12⅝, 21¼-23,
22	16.5	23.3	17.4	19.1	2.6	734.5	734.3	734.4	96	66	90	SE	1	NNW	1	WSW	1	10	9	10●	2.9	● 2½-3¾, 15½-22½ zeitw.
23	16.2	21.2	18.4	18.6	2.1	735.4	735.3	735.3	96	75	89	WNW	1	W	1	S	1	10	10	10	1.1	● 5½-6⅝, 7¼, 22¼-22⅝
24	17.0	25.3	18.4	20.2	3.8	734.8	733.5	730.8	94	61	94	ESE	1	WNW	1	SW	1	10	3	8	1.3	● 0⅝-1¼, 22½-22⅝, ∠ 20
25	16.8	20.6	16.9	18.1	1.8	730.2	731.2	732.9	95	74	90	WNW	1	SW	1	WSW	1	10	10	10	12.1	● 9¾, 21¼-n, ∠ 20¾-22
26	16.6	24.0	18.3	19.6	3.4	734.5	734.8	736.0	95	60	90	SSW	0	WNW	1	SW	1	10	5	8	.	● n-7 zeitw.
27	16.8	23.4	17.4	19.2	3.1	737.2	736.6	736.8	93	65	93	ESE	1	NW	1	SSW	1	10	3	3	.	
28	14.9	24.7	17.0	18.9	2.9	736.8	735.9	736.0	98	56	94	SE	1	NE	1	SSW	1	10≡	4	1	.	≡ 4¼-8½
29	15.0	26.6	18.0	19.9	3.9	735.3	733.5	732.8	87	49	92	ESE	1	NE	1	SSW	1	1	1	4	2.5	
30	16.7	24.8	18.4	20.0	4.1	732.3	733.0	733.5	86	61	91	E	1	WSW	1	S	1	6	10	8	.	● 2¾-3¼, ⊼ 2½-4½ U.m.
31	17.9	26.5	19.4	21.3	5.5	734.3	734.4	734.7	86	56	78	ESE	1	NNW	1	SSW	1	4	4	10	.	⊼ ● 20½-21
																					Summe	
Mittel	15.3	22.8	16.7	18.3	—	735.1	734.5	734.7	90	62	88							7.6	6.1	6.6	111.9	

August 1939.
Beobachter: *Observatorium.*

Säntis

$\lambda = 9° 20'$, $\beta = 47° 15'$,
$H_b = 2500.1^m$, $G = -0.27$ ‰.

Tag	Lufttemperatur					Luftdruck			Relative Feuchtigkeit			Windrichtung und Stärke			Bewölkung			Niederschlag	Witterung
	7^{30}	13^{30}	21^{30}	Mittel	Abweich. vom Normalst	7^{30}	13^{30}	21^{30}	7^{30}	13^{30}	21^{30}	7^{30}	13^{30}	21^{30}	7^{30}	13^{30}	21^{30}		
1	4.5	9.2	5.0	6.2	0.8	569.6	569.6	569.8	100	76	99	SW 2	SSW 1	WSW 2	4	10≡	8	.	≡ n-n m.U.
2	3.5	9.7	3.1	5.4	0.0	568.6	568.5	567.8	100	62	100	WSW 2	SW 2	WNW 2	10≡	9	10≡●	2.6	● lll, ≡ n-n m.U.
3	5.7	9.3	3.4	6.1	0.7	565.2	564.3	563.6	85	91	100	ESE 2	SSW 2	W 4	7≡	10≡	10≡●	53.9	● 17¼-n, ⊼ ▲ 17¼, ⸗ III
4	3.2	6.5	3.4	4.4	−0.9	562.0	563.0	563.5	100	83	99	SSW 2	SSW 1	SE 2	10≡●	10●	10	4.2	● ≡ n-n zeitw.
5	6.4	9.0	5.0	6.8	1.5	562.6	562.6	561.4	74	63	94	SSW 3	S 4	E 2	5	9	10	36.5	● 10¼-n zeitw., *)
6	−1.7	0.0	0.4	−0.4	−5.7	560.9	563.5	564.7	100	100	100	W 4	WSW 3	WSW 4	10≡*	10≡	10≡	4.3	✳ n-10, 18-18⅝, *) ⊠
7	2.4	7.8	2.8	4.3	−1.0	564.9	564.7	564.1	63	69	100	WSW 2	SW 2	WNW 3	3	10≡	10≡●	4.8	● 20⅜-n, ≡ 11½-n m.U.
8	1.8	5.4	2.7	3.3	−2.0	562.3	562.1	563.1	100	97	100	SSW 1	SSW 1	W 3	10●	10≡●	10≡●	69.5	● n-n m.U., ≡ 11-n m.U.
9	0.9	4.6	3.0	2.8	−2.4	564.7	566.5	567.5	100	76	97	W 2	WSW 2	W 3	10≡*	8	10≡	1.1	✳ 6½-8, ● 8-9, ≡ n-13
10	4.0	9.6	6.2	6.6	1.4	568.2	569.6	570.4	58	70	96	SW 2	SSW 2	W 2	1	8	10≡	.	≡ 21-n
11	8.2	12.8	7.0	9.3	4.1	570.0	569.8	569.6	63	68	100	SW 2	SW 2	WSW 2	2	10≡	10≡	.	≡ 12-n m.U.
12	5.5	9.2	6.2	7.0	1.8	568.6	569.0	568.6	98	70	97	W 2	SSW 2	SW 1	10≡	10≡	10≡	.	●tr. 16⅝, ≡ n-n m.U.
13	6.0	10.4	5.8	7.4	2.3	567.4	567.9	568.6	97	70	98	SSW 0	SW 1	WSW 1	10≡	10≡	10≡	.	≡ n-n m.U.
14	5.6	9.0	4.6	6.4	1.3	568.2	568.7	568.7	93	68	98	SW 1	SW 2	WSW 2	10≡	6	10≡	.	≡ n-8½, 15-n
15	1.4	4.2	1.0	2.2	−2.9	567.9	568.6	568.8	80	83	98	NE 1	SW 1	NE 1	10	10≡	10≡	.	≡ 9-17, 20-n
16	1.3	3.8	3.0	2.7	−2.3	567.4	568.0	567.8	83	78	77	NE 1	SSE 1	NE 2	3	3	10	.	≡ 15-20 zeitw.
17	4.0	7.8	4.9	5.6	0.6	566.2	566.3	566.3	70	76	70	NE 3	SE 1	SE 0	3	10≡	0	.	≡ 9⅝-19½ m.U.
18	7.1	9.4	6.8	7.8	2.9	565.6	566.6	566.4	45	57	61	SW 2	S 1	W 0	0	8	1	.	
19	8.2	7.8	6.6	7.5	2.6	565.6	565.7	564.8	54	81	77	ENE 0	NNW 0	NE 0	3	9●	8	0.7	●°sch. 13½, ● u, ≡ 15½-17
20	7.0	9.2	6.2	7.5	2.7	563.3	563.3	563.2	60	64	88	SE 1	S 1	SW 2	10	10	2	.	≡ 14-17
21	6.7	8.4	5.8	7.0	2.2	563.3	564.3	565.0	67	96	98	SE 1	SW 1	SW 1	10	10≡	10	4.3	● 16⅝-17⅝, ≡ 12-18⅝
22	5.6	11.0	5.8	7.5	2.8	565.9	566.5	566.6	94	68	100	SW 0	SSW 2	ENE 1	10	10≡	10≡	1.5	● n, 14⅜-15¼, ≡ 8-n m.U.
23	7.6	8.7	6.6	7.6	3.0	566.6	567.3	567.7	62	59	76	ESE 2	SE 2	E 1	9	10	8	1.0	●sch. 17⅝, 18½, ≡ 14½-18⅜
24	7.8	10.8	6.8	8.5	3.9	566.8	566.5	565.0	62	74	65	ESE 1	S 1	E 2	1	10	10	12.6	● 19½-20½, ≡ 14½-16 zeitw.
25	7.0	7.0	4.6	6.2	1.7	563.1	563.7	564.7	65	100	100	NE 1	SW 1	N 0	8	10≡●	10≡●	57.7	● 13-n m.U., ≡ 12-n
26	3.4	6.3	4.2	4.6	0.2	565.3	566.7	567.6	90	95	100	NE 1	SW 1	NNW 1	9	10≡	6	9.4	● 18⅜-20, ≡ 9½-19½
27	6.0	8.9	6.0	7.0	2.6	567.8	568.4	568.7	56	76	43	NE 2	SSW 1	NNE 2	2	10≡	3	.	≡ 11½-16½
28	6.4	8.6	5.6	6.9	2.6	568.1	568.5	568.4	61	74	78	NE 1	S 0	WSW 0	1	9	1	.	●tr. 13⅝, ≡ 14-19 m.U.
29	8.4	10.4	6.6	8.5	4.3	567.1	567.2	566.8	50	65	80	S 1	S 1	SW 2	1	8	1	.	●°sch. 16¼, ≡ 16¼-17½
30	7.7	7.2	7.8	7.6	3.5	566.1	567.0	567.4	65	81	63	WSW 2	WSW 2	SW 2	8	10	3	.	●°sch. 11¾
31	8.0	11.4	8.2	9.2	5.2	567.5	568.3	568.2	63	72	94	SW 1	S 1	SSE 2	8	9	10	0.9	≡ 13-16 m.U.
																		Summe	
Mittel	5.1	8.2	5.0	6.1	—	566.3	566.5	566.6	76	76	89				6.4	9.2	7.8	265.0	

*) **5.** ≡ 18-20 m.U., ⸗ II, **6.** ≡ n-n m.U., ⸗ I, III

August 1939.
Beobachter: Frl. *F. Lombardi.*

St. Gotthard (Hospiz)

$\lambda = 8° 34'$, $\beta = 46° 33'$,
$H_b = 2095.7^m$, $G = -0.25$ ‰.

1	7.2	12.6	8.2	9.3	0.8	598.4	598.2	598.4	90	71	100	N 1	N 1	N 1	5	5	10≡	.	≡ 20-n
2	7.0	11.8	7.0	8.6	0.1	598.2	596.6	596.3	100	41	89	N 1	N 1	N 1	5	3	8	.	
3	7.2	8.4	7.4	7.7	−0.8	594.4	593.4	592.6	58	96	100	N 0	S 0	S 0	5	10≡	10≡●	24.0	● 15-n, ≡ 11-n
4	6.2	7.4	6.2	6.6	−1.8	590.3	591.6	592.5	71	100	100	S 0	S 0	S 0	8	10●	10≡●	80.3	● 9-n, 16-n
5	7.3	5.4	5.2	6.0	−2.4	591.2	591.3	589.5	100	100	100	S 0	SE 1	SE 1	10≡●	10≡●	10≡●	145.6	● ≡ n-n
6	−0.4	4.8	4.8	3.1	−5.3	591.4	593.0	594.1	100	52	100	N 2	N 2	N 1	10≡*	5	5	0.6	● ✳ ≡ n-9¼
7	5.0	7.4	5.0	5.8	−2.6	593.9	593.9	593.0	53	72	100	N 0	N 0	SE 0	5	8	10≡●	9.0	● 11, 19¼-n, ≡ 19½-n
8	4.8	6.0	5.3	5.4	−2.9	591.3	591.0	592.9	100	100	68	SE 0	SE 0	SE 1	10≡	10≡	6	6.0	✳ n-17, ● n
9	4.0	8.2	6.4	6.2	−2.1	593.8	594.8	595.4	100	55	69	N 1	N 1	N 1	8	6	6	.	
10	9.2	13.2	7.2	9.9	1.6	597.9	598.0	598.3	50	31	48	N 0	N 0	N 1	2	0	0	.	
11	6.8	15.8	10.2	10.9	2.7	598.7	598.3	598.2	55	50	100	N 1	N 0	S 0	0	4	10≡	.	≡ 20-n
12	8.2	12.2	9.0	9.8	1.6	597.6	597.1	597.2	100	58	100	N 1	N 1	N 1	5	5	10≡	.	≡ 20-n
13	10.2	13.2	8.4	10.6	2.5	595.9	596.3	597.2	75	83	100	N 0	S 1	N 0	8	8	10≡	.	≡ 18-n
14	12.2	15.4	9.4	12.3	4.2	597.0	597.1	597.3	65	45	100	N 0	N 0	N 0	3	5	10■	.	≡ 16½-n
15	6.8	8.4	5.7	7.0	−1.0	596.4	596.9	597.6	100	67	100	N 1	N 2	N 2	5	3	3	.	
16	4.0	8.6	5.8	6.1	−1.8	595.9	595.8	595.8	85	52	73	N 1	N 1	N 2	0	0	0	.	
17	7.2	14.2	7.0	9.5	1.6	594.4	594.7	594.9	48	31	87	N 0	N 0	N 0	5	5	5	.	
18	8.8	15.0	10.0	11.3	3.5	594.7	594.7	595.3	74	37	90	N 0	N 0	N 0	5	5	5	.	
19	7.4	16.2	9.1	10.9	3.2	594.1	593.8	593.1	68	35	82	N 0	N 1	N 0	1	4	5	1.6	● 22-n
20	10.0	9.0	7.0	8.7	1.1	592.3	592.1	593.4	74	90	81	SE 0	SE 0	SE 0	5	10≡	10≡	4.4	● zeitw., ≡ 10-n
21	7.2	7.6	6.8	7.2	−0.4	593.4	593.1	593.6	88	100	73	SE 0	SE 1	SE 1	10≡	10≡●	10≡	5.2	● 10⅜-16⅜ zeitw., ≡ n-n
22	10.2	10.8	7.8	9.6	2.1	594.7	595.7	595.3	48	61	81	SE 0	SE 0	SE 1	8	10	8	0.8	● 13-13¼
23	6.8	8.2	7.4	7.5	0.1	595.4	596.3	596.3	95	86	68	SE 1	SE 1	SE 1	10≡	10≡●	5≡	0.5	● 13-15¼, ≡ n-n
24	7.2	11.6	8.0	8.9	1.6	595.8	595.7	593.1	80	58	79	SE 0	SE 1	SE 0	8	5	8	4.8	● 16¼-18
25	8.0	9.8	6.8	8.2	1.0	591.5	592.3	593.1	74	88	100	SE 0	SE 0	N 1	10	10≡	10≡●	1.0	● 16-n, ≡ 13¼-n
26	7.2	9.2	7.6	8.0	0.8	593.7	595.2	596.3	100	87	68	N 1	N 1	N 1	8	8	8	.	
27	6.2	13.2	7.4	8.9	1.8	596.5	597.0	597.3	70	55	69	N 1	N 1	N 1	0	4	0	.	
28	6.4	15.5	8.0	10.0	3.0	596.8	596.0	595.8	58	35	86	N 1	N 1	N 1	0	10	5	.	
29	7.4	14.8	7.0	9.7	2.8	595.8	595.9	595.6	57	45	72	N 1	N 1	N 1	0	2	5	1.0	● ⊼ 17-17¼
30	7.9	15.8	10.0	11.2	4.4	595.6	596.0	596.4	52	55	98	N 1	N 0	NE 0	2	2	5	0.7	● ⊼ 16½-17
31	9.0	14.6	10.4	11.3	4.6	596.4	596.6	597.2	80	47	64	NE 0	NE 0	NE 0	5	5	5	.	
																		Summe	
Mittel	7.2	11.1	7.5	8.6	—	594.9	595.1	595.3	76	64	85				5.4	6.2	6.8	285.4	

$\lambda = 7° 26'$, $\beta = 46° 57'$,
$H_b = 572.2^m$, $G = 0.00^m/_m$.

Bern

September 1939.
Beobachter: *Tellur. Observatorium.*

Tag	Lufttemperatur					Luftdruck			Relative Feuchtigkeit			Windrichtung und Stärke									Bewölkung			Niederschlag	Witterung
	7^{30}	13^{30}	21^{30}	Mittel	Abweich. vom Normalst.	7^{30}	13^{30}	21^{30}	7^{30}	13^{30}	21^{30}	7^{30}		13^{30}		21^{30}		7^{30}	13^{30}	21^{30}				
1	15.3	22.6	17.7	18.5	2.9	713.7	713.6	714.7	92	64	96	SE	1	E	0	SW	1	5	7	10●	11.6	● 20–23 m.U., ⚿ $20^3/_4$–$21^1/_4$
2	15.4	21.5	18.5	18.5	3.0	714.2	713.4	712.9	96	70	88	SE	0	N	1	E	0	6	2	1	.	● $1^1/_4$–$3^1/_2$
3	15.2	23.8	19.0	19.3	4.0	712.6	711.8	711.4	93	58	70	S	0	S	1	SE	1	7	6	7	0.1	△ l
4	17.0	15.2	13.0	15.1	−0.1	711.4	712.4	712.6	90	96	97	SW	0	W	1	SE	1	10	10●	10●	32.6	● $3^3/_4$, $9^1/_2$, $11^1/_2$–$21^3/_4$
5	12.2	13.0	13.2	12.8	−2.3	712.0	713.3	713.9	97	95	96	E	0	W	1	NE	0	10●	10●	10	1.4	● $1^3/_4$–3, 7–10, $13^1/_2$–14 m.U.
6	12.2	18.0	14.3	14.8	−0.1	714.5	714.8	716.2	97	67	90	SE	1	NE	1	NE	0	6	2	1	.	
7	11.8	19.0	16.0	15.6	0.8	**717.1**	716.8	716.7	91	75	91	SE	0	NE	1	NW	0	5	6	0	.	≡ n–$6^1/_4$, △ l
8	13.0	18.0	16.1	15.7	1.0	716.6	716.2	715.2	98	82	91	SE	0	W	0	SW	0	10	10	0	.	≡ n–6, △ l
9	14.0	21.1	15.9	17.0	2.5	714.7	713.8	713.9	95	61	89	S	0	NE	1	SW	0	10	0	0	.	△ l
10	12.0	22.3	18.0	17.4	3.0	714.2	713.1	713.9	100	58	88	S	0	NE	0	SE	0	10*	0	7	.	≡ n–$7^3/_4$, △ l
11	14.1	**24.8**	18.0	19.0	4.8	712.8	711.4	710.6	90	**44**	80	SE	0	SW	2	SW	0	0	1	0	3.6	△ l
12	14.7	16.4	13.3	14.8	0.7	709.8	709.7	710.1	92	89	89	W	0	N	1	SW	0	10●	10	10	7.3	⚿ ● $5^1/_4$–$9^3/_4$ m.U., ● $15^1/_2$–19 m.U.
13	10.3	15.7	11.2	12.4	−1.5	709.1	709.0	709.2	93	59	92	S	0	S	2	W	0	3	4	10	2.8	● $17^1/_4$–$18^1/_4$, ≡ n–6, △ l
14	9.2	14.9	10.6	11.6	−2.2	707.6	706.6	706.7	95	68	87	SE	1	SW	1	W	0	5	6	2	3.1	● 12, $16^1/_2$–$16^3/_4$, 23–$23^1/_4$, △ l
15	9.9	13.5	10.3	11.2	−2.4	706.7	706.8	708.2	93	62	90	S	1	SW	0	SE	0	10	9	10	0.5	● $2^1/_4$–$6^1/_2$ m.U.,
16	9.9	14.0	11.2	11.7	−1.8	708.5	709.3	711.1	96	67	85	S	0	W	1	W	1	10	10	10	0.4	● $6^3/_4$–7, $9^1/_4$–$9^1/_2$
17	9.2	16.0	12.1	12.4	−0.9	712.4	712.2	712.3	95	58	89	S	0	NW	1	NE	1	9	9	1	0.1	● $1^3/_4$–$2^1/_4$ m.U.
18	11.0	10.3	9.3	10.2	−3.0	710.2	711.7	712.4	95	96	96	NE	1	SW	0	SE	0	10●	10●	10	27.5	● $7^1/_2$, $9^1/_4$–$16^1/_2$, $23^1/_4$–24
19	9.5	13.7	11.9	11.7	−1.3	711.5	711.6	712.4	95	80	90	S	0	N	1	NE	1	10	9	10	.	● $0^1/_4$–$1^1/_2$
20	10.0	14.5	11.0	11.8	−1.1	712.3	712.0	712.0	95	75	95	SE	0	NNE	1	NE	0	10	7	7	.	
21	10.2	14.8	11.2	12.1	−0.6	712.1	712.5	713.3	96	70	95	E	0	SW	0	NE	0	10	5	7	0.5	● $9^3/_4$–20 zeitw., △ l
22	7.1	12.0	10.1	9.7	−2.8	712.8	712.1	711.0	99	85	93	E	0	NE	1	N	0	10*	9	0	.	≡ n–$8^1/_4$, △ l
23	9.0	12.8	9.6	10.5	−1.9	709.9	709.6	710.3	97	79	95	NE	1	NE	1	S	0	10	10	0	.	△ l
24	6.5	14.5	10.7	10.6	−1.6	711.4	711.9	714.7	94	69	78	SE	0	NE	1	NE	1	8	6	5	.	≡ n–$6^3/_4$, △ l
25	7.3	13.0	8.3	9.5	−2.6	715.2	715.4	715.3	90	61	86	NE	1	NE	2	NE	1	0	1	1	.	△ l
26	5.5	14.0	11.0	10.2	−1.7	714.7	713.2	712.3	95	69	93	NE	0	NW	0	NE	0	10	2	8	.	△ l
27	7.0	10.3	7.3	8.2	−3.5	711.6	711.5	712.1	83	69	77	NE	1	NE	1	ENE	2	10	10	10	.	
28	3.7	5.8	4.0	4.5	−7.0	710.7	710.9	710.8	90	82	91	NE	2	ESE	1	S	0	10	10	1	.	
29	**3.0**	7.7	6.9	5.9	−5.4	709.0	707.8	706.9	95	79	92	N	1	NNE	1	N	0	10	10	10	.	△ l
30	7.3	12.0	9.0	9.4	−1.7	706.6	705.2	**703.9**	84	69	90	W	0	NE	1	W	0	10	0	10	3.6	
																					Summe	
Mittel	10.4	15.5	12.3	12.7	—	711.9	711.6	711.9	94	72	89							8.1	6.4	5.6	95.0	

Neuchâtel

$\lambda = 6° 57'$, $\beta = 47° 0'$,
$H_b = 487.3^m$, $G = 0.02^m/_m$.

September 1939.
Beobachter: *Observatorium.*

Tag																								
1	17.3	23.7	17.6	19.5	3.0	721.9	721.7	723.0	90	61	96	NE	0	S	1	NE	1	9	9	8	1.2	● $20^3/_4$–$21^1/_4$
2	16.8	24.4	18.7	20.0	3.6	722.3	721.5	720.8	94	62	80	N	0	SE	1	S	0	10	1	2	.	
3	16.4	**25.3**	19.5	20.4	4.1	720.7	719.9	719.2	96	57	82	S	0	S	1	S	0	2	7	10	.	
4	18.5	16.4	13.5	16.1	−0.1	719.4	720.6	720.9	76	98	96	E	2	W	1	E	0	9	10	10	18.4	● $10^1/_4$–17
5	12.7	13.6	12.5	12.9	−3.2	720.1	721.6	722.2	99	99	99	N	0	E	1	SE	0	10	10	10	2.7	● n–n m.U.
6	13.9	21.6	16.0	17.2	1.2	722.8	722.9	724.6	98	66	77	SE	2	E	2	NE	2	10	5	0	.	
7	14.2	21.7	17.3	17.7	1.9	**725.3**	725.2	725.0	94	66	82	E	0	E	2	NE	1	10	3	0	.	
8	14.3	21.2	15.8	17.1	1.4	724.9	724.3	723.3	99	74	90	NE	0	SE	1	S	0	10*	4	0	.	≡ l
9	14.2	23.3	17.5	18.3	2.7	722.9	722.0	722.0	94	62	76	S	0	SE	1	E	0	7	0	0	.	
10	12.8	23.3	18.1	18.1	2.7	722.4	721.5	721.7	98	61	84	NE	1	SE	1	NW	1	0	0	0	.	≡ n–$8^1/_2$
11	15.8	25.1	19.3	20.1	4.8	720.7	719.4	718.5	93	**55**	72	W	0	SW	3	NW	1	1	1	1	7.9	
12	14.0	17.2	13.4	14.9	−0.3	717.4	717.6	718.0	91	92	71	W	1	E	1	E	1	10	10●	2	2.1	● $13^1/_2$, ⚿ fr.
13	12.7	16.9	13.1	14.2	−0.8	716.9	716.9	717.4	77	60	78	W	0	SW	3	SW	1	9	7	10	0.9	● tr. zeitw.
14	12.7	17.5	11.6	13.9	−1.3	714.9	713.1	714.2	76	57	87	NW	0	SW	3	SW	1	10	6	10	4.4	● sch. a, p
15	10.6	12.0	11.6	11.4	−3.3	714.4	714.8	716.0	95	75	67	NW	0	NW	3	NE	2	8	10	8	1.2	● sch. zeitw.
16	11.0	14.4	11.8	12.4	−2.2	716.5	717.5	719.2	86	61	72	NE	0	NW	2	NW	2	10	10	10	.	
17	11.5	17.8	13.1	14.1	−0.3	720.4	720.3	720.4	76	58	84	W	1	SE	1	NW	0	9	7	7	0.2	
18	12.0	11.8	11.0	11.6	−2.6	718.7	719.7	720.6	90	95	98	NE	0	NW	0	NW	0	10●	10●	10●	**26.9**	● n–n
19	10.8	15.6	11.6	12.7	−1.4	719.8	719.6	720.6	98	82	89	NE	0	E	2	NW	1	10	10	7	0.1	● n–$8^1/_2$
20	12.0	18.0	12.8	14.3	0.4	720.6	719.9	720.2	93	64	80	NE	0	NE	2	NE	1	9	4	4	.	
21	11.2	13.9	10.1	11.7	−2.0	720.5	720.9	721.7	90	89	97	NE	0	S	0	NE	0	10	10	3	14.1	● $10^1/_2$–11, 17–$18^1/_2$
22	9.0	13.1	9.6	10.6	−3.0	721.2	720.1	719.1	98	87	96	E	0	SE	2	E	1	10	10	0	.	≡ n–17
23	11.0	17.2	11.2	13.1	−0.3	718.2	717.6	718.3	90	65	83	N	2	SE	2	NE	1	10	3	0	.	
24	8.6	17.3	10.5	12.1	−1.1	719.7	720.0	722.7	98	64	79	NE	2	SE	1	E	1	8	6	5	.	
25	9.2	16.2	9.8	11.7	−1.3	723.7	723.6	723.6	77	57	63	E	2	E	3	E	3	1	1	4	.	▽ abds.
26	6.4	15.4	11.3	11.0	−1.8	723.0	721.4	720.5	90	64	84	NE	0	S	1	NW	1	8	1	2	.	
27	8.9	11.7	8.0	9.5	−3.1	719.8	719.7	720.2	82	60	71	E	2	E	2	E	4	9	9	10	.	
28	4.7	7.4	**4.6**	5.6	−6.8	719.1	719.2	719.0	76	72	90	E	4	E	2	NE	1	9	10	0	.	
29	4.8	8.7	6.8	6.8	−5.4	717.3	715.5	714.5	89	78	90	E	1	E	1	NE	1	10	10	0	.	
30	5.4	14.1	10.0	9.8	−2.2	714.1	712.4	**711.0**	94	67	73	E	0	SE	1	NE	0	10	0	9	3.5	● n (30./1.)
																					Summe	
Mittel	11.8	17.2	12.9	14.0	—	720.0	719.7	720.0	90	70	83							8.3	6.1	4.7	83.6	

September 1939.
Beobachter: Frl. *H. Nager.*

Altdorf

$\lambda = 8° 39'$, $\beta = 46° 53'$,
$H_b = 456.3^m$, $G = -0.05^{m}/_{m}$.

Tag	Lufttemperatur					Luftdruck			Relative Feuchtigkeit			Windrichtung und Stärke			Bewölkung			Niederschlag	Witterung
	7^{30}	13^{30}	21^{30}	Mittel	Abweich. vom Normalst	7^{30}	13^{30}	21^{30}	7^{30}	13^{30}	21^{30}	7^{30}	13^{30}	21^{30}	7^{30}	13^{30}	21^{30}		
1	16.7	22.8	18.1	19.2	3.2	724.7	723.8	726.1	90	58	96	NE o	NW o	NW o	4	3	10	2.5	● 20
2	17.7	21.3	16.9	18.6	2.7	724.8	723.8	724.1	94	65	85	N o	NW o	NW o	10	4	0	.	
3	16.7	22.8	18.1	19.2	3.4	723.5	721.8	722.4	88	55	84	NW o	NW o	NW o	7	7	10	2.0	
4	17.1	18.6	15.0	16.9	1.2	721.8	721.2	724.7	90	86	89	E o	NW o	NW o	9	10●	10●	**22.7**	● 13–11
5	13.2	15.4	13.4	14.0	−1.6	723.1	724.0	724.9	93	70	91	E o	E o	NW o	10	10	10	2.7	● p zeitw.
6	10.9	18.8	15.5	15.1	−0.4	725.9	725.7	727.7	94	60	90	NW o	NW o	NW o	4	8	10	.	
7	13.1	20.4	15.3	16.3	0.9	728.0	727.5	**728.1**	93	62	90	NW o	NW o	NE o	3	3	0	.	≡ fr.
8	12.6	19.4	16.6	16.2	0.9	727.5	726.8	726.5	94	75	92	NW o	NW o	NE o	0	1	0	.	
9	14.9	20.5	14.7	16.7	1.5	725.6	725.0	725.1	92	66	92	NE o	NW o	NE o	10	2	0	.	
10	12.2	21.7	16.8	16.9	1.8	724.7	723.5	724.5	92	49	85	W o	NW o	SE o	0	0	0	.	
11	13.9	**24.3**	16.7	18.3	3.3	723.2	721.3	721.2	92	**46**	83	NW o	NW o	SE o	3	0	0	.	
12	15.3	16.7	13.7	15.2	0.3	720.2	720.3	720.8	86	89	92	S o	W o	NW o	8	10●	10●	11.1	● $12^{3}/_{4}$–n
13	12.9	14.4	12.9	13.4	−1.3	719.2	719.6	719.5	95	86	93	E o	SE o	NE o	10●	10●	10	1.6	● n–n zeitw.
14	10.1	17.2	12.4	13.2	−0.4	717.6	715.2	716.9	93	47	90	E o	NW o–1	NW o	5	8	10●	9.4	● III
15	11.7	11.8	10.9	11.5	−3.0	716.0	717.6	718.6	93	83	94	SE o	W o	NW o	10●	10●	10	9.4	● I, II
16	10.8	14.3	11.3	12.1	−2.3	719.0	719.3	721.9	94	59	93	N o	NW o	NW o	10	10	10	3.1	● n–n zeitw.
17	11.0	16.7	13.3	13.7	−0.5	722.7	722.7	723.1	94	52	87	S o	NW o	NW o	8	10	10	.	
18	12.8	15.3	11.5	13.2	−0.9	720.6	721.0	723.1	94	68	95	W o	NW o–1	NW o	10	10	10●	9.1	● III
19	11.8	15.2	12.7	13.2	−0.8	722.1	722.0	723.0	95	62	92	NW o	NW o	NW o	10	8	10	2.5	● $18^{1}/_{2}$
20	11.8	17.0	12.6	13.8	0.0	723.2	721.8	723.0	93	56	91	N o	NW o	W o	10	7	10●	3.2	● 17–n zeitw.
21	11.6	14.5	11.0	12.4	−1.3	722.5	723.4	724.2	90	76	91	E o	NW o	NW o	8	10	10	4.1	● 17
22	7.8	14.9	11.8	11.5	−2.0	723.6	722.4	722.0	94	65	90	NE o	NW o	SW o	2	3	6	.	
23	10.8	15.0	11.2	12.3	−1.0	720.3	719.8	721.4	82	62	92	S o–1	W o–1	NW o	6	8	9	.	
24	10.9	15.5	11.8	12.7	−0.5	722.5	722.9	724.9	93	58	86	NW o	NW o	NE o	5	8	8	1.4	● 22
25	10.1	14.5	10.9	11.8	−1.2	726.6	726.2	726.3	93	56	86	E o	NW o	NW o	8	4	9	.	
26	10.1	14.7	10.4	11.7	−1.1	725.7	722.8	723.3	68	57	90	NW o	NW o–1	W o	8	4	7	.	
27	10.2	10.8	9.8	10.3	−2.4	722.4	722.8	722.6	75	74	62	NW 1	NW o	NW o	10	10	10	0.0	● $15^{1}/_{2}$
28	7.5	7.8	7.3	7.5	−5.0	721.6	721.8	721.6	78	73	88	NW o	NW o	NE o	10	10	10	.	
29	6.0	9.7	**5.9**	7.2	−5.1	720.1	717.8	717.3	92	68	91	NW o	NW o	NW o	10	10	5	.	
30	6.1	12.4	7.3	8.6	−3.5	716.6	714.8	**714.1**	68	60	95	NW o	NW o	NW o	7	0	8	.	
Mittel	11.9	16.5	12.9	13.8	—	722.5	721.9	722.8	89	65	89				7.0	6.6	7.4	Summe 84.8	

September 1939.
Beobachter: *Observatorium.*

Genf

$\lambda = 6° 9'$, $\beta = 46° 12'$,
$H_b = 405.0^m$, $G = -0.03^{m}/_{m}$.

1	17.2	22.0	19.7	19.6	2.7	729.0	728.8	729.1	92	69	75	E o	NE 1	E 1	10●	9	10	0.8	●°sch. I, ● ◁ III
2	16.8	23.0	19.0	19.6	2.8	729.3	728.2	727.6	94	65	79	NE o	NNE 1	NNE o	3	2	0	.	
3	16.4	24.4	21.2	20.7	4.0	727.8	726.8	726.0	89	69	71	NE 1	NNE 1	W o	3	9	10●	0.0	●° III
4	19.4	16.9	15.0	17.1	0.5	726.1	727.7	727.7	83	94	89	NNE o	NNE o	NE o	10	10●	3	**15.2**	● II
5	13.6	16.0	15.0	14.9	−1.6	727.2	728.1	728 6	93	85	84	E o	NE 1	NE o	10●	10	1	0.1	●° II
6	13.0	20.0	17.2	16.7	0.3	729.7	729.8	731.2	93	64	78	E o	NNE 1	NE o	4	0	2	.	
7	13.6	20.5	17.0	17.0	0.7	732.3	732.0	**732.5**	91	70	80	NE o	NNE 1	E o	9	0	0	.	
8	16.0	21.1	19.0	18.7	2.6	731.7	731.0	730.1	90	72	84	NE o	NNE 1	NE o	10	1	7	.	
9	17.0	22.2	18.6	19.3	3.3	729.8	728.8	728.9	90	67	71	ENE o	NNE 1	NE o	9	0	0	.	
10	13.8	22.6	18.0	18.1	2.2	729.6	728.6	729.0	91	62	72	E o	NNE 1	NE o	0	0	0	.	
11	15.4	**26.6**	20.0	20.7	4.9	728.4	727.0	725.8	91	54	71	E o	SSW 1	SE o	0	0	2	.	⌓ I
12	18.6	20.8	14.4	17.9	2.2	725.2	724.9	724.9	75	61	78	SSW 1	SW 1	E o	9	9	1	0.0	●tr. II
13	12.3	15.5	13.8	13.9	−1.6	725.0	724.9	724.7	84	74	70	NNE o	N o	SW o	9	9	10	0.2	●°sch. III
14	11.7	13.5	12.2	12.5	−2.9	722.4	721.4	722.1	84	88	90	NNE o	NW 1	E o	6	10●	10	5.3	● p–n
15	11.0	12.0	11.5	11.5	−3.8	722.0	722.2	723.3	90	76	81	NE o	NNE 1	NE o	10	10●	10	0.6	●°sch. II
16	9.8	16.2	11.8	12.6	−2.5	724.4	724.9	726.7	89	67	75	SW o	NE o	E o	10	9	0	.	
17	10.8	16.8	13.8	13.8	−1.2	727.8	727.2	727.0	86	**53**	69	E o	NE 1	NE o	10	0	0	2.6	● n (17./18.)
18	11.0	13.8	13.6	12.8	−2.0	726.4	726.8	727.3	96	75	78	NNE o	NNE 1	ENE o	10●	9	10	0.5	●°sch. n (18./19.)
19	11.7	16.6	14.6	14.3	−0.4	726.9	726.5	727.1	94	70	79	ENE o	NNE 1	NE 1	10	10	9	.	
20	13.0	16.7	12.5	14.1	−0.4	727.4	726.9	727.0	86	67	73	NE o	NNE o	NE o	10	2	9	.	
21	12.0	15.4	11.4	12.9	−1.4	727.6	727.9	728.5	88	89	87	NE o	E 1	E o	9	9●	8	2.2	●° ⊼ II, ● n
22	10.2	16.0	13.0	13.1	−1.0	727.8	726.8	726.2	93	75	84	E o	NE o	NNE o	10	1	8	.	
23	13.0	15.9	11.2	13.4	−0.5	724.8	724.6	725.4	84	68	83	NNE o	NNE 1	E o	10	8	4	.	
24	10.0	17.8	12.4	13.4	−0.3	726.6	726.5	728.8	90	56	72	E o	NNE 2	NE o	4	1	0	.	
25	10.7	14.9	11.3	12.3	−1.2	730.1	730.0	730.4	78	62	70	NE 1	NNE 2	NE 1	9	6	2	.	
26	8.1	15.5	13.4	12.3	−1.0	730.3	728.2	727.3	87	66	88	E o	NNE 1	NNE o	9	0	0	.	
27	8.8	14.8	10.0	11.2	−1.9	726.7	725.8	726.0	96	61	68	E o	NNE 1	NNE 2	9	0	3	.	
28	**6.8**	8.3	8.1	7.7	−5.2	725.6	725.6	726.2	79	77	76	NNE 2	NNE o	NE o	10	10	10	0.1	●° n (28./29.)
29	7.8	11.0	9.3	9.4	−3.3	723.9	722.2	722.0	78	73	84	NE 1	NNE 1	ENE o	10	10	5	.	
30	8.8	13.3	12.5	11.5	−1.0	721.0	719.2	**718.2**	84	83	82	E o	NNE 1	ENE o	10	4	10	5.0	● n (30./31.)
Mittel	12.6	17.3	14.4	14.8	—	727.1	726.6	726.9	88	70	78				8.1	5.3	4.8	Summe 32.6	

$\lambda = 8^{\circ}\,33'$, $\beta = 47^{\circ}\,23'$.
$H_b = 493.2^{m}$, $G = 0.03\ ^{m}/_{m}$.

Zürich

September 1939.
Beobachter: *Meteorol. Zentralanstalt.*

Tag	Lufttemperatur					Luftdruck			Relative Feuchtigkeit			Windrichtung und Stärke			Bewölkung			Niederschlag	Witterung
	7^{30}	13^{30}	21^{30}	Mittel	Abweich. vom Normalst.	7^{30}	13^{30}	21^{30}	7^{30}	13^{30}	21^{30}	7^{30}	13^{30}	21^{30}	7^{30}	13^{30}	21^{30}		
1	17.0	24.3	17.8	19.7	3.6	721.2	720.8	722.2	95	55	100	SE 1	WNW 1	ESE 1	5	7	10	4.5	☇ ● 19-21½, ●° 22⅝-23⅝
2	17.1	24.3	17.9	19.8	4.0	721.4	720.6	720.3	99	53	97	SE 0	W 2	E 1	9	3	0	.	●° 0⅝-2¾
3	16.6	**26.9**	19.5	21.0	5.3	719.7	718.9	718.3	95	44	85	ESE 0	NW 0	ESE 1	6	5	9	.	
4	18.2	19.1	14.1	17.1	1.5	718.7	718.2	720.0	75	75	99	NW 1	NW 1	SSE 1	9	10	10●	**40.7**	●° 8¼, 9½, ● 13½-n
5	13.0	14.2	13.5	13.6	1.9	719.4	720.4	721.1	100	92	100	WNW 0	SSE 1	SSE 1	10●	10●	10	9.6	● n-18½ m.U.
6	13.0	18.9	16.1	16.0	0.6	722.2	722.4	723.9	97	63	93	SE 0	N 2	N 0	9	5	10	.	●° 6¼-7¼
7	15.5	22.6	15.9	18.0	2.8	**724.4**	724.2	724.2	91	58	99	NNW 1	ENE 0	NNE 0	10	5	0	.	
8	14.4	24.1	16.5	18.3	3.2	724.2	723.1	722.6	95	50	84	NNE 0	NNW 1	N 1	9	1	0	.	⏢ l
9	12.2	22.5	14.7	16.5	1.5	722.3	721.4	721.3	95	55	97	NNW 0	WSW 1	NE 0	1	2	0	.	⏢ l
10	13.2	24.8	17.6	18.5	3.7	721.4	720.6	720.9	100	51	94	N 1	N 1	NE 1	10=	1	1	.	≡ a
11	16.6	25.1	17.0	19.6	4.9	719.5	718.2	717.6	87	**42**	98	SSE 1	SW 3	NE 1	1	2	1	9.7	⏢ l
12	15.0	16.2	13.6	14.9	0.3	717.1	717.1	717.3	100	83	96	NNW 0	SE 2	SE 1	9●	10	10	12.8	☇ ● 6½-8 m.U., ●° 8¼-21¼ stw.
13	11.3	16.5	12.4	13.4	-1.0	716.2	715.9	716.3	100	57	97	WNW 1	WSW 2	SSE 0	10≈	7	10	4.2	●ᵛ 11⅝, 15¼, ● 15½, 17¾-18⅝,
14	12.4	16.6	12.9	14.0	-0.3	714.1	712.5	713.1	73	56	81	SSW 1	WSW 1	WSW 1	4	9	7	5.8	● 17¾, 18½-19¼ [≡ n-9¼
15	11.3	13.7	10.3	11.8	-2.4	712.8	713.7	715.2	94	71	99	WNW 2	S 1	SE 0	9	10	10	5.8	● 3-4⅝, 10½-10⅝, ●° abds. stw.
16	10.3	12.0	10.5	10.9	-3.1	715.5	716.5	718.3	95	83	92	WNW 1	W 1	WNW 0	10●	10	10	1.7	● 1-8½, 12½-13½
17	10.9	13.1	12.7	12.2	-1.7	719.4	720.0	720.1	88	72	92	SSW 1	WNW 0	NE 1	10●	10	10	1.3	●° 2-9⅞
18	12.1	15.0	10.8	12.6	-1.1	718.0	718.2	719.5	91	67	100	NE 2	NE 2	SSW 1	9●	9	10●	22.9	●° 0¼-2⅞, 7½, ● 16-23
19	10.6	14.9	11.4	12.3	-1.3	718.9	719.1	719.9	100	69	97	W 0	NW 1	N 0	10	9	7	0.6	● 2½-10½ m.U., ●° 12¼
20	11.9	14.9	11.2	12.7	-0.7	719.8	719.5	719.7	92	72	94	NW 1	NNE 2	NW 1	10	9	3	0.3	●° 11-12
21	10.4	13.6	10.9	11.6	-1.6	719.6	720.1	720.7	96	72	100	NNE 0	NW 1	ESE 1	10	10	7	0.9	☇ ● ▲ 17-17¼
22	9.8	13.7	10.6	11.4	-1.7	720.4	719.4	718.4	98	72	99	N 1	NW 2	NNE 1	10	9	4	.	
23	10.3	15.2	9.9	11.8	-1.1	717.4	717.0	717.8	91	60	100	NNE 1	NNE 1	N 0	10	6	3	.	
24	9.6	15.2	11.2	12.0	-0.7	719.1	719.7	722.4	97	70	98	N 0	S 1	N 1	10	9	10	1.8	● 10½-11¼, ●° 16-20
25	7.9	15.5	8.4	10.6	-1.9	723.8	723.8	723.3	96	52	73	ENE 1	NE 1	NE 2	3	5	2	.	[zeitw., ⏢ l
26	4.0	14.9	8.3	9.1	-3.2	722.4	720.4	720.1	99	54	85	NNW 0	E 1	NNW 1	2	2	3	.	
27	7.2	11.7	6.8	8.6	-3.5	719.6	719.8	720.8	85	60	72	NNW 1	NE 2	NE 3	9	9	10	.	
28	3.8	8.8	6.6	6.4	-5.5	719.3	718.9	718.2	83	65	69	NNE 2	NNW 1	ENE 2	10	9	1	.	⏢ l
29	**2.4**	11.3	7.6	7.1	-4.6	716.9	715.0	713.8	94	58	76	NW 1	NE 2	ENE 1	3	1	0	.	
30	6.2	13.0	7.7	9.0	-2.5	713.5	712.2	**710.3**	86	60	100	WNW 0	NNW 1	N 0	10	0	3	0.0	⏢ l
																		Summe	
Mittel	11.5	17.1	12.5	13.7	—	719.3	718.9	719.3	93	63	92				7.9	6.5	5.7	122.6	

$\lambda = 8^{\circ}\,30'$, $\beta = 47^{\circ}\,3'$.
$H_b = 1787.3^{m}$, $G = -0.20\ ^{m}/_{m}$.

Rigi-Kulm

September 1939.
Beobachter: *H. Haertl.*

1	11.9	14.9	9.9	12.2	3.7	619.0	619.6	619.6	95	74	87	E 1	SSW 0	WNW 1	5	7	10	39.2	
2	10.4	**16.3**	11.4	12.4	4.0	619.1	620.2	619.9	87	76	78	W 1	SW 1	SW 0	9	5	0	.	
3	13.1	14.8	12.8	13.6	5.3	618.2	617.9	617.8	73	75	80	WSW 0	W 1	W 2	5	9	10	2.7	
4	12.9	9.7	5.4	9.3	1.1	616.8	616.0	612.8	87	100	100	W 0	W 2	W 1	9	10	10	**40.8**	
5	5.3	6.2	6.5	6.0	-2.1	615.5	616.5	618.3	91	92	100	E 0	S 1	NW 1	10●	10●	10=	5.5	● I, II, ≡ III
6	6.8	10.2	8.7	8.6	0.6	618.0	619.1	620.7	88	84	98	E 2	E 1	E 1	1	10=	10=	.	≡ II, III
7	11.8	12.7	10.2	11.6	3.7	620.6	621.5	**621.8**	75	67	100	S 1	S 1	E 2	3	1	10≈	.	≡ III
8	13.1	14.4	10.1	12.5	4.6	621.1	621.0	620.6	87	83	96	E 2	E 1	E 2	0	0	0	.	
9	13.2	**15.3**	15.3	14.6	6.8	619.6	619.5	619.8	66	62	38	SSW 1	SW 0	W 0	0	0	0	.	
10	11.4	12.0	10.5	11.3	3.6	619.5	619.5	617.9	100	60	90	W 1	W 1	W 1	10≈	0	0	.	≡ I
11	10.2	12.6	11.8	11.5	3.9	617.7	617.6	617.9	88	84	75	SW 2	W 1	W 2	4	0	0	.	
12	9.6	7.9	6.8	8.1	0.6	614.5	618.7	615.0	90	94	100	SW 3	W 3	W 2	10=	10	10=●	17.8	≡ I, III, ● III
13	4.0	4.9	3.5	4.1	-3.3	612.5	615.2	613.5	100	87	95	SW 1	SW 1	W 3	10=	10	10=	0.3	≡ I, III
14	3.2	3.2	4.1	3.5	-3.8	610.5	609.8	609.9	94	87	100	WSW 1	SW 1	SW 3	3	10≈	10●	24.4	≡ II, ● III
15	1.5	1.8	2.1	1.8	-5.4	608.9	610.1	611.7	100	100	100	NW 2	NW 1	NW 1	10●	10≈	10=	13.6	● I, ≡ II, III
16	2.0	4.0	5.8	3.9	-3.2	611.2	612.0	614.6	100	100	100	WNW 1	WNW 1	W 2	10●	10	10●	3.7	● I, n (16./17.)
17	2.3	4.0	1.5	2.6	-4.4	615.0	616.0	616.0	81	90	90	SW 2	SW 2	SW 1	10	10	8	15.0	
18	4.4	6.0	4.0	4.8	-2.1	613.6	614.5	615.9	100	95	100	E 1	E 1	W 1	10=	10	10●	7.1	≡ I, ● III
19	3.2	5.0	4.0	4.1	-2.7	614.3	614.9	615.4	100	96	100	NW 4	NE 0	NE 1	10●	10=	10=	5.8	● I, ≡ II, III
20	3.1	6.1	4.1	4.4	-2.3	615.3	615.2	615.6	100	97	100	E 1	SW 0	SW 0	10=	10=	8	.	≡ I, II
21	4.2	4.9	4.5	4.5	-2.1	615.3	616.0	616.8	78	87	82	W 2	WNW 2	W 1	8	10●	8	.	● II
22	7.3	8.8	5.0	7.0	0.5	615.7	615.7	614.8	73	74	86	S 1	SW 0	S 0	3	0	0	.	
23	4.2	7.2	3.2	4.9	-1.5	613.0	613.3	614.0	77	78	100	ESE 0	SW 0	S 0	0	0	0	.	
24	2.4	4.0	2.8	3.1	-3.2	614.5	615.7	617.1	100	95	100	NE 1	ESE 0	SE 1	10	10	10●	4.9	● 21-n
25	0.5	6.6	2.4	3.2	-2.9	617.1	618.2	617.0	80	74	100	E 0	ESE 0	SE 1	0	10	10	.	≡ zeitw.
26	5.2	6.5	4.7	5.5	-0.5	616.6	616.1	615.9	**22**	82	88	W 1	W 3	W 1	3	3	3	.	
27	3.1	1.0	-0.7	1.1	-4.8	614.4	614.4	614.0	100	100	100	W 1	E 1	E 1	10≈	10≈	10=	.	≡ n-n
28	**-0.8**	1.4	2.5	1.0	-4.8	612.0	612.2	612.8	98	90	100	E 2	E 1	E 0	0	3	0	.	≡ n-p zeitw.
29	-0.7	5.2	4.2	2.9	-2.7	611.6	610.7	609.8	34	52	48	WNW 0	E 1	E 3	0	0	3	.	
30	3.5	6.4	6.6	5.5	0.0	609.5	609.1	**607.8**	53	40	45	WSW 0	NE 0	E 3	0	0	7	.	
																		Summe	
Mittel	6.1	7.8	6.1	6.7	—	615.4	615.9	615.8	84	82	89				5.8	6.3	6.6	180.3	

September 1939.
Beobachter: *P. Nogler.*

Bevers

$\lambda = 9° 53'$, $\beta = 46° 33'$.
H_b = ca. 1710m, $G = -0.23$ m/m.

Tag	Lufttemperatur					Luftdruck			Relative Feuchtigkeit			Windrichtung und Stärke			Bewölkung			Niederschlag	Witterung
	7h30	13h30	21h30	Mittel	Abweich. vom Normalwert	7h30	13h30	21h30	7h30	13h30	21h30	7h30	13h30	21h30	7h30	13h30	21h30		
1	10.6	17.6	13.0	13.7	4.3	625.4	625.3	625.8	88	61	82	E 1	S 2–3	SW 2	6	10	5	.	
2	10.1	16.3	11.0	12.5	3.2	625.3	625.1	625.2	96	63	88	W 1	SW 2	W 1	10	10	8	.	
3	10.1	18.1	13.8	14.0	4.9	624.8	623.4	623.7	88	47	70	N 1	SW 2	S 1	10	8	10	.	
4	12.0	13.4	10.4	11.9	2.9	623.4	622.8	622.0	88	80	98	NW 1	W 2	W 1	10	10●	10●	28.6	● 10¼–n
5	8.2	13.2	9.4	10.3	1.4	621.2	621.3	622.7	94	56	94	W 1	NE 1	NE 1	10●	8	2	6.7	● n–13, ●sch. 17–18
6	9.4	16.1	7.8	11.1	2.3	624.0	624.8	625.8	93	46	94	E 1	W 2	SW 2	10●	4	0	2.1	● l
7	8.3	**19.6**	9.7	12.5	3.9	627.8	626.2	627.7	94	**31**	97	S 0	SW 2	SW 1	10	0	0	.	
8	8.6	18.4	10.8	12.6	4.1	**627.9**	626.4	627.1	84	44	94	SW 1	SW 1	W 0	10	0	0	.	
9	10.6	**19.6**	9.4	13.2	4.8	625.8	624.0	625.6	83	50	93	SW 0	S 2	S 1	0	0	0	.	
10	5.4	18.6	8.2	10.7	2.5	625.2	625.2	625.4	98	52	76	SW 1	W 1	W 1	10	0	0	.	
11	7.3	15.2	10.1	10.9	2.8	624.1	623.5	623.3	75	43	90	SW 1	SW 2	SW 1	0	0	0	.	
12	7.4	11.3	8.4	9.0	1.0	621.5	620.8	620.7	77	84	100	NW 1	W 2	NW 1	10	10●	10●	21.2	● 13–n
13	7.0	9.8	6.2	7.7	–0.1	618.3	617.4	618.3	94	75	88	N 1	NW 1	W 1	10●	10	6	6.3	● l
14	3.2	10.2	6.3	6.6	–1.1	616.9	616.7	615.6	100	63	91	NW 1	SW 2	NW 1	10	3	6	3.4	
15	4.2	5.0	3.8	4.3	–3.3	**613.8**	615.1	616.3	100	96	99	ENE 2	E 2	NE 1	10●	10●	10	7.7	● n–17
16	4.1	10.1	4.2	6.1	–1.3	617.3	617.5	619.9	92	97	90	SE 1	W 2	NW 1	6	10	4	.	
17	5.2	11.3	7.2	7.9	0.6	620.9	621.5	621.1	87	47	88	NW 1	SW 2	NW 1	6	7	10	.	
18	6.3	11.2	4.0	7.2	0.0	620.5	620.8	620.8	94	62	98	NE 1	NE 2	N 1	10	7	10	2.4	
19	4.8	8.8	4.7	6.1	–0.9	620.2	620.0	621.3	92	77	100	NW 2	NW 1	WNW 1	10●	10	0	16.1	●n–9, ●sch. a–13
20	5.1	7.0	4.7	5.6	–1.3	621.2	620.5	621.7	97	46	96	N 2	N 1–2	NW 1	10	4	10	.	
21	6.2	8.7	3.9	6.3	–0.5	621.4	621.7	623.0	98	65	97	N 1	NW 2	S 1	10	10	2	2.0	●sch. 15–18
22	1.7	10.4	2.1	4.7	–1.9	622.6	621.5	620.9	100	47	96	W 1	S 1–2	W 1	10	4	3	.	
23	–1.0	13.2	4.0	5.4	–1.1	619.7	617.9	619.5	98	34	83	SW 1	SW 1	N 1	0	0	0	.	
24	2.3	9.0	5.8	5.7	–0.7	619.9	620.1	622.1	94	43	63	NW 1	WNW 2	N 1	7	9	8	.	
25	0.0	9.6	0.0	3.2	–3.0	623.2	623.3	624.0	93	35	85	E 1	NE 2	N 1	10	0	0	.	
26	–0.3	9.1	2.7	3.8	–2.3	622.9	622.1	621.7	96	39	99	NW 1	SW 3	SW 1	6	4	4	.	
27	–1.4	10.1	2.2	3.6	–2.4	619.9	618.7	619.2	98	38	87	SW 1	SW 2–3	NW 2	3	6	5	2.5	
28	–0.9	7.0	2.6	2.9	–2.9	619.7	619.1	619.4	100	65	97	N 2	SW 2	NW 1	10*	5	9	.	✳ l
29	–0.7	8.7	–0.9	2.4	–3.3	617.8	618.2	617.9	96	52	88	SW 0	S 2	SW 0–1	3	0	0	.	
30	**–5.1**	11.0	0.6	2.2	–3.3	616.9	615.4	616.1	94	32	84	SW 0	SW 0	W 1	0	0	6	1.5	⌊ l
Mittel	5.0	12.2	6.2	7.8	—	621.7	621.2	621.8	93	56	90				7.6	5.3	4.6	Summe 100.5	

September 1939.
Beobachter: *Kapuzinerkloster.*

Sitten

$\lambda = 7° 21'$, $\beta = 46° 14'$,
$H_b = 548.6$m, $G = -0.11$ m/m.

1	17.0	23.2	18.0	19.4	2.4	717.2	716.2	717.7	82	64	90	N 0	W 1	W 2	9	9	10	.	● p m.U.
2	17.5	22.8	19.8	20.0	3.1	717.0	715.6	715.8	83	57	72	NE 0	W 1	W 1	7	4	6	0.0	● 16
3	17.1	**25.8**	19.9	20.9	4.1	715.9	714.0	714.5	82	50	70	NE 0	W 1	W 0	4	5	8	.	
4	17.9	16.5	14.4	16.3	–0.4	713.9	714.5	715.5	83	87	100	ENE 0	W 3	W 1	9	10●	10●	**12.5**	● 11¾–18½
5	14.4	19.0	15.6	16.3	–0.3	715.1	714.5	715.8	87	63	75	SW 0	W 1–2	W 1	10	9	7	0.0	
6	14.5	22.3	16.1	17.6	1.2	717.3	716.1	718.7	90	55	79	W 0	W 2	W 1	8	3	0	.	
7	14.1	22.6	17.8	18.2	1.9	**720.1**	718.4	719.6	87	56	80	NE 1	W 2	W 1	7	1	0	.	
8	14.9	23.2	17.9	18.7	2.5	719.8	717.3	718.0	87	59	84	NE 1	W 1	W 1	0	0	0	.	
9	14.6	23.9	19.1	19.2	3.1	717.6	715.5	717.4	96	58	77	NE 1	W 2	W 1	0	1	0	.	
10	15.9	24.4	18.4	19.6	3.6	717.6	714.9	716.1	83	54	62	NE 1	W 3	W 2	0	1	0	.	
11	14.2	23.8	19.2	19.1	3.3	716.6	714.1	713.8	85	56	61	NE 1	W 1	W 3	0	1	0	.	
12	13.2	16.4	14.0	14.5	–1.2	712.3	714.6	712.5	87	99	98	E 1	W 1	W 1	7	10●	8	9.0	● 7¾–18
13	13.8	18.2	15.6	15.9	0.3	711.3	710.4	711.8	85	53	62	W 1	W 2	W 0	8	7	5	.	
14	12.2	17.1	13.9	14.4	–1.1	710.4	**707.7**	708.8	77	58	83	NE 0	W 2	NW 1	1	9	10●	2.5	●° 15, 20–n
15	12.0	14.9	11.3	12.7	–2.6	708.6	708.2	710.1	81	54	75	NW 1	WNW 1	W 0	10●	5	5	.	● l
16	10.2	17.0	11.8	13.0	–2.2	711.7	711.4	713.4	93	55	71	W 1	W 3	W 2	10	4	0	.	
17	9.3	18.0	13.9	13.7	–1.4	715.7	713.8	713.9	85	51	75	N 0	W 1	W 0	1	1	0	.	
18	12.4	16.7	11.7	13.6	–1.3	712.7	713.4	713.9	89	75	79	NNE 1	WSW 2	W 1	10	8	4	1.5	● 9–13 m.U.
19	12.2	17.4	12.7	14.1	–0.7	714.6	713.1	713.9	82	58	81	NE 0	SW 2	W 1	9	3	5	0.0	
20	11.8	19.3	13.4	14.8	0.2	715.0	712.8	715.3	94	51	73	NE 0	WSW 3	W 2	9	1	7	.	
21	10.8	17.1	10.8	12.9	–1.5	715.2	714.3	715.7	87	59	85	N 0	SW 2	W 1	7	6	1	.	⛷ 14½
22	9.5	18.9	13.3	13.9	–0.4	715.7	713.0	713.5	91	50	80	NNE 1	SW 2	W 0	0	1	2	.	
23	10.5	17.7	13.3	13.8	–0.3	712.8	710.5	712.3	88	58	72	N 1	WSW 4	NW 1	10	1	0	.	
24	10.5	16.6	12.0	13.0	–0.9	713.8	713.5	715.2	91	56	71	NE 0	W 2	NE 1	10	1	0	.	
25	9.2	17.2	12.0	12.8	–0.9	717.8	715.8	717.6	85	53	77	NE 0	W 3	NE 0	9	0	0	.	
26	10.5	17.7	13.7	14.0	0.5	717.9	714.7	714.6	79	57	66	NE 1	W 2	ENE 2	8	0	0	.	
27	8.2	15.8	11.0	11.7	–1.6	714.2	711.6	712.3	88	63	72	NE 0	W 3	WSW 2	0	1	3	.	
28	8.8	12.6	7.7	9.7	–3.4	712.6	711.2	713.7	82	68	89	W 2	NW 4	W 0	10	1	9	.	
29	4.8	16.8	7.5	9.7	–3.2	711.9	708.2	709.5	98	44	94	NE 1	WNW 3	N 1	0	0	3	.	
30	**4.7**	17.5	10.9	11.0	–1.7	709.3	706.1	706.3	81	**35**	79	NE 0	NE 0	W 1	0	1	5	.	⛷ 14–16
Mittel	12.2	19.0	14.2	15.1	—	714.7	713.2	714.2	86	58	78				5.8	3.5	3.6	Summe 25.5	

$\lambda = 8° 57'$, $\beta = 46° 0'$,
$H_b = 276.2^m$, $G = -0.01\ ^m/_m$.

Lugano

September 1939.
Beobachter: *G. Vicari.*

Tag	Lufttemperatur 7³⁰	13³⁰	21³⁰	Mittel	Abweich. vom Normalst	Luftdruck 7³⁰	13³⁰	21³⁰	Relative Feuchtigkeit 7³⁰	13³⁰	21³⁰	Windrichtung und Stärke 7³⁰	13³⁰	21³⁰	Bewölkung 7³⁰	13³⁰	21³⁰	Niederschlag	Witterung
1																		.	
2																		.	
3																		.	
4																		*75.0	
5																		*5.0	
6																		.	
7	17.4	25.4	18.4	20.4	2.1	742.7	742.4	742.7	80	78	82	N 1	S 1	NE 1	5	2	3	.	
8	18.0	24.2	19.2	20.5	2.3	**743.0**	742.9	742.7	89	51	82	N 1	N 1	NE 1	6	4	10	.	
9	17.2	25.8	20.0	21.0	3.0	741.2	740.0	738.7	84	48	80	NE 1	ESE 1	N 1	7	3	0	.	
10	14.6	26.2	21.0	20.6	2.7	738.4	738.3	737.4	92	53	79	N 1	SSE 1	N 1	0	3	4	.	
11	19.0	**26.8**	19.8	21.9	4.1	738.4	737.6	736.3	88	55	82	N 1	W 1	N 1	9	4	4	.	
12	18.2	20.4	16.4	18.3	0.7	736.7	735.2	732.5	90	78	92	NW 1	SSW 1	NE 1	10	10	10●	42.8	K, ● 14½–15⅛, abds.
13	14.2	19.6	15.6	16.5	−1.0	732.4	731.8	730.1	89	61	68	NE 1	N 1	N 2	8	7	0	1.2	●ᵖ n–n
14	10.0	21.4	16.0	15.8	−1.6	731.9	730.8	**728.6**	85	53	83	N 1	SSE 1	N 1	2	8	10	12.8	.
15	11.6	18.0	14.8	14.8	−2.4	728.7	729.0	729.9	93	67	82	NE 1	SSE 1	NE 1	4	10	4	.	K, ● 22½–24⅞
16	13.4	20.6	15.0	16.3	−0.8	732.8	734.0	734.5	83	40	68	NE 1	SSE 1	N 1	10	6	2	.	
17	10.0	21.8	15.0	15.6	−1.3	737.8	737.5	736.1	93	44	82	N 1	S 1	N 1	0	3	6	.	
18	12.8	16.4	15.4	14.9	−1.9	736.3	735.8	735.6	89	77	84	N 1	S 1	E 1	6	10	5	0.7	●° 15–15½
19	11.0	19.0	16.0	15.3	−1.3	736.0	735.6	736.7	89	54	84	N 1	SE 1	N 1	4	7	0	.	
20	10.8	19.2	15.8	15.3	−1.1	736.4	736.9	736.7	87	62	90	N 1	E 1	N 1	0	6	10	3.7	● K, n (20./21.)
21	11.8	17.4	12.6	13.9	−2.3	738.8	739.0	739.0	94	72	91	N 1	S 1	N 1	8	6	0	1.0	● 11½–12
22	9.8	21.4	14.6	15.3	−0.7	739.2	737.7	737.0	87	51	90	N 1	S 1	N 1	2	1	6	.	
23	11.4	22.0	13.2	15.5	−0.4	735.5	733.5	734.6	88	48	93	W 1	S 1	N 1	0	0	0	.	
24	10.0	21.8	15.2	15.7	0.0	734.7	734.3	736.4	86	49	**39**	N 1	S 1	NNE 2	0	0	0	.	
25	13.0	22.8	15.0	16.9	1.4	738.3	738.0	740.3	56	42	70	N 0	SE 1	N 1	0	0	0	.	
26	13.4	15.0	12.4	13.6	−1.7	741.3	740.7	739.1	88	62	91	SSW 1	S 0	N 0	10	10	10	.	
27	12.8	18.0	13.8	14.9	−0.2	736.5	734.5	735.2	83	58	91	N 1	SSE 1	NE 1	10	9	10	3.1	
28	11.8	11.6	9.8	11.1	−3.8	737.5	738.9	738.6	74	78	87	SSW 1	S 1	N 1	10	10	8	4.0	●° n, 8–10
29	9.0	13.4	8.6	10.3	−4.4	738.2	737.2	736.4	84	42	80	N 1	W 1	NE 1	8	1	0	.	
30	**5.2**	17.2	10.8	11.1	−3.4	735.1	732.7	733.3	92	45	87	N 1	S 1	N 1	0	0	10	0.4	
Mittel	*13.5	*20.7	*15.9	*16.7	—	*737.2	*736.8	*736.6	*86	*57	*83				*5.5	*5.4	*4.8	Summe *149.7	

Beobachtungen wegen Mobilisation unterbrochen

$\lambda = 7° 35'$, $\beta = 47° 33'$,
$H_b = 318^m$, $G = 0.11\ ^m/_m$.

Basel

September 1939.
Beobachter: *Astronom.-Meteorol. Anstalt.*

1	18.4	24.4	18.4	20.4	4.7	736.2	736.0	737.2	94	68	96	ESE 1	W 1	SW 0	6	10	10	2.8	● 15¼–17¼, T 15½–16
2	17.2	26.5	18.0	20.6	5.0	736.2	735.3	734.9	96	57	93	SE 1	SSE 1	S 1	3	2	8	.	
3	17.7	**28.2**	18.4	21.4	5.9	734.3	733.5	733.2	88	52	89	ESE 1	NW 1	SW 1	5	8	10	0.5	K, 15½–16
4	17.6	17.1	14.8	16.5	1.1	734.3	734.1	735.2	85	94	97	W 1	W 1	S 1	10	10●	10●	22.2	● 1⅜, 12¼–n
5	14.4	15.7	14.4	14.8	−0.5	734.7	735.8	736.5	96	93	96	SE 0	WNW 1	SSW 0	10	10	10	2.9	● n–3½
6	14.6	19.7	14.5	16.3	1.1	737.7	737.8	739.0	92	70	96	ENE 1	NNW 1	SSW 1	10	9	4	.	
7	14.8	23.2	16.7	18.2	3.1	740.3	739.5	739.4	96	59	96	ENE 0	ENE 1	SSW 1	10	7	0	.	
8	13.4	24.6	15.8	17.9	3.0	739.7	738.4	737.8	98	61	97	SE 1	NE 1	SSW 1	10≡	0	0	.	≡ 0–8⅝
9	13.0	26.2	16.3	18.5	3.7	737.4	736.4	736.6	88	50	95	ESE 1	WNW 1	ESE 1	0	0	0	.	⌓ 1
10	12.3	26.6	18.2	19.0	4.3	736.5	735.6	735.7	98	58	88	ENE 1	WNW 1	SW 1	7≡	1	0	.	≡ 3½–8
11	16.0	24.8	16.6	19.1	4.5	734.4	733.4	732.4	91	59	92	ESE 1	WNW 1	ENE 1	7	1	0	0.8	⌓ 1
12	15.8	15.8	11.8	14.5	0.1	732.6	732.6	732.6	92	91	95	ESE 0	WSW 1	SSW 1	10●	10●	2	1.3	● 6⅝–9¼, 12⅝–13⅛
13	10.7	16.4	12.9	13.3	−1.0	731.4	730.8	731.4	93	64	85	ESE 1	WSW 1	SSE 1	10	8	10	0.4	● 12¼–12½, 17½–17¾
14	11.6	16.5	12.1	13.4	−0.8	729.6	728.0	728.4	88	63	98	ESE 1	WSW 1	S 1	6	10	10	3.2	● 15¼–24¼ zeitw.
15	11.4	15.4	11.1	12.6	−1.4	728.9	729.3	731.1	84	67	93	WSW 1	W 1	SSW 1	10	8	10●	6.3	● 14½, 15⅛, 20⅝–22½ m.U.
16	10.6	12.6	10.6	11.3	−2.6	731.1	732.2	733.8	94	83	95	SSE 0	W 1	SSW 1	10●	10●	10●	13.8	● 1–9⅞, 13½–n
17	11.2	14.7	13.1	13.0	−0.8	734.8	735.5	735.6	95	84	96	S 1	WNW 1	WNW 1	10	10	10	1.2	● n–5, 10⅝–11¼, 23½–24
18	11.8	14.6	12.6	13.0	−0.6	734.2	734.5	735.0	98	82	96	NW 1	NW 1	NW 1	10●	10	10●	5.4	● 5⅝–7⅝, 16–24 m.U.
19	11.2	13.5	12.4	12.4	−1.1	734.5	734.8	735.4	97	90	97	NW 1	NW 1	NW 1	10	10	10	3.0	● 7¼–13¼, 15¼, 18⅝–19
20	11.2	15.7	12.2	13.0	−0.3	735.7	735.2	735.2	98	78	94	NW 1	NW 1	W 1	10≡	10	10	.	≡ 1
21	11.0	16.5	10.8	12.8	−0.4	735.1	735.3	736.1	92	75	98	E 1	SE 1	SSW 1	10	10	7	.	
22	10.5	15.1	11.7	12.4	−0.6	736.0	735.0	734.1	96	71	94	WNW 0	SE 1	SW 1	10≡	8	9	.	≡ 0½–7¾
23	10.9	16.9	10.9	12.9	0.0	733.4	732.8	733.5	92	72	93	NE 0	NNW 1	SSW 1	10	3	9	.	
24	11.5	18.2	8.9	12.9	0.2	734.7	735.1	738.1	99	58	91	WNW 1	NNW 1	W 1	10	3	3	.	
25	6.8	14.6	6.6	9.3	−3.3	**740.2**	739.9	739.4	96	63	93	SE 0	NNW 1	WNW 1	10≡	5	1	.	≡ 4–10½
26	3.2	16.1	7.0	8.8	−3.6	737.9	735.9	735.6	97	58	88	SE 1	NW 1	SW 1	8	4●	3	.	
27	4.8	13.0	6.5	8.1	−4.2	735.9	735.6	737.0	94	68	86	SE 0	NNE 1	WNW 1	4	9	9	.	
28	1.2	12.7	4.8	6.2	−5.9	735.7	734.1	734.2	96	**48**	79	WNW 1	ESE 1	SE 1	10≡	0	0	.	≡ 6⅛–9
29	**0.4**	13.1	5.0	6.2	−5.8	732.5	730.2	729.5	92	57	94	NNW 1	WNW 1	WSW 1	10≡	0	0	.	≡ 6½–9, ⌴ 1
30	1.2	15.4	6.2	7.6	−4.2	728.9	727.1	**725.8**	96	55	97	SW 1	NE 1	SSW 1	10≡	0	6	3.6	≡ 3–9, ⌴ 1
Mittel	11.2	18.1	12.1	13.9	—	734.8	734.3	734.7	94	68	93				8.5	6.2	6.0	Summe 67.4	

September 1939.
Beobachter: *Observatorium.*

Säntis

$\lambda = 9^\circ 20'$, $\beta = 47^\circ 15'$,
$H_b = 2500.1^m$, $G = -0.27$ ‰.

Tag	Lufttemperatur					Luftdruck			Relative Feuchtigkeit			Windrichtung und Stärke			Bewölkung			Niederschlag	Witterung
	7^{30}	13^{30}	21^{30}	Mittel	Abweich. vom Normalst	7^{30}	13^{30}	21^{30}	7^{30}	13^{30}	21^{30}	7^{30}	13^{30}	21^{30}	7^{30}	13^{30}	21^{30}		
1	9.0	11 8	6.6	9.1	5.1	568.4	568.9	569.2	86	79	98	SW 0	SSW 1	WSW 1	3	9	10≡●	10.6	● n, 16⁵/₄-n m.U., ≡ 11¹/₂-n m.U.
2	7.4	10.7	6.4	8.2	4.3	568.4	568.4	568.4	86	78	77	S 1	SSW 2	W 2	10	10≡	1	0.5	●sch. 16⁵/₄, ≡ 9¹/₂-16
3	6.4	10.6	7.2	8.1	4.3	567.7	568.0	567.3	100	80	95	WSW 2	SW 1	WSW 2	10≡	8	10≡	6.6	● 15¹/₄-17³/₄ ztw., ≡ 6¹/₄-n ztw.
4	6.7	7.8	2.0	5.5	1.8	566.4	565.7	565.1	83	94	100	SW 2	NNE 1	W 2	10	10≡	10≡●	51.4	● 13⁵/₄-n, ≡ 8¹/₂-n
5	1.2	3.2	2.0	2.1	-1.5	564.0	565.1	565.8	100	98	100	NNE 1	N 0	NNW 1	10≡●*	10≡	10≡	6.2	● ✳ n-12¹/₂, ≡ n-n
6	3.4	6.0	5.8	5.1	1.5	566.9	568.0	569.9	86	92	72	NE 2	ESE 2	E 1	1	1	0	.	
7	7.7	10.2	7.4	8.4	4.9	570.0	570.8	**571.3**	62	50	74	NNE 2	E 1	NE 2	3	1	0	.	
8	7.9	10.5	9.7	9.4	6.0	570.5	570.8	570.2	55	53	**18**	NE 2	NE 1	NE 2	0	0	0	.	
9	9.5	11.0	8.4	9.6	6.3	568.9	569.1	569.0	30	61	22	N 2	SW 1	W 2	0	0	0	.	
10	9.2	10.4	6.6	8.7	5.5	568.6	568.7	568.6	30	54	54	N 2	S 1	WSW 3	0	1	1	.	
11	5.3	8.6	6.0	6.6	3.5	566.4	566.7	566.2	100	51	97	WSW 3	WSW 3	SW 3	10≡	1	3	.	≡ n-9⁵/₄
12	6.4	3.0	2.4	3.9	0.8	564.1	563.8	562.7	83	100	100	SSW 2	WSW 3	WSW 3	9	10≡●	10≡●	18.1	● 9¹/₂, 13¹/₄-n, ≡ 8¹/₂-n
13	0.0	-0.4	-1.1	-0.5	-3.5	560.7	560.5	560.6	100	100	100	WSW 3	W 3	SW 2	10≡*	10≡*	10≡	9.5	✳ 7-n m.U., ≡ n-n
14	-1.4	2.3	-0.8	0.0	-2.9	558.9	558.7	558.3	98	94	100	WSW 2	SW 2	W 3	10≡	10≡	10≡*	20.0	△15¹/₂, ✳ 16, 19¹/₄-n, ≡ n-n m.U.
15	-1.6	-2.0	-2.8	-2.1	-4.9	557.0	557.8	558.8	100	100	100	NW 1	WNW 2	WNW 2	10≡*	10≡*	10≡*	37.1	✳ ≡ n-n
16	-1.9	-0.2	-1.8	-1.3	-4.0	558.9	560.2	561.4	100	100	100	W 2	WSW 2	WSW 2	10≡	10≡	10≡	1.5	✳° 16⁵/₄, ≡ n-n, ∽ I, III
17	-2.4	-0.4	0.4	-1.1	-3.7	562.0	563.8	564.2	100	100	100	W 3	SW 3	W 1	10≡	10≡	10≡	3.4	≡ n-n, ∽ I
18	0.2	1.6	-1.2	0.2	-2.3	562.5	562.6	562.9	100	100	100	NE 2	NE 1	N 2	10≡	10≡	10≡*	5.4	✳ 16¹/₄-n m.U., ≡ n-8¹/₄, 11-n
19	-0.8	0.8	-0.8	-0.3	-2.7	562.4	563.0	563.8	100	100	100	NNW 1	N 1	NE 1	10≡*	10≡	9	0.6	✳ 7-11 m.U., ≡ n-abds., n
20	-0.6	1.6	-1.0	0.0	-2.3	563.3	563.4	563.6	90	98	100	N 1	SSW 1	WNW 2	10	10≡	10≡	0.3	≡ 8-n
21	-0.6	2.0	-0.6	0.3	-1.9	563.3	564.1	564.5	100	87	100	W 3	WSW 2	W 2	10≡	10≡	10≡	.	✳fl. 19, ≡ n-n
22	-1.0	5.0	0.4	1.5	-0.6	564.0	564.2	563.2	90	73	62	SW 1	SSW 2	W 2	8≡	9	1	.	≡ n-8
23	1.4	4.2	-2.0	1.2	-0.8	561.4	561.6	562.2	88	75	86	SW 1	SSW 1	N 1	1	8	1	.	≡ 15-19¹/₂ m.U.
24	-2.3	-1.0	-2.5	-1.9	-3.8	562.2	563.2	564.6	88	100	100	N 1	NW 1	NNE 2	10	10≡	10≡	1.9	✳° 18-20, ≡ 9¹/₂-n
25	-3.6	-1.6	-1.0	-2.1	-3.9	564.9	565.6	565.6	100	94	34	NNE 1	S 1	SW 2	10≡	4	1	.	≡ n-13 m.U.
26	-1.2	0.8	-1.6	-0.7	-2.4	564.2	564.1	563.5	45	50	55	SW 3	SW 3	W 3	3	2	10	.	≡ 14-16 zeitw.
27	-2.0	-2.2	**-4.4**	-2.9	-4.5	561.7	561.8	561.4	100	100	100	W 2	WNW 1	SW 0	10■	10≡	10≡	0.3	✳° 17-19, ≡ n-n
28	-3.6	1.2	-1.6	-1.3	-2.8	560.3	561.0	561.1	88	86	76	ESE 2	S 1	SW 1	1	1	0	.	
29	0.1	1.8	-0.3	0.5	-0.9	560.0	559.6	558.8	40	38	50	S 1	ESE 2	ESE 3	1	1	1	.	
30	0.8	2.2	1.0	1.3	0.0	558.2	558.1	**557.2**	28	32	42	E 1	E 2	ESE 2	0	1	1	.	
Mittel	2.0	4.0	1.6	2.5	—	563.9	564.2	564.3	82	81	80				6.7	6.6	6.0	Summe 173.4	

September 1939.
Beobachter: Frl. *F. Lombardi.*

St. Gotthard (Hospiz)

$\lambda = 8^\circ 34'$, $\beta = 46^\circ 33'$,
$H_b = 2095.7^m$, $G = -0.25$ ‰.

1	8.8	14.2	7.9	10.3	3.6	597.3	597.8	597.9	70	60	74	E 0	E 0	NE 0	5	10	5	.	
2	10.2	**15.5**	10.4	12.0	5.4	596.7	596.8	597.1	63	45	72	NE 0	NE 0	SE 0	8	4	5	.	
3	9.2	16.0	8.4	11.2	4.7	596.2	596.3	595.9	69	**41**	71	SE 0	SE 0	SE 1	3	5	10●	3.0	● 21-n
4	9.4	15.0	4.2	9.5	3.1	595.2	592.9	593.8	80	100	100	SE 0	SE 0	N 1	10	10●	10≡●	**42.6**	● 10⁵/₄-n, ≡ 16-n
5	3.0	6.0	4.6	4.5	-1.8	592.5	593.5	594.4	100	65	80	N 1	N 1	N 1	10≡	8	10≡	0.5	≡ n-11, 20-n
6	4.8	11.2	7.5	7.8	1.6	595.5	596.9	598.2	65	58	71	N 1	N 0	N 0	0	0	0	.	
7	8.0	15.0	8.8	10.6	4.5	598.6	599.2	**599.3**	62	45	81	N 0	N 0	N 1	0	0	10≡	.	≡ 20-n
8	6.4	15.2	10.4	10.7	4.7	599.1	599.1	599.0	80	55	66	N 0	N 0	N 0	0	0	0	.	
9	5.8	13.8	9.4	9.7	3.8	597.6	597.5	597.7	88	57	63	N 0	N 0	N 1	5	2	0	.	
10	7.8	14.0	9.2	10.3	4.5	596.6	596.7	597.1	51	49	75	N 1	N 1	N 1	0	0	0	.	
11	9.8	14.8	10.8	11.8	6.1	595.7	595.9	595.4	64	45	81	N 0	N 0	SE 1	0	0	5	.	
12	9.7	8.5	6.4	8.2	2.6	593.4	592.4	591.2	80	85	100	SE 1	SE 1	SE 1	5	10●	10≡●	2.4	● 12⁵/₄-n zeitw., ≡ 14-n
13	4.8	3.4	1.0	3.1	-2.4	589.4	589.4	589.2	80	76	93	NE 1	NE 1	NE 2	10≡	10≡	10≡	1.0	≡ n-n
14	2.0	3.4	4.6	3.3	-2.1	588.5	587.9	587.6	74	57	80	N 1	S 0	SE 1	5	10	10≡	1.0	≡ 19-n
15	1.2	2.0	0.8	1.3	-4.0	**586.5**	586.5	587.7	92	78	89	NE 2	NE 2	N 3	10≡	10≡	10■	1.0	≡ n-n
16	0.8	4.0	1.0	1.9	-3.2	588.5	589.3	591.1	78	72	90	N 2	N 1	N 1	5	8	10●*≡	2.1	● 13-14⁵/₄, ●° ✳ 21-n,
17	0.8	7.0	3.2	3.7	-1.3	591.8	593.1	593.1	84	57	89	N 1	N 1	N 0	0	5	10≡	2.0	≡ 17-n [≡ 17-n
18	2.4	6.0	2.4	3.6	-1.3	591.3	591.5	591.9	87	80	88	N 0	N 0	N 0	10●	10	10≡	5.6	▲ 7-7⁵/₄, ● 7¹/₄-n zeitw.,
19	2.0	5.8	2.4	3.4	-1.4	591.2	591.8	592.8	84	75	86	N 2	N 2	N 2	10≡	10	10≡	0.2	≡ n-9, 20-n [≡ 17⁵/₄-n
20	1.4	8.5	2.8	4.2	-0.4	592.3	592.4	593.0	60	70	95	N 2	N 1	N 1	0	4	10≡	6.1	● 16⁵/₄-17¹/₄, 19⁵/₄-20³/₄, ≡ 20-n
21	3.0	4.2	2.8	3.3	-1.2	593.0	593.5	594.1	91	92	94	N 0	N 0	N 1	10≡	10≡●	10≡	1.4	●° 13-14¹/₂, ≡ n-n
22	1.8	7.2	4.0	4.3	-0.1	593.2	592.9	592.7	90	71	100	N 1	N 0	SE 1	0	5	10≡	.	≡ 19-n
23	1.8	8.2	2.4	4.1	-0.1	590.6	590.4	591.0	97	68	89	N 1	N 1	N 1	0	4	10≡	0.5	≡ 17-n
24	0.8	3.4	-0.6	1.2	-2.9	590.9	591.9	593.1	84	65	79	N 2	N 2	N 2	10	5	5	0.8	
25	-0.4	5.5	1.0	2.0	-1.9	593.9	595.0	594.9	84	65	85	N 2	N 2	N 2	5	0	0	.	
26	1.8	7.2	2.0	3.7	-0.1	594.3	594.4	594.0	85	80	67	N 1	N 1	N 0	3	4	0	.	
27	1.0	2.0	0.0	1.0	-2.6	591.1	590.1	589.8	88	71	92	N 2	N 2	N 3	10≡	5≡	10≡	3.5	┼ zeitw., ≡ n-n m.U.
28	-0.4	0.4	-0.8	-0.3	-3.8	589.8	590.6	590.9	90	87	100	N 1	N 1	N 1	10■	10≡	10≡	1.0	┼ zeitw., ≡ n-n
29	-1.4	0.0	-1.8	-1.1	-4.4	589.7	589.5	588.9	89	87	70	E 0	E 0	N 0	5	10≡	0	.	≡ 9-16
30	**-2.2**	4.8	0.8	1.1	-2.0	587.2	587.4	587.3	56	51	68	N 0	SE 0	SE 0	0	0	4	.	
Mittel	3.8	8.1	4.2	5.4	—	592.9	593.1	593.3	79	67	83				5.0	5.6	6.8	Summe 74.6	

$\lambda = 7^\circ 26'$, $\beta = 46^\circ 57'$,
$H_b = 572.2^m$, $G = 0.00\ ^m/_m$.

Bern

Oktober 1939.
Beobachter: *Tellur. Observatorium.*

Tag	Lufttemperatur					Luftdruck			Relative Feuchtigkeit			Windrichtung und Stärke						Bewölkung			Niederschlag	Witterung
	7^{30}	13^{30}	21^{30}	Mittel	Abweich. vom Normalst	7^{30}	13^{30}	21^{30}	7^{30}	13^{30}	21^{30}	7^{30}		13^{30}		21^{30}		7^{30}	13^{30}	21^{30}		
1	9.3	16.4	13.0	12.9	2.0	704.2	703.3	703.5	95	69	86	SE	0	W	1	SW	3	10	8	10	5.0	● 2-6¹/₄ m.U., 11¹/₄, 21³/₄-23³/₄ m.U.
2	10.4	14.0	11.3	11.8	1.1	703.9	704.6	706.1	92	71	93	NW	0	WSW	2	SW	0	8	9	10	3.5	● 0¹/₂-13 ztw., 19-22¹/₄ ztw.
3	9.5	10.0	9.0	9.5	-1.0	706.1	706.3	707.3	97	95	97	NE	1	NE	2	NE	1	10≡	10	10●	13.1	● 5³/₄-n m.U., ≡ n-8
4	6.0	8.4	8.0	7.5	-2.8	709.0	708.6	707.1	97	93	97	NNE	1	NNE	1	NE	1	10≡	10	10	9.5	● n-7¹/₂ m.U., 16¹/₂, 19³/₄, 23¹/₂,
5	8.1	11.8	10.9	10.3	0.2	706.7	706.0	707.8	100	100	100	SE	1	S	0	SE	0	10≡	10●	10●	17.2	● 1-22³/₄ m.U., ≡ n-10 [≡ n-10
6	9.7	9.0	7.0	8.6	-1.3	708.9	709.5	709.8	95	93	89	W	0	SE	0	SSE	0	10	10●	8	10.2	● 1³/₄-16 m.U.
7	5.8	7.8	6.9	6.8	-2.9	708.4	708.4	709.5	95	85	90	S	1	SW	1	S	0	10●	10	10●	6.1	● 5¹/₄-11¹/₂, 21¹/₂-24 m.U.
8	5.6	8.8	5.6	6.7	-2.8	711.4	712.5	712.4	94	75	98	SE	0	NE	0	NE	0	10	10	10≡	.	● 6, ≡ 20¹/₂-n
9	3.3	8.0	7.0	6.1	-3.2	710.5	709.0	707.5	97	86	97	E	0	N	0	SE	0	10≡	10●	10●	17.2	● 10-23 m.U., △ l, ≡ n-9¹/₄
10	10.8	12.0	9.0	10.6	1.5	709.2	711.4	713.0	95	76	92	SW	0	WSW	1	SE	0	10	9	10	1.1	● 0³/₄ 10 m.U.
11	6.0	12.6	8.4	9.0	0.1	712.5	712.0	711.6	99	68	95	SW	1	WNW	1	SE	0	10≡	8	0	0.2	≡ n-9, △ l
12	7.3	11.1	11.5	10.0	1.3	709.6	707.6	706.8	96	86	80	SE	0	SE	0	SW	1	10●	9	10	4.0	● 6¹/₄-11¹/₂, 21³/₄-23³/₄ m.U.
13	9.5	13.1	11.1	11.2	2.7	706.4	705.5	704.4	93	84	95	SE	0	W	0	SE	0	9	10	10	3.9	● 0³/₄-1¹/₂, 6, 11, 15¹/₄-19
14	10.8	19.1	13.0	14.3	6.0	702.8	703.0	703.3	94	53	90	S	0	WSW	2	SE	0	10	5	0	0.5	
15	9.7	18.2	13.0	13.6	5.5	703.3	702.6	705.9	94	63	95	E	1	NE	0	W	2	9	7	10●	28.3	● 6¹/₄-7 m.U., 18¹/₂-n m.U.
16	10.2	13.2	11.2	11.5	3.5	710.2	712.9	713.6	95	82	97	E	0	NNE	0	NE	1	8	8	10	2.7	● n-22 zeitw.
17	10.6	12.4	12.0	11.7	3.9	711.4	712.0	711.2	100	95	96	NE	1	N	0	SE	0	10≡	10	10	0.0	●° 7³/₄, 18¹/₄, ≡ n-9, 22¹/₄-n
18	11.4	15.0	15.2	13.9	6.3	710.7	707.7	708.7	99	89	90	NE	0	N	1	WSW	1	10	7	10●	15.0	● 6¹/₄, 9³/₄, 20¹/₄-22¹/₂, ⊠ 20¹/₄
19	12.0	17.6	10.7	13.4	6.0	710.0	709.3	712.1	100	62	83	SE	1	WSW	2	SW	2	10	7	8	5.4	● 0¹/₄-10 m.U., 15
20	7.0	9.4	7.4	7.9	0.7	712.6	713.0	713.8	74	64	74	W	1	WSW	2	WSW	1	1	9	10	0.3	△ l
21	4.5	8.6	3.6	5.6	-1.4	712.9	712.6	712.8	89	40	83	W	1	N	1	E	1	1	9	10	.	● 3¹/₄
22	3.0	5.0	3.9	4.0	-2.9	711.1	711.0	711.8	92	74	90	NE	1	N	1	N	0	10	10	10	2.3	● 18-23¹/₄ zeitw.
23	3.8	4.9	4.0	4.2	-2.5	712.1	712.9	715.3	97	84	90	SE	0	NE	0	SE	0	10●	10	10	0.2	● 1³/₄-18 zeitw.
24	1.2	5.4	6.3	4.3	-2.2	715.5	714.5	712.6	99	77	89	S	0	SE	0	SW	1	8	10	10●	9.1	● 17¹/₄-21¹/₂ m.U., ≡ n-7
25	5.9	9.1	2.3	5.8	-0.5	708.1	706.7	707.2	90	68	94	NW	1	WSW	2	SW	1	10	8	10	14.4	● 1³/₄-10³/₄, 14¹/₂-15, 18-20¹/₂
26	1.0	3.5	0.3	1.6	-4.5	706.1	704.4	698.6	96	62	91	SW	1	WSW	2	NE	0	10	6	10	5.9	●✳ 3-7¹/₄, ✳ 7³/₄-8³/₄ m.U., 23¹/₂-n
27	-0.7	1.0	-0.8	-0.2	-6.2	697.3	699.0	701.1	100	93	92	NE	0	NE	1	NE	0	10	10	10	3.7	✳ n-5, 14¹/₂-18¹/₂, ● 8-12¹/₄ m.U. ⊠
28	-1.0	1.0	-0.3	-0.1	-5.9	701.9	701.5	701.2	95	85	92	SW	1	SW	2	SW	1	10	10	10	0.1	✳ 1, 4³/₄-12 zeitw. ⊠
29	1.2	4.1	0.7	2.0	-3.6	701.4	703.8	708.9	90	85	92	SW	1	W	1	SE	0	10	10●	2	0.2	● 2³/₄-3¹/₄, 9, 10-14 zeitw.
30	-2.7	0.0	-0.5	-1.1	-6.6	712.1	712.4	710.8	100	93	95	NE	1	NE	0	N	0	10✳	10	10	.	≡ n-10, 22¹/₄-n, ⌴ l
31	0.4	5.8	1.0	2.1	-3.2	710.3	711.9	709.3	92	85	100	SE	0	NE	1	SW	0	10	7	10≡	.	≡ 19¹/₂-n
																					Summe	
Mittel	6.1	9.6	7.2	7.6	—	708.3	708.3	708.6	95	78	92							9.2	8.9	9.0	174.1	

$\lambda = 6^\circ 57'$, $\beta = 47^\circ 0'$,
$H_b = 487.3^m$, $G = 0.02\ ^m/_m$.

Neuchâtel

Oktober 1939.
Beobachter: *Observatorium.*

1	10.8	15.5	11.3	12.5	0.7	711.2	710.2	711.1	97	78	87	W	1	SW	2	W	1	10	7	10●	7.1	● n-n m.U.
2	11.2	15.1	12.2	12.8	1.2	711.0	711.7	713.8	87	70	75	SW	1	W	3	SW	1	9	8	10	1.2	● n-15 m.U
3	10.2	10.8	9.0	10.0	-1.4	714.4	714.2	715.8	91	87	95	E	1	NE	2	NE	3	10	10●	10	11.5	● 12-n m.U.
4	7.0	10.3	8.8	8.7	-2.5	717.3	716.7	715.5	97	90	98	E	1	E	1	NE	1	10	10	10●	24.4	● 20-n
5	8.8	10.5	11.5	10.3	-0.7	714.4	713.7	715.8	100	95	100	NE	0	NE	0	SW	1	10●	10	10●	18.0	● n-a, 14-n
6	9.2	9.9	7.1	8.7	-2.1	717.1	717.7	717.9	95	95	98	W	1	SW	0	W	0	10●	10	2	16.9	● n-11, 13³/₄-p
7	6.6	8.9	7.4	7.6	-3.0	716.5	716.5	717.7	97	81	79	W	1	W	1	W	1	10●	10●	10	0.8	●° n-n m.U.
8	7.4	10.8	5.8	8.0	-2.4	719.7	720.7	720.7	83	74	94	NW	0	E	1	NW	0	8	10	0	.	
9	4.9	7.5	7.6	6.7	-3.5	718.9	717.1	715.2	97	93	98	NE	0	E	1	E	1	10	10●	10●	11.7	●° 10-n
10	11.0	14.3	9.2	11.5	1.5	717.5	719.5	721.2	96	64	84	W	1	W	2	NW	0	10	2	10	0.2	●°sch. n-9³/₄ zeitw.
11	5.8	11.5	7.8	8.4	-1.4	720.9	720.2	719.7	98	77	97	NW	0	SE	0	NW	0	5	10	10	1.3	●°tr. 13¹/₄, 16, 16¹/₂
12	8.8	11.5	11.5	10.5	0.9	717.7	715.4	714.8	97	92	87	W	1	SW	2	SW	2	10●	10●	10●	7.3	● n-p, n
13	11.4	11.9	13.8	12.4	3.0	713.5	712.6	711.4	92	98	94	SW	2	W	2	SW	2	10	10●	10	2.7	●° n-n m.U.
14	14.4	20.5	15.3	16.7	7.5	709.2	709.7	709.8	85	53	76	W	2	SW	3	NW	1	10	2	0	0.2	●° n-7¹/₄
15	11.5	17.6	12.8	14.0	5.0	709.9	709.5	713.6	96	73	96	NE	1	NE	0	NE	0	9	10	10	41.5	●tr. p, ● 17-n
16	10.2	12.8	11.5	11.5	2.7	718.4	720.7	722.0	98	96	98	NW	0	NE	1	NE	1	10	10●	10●	7.8	● p-n m.U.
17	11.2	12.7	11.7	11.9	3.3	719.9	720.1	719.4	98	93	98	NE	1	E	1	E	0	10●	10	10	1.8	●° n-a, ●tr. zeitw.
18	11.8	15.1	15.1	14.0	5.6	718.9	715.9	716.7	100	89	74	NE	0	S	1	NW	4	10	9	10●	44.8	●tr. 9, ● 20-n, ⊠ n
19	12.3	16.1	10.2	12.9	4.7	717.9	717.3	720.6	98	83	74	NE	1	SW	3	W	2	10●	9	5	5.7	● n-10, ●sch. p
20	7.9	9.6	7.5	8.3	0.2	721.3	721.6	722.2	67	63	77	W	2	W	3	W	3	6	8	10	0.5	
21	5.5	10.1	4.7	6.8	-1.1	721.1	721.0	721.1	77	41	81	SW	1	N	2	E	1	3	3	10	.	●tr. p
22	4.7	7.3	5.9	6.0	-1.7	719.5	719.3	720.0	78	58	69	NE	2	NE	3	N	3	10	9	9	.	
23	5.9	6.3	4.6	5.6	-1.9	720.6	721.4	723.5	67	78	84	NE	3	E	1	NE	0	9	10	10	.	
24	2.7	6.7	7.6	5.7	-1.7	724.0	722.8	720.7	93	76	82	N	0	SW	2	SW	2	9	10	10	6.6	●tr. l, ● 17³/₄-n
25	6.0	6.8	4.0	5.6	-1.6	716.3	714.7	715.4	94	93	81	W	3	W	3	SW	2	10●	10●	10	22.7	● n-14¹/₂ m.U., 17-n
26	1.2	4.7	0.6	2.2	-4.8	713.9	711.3	705.6	93	58	96	W	1	NW	3	NW	2	10*	3	10	16.6	✳ 7¹/₄-7¹/₂, 20-n
27	0.0	0.9	0.4	0.4	-6.5	704.6	706.3	708.6	97	96	89	NE	1	NE	1	NE	1	10	10*	10	2.0	✳ n-n m.U. ⊠
28	0.1	1.1	0.2	0.5	-6.2	709.0	708.8	708.2	84	89	96	W	1	SW	3	SW	4	10	10*	10*	17.7	✳fl. a, ✳ p-n m.U. ⊠
29	1.2	3.0	2.7	2.3	-4.2	709.0	712.2	717.1	96	92	88	SW	4	SW	4	NW	1	10●*	10●	10	6.9	● ✳ n-n m.U. ⊠
30	0.4	2.2	1.1	1.2	-5.2	720.5	721.0	719.1	100	91	98	NE	0	NE	1	NE	1	10≡	10	8	.	≡ a
31	2.1	5.0	1.7	2.9	-3.3	718.5	719.4	717.8	96	86	98	NE	1	SE	1	E	0	10	8	10	.	
																					Summe	
Mittel	7.2	9.9	7.8	8.3	—	716.2	716.1	716.5	92	81	88							9.3	8.6	9.0	278.0	

Oktober 1939.
Beobachter: Frl. *H. Nager.*

Altdorf

$\lambda = 8° 39'$, $\beta = 46° 53'$,
$H_b = 456.3^m$, $G = -0.05\,‰$.

Tag	Lufttemperatur					Luftdruck			Relative Feuchtigkeit			Windrichtung und Stärke			Bewölkung			Niederschlag	Witterung
	7³⁰	13³⁰	21³⁰	Mittel	Abweich. vom Normalst	7³⁰	13³⁰	21³⁰	7³⁰	13³⁰	21³⁰	7³⁰	13³⁰	21³⁰	7³⁰	13³⁰	21³⁰		
1	8.4	13.3	10.6	10.8	-1.1	714.0	713.9	712.4	94	57	94	E 0	NW 0-1	E 0	10	4	8	3.8	
2	10.5	16.1	11.4	12.7	0.9	713.5	713.7	716.8	95	52	90	SE 0	W 0-1	SE 0	9●	5	10	0.4	● l
3	10.2	13.0	11.1	11.4	-0.2	717.1	717.1	718.7	94	80	93	S 0	N 0	NW 0	10●	10●	10●	16.0	● n-n m.U.
4	9.5	10.8	10.7	10.3	-1.1	720.6	719.6	717.8	95	83	94	NW 0	NW 0	SE 0	10●	10	10	0.7	● l
5	10.5	11.7	10.5	10.9	-0.3	717.6	716.0	718.7	95	94	95	N 0	NW 0	NW 0	10	10●	10●	18.9	● a-n
6	10.8	12.0	7.0	9.9	-1.1	719.5	720.2	521.3	96	88	90	N 0	E 0	NE 0	10●	10●	10●	**24.0**	● n-n
7	6.2	6.9	6.7	6.6	-4.3	718.3	719.7	520.4	93	80	92	S 0	NW 0	NW 0	10	10●	10●	19.6	● 9-n
8	6.3	8.9	5.3	6.8	-3.9	722.6	723.5	523.7	94	70	93	NW 0	NW 0	NE 0	10	10	7	1.8	● l
9	3.0	9.9	7.8	6.9	-3.6	721.6	719.7	518.3	94	62	94	NW 0	NW 0	NE 0	7	10	8	16.0	
10	9.0	13.0	8.9	10.3	0.0	720.4	722.0	524.1	95	76	90	NW 0	NW 0	SE 0	10●	10●	10	7.4	● l, ll
11	6.8	13.2	7.3	9.1	-1.1	723.6	722.9	723.1	54	54	88	N 0	NW 0	NW 0	8	5	0	.	
12	7.2	13.3	9.5	10.0	0.0	720.4	717.9	717.5	90	54	92	S 0	S 0	SE 0	10	6	10	0.7	
13	9.5	13.3	11.9	11.6	1.8	716.6	715.1	714.1	96	75	85	NE 0	N 0	SW 0	10	10	10	1.5	● n-n zeitw.
14	17.1	20.9	18.4	18.8	9.1	712.1	712.4	713.4	40	32	35	E 1	SE 2-3	S 2-3	4	2	0	.	
15	19.6	22.9	17.5	20.0	10.5	712.8	712.9	715.7	34	**30**	61	S 2	S 4	NW 0	3	4	10	11.2	
16	12.3	14.7	11.4	12.8	3.5	721.6	723.9	724.7	93	78	92	E 0	NW 0	NW 0	10●	7	10	0.5	● l
17	11.3	15.0	21.9	16.1	6.9	721.9	721.8	721.3	94	74	54	NW 0-1	NW 1	SE 3	10	3	0	.	
18	14.5	**24.0**	21.5	20.0	11.0	720.7	718.0	718.6	75	31	36	NW 1	S 3-4	S 1-2	8	7	7	3.5	
19	13.7	15.7	11.8	13.7	4.8	720.9	720.4	722.3	91	88	89	SW 0	NW 0	NW 0	8	8●	10●	9.6	● n-n zeitw.
20	9.9	12.8	8.9	10.5	1.8	723.0	722.3	723.8	94	45	62	SW 0	W 0	NW 0	6	6	10●	2.1	● lll
21	7.1	8.3	5.6	7.0	-1.5	722.8	722.9	724.0	75	55	75	E 0	NW 1-2	NW 0	8	10	10	0.4	
22	5.2	7.2	5.5	6.0	-2.4	722.2	721.4	722.4	90	65	85	NE 0	NW 0	E 0	10	10	10	5.0	● p zeitw.
23	5.0	5.7	5.0	5.2	-3.0	722.7	723.7	726.3	80	75	85	N 0-1	N 0	NW 0	10●	10●	10	1.7	● l, ll
24	3.7	7.8	6.0	5.8	-2.3	**726.4**	725.3	723.6	93	60	93	S 0	NW 0	SE 0	7	10	10	2.3	
25	6.1	7.1	4.1	5.8	-2.1	719.3	718.7	717.4	97	72	90	SW 0	SW 0	N 0	10●	10●	10●	14.0	● n-n
26	2.7	4.4	1.9	3.0	-4.8	716.3	713.7	708.2	84	65	54	SE 0	W 0	SE 0	10●	10	10	1.2	● l, ✳ zeitw.
27	2.0	3.5	0.9	2.1	-5.5	**707.2**	707.7	709.0	81	80	80	NW 0-1	W 0	NW 1	10	10	10*	5.9	✳ lll
28	0.6	4.1	1.8	2.2	-5.3	711.2	710.6	710.9	90	55	89	E 0	NW 0	NW 0	10	7	10	.	⊛
29	3.4	6.9	1.4	3.9	-3.4	711.4	714.6	721.7	59	52	83	E 0	NW 0-1	SE 0	10	10	0	.	
30	**-1.7**	5.6	2.3	2.1	-5.1	723.5	722.7	721.9	87	64	92	E 0	NW 0	NW 0	0	6	10	.	
31	3.4	7.4	1.4	4.1	-2.9	721.4	721.8	720.3	86	68	96	E 0	NW 0	NW 0	10	7	6	.	
																		Summe	
Mittel	7.9	11.3	8.6	9.3	—	718.8	718.6	719.1	85	65	82				8.6	8.0	8.3	168.2	

*) **22.** ≡ n-n m.U., **23.** ≡ n-n m.U.

Oktober 1939.
Beobachter: *Observatorium.*

Genf

$\lambda = 6° 9'$, $\beta = 46° 12'$,
$H_b = 405.0^m$, $G = -0.03\,‰$.

1	13.8	19.2	14.2	15.7	3.4	718.7	717.7	717.3	94	55	76	NNE 0	SSW 1	SSW 1	9	9	10●	11.4	● abds.-n
2	13.8	16.6	12.5	14.3	2.2	718.7	720.0	720.5	76	63	87	SSW 1	SSW 1	ENE 0	9	9	10	8.9	● a, 14, abds., n
3	11.6	11.7	10.6	11.3	-0.6	720.7	721.1	722.9	97	96	92	NNE 0	NNE 0	NE 0	10●	10	10	11.5	● n-n m.U.
4	10.0	11.8	11.3	11.0	-0.8	724.0	723.3	722.7	89	87	90	NE 1	NNE 0	NE 0	10	10	10	25.8	● 13, 22-n
5	10.4	14.7	13.0	12.7	1.1	721.5	721.1	723.3	98	92	91	NE 0	NE 0	E 0	10●	10	10	8.5	●sch. 17⁹/₄, ● n
6	10.2	10.4	8.4	9.7	-1.7	725.0	725.1	725.0	93	90	89	E 0	NNE 0	NE 0	10●	10●	8	13.3	● a, p, n
7	7.5	11.4	7.5	8.8	-2.4	724.4	724.0	724.9	92	68	91	E 1	SE 0	E 0	9	9	8	1.2	●sch. 17¹/₄
8	4.6	12.4	7.4	8.1	-2.9	727.4	727.6	727.9	93	63	85	E 0	NNE 1	NE 0	9	1	0	0.3	●° n (8./9.)
9	6.0	11.0	10.3	9.1	-1.7	726.4	724.1	722.6	94	83	87	E 0	E 0	NE 0	10●	10●	10●	5.8	●sch. n-n
10	14.0	13.6	9.4	12.3	1.6	725.4	727.0	728.3	84	80	83	SSW 1	E 1	E 0	10	9	5	0.4	●°sch. a
11	5.0	16.7	9.5	10.4	-0.1	728.2	727.5	727.1	94	57	80	E 0	SSW 1	SW 0	1	9	0	.	△ fr.
12	11.2	15.4	12.7	13.1	2.8	725.3	723.3	722.7	71	64	82	NW 1	SSW 1	NW 0	10	10	10●	2.8	●°sch. 8, ●sch. p-n
13	11.6	13.0	15.8	13.5	3.4	721.2	720.1	718.9	97	95	81	NNE 0	NNE 0	SW 0	10●	10●	10	3.5	● a, p
14	16.6	**22.4**	16.5	18.5	8.6	717.1	717.2	716.8	72	**50**	72	SW 0	SW 1	SSW 1	10	2	2	0.1	
15	16.5	17.3	13.2	15.7	5.9	716.6	716.4	720.2	67	75	91	E 0	NNE 0	SE 0	9	9	10●	**33.9**	●sch. 6¹/₂, ● 17¹/₂-n
16	11.6	14.0	13.0	12.9	3.3	725.8	727.8	728.8	97	86	89	NNE 0	NNE 1	NNE 0	9●	9	9	4.8	● a, 17¹/₂-n
17	12.8	14.4	13.4	13.5	4.1	726.6	726.9	727.2	95	84	97	NNE 0	NNE 1	NNE 1	10	9	10	0.2	●°sch. n
18	13.0	14.7	18.7	15.5	6.3	725.8	723.4	723.0	95	88	66	NE 0	NNE 0	SW 1	10	10	10●	13.0	● 20¹/₂-n, ⊠ n
19	15.6	16.8	11.4	14.6	5.6	725.0	725.5	728.6	87	66	75	SW 1	NW 2	SW 1	9	9	9	8.3	● ⊠ 13¹/₂-n
20	7.7	11.4	9.0	9.4	0.5	729.5	729.8	730.0	74	61	73	SW 1	NNW 1	ENE 0	0	9	10	.	
21	7.6	10.2	6.2	8.0	-0.7	728.6	727.8	727.7	69	**50**	61	NNE 0	NNE 1	NNE 1	2	1	0	.	
22	6.2	7.8	6.0	6.7	-1.8	725.8	725.6	726.6	67	64	70	NNE 2	NNE 1	NNE 1	9	9	9●	.	● lll
23	6.4	7.8	6.7	7.0	-1.3	727.4	728.5	730.6	79	65	71	E 1	NE 1	NE 1	9	10	0	.	●°sch. 8¹/₄
24	1.0	7.6	8.7	5.8	-2.4	**731.8**	730.7	728.9	90	75	77	E 0	NE 0	SSE 1	1	10	10	3.9	
25	7.8	10.0	6.5	8.1	0.1	725.0	723.1	723.4	80	73	85	SSW 0	SSW 1	NW 1	10●	9●	10●	6.3	● n-n m.U.
26	2.6	5.8	1.5	3.3	-4.5	722.1	720.0	712.4	83	63	81	E 0	SW 1	N 0	7	10	10*	1.4	● ✳sch. 9¹/₂, n
27	1.6	2.6	0.8	1.7	-6.0	**711.3**	713.5	715.8	82	83	92	SW 2	S 1	NE 1	10*	10	10	4.6	✳ a, ● ✳ abds.-n
28	**0.0**	2.3	2.1	1.5	-6.0	717.5	717.5	717.5	93	77	82	E 0	SW 1	SW 1	9	10	10●	1.8	● abds.-n
29	3.8	5.9	5.2	5.0	-2.3	718.2	720.4	723.9	80	75	81	SW 2	SW 2	N 0	10●	10	10	0.2	● l
30	1.8	5.6	4.0	3.8	-3.4	727.2	727.2	726.1	90	73	83	E 0	NNE 1	NNE 0	9	9	10	0.1	●sch. a
31	2.6	6.8	3.8	4.4	-2.6	726.1	726.2	725.0	95	81	87	NNE 0	NNE 1	NNW 0	3	0	0	.	△ l
																		Summe	
Mittel	8.5	11.7	9.3	9.8	—	723.7	723.5	723.8	86	74	82				8.2	8.4	7.4	172.0	

$\lambda = 8°\,33'$, $\beta = 47°\,23'$.
$H_b = 493.2^m$, $G = 0.03$ ‰.

Zürich

Oktober 1939.
Beobachter: *Meteorol. Zentralanstalt.*

Tag	Lufttemperatur					Luftdruck			Relative Feuchtigkeit			Windrichtung und Stärke			Bewölkung			Niederschlag	Witterung
	7^{30}	13^{30}	21^{30}	Mittel	Abweich. vom Normalst.	7^{30}	13^{30}	21^{30}	7^{30}	13^{30}	21^{30}	7^{30}	13^{30}	21^{30}	7^{30}	13^{30}	21^{30}		
1	9.5	16.4	11.5	12.5	1.2	710.5	710.0	708.8	99	63	97	ESE 1	WNW 3	SE 1	10	9	7	7.7	● 7–9¼
2	12.9	14.8	9.4	12.4	1.3	709.8	710.5	713.7	68	67	99	WSW 2	W 2	NW 1	9	7	5	3.0	●° 2½, 24¼ zeitw.
3	9.2	10.5	8.6	9.4	−1.5	713.9	714.5	715.8	95	80	92	NNE 1	NE 2	NE 2	10	10	10	4.6	●2¾–3½, 9¼–10¼, 19½–n m.U.
4	6.2	10.1	8.9	8.4	−2.3	717.2	716.5	714.8	92	75	93	NE 2	N 1	ENE 1	10	10	10	1.2	● n–3¼
5	8.3	9.6	10.9	9.6	−0.9	714.0	712.9	714.6	100	100	100	ENE 1	SE 0	SE 1	10	10●	10●	31.9	● 3–7¼, 10¾–n
6	10.8	10.3	7.8	9.6	−0.8	716.2	716.5	717.3	96	89	97	W 1	WSW 2	SE 1	10●	10●	10●	18.7	● n–22½ m.U.
7	7.0	6.3	6.4	6.6	−3.6	715.1	715.9	716.7	98	88	94	WNW 0	SSW 1	SW 1	10	10●	10●	19.6	●° 5½–7¼, 10½–n m.U.
8	5.3	8.6	6.3	6.7	−3.3	719.2	720.3	720.2	97	74	97	NNW 0	SE 1	SE 1	10●	10	9	0.3	● n–7½
9	3.8	9.2	7.6	6.9	−2.9	718.2	716.3	714.8	98	67	100	E 0	SW 0	SE 1	9	10	10	19.0	● 15¼–n m.U.
10	9.6	12.9	8.3	10.3	0.6	716.4	718.5	720.5	100	67	96	W 0	NW 2	SE 1	10	8	10	0.9	● n–9½ m.U.
11	7.7	13.8	9.0	10.2	0.7	719.8	719.4	719.0	99	54	100	NW 1	WNW 1	S 1	10≡	5	8	0.2	≡ a
12	8.3	11.8	11.6	10.6	1.3	716.9	715.0	713.9	92	77	74	SE 1	ESE 1	WSW 2	10	10●	10	5.5	●° 5¼–18¾ m.U., 20⅝–n m.U.
13	10.8	13.6	11.3	11.9	2.8	712.8	712.0	710.6	93	77	100	SSW 1	SE 0	SE 1	10	10●	9	6.3	● n–4, 11⅝–12¾, 16–20⅝
14	13.7	19.5	12.8	15.3	6.4	708.7	709.5	709.2	80	**50**	84	SSW 3	SW 3	SE 1	9	7	0	0.0	● 5¼–6¾
15	14.7	**21.0**	13.6	16.4	7.6	710.0	709.0	712.9	76	**50**	96	NNW 1	NNW 2	NW 2	8	2	10●	18.8	● 19⅝–n
16	11.0	14.3	11.0	12.1	3.5	717.9	720.6	721.3	100	67	99	SE 1	NW 0	NW 1	9●	9	5	1.5	● n–7½, 22⅝–24
17	10.9	14.2	11.7	12.3	3.9	719.4	719.4	718.9	99	78	100	NE 0	NW 0	NW 1	10	10	10	0.0	●° 0½–0⅝
18	11.9	16.6	16.8	15.1	6.9	718.0	715.1	716.5	99	73	69	NNW 1	NNW 1	W 3	10	6	10	14.1	● 21¼–24¼
19	12.2	17.5	12.0	13.9	5.8	717.7	716.8	719.2	100	71	68	ESE 1	SE 1	SW 1	9	4	10	0.9	● 1¼–7½, 11¾–13¼
20	7.4	11.1	7.1	8.5	0.6	719.7	719.6	720.5	66	**50**	85	WNW 2	WSW 4	WSW 2	3	9	10●	4.9	● 18–n
21	5.8	5.6	4.2	5.2	−2.5	720.1	720.7	720.8	84	68	93	WNW 1	WNW 2	NNE 1	10	10	10●	0.9	● n–4½, ●°tr. p–22
22	4.2	5.9	5.0	5.0	−2.5	719.3	718.7	719.3	92	72	97	NNW 1	NNW 2	NW 1	10	10	10●	5.3	●° 5–7, 15–20, 21¼–n
23	4.6	5.2	4.4	4.7	−2.7	719.5	720.3	**722.5**	97	87	89	NW 1	NW 1	SSW 1	10	10●	10	3.0	● n–6½, ●° 6½–20½
24	4.7	6.1	7.0	5.9	−1.3	**722.5**	721.5	719.1	75	64	84	SSW 1	SSW 1	SW 3	9	10	10●	7.2	● 18–21½
25	7.4	7.4	3.5	6.1	−0.9	714.8	713.4	713.6	75	83	90	WSW 3	SW 3	WSW 1	10	10●	10	13.4	● 2⅝–23¾ m.U.
26	1.6	1.1	0.0	0.9	−5.9	712.5	710.5	705.6	97	94	95	WNW 1	WNW 2	SE 0	10	9*	8	5.4	● 3½–7½, ● ✳ 11⅝–12¾,
27	0.2	0.6	−0.2	0.2	−6.5	**704.0**	705.2	707.2	100	95	100	NW 0	NNE 2	N 1	10*	10*	10*	12.6	✳ 6–n [✳ 13½–21 m.U.
28	−0.1	2.5	0.8	1.1	−5.4	707.8	707.6	707.4	98	70	93	SW 1	SSW 2	SE 1	10*	8	10	3.7	✳ n–8⅝
29	1.5	3.3	0.8	1.9	−4.5	707.9	711.7	716.8	99	94	100	S 2	SE 0	SE 0	10●	10●	0	5.3	✳ ●° 1–14
30	**−0.7**	4.9	0.7	1.6	−4.6	720.4	720.0	718.5	100	67	100	NNE 1	N 0	NW 1	8	7	6	.	☾ I, ♉ 21
31	1.8	4.8	1.4	2.7	−3.4	717.9	718.9	717.4	84	81	100	SW 1	E 0	NE 0	10	10●	10	0.7	●° p zeitw.
																		Summe	
Mittel	7.2	10.0	7.4	8.2	—	715.4	715.4	715.7	92	74	93				9.5	8.7	8.6	216.6	

$\lambda = 8°\,30'$, $\beta = 47°\,3'$.
$H_b = 1787.3^m$, $G = -0.20$ ‰.

Rigi-Kulm

Oktober 1939.
Beobachter: *H. Haertl.*

1	3.8	4.5	6.0	4.8	−0.6	608.0	607.7	607.4	98	82	75	W 1	W 2	W 2	10●	10	8	5.0	● 7½–9½, ≡ zeitw.
2	3.0	4.8	4.2	4.0	−1.2	607.5	608.2	610.0	92	95	67	SW 2	W 1	W 0	10	7	10	7.4	≡ abds.
3	4.0	7.4	4.2	5.2	0.1	609.8	610.5	611.4	100	67	100	W 0	WSW 0	W 0	10●	10●	10■	20.4	● zeitw., ≡ III
4	5.4	11.7	8.4	8.5	3.6	612.2	612.9	611.9	100	65	68	SW 2	S 0	SE 2	10≡	7	8	1.0	≡ I
5	5.4	4.5	4.0	4.6	−0.2	610.9	609.9	611.6	100	100	100	WSW 1	SE 0	W 3	10	10●	10≡●	**48.5**	● 9–n, ≡ III
6	2.8	0.5	−0.2	1.0	−3.6	612.0	612.0	610.2	100	100	100	W 1	W 0	W 2	10●	10*●	8	22.8	● I, ● ✳ a–20
7	0.0	−2.0	−2.5	−1.5	−5.9	610.2	610.2	610.5	100	100	100	SW 0	W 2	W 2	10	10*	10*	39.2	✳ II, III
8	−1.8	−1.4	−3.0	−2.1	−6.4	612.5	613.9	614.4	100	100	100	W 2	W 1	SW 0	10*	10≡	3	4.1	✳ I, ≡ II
9	−1.7	−2.2	5.0	0.4	−3.7	612.8	611.6	611.1	100	64	82	SW 0	SW 3	W 3	5	10	10	25.4	
10	3.8	2.2	−0.8	1.7	−2.2	612.6	614.0	615.2	100	100	100	W 3	W 1	W 1	10≡●	10≡●	10*	21.1	● ≡ I, II, ✳ III
11	−0.2	3.8	2.0	1.9	−1.9	614.4	614.7	614.6	100	72	90	SW 1	SW 1	SW 2	10	3	5	.	
12	3.2	6.0	3.8	4.3	0.7	612.8	611.8	611.0	62	64	72	SW 2	SW 1	SSW 1	10	10	10	3.8	
13	4.0	7.4	9.0	6.8	3.4	609.7	609.5	608.9	100	67	72	SW 2	SW 1	SW 3	10●	10●	5	4.5	● 7¼–p
14	8.4	9.2	8.2	8.6	5.3	607.9	609.0	608.7	65	80	62	SW 1	S 0	S 4	5	3	3	.	
15	8.8	10.2	10.5	9.8	6.7	608.6	610.3	612.5	59	50	87	S 3	S 2	SW 2	7	3	10≡●	18.4	● ≡ 19½–n
16	3.6	7.7	6.5	5.9	2.9	614.1	615.5	**617.7**	100	85	80	W 2	WSW 1	W 1	10●	7	8	2.0	● I
17	9.8	**12.7**	11.0	11.2	8.4	616.3	616.9	616.7	65	56	60	SE 3	SW 1	S 4	10	3	5	.	
18	10.4	12.8	11.4	11.5	8.8	616.2	614.0	613.4	63	**46**	57	SE 4	SE 4	SSE 4	10	7	8	5.3	
19	4.4	4.8	3.0	4.1	1.5	614.9	614.1	614.4	90	89	100	W 0	W 1	W 4	10	7	10	10.1	● zeitw. abds.
20	−1.4	0.0	−1.8	−1.1	−3.5	613.5	614.0	613.3	100	100	100	W 4	SW 3	W 4	3	10≡	10≡	15.9	≡ a–n, ✳ 20–n
21	−2.9	−2.0	−6.0	−3.6	−5.9	613.2	613.3	613.2	100	100	100	W 0	W 1	W 2	10≡	10≡	10≡	1.1	≡ n–n
22	−4.8	−4.2	−4.4	−4.5	−6.7	611.6	611.7	611.8	100	100	100	W 1	NE 2	NE 3	10■	10≡	10≡*	20.0	✳ 15½–n, ≡ n–n
23	−4.8	−4.2	−5.0	−4.7	−6.8	612.0	612.5	614.7	100	100	100	NNE 4	W 1	W 2	10≡*	10≡*	10≡*	15.0	✳ ≡ n–n
24	−5.3	−3.2	−1.5	−3.3	−5.2	615.0	614.7	614.4	100	100	100	NW 3	W 4	W 4	7	10*	10≡*	10.6	✳ 10½–n, ≡ III
25	−1.8	−2.0	−3.0	−2.3	−4.1	609.7	608.5	607.7	100	100	100	W 4	W 4	W 4	10≡*	10	10≡	29.3	✳ zeitw., ≡ I, III
26	−7.2	−7.0	−8.8	−7.7	−9.4	605.8	604.0	602.1	100	100	100	W 3	W 2	W 1	10≡*	10≡*	3	5.8	✳ ≡ I, II
27	−7.5	−7.6	−9.0	−8.0	−9.6	**597.8**	598.0	599.6	100	100	100	W 2	W 2	W 2	10≡	10≡*	10≡*	36.0	✳ II, III, ≡ n–n
28	**−10.0**	−8.2	−8.8	−9.0	−10.5	600.4	601.0	601.1	100	100	100	W 2	W 3	W 3	10≡*	10	10≡*	7.4	✳ n–n zeitw., ≡ I, III
29	−6.8	−4.2	−6.4	−5.8	−7.1	601.2	605.9	609.4	100	100	100	W 4	W 2	W 0	10≡*	10	0	2.4	✳ zeitw., ≡ I
30	−6.5	−3.8	−1.2	−3.8	−5.0	613.4	614.0	613.1	100	100	100	NE 2	SSE 3	SE 3	0	7	3	.	
31	0.5	0.6	−0.2	0.3	−0.8	611.6	613.2	613.8	70	96	97	W 5	W 0	E 2	7	10	5	.	
																		Summe	
Mittel	0.6	1.9	1.1	1.2	—	610.6	610.9	611.2	92	86	89				8.8	8.5	7.8	382.5	

Oktober 1939.
Beobachter: *P. Nogler.*

Bevers

$\lambda = 9° 53'$, $\beta = 46° 33'$.
Hb = ca. 1710^m, $G = -0.23\ ^m/_m$.

Tag	Lufttemperatur					Luftdruck			Relative Feuchtigkeit			Windrichtung und Stärke			Bewölkung			Niederschlag	Witterung
	7^{30}	13^{30}	21^{30}	Mittel	Abweichung vom Normalwert	7^{30}	13^{30}	21^{30}	7^{30}	13^{30}	21^{30}	7^{30}	13^{30}	21^{30}	7^{30}	13^{30}	21^{30}		
1	1.2	8.8	5.9	5.3	0.0	614.6	613.6	614.0	100	74	94	NW 1	NE 2-3	NE 1	10*	5	10	.	
2	6.4	10.8	4.9	7.4	2.2	614.1	615.2	616.1	91	73	93	W 1	SW 1-2	W 1	6	6	3	.	
3	2.1	7.2	5.5	4.9	-0.1	616.5	616.5	617.3	98	80	98	SW 1	E 1	NE 1	10	10●	10	0.2	
4	4.7	10.8	7.4	7.6	2.8	618.2	619.4	620.1	93	66	90	NW 1	SSW 3	W 1	6	9	4	3.6	
5	7.1	8.3	5.8	7.1	2.5	617.7	615.2	617.3	100	84	98	N 0	WSW 1	SW 1	10●	10●	9	16.3	● n-n m.U.
6	4.5	7.0	1.1	4.2	-0.2	616.3	615.0	618.1	100	83	100	NW 0	W 1	N 1-2	10	10	10*	10.3	● seit 11 zeitw., ●^{3}▲ 18, [∗ abds.-n
7	1.6	6.0	1.8	3.1	-1.1	616.0	614.6	615.0	93	52	64	N 1	NW 1	N 1-2	10	10	9	1.1	
8	1.7	3.8	0.3	1.9	-2.1	617.0	619.2	620.5	85	53	65	W 1	SW 1	SW 1	10*	5	2	.	∗ l
9	-3.8	7.2	2.5	2.0	-1.9	620.0	618.7	618.8	88	60	80	NW 1	NW 2	NW 1-2	8	10	7	6.1	● ∗ 17-18
10	1.0	10.4	3.2	4.9	1.2	618.0	619.2	620.4	100	54	95	SW 1	W 1	NW 1	10*	10	4	0.3	∗ n-a
11	2.0	8.3	0.0	3.4	-0.1	620.2	620.0	621.4	98	38	85	NW 1	WSW 2	WSW 1	8	1	0	.	
12	4.1	6.1	4.9	5.0	1.7	619.9	619.1	618.1	82	75	78	WSW 1	SW 2-3	NW 2	9	9	10	0.3	
13	3.8	8.9	6.5	6.4	3.3	616.6	616.4	617.2	94	66	90	N 1	SW 2	NW 2	10	10	10●	0.7	● 16½-n
14	6.6	10.4	8.3	8.4	5.5	616.0	616.8	617.6	93	72	80	SW 1	SW 1-2	SW 1	8	4	8	0.2	
15	7.6	11.4	11.1	10.0	7.3	617.9	617.7	618.1	88	60	68	SW 0	W 2	SW 2-3	10●	5	10●	2.6	
16	8.4	11.2	8.1	9.2	6.7	620.8	623.8	625.0	95	70	100	SW 1	NNW 1	NW 1	10●	10●	10●	26.2	● n-n
17	7.2	12.1	9.3	9.5	7.2	625.2	625.4	626.1	100	68	85	W 1	SW 2	SW 1	10●	9	10	1.9	● l
18	7.8	12.0	9.5	9.8	7.7	625.8	623.8	622.3	91	63	74	S 1	SSW 1	SW 1	4	10	8	1.5	
19	8.5	8.1	5.0	7.2	5.3	621.5	621.6	620.7	94	89	97	S 1	NW 1-2	W 1	10	10●	7	35.8	◉ n-n zeitw.
20	4.0	7.1	3.5	4.9	3.2	619.0	618.6	619.2	88	65	55	SSW 1	SW 1-2	NW 1	10●	7	5	0.2	● l
21	1.3	2.2	0.0	1.2	-0.3	618.1	618.1	618.2	75	50	59	NE 1-2	N 1	W 1	10	10	5	.	△ l
22	-2.1	-0.3	-2.0	-1.5	-2.8	617.0	616.3	616.6	91	91	97	NE 2-3	NE 2	NE 1-2	10*	10*	10*	9.9	∗ n-n
23	-2.2	1.2	-2.3	-1.1	-2.2	616.0	616.8	619.8	96	56	72	N 2	NE 1-2	N 1	10*	10*	6	0.2	∗ n-p
24	-5.7	3.4	-2.4	-1.6	-2.6	621.1	620.2	619.4	89	47	90	S 1	NW 1-2	SW 1	3	4	5	.	
25	-0.1	0.4	-1.4	-0.4	-1.2	616.3	614.5	612.4	70	87	95	SSW 1	SSW 3	NE 1	9	10*	9	3.8	
26	-6.0	-2.1	-8.4	-5.5	-6.1	611.3	609.1	607.9	72	45	72	SSE 1	NE 2-3	SW 0	7	9	0	.	∗ seit 8⅓
27	-8.4	-5.4	-6.5	-6.8	-7.2	604.1	603.8	604.8	78	90	86	NE 1-2	NE 3	NE 1	8	10*	10	9.5	∗ II
28	-9.4	-2.8	-10.6	-7.6	-7.8	606.4	607.1	608.6	88	42	79	NW 0-1	W 1-2	SW 1	9	5	5	.	
29	-7.6	-2.0	-10.8	-6.8	-6.8	611.0	612.4	617.9	75	52	88	NW 1	NW 2	WNW 0-1	10	4	0	.	
30	-14.1	0.6	-8.2	-7.2	-7.0	620.0	620.5	621.3	86	41	83	WSW 1	NE 2	SW 1	0	6	0	.	
31	-6.1	6.2	-5.2	-1.7	-1.4	918.5	619.2	619.1	85	65	100	W 1	E 2	SE 1	10	6	0	.	
Mittel	0.8	5.7	1.5	2.7	—	617.1	617.0	671.7	90	62	84				8.5	7.9	6.3	Summe 130.7	

Oktober 1939.
Beobachter: *Kapuzinerkloster.*

Sitten

$\lambda = 7° 21'$, $\beta = 46° 14'$,
$Hb = 548.6^m$, $G = -0.11\ ^m/_m$.

1	11.2	18.3	14.2	14.6	2.1	706.4	704.4	704.6	70	49	65	NNE 0	NW 3	W 3	10	3	5	1.0	●° 8-8½, ◠ l
2	10.2	20.5	13.3	14.7	2.4	705.5	705.9	708.2	98	39	72	N 1	SW 4	W 2	1	6	8	1.9	● n-6
3	9.9	13.6	11.8	11.8	-0.3	709.1	708.7	710.3	98	76	100	NNE 0	NE 0	NE 0	10●	10	10●	2.9	● l, III
4	11.1	16.2	11.7	13.0	1.1	711.8	710.4	710.3	97	69	99	NW 0	NE 0	NE 0	10≡	10	10	0.8	≡ l
5	11.4	12.5	11.8	11.9	0.2	709.1	708.5	711.0	98	95	97	W 0	E 0	E 0	10●	10●	10●	13.7	● n-n
6	11.8	10.6	7.5	9.7	-1.8	710.9	711.9	712.9	96	82	96	W 0	W 0	W 0	9	10●	1	3.3	● 9-p
7	7.1	11.0	8.2	8.8	-2.5	711.1	711.0	711.8	94	68	74	N 0	W 1	W 0	10●	10	2	4.2	● l
8	7.0	14.3	7.2	9.5	-1.6	714.1	713.9	715.1	84	46	76	WNW 0	NW 3	SW 0	5	5	0	.	
9	5.4	8.6	7.8	7.3	-3.6	714.2	713.5	711.8	81	81	98	NE 0	NE 1	NE 0	9	10●	9●	16.8	● II, III
10	8.1	14.8	9.8	10.9	0.2	712.7	713.0	715.0	100	65	83	NE 0	SW 3	W 1	9●	5	1	1.5	● l
11	7.8	14.9	9.0	10.6	0.1	715.6	714.2	715.2	86	56	79	N 0	SSW 1	ENE 2	7	3	0	.	
12	7.4	15.2	11.9	11.5	1.2	714.0	711.1	710.6	88	53	69	NE 1	NE 0	E 2	9	9	10	4.0	
13	9.6	13.1	10.8	11.2	1.1	710.3	708.8	708.9	96	71	93	NE 0	NE 0	N 0	10	10	5	5.7	
14	10.4	19.3	13.8	14.5	4.6	706.5	705.6	707.2	87	47	60	NE 0	N 2	N 0	7	1	0	0.2	
15	11.4	19.3	14.0	14.9	5.2	707.5	705.8	708.0	77	51	86	NE 0	W 1	W 0	4	10	10	10.8	●° p m.U.
16	11.2	17.3	12.7	13.7	4.1	713.5	714.7	716.0	98	64	95	N 0	NNE 0	W 1	9	1	10●	4.4	●° 8-9, ● 20-n
17	12.2	18.9	16.7	15.9	6.5	716.5	714.9	715.3	96	65	66	NNE 0	N 0	N 2	10	2	2	0.1	
18	14.8	22.4	16.8	18.0	8.8	714.2	711.6	711.9	73	48	60	NE 1	NW 1	W 0	10	9	10	0.1	
19	13.4	16.2	12.2	13.9	4.9	712.5	712.6	714.5	91	81	80	N 0	N 0	N 0	3	8	8	0.5	
20	7.9	13.0	9.3	10.1	1.3	715.2	714.3	715.7	76	48	60	NW 0	W 3	W 3	0	2	7	0.0	
21	9.2	11.2	7.2	9.2	0.6	714.7	713.2	713.7	68	50	58	W 1	W 3	W 3	4	3	8	1.6	
22	5.1	9.2	5.8	6.7	-1.8	713.0	712.0	713.0	89	64	74	W 0	WSW 2	W 0	10	7	5	.	
23	5.6	10.0	6.1	7.2	-1.1	713.5	714.0	717.0	74	54	64	W 2	W 3	W 2	10	8	8	.	
24	2.6	9.3	6.1	6.0	-2.1	718.9	717.6	716.5	82	52	77	NE 0	NE 0	NE 0	5	8	10	0.7	
25	4.8	7.5	6.0	6.1	-1.8	713.1	710.4	708.9	93	74	83	NE 0	NE 0	W 0	10●	7	10	3.6	● l
26	2.5	5.3	2.4	3.4	-4.3	708.5	706.1	702.1	73	61	75	WNW 0	WNW 0	W 0	10	4	10	5.3	∗ 8-9
27	0.7	5.0	1.2	2.3	-5.3	699.4	699.9	702.0	98	71	84	W 0	W 1	W 3	9	9	9	.	
28	1.6	6.0	1.6	3.1	-4.3	704.1	703.8	704.7	75	54	78	W 0	W 1	W 1	9	10	10	5.3	
29	0.8	3.7	1.2	1.9	-5.3	706.2	708.2	712.6	100	74	94	N 0	E 1	E 1	10*	7	7	3.6	∗ l
30	-0.9	5.7	3.9	2.9	-4.1	716.4	715.4	714.5	79	50	75	ENE 0	E 1	W 1	3	6	6	.	
31	3.2	10.7	4.1	6.0	-0.9	713.3	712.7	712.8	73	51	88	E 0	WSW 2	W 0	10	0	1	.	
Mittel	7.6	12.7	8.9	9.7	—	711.3	710.6	711.4	87	62	79				7.8	6.5	6.5	Summe 91.0	

$\lambda = 8^\circ 57'$, $\beta = 46^\circ 0'$,
$H_b = 276.2^m$, $G = -0.01\ ^{m}/_{m}$.

Lugano

Oktober 1939.
Beobachter: *G. Vicari.*

Tag	Lufttemperatur 7³⁰	13³⁰	21³⁰	Mittel	Abweich. vom Normalst	Luftdruck 7³⁰	13³⁰	21³⁰	Relative Feuchtigkeit 7³⁰	13³⁰	21³⁰	Windrichtung und Stärke 7³⁰	13³⁰	21³⁰	Bewölkung 7³⁰	13³⁰	21³⁰	Niederschlag	Witterung
1	10.2	17.6	14.8	14.2	-0.2	731.2	729.5	729.9	94	57	85	N 0	S 0	N 1	10●	3	10	0.2	●³ 7¼–7⅝
2	9.6	19.4	13.6	14.2	0.0	730.3	730.4	731.2	93	51	92	N 1	S 1	W 0	4	0	10	0.1	
3	11.8	15.0	12.0	12.9	-1.1	732.3	732.3	733.3	87	78	91	S 0	SSW 0	W 0	10●	10	10	.	●° 7¼–7½
4	11.6	16.2	14.0	13.9	0.1	735.5	736.3	737.0	87	78	94	S 0	S 0	NE 1	10	10	10●	7.7	●³ 19½–n
5	13.6	14.2	13.6	13.8	0.2	734.1	731.4	731.7	93	93	93	W 0	W 0	N 1	10●	10	0	23.2	● n–7½ m.U., 9–11
6	11.6	17.2	11.6	13.5	0.1	733.1	731.8	733.0	83	74	52	N 1	S 1	E 1	9	10	0	8.4	K● 17–18
7	7.6	15.8	10.6	11.3	-1.9	731.7	729.8	730.5	83	49	76	N 1	E 0	N 1	6	10	10	.	
8	7.6	16.2	8.2	10.7	-2.3	734.0	734.5	737.3	88	53	63	N 1	E 1	W 1	5	0	0	.	
9	5.6	14.0	10.0	9.9	-2.9	738.4	737.6	736.8	79	53	93	N 1	S 0	N 1	1	10	10	0.8	
10	8.6	17.8	12.4	12.9	0.3	735.7	734.7	736.8	88	47	90	N 1	SE 1	NE 1	2	0	10●	1.9	●° n, 20–n
11	10.0	**19.8**	13.2	14.3	1.9	737.1	736.9	739.1	83	52	95	N 1	S 1	W 1	8	1	10●	2.5	●° p–n zeitw.
12	11.6	13.2	11.4	12.1	-0.2	739.4	738.2	737.0	88	68	87	NNE 1	E 0	N 0	10●	10	10	3.9	●³ a, n
13	10.8	13.2	11.8	11.9	-0.2	735.0	734.3	733.9	88	73	89	N 1	S 0	W 0	10	10	10●	1.7	●° abds., n
14	12.4	13.4	13.2	13.0	1.1	733.4	733.7	734.3	91	84	97	W 0	NNW 0	NW 0	10	10●	10●	7.9	●° p–n m.U.
15	13.2	14.0	13.2	13.5	1.8	735.1	735.4	735.5	91	89	97	NNE 0	S 0	W 0	10●	10●	10●	13.1	● n–n
16	14.8	17.2	15.0	15.7	4.2	737.0	739.5	741.7	88	81	92	W 1	W 1	NNW 0	10	10	10●	10.4	● n–7½, p, n
17	16.0	16.2	16.4	16.2	4.9	741.6	742.6	**743.0**	88	87	93	NNW 0	NNE 1	NE 1	10●	10	10	0.5	● n–a zeitw.
18	15.2	18.8	15.2	16.4	4.3	742.2	741.3	739.3	94	76	98	S 0	NNE 0	S 1	10	10	10●	8.2	●° p, ● 20½–n
19	15.4	15.8	15.2	15.5	4.6	738.2	737.8	736.5	93	91	96	NNE 1	NNW 1	SSW 1	10●	10●	10●	15.1	● n–7½, a–n zeitw.
20	14.2	18.8	13.0	15.3	4.6	735.0	733.5	734.8	93	52	38	S 1	E 1	NNE 1	7	5	0	.	
21	8.8	17.2	10.8	12.3	1.7	734.1	734.1	735.1	73	26	49	SW 1	NE 2	WNW 1	0	5	10	0.3	
22	9.8	10.4	7.6	9.3	-1.1	734.7	734.3	733.5	66	63	93	S 1	SW 1	SW 1	10●	10●	6	2.8	●° 6½–p zeitw.
23	11.6	15.2	10.4	12.4	2.2	731.4	732.4	735.5	32	27	**25**	NNE 2	NNE 2	NNE 3	8	6	3	.	
24	11.0	16.4	9.4	12.3	2.3	737.3	737.1	737.5	28	32	70	NNE 2	S 1	N 1	0	0	0	.	
25	6.0	10.0	7.4	7.8	-2.0	735.6	733.2	731.0	81	74	88	N 1	S 1	N 1	10	10	10	1.2	●° a m.U.
26	5.4	12.6	5.0	7.7	-1.9	728.4	725.3	724.7	38	23	45	N 1	E 2	N 1	0	0	0	.	
27	4.2	3.6	3.0	3.6	-5.8	722.8	**721.5**	722.3	78	88	94	W 1	SW 0	E 1	10●	10●	10	2.9	●ⁿ a, p zeitw.
28	1.0	9.2	4.4	4.9	-4.3	724.3	725.2	727.1	58	44	83	ENE 1	S 1	N 1	4	3	6	.	⌒° 1
29	1.8	9.0	3.2	4.7	-4.3	730.3	733.2	737.8	88	48	71	N 1	SSE 1	N 1	6	9	10	.	
30	**0.0**	10.0	3.8	4.6	-4.2	740.5	740.9	741.1	84	40	72	N 1	SE 0	N 1	0	5	0	.	
31	4.8	11.0	5.4	7.1	-1.5	739.3	737.9	737.6	75	52	89	N 1	SW 1	NNE 1	10	10	7	0.4	
																		Summe	
Mittel	9.5	14.5	10.6	11.5	—	734.5	734.1	734.7	80	61	80				7.1	7.0	7.2	113.2	

$\lambda = 7^\circ 35'$, $\beta = 47^\circ 33'$,
$H_b = 318^m$, $G = 0.11\ ^{m}/_{m}$.

Basel

Oktober 1939.
Beobachter: *Astronom.-Meteorol. Anstalt.*

1	8.8	18.7	12.0	13.2	1.6	725.1	724.7	724.5	96	61	91	SE 1	WNW 1	W 1	10	7	10●	11.4	● 3¼–7¼, 10¼, 10¼, 17½–n
2	11.3	15.8	7.8	11.6	0.2	724.9	725.9	729.0	85	61	94	SW 1	WSW 1	SSW 1	9	10	3	0.4	● n–4½ zlw., 8¼–9 [m.U., K● 18
3	8.3	11.6	10.4	10.1	-1.1	729.6	729.8	731.2	96	84	74	WNW 1	NNW 0	ENE 1	10	10	10	1.3	● 23⅝–n
4	7.6	13.4	9.6	10.2	-0.8	732.4	731.4	730.2	80	66	89	ENE 1	SE 1	SSE 1	10	6	10●	14.2	● n–4½ zeitw., 21–n
5	8.7	12.4	10.6	10.6	-0.2	728.0	727.9	729.8	93	86	98	ESE 1	E 1	SE 1	10	10	10●	29.4	● n–8¼ m.U., 14⅝–23¼
6	10.8	12.8	9.0	10.9	0.3	731.6	732.0	732.2	97	82	93	SW 1	W 1	ENE 1	10	10	7	2.4	● 1¼–19¼ zeitw.
7	7.0	9.9	7.8	8.2	-2.2	731.0	731.0	732.7	98	80	99	SE 0	W 1	SSW 0	10●	10	10	14.3	● 6½–21⅝ m.U.
8	6.6	9.4	4.8	6.9	-3.3	734.9	735.8	735.5	98	86	97	W 1	WSW 1	SE 0	10	10	0	.	● 4¼–5¼, 6⅝–7
9	5.5	10.1	8.2	7.9	-2.1	733.1	730.8	729.4	93	78	94	E 1	SE 1	SSE 1	9	10	10●	11.6	● 13½–n m.U., ≡ 2–5
10	11.6	11.3	7.5	10.1	0.3	731.6	734.8	736.0	94	80	93	WSW 1	WSW 1	S 1	10	10	9	.	● n–6¼
11	4.4	13.6	7.5	8.5	-1.0	735.3	734.8	734.1	97	69	96	E 1	NE 1	E 1	10	10	0	2.8	● 16–16¼, ≡ n–9½ m.U.
12	8.4	11.5	10.7	10.2	0.9	731.7	729.8	728.6	96	95	97	ESE 1	ESE 1	ESE 1	10●	10●	10	12.5	● 3–n
13	9.0	14.8	12.8	12.2	3.1	727.8	726.7	724.4	97	82	97	E 1	ENE 1	ESE 1	10	10●	10	4.7	● n–3¾, 16½–21½, ≡ 8 8½
14	13.4	**20.6**	13.0	15.6	6.7	723.4	723.7	723.4	95	**54**	88	NNW 1	WSW 2	E 1	10●	10	0	0.9	● 0⅝–1, 7½–9⅝
15	13.6	20.0	13.6	15.7	7.0	724.0	723.8	727.8	87	65	96	ESE 1	ENE 1	E 1	10	9	10●	30.0	● 9½, 16½–n
16	10.9	14.8	11.2	12.3	3.8	733.3	735.8	736.6	94	73	95	SSW 1	NNW 1	NNE 1	10	10	10	3.7	● n–2½, 13⅝, 15¹¹⁄₁₂, 21⅝–n
17	9.3	17.1	12.2	12.9	4.6	734.5	734.4	733.4	98	73	96	WNW 1	WNW 1	WNW 1	10	2	10	3.5	● n–2 m.U.
18	12.7	17.7	14.2	14.9	6.8	732.5	729.7	732.4	97	78	88	ESE 1	ENE 1	WSW 1	10	9	10●	**32.0**	● 4–10⅝ m.U., 20–n, K abds.
19	12.6	18.1	11.1	13.9	6.0	732.2	731.4	734.8	97	68	74	NE 1	W 1	WSW 1	10●	10	6	1.8	● n–6¼, 7¼–8⅝
20	9.0	8.8	7.2	8.3	0.6	735.5	735.7	736.4	66	74	91	WSW 2	SSW 2	WSW 1	9	10	10●	3.3	● 20½–n
21	5.3	5.4	4.2	5.0	-2.5	736.6	737.0	736.8	83	82	90	WSW 1	NNW 1	NW 1	10	10●	10	.	● n–1½
22	3.3	6.1	5.4	4.9	-2.5	735.7	735.2	735.6	95	81	91	W 1	WNW 1	WNW 1	10	10	10	.	
23	5.0	6.1	5.4	5.5	-1.7	736.2	736.6	**738.5**	87	86	86	NNW 1	WNW 1	SW 1	10	10●	10	0.1	●° 12–18 m.U.
24	4.0	7.1	8.8	6.7	-0.3	738.4	736.7	734.0	92	77	78	SE 1	ENE 1	SSW 1	10	10	10	3.8	● 17½–19
25	7.6	7.4	4.2	6.4	-0.4	730.1	728.9	729.5	85	86	84	SSW 1	NW 1	WSW 1	10●	10	10	8.0	● 0⅝–19¼ m.U.
26	2.6	5.2	2.2	3.3	-3.4	728.4	726.2	720.9	87	58	82	WSW 1	WSW 1	E 1	10	8	10	5.4	●° △° 11¼
27	0.2	2.0	0.3	0.8	-5.7	**720.4**	721.6	723.8	98	91	98	NW 1	NNW 1	WNW 1	10*	10●	10*	6.9	● ✳ 4–16, 20⅝–n ✳
28	0.4	3.3	0.4	1.4	-4.9	723.8	723.1	722.4	92	75	96	WSW 1	SW 1	E 1	10	10	10●*	6.0	✳ n–1⅝, 4–4¼, 19⅝–n ✳
29	1.9	2.9	2.2	2.3	-3.9	723.4	726.6	732.3	95	94	96	SSW 1	ESE 1	SE 1	10●	10●	10	4.8	✳ n–3, ● 3–17⅝ m.U.
30	**-0.3**	6.8	1.5	2.7	-3.3	736.2	735.7	733.9	98	66	98	E 1	N 1	NW 1	1	8	9	.	⊏ |
31	0.8	6.8	2.1	3.2	-2.7	733.6	733.8	732.3	100	70	91	NNW 1	NNE 1	ENE 1	10	10	8	.	≡ n–8¹¹⁄₁₂
																		Summe	
Mittel	7.1	11.0	7.7	8.6	—	730.8	730.7	731.0	90	77	91				9.6	9.3	8.5	215.2	

Oktober 1939.
Beobachter: *Observatorium.*

Säntis

$\lambda = 9° 20'$, $\beta = 47° 15'$,
$H_b = 2500.1^m$, $G = -0.27$ ‰.

Tag	Lufttemperatur 7³⁰	13³⁰	21³⁰	Mittel	Abweich. vom Normalst.	Luftdruck 7³⁰	13³⁰	21³⁰	Relative Feuchtigkeit 7³⁰	13³⁰	21³⁰	Windrichtung und Stärke 7³⁰	13³⁰	21³⁰	Bewölkung 7³⁰	13³⁰	21³⁰	Niederschlag	Witterung
1	0.2	0.4	0.4	0.3	−0.8	556.4	556.3	556.1	68	100	100	WSW 3	W 3	WSW 3	10	10≡*	10≡*	22.7	✳ 8–9¾, 21–n, ≡ 9–n
2	−1.2	0.0	−0.6	−0.6	−1.6	555.3	556.7	558.3	100	100	100	WSW 4	SW 3	WSW 3	10≡	10≡	10≡	9.3	✳●n-7, △14¾, ←16–n, *)
3	−0.4	0.4	−0.5	−0.2	−1.1	558.6	559.0	559.8	100	98	100	WSW 2	WSW 2	SW 2	10≡	10≡*	10≡*	6.6	✳ ≡ n–n m.U., ● n, ∽ l
4	1.8	5.1	2.7	3.2	2.4	561.3	561.9	561.8	100	82	72	WSW 3	SSW 1	W 2	10≡	9	8	0.4	● 6½–8¾, ≡ n–11
5	2.4	1.4	0.0	1.3	0.7	559.9	558.4	559.7	95	100	100	SSE 2	NNE 0	W 2	10	10≡●	10≡	29.1	●✳≡ 11¼–15, ✳ ≡ 15–19
6	−0.4	−2.3	−4.4	−2.4	−2.9	560.1	559.5	559.4	100	100	100	WNW 1	WNW 3	WSW 2	10≡	10≡*	10≡*	22.2	✳ ≡ n–n, ∽ fr.
7	−5.2	−2.2	−6.3	−4.6	−5.0	558.0	557.4	557.9	98	100	100	W 1	SSW 1	WSW 2	10	10≡*	10≡*	21.4	✳● 10–n, ≡ n–n m.U., ⋁ fr.
8	−6.4	−5.0	−6.8	−6.1	−6.3	559.1	560.7	561.3	100	100	95	NW 3	W 1	WSW 1	10≡*	10≡	6	0.9	✳ n–10, ≡ n–21
9	−5.0	−2.9	0.8	−2.4	−2.5	560.2	559.9	559.1	91	68	100	WNW 2	SW 2	W 4	10	10	10≡	20.5	✳ 15¼–18, ≡ 15½–n
10	0.0	0.0	−3.2	−1.1	−1.1	559.7	562.1	562.7	100	100	100	W 3	WNW 2	WNW 1	10≡*	10≡	10≡	25.3	●n-8½, ✳a, p ztw., ≡ n–n
11	−3.7	−1.2	−2.4	−2.4	−2.2	561.8	562.6	562.6	93	94	100	W 2	SSW 2	W 2	8	9≡	10≡	0.1	✳° 18–19, ≡ n–14½, 18–n
12	−2.6	−0.6	−1.7	−1.6	−1.3	560.7	560.1	559.1	91	93	92	SW 2	SW 2	SW 2	10	10	10	5.7	✳ 9¾–20 m.U., *)
13	−0.7	0.7	2.6	0.9	1.4	558.2	558.4	557.7	100	94	100	WSW 3	SW 2	WSW 5	10≡	10	10≡	4.1	✳ 8–9, ● 16¾, 19–21, *)
14	2.4	4.8	2.4	3.2	3.8	557.4	558.4	558.4	76	75	74	SSW 3	SW 2	SSW 3	7	9	1	.	
15	3.8	6.0	3.4	4.4	5.2	558.7	558.4	560.2	67	64	100	SSW 3	SSW 4	S 2	8	3	10	16.4	
16	−0.4	1.6	2.4	1.2	2.1	562.1	564.7	566.3	100	100	98	WSW 4	WSW 3	SSW 3	10≡*	10≡	7	2.8	≡ n–18, ∽ l
17	4.2	7.2	6.2	5.9	7.0	565.8	566.3	**566.5**	73	70	65	SSW 4	SSW 4	SSW 4	9	3	3		
18	5.6	**7.4**	5.5	6.2	7.4	565.9	564.5	563.6	70	57	72	SSW 3	SSW 4	SSW 4	10	10	8	7.4	
19	2.7	4.8	−1.4	2.0	3.3	563.6	563.3	562.6	100	94	100	ESE 2	SSW 2	SW 3	10≡	10≡	10≡	**41.2**	● n, 14–21 m.U., ✳ p ztw., *)
20	−5.3	−4.8	−6.5	−5.5	−4.0	560.2	560.5	559.7	100	100	100	SW 4	WSW 3	W 3	10≡	10≡	10≡*	25.6	✢ ✳ 17½–n, ≡ n–n, ⋁ l
21	−7.6	−7.0	−9.2	−7.9	−6.3	559.1	559.6	559.6	93	94	93	W 3	W 2	N 0	10≡*	10≡*	10≡*	18.4	✳ ≡ n–n, ⋁ l
22	−9.6	−8.2	−8.6	−8.8	−7.1	558.0	558.0	558.4	93	92	92	NE 2	NNE 1	NNE 0	10≡	10≡	10≡*	8.0	✳ 15–n, ≡ n–n, ⋁ l
23	−9.0	−8.0	−9.2	−8.7	−6.8	558.2	558.9	560.6	93	92	90	N 3	NW 2	W 2	10≡*	10≡*	10≡*	19.1	✳ ≡ n–n
24	−9.8	−6.4	−5.6	−7.3	−5.3	561.4	560.9	559.8	91	100	100	WSW 2	WSW 3	W 3	10	10≡	10≡*	18.7	✳ 15–n, ≡ n–7, 12½–n
25	−5.4	−6.2	−9.2	−6.9	−4.8	556.4	554.4	553.5	100	100	100	W 4	WSW 4	W 3	10≡*	10≡*	10≡*	23.0	✳ ✢ ≡ n–n
26	−12.0	−11.2	−14.0	−12.4	−10.1	551.6	550.0	547.6	93	92	90	W 2	W 2	ESE 2	10≡*	10≡*	4	14.1	✳ ≡ n–18
27	−11.2	−11.6	−14.0	−12.3	−9.9	545.7	**545.6**	546.5	93	93	90	S 1	WNW 2	N 2	10≡*	10≡*	10≡*	32.0	✳ ≡ 6¾–n
28	**−14.2**	−13.2	−13.5	−13.6	−11.1	546.8	547.4	547.9	90	90	90	W 2	SW 3	SSW 3	10≡*	10≡*	10≡*	19.3	✳ ✢ n–n m.U., ≡ n–n
29	−11.8	−8.8	−10.4	−10.3	−7.6	548.7	552.5	557.2	96	98	95	WSW 3	SW 3	E 1	10≡*	10≡*	0	8.7	✢ ≡ ✳ n–16¼
30	−9.0	−5.2	−3.6	−5.9	−3.1	560.3	561.3	561.6	84	68	70	E 2	ESE 2	E 2	1	4	2	.	
31	−3.0	−2.7	−3.6	−3.1	−0.2	560.1	560.9	560.1	73	100	84	WSW 3	WNW 3	ESE 2	9	10≡*	3	1.9	✳ 11½–17, ≡ 10¾–17½
																		Summe	
Mittel	−3.6	−2.2	−3.5	−3.1	—	558.4	558.7	558.9	91	91	92				9.4	9.3	8.1	424.9	

*) 2. ≡ n–n, ∽ III 12. ≡ 9¾–19¾ zeitw. 13. ≡ n–n m.U. 19. ≡ n–n

Oktober 1939.
Beobachter: Frl. *F. Lombardi.*

St. Gotthard (Hospiz)

$\lambda = 8° 34'$, $\beta = 46° 33'$,
$H_b = 2095.7^m$, $G = -0.25$ ‰.

1	1.8	7.0	3.4	4.1	1.1	587.7	585.3	585.7	85	71	76	S 0	S 0	S 0	10	5	10≡	2.5	≡ 19–n, ● n
2	2.4	5.2	3.2	3.6	0.8	585.4	587.1	587.6	96	80	80	S 0	S 0	S 0	10	10	5	0.3	
3	2.0	**7.2**	1.8	3.7	1.1	587.9	588.2	589.2	82	85	95	S 0	S 0	S 0	10	10	10≡●	2.2	●° 20¼–n, ≡ 19–n
4	3.4	6.5	4.6	4.8	2.3	590.4	590.6	591.1	74	85	88	S 0	S 0	S 0	5	10	10≡●	2.3	●° 20–n, ≡ 17–n
5	4.6	3.5	2.2	3.4	1.1	590.0	588.3	588.9	100	100	95	S 0	S 0	N 0	10≡●	10≡●	10≡	21.0	● n–14¼, ≡ n–n
6	2.4	0.4	−1.4	0.5	−1.6	589.3	588.1	588.2	96	96	93	N 1	N 1	N 2	6	10≡●	10≡*	22.4	● zeitl 10¼, ✳ 15¼–n, ≡ 8¾–n
7	−1.8	0.4	−2.4	−1.3	−3.3	587.0	586.1	586.8	74	75	78	NE 0	NW 0	N 1	8	10≡*	10≡	9.6	●✳ 12¼–16, ≡ 10–n
8	−2.8	1.3	−2.8	−1.4	−3.2	587.9	589.7	590.8	89	72	100	N 2	N 2	N 1	10≡	10≡	10≡	2.6	≡ n–n, ●°sch. zeitw.
9	−3.4	0.6	−1.0	−1.3	−2.9	590.2	590.3	590.6	72	70	100	N 0	SE 1	SE 1	0	10*	10	9.0	●✳ 12¼–16¼
10	0.5	3.0	−0.5	1.0	−0.5	590.5	591.1	591.7	100	75	93	SE 1	SE 1	SE 1	10≡●	10≡●	10≡	6.0	●° n–14¾
11	−1.5	0.5	−0.6	−0.5	−1.8	591.4	591.7	592.3	95	75	96	N 1	N 1	S 1	10	4	10≡	3.0	≡ 18–n
12	0.5	1.0	−0.5	0.3	−0.8	590.9	591.0	589.8	90	85	100	S 1	S 1	S 1	10●	10*	10≡*	15.2	● n–10, ✳° zeitw., ≡ 14–n
13	1.0	2.0	2.0	1.7	0.8	588.4	589.4	589.0	100	85	100	S 1	S 1	S 1	10	10	10≡●	6.5	● 20–n, ≡ 17–n
14	2.5	3.0	3.0	2.8	2.0	588.2	588.2	589.4	100	93	100	S 1	S 1	SE 1	10≡●	10≡●	10≡	20.0	● ≡ n–n
15	3.8	5.2	5.2	4.7	4.1	589.4	589.4	589.1	98	100	100	SE 1	SE 1	SE 1	10≡●	10≡●	10≡●	**103.0**	● ≡ n–n
16	3.0	6.8	5.7	5.2	4.8	591.7	593.7	594.9	98	100	100	NE 1	NE 1	NE 1	10●	10	10≡●	41.3	● n–10¼, 14½–n, ≡ 15–n
17	6.2	6.9	7.0	6.7	6.5	596.1	596.3	**597.0**	100	99	95	NE 1	NE 1	NE 1	10≡●	10≡●	10≡●	18.5	● zeitw., ≡ n–n
18	6.8	6.4	6.0	6.3	6.3	595.7	595.2	593.6	91	90	100	NE 1	SE 2	SE 2	10≡	10≡	10≡●	59.0	● 16–n, ≡ n–n
19	5.6	6.0	5.0	5.5	5.6	592.9	592.4	592.2	97	95	100	SE 2	SE 1	SE 1	10≡●	10≡●	10≡●	34.2	● ≡ n–n
20	0.0	0.4	−2.2	−0.6	−0.3	590.7	590.4	589.9	78	85	81	N 1	N 1	N 2	5	5	8	9.0	✳ ✢ 17–n
21	−3.2	−3.0	−4.8	−3.7	−3.2	589.0	589.2	589.0	84	80	91	N 2	N 2	N 2	10≡	10≡	10≡*	3.6	✳ ✢ 20¼–n, ≡ n–n m.U.
22	−5.0	−3.0	−5.2	−4.4	−3.7	587.6	587.1	587.3	87	88	84	N 2	N 2	N 3	10≡	10≡	10≡	11.8	✳ ✢ zeitw., ≡ n–n
23	−4.8	−2.0	−4.7	−3.8	−3.0	586.7	587.5	590.0	86	76	71	N 3	N 3	N 3	10≡	10≡	8	7.9	✳ ⸗ zeitw., ≡ n–n
24	−4.2	−2.0	−3.0	−3.1	−2.1	591.0	591.5	590.8	80	70	69	N 2	N 2	N 2	5	5	5	0.4	
25	−2.0	0.4	−1.8	−1.1	0.1	587.5	585.7	583.5	91	74	81	SE 0	SE 0	SE 0	10*	10*	10	14.8	✳ 7¼–17½
26	−5.2	−3.6	−4.8	−4.5	−3.2	581.5	579.7	575.2	74	61	64	N 1	N 1	N 0	5	5	5	5.8	
27	−7.4	−5.6	−9.6	−7.5	−6.0	574.8	**574.3**	575.0	64	78	88	SE 0	N 2	N 3	10*	10≡	10≡	13.0	✳° n–8¼, ✳ ⸗ 17–n,
28	**−10.6**	−6.0	−6.6	−7.7	−6.0	576.6	577.7	579.0	78	78	78	N 2	N 0	N 0	5	5	5	9.4	✳ n (28./29.) [≡ 11–n
29	−4.8	−0.8	−7.0	−4.2	−2.4	580.5	583.4	587.6	88	82	83	NE 1	SE 0	NE 0	10≡*	10*	6	7.5	✳° n–13¾
30	−7.6	−0.8	−5.4	−4.6	−2.6	590.1	591.7	591.8	84	76	77	N 0	NE 0	NE 0	0	5	0	.	
31	−4.3	−0.2	−3.8	−2.8	−0.6	590.5	590.4	589.7	81	68	64	S 0	S 0	S 0	8	0	0	.	
																		Summe	
Mittel	−0.7	1.5	−0.6	0.1	—	588.3	588.4	588.6	88	82	88				8.3	8.5	8.5	461.8	

$\lambda = 7° 26'$, $\beta = 46° 57'$,
$H_b = 572.2^m$, $G = 0.00^m/_m$.

Bern

November 1939.
Beobachter: *Tellur. Observatorium.*

Tag	Lufttemperatur					Luftdruck			Relative Feuchtigkeit			Windrichtung und Stärke						Bewölkung			Niederschlag	Witterung
	7^{30}	13^{30}	21^{30}	Mittel	Abweich. vom Normalist	7^{30}	13^{30}	21^{30}	7^{30}	13^{30}	21^{30}	7^{30}		13^{30}		21^{30}		7^{30}	13^{30}	21^{30}		
1	1.1	5.0	2.8	3.0	−2.2	708.2	708.3	707.5	100	89	100	SE	1	NE	0	NE	0	10≡	9	10≡	.	●° 12–12⅜ zlw., ☰ n–11¼,
2	1.5	4.0	4.0	3.2	−1.8	706.9	707.2	708.7	100	91	93	NE	0	N	0	SW	1	10≡	10	10	0.3	☰ n–8½ [18¼–n
3	3.3	7.7	5.0	5.3	0.4	708.9	707.7	705.7	98	86	97	NE	1	N	0	NE	1	10≡	9	10≡	.	☰ n–8½, 20¾–n, ● 0¼–1¾
4	4.5	7.0	6.0	5.8	1.1	**702.8**	703.5	703.0	97	90	94	W	1	E	0	SE	0	10≡	10	10	1.8	●° 13¼, 19, 23¾–n, ☰ n–10
5	6.1	8.2	2.3	5.5	0.9	705.0	708.5	709.0	88	52	89	SW	1	W	1	S	0	10	8	0	2.5	● n–2¼, 8¼–10¾ m.U.
6	4.6	8.4	8.5	7.2	2.8	710.7	711.7	713.0	94	91	94	S	0	E	0	S	0	10	10	10	3.5	● 3–23½ zeitw.
7	7.7	13.3	8.0	9.7	5.4	712.9	711.9	711.4	97	77	97	S	1	NW	1	SW	0	8	0	0	.	● 0¾, ☰ 22¼–n
8	4.5	**13.7**	8.1	8.8	4.6	710.9	711.6	712.6	97	58	94	S	1	NE	0	S	0	3	4	0	.	☰ n–7¼
9	5.0	12.5	9.0	8.8	4.8	713.4	712.6	711.8	94	76	95	SE	0	S	0	SE	0	3	9	10	**19.9**	
10	8.3	10.5	8.6	9.1	5.2	713.7	712.7	712.0	96	90	99	SE	0	NE	0	N	0	10●	10	10≡	2.4	● 0¼–11 m.U., 17¼, ☰ 20¾–n
11	8.0	9.0	8.6	8.5	4.8	710.8	709.9	708.8	98	92	97	S	0	N	0	S	1	10≡	10	10≡	.	☰ n–8¼, 20¼–n
12	7.0	11.3	8.0	8.8	5.2	710.8	712.3	713.5	100	84	100	SW	0	SE	0	SE	0	10≡	5	10≡	.	☰ n–9¾, 16¾–n
13	4.6	8.0	7.0	6.5	3.1	713.0	712.9	714.5	100	94	98	NE	0	NW	0	NE	0	10≡	10	10≡	.	☰ n–13, 16¼–n
14	5.3	8.8	8.0	7.4	4.1	715.2	715.4	715.5	99	88	96	SE	0	NW	0	NE	0	10≡	10	10≡	0.5	☰ n–9¼, 20¾–n
15	8.0	10.2	8.0	8.7	5.5	713.3	710.2	710.1	94	84	83	S	0	W	1	WSW	2	10	10	7	6.0	● 5½–6, 15½–18¼, ☰ n–10¼
16	5.9	8.9	5.5	6.6	3.6	713.7	713.2	709.7	88	60	94	W	1	WSW	1	SW	0	6	10	10	9.3	● 1½–3, 17–23¾
17	11.0	11.6	11.4	11.3	8.4	711.2	713.0	715.9	82	90	93	W	3	WSW	1	W	2	10	10	10	13.7	● 8¼–23¾ m.U.
18	11.0	13.3	10.9	11.7	9.0	718.8	719.8	717.9	90	81	87	WSW	2	W	2	SW	0	10	10	10	0.8	● 0–12¼ m.U. [☂ n–p
19	11.2	6.9	5.0	7.7	5.1	710.0	707.9	711.7	69	83	90	WSW	4	WSW	2	W	1	10	8	10	9.2	● 8½–18 m.U., 17¾–20¾ m.U.,
20	4.6	5.7	4.0	4.8	2.4	714.2	715.9	717.4	87	78	90	W	1	N	1	NE	0	10	9	10	0.2	● 0¼, 2¾, 12¼, 17¾, 20½
21	−0.8	1.0	0.5	0.2	−2.1	718.4	718.8	719.1	80	68	67	ENE	2	NE	2	NE	2	1	8	10	.	⌙
22	−1.0	0.1	0.0	−0.3	−2.5	718.8	719.1	719.0	70	64	80	NE	1	ENE	1	NE	1	10	10	10	.	⌙
23	−0.6	0.0	−2.7	−1.1	−3.3	718.2	717.0	715.2	65	60	85	SE	0	NE	0	SW	0	10	0	0	.	
24	**−5.0**	0.9	−0.5	−1.5	−3.4	713.1	712.3	712.0	94	74	85	S	0	W	0	SW	0	2	10	9	0.1	⌙
25	1.9	3.9	0.3	2.0	0.3	714.9	715.3	715.5	92	65	95	W	0	SE	1	S	1	7	1	6	.	● 5¼
26	0.4	6.2	7.8	4.8	3.2	712.9	711.1	709.6	91	**37**	42	S	0	WSW	1	W	1	10	10	10	0.5	● 22½–23¼ m.U., ⌙
27	9.5	12.9	9.7	10.7	9.3	709.3	707.8	706.6	75	63	75	W	1	WSW	2	WSW	2	10	1	3	8.0	☂ n (27./28.)
28	6.1	7.8	4.0	6.0	4.7	710.3	714.0	717.4	91	65	75	W	1	WSW	2	S	0	10	4	1	0.1	● 2¼–8½ m.U.
29	3.0	6.3	7.0	5.4	4.2	717.9	718.4	720.7	89	88	94	S	0	S	1	S	0	10	10	10	1.0	● 10¾, 13½–15¾, 21
30	7.6	12.9	10.5	10.3	9.3	721.0	721.5	**721.6**	94	73	81	SE	0	WSW	2	W	1	10	10	10	.	● 4½
																					Summe	
Mittel	4.8	7.9	5.8	6.2	—	712.6	712.7	712.9	90	76	89							8.7	7.8	7.9	79.8	

$\lambda = 6° 57'$, $\beta = 47° 0'$,
$H_b = 487.3^m$, $G = 0.02^m/_m$.

Neuchâtel

November 1939.
Beobachter: *Observatorium.*

1	1.5	5.1	3.3	3.3	−2.8	716.5	716.5	716.0	100	94	98	NE	0	SW	0	NE	0	10≡	10	10	0.6	● 9½–11, ☰ a
2	2.0	3.5	3.3	3.0	−2.9	715.1	715.3	717.1	100	95	97	E	1	E	1	NE	0	10≡	10	10	3.0	☰ a
3	3.7	6.3	6.0	5.3	−0.5	717.4	715.6	714.0	98	93	93	E	0	SW	1	E	2	10	10	10	0.3	● 16½–17¼
4	5.4	8.6	6.7	6.9	1.3	**709.9**	710.2	710.1	95	93	98	N	1	SW	2	NW	0	10●	8	10	10.6	● 10-mtgs.
5	6.4	9.1	5.0	6.8	1.3	713.1	716.9	717.2	94	58	77	W	2	SW	2	NW	1	10●	8	1	10.0	● n–a
6	6.3	9.5	9.7	8.5	3.2	719.2	719.7	721.1	97	88	97	W	2	SW	1	W	0	10	10	10●	1.2	●sch. 11½, ● 15½–n
7	8.1	9.9	6.0	8.0	2.8	721.2	720.2	719.6	100	98	100	NE	0	S	1	SW	0	3	10≡	10≡	0.2	☰ 8–n m.U.
8	5.6	7.3	7.0	6.6	1.6	719.2	719.9	720.7	100	97	100	SW	0	SW	1	SW	0	10≡	10	0	.	☰ n–12½
9	5.1	9.1	9.0	7.7	2.8	721.8	720.9	720.1	100	97	100	SW	0	E	0	SW	1	10≡	7	10	14.9	● 23–n, ☰ n–12¾, ☂ n
10	7.9	9.2	7.7	8.3	3.6	721.9	721.1	720.4	98	97	98	NE	0	NE	0	NE	0	10●	10	10	3.3	● n–a, ●sch. 17¼
11	7.4	8.1	7.4	7.6	3.0	719.0	717.7	717.5	100	98	98	NE	0	E	1	NE	0	10≡	10	10	.	☰ a
12	7.0	8.5	7.3	7.6	3.2	719.2	720.6	722.0	100	98	100	NE	0	S	0	NE	0	10≡	10≡	10≡	0.2	☰ n–n
13	5.4	6.7	6.0	6.0	1.7	721.6	721.2	723.0	100	100	100	N	0	SE	0	NE	0	10≡	10≡	10≡	0.3	☰ n–n
14	5.8	6.6	7.1	6.5	2.4	723.9	723.7	723.8	100	98	100	SE	0	SE	0	SE	0	10≡	10	10	.	☰ n–14
15	7.6	9.9	8.0	8.5	4.5	721.6	718.1	718.4	97	84	78	W	0	SW	2	W	2	10	10	4	8.4	● 13¾–19½
16	6.0	7.8	6.2	6.7	1.8	722.1	721.6	718.4	93	83	95	NW	2	SW	3	W	4	9	10	10●	**40.7**	● 15¾–n
17	9.2	10.4	11.1	10.2	5.5	720.2	721.9	724.6	96	96	97	W	3	W	3	W	2	10●	10●	10●	24.8	● n–n
18	10.8	13.7	10.7	11.7	7.1	727.2	727.9	726.1	97	87	85	W	2	W	2	W	1	10●	7	10	0.8	●° n–9¾
19	9.8	9.1	6.4	8.4	3.9	717.6	716.1	721.0	88	75	73	SW	4	W	4	W	2	10	10●	10●	26.7	● n–n m.U.
20	5.2	5.9	5.2	5.4	1.1	722.8	724.4	725.4	71	72	70	NW	2	NE	1	NE	2	10	8	10	0.8	●° a m.U.
21	−0.7	2.4	0.5	0.7	−3.5	727.0	726.9	727.5	79	66	62	NE	2	E	3	E	4	2	2	10	.	
22	−0.8	0.2	0.3	−0.1	−4.2	727.3	727.6	727.3	73	72	73	E	2	E	3	E	2	10	10	10	.	
23	−0.3	1.0	−2.8	−0.7	−5.6	726.6	725.5	724.1	71	66	87	E	1	SE	1	N	1	10	10	1	.	
24	**−3.9**	1.3	1.4	−0.4	−5.2	721.6	720.7	720.3	95	75	75	N	1	SW	1	W	2	2	10	9	.	⌙ fr.
25	2.6	7.0	0.4	3.3	−1.4	723.4	723.9	724.3	74	60	86	NW	1	SE	1	N	0	3	1	2	.	☌ III
26	2.7	6.1	7.9	5.6	1.1	721.4	719.6	718.2	73	55	59	W	2	SW	3	W	3	10	10	10	0.2	●tr. p, abds.
27	9.7	**14.2**	11.1	11.7	7.3	717.9	716.1	714.9	64	56	60	SW	3	NW	3	W	2	10	1	9	7.3	
28	6.0	10.4	5.5	7.3	3.0	719.3	722.3	725.3	81	**45**	64	NW	1	W	3	NW	1	6	1	0	.	
29	5.2	5.3	7.0	5.8	1.7	726.3	726.8	729.2	78	97	94	W	1	W	2	W	2	10	10●	10●	6.1	● 8¼–n m.U.
30	8.5	10.7	10.8	10.0	6.0	729.1	729.6	**730.0**	78	83	73	W	1	SW	2	W	2	10	10	7	.	
																					Summe	
Mittel	5.2	7.4	6.0	6.2	—	721.0	721.0	721.3	90	82	86							8.8	8.4	8.1	160.4	

November 1939.
Beobachter: Frl. *H. Nager.*

Altdorf

$\lambda = 8° 39'$, $\beta = 46° 53'$,
$H_b = 456.3^m$, $G = -0.05 \,^m/_m$.

Tag	Lufttemperatur					Luftdruck			Relative Feuchtigkeit			Windrichtung und Stärke			Bewölkung			Niederschlag	Witterung
	7^{30}	13^{30}	21^{30}	Mittel	Abweich. vom Normalst.	7^{30}	13^{30}	21^{30}	7^{30}	13^{30}	21^{30}	7^{30}	13^{30}	21^{30}	7^{30}	13^{30}	21^{30}		
1	4.3	7.7	2.4	4.8	−2.1	719.2	718.5	718.4	93	73	95	NE 0	NW 1	NW 0	10	6	10	.	
2	3.9	6.3	4.8	5.0	−1.7	717.9	717.9	719.9	89	76	86	SE 0	NW 0	NE 0	10	10	3	.	
3	4.2	10.1	14.3	9.5	2.9	719.9	717.7	716.9	94	66	34	NE 0	NW 0-1	S 1-2	10	8	4	.	
4	**15.9**	14.9	11.0	13.9	7.4	712.4	712.7	**712.3**	**32**	39	74	SE 2-3	SE 1-2	SE 0-1	7	10●	10●	6.5	● p-n zeitw.
5	8.0	8.7	3.8	6.8	0.5	715.8	718.4	720.2	94	70	68	NE 0	NE 0	NE 0	10●	10	0	5.6	
6	6.1	10.7	9.3	8.7	2.5	720.8	722.6	724.0	96	80	93	NE 0	NW 0	SE 0	7	8	10	2.1	● n-n zeitw.
7	7.7	14.1	14.0	11.9	5.8	724.3	722.0	721.5	97	69	40	E 0	NW 0-1	SE 1-2	6	0	0	.	
8	7.8	14.5	8.5	10.3	4.4	721.6	722.1	721.1	88	54	86	SW 0	SE 0	SE 0	4	0	0	.	
9	4.5	12.2	11.8	9.5	3.7	724.2	723.6	722.1	96	60	68	S 0	NW 0	E 0-1	5	7	4	.	
10	8.7	13.7	7.4	9.9	4.3	725.6	723.2	723.1	93	56	95	NE 0	NW 0	NE 0	10	3	0	.	
11	7.8	10.7	7.1	8.5	3.0	721.4	719.9	719.8	98	80	98	SW 0	NW 0	NW 0	10≡	6	10≡	.	≡ I, III
12	5.9	10.2	5.5	7.2	1.8	721.8	723.3	724.9	98	80	95	N 0	SW 0	NW 0	10≡	5	0	.	≡ I
13	5.3	6.8	5.2	5.8	0.6	724.2	723.9	726.0	98	94	97	SW 0	W 0	NW 0	10≡	10≡	10≡	0.5	≡ n-n
14	3.8	7.3	6.9	6.0	0.9	727.1	726.6	726.6	98	85	94	NW 0	NW 0	NW 0	10≡	4	10	.	≡ I
15	3.1	11.5	7.6	7.4	2.4	724.7	720.3	720.5	98	47	92	NW 0	NW 0	E 0	7	6	10	4.5	
16	6.9	10.0	7.2	8.0	3.2	724.1	723.5	719.9	78	52	92	S 0	NW 0	E 0	10	10●	10●	32.9	● n-n zeitw.
17	13.8	12.9	11.0	12.6	7.9	720.1	722.2	725.1	59	75	94	NW 2	NW 3-4	NW 3-4	10●	10●	10●	**68.5**	● ⸗ n-n
18	14.9	13.6	9.6	12.7	8.1	728.1	730.6	728.6	57	63	92	N 3	N 1-2	S 0	10	10●	10	10.4	● p zeitw.
19	7.0	8.6	6.9	7.8	3.4	719.4	716.8	719.8	93	68	61	SE 0	NW 4	NW 4	10	10●	10●	31.4	● II, III, ⸗ p-n
20	5.4	4.8	4.7	5.0	0.7	723.8	726.1	728.1	74	83	74	NE 1	NW 1	NW 0	10●	10●	9●	15.4	● n-n
21	2.5	2.6	1.0	2.0	−2.2	729.6	730.0	730.9	80	60	64	NW 0	NW 0-1	NW 0	10	10	9	.	
22	−0.9	1.0	−0.8	−0.2	−4.2	730.5	730.4	731.5	63	54	79	E 0	NW 0	E 0	10	10	10	.	
23	−2.1	0.8	−3.7	−1.7	−5.6	729.8	728.1	727.1	59	54	83	SE 0	SE 0	S 0	10	0	0	.	
24	**−5.0**	1.2	−0.8	−1.5	−5.2	724.2	723.4	722.9	91	70	90	S 0	W 0	SE 0	2	7	10	.	
25	1.8	5.3	0.5	2.5	−1.1	725.5	726.8	727.5	80	60	80	E 0	W 0	SE 0	10	6	9	.	
26	0.3	4.9	4.1	3.1	−0.4	723.5	722.4	720.1	77	52	95	NE 0	NE 0	NE 0	10	10	10	2.0	
27	6.4	11.4	3.7	7.2	3.9	719.5	717.8	716.9	96	67	92	E 0	W 0	E 0	10	1	2	7.3	
28	7.5	6.9	2.2	5.5	2.3	720.6	724.9	728.8	72	83	96	N 0	E 0	NE 0	10●	5	7	3.9	● n, I
29	2.8	6.1	6.7	5.2	2.1	728.6	728.5	731.0	87	85	95	E 0	N 0	SE 0-1	10	10●	10●	16.1	● II, III
30	6.8	11.4	8.9	9.0	6.1	731.4	**732.9**	732.7	97	84	96	W 0	N 0	SE 0	10	8	9	0.1	
Mittel	5.5	8.7	6.0	6.7	—	723.3	723.2	723.6	84	68	83				8.9	7.0	6.9	Summe 207.2	

November 1939.
Beobachter: *Observatorium.*

Genf

$\lambda = 6° 9'$, $\beta = 46° 12'$,
$H_b = 405.0^m$, $G = -0.03 \,^m/_m$.

1	4.6	6.3	5.6	5.5	−1.4	723.4	723.7	723.9	93	92	91	NNE 0	NNE 0	NNE 0	10●	10	10	5.7	● a, n
2	5.3	7.0	6.3	5.5	−1.2	722.1	722.6	724.1	95	85	91	E 0	NE 0	NE 0	10	10	10	0.1	●° n
3	6.0	8.0	7.0	7.0	0.4	724.4	723.7	720.8	94	83	92	ENE 0	NNE 0	NNE 0	10	10	10	1.0	●° p-n
4	6.2	8.1	8.0	7.4	1.0	**717.2**	717.6	**717.2**	97	95	94	NE 0	NNE 0	NE 0	10●	10●	10●	**20.5**	●° n-n, ☇ 21¾
5	8.0	10.8	5.4	8.1	1.8	721.5	724.7	725.8	83	56	85	SSW 1	S 0	NE 0	9	9	0	2.0	● n (5./6.)
6	6.2	11.0	11.0	9.4	3.3	727.0	727.0	728.6	91	83	97	N 1	NNE 0	NE 0	9	10	10	4.4	● p-n
7	8.8	12.0	8.8	9.9	3.9	728.4	727.6	726.4	98	93	95	NE 0	NE 0	NE 0	10≡	9	10≡	0.1	≡ I, III
8	5.4	10.0	9.0	8.1	2.2	726.1	725.6	728.0	98	86	92	NE 0	NE 0	NE 0	8	2	0	.	
9	4.8	10.0	13.0	9.3	3.6	729.1	727.6	727.4	97	92	82	NE 0	NNE 1	NW 0	7	9	10	17.9	●sch. n (9./10.)
10	9.4	11.5	9.4	10.1	4.5	729.1	728.3	727.3	98	86	89	NE 1	NNE 0	NE 0	10	9	10	0.3	●°sch. p
11	9.3	9.3	9.2	9.3	3.8	726.0	725.1	724.6	93	92	95	NNE 0	NNE 1	NE 0	10	10	10	.	
12	7.8	9.6	8.8	8.7	3.4	726.5	727.8	729.1	98	92	92	E 0	NE 0	NE 0	10	10	10	.	
13	7.7	8.2	8.1	8.0	2.8	728.5	728.6	730.3	96	92	94	NE 0	NNE 0	NE 0	10	10	10	.	
14	6.4	8.8	8.7	8.0	2.9	731.0	731.1	731.1	98	90	94	E 0	NE 0	NE 0	10≡	10	10	0.1	≡ I
15	8.0	11.6	8.5	9.4	4.5	728.9	725.7	726.8	97	75	72	ENE 0	SW 1	SW 0	10	10●	10●	15.3	● 13¼-n, ☇ 20¾
16	5.8	9.8	6.7	7.4	2.6	730.3	730.1	727.7	94	66	90	NE 0	S 1	NNE 0	3	10	10●	10.2	● 15-n
17	9.0	11.8	12.7	11.2	6.5	728.9	730.6	732.9	95	93	90	NNE 0	NE 0	E 0	10●	10●	10●	5.4	● n-n
18	11.8	**15.7**	10.5	12.7	8.1	735.8	735.5	734.3	90	74	86	E 0	E 0	E 0	10●	9	1	0.9	●° n-9
19	12.0	11.4	7.7	10.4	6.0	728.1	726.1	729.4	72	71	87	SSW 2	SSW 2	NNE 0	9●	3	10●	5.6	● I, n, ● ▲sch. 15, ⊤ 13¾
20	5.8	7.1	6.5	6.6	2.3	731.0	732.0	732.5	82	68	65	NE 0	NE 1	NE 1	10	9	9	.	
21	2.6	3.0	1.8	2.5	−1.7	732.7	732.3	733.9	84	62	67	NNE 2	NNE 3	NNE 3	0	2	9	.	
22	1.0	1.4	1.0	1.1	−3.0	734.3	734.4	734.6	71	72	81	NNE 2	NNE 1	NNE 1	10	10	10	.	
23	0.7	1.5	−2.0	0.1	−3.8	733.7	732.9	731.9	84	72	92	NE 1	NNE 0	NE 0	10	9	0	.	
24	**−5.0**	1.8	1.9	−0.4	−4.2	729.3	728.4	728.3	95	70	74	E 0	NE 0	E 0	0	9	9	0.1	●° n (24./25.) ⏢ I
25	5.0	7.6	2.4	5.0	1.3	730.5	731.0	731.7	69	64	82	E 0	NNE 1	E 0	10	0	0	.	
26	1.8	8.0	7.3	5.7	2.1	730.2	728.2	727.3	85	55	**46**	NE 0	NE 1	N 1	9	10	10	0.1	●°sch. n (26./27.)
27	10.2	14.6	11.2	12.0	8.6	726.7	724.8	724.3	60	58	71	SW 1	SW 1	SW 1	10	2	10	2.0	●° n (27./28.)
28	9.0	12.0	4.6	8.5	5.2	727.2	730.1	733.3	92	57	49	W 1	SSW 1	E 0	10	2	0	.	
29	4.4	6.8	7.8	6.3	3.1	734.2	735.4	737.3	80	88	86	NNE 0	NE 0	NE 0	10	10●	9	1.2	●°sch. 8¼-n zeitw.
30	6.1	14.0	8.0	9.4	6.3	737.4	**738.1**	737.7	94	74	86	E 0	S 1	NE 0	1	9	3	.	
Mittel	6.1	9.0	7.2	7.4	—	728.6	728.5	729.0	89	78	84				8.5	8.1	7.7	Summe 92.9	

$\lambda = 8^\circ 33'$, $\beta = 47^\circ 23'$,
$Hb = 493.2^m$, $G = 0.03\ ^m/_m$.

Zürich

November 1939.
Beobachter: *Meteorol. Zentralanstalt.*

Tag	Lufttemperatur					Luftdruck			Relative Feuchtigkeit			Windrichtung und Stärke			Bewölkung			Niederschlag	Witterung
	7^{30}	13^{30}	21^{30}	Mittel	Abweich. vom Normalst	7^{30}	13^{30}	21^{30}	7^{30}	13^{30}	21^{30}	7^{30}	13^{30}	21^{30}	7^{30}	13^{30}	21^{30}		
1	1.5	3.4	1.8	2.2	−3.7	715.8	715.9	715.5	100	92	100	NNW 1	NNW 1	ENE 1	10	10	10	0.1	
2	1.3	3.0	2.5	2.3	−3.4	714.8	714.8	716.5	100	90	97	NNE 1	N 0	E 2	10	10	10	0.7	
3	3.7	7.4	5.1	5.4	−0.2	716.8	715.3	714.4	99	80	96	ESE 1	ESE 1	NNW 1	10	7	9	.	●° $2^1/_2$, $5^3/_4$
4	4.4	7.4	6.6	6.1	0.7	**709.4**	**709.4**	**709.4**	95	74	95	W 1	NNW 2	NW 1	10	10	10	12.3	●tr. p, abds.
5	7.4	8.5	3.6	6.5	1.2	712.0	715.3	716.2	84	69	90	WSW 2	SW 2	SE 1	10●	7	0	7.2	● $1^3/_4$–$12^3/_4$ m.U.
6	4.6	10.6	9.7	8.3	3.2	718.1	718.9	720.4	95	73	92	ESE 2	SSW 1	SSE 1	9	10	10●	3.7	● $2^1/_2$–$9^1/_4$, 18–$23^3/_4$ m.U.
7	8.6	**17.4**	8.8	11.6	6.6	720.7	718.9	718.4	100	56	100	SE 0	WNW 1	N 0	8	0	0	0.1	● $1^3/_4$–2
8	5.9	13.5	8.0	9.1	4.3	718.1	719.0	720.0	100	67	100	WNW 1	WNW 1	N 0	10≡	2	0	0.1	
9	5.2	14.9	9.6	9.9	5.2	720.5	720.0	719.1	100	60	94	NNW 0	S 1	ESE 1	10≡	5	10	11.7	≡ I
10	8.4	10.1	9.0	9.2	4.7	721.4	720.3	719.5	97	86	100	S 1	S 1	E 0	9	10	10	3.2	● 1–$7^1/_4$, $18^1/_4$–$19^1/_4$, 21, [●° 9–$13^1/_4$
11	7.5	9.1	8.2	8.3	3.9	718.4	717.1	717.2	100	88	100	E 0	ENE 1	WSW 1	10	10	10	0.1	
12	6.8	8.8	6.9	7.5	3.3	718.5	720.0	721.2	100	86	100	E 0	E 0	S 0	10≡	9≡	10≡	0.1	≡ n–n m.U.
13	4.8	6.3	5.3	5.5	1.4	720.9	720.6	722.1	100	95	100	E 1	NNW 1	S 0	10≡	10	10≡	0.1	≡ I, 16–n
14	4.8	8.4	7.8	7.0	3.1	723.2	722.9	723.1	100	80	94	SE 1	SSE 1	SE 0	10≡	9	10	0.3	≡ I
15	7.9	11.2	8.5	9.2	5.4	720.5	717.0	717.2	100	73	82	N 1	SSW 1	WSW 1	10	9	10	8.1	●° $5^3/_4$–$17^1/_4$ zeitw., ● $17^1/_4$–[$20^3/_4$
16	6.8	9.8	6.0	7.5	3.9	720.5	720.3	715.5	84	52	93	WSW 1	WNW 2	S 2	10	10	10●	10.7	● $0^1/_4$–2, 18–n
17	10.9	10.6	10.2	10.6	7.1	717.9	720.1	722.6	85	92	100	WSW 3	WNW 2	NW 2	10	10●	10●	10.2	● n–n m.U.
18	12.2	12.2	11.8	12.1	8.9	724.9	726.5	724.6	85	91	80	WSW 2	WNW 0	W 1	10	10	10	6.7	● n–$12^1/_2$ m.U.
19	11.4	7.8	5.8	8.3	5.1	715.1	712.8	717.2	66	75	86	SW 2	W 4	WNW 3	10	10●	10●	**12.4**	● $8^1/_2$–$19^1/_4$ m.U.
20	4.8	5.9	3.6	4.8	1.8	721.6	722.9	725.3	83	74	82	NW 1	NW 1	NE 1	10	10●	10	6.0	△ mtgs., ● n–21 m.U.
21	−1.4	2.9	0.2	0.6	−2.3	727.0	727.4	727.7	77	52	71	NE 1	ESE 1	N 1	5	6	9	.	⌙° I
22	−1.0	0.3	0.2	−0.2	−2.9	727.1	727.0	726.8	70	68	72	NNE 2	ENE 1	N 1	10	10	10	.	
23	−0.4	0.7	−3.0	−0.9	−3.5	726.0	724.7	723.3	68	61	90	NE 1	NNE 1	NNE 1	10	4	0	0.0	
24	**−3.8**	2.0	−0.1	−0.6	−3.0	720.6	719.4	719.1	99	67	84	SE 1	W 1	SE 0	10	10	9	1.1	⌙² I, ≡ a zeitw.
25	1.0	4.9	0.3	2.1	−0.2	722.5	723.4	723.3	92	63	100	NW 1	WNW 1	NW 0	6	2	10	.	✳° $5^1/_4$–$6^1/_4$
26	3.7	8.3	8.5	6.8	4.7	719.5	717.3	715.8	66	**31**	37	SW 2	WSW 3	WSW 3	9	10	10●	0.1	●° $17^1/_2$–n zeitw.
27	10.3	14.7	11.5	12.2	10.2	715.7	714.2	712.5	63	54	59	WSW 2	WSW 3	WSW 3	10	3	7	2.4	
28	6.6	10.1	5.0	7.2	5.4	717.6	721.0	724.5	84	46	65	WSW 1	WNW 2	WNW 1	9	3	1	.	● $1^1/_2$–$7^1/_4$
29	5.2	6.9	10.4	7.5	5.8	724.7	724.4	726.3	76	75	84	SSE 1	WSW 2	W 1	10	10●	10●	3.8	●° $13^1/_2$–n
30	10.1	12.6	10.8	11.2	9.7	727.2	727.6	**728.2**	82	68	83	SSE 1	W 2	WNW 1	10	10	10	.	● n–1
																		Summe	
Mittel	5.3	8.3	6.1	6.6	—	719.9	719.8	720.1	88	71	87				9.5	7.9	8.2	101.2	

$\lambda = 8^\circ 30'$, $\beta = 47^\circ 3'$,
$Hb = 1787.3^m$, $G = -0.20\ ^m/_m$.

Rigi-Kulm

November 1939.
Beobachter: *J. Steiner.*

1	0.4	2.2	1.2	1.3	0.3	611.2	610.6	610.3	68	65	69	WSW 2	SE 1	SE 1	9	5	3	.	
2	1.7	6.2	3.6	3.8	2.9	609.4	610.4	610.9	58	46	58	SE 2	S 1	NE 1	3	5	7	.	
3	1.0	3.8	4.4	3.1	2.3	611.8	611.0	611.0	100	61	58	ESE 3	S 4	S 4	10	6	10	.	
4	5.2	5.6	3.8	4.9	4.2	**608.6**	606.9	607.0	56	59	80	S 4	S 4	S 2	9	10	10	16.6	● ✳ $20^1/_2$–n
5	−2.0	−3.8	−3.8	−3.2	−3.8	**608.6**	609.2	610.8	100	100	100	W 3	W 4	W 3	10*≡	10≡	0	16.5	✳ n–1, ≡ I, II
6	3.0	3.3	4.5	3.6	3.1	612.8	614.6	615.7	100	88	92	W 4	W 4	W 4	9	10	10	2.4	● zeitw.
7	5.0	9.3	9.6	8.0	7.6	617.0	617.0	616.6	97	52	40	SE 1	SW 0	SSW 0	6	0	0	.	
8	9.4	11.0	7.8	9.4	9.1	615.6	616.9	617.4	40	46	56	S 1	S 0	S 4	5	3	3	.	
9	6.0	7.8	6.2	6.7	6.5	616.7	616.5	616.0	65	65	70	S 4	SE 2	S 1	3	7	4	0.9	
10	1.2	6.2	5.8	4.4	4.3	616.1	616.1	615.5	100	71	70	W 2	W 0	SW 1	10	10	8	5.5	● I
11	6.2	9.0	6.2	7.1	7.1	614.5	614.3	613.6	62	53	50	S 4	S 2	S 3	10	4	3	.	
12	7.0	**12.0**	6.0	8.3	8.4	615.2	615.1	615.4	80	75	76	SSE 0	SE 1	SE 2	8	2	2	.	
13	4.8	8.2	4.6	5.9	6.1	615.7	615.7	616.4	80	51	72	NNE 2	SW 1	SW 1	4	1	3	.	
14	3.8	4.2	2.0	3.3	3.6	617.4	617.4	617.2	98	97	100	SE 1	SE 1	SE 2	10	10	10	.	
15	1.0	2.2	0.8	1.3	1.7	615.4	612.7	611.5	100	80	100	W 0	W 3	W 4	10	4	10*≡	3.4	● ✳ 18–n, ≡ III
16	−2.4	−2.0	−1.5	−2.0	−1.4	613.8	614.0	611.7	100	100	100	W 3	W 3	W 4	10≡	10	10●*≡	25.5	● ✳ $17^1/_2$–n, ≡ I, III
17	3.0	3.6	3.5	3.4	4.1	613.0	615.2	617.2	100	100	100	SW 4	E 3	E 2	10≡	10●≡	10●≡	**49.5**	● n–n zeitw., ≡ n–n
18	3.6	3.2	3.0	3.3	4.1	619.6	619.7	620.6	100	100	100	W 3	W 3	W 3	10●≡	10●≡	10≡	8.9	● n–n zeitw., ≡ n–n
19	2.0	−2.5	−3.6	−1.4	−0.5	611.6	608.1	608.8	96	100	100	W 3	W 5	W 5	8	10≡	10*≡	38.1	⛉ ▲ $13^1/_4$–$13^3/_4$, ✳ $13^3/_4$–n,
20	−4.6	−4.2	−5.5	−4.8	−3.8	613.7	614.8	616.0	100	100	100	SE 2	W 1	NW 3	10*≡	10≡	10*≡	26.3	✳ I, III, ≡ n–n [≡ II, III
21	−9.8	−8.3	−11.0	−9.7	−8.6	616.5	616.7	616.9	100	100	100	NE 3	E 1	NE 2	5	10≡	10≡	.	≡ II, III
22	**−11.2**	−9.5	−11.0	−10.6	−9.4	615.4	616.1	616.0	100	100	100	E 2	E 0	E 2	0	0	10≡	.	≡ III
23	−9.2	−7.0	−8.8	−8.3	−7.0	615.6	615.3	615.1	100	100	100	E 0	E 0	E 0	0	0	0	.	
24	−3.4	−2.2	−3.2	−2.9	−1.5	612.4	612.9	613.3	100	53	46	W 1	W 1	W 3	0	8	10	.	
25	−5.0	−5.2	−5.0	−5.1	−3.6	613.6	615.2	615.3	100	100	100	W 3	W 1	W 3	10≡	3	3	.	≡ I
26	−3.8	0.0	2.6	−0.4	1.2	612.1	611.7	611.1	**39**	42	90	W 4	W 5	SW 4	10	10	10●	3.8	● zeitw.
27	1.8	3.9	4.8	3.5	5.2	611.8	611.4	610.2	92	75	62	SW 4	SW 3	SW 3	10	7	3	6.9	
28	−2.0	−2.8	−3.0	−2.6	−0.8	611.6	614.3	616.6	100	100	100	WNW 2	W 3	W 3	10●	10≡	10≡	6.1	✳ seit n, ≡ n–n
29	−3.8	1.2	3.0	0.1	2.0	617.5	617.9	620.4	54	100	100	W 3	W 4	W 4	10	10●	10●≡	24.9	● n–n zeitw., ≡ III
30	4.0	4.0	6.2	4.7	6.7	622.1	622.3	**623.1**	97	100	64	W 3	W 4	W 4	10	10	10	0.8	≡ zeitw., ● n
																		Summe	
Mittel	0.4	2.0	1.1	1.2	—	614.1	614.3	614.6	86	79	82				7.6	6.8	7.0	236.1	

November 1939.
Beobachter: *P. Nogler.*

Bevers

$\lambda = 9° 53'$, $\beta = 46° 33'$,
$H_b = \text{ca. } 1710^m$, $G = -0.23\,‰$.

Tag	Lufttemperatur 7h30	13h30	21h30	Mittel	Abweich. vom Normalw.	Luftdruck 7h30	13h30	21h30	Relative Feuchtigkeit 7h30	13h30	21h30	Windrichtung und Stärke 7h30	13h30	21h30	Bewölkung 7h30	13h30	21h30	Niederschlag	Witterung
1	-2.9	3.8	-4.8	-1.3	-0.8	617.3	617.3	617.7	98	61	96	NNW 1	W 1	NW 1	9	5	4	.	✳
2	-5.4	3.9	1.5	0.0	0.7	617.3	617.1	618.3	97	68	96	NW 1	SW 1-2	SW 1	6	6	8	.	✳
3	-0.2	4.5	2.6	2.3	3.2	619.5	619.0	620.0	100	73	95	S 1-2	S 1	SW 1	10	10	10●	3.6	● III ✳
4	1.2	4.3	0.9	2.1	3.2	617.5	616.0	612.9	100	87	100	W 1	NE 1	NE 0	10●	10●	10*	13.1	● I, II, ✳ III ✳
5	1.3	1.6	-5.6	-0.9	0.4	**612.7**	614.2	618.0	100	74	88	ENE 1	NE 1	NW 0	10*	10*	0	0.9	✳ I, II ✳
6	-3.1	4.2	1.3	0.8	2.3	620.6	622.1	623.1	85	58	86	S 0	NW 1	NW 0	8	5	8	.	✳
7	-2.2	5.1	-2.3	0.2	1.9	624.7	624.5	625.6	98	75	100	NW 0-1	W 1	W 0	7	0	0	.	
8	-3.5	6.1	-1.9	0.2	2.1	625.1	624.8	625.7	100	65	98	S 1	S 2-3	SW 0	4	2	0	.	
9	-3.4	7.1	2.0	1.9	4.0	625.3	624.2	624.1	100	67	95	W 0	SW 1-2	NW 1	0	5	10	0.0	
10	3.1	7.1	2.7	4.3	6.6	623.1	622.4	623.2	97	70	98	S 1	S 1	SW 1	10●	10	8	.	● I
11	0.1	7.7	2.3	3.4	5.9	622.7	622.8	623.2	100	69	97	NW 1	W 1	W 0	7	10	0	.	
12	-1.6	**10.2**	-1.0	2.5	5.2	622.7	622.2	623.6	98	**38**	89	SW 1	SW 1	SW 1	10	4	0	.	
13	-3.5	7.1	-1.9	0.6	3.5	623.6	622.5	623.8	91	49	88	S 0	SW 1	W 0	7	5	0	.	
14	-4.6	4.9	-2.2	-0.6	2.5	623.4	622.5	623.7	93	72	90	W 1-2	W 1-2	S 1	1	0	0	.	
15	-5.1	4.9	0.0	-0.1	3.2	622.3	620.5	617.2	95	41	100	WSW 0	W 1	W 1	0	6	10*	0.8	✳ III
16	-0.7	3.5	0.6	1.1	4.6	619.5	620.3	618.6	80	43	68	W 0	NW 2	NNW 1	10*	8	10*	8.6	✳ I, III ✳
17	0.3	0.4	0.9	0.5	4.2	617.7	619.8	622.6	100	100	100	WSW 1	W 1	W 1	10*	10●	10●	27.6	✳ I, ● a-n ✳
18	2.4	4.0	-1.8	1.5	5.4	623.7	624.6	625.5	97	86	100	NE 3	NE 1-2	NW 1	10●	8	0	12.3	● I ✳
19	-2.7	5.5	-2.2	0.2	4.3	617.7	612.2	613.7	93	54	96	WSW 1	SW 3	N 2	10	10	10*	16.8	✳ ⸸ 14-n ✳
20	-4.0	-1.9	-4.5	-3.5	0.8	617.6	618.9	621.2	94	73	62	NE 2	NNE 2-3	NNW 1-2	10*	10	7	4.2	✳ ⸸ n-n m.U. ✳
21	-8.2	-4.2	-12.5	-8.3	-3.8	621.6	622.3	623.6	70	71	81	NW 1	NNW 1-2	W 1-2	6	8	1	.	✳
22	-17.5	-8.6	-14.0	-13.4	-8.7	623.6	622.5	623.2	81	66	85	NW 1	NW 1-2	NW 1-2	10	0	10	.	
23	-19.7	-8.4	-16.1	-14.7	-9.8	622.5	621.2	621.9	91	73	85	S 1	W 1	W 1	6	0	0	.	
24	-17.8	-6.2	-9.5	-11.2	-6.1	620.7	619.4	618.7	81	58	80	W 1	W 1	W 1	0	2	10	.	
25	-6.8	-1.8	-13.1	-7.2	-1.9	618.7	620.5	622.3	75	39	81	W 2	NE 1	N 1	10	2	0	.	✳
26	-10.0	1.0	-3.1	-4.0	1.5	620.0	618.3	617.4	76	**38**	81	W 1	S 2	WSW 1	6	10	8	.	✳
27	0.0	6.1	-1.6	1.5	7.2	617.4	617.3	617.3	91	58	83	W 1	SW 0-1	W 1	10	4	6	.	✳
28	1.0	3.2	-7.0	-0.9	5.0	617.1	622.1	623.6	86	53	65	W 0-1	W 0-1	W 0	6	4	1	.	✳
29	-7.8	1.3	6.2	-0.1	5.9	624.2	624.2	626.1	80	47	60	W 1	SW 1	W 2-3	10	7	5	0.5	●°sch. abds. ✳
30	0.5	6.1	7.8	4.8	11.0	627.5	627.6	**627.9**	82	67	51	N 1	NW 1	W 1	6	8	4	.	✳
Mittel	-4.0	2.7	-2.5	-1.3	—	620.9	620.8	621.5	91	63	86				7.3	6.0	5.0	Summe 88.4	

November 1939.
Beobachter: *Kapuzinerkloster.*

Sitten

$\lambda = 7° 21'$, $\beta = 46° 14'$,
$H_b = 548.6^m$, $G = -0.11\,‰$.

1	2.8	9.5	5.8	6.0	-0.7	711.1	710.7	710.5	93	62	85	W 0	WSW 0	W 0	8	10	5	.	
2	3.4	12.4	5.4	7.1	0.6	710.3	709.4	711.6	83	50	92	W 0	E 0	E 0	3	9	1	.	
3	3.4	12.5	10.1	8.7	2.4	712.1	710.8	710.4	90	48	56	W 1	W 0	W 0	9	10	10	.	
4	12.7	13.4	10.3	12.1	5.9	706.6	706.2	**705.3**	49	54	67	E 2	E 2	NE 0	10	10	10	3.3	
5	7.4	9.8	4.3	7.2	1.2	708.0	710.8	713.5	84	53	59	W 1	W 3	E 1	10●	3	0	8.2	●^{2} I, n (5./6.)
6	2.8	8.9	7.0	6.2	0.4	717.4	716.8	717.3	97	63	98	E 0	ENE 0	E 2	9●	10	10●	9.8	●° I, ● III
7	6.4	14.5	11.7	10.9	5.2	717.7	715.6	716.3	99	57	61	ENE 0	E 0	SE 1	2	0	0	.	
8	6.9	**18.8**	12.2	12.0	6.5	715.5	714.8	716.3	74	**46**	53	ENE 0	ENE 0	E 3	3	0	0	.	
9	7.3	14.7	11.7	11.2	5.8	717.1	715.2	715.4	73	55	58	NE 1	ESE 0	E 1	3	7	4	1.0	
10	8.9	13.1	9.8	10.6	5.4	717.4	715.5	715.4	95	67	83	W 0	ENE 0	E 0	10●	4	2	0.2	● I
11	9.6	15.5	12.7	12.6	7.6	714.8	712.8	712.9	73	50	58	NE 1	NE 1	NE 2	3	1	1	.	
12	9.5	14.7	7.1	10.4	5.5	714.8	714.4	716.7	69	53	100	NE 2	NE 0	NE 0	6	3	0	.	
13	5.0	12.3	5.8	7.7	3.0	716.3	715.1	717.5	86	56	94	E 1	SW 1	SW 0	2	1	0	.	△ I
14	2.8	7.0	7.1	5.6	1.1	718.5	718.0	718.9	100	83	81	W 0	W 1	W 0	10≡	10≡	10	.	≡ I, II
15	3.1	10.4	7.7	7.1	2.7	717.2	712.9	712.7	84	56	90	E 1	SW 1	W 0	1	4	10	2.6	● (17½)
16	5.8	10.0	4.1	6.6	2.4	716.9	716.7	715.7	88	58	95	W 0	W 2	W 0	8	10	10●	**25.1**	● 17½-n
17	7.8	9.8	10.1	9.2	5.1	714.6	716.5	719.5	94	94	97	W 0	W 1	W 0	10●	10●	10●	22.7	● n-n
18	11.8	13.5	9.9	11.7	7.8	721.2	722.5	721.6	79	73	81	W 2	WSW 2	ENE 1	10	7	9	2.1	● a
19	7.1	10.3	5.4	7.6	3.9	714.9	710.0	713.9	96	63	80	NE 1	W 4	W 2	10	9●	10●	9.5	● II, III
20	6.1	7.2	5.4	6.2	2.6	716.1	717.0	718.1	72	61	65	W 1	W 2	WNW 3	10	9	8	.	
21	2.0	6.2	2.2	3.5	0.1	719.4	718.8	720.3	79	54	72	NE 0	NNE 1	NW 0	10	3	10	.	
22	1.0	4.7	1.1	2.3	-0.9	720.9	720.4	721.1	60	55	68	N 1	N 1	WNW 1	10	10	10	.	
23	-0.2	3.8	-1.1	0.8	-2.3	721.2	719.7	719.4	58	53	73	N 0	NNE 0	NE 0	10	0	0	.	
24	-4.1	3.2	0.2	-0.2	-3.1	717.2	715.2	715.1	80	60	74	NE 0	NNE 0	NNE 0	0	10	10	.	⌴ I, Ψ III
25	0.6	7.1	2.2	3.3	0.5	717.6	717.4	719.1	78	61	72	NNE 0	SW 2	SW 0	10	1	0	.	△ I
26	1.0	5.0	3.1	3.0	0.4	717.5	715.6	714.4	83	62	81	WNW 0	WNW 0	W 0	10	10	10	0.9	● 20½-21, ⌴ I
27	2.9	6.2	3.4	4.2	1.8	714.0	712.7	711.2	92	81	99	N 1	N 0	N 0	10	2	1	2.4	
28	4.4	9.9	3.7	6.0	3.7	713.0	716.1	720.5	98	56	72	N 0	W 3	W 0	10	1	0	0.4	● 5
29	2.8	3.9	3.9	3.5	1.4	722.5	723.4	**725.1**	81	93	96	N 1	NE 2	NE 0	10	10●	7	7.1	● II
30	4.2	8.9	8.2	7.1	5.2	**725.1**	724.6	724.3	97	79	89	NNE 1	NE 0	NE 0	9	8	4	.	
Mittel	4.8	9.8	6.3	7.0	—	716.2	715.5	716.3	83	62	78				7.5	9.1	8.7	Summe 95.3	

$\lambda = 8^\circ 57'$, $\beta = 46^\circ 0'$,
$H_b = 276.2^m$, $G = -0.01\ ^m/_m$.

Lugano

November 1939.
Beobachter: *G. Vicari.*

Tag	Lufttemperatur					Luftdruck			Relative Feuchtigkeit			Windrichtung und Stärke			Bewölkung			Niederschlag	Witterung
	7^{30}	13^{30}	21^{30}	Mittel	Abweich. vom Normalst	7^{30}	13^{30}	21^{30}	7^{30}	13^{30}	21^{30}	7^{30}	13^{30}	21^{30}	7^{30}	13^{30}	21^{30}		
1	6.2	12.4	5.8	8.1	−0.4	736.6	735.2	735.5	94	53	82	NW 0	SSE 1	NE 1	10	3	2	.	
2	7.2	11.2	8.0	8.8	0.5	735.6	736.2	738.1	84	64	95	N 1	S 0	W 0	10	10	10	0.1	● 17–18 m.U.
3	7.6	11.0	9.0	9.2	1.1	738.0	738.6	738.8	92	68	97	N 0	S 0	N 0	10	10	10●	25.4	● $15^1/_2$–n, ≡ p
4	8.8	8.2	7.6	8.2	0.3	736.3	734.2	732.2	94	93	99	N 0	SW 1	SW 0	10●	10●	10●	**86.7**	● n–n
5	8.2	9.4	7.8	8.5	0.7	**729.6**	730.2	734.1	92	75	51	N 1	SSE 1	N 1	10	10	0	13.7	● n–a m.U.
6	3.8	12.0	6.2	7.3	−0.3	739.5	739.9	742.2	71	49	73	N 1	SSE 1	NNE 1	3	0	0	.	
7	3.4	12.2	6.8	7.5	0.1	743.6	743.1	744.5	88	52	80	N 1	SE 1	NNE 1	0	0	0	.	
8	5.6	11.8	8.2	8.5	1.2	743.5	742.9	744.1	92	74	85	N 1	W 0	N 1	1	4	10	.	
9	10.2	13.2	11.0	11.5	4.4	743.5	743.0	742.6	85	68	97	N 1	SE 0	W 0	10	10	10●	4.2	●° 21–n
10	10.6	11.6	10.6	10.9	3.9	741.6	741.3	741.2	93	91	99	S 0	SW 0	SW 0	10●≡	10●	10●	3.5	●° n–n m.U.
11	11.2	12.8	11.6	11.9	5.1	740.4	740.1	741.0	97	78	94	S 0	S 0	S 0	10	10	10●	0.3	●° n (11./12.)
12	11.8	13.2	10.8	11.9	5.2	740.0	740.0	740.7	91	76	83	S 0	SSE 1	W 0	10	10	10	0.2	●° n (12./13.(
13	10.8	12.8	10.0	11.2	4.7	740.7	740.6	741.0	91	68	92	NNW 0	S 0	NNE 1	10	10	0	.	
14	15.0	13.2	7.2	11.8	5.4	740.5	739.6	739.9	87	53	92	N 1	S 1	N 1	1	0	0	.	
15	5.6	11.4	7.8	8.3	2.1	739.8	736.9	735.2	85	58	98	N 1	S 1	N 1	7	2	10	.	
16	5.8	12.2	7.4	8.5	2.4	736.6	736.9	737.3	99	63	91	N 1	S 1	N 1	4	10	10	.	
17	6.8	19.8	12.8	13.1	7.2	734.6	733.2	738.9	74	31	49	N 1	NNE 3	NW 1	8	7	0	.	
18	16.6	**20.8**	12.4	16.6	10.8	738.6	740.4	741.9	35	25	43	NNE 2	NNE 2	E 1	0	0	0	.	
19	6.8	12.6	9.4	9.6	4.0	736.6	730.5	729.8	74	53	50	NW 1	N 1	NNE 3	7	2	0	.	
20	11.6	13.6	9.8	11.7	6.2	732.2	734.8	737.2	31	30	32	NNE 3	ENE 3	ENE 3	2	7	0	.	
21	9.4	13.2	4.2	8.9	3.5	738.3	738.7	741.9	24	**82**	43	NNE 3	NNE 2	E 1	2	7	1	.	
22	0.6	8.2	3.0	3.9	−1.3	744.5	743.7	745.1	64	52	83	N 1	S 1	ENE 1	0	0	10	.	
23	4.8	6.0	3.2	4.7	−0.4	744.2	743.9	744.1	66	57	73	SSW 1	S 1	N 0	10	10	10	.	⌴ fr.
24	−0.8	5.8	1.4	2.1	−2.8	742.8	741.5	740.7	78	52	72	N 1	N 1	ENE 1	0	2	10	.	⌴ fr.
25	0.6	7.2	0.8	2.9	−1.9	739.7	738.8	741.6	91	68	83	NNW 1	SSE 1	N 1	1	0	0	.	⌴° fr.
26	**−1.2**	5.8	0.6	1.7	−3.0	741.2	739.9	737.8	83	65	89	N 1	SW 0	N 1	0	2	4	.	⌴ fr.
27	2.2	9.6	3.8	5.2	0.7	737.6	737.3	737.7	86	51	88	N 1	SSE 0	NE 1	10	8	10	.	⌴ fr.
28	6.2	10.6	4.0	6.9	2.5	736.3	736.3	740.6	82	63	78	NW 1	S 0	N 1	7	0	0	.	⌴ fr.
29	1.2	9.6	3.6	4.8	0.5	743.6	743.5	744.6	63	47	67	N 1	SE 1	N 1	0	0	0	.	⌴ fr.
30	2.6	9.8	4.2	5.5	1.4	744.9	**745.2**	744.9	75	58	80	N 1	S 1	N 1	4	3	0	.	⌴ fr.
Mittel	6.6	11.4	7.0	8.3	—	739.4	738.9	739.8	79	59	78				5.6	5.2	4.9	Summe 134.1	

$\lambda = 7^\circ 35'$, $\beta = 47^\circ 33'$,
$H_b = 318^m$, $G = 0.11\ ^m/_m$.

Basel

November 1939.
Beobachter: *Astronom.-Meteorol. Anstalt.*

1	1.3	5.2	2.4	3.0	−2.8	730.6	730.7	730.1	98	81	96	ESE 1	ESE 1	E 1	10	10	4●	.	⌴ l
2	2.4	5.4	3.1	3.6	−2.0	730.0	730.1	730.9	93	77	88	NNE 1	ENE 1	NE 1	10	10	9	2.9	
3	3.8	11.3	7.9	7.7	2.2	731.7	730.0	728.6	93	65	79	ENE 1	ENE 1	ENE 1	10●	9	10	0.2	● $2^1/_4$–$4^1/_4$, $7^1/_4$–$7^3/_4$
4	6.1	6.2	8.0	6.8	1.4	724.2	725.4	**724.1**	86	94	89	NNE 1	NE 1	ESE 1	10	10●	10	5.5	● $5^1/_2$, $8^1/_4$, $12^3/_4$–14, $22^1/_4$–n
5	8.4	10.7	3.2	7.4	2.2	727.3	730.7	731.1	77	55	83	WSW 1	WNW 1	E 1	10	6	0	0.9	● n–$1^3/_4$, $2^3/_4$–$3^1/_4$
6	6.0	11.8	9.9	9.2	4.1	732.8	733.6	735.0	93	65	94	SE 1	E 1	ESE 1	10●	10	10●	3.5	● $1^3/_4$–$8^3/_4$, $16^1/_2$–$16^3/_4$,
7	9.9	**17.8**	11.5	13.1	8.1	735.2	733.2	732.5	95	61	82	ENE 1	E 1	ENE 1	10	0	0	.	[$20^1/_2$–22
8	7.8	17.4	9.4	11.5	6.6	732.5	733.7	734.8	93	61	91	E 1	E 1	ESE 1	4	5	10	.	⌓ l
9	5.6	14.5	11.4	10.5	5.8	735.7	734.9	734.7	99	73	89	E 1	E 1	SW 1	10≡	4●	10	**14.6**	● $23^1/_2$–n, ≡ n–$7^3/_4$
10	7.6	10.8	8.8	9.1	4.5	736.5	735.5	734.6	94	94	89	ESE 1	ENE 1	E 1	8	10	1	0.4	● n–4, 13, $15^1/_4$
11	7.8	15.2	8.8	10.6	6.1	733.1	732.0	731.1	93	69	89	ENE 1	SE 1	ENE 1	10	1	9	.	●° $17^1/_4$
12	7.8	11.9	8.2	9.3	5.0	733.1	734.9	736.0	93	80	98	ENE 1	ESE 1	ESE 1	8	10	9	.	
13	6.3	8.6	7.5	7.5	3.3	736.5	736.0	737.7	99	91	99	E 1	ESE 0	ESE 1	10≡	10	10≡	0.2	≡ n–$12^1/_2$, 19–n
14	7.2	10.6	8.6	8.8	4.7	738.7	738.5	738.4	98	84	91	ESE 1	ESE 1	ESE 1	10≡	10	9	.	≡ n–$9^1/_2$
15	8.2	12.1	7.9	9.4	5.4	736.3	732.4	732.9	94	74	85	SW 0	NW 1	SW 1	10	10	5	6.6	● $14^3/_4$–$18^3/_4$
16	7.1	10.4	7.7	8.4	4.6	736.3	735.8	729.9	86	62	91	SSW 1	WSW 1	ENE 1	4	10	10●	3.0	● 17–$22^3/_4$ m.U.
17	12.6	11.0	12.0	11.9	8.2	733.4	736.2	738.5	85	92	94	WSW 2	WSW 1	W 1	10	10●	10●	8.4	● $5^1/_4$, $9^3/_4$–$23^1/_2$ m.U.
18	12.8	14.8	11.2	12.9	9.3	740.8	742.2	740.1	86	74	88	WSW 2	WSW 1	SW 1	10●	7	10	.	● $1^1/_4$, ●☽ l
19	12.7	10.4	6.4	9.8	6.3	729.9	728.8	733.4	67	66	81	WSW 2	WSW 4	WSW 3	10	4	8	8.4	● $7^3/_4$–$22^3/_4$ zeitw.
20	5.2	6.2	4.7	5.4	2.1	738.1	739.7	741.3	90	79	89	W 1	WNW 1	NW 1	10	10	10	0.4	● $2^3/_4$–$9^3/_4$ m.U.
21	−0.4	3.2	0.4	1.1	−2.1	743.6	743.8	**744.3**	79	53	66	NNE 1	E 1	N 1	1	3	2	.	
22	−2.4	1.7	−0.5	−0.4	−3.5	743.9	743.6	743.4	96	84	94	NNW 1	ENE 1	W 1	10	9	10	.	⌴ l
23	−3.0	2.6	−1.7	−0.7	−3.6	742.1	740.6	738.9	100	58	96	WNW 0	ENE 1	ESE 1	10	1	0	.	
24	**−3.8**	1.6	0.0	−0.7	−3.5	736.0	735.0	734.6	98	75	89	ESE 1	ESE 1	E 1	1	10	10	0.8	⊕ 12–14, ♈ 19–22, ⌴ l
25	1.5	6.0	−0.8	2.2	−0.5	738.9	739.6	739.4	83	60	92	WSW 2	WNW 1	SE 0	10	2	10	.	✳ $3^1/_4$–$4^1/_2$, ♈ 23
26	0.0	3.0	3.7	2.2	−0.4	735.4	732.8	731.0	96	76	92	S 1	E 1	ENE 1	10≡	10	10	0.9	● 20–22 m.U., ≡ ⌴ l
27	11.8	13.8	12.2	12.6	10.2	730.6	729.9	728.1	75	59	56	WSW 2	WSW 2	WSW 2	9	10	7	2.1	♈ $21^1/_4$, ♈ $21^1/_2$, ☄ fr.
28	6.8	10.7	5.3	7.6	5.3	733.9	736.9	739.9	82	**47**	76	WSW 2	WSW 2	WSW 1	7	2	4	.	● 1, $3^1/_4$–$5^3/_4$ m.U., ☄ fr.
29	6.6	6.1	12.3	8.3	6.1	739.9	739.9	741.6	76	90	78	SSE 1	ESE 1	WSW 1	10	10●	10●	4.8	● $12^1/_2$–$15^1/_2$, 20–$21^1/_2$ m.U.
30	12.0	13.9	12.0	12.6	10.5	742.7	743.3	744.3	82	73	74	SSW 1	WSW 2	WSW 1	10	10	10	.	
Mittel	5.9	9.5	6.7	7.4	—	735.3	735.3	735.4	89	72	87				8.7	7.4	7.6	Summe 63.6	

November 1939.
Beobachter: *Observatorium.*

Säntis

$\lambda = 9° 20'$, $\beta = 47° 15'$,
$H_b = 2500.1^m$, $G = -0.27$ ‰.

Tag	Lufttemperatur					Luftdruck			Relative Feuchtigkeit			Windrichtung und Stärke			Bewölkung			Niederschlag	Witterung
	7^{30}	13^{30}	21^{30}	Mittel	Abweich. vom Normalst.	7^{00}	13^{30}	21^{30}	7^{30}	13^{30}	21^{30}	7^{30}	13^{30}	21^{30}	7^{30}	13^{30}	21^{30}		
1	−3.6	−2.4	−4.0	−3.3	−0.2	558.1	558.4	558.3	76	80	84	WNW 1	SW 1	SW 2	10	2	1	.	
2	−2.6	0.0	−3.0	−1.9	1.3	558.0	558.3	559.5	68	65	90	S 1	S 2	SW 2	4	9	8	.	
3	−2.8	−0.4	−0.4	−1.2	2.1	560.2	559.9	560.1	88	68	78	SE 2	SSE 2	SSW 3	10	10	10	.	
4	0.4	1.6	−1.0	0.3	3.8	556.5	556.2	555.5	80	80	100	S 5	SSW 4	S 2	10	10	10≡*	2.2	✳° 18-n, ≡ 19½-n
5	−5.6	−6.4	−11.0	−7.7	−4.1	553.8	555.9	558.0	100	93	90	W 4	WNW 3	SSW 3	10≡*	10≡*	0	16.8	✳ ☩ n-15, ≡ n-17
6	−0.4	−0.3	−0.1	−0.3	3.4	560.7	562.4	563.6	100	100	100	W 4	SW 4	W 4	10≡	10≡	10≡	7.4	✳ n-7, p zeitw., ≡ n-n
7	0.4	3.2	5.4	3.0	6.8	565.6	566.0	565.9	98	60	40	WSW 3	SW 2	SW 2	9	1	0	.	[zeitw.
8	6.9	7.8	4.2	6.3	10.3	565.7	566.5	566.3	**35**	37	48	S 2	SW 1	SE 2	8	3	1	.	
9	3.6	4.9	2.2	3.6	7.7	565.9	565.5	564.4	46	52	65	SSW 2	S 2	S 2	1	10	6	0.8	
10	−2.5	0.0	0.0	−0.8	3.4	564.0	564.4	564.2	98	98	91	W 3	SW 2	S 2	10≡	10	3	3.0	≡ ✳ n-11, 17-17½
11	1.9	4.8	2.0	2.9	7.2	563.5	563.4	563.0	66	55	65	SW 2	SW 2	SSE 2	10	8	3	.	
12	1.8	3.8	0.4	2.0	6.4	563.9	565.0	565.4	62	62	96	SW 2	NE 1	E 2	9	4	0	.	
13	2.9	4.9	2.8	3.5	8.1	564.9	564.9	565.6	43	36	43	ESE 2	SSW 2	W 1	3	2	0	.	
14	−0.2	−0.3	−2.1	−0.9	3.8	565.3	565.6	565.3	90	100	100	NNW 2	NNE 1	NE 1	3	10≡	10≡	.	≡ 13¼-n
15	−3.7	0.2	−4.6	−2.7	2.1	562.9	560.6	557.8	97	55	100	SW 3	SW 2	W 3	1	2	10≡*	22.1	☩ ✳ 18¼-n, ≡ 14½-n
16	−6.2	−7.2	−3.1	−5.5	−0.6	560.3	560.3	556.4	100	95	100	W 3	SW 4	W 5	10≡	10	10≡*	40.5	✳ n-11, 18-n. ☩ ≡ n-n mU.
17	−0.8	−3.2	−0.8	−1.6	3.4	559.0	562.1	564.4	100	100	100	W 4	WNW 5	W 3	10≡●	10≡*	10≡	**71.5**	●← n-8½, ✳ 8½-17½, ≡ n-n
18	−0.2	−2.0	−2.3	−1.5	3.6	566.3	567.6	566.2	100	100	100	W 3	W 2	W 2	10≡	10≡	10≡	12.0	● n-6½, ✳ a ztw., ≡ n-n, ∽
19	−2.2	−4.1	−8.0	−4.8	0.5	558.3	**553.6**	555.4	100	100	100	WSW 5	WSW 5	W 4	10≡*	10≡*	10≡*	68.7	☩ ✳ 7-n, ≡ n-n, ⚿ 12½-13½,
20	−9.0	−9.0	−11.4	−9.8	−4.3	558.9	560.6	562.2	98	98	98	NNW 2	NNW 2	NNE 2	10≡*	10≡*	10≡*	25.3	✳ ☩ ≡ n-n, ⚿ 17 [V]
21	−15.6	−13.4	−13.8	−14.3	−8.8	562.1	562.5	562.6	60	78	46	NE 4	NE 4	NE 3	9	1	1	.	≡ 9-10 zeitw.
22	−8.6	−8.8	−9.6	−9.0	−3.4	562.2	562.1	562.1	70	73	80	NE 4	NNE 3	NE 3	1	1	0	.	
23	−11.1	−10.1	−10.6	−10.6	−4.9	561.6	561.8	561.6	64	46	44	NE 3	NNW 2	N 1	0	0	0	.	
24	−7.8	−5.8	−9.2	−7.6	−1.8	560.4	560.2	558.9	45	45	52	W 2	SW 3	W 4	1	3	10	2.7	
25	−10.2	−10.8	−12.2	−11.1	−5.2	558.7	560.6	561.2	100	98	68	SW 4	WSW 3	W 4	10≡*	10≡	10	4.2	✳ n-12½, 14, ☩ a, ≡ n-17
26	−10.2	−5.0	−1.6	−5.6	0.4	558.1	557.0	557.5	51	100	100	WSW 5	WSW 6	W 5	10	10≡*	10≡*	20.2	✳ ☩ ≡ 12½-n
27	−2.1	−0.6	−1.2	−1.3	4.7	558.4	558.1	557.2	100	98	63	SW 4	SW 4	WSW 5	10≡	3	3	14.2	≡ n-11½
28	−6.0	−8.6	−8.2	−7.6	−1.5	558.3	560.3	562.9	100	100	100	WNW 3	W 3	W 2	10≡*	10≡	10≡	18.1	✳ n-12⅝, ≡ ☩ n-n
29	−8.8	−2.4	−0.8	−4.0	2.2	563.5	564.0	567.1	69	100	100	W 5	WSW 4	SW 5	10	10≡*	10≡	39.7	✳ 12½-17, ≡ 11½-n
30	0.0	0.0	−1.4	−0.5	5.8	568.5	568.4	**569.4**	100	100	91	W 5	W 6	WSW 5	10≡	10≡	10	6.3	≡ n-17
Mittel	−3.4	−2.3	−3.5	−3.1	—	561.5	561.7	561.9	80	79	81				7.6	7.0	6.2	Summe 375.7	

November 1939.
Beobachter: Frl. *F. Lombardi.*

St. Gotthard (Hospiz)

$\lambda = 8° 34'$, $\beta = 46° 33'$,
$H_b = 2095.7^m$, $G = -0.25$ ‰.

1	−1.6	0.2	−3.0	−1.5	0.8	588.6	588.1	588.1	85	61	72	SE 0	SE 0	SE 0	10≡	5	2	.	≡ n-10
2	−1.4	1.0	−1.2	−0.5	2.0	588.1	588.3	589.0	69	71	89	SE 0	SE 0	SE 0	7	10*	10≡	1.6	✳ 12½-14¼, ≡ 17⅝-n
3	−0.8	0.2	−1.2	−0.6	2.0	589.5	590.2	590.2	70	81	92	SE 0	SE 0	SE 1	10≡	10*≡	10*≡	17.5	✳ 9½-n, ≡ n-n
4	+0.4	0.0	−0.4	−0.3	2.5	588.1	586.4	**584.3**	91	86	98	SE 1	SE 1	SW 0	10*≡	10*≡	10*≡	59.2	✳ ≡ n-n
5	+0.6	−2.5	−8.8	−4.0	−1.1	584.5	585.0	587.9	98	78	95	NW 1	NW 2	N 2	10*≡	10≡	0*	7.8	✳° n-10, ≡ n-16
6	0.0	0.3	−1.0	−0.2	2.8	591.5	593.0	594.2	71	70	74	SE 0	SE 0	NE 0	5	5	8	.	
7	−1.4	2.0	−0.5	0.0	3.2	595.3	595.7	595.9	61	58	70	S 0	S 0	S 1	0	0	0	.	
8	0.8	2.8	−0.6	1.0	4.3	595.8	595.0	596.0	65	51	62	S 0	S 0	S 1	2	0	0	.	
9	−0.4	1.8	0.5	0.6	4.0	595.8	595.5	595.1	69	69	89	SE 0	SE 1	SE 1	0	10≡	10≡	1.0	≡ 10⅜-n
10	0.9	2.0	1.3	1.4	4.9	594.0	594.0	593.7	92	72	95	S 0	S 0	S 0	10≡	10	10≡	1.0	≡ n-9½, 17-n
11	1.8	3.2	1.6	2.2	5.9	593.7	593.3	593.1	84	78	98	E 0	E 0	E 0	10	10	10≡	.	≡ 17¼-n
12	0.8	4.8	0.8	2.1	5.9	593.3	593.5	594.0	73	61	74	S 0	S 0	N 0	5	2	0	.	
13	1.2	**5.6**	0.8	2.5	6.4	594.3	594.2	594.5	63	55	75	N 0	N 0	N 0	5	0	0	.	
14	0.0	2.4	+0.4	0.7	4.7	594.5	594.1	594.3	61	58	62	NE 1	N 1	N 1	0	0	0	.	≡ 16⅜-19¼
15	−0.6	2.7	−1.0	0.4	4.5	592.7	590.6	588.2	81	68	81	N 1	S 0	NE 0	0	2	10	7.5	✳° 16⅜-19¼
16	−3.0	−1.8	−2.0	−2.3	1.9	590.5	591.1	590.3	82	80	83	N 3	N 2	N 0	10≡	8	10*	22.5	✳ ⸗ ≡ n-11, ✳ 19-21⅜
17	0.0	0.1	−0.2	0.0	4.3	589.7	589.9	593.8	95	88	100	N 1	NE 1	N 3	10*●	10●	10*	**116.8**	● n-17⅜, ✳ n-10, 17⅜-n
18	0.7	1.4	−0.6	0.5	4.9	596.2	597.3	596.9	84	73	71	N 3	N 2	N 1	10*●	10●	0	5.0	● ✳ n-9, ●° 9-14
19	−0.2	0.4	−5.2	−1.7	2.8	589.9	584.8	584.4	66	78	96	NW 0	NW 0	N 4	5	10*	10≡	36.0	✳ 9½-14¼, ≡ ⸗ 16⅜-n
20	−5.8	−4.4	−6.8	−5.7	−1.1	586.9	588.5	589.9	95	90	87	N 4	N 4	N 4	10≡	10≡	10≡	23.0	≡ ⸗ n-n
21	−9.2	−9.0	−14.5	−10.9	−6.2	591.9	591.9	592.0	81	85	85	N 2	N 3	N 2	6≡	10≡	0	1.2	≡ n-16
22	−12.4	−4.6	−12.6	−9.9	−5.1	592.3	592.3	592.0	62	58	71	N 1	E 0	N 1	0	0	0	.	
23	−12.8	−7.8	−10.7	−10.4	5.5	591.8	591.7	591.1	63	61	64	N 2	N 1	N 1	0	0	0	.	
24	−8.0	−2.2	−6.0	−5.4	−0.4	590.4	590.1	590.0	62	60	83	N 1	S 0	S 0	0	5	8	0.7	
25	−6.8	−5.6	−9.2	−7.2	−2.1	590.0	590.9	591.4	71	78	61	N 1	N 2	N 1	5	10≡	0	.	≡ 9¼-5
26	−5.0	+0.2	0.0	−1.7	3.5	590.5	590.2	589.0	57	53	81	SE 0	S 0	S 0	5	10	10	2.1	
27	1.4	2.4	−2.0	0.6	5.9	589.9	589.7	589.2	63	61	90	E 1	E 0	SE 2	8	2	10≡	5.4	≡ 18½-n
28	−1.4	−2.2	−6.1	−3.2	2.2	588.7	590.6	592.9	80	76	80	SE 1	N 2	N 2	10*≡	5≡	0	4.5	✳ n-10⅝, ≡ n-14
29	−3.2	0.0	0.0	−1.1	4.4	594.9	595.3	596.4	64	79	74	N 0	N 1	N 3	5	10*	2	11.0	✳ 11¼-16¼, ⸗ 19-n
30	1.8	2.4	4.2	2.8	8.3	598.3	**598.8**	598.3	53	**50**	70	N 2	NE 3	NE 4	5	2	3	.	⸗ 14-n
Mittel	−2.2	−0.2	−2.8	−1.7	—	591.7	591.7	591.9	74	70	81				5.8	6.2	5.1	Summe 323.8	

$\lambda = 7° 26'$, $\beta = 46° 57'$,
$H_b = 572.2^m$, $G = 0.00^m/_m$.

Bern

Dezember 1939.
Beobachter: *Tellur. Observatorium.*

Tag	Lufttemperatur					Luftdruck			Relative Feuchtigkeit			Windrichtung und Stärke						Bewölkung			Niederschlag	Witterung
	7^{30}	13^{30}	21^{30}	Mittel	Abweich. vom Normalst.	7^{30}	13^{30}	21^{30}	7^{30}	13^{30}	21^{30}	7^{30}		13^{30}		21^{30}		7^{30}	13^{30}	21^{30}		
1	9.2	10.5	4.8	8.2	7.3	**721.1**	719.9	718.2	77	70	93	SW	1	S	1	S	1	9	0	0	.	
2	1.0	**11.5**	7.9	6.8	6.1	715.5	713.4	713.2	93	**49**	90	S	0	NW	1	W	1	0	8	10●	5.3	● $20^1/_4$–$23^1/_2$ m.U., ⌙ |
3	5.0	6.5	2.5	4.7	4.1	713.4	713.1	711.8	83	57	87	SW	0	W	1	S	0	9	3	1	.	● 0–$1^1/_2$ m.U.
4	1.3	3.2	3.7	2.7	2.2	707.2	705.4	702.0	84	94	97	S	0	S	1	N	0	10	10●	10●	7.3	✳ 8–9, ● $13^1/_4$–$21^1/_2$ ztw., ⌙ |
5	4.0	3.8	2.1	3.3	3.0	**697.0**	697.7	699.0	97	90	95	SW	1	SW	1	SW	0	10	10	10●	**11.9**	● $4^3/_4$–14 m.U., $21^1/_4$–$21^3/_4$, ✳ $9^1/_4$–$10^3/_4$
6	1.0	2.1	1.0	1.4	1.2	700.0	701.4	704.6	96	94	98	NE	0	SE	0	W	1	10	10	10	3.5	● ✳ 4–5, $11^1/_2$, $16^1/_2$–n ztw.
7	1.4	2.1	0.0	1.2	1.1	709.0	712.4	715.9	96	80	85	S	0	NE	1	N	0	10	10	10	.	● ✳ n–$2^1/_2$ m.U.
8	−6.2	−2.0	−1.2	−3.1	−3.1	716.0	715.4	714.2	89	73	79	S	0	SE	1	S	0	0	1	9	1.1	
9	0.2	2.0	2.0	1.4	1.5	713.6	714.0	714.7	98	96	100	S	0	SE	0	S	1	10●	10	10≡	1.6	● ✳ 1–$14^1/_2$ zeitw., ≡ $21^1/_4$–n
10	1.5	4.8	3.4	3.2	3.4	712.4	709.6	707.8	98	90	97	S	0	S	0	W	0	10	10	10●	8.2	● sch. 7–$23^1/_4$ zeitw.
11	4.0	5.9	0.9	3.6	3.9	706.9	707.0	708.8	100	91	90	SE	0	SW	1	NNE	2	10●≡	10	10	2.9	● $3^1/_4$–$16^1/_2$ ztw., ≡ n–$11^1/_2$
12	−0.9	−0.6	−1.5	−1.0	−0.6	709.1	709.8	710.4	95	89	95	NE	2	NE	2	N	1	10	10	10	.	
13	−2.4	−1.6	−1.8	−1.9	−1.4	709.3	709.1	709.0	95	89	92	NNE	1	NNE	1	NE	0	10	10	10	.	
14	−1.6	−0.4	−1.0	−1.0	−0.4	708.7	707.7	707.1	92	90	92	N	0	NE	1	N	1	10	10	10	.	⌙ |
15	−1.0	0.7	−1.3	−0.5	0.2	707.1	707.1	707.2	89	65	90	NW	0	S	1	NE	1	10	8	10	.	
16	−2.6	−1.4	−1.8	−1.9	−1.1	706.5	705.6	707.6	95	82	88	NE	1	NE	1	NE	1	10	10	10	.	⌙ |
17	−2.0	−0.5	−1.5	−1.3	−0.5	710.2	712.1	714.2	89	85	92	SW	0	NE	0	NE	1	10	10	10	.	
18	−2.0	−0.5	−1.3	−1.3	−0.4	713.6	712.9	712.5	94	88	95	N	1	NE	0	NE	0	10	10	10	.	
19	−2.4	−1.0	−2.2	−1.9	−0.9	710.1	709.7	707.9	96	92	97	NNE	1	NE	0	N	1	10≡	10	10	.	≡ n–$10^3/_4$
20	−2.5	−0.6	−2.2	−1.8	−0.8	708.5	710.1	712.7	97	92	80	NE	1	NE	1	NE	2	10≡	10	10	.	≡ 7–$10^1/_4$
21	−2.6	−1.7	−2.6	−2.3	−1.2	714.1	714.2	715.7	83	76	80	NE	2	NE	1	NE	0	10	10	10	.	
22	−2.0	−1.4	−1.9	−1.8	−0.7	716.5	716.6	717.1	90	89	96	S	0	SW	0	SW	0	10	10	10	.	
23	−4.0	−2.0	−3.0	−3.0	−1.8	716.7	716.3	716.1	100	97	100	W	0	W	0	S	0	10≡	10≡	10≡	.	≡ n–n
24	−2.8	−2.0	−3.6	−2.8	−1.6	715.7	714.9	713.3	100	95	98	E	0	NE	0	NE	0	10≡	10≡	10≡	.	≡ n–n, ⌙ |
25	−4.8	−2.7	−4.0	−3.8	−2.5	711.2	709.1	708.5	98	90	93	S	0	SE	0	S	0	10≡	10●	10≡	.	≡ n–n, ⌙ |
26	−5.2	−3.4	−3.3	−4.0	−2.7	707.0	706.4	707.4	94	89	93	W	0	NE	0	SE	0	10	6	9	0.0	≡ 8–11, $17^3/_4$–$19^1/_4$, ⌙ |
27	−1.4	1.4	−2.5	−0.8	0.6	707.0	708.0	710.0	91	87	89	NW	0	NE	0	NE	0	10	7	7	.	✳° n–$7^1/_4$, ≡ $8^1/_4$–11
28	−5.4	−1.0	−3.0	−3.1	−1.7	709.8	710.1	710.0	94	64	85	W	0	NE	1	E	1	8	2	9	.	
29	−5.6	−6.6	−10.5	−7.6	−6.1	706.8	706.1	711.1	86	89	68	NE	1	NE	1	NE	1	10	10	1	0.0	
30	**−14.2**	−8.7	−9.0	−10.6	−9.1	712.9	712.0	711.3	68	61	77	SW	0	WSW	1	S	0	0	0	9	.	
31	−7.1	−2.0	−3.7	−4.3	−2.8	710.5	710.0	711.4	81	60	75	S	0	S	0	SW	0	10	8	10	.	
Mittel	−1.6	0.5	−1.1	−0.7	—	710.4	710.2	710.7	92	82	90							8.9	8.2	8.9	Summe 41.8	

$\lambda = 6° 57'$, $\beta = 47° 0'$,
$H_b = 487.3^m$, $G = 0.02^m/_m$.

Neuchâtel

Dezember 1939.
Beobachter: *Observatorium.*

1	8.6	11.7	5.2	8.5	6.6	**729.3**	728.1	726.4	72	69	95	W	2	SW	1	NE	0	0	0	0	.	
2	3.1	**13.9**	8.7	8.6	6.8	723.6	721.4	721.3	96	**36**	91	SW	0	W	3	W	0	0	9	10●	.	● tr. III, ⌙ |
3	5.7	7.3	3.9	5.6	3.9	721.9	721.4	720.2	68	59	64	SW	1	SW	1	W	1	4	9	0	0.4	
4	2.8	4.4	5.0	4.1	2.5	715.6	712.9	709.2	88	92	92	SW	4	SW	4	SW	3	10●	10●	10●	**39.7**	● n–n
5	3.7	3.6	2.9	3.4	1.9	**704.1**	704.9	705.9	93	95	93	SW	2	W	3	W	1	10●	10●	10	3.4	● a, p zeitw.
6	1.6	3.6	2.0	2.4	1.0	707.2	708.5	712.6	89	79	83	W	1	SW	1	W	1	10	9	9	2.4	✳ fl. $8^1/_4$, ✳ $9^1/_4$–$10^1/_4$
7	3.0	3.0	0.2	2.1	0.8	717.5	721.0	724.6	73	67	64	E	1	NE	1	NW	1	10	8	8	.	
8	−4.2	0.1	0.4	−1.2	−2.4	724.6	724.0	722.7	95	74	77	E	0	SE	1	W	0	0	8	7	4.3	⌙ |
9	1.6	5.1	2.0	2.9	1.8	721.7	722.5	722.9	98	95	98	W	1	W	1	W	1	10●	9●	0	3.1	●° l, ● $9^1/_2$–p m.U.
10	2.5	3.8	4.1	3.5	2.5	720.7	718.1	716.1	100	100	100	W	0	NE	0	NE	0	10●	10●	10●	8.6	●° ≡ n–n
11	5.3	5.9	1.5	4.2	3.3	715.2	715.4	717.2	100	94	95	W	0	W	1	NE	2	10●	10●	10	1.6	●° u–n m.U.
12	−0.4	0.3	−0.6	−0.2	−1.0	717.8	718.5	719.0	89	86	89	NE	2	NE	2	NE	2	10	10	10	.	
13	−1.4	−0.7	−1.0	−1.0	−1.8	718.0	717.7	717.6	90	85	89	NE	1	NE	1	NE	1	10	10	10	1.2	✳ $23^1/_2$–n
14	−4.0	0.1	−1.3	−1.7	−2.4	717.1	716.1	715.6	95	86	84	E	0	E	1	E	0	8	10	0	.	
15	−0.8	0.8	−0.4	−0.1	−0.7	715.4	715.6	715.9	85	66	80	NE	0	NE	0	NE	1	10	10	10	.	
16	−1.9	−0.9	−0.9	−1.2	1.7	714.8	713.6	716.1	82	81	79	NE	2	E	3	SE	1	10	10	10	.	
17	−1.4	0.0	−1.4	−0.9	−1.3	719.0	720.7	723.0	86	86	94	NE	1	NE	1	NE	1	10	10	10	.	
18	−1.6	−0.5	−0.9	−1.0	−1.4	722.5	721.6	721.1	92	91	92	NE	1	E	1	E	1	10	10	10	.	
19	−2.3	−1.5	−2.4	−2.1	−2.4	718.8	718.3	716.7	98	92	98	NE	1	SE	0	NE	0	10	10	1	.	
20	−1.4	−0.8	−1.8	−1.3	−1.5	717.3	718.8	721.5	96	89	86	NE	0	E	1	E	3	10	10	10	.	
21	−2.2	−1.7	−2.2	−2.0	−2.2	722.9	723.2	724.6	84	78	79	E	3	E	3	NE	1	10	10	10	.	
22	−1.5	−0.4	−1.0	−1.0	−1.1	725.0	725.2	725.6	88	89	98	NW	1	SW	0	NE	0	10	10	10	.	
23	−1.7	−1.6	−1.7	−1.7	−1.7	725.1	724.8	724.7	100	98	100	NW	1	E	1	N	1	10	10	10≡	.	≡ n–n
24	−1.2	−0.7	−2.7	−1.5	−1.5	724.1	723.3	721.9	100	98	100	N	0	SE	0	NE	1	10≡	10	10	.	≡ n–n
25	−3.6	−3.1	−3.7	−3.5	−3.4	719.5	717.8	717.2	100	100	98	E	1	E	0	NE	0	10	10	10	.	V
26	−4.6	−4.0	−4.0	−4.2	−4.0	715.4	714.5	715.9	97	95	95	E	0	SE	0	NE	0	10	10≡	10≡	.	≡ n–n, V
27	−1.7	3.0	−2.6	−0.4	−0.2	715.4	716.3	718.5	98	61	94	E	0	E	1	N	0	10	2	0	.	
28	−5.1	0.0	−3.0	−2.7	−2.4	718.5	718.9	718.8	88	66	87	NE	0	SE	1	NE	1	0	8	6	0.6	V
29	−1.4	−4.7	−10.3	−6.5	−6.2	714.7	714.0	719.9	93	88	87	E	2	E	2	E	1	10*	10	0	0.9	✳° n–a
30	**−14.7**	−7.8	−7.2	−9.9	−9.5	722.2	720.9	720.2	92	86	87	NE	0	SW	1	NW	1	3	1	7	.	
31	−6.8	−1.1	−3.5	−3.8	−3.4	719.3	718.6	720.0	89	70	82	E	0	SW	1	NW	0	10	2	0	.	
Mittel	−0.9	1.2	−0.5	−0.1	—	718.9	718.6	719.1	91	82	89							8.2	8.5	7.0	Summe 66.2	

Dezember 1939.
Beobachter: Frl. *H. Nager.*

Altdorf

$\lambda = 8° 39'$, $\beta = 46° 53'$,
$H_b = 456.3^m$, $G = -0.05^m/_m$.

Tag	Lufttemperatur 7³⁰	13³⁰	21³⁰	Mittel	Abweich. vom Normalst	Luftdruck 7³⁰	13³⁰	21³⁰	Relative Feuchtigkeit 7³⁰	13³⁰	21³⁰	Windrichtung und Stärke 7³⁰	13³⁰	21³⁰	Bewölkung 7³⁰	13³⁰	21³⁰	Niederschlag	Witterung
1	9.3	10.7	3.5	7.8	5.0	732.1	730.7	728.7	95	67	88	NE o	S o	E o	10	2	3	.	
2	1.3	8.7	3.2	4.4	1.7	726.1	724.2	723.9	84	58	86	NE o	NW o	NW o	7	6	4	4.7	
3	5.2	6.7	1.9	4.6	2.0	724.0	723.8	722.8	91	65	90	E o	NE o	NE o	10	8	8	0.4	● I
4	−0.3	3.9	8.5	4.0	1.6	717.5	713.9	710.8	81	33	36	N o	S o-1	S 1	7	10	3	.	
5	7.2	4.2	3.4	4.9	2.6	706.1	707.5	708.5	51	90	95	NWo-1	NW o	NE o	10	10	10	2.4	● II
6	2.6	3.5	1.4	2.5	0.3	709.5	711.0	715.2	89	63	95	NE o	NW 1	NW o	10	10	10	14.4	● I, III, ✳ zeitw.
7	1.8	2.1	1.2	1.7	−0.4	719.2	722.7	725.4	86	59	53	NW 1	N 1-2	NE o	10	10	10	2.2	● I, ✳ zeitw.
8	−3.5	0.2	−1.0	−1.4	−3.4	727.6	726.8	725.4	65	51	79	E o	E o	NE o	10	0	5	2.4	
9	0.5	2.8	1.8	1.7	−0.2	724.1	724.8	726.0	95	93	99	S o	S o	NW o	10	10	10	3.4	⊠
10	1.2	4.2	3.9	3.1	1.3	723.3	721.1	718.7	99	95	97	SW o	SW o	SW o	10	10	10	14.0	● II, III
11	3.8	6.3	3.2	4.4	2.7	717.9	718.0	720.1	98	91	90	NE o	NE o	NW o	10	10	10	2.8	● I, III
12	1.4	2.5	1.3	1.7	0.1	720.8	721.1	721.4	95	77	83	NW o	NW o	NW o	10	10	10	.	
13	0.5	1.1	0.6	0.7	−0.8	720.4	720.2	719.8	85	74	89	NW o	NW o	NW o	10	10	10	0.0	
14	0.3	1.6	0.5	0.8	−0.6	719.8	718.4	718.3	90	70	70	N o	NW o	NW o	10	10	10	.	
15	0.1	1.8	−1.0	0.3	−1.0	717.8	718.3	718.7	70	56	83	NW o	NW o	NE o	10	10	7	.	
16	−1.4	0.9	0.4	0.0	−1.2	717.7	716.0	718.9	88	69	80	S o	NW o	NW o	10	10	10	.	
17	0.6	0.9	0.1	0.5	−0.6	721.4	724.1	725.6	76	68	78	N o	NW o	NE o	10	10	6	.	
18	−0.7	1.7	0.4	0.5	−0.5	725.2	724.3	723.6	90	76	84	NE o	NWo-1	W o-1	10	6	4	.	≡ I
19	3.9	3.8	0.5	2.7	1.8	721.0	720.0	719.5	60	63	85	W o-1	NWo-1	NW o	7	8	10	0.3	
20	0.8	1.2	0.4	0.8	−0.1	720.0	721.5	724.6	89	85	88	NW o	NW o	NW o	10	10	10	0.3	● I, ≡ III
21	−0.4	0.6	−0.7	−0.2	−1.0	726.1	725.9	727.2	86	70	70	NW o	NW o	E o	10	10	8	.	≡ III
22	−3.2	0.8	−1.3	−1.2	−1.9	727.8	727.6	728.7	92	82	89	E o	NW o	NW o	10	10	10	.	
23	−4.0	0.8	−1.9	−1.7	−2.3	727.7	727.7	727.7	99	94	95	NE o	SE o	SE o	10	10	10	.	≡ n-n
24	−4.9	−0.9	−3.0	−2.9	−3.5	727.1	726.3	725.2	95	90	96	SE o	E o	SE o	5	10	10	.	≡ II, III, ⋁ I
25	−2.7	−1.1	−2.9	−2.2	−2.7	722.6	720.6	720.1	94	67	91	E o	SE o	SE o	10	10	10	.	≡ n-n, ⌴ I
26	−4.3	−1.4	−2.4	−2.7	−3.1	717.7	717.5	718.5	94	83	87	SE o	SE o	NE o	10	10	10	2.5	≡ I, II
27	−0.4	1.1	−0.5	0.1	−0.3	717.6	718.9	720.7	94	70	84	NE o	NWo-1	SE o	10	10	10	4.5	✳ I, II ⊠
28	−3.2	0.0	−3.6	−2.3	−2.6	721.2	721.3	721.9	82	59	63	NE o	NW o	NE o	10	10	8	.	⊠
29	−6.2	−3.3	−6.7	−5.4	−5.7	718.2	716.6	722.2	75	68	66	E o	NWo-1	NW o	10	10	10	0.2	✳ zeitw. ⊠
30	−12.7	−6.1	−9.2	−9.3	−9.5	724.7	723.2	722.5	62	44	71	E o	E o	SE o	0	1	4	.	
31	−6.1	−0.4	−3.0	−3.2	−3.4	722.7	721.3	723.0	70	48	70	NW o	SW o	SW o	10	10	10	.	⊠
Mittel	−0.4	1.9	0.0	0.5	—	721.4	721.1	721.7	85	70	82				9.2	8.7	8.4	Summe 54.5	

Dezember 1939.
Beobachter: *Observatorium.*

Genf

$\lambda = 6° 9'$, $\beta = 46° 12'$,
$H_b = 405.0^m$, $G = -0.03^m/_m$.

1	5.4	12.8	5.3	7.8	4.8	737.3	735.7	734.4	97	70	91	W o	NNE o	NNE o	0	0	0	.	
2	0.8	9.0	9.5	6.4	3.5	731.4	729.7	728.8	96	66	80	N o	NE o	NE o	0	9	10	2.1	● $18^1/_4$-n
3	7.6	8.0	3.0	6.2	3.5	729.5	729.2	728.5	64	57	80	NNE 1	NNE 1	SSE o	9	9	0	.	
4	3.5	5.6	7.0	5.4	2.8	724.1	721.1	717.2	82	85	87	SSW 1	NNW 1	W 1	10	10	10	7.2	● n-n zeitw.
5	5.0	5.2	3.0	4.4	1.9	712.2	712.6	713.7	84	81	86	W 2	E 1	NNW 1	10	10	9	14.5	● n-n m.U.
6	2.7	4.0	1.7	2.8	0.4	715.0	716.4	720.0	85	73	83	W 1	N o	W o	10	10	0	0.3	● ✳ $12^3/_4$, n
7	2.1	5.0	2.0	3.0	0.7	725.3	727.8	731.4	87	51	71	W o	NNE 1	NNE 2	10	7	0	.	
8	−4.4	0.6	0.8	−1.0	−3.2	732.0	731.7	730.9	88	71	75	NE 1	NE 1	NE 1	0	0	10	.	
9	2.0	6.2	4.0	4.1	2.0	730.4	730.7	730.5	85	76	87	NE o	NE o	NE o	9	9	9	0.1	●tr. $6^3/_4$, ☽ n
10	4.0	6.2	5.9	5.4	3.4	728.2	725.3	723.4	97	94	97	NE o	NE o	NE o	10	10	10	15.2	● $12^3/_4$-n
11	5.8	6.6	5.8	6.1	4.2	722.6	722.7	723.6	97	95	88	NE o	NE o	NE 1	10	10	10	1.2	● n-n zeitw.
12	2.4	2.5	1.8	2.2	0.4	724.6	725.5	725.8	82	84	82	NNE 2	NNE 1	NNE 1	9	10	10	.	
13	1.2	2.0	0.6	1.3	−0.4	724.8	724.8	724.8	78	77	92	NNE 1	NNE 1	NE o	10	10	10	2.7	✳ 16-n ⊠
14	−0.1	2.0	1.7	1.2	−0.4	724.2	723.1	722.5	98	79	88	NNE o	NE o	NNE 1	10	9	10	.	
15	0.2	2.0	−0.3	0.6	−0.9	722.5	722.6	722.7	87	75	96	NE o	NE o	NE o	9	9	10	3.9	✳ $14^1/_2$-n ⊠
16	0.0	0.4	0.4	0.3	−1.1	721.3	720.8	723.0	89	83	91	NE o	NE o	E o	10	10	10	.	
17	0.6	1.6	1.2	0.9	−0.4	725.9	727.8	729.7	88	82	85	NE o	NE o	NE o	10	10	10	.	
18	0.7	2.3	1.4	1.5	0.3	729.3	728.3	727.9	88	82	91	NE o	NNE o	NE o	10	10	10	.	
19	0.9	2.3	1.3	1.5	0.4	725.3	724.8	723.6	90	89	91	NE o	NE o	E o	10	10	9	.	
20	1.7	2.4	0.4	1.5	0.4	724.6	725.3	727.8	87	93	89	NE o	NE o	NE 2	10	10	10	1.2	● ✳ a
21	−0.6	0.0	0.2	−0.1	−1.1	729.3	730.0	731.9	82	89	78	NNE 2	NNE 2	NE 1	10	10	10	.	
22	0.0	1.0	0.6	0.5	−0.4	732.5	732.6	732.8	93	85	88	NE o	NE 1	NE o	10	10	10	.	
23	−0.4	0.8	0.6	0.3	−0.5	732.2	732.1	731.9	92	85	92	NE o	NE o	ENE o	10	10	10	.	
24	−0.6	1.6	0.0	0.3	−0.5	731.5	730.5	729.2	92	85	91	ENE o	NE o	ENE o	10	10	10	.	
25	−0.8	−0.4	−1.2	−0.8	−1.5	726.7	725.3	724.5	92	89	86	ENE o	NE o	ENE o	10	10	10	.	
26	−2.7	−1.4	−1.0	−1.7	−2.3	722.7	721.6	723.3	92	88	88	ENE o	NE o	NE o	10	10	10	0.1	
27	−1.4	1.4	0.8	0.3	−0.3	723.2	723.7	725.8	96	74	75	NE o	NNE o	NE 1	10	3	0	.	✳ $6^1/_4$-l ⊠
28	−0.8	1.2	−0.1	0.1	−0.4	725.6	726.0	725.8	65	62	63	NE 1	NNE 1	NE o	0	2	5	0.1	⊠
29	−3.6	−2.6	−6.4	−4.2	−4.7	721.9	720.4	726.6	95	92	74	NE o	NNE 1	NE 1	10	10	0	3.7	✳ 6-n m.U. ⊠
30	−10.8	−6.8	−10.0	−9.2	−9.6	729.0	729.0	727.8	86	73	80	NE 1	NNE o	NE o	10	2	9	.	⊠
31	−10.0	−2.6	−9.0	−7.2	−7.6	727.1	726.0	727.8	85	57	81	ENE o	NNE 1	NE o	6	0	0	.	⊠
Mittel	0.3	2.6	1.0	1.3	—	726.2	725.9	726.4	88	79	85				8.5	8.0	7.5	Summe 52.3	

$\lambda = 8^{\circ}\,33'$, $\beta = 47^{\circ}\,23'$.
$Hb = 493.2$ m, $G = 0.03$ ‰.

Zürich

Dezember 1939.
Beobachter: *Meteorol. Zentralanstalt.*

Tag	Lufttemperatur					Luftdruck			Relative Feuchtigkeit			Windrichtung und Stärke			Bewölkung			Niederschlag	Witterung
	7h30	13h30	21h30	Mittel	Abweich. vom Normalst.	7h30	13h30	21h30	7h30	13h30	21h30	7h30	13h30	21h30	7h30	13h30	21h30		
1	10.3	13.6	6.8	10.2	8.8	727.8	726.5	724.6	61	52	86	WSW 2	W 1	SSE 0	7	1	0	.	
2	3.0	10.8	8.0	7.3	6.0	722.0	720.6	720.7	100	45	99	ESE 0	NW 1	SW 1	4	5	10●	7.6	● 19½-n
3	5.1	7.3	2.3	4.9	3.7	720.5	720.3	719.0	71	56	91	NW 2	WNW 1	NW 1	8	9	3	.	● n-3½ [22½-23¾
4	3.2	4.0	4.2	3.8	2.7	713.6	711.4	708.3	65	82	96	SSE 1	SSW 0	SE 1	9	10	10	7.9	△° 8, ● 8¾-10, 15½-17¼,
5	3.8	3.1	2.6	3.2	2.2	704.1	704.0	705.0	92	96	96	WSW 3	ENE 0	SSE 0	10●	10	8	12.1	● 0¾-10½, ● ✳ 10½-12½, *)
6	2.4	3.3	1.3	2.3	1.4	706.3	707.7	711.3	94	78	100	WSW 1	WNW 1	NW 1	10●	10	10●	13.7	●° 7¼-8½, ● ✳ 15½-21¾,
7	0.8	1.4	0.2	0.8	0.0	716.4	719.5	723.6	100	73	78	NW 1	NNW 2	SSE 1	10	9	10	0.0	✳ n-7 [✳ 21¾-n
8	-3.1	0.3	-0.3	-1.0	-1.8	723.8	722.9	721.6	89	70	72	SE 1	NW 2	SSE 2	0	6	10	4.6	
9	1.5	4.0	3.9	3.1	2.4	720.4	721.1	722.1	98	96	100	ESE 1	WNW 1	S 1	10	10●	10	1.6	✳ 1-4¼, ●° 4¾-17½ stw.
10	2.2	4.1	3.9	3.4	2.8	719.8	717.4	715.1	100	93	100	SSE 1	SE 1	SE 1	10	10●	10●	13.3	●° 13½-14¾, ● 15¾-24
11	4.7	2.3	-0.5	2.2	1.7	714.3	715.1	717.5	100	96	89	NE 1	NNE 2	NNE 2	10●	10●	10*	2.4	● 2¼-10¼, ●° 12¾-20½ stw.
12	-0.8	-0.6	-1.7	-1.0	-1.4	717.8	718.3	718.7	89	87	88	NE 2	NE 2	NE 2	10	10	10	0.0	
13	-2.2	-1.4	-2.4	-2.0	-2.3	717.7	717.1	716.7	86	73	93	NNE 1	ENE 1	NE 1	10	10	10●	0.3	✳° 16-19 m.U.
14	-1.2	-0.1	-0.5	-0.6	-0.9	716.5	715.7	715.2	89	74	78	NE 0	NNE 0	NNE 2	10	10	10	.	
15	-0.8	-0.1	-1.7	-0.9	-1.1	714.7	715.0	715.4	78	75	75	NE 1	NE 1	NE 1	10	10	9	.	
16	-2.8	-0.6	-2.6	-2.0	-2.1	714.6	713.0	715.8	82	68	85	NE 2	NE 3	NE 1	10	4	10	0.3	✳° 20½-21¾
17	-1.8	-1.2	-1.6	-1.5	-1.5	718.2	720.5	722.6	86	83	89	NE 1	N 0	NE 1	10	10	10	.	
18	-1.6	-1.9	-2.7	-2.1	-2.1	722.0	721.2	720.9	93	89	91	NE 1	NNE 1	NE 0	10	10	10	.	
19	-3.2	-1.7	-2.6	-2.5	-2.4	718.7	717.3	716.5	95	89	93	NNE 1	NW 1	ENE 1	10	10	10	.	
20	-2.7	-1.9	-3.5	-2.7	-2.5	716.7	718.5	722.2	96	88	85	NNE 0	N 1	NE 1	10	10	10	.	
21	-2.5	-1.8	-2.2	-2.2	-2.0	723.1	722.9	723.6	76	70	73	ENE 2	ESE 1	NE 1	10	10	10	.	
22	-2.6	0.5	-2.1	-1.4	-1.1	724.1	724.0	724.8	88	72	97	WSW 0	WNW 1	NW 1	9	1	10≡	.	≡ n (22./23.)
23	-2.9	-2.0	-2.3	-2.4	-2.0	724.3	723.9	723.9	100	97	100	NW 1	NW 0	NW 1	10≡	10≡	10≡	.	≡ n-n
24	-2.6	-1.1	-3.8	-2.5	-2.1	723.7	722.8	721.6	99	84	96	NW 0	NW 0	ESE 1	10	10	10	.	V l
25	-5.0	-4.5	-4.7	-4.7	-4.2	719.1	717.1	716.3	97	91	94	N 0	N 0	N 0	10	10	10	.	V l
26	-4.7	-3.3	-2.2	-3.4	-2.8	714.6	713.9	714.3	98	83	88	N 1	N 1	ENE 0	10	10	10	0.3	✳° 22¾-24
27	-0.2	-0.6	-3.2	-1.3	-0.7	714.8	715.9	717.8	90	86	91	NE 1	NNE 1	NNE 0	10	10*	5	2.4	✳° a, ✳ 12¾-15½
28	-4.2	-2.0	-5.4	-3.9	-3.2	717.7	718.1	718.3	97	75	86	NE 0	NNE 1	NNE 1	9	6	8	0.1	✳ 12-12½
29	-7.5	-9.1	-11.8	-9.5	-8.8	715.3	714.3	719.6	89	76	80	NNE 2	NW 1	NNE 1	9	10*	10	0.0	✳fl. p m.U.
30	-11.8	-5.3	-8.0	-8.4	-7.6	721.0	719.6	718.9	81	55	77	NNE 1	SSW 1	S 1	7	1	9	.	✳fl. a
31	-5.4	-1.4	-1.8	-2.9	-2.1	718.0	717.8	719.0	70	50	61	SSE 1	SSE 1	N 1	10	10	10	.	
																		Summe	
Mittel	-1.0	0.4	-1.1	-0.6	—	718.1	717.8	718.4	89	78	88				9.1	8.5	9.1	66.6	*) 5. 23½-24½

$\lambda = 8^{\circ}\,30'$, $\beta = 47^{\circ}\,3'$.
$Hb = 1787.3$ m, $G = -0.20$ ‰.

Rigi-Kulm

Dezember 1939.
Beobachter: *Jakob Wiget*

1	2.2	7.5	6.0	5.2	7.3	621.9	621.4	620.7	46	26	20	WSW 3	SW 4	W 3	3	1	0	.	
2	5.0	4.0	0.6	3.2	5.4	617.6	616.2	615.2	35	40	100	SW 2	SW 4	W 3	2	3	10≡	23.2	≡ III
3	-3.0	-5.0	-6.6	-4.9	-2.6	613.5	612.9	612.7	100	100	100	E 2	W 2	W 3	10≡*	10	10≡	0.7	✳ n, I, ≡ I, III
4	-3.2	-2.1	-2.6	-2.6	-0.2	608.0	606.6	604.4	100	89	100	WSW 3	W 3	W 4	8	10*	10	5.0	✳ II
5	-3.8	-5.0	-6.2	-5.0	-2.5	599.9	599.1	599.5	100	100	100	WSW 2	W 5	W 3	10	10≡*	10	7.0	✳ 9-18, ≡ II
6	-6.8	-7.2	-7.2	-7.1	-4.5	600.2	601.2	603.7	100	100	100	SW 2	SW 1	SW 1	10≡*	10≡*	10≡*	45.8	✳ ≡ 6½-n
7	-7.8	-8.2	-10.5	-8.8	-6.1	608.2	611.1	613.7	100	100	95	NW 1	SE 1	E 0	10*	10≡*	10≡	9.4	✳ n-17½, ≡ II, III
8	-12.0	-8.1	-3.4	-7.8	-5.0	613.8	614.3	614.7	94	94	100	SW 0	SW 1	W 3	0	0	8	13.0	
9	-1.8	-1.8	-2.1	-1.9	1.0	613.2	613.9	615.2	100	100	100	W 4	W 5	W 4	10≡	10≡*	10≡	7.8	✳ n, II, ≡ n-n
10	-3.0	1.2	0.3	-0.5	2.5	613.4	611.3	610.2	100	100	100	W 3	SW 2	SW 2	10	10≡●	10≡●*	22.6	● ✳ ≡ zeitw.
11	-2.0	-0.2	-2.8	-1.7	1.4	608.6	608.8	609.0	100	100	100	SW 2	SW 0	SW 0	10*	10≡	10≡	3.6	✳ n (11./12.), ≡ II, III
12	-5.8	-4.0	-6.4	-5.4	-2.3	609.2	609.6	609.5	100	100	100	NE 0	W 0	W 0	8	7	3	.	
13	-6.8	-3.0	-6.0	-5.3	-2.1	608.3	608.3	607.9	100	95	97	SE 2	WSW 1	W 1	3	10	10	.	
14	-8.0	-6.4	-9.0	-7.8	-4.5	608.1	607.2	607.0	100	100	100	WNW 1	E 0	E 0	0	10≡	10≡	.	≡ 11½-n
15	-8.4	-6.0	-6.4	-6.9	-3.5	606.3	606.5	606.6	100	95	84	SE 0	SW 1	SE 3	3	3	4	.	
16	-5.4	-2.8	-3.5	-3.9	-0.5	606.5	605.8	606.8	75	69	60	SSE 4	SE 4	SE 4	10	7	8	.	
17	-5.2	-2.5	-4.2	-4.0	-0.5	609.6	612.1	613.9	76	75	76	WSW 1	SW 1	SW 1	0	0	0	.	
18	-2.6	0.4	0.4	-0.6	3.0	614.0	613.9	613.4	60	58	64	S 2	S 1	S 2	5	7	5	.	
19	0.2	2.7	1.2	1.4	5.0	612.2	611.6	610.7	62	55	65	S 3	SE 3	S 3	4	7	8	.	
20	-0.4	-3.4	-5.2	-3.0	0.7	609.7	610.4	611.2	96	100	84	ENE 1	W 0	NE 1	8	4	2	.	
21	-6.0	-1.8	-1.0	-2.9	0.8	612.5	613.2	614.4	86	29	30	NE 3	SE 3	SE 2	0	0	0	.	
22	-2.8	-2.0	-3.2	-2.7	1.1	616.2	616.3	616.4	92	100	100	ENE 1	E 1	E 2	0	0	5	.	
23	-2.8	-0.4	-2.4	-1.9	1.9	616.0	616.0	615.8	46	34	39	SW 1	SW 0	W 0	0	0	0	.	
24	-2.5	-0.6	-2.4	-1.8	2.0	615.5	614.9	614.3	51	54	57	W 2	W 0	SE 0	3	0	0	.	
25	-0.7	0.5	-2.5	-0.9	3.0	611.4	610.0	609.4	41	47	45	NE 0	SE 2	E 0	0	0	0	.	
26	-2.2	-2.7	-5.6	-3.5	0.4	607.7	606.6	607.2	29	35	43	W 1	W 1	W 2	0	0	10≡	10.9	≡ 19-n
27	-7.0	-8.7	-11.0	-8.9	-5.0	606.9	607.1	607.9	100	100	93	W 1	W 2	NW 1	10≡*	10≡*	10≡*	8.4	✳ n-17, 17-n ztw., ≡ n-n
28	-12.8	-10.8	-12.4	-12.0	-8.0	608.0	608.6	608.4	89	90	90	W 1	WSW 1	WSW 1	5	3	10≡	.	≡ III
29	-13.4	-14.0	-17.8	-15.1	-11.1	605.1	603.7	605.3	90	90	68	SE 1	SE 2	NE 2	5	10	3	.	
30	-16.4	-10.4	-10.8	-12.5	-8.5	608.6	608.9	608.4	25	19	20	E 1	E 1	W 3	0	0	3	.	
31	-10.2	-8.5	-8.2	-9.0	-4.9	608.2	609.5	609.6	20	44	50	W 2	W 3	W 3	9	8	10	.	
																		Summe	
Mittel	-5.0	-3.5	-4.9	-4.5	—	610.3	610.2	610.4	78	75	77				5.0	5.5	6.4	157.4	

Dezember 1939.
Beobachter: *P. Nogler.*

Bevers

$\lambda = 9° 53'$, $\beta = 46° 33'$.
H_b = ca. 1710m, $G = -0.23$ m/m.

Tag	Lufttemperatur					Luftdruck			Relative Feuchtigkeit			Windrichtung und Stärke			Bewölkung			Niederschlag	Witterung
	7³⁰	13³⁰	21³⁰	Mittel	Abweich. vom Normalst.	7³⁰	13³⁰	21³⁰	7³⁰	13³⁰	21³⁰	7³⁰	13³⁰	21³⁰	7³⁰	13³⁰	21³⁰		
1	-1.2	5.8	-2.7	0.6	7.0	628.0	626.8	626.5	97	47	75	W 1	NNW 1	W 1	10	1	0	.	
2	-5.2	2.8	-1.8	-1.4	5.2	624.8	622.3	619.7	85	54	78	W 1	NW 1	NW 1	10	1	0	0.0	
3	-0.2	1.3	-5.4	-1.4	5.3	618.4	618.2	619.2	100	51	63	NNW 1	NW 2-3	NW 1	10*	6	0	0.2	✳° l
4	-10.2	-0.2	-4.2	-4.9	2.0	616.9	613.9	612.5	87	56	84	W 1	WNW 1	W 1	8	5	6	1.8	
5	-3.0	-1.0	-3.9	-2.6	4.4	607.5	606.6	605.4	100	96	100	SW 0	SW 1	SW 1	10*	10*	10*	**18.6**	✳ n-n
6	-4.3	-3.2	-5.9	-4.5	2.7	605.2	606.3	608.4	91	87	90	NNW 0	NW 0	NW 0	10	10	10	1.8	✳ n-n zeitw.
7	-5.1	-4.5	-8.0	-5.9	1.4	611.4	614.3	618.3	70	56	62	N 1	NE 2	N 1	10	10*	3	1.1	✳° ll
8	-21.1	-10.2	-15.1	-15.5	-8.1	618.9	620.0	620.4	84	64	81	N 1	NW 1-2	N 1	0	0	0	.	
9	-8.0	1.1	-3.8	-3.6	4.0	619.3	618.5	620.8	94	63	90	NW 1	W 1	NW 1	10	10*	0	0.8	✳° ll
10	-12.8	-3.6	-2.8	-6.4	1.3	620.1	618.7	616.9	93	70	100	W 0-1	NE 2	NE 1	0	10*	10*	7.8	✳ p-n
11	-2.5	-1.0	-3.8	-2.4	5.4	614.9	614.5	616.1	99	81	90	W 1	NW 1	N 1	10	10	8	0.6	
12	-11.2	-6.1	-10.4	-9.2	-1.2	616.2	615.8	616.5	100	75	88	W 1	WSW 1	SW 0-1	10	5	0	.	
13	-14.7	-4.8	-5.9	-8.5	-0.4	617.1	614.9	615.6	87	70	94	W 1	W 1	SW 1	0	3	10*	0.9	✳° 17-n m.U.
14	-10.2	-6.9	-17.8	-11.6	-3.4	615.3	615.0	613.4	90	69	85	SW 1	SW 1	W 1	10	2	0	.	
15	-15.4	-5.1	-9.2	-9.9	-1.6	613.5	614.0	615.4	83	46	88	SW 1	W 1	W 1	0	10*	0	1.2	✳° p zeitw.
16	-11.2	-3.9	-4.2	-6.4	2.1	615.4	615.0	614.5	87	75	98	W 1	NW 1-2	SW 1	10	9	10*	0.9	✳ lll
17	-7.0	-2.5	-5.1	-4.9	3.7	618.8	619.3	621.6	92	71	93	W 1	WSW 1	NW 1	10*	9	9	2.8	✳° n-n zeitw.
18	-12.6	-5.0	-9.7	-9.1	-0.4	623.0	622.6	623.5	92	76	90	WNW 1	N 1	NW 1	10	6	7	.	
19	-9.1	-2.4	-4.9	-5.5	3.3	623.8	619.7	618.3	92	66	94	W 1	W 1	W 1	4	10	7	.	
20	-4.1	-0.5	-4.3	-3.0	5.9	615.9	615.3	617.9	100	85	90	W 1	W 1	W 1	10	10*	1	4.1	✳ a, p
21	-9.4	-8.8	-16.1	-11.4	-2.4	619.8	620.9	622.7	100	71	85	NW 2	W 1	W 1	10	1	0	.	
22	-17.1	-8.1	-16.4	-13.9	-4.8	623.5	622.8	624.1	85	66	81	WSW 1	SW 1	SW 1	0	0	0	.	
23	-17.5	-9.4	-15.4	-14.1	-5.0	623.6	623.2	623.4	84	67	81	W 1	SW 0	W 0-1	0	1	0	.	
24	-14.8	-6.6	-14.4	-11.9	-2.7	622.7	621.5	621.1	84	67	88	SW 1	WSW 0	SW 0-1	0	0	0	.	
25	-16.8	-7.8	-15.5	-13.4	-4.1	619.6	617.7	616.8	85	65	77	W 1	W 0-1	W 1	0	0	0	.	
26	-17.7	-7.3	-9.0	-11.3	-2.0	614.5	612.3	612.6	82	59	81	W 0-1	SW 0	SW 0	0	0	9	.	
27	-4.8	-4.4	-11.2	-6.8	2.6	610.8	611.2	613.9	79	50	60	W 1	NW 2	SW 2-3	10*	10	8	0.0	✳ l, ⊹ ll
28	-15.0	-8.4	-15.7	-13.0	-3.6	614.7	614.2	614.5	76	50	73	W 1	SW 1-2	W 1	6	7	6	.	
29	-23.1	-14.0	-17.1	-18.1	-8.6	612.7	610.5	611.5	80	64	86	W 0	W 1-2	SW 0	10	10	10	.	
30	-28.1	-17.7	-22.3	-22.7	-13.2	615.9	615.0	615.2	81	61	71	W 1	WSW 0-1	SW 0-1	0	0	0	.	
31	-21.8	-7.8	-13.1	-14.2	-4.6	915.6	615.0	616.0	75	**40**	65	W 1	SW 1	SW 0-1	6	5	0	.	
Mittel	-11.5	-4.8	-9.5	-8.6	—	617.4	616.6	617.2	88	65	83				6.3	5.5	4.0	Summe 42.6	

Dezember 1939.
Beobachter: *Kapuzinerkloster.*

Sitten

$\lambda = 7° 21'$, $\beta = 46° 14'$,
$H_b = 548.6$m, $G = -0.11$ m/m.

1	7.9	10.1	4.8	7.6	5.8	725.2	723.4	722.4	85	64	89	NNE 1	NE 1	NE 0	10	1	0	.	
2	2.1	9.7	5.0	5.6	4.0	720.0	716.6	721.0	78	51	70	NNE 0	NE 0	NW 0	1	3	0	2.5	⌙ l
3	5.7	7.9	2.6	5.4	3.9	715.4	714.9	715.8	80	56	70	NW 2	SSW 3	N 0	10	3	0	.	
4	-1.0	1.4	0.7	0.4	-1.0	712.6	710.4	707.0	89	95	99	NNE 1	NNE 0	NNE 0	6	10*	10*	**9.6**	✳ 10-n
5	0.8	2.9	1.4	1.7	0.5	701.6	700.7	701.2	100	89	98	NNE 0	NNW 0	NW 0	10●	10	10	3.7	● l
6	0.5	3.8	1.4	1.9	0.8	702.8	703.3	706.7	97	79	82	NNW 0	NNW 1	W 2	10	6	10	0.1	
7	2.5	3.8	-0.1	2.0	1.0	710.5	713.3	717.6	78	67	68	W 2	SSW 3	W 1	10	4	0	.	
8	-4.2	-0.6	-0.9	-1.9	-2.8	719.9	718.7	718.1	68	55	66	NE 1	NE 1	NE 1	0	0	10	0.1	⌙ l
9	-0.4	3.2	0.5	1.1	0.4	717.9	717.2	718.3	93	75	95	NE 0	NE 0	NE 0	10	8	1	0.0	
10	0.4	4.2	2.8	2.5	1.9	716.4	713.8	711.7	95	77	100	NNE 0	NE 1	NE 0	10	10	10≡	8.6	● ✳ a, ⌙ l, ≡ lll
11	3.4	5.1	4.0	4.2	3.7	709.9	709.9	710.7	100	94	100	NE 0	NE 0	NE 0	10●	10	10	3.2	⌙ l, ll
12	2.8	3.2	1.9	2.6	2.2	711.4	711.9	712.6	93	84	88	NW 2	NNW 1	NW 0	10	10	10	0.1	
13	1.5	2.9	1.1	1.8	1.5	711.8	711.2	711.5	87	79	85	NW 0	WNW 1	NW 1	10≡	10	10	0.0	≡ l
14	0.4	3.5	0.0	1.3	1.1	711.2	709.8	709.8	93	65	84	W 1	W 2	W 0	10	8	2	0.0	
15	-2.6	1.0	0.0	-0.5	-0.6	710.3	710.1	710.1	85	67	75	N 0	N 0	N 0	7	8	8	.	⌙ l
16	1.2	6.3	0.0	2.5	2.5	709.3	707.1	709.6	61	**45**	83	NW 1	NNE 0	SSW 1	10	9	9	.	
17	-2.0	2.4	-0.9	-0.2	-0.1	713.5	714.3	716.6	94	71	86	SSW 0	SSW 0	SSW 0	1	1	1	.	⌙ l
18	0.5	6.5	5.0	4.0	4.1	717.5	716.0	716.4	67	47	50	SSW 0	ENE 0	E 3	2	6	1	.	⌙° l
19	4.6	9.0	6.0	6.5	6.7	714.2	712.2	710.8	55	52	58	NE 0	NE 0	ENE 1	2	10	3	.	
20	1.1	2.4	2.1	1.9	2.2	711.3	712.3	714.1	94	88	90	NE 0	ENE 0	NW 0	10	10	10	.	
21	0.4	4.5	1.0	2.0	2.3	716.1	716.4	718.8	92	67	85	WSW 1	WSW 1	WSW 0	10	8	10	.	≡ a
22	-2.1	2.4	-0.4	0.0	0.4	719.7	719.1	720.3	86	60	77	WSW 0	WSW 0	WSW 0	0	0	9	.	⌙ l
23	-2.9	3.1	0.1	0.1	0.6	720.0	718.7	719.3	79	51	64	WSW 0	WSW 0	NW 1	0	0	5	.	⌙ l
24	-2.1	2.9	-0.8	0.0	0.5	719.2	717.3	716.5	70	47	66	N 0	N 1	N 1	1	0	0	.	⌙ l
25	-2.5	2.8	-2.2	-0.6	0.0	714.4	711.6	711.9	70	58	85	N 0	NE 1	NE 0	0	1	2	.	
26	-3.8	2.2	-1.7	-1.1	-0.5	710.1	708.2	710.1	72	47	95	N 0	NNE 0	NE 0	0	0	3	.	⌙ l, Ψ abds.
27	-1.8	4.2	1.0	1.1	1.8	709.8	709.0	711.1	91	63	61	W 1	WSW 3	NW 2	10	3	5	0.0	△ a
28	-3.1	0.4	-3.2	-2.0	-1.3	711.9	712.3	713.0	73	53	61	N 0	E 0	N 2	1	2	2	.	Ψ a
29	-4.8	-2.8	-5.4	-4.3	-3.6	709.5	707.7	711.1	71	90	86	N 0	NNE 0	N 0	10	10*	1	1.4	✳° seit 8
30	-10.2	-6.2	-7.2	-7.9	-7.1	711.7	715.4	715.3	71	63	72	N 0	N 0	N 0	0	0	0	.	
31	6.7	-2.3	-5.9	-5.0	-4.2	714.2	713.4	715.2	78	49	66	N 0	N 0	N 0	10	0	0	.	
Mittel	-0.5	3.2	0.4	1.0	—	713.5	712.8	713.7	82	66	79				6.2	5.2	4.9	Summe 29.3	

$\lambda = 8° 57'$, $\beta = 46° 0'$,
$Hb = 276.2^m$, $G = -0.01\ ^m/_m$.

Lugano

Dezember 1939.
Beobachter: *G. Vicari.*

Tag	Lufttemperatur					Luftdruck			Relative Feuchtigkeit			Windrichtung und Stärke			Bewölkung			Niederschlag	Witterung
	7^{30}	13^{30}	21^{30}	Mittel	Abweich. vom Normalst.	7^{30}	13^{30}	21^{30}	7^{30}	13^{30}	21^{30}	7^{30}	13^{30}	21^{30}	7^{30}	13^{30}	21^{30}		
1	3.2	10.8	4.6	6.2	2.2	743.9	742.3	742.3	92	54	85	N 1	E 1	N 1	2	0	0	.	
2	1.4	6.8	4.4	4.2	0.3	741.2	739.9	738.7	91	97	99	N 1	S 0	E 0	7	3≡	10≡	.	≡ II, III
3	6.6	8.8	2.4	5.9	2.1	736.5	736.2	736.9	91	72	94	NNE 0	S 1	N 1	10≡	9	0	.	≡ I
4	−0.4	6.8	3.6	3.3	−0.3	736.8	734.3	731.0	82	58	85	NNW 1	S 1	NE 1	7	5	10	1.3	
5	4.4	4.0	3.2	3.9	0.4	727.0	724.9	723.4	93	91	99	NE 1	NW 0	NW 1	10●	10●	10●	10.5	● n–n m.U.
6	3.6	9.2	6.8	6.5	3.1	721.1	721.9	724.9	91	28	33	N 1	NNE 2	NNE 1	10	10	0	.	
7	6.6	9.8	6.4	7.6	4.3	728.9	731.3	737.3	34	27	25	N 1	NNE 2	NNE 2	10	7	0	.	
8	1.6	8.8	0.8	3.7	0.5	738.0	738.6	740.3	34	39	63	N 1	S 1	N 1	0	0	3	.	
9	−0.4	6.2	0.8	2.2	−1.0	740.1	740.1	739.9	64	52	71	NNW 1	S 1	N 1	7	2	0	.	
10	−0.4	5.2	4.0	2.9	−0.2	739.0	737.7	736.9	83	63	75	N 1	N 1	N 1	9	10	10	1.8	
11	2.2	2.4	2.0	2.2	−0.8	736.4	736.0	735.6	93	92	98	WNW 0	SW 0	N 0	10●	10	10	3.4	● n–$7^1/_2$, ● ✳ $7^1/_2$–13
12	2.6	4.0	3.2	3.3	0.4	735.9	736.0	737.4	94	83	90	N 0	S 0	NE 1	10	10	10	.	
13	2.6	1.6	1.0	1.7	−1.2	737.3	737.7	737.6	75	98	99	NNW 1	N 1	NNW 0	10	10	10●≡	11.2	● ✳ 8–n, ≡ p–n
14	1.8	4.8	2.6	3.1	0.3	736.9	735.4	734.5	93	64	90	NNE 1	NW 1	N 1	10	10	10●	2.7	
15	2.2	4.2	2.8	3.1	0.4	734.8	735.7	737.1	98	71	96	NNW 0	NNE 1	NW 1	10●	10	10●	5.4	●° n–$10^1/_2$ m.U., ● ✳ 18–n
16	2.2	3.2	1.0	2.1	−0.5	736.3	734.5	735.5	98	88	99	NW 0	NE 0	NW 0	10●	10●	10●	16.6	● n–n, ✳ p
17	1.6	2.8	2.2	2.2	−0.4	739.2	741.3	743.9	98	93	99	NNW 0	SW 0	N 0	10●	10●	10	4.2	●° n–15 m.U.
18	2.6	6.8	3.2	4.2	1.7	744.1	744.3	744.2	91	66	89	N 1	E 0	N 1	10	9	10	.	
19	4.2	5.8	4.6	4.9	2.5	742.2	740.6	738.2	83	92	99	N 1	W 1	W 0	10	10●	10●	25.1	● $10^1/_2$–n m.U.
20	4.6	8.2	3.2	5.3	2.9	735.6	734.1	734.2	98	65	94	W 1	S 1	N 1	10●	8	4	1.6	● n–10
21	0.8	5.2	3.2	3.1	0.8	738.4	742.6	745.8	88	73	68	N 1	WSW 1	N 1	0	10	10	.	
22	0.8	4.2	−1.2	1.3	−0.9	745.6	744.5	745.2	64	44	82	N 1	S 1	N 1	8	0	0	.	
23	−2.0	2.6	−1.0	−0.1	−2.3	745.7	745.5	746.0	83	61	84	N 1	SE 0	NE 1	0	0	0	.	
24	−1.2	3.8	−1.8	0.3	−1.8	744.7	742.3	742.1	76	53	85	N 1	ESE 0	N 1	0	0	0	.	
25	−2.4	3.0	−1.4	−0.3	−2.3	740.4	737.7	735.9	88	62	83	NNW 1	S 1	N 1	0	0	0	.	
26	−2.2	4.6	−0.4	0.7	−1.3	732.5	729.7	728.8	77	46	77	N 1	S 0	N 1	0	0	0	.	
27	6.4	10.8	2.0	6.4	4.5	727.4	727.8	733.8	34	25	33	NNE 2	NNE 2	W 1	2	0	0	0.3	● ✳ n (27./28.)
28	0.8	1.6	−0.8	0.5	−1.3	737.3	737.8	738.4	73	45	49	N 1	NNW 1	W 1	10	3	10	.	
29	−2.4	−3.8	−5.0	−3.7	−5.5	737.1	735.2	735.7	46	58	73	S 1	S 1	N 1	10	10	7	.	✳° p
30	−8.0	−1.8	−6.2	−5.3	−7.0	737.2	737.4	739.0	83	53	68	N 1	S 1	NE 1	0	0	0	.	
31	−7.2	0.2	−5.2	−4.1	−5.8	737.3	736.8	738.3	65	48	68	N 0	S 1	NE 1	0	0	0	.	
Mittel	1.2	4.8	1.4	2.5	—	737.2	736.8	737.4	79	63	79				6.5	5.7	5.3	Summe 84.1	

Basel

$\lambda = 7° 35'$, $\beta = 47° 33'$,
$Hb = 318^m$, $G = 0.11\ ^m/_m$.

Dezember 1939.
Beobachter: *Astronom.-Meteorol. Anstalt.*

1	11.2	13.1	3.2	9.2	7.2	743.8	742.4	740.7	68	56	97	W 1	W 1	NW 0	10	1	0	.	
2	2.3	12.8	8.4	7.8	5.9	737.0	736.6	735.8	96	49	89	ESE 1	WNW 1	SW 1	2	9	9	0.8	●$16^1/_2$–17, 22, ⌴ I
3	5.5	5.6	0.8	4.0	2.3	736.5	736.5	735.1	83	82	96	WSW 1	WSW 1	NNE 1	9	9	1	0.6	●° $1^3/_2$, ● $5^1/_2$
4	5.3	7.1	7.2	6.5	4.9	728.4	726.0	722.5	76	77	72	SSW 1	SSW 1	S 1	10●	10	10	3.4	● 7–$7^3/_4$, $12^1/_4$–$12^3/_4$, $18^1/_4$–$18^3/_4$
5	3.4	4.0	2.5	3.3	1.8	718.9	719.8	720.6	93	87	94	ESE 1	ESE 1	ESE 1	10	10●	10	2.9	● 0–14 m.U.
6	1.6	4.2	1.3	2.4	1.0	722.1	723.9	727.9	93	79	96	E 1	W 1	WSW 1	10	10	10●	5.8	● 16–$18^3/_4$, $20^1/_4$–n
7	2.4	3.1	0.2	1.9	0.6	733.4	736.4	739.9	75	61	85	NW 1	NNW 1	SSW 1	10	5	10	.	● n–2
8	−3.4	3.0	0.2	−0.1	−1.3	739.5	738.4	737.8	95	61	76	ESE 1	ENE 1	ESE 1	0	4	10	3.0	● $23^1/_4$–n, ⌴ I
9	0.5	2.8	3.9	2.4	1.3	735.9	737.0	737.7	98	94	95	E 1	E 1	ESE 1	10	10	3	0.7	● n–$4^1/_4$ m.U.
10	3.3	5.5	5.0	4.6	3.6	734.6	731.7	730.1	95	88	95	ESE 1	E 2	E 1	10●	10●	10●	16.9	● 7–24 m.U.
11	6.4	3.1	0.8	3.4	2.4	729.8	731.0	733.5	96	98	95	ESE 1	NW 1	NW 1	10●	10	10	5.6	● 0–22 m.U., ≡ $9^1/_2$–15
12	0.1	0.6	−0.3	0.1	−0.8	733.9	734.5	735.0	80	78	76	E 1	E 1	E 1	10	10	10	.	
13	−1.0	−0.1	−0.9	−0.7	−1.5	734.1	733.5	732.9	74	71	82	NE 1	E 1	E 1	10	10	10	.	✳°fl. 16
14	−0.8	0.9	−2.7	−0.9	−1.6	732.7	731.8	731.6	91	74	94	SE 0	WNW 1	NNE 0	10	10	10	.	
15	−1.0	0.8	0.0	−0.1	−0.7	731.1	730.8	731.3	95	72	76	S 0	ENE 1	ENE 1	10	10	10	.	⌴° I
16	−0.8	−1.0	−0.6	−0.8	−1.4	731.0	729.7	731.8	76	90	71	ENE 1	WNW 1	ESE 1	10	10	10	.	
17	−1.1	0.3	−0.6	−0.5	−1.0	733.9	736.1	738.3	78	77	86	ENE 1	ENE 1	NE 1	10	10	10	.	
18	−1.7	0.2	−1.4	−1.0	−1.4	737.7	736.9	736.4	90	79	85	NNE 1	ENE 1	ENE 0	10	7	10	.	
19	−2.8	−0.3	−2.4	−1.8	−2.1	734.2	733.6	732.6	92	82	97	NE 1	SSE 1	WNW 1	5	10	10	.	⌴° I
20	−3.0	−3.2	−2.8	−3.0	−3.2	733.2	735.2	738.3	97	97	94	WNW 1	WNW 1	N 1	10	10	10	.	≡ $8^1/_2$–14, ⋁ I
21	−1.1	−0.7	−2.9	−1.6	−1.8	739.2	738.9	739.2	71	67	71	ENE 1	E 2	ENE 1	10	6	0	.	
22	−3.7	3.9	−1.6	−0.8	−0.9	739.5	739.4	740.0	89	73	95	E 1	ESE 1	ESE 1	0	1	0	.	⌴ I
23	−3.5	1.1	−2.8	−1.7	−1.7	739.7	739.3	739.3	96	81	96	ESE 1	ENE 1	ESE 1	4	0	4	.	⌴² I
24	−3.8	1.0	−3.6	−2.1	−2.0	739.1	738.3	737.1	95	77	95	E 1	ESE 1	E 1	0	0	1	.	⌴² I
25	−5.1	−0.8	−4.5	−3.5	−3.4	735.0	732.9	732.0	96	86	91	SE 1	ESE 1	ENE 1	4	10	1	.	⌴² I
26	−5.8	−2.5	−2.3	−3.5	−3.3	730.7	730.5	730.5	95	83	87	S 1	WSW 1	E 1	10	0	10	0.9	⌴² I
27	−1.0	−0.4	−3.2	−1.5	−1.2	731.5	732.5	734.2	95	95	95	SSW 0	NW 1	SW 1	10*	10	10	.	✳ $2^1/_4$–$12^1/_4$
28	−5.0	−1.4	−4.0	−3.5	−3.2	734.0	734.6	734.5	95	85	95	E 1	N 1	NNE 1	1	10	10	0.5	✳fl. $9^1/_2$–10, ✳ $19^3/_4$–21
29	−5.4	−9.6	−10.8	−8.6	−8.2	731.2	731.5	736.5	82	94	91	E 1	NW 1	WNW 1	10	10	10	.	≡ 14–17
30	−15.0	−6.2	−9.4	−10.2	−9.8	737.1	735.9	735.1	81	57	81	E 1	ESE 1	SE 1	0	1	10	.	⌴²
31	−7.7	−0.9	−2.0	−3.5	−3.0	733.9	733.7	735.2	77	53	57	SE 1	SE 1	SSW 1	10	9	10	.	
Mittel	−1.0	1.4	−0.8	−0.1	—	733.9	733.8	734.3	88	77	87				7.6	7.5	7.7	Summe 41.1	

Dezember 1939.
Beobachter: *Observatorium.*

Säntis

$\lambda = 9° 20'$, $\beta = 47° 15'$,
$H_b = 2500.1^m$, $G = -0.27\,‰$.

Tag	Lufttemperatur					Luftdruck			Relative Feuchtigkeit			Windrichtung und Stärke			Bewölkung			Niederschlag	Witterung
	7^{30}	13^{30}	21^{30}	Mittel	Abweichung vom Normalst.	7^{30}	13^{30}	21^{30}	7^{30}	13^{30}	21^{30}	7^{30}	13^{30}	21^{30}	7^{30}	13^{30}	21^{30}		
1	−2.8	0.2	−0.6	−1.1	5.3	**568.5**	568.5	567.5	60	38	60	SW 4	W 5	SW 4	3	1	0	.	
2	−1.4	−1.0	−3.8	−2.1	4.4	565.1	563.9	561.7	55	54	100	SW 5	SW 4	W 3	3	8	10≡	27.1	≡ 19$^{1}/_{2}$-n
3	−8.1	−9.4	−10.4	−9.3	−2.8	559.5	559.3	558.3	100	100	92	NW 2	WSW 2	SSW 2	10≡*	10≡	10≡	7.1	✳ n-12, 16$^{1}/_{4}$-17$^{1}/_{2}$, ≡ n-n
4	−9.0	−7.0	−6.8	−7.6	−1.0	555.1	553.5	551.7	58	100	100	SW 4	SW 3	SW 3	9	10≡*	10≡*	7.6	≡ ✳ 10$^{1}/_{2}$-n m.U., ⫩ n-n,
5	−8.0	−9.3	−10.2	−9.2	−2.5	547.7	**546.6**	547.2	97	100	98	SW 2	WSW 4	WSW 1	10	10≡*	10≡*	14.1	≡ ⫩ ✳ 11-n [🌂 a
6	−11.6	−12.0	−11.8	−11.8	−5.0	547.2	547.7	550.4	98	100	100	NW 2	WNW 2	N 2	10≡*	10≡*	10≡*	**47.9**	✳ ≡ n-n
7	−12.4	−13.8	−15.9	−14.0	−7.1	553.7	555.7	558.6	100	100	100	NNW 2	WNW 3	NW 2	10≡*	10≡*	10≡*	26.0	✳ ≡ n-n, ⫩ 13-n
8	−14.6	−10.8	−9.8	−11.7	−4.8	559.7	560.4	560.2	58	50	85	NW 2	WSW 2	SW 4	1	1	10	12.2	🌂 III
9	−5.8	−6.2	−7.0	−6.3	0.7	559.5	560.3	561.5	100	100	100	WSW 4	WSW 4	W 1	10≡*	10≡*	10≡*	35.0	✳⫩ n-n m.U., ≡ n-n, ∽ l, ⋁ p,
10	−8.4	−3.0	−3.6	−5.0	2.1	560.7	559.4	557.5	85	100	100	SW 3	WSW 3	WSW 3	8	10≡*	10≡*	28.1	✳ 9$^{1}/_{2}$-10, ✳ ≡ 11$^{1}/_{2}$-n [🌂 a
11	−6.1	−3.8	−8.0	−6.0	1.2	555.9	556.1	556.7	100	100	96	W 3	SW 0	E 1	10≡*	10≡	10	2.7	✳ n-8$^{1}/_{4}$, ≡ n-19$^{1}/_{2}$, ⋁ l
12	−9.0	−7.2	−8.8	−8.3	−1.1	556.4	556.8	556.8	90	80	90	SSE 1	E 1	E 1	5	4	9	.	
13	−8.2	−4.8	−8.8	−7.3	0.0	555.9	555.7	555.2	70	77	95	E 1	SSW 1	SW 2	3	10	10	.	
14	−11.0	−9.6	−11.2	−10.6	−3.2	554.9	553.9	553.7	95	90	78	SSW 2	SSW 2	SSE 2	4	2	0	.	
15	−11.6	−10.0	−11.2	−10.9	−3.5	553.0	553.6	554.5	80	80	78	WSW 1	SSW 2	S 1	1	6	4	.	
16	−9.8	−7.6	−7.2	−8.2	−0.7	554.5	554.0	555.1	77	80	100	SSE 1	SSE 3	ENE 1	9	7	10≡*	0.7	≡ ✳ 20$^{1}/_{4}$-n
17	−9.6	−7.4	−8.8	−8.6	−1.0	557.1	559.1	561.1	84	80	80	SSW 2	SW 2	S 2	1	2	1	.	
18	−8.0	−4.4	−5.0	−5.8	1.8	561.4	561.6	561.6	70	75	76	S 1	SSE 2	SSW 4	8	4	4	.	
19	−4.2	−2.8	−3.0	−3.3	4.4	560.7	560.0	559.0	70	76	79	NE 1	S 3	ESE 2	4	5	7	.	
20	−4.4	−5.2	−8.0	−5.9	1.8	557.4	557.7	558.8	72	72	100	NE 1	NNE 3	NE 2	8	3	10≡	.	≡ 18-20
21	−8.4	−6.2	−6.8	−7.1	0.7	559.7	560.9	561.9	32	30	**18**	NE 3	ENE 2	N 0	0	0	1	.	
22	−7.0	−6.4	−7.2	−6.9	0.9	562.7	563.4	563.9	100	58	28	WNW 2	N 1	E 2	10≡	1	1	.	≡ n-9$^{1}/_{2}$
23	−7.2	−4.8	−6.5	−6.2	1.6	563.1	563.2	563.0	46	36	47	ENE 2	S 1	SW 2	1	1	1	.	
24	−8.0	−6.4	−6.1	−6.8	1.1	562.5	562.1	561.3	94	85	52	WSW 3	WSW 2	W 1	3	1	0	.	
25	−4.8	−3.4	−4.6	−4.3	3.6	559.4	558.2	557.1	34	38	27	S 3	S 0	N 2	1	1	1	.	
26	−6.0	−6.8	−8.8	−7.2	0.7	555.1	554.2	554.2	28	37	92	NW 2	SW 3	W 2	1	1	10≡*	10.8	✳° 20-n, ≡ 18$^{1}/_{4}$-n
27	−9.4	−13.8	−16.8	−13.4	−5.4	552.6	552.5	553.4	100	95	88	NNW 2	WNW 2	WNW 1	10≡*	10≡*	10≡*	8.2	✳ ≡ n-n, ⫩ 9$^{1}/_{2}$-12
28	−17.8	−16.8	−18.2	−17.6	−9.6	552.9	553.4	553.1	100	96	92	W 2	W 1	WSW 1	10≡	10≡*	10≡	4.7	✳° 9-19$^{1}/_{2}$, ≡ 7-n
29	−20.2	−19.2	**−23.4**	−20.9	−12.9	550.3	549.1	550.6	90	51	68	W 0	NNE 1	N 3	9	10	0	.	
30	−19.6	−17.0	−17.0	−17.8	−9.7	553.5	553.9	553.3	40	34	40	N 3	SW 2	SW 5	0	1	4	.	
31	−17.2	−16.2	−15.8	−16.4	−8.3	553.4	553.6	555.0	35	35	98	SW 4	WSW 4	SW 3	10	10	10≡*	4.0	✳ 17$^{3}/_{4}$-n, ≡ 17-n
																		Summe	
Mittel	−9.3	−8.1	−9.4	−8.9	—	557.1	557.0	557.2	75	72	79				5.9	5.8	6.5	236.2	

Dezember 1939.
Beobachter: Frl. *F. Lombardi.*

St. Gotthard (Hospiz)

$\lambda = 8° 34'$, $\beta = 46° 33'$,
$H_b = 2095.7^m$, $G = -0.25\,‰$.

1	0.6	**6.0**	2.2	2.9	8.5	**598.8**	598.1	597.4	64	44	54	N 1	N 2	N 3	5	0	0	.	
2	−0.2	4.0	−3.4	0.1	5.8	595.4	594.3	591.6	65	57	73	N 0	S 0	N 1	0	0	0	0.4	
3	−4.8	−5.2	−6.8	−5.6	0.2	589.5	589.2	587.6	83	83	74	N 2	N 2	N 1	5	10≡	3	1.4	≡ 10-p
4	−6.6	−4.2	−6.4	−5.7	0.2	586.6	584.8	583.6	61	74	85	E 1	SE 0	SE 1	5	10	10*≡	6.0	✳ 17-n, ≡ 20-n
5	−3.8	0.0	−4.2	−2.7	3.2	577.6	576.9	576.6	83	78	84	SE 1	SE 1	SE 1	10*≡	10*≡	10≡	8.7	✳ n-16$^{3}/_{4}$, ≡ n-n
6	−7.4	−6.2	−9.2	−7.6	−1.6	**576.0**	576.6	578.3	81	75	91	N 2	N 2	N 3	10≡	10≡	10≡	19.6	✳ ⫩ zeitw., ≡ n-n
7	−8.8	−8.6	−12.4	−9.9	−3.8	582.8	584.4	586.8	90	82	83	N 3	N 3	N 4	10≡	10≡	10≡	18.7	≡ ⫩ 🌂 n-n, ✳ 11-16
8	−14.0	−8.0	−8.8	−10.3	−4.1	589.6	590.1	590.1	70	62	64	N 2	N 1	N 1	0	0	0	2.0	[zeitw.
9	−3.4	−2.6	−4.2	−3.4	2.8	590.1	590.0	590.8	89	93	80	NE 1	NE 1	NE 1	10≡	10*≡	5≡	9.0	✳ ⫩ 9$^{1}/_{4}$-14$^{1}/_{4}$, ≡ n-n
10	−3.4	0.4	−3.0	−2.0	4.3	590.2	589.4	588.2	85	73	88	N 0	N 0	N 0	8	10*	10≡	6.0	✳ 13-18, ≡ 16-n
11	−3.7	−1.0	−4.6	−3.1	3.3	585.4	585.4	586.2	89	87	75	N 0	N 0	N 0	10≡	10≡	10≡	0.6	≡ n-n
12	−5.4	−4.0	−7.0	−5.5	0.9	586.2	586.3	586.5	70	73	83	NE 0	NE 0	NE 0	8	6	6	.	
13	−8.0	−4.8	−6.2	−6.3	0.2	585.9	585.8	585.6	88	73	81	NE 0	NE 0	NE 0	10≡	10*≡	10*≡	6.5	✳° 11$^{1}/_{4}$-n, ≡ n-n
14	−5.4	−2.0	−8.0	−5.1	1.4	585.0	584.4	584.0	83	71	65	SE 0	SE 1	N 0	10≡	10≡	0	1.6	≡ n-18
15	−6.6	−2.8	−6.0	−5.1	1.5	583.5	584.1	585.2	88	67	70	S 1	S 1	S 1	10	10≡	10≡	4.0	✳ 10-11$^{3}/_{4}$, ≡ 13-n
16	−5.6	−2.3	−5.2	−4.4	2.2	585.3	584.5	584.7	83	64	81	SE 0	SE 0	SE 1	10	10*	10*≡	9.5	✳° 9$^{1}/_{4}$-n, ≡ 17-n, ⫩ abds. stw.
17	−4.8	−2.0	−4.8	−3.9	2.7	588.1	589.2	591.4	83	75	78	SE 0	SE 1	SE 1	10≡	10*≡	10≡	2.4	✳ 8$^{3}/_{4}$-14, ≡ n-n
18	−5.4	−2.4	−4.2	−4.0	2.7	592.1	592.4	593.3	72	70	75	E 0	SE 1	SE 1	5	10	10	1.0	⫩ abds.
19	−3.0	−0.6	−1.4	−1.7	5.0	591.7	590.4	588.8	80	75	85	E 0	E 0	E 0	10	10*	10≡	5.0	✳ 13$^{1}/_{4}$-17$^{1}/_{4}$, ≡ 16-n
20	−1.6	0.0	−5.4	−2.3	4.4	586.6	586.2	587.8	83	85	92	E 0	NE 2	NE 2	10*	10≡	10≡	5.0	✳° n-10, ⫩ seit 12$^{3}/_{4}$, [≡ 9-n
21	−8.4	−4.4	−7.2	−6.7	0.1	589.8	590.9	592.2	64	83	74	N 1	N 1	N 1	0	0	0	.	
22	−7.2	−5.6	−8.7	−7.2	−0.4	592.9	592.8	593.0	67	70	51	N 1	N 1	N 1	0	0	0	.	
23	−10.0	−5.4	−9.5	−8.3	−1.5	593.3	593.3	593.3	45	48	49	N 1	N 1	N 0	0	0	0	.	
24	−9.6	−6.4	−10.4	−8.8	−1.9	592.3	592.2	591.2	53	46	58	N 0	N 0	N 0	0	0	0	.	
25	−8.6	−4.2	−9.2	−7.3	−0.4	589.3	587.7	586.8	54	42	45	N 0	E 0	SE 0	0	0	0	.	
26	−8.8	−6.0	−9.8	−8.2	−1.3	584.2	583.7	583.5	41	**34**	55	N 1	N 1	N 2	0	0	0	6.4	
27	−9.8	−9.8	−12.0	−10.5	−3.6	581.8	581.3	583.7	83	84	83	N 3	N 3	N 4	10≡	10■	5≡	**22.1**	✳ 🌂 ≡ n-n
28	−15.8	−14.4	−15.8	−15.3	−8.3	584.1	584.1	584.1	71	71	63	N 1	N 1	N 1	5	5	0	1.0	
29	−17.0	−13.2	**−18.8**	−16.7	−9.7	581.1	579.5	580.1	73	73	73	N 0	N 0	N 3	10	10	10	4.3	✳ 🌂 16$^{1}/_{4}$-n, ≡ abds. stw.
30	−19.4	−17.1	−15.0	−17.2	−10.2	584.2	584.5	584.7	57	43	41	N 2	N 2	N 0	0	0	0	.	
31	−14.8	−11.5	−14.2	−13.5	−6.5	584.6	584.9	585.8	40	38	50	NE 2	N 0	N 2	0	0	0	.	
																		Summe	
Mittel	−7.4	−4.7	−7.8	−6.6	—	587.2	587.0	587.2	72	67	71				5.8	6.2	5.1	141.2	

Ergänzende Witterungsnotizen zu den Tabellen Seite 1—72.

Januar.

Bern. Alpen klar: 4. Nm., 7. Vm., 9. Nm, 10. Vm., 11. 13. 14. je Nm., 15. u. 16. d. g. T., 20. Vm., 21. u. 23. Nm., 28. Vm. — Alpen hell: 4. Vm. — Neblig: 17. nachts-$7^3/_4{}^h$, 21. 16–20^h, 30. nachts–13^h. — Schneehöhe: 1. 28.1 cm, 2. 19.5, 3. 13.1, 4. 18.4, 5. 17.0, 6. 19.5, 7. 18.0, 8. 15.7, 9. 15.3, 10. 15.1, 11. 15.1, 12. 15.1, 13. 14.6, 14. 14.0, 15. 13.5, 16. 13.0, 17. 6.7, 26. 10.2, 27. 5.5, 28. 4.5, 29. 3.9, 30. 3.5, 31. 3.0. **Neuchâtel.** Alpen sichtbar: 13. Nm. — Hochnebel: 7. $9^1/_4$–$11^1/_2{}^h$, Nm. zeitw., 30. u. 31. d. g. T., — Schneehöhe: 26.3 cm. **Altdorf.** Neblig: 29. u. 30. III, 31. II, III. — Föhn: 2. u. 5. Vm., 11. Ab., 12. d. g. T., 15. 15^h bis 18. Nm., 25. $16^1/_2{}^h$-nachts. **Genf.** Schneehöhe: 25. 2 cm. — **Zürich.** Alpen hell: 1. 4. 23. je Nm. — Alpen sichtbar: 5. Vm., 9. u. 13. Nm., 14. u. 16. Vm., 17. Vm. Nm., 20. 25. 28. je Vm. — Alpen schwach sichtbar: 4. u. 6. Vm., 11. Nm., 13. Vm., 16. Nm. — Föhnmauer: 17. Vm. Nm. — Dunst: 4. Nm., 6. 7. 8. je Vm., 10. Nm., 16. u. 18. Vm., 20. u. 25. Vm. Nm., 28. Vm. — Neblig: 3. Nm., 11. früh, Nm., 20. Vm. — Tal neblig: 9. u. 10. Nm. 11. 12. 17. je Vm. — Talnebel: 10. Vm. — Sicht: 1. I 900 m, 9. I 100, 13. I 150. — Hochnebel: 31. d. g. T. — Wolkenröte: 9. auf Ci Ab., 16. u. 28. Ab. — Neuschnee: 1. 5 cm, 3. $2^1/_2$, 4. $2^1/_2$, 6. $^1/_2$, 28. $2^1/_2$. — Schneehöhe: 1. 21 cm, 3. $7^1/_2$, 4. $10^1/_2$, 5. $9^1/_2$, 6. $9^1/_2$, 13. $8^1/_2$, 27. $1^1/_2$. — Schneegrenze: 23. 800–900 m. — **Rigi-Kulm.** Tal neblig: 9. u. 10. I. Nebelmeer: 8. 1700 m, 27. 1400, 29. 1000, 30. 1100, 31. 1450. Neuschnee: 1. 3. 4. 6. 13. je verweht, 19. 2 cm, 20. 2, 22. 1, 23. bis 26. je verweht, 27. 5, 28. verweht. — Schneehöhe: 6. II 80 cm, 13. II 70, 20. 55, 27. 85. — **Bevers.** Neuschnee: 1. 2 cm, 2. 1, 3. 6, 4. 1, 12. 4, 13. 19, 19. 2, 23. 2, 24. 3, 27. 9. — Schneehöhe: 6. 42 cm, 13. 58, 20. 53, 27. 50. **Sitten.** Hochnebel: 26. III. — Schneehöhe: 26. 6 cm. — **Lugano.** Nordföhn: 3. 16–21^h (NNE), 6. $7^1/_2{}^h$ bis 7. $8^1/_2{}^h$ (NNE), 24. 10^h bis 25. 2^h (NNE), 27. $13^1/_4{}^h$ bis 28. $3^1/_4{}^h$ (ENE–NNE). Schneehöhe: 3. 1 cm, 13. 19, 17. 13, 18. 5, 26. 5. — **Basel.** Abendrot: 9. $17^1/_4{}^h$ auf Ci. — Schneehöhe: 1. 11 cm, 2. 5, 3. 3. — **Säntis.** Grosses Lichtermeer: 14. 15. 16. 17. je III. Föhnmauer: 11. ($16^1/_2{}^h$), 12. I, 17. ($16^1/_2{}^h$), 18. I. — Nebelmeer: 8. Nm. 1600 m, 9. d. g. T. 500–600, 20. Nm. 600 strw., 22. Ab. 1800 strw., 25. Vm. 1300, 28. Ab. 800, 29. Vm. 900, Nm. 1100–1300, 30. d. g. T. 1000–1400, 31. d. g. T. 1400. — Neuschnee: 1. bis 5. je unbestimmbar, 6. 32 cm, 7. 15, 8. 13. 14. 17. je unb., 19. 1, 20. 4, 21. 2, 22. 3, 23. unb., 24. 35, 25. 30, 26. 2, 27. 18, 28. unb. — Schneehöhe: 6. 190 cm, 13. 160, 20. 150, 27. 230 — Schneegrenze: 6. u. 13. Bodensee, 20. 900 m, 27. 600. — **St. Gotthard.** Neblig: 22. $13^1/_2{}^h$-nachts. Nebel im Süden: 22. Vm. — Neuschnee: 1. 2 cm, 3. 5, 4. u. 6. verweht, 12. 10 cm, 13. 30, 16. 5, 17. 15, 18. 15, 19. 30, 20. 20, 21. 5, 22. 10, 23. 10, 24. verweht, 26. 7, 28. u. 29. verweht. — Schneehöhe: 6. 100 cm, 13. 125, 20. 195, 27. 190.

Februar.

Bern. Alpen klar: 11. 13. 15. je Vm., 16. Vm. Nm., 17. u. 23. Vm., 24. Nm. — Alpen hell: 9. u. 24. Vm., 25. Nm. Neblig: 4. $11^3/_4$–$12^3/_4{}^h$, 5. 7–11^h. — Schneehöhe: 1. 2.8 cm, 14. 2.8. — **Neuchâtel.** Alpen sichtbar: 10. 15. 16. — Hochnebel: 1. u. 2. Vm., 3. nachts–$16^1/_4{}^h$, 4. u. 5. Nm., 28. nachts–$12^3/_4{}^h$. — **Altdorf.** Neblig: 1. 2. 5. 6. je II. — Föhn: 23. u. 24. d. g. T., 28./1. nachts. — **Zürich.** Alpen hell: 14. Nm. — Alpen sichtbar: 16. Nm. — Alpen schwach sichtbar: 9. u. 10. Nm., 16. 17. 23. 24. je Vm., 28. Nm. — Föhnmauer: 24. Vm. — Dunst: 8. Nm., 9. u. 11. Vm., 15. u. 16. Vm. Nm., 17. 20. 21. je Vm., 22. u. 23. Vm. Nm., 25. Vm., 28. Nm. — Neblig: 3. 5. 7. je Vm. — Tal neblig: 2. d. g. T., 3. 5. 7. je Nm., 9. Vm. — Sicht: 5. I 500 m, 6. I 80, Vm. 200–400, II 900, III 50, 7. I 250, 8. I 150, III 50, 9. I 60. — Hochnebel: 1. u. 2. d. g. T., 3. u. 4. Vm. Neuschnee: 14. 1 cm. — **Rigi-Kulm.** Nebelmeer: 1. 1200 m, 2. 1200, 3. 1100, 4. 900, 5. 800, 6. 800, 7. 700, 8. 700, 9. 700, 11. 1300, 12. 1300, 28. 800. — Neuschnee: 14. 25 cm, 15. 1, 18. 19. 20. je verweht, 21. 10, 27. 10, 28. 7. — Schneehöhe: 3. 75 cm, 10. 60, 17. 70, 24. 90. — **Bevers.** Schneehöhe: 3. 48 cm, 10. 48, 17. 44, 24. 42. — **Sitten.** Dunst: 2. II. — Neblig: 1. III, 13. I, II. — Hochnebel: 10. I. — **Lugano.** Nordföhn: 10. $1^1/_4$–4^h (NNE), $14^1/_2$–20^h (NNE), 13. 16^h bis 14. Vm. (N), Vm–19^h (NNE), 19. 12–19^h (NNE), 20. 9–17^h (NNE u. ENE). — **Basel.** Abendrot: 11. 18^h auf Ci. — **Säntis.** Nebelmeer: 1. d. g. T. 1100 m, 2. d. g. T. 1100–1000, 3. Vm. 1000–900, Nm. 800 strw., 4. d. g. T. 700, 5. Vm. 600, 6. d. g. T. 600, 7. d. g. T. 600, 8. Vm. 700 Nm. 600 strw., 9. Vm 600, 11. d. g. T. 1300, 12. Vm. 1500, 14. Nm. 1700, 17. Vm. 1700 strw., 25. d. g. T. 1500–1800 strw., 26. Nm. 2200, 28. Vm. 9000. — Neuschnee: 14. 40 cm, 18. 7, 19. 20, 21. 3, 22. 2, 27. unbestimmbar, 28. 6. — Schneehöhe: 3. 200 cm, 10. 170, 17. 190, 24. 170. — Schneegrenze: 3. 600 m, 10. 1200, 17. 700, 24. 900. — **St. Gotthard.** Neblig: 21. d. g. T. — Nebel auf dem Pass: 14. Nm., 18. d. g. T. Neuschnee: 14. 19. 20. je verweht, 23. 2 cm, 24. 15, 25. 35, 26. 2, 27. 15. — Schneehöhe: 3. 170 cm, 10. 140, 17. 130, 24. 155.

März.

Bern. Alpen klar: 2. 3. 4. je Vm. Nm., 30. Vm. — Alpen schwach sichtbar: 24. Vm. — Neblig: 11. nachts-9^h, 14. 10–12^h. 17. nachts–14^h, 22. $15^1/_2{}^h$-nachts zeitw. — Schneehöhe: 9. 2.0 cm, 10. 2.0, 15. 22.4, 16. 13.9, 17. 11.0, 18. 24.9, 19. 20.3, 20. 15.9, 21. 14.5, 22. 15.5, 23. 18.9, 24. 13.0, 25. 9.8. **Neuchâtel.** Alpen sichtbar: 3. u. 4. — Schneehöhe: 9. 2 cm, 15. 20, 17. 10. — **Altdorf.** Föhn: 31. 10–11^h. — Schneehöhe: 15. 10 cm, 18. 5. — **Zürich.** Alpen sichtbar: 2. Vm., 30. Nm. Alpen schwach sichtbar: 1. Vm., 29. Nm., 30. Vm. — Dunst: 3. u. 4. Vm., 13. Ab., 19. Nm., 28. Vm., 29. Vm. Nm., 30. Nm. Neblig: 17. u. 25. Vm. — Sicht: 16. Nm. 900 m, 21. Vm. 900. Hochnebel: 12. Vm. — Wolkenröte: 2. u. 3. Ab. — Neuschnee: 8. $^1/_2$ cm, 9. $2^1/_2$, 10. 7, 11. 2, 12. 4, 13. 2, 14. 1, 15. 13, 16. 1, 17. 1, 18. 14, 20. $^1/_2$, 21. 4, 22. 2. — Gewitter: 9. K 5–$6^3/_4{}^h$. — Schneehöhe: 10. $8^1/_2$ cm, 15. 14, 17. 6, 18. 17, 21. 12, 24. 6. — Schneegrenze: 8. 500 m. — **Rigi-Kulm.** Nebelmeer: 19. 1650 m, 23. 800, 26. 1600. — Neuschnee: 1. verweht, 5. 1 cm, 8. 45, 9. 15, 10. 5, 11. 20, 12. 10, 13. 2, 15. verweht, 16. 17, 17. u. 18. verweht, 19. 3, 20. 1, 21. 22. 23. je verweht, 24. 20, 25. 1, 26. 3, 28. 2, 29. 5. — Schneehöhe: 3. 90 cm, 10. 120, 17. 160, 24. 200, 31. 1185. — **Bevers.** Neuschnee: 8. $1^1/_2$ cm, 9. 9, 10. 4, 11. 1, 15. 10, 22. 7, 28. 2. Schneehöhe: 3. 42 cm, 10. 49, 17. 72, 24. 67, 31. 55. — **Sitten.** Neblig: 27. I — Hochnebel: 5. II, 6. I, 7. I. — **Lugano.** Nordföhn: 7. 22^h bis 8. 19^h (NNE–NNW), 9. $8^1/_2{}^h$ bis 10. 18^h (N–NNE), 11. 11–23^h (ENE), 12. 12^h bis 13. 24^h, 14. 14–22^h, 15. 12–18^h, 16. 6–$19^1/_2{}^h$, 17. 16–18^h (NNE), 20. 13–24^h, 21. $10^1/_2$–$15^1/_2{}^h$, 22. 10–$19^1/_2{}^h$, 23. 12–14^h. — **Basel.** Neuschnee: 12. 4 cm, 16. 3, 17. 1, 18. 11. — Schneehöhe: 15. 15 cm, 18. 10, 19. 4. **Säntis.** Nebelmeer: 18. Vm. 2100 m, Nm. 2400, 19. Vm. 1300–1400, Nm. 1500–1600, 23. Vm. 1800, 26. Vm. 1200–1400, Nm. 1700–1800, 27. 2100–2400. — Spitzenentladungen: 7. u. 10. III. — Neuschnee: 2. 15 cm, 5. 5, 6. u. 7. unbestimmbar, 8. 65 cm, 9. unb., 10. 40, 11. 75, 12. 8. 13. 14. 15. je unb., 16. 40, 17. 7, 18. 25, 20. 3, 21. 22. 23. je unb., 24. 18, 25. 6, 26. 20, 28. 2, 29. 12. — Schneehöhe: 3. 17 cm, 10. 350, 17. 400, 24. 440, 31. 420. — Schneegrenze: 3. 1000 m, 10. 17. 24. je Bodensee. — **St. Gotthard.** Neblig: 13. bis 9^h, 20. d. g. T. Nebel auf dem Pass: 18. III. — Nebelmeer im Süden: 4. III. Neuschnee: 2. verweht, 6. 10 cm, 8. bis 12. je verweht, 13. 10, 14. 15. 16. je verweht, 17. 10, 18. 10, 21. 15, 22. verweht, 23. 10, 24. verweht, 25. 5, 26. 3, 28. 5, 29. 3. — Schneehöhe: 3. 175 cm, 10. 160, 17. 145, 24. 150, 31. 145.

April.

Bern. Alpen klar: 4. 16. 17. je Nm., 21. Vm. Nm., 22. Nm. Alpen hell: 16. Vm. — Alpen schwach sichtbar: 4. Vm. Neblig: 5. $21^1/_4$–22^h. — **Neuchâtel.** Nebel über dem See: 11. $7^1/_2{}^h$ — Joran: 16. seit $16^1/_2{}^h$, 17. $16^1/_2$–$18^1/_2{}^h$. — **Altdorf.** Föhn: 4. $8^1/_2{}^h$-nachts, 5. nachts-Nm., 6. Ab., 14. Nm., 26. Nm. — **Zürich.** Alpen sichtbar: 2. Nm., 4. Vm., 6. u. 11. Nm., 13. Vm., 15. Nm., 16. d. g. T., 17. Nm., 20. Vm., 21. Nm. — Alpen schwach sichtbar: 4. Nm., 12. Vm., 13. 14. 20. je Nm., 21. u. 22. Vm. Dunst: 1. Vm., 11. d. g. T., 12. Vm., 13. Nm., 19. Vm., 21. d. g. T., 22. Vm. — Tal neblig: 6. Vm. — Gewitter: 14. Nah-K 18^{35}–$19^{00}{}^h$, Zug SW–N, Boe, mässige Entladungen. — Schneegrenze: 3. 600 m. — **Rigi-Kulm.** Tal neblig: 6. strichweise. Nebelmeer: 8. 1650 m, 10. 1350, 29. 1750. — Neuschnee: 3. verweht, 15. 4 cm, 18. 15, 19. 20, 20. 2, 24. 2, 26. 1, 27. 5. 28. 5. — Schneehöhe: 7. 130 cm, 14. 40, 21. Südhänge schneefrei, 28. 5. — **Bevers.** Neuschnee: 18. 3 cm, 26. 2, 28. $3^1/_2$, 29. 2. **Sitten.** Hochnebel: 3. 15. 30. je I. — Talnebel: 28. u. 29. I.

Lugano. Nordföhn: **17.** 22^h bis **19.** 19^h, **23.** 7–20^h. — **Säntis.** Nebelmeer: **5.** d. g. T. 2300 m, **8.** Vm. 1400–1500, Nm 1800–2000, **9.** d. g. T. 1800, **10.** Vm. 1500, **28.** Vm. 2200, Nm. 2300, **29.** Vm. 1700, Nm. 1900–2000. — Gewitter: **12.** $\swarrow_k$ im N u. NE III, **17.** Nah-K_k $17^1/_2{}^h$ im W. — Neuschnee: **3.** 3 cm, **4.** 2, **13.** $^1/_2$, **15.** 1, **18.** 15, **19.** u. **20.** unbestimmbar, **23.** 13, **24.** unb., **25.** $^1/_2$, **26.** unb., **27.** 5, **28.** 7, **29.** $^1/_2$, **30.** 3. — Schneehöhe: **7.** 360 cm, **14.** 250, **21.** 220. — Schneegrenze: **7.** 1000 m, **14.** 1400, **21.** 1400, **28.** 1300. — **St. Gotthard.** Neblig: **17.** nachts-9^h. — Nebel auf dem Pass: **16.** nachts-$8^1/_4{}^h$, 19^h-nachts, **24.** nachts-10^h. — Neuschnee: **3.** 15 cm, **4.** 13, **5.** 20, **6.** 20, **7.** 25, **15.** 5, **16.** 2, **18.** u. **19.** verweht, **24.** 1, **25.** 2, **26.** 15, **27.** 45, **28.** 45, **29.** 12, **30.** 10. — Schneehöhe: **7.** 260 cm, **13.** 170, **21.** 130, **28.** 300.

Mai.

Bern. Alpen hell: **17.** Vm. — Neblig: **20.** nachts-8^h, **22.** nachts-8^h. — **Neuchâtel.** Joran: **11.** $16^1/_2$–20^h, **28.** seit 12^h, **29.** Nm. zeitw. — **Altdorf.** Föhn: **2.** Vm., **6.** Ab. — **Zürich.** Alpen sichtbar: **2.** Vm., **6.** Nm. — Alpen schwach sichtbar: **2.** Nm. — Föhnmauer: **2.** Vm. — Dunst: **1.** Vm. **5.** d. g. T., **24.** Nm., **28.** Vm. — Neblig: **8. 9. 11. 13.** je Vm. — Sicht: **17.** 1 600 m. — **Rigi-Kulm.** Nebelmeer: **31.** 1500 m. — Neuschnee: **3.** 2 cm, **4.** 3, **8.** 6, **9.** 12, **10.** 10, **12.** 2, **13.** 3, **15.** 10. **17.** 3, **19.** verweht, **21.** 10, **22.** 7, **23.** 3, **26.** 5, **29.** 3. **Bevers.** Neuschnee: **14.** 1 cm., **17.** 12, **19.** 2. — **Sitten.** Hochnebel: **4. 5. 7. 8.** je I, **9.** II, **10. 11. 13.** je I, **14.** II, **21.** u. **23.** I, **24.** II, — Talnebel: **9.** u. **15.** I. — **Lugano.** Nordföhn: **21.** $5^1/_2{}^h$ bis **22.** 19^h, **24.** $15^1/_2$–$21^1/_2{}^h$, **28.** 14–22^h, **29.** $6^1/_2$–19^h. — **Basel.** Gewitter: **11.** T 19^{10h}, 19^{20h}, **12.** T 14^{05h}, **14.** K_k 15^{55}–16^{15h} — **Säntis.** Grosses Lichtermeer: **17.** III. — Nebelmeer: 1. Vm. 1600–2000 m strichweise, **3.** Vm. 1800, **5.** Vm. 2100, **7.** Vm. Ab. 2300, **10.** Vm. 2300, **13.** Vm, 2300, **18.** Vm. 1900, **26.** Vm. 1700–2100, Nm. 2300, **27.** Vm. 2300, **30.** Vm. 1600–1900 strw., **31.** Vm. 2000, Nm. 2400. — Gewitter: **28.** Fern-K_k 11^h im S, kurz, T 17^h im E, T $20^3/_4{}^h$ im SE, Nah-K_k 22–23^h im E. — Nebelregen: **23.** 19^h-nachts. — Neuschnee: **4.** 3 cm, **6.** $^1/_2$, **7.** 1, **8.** 9, **9.** 22, **10.** 18, **12.** 3, **13.** 12, **14.** 13, **15.** 40, **16.** 3, **17.** 10, **18.** 3, **19.** 5, **20.** 2, **21.** u. **22.** unbestimmbar, **23.** 7, **25.** 7, **28.** 15, **29.** 23, **30.** unb. — Schneehöhe: **5.** 210 cm, **12.** 240, **19.** 280, **24.** 330. — Schneegrenze: **5.** 1600 m, **12.** 1500, **19.** 1600, **26.** 1600. — **St. Gotthard.** Neblig: **1.** nachts-16^h, **10.** nachts-10^h, **11.** nachts-$9^1/_2{}^h$. — Nebel auf dem Pass: **28.** d. g. T. — Neuschnee: **1.** 10 cm, **2.** 2, **3.** 2, **7.** 20, **8.** 10, **13.** 35, **14.** 5, **15.** 7, **16.** 5, **17.** 5, **18.** 25, **19.** 45, **20.** 10, **21. 22. 23.** je verweht. — Schneehöhe: **5.** 280 cm, **12.** 300, **19.** 335, **26.** 280.

Juni.

Bern. Gewitter: **7.** Ferner T 15^{15h}, **8.** K_k 17^{05}–18^{45h}, **9.** Ferner T 21^{30}–21^{35h}, **10.** K_k 14^{20}–18^{35h} m. U., **22.** K_k 18^{55}–21^{45h}, **23.** K_k 20^{25}–22^{10h}, $\swarrow_k$ 22^{10h}-nachts, **30.** 8^{55}–10^{30h}, 21^{55}–22^{05h}. — **Neuchâtel.** Nebel über dem See: **4.** nachts-8^h. — Joran: **7.** $14^1/_4{}^h$, **8.** seit 16^h, **9.** seit $12^1/_4{}^h$, **10.** seit $16^1/_4{}^h$, **18.** Ab., **19.** Nm., **22.** seit 17^h, **24.** $16^1/_4$–$17^1/_4{}^h$, **29.** seit $14^1/_4{}^h$ — **Zürich.** Alpen sichtbar: **5.** u. **23.** Vm., **24.** u. **28.** Nm., **29.** Vm. — Alpen schwach sichtbar: **5.** Nm., **9.** u. **28.** Vm, **29.** Nm. — Dunst: **1.** Vm. Nm., **3.** Vm., **4.** Vm. Nm., **6.** bis **10.** je Vm., **15.** u. **16.** Vm. Nm., **19.** Vm., **21.** Vm. Nm., **22.** Nm., **28.** Vm. Nm., **29.** u. **30.** Vm. — Purpurlicht: **28.** Ab. — Gewitter: **8.** Fern-K_k $20^3/_4{}^h$, Nah-K_k 21^{55}–22^{10h}, **9.** Fern-K_k, $\swarrow_k$ u. T $19^1/_2$–$20^1/_2{}^h$, im SW, **10.** $\swarrow_k$ u. T im SW, **22.** Fern-K_k $20^1/_2$–$21^1/_2{}^h$, im NW-SW, ziemlich häufige $\swarrow_k$, **22./23.** K_k nachts seit 23^h, **24.** Nah-K_k $17^1/_2$–$18^1/_4{}^h$, im Zenith ca. 18^h, mässige Entladungen, **26.** Nah-K_k, über Ort 20^{20h} (kurz), **29.** Fern-K_k 18^{30}–19^{00h}, Zug W-E (den Lägern entlang ziehend); Nah-K_k $20^1/_4$–$20^3/_4{}^h$, 20^{21h} $\swarrow_k$ hinter Albis, K_k-Kragen SW-NE ziehend. — Schneegrenze: **29.** 1800 m. — **Rigi-Kulm.** Tal neblig: **3.** 1 strichweise, **10.** 1 strichw. — Nebelmeer: **1.** 1100 m, **2.** 1500. — Neuschnee: **13.** 5 cm, **14.** 4. — **Bevers.** Neuschnee: **13.** 2 cm. — **Sitten.** Hochnebel: **12.** I, II, **15.** I, **18.** I. — Talnebel: **26.** I. — **Lugano.** Nordföhn: **18.** 12–19^h (NNE), **27.** 11–21^h (NNE). — **Basel.** Gewitter: **8.** T 18^{05}–18^{45h} aus E–S, $\swarrow_k$ $22^1/_2{}^h$, **9.** T^o 14^h, **10.** K_k^{1-2} 19^{30}–20^{16h} (WSW–E), T von 19^h an, **11.** T $10^1/_2{}^h$, **22.** K_k 20^{30}–22^{00h}, **24.** K_k^{1-2} 0^{40}–2^{50h}, T 15^{30}–15^{50h}, 16^{15}–18^{00h}, K_k 16^{50}–17^{15h}, **26.** K_k^o 11^{10}–11^{45h}, 13^{05}–14^{15h}, **29.** T 15^{30}–16^{10h}, 16^{45}–17^{30h}, **30.** K_k 8^{50}–9^{50h}, 9^{50}–10^{50h}, 10^{00}–10^{20h}, 21^{20}–22^{00h}. — **Säntis.** Nebelmeer: **1.** Vm. 1100–1500 m, Nm. 2100–2300, **2.** Vm. 1500–1900, Nm. 2400, **15.** Nm. 2500, **20.** Vm. 2300, Ab. 2400, **21.** Vm. 1600, Nm. 2000, **22.** Vm. 1400–2100 strichweise. — Gewitter: **2.** Fern-K_k 16–17^h im E u. N, **8.** Ferner T 19^h im SW, Fern-K_k 20^{40}–23^h im N u. SW, **9.** Fern-K_k $19^1/_4$–20^h im E, **10.** Nah-K_k 16–18^h im SE u. S, Fern-K_k nachts im NE, **11.** Nah-K_k 13^{20}–14^h im NE, T Nm., **22.** $\swarrow_k$ im SW bis NW III. — Nebelregen: **16./17.** nachts, **23./24.** nachts, **26.** $15^1/_2$–$18^1/_4{}^h$. — Neuschnee: **12.** 2 cm, **13.** 26, **14.** u. **15.** unbestimmbar, **18.** 5, **27.** 3. — Schneehöhe: **2.** 260 cm, **9.** 90, **16.** 100, — Schneegrenze: **2.** 1700 m, **9.** 1900, **16.** 1600, **23.** Gipfel schneefrei. — **St. Gotthard.** Neblig: **6.** nachts–10^h, **15.** 20^h–nachts, **18.** 11–$15^1/_2{}^h$. **25.** nachts-9^h, **26.** $18^1/_2{}^h$-nachts. — Nebel auf dem Pass: **4.** 19^h-nachts, **17.** I, **22.** III. — Neuschnee: **1.** 7 cm, **13.** 5, **14.** verweht. — Schneehöhe: **2.** 230 cm, **9.** 170, **16.** 145, **23.** 60, **30.** 15.

Juli.

Bern. Alpen klar: **3.** Vm. Nm., **4.** u. **8.** Nm., **14.** Vm. — Alpen hell: **29.** u. **30.** Vm. Nm. — Alpen sichtbar: **17.** Nm., **18. 19. 20. 31.** je Vm. — Alpen schwach sichtbar: **19.** Nm. — Gewitter: **5.** K_k 17^{05}–18^{50h}, **14.** $\swarrow_k$ 20^{50}–22^{00h}, K_k 22^{00}–23^{15h}, **15.** K_k 19^{05}–19^{10h}, **20.** K_k 14–15^h, **21.** K_k o–?, 21–22^h. — **Neuchâtel.** Joran: **1.** Ab., **5.** seit 16^h, Ab., **12.** seit 16^h, **16.** 19^h-nachts, **19.** seit $15^3/_4{}^h$, **26.** seit 19^h. — **Altdorf.** Föhn: **5.** Vm., **19.** Nm., **30.** $15^1/_4{}^h$-nachts. **Zürich.** Alpen klar: **9.** d. g. T., **14.** Vm. — Alpen sichtbar: **3.** Vm., **16.** Nm., **18.** d. g. T., **30.** Nm. — Alpen schwach sichtbar: **4.** Vm., **5.** Nm., **7.** Vm., **8.** d. g. T., **14.** Nm., **15.** Vm., **19.** d. g. T., **28.** u. **29.** Vm. — Dunst: **3.** Nm., **4.** Vm., **5.** d. g. T., **7.** u. **11.** Vm., **12.** d. g. T., **13. 15. 17.** bis **20.** je Vm., **28.** d. g. T., **29.** u. **30.** Vm. — Talnebel: **3.** Vm., — Purpurlicht: **29.** Ab. — Wolkenröte: **20.** Ab. — Gewitter: **5.** Nah-K_k 20^{30}–21^{30h}, über Ort 21^{30h}, Zug W-E, ziemlich starke und häufige Entladungen, **9.** Fern-K_k im S, ab 16^h mehrmals T, **13.** Fern-K_k $22^1/_2{}^h$, **14.** Nah-K_k, $15^1/_2$–$15^1/_2{}^h$, Zug S-N, schwache einzelne Entladungen; Fern-K_k $22^1/_4{}^h$ im WSW, **15.** Nah-K_k 14^{25h} über Ort, starke Entladungen; Nah-K_k $21^1/_2{}^h$, Zug W-E, heftige Entladungen, **16.** Nah-K_k $0^1/_2$–$1^1/_2{}^h$, **19.** Fern-K_k $20^1/_4{}^h$ im SSW, $21^1/_2{}^h$ im S und Wetterleuchten im W–N; Nah-K_k $22^1/_2{}^h$, Zug SW-NE, Dauer 1 Stunde, heftige Entladungen, **20.** Nah-K_k 0^{15}–0^{55h}, Nah-K_k ca. 1^h über Station, Nah-K_k $15^1/_2$–16^h, $15^3/_4{}^h$ über Ort, Zug aus SW, **21.** Nah-K_k 20^{20h} über Station, **24.** Nah-K_k $18^3/_4$–$19^1/_2{}^h$, Zug W-E, wenige und schwache Entladungen, **26.** Nah-K_k 21^{17h} $\swarrow_k$ u. T; Nah-K_k 22^{05h} (kurz), **27.** Nah-K_k 10^{35h}. — **Sitten.** Hochnebel: **1. 6. 21. 22. 24.** je I. — **Lugano.** Nordföhn: **2.** 7–$21^1/_2{}^h$ (N u. NE), **10.** 17^h bis **11.** 2^h (NNE), **25.** 17–24^h (NNE), **26.** 10–13^h (NNE), **27.** 10–23^h. — **Basel.** Gewitter: **5.** K_k^o 19^{00}–19^{15h} im N vorbei, **9.** T ca. 14^h, **14.** K_k 13^{20}–15^{03h}, 15^{20}–16^{20h}, 17–18^h, $18^1/_2$–$19^1/_2{}^h$, $\swarrow_k$ seit 21^h, K_k 19^{45}–20^{20h}, 21^{40}–23^{00h}, **19.** K_k 15^{00}–15^{20h}, T 16, K_k 19^{05}–19^{20h}, T 20^h, 21^h, $\swarrow_k$ seit 21^h, **20.** K_k 13^{35}–13^{55h}, **21.** K_k seit 2^{50h}, T 7^{40h}, K_k 8^{25}–8^{50h}, K_k 18^{45}–19^{15h}, **24.** K_k 17^{30}–18^{05h}. — **Säntis.** Nebelmeer: **20.** Nm. 2200 m, **21.** 2200–2300. — Gewitter: **8.** $\swarrow_k$ im SE III, **9.** Nah-K_k 17^{45}–18^{55h} im SE, **14.** Nah-K_k 16^{15}–16^{40h} im N, **17.** $\swarrow_k$ u. T 20^{05h} im NE, Entfernung 1.5 km, **21.** K_k 20–$20^1/_2{}^h$, Zug NW-SE, 20^{15h} über Station, ferner T bis 21^h, $\swarrow_k$ im NE $21^1/_2{}^h$, T 22^{10h}, **22.** ferner T im NE $11^1/_4{}^h$, **31.** $\swarrow_k$ seit 19^{40h}. — Spitzenentladungen: **27.** I. — Nebelregen: **1.** 11–19^h, **10.** Vm. zeitweise. — Neuschnee: **2.** 8 cm, **25.** verweht, **26.** 20, **27.** 10. — Schneehöhe: **28.** 15 cm. — **St. Gotthard.** Neblig: **2.** nachts–10^h, **8.** 20^h–nachts, **10.** d. g. T., **12.** nachts-11^h, **31.** nachts-10^h. — Nebel auf dem Pass: **11.** nachts-$8^1/_2{}^h$ zeitweise. — Neuschnee: **25.** 1 cm, **26.** 10.

August.

Bern. Neblig: **28.** nachts-$7^1/_4{}^h$, **29.** nachts-7^h. — **Neuchâtel.** Hochnebel: **18.** Vm. — Joran: **1.** seit 18^h, **2.** seit $15^1/_4{}^h$, **3.** seit $17^1/_2{}^h$, **4.** $15^1/_2$–$17^1/_2{}^h$, **11.** seit 18^h, **12.** seit 15^h, **23.** seit 16^h. **Altdorf.** Dunst: **16. 19. 28.** je I. — **Zürich.** Alpen sichtbar: **10.** d. g. T. — Alpen schwach sichtbar: **11.** Vm., **16** Nm., **21.** u. **30.** Vm., **31.** d. g. T. — Dunst: **3. 7. 11. 12.** je Vm., **13.** Nm., **14.** u. **15.** d. g. T., **16.** Vm., **17.** u. **18.** Nm., **19.** d. g. T., **20. 21. 22.** je Vm., **24.** u. **30.** d. g. T. — Neblig: **27.** u. **28.** Vm. — Sicht (Nebel): **29.** 1 500 m. — Hochnebel: **18.** u. **25.** Vm. — Wolkenröte: **27.** Ab. — Gewitter: **3.** Nah-K_k 16^{40}–17^{00h}, $16^3/_4{}^h$ $\swarrow_k$ u. T mehrfach, Zug W-E, **8.** K_k 18^{35}–18^{40h}, **22.** Nah-K_k 17^{50}–18^{30h}, im Zenith 17^{50h}, Zug SE-NW, Nah-K_k 20–21^h, Zug SE-NW, **23.** $\swarrow_k$ $20^1/_2$–$21^1/_2{}^h$ ringsum, **24.** $\swarrow_k$ $21^1/_2{}^h$ im W u. NNW, **31.** Nah-K_k $1^1/_4$–$1^3/_4{}^h$, häufige und starke Entladungen; Nah-K_k $19^1/_2$–21^h, starke Entladungen. — **Rigi-Kulm.** Tal neblig: **4.** 1. — Nebelmeer: **18.** 1100 m, **19.** 800. — **Sitten.** Dunst: **8.** I. — Neblig: **15.** I. — Hochnebel: **21.** II, **22.** I, **25.** II, **26.** I. — Talnebel: **20.** I. **Lugano.** Nordföhn: **6.** $8^1/_2$–14^h (NNE), **16.** 10–15^h (NNE). — **Basel.** Gewitter: **7.** T^o 19^{50h} aus SW, **8.** K_k 18^{10}–18^{20h}, Entfernung 2 km, **19.** K_k $16^3/_4$–$18^1/_2{}^h$, Entf. 0.1 km, T $18^1/_2$–20^h, **21.** T 12^{21h}, 21^{10h}, **24.** $\swarrow_k$ 20^h (NW), **25.** $\swarrow_k$ 20^{35}–22^{00h}, **30.** K_k 2^{35}–3^{00h}, 3^{45}–4^{30h}, **31.** K_k $20^1/_2$–21^h, Entfernung 5 km, im S. — **Säntis.** Nebelmeer: **5.** Vm. 1700–2300 m, Nm. 1600–2000, **13.** Nm. 2300, **18.** Vm. 1100–1300, **19.** Vm. 900, **23,** Vm. 1700–2300, Nm. 2300, **24.** Vm. 1700–1800, **25.** Vm. 1300–2000, **26.** Vm. 1800. — Gewitter: **3.** Nah-K_k 17–$17^1/_2{}^h$, **8.** Fern-K_k $14^1/_2$–$15^1/_2{}^h$ im SE, **18.** $\swarrow_k$ im S u. SE III, **19.** Fern-K_k 13^{40h} im S, $\swarrow_k$ im W u. S III, **19./20.** K_k nachts im S, **20.** Nah-K_k im N $14^1/_2$–15^h, **21.** Fern-$\swarrow_k$ 17–18^h im E, **23.** Nah-K_k 18-

19h im N, Fern-K III im NW u. N, 24. Nah-K 18¾–21h im E, SE u. SW, ⊀ im W III, 25. Fern-K 15–19h im E, 31. Fern-K 19½–20½ im NW u. S, Fern-K 21h–nachts im W. — **St. Gotthard.** Neblig: 2. nachts–9h, 17h–nachts, 9. nachts–11h, 16h–nachts, 13. 10¾h–nachts, 15. nachts–9¼h, 18. nachts–10¼h, 19h–nachts, 24. 17h–nachts, 26. nachts–9h, 28. 18h–nachts, 31. nachts–9h. — Nebel auf dem Pass: 12. I, 16. III, 17. III, 27. 19h–nachts.

September.

Bern. Neblig: 13. 6–7½h, 23. nachts–12¼h. — Gewitter: 1. K 20⁵⁰–21¹⁵h, 12. K 5⁴⁰–8³⁰h. — **Neuchâtel.** Hochnebel: 2. u. 30. Vm. — Joran: 10. seit 18¾h, 12. seit 15h. — **Altdorf.** Neblig: 18. 24. 26. 27. je I, 28. II. — **Zürich.** Dunst: 2. Nm., 3. Vm., 6. d. g. T., 8. Nm., 9. d. g. T., 10. 11. u. 15. Nm., 17. d. g. T., 19. Vm., 20. 21. 22. je Nm., 23. 25. 26. je d. g. T., 27. u. 28. Nm., 29. d. g. T., 30. Nm. — Neblig: 21. Nm., 24. Vm. Tal neblig: 2. 8. 13. 22. je Vm. — Talnebel: 1. Vm. — Sicht (Nebel): 13. I 250 m. — Hochnebel: 7. 20. 21. 22. 30. je Vm. Purpurlicht: 9. Ab. — Gewitter: 1. Nah-K 19–20½h, vereinzelte Entladungen, 3. Fern-K 20¾–21¼h, ⊀ im WNW, 12. Nah-K 6–6¾h, Zug W-E, Nah-K 8¹⁰–8³⁰h, über Ort 8¹⁵h (8¹⁰h ⊀ im SW), 21. Nah-K 16⁵⁵–17¹⁰h, vereinzelte T, schwach, Zug S-N, mit Hagel. **Rigi-Kulm.** Tal neblig: 25. u. 26. I. — Nebelmeer: 7. 1400 m, 23. 1750, 29. 1000, 30. 900. — Neuschnee: 28. 4 cm. — **Sitten.** Hochnebel: 5. I. — **Basel.** Neblig: 7. 18. 19. 21. 22. 24. 26. je I. Gewitter: 1. T 15³⁰–16⁰⁰h, 3. K 15½–16h SW–NE, Fern-K 20½–21¼h im E, 12. Fern-K 1½–2h. — **Säntis.** Nebelmeer: 6. Vm. 2000–2100 m, Nm. 2400–2200, 7. Vm. 1400–1800, Nm. 2400–2500, 8. Vm. 900, 23. Vm. 1700–1900, 25. Nm. 2200, 26. Vm. 800–1200, 28. d. g. T. 1600–1900, 29. Vm. 1200, 30. Vm. 900–1000. — Gewitter: 1. Fern-K im N 16⁴⁵–17³⁰h, 18. einzelner T im NE 19h, 25. ⊀ im SE Ab. — Nebelregen: 5. 15¾–16h, 13. nachts–7h, 12h–nachts, 16. 6½–12h m.U., 20. 13¼–14½h, 24. 12–15h. — Neuschnee: 15. 11 cm, 16. 17, 19. 5, 25. 1, 28. 1. — Schneehöhe: 22. 18 cm. — **St. Gotthard.** Neblig: 1. nachts–9h, 17h–nachts, 2. 7½h–nachts, 11. 17h–nachts, 12. nachts–10h, 16. nachts–9h, 24. d. g. T., 25. nachts–9h, 29. nachts–9h. — Nebel auf dem Pass: 6. 19h–nachts, 17. I. — Nebelmeer im Süden: 8. I, 16½–nachts, 9. I, 29. III. — Neuschnee: 28. 2 cm.

Oktober.

Bern. Neblig: 1. nachts–8h, 3. 17¾–20h, 4. 10–11¾h, 17¼–19h, 5. 10–19h, 9. 9¼–11h, 17. 9–10¼h, 18. nachts–10¾h, 24. 7–10¼h, 27. nachts–11h, 17–19h, 30. 10–10¾h. — Gewitter: 18. K 20¼h. — Schneehöhe: 27. 3.1 cm, 28. 7.2. — **Neuchâtel.** Hochnebel: 4. d. g. T., 9. Vm., 11. 8¼h–nachts, 17. d. g. T., 18. nachts–11½h, 24. zeitweise, 30. Nm., 31. nachts–13¼h. — Joran: 10. Nm., 26. seit 12¾h. — Schneehöhe: 27. 15 cm. — **Altdorf.** Neblig: 31. I. — Föhn: 14. d. g. T., 15. Vm. Nm., 17. Nm. Ab., 18. Nm. Ab. — Schneehöhe: 28. 4 cm. — **Zürich.** Alpen sichtbar: 11. Nm., 14. d. g. T., 15. Nm. — Alpen schwach sichtbar: 19. Nm. — Dunst: 3. u. 4. Nm., 8. Vm., 19. Nm., 30. u. 31. d. g. T. — Neblig: 5. Vm., 27. 28. 29. je d. g. T. — Tal neblig: 3. 4. u. 7. Vm., 9. d. g. T., 11. Vm., 17. d. g. T., 18. u. 30. Vm. — Talnebel: 19. Vm. — Sicht: 11. Vm. 400 m. — Hochnebel: 3. u. 4. Nm., 11. Vm., 17. Vm. Nm. Gewitter: 1. ⊀ 19⁰⁵–19¹⁵h mehrmals im NW. — Neuschnee: 27. 4½ cm, 28. 13½. — Schneehöhe: 28. 15 cm. — Schneegrenze: 19. 1800 m, 25. 900. — **Rigi-Kulm.** Tal neblig: 2. 16. 30. 31. je I. — Neuschnee: 7. 5 cm, 8. 25, 23. 28, 24. 15, 25. 12, 26. 22, 27. 6. — Schneehöhe: 27. 75. — **Bevers.** Neuschnee: 7. 3 cm, 10. 3, 23. 12, 26. 4, 28. 7. — **Sitten.** Hochnebel: 10. III. — Neuschnee: 27. 3 cm, 29. 8. — **Basel.** Abendrot: 19. 17⁴⁵h auf Altostratus. — Gewitter: 1. K 17⁴⁷–18¹⁵h SSW–NNE, 18. T 20²⁵h, 21²⁵h, 22³⁰h, 23³⁰h, 19. K 0³⁰–0⁵⁵h. Schneehöhe: 27. 1 cm, 28. 1.5. — **Säntis.** Föhnmauer: 15. Vm. — Nebelmeer: 4. Nm. 1200 m, 5. Vm. 1100, 9. Vm. 700–900, 17. Vm. 800–1000, Nm. 1000 strichweise, 18. Vm. 600, 30. Vm. 600, 31. Vm. 1000, Ab. 800. — Nebelregen: 1. 10–14h m.U., 6. 6¾h–nachts, 9. 18h–nachts, 10. 8½–20h, 16. nachts–15h. — Neuschnee: 2. 8 cm, 3. 3, 6. 6, 7. 20, 8. 22, 9. 2, 13. u. 16. unbestimmbar, 20. 7, 21. 35, 22. 22, 23. unb., 24. 34, 25. u. 26. unb., 27. 35, 28. 85, 29. 35, 30. unb. — Schneehöhe: 13. 45 cm, 20. 7, 27. 130. — Schneegrenze: 6. 13. 20. je 2000 m, 27. Bodensee. **St. Gotthard.** Neblig: 6. nachts–8¾h, 24. nachts–9h, 28. nachts–10h. Nebelmeer im Süden: 2. d. g. T. — Neuschnee: 7. 10 cm, 13. 3, 23. u. 24. verweht, 26. 22, 27. 5, 28. verweht, 29. 15, 30. 10.

November.

Bern. Alpen klar: 7. u. 8. Nm., 9. Vm. Nm., 24. Vm., 27. u. 30. Nm. — Alpen hell: 19. u. 27. Vm. — Neblig: 1. 11¼h–13¾h 4. 10–11¼h, 8. 7¼–8¼h, 11. 8¼–20¼h, 12. 9¾–10¾h, 13. 13–16¼h, 14. 9¼–20¾h. — **Neuchâtel.** Hochnebel: 2. Nm., 3. d. g. T., 11. u. 14. Nm. — Nebel über dem See: 7. Vm. — **Altdorf.** Neblig: 1. I, 3. III, 4. I, II, 7. III. — **Zürich.** Alpen hell: 16. Nm., 27. Vm. — Alpen schwach sichtbar: 7. d. g. T., 10. u. 12. Nm. — Dunst: 4. 7. 8. je d. g. T., 9. Nm., 10. u. 21. Vm., 22. u. 23. d. g. T., 24. Vm., 25. d. g. T., 26. Vm. — Neblig: 11. d. g. T., 13. u. 15. Vm. — Tal neblig: 2. u. 3. d. g. T., 7. u. 9. Vm., 13. Nm, 14. d. g. T., 24. Nm., — Sicht: 9. 60 m, 12. I 200, III 50, 13. I 300, III 100, 14. I 150, 24. Vm. 100. — Hochnebel: 1. u. 2. d. g. T., 3. Vm., 11. u. 13. d. g. T., 15. u. 23. Vm. — Purpurlicht: 28. Ab. — Wolkenröte: 18. Ab. — Neuschnee: 25. 1 cm. — Schneegrenze: 6. 1200 m, 16. 1250, 24. 700, 30. 1300. — **Rigi-Kulm.** Tal neblig: 3. 12. 24. je I. — Nebelmeer: 1. 800 m, 2. 1000, 11. 800, 13. 600, 14. 1000, 21. 1700, 22. 1700, 23. 1600. — Neuschnee: 5. 6 cm, 20. 16, 21. 12, 28. 2, 29. 2. — Schneehöhe: 3. 40 cm, 24. 35. — **Bevers.** Neuschnee: 5. 4 cm, 17. 12, 20. 18. — **Sitten.** Hochnebel: 14. III, 16. II, 26. I. — **Lugano.** Nordföhn: 17. 11½–20h (NNE), 18. 6–16h (NNE). 19. 15h bis 21. 15½h (NNE–ENE). — **Basel.** Morgenrot: 7. 7¼h. — Abendrot: 18. 17h auf Altocumulus, 29. 16⁴⁵h, 30. 16⁵⁰h. — **Säntis.** Purpurlicht: 7. III. Grosses Lichtermeer: 5. u. 7. je Ab. — Föhnmauer: 4. I. — Nebelmeer: 1. d. g. T. 900 m, 2. Vm. 1000, Nm. 900, 3. Vm. 700–800, 8. Vm. 600, 9. Vm. 600, 10. Nm. 900 strichweise, 11. d. g. T. 800, 12. d. g. T. 700, 13. Vm. 700, Nm. 800, 14. Vm. 1000, 15. Vm. 1500–1700, 21. Vm. 1400, Nm. 2000, 22. Vm. 1600, Nm. 1700–1900, 23. Vm. 1600–1400, 24. Vm. 700 strw., 27. Nm. 2000. — Gewitter: 19. Nah-K 12½–13½h (über Station), 20. Nah-K 17h (über Station). — Spitzenentladungen: 20. I, 28. I. Nebelregen: 6. 10–11h. 17. 8½–13h, 17½h–nachts, 18. 6½–12½h, 26./27. nachts, 29. 17h–nachts, 30. nachts–15h. — Neuschnee: 1. 3 cm, 5. 6. 10. 16. 17. 18. 20. 21. 25. 26. 27. je unbestimmbar, 28. 18, 29. u. 30. unb. — Schneehöhe: 3. 120 cm, 10. 80, 17. 60, 24. 170. — Schneegrenze: 3. 1000 m, 10. 1600, 17. 1800, 24. 800. — **St. Gotthard.** Neuschnee: 3. 1 cm, 4. 20, 5. 45, 6. 10, 16. verweht, 17. 10, 18. 15, 20. u. 21. verweht, 25. 1, 27. 5, 28. 8, 29. verweht, 30. 10. — Schneehöhe: 10. 60 cm, 17. 45, 24. 50.

Dezember.

Bern. Alpen klar: 1. Nm., 2. u. 8. Vm. Nm. — Neblig: 4. 13–15¼h, 7. nachts–9h, 9. 9–21¼h, 14. 12¼–14h, 18. nachts–11h, 19. 10¾–11½h, 14¾h–nachts, 22. 16¾–nachts, 26. nachts–8h, 11–17¾h, 29. 8–10¼h. — **Neuchâtel.** Hochnebel: 18. bis 22. je d. g. T., 27. nachts–9¼h. — Schneehöhe: 14. 2 cm, 29. 1, 30. 2. — **Altdorf.** Neblig: 18. II, 22. II, III. — Föhn: 4. Nm. Ab. — **Zürich.** Alpen klar: 4. Vm. — Alpen hell: 2. d. g. T., 31. Nm. — Alpen sichtbar: 8. Nm. — Dunst: 2. Vm., 7. u. 8. d. g. T., 12. 15. 17. 18. 22. je d. g. T., 28. u. 30. Nm. — Neblig: 10. u. 11. d. g. T., 13. 14. 16. 19. je Vm., 24. u. 25. d. g. T., 26. Vm., 27. Nm.–15¾h, 30. Vm. — Tal neblig: 19. Nm., 20. d. g. T., 28. 29. 31. je Vm. — Sicht: 22. III 800 m, 23. I 300, II 900, III 100. — Hochnebel: 12. d. g. T., 13. Vm., 14. Vm. Ab., 15. d. g. T., 16. Vm. Ab. 17. u. 18. d. g. T., 19. Vm., 20. d. g. T., 21. Nm., 24. u. 25. d. g. T., 26. 28. 29. 30. je Vm. — Neuschnee: 7. 3 cm, 9. 3, 12. ½, 14. ½, 17. ½, 27. 1, 28. 3½, 29. ½. — Schneehöhe: 8, 2 cm, 15. ½, 29. 4. — **Rigi-Kulm.** Nebelmeer: 1. 1700 m, 12. 1700, 13. 1700, 14. 1700, 15. 1650, 16. 1000, 17. 1100, 18. 1000, 19. 800, 20. 1000, 21. 1500, 22. 800, 23. 600, 24. 500, 25. 600, 26. 700. — Neuschnee: 3. 10 cm., 5. 3, 6. 8, 7. 45, 8. 12, 9. 6, 10. 4, 11. 6, 27. 12, 28. 10 — Schneehöhe: 8. 80 cm, 15. 60, 22. 50, 29. 55. — **Bevers.** Neuschnee: 3. ½ cm, 5. 4, 6. 27, 7. 4, 8. 3, 10. 2, 11. 10, 12. 2, 14. 3, 16. 3, 17. 2, 18. 4, 21. 7. Schneehöhe: 8. 40 cm, 15. 42, 22. 40, 29. 38. — **Sitten.** Dunst: 2. II, III (im Tal). — Neblig: 16. III, 20. d. g. T., 21. II, III. — Neuschnee: 5. 3 cm, 6. 1. — **Lugano.** Nordföhn: 6. 12–21h (NNE), 7. 10h bis 8. 3h (NNE), 27. 5–8h, 10½–17¼h, 19–20h (NNE). — **Basel.** Schneehöhe: 27. 1 cm, 29. 3. — **Säntis.** Spitzenentladungen: 7. I. — Nebelmeer: 1. Vm. 2000 m, 12. 13. 14. je d. g. T. 1700, 15. d. g. T. 1600, 16. Vm. 1200, Nm. 1000, 17. d. g. T. 1200, 18. d. g. T. 900, 19. d. g. T. 800, 20. d. g. T. 900–1200, 21. d. g. T. 1400, 22. Vm. 2000, Nm. 700, 23. d. g. T. 800, 24. d. g. T. 700–800, 25. d. g. T. 800–900, 26. d. g. T. 800, 29. Vm. 1000, Nm. 1000–1300, 30. Vm. 800 strichweise. Spitzenentladungen: 7. I. — Neuschnee: 3. 4. 5. je unbestimmbar, 6. 25 cm, 7. 90, 8. 55, 9. u. 10. unb., 11. 30, 12. 3, 17. 15, 27. 20, 28. 22, 29. unb. — Schneehöhe: 1. 150 cm, 8. 320, 15. 280, 22. 280, 29. 310. — Schneegrenze: 1. 1500 m, 8. 15. 22. 29. je Bodensee. — **St. Gotthard.** Neblig: 3. nachts–10h. — Nebelmeer im Süden: 21. 14¼–16h. — Neuschnee: 5. 15 cm, 6. 15, 7. u. 8. verweht, 10. 10, 11. 10. 14. 10, 15. 5, 16. 10, 17. 10,, 18. 5, 20. 10, 21. 27. 28. 30. je verweht. — Schneehöhe: 1. 50 cm, 8. 55, 15. 75, 22. 85, 29. 70.

1939 **Tägliche Maxima und Minima der Lufttemperatur** **Zürich**

(Nach den Aufzeichnungen des Thermographen)

Tag	Januar		Februar		März		April		Mai		Juni		Juli		August		Septemb.		Oktober		Novemb.		Dezember	
	Max	Min.	Max.	Min.	Max	Min.	Max.	Min.	Max	Min.	Max.	Min.	Max.	Min.	Max.	Min.	Max.	Min.	Max.	Min.	Max.	Min.	Max.	Min.
1	6.8	0.4	-1.0	-3.5	7.6	1.8	15.7	1.7	17.1	2.6	21.4	8.6	19.7	10.9	23.6	14.7	26.6	15.5	17.6	7.5	4.9	1.2	14.0	4.5
2	5.5	2.3	-3.3	-4.4	10.7	-0.2	16.1	2.9	15.8	7.4	23.1	14.2	18.0	9.6	24.6	15.0	25.7	16.2	16.5	9.3	3.3	1.0	12.5	2.7
3	3.5	-0.5	-0.3	-5.8	14.1	-1.3	11.9	5.0	9.5	6.6	24.3	11.9	22.8	7.8	25.1	13.6	28.1	15.4	11.2	6.8	7.9	2.4	8.5	1.2
4	5.2	-2.2	-0.1	-5.7	14.1	-0.4	20.5	5.2	14.4	6.6	28.0	11.4	27.7	10.0	23.8	13.1	19.4	12.9	12.4	5.8	8.5	4.2	5.2	1.6
5	2.7	-1.4	-1.1	-6.3	9.2	5.8	11.1	7.1	14.3	8.2	28.1	11.7	30.0	12.7	16.1	12.6	15.3	12.5	11.2	7.8	10.4	2.1	5.3	1.3
6	3.4	-3.3	0.4	-5.6	13.4	6.4	15.9	6.7	20.3	6.9	28.7	13.7	22.1	14.1	19.7	10.9	21.3	11.9	11.4	6.4	11.6	3.8	3.3	0.5
7	1.7	-4.2	2.9	-5.6	12.1	0.8	15.9	9.1	16.1	8.6	29.7	13.3	25.4	12.5	23.9	10.5	24.0	13.2	8.2	6.2	18.1	7.2	3.2	-0.3
8	4.3	-2.6	3.7	-6.8	3.7	0.6	12.6	8.6	9.1	6.8	29.5	16.6	29.6	13.5	19.6	13.1	25.4	12.8	9.1	4.2	15.4	5.5	2.6	-3.3
9	2.0	-3.7	8.8	-4.0	3.7	-0.2	15.9	9.3	9.2	6.8	26.1	14.5	27.2	17.3	23.6	12.8	24.5	11.3	9.8	3.2	15.3	4.7	4.5	-0.6
10	4.5	-4.3	11.5	3.1	5.5	0.2	17.6	8.4	14.1	6.1	26.7	12.8	21.2	14.5	25.6	13.0	26.3	12.4	13.3	7.9	10.7	8.3	4.6	2.2
11	5.1	-2.0	10.1	1.0	3.2	-0.5	24.7	5.8	14.5	7.7	23.7	15.2	22.5	12.2	26.8	14.3	26.6	15.0	15.6	6.9	9.5	7.3	4.8	-0.9
12	4.1	-1.2	10.0	1.0	4.0	-2.1	24.1	9.0	10.8	7.2	14.0	9.6	23.2	11.7	26.4	14.8	16.9	12.3	12.7	7.0	10.1	6.7	-0.4	-1.8
13	5.9	0.4	5.1	1.1	1.8	-3.0	24.6	10.3	10.9	6.3	10.7	7.5	26.8	11.4	22.8	15.4	18.4	10.4	14.3	9.4	6.7	4.2	-1.2	-3.1
14	8.6	1.1	4.4	-3.0	-0.9	-3.3	22.8	10.0	8.1	6.8	10.9	7.4	28.4	15.9	24.3	12.5	20.0	11.4	21.9	10.6	8.8	4.1	0.2	-2.2
15	10.9	2.4	5.1	-4.6	5.1	-2.2	16.6	8.8	15.2	6.4	17.1	8.8	26.7	15.0	23.3	12.3	14.2	10.0	21.9	10.3	12.7	7.7	0.3	-2.4
16	12.2	2.8	8.3	-3.5	4.0	-4.4	18.9	8.8	15.1	6.2	23.0	8.6	16.0	11.9	23.0	10.8	13.4	9.9	15.5	10.7	11.7	5.8	-0.2	-3.1
17	12.1	5.4	6.3	-1.0	3.9	-4.3	18.8	5.0	14.6	5.1	15.4	12.1	23.9	11.4	23.5	13.8	14.4	10.0	15.0	10.6	11.6	8.7	-1.0	-2.5
18	10.7	5.3	7.0	1.4	0.3	-4.6	11.9	4.2	14.9	5.5	16.0	11.6	26.4	13.8	23.7	12.9	15.5	10.6	18.3	12.0	13.6	11.1	-1.1	-2.7
19	9.3	3.7	6.1	1.8	3.3	-6.0	11.9	4.0	15.5	5.7	19.9	11.6	29.2	14.2	24.8	13.2	16.6	10.2	18.3	11.1	12.4	5.3	-1.0	-3.5
20	6.0	1.5	6.8	1.1	4.8	-2.4	17.4	2.5	11.6	8.2	13.7	11.8	24.3	13.3	24.0	15.2	17.1	9.0	13.0	6.5	6.3	1.2	-1.9	-3.5
21	9.7	2.7	5.1	-1.8	5.9	-1.6	20.5	4.3	9.8	7.7	22.8	11.8	23.7	15.1	25.7	15.6	17.1	8.1	6.8	3.7	3.7	-1.5	-1.2	-3.2
22	10.1	4.6	4.2	-3.6	6.3	-0.6	21.9	4.8	11.0	8.0	27.3	11.7	16.7	12.5	24.6	15.4	16.8	9.1	5.9	3.8	0.4	-1.1	0.9	-3.0
23	8.3	2.8	11.2	-1.1	7.7	0.3	13.5	5.5	11.1	8.1	28.0	14.3	17.1	11.4	23.7	15.0	17.9	8.8	5.3	4.3	3.0	-4.0	-1.8	-3.1
24	4.3	2.4	19.1	4.4	7.0	-2.6	14.9	5.6	19.8	8.4	23.7	12.8	19.8	9.5	25.8	15.3	15.4	7.9	8.0	4.4	2.9	-4.3	-1.0	-4.2
25	4.7	0.3	11.6	2.3	6.0	-2.1	15.0	6.5	9.3	7.6	19.4	12.0	10.9	8.6	20.4	15.0	15.9	5.5	8.5	2.3	5.8	0.0	-3.4	-5.3
26	2.3	-1.0	10.8	4.0	3.3	-0.6	16.1	5.5	17.1	7.0	19.6	12.3	20.6	10.1	22.1	15.6	17.0	2.9	4.6	0.0	9.5	0.1	-1.8	-4.9
27	0.4	-2.1	6.1	0.3	4.7	1.2	11.1	4.9	16.5	9.8	21.2	12.2	18.5	11.1	25.3	15.6	13.4	5.1	1.3	-0.3	15.0	8.9	0.2	-5.1
28	3.7	-3.7	7.6	-1.4	7.2	0.9	8.0	3.7	17.8	7.5	26.5	10.0	23.7	8.7	26.3	13.8	11.7	3.6	3.9	-0.3	11.7	4.1	-0.7	-6.1
29	3.0	-2.3			11.2	0.5	9.5	4.0	14.6	7.1	27.9	14.5	27.8	11.7	26.6	13.3	13.9	1.3	5.0	0.2	10.4	4.2	-6.1	-12.2
30	-0.3	-2.3			12.7	-1.3	9.6	3.7	17.8	7.1	23.1	14.9	31.0	13.5	25.5	14.3	14.4	3.0	6.6	-1.7	13.1	9.1	-5.0	-12.2
31	-0.4	-1.0			16.6	-0.1			19.8	8.3			23.8	16.3	27.5	15.0			5.5	0.3			-1.3	-7.3
Mittl. Max	5.49		5.94		6.85		16.17		14.06		22.32		23.38		23.93		18.77		11.25		9.50		1.32	
Mittl. Min.	0.01		-1.65		-0.82		6.03		7.04		11.98		12.33		13.82		9.94		5.71		3.93		-2.66	
Differenz	5.48		7.59		7.67		10.14		7.02		10.34		11.05		10.11		8.83		5.54		5.57		3.98	
Abs. Max.	12.2		19.1		16.6		24.7		20.3		29.7		31.0		27.5		28.1		21.9		18.1		14.0	
Abs. Min.	-4.3		-6.8		-6.0		1.7		2.6		7.4		7.8		10.2		1.3		-1.7		-4.3		-12.2	
Differenz	16.5		15.9		22.6		23.0		17.7		22.3		23.2		17.3		26.8		23.6		22.4		26.2	

Stündliche Monatsmittel der Lufttemperatur

	Januar	Februar	März	April	Mai	Juni	Juli	August	Septemb.	Oktober	Novemb.	Dezemb.	Jahr
1^{30}	1.47	0.09	0.88	7.83	8.12	13.66	14.10	15.17	11.40	7.13	5.45	-0.93	7.03
2^{30}	1.34	-0.00	0.71	7.41	8.12	13.23	13.75	14.93	11.15	7.15	5.43	-0.93	6.86
3^{30}	1.27	-0.18	0.55	7.25	7.95	12.93	13.41	14.49	11.04	6.96	5.47	-0.96	6.68
4^{30}	1.29	-0.38	0.42	6.98	7.71	12.62	13.19	14.21	11.01	6.89	5.29	-1.04	6.52
5^{30}	1.27	-0.47	0.19	6.76	7.55	12.46	13.11	14.04	10.80	6.94	5.20	-1.07	6.40
6^{30}	1.12	-0.46	0.15	6.80	7.80	12.86	13.72	14.45	10.87	6.97	5.17	-1.07	6.53
7^{30}	1.22	-0.42	0.52	7.57	8.52	14.04	14.77	15.32	11.47	7.17	5.31	-1.05	7.04
8^{30}	1.21	-0.25	1.00	8.69	9.19	15.08	15.83	16.20	12.22	7.51	5.48	-1.14	7.59
9^{30}	1.60	0.45	1.94	10.23	10.42	16.78	17.75	17.85	13.39	8.18	5.93	-0.80	8.64
10^{30}	2.67	1.46	3.19	11.73	11.05	17.94	18.96	19.48	14.43	8.83	6.57	-0.26	9.67
11^{30}	3.64	2.81	4.05	13.26	11.64	18.90	20.13	20.84	15.68	9.47	7.34	0.26	10.67
12^{30}	4.27	3.93	4.82	14.00	12.15	19.82	20.98	21.73	16.67	9.99	7.87	0.58	11.40
13^{30}	4.33	4.75	5.07	14.58	12.31	20.65	21.32	22.20	17.09	9.98	8.33	0.45	11.75
14^{30}	4.57	5.23	5.21	15.04	12.61	21.35	21.60	22.72	17.75	10.23	8.37	0.38	12.09
15^{30}	4.42	4.99	4.88	14.75	12.49	21.38	21.48	22.42	17.57	9.83	8.06	0.26	11.88
16^{30}	3.83	4.37	4.52	14.44	12.46	21.04	21.65	22.00	16.81	9.38	7.56	-0.20	11.49
17^{30}	3.07	3.41	4.08	14.16	12.13	20.69	20.90	21.35	15.70	8.59	7.04	-0.49	10.88
18^{30}	2.64	2.55	3.17	12.69	11.57	19.47	19.80	19.83	14.16	8.09	6.79	-0.66	10.01
19^{30}	2.33	1.90	2.65	10.97	10.80	17.96	18.26	17.93	13.02	7.77	6.43	-0.89	9.09
20^{30}	2.08	1.35	2.17	10.20	10.05	16.80	16.99	17.27	12.63	7.47	6.24	-1.06	8.52
21^{30}	1.64	1.03	1.94	9.67	9.55	15.77	16.19	16.77	12.48	7.43	6.09	-1.11	8.12
22^{30}	1.35	0.68	1.52	9.14	9.26	15.28	15.52	16.43	12.11	7.34	5.89	-1.27	7.77
23^{30}	1.43	0.60	1.24	8.61	8.98	14.78	14.93	16.06	11.73	7.17	5.88	-1.24	7.51
0^{30}	1.29	0.44	1.09	8.11	8.67	14.33	14.49	15.62	11.48	7.00	5.88	-1.26	7.26
Mittel	2.31	1.58	2.33	10.45	10.05	16.66	17.20	17.89	13.45	8.06	6.38	-0.65	8.81

1939

Tägliche Maxima und Minima der Lufttemperatur

(Nach den Aufzeichnungen des Thermographen)

Säntis

Tag	Januar		Februar		März		April		Mai		Juni		Juli		August		Septemb.		Oktober		November		Dezember	
	Max.	Min.	Max.	Min.	Max.	Min.	Max.	Min.	Max.	Min.	Max.	Min.	Max.	Min.	Max.	Min.	Max.	Min.	Max.	Min.	Max.	Min.	Max.	Min.
1	-6.8	-12.7	-3.2	-7.3	-8.6	-12.7	0.3	-5.7	0.4	**-6.2**	4.2	-0.8	5.9	-1.8	9.2	3.6	**11.8**	6.4	1.4	-0.6	-2.4	-4.0	**-0.2**	-2.8
2	-6.2	-8.9	-4.0	-6.8	-5.8	-12.6	-1.3	-4.2	0.0	-3.9	7.8	2.9	-1.5	-4.1	9.7	3.0	11.0	6.2	0.3	-1.2	0.0	-3.7	**-0.2**	-4.4
3	-9.0	-15.1	-2.2	-5.6	-1.3	-5.8	-4.0	-6.0	0.5	-4.8	9.3	4.1	5.4	-3.4	9.6	3.0	10.6	6.1	1.0	-1.0	0.0	-3.0	-4.7	-11.3
4	-9.8	-15.0	0.5	-3.4	**0.6**	-5.5	-1.4	-5.5	-1.7	-4.6	9.7	4.3	9.7	3.0	8.3	3.0	9.5	1.5	5.2	0.2	1.6	-1.6	-6.8	-11.5
5	-9.4	-14.8	0.8	-1.6	-3.0	-5.0	0.0	-2.6	-2.0	-4.5	8.0	5.2	12.8	4.3	9.4	4.2	3.2	1.1	3.3	-0.9	-1.6	-11.0	-7.0	-11.1
6	-15.0	-17.5	2.9	-2.4	-1.1	-3.0	1.2	-1.5	1.9	-4.0	11.9	7.2	8.6	3.4	4.1	**-1.9**	7.3	2.0	0.0	-4.5	0.2	-8.7	-9.7	-12.3
7	-9.7	**-18.0**	**3.8**	-1.4	-1.6	-12.3	2.1	-1.0	0.9	-3.0	12.6	6.5	9.5	4.0	7.8	0.3	10.2	6.0	-2.2	-6.7	5.9	0.0	-11.8	-15.9
8	-3.2	-9.8	3.0	0.2	-10.7	-14.2	5.5	0.0	-3.0	-3.9	11.4	5.1	12.5	5.6	6.4	1.4	10.5	7.3	-5.0	-7.0	**7.8**	3.7	-7.5	-15.6
9	0.4	-3.4	1.2	-6.7	-10.6	-14.4	5.2	0.2	-2.8	-4.5	11.7	5.2	10.8	5.3	4.7	0.9	11.0	8.4	0.8	-6.8	5.6	0.4	-5.3	-7.4
10	-2.0	-5.0	-4.2	-6.3	-11.7	-14.4	3.7	0.3	0.0	-4.0	12.5	3.7	5.0	-0.3	9.6	2.9	10.4	5.7	0.6	-3.4	0.3	-2.6	-2.4	-8.6
11	-4.0	-7.5	1.4	-5.0	-12.6	-15.9	**5.6**	0.5	-0.8	-4.0	7.1	1.6	5.1	-0.4	**12.8**	5.1	8.7	5.1	-1.2	-3.7	4.9	0.2	-3.8	-8.0
12	-4.4	-10.3	0.2	-6.9	-13.5	-18.7	4.4	0.2	-1.5	-5.7	1.5	-4.3	5.1	2.0	9.2	5.4	7.3	1.8	-0.6	-3.0	4.0	0.0	-6.6	-9.4
13	-9.4	-11.7	-7.0	-12.5	-13.8	**-19.8**	5.3	-0.5	-1.0	-5.8	-1.4	-5.6	11.0	2.0	10.6	5.4	1.5	-1.4	2.7	-1.6	4.9	0.0	-4.8	-10.0
14	-3.2	-9.0	-11.6	**-17.1**	-14.0	-17.7	4.2	-0.7	-4.6	-5.8	-4.7	**-6.0**	10.6	3.5	9.0	3.7	2.5	-1.6	4.8	2.3	1.3	-2.4	-9.5	-11.7
15	**1.8**	-3.0	-5.0	-11.5	-11.1	-17.5	0.0	-4.1	-0.5	-5.7	0.0	-5.2	9.6	4.6	6.5	0.7	-1.1	-2.8	6.1	2.0	0.4	-5.4	-9.7	-12.0
16	-0.1	-1.7	-2.4	-6.6	-15.5	-19.0	0.0	-5.5	-1.4	-5.3	5.1	-1.0	8.9	0.1	3.8	1.3	-0.2	-1.9	3.0	-0.5	-2.2	-7.5	-6.4	-10.6
17	0.3	-2.6	-6.5	-10.3	-12.0	-17.5	-0.7	-7.6	-0.6	-5.5	2.0	-0.7	6.6	0.4	7.8	2.6	0.5	-2.4	7.3	3.1	-0.6	-3.2	-6.9	-9.6
18	0.0	-4.2	-9.8	-11.0	-11.4	-16.0	-7.5	-9.9	1.7	-2.6	2.0	-0.8	10.7	2.3	10.4	4.8	1.6	-1.3	**7.4**	3.4	-0.2	-2.8	-4.4	-9.0
19	-4.5	-7.5	-9.4	-11.8	-10.6	-17.1	-7.6	**-10.0**	1.4	-4.4	3.4	0.6	12.3	5.8	9.0	6.4	0.8	-1.1	4.8	-3.2	-2.0	-8.2	-2.6	-4.8
20	-5.4	-7.5	-9.6	-12.3	-12.3	-17.4	-1.3	-8.0	0.6	-4.4	4.4	1.3	11.3	5.4	9.5	5.7	1.6	-1.3	-3.5	-6.8	-8.3	-13.4	-2.7	-9.3
21	-4.8	-6.2	-11.5	-14.5	-14.0	-15.9	0.4	-1.2	-3.1	-4.1	9.2	2.7	12.2	5.0	9.2	5.6	2.0	-1.2	-6.9	-9.7	-10.9	**-15.8**	-6.0	-9.0
22	-3.8	-5.5	-9.6	-15.4	-10.4	-15.4	1.7	-6.0	-2.2	-3.9	10.2	5.0	4.8	0.4	11.0	5.2	5.0	-1.3	-8.1	-9.8	-8.3	-11.7	-6.1	-7.4
23	-5.0	-10.0	-4.2	-9.6	-9.4	-13.8	-7.3	-10.8	-0.4	-2.8	12.0	5.3	3.8	-0.3	9.3	6.0	4.2	-2.3	-8.0	-9.6	-9.5	-11.2	-4.8	-7.3
24	-9.0	-12.5	-1.5	-5.6	-9.2	-13.6	-4.7	-8.7	-0.5	-4.0	8.0	1.5	4.4	**-5.0**	10.8	6.0	-0.4	-2.9	-5.3	-9.8	-5.8	-10.3	-6.0	-8.0
25	-9.5	-13.0	-1.8	-5.1	-11.2	-14.0	-0.6	-5.9	-3.6	-5.6	8.3	-0.5	-2.6	**-5.0**	9.2	4.2	-0.4	-3.8	-5.3	-10.2	-10.1	-12.2	-3.4	-6.0
26	-9.7	-15.0	-2.2	-5.5	-9.6	-13.1	-0.4	-7.4	1.8	-5.0	2.3	-0.6	1.7	-2.6	6.5	3.0	0.8	-1.7	-10.2	**-14.7**	-1.6	-11.5	-5.4	-10.1
27	-12.6	-15.4	-5.8	-12.0	-7.0	-12.2	-4.6	-7.5	**3.0**	-0.3	1.6	-1.1	1.0	-2.0	8.9	4.2	-1.3	**-6.7**	-10.7	-14.2	-0.2	-2.1	-8.6	-17.2
28	-10.8	-15.4	-5.0	-12.0	-9.2	-13.0	-1.5	-5.3	-0.1	-5.3	9.5	-0.1	7.2	-0.4	9.0	5.2	1.2	-6.2	-12.8	-14.2	-2.2	-8.5	-16.2	-18.5
29	-3.0	-9.0			-8.4	-13.5	-1.4	-5.3	-4.0	-5.4	12.0	5.8	10.7	4.0	10.4	5.0	1.9	-1.9	-8.7	-12.7	-0.6	-9.6	-18.1	**-24.0**
30	-2.8	-4.8			-3.3	-10.1	-1.8	-6.5	0.5	-5.4	**13.0**	6.3	**14.6**	8.0	10.4	7.4	2.8	-0.5	-2.2	-10.3	0.2	-1.4	-17.0	-23.3
31	-3.0	-5.2			-2.9	-6.7			1.8	-1.3			12.8	3.6	12.0	7.1			-2.6	-4.1			-14.6	-17.8
Mittl. Max.	-5.62		-3.67		-8.88		-0.22		-0.57		6.82		7.76		8.84		4.48		-1.44		-0.98		-7.05	
Mittl. Min.	-9.59		-8.07		-13.48		-4.21		-4.38		1.59		1.53		3.88		0.51		-5.14		-5.58		-11.09	
Differenz	3.97		4.40		4.60		3.99		3.81		5.23		6.23		4.96		3.97		3.70		4.60		4.04	
Abs. Max.	1.3		3.8		0.6		5.6		3.0		13.0		14.6		12.8		11.8		7.4		7.8		0.2	
Abs. Min.	-18.0		-17.1		-19.8		-10.0		-6.2		-6.0		-5.0		-1.9		-6.7		-14.7		-15.6		-24.0	
Differenz	19.3		20.9		20.4		15.6		9.2		19.0		19.6		14.7		18.5		22.1		23.4		24.2	

Stündliche Monatsmittel der Lufttemperatur

	Januar	Februar	März	April	Mai	Juni	Juli	August	Sept.	Okt.	Nov.	Dez.	Jahr
1^{30}	-7.91	-6.14	-11.74	-3.46	-3.55	2.71	3.35	4.59	1.71	-3.46	-3.57	-9.15	-3.05
2^{30}	-7.90	-6.19	-11.80	-3.51	-3.58	2.63	3.32	4.57	1.66	-3.49	-3.65	-9.19	-3.09
3^{30}	-7.95	-6.21	-11.93	-3.52	-3.52	2.66	3.20	4.57	1.64	-3.51	-3.55	-9.23	-3.11
4^{30}	-8.06	-6.34	-11.92	-3.58	-3.56	2.71	3.17	4.44	1.60	-3.52	-3.41	-9.29	-3.15
5^{30}	-8.03	-6.47	-11.96	-3.54	-3.50	3.03	3.24	4.46	1.56	-3.48	-3.38	-9.36	-3.12
6^{30}	-8.06	-6.61	-12.02	-3.35	-3.17	3.62	3.61	4.74	1.59	-3.57	-3.40	-9.43	-3.00
7^{30}	-8.03	-6.67	-11.76	-2.84	-2.84	4.14	4.11	5.15	1.99	-3.57	-3.41	-9.34	-2.76
8^{30}	-7.81	-6.28	-11.30	-2.46	-2.60	4.53	4.66	5.85	2.37	-3.34	-3.15	-9.02	-2.38
9^{30}	-7.48	-5.68	-10.86	-1.94	-2.31	4.96	5.24	6.37	2.88	-3.09	-2.82	-8.58	-1.94
10^{30}	-7.08	-5.07	-10.33	-1.49	-1.89	5.46	5.98	7.31	3.35	-2.76	-2.48	-8.25	-1.44
11^{30}	-7.04	-5.07	-10.32	-1.35	-1.68	5.52	6.06	7.58	3.56	-2.53	-2.34	-8.12	-1.31
12^{30}	-6.97	-4.89	-10.20	-1.12	-1.32	5.74	6.40	7.91	3.78	-2.25	-2.30	-8.02	-1.10
13^{30}	-6.94	-4.74	-10.16	-0.72	-1.07	6.03	6.70	8.17	3.98	-2.18	-2.32	-8.13	-0.95
14^{30}	-7.17	-4.89	-10.15	-0.52	-1.10	5.93	6.82	8.07	3.86	-2.22	-2.53	-8.43	-1.03
15^{30}	-7.23	-5.13	-10.53	-0.80	-1.33	5.63	6.69	7.72	3.50	-2.42	-2.83	-8.78	-1.29
16^{30}	-7.47	-5.57	-10.75	-1.08	-1.80	5.05	6.23	7.50	3.09	-2.74	-2.99	-9.10	-1.64
17^{30}	-7.65	-5.81	-11.05	-1.32	-2.12	4.70	5.92	7.17	2.69	-3.06	-3.25	-9.07	-1.90
18^{30}	-7.73	-6.04	-11.39	-1.78	-2.43	4.45	5.50	6.49	2.37	-3.25	-3.32	-9.20	-2.19
19^{30}	-7.77	-6.13	-11.47	-2.31	-2.84	4.01	5.03	5.84	1.93	-3.35	-3.29	-9.29	-2.47
20^{30}	-7.75	-6.17	-11.63	-2.66	-3.02	3.61	4.50	5.24	1.75	-3.41	-3.39	-9.31	-2.69
21^{30}	-7.70	-6.11	-11.65	-2.98	-3.10	3.23	3.96	5.00	1.63	-3.49	-3.45	-9.39	-2.84
22^{30}	-7.68	-6.16	-11.75	-3.17	-3.20	3.05	3.67	4.81	1.52	-3.60	-3.55	-9.40	-2.96
23^{30}	-7.61	-6.11	-11.76	-3.27	-3.31	3.06	3.53	4.75	1.47	-3.66	-3.43	-9.49	-2.99
0^{30}	-7.61	-6.06	-11.60	-3.35	-3.36	2.98	3.37	4.73	1.47	-3.64	-3.48	-9.41	-3.00
Mittel	-7.61	-5.86	-11.25	-2.34	-2.59	4.14	4.76	5.96	2.37	3.15	-3.14	-9.00	-2.31

Temperatur-Minima 1939.

(Ablesungen an den Minimumthermometern)

Tag	Januar							Februar							März						
	Bern	Neuchâtel	Genf	Basel	Altdorf	Bevers	Lugano	Bern	Neuchâtel	Genf	Basel	Altdorf	Bevers	Lugano	Bern	Neuchâtel	Genf	Basel	Altdorf	Bevers	Lugano
1	0.5	−0.6	0.3	0.6	−0.1	−10.1	−3.0	−3.0	−3.5	−1.3	−2.8	−2.2	−18.0	−1.8	−0.2	0.3	2.0	1.5	1.7	−8.1	2.6
2	1.1	2.5	4.6	2.2	0.0	−12.0	−2.0	−3.7	−4.8	−1.4	−4.6	−2.3	−19.3	−1.4	−1.8	−3.1	−2.0	−0.4	0.6	−12.5	−1.2
3	−0.7	−1.5	0.6	0.3	0.0	−11.2	−0.4	−6.8	**−6.7**	−2.8	−5.7	**−4.4**	−19.5	**−3.4**	−1.4	−3.0	−2.0	0.3	−0.9	−11.4	−0.4
4	−4.0	−2.8	−0.3	−2.0	−4.1	−18.1	−3.4	−8.4	−5.1	−3.8	−5.5	**−4.4**	−18.8	−3.0	−0.4	−2.0	−1.0	0.3	−1.2	−11.2	−0.8
5	−3.2	−1.2	1.0	0.2	**−9.3**	**−18.5**	−4.0	**−10.0**	−5.3	**−6.0**	−5.7	−3.7	−16.9	−2.4	5.2	4.5	7.0	5.8	2.2	−8.1	0.6
6	−7.1	−3.0	−1.3	−2.7	−0.7	−13.0	**−5.6**	−7.9	−5.1	−3.2	**−5.8**	−2.2	−14.0	−1.2	7.1	5.7	7.5	8.6	6.3	−2.6	3.0
7	**−10.7**	**−9.1**	**−7.2**	**−6.0**	−4.1	−17.5	0.8	−8.5	−5.1	−4.0	−5.3	−3.1	−11.9	−1.0	1.6	2.4	5.1	3.6	1.9	−2.5	2.0
8	−4.2	−3.8	−2.1	−1.7	−1.2	−18.5	−4.6	−8.0	−6.0	−4.6	−5.6	−3.1	−11.4	0.2	0.4	−0.1	2.0	1.8	1.2	−7.0	5.4
9	−6.0	−4.0	−6.3	−2.2	−4.7	−16.2	**−5.6**	−7.2	−4.6	−4.8	−4.8	−4.2	−12.0	0.2	0.0	−1.2	2.4	0.4	0.1	−7.5	1.6
10	−8.2	−6.2	−6.2	−3.2	−4.5	−15.0	−4.4	1.8	2.5	2.3	3.4	1.3	−4.5	3.4	−0.5	−1.0	0.4	0.6	0.8	−8.0	5.2
11	−2.8	−4.0	−2.8	−0.1	−3.2	−9.5	0.6	−0.9	−1.7	−0.5	1.3	−0.8	−7.6	4.6	−1.0	−1.5	−0.6	0.5	−0.6	−10.4	1.4
12	−1.7	−2.5	0.4	1.3	1.3	−5.6	−0.2	−0.6	−1.0	1.6	1.3	0.4	−9.1	1.0	−1.7	−1.7	−2.2	−1.0	−0.7	−15.5	−2.2
13	−0.6	−1.0	−0.6	0.2	−0.6	−15.7	−0.4	−0.1	−0.4	2.0	1.3	1.4	−10.3	2.2	−3.3	−3.8	−1.4	−1.8	−3.3	−18.1	0.2
14	−0.7	−0.6	3.0	2.1	0.8	−16.4	−1.4	−2.1	−2.5	0.8	−1.7	−0.8	−12.7	6.2	−3.6	−4.6	−2.6	−3.1	−3.0	−20.2	**−2.4**
15	0.3	1.5	5.0	3.5	0.9	−13.3	−1.6	−5.5	−5.0	−3.6	−4.7	−4.1	**−19.6**	0.2	−1.2	−2.3	−1.5	−0.1	−1.3	−14.5	3.4
16	1.5	0.6	5.5	5.2	6.8	−4.5	1.2	−5.0	−5.2	−4.7	−4.2	−4.3	−15.0	−2.4	−5.5	−3.3	−1.8	−2.3	−2.2	−15.0	−1.4
17	4.0	5.3	8.3	7.8	8.3	−1.2	1.6	−2.8	−2.6	−3.1	1.5	−3.0	−14.2	−2.0	**−6.1**	−5.2	−2.3	−3.1	−4.0	−18.3	**−2.4**
18	3.9	3.2	5.7	6.8	8.3	1.0	2.2	0.8	−1.0	0.0	0.7	0.0	−8.6	0.4	−3.8	−3.1	−1.8	−2.9	−2.0	−20.0	−2.0
19	1.1	3.4	5.0	5.5	5.8	−1.0	3.0	1.7	1.7	3.0	1.6	2.5	−8.5	−0.8	−6.0	**−6.3**	**−3.0**	**−11.4**	**−4.8**	**−20.5**	−0.2
20	0.8	2.6	3.3	2.8	2.6	−3.5	2.2	1.1	0.7	1.6	1.4	1.9	−10.3	3.0	−5.1	−3.8	−2.0	−5.9	−2.6	−15.3	−2.0
21	2.0	2.1	6.3	3.8	2.6	−3.6	3.8	−0.6	−1.8	1.0	−1.9	2.0	−14.0	2.6	−2.1	−3.4	−0.6	−1.6	−1.8	−15.3	1.2
22	3.4	4.6	6.8	6.9	4.8	−4.4	4.0	−3.8	−4.9	−3.0	−4.2	−1.4	−18.4	2.4	−1.0	−1.3	−1.0	0.1	0.3	−10.0	0.2
23	1.4	0.0	2.2	4.6	3.0	−10.5	2.2	−0.6	−0.9	2.8	0.0	0.3	−11.3	0.6	−0.9	−0.8	0.3	−0.7	−1.2	−13.8	0.6
24	1.7	0.8	3.4	3.0	2.0	−11.0	0.0	0.4	−0.4	1.8	1.8	8.4	−4.4	−0.4	−0.7	−0.9	−0.2	−0.5	−1.2	−14.0	4.4
25	0.0	−1.5	−0.8	1.0	−0.6	−16.5	0.4	1.4	1.9	5.0	1.2	4.7	−2.1	1.0	−1.4	−1.9	−0.3	−1.2	−0.1	−9.0	1.4
26	−3.7	−1.1	0.0	0.2	0.3	−8.0	−0.4	4.3	3.8	4.7	3.5	5.0	−1.0	3.5	−0.4	−1.7	0.0	−0.6	−1.1	−16.5	1.4
27	−5.9	−4.8	−2.0	−4.0	−5.5	−13.2	−3.2	0.5	1.9	4.7	1.6	1.6	−3.4	4.4	0.1	−0.9	0.4	0.4	0.8	−11.2	2.4
28	−7.7	−6.1	−5.0	−2.9	−4.6	−18.5	−2.0	−1.8	−2.3	−1.0	−2.2	−1.8	−13.6	1.8	0.5	−1.7	0.8	1.0	1.2	−8.2	2.6
29	−6.7	−3.2	−2.2	−3.8	−3.8	−17.5	−1.2								0.1	0.1	0.0	1.5	1.3	−14.1	−0.4
30	−6.7	−3.1	−1.0	−0.1	−3.0	−15.6	−1.0								−2.1	−2.2	−0.2	−3.3	−1.1	−16.8	0.0
31	−1.8	−2.5	−0.3	0.3	−0.8	−18.2	−1.4								−1.5	−1.9	0.0	0.6	2.8	−7.2	4.4
Mittel	−2.0	−1.2	0.8	1.0	−0.1	−11.5	−0.8	−2.7	−2.3	−0.6	−1.6	−0.6	−11.8	0.6	−1.2	−1.6	0.1	−0.4	−0.4	−12.4	0.9

Tag	April							Mai							Juni						
	Bern	Neuchâtel	Genf	Basel	Altdorf	Bevers	Lugano	Bern	Neuchâtel	Genf	Basel	Altdorf	Bevers	Lugano	Bern	Neuchâtel	Genf	Basel	Altdorf	Bevers	Lugano
1	2.6	2.6	5.5	0.7	3.1	−3.2	**1.8**	**2.3**	**0.7**	**1.6**	**−0.1**	5.8	−2.1	5.8	7.7	8.4	10.5	9.2	**6.6**	1.0	**7.8**
2	**2.0**	2.4	6.0	4.8	4.3	−4.1	5.6	7.1	6.7	8.3	4.6	7.4	−1.8	7.2	10.3	12.3	12.0	13.1	10.4	5.0	12.6
3	4.7	2.3	5.0	5.4	4.8	−0.5	6.4	6.3	5.5	7.5	7.9	8.1	−4.5	6.2	13.2	11.4	14.0	12.4	11.8	3.1	14.0
4	5.2	5.8	8.8	7.9	3.8	−0.5	6.8	7.1	5.6	7.0	7.6	7.8	0.2	5.6	11.7	10.5	13.3	9.3	11.8	2.0	12.2
5	7.5	5.8	9.0	8.3	9.0	−1.0	7.0	8.0	6.3	9.0	7.8	9.2	1.1	6.8	10.4	11.4	13.8	8.0	12.6	3.6	14.0
6	7.3	5.3	7.2	7.3	8.3	1.8	7.0	5.3	4.1	5.6	5.5	6.9	−2.8	9.0	12.8	13.9	14.0	12.8	13.4	3.5	15.6
7	8.8	6.8	7.5	8.8	9.3	0.8	7.4	6.9	5.5	8.0	7.7	9.4	−1.0	7.6	13.3	13.4	16.4	13.4	15.2	8.3	16.0
8	8.8	7.4	8.9	8.3	9.8	−1.6	8.0	6.3	4.4	7.5	5.7	7.7	−2.1	**3.4**	14.1	13.3	14.6	14.9	14.3	3.8	12.0
9	7.6	8.3	8.8	7.3	8.2	−1.0	7.6	5.9	6.0	7.5	7.8	7.5	0.0	5.0	12.3	12.6	15.0	14.5	15.0	4.6	14.0
10	5.3	5.9	6.8	5.9	5.3	−3.9	7.0	5.8	6.0	7.2	8.7	6.8	−0.1	8.6	13.8	13.4	15.8	11.2	13.6	9.4	16.4
11	5.3	5.0	7.5	7.5	5.3	−0.9	11.0	6.3	5.5	8.0	9.1	9.8	1.3	6.2	13.3	12.7	13.5	13.1	15.0	3.7	14.4
12	8.3	7.9	11.6	8.8	10.2	−2.9	7.8	7.1	5.6	8.3	6.3	7.5	0.2	9.4	8.6	7.8	9.7	10.8	9.8	2.0	12.4
13	8.8	7.3	9.5	9.8	9.9	−3.1	8.4	4.3	4.0	6.0	6.2	7.3	0.0	5.6	6.8	5.4	8.2	7.6	8.3	0.5	9.4
14	9.6	9.8	10.3	10.2	10.8	−4.1	8.4	5.3	4.1	4.0	7.1	7.7	**−5.4**	5.6	**6.5**	**4.7**	8.0	5.9	8.0	1.2	9.0
15	8.1	6.5	7.9	9.2	9.4	−4.2	9.6	6.3	5.4	7.1	6.8	6.1	0.0	4.6	8.8	5.1	9.1	**4.8**	9.1	0.5	12.4
16	7.3	4.3	5.5	4.3	6.8	−4.0	5.0	5.3	4.2	6.5	6.7	7.9	0.0	8.8	6.8	5.9	**7.5**	6.6	7.7	**−1.7**	10.4
17	6.1	4.5	8.7	6.8	6.8	−3.5	5.8	5.9	4.2	6.3	4.5	7.6	0.5	7.8	10.7	10.8	12.9	13.4	12.8	2.4	10.4
18	4.5	3.5	4.0	5.0	4.0	−2.1	11.2	6.7	5.0	5.4	8.0	7.3	1.5	7.6	8.4	7.0	9.2	8.8	11.2	6.5	13.8
19	3.9	2.9	5.0	3.1	3.8	−3.8	10.0	5.5	4.3	5.0	6.9	**5.4**	0.0	8.8	11.1	6.9	12.0	11.8	11.4	4.7	14.6
20	3.0	3.1	4.0	0.8	**1.8**	**−6.2**	3.2	6.9	3.9	5.0	5.8	6.8	−2.1	8.6	11.5	9.8	13.8	11.6	13.3	4.2	13.2
21	3.2	4.9	4.6	**0.8**	3.5	−4.9	4.6	7.5	7.1	8.8	8.6	8.1	0.5	9.8	10.8	9.8	13.0	11.6	12.8	6.5	13.6
22	4.6	3.3	5.0	5.0	4.9	−4.0	6.0	7.2	7.0	9.0	9.1	7.8	2.5	13.8	11.8	12.0	15.0	12.0	11.6	2.3	12.8
23	5.3	3.7	5.7	5.2	7.1	−1.8	6.2	8.1	7.0	9.0	7.9	9.0	1.1	8.8	12.5	11.0	15.0	12.7	15.4	4.0	13.8
24	5.9	4.4	6.2	5.3	6.2	−1.9	8.2	8.8	8.3	10.0	6.9	8.3	3.5	10.4	12.8	11.4	12.9	13.3	13.8	7.0	15.2
25	6.4	5.8	9.0	6.4	6.8	0.5	8.0	6.8	5.9	7.3	5.8	8.0	2.0	9.0	11.6	10.6	12.8	12.3	11.6	4.0	12.0
26	4.0	1.4	4.5	5.5	7.3	0.5	7.6	6.1	4.2	6.0	7.6	5.9	1.0	9.4	12.3	11.3	12.5	13.3	13.9	3.6	13.4
27	4.4	**1.2**	**2.8**	5.1	4.0	0.6	8.6	7.2	7.0	7.8	10.3	7.6	0.0	9.0	12.1	9.7	12.0	10.5	13.3	4.2	11.6
28	3.5	2.8	5.0	4.1	3.8	0.0	5.6	6.9	6.3	8.0	6.3	8.7	1.4	9.4	10.1	8.5	10.0	8.3	9.8	0.0	11.2
29	3.4	3.2	5.6	4.2	5.3	0.0	6.6	6.9	6.4	9.0	6.6	7.5	0.5	8.4	13.3	11.5	15.3	13.8	13.5	2.3	13.0
30	3.5	3.0	3.7	3.4	5.9	−0.4	6.8	7.6	7.0	8.3	4.0	7.3	−2.0	8.4	14.8	13.2	16.6	15.1	15.7	5.2	15.2
31								8.2	9.1	7.8	7.2	7.4	3.0	11.0							
Mittel	5.6	4.7	6.7	5.8	6.3	−2.0	7.1	6.5	5.6	7.2	6.8	7.6	−0.1	7.9	11.1	10.2	12.6	11.2	12.1	3.6	12.9

Temperatur-Minima 1939.

Tag	Juli							August							September						
	Bern	Neuchâtel	Genf	Basel	Altdorf	Bevers	Lugano	Bern	Neuchâtel	Genf	Basel	Altdorf	Bevers	Lugano	Bern	Neuchâtel	Genf	Basel	Altdorf	Bevers	Lugano
1	10.5	11.0	12.5	12.6	14.2	7.1	16.8	14.9	11.4	14.8	11.7	14.8	6.5	15.6	15.0	14.4	16.3	16.5	14.8	3.2	
2	9.6	8.5	10.0	9.9	11.8	2.8	11.2	14.3	12.6	13.0	12.6	16.5	7.2	16.2	15.4	13.7	16.0	16.1	16.8	7.2	
3	8.3	7.2	**9.0**	**7.6**	**8.2**	**-1.0**	10.6	12.6	10.7	13.0	11.1	14.6	6.6	16.6	15.2	14.0	15.6	16.3	15.2	7.5	
4	10.6	8.6	10.8	8.8	10.6	1.4	12.2	12.7	12.0	15.8	13.7	13.5	7.4	15.6	13.0	13.5	14.7	14.8	15.0	9.4	
5	13.7	11.4	14.5	12.1	17.3	4.9	14.2	12.8	11.9	13.2	13.0	13.3	7.7	14.6	12.2	11.0	12.2	13.8	13.2	6.7	Wegen Mobilisation nicht beobachtet
6	15.1	12.7	14.8	15.2	16.2	7.4	14.6	11.1	9.9	11.6	11.8	11.7	4.3	13.8	11.8	10.9	11.8	13.9	10.9	7.8	
7	13.0	10.9	12.0	11.1	11.6	6.2	15.2	**9.5**	**8.2**	**10.0**	9.8	**10.3**	0.0	**11.4**	11.6	12.0	12.2	12.8	11.8	4.1	15.8
8	13.3	11.4	12.8	13.1	14.8	5.5	15.6	13.1	11.9	13.8	13.5	14.2	6.8	14.4	12.7	12.2	14.0	13.1	12.3	5.5	16.2
9	15.8	15.0	20.0	15.5	17.3	6.4	18.0	14.0	11.0	14.7	12.8	13.8	5.2	11.8	13.2	11.0	16.0	11.4	13.4	7.2	15.6
10	14.6	14.5	17.8	15.2	15.1	6.6	18.2	11.9	10.5	11.8	12.7	12.4	1.5	12.6	12.0	9.8	12.0	11.7	11.3	4.2	13.6
11	13.1	11.0	12.0	9.9	14.0	3.1	13.4	13.3	11.0	14.0	14.6	13.7	2.8	15.4	13.8	12.7	13.8	14.9	13.7	2.5	13.0
12	12.3	10.2	12.3	9.3	14.0	3.3	14.8	14.7	13.0	16.0	14.8	16.3	2.1	16.0	13.1	11.8	14.3	11.8	13.7	3.8	16.4
13	11.3	10.0	11.6	10.0	13.9	2.0	14.0	14.7	13.7	16.8	14.3	16.7	8.4	16.8	10.3	11.0	10.3	9.7	12.9	3.7	12.4
14	15.2	14.0	16.0	16.2	14.3	9.2	16.0	13.1	13.4	16.0	11.5	16.6	9.9	16.2	9.2	9.0	10.0	11.0	10.1	2.3	8.6
15	13.5	13.3	14.7	15.0	17.3	8.0	15.8	12.5	10.4	15.2	9.8	15.1	5.9	15.2	9.9	8.3	10.6	11.0	10.9	3.8	10.6
16	12.6	10.9	13.0	11.7	13.8	4.1	15.4	10.0	10.8	11.8	**7.6**	11.3	**-0.1**	14.4	9.9	9.0	8.5	10.3	10.7	2.4	12.0
17	11.6	10.2	14.0	10.6	13.1	5.1	13.0	11.9	13.0	11.7	11.3	12.6	5.2	13.6	9.2	8.3	10.4	10.5	10.6	0.0	9.0
18	11.4	9.7	11.7	11.8	13.8	5.5	14.6	12.1	13.5	13.0	11.6	12.4	8.3	14.4	9.3	10.5	10.8	11.7	11.5	3.4	11.2
19	13.8	12.0	14.5	13.3	16.3	5.4	14.8	13.3	12.0	15.0	11.3	14.5	3.8	15.6	9.5	9.0	11.0	11.1	11.6	3.0	9.6
20	13.5	11.7	15.0	13.8	16.2	4.7	14.0	13.7	13.0	14.4	14.6	15.3	6.7	14.4	10.0	8.8	12.0	11.2	11.3	3.0	9.4
21	14.3	12.3	14.6	13.9	15.7	8.6	17.0	14.8	14.0	15.3	15.6	14.5	6.7	15.0	10.0	8.8	10.0	10.6	11.0	3.9	10.6
22	12.7	11.5	14.3	13.8	13.5	4.0	17.2	15.2	13.2	14.2	15.7	16.7	6.5	15.0	7.1	6.5	8.0	9.6	7.8	0.0	8.6
23	11.5	9.9	13.0	11.8	12.5	3.4	13.8	14.5	14.2	15.0	16.1	15.7	7.0	15.0	8.3	7.2	10.9	10.6	10.4	-2.5	9.6
24	8.5	7.0	11.2	9.6	11.7	1.0	13.0	13.7	13.7	14.5	16.6	15.3	4.1	15.2	6.0	5.9	8.0	8.9	10.5	-2.0	8.8
25	**7.8**	**6.4**	**9.0**	7.8	**8.2**	0.5	**8.2**	16.0	14.8	15.5	16.3	16.3	3.9	15.0	6.7	6.7	9.3	5.6	10.1	-1.2	11.6
26	9.9	8.4	**9.0**	11.2	9.3	0.2	9.2	14.9	14.0	15.6	15.9	16.4	4.2	14.8	5.1	3.7	7.5	0.9	10.1	-3.6	11.2
27	10.7	10.1	13.0	11.5	11.8	0.7	11.6	13.7	13.0	14.0	15.8	13.4	4.8	15.0	6.5	5.8	8.0	2.8	9.8	-3.0	11.0
28	8.4	8.4	9.4	8.9	8.3	2.2	11.0	13.2	12.1	13.5	13.4	13.6	3.2	15.6	3.7	2.8	**6.2**	0.9	7.3	-1.5	9.8
29	11.3	9.6	11.6	11.7	11.8	1.4	11.6	13.5	12.5	13.0	13.0	13.3	2.6	14.4	**2.3**	**1.2**	6.8	**-1.2**	**4.3**	-2.1	7.6
30	13.5	11.7	14.7	14.1	13.1	3.8	14.2	15.2	12.9	15.0	15.2	14.3	4.0	16.4	7.2	2.5	8.0	-0.1	4.8	**-7.0**	**4.6**
31	16.1	15.0	18.0	14.8	18.5	7.0	17.2	15.5	13.5	14.8	15.6	14.3	3.6	15.6							
Mittel	12.2	10.8	13.1	12.0	13.5	4.2	14.1	13.4	12.3	14.1	13.3	14.3	5.1	14.9	10.0	9.1	10.8	10.1	11.3	2.4	11.8

Tag	Oktober							November							Dezember						
	Bern	Neuchâtel	Genf	Basel	Altdorf	Bevers	Lugano	Bern	Neuchâtel	Genf	Basel	Altdorf	Bevers	Lugano	Bern	Neuchâtel	Genf	Basel	Altdorf	Bevers	Lugano
1	9.2	8.5	11.3	5.8	7.6	-1.0	8.6	0.6	0.1	3.0	0.4	2.3	-7.2	5.2	3.4	3.8	5.0	3.1	3.5	-2.7	1.8
2	10.4	9.8	11.3	7.6	10.3	2.8	8.6	1.5	0.4	5.0	1.9	2.9	-7.1	4.2	1.0	1.5	0.3	0.8	1.3	-6.3	0.2
3	8.3	7.7	10.4	7.0	10.1	0.1	8.8	3.3	2.0	5.6	2.9	4.1	-2.2	6.2	0.8	2.3	2.8	0.8	1.9	-6.0	2.4
4	6.0	5.5	9.8	7.2	9.3	3.5	10.2	4.5	3.7	5.0	4.7	10.8	0.2	7.4	0.1	0.6	1.6	-0.8	-0.3	-10.5	-1.4
5	8.1	7.3	10.0	8.4	10.3	5.5	12.2	1.8	3.4	4.3	2.5	3.8	-6.0	6.4	1.5	1.6	2.5	2.5	3.4	-4.9	2.8
6	5.4	5.7	8.1	9.0	7.0	1.0	9.8	3.3	3.5	4.8	2.8	3.3	-8.3	2.4	1.0	-0.6	0.8	0.7	1.7	-6.4	1.6
7	4.7	5.2	7.0	6.1	4.8	0.6	5.6	7.0	4.7	8.3	9.2	7.2	-3.1	2.2	-1.9	-1.1	1.5	0.2	1.2	-8.0	5.2
8	4.5	4.6	3.2	4.5	5.3	0.0	6.2	4.5	3.7	5.0	7.7	6.8	-4.5	4.2	-6.2	-5.7	-3.0	-4.2	-3.5	-21.3	0.8
9	2.7	2.7	4.6	4.4	3.0	-5.2	4.2	4.4	2.7	4.5	5.2	4.5	-4.5	7.8	0.2	-1.4	0.6	-0.6	-0.5	-16.2	-2.2
10	7.5	6.3	9.2	7.3	6.2	0.5	6.8	8.1	6.2	8.9	7.6	7.4	1.1	9.2	1.3	0.3	3.0	1.1	0.8	-13.0	-2.8
11	6.0	3.7	3.6	2.7	6.7	-0.1	8.8	7.9	5.9	8.7	6.1	6.9	-0.3	9.8	0.2	0.3	5.0	0.8	3.2	-3.8	1.0
12	7.2	5.6	7.8	7.1	5.8	-0.7	10.2	7.0	5.6	7.5	7.7	5.5	-3.0	10.6	-1.7	-1.9	1.6	-0.3	1.3	-12.5	0.6
13	9.5	9.3	11.3	8.8	9.3	3.4	9.6	4.6	4.1	7.0	6.2	4.7	-4.1	10.0	-2.5	-2.7	0.0	-1.1	0.5	-15.7	1.0
14	10.8	12.0	15.4	12.7	12.2	4.9	11.2	5.3	4.2	6.0	7.2	3.7	-5.0	4.4	-1.9	-5.1	-0.8	-3.2	0.3	-17.8	0.0
15	9.7	9.9	12.8	12.8	17.5	7.4	12.2	6.8	5.4	7.9	7.3	3.1	-6.0	3.6	-1.5	-3.5	-0.5	-2.7	-1.0	-18.6	0.4
16	10.2	8.7	11.0	10.8	11.4	7.3	13.2	5.5	4.4	5.3	5.3	6.3	-1.5	3.8	-2.6	-3.4	-0.7	-1.8	-1.4	-14.1	1.0
17	10.6	9.4	12.5	9.3	10.3	7.2	14.8	9.3	4.9	5.4	7.7	7.3	-1.5	5.4	-2.0	-3.4	0.0	-1.9	0.1	-9.1	-0.4
18	11.4	10.4	12.5	10.6	14.4	6.4	13.4	10.9	9.4	10.3	11.2	9.6	-2.1	9.8	-2.0	-3.2	0.2	-1.7	-0.7	-13.5	0.8
19	10.4	9.0	11.0	10.0	11.8	5.0	14.8	5.0	4.0	6.8	6.3	6.2	-4.5	5.2	-2.6	-3.6	0.4	-2.9	0.5	-11.0	2.8
20	6.9	6.1	7.2	7.2	8.9	3.2	13.0	3.8	3.1	4.7	4.7	4.7	-4.8	8.8	-3.1	-3.8	0.0	-3.5	0.4	-6.6	3.2
21	3.3	2.7	5.7	4.1	5.6	-1.0	6.8	-0.8	-2.2	1.5	-0.7	1.0	-13.5	4.2	-3.2	-4.1	-1.5	-3.2	-0.7	-17.0	-0.4
22	3.0	3.0	5.0	3.0	5.2	-3.1	7.4	-1.0	-2.3	0.6	-3.2	-0.9	-18.0	-1.0	-2.3	-3.5	-1.0	-3.7	-3.2	-18.5	-1.2
23	3.8	3.3	6.0	4.9	5.0	-3.6	6.8	-3.6	-4.0	-2.2	-3.5	-3.7	**-20.0**	2.2	-4.0	-3.3	-1.0	-3.7	-4.0	-18.4	-3.2
24	1.2	0.8	0.0	1.3	3.5	-6.9	9.2	**-5.0**	**-5.4**	**-5.3**	**-4.3**	**-5.1**	-19.6	-1.8	-3.8	-4.0	-1.2	-3.8	-4.9	-17.0	-2.8
25	2.3	2.3	6.3	3.3	4.1	-4.0	4.2	0.1	-0.8	1.7	-1.1	0.3	-13.1	-0.8	-4.8	-5.0	-2.0	-5.3	-4.1	-18.1	-3.6
26	-0.1	-0.5	1.2	1.6	1.8	-9.0	3.2	0.4	-1.4	-1.0	-0.7	0.2	-13.0	**-2.4**	-5.3	-6.0	-3.0	-6.7	-4.3	-18.9	-3.6
27	-0.8	**-1.6**	0.0	0.1	0.9	-11.0	2.6	8.6	5.5	7.0	3.7	2.7	-5.0	0.0	-2.8	-5.1	-2.5	-4.7	-1.9	-11.3	-2.0
28	-1.0	-1.5	**-0.6**	0.0	0.6	-12.1	-0.6	2.4	4.0	4.4	5.3	2.2	-7.5	-0.8	-5.7	-6.4	-1.5	-6.4	-3.6	-16.2	-0.8
29	0.3	-1.2	1.8	0.4	1.4	-12.0	0.2	2.3	1.4	1.8	3.1	2.2	-11.0	0.2	-12.1	-11.3	-7.0	-11.4	-6.7	-24.1	-5.0
30	**-2.7**	-1.3	0.5	**-0.3**	**1.7**	**-14.5**	**-1.0**	7.6	5.6	5.8	10.8	5.4	0.2	1.2	**-14.5**	**-16.1**	**-12.0**	**-15.6**	**-12.7**	**-29.6**	**-8.8**
31	-0.1	-0.3	2.0	-0.2	1.4	-10.2	1.6								-8.5	-8.9	-11.0	-10.2	-9.1	-24.5	-8.6
Mittel	5.4	4.9	7.0	5.7	6.8	-1.2	7.8	3.9	2.7	4.6	4.1	3.9	-6.5	4.3	-2.8	-3.3	-0.8	-2.9	-1.4	-13.9	-0.7

Temperatur-Maxima 1939. (Ablesungen an den Maximumthermometern)

Tag	Januar							Februar							März						
	Bern	Neuchâtel	Genf	Basel	Altdorf	Bevers	Lugano	Bern	Neuchâtel	Genf	Basel	Altdorf	Bevers	Lugano	Bern	Neuchâtel	Genf	Basel	Altdorf	Bevers	Lugano
1	5.0	5.1	6.9	7.8	5.2	−4.0	6.2	−1.2	−1.4	0.8	1.4	1.5	−3.1	3.6	4.5	6.1	9.5	9.9	6.0	−0.4	12.4
2	5.3	5.8	7.7	8.3	6.3	−1.0	2.2	−2.2	−2.7	−0.3	−0.6	0.7	−4.2	5.8	8.2	8.0	7.2	10.1	9.6	1.0	11.4
3	2.8	2.3	5.5	4.0	3.8	−1.0	6.2	−1.7	−2.3	−1.0	2.8	0.8	−3.8	6.2	12.1	11.5	9.6	16.1	12.0	3.7	11.6
4	1.6	3.5	4.3	4.5	3.6	−10.0	4.6	−1.0	−1.5	0.0	2.5	0.5	−3.0	7.2	12.7	12.3	14.3	16.5	14.4	5.8	12.4
5	2.6	2.6	5.2	4.2	4.5	−6.2	3.0	1.5	−1.1	−1.0	3.8	1.7	1.3	8.0	8.5	8.4	9.2	11.3	8.0	6.8	10.0
6	1.0	1.9	3.2	4.6	1.6	−6.6	4.8	1.2	−2.2	−0.1	6.2	0.6	1.2	9.2	**13.7**	10.8	**16.2**	14.5	13.0	9.1	8.8
7	−1.2	−2.4	−0.5	0.0	1.1	−9.0	5.4	2.8	−2.1	−0.9	5.6	1.3	2.0	10.0	12.2	9.4	14.0	13.0	13.5	**9.4**	13.4
8	4.0	3.5	3.2	3.5	4.7	0.0	3.4	2.4	−1.4	0.0	7.2	1.3	2.1	10.4	3.3	3.4	5.6	6.5	5.8	−2.0	12.0
9	0.2	−0.3	2.0	4.2	0.7	−3.9	4.2	4.3	6.9	4.0	10.4	2.9	3.8	13.4	3.0	4.3	6.1	6.3	2.5	−1.2	11.6
10	1.5	−0.7	−0.4	4.1	0.3	−2.8	4.6	**11.4**	10.1	11.4	10.5	8.1	5.1	**20.2**	5.1	6.7	6.3	5.4	4.0	−2.3	12.4
11	3.7	2.6	4.0	6.1	9.2	0.5	1.6	8.3	9.6	8.9	**12.5**	7.3	6.0	16.2	4.3	5.1	6.9	6.7	3.9	−2.2	13.0
12	3.2	2.2	4.0	5.5	11.2	0.5	1.2	7.3	7.2	8.0	12.1	**8.1**	**6.7**	12.0	3.0	5.3	5.3	6.4	3.5	−4.0	11.2
13	4.2	5.9	7.6	7.9	5.5	−2.0	5.4	4.6	5.4	7.0	7.5	5.4	1.0	13.0	1.4	3.3	3.6	3.7	3.4	−6.2	8.0
14	6.0	7.5	9.8	11.9	7.5	−0.4	6.0	2.3	4.2	4.0	5.3	3.3	−3.7	11.0	−0.8	−0.6	0.1	1.2	2.7	−3.4	12.4
15	5.7	9.0	11.8	9.1	14.8	1.5	5.4	3.5	4.9	3.8	5.7	2.1	−3.6	7.6	4.7	4.9	5.1	5.5	2.8	−5.5	10.0
16	7.3	10.6	13.8	**16.5**	16.0	**4.3**	4.0	6.1	6.0	5.8	8.1	4.0	1.2	9.6	3.0	4.0	4.0	3.9	1.6	−7.9	7.4
17	7.3	**11.0**	13.7	13.3	**17.0**	4.0	4.4	4.3	3.7	6.3	5.3	5.2	1.1	10.2	2.5	1.7	4.3	3.9	0.3	−6.9	7.2
18	7.1	8.6	**15.6**	11.4	16.4	4.2	4.6	6.1	5.6	9.2	8.2	6.3	0.5	9.2	−1.3	1.7	1.3	1.4	1.5	−0.8	5.4
19	6.7	8.8	11.2	12.2	8.3	3.8	5.4	6.0	6.5	7.8	6.0	6.0	0.5	14.8	1.8	2.7	1.6	5.3	2.0	−1.3	8.2
20	4.6	6.2	8.9	7.1	7.1	4.0	8.4	7.2	6.4	7.3	5.9	8.6	−1.0	13.0	5.0	5.2	4.7	3.9	2.8	−3.8	12.8
21	5.7	6.8	8.2	13.0	8.0	1.0	6.8	2.4	5.8	5.0	5.5	3.7	−3.0	10.2	3.0	4.5	3.6	4.0	2.8	−3.0	10.4
22	**8.2**	7.9	10.0	11.3	9.5	2.0	8.8	4.5	5.0	6.0	5.1	5.8	−3.0	8.4	3.5	2.9	5.0	4.7	4.0	−1.3	14.6
23	5.8	5.7	9.0	8.7	6.9	−0.5	7.2	7.6	7.9	7.2	9.9	11.0	−0.6	6.4	5.6	5.9	7.5	7.2	4.3	1.2	12.4
24	4.3	5.7	5.2	6.3	4.8	−1.2	**12.6**	10.0	10.8	10.5	**8.7**	**15.0**	5.1	2.0	5.7	7.6	6.8	9.9	5.3	1.5	11.4
25	3.7	4.1	4.0	5.7	7.0	−3.0	7.0	10.0	**11.8**	11.2	11.0	11.1	4.5	6.6	5.0	6.6	6.3	5.6	5.0	0.5	8.6
26	4.1	4.5	5.6	6.0	3.7	−2.8	1.2	10.3	9.7	**12.6**	8.0	10.7	3.0	7.4	3.8	5.8	6.5	6.9	5.8	0.2	12.4
27	1.0	0.0	2.9	3.4	1.4	−4.0	7.4	8.1	10.6	10.0	10.6	5.8	3.0	13.2	4.7	4.0	5.0	4.9	4.5	1.2	11.0
28	−0.3	0.7	1.3	4.5	1.1	−7.0	7.2	6.6	5.7	9.2	10.5	7.0	1.5	6.4	6.3	6.4	7.8	6.9	6.0	1.0	11.4
29	0.0	1.0	2.2	3.5	1.3	−1.0	5.4								8.1	10.2	8.2	12.4	12.4	0.5	**16.2**
30	−1.2	−0.8	0.7	1.5	1.8	−1.2	7.0								9.7	9.9	9.8	12.9	13.6	5.3	15.0
31	−0.2	−0.6	0.8	2.5	1.3	−4.5	8.0								**13.7**	**14.9**	12.3	**16.9**	**19.0**	5.0	**16.2**
Mittel	3.5	4.2	6.0	6.9	6.2	−1.5	5.5	4.7	4.6	5.5	7.0	5.2	0.7	9.7	5.7	6.2	6.9	7.9	6.3	0.0	11.3

Tag	April							Mai							Juni						
	Bern	Neuchâtel	Genf	Basel	Altdorf	Bevers	Lugano	Bern	Neuchâtel	Genf	Basel	Altdorf	Bevers	Lugano	Bern	Neuchâtel	Genf	Basel	Altdorf	Bevers	Lugano
1	14.8	15.2	15.0	18.9	16.0	6.5	16.4	15.0	14.6	13.9	16.7	20.0	9.6	17.0	19.3	21.4	20.6	24.2	21.5	14.6	21.6
2	13.0	13.4	10.6	16.9	13.5	7.0	15.2	15.2	16.8	15.4	15.4	15.5	8.5	8.6	19.6	22.3	22.7	25.7	22.0	17.4	19.8
3	12.6	12.0	14.2	15.3	11.4	5.2	11.0	10.5	7.5	10.6	9.6	11.7	9.0	15.2	21.3	24.1	24.3	25.6	26.5	22.6	24.8
4	16.5	15.2	17.4	18.4	17.9	6.0	9.2	12.3	10.8	13.0	12.1	14.4	9.3	17.2	24.3	25.7	23.2	28.1	29.6	**25.8**	26.6
5	12.0	9.6	12.5	14.0	15.9	6.0	9.4	12.3	12.5	15.6	14.2	13.1	6.8	22.2	25.0	26.6	25.0	28.5	**31.1**	23.3	28.0
6	15.0	11.0	10.8	12.3	17.3	7.6	9.6	16.8	17.3	15.0	20.8	**22.0**	9.5	15.2	26.5	26.9	28.4	30.2	29.0	21.6	24.8
7	15.7	13.7	13.4	13.9	15.3	10.6	18.4	13.1	14.2	14.2	15.1	13.5	10.2	17.6	26.0	27.6	27.8	**30.8**	30.1	22.0	24.0
8	12.6	13.4	14.3	11.1	14.0	12.8	20.0	9.8	10.7	12.9	10.7	9.5	6.8	14.6	25.3	27.6	26.8	29.4	29.8	23.6	26.6
9	14.5	13.7	14.0	17.0	14.9	14.4	**22.0**	10.0	11.1	11.0	14.4	10.5	14.1	15.6	24.0	26.6	25.6	25.6	25.4	23.2	**28.4**
10	18.0	17.8	16.9	18.5	22.4	**16.7**	21.0	12.6	12.2	14.6	15.3	14.9	13.8	18.2	23.5	25.2	27.7	25.4	25.8	20.2	27.0
11	**23.2**	21.2	22.1	**28.2**	**26.7**	13.2	19.8	15.2	16.4	16.8	16.4	15.1	10.2	19.0	20.0	17.6	19.0	21.3	21.5	15.8	22.0
12	21.5	21.7	**23.2**	24.6	25.2	14.8	**22.0**	10.0	10.4	15.0	12.8	10.4	9.1	11.4	14.2	12.1	14.3	16.1	15.0	13.2	16.4
13	22.2	**22.0**	22.8	26.0	**26.7**	14.9	20.8	8.0	9.3	11.8	10.4	12.5	7.8	11.0	9.3	12.0	13.8	12.8	12.6	8.6	11.8
14	21.0	19.1	21.2	24.6	20.6	14.9	18.4	7.9	7.7	11.0	13.3	10.0	8.1	14.8	11.7	15.0	15.2	18.7	11.4	5.0	22.0
15	15.7	14.0	13.8	18.3	13.6	14.0	13.0	11.3	10.3	12.4	14.1	14.3	10.5	18.2	13.5	17.5	16.8	19.3	14.7	14.2	21.4
16	17.3	17.5	19.0	18.2	19.6	16.2	21.0	12.8	14.0	16.0	16.1	13.5	8.4	14.2	20.2	21.5	22.4	25.2	21.6	15.3	22.6
17	16.5	15.6	18.6	18.6	19.5	12.5	21.0	13.5	15.7	18.0	17.7	17.6	7.0	10.6	15.7	17.6	20.2	20.9	16.0	16.2	26.4
18	9.8	10.2	10.0	11.3	8.5	4.2	17.8	10.9	10.3	11.2	14.8	13.3	9.6	10.6	19.0	21.0	21.8	22.0	15.7	12.0	28.0
19	10.5	12.1	11.8	13.1	10.0	8.5	18.8	15.0	15.5	16.9	16.6	12.3	12.2	19.4	19.7	21.7	21.8	23.5	20.2	15.6	24.8
20	15.8	15.9	14.9	19.2	18.7	11.2	18.6	14.0	16.9	16.0	16.3	13.7	13.7	16.8	14.8	15.8	18.3	18.2	15.6	14.3	18.4
21	19.0	19.9	18.0	20.8	22.7	16.4	18.2	9.0	10.7	13.0	10.3	13.6	6.8	21.2	21.0	21.4	21.8	24.1	24.5	17.6	25.2
22	20.0	20.6	22.2	21.4	19.4	15.0	21.4	9.7	10.3	13.8	11.9	11.9	8.7	21.2	23.0	24.8	24.4	26.5	30.0	21.2	26.8
23	12.0	11.3	12.8	12.7	12.0	7.9	19.6	11.0	13.9	15.7	12.7	12.0	11.4	21.0	23.7	25.3	25.0	27.7	26.5	21.0	27.6
24	13.7	14.8	16.2	13.9	17.0	10.6	16.2	**17.1**	18.8	17.2	21.2	20.9	16.8	26.4	20.7	23.5	23.8	23.7	23.5	17.8	21.0
25	14.7	15.2	16.8	12.8	14.0	6.7	11.8	12.8	12.8	15.2	12.5	10.2	10.2	18.0	19.0	18.5	20.6	22.3	20.7	14.2	18.0
26	9.3	8.7	10.7	8.3	17.8	7.1	13.6	14.1	15.7	16.7	16.4	16.8	14.2	22.0	20.3	19.6	21.3	19.9	20.0	14.6	22.0
27	9.0	7.5	8.4	9.5	8.5	7.1	13.2	16.0	17.2	17.3	19.3	16.9	**17.0**	23.8	19.3	21.1	20.5	22.7	20.0	15.2	**28.4**
28	9.8	10.6	11.7	7.2	10.7	7.0	18.0	15.5	18.1	**20.0**	16.4	15.4	11.6	**27.0**	24.6	24.2	27.0	28.2	30.1	22.5	26.0
29	10.4	10.8	11.6	8.6	10.3	6.9	14.8	12.0	13.7	14.8	16.2	13.7	8.2	22.0	**27.0**	**28.0**	**28.4**	27.3	30.0	25.2	27.8
30	8.8	9.1	10.3	10.1	10.0	7.5	11.6	15.7	17.7	16.3	19.8	17.3	13.7	19.6	19.2	20.7	25.2	23.1	26.0	22.3	**28.4**
31								16.5	**19.4**	19.0	**21.9**	15.0	13.3	18.4							
Mittel	14.8	14.4	15.2	16.1	16.3	10.3	16.7	12.8	13.6	14.9	15.2	14.2	10.5	17.7	20.4	21.8	22.5	23.9	22.9	17.9	23.9

Temperatur-Maxima 1939.

	Juli							August							September						
Tag	Bern	Neuchâtel	Genf	Basel	Altdorf	Bevers	Lugano	Bern	Neuchâtel	Genf	Basel	Altdorf	Bevers	Lugano	Bern	Neuchâtel	Genf	Basel	Altdorf	Bevers	Lugano
1	18.3	19.4	21.3	20.1	17.0	17.1	24.8	21.8	24.1	24.2	23.6	22.4	22.0	28.6	23.0	24.4	24.4	25.7	24.3	20.2	
2	16.0	17.3	18.2	19.0	16.3	17.8	25.4	22.2	24.7	23.9	25.1	23.5	22.6	28.4	23.9	25.5	24.2	28.6	22.4	18.2	
3	20.1	22.2	21.0	23.6	27.3	22.3	24.6	21.0	22.7	25.7	25.0	22.2	18.2	20.8	24.3	**25.8**	26.7	**30.0**	22.8	19.5	
4	23.8	25.1	26.0	28.6	31.5	20.7	25.4	21.4	22.9	24.3	24.0	23.2	16.2	22.4	17.6	19.5	21.2	19.9	20.5	14.5	
5	26.0	26.3	28.7	29.6	31.9	20.2	26.2	14.7	15.5	15.8	16.2	16.8	18.4	21.0	13.9	13.6	17.8	17.4	15.9	13.7	Wegen Mobilisation nicht beobachtet
6	19.0	23.1	22.7	23.0	21.1	20.0	27.6	18.2	18.1	21.4	21.2	17.8	18.6	25.4	18.5	21.7	21.6	22.9	19.0	16.5	
7	23.1	24.5	26.4	24.9	21.5	**25.0**	27.8	20.0	21.5	22.9	24.9	25.0	17.5	24.8	20.0	22.8	22.0	24.1	23.3	20.2	26.4
8	**27.0**	27.0	**30.1**	**31.6**	**32.8**	21.4	29.2	15.9	16.5	21.0	21.7	20.5	14.8	23.8	20.4	22.7	22.3	25.9	19.4	19.6	25.6
9	24.6	27.5	29.2	26.8	26.1	22.5	29.6	21.0	21.5	23.1	24.0	21.5	17.5	27.0	22.4	24.0	24.0	26.7	26.0	20.2	27.0
10	21.0	22.0	24.3	19.8	21.5	18.5	29.6	24.2	24.0	25.1	26.7	**28.5**	**24.8**	27.2	23.9	24.5	24.6	27.8	**27.8**	**20.4**	27.4
11	20.1	23.5	22.7	22.9	24.3	23.2	**29.8**	25.1	25.5	**28.0**	27.2	27.2	22.5	28.0	**25.4**	25.5	**27.4**	25.5	27.4	17.6	*)**28.0**
12	20.6	24.0	24.3	23.9	21.5	18.7	25.0	23.0	25.8	25.0	25.2	25.4	23.6	27.6	17.0	17.6	22.3	18.6	18.0	16.0	24.2
13	23.0	24.4	26.2	26.8	27.2	20.1	26.6	19.8	23.5	23.4	23.5	19.0	18.7	24.6	16.1	17.5	18.2	18.9	15.0	10.2	23.2
14	25.0	26.1	27.6	27.5	28.4	18.1	22.8	21.4	23.9	21.9	23.3	22.2	20.2	27.0	16.7	18.1	17.0	19.0	17.2	13.4	23.0
15	20.3	20.6	23.0	23.9	27.0	17.0	20.8	20.4	23.3	22.2	23.6	24.3	23.2	**30.2**	14.1	16.7	17.8	15.9	13.0	7.2	18.4
16	14.6	16.0	19.6	16.5	19.3	17.6	22.6	19.9	22.7	22.1	24.1	24.4	17.1	26.2	14.0	15.5	17.9	13.6	14.4	10.8	22.6
17	20.7	22.3	23.0	22.6	22.1	18.4	25.4	21.0	23.4	22.2	25.5	24.0	19.6	25.6	16.0	19.0	18.0	16.0	18.5	12.1	23.0
18	22.5	23.9	23.6	27.8	28.2	18.2	26.0	21.8	22.4	22.0	24.3	24.0	22.3	26.2	11.0	12.5	15.9	16.5	15.5	15.5	19.6
19	24.6	25.3	26.6	28.4	31.0	22.7	27.6	23.3	23.2	25.5	**29.3**	23.5	20.7	26.4	14.0	15.7	17.2	14.0	15.5	10.7	23.0
20	19.5	18.8	20.2	22.6	22.1	20.6	26.4	21.3	22.0	22.9	26.3	25.0	19.1	23.6	15.5	18.0	18.0	18.1	17.0	12.5	23.0
21	20.8	22.3	23.3	24.7	24.0	21.6	27.6	19.3	19.5	22.6	23.5	24.0	12.1	20.6	15.7	16.1	17.0	18.1	16.0	12.0	19.0
22	18.3	17.3	20.0	18.7	16.7	15.8	20.4	22.1	24.4	22.5	25.8	27.0	20.5	24.0	14.2	13.5	16.4	18.3	17.4	13.6	22.6
23	18.2	18.6	21.7	17.4	19.0	20.6	26.4	21.2	23.8	24.0	24.6	24.1	20.0	20.0	14.1	18.0	16.6	16.9	15.0	13.5	23.4
24	18.7	19.9	21.3	21.0	19.4	9.6	16.6	21.2	24.8	22.9	25.7	26.1	20.0	23.0	15.0	18.8	18.8	18.7	16.0	10.5	23.6
25	12.0	11.9	15.5	13.0	12.0	10.9	24.6	18.8	19.6	23.0	20.9	21.0	16.2	22.8	13.0	16.0	16.2	16.3	15.9	10.5	24.0
26	19.7	21.0	22.9	23.3	22.9	17.2	27.8	20.3	23.4	23.5	25.5	20.3	17.9	26.0	16.7	16.4	17.0	17.3	16.4	11.4	16.0
27	15.8	19.1	21.0	20.1	16.6	12.0	27.0	22.2	25.0	23.8	25.5	23.4	20.0	27.2	11.0	14.6	15.2	14.6	11.0	10.2	21.6
28	21.0	23.1	22.2	24.9	27.0	23.1	26.0	23.4	24.9	24.0	27.4	23.8	20.3	27.6	7.0	9.4	10.0	13.9	8.9	8.1	13.0
29	26.0	25.7	23.8	30.0	31.0	22.6	27.0	24.6	25.2	23.4	28.6	24.3	19.3	27.0	9.6	11.5	11.6	14.1	9.8	8.7	14.2
30	26.9	**27.7**	28.7	31.4	32.1	22.0	28.0	23.0	24.6	25.8	28.4	21.0	20.1	28.0	13.5	15.1	15.3	16.9	17.4	11.0	19.4
31	21.2	20.3	25.0	26.4	25.0	22.3	27.8	**25.6**	**25.9**	24.6	28.5	25.0	20.0	28.4							
Mittel	20.9	22.1	23.6	23.9	24.0	19.3	25.9	21.3	22.9	23.3	24.8	23.3	19.5	25.5	16.6	18.3	19.1	19.7	17.9	14.0	22.6

	Oktober							November							Dezember						
1	17.5	16.9	20.0	19.6	14.6	10.7	18.6	7.3	6.4	7.5	7.3	7.7	5.1	13.8	11.1	12.2	**13.7**	**13.4**	**10.7**	**9.6**	10.8
2	16.0	16.0	17.8	16.5	16.1	11.6	**20.6**	4.6	3.9	7.3	6.3	6.4	5.0	11.4	**13.0**	**14.0**	12.0	**13.4**	8.7	3.6	**11.6**
3	11.3	11.4	12.8	13.1	13.0	8.2	15.2	8.3	6.9	8.6	12.0	15.8	6.6	11.4	7.0	7.8	8.9	8.7	6.7	2.1	9.2
4	8.4	10.4	12.5	13.8	11.0	**13.5**	16.2	8.5	9.9	9.4	9.3	15.6	5.0	9.6	3.7	5.6	7.3	**8.6**	8.5	-0.1	7.6
5	11.8	11.6	17.0	12.8	11.7	8.8	16.2	8.5	10.2	11.8	11.7	9.0	3.5	11.2	4.0	4.0	7.8	8.2	7.2	-1.0	4.4
6	10.9	10.5	14.0	13.7	12.4	11.0	19.6	8.8	10.4	11.6	12.4	10.9	4.5	13.8	2.3	3.8	5.2	4.7	4.9	-2.9	9.4
7	8.5	9.2	12.8	10.3	8.0	7.2	17.6	14.3	10.1	13.6	17.9	**16.0**	5.5	14.2	2.5	3.3	5.3	3.8	2.1	-4.2	9.8
8	10.0	12.9	13.3	11.3	8.9	4.3	17.6	**16.0**	10.0	11.2	**18.1**	15.0	7.4	13.2	-0.4	0.6	2.0	3.5	1.0	-9.6	9.4
9	8.0	7.9	12.7	10.4	9.9	7.2	15.2	13.3	10.5	13.4	15.0	**16.0**	7.1	13.8	2.5	5.3	8.0	5.1	2.8	1.7	6.6
10	12.9	14.5	15.3	14.2	13.0	10.3	19.2	10.8	9.8	14.5	11.6	13.7	7.6	13.4	5.0	4.2	6.4	5.7	4.5	-2.8	5.8
11	13.0	12.0	17.0	14.4	15.5	8.5	20.2	10.6	8.3	10.0	16.4	11.0	8.2	13.0	6.0	6.2	7.1	7.4	6.3	0.0	2.8
12	12.7	12.5	15.6	12.4	13.4	6.7	14.0	13.2	8.6	10.4	12.0	10.3	**10.2**	13.8	-0.4	0.4	5.8	1.3	3.0	-3.6	5.8
13	13.2	14.0	16.2	15.2	17.5	10.0	14.0	8.4	6.9	8.8	9.3	7.3	7.2	13.4	-1.6	-0.6	2.3	0.3	1.5	-4.8	2.8
14	**20.4**	**20.9**	**23.1**	**22.6**	21.5	11.7	14.2	9.5	7.4	9.3	11.3	8.0	7.5	15.4	0.0	0.4	2.3	1.1	2.1	-6.9	4.8
15	18.6	18.5	19.5	21.1	23.0	12.4	14.2	11.0	10.6	12.8	13.2	11.5	6.0	11.8	1.2	1.1	2.3	1.0	2.0	-4.5	4.8
16	13.2	13.5	14.8	15.8	15.0	12.0	17.4	9.0	8.0	10.1	11.0	13.8	4.5	12.4	-1.3	-0.6	0.8	0.8	1.2	-2.4	3.6
17	13.4	13.7	15.2	17.8	22.0	12.1	18.0	11.7	11.2	13.3	13.2	14.9	2.5	20.2	0.1	0.4	1.8	0.5	1.8	-1.6	2.8
18	16.9	17.3	23.0	18.3	**24.1**	13.2	19.2	13.5	13.9	**16.3**	15.6	14.9	4.0	**21.6**	-0.2	-0.3	2.8	6.5	3.9	-5.0	7.0
19	18.0	17.3	20.8	21.3	17.5	12.5	16.6	11.5	11.6	13.8	13.7	9.5	6.4	13.8	-0.9	-1.2	2.8	-0.2	6.7	-1.1	6.2
20	9.6	10.2	13.8	11.6	12.8	7.2	20.2	6.4	6.5	8.5	7.5	5.4	-1.4	14.0	-0.6	-0.7	3.4	-2.0	1.6	0.7	8.4
21	9.0	10.7	10.6	7.6	10.3	4.9	18.6	1.2	2.7	6.6	5.2	2.6	-4.2	13.8	-1.6	-1.7	0.5	-0.3	1.0	-4.0	5.8
22	5.1	7.9	8.1	6.7	7.9	0.0	11.2	0.5	0.4	2.0	2.2	1.1	-8.6	8.4	-0.7	-0.1	1.1	3.0	1.0	-7.1	4.2
23	5.0	6.7	8.5	6.6	6.3	1.2	16.2	0.5	2.0	2.0	3.5	1.0	-7.8	6.0	-1.5	-1.4	1.1	1.3	0.8	-8.0	3.8
24	6.3	7.7	9.3	9.0	7.8	4.5	17.8	1.2	1.6	2.8	2.2	1.8	-5.8	5.8	-1.6	-0.6	2.0	1.4	-0.5	-6.0	4.0
25	9.1	7.6	10.6	9.6	8.2	3.1	11.2	4.8	7.1	7.8	6.1	5.3	-1.2	7.4	-2.5	-3.0	0.1	-0.4	-0.8	-7.8	3.2
26	4.0	6.0	7.0	7.5	6.0	-0.6	13.4	7.9	7.9	8.8	4.8	6.1	1.0	6.4	-3.0	-3.7	1.0	-0.8	-0.4	-6.7	5.0
27	1.0	1.3	4.5	2.7	3.8	-4.8	4.2	12.9	**14.4**	15.3	15.0	11.5	7.2	9.8	1.4	3.2	3.2	1.2	1.7	-3.3	11.4
28	1.0	1.3	2.6	3.8	4.1	-2.6	11.8	9.7	10.4	12.7	12.9	7.5	3.4	11.6	-0.6	0.5	1.7	-0.2	1.3	-6.9	2.0
29	4.8	3.7	6.8	3.4	7.4	-1.8	9.8	7.0	7.6	8.3	12.3	7.1	6.2	10.0	-5.5	-4.3	0.1	-3.8	-2.3	-13.8	-2.4
30	1.0	2.5	6.0	7.8	5.6	2.8	12.6	13.0	12.1	14.7	14.5	11.4	8.0	10.6	-7.7	-6.8	-6.4	-4.5	-5.3	-17.3	-1.4
31	6.6	6.9	7.2	8.3	7.4	6.4	11.8								-1.0	0.0	-1.8	-0.4	-0.3	-6.5	0.6
Mittel	10.2	10.8	13.2	12.2	12.1	6.9	15.6	8.8	8.2	10.1	10.8	9.6	3.7	12.2	0.9	1.6	3.6	2.7	2.7	-3.9	5.5

*) Das Maximum des 3. war eventuell einige Zehntelgrade höher.

Tagesmittel der Abkühlungsgrösse in mill' cal/cm² · sec.

1939 (Davoser Frigorimeter nach Dorno und Thilenius) — Ablesung: Sommer 7^{30}h, Winter 8^{00}h Zürich

Tag	Januar	Februar	März	April	Mai	Juni	Juli	August	Sept.	Oktober	Nov.	Dez.
1	29.0	22.6	25.4	13.3	14.3	12.3	21.5	9.1	7.8	18.9	19.3	19.4
2	24.9	23.2	15.5	18.6	18.1	9.5	15.1	8.3	6.8	17.3	18.1	19.6
3	36.0	20.4	**12.8**	17.4	21.5	8.1	8.1	9.8	**6.1**	23.4	16.1	23.7
4	22.5	21.4	15.0	13.0	15.4	6.6	5.9	11.2	19.5	16.7	21.6	27.7
5	27.4	19.2	23.9	16.7	13.5	8.5	9.2	**23.5**	12.8	19.5	24.5	21.3
6	20.1	19.9	39.2	12.5	12.3	6.7	10.1	12.2	9.6	19.7	18.2	23.6
7	19.9	18.5	31.0	13.1	17.5	**5.5**	7.2	8.8	7.9	24.5	**11.6**	21.3
8	17.7	17.1	**51.9**	13.9	21.2	7.2	5.4	15.1	8.3	14.4	11.7	23.0
9	17.9	20.5	30.6	15.5	20.6	9.1	10.6	9.7	7.2	18.8	17.2	18.6
10	15.8	19.5	24.4	11.5	11.9	9.7	14.1	**5.6**	7.7	15.4	13.2	**18.4**
11	17.6	**14.8**	18.6	**9.0**	15.6	19.0	10.2	6.2	11.1	14.4	14.7	26.7
12	20.1	24.2	22.8	10.2	16.7	**20.9**	9.0	9.4	14.3	18.6	14.1	**32.9**
13	26.5	26.5	21.7	9.7	18.4	16.8	7.4	9.9	16.2	16.7	16.0	20.1
14	24.1	23.9	35.9	16.1	**23.7**	12.8	10.1	9.4	15.6	15.4	14.4	20.7
15	18.3	+16.7	27.1	16.9	21.1	12.3	11.4	10.6	16.6	15.8	27.3	27.7
16	20.1	+16.7	22.3	19.2	17.2	8.2	15.0	12.7	16.7	**12.2**	38.8	27.5
17	**15.2**	20.6	29.5	**25.4**	15.6	15.0	11.1	11.0	13.6	12.4	24.1	19.6
18	17.6	24.4	27.5	20.0	19.3	12.4	6.6	7.7	15.3	16.3	24.2	20.1
19	17.7	26.3	23.1	18.8	16.0	11.2	10.9	7.0	12.9	19.1	**41.4**	19.8
20	17.2	20.2	26.8	14.8	18.6	14.2	10.1	7.3	12.3	32.6	23.9	24.9
21	16.9	21.7	34.5	16.2	21.8	8.0	11.1	9.7	11.6	22.7	23.9	26.0
22	32.4	18.3	32.6	20.2	16.0	9.0	13.9	8.1	11.9	16.6	18.9	19.8
23	**36.6**	15.6	28.6	22.6	15.1	8.0	16.2	7.8	10.8	24.0	19.5	19.4
24	28.8	16.1	**18.2**	15.7	13.3	15.0	25.0	7.3	12.9	34.4	20.1	21.4
25	19.2	15.9	19.9	17.9	18.5	14.4	**34.2**	15.9	16.7	**38.8**	18.5	20.6
26	20.4	18.1	19.4	18.9	12.7	15.7	12.8	8.7	13.0	24.4	39.1	19.4
27	26.1	20.4	17.1	18.5	**10.6**	10.1	14.7	6.8	**21.9**	25.6	35.1	19.0
28	24.1	**27.3**	20.6	19.7	15.5	7.0	7.1	7.5	17.2	35.0	23.2	22.3
29	21.8		16.7	19.3	17.9	7.6	5.4	6.6	14.0	18.6	27.0	28.6
30	23.6		14.8	16.9	16.8	13.8	**5.0**	8.3	13.2	17.6	27.1	23.2
31	22.2		**12.8**		13.6		11.5	7.1		17.7		20.5
Mittel	22.5	20.4	24.5	16.4	16.8	11.5	11.8	9.6	12.7	20.6	22.1	22.5

Tägliche Wärmeeinstrahlung in cal/cm² auf eine horizontale Fläche

1939 (Bimetall-Aktinograph nach Robitzsch) Zürich

1	100	54	238	376	561	553	300	484	396	188	71	154
2	60	**52**	309	384	348	409	547	530	382	165	61	154
3	44	131	376	248	86	599	**733**	447	449	119	140	131
4	184	129	371	486	336	**716**	691	300	96	167	79	50
5	46	146	**54**	**88**	184	649	589	**125**	102	17	131	17
6	167	140	67	321	**582**	666	382	238	300	44	117	54
7	134	188	73	276	255	641	611	511	301	88	**217**	54
8	81	211	150	102	**63**	632	701	186	390	119	182	**188**
9	100	227	86	198	**63**	580	530	470	451	159	131	**13**
10	163	100	259	468	334	438	409	580	434	90	52	42
11	142	173	177	543	236	424	572	561	**453**	269	56	19
12	73	169	255	492	217	169	541	501	**73**	86	84	38
13	125	75	250	563	184	202	601	338	225	100	13	36
14	102	311	65	374	73	**129**	428	520	294	232	65	36
15	113	317	334	301	309	559	482	**603**	305	**288**	83	36
16	96	**330**	150	576	332	612	138	601	131	121	148	104
17	90	184	75	365	407	179	528	392	125	129	8	19
18	90	177	242	196	386	303	614	359	167	154	48	60
19	86	136	363	205	378	384	530	520	213	150	40	79
20	90	138	219	**634**	152	**129**	409	369	186	232	36	21
21	129	242	200	611	71	497	307	349	184	77	109	19
22	77	324	265	555	140	630	**88**	417	255	33	33	146
23	179	253	253	453	150	639	296	357	278	**15**	84	19
24	38	284	296	369	482	357	344	419	167	69	117	52
25	134	309	307	271	84	422	173	175	434	60	127	40
26	61	157	202	382	495	323	420	294	376	81	27	42
27	31	144	138	242	227	605	351	420	211	27	117	29
28	**246**	269	232	157	365	666	668	432	202	167	134	69
29	236		472	196	303	643	637	478	323	54	21	71
30	40		**533**	252	476	442	634	353	376	35	21	152
31	**29**		430		534		338	440		86		92
Summe	3286	5370	7441	10684	8813	14197	14592	12769	8279	3621	2552	2036
Mittel	106.0	191.8	240.0	356.1	284.3	473.2	470.7	411.9	276.0	116.8	85.1	65.7

Monats- und Jahresübersichten sämtlicher schweiz. meteorologischen Stationen.

In die hier folgenden Uebersichten werden die Beobachtungsresultate aller schweizerischen Stationen, soweit es die Zuverlässigkeit und Vollständigkeit derselben gestattet, aufgenommen. Zu beachten ist:

1. Die Minima und Maxima bei Luftdruck, Temperatur und die Minima bei der relativen Feuchtigkeit sind stets den üblichen Terminbeobachtungen entnommen (7^{30} 13^{30} 21^{30}, resp. 7^{30} 13^{30} 20^{30}).
2. Die Monatsmittel der Temperatur werden aus den 3 Terminbeobachtungen in der Weise abgeleitet, dass der Abendbeobachtung (21^{30}) das doppelte Gewicht beigelegt ist [$m = 1/4\ (7^{30} + 13^{30} + 2 \cdot 21^{30})$]. Bei den wenigen Stationen, die eine andere Kombination der Beobachtungsstunden haben, wird eine nach den stündlichen Werten von Bern und Säntis berechnete Reduktion angebracht.
3. Als Tage mit Niederschlag werden diejenigen gezählt, an denen wenigstens 0.3^{mm} gemessen wurden. Eine zweite Rubrik enthält die Zahl der Tage mit Niederschlagsmengen von mindestens 1.0^{mm}.
4. Tage mit mehreren Gewittern werden nur einfach gezählt.
5. Als heitere (trübe) Tage werden solche bezeichnet, deren mittlere Bewölkung < 2 (> 8) ist.
6. Bei der Uebersicht der Windverteilung wird nur die Häufigkeit der verschiedenen Windrichtungen mit Index > 0 berücksichtigt.
7. λ bezeichnet die geographische Länge in Graden von Greenwich, β die geographische Breite, H_b die Höhe des Stationsbarometers über dem Meer in Metern, H die Höhe der Station (des Regenmessers) über Meer, G ist die Korrektion, welche an den Luftdruckdaten für deren Reduktion auf die Normalschwere (45° Breite und das Meeresniveau) noch anzubringen ist, h_r die Höhe des oberen Randes des Regenmessers über dem Erdboden. Die Stationen, bei denen die Höhe (des Barometergefässes) bis auf den Dezimeter angegeben ist, sind an das schweizerische Präzisionsnivellement angeschlossen. Alle Höhen sind auf Pierre du Niton 373.6^{m} bezogen.

NB. Die Schwerekorrektionen (G) sind vom Jahrgang 1936 an auf Grund neuer Berechnungen von Herrn Prof. Niethammer, Basel, eingesetzt worden.

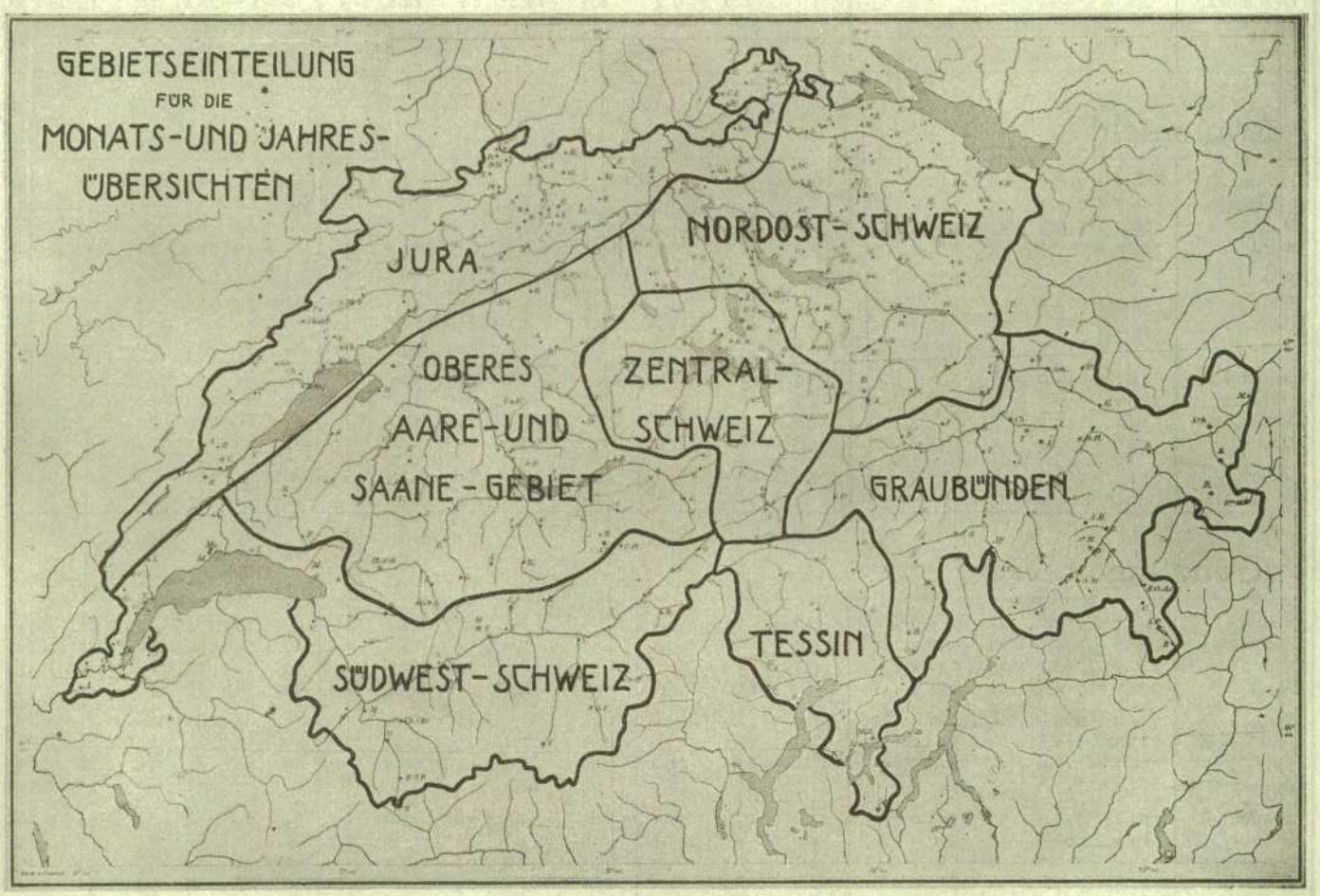

Reihenfolge der Gebiete: Nordostschweiz, Zentralschweiz, Jura, Oberes Aare- und Saanegebiet, Südwestschweiz, Graubünden, Tessin.

Zürich

$\lambda = 8° 33'$, $\beta = 47° 23'$, $H_b = 493.2^m$, $G = 0.03\,^{m}/_{m}$, $h_r = 1.4^m$

1939	Luftdruck					Luft-Temperatur								Relative Feuchtigkeit					
	Mittel	Minimum	Tag	Maximum	Tag	7^{30}	13^{30}	21^{30}	Mittel	Minimum	Tag	Maximum	Tag	7^{30}	13^{30}	21^{30}	Mittel	Minimum	Tag
Januar	714.6	703.1	27	727.0	8	1.2	4.3	1.6	2.2	−4.0	10	10.9	16	85	69	83	79	52	23
Februar	722.7	706.1	24	733.1	10	−0.4	4.8	1.0	1.6	−6.8	8	17.8	24	87	60	82	76	29	24
März	716.8	704.3	23	728.3	13	0.5	5.1	1.9	2.4	−6.0	19	15.7	31	84	62	79	75	32	30
April	717.2	706.6	4	726.7	19	7.6	14.6	9.7	10.4	3.2	1	22.9	11.13	80	51	73	68	31	22
Mai	716.2	704.9	6	725.2	23	8.5	12.3	9.6	10.0	4.8	1	17.9	6	85	67	83	78	40	28
Juni	718.5	708.9	24	725.7	27	14.0	20.7	15.8	16.6	7.8	14	28.5	8	81	55	79	72	36	5
Juli	719.9	713.2	24	725.1	2	14.8	21.3	16.2	17.1	9.5	24	29.2	30	82	54	79	72	29	4
August	719.5	714.2	20	724.7	1	15.3	22.2	16.8	17.8	11.6	6	26.5	31	87	53	86	75	38	15
September	719.2	710.3	30	724.4	7	11.5	17.1	12.5	13.4	2.4	29	26.9	3	93	63	92	83	42	11
Oktober	715.5	704.0	27	722.5	23.24	7.2	10.0	7.4	8.0	−0.7	30	21.0	15	92	74	93	86	50	14-15 20
November	719.9	709.4	4	728.2	30	5.3	8.3	6.1	6.4	−3.8	24	17.4	7	88	71	87	82	31	20
Dezember	718.1	704.0	5	727.8	1	−1.0	0.4	−1.1	−0.7	−11.8	29.30	13.5	1	89	78	88	85	45	2
Jahr	718.2	703.1	I	733.1	II	7.0	11.8	8.1	8.8	−11.8	XII	29.2	VII	86	63	84	78	29	II/VII

Winterthur

$\lambda = 8° 44'$, $\beta = 47° 30'$, $H_b = $ ca. 448^m, $G = 0.05\,^{m}/_{m}$, $h_r = 1.6^m$

Januar	—	—	—	—	—	0.5	3.4	1.3	1.6	−4.8	7.9	9.7	17	79	68	77	75	39	15
Februar	—	—	—	—	—	−2.1	3.3	−0.5	0.0	−8.9	8	10.1	26	78	61	77	72	48	25
März	—	—	—	—	—	0.0	4.2	0.3	1.2	−5.2	19	14.0	6	81	69	80	77	43	4
April	—	—	—	—	—	7.8	14.0	8.8	9.9	3.1	21	20.9	14	72	52	71	65	32	22
Mai	—	—	—	—	—	8.7	13.3	9.6	10.3	2.7	1	16.9	31	78	67	77	74	40	0-28 31
Juni	—	—	—	—	—	14.1	20.2	15.4	16.3	8.0	13	26.8	29	71	53	72	65	34	4
Juli	—	—	—	—	—	14.4	21.2	15.5	16.6	9.5	28	26.7	19	71	53	79	68	36	8
August	—	—	—	—	—	14.3	21.7	16.6	17.3	10.2	16	25.6	30	79	51	80	70	42	16
September	—	—	—	—	—	10.7	16.6	12.8	13.2	1.6	29	24.8	3	84	63	84	77	47	3. 9
Oktober	—	—	—	—	—	6.6	10.2	7.2	7.8	−1.7	30	18.7	15	83	72	87	81	47	15
November	—	—	—	—	—	4.5	8.1	5.4	5.9	−7.8	24	13.9	7	79	67	83	76	43	26
Dezember	—	—	—	—	—	−1.5	0.6	−1.4	−0.9	−12.8	29	12.8	1	79	68	80	76	42	2
Jahr	—	—	—	—	—	6.5	11.4	7.6	8.3	−12.8	XII	26.8	VI	78	62	79	73	32	IV

Frauenfeld

$\lambda = 8° 54'$, $\beta = 47° 34'$, $H_b = 432.9^m$, $G = 0.06\,^{m}/_{m}$, $h_r = 1.5^m$

Januar	720.2	708.5	27	732.4	7	0.2	3.4	0.9	1.3	−6.3	9	9.2	15	89	73	85	82	43	15
Februar	728.5	712.1	24	738.8	11	−1.7	3.1	0.0	0.3	−8.2	6	13.0	24	90	68	83	80	43	24
März	722.5	709.7	23	734.2	13	0.0	4.4	1.4	1.8	−6.3	19	12.8	6	90	64	81	78	32	30
April	722.7	711.5	4	732.8	19	7.5	14.2	9.1	10.0	0.8	1	21.4	13	85	49	75	70	29	22
Mai	721.8	710.7	6	731.0	23	9.0	12.5	9.8	10.3	5.5	17	17.2	31	89	65	83	79	37	24
Juni	724.0	714.2	24	731.6	27	15.0	20.2	15.7	16.7	8.3	14	27.5	8	81	53	76	70	28	4
Juli	725.3	718.0	15	731.0	3	15.9	20.9	15.8	17.1	8.1	25	26.9	30	79	53	80	71	36	4. 11
August	725.1	719.5	20	730.2	1	15.1	21.3	16.7	17.4	10.5	7	25.0	11	89	55	85	76	38	15
September	724.7	715.9	30	730.0	7. 8	10.8	16.6	12.3	13.0	2.0	26.30	24.8	3	96	64	90	83	43	8
Oktober	721.0	709.8	27	728.0	24	6.5	9.9	7.2	7.7	−0.8	30	19.7	15	96	78	94	89	48	15. 20
November	725.5	715.1	4	733.9	21	4.8	7.4	5.6	5.8	−5.4	24	14.5	7	92	80	89	87	42	26
Dezember	724.0	709.4	5	733.0	1	−1.6	−0.2	−1.6	−1.2	−14.0	30	11.4	1	91	82	91	88	40	2
Jahr	723.8	708.5	I	738.8	II	6.8	11.1	7.7	8.3	−14.0	XII	27.5	VI	89	65	84	79	28	VI

Kreuzlingen (West)

$\lambda = 9° 10'$, $\beta = 47° 39'$, $H_b = 445.6^m$, $G = 0.06\,^{m}/_{m}$, $h_r = 1.4^m$

Januar	718.6	707.2	27	730.9	8	0.2	3.1	0.9	1.3	−5.0	9. 28	9.4	22	87	78	84	83	55	14
Februar	726.8	710.6	24	737.3	10	−1.1	3.0	0.2	0.6	−7.2	5	15.6	24	87	71	84	81	37	24
März	720.7	708.3	23	732.5	13	0.1	3.9	1.0	1.5	−8.8	19	12.8	6	87	70	82	80	43	30
April	721.1	710.5	4	731.5	19	8.1	13.8	8.8	9.9	3.2	1	20.8	12.13	82	56	77	72	36	22
Mai	720.2	709.9	6	729.4	23	8.9	12.3	9.6	10.1	5.0	12	17.6	31	85	68	83	79	41	6
Juni	722.4	712.8	24	730.1	27	14.5	20.1	15.0	16.1	7.8	13	26.4	8	80	58	80	73	32	4
Juli	723.7	716.6	15	729.5	3	15.6	20.6	15.3	16.7	6.6	25	27.2	19	80	57	81	73	36	5
August	723.5	717.6	5	728.5	15	15.7	21.1	16.0	17.2	11.0	6	24.6	30	84	62	85	77	45	15
September	723.1	714.5	30	728.6	7	11.9	16.4	12.1	13.1	3.2	29	23.6	11	89	69	88	82	49	28
Oktober	719.4	708.3	27	726.5	24	6.6	9.6	7.1	7.6	−1.6	30	18.6	15	91	77	88	85	58	15
November	723.9	712.8	4	732.6	21	4.8	7.2	5.1	5.5	−5.6	24	13.8	7	85	75	83	81	37	26
Dezember	722.4	707.9	5	730.8	1	−1.5	−0.3	−1.5	−1.2	−14.2	29	11.2	1	86	80	85	84	58	1
Jahr	722.2	707.2	I	737.3	II	7.0	10.9	7.5	8.2	−14.2	XII	27.2	VII	85	68	83	79	32	VI

Beobachter: **Meteorol. Zentralanstalt**

Zürich

Bewölkung				Niederschlag			Zahl der Tage								Windverteilung									1939
7^{30}	13^{30}	21^{30}	Mittel	Summe	Maximum	Tag	●	●≧1.0	✳	▲	🌂	≡	heiter	trüb	N	NE	E	SE	S	SW	W	NW	Calmen	
9.0	8.2	7.1	8.1	55	15	16	14	11	8	—	—	3	—	18	2	5	8	22	14	9	15	5	13	Januar
8.2	6.6	5.8	6.9	16	6	26	6	5	2	—	—	6	2	10	3	6	7	9	7	11	10	15	16	Februar
8.0	7.3	7.0	7.4	119	28	7	19	17	17	—	1	2	2	18	10	5	4	12	13	12	15	6	16	März
7.4	6.8	7.3	7.2	44	11	27	12	10	—	—	1	—	3	18	12	9	7	9	12	9	12	8	12	April
8.7	8.9	7.8	8.5	255	47	21	21	21	—	—	—	1	—	22	10	9	9	13	8	3	10	13	18	Mai
5.7	5.3	7.0	6.0	109	22	30	16	13	—	1	5	—	5	7	9	14	6	13	7	3	10	18	10	Juni
5.4	5.6	6.7	5.9	132	19	25	16	16	—	—	9	—	5	9	7	3	5	12	6	7	14	19	20	Juli
7.1	5.7	6.2	6.3	123	51	5	12	11	—	—	5	1	2	10	8	11	7	14	5	4	6	17	21	August
7.9	6.5	5.7	6.7	123	41	4	15	12	—	1	3	2	3	12	12	14	5	6	5	5	6	13	24	September
9.5	8.7	8.6	8.9	217	32	5	27	22	3	—	—	1	—	22	7	6	3	14	6	14	10	16	17	Oktober
9.5	7.9	8.2	8.5	101	12	19	16	14	1	—	—	5	—	22	7	7	6	7	7	11	17	13	15	November
9.1	8.5	9.1	8.9	67	14	6	12	9	8	—	—	2	—	23	10	24	4	9	5	4	4	14	19	Dezember
8.0	7.2	7.2	7.5	1361	51	VIII	186	161	39	2	24	23	22	191	97	113	71	140	95	92	129	157	201	Jahr

Beobachter: **E. Bachmann**

Winterthur

8.8	7.4	8.1	8.1	56	12	22	15	15	5	—	—	—	—	20	1	7	3	15	7	16	5	8	31	Januar
8.2	5.8	5.8	6.6	22	8	19	7	5	1	—	—	3	2	7	—	6	6	5	1	15	5	14	32	Februar
8.4	8.2	7.9	8.2	136	28	6	22	18	18	—	—	—	1	20	7	7	2	9	5	21	9	7	26	März
7.5	6.9	6.5	7.0	53	9	27	11	11	—	—	—	1	3	15	4	8	4	7	5	18	5	15	24	April
9.2	9.1	8.0	8.8	236	36	21	21	21	—	—	—	3	—	23	5	12	2	8	4	7	4	19	32	Mai
6.1	5.4	6.8	6.1	105	17	24	16	16	—	—	1	—	5	12	4	9	1	9	2	5	6	27	27	Juni
6.4	6.2	6.2	6.3	132	17	25	17	17	—	—	—	1	4	12	—	5	1	9	3	13	7	24	31	Juli
6.6	6.1	6.7	6.5	141	45	5	13	12	—	—	—	1	2	11	6	11	3	11	2	4	5	18	33	August
8.5	7.0	7.2	7.6	127	37	4	14	11	—	—	1	3	1	14	5	14	1	4	2	9	4	19	32	September
9.6	9.0	8.4	9.0	205	26	5	26	24	3	—	—	2	—	22	1	10	—	7	2	19	5	20	29	Oktober
9.8	8.1	8.2	8.7	97	15	19	14	13	—	—	—	1	—	21	1	9	—	10	4	19	6	23	18	November
9.4	8.8	8.5	8.9	73	19	10	10	10	3	—	—	1	—	24	3	23	—	8	—	7	2	11	39	Dezember
8.2	7.3	7.4	7.6	1383	45	VIII	186	173	30	—	2	16	18	201	37	121	23	102	37	153	63	205	354	Jahr

Beobachter: **S. Dannacher**

Frauenfeld

8.8	7.9	7.5	8.1	55	20	16	14	12	5	—	—	2	—	19	—	9	7	3	3	18	9	—	44	Januar
9.0	6.7	6.6	7.4	15	6	26	7	5	1	—	—	6	1	12	—	9	10	8	6	11	9	—	31	Februar
8.1	7.8	7.1	7.7	79	18	7	20	14	17	—	—	—	2	19	1	10	9	7	6	22	10	2	26	März
7.5	6.8	6.7	7.0	34	8	27	12	9	—	—	1	—	4	14	6	13	11	4	2	11	11	3	29	April
8.8	9.2	8.1	8.7	210	35	21	20	19	—	—	—	3	—	23	4	14	9	6	5	11	9	2	33	Mai
6.3	5.7	6.5	6.2	101	19	13	16	15	—	—	4	1	4	12	6	13	9	5	3	10	8	3	33	Juni
6.1	5.8	6.5	6.1	102	22	16	19	18	—	—	5	1	4	11	6	8	7	3	1	15	10	6	37	Juli
7.6	5.5	6.2	6.4	93	38	5	11	10	—	—	1	6	2	10	6	13	7	6	4	5	2	2	48	August
9.1	6.4	5.8	7.1	121	46	4	13	11	—	—	—	9	1	15	4	10	5	6	1	5	4	1	54	September
9.6	8.7	8.2	8.8	187	26	5	28	23	5	—	—	4	—	23	1	10	5	3	3	18	13	4	36	Oktober
9.7	8.7	8.5	9.0	73	14	9	14	13	—	—	—	11	—	24	2	10	9	3	3	18	13	1	31	November
9.3	9.1	9.3	9.2	66	18	6	11	8	9	—	—	9	—	27	1	22	15	3	4	8	5	1	34	Dezember
8.3	7.4	7.2	7.6	1136	46	IX	185	157	37	—	11	52	18	209	37	141	103	57	41	152	103	25	436	Jahr

Beobachter: **P. Zwick**

Kreuzlingen (West)

8.5	7.4	6.9	7.6	77	19	16	15	12	5	—	—	6	1	17	—	—	9	—	—	7	18	—	59	Januar
8.4	6.5	5.9	6.9	24	6	19	9	7	2	—	—	10	4	11	—	—	8	2	1	8	9	—	56	Februar
8.2	7.3	6.1	7.2	113	27	7	21	18	18	—	—	1	3	16	—	—	17	—	—	10	24	1	41	März
7.5	6.1	6.1	6.6	36	8	27	11	8	—	—	—	—	3	12	—	4	11	—	—	7	16	1	51	April
8.7	8.5	8.4	8.5	197	34	21	21	18	—	—	1	4	—	23	—	1	18	—	—	5	20	5	44	Mai
6.6	5.2	6.4	6.1	102	34	13	16	12	—	—	2	4	3	12	—	—	15	—	—	8	19	—	48	Juni
6.2	5.4	6.6	6.1	110	15	16	19	18	—	—	4	2	4	8	—	—	12	—	—	6	27	—	48	Juli
6.8	4.8	6.1	5.9	125	26	5	14	12	—	1	1	4	—	8	—	—	13	—	—	1	13	—	66	August
8.1	5.5	5.4	6.3	133	51	4	13	11	—	—	1	3	3	11	—	—	17	—	—	3	18	—	52	September
9.1	8.6	7.5	8.4	193	24	5	27	25	5	—	1	6	1	21	1	4	6	—	2	16	18	1	45	Oktober
9.5	8.0	8.3	8.6	78	12	19	20	12	—	—	—	10	—	20	—	—	9	—	—	16	14	2	49	November
9.3	8.4	8.9	8.9	72	20	10	13	11	7	—	—	8	—	24	—	3	14	—	—	2	10	—	64	Dezember
8.1	6.8	6.9	7.3	1260	51	IX	199	164	37	1	10	58	22	183	1	12	149	2	3	89	206	10	623	Jahr

Haidenhaus

$\lambda = 9° 0'$, $\beta = 47° 39'$, $H_b = 694.4^m$, $G = -\,{}^{m}/_{m}$. $h_r = 1.7^m$

1939	Luftdruck					Luft-Temperatur								Relative Feuchtigkeit					
	Mittel	Minimum	Tag	Maximum	Tag	7^{30}	13^{30}	21^{30}	Mittel	Minimum	Tag	Maximum	Tag	7^{30}	13^{30}	21^{30}	Mittel	Minimum	Tag
Januar	—	—	—	—	—	0.6	2.6	0.8	1.2	-6.0	6	10.5	18	74	65	71	70	34	16
Februar	—	—	—	—	—	-1.6	1.9	-0.7	-0.3	-9.0	5	15.0	24	73	57	68	66	24	24
März	—	—	—	—	—	-1.3	2.1	-0.4	0.0	-8.7	19	11.4	3	76	58	73	69	32	2
April	—	—	—	—	—	6.8	12.3	7.6	8.6	2.0	19	19.5	12	69	48	61	59	25	1
Mai	—	—	—	—	—	7.2	10.8	7.8	8.4	4.3	2	17.2	1	79	65	77	74	31	24
Juni	—	—	—	—	—	14.1	19.2	13.6	15.6	6.1	13	28.0	9	62	51	62	58	22	5
Juli	—	—	—	—	—	15.7	19.7	15.7	16.7	8.2	24	26.4	5	59	45	60	55	23	5
August	—	—	—	—	—	14.8	19.3	15.5	16.3	10.2	6	23.0	31	71	51	67	63	35	15.29
September	—	—	—	—	—	11.0	14.8	11.4	12.1	1.2	28	21.4	10	81	61	73	72	39	S. 28
Oktober	—	—	—	—	—	5.6	8.4	5.8	6.4	-3.2	27	16.2	15	84	73	82	80	50	11
November	—	—	—	—	—	4.0	6.3	4.3	4.7	-6.8	24	15.6	7	84	69	77	77	30	26
Dezember	—	—	—	—	—	-3.1	-1.9	-3.1	-2.8	-16.0	29	10.0	2	82	78	82	81	38	2
Jahr	—	—	—	—	—	6.2	9.6	6.5	7.2	-16.0	XII	28.0	VI	75	60	71	69	22	VI

St. Gallen (Bruggen)

$\lambda = 9° 20'$, $\beta = 47° 24'$, $H_b = 678.8^m$, $G = -0.01$ ${}^{m}/_{m}$. $h_r = 1.5^m$

Januar	698.6	687.3	27	709.9	7. 8	-0.8	3.6	-0.2	0.6	-8.3	4. 28	9.6	17	84	62	83	76	40	9
Februar	706.2	691.6	23.24	716.9	10	-2.4	3.9	-0.9	-0.1	-11.4	4	15.8	24	84	61	84	76	35	24
März	700.5	689.3	23	711.5	13	-1.2	3.5	-0.6	0.3	-6.8	19	12.0	31	84	61	89	78	32	30
April	701.5	691.9	4	710.8	19	6.2	12.5	6.7	8.0	0.8	1	19.4	12	86	55	85	75	37	22
Mai	700.3	690.7	6	709.4	23	7.4	10.5	7.6	8.3	4.5	12	16.2	31	84	66	88	79	48	24.26
Juni	703.1	694.1	24	710.1	27	13.2	18.7	13.2	14.6	5.0	13	26.3	8	75	57	87	73	33	4
Juli	704.5	698.1	15	709.5	2	14.1	19.3	14.3	15.5	8.4	25	26.3	30	74	56	85	72	41	4
August	704.3	698.7	5	709.0	15	14.4	19.9	14.6	15.9	9.8	6	23.6	31	79	60	89	76	44	16
September	703.6	695.3	30	709.4	7	10.2	15.2	10.1	11.4	0.8	30	23.4	3	90	66	91	82	48	11
Oktober	699.8	688.4	27	706.0	23.24	5.3	8.9	5.6	6.4	-5.5	30	17.8	14	89	72	92	84	46	20
November	703.9	693.7	4	712.2	30	3.3	7.2	4.4	4.8	-8.2	24	17.4	8	87	71	85	81	45	26
Dezember	701.8	688.5	5	711.7	1	-3.9	-0.9	-3.2	-2.8	-22.0	30	13.2	2	89	79	87	85	36	2
Jahr	702.4	687.3	I	716.9	II	5.5	10.2	6.0	6.9	-22.0	XII	26.3	VI/VII	84	64	87	78	32	III

Heiden

$\lambda = 9° 32'$, $\beta = 47° 27'$, $H_b =$ ca. 810^m, $G = -0.03$ ${}^{m}/_{m}$, $h_r = 1.7^m$

Januar	686.4	674.2	27	697.6	7	0.3	3.5	0.5	1.2	-9.6	28	15.7	17	82	66	80	76	37	9
Februar	694.0	679.4	23	701.5	10	-1.7	2.8	-1.1	-0.3	-10.3	14	13.4	24	83	67	85	78	35	23
März	688.2	676.5	23	698.8	13	-1.5	1.3	-1.4	-0.8	-8.3	19	10.3	6	85	72	90	82	39	2. 30
April	689.7	680.1	4	699.2	19	7.8	11.0	6.2	7.8	0.5	1	17.9	12	77	62	86	75	36	4
Mai	688.4	678.2	18	697.6	23	6.8	9.0	6.4	7.1	2.7	12	14.5	31	88	76	93	86	55	6.26.31
Juni	691.6	682.7	24	699.0	27	13.4	16.6	11.8	13.4	4.9	13	23.2	29	79	68	90	79	39	4
Juli	692.9	686.7	16	698.8	6	14.3	17.4	13.4	14.6	7.0	25	24.5	5	77	64	84	75	40	5
August	692.8	687.3	5	697.6	15	14.6	18.0	13.9	15.1	8.1	6	21.6	31	84	67	89	80	49	16
September	692.1	683.1	30	697.8	7	10.2	13.7	10.0	11.0	2.0	30	21.7	11	93	76	94	88	55	11
Oktober	688.1	675.9	27	694.5	21	5.5	7.7	5.8	6.2	-4.3	29	20.3	15	89	84	91	88	40	17
November	691.9	681.8	4	699.9	30	3.8	6.8	4.5	4.9	-8.5	24	17.1	7	88	74	87	83	38	26
Dezember	689.8	675.7	5	700.0	1	-3.4	-1.6	-3.7	-3.1	-16.1	29	11.3	2	90	85	92	89	34	31
Jahr	690.5	674.2	I	704.5	II	5.8	8.8	5.5	6.4	-16.1	XII	24.5	VII	85	72	88	82	34	XII

Altstätten

$\lambda = 9° 33'$, $\beta = 47° 23'$, $H_b =$ ca. 474^m, $G = 0.01$ ${}^{m}/_{m}$. $h_r = 1.5^m$

Januar	717.6	707.0	26	730.8	8	0.4	4.2	1.1	1.7	-6.4	9	17.8	17	83	62	79	75	35	16.17
Februar	725.7	710.4	24	736.1	10	-2.3	3.2	-0.7	-0.1	-15.4	4	17.0	24	85	69	81	78	32	23
März	719.8	708.3	23	731.1	13	0.0	4.6	0.5	1.4	-5.7	20	14.2	6	82	57	77	72	40	16. 20 30
April	720.0	709.7	4	729.9	19	7.8	14.8	9.1	10.2	3.2	2	23.2	11	81	51	71	68	34	2
Mai	719.1	708.6	6	728.0	23	9.1	12.8	8.9	9.9	4.8	13	19.0	6	79	58	76	71	43	6
Juni	721.3	711.4	24	728.5	27	14.8	20.7	15.3	16.5	7.2	13	29.4	8	78	56	77	70	35	4. 6
Juli	722.6	715.6	15	727.8	3	15.5	21.6	15.6	17.1	8.6	21.25	28.6	5	80	56	77	71	36	5
August	722.3	716.5	5	727.1	1	15.7	22.1	16.3	17.6	10.6	5. 6	25.6	31	84	57	81	74	45	16
September	722.0	713.1	30	727.5	7	11.9	17.6	12.0	13.4	4.6	29	25.6	11	91	64	88	81	47	8
Oktober	718 4	707.3	27	724.9	23	6.6	10.7	7.4	8.0	-3.4	30	23.2	15	91	70	86	82	35	18
November	722.8	711.0	4	730.3	30	4.5	7.9	4.8	5.5	-7.0	24	17.0	7	86	70	86	81	48	4. 26
Dezember	721.1	707.8	5	730.4	1	-2.9	-0.1	-2.2	-1.9	-19.8	30	12.2	1	89	76	86	84	44	2
Jahr	721.1	707.0	I	736.1	II	6.8	11.7	7.3	8.3	-19.8	XII	29.4	VI	84	62	80	76	32	II

Beobachter: **J. und E. Sommer**

Haidenhaus

Bewölkung				Niederschlag			Zahl der Tage								Windverteilung								1939
7^{30}	13^{30}	21^{30}	Mittel	Summe	Maximum	Tag	●	●≥1.0	✳	▲	⛆	≡	heiter	trüb	N	NE	E	SE	S	SW	W	NW	Calmen	
7.7	6.9	6.2	6.9	69	35	16	10	10	2	—	—	—	4	15	—	8	—	4	5	49	—	2	25	Januar
7.5	6.1	4.9	6.2	13	5	26	5	4	3	—	—	2	4	9	1	3	—	2	2	25	—	2	49	Februar
7.3	7.4	6.8	7.2	87	17	7	19	16	16	—	—	—	5	18	1	12	—	—	1	35	—	4	40	März
6.5	5.5	6.1	6.0	43	10	27	9	9	—	—	—	—	6	11	3	17	—	2	2	25	—	3	38	April
8.3	7.4	6.6	7.4	238	41	21	19	19	—	—	—	7	4	17	—	18	1	1	8	26	—	6	33	Mai
4.9	4.8	5.5	5.1	95	23	30	12	12	—	—	—	1	10	8	2	15	3	1	3	22	—	4	40	Juni
4.7	4.6	5.4	4.9	111	16	10	17	16	—	—	—	—	7	6	—	2	2	2	4	31	—	4	48	Juli
6.1	3.8	5.2	5.0	150	36	25	11	11	—	—	2	1	6	4	—	11	—	6	4	12	—	5	55	August
7.2	5.2	5.3	5.9	158	66	4	12	12	—	—	1	5	4	11	1	7	—	1	1	15	—	4	61	September
9.0	8.8	7.4	8.4	219	32	5	25	24	4	—	—	12	1	20	—	11	—	1	5	31	—	—	45	Oktober
8.3	7.0	6.8	7.4	86	14	9	12	12	—	—	—	6	2	18	—	7	—	—	2	37	—	—	44	November
9.1	8.8	8.9	8.9	69	20	6	11	9	6	—	—	23	1	26	—	7	—	—	7	19	—	—	60	Dezember
7.2	6.4	6.3	6.6	1338	66	IX	162	154	31	—	3	57	54	163	8	118	6	20	44	327	—	34	538	Jahr

Beobachter: **P. Flückiger**

St. Gallen (Bruggen)

7.5	7.3	6.5	7.1	35	8	12	12	9	8	—	—	1	1	12	—	3	5	26	26	13	13	1	6	Januar
6.1	5.1	3.8	5.0	23	9	13	8	6	5	—	—	1	8	6	3	9	3	28	11	10	9	1	10	Februar
8.3	7.9	7.3	7.8	108	33	7	21	15	17	—	—	1	2	20	8	9	2	18	3	27	9	10	7	März
6.9	6.5	6.6	6.7	39	11	27	10	8	—	—	—	3	3	13	10	13	1	23	6	12	7	8	10	April
9.1	8.7	8.0	8.6	246	52	21	21	18	—	—	1	1	—	22	12	11	2	8	8	15	15	12	10	Mai
6.3	5.9	6.3	6.2	143	39	11	14	12	—	—	2	1	3	11	4	15	—	35	6	8	5	7	10	Juni
5.5	6.1	6.4	6.0	180	32	16	20	19	—	—	4	—	5	10	5	14	4	34	9	13	5	8	1	Juli
6.7	5.2	5.7	5.9	90	25	5	11	10	—	—	—	—	1	7	6	22	2	32	8	8	3	3	9	August
8.2	6.3	5.6	6.7	146	48	4	11	10	—	—	—	3	3	14	7	15	—	26	7	4	10	4	17	September
8.7	8.8	8.2	8.6	217	24	5	24	24	7	—	—	4	—	23	6	11	1	15	13	17	15	7	8	Oktober
8.4	7.5	7.0	7.6	85	27	17	14	14	1	—	—	6	—	16	5	9	3	20	7	21	11	4	10	November
8.3	8.5	8.0	8.3	75	25	6	13	11	8	—	—	8	1	23	7	17	3	20	8	10	4	3	21	Dezember
7.5	7.0	6.6	7.0	1387	52	V	179	156	46	—	7	29	27	177	73	148	26	285	112	158	106	68	119	Jahr

Beobachter: **Frl. F. Tobler**

Heiden

8.4	7.3	5.8	7.2	50	13	27	14	13	10	—	—	1	2	13	1	2	1	4	34	10	13	2	26	Januar
5.9	5.2	3.1	4.7	31	11	13	9	8	7	—	—	2	9	4	16	8	2	1	18	9	5	4	21	Februar
8.4	7.7	7.1	7.7	136	26	7	21	21	19	—	1	2	4	19	8	12	3	1	14	15	10	8	22	März
6.6	6.0	4.9	5.8	56	13	27	11	10	1	—	—	2	6	11	7	7	5	1	15	7	8	4	36	April
8.9	8.8	7.4	8.4	313	66	21	21	21	—	1	1	3	—	23	20	10	6	1	7	10	12	12	15	Mai
5.7	5.3	5.2	5.4	146	31	12	13	12	—	—	2	1	7	11	20	14	9	3	6	12	8	4	14	Juni
5.4	5.5	5.9	5.6	197	31	16	21	19	—	—	5	1	8	12	7	12	7	8	20	19	10	6	4	Juli
5.4	4.8	5.5	5.2	114	40	25	9	9	—	—	4	1	6	7	20	12	6	7	13	13	8	8	6	August
8.4	5.5	4.9	6.3	146	53	4	12	12	—	—	2	7	4	14	5	8	5	2	2	8	9	9	42	September
8.5	8.5	7.4	8.1	294	39	22	26	24	6	—	—	3	2	20	9	5	10	7	20	12	17	7	6	Oktober
8.2	7.0	6.6	7.3	134	31	17	18	16	2	—	—	3	2	16	10	6	5	9	18	14	16	7	5	November
7.6	7.3	7.1	7.3	93	34	6	12	11	7	—	—	8	5	19	5	1	1	2	7	10	12	7	48	Dezember
7.3	6.6	5.9	6.6	1710	66	V	189	176	52	1	15	34	55	169	128	97	60	46	174	139	128	78	245	Jahr

Beobachter: **B. Heldstab**

Altstätten

7.6	6.9	5.9	6.8	44	10	12	10	7	4	—	—	—	2	13	3	—	1	—	—	6	9	1	73	Januar
8.0	6.5	5.2	6.6	25	10	19	7	7	2	—	—	6	3	10	5	—	—	1	—	5	4	1	68	Februar
8.4	8.1	7.6	8.0	188	48	7	16	15	13	—	1	2	1	21	1	4	—	—	—	4	11	5	68	März
6.8	6.3	6.4	6.5	41	?	—	10	8	—	—	—	—	4	14	3	3	1	—	—	8	5	1	69	April
8.6	8.7	8.4	8.6	224	43	21	20	20	—	—	1	1	—	22	1	8	2	—	—	—	5	4	73	Mai
5.5	6.4	6.4	6.1	144	28	12	17	16	—	—	2	—	5	13	10	8	2	—	—	1	8	1	60	Juni
6.0	6.3	7.4	6.6	205	30	16	21	19	—	—	5	—	5	13	12	3	2	—	—	3	7	—	66	Juli
5.8	5.8	6.1	5.9	96	22	25	11	9	—	—	1	1	2	7	5	7	1	—	—	—	4	—	76	August
8.2	6.3	5.5	6.7	110	36	4	12	11	—	—	—	6	3	13	7	6	1	—	—	—	3	2	71	September
8.5	8.3	7.9	8.2	200	20	5	23	22	3	—	—	4	1	20	1	1	0	0	6	5	9	8	63	Oktober
8.6	7.6	7.7	8.0	138	34	17	13	13	—	—	—	3	—	19	2	1	1	1	2	9	4	7	63	November
8.5	8.0	8.4	8.3	98	38	6	11	11	6	—	—	5	1	21	3	12	1	—	—	2	3	—	72	Dezember
7.5	7.1	6.9	7.2	1513	48	III	171	158	28	—	10	28	27	186	53	53	12	2	8	43	72	30	822	Jahr

Säntis

$\lambda = 9° 20'$, $\beta = 47° 15'$, $H_b = 2500.1$ m, $G = -0.27$ mm, $h_r = 1.3$ m

1939	Luftdruck					Luft-Temperatur								Relative Feuchtigkeit					
	Mittel	Minimum	Tag	Maximum	Tag	7^{30}	13^{30}	21^{30}	Mittel	Minimum	Tag	Maximum	Tag	7^{30}	13^{30}	21^{30}	Mittel	Minimum	Tag
Januar	555.6	543.8	27	566.2	8	-8.0	-6.9	-7.7	-7.6	-17.6	7	0.4	9	78	74	71	74	22	9
Februar	562.2	551.3	23	572.2	10	-6.7	-4.7	-6.1	-5.9	-15.4	14	3.6	7	63	56	62	59	19	5
März	555.2	546.1	23	565.6	3	-11.8	-10.2	-11.6	-11.3	-19.0	16	-0.3	4	83	79	82	81	35	30
April	560.3	552.5	25	569.0	12	-2.8	-0.7	-3.0	-2.4	-10.1	23	5.6	11	78	70	82	77	31	21
Mai	559.2	552.9	6	566.5	23	-2.8	-1.1	-3.1	-2.5	-5.6	14	2.2	27	89	83	93	88	38	26
Juni	564.8	555.8	13	571.0	6	4.1	6.0	3.2	4.1	-6.0	14	12.6	7	71	72	86	76	30	28
Juli	566.1	557.3	24	570.8	8	4.1	6.7	4.0	4.7	-4.5	25	14.6	30	75	73	86	78	38	8
August	566.4	560.9	6	570.4	10	5.1	8.2	5.0	5.8	-1.7	6	12.8	11	76	76	89	80	43	27
September	564.1	557.2	30	571.3	7	2.0	4.0	1.6	2.3	-4.4	27	11.8	1	82	81	80	81	18	8
Oktober	558.7	545.6	27	566.5	17	-3.6	-2.3	-3.5	-3.2	-14.2	28	7.4	18	91	91	92	91	64	15
November	591.7	553.5	19	569.4	30	-3.4	-2.3	-3.5	-3.2	-15.6	21	7.8	8	80	79	81	80	35	8
Dezember	557.1	546.6	5	568.5	1	-9.3	-8.1	-9.4	-9.1	-23.4	29	0.2	1	75	72	79	75	18	21
Jahr	561.0	543.8	I	572.2	II	-2.8	-0.9	-2.8	-2.4	-23.4	XII	14.6	VII	78	75	82	78	18	IX/XII

Sargans

$\lambda = 9° 26'$, $\beta = 47° 3'$, $H_b = 508.0$ m, $G = -0.05$ mm, $h_r = 1.5$ m

Januar	714.1	701.9	26	726.9	8	2.4	4.7	2.8	3.2	-4.4	7	16.2	18	76	66	75	72	39	18
Februar	722.0	707.3	24	732.8	11	-1.0	3.2	1.5	1.3	0.0	8	17.2	24	84	75	82	80	35	24
März	716.0	704.4	23	727.0	13	0.3	4.0	1.3	1.7	5.2	19	12.2	6	85	68	88	80	39	30
April	716.5	707.6	4	726.1	19	8.3	14.0	9.6	10.4	1.6	18	21.4	13	80	59	76	72	40	4, 5, 13, 14, 22
Mai	715.4	705.2	6	724.4	23	9.0	12.0	9.3	9.9	5.7	14	17.1	6, 31	93	79	92	88	45	6
Juni	717.7	708.1	24	724.8	27	15.5	20.1	15.6	16.7	7.1	14	26.2	8	84	70	88	81	44	5
Juli	719.2	712.8	16	724.6	3	15.8	19.9	15.9	16.9	9.0	26	26.6	19	86	69	88	81	39	5
August	718.8	713.1	5	723.9	1	15.8	20.9	16.7	17.5	10.8	6	23.5	19	94	74	95	88	51	16
September	718.4	710.0	30	723.7	7	11.8	16.1	12.6	13.3	5.0	29	23.5	11	97	83	98	93	61	14
Oktober	714.8	702.8	27	722.2	24	7.4	10.7	8.5	8.8	-0.4	28	22.2	18	90	78	87	85	41	18, 30
November	719.3	707.5	4	727.1	30	4.7	8.2	6.3	6.4	-4.0	22	18.0	8	85	76	84	82	38	7
Dezember	717.4	702.3	5	727.3	1	-1.6	0.4	-1.2	-0.9	-13.0	30	10.0	1	88	82	89	86	38	18
Jahr	717.5	701.9	I	732.8	II	7.4	11.2	8.2	8.8	-13.0	XII	26.6	VII	87	73	87	82	35	II

Glarus

$\lambda = 9° 4'$, $\beta = 47° 3'$, $H_b = 479.6$ m, $G = -0.04$ mm, $h_r = 1.6$ m

Januar	716.6	704.5	27	729.3	7	-1.2	2.9	-1.0	-0.1	-9.0	10	13.5	16	89	68	90	82	25	16
Februar	724.5	707.6	24	735.1	10, 11	-2.7	3.2	-1.0	-0.4	-11.1	7	16.5	24	90	61	81	77	22	24
März	718.6	706.5	23	730.1	13	-1.0	3.5	0.0	0.6	-10.3	19	11.6	6	87	60	87	78	29	2, 30
April	718.8	708.0	4	728.2	19	6.1	14.2	8.5	9.3	-0.4	1	22.4	14	87	42	75	68	23	4, 14
Mai	717.8	706.6	6	727.0	23	8.1	12.3	9.1	9.6	4.6	1	18.1	24	92	60	87	80	34	30
Juni	720.1	710.7	24	728.0	27	12.3	19.9	14.6	15.4	6.6	1	26.7	29	92	51	85	76	27	28
Juli	721.6	714.3	15	727.0	3	13.7	20.2	15.2	16.1	7.5	25	27.5	5	89	50	83	74	23	5
August	721.2	716.2	5, 20	726.3	1	13.9	21.2	15.6	16.6	9.7	16	24.3	31	94	52	91	79	34	10, 15
September	720.7	712.3	30	726.0	7	10.9	16.3	11.9	12.8	1.5	30	23.7	3, 10	93	61	91	82	45	10, 11, 25
Oktober	717.1	706.0	27	723.9	24	6.5	10.1	7.0	7.7	-4.3	30	24.1	15	93	69	90	84	24	15
November	721.7	710.2	4	729.9	30	3.8	7.7	4.6	5.2	-6.2	24	17.4	4	89	71	92	84	23	4
Dezember	719.8	705.2	5	730.0	1	-3.0	0.1	-2.2	-1.8	-19.6	30	8.9	1	91	74	88	84	47	4
Jahr	719.9	704.5	I	735.1	II	5.6	11.0	6.9	7.6	-19.6	XII	27.5	VII	90	60	87	79	22	II

Elm

$\lambda = 9° 10'$, $\beta = 46° 55'$, $H = 959$ m, $G = -$ mm, $h_r = 1.6$ m

Januar	—	—	—	—	—	-1.0	1.5	-0.5	-0.1	-9.8	28	13.2	17	70	59	73	67	36	16, 17
Februar	—	—	—	—	—	-2.5	2.2	-1.0	-0.6	-11.0	15	10.0	24	70	55	67	64	36	23
März	—	—	—	—	—	-3.2	1.9	-1.8	-1.2	-12.0	19	12.2	30	79	59	80	73	30	29
April	—	—	—	—	—	4.6	11.4	6.4	7.2	-1.6	20	21.6	11	75	50	69	65	26	11
Mai	—	—	—	—	—	5.6	9.4	6.3	6.9	1.0	14	14.2	6	85	65	85	78	33	6
Juni	—	—	—	—	—	11.5	17.1	13.3	13.8	4.0	14	24.2	7	77	56	74	69	31	28
Juli	—	—	—	—	—	11.6	17.7	13.7	14.2	5.4	25	27.4	30	79	56	76	70	27	19
August	—	—	—	—	—	12.2	18.0	13.8	14.5	7.0	16	21.4	11	84	60	82	75	42	15
September	—	—	—	—	—	8.1	13.6	10.1	10.5	1.0	29, 30	21.0	3	90	65	86	80	34	30
Oktober	—	—	—	—	—	4.9	8.1	5.5	6.0	-4.8	29	20.2	18	84	72	79	78	33	18
November	—	—	—	—	—	2.7	6.0	3.4	3.9	-11.0	23	15.4	8	80	67	78	75	38	8
Dezember	—	—	—	—	—	-3.8	-1.4	-3.1	-2.8	-18.0	30	9.4	2	76	70	76	74	30	18
Jahr	—	—	—	—	—	4.2	8.8	5.5	6.0	-18.0	XII	27.4	VII	79	61	77	72	26	IV

Beobachter: **E. Hostettler**

Säntis

Bewölkung				Niederschlag			Zahl der Tage								Windverteilung								1939
7^{30}	13^{30}	21^{30}	Mittel	Summe	Maximum	Tag	●	≧1	✳	▲	K	≡	heiter	trüb	N	NE	E	SE	S	SW	W	NW	Calmen	
8.2	7.6	6.1	7.3	156	31	23	20	17	20	—	—	19	2	12	1	4	4	—	9	38	32	5	—	Januar
4.8	4.4	4.5	4.6	90	24	13	12	10	12	—	—	11	11	6	4	8	7	2	5	21	27	4	6	Februar
8.9	8.0	8.0	8.3	299	65	6	24	22	24	—	—	23	2	21	9	8	4	1	3	14	32	15	7	März
6.3	7.0	6.9	6.7	69	21	17	13	12	13	—	1	17	4	15	4	12	4	6	17	27	18	1	1	April
8.6	9.5	8.9	9.0	197	33	14	23	20	23	—	1	30	—	23	12	24	9	5	3	11	13	9	7	Mai
5.4	7.4	7.1	6.6	211	40	11	18	15	10	1	2	21	3	12	3	18	8	5	10	21	12	4	9	Juni
6.1	7.0	7.4	6.8	307	35	1	21	18	9	4	5	23	4	12	1	1	2	5	16	40	23	5	—	Juli
6.4	9.2	7.8	7.8	265	70	8	16	14	4	1	4	29	—	16	2	9	6	7	14	30	14	1	10	August
6.7	6.6	6.0	6.4	173	51	4	16	12	8	—	—	22	8	15	11	10	7	2	8	22	22	5	3	September
9.4	9.3	8.1	8.9	425	41	19	27	25	24	—	—	26	—	24	3	1	5	2	11	30	33	5	3	Oktober
7.6	7.0	6.2	6.9	376	72	17	18	17	17	—	2	18	2	13	5	9	2	3	12	25	30	4	—	November
5.9	5.8	6.5	6.1	236	48	6	15	14	15	—	—	16	7	12	7	7	8	2	13	27	18	7	4	Dezember
7.0	7.2	7.0	7.1	2804	72	XI	223	196	179	6	15	255	43	181	62	111	66	40	121	306	274	65	50	Jahr

Beobachter: **K. Albrecht**

Sargans

6.6	6.3	5.0	6.0	52	14	23	11	10	8	—	—	—	3	7	3	10	5	23	8	2	4	1	37	Januar
5.9	4.2	3.8	4.6	19	8	19	9	5	3	—	—	2	5	6	10	13	10	5	3	4	3	3	33	Februar
7.7	6.6	7.2	7.2	188	25	10	19	17	17	—	—	—	4	16	11	10	4	7	—	—	5	11	45	März
5.7	5.2	5.2	5.4	60	20	18	10	10	—	—	—	—	8	8	—	8	11	11	7	—	9	5	39	April
8.0	8.4	8.1	8.2	191	27	14	22	21	—	—	2	1	—	18	3	7	1	8	—	1	7	11	55	Mai
4.5	5.4	6.1	5.3	106	34	12	13	12	—	—	1	—	5	10	—	2	8	22	—	5	5	9	39	Juni
4.9	5.0	5.8	5.2	222	41	22	16	15	—	—	2	—	7	8	2	—	18	15	3	—	6	8	41	Juli
5.1	5.5	6.1	5.6	120	32	25	13	9	—	—	5	—	4	8	3	13	10	7	—	1	6	5	48	August
6.5	5.5	6.1	6.0	105	30	4	11	10	—	—	—	2	6	11	9	6	4	3	—	—	5	6	57	September
8.1	7.6	7.6	7.8	168	20	6	21	20	3	—	—	1	1	18	5	3	6	13	8	1	2	9	46	Oktober
7.1	5.6	6.5	6.4	245	86	17	15	14	2	—	1	6	2	12	2	10	5	31	3	5	1	3	30	November
5.8	6.3	6.4	6.2	83	34	6	11	10	8	—	—	6	7	12	7	24	9	12	1	1	1	2	36	Dezember
6.3	6.0	6.2	6.2	1559	86	XI	171	153	41	—	11	18	52	134	55	106	91	157	33	20	54	73	506	Jahr

Beobachter: **E. Wehrli**

Glarus

6.7	6.2	4.9	5.9	83	21	23	14	10	10	—	—	—	5	11	2	—	—	—	3	—	1	14	73	Januar
5.7	3.2	4.4	4.4	26	9	13	8	5	4	—	—	1	8	6	—	2	—	4	—	1	8	16	53	Februar
7.9	7.4	8.0	7.8	185	34	7	19	14	16	—	—	—	4	23	3	—	—	—	1	—	7	32	50	März
6.4	5.8	5.2	5.8	77	18	18	13	12	—	—	—	2	7	12	3	—	—	1	3	1	6	28	48	April
8.8	8.9	8.0	8.6	192	34	21	23	20	—	—	2	—	—	22	5	—	—	4	1	1	5	27	50	Mai
4.3	5.6	6.8	5.6	150	29	30	15	13	—	—	1	—	5	10	3	1	—	—	1	2	4	23	56	Juni
5.3	5.6	6.3	5.7	211	33	22	18	17	—	—	4	—	6	11	4	—	—	3	3	1	3	26	53	Juli
5.3	6.2	5.0	5.5	171	47	5	15	9	—	—	1	—	6	6	—	—	—	1	—	1	4	22	65	August
6.5	6.0	5.9	6.1	117	33	4	12	11	—	—	—	—	6	12	—	—	—	—	—	—	9	13	68	September
8.5	8.1	7.5	8.0	205	23	6	26	23	3	—	—	—	1	20	2	—	—	1	1	—	8	14	67	Oktober
7.9	7.9	6.2	7.3	283	122	17	16	13	1	—	1	3	3	13	1	—	—	1	1	—	3	24	60	November
7.0	7.0	6.7	6.9	78	20	6	11	10	7	—	—	4	2	15	—	—	—	—	—	—	3	13	77	Dezember
6.7	6.5	6.2	6.5	1778	122	XI	190	157	43	—	11	8	53	161	23	3	—	15	14	7	61	252	720	Jahr

Beobachter: **J. Kubli**

Elm

7.3	7.0	6.1	6.8	92	19	23	14	13	11	—	—	3	4	14	1	—	1	2	5	—	—	—	84	Januar
4.3	3.9	4.0	4.1	40	11	18	10	7	9	—	—	—	12	6	2	—	—	—	5	—	—	—	77	Februar
7.9	7.7	8.2	7.9	207	30	7	24	18	21	—	—	—	2	22	10	—	—	—	—	—	—	—	83	März
6.6	6.7	6.3	6.5	102	19	28	14	12	4	—	—	4	6	15	12	—	—	—	12	—	—	—	66	April
8.4	9.3	9.7	9.1	230	31	20	26	23	1	—	—	6	—	23	16	—	1	—	—	—	—	—	76	Mai
5.0	6.9	7.3	6.4	142	24	30	16	15	—	—	1	3	4	12	16	—	—	—	—	—	—	—	74	Juni
6.0	7.0	6.9	6.6	243	49	22	19	17	—	—	—	2	5	15	14	—	—	1	6	—	—	—	72	Juli
6.0	7.5	6.4	6.6	158	70	5	12	8	—	—	2	4	1	13	23	—	—	—	—	—	—	—	70	August
6.7	6.7	7.0	6.8	134	36	4	14	14	—	—	—	10	6	15	25	—	—	—	1	—	—	—	64	September
8.7	8.6	8.0	8.4	208	28	6	23	20	9	—	—	7	—	22	6	—	—	2	12	—	—	—	73	Oktober
7.0	6.8	5.8	6.5	252	69	17	15	14	7	—	—	3	3	13	8	—	—	2	5	—	—	—	75	November
6.5	7.4	6.3	6.7	82	17	6	14	11	9	—	—	5	5	14	6	—	—	—	5	—	—	—	82	Dezember
6.7	7.1	6.8	6.9	1890	70	VIII	201	172	71	—	3	47	48	184	139	—	2	7	51	—	—	—	896	Jahr

Auen (Linthal)

$\lambda = 8° 59'$, $\beta = 46° 54'$, $H_b = 821^m$, $G = -0.11\,{}^{m}/_{m}$, $h_r = 1.5^m$

1939	Luftdruck					Luft-Temperatur								Relative Feuchtigkeit					
	Mittel	Minimum	Tag	Maximum	Tag	7^{30}	13^{30}	21^{30}	Mittel	Minimum	Tag	Maximum	Tag	7^{30}	13^{30}	21^{30}	Mittel	Minimum	Tag
Januar	685.8	673.0	27	697.4	8	−0.3	3.0	0.2	0.8	−7.8	7	14.2	17	72	59	76	69	30	12
Februar	693.0	678.4	24	704.0	10	−1.1	3.8	0.4	0.9	−10.0	1	12.5	24	74	53	68	65	32	23
März	687.5	675.6	23	698.6	13	−2.2	2.6	−0.9	−0.4	−10.0	19	11.3	31	80	59	84	74	26	29
April	688.6	679.2	26	696.9	19	5.3	12.1	7.0	7.8	−0.3	20	19.8	11	75	49	74	66	31	22
Mai	687.6	678.1	6	696.0	23	6.4	10.2	7.3	7.8	2.1	14	16.4	24	89	66	87	81	35	1
Juni	690.6	682.3	24	697.4	27	12.6	18.0	13.6	14.5	4.2	13	24.7	29	77	60	82	73	38	28
Juli	691.9	685.2	16	696.8	10	12.5	18.5	13.8	14.7	5.2	25	26.7	19	81	59	85	75	33	19
August	691.1	685.6	5	696.3	1	13.2	19.5	14.8	15.6	9.0	16	24.8	21	87	59	86	77	45	16.29
September	691.0	681.7	30	696.4	7	9.7	14.8	10.6	11.4	3.3	30	23.3	3	89	67	93	83	40	30
Oktober	687.1	675.4	27	693.4	24	4.9	9.1	6.0	6.5	−3.2	26.30	21.8	18	89	69	86	81	35	14.15 18
November	691.3	680.1	4	698.6	30	3.5	7.2	3.8	4.6	−7.6	23	15.6	8	81	66	84	77	37	4
Dezember	688.5	675.2	5	699.2	1	−2.7	0.1	−2.5	−1.9	−16.0	30	9.8	2	81	72	80	78	45	2
Jahr	689.5	673.0	I	704.0	II	5.2	9.9	6.2	6.9	−16.0	XII	26.7	VII	81	62	82	75	26	III

Oberiberg

$\lambda = 8° 47'$, $\beta = 47° 2'$, $H_b = 1090^m$, $G = -0.10\,{}^{m}/_{m}$, $h_r = 1.7^m$

Januar	664.2	652.3	27	675.5	8	−3.2	2.4	−2.8	−1.6	−13.8	7	12.2	16	83	58	83	75	36	9. 16
Februar	671.4	657.3	23	682.0	10	−4.4	4.7	−2.6	−1.2	−12.6	1. 15	13.1	24	80	51	77	69	32	24
März	665.8	654.3	23	675.4	13	−4.0	1.6	−3.4	−2.3	−12.9	13	9.6	3	85	60	88	78	37	2
April	667.6	658.3	4	675.7	19	3.3	11.0	3.9	5.5	−2.8	20	19.4	13	85	52	85	74	33	4
Mai	666.5	656.9	6	674.6	23	5.0	8.6	4.5	5.7	1.6	1. 9	14.4	6	86	70	90	82	46	6
Juni	669.8	660.5	24	676.6	27	11.4	17.8	10.4	12.5	1.1	13	26.4	29	80	60	90	77	40	29
Juli	671.4	664.8	16	676.0	6	11.9	18.5	11.5	13.4	3.9	25	26.0	8. 30	79	55	87	74	33	5
August	671.2	666.4	4.5.20	675.6	1	11.9	19.1	12.2	13.9	6.2	6	24.4	18	87	58	90	78	42	9. 18
September	670.0	661.5	30	675.8	7	8.0	14.4	8.7	10.0	−0.6	26	22.8	3	90	64	90	81	33	30
Oktober	665.8	653.2	27	671.8	16	3.9	8.4	4.2	5.2	−7.6	30	21.6	18	88	67	87	81	36	15
November	669.8	660.5	4	678.7	30	1.9	7.1	2.2	3.4	−9.9	23	17.0	8	86	67	87	80	41	8
Dezember	666.6	653.9	5	677.4	1	−5.0	−0.2	−4.1	−3.4	−21.3	30	12.0	2	87	66	84	79	34	2
Jahr	668.3	652.3	I	682.0	II	9.5	3.4	3.7	5.1	−21.3	XII	26.4	VI	85	61	86	77	32	II

Einsiedeln

Die Abendbeobachtung geschieht um 20^{30h}

$\lambda = 8° 45'$, $\beta = 47° 8'$, $H_b = 913.9^m$, $G = -0.08\,{}^{m}/_{m}$, $h_r = 1.5^m$

Januar	678.6	666.4	27	690.0	8	−1.7	1.7	−1.1	−0.5	−8.2	28	9.0	16	79	66	78	74	38	16
Februar	686.0	671.3	24	696.3	11	−3.1	2.3	−0.8	−0.7	−13.8	3	9.7	24	78	60	75	71	30	9
März	680.5	668.7	23	690.9	13	−2.2	1.5	−0.7	−0.7	−7.0	14	9.6	6	80	67	79	75	38	2. 31
April	681.9	672.2	4	690.4	19	4.7	10.6	6.5	7.0	0.4	1	17.2	14	85	74	81	80	33	4
Mai	680.8	670.7	6	689.3	23	6.3	9.1	7.4	7.2	3.8	1. 19	13.3	24	90	85	86	87	46	17
Juni	683.8	674.9	24	690.7	27	12.1	16.8	13.9	13.8	5.2	13	23.0	7	83	71	69	74	33	6. 7
Juli	685.2	678.7	16	689.9	6	13.1	17.7	14.7	14.7	6.9	25	24.2	30	79	60	69	69	26	5
August	685.0	679.3	5	689.7	1	13.1	18.0	14.8	14.9	8.2	6	21.4	31	*85	*62	*80	*76	?	—
September	684.2	675.4	30	689.8	7	9.5	13.6	10.7	11.0	1.6	30	20.7	11	88	68	85	80	50	10. 11
Oktober	680.0	667.9	27	686.2	24	4.9	7.9	5.7	6.0	−4.6	30	17.1	14	84	74	85	81	45	18
November	684.2	674.1	4	692.4	30	3.2	6.6	4.0	4.4	−6.4	24	13.3	11	85	73	84	81	47	26
Dezember	681.2	665.7	5	692.2	1	−3.2	−0.4	−2.6	−2.2	−19.0	30	10.8	2	83	73	81	79	40	2
Jahr	682.6	665.7	XII	696.3	II	4.7	8.8	6.0	6.2	−19.0	XII	24.2	VII	83	69	79	77	26	VII

Zentralschweiz

Luzern

$\lambda = 8° 19'$, $\beta = 47° 3'$, $H_b = 497.8^m$, $G = -0.17\,{}^{m}/_{m}$, $h_r = 1.5^m$

Januar	714.8	703.4	27	726.5	8	0.4	3.4	1.4	1.7	−6.5	10	8.7	17	*90	*74	*88	*84	?	—
Februar	722.6	706.2	24	732.9	11	−0.6	4.2	1.8	1.8	−6.8	5	15.1	24	*92	*65	*86	*81	?	—
März	716.9	705.6	23	728.0	13	0.8	4.9	2.3	2.6	−4.0	19	14.6	6	90	68	85	81	49	29
April	717.2	706.9	4	720.4	19	7.5	13.8	10.1	10.4	3.1	20	21.2	13	92	63	82	79	45	4
Mai	716.5	705.6	6	724.2	23	8.1	11.8	9.8	9.9	5.2	1	16.8	30	96	76	90	87	55	30
Juni	718.6	709.3	24	725.4	27	13.8	20.1	16.5	16.7	7.4	14	27.0	7	92	66	87	82	47	29
Juli	719.8	713.2	24	725.1	6	14.5	20.5	17.1	17.3	8.8	28	26.6	30	91	65	86	81	49	18
August	719.6	714.5	20	724.8	1	15.4	21.3	17.5	17.9	11.5	7	25.0	31	94	66	91	84	47	15
September	719.4	711.5	30	724.4	7	11.5	15.9	13.1	13.4	3.5	26	25.2	11	95	73	93	87	48	11
Oktober	715.7	705.2	27	722.4	23.24	6.9	10.2	7.8	8.2	−0.8	30	19.6	15	93	77	91	87	48	2
November	719.9	709.2	4	728.3	30	5.4	7.9	6.2	6.4	−4.6	24	14.1	7	86	76	87	83	52	16
Dezember	718.0	704.1	5	728.3	1	−1.0	0.5	−0.6	−0.4	−12.9	30	11.8	1	87	79	86	84	58	3
Jahr	718.3	703.4	I	732.9	II	6.9	11.2	8.6	8.8	−12.9	XII	27.0	VI	91	71	88	83	?	—

Auen (Linthal)

Beobachter: **L. Curt**

Bewölkung				Niederschlag			Zahl der Tage								Windverteilung								1939
7^{30}	13^{30}	21^{30}	Mittel	Summe	Maximum	Tag	●	●≥1.0	*	▲	⛈	≡	heiter	trüb	N	NE	E	SE	S	SW	W	NW	Calmen	
7.9	6.6	5.8	6.8	114	31	23	14	13	11	—	—	8	2	12	6	—	—	—	9	—	—	—	78	Januar
5.1	3.7	4.8	4.5	41	16	13	10	7	8	—	—	5	10	6	2	—	—	—	4	—	—	—	78	Februar
8.3	7.3	8.5	8.0	306	81	9	22	19	20	—	—	6	2	22	14	—	—	—	—	—	—	—	79	März
6.7	6.3	6.7	6.6	93	17	17	11	10	2	—	1	—	6	14	7	1	—	—	7	—	—	—	75	April
8.8	9.3	9.8	9.3	165	29	28	25	22	1	1	1	10	—	26	16	—	—	—	1	—	—	—	76	Mai
4.7	6.0	7.9	6.2	117	24	30	15	13	—	—	3	3	4	13	12	1	—	—	1	—	—	—	76	Juni
5.8	6.3	7.1	6.4	218	35	16	17	16	—	—	4	2	6	13	13	—	—	—	3	—	—	—	77	Juli
5.8	6.0	6.7	6.2	148	59	5	12	11	—	—	3	3	4	11	14	—	—	1	—	—	—	—	78	August
6.9	6.0	6.9	6.6	106	35	4	15	13	—	—	—	8	6	15	18	—	—	—	—	—	—	—	72	September
9.1	8.8	7.0	8.3	199	26	6	22	21	6	—	—	14	2	22	7	—	—	1	9	—	—	—	76	Oktober
7.8	5.7	5.9	6.5	352	144	17	16	14	4	—	—	5	—	12	5	—	—	—	3	—	—	—	82	November
6.8	6.5	6.2	6.5	104	24	6	13	10	12	—	—	11	6	15	4	—	—	—	—	—	—	—	89	Dezember
7.0	6.5	6.9	6.8	1963	144	XI	192	169	64	1	12	75	48	181	118	2	—	2	37	—	—	—	936	Jahr

Oberiberg

Beobachter: **A. Holdener**

7.1	7.1	6.8	7.0	93	18	23	15	11	11	—	—	2	2	13	—	—	—	2	8	4	2	3	76	Januar
5.2	4.1	4.4	4.6	31	7	26	8	6	8	—	—	—	9	6	—	1	—	—	—	3	4	3	73	Februar
8.4	8.1	7.0	7.8	263	66	7	22	20	19	—	—	—	2	20	3	4	—	—	6	9	7	—	64	März
7.3	6.6	6.3	6.7	114	24	18	12	12	7	—	1	—	5	14	1	2	—	—	2	6	—	5	72	April
8.8	9.6	8.6	9.0	245	39	20	25	22	4	—	1	—	—	24	2	3	1	—	—	1	8	1	77	Mai
5.0	7.1	6.5	6.2	222	31	12	21	19	1	1	2	—	2	10	3	5	1	1	—	3	1	1	75	Juni
5.9	6.7	6.5	6.4	239	31	25	20	19	—	1	6	—	5	14	5	7	2	1	2	4	4	2	66	Juli
6.4	7.4	5.9	6.6	272	76	5	15	12	—	1	3	—	3	12	1	4	3	1	—	—	2	1	81	August
6.6	7.1	7.3	7.0	177	37	4	13	12	—	1	—	2	3	15	2	2	1	—	2	1	1	1	80	September
9.2	8.8	7.4	8.5	301	28	7	26	26	10	—	—	—	—	22	1	2	1	1	5	5	4	3	71	Oktober
8.4	7.0	5.9	7.1	298	94	17	16	16	4	—	1	—	1	16	1	—	—	—	2	6	7	3	71	November
6.0	6.9	6.1	6.3	104	24	6	12	11	8	—	—	5	7	14	2	—	—	—	1	1	2	—	87	Dezember
7.0	7.2	6.6	6.9	2359	94	XI	205	186	72	4	14	9	39	180	21	30	9	6	28	43	42	23	893	Jahr

Einsiedeln

Beobachter: P. **C. Merkt**

7.1	7.0	4.7	6.3	91	20	23	15	12	9	—	—	2	3	9	—	2	—	4	1	8	9	1	68	Januar
5.7	4.8	4.7	5.1	37	8	13	9	7	8	—	—	2	8	8	1	8	2	—	4	4	9	—	56	Februar
7.9	7.9	7.0	7.6	197	69	7	23	17	21	—	—	—	2	17	8	1	2	1	3	15	11	4	48	März
6.9	6.5	5.9	6.4	73	12	26	14	12	1	—	1	5	5	11	4	4	4	2	1	6	18	5	46	April
9.2	9.4	8.8	9.1	190	34	21	22	20	1	—	1	2	—	25	8	7	4	10	2	1	14	7	40	Mai
4.6	5.9	6.4	5.6	169	29	26	18	14	—	—	4	—	5	8	10	7	5	5	3	7	14	10	29	Juni
5.4	6.5	6.3	6.1	203	26	22	18	17	—	—	6	—	5	10	18	1	—	2	3	6	11	9	43	Juli
6.7	5.9	5.9	6.2	236	73	5	16	13	—	—	3	3	4	10	24	1	1	3	1	5	2	11	45	August
6.4	7.2	6.6	6.7	208	68	1	14	12	—	—	—	1	5	12	10	2	3	3	2	—	9	7	44	September
8.6	8.9	7.1	8.2	305	33	7	27	24	10	—	—	4	1	20	5	1	—	3	9	7	18	6	44	Oktober
7.7	6.8	8.9	7.8	195	54	17	16	16	3	—	1	2	2	15	3	3	2	3	6	12	11	7	43	November
6.5	6.7	6.5	6.6	98	23	6	10	10	8	—	—	9	5	16	1	2	—	6	6	6	4	3	65	Dezember
6.9	7.0	6.6	6.8	2002	73	VIII	202	174	61	—	16	30	45	161	92	39	23	42	41	77	130	80	571	Jahr

Luzern

Beobachter: **Kloster Wesemlin**

7.4	7.2	5.6	6.7	49	8	2	14	12	5	—	—	3	1	11	3	4	5	12	—	2	3	3	61	Januar
8.1	6.7	6.2	7.0	20	5	26	9	7	2	—	—	7	3	14	11	9	7	3	—	1	2	2	49	Februar
7.4	7.6	6.0	7.0	93	30	7	19	16	14	—	—	—	4	15	13	6	6	13	—	4	7	7	37	März
6.7	6.1	6.1	6.3	49	16	14	11	10	—	—	1	—	5	14	14	8	5	7	—	—	3	7	46	April
8.7	9.0	8.2	8.6	218	34	21	21	20	—	—	1	—	1	21	20	7	4	18	—	—	—	1	43	Mai
5.8	5.3	5.9	5.7	122	19	30	16	12	—	1	2	—	6	9	22	13	7	19	—	—	—	2	27	Juni
5.4	6.0	6.4	5.9	149	24	19	19	17	—	1	5	1	7	11	17	10	10	19	1	1	3	4	28	Juli
6.7	6.1	5.5	6.1	140	56	5	15	14	—	—	2	—	2	18	21	17	4	15	—	1	1	2	32	August
8.6	7.7	6.8	7.7	94	30	4	11	10	—	—	—	2	2	18	17	12	11	13	3	1	2	4	27	September
9.1	8.2	8.5	8.6	205	36	5	24	22	3	—	—	8	—	21	12	15	8	15	—	—	2	4	37	Oktober
9.0	7.6	7.4	8.0	91	20	17	15	14	—	—	1	8	2	21	12	8	4	13	1	3	8	4	37	November
8.9	8.6	8.4	8.6	66	16	10	13	11	8	—	—	7	1	24	25	15	3	8	—	—	1	1	40	Dezember
7.7	7.2	6.8	7.2	1296	56	VIII	187	165	32	2	12	36	34	187	187	124	74	155	5	13	32	41	464	Jahr

Walchwil

$\lambda = 8° 30'$, $\beta = 47° 6'$, $H = 452^m$, $G = -\,^m/_m$, $h_r = 1.5^m$

1939	Luftdruck					Luft-Temperatur								Relative Feuchtigkeit					
	Mittel	Minimum	Tag	Maximum	Tag	7^{30}	13^{30}	21^{30}	Mittel	Minimum	Tag	Maximum	Tag	7^{30}	13^{30}	21^{30}	Mittel	Minimum	Tag
Januar	—	—	—	—	—	0.9	3.2	1.1	1.6	−3.9	28	10.6	17	81	69	79	76	48	14
Februar	—	—	—	—	—	0.4	4.1	1.4	1.8	−4.0	15	16.1	24	85	62	78	75	22	24
März	—	—	—	—	—	1.5	4.1	1.4	2.1	−3.7	13	12.8	6	75	61	74	70	38	29
April	—	—	—	—	—	7.7	13.6	9.4	10.0	3.6	18	20.9	14	83	51	71	68	25	4
Mai	—	—	—	—	—	8.4	12.1	9.6	9.9	5.2	19	19.4	24	87	60	80	76	31	6
Juni	—	—	—	—	—	14.1	20.1	15.5	16.3	7.6	13	27.1	8	82	53	78	71	28	4
Juli	—	—	—	—	—	15.1	20.1	16.5	17.0	9.4	25	30.1	30	80	57	72	70	27	30
August	—	—	—	—	—	16.2	21.0	17.0	17.8	12.7	16	24.2	11	86	54	78	73	34	15
September	—	—	—	—	—	12.8	16.7	13.1	13.9	6.4	28	24.6	2	86	62	87	78	44	11.14.26
Oktober	—	—	—	—	—	7.4	10.0	7.9	8.3	0.1	27.28	18.6	15	91	72	87	83	43	2
November	—	—	—	—	—	5.8	7.9	6.4	6.6	−3.9	24	14.2	8	84	71	84	80	46	27
Dezember	—	—	—	—	—	−0.4	0.6	−0.2	0.0	−11.5	30	11.3	1	85	80	85	83	55	31
Jahr	—	—	—	—	—	7.6	11.1	8.3	8.8	−11.5	XII	30.1	VII	84	63	79	75	22	II

Rigi-Kulm

$\lambda = 8° 30'$, $\beta = 47° 3'$, $H_b = 1787.3^m$, $G = -0.20\ ^m/_m$, $h_r = 1.8^m$

Januar	608.3	596.4	27	619.1	8	−3.6	−2.3	−3.3	−3.1	−13.5	7	7.2	9	—	—	—	—	—	—
Februar	615.1	602.4	23	625.5	10	−2.4	−0.3	−2.4	−1.9	−11.2	14	7.0	8. 11	—	—	—	—	—	—
März	609.1	598.6	23	618.9	6	−7.1	−4.5	−6.6	−6.2	−13.8	13	4.8	4	89	86	88	88	23	2
April	612.3	604.6	4. 25	620.9	12	0.7	3.9	1.1	1.7	−5.2	18	10.6	11	84	77	83	81	35	10
Mai	611.3	603.4	6	618.9	23	0.2	2.6	0.9	1.1	−2.6	16	8.3	6	95	89	94	93	55	1
Juni	615.8	607.9	24	621.5	28	8.1	9.9	7.8	8.4	−1.8	13	15.6	6	80	84	88	84	52	1
Juli	617.2	610.5	24	621.4	8	8.2	11.0	8.3	8.9	−0.8	25	19.2	30	79	78	87	81	39	5
August	617.3	612.6	4. 5	621.3	10	9.1	11.7	9.4	9.9	2.3	6	15.1	24	84	83	87	85	58	18
September	615.7	607.9	30	621.8	7	6.1	7.8	6.1	6.5	−0.8	28	15.3	2. 9	84	82	89	85	22	26
Oktober	610.9	597.8	27	617.7	16	0.6	1.9	1.1	1.2	−10.0	28	12.7	17	92	86	89	89	45	18
November	614.3	606.6	4. 5	623.1	30	0.4	2.0	1.1	1.2	−11.2	22	12.0	12	86	79	82	82	39	25
Dezember	610.3	599.1	5	621.9	1	−5.0	−3.5	−4.9	−4.6	−17.8	29	7.5	1	78	75	77	77	19	30
Jahr	613.1	596.4	I	625.5	II	1.3	3.4	1.5	1.9	−17.8	XII	19.2	VII	—	—	—	—	—	—

Rigi-Kulm: Beobachterwechsel im September

Pilatus-Kulm

Die Abendbeobachtung geschieht um 20^{30}. $\lambda = 8° 16'$, $\beta = 46° 59'$, $H_b = 2068^m$, $G = -0.23\ ^m/_m$, $h_r = 2.0^m$

Januar	584.2	571.9	27	596.3	8	−5.3	−3.1	−4.9	−4.5	−16.2	7	4.4	17	75	72	74	74	30	9
Februar	590.9	578.5	23	601.3	10	−4.0	−1.7	−3.7	−3.3	−13.8	22	6.0	7. 11	62	60	63	62	12	15
März	584.5	574.4	23	595.1	6	−9.1	−6.3	−8.6	−8.2	−15.2	13	3.6	4	91	89	88	89	32	4
April	588.4	581.1	25	597.3	12	−0.7	3.6	−0.2	0.6	−7.6	18	10.2	9	80	72	81	77	36	1
Mai	587.2	579.4	6	594.6	27	−0.5	1.5	−0.5	−0.3	−4.2	1	4.7	27	88	87	91	89	29	22
Juni	592.2	584.3	13	598.2	6	6.0	8.7	6.0	6.4	−3.0	13	16.1	29	72	79	89	80	32	4
Juli	593.5	586.0	24	598.3	8	6.5	9.8	6.9	7.2	−2.0	25	20.8	30	77	73	89	80	33	29
August	593.7	588.6	5	598.0	10	7.7	11.5	7.8	8.6	1.2	6	18.4	11	79	74	90	81	48	24
September	591.7	584.1	30	597.9	7	4.6	7.5	4.3	5.2	−2.4	27	18.4	2	78	69	74	74	25	10
Oktober	586.7	573.0	28	595.1	4	−0.2	1.4	0.0	0.2	−14.0	21	18.0	4	83	81	88	84	45	18
November	590.2	583.0	4	598.5	30	−0.5	1.2	−0.2	0.0	−11.6	21	10.2	8	75	76	77	76	23	8
Dezember	586.0	574.0	5	598.1	1	−6.1	−4.3	−6.4	−5.7	−19.8	29	5.7	1	70	70	76	72	14	30
Jahr	589.1	571.9	I	601.3	II	−0.1	2.5	0.1	0.5	−19.8	XII	20.8	VII	78	75	82	78	12	II

Sarnen

$\lambda = 8° 15'$, $\beta = 46° 54'$, $H_b = \text{ca. } 474.5^m$, $G = -0.03\ ^m/_m$, $h_r = 1.7^m$

Januar	716.3	704.7	27	728.4	8	−1.0	3.0	−0.1	0.5	−8.4	9	7.7	18	90	70	85	82	47	23
Februar	724.2	707.0	24	734.5	11	−0.9	4.0	0.9	1.2	−6.1	3	15.6	24	89	65	83	79	34	24
März	718.4	705.7	23	729.6	13	0.4	4.9	1.4	2.0	−4.6	13	13.0	6	84	59	80	74	40	31
April	718.6	707.6	4	727.6	19	7.3	14.0	9.0	9.8	3.0	1	20.9	13	86	54	76	72	38	23
Mai	717.8	706.2	6	726.4	23	8.9	12.8	9.6	10.2	7.0	2	16.2	27	91	68	90	83	47	6
Juni	719.9	710.1	24	727.3	27	14.7	19.8	15.1	16.2	7.5	13.14	26.0	8	90	67	93	83	51	28.29
Juli	721.3	714.7	16.24	727.1	6	15.4	20.3	15.8	16.8	9.8	25	26.2	5	90	63	92	82	49	5. 25
August	720.9	715.3	20	726.0	1	15.5	21.0	16.6	17.4	11.9	6	24.1	31	97	67	95	86	52	7
September	720.6	711.7	30	725.8	7	11.6	16.5	12.5	13.3	5.4	28	24.5	3	98	74	97	90	57	11
Oktober	717.0	705.4	27	724.5	24	6.8	10.6	7.3	8.0	−0.4	28	18.0	14	99	81	97	92	48	20
November	721.6	710.1	4	730.0	30	4.6	8.1	5.0	5.7	−5.8	24	13.2	18.27	96	82	96	91	60	16.23
Dezember	719.6	704.8	5	730.0	1	−1.5	0.8	−1.1	−0.7	−14.0	30	14.0	1	97	90	96	94	64	15
Jahr	719.7	704.7	I	734.5	II	6.8	11.3	7.7	8.4	−14.0	XII	26.2	VII	92	70	90	84	34	II

Walchwil

Beobachter: **A. Wyss**

Bewölkung				Niederschlag			Zahl der Tage								Windverteilung									1939
7^{30}	13^{30}	21^{30}	Mittel	Summe	Maximum	Tag	●	●≥1.0	✳	▲	K	=	heiter	trüb	N	NE	E	SE	S	SW	W	NW	Calmen	
8.2	8.0	5.2	7.1	56	10	23	12	11	5	—	—	2	1	12	1	1	1	—	1	—	2	—	87	Januar
8.4	7.2	6.8	7.5	29	9	26	8	8	1	—	—	6	3	17	—	—	1	1	1	—	1	—	80	Februar
8.0	7.7	6.1	7.3	111	41	7	17	15	14	—	—	2	3	16	9	11	—	—	—	—	7	4	62	März
7.1	6.8	5.7	6.5	97	25	17	8	8	—	—	1	—	4	12	3	4	3	1	1	—	1	4	73	April
9.1	9.1	8.3	8.8	221	41	20	19	17	—	—	—	—	—	23	2	7	1	—	1	—	—	—	82	Mai
5.3	5.8	6.2	5.8	179	33	26	14	12	—	—	1	1	6	9	4	5	—	—	1	—	1	5	74	Juni
5.5	6.6	6.4	6.2	244	35	22	18	17	—	—	4	—	5	10	2	10	—	1	1	—	5	6	68	Juli
6.6	4.8	5.6	5.7	280	131	5	13	12	—	—	1	—	5	9	1	2	3	—	—	—	1	5	81	August
8.2	7.0	6.7	7.3	161	45	4	9	9	—	—	—	—	2	15	—	4	2	—	—	—	2	4	78	September
9.2	8.9	8.2	8.8	285	44	5	24	24	4	—	—	—	—	23	4	6	1	—	—	—	3	2	77	Oktober
9.0	7.8	7.3	8.0	108	22	17	13	12	—	—	1	5	1	19	6	5	1	—	1	—	1	3	73	November
9.0	8.6	8.9	8.8	100	33	6	11	10	4	—	—	—	1	26	1	2	1	—	—	1	5	3	80	Dezember
7.8	7.4	6.8	7.3	1871	131	VIII	166	155	28	—	8	16	31	191	33	57	14	3	7	1	33	32	915	Jahr

Rigi-Kulm

Beobachter: **J. Steiner, J. Wiget**

6.6	6.7	6.7	6.7	119	24	2	16	13	15	—	—	10	3	14	—	—	5	5	19	20	36	1	7	Januar
4.6	4.2	4.4	4.4	92	27	13	10	8	10	—	—	9	10	7	1	2	11	5	9	19	26	2	9	Februar
7.6	8.1	7.4	7.7	249	56	7	24	20	23	—	—	18	2	19	3	2	19	4	1	3	45	7	9	März
6.7	6.6	6.2	6.5	107	20	18	13	11	13	—	—	13	5	12	—	4	9	20	7	16	27	4	3	April
8.8	9.6	8.5	9.0	273	34	20	23	20	22	—	—	23	—	24	1	10	17	8	3	17	28	8	1	Mai
5.0	5.9	6.6	5.8	274	52	8	17	16	3	—	1	10	7	11	4	9	18	5	6	14	23	5	6	Juni
5.6	6.0	7.1	6.2	232	32	15	17	17	2	—	3	11	7	12	1	1	9	5	7	29	29	10	2	Juli
6.1	6.5	6.2	6.3	181	71	5	14	11	—	—	1	10	5	11	2	9	17	9	3	19	16	5	13	August
5.8	6.3	6.6	6.2	180	40	4	13	12	—	—	—	14	7	13	—	2	18	2	5	10	24	7	22	September
8.8	8.5	7.8	8.4	383	49	5	26	26	14	—	—	19	—	21	1	3	1	6	6	16	44	1	15	Oktober
7.6	6.8	7.0	7.1	236	50	17	16	14	8	1	1	13	1	15	1	3	6	11	13	8	37	1	10	November
5.0	5.5	6.4	5.6	157	46	6	12	11	12	—	—	12	8	11	—	4	6	11	6	18	30	1	17	Dezember
6.5	6.7	6.7	6.7	2483	71	VIII	201	179	122	1	6	162	55	170	14	49	136	91	85	189	365	52	114	Jahr

Pilatus-Kulm

Beobachter: **A. v. Wyl, F. X. Furrer, J. Gander**

6.4	6.3	5.3	6.0	92	13	2	18	16	18	—	—	12	5	13	—	—	4	—	6	62	1	—	20	Januar
4.7	4.4	4.3	4.5	57	15	13	10	8	10	—	—	11	10	6	1	1	10	—	5	35	—	—	32	Februar
7.9	7.8	6.9	7.5	247	51	7	23	20	23	—	—	22	4	21	9	13	—	—	2	40	1	1	27	März
6.4	6.5	6.5	6.5	109	32	18	15	10	14	—	—	15	6	10	2	11	10	—	3	33	—	—	31	April
8.1	9.7	9.8	9.2	313	47	21	25	23	22	—	—	27	—	25	—	34	1	2	—	20	1	2	33	Mai
5.4	7.7	7.7	6.9	175	31	13	16	16	3	1	3	18	4	14	—	25	—	8	13	26	—	—	18	Juni
5.9	7.8	7.8	7.2	228	34	15	19	19	5	3	3	14	4	15	1	8	1	7	9	60	—	—	7	Juli
6.3	8.6	7.9	7.6	161	40	5	15	14	2	—	1	19	1	16	1	12	—	—	—	46	2	3	29	August
5.7	6.1	5.6	5.8	140	42	4	14	13	—	1	—	14	9	15	1	10	1	—	—	36	—	—	42	September
8.0	8.0	8.1	8.0	189	*35	7	23	19	12	—	—	14	1	20	—	25	—	8	—	51	—	1	8	Oktober
7.1	7.1	6.9	7.0	135	31	17	16	14	10	—	—	10	2	14	—	37	—	2	—	37	—	5	9	November
5.6	5.5	5.9	5.7	127	38	6	12	11	12	—	—	7	8	11	—	21	—	1	—	28	—	18	25	Dezember
6.5	7.1	6.9	6.8	1973	51	III	206	183	131	5	7	183	54	180	15	197	27	28	38	474	5	30	281	Jahr

Sarnen

Beobachter: **P. Ch. Durer**

7.9	7.1	6.5	7.2	50	9	22	13	11	5	—	—	4	1	12	—	24	—	—	—	4	—	—	65	Januar
8.0	6.0	6.2	6.7	17	6	13	9	5	2	—	—	5	2	10	—	24	—	—	—	4	—	—	56	Februar
8.1	7.2	6.9	7.4	97	29	7	17	14	15	—	—	—	2	18	—	35	—	—	—	14	—	—	44	März
6.4	6.3	6.6	6.4	61	15	14	10	8	—	—	1	—	4	12	—	35	—	—	—	5	—	—	50	April
9.0	8.9	9.0	9.0	174	25	18	20	19	—	—	—	—	—	25	—	29	—	—	—	5	—	—	59	Mai
5.3	6.1	6.5	6.0	150	19	13	16	15	—	—	4	1	4	10	—	36	—	—	—	3	—	—	51	Juni
5.2	5.8	6.3	5.8	180	19	16	19	19	—	—	3	—	5	8	—	27	—	—	—	12	—	—	54	Juli
6.4	5.6	6.6	6.2	163	62	5	16	13	—	—	3	3	1	6	—	24	—	—	—	2	—	—	67	August
7.9	7.0	7.2	7.4	95	36	4	14	12	—	—	—	6	—	15	—	29	—	—	—	1	—	—	60	September
8.9	7.9	7.9	8.2	168	19	5	25	18	4	—	—	2	—	17	—	30	—	—	—	10	—	—	53	Oktober
8.7	7.7	6.9	7.8	105	32	17	15	13	—	—	1	6	—	20	—	24	—	—	—	10	—	—	56	November
9.3	8.5	8.5	8.8	72	24	6	12	11	6	—	—	8	1	23	—	27	—	—	—	—	—	—	66	Dezember
7.6	7.0	7.1	7.2	1332	62	VIII	186	158	32	—	12	35	20	176	—	344	—	—	—	70	—	—	681	Jahr

Engelberg

Die Abendbeobachtnug geschieht um 20^{30}. $\lambda = 8^\circ 25'$, $\beta = 46^\circ 49'$, $H_b = 1017.8^m$, $G = -0.12\,^{m}/_{m}$, $h_r = 1.6^m$

1939	Luftdruck					Luft-Temperatur								Relative Feuchtigkeit					
	Mittel	Minimum	Tag	Maximum	Tag	7^{30}	13^{30}	21^{30}	Mittel	Minimum	Tag	Maximum	Tag	7^{30}	13^{30}	21^{30}	Mittel	Minimum	Tag
Januar	667.8	656.0	27	678.7	8	-2.1	1.2	-1.7	-1.0	-10.5	28	10.5	16	77	59	78	71	29	9
Februar	675.0	660.1	24	685.1	10	-3.3	2.3	-1.3	-1.0	-10.9	1	9.9	24	77	55	72	68	23	24
März	669.4	658.0	23	679.1	13	-3.1	0.9	-2.1	-1.6	-12.1	19	8.7	4	80	61	84	75	24	4
April	670.9	661.9	4	679.0	20	3.5	9.7	5.6	6.0	-1.6	20	17.3	11	82	53	76	70	17	22
Mai	670.0	659.9	6	678.0	23	5.2	8.0	6.3	6.1	0.9	1	13.0	6	88	71	85	81	28	6
Juni	673.0	664.5	24	679.5	27	10.5	16.3	12.6	12.6	1.6	13	23.3	29	82	60	79	74	35	8
Juli	674.4	667.4	24	679.1	6	11.2	17.0	13.2	13.3	5.3	25	24.6	30	83	53	80	72	22	19
August	674.3	669.5	5	678.6	1	11.8	17.1	13.9	13.9	7.5	16	20.9	11.19 31	91	63	87	80	45	15
September	673.4	664.9	30	679.1	7	8.4	12.6	9.8	10.0	-0.1	29	20.3	11	93	74	93	87	45	10
Oktober	669.1	656.9	27	675.1	16	4.3	7.7	5.1	5.5	-5.6	30	20.6	18	89	72	86	82	26	15.18
November	673.0	663.6	4	681.0	30	2.7	6.1	2.6	3.6	-9.1	23	13.9	11	82	68	86	79	23	4
Dezember	670.0	657.2	5	681.0	1	-4.0	-1.5	-3.7	-3.2	-17.5	30	8.3	2	83	77	83	81	29	19
Jahr	671.7	656.0	I	685.1	II	3.8	8.1	5.0	5.4	-17.5	XII	24.6	VII	84	64	82	77	17	IV

Altdorf

$\lambda = 8^\circ 39'$, $\beta = 46^\circ 53'$, $H_b = 456.3^m$, $G = -0.05\,^{m}/_{m}$, $h_r = 1.5^m$

Januar	718.0	706.2	26	730.7	8	2.3	5.2	2.4	3.1	-4.8	27	17.0	17	72	60	74	69	28	17
Februar	726.2	709.8	24	736.5	11	0.2	4.5	1.3	1.8	-4.4	15	14.6	24	84	62	81	76	26	23
März	720.2	707.6	23	731.5	13	0.5	4.7	1.6	2.1	-4.7	19	13.5	7	77	55	78	70	30	29
April	720.5	710.6	4	730.1	19	7.8	13.8	9.8	10.3	2.5	20	20.6	14	80	49	69	66	27	4
Mai	719.5	709.0	6	728.6	23	9.2	12.7	9.8	10.4	5.5	19	17.5	24	85	62	84	77	39	2
Juni	721.7	711.9	24	729.1	27	13.8	19.3	15.2	15.9	8.0	14	26.9	7	84	58	82	75	40	29
Juli	723.3	716.2	15	728.9	2. 6	15.2	20.4	16.3	17.1	8.2	25	27.5	5	80	54	79	71	29	5
August	722.9	717.7	20	727.6	1	15.1	20.8	16.6	17.3	11.5	16	23.9	11	88	58	87	78	46	15
September	722.4	714.1	30	728.1	7	11.9	16.5	12.9	13.5	5.9	29	24.3	11	89	65	89	81	46	11
Oktober	718.8	707.2	27	726.4	24	7.9	11.3	8.6	9.1	-1.7	30	24.0	18	85	65	82	77	30	15
November	723.4	712.3	4	732.9	30	5.5	8.7	6.0	6.6	-5.0	24	15.9	4	84	68	83	78	32	4
Dezember	721.4	706.1	5	732.1	1	-0.4	1.9	0.0	0.4	-12.7	30	10.7	1	85	70	82	79	33	4
Jahr	721.5	706.1	XII	736.5	II	7.4	11.7	8.4	9.0	-12.7	XII	27.5	VII	83	61	81	75	26	II

Göschenen

$\lambda = 8^\circ 35'$, $\beta = 46^\circ 40'$, $H_b = 1107.2^m$, $G = -0.16\,^{m}/_{m}$, $h_r = 2.7^m$

Januar	662.7	649.8	27	673.7	8	0.2	1.5	0.3	0.6	-9.8	7	9.2	17	74	68	74	72	31	9
Februar	669.6	658.7	23	679.8	10	0.1	2.1	0.5	0.8	-7.8	2	8.2	26	68	66	75	70	36	6
März	663.7	651.6	23	673.3	5	-2.9	-0.1	-2.5	-2.0	-9.8	18	9.4	6	85	80	87	84	31	30
April	665.6	657.5	25	673.6	12	5.3	9.5	5.1	6.3	-1.2	20	16.4	13	79	67	83	76	36	21
Mai	664.4	656.0	6	672.5	23	4.1	8.2	5.5	5.8	1.2	25	13.2	30	90	81	94	88	51	6
Juni	667.9	659.7	24	674.7	27	10.6	16.6	11.8	12.7	2.6	14	23.4	29	80	65	81	75	36	30
Juli	669.5	662.6	24	674.3	6	10.9	16.8	12.7	13.3	4.6	25	23.0	9. 30	86	69	87	81	41	13
August	669.1	663.8	25	673.4	10	12.4	17.5	13.7	14.3	9.2	6	21.4	24	86	74	89	83	43	24
September	668.3*	659.3*	30	673.8*	7	8.4*	13.6*	10.6*	10.8*	?	—	?	—	88*	77*	88*	84*	?	—
Oktober	664.2	651.5	27	670.2	17	5.5	7.5	5.9	6.2	-3.2	28	17.0	17. 18	85	76	82	81	37	30
November	668.2	657.8	4	676.2	30	3.7	5.6	4.2	4.4	-8.8	23	14.0	8	83	77	79	80	42	24
Dezember	664.7	652.5	5	675.0	1	-1.9	-0.5	-1.8	-1.5	-15.8	30	6.6	2	82	77	76	78	39	23
Jahr	666.5	649.8	I	679.8	II	4.7	8.2	5.5	6.0	-15.8	XII	23.4	VI	82	73	83	79	31	I/III

St. Gotthard

$\lambda = 8^\circ 34'$, $\beta = 46^\circ 33'$, $H_b = 2095.7^m$, $G = -0.25\,^{m}/_{m}$, $h_r = 1.8^m$

Januar	586.1	573.0	27	595.6	8	-7.5	-5.1	-7.1	-6.7	-16.2	28	0.4	9	78	76	79	78	45	9
Februar	592.3	582.6	22.23	601.5	11	-6.1	-2.6	-5.4	-4.9	-12.4	14	2.8	7	63	63	64	63	30	5
März	585.2	575.2	23	596.4	6	-8.7	-6.3	-9.2	-8.3	-14.8	13	3.6	6	72	70	75	72	42	29
April	589.8	582.2	25	598.2	12	-1.3	1.2	-1.0	-0.5	-6.8	19	6.8	9	75	67	77	73	36	21
Mai	588.2	581.9	5	595.4	23	-1.3	2.3	-1.3	-0.4	-5.4	9	7.2	20	85	76	91	84	52	26
Juni	593.5	584.8	13	599.5	6. 28	4.3	7.8	4.0	5.0	-2.6	14	13.0	23.29	76	63	80	73	32	30
Juli	595.1	587.4	24	599.6	8	5.7	9.5	5.8	6.7	-1.6	25	14.8	8	77	63	85	75	36	3. 11
August	595.1	589.5	5	598.7	11	7.2	11.1	7.5	8.3	-0.4	6	16.2	19	76	64	85	75	31	10.17
September	593.1	585.5	15	599.3	7	3.8	8.1	4.2	5.1	-2.2	30	15.5	2	79	67	83	76	41	3
Oktober	588.4	574.3	27	597.0	17	-0.7	1.5	-0.6	-0.1	-10.6	28	7.2	3	88	82	88	86	61	26
November	591.8	584.3	4	598.8	30	-2.2	-0.2	-2.8	-2.0	-14.5	21	5.6	13	74	70	81	75	50	30
Dezember	587.1	576.0	6	598.8	1	-7.4	-4.7	-7.8	-6.9	-19.8	29	6.0	1	72	67	71	70	34	26
Jahr	590.5	573.0	I	601.5	II	-1.2	1.9	-1.1	-0.4	-19.8	XII	16.2	VIII	76	69	80	75	30	II

Beobachter: P. N. Kaeser

Engelberg

Bewölkung				Niederschlag			Zahl der Tage								Windverteilung									1939
7^{30}	13^{30}	21^{30}	Mittel	Summe	Maximum	Tag	● *	●* ≧1.0	*	▲	K	≡	heiter	trüb	N	NE	E	SE	S	SW	W	NW	Calmen	
5.4	7.2	5.3	6.0	72	15	23	13	11	9	—	—	3	4	9	—	21	—	6	—	19	—	2	45	Januar
4.4	4.5	4.2	4.4	38	8	13	10	9	9	—	—	3	11	8	—	13	—	11	—	19	—	—	41	Februar
7.4	8.1	7.4	7.6	207	43	7	23	19	21	—	—	3	3	17	—	17	—	3	—	41	—	1	31	März
5.9	6.2	6.3	6.1	126	29	18	14	13	4	—	—	—	6	14	1	8	—	5	—	24	—	7	45	April
8.9	9.5	9.9	9.4	265	40	18	25	22	5	—	1	2	—	28	—	7	—	2	—	36	—	2	46	Mai
4.7	6.0	7.9	6.2	135	22	13	17	15	1	—	—	1	4	11	—	4	—	12	—	35	—	—	39	Juni
4.6	5.7	6.8	5.7	173	19	25	21	18	—	2	4	1	6	10	1	10	—	6	—	29	—	1	46	Juli
5.6	6.9	7.9	6.8	151	85	5	13	12	—	—	—	3	1	12	—	4	—	7	—	38	—	2	42	August
5.6	7.0	7.9	6.8	121	33	4	17	14	—	—	1	6	4	12	—	2	—	6	—	34	—	—	48	September
8.4	8.1	7.3	7.9	239	27	6	25	23	8	—	—	4	—	19	—	12	—	6	—	28	—	—	47	Oktober
7.0	7.0	5.3	6.4	266	122	17	17	14	2	—	—	4	2	11	—	14	—	7	—	22	—	1	46	November
6.1	7.0	5.3	6.1	98	24	6	13	12	11	—	—	6	5	11	—	9	—	5	—	24	—	4	51	Dezember
6.2	6.9	6.8	6.6	1891	122	XI	208	182	70	2	6	36	46	162	2	121	—	76	—	349	—	20	527	Jahr

Beobachter: Frl. H. Nager

Altdorf

8.2	7.5	6.6	7.4	54	19	23	11	10	6	—	—	2	—	12	—	—	1	7	7	—	—	6	72	Januar
8.3	6.6	6.9	7.3	24	6	13	9	7	3	—	—	5	2	14	—	—	1	4	1	—	—	1	77	Februar
8.2	7.8	7.7	7.9	147	33	7	17	13	14	—	—	—	2	20	3	1	1	—	—	—	—	11	77	März
6.6	6.1	6.3	6.3	119	39	26	13	11	—	—	1	—	6	14	1	—	—	5	1	—	—	21	62	April
8.6	8.8	9.0	8.8	209	30	18	21	17	—	—	1	—	—	25	1	1	1	—	1	—	1	13	75	Mai
5.4	6.1	7.5	6.3	105	20	30	15	13	—	—	1	1	4	12	—	—	1	1	—	—	—	10	78	Juni
6.1	6.5	7.1	6.6	153	23	31	19	17	—	—	4	—	4	15	—	—	—	2	1	—	—	13	77	Juli
6.3	5.8	6.3	6.1	143	82	5	13	11	—	—	—	—	—	9	—	—	—	—	—	—	2	8	83	August
7.0	6.6	7.4	7.0	85	23	4	14	14	—	—	—	1	3	14	—	—	—	—	1	—	1	4	84	September
8.6	8.0	8.3	8.3	168	24	6	24	19	2	—	—	—	—	20	1	—	1	2	5	—	1	8	75	Oktober
8.9	7.0	6.9	7.6	207	69	17	14	13	—	—	—	4	1	16	2	1	1	5	1	—	—	10	70	November
9.2	8.7	8.4	8.8	55	14	6	13	10	5	—	—	7	1	25	1	—	—	—	2	—	2	7	81	Dezember
7.6	7.1	7.4	7.4	1469	82	VIII	183	155	30	—	7	20	23	196	9	3	7	26	20	—	7	112	911	Jahr

Beobachter: O. Lendenmann

Göschenen

7.0	6.8	6.7	6.8	83	24	12	12	9	11	—	—	2	4	14	13	—	—	—	52	—	—	—	28	Januar
4.6	4.5	4.3	4.5	32	9	19	9	9	8	—	—	—	10	8	4	—	—	1	30	—	—	—	49	Februar
7.4	7.4	6.8	7.2	164	35	14	18	16	16	—	—	—	5	18	21	—	—	—	21	—	—	—	51	März
6.4	6.3	6.7	6.5	208	74	26	15	14	4	—	—	1	6	13	10	—	—	—	30	—	—	—	50	April
8.5	9.1	9.0	8.9	215	49	18	22	21	4	—	—	4	—	27	14	—	—	1	11	—	—	—	67	Mai
4.4	5.7	5.6	5.2	118	29	24	13	12	—	—	2	2	7	8	17	—	—	—	39	—	—	—	34	Juni
5.5	6.3	6.6	6.1	147	31	22	15	14	—	—	2	1	5	12	15	—	—	—	35	—	—	—	43	Juli
5.8	6.3	6.9	6.3	152	92	5	10	8	—	—	1	1	5	13	10	—	—	—	18	—	—	—	65	August
5.8*	6.4*	7.0*	6.4*	60*	?	—	10*	8*	—	—	1*	2*	4*	11*	—	—	—	—	—	—	—	—	—	September
8.4	8.6	7.8	8.3	108	16	15	20	20	5	—	1	1	2	22	11	—	—	—	31	—	—	—	51	Oktober
5.1	5.5	3.5	4.7	231	69	17	15	12	4	—	—	—	11	8	5	—	—	—	33	—	—	—	52	November
5.8	6.2	5.2	5.7	38	20	6	10	7	9	—	—	3	8	10	6	—	—	—	33	—	1	—	53	Dezember
6.2	6.6	6.3	6.4	1556	92	VIII	169	150	61	—	7	17	67	164	—	—	—	—	—	—	—	—	—	Jahr

Beobachter: Frl. F. Lombardi

St. Gotthard

6.5	6.2	6.4	6.4	231	33	12	21	20	21	—	—	20	6	15	24	4	1	21	25	—	—	2	16	Januar
4.3	4.1	4.3	4.2	78	20	24	14	11	14	—	—	11	12	8	39	5	2	18	1	—	—	—	19	Februar
5.7	6.6	7.6	6.6	340	60	15	24	22	24	—	—	22	5	12	47	14	—	10	2	—	—	1	19	März
6.1	6.1	6.9	6.4	350	61	27	20	19	19	—	—	20	6	14	23	8	4	12	13	—	—	—	30	April
8.1	8.1	9.3	8.5	335	61	12	25	23	25	—	1	27	—	22	35	6	1	8	9	—	—	4	30	Mai
5.1	5.8	6.6	5.8	221	60	24	13	12	3	—	1	12	6	12	24	—	—	7	9	—	—	4	46	Juni
5.8	6.2	7.7	6.6	304	65	22	20	17	2	—	1	17	4	14	32	2	7	18	5	—	—	6	23	Juli
5.4	6.2	6.8	6.1	285	146	5	15	11	2	—	2	15	3	10	38	—	—	10	1	—	—	—	44	August
5.0	5.6	6.8	5.8	75	43	4	16	13	3	1	—	18	6	11	42	5	—	7	—	—	—	—	36	September
8.3	8.5	8.5	8.4	462	103	15	29	27	14	—	—	22	1	23	29	8	—	14	9	—	—	—	33	Oktober
5.8	6.2	5.1	5.7	324	117	17	18	17	18	—	—	16	6	10	32	4	1	7	2	—	—	2	42	November
5.8	6.2	5.1	5.7	141	22	27	22	20	22	—	—	17	11	16	37	6	1	10	3	—	—	—	36	Dezember
6.0	6.3	6.8	6.4	3146	146	VIII	237	212	167	1	5	217	66	167	402	62	17	142	79	—	—	19	374	Jahr

Basel (Binningen)

$\lambda = 7° 35'$, $\beta = 47° 33'$, $H_b = 318^m$, $G = 0.11\ ^m/_m$, $h_r = 1.5^m$

1939	Luftdruck					Luft-Temperatur								Relative Feuchtigkeit					
	Mittel	Minimum	Tag	Maximum	Tag	7^{30}	13^{30}	21^{30}	Mittel	Minimum	Tag	Maximum	Tag	7^{30}	13^{30}	21^{30}	Mittel	Minimum	Tag
Januar	729.9	718.5	26	742.7	8	1.9	5.2	2.9	3.2	−5.2	7	10.7	17	84	68	80	77	50	6
Februar	738.5	721.8	23	749.1	10	−0.6	5.4	1.7	2.1	−5.8	6	10.8	11	89	61	84	78	38	16
März	732.8	720.0	23	744.7	13	1.0	5.8	2.4	2.9	−6.9	19	15.1	31	87	63	81	77	34	31
April	732.8	721.4	4	742.9	19	7.6	14.5	9.0	10.0	2.8	1	24.4	13	83	58	80	74	29	22
Mai	731.9	720.6	6	740.7	23	9.0	13.5	9.8	10.5	4.4	1	21.6	31	89	67	86	81	35	31
Juni	733.7	723.6	24	741.3	27	15.0	21.8	15.9	17.2	7.6	13	29.5	7	80	57	82	73	40	16
Juli	735.0	727.9	24	740.9	3	15.6	21.8	15.5	17.1	9.6	24	30.2	30	79	60	86	75	44	4. 29
August	734.8	729.1	20	740.4	1	15.3	22.8	16.7	17.9	11.0	7	27.9	19	90	62	88	80	47	2
September	734.6	725.8	30	740.2	25	11.2	18.1	12.3	13.5	0.4	29	28.2	3	94	68	93	85	48	28
Oktober	730.8	720.4	27	738.5	23	7.1	11.0	7.7	8.4	−0.3	30	20.5	14	93	77	91	87	54	14
November	735.3	724.1	4	744.3	21	5.9	9.5	6.7	7.2	−3.8	24	17.8	7	89	72	87	83	47	28
Dezember	734.0	718.9	5	743.8	1	−1.0	1.4	−0.8	−0.3	−15.0	30	13.1	1	88	77	87	84	49	2
Jahr	733.7	718.5	I	749.1	II	7.3	12.6	8.3	9.1	−15.0	XII	30.2	VII	87	66	85	79	29	IV

La Chaux-de-Fonds

$\lambda = 6° 50'$, $\beta = 47° 7'$, $H_b = 989.9^m$, $G = -0.03\ ^m/_m$, $h_r = 1.3^m$

Januar	671.5	660.1	26	683.3	8	−1.3	1.9	−0.6	−0.2	−13.9	7	11.1	16	88	73	83	81	41	9
Februar	679.2	663.5	24	690.3	10	−4.4	2.7	−2.2	−1.5	−12.9	4. 5	8.3	24	83	67	84	78	30	15
März	673.8	662.5	23	683.4	13	−2.9	1.2	−2.3	−1.6	−9.9	16	9.9	4	87	71	85	81	43	30
April	675.0	664.9	4	682.9	19	4.4	9.8	5.1	6.1	0.9	18.19	18.1	11	86	74	83	81	44	1
Mai	674.1	664.6	6	681.9	23	5.6	9.2	6.3	6.8	0.8	1	15.0	24	88	79	87	85	55	17
Juni	677.1	667.9	24	683.9	27	12.5	16.8	12.2	13.4	3.1	13	24.7	6	88	84	87	86	60	5
Juli	678.6	671.3	24	683.2	7	12.2	17.1	12.4	13.5	4.6	24	25.4	30	86	73	84	81	36	29
August	678.4	673.1	4	683.2	1	12.8	17.8	13.6	14.5	9.9	7	22.0	19	86	64	84	78	44	18
September	677.5	668.6	30	683.4	25	8.5	14.0	9.9	10.6	0.3	28	21.3	2	86	70	83	80	42	9
Oktober	673.2	660.9	27	679.9	23	4.8	7.9	5.1	5.7	−4.1	30	17.9	18	86	75	85	82	54	18
November	677.5	667 5	4	686.8	30	3.5	6.9	4.0	4.6	−6.5	23	17.2	8	78	71	77	75	48	8.9.10
Dezember	674.2	661.4	5	686.0	1	−3.5	0.8	−2.7	−2.0	−18.1	30	9.7	1	81	75	80	79	49	26
Jahr	675.8	660.1	I	690.3	II	4.3	8.8	5.1	5.8	−18.1	XII	25.4	VII	85	73	84	81	30	II

Neuchâtel

$\lambda = 6° 57'$, $\beta = 47° 0'$, $H_b = 487.3^m$, $G = 0.02\ ^m/_m$, $h_r = 1.3^m$

Januar	715.5	703.7	26	728.0	8	1.2	3.4	1.7	2.0	−8.1	7	9.5	16	91	83	87	87	61	6
Februar	723.5	706.7	27	733.3	10. 11	−0.4	3.3	1.4	1.4	−4.3	5	10.9	25	88	74	84	82	40	27
März	717.9	705.6	23	728.7	13	0.5	4.9	2.0	2.3	−4.8	19	12.7	31	85	65	79	76	40	31
April	718.0	707.2	4	726.4	20	7.3	13.0	9.3	9.7	3.9	26	21.3	13	84	61	73	73	34	21
Mai	716.9	705.9	6	725.0	23	8.2	12.5	9.8	10.1	5.2	1	19.0	31	90	70	80	80	38	24
Juni	719.2	709.3	24	726.1	27	13.8	20.6	15.8	16.5	8.2	13	27.6	29	86	60	77	74	33	5
Juli	720.7	714.8	16	725.7	6	14.5	20.6	16.0	16.8	8.7	24	26.4	30	84	61	73	73	42	3
August	720.3	715.3	4	725.3	1	15.1	21.7	17.4	17.9	11.8	7	25.4	12	90	63	76	76	37	16
September	719.9	711.0	30	725.3	25	11.8	17.2	12.9	13.7	4.6	28	25.3	3	90	70	83	81	55	11
Oktober	716.3	704.6	27	724.0	23	7.2	9.9	7.8	8.2	0.0	37	20.5	14	92	81	88	87	41	21
November	721.1	709.9	4	730.0	30	5.2	7.4	6.0	6.2	−3.9	24	13.7	18	90	82	86	86	45	28
Dezember	718.9	704.1	5	729.3	1	−0.9	1.2	−0.5	−0.2	−14.7	30	13.9	2	91	82	89	87	35	2
Jahr	719.0	703.7	I	733.3	II	7.0	11.3	8.3	8.7	−14.7	XII	27.6	VI	88	71	81	80	33	VI

Chaumont

$\lambda = 6° 49'$, $\beta = 47° 1'$, $H_b = $ ca. 1115^m, $G = -0.06\ ^m/_m$, $h_r = 1.3^m$

Januar	660.2	649 1	26	671.1	8	−1.5	0.1	−1.3	−1.0	−10.4	7	7.4	16	92	89	90	90	35	9
Februar	667.2	652.5	24	677.7	10	−1.3	2.1	−0.6	−0.1	−7.4	22	8.8	7	77	68	75	73	21	7
März	661.8	650.9	23	671.1	6	−3.1	−0.2	−2.4	−2.0	−10.2	19	9.2	4	91	81	89	87	47	3. 31
April	663.3	652.1	7	671.8	16	3.8	7.2	4.5	5.0	−0.8	19	17.4	11	88	75	86	83	45	22
Mai	662.6	654.7	6	669.8	24	4.2	6.9	4.9	5.2	0.6	13	12.4	24	99	85	92	91	59	24
Juni	665.9	657.6	24	672.4	27	10.8	15.0	11.6	12.3	3.2	13	21.4	29	86	73	84	81	29	5
Juli	667.3	660.7	24	672.1	6	11.5	15.1	11.5	12.4	3.6	25	22.8	30	85	72	83	80	44	8
August	667.1	662.7	20.21	671.7	1	12.1	16.1	12.9	13.5	8.2	6	20.4	31	*90	*75	*88	*84	?	—
September	666.7	658.1	30	671.6	7	8.1	12.0	8.8	9.4	−0.3	28	22.0	3	*90	*80	*85	*85	?	—
Oktober	663 0	650.9	27	669.4	16	3.8	5.4	4.1	4.3	−5.0	26.27	15.1	18	95	90	95	93	71	18
November	666.5	657.6	4	675.6	30	2.7	4.8	3.2	3.5	−7.8	23	14.0	8	92	84	91	89	40	26
Dezember	663.1	651.7	5	674.1	1	−2.8	−0.8	−2.4	−2.1	−13.0	30	8.9	1	86	80	85	84	27	30
Jahr	664.6	649.1	I	677.7	II	4.0	7.0	4.6	5.0	−13.0	XII	22.8	VII	89	79	87	85	21	II

Beobachter: **Astronom. Meteorol. Anstalt**

Basel (Binningen)

Bewölkung				Niederschlag			Zahl der Tage								Windverteilung								1959
7^{30}	13^{30}	21^{30}	Mittel	Summe	Maximum	Tag	●	≧1	✳	▲	⛆	≡	heiter	trüb	N	NE	E	SE	S	SW	W	NW	Calmen	
8.2	8.1	7.5	7.9	50	14	18	14	11	1	—	—	1	1	18	1	10	37	10	10	10	9	3	3	Januar
6.2	5.6	5.9	5.9	25	8	26	6	5	2	—	—	3	6	11	2	6	24	14	8	9	10	6	5	Februar
8.6	7.7	6.7	7.7	98	30	7	19	12	15	—	—	2	1	18	8	3	13	5	13	17	13	12	9	März
8.0	6.9	7.0	7.3	99	17	6	14	12	—	—	2	2	3	17	7	1	13	9	15	14	14	13	4	April
8.4	8.5	8.0	8.3	182	21	8	21	19	—	—	1	2	1	21	10	8	6	4	13	13	14	18	7	Mai
5.9	6.2	7.3	6.5	117	40	30	14	14	—	—	7	1	4	11	6	2	13	17	10	7	17	11	7	Juni
6.1	6.4	5.4	6.0	135	25	14	17	15	—	—	5	—	3	9	3	4	14	22	15	15	10	6	4	Juli
7.6	6.1	6.6	6.8	112	49	19	15	12	—	—	3	3	2	14	2	5	12	9	11	11	17	14	12	August
8.5	6.2	6.0	6.9	67	22	4	14	11	—	—	2	8	1	13	3	4	7	12	14	8	13	19	10	September
9.6	9.3	8.5	9.1	215	32	18	24	22	3	—	2	4	—	25	8	6	16	12	9	13	14	11	4	Oktober
8.7	7.4	7.6	7.9	64	15	9	15	10	1	—	—	4	—	16	5	9	26	13	2	11	15	5	4	November
7.6	7.5	7.7	7.6	41	17	10	11	6	2	—	—	3	2	18	5	9	33	11	6	4	7	12	6	Dezember
7.8	7.2	7.0	7.3	1205	49	VIII	184	149	24	—	22	33	24	191	60	67	214	138	126	132	153	130	75	Jahr

Beobachter: **Agents de Police municipale**

La Chaux-de-Fonds

7.5	6.5	6.2	6.7	184	45	23	19	18	10	—	—	—	4	16	—	—	—	—	—	15	1	2	75	Januar
5.6	4.9	5.1	5.2	46	12	26	10	9	9	—	—	3	7	9	3	—	—	—	1	5	2	—	73	Februar
7.6	8.0	6.5	7.4	289	41	8	21	18	18	—	—	—	2	18	1	1	—	—	1	11	4	2	73	März
7.3	7.6	5.5	6.8	168	37	6	16	16	4	1	—	1	4	14	—	4	—	—	—	8	1	4	73	April
8.1	8.3	8.4	8.3	203	25	17	23	22	2	1	1	5	1	21	—	7	—	—	—	6	—	1	79	Mai
4.4	6.7	5.3	5.5	158	41	30	16	15	—	1	4	—	4	7	—	—	—	—	—	3	1	—	86	Juni
5.8	6.2	4.7	5.6	208	58	14	18	15	—	1	3	—	6	9	—	—	—	—	1	14	2	2	74	Juli
5.4	6.8	4.5	5.6	135	41	8	13	11	—	—	1	1	6	9	—	1	—	—	—	—	1	—	91	August
6.2	6.1	4.4	5.6	120	41	18	15	13	—	1	1	1	8	12	—	2	—	—	—	3	—	—	85	September
9.3	9.1	8.4	8.9	355	45	15	26	24	5	—	1	1	—	23	—	—	—	—	1	11	2	—	79	Oktober
8.1	7.3	6.2	7.2	212	45	17	18	17	3	—	—	1	3	16	1	1	—	—	—	4	2	—	72	November
6.1	5.9	5.6	5.9	65	19	10	11	8	7	—	—	—	6	11	—	—	—	—	—	4	—	—	89	Dezember
6.8	7.0	5.9	6.6	2143	58	VII	206	186	58	5	11	13	51	165	5	16	—	—	4	94	16	11	949	Jahr

Beobachter: **Observatorium**

Neuchâtel

9.0	8.1	7.1	8.1	146	32	23	18	14	6	—	—	2	—	19	1	3	10	5	3	25	20	6	20	Januar
8.4	7.1	7.0	7.5	19	7	17	8	6	1	—	—	6	2	18	1	9	12	4	5	18	8	5	22	Februar
7.9	6.7	6.3	7.0	120	24	7	15	11	13	—	—	—	1	13	1	9	18	4	3	15	16	12	15	März
7.7	7.0	5.5	6.7	122	24	5	14	13	—	—	—	—	4	15	2	14	11	6	2	20	7	7	21	April
8.1	7.6	7.7	7.8	187	33	2	22	21	—	1	2	2	1	19	2	20	11	5	4	15	1	4	31	Mai
5.5	5.1	6.8	5.8	131	41	30	14	14	—	—	5	—	4	9	4	11	13	11	4	12	5	6	24	Juni
6.0	5.4	5.6	5.7	98	16	14	18	14	—	—	4	—	7	9	2	5	7	13	8	13	14	15	16	Juli
6.7	5.6	5.0	5.8	72	29	5	14	8	—	—	1	2	4	7	3	4	15	11	10	9	4	9	28	August
8.3	6.1	4.7	6.4	84	27	18	11	10	—	—	1	2	2	10	1	12	20	10	3	5	3	7	29	September
9.3	8.6	9.0	9.0	278	45	18	23	21	5	—	1	—	—	23	2	17	9	1	1	18	20	5	20	Oktober
8.8	8.4	8.1	8.4	160	41	16	17	12	—	—	—	9	—	20	3	3	10	2	1	13	22	7	29	November
8.2	8.5	7.0	7.9	66	40	4	11	8	5	—	—	2	1	19	1	18	15	3	—	10	11	4	31	Dezember
7.8	7.0	6.7	7.2	1483	45	X	185	152	30	1	14	25	26	181	23	125	151	75	44	173	131	87	286	Jahr

Beobachter: **Frl. B. Humbert**

Chaumont

7.8	6.9	6.1	6.9	139	27	23	19	15	12	—	—	9	3	16	—	—	9	—	—	17	21	4	42	Januar
5.1	4.3	3.9	4.4	17	5	17	10	7	9	—	—	3	9	7	1	—	12	1	—	3	1	2	64	Februar
7.4	6.9	5.2	6.5	106	21	14	16	13	13	—	—	4	3	12	—	—	19	2	—	2	15	8	47	März
7.0	6.2	6.0	6.4	122	25	5	13	12	6	—	—	9	5	12	2	—	20	—	—	7	15	—	46	April
8.4	7.9	8.0	8.1	176	22	8	22	20	1	1	1	13	—	19	2	4	18	—	—	6	2	1	60	Mai
5.7	5.4	5.1	5.4	148	48	30	15	15	—	—	3	8	4	7	1	1	17	1	—	—	12	6	72	Juni
5.6	4.9	5.3	5.3	144	25	14	17	17	—	—	4	2	7	5	—	—	8	1	—	2	29	13	40	Juli
6.3	5.5	4.8	5.5	89	37	5	14	8	—	—	1	6	5	7	—	3	18	1	—	—	12	3	56	August
7.5	5.8	3.8	5.7	101	29	18	14	13	—	—	2	6	3	8	—	—	22	2	—	1	7	1	57	September
9.0	8.5	7.9	8.5	253	50	18	27	27	6	—	1	9	—	22	1	—	5	—	—	12	13	4	58	Oktober
8.0	7.4	6.4	7.3	165	41	16	17	17	3	—	—	5	2	15	1	—	11	—	—	4	20	5	49	November
6.6	6.4	5.3	6.1	45	19	10	7	7	5	—	—	13	5	11	—	—	7	—	—	2	6	3	75	Dezember
7.0	6.3	5.6	6.3	1505	50	X	191	171	55	1	12	87	46	141	8	8	166	8	—	56	153	50	646	Jahr

Solothurn

$\lambda = 7° 32'$, $\beta = 47° 13'$, $H = 470^m$, $G = -\,{}^m/_m$, $h_r = 1.5^m$

1939	Luftdruck					Luft-Temperatur								Relative Feuchtigkeit					
	Mittel	Minimum	Tag	Maximum	Tag	7^{30}	13^{30}	21^{30}	Mittel	Minimum	Tag	Maximum	Tag	7^{30}	13^{30}	21^{30}	Mittel	Minimum	Tag
Januar	—	—	—	—	—	-0.7	2.6	-0.9	0.0	-10.5	10	6.9	16	97	82	97	92	59	25.28
Februar	—	—	—	—	—	-1.7	3.2	-0.1	0.3	-7.2	7	11.3	25	97	71	88	85	40	16
März	—	—	—	—	—	-0.2	5.2	1.2	1.8	-4.9	19	13.8	31	95	64	87	82	39	31
April	—	—	—	—	—	7.4	14.3	9.0	9.9	3.0	2	22.8	11.13	85	53	76	71	32	21
Mai	—	—	—	—	—	8.4	12.9	9.6	10.1	5.4	13	18.1	31	93	65	83	80	36	1
Juni	—	—	—	—	—	13.9	21.0	15.1	16.3	7.2	13	28.4	29	86	53	83	74	36	5
Juli	—	—	—	—	—	14.4	20.7	15.1	16.3	8.3	3	29.4	30	87	57	81	75	33	8
August	—	—	—	—	—	15.1	22.6	16.6	17.7	10.4	7	27.2	11	90	55	83	76	37	10.16
September	—	—	—	—	—	10.9	17.3	12.2	13.1	3.0	29	27.2	3	97	67	92	85	46	3
Oktober	—	—	—	—	—	6.6	10.0	7.0	7.7	-0.6	30	20.7	15	97	80	96	91	42	15
November	—	—	—	—	—	4.7	7.5	5.3	5.7	-3.3	23	14.0	27	91	81	91	88	45	28
Dezember	—	—	—	—	—	-2.0	0.3	-1.6	-1.2	-16.1	30	12.5	1	93	85	91	90	43	3
Jahr	—	—	—	—	—	6.4	11.5	7.4	8.1	-16.1	XII	29.4	VII	92	68	87	82	32	IV

Weissenstein

$\lambda = 7° 30'$, $\beta = 47° 15'$, $H_b = 1285^m$, $G = -0.08\ {}^m/_m$, $h_r = 1.5^m$

Januar	647.6	636.2	27	658.6	8	-1.9	-1.1	-2.0	-1.7	-9.4	7	6.9	9	87	91	85	88	20	9
Februar	654.8	640.7	23	665.3	10	-0.9	1.2	-0.5	-0.2	-8.2	22	8.4	8	68	61	67	65	11	8
März	649.5	637.8	23	658.6	13	-4.0	-2.6	-3.5	-3.4	-11.2	19	7.0	3	84	81	82	82	25	3
April	651.4	642.2	4	659.5	13	3.0	5.9	3.8	4.1	-2.6	19	15.2	11	86	74	82	81	35	21
Mai	650.4	641.4	6	658.6	23	2.8	5.1	4.0	4.0	0.2	1	10.5	6	95	84	90	90	52	6
Juni	654.0	645.6	24	660.4	27	9.8	13.0	10.5	11.0	0.8	13	21.0	7	83	74	81	79	40	4
Juli	655.5	648.5	24	659.7	7	10.4	13.7	10.9	11.5	3.0	24	22.2	30	81	70	80	77	42	8
August	655.4	650.6	5	659.6	1	11.2	14.6	11.9	12.4	6.6	6	19.4	19.31	90	75	88	84	50	18
September	654.1	645.7	30	660.1	7	7.7	10.3	8.2	8.6	-2.2	28	19.0	3	90	79	85	85	40	11
Oktober	649.5	637.0	27	655.5	16	2.9	4.3	3.3	3.5	-6.4	28	14.8	18	91	88	89	89	40	30
November	653.4	644.5	4	662.2	30	2.6	3.9	3.1	3.2	-8.2	22	13.4	8	82	79	83	81	24	26
Dezember	650.0	637.7	5	661.2	1	-3.2	-2.4	-3.1	-3.0	-15.0	29	9.0	1	77	75	76	76	14	30
Jahr	652.1	636.2	I	665.3	II	3.5	5.5	3.9	4.2	-15.0	XII	22.2	VII	84	78	82	81	11	II

Langenbruck

$\lambda = 7° 46'$, $\beta = 47° 21'$, $H_b = 704.7^m$, $G = 0.02\ {}^m/_m$, $h_r = 1.6^m$

Januar	696.2	685.3	26	707.5	7. 8	-0.7	2.4	-0.3	0.3	-13.2	7	9.0	17	87	75	86	83	54	15
Februar	704.0	688.3	24	714.6	10	-2.9	2.4	-1.4	-0.8	-12.0	5	11.8	24	87	67	84	79	38	24
März	698.5	686.6	23	709.7	13	-1.7	2.5	-1.2	-0.4	-10.5	16	10.7	31	88	64	84	79	41	30.31
April	699.2	689.2	4	708.3	19	5.2	11.1	6.4	7.3	0.8	1	20.3	11	86	60	83	76	35	20
Mai	698.5	688.2	6	707.1	23	6.9	10.3	7.3	8.0	2.5	1	15.8	31	87	67	84	79	43	31
Juni	701.1	692.5	24	707.8	27	12.9	18.6	13.3	14.5	6.0	13	26.0	7	80	56	83	73	38	5
Juli	702.4	696.2	16	707.6	6	13.2	19.0	12.7	14.4	7.6	25	26.0	30	84	56	84	75	38	4.8.18
August	702.2	697.4	20	706.7	1	13.3	19.8	14.4	15.5	8.4	7	24.0	30	89	59	87	78	42	15
September	701.6	693.1	30	707.0	7	9.5	15.3	9.9	11.1	0.8	26	24.0	3	92	64	89	82	38	9
Oktober	697.6	686.3	27	704.4	24	5.6	8.3	5.8	6.4	-2.8	30	18.2	14	92	79	89	87	50	30
November	701.9	691.7	4	709.7	30	3.7	6.7	4.0	4.6	-5.5	23	13.5	8	91	77	89	86	38	26
Dezember	699.5	686.1	5	709.3	1	-4.0	-1.3	-3.2	-2.9	-21.3	30	9.5	1	92	85	91	89	50	2
Jahr	700.2	685.3	I	714.6	II	5.1	9.6	5.6	6.5	-21.3	XII	26.0	VI/VII	88	67	86	80	35	IV

Aarau

$\lambda = 8° 2'$, $\beta = 47° 23'$, $H_b = 406.1^m$, $G = 0.07\ {}^m/_m$, $h_r = 1.6^m$

Januar	722.9	711.6	26	735.2	8	0.0	3.4	0.5	1.1	-9.6	7	8.6	22	86	68	86	80	53	8
Februar	731.0	714.3	24	741.3	11	-1.1	3.7	0.4	0.8	-5.8	3. 5. 6	14.2	24	86	55	78	73	32	24
März	725.1	712.7	23	737.0	13	-0.1	4.8	1.6	2.0	-4.6	19	13.6	31	86	57	76	73	27	30
April	725.3	714.8	4	735.2	19	7.1	14.1	9.5	10.0	1.8	1	21.2	13	82	44	66	64	28	21
Mai	724.4	713.9	6	733.4	23	8.9	13.4	10.1	10.6	3.6	1	18.6	24	83	56	77	72	34	28
Juni	726.4	716.6	24	733.6	27	14.0	20.7	16.2	16.8	8.4	13	26.6	8	79	46	75	67	31	5
Juli	727.8	720.9	24	733.3	3	14.0	20.2	15.9	16.5	9.8	24.25	26.2	19	83	48	74	68	32	4
August	727.5	722.1	20	732.6	1	15.0	21.4	16.9	17.6	11.2	7	25.0	31	87	49	81	72	35	11
September	727.1	718.6	30	732.4	7	11.4	16.9	12.4	13.3	3.6	26	25.0	1. 3	90	55	89	78	40	25
Oktober	723 6	712.8	27	730.8	24	7.2	10.2	7.5	8.1	0.0	30	20.0	15	91	68	90	83	46	16.20
November	728.1	717.2	4	737.3	30	5.5	8.0	6.1	6.4	-3.6	24	14.2	7	84	67	83	78	39	26
Dezember	726.6	712.2	5	736.3	1	-0.8	0.6	-0.9	-0.5	-12.4	29	11.6	1	81	69	81	77	38	3
Jahr	726.3	711.6	I	741.3	II	6.8	11.5	8.0	8.6	-12.4	XII	26.6	VI	85	57	80	74	27	III

Solothurn

Beobachter: **B. u. G. Glutz**

Bewölkung				Niederschlag			Zahl der Tage								Windverteilung								1939
7^{30}	13^{30}	21^{30}	Mittel	Summe	Maximum	Tag	●	●≥1.0	✳	▲	☇	≡	heiter	trüb	N	NE	E	SE	S	SW	W	NW	Calmen	
8.4	7.6	7.5	7.8	137	28	23	16	15	6	—	—	6	—	18	—	1	5	2	—	8	4	—	73	Januar
8.5	7.6	6.0	7.4	24	7	26	8	5	1	—	—	7	2	13	—	1	8	3	—	6	9	3	54	Februar
8.8	6.8	6.8	7.5	185	36	6	17	16	13	—	—	1	1	14	—	4	9	3	—	3	13	5	56	März
7.5	6.4	6.1	6.7	96	18	25	13	12	—	—	—	1	3	12	1	5	11	3	—	2	17	—	51	April
9.0	7.8	7.2	8.0	214	29	8	22	21	—	—	1	2	—	18	3	7	13	3	—	5	6	2	54	Mai
5.9	5.5	6.5	6.0	175	41	30	17	16	—	1	6	2	3	9	—	4	10	9	—	4	3	7	53	Juni
6.1	6.0	5.6	5.9	173	40	25	17	14	—	2	3	2	5	6	—	2	—	4	—	4	8	14	61	Juli
7.6	6.2	5.8	6.5	119	33	23	13	10	—	—	—	5	2	9	—	7	4	5	—	2	6	3	66	August
9.1	6.6	4.9	6.9	117	38	4	16	14	—	—	1	6	1	11	—	5	6	7	—	2	2	3	65	September
9.3	8.9	8.7	9.0	291	40	18	26	22	5	—	2	6	—	23	—	10	2	2	—	5	11	7	56	Oktober
9.1	8.1	8.1	8.4	159	34	17	17	14	1	—	—	9	—	21	—	7	—	—	—	7	21	1	54	November
9.0	8.5	8.0	8.5	93	34	4	9	8	1	—	—	11	1	23	—	18	3	1	—	1	8	2	60	Dezember
8.2	7.2	6.8	7.4	1783	41	VI	191	167	27	3	13	58	18	177	4	71	71	42	—	49	108	47	703	Jahr

Weissenstein

Beobachter: **A. Ostendorf**

7.3	7.7	6.7	7.2	177	33	23	16	16	13	—	—	19	1	15	2	2	1	12	2	48	18	8	—	Januar
5.5	4.8	4.5	4.9	22	7	13	7	7	7	—	—	7	8	9	12	5	2	6	2	29	10	18	—	Februar
8.3	7.9	7.3	7.8	188	39	6	17	16	14	—	—	15	1	16	13	22	—	7	2	24	7	18	—	März
7.4	7.3	6.1	6.9	99	21	5	19	14	8	—	1	12	3	15	7	20	3	8	3	27	9	13	—	April
9.0	9.1	8.4	8.8	216	33	8	22	20	7	—	—	20	—	23	19	30	2	4	—	19	3	16	—	Mai
5.7	7.4	7.0	6.7	207	70	30	17	16	1	2	6	8	3	14	11	13	11	9	2	21	4	19	—	Juni
6.0	6.5	5.9	6.1	185	35	14	18	17	—	—	—	6	6	10	3	4	1	13	3	36	8	25	—	Juli
6.0	7.3	6.7	6.7	120	25	5	13	12	—	—	1	9	3	13	9	17	6	9	9	19	6	18	—	August
6.3	6.9	5.4	6.2	135	42	4	15	14	—	1	2	16	5	11	13	24	10	6	3	9	8	17	—	September
9.2	9.2	8.6	9.0	297	35	18	28	23	10	—	—	24	—	24	7	6	3	8	9	24	18	18	—	Oktober
8.1	7.6	6.0	7.2	157	33	17	15	15	2	—	—	16	1	16	7	4	5	10	4	26	15	19	—	November
6.5	6.8	5.6	6.3	120	59	4	11	8	6	—	—	14	6	13	15	12	10	11	5	14	12	14	—	Dezember
7.1	7.4	6.5	7.0	1923	70	VI	198	178	68	3	10	166	37	179	118	159	54	103	44	296	118	203	—	Jahr

Langenbruck

Beobachter: **T. Bider**

8.6	8.1	7.5	8.1	86	22	23	15	13	7	—	—	2	1	20	3	8	2	6	1	11	29	14	19	Januar
7.1	6.1	5.9	6.4	36	10	26	8	6	5	—	—	2	5	12	6	2	7	17	1	4	4	15	28	Februar
8.5	7.4	9.4	8.4	176	30	7	21	15	18	—	—	—	2	15	13	13	2	7	—	3	15	20	20	März
8.0	7.6	6.9	7.5	81	15	5	17	14	2	—	1	2	3	18	23	3	6	3	2	7	14	16	16	April
8.9	9.3	8.4	8.9	234	31	8	23	22	—	—	—	1	—	20	26	9	8	—	1	2	8	29	10	Mai
6.0	6.5	7.4	6.6	148	39	30	16	15	—	—	4	1	3	12	14	5	6	9	4	8	11	12	21	Juni
5.9	6.3	6.6	6.3	158	29	14	17	17	—	—	3	—	5	13	19	1	3	3	5	5	14	19	24	Juli
7.1	6.6	7.1	6.9	87	23	5. 8	13	11	—	—	2	1	2	15	2	3	14	5	6	3	9	20	31	August
7.9	7.0	5.3	6.7	103	34	4	15	13	—	—	1	3	4	14	9	3	9	7	2	4	8	25	23	September
9.7	9.2	8.2	9.0	280	35	18	28	25	6	—	1	6	—	23	19	—	1	4	7	14	14	19	15	Oktober
9.3	7.7	7.5	8.2	117	28	17	16	16	1	—	1	6	—	20	—	6	3	4	5	10	24	17	21	November
7.6	7.9	8.1	7.9	63	16	10	12	11	7	—	—	8	3	20	30	6	4	11	5	7	2	16	12	Dezember
7.9	7.5	7.4	7.6	1569	39	VI	201	178	46	—	13	32	28	200	164	59	65	76	39	78	152	222	240	Jahr

Aarau

Beobachter: **H. Amsler-Baumann**

8.4	6.3	7.5	7.4	76	24	23	15	12	6	—	—	2	—	13	1	—	11	2	1	12	20	2	44	Januar
8.1	4.8	5.4	6.1	24	8	26	7	6	2	—	—	5	2	5	1	1	11	2	—	6	22	3	38	Februar
7.1	6.0	5.9	6.3	129	22	7	19	16	15	—	—	—	4	14	4	3	14	—	—	15	17	3	37	März
6.9	5.6	6.6	6.4	76	12	17	16	12	1	—	2	1	2	10	6	6	12	—	—	7	21	2	36	April
7.9	7.0	7.2	7.4	183	33	8	23	20	—	—	—	2	—	14	7	5	18	5	—	12	9	1	36	Mai
5.8	4.6	5.9	5.4	124	28	30	16	14	—	—	6	3	4	6	7	6	21	3	—	8	12	6	27	Juni
5.7	4.8	5.8	5.4	164	29	5	19	17	—	—	4	3	3	4	4	4	4	4	1	10	19	6	41	Juli
7.4	4.5	5.8	5.9	136	32	5	13	11	—	—	2	7	2	4	4	8	10	2	—	5	7	4	53	August
8.6	4.9	5.3	6.3	116	32	4	15	14	—	—	2	6	1	10	3	8	7	4	—	2	9	2	55	September
9.3	7.5	8.5	8.4	220	28	5	29	24	4	—	1	4	—	20	2	2	6	3	1	22	13	—	44	Oktober
9.2	6.7	8.2	8.0	131	32	17	15	13	1	—	—	8	—	17	—	1	10	2	—	19	17	1	40	November
9.5	7.9	8.4	8.6	60	15	10	12	8	9	—	—	2	—	22	4	2	22	1	—	9	7	—	48	Dezember
7.8	5.9	6.7	6.8	1439	33	V	199	167	38	—	17	43	18	139	43	46	146	28	3	127	173	30	499	Jahr

Beznau

$\lambda = 8°\ 14'$, $\beta = 47°\ 33'$, $H =$ ca. 330^m, $G = -\,^m/_{fm}$, $h_r = 1.5^m$

1939	Luftdruck					Luft-Temperatur								Relative Feuchtigkeit					
	Mittel	Minimum	Tag	Maximum	Tag	7^{30}	13^{30}	21^{30}	Mittel	Minimum	Tag	Maximum	Tag	7^{30}	13^{30}	21^{30}	Mittel	Minimum	Tag
Januar	—	—	—	—	—	1.2	4.0	1.6	2.1	−7.6	7	9.4	22	81	62	79	74	47	8
Februar	—	—	—	—	—	−0.5	4.3	0.8	1.4	−6.0	6	15.2	24	82	51	77	70	27	24
März	—	—	—	—	—	0.6	5.4	2.1	2.5	−5.0	19	13.4	6	79	52	76	69	26	31
April	—	—	—	—	—	7.0	14.7	9.1	10.0	0.6	1	22.0	13	80	41	69	63	24	21
Mai	—	—	—	—	—	9.4	13.6	10.1	10.8	4.6	1	18.6	24	77	52	77	69	30	24
Juni	—	—	—	—	—	14.3	21.3	16.0	16.9	9.0	13	27.6	7	73	43	69	62	22	4
Juli	—	—	—	—	—	14.5	21.3	15.9	16.9	9.0	25	30.0	5	79	44	74	66	23	4
August	—	—	—	—	—	15.2	22.5	16.9	17.9	11.8	16	27.4	31	82	42	80	68	30	15.16
September	—	—	—	—	—	11.6	17.7	12.6	13.6	2.0	26.29	27.2	3	85	51	86	74	37	8
Oktober	—	—	—	—	—	7.4	10.5	7.6	8.3	0.8	27.31	20.8	15	84	66	86	79	45	11
November	—	—	—	—	—	5.7	8.5	6.4	6.7	−3.8	24	14.8	7	80	65	81	75	41	28
Dezember	—	—	—	—	—	−0.4	1.0	−0.4	0.0	−14.0	29	12.8	2	79	67	78	75	30	2
Jahr	—	—	—	—	—	7.2	12.1	8.2	8.9	−14.0	XII	30.0	VII	80	53	78	70	22	VI

Hallau

$\lambda = 8°\ 27'$, $\beta = 47°\ 42'$, $H_b = 449.5^m$, $G = 0.09\,^m/_{fm}$, $h_r = 1.3^m$

Januar	718.7	707.4	27	731.1	7	0.4	3.2	0.8	1.3	−8.2	7	8.4	22	86	74	83	81	55	8
Februar	726.9	710.9	24	737.1	11	−1.3	3.7	0.6	0.9	−8.1	5	14.8	24	84	63	79	75	37	24
März	720.9	708.4	23	732.6	13	0.2	4.8	1.8	2.1	−7.1	19	13.1	6	83	61	77	74	36	30.31
April	721.3	710.9	4	731.5	19	7.3	14.1	9.5	10.1	2.5	1	21.2	12	83	50	70	68	32	21
Mai	720.3	709.8	6	729.5	23	8.9	13.1	10.3	10.6	3.9	1	18.3	31	84	61	78	74	36	24
Juni	722.6	713.1	24	729.9	27	14.9	20.6	16.3	17.0	8.0	13	27.0	8	76	53	73	67	27	4
Juli	723.9	717.4	24	729.4	3	14.8	20.7	16.4	17.1	9.6	25	27.1	5	80	51	76	69	33	4
August	723.7	718.3	20	728.6	1. 15	15.1	21.7	17.0	17.7	11.6	6	25.7	11	85	54	79	73	40	16.29
September	723.2	714.7	30	728.5	7	11.3	17.0	13.0	13.6	2.6	30	25.1	1	88	62	81	77	45	8.28
Oktober	719.5	708.6	27	726.2	24	6.6	9.9	7.1	7.7	−0.4	30	18.4	15	89	73	87	83	62	17
November	723.9	713.4	4	732.6	21	4.7	7.6	5.6	5.9	−4.5	24	14.4	7	91	78	86	85	55	28
Dezember	722.4	707.6	5	731.3	1	−1.4	0.5	−1.3	−0.9	−15.3	29	11.6	1	85	75	83	81	55	2. 7
Jahr	722.3	707.4	I	737.1	II	6.8	11.4	8.1	8.6	−15.3	XII	27.1	VII	85	63	79	76	27	VI

Lohn

$\lambda = 8°\ 40'$, $\beta = 47°\ 45'$, $H_b =$ ca. 643^m, $G = 0.06\,^m/_{fm}$, $h_r = 1.6^m$

Januar	701.8	690.6	27	713.3	7	−0.1	2.0	0.5	0.7	−5.8	7	7.1	17.22	90	82	87	86	56	10
Februar	709.6	694.7	24	719.8	10	−2.0	2.2	−0.1	0.0	−8.7	7	12.3	24	86	72	83	80	42	24
März	703.9	692.1	23	715.2	13	−0.8	2.7	0.6	0.8	−7.3	19	11.1	31	88	69	80	79	42	31
April	704.8	694.8	4	714.8	19	7.0	12.4	8.5	9.1	3.0	29	20.2	13	84	57	72	71	39	13
Mai	703.9	694.0	6	713.0	23	7.8	10.6	8.7	8.9	5.6	14	15.3	24	88	74	85	82	40	24
Juni	706.2	696.6	24	713.7	27	14.4	18.3	15.1	15.7	7.3	13	24.7	8	78	63	76	72	34	4
Juli	707.5	701.4	15	712.6	2. 6	15.3	18.9	15.4	16.2	8.3	25	24.7	19	79	62	75	72	43	8
August	707.3	701.5	5	712.4	15	15.1	19.6	16.5	16.9	10.6	6	22.9	31	86	64	78	76	46	15.16
September	706.7	698.4	30	712.3	7	11.1	14.9	11.9	12.5	2.3	28	21.9	1	89	73	84	82	50	28
Oktober	702.8	691.9	27	709.0	16.24	5.7	7.8	6.0	6.4	−1.2	28	16.1	15	93	87	93	91	65	22
November	706.9	696.7	4	715.0	21	3.6	5.8	4.6	4.6	−5.5	24	13.3	7	95	86	90	90	58	21
Dezember	705.1	690.8	5	713.8	1	−3.1	−1.7	−3.0	−2.7	−15.5	29	10.4	2	91	86	90	89	63	1
Jahr	705.5	690.6	I	719.8	II	6.2	9.5	7.1	7.4	−15.5	XII	24.7	VI/VII	87	73	83	81	34	VI

Oberes Aare- und Saanegebiet

Bern

$\lambda = 7°\ 26'$, $\beta = 46°\ 57'$, $H_b = 572.2^m$, $G = 0.00\,^m/_{fm}$, $h_r = 1.5^m$

Januar	707.4	696.5	26	721.4	8	−1.0	2.8	0.0	0.4	−10.4	7	7.2	16. 17	87	72	85	81	48	4
Februar	715.2	699.6	24	725.1	10	−2.0	3.6	0.4	0.6	−10.3	5	10.6	10	91	66	85	81	42	16
März	709.7	698.2	23	720.2	13	−0.4	4.1	1.2	1.5	−6.0	19	13.2	6	88	66	84	79	37	31
April	710.0	700.5	4	718.6	19	6.6	13.3	9.1	9.5	3.0	1	21.0	14	87	57	78	74	33	22
Mai	708.9	699.0	6	717.1	23	7.2	11.5	9.3	9.3	3.0	1	16.0	6	91	70	85	82	48	1
Juni	711.2	702.7	24	718.2	27	12.8	19.2	15.2	15.6	6.8	13	26.4	29	86	58	81	75	37	5
Juli	712.6	705.8	24	717.8	6	13.6	19.3	16.0	16.2	8.4	25	25.2	30	89	61	82	77	43	8. 17
August	712.3	707.4	20	717.1	1	13.8	20.0	16.8	16.9	10.8	7	24.2	31	93	63	85	80	43	11
September	711.8	703.9	30	717.1	7	10.4	15.5	12.3	12.6	3.0	29	24.8	11	94	72	89	85	44	11
Oktober	708.4	697.3	27	715.5	24	6.1	9.6	7.2	7.5	−2.7	30	19.1	14	95	78	92	88	40	21
November	712.7	702.8	4	721.6	30	4.8	7.9	5.8	6.1	−5.0	24	13.7	8	90	76	89	85	37	26
Dezember	710.4	697.0	5	721.1	1	−1.6	0.5	−1.1	−0.8	−14.2	30	11.5	2	92	82	90	88	49	2
Jahr	710.9	696.5	I	725.1	II	5.9	10.6	7.7	8.0	−14.2	XII	26.4	VI	90	68	85	81	33	IV

Beobachter: **U. Schifferli**

Beznau

Bewölkung				Niederschlag			Zahl der Tage								Windverteilung									1939
7^{30}	13^{30}	21^{30}	Mittel	Summe	Maximum	Tag	●	●≧1.0	✳	▲	🌂	≡	heiter	trüb	N	NE	E	SE	S	SW	W	NW	Calmen	
9.0	7.7	5.6	7.4	93	17	22	14	11	4	—	—	—	2	14	12	1	5	—	45	2	1	—	27	Januar
8.9	6.9	5.9	7.2	21	6	26	7	5	1	—	—	4	2	14	14	—	4	—	38	1	4	—	23	Februar
8.7	7.7	5.2	7.2	133	34	6	17	15	14	—	1	3	3	15	19	—	2	—	34	—	3	—	35	März
7.3	6.3	6.2	6.6	65	12	5	13	11	—	—	2	1	4	14	16	—	4	—	28	—	12	1	29	April
8.5	8.3	7.7	8.2	165	29	8	22	19	—	—	—	2	1	22	19	—	2	—	20	1	13	1	37	Mai
6.4	5.0	6.9	6.1	115	30	30	14	13	—	—	6	1	5	11	17	—	7	—	25	—	6	—	35	Juni
6.7	5.5	6.4	6.2	135	14	25	18	16	—	—	6	4	3	8	14	—	2	—	23	—	11	—	43	Juli
7.8	5.3	5.5	6.2	110	35	5	11	11	—	—	3	9	4	7	19	—	3	—	15	—	10	—	46	August
5.6	6.2	4.0	5.3	102	39	4	14	13	—	—	1	7	—	10	12	—	4	—	28	—	2	—	44	September
9.7	8.9	8.3	9.0	240	26	28	27	24	4	—	1	5	—	23	12	—	3	—	33	—	7	—	38	Oktober
9.8	8.2	8.6	8.9	132	28	16	17	16	1	—	—	9	—	22	17	—	1	—	37	—	3	—	32	November
9.7	8.6	8.6	9.0	55	19	10	11	9	6	—	—	—	—	24	30	—	9	—	27	—	—	—	27	Dezember
8.2	7.1	6.6	7.3	1366	39	IX	185	163	30	—	20	45	24	184	201	1	46	—	353	4	72	2	416	Jahr

Beobachter: **Hs. Huber-Rupli**

Hallau

9.1	7.8	6.8	7.9	72	15*	16	15	12	7	—	—	5	2	18	7	6	2	—	—	16	—	—	62	Januar
7.8	6.2	5.4	6.5	9	4	26	5	4	2	—	—	5	3	9	6	2	5	3	—	16	3	1	48	Februar
7.5	7.4	5.2	6.7	70	16	6	16	14	12	—	—	—	6	13	4	17	1	2	—	23	11	2	33	März
7.3	5.4	6.6	6.4	56	12	4	13	10	—	1	2	—	4	13	10	14	1	1	5	19	2	—	38	April
8.5	8.0	7.5	8.0	155	24	9	19	17	—	—	1	3	2	20	8	15	—	1	1	17	2	1	48	Mai
5.3	5.1	6.7	5.7	110	38	30	15	15	—	—	4	1	5	8	5	17	1	6	3	16	1	2	39	Juni
6.1	5.2	6.0	5.8	107	20	16	16	13	—	1	8	—	4	6	1	1	—	3	3	27	2	—	56	Juli
6.3	4.9	5.9	5.7	78	30	5	11	11	—	—	2	1	4	7	7	8	—	5	12	9	—	—	52	August
7.0	6.1	5.7	6.3	101	29	4	15	13	—	—	1	2	5	14	8	15	—	2	—	15	—	1	49	September
9.4	8.6	7.8	8.6	181	20	28	28	23	4	—	2	3	—	21	3	6	—	1	—	20	2	3	58	Oktober
9.4	8.4	7.6	8.5	88	13	16	17	13	2	—	—	4	—	20	1	10	2	1	1	27	2	—	46	November
9.6	8.4	8.4	8.8	51	20	10	12	8	5	—	—	5	—	22	5	14	1	—	—	13	1	—	59	Dezember
7.8	6.8	6.6	7.1	1078	38	VI	182	153	32	2	20	29	35	171	65	125	13	25	25	218	26	10	588	Jahr

Beobachter: **A. Läuchli**

Lohn

8.9	8.0	7.3	8.1	67	16	16	17	14	8	—	—	6	1	18	1	—	12	2	3	19	27	—	29	Januar
6.8	6.4	5.5	6.2	8	3	26	6	3	4	—	—	3	4	10	—	2	7	2	—	18	11	—	44	Februar
7.2	7.3	5.5	6.7	98	23	6	19	13	16	—	—	1	3	12	2	1	15	3	2	10	23	2	35	März
6.9	6.7	5.7	6.4	53	11	27	11	10	—	—	2	1	4	14	—	—	15	1	3	14	15	—	42	April
8.5	8.5	8.2	8.4	177	29	9	23	19	—	—	1	4	1	23	1	5	14	—	3	6	9	6	49	Mai
5.6	5.8	6.1	5.8	95	23	30	18	17	—	—	4	—	4	10	—	5	10	8	7	12	13	—	35	Juni
5.6	5.9	6.8	6.1	111	14	25	18	15	—	1	4	1	6	12	—	—	2	4	2	15	16	—	54	Juli
5.9	5.4	6.1	5.8	110	35	5	12	12	—	—	2	2	3	9	2	4	8	10	1	8	7	1	52	August
6.5	5.9	5.3	5.9	118	26	4	16	15	—	—	—	4	7	12	1	3	14	1	1	12	7	1	50	September
9.1	8.5	8.0	8.5	179	26	6	28	25	5	—	1	8	—	21	2	5	4	1	4	17	21	5	34	Oktober
9.0	8.5	7.9	8.5	88	22	19	18	15	2	—	—	11	—	19	2	3	5	—	1	31	14	1	33	November
9.3	8.0	9.1	8.8	63	21	4	14	9	10	—	—	11	—	22	—	3	9	4	—	8	14	1	54	Dezember
7.4	7.2	6.8	7.1	1167	35	VIII	200	167	45	1	14	52	33	182	11	31	115	36	27	170	177	17	511	Jahr

Oberes Aare- und Saanegebiet

Beobachter: **Tellur. Observatorium**

Bern

8.3	7.4	7.1	7.6	51	11	18	14	11	6	—	—	8	—	18	1	1	5	6	6	11	6	—	57	Januar
8.3	5.7	5.3	6.4	17	6	26	6	4	3	—	—	5	3	11	3	4	2	2	2	5	5	2	59	Februar
7.4	7.2	6.6	7.1	67	25	7	15	11	13	—	—	3	1	16	3	12	1	3	2	9	15	—	48	März
7.7	6.7	6.2	6.9	79	14	5	14	12	—	—	—	—	5	17	4	11	2	1	—	7	9	4	52	April
8.3	8.5	7.8	8.2	181	30	2	21	17	—	—	1	3	—	19	5	21	4	1	1	3	6	4	48	Mai
5.2	5.4	7.6	6.1	140	35	30	15	14	—	—	5	1	3	11	7	10	3	2	3	2	5	1	57	Juni
5.5	6.2	5.9	5.9	127	21	5	16	13	—	—	6	2	6	9	4	2	—	—	2	4	14	—	67	Juli
6.0	6.2	5.1	5.8	57	31	5	11	10	—	—	—	2	5	9	5	17	2	2	1	1	9	1	55	August
8.1	6.4	5.6	6.7	95	33	4	12	9	—	—	2	6	2	9	5	19	2	5	3	3	4	1	48	September
9.2	8.9	9.0	9.0	174	23	15	22	20	3	—	1	10	—	26	4	11	2	2	1	16	11	1	45	Oktober
8.7	7.8	7.9	8.1	80	20	9	15	11	—	—	—	12	—	20	1	7	1	2	5	7	19	1	47	November
8.9	8.2	8.9	8.7	42	12	5	8	8	4	—	—	7	—	23	6	20	1	1	5	4	4	1	51	Dezember
7.6	7.1	6.9	7.2	1110	35	VI	169	140	29	—	15	59	25	188	48	135	25	27	31	72	107	16	634	Jahr

Freiburg

$\lambda = 7°\,9'$, $\beta = 46°\,47'$, $H_b = 670^m$, $G = -\,{}^m/_m$, $h_r = 1.6^m$

1939	Luftdruck					Luft-Temperatur								Relative Feuchtigkeit					
	Mittel	Minimum	Tag	Maximum	Tag	7^{30}	13^{30}	21^{30}	Mittel	Minimum	Tag	Maximum	Tag	7^{30}	13^{30}	21^{30}	Mittel	Minimum	Tag
Januar	—	—	—	—	—	-0.4	3.1	0.4	0.9	-10.2	7	9.4	16	83	74	80	79	53	15.16
Februar	—	—	—	—	—	-2.3	3.1	0.2	0.3	-11.0	5	10.8	10	87	76	85	83	54	16
März	—	—	—	—	—	-0.7	3.5	0.7	1.0	-6.5	19	12.0	6	84	72	77	78	48	31
April	—	—	—	—	—	6.4	12.(	8.0	8.6	2.8	29	19.0	13	80	64	74	73	39	25
Mai	—	—	—	—	—	7.2	11.7	8.3	8.9	3.3	1	16.5	31	86	73	81	80	52	30
Juni	—	—	—	—	—	13.5	19.4	14.5	15.5	6.3	13	25.8	29	79	59	74	71	42	29
Juli	—	—	—	—	—	13.9	19.3	15.0	15.8	8.0	25	25.1	9	78	55	73	69	42	12
August	—	—	—	—	—	13.9	20.1	15.8	16.4	10.3	16	23.6	11	86	59	78	74	44	4
September	—	—	—	—	—	10.3	15.7	11.3	12.1	2.8	28	23.2	3. 11	90	65	88	81	46	11
Oktober	—	—	—	—	—	6.1	9.6	6.6	7.2	-3.2	30	18.9	15	90	71	88	83	40	21
November	—	—	—	—	—	4.2	7.6	5.5	5.7	-2.7	22	14.6	8	86	71	84	80	31	26
Dezember	—	—	—	—	—	-2.4	0.0	-2.0	-1.6	-17.4	30	13.3	2	89	80	90	86	37	2
Jahr	—	—	—	—	—	5.8	10.4	7.0	7.6	-17.4	XII	25.8	VI	85	68	81	78	31	XI

Langnau i. E.

$\lambda = 7°\,47'$, $\beta = 46°\,56'$, $H = 685^m$, $G = -\,{}^m/_m$, $h_r = 1.6^m$

Januar	—	—	—	—	—	-2.0	2.5	-0.8	-0.3	-13.4	7	6.4	22	92	74	91	86	60	28.29
Februar	—	—	—	—	—	-2.3	4.4	-0.5	0.3	-9.4	4	15.8	24	86	57	86	76	23	24
März	—	—	—	—	—	-1.2	4.3	-0.6	0.5	-7.8	16	12.4	6	87	59	86	77	32	30
April	—	—	—	—	—	6.1	13.0	7.0	8.3	2.4	2	20.8	11	88	53	86	76	27	22
Mai	—	—	—	—	—	7.3	11.5	7.6	8.5	4.6	16	16.6	6	90	64	93	82	48	1.2.16
Juni	—	—	—	—	—	13.8	19.7	13.2	15.0	6.0	13	26.0	7	81	52	92	75	36	25.29
Juli	—	—	—	—	—	14.1	19.5	14.2	15.5	8.3	25	26.2	30	82	54	88	75	36	1
August	—	—	—	—	—	14.1	20.7	14.8	16.1	11.0	6	24.4	31	91	57	94	81	41	10
September	—	—	—	—	—	10.0	15.9	10.9	11.9	3.8	28	24.0	3	97	67	96	87	46	11
Oktober	—	—	—	—	—	5.8	9.9	6.1	7.0	-5.6	30	19.5	15	97	74	97	89	47	21
November	—	—	—	—	—	4.2	8.1	4.8	5.5	-6.6	24	14.9	8	93	76	93	87	52	27
Dezember	—	—	—	—	—	-2.8	0.4	-2.6	-1.9	-17.3	30	11.4	2	91	75	92	86	41	2
Jahr	—	—	—	—	—	5.6	10.8	6.2	7.2	-17.3	XII	26.2	VII	90	63	91	81	23	II

St. Beatenberg

$\lambda = 7°\,48'$, $\beta = 46°\,41'$, $H_b = 1148^m$, $G = -0.13\,{}^m/_m$, $h_r = 1.1^m$

Januar	659.7	648.3	26	670.8	8	-1.3	1.4	-0.9	-0.4	-11.1	7	10.1	16	70	68	68	69	28	9
Februar	666.9	652.1	23	677.3	10	-1.1	3.0	0.2	0.6	-8.4	1	9.7	24	64	58	62	61	30	24
März	661.4	650.2	23	671.4	5	-2.5	0.4	-2.7	-1.9	-9.1	13	9.1	6	74	66	79	73	36	4
April	663.0	653.9	4	671.0	12	4.3	8.9	4.6	5.6	-0.4	18	16.3	12	78	63	79	73	35	11
Mai	661.8	652.7	6	669.3	23	4.8	7.9	4.9	5.6	2.0	13	14.0	6. 27	88	75	86	83	46	6
Juni	665.1	656.3	24	671.2	27	11.6	16.0	11.0	12.4	3.2	13	22.6	6	80	69	85	78	50	6. 8
Juli	666.5	659.0	24	671.2	6	11.9	16.3	11.5	12.8	4.2	25	22.4	30	80	67	84	77	46	5
August	666.2	661.5	4	670.5	1	12.4	16.7	12.8	13.7	7.0	6	20.5	11	87	75	87	83	39	10
September	665.1	656.8	30	670.9	7	9.0	12.6	9.2	10.0	3.2	29	19.8	11	87	79	87	84	56	30
Oktober	660.9	648.4	27	667.2	24	4.6	7.3	4.7	5.3	-4.6	27.28	17.4	18	84	77	85	82	45	20
November	665.3	655.4	4	673.8	30	3.7	6.1	3.7	4.3	-8.8	23	14.6	8	75	71	76	74	37	13
Dezember	661.9	649.3	5	673.2	1	-2.5	-0.5	-2.2	-1.9	-15.4	30	9.6	2	77	78	76	77	34	2
Jahr	663.6	648.3	I	677.3	II	4.6	8.0	4.7	5.5	-15.4	XII	22.6	VI	79	70	79	76	28	VII

Interlaken (Unterseen)

$\lambda = 7°\,51'$, $\beta = 46°\,42'$, $H_b = 568.4^m$, $G = -0.07\,{}^m/_m$, $h_r = 1.5^m$

Januar	708.6	697.3	26	720.4	8	-0.6	2.7	0.0	0.5	-7.0	7	7.2	18	83	65	83	77	45	28
Februar	716.2	699.9	24	726.0	10	-1.1	4.1	0.9	1.2	-6.4	15	15.2	24	85	61	75	74	26	24
März	710.8	699.3	24	720.6	13	0.0	4.2	0.9	1.5	-4.2	16.19	10.6	31	76	57	71	68	31	31
April	711.0	701.1	4	719.7	16	6.9	13.7	8.9	9.6	1.0	18	21.2	13	77	50	65	64	33	14
Mai	710.0	699.6	6	717.7	23	8.0	12.6	8.8	9.5	5.0	19	18.4	27	81	55	78	71	40	6
Juni	712.5	703.3	24	718.9	27	14.2	20.2	14.6	15.9	6.8	13	26.6	29	73	51	77	67	38	28.29
Juli	714.0	707.6	24	719.2	6	14.9	20.3	15.4	16.5	7.8	25	25.8	30	68	48	70	62	35	30
August	713.5	708.2	20	718.5	1	15.0	20.9	16.4	17.2	10.8	6	24.2	12	76	50	75	67	37	6
September	713.0	704.8	30	718.3	7	11.1	16.7	11.9	12.9	3.4	30	24.2	3	79	53	78	70	39	10
Oktober	709 4	696.8	27	716.6	24	7.0	10.5	7.2	8.0	-1.2	30	18.2	14.16	78	59	76	71	37	2
November	714.0	703.3	4	722.5	30	4.3	8.0	5.0	5.6	-4.5	24	13.8	7	71	55	71	66	37	22
Dezember	711.7	698.2	5	722.4	1	-0.9	1.1	-0.7	-0.3	-11.6	30	9.4	2	68	57	66	64	31	31
Jahr	712.1	697.3	I	726.0	II	6.6	11.3	7.4	8.2	-11.6	XII	26.6	VI	76	55	74	68	26	II

Freiburg

Beobachter: **Frau F. Gockel**

Bewölkung				Niederschlag			Zahl der Tage								Windverteilung									1939
7^{30}	13^{30}	21^{30}	Mittel	Summe	Maximum	Tag	●	●≧1,0	✳	▲	⛈	≡	heiter	trüb	N	NE	E	SE	S	SW	W	NW	Calmen	
8.0	7.6	6.7	7.4	70	20	18	15	11	8	—	—	—	1	16	—	3	—	—	—	42	13	1	34	Januar
7.4	6.2	6.5	6.7	25	9	26	9	7	4	—	—	1	4	12	2	11	1	—	—	21	8	4	37	Februar
8.0	7.5	6.6	7.4	67	17	7	14	13	12	—	—	—	2	15	—	21	—	—	—	34	10	10	18	März
7.9	6.9	6.8	7.2	100	15	5. 25	14	13	1	—	—	—	2	16	2	17	—	—	—	23	12	9	27	April
8.4	8.7	7.9	8.3	194	35	2	20	18	—	—	—	—	—	21	6	32	1	—	1	16	7	6	24	Mai
5.4	5.5	7.2	6.0	163	33	30	14	14	—	—	8	—	4	10	7	20	2	1	2	22	10	9	17	Juni
5.7	5.9	5.7	5.8	123	37	14	15	11	—	—	6	—	6	7	4	9	—	—	1	36	14	10	19	Juli
6.4	6.5	5.7	6.2	117	24	20	15	14	—	—	3	—	4	12	10	15	—	—	2	23	11	7	25	August
7.1	6.7	5.8	6.5	80	39	4	12	10	—	—	2	—	3	12	6	22	—	—	3	19	4	6	30	September
8.9	8.7	8.4	8.7	197	30	15	24	21	5	—	1	2	—	22	8	7	—	2	1	40	7	3	25	Oktober
8.7	7.5	8.0	8.1	86	28	9	16	12	—	—	—	5	1	19	1	8	—	1	—	33	11	7	29	November
8.7	7.8	7.9	8.1	58	14	5	11	11	7	—	—	1	—	21	1	18	—	—	—	16	8	—	50	Dezember
7.6	7.1	6.9	7.2	1280	39	IX	179	155	37	—	20	9	27	183	47	183	4	4	10	325	115	72	335	Jahr

Langnau i. E.

Beobachter: **Frl. R. Zbinden**

7.3	7.6	6.8	7.2	77	13	18	13	12	6	—	—	—	1	16	—	3	46	4	—	4	10	—	26	Januar
6.4	5.4	5.2	5.7	29	7	28	10	7	7	—	—	—	7	9	—	5	41	2	1	8	5	2	20	Februar
8.7	8.5	7.0	8.1	153	39	7	16	15	14	—	—	—	1	19	—	4	37	—	2	6	23	1	20	März
7.6	7.6	6.7	7.3	65	11	5	12	9	—	—	1	—	3	17	1	1	34	5	1	6	21	3	18	April
8.9	9.2	8.6	8.9	228	27	21	24	22	—	—	—	1	—	24	3	3	37	8	2	2	14	—	24	Mai
6.0	7.0	7.2	6.7	167	28	22	17	14	—	—	2	—	2	15	3	5	43	1	—	2	23	2	11	Juni
6.0	7.0	6.4	6.5	152	28	15	18	16	—	—	6	—	4	14	2	—	30	1	1	6	32	1	20	Juli
7.2	7.3	6.2	6.9	181	46	23	15	11	—	1	5	—	2	13	2	3	37	3	1	6	21	2	18	August
8.1	7.2	5.9	7.1	99	49	4	13	8	—	—	1	1	3	16	2	5	37	1	—	7	19	—	19	September
9.0	9.2	8.2	8.8	221	32	5	25	23	5	—	1	—	—	23	4	7	20	1	4	4	28	4	21	Oktober
9.0	7.8	7.1	8.0	91	20	17	15	12	1	—	—	3	—	19	3	—	34	4	5	7	22	6	9	November
7.5	7.4	7.6	7.5	87	22	6	10	10	6	—	—	4	2	17	1	3	61	2	—	4	11	1	10	Dezember
7.6	7.6	6.9	7.4	1550	49	IX	188	159	39	1	16	9	25	202	21	39	457	32	17	62	229	22	216	Jahr

St. Beatenberg

Beobachter: **Fr. Rupp**

7.1	7.3	6.9	7.1	95	37	23	14	11	10	—	—	3	1	16	1	—	—	—	—	—	—	35	57	Januar
5.6	4.6	4.3	4.8	34	13	13	8	7	8	—	—	3	8	6	—	—	—	2	1	1	1	23	56	Februar
7.8	7.9	7.7	7.8	227	34	14	18	17	16	—	—	5	3	19	1	—	—	7	2	4	6	25	48	März
7.3	6.7	6.9	7.0	85	19	17	14	11	4	—	—	9	5	16	—	—	1	9	1	2	—	27	50	April
9.0	8.8	9.2	9.0	204	25	14	23	21	—	—	—	15	—	24	—	—	—	5	2	1	—	14	71	Mai
6.1	6.8	7.0	6.6	135	25	30	15	15	—	1	4	7	2	15	—	—	—	10	1	—	—	16	63	Juni
5.8	6.5	6.2	6.2	129	27	21	18	18	—	2	7	4	4	11	1	—	1	5	—	—	2	23	61	Juli
6.7	7.0	6.6	6.8	128	37	5	16	15	—	—	2	7	2	13	—	—	—	2	1	—	—	13	77	August
5.8	6.6	6.2	6.2	79	22	4	14	8	—	—	—	10	7	14	—	—	—	—	2	2	—	15	71	September
8.5	8.0	7.6	8.0	171	19	9	27	20	6	—	—	6	—	19	—	—	—	2	—	1	2	13	75	Oktober
8.1	7.2	6.3	7.2	154	42	17	16	13	4	—	—	4	2	13	1	—	1	2	1	1	2	26	56	November
7.3	7.3	6.9	7.2	67	17	6	10	11	13	—	—	13	2	15	2	—	—	—	—	24	2	—	65	Dezember
7.1	7.1	6.8	7.0	1508	42	XI	196	167	61	3	13	86	36	181	6	—	3	44	11	36	15	230	750	Jahr

Interlaken (Unterseen)

Beobachter: **P. Furrer**

7.0	7.3	6.1	6.8	84	36	23	14	12	4	—	—	—	1	13	—	2	23	—	—	8	2	—	58	Januar
6.2	5.0	5.3	5.5	21	5	26	8	6	1	—	—	—	4	7	—	—	13	1	1	19	3	2	45	Februar
7.2	6.7	6.8	6.9	167	24	14	15	15	12	—	—	—	4	15	—	1	10	1	4	18	8	2	49	März
5.9	5.0	5.2	5.4	76	23	18	10	10	—	—	—	—	7	9	—	—	22	4	3	20	8	—	33	April
7.9	7.1	8.2	7.7	191	23	8	21	21	—	—	—	—	1	20	—	—	9	4	5	23	11	—	41	Mai
3.9	3.8	5.3	4.3	124	25	30	15	15	—	—	—	—	9	6	—	—	21	2	3	29	5	—	30	Juni
4.5	4.7	5.2	4.8	172	32	25	17	17	—	—	—	—	7	6	—	—	24	—	6	22	7	—	34	Juli
5.8	5.2	5.5	5.5	170	44	5	16	12	—	—	1	—	7	8	—	—	16	—	7	12	4	—	54	August
6.9	5.3	5.7	6.0	82	25	4	10	10	—	—	—	1	5	7	—	—	16	—	7	18	5	—	44	September
8.4	6.6	8.4	7.8	174	22	5.9	22	21	4	—	—	2	—	18	1	—	20	1	3	12	7	1	48	Oktober
7.9	6.9	6.0	6.9	178	61	17	14	14	—	—	—	7	2	14	1	4	18	—	8	7	5	—	47	November
8.7	7.5	7.1	7.8	60	13	10	12	12	5	—	—	7	1	17	—	1	8	1	—	10	10	—	63	Dezember
6.7	5.9	6.2	6.3	1499	61	XI	174	165	26	—	1	17	48	140	2	8	200	14	47	198	75	5	546	Jahr

Meiringen

$\lambda = 8° 12'$, $\beta = 46° 44'$, $H_b = 604.7$ m, $G = -0.08$ m/m, $h_r = 1.6$ m

1939	Luftdruck					Luft-Temperatur								Relative Feuchtigkeit					
	Mittel	Minimum	Tag	Maximum	Tag	7^{30}	13^{30}	21^{30}	Mittel	Minimum	Tag	Maximum	Tag	7^{30}	13^{30}	21^{30}	Mittel	Minimum	Tag
Januar	705.4	693.7	26	717.6	8	-1.4	3.1	0.0	0.4	-9.6	7	15.2	18	91	65	88	81	20	16
Februar	713.0	697.2	24	723.6	10	-2.3	5.1	0.6	1.0	-8.8	4	11.7	24	89	48	77	71	18	23.24
März	707.4	695.1	27	717.7	13	-1.4	4.4	0.8	1.1	-7.2	19	11.8	6	87	51	74	71	18	29
April	707.7	697.9	4	716.7	20	6.3	14.2	9.6	9.9	2.8	1	21.9	11	86	37	61	61	19	4. 11
Mai	706.8	695.3	6	715.0	23	8.1	12.9	9.4	10.0	2.8	19	19.2	2	89	54	77	73	17	2
Juni	709.3	699.7	24	716.2	27	13.4	20.8	15.0	16.0	6.3	13	27.8	9	84	45	81	70	22	28.29
Juli	710.7	704.2	16.24	715.9	8	14.0	21.0	15.7	16.6	7.4	25	26.1	5	84	43	81	69	15	19
August	710.5	705.4	20	717.3	1	14.0	21.5	16.6	17.2	8.6	6	24.8	11	96	49	90	78	34	7
September	710.0	701.4	30	715.4	7	10.4	16.9	12.5	13.1	4.0	30	24.1	11	95	56	92	81	32	10
Oktober	706.3	694.3	27	714.0	24	6.1	11.2	7.8	8.2	-4.0	30	23.6	15	95	66	87	83	20	16.18
November	710.7	699.5	4	719.6	30	3.2	8.1	4.5	5.1	-6.8	24	16.4	4	91	69	91	84	17	4
Dezember	708.3	693.9	5	719.5	1	-2.5	0.4	-2.1	-1.6	-14.2	30	7.4	1	94	79	89	87	40	31
Jahr	708.8	693.7	I	723.6	II	5.7	11.6	7.5	8.1	-14.2	XII	27.8	VI	90	55	82	76	15	VII

Guttannen

$\lambda = 8° 17'$, $\beta = 46° 39'$, $H_b = $ ca. 1055 m, $G = -0.15$ m/m, $h_r = 1.5$ m

Januar	666.9	655.3	26.27	678.3	8	-0.2	1.5	0.6	-0.6	-10.5	7	12.0	17	75	70	74	73	30	17
Februar	674.1	661.6	23	684.8	10	-2.0	1.8	-0.4	-0.2	-8.6	15	6.6	25	80	67	79	75	42	28
März	668.4	656.7	23	678.1	5	-3.0	0.7	-1.9	-1.5	-9.8	19	7.8	4. 31	84	71	85	80	45	29.30
April	670.0	661.7	26	678.0	12	4.8	10.1	6.3	6.9	0.2	18	18.8	11	79	58	76	71	32	11
Mai	669.0	659.7	6	676.9	23	5.3	8.6	6.2	6.6	2.1	14	14.1	27	91	76	87	85	41	1
Juni	672.4	663.1	24	684.9	27	10.7	17.3	12.6	13.3	4.0	14	24.1	6. 7	86	62	81	76	39	3
Juli	673.8	666.6	24	678.3	6	12.0	17.5	13.6	14.2	5.4	25	24.8	30	82	62	81	75	28	19
August	673.6	668.9	5	677.9	1	12.5	18.0	14.1	14.7	8.6	6	22.0	18	91	66	86	81	45	24
September	672.4	664.2	30	678.1	7	9.0	13.5	10.4	10.8	1.6	29	20.9	3	93	73	87	84	34	30
Oktober	668.5	655.7	27	674.9	24	5.6	7.9	6.1	6.4	-4.0	30	18.8	18	87	76	83	82	43	14
November	672.6	662.6	4	681.6	30	3.3	5.9	4.2	4.4	-8.0	23	15.4	8	84	77	81	81	39	8
Dezember	669.3	656.6	5	680.9	1	-2.2	-0.9	-1.9	-1.7	-16.2	30	6.2	2	80	78	79	79	29	16
Jahr	670.9	655.3	I	684.9	VI	4.7	8.5	5.8	6.2	-16.2	XII	24.8	VII	84	70	82	79	28	VII

Grimsel

$\lambda = 8° 20'$, $\beta = 46° 34'$, $H = 1962.5$ m, $G =$ — m/m, $h_r = 1.5$ m

Januar	—	—	—	—	—	-5.3	-3.5	-4.8	-4.6	-14.6	27	2.6	17	78	76	75	76	18	9
Februar	—	—	—	—	—	-4.9	-1.1	-4.2	-3.6	-13.4	14	5.6	12	60	57	59	59	24	2
März	—	—	—	—	—	-8.9	-4.9	-8.0	-7.4	-14.0	13	4.4	4. 6	79	75	79	78	28	4. 30
April	—	—	—	—	—	-0.6	3.6	0.4	1.0	-5.8	19	9.8	13	73	60	74	69	30	21
Mai	—	—	—	—	—	-0.2	3.1	0.0	0.7	-5.4	29	10.2	31	84	74	87	82	42	1
Juni	—	—	—	—	—	5.8	10.1	6.2	7.1	-3.0	13	17.2	29	69	59	73	67	30	28
Juli	—	—	—	—	—	7.2	11.1	7.6	8.4	-1.6	25	19.2	8	72	60	81	71	35	29
August	—	—	—	—	—	7.9	11.7	8.7	9.2	0.8	6	16.6	31	69	63	83	72	42	10
September	—	—	—	—	—	4.7	8.3	5.1	5.8	-0.2	27	15.8	8	73	66	80	73	30	29
Oktober	—	—	—	—	—	0.1	1.5	0.4	0.6	-10.0	28	10.4	18	83	81	84	83	38	1
November	—	—	—	—	—	-0.3	1.3	-0.3	0.1	-11.0	21	7.6	13	72	73	71	72	20	24
Dezember	—	—	—	—	—	-6.5	-4.8	-6.4	-6.0	-18.8	30	5.4	1	67	69	68	68	28	1
Jahr	—	—	—	—	—	-0.2	3.0	0.4	0.9	-18.8	XII	19.2	VII	73	68	76	72	18	I

Jungfraujoch

$\lambda = 7° 59'$, $\beta = 46° 35'$, $H_b = 3577.8$ m, $G = -0.38$ m/m, $h_r = 1.8$ m

Januar	484.1	471.2	27	495.6	8	-13.8	-13.3	-13.0	-13.3	-25.6	6	-4.2	15	—	—	—	—	—	—
Februar	489.9	479.2	23	500.4	11	-11.7	-11.0	-11.5	-11.4	-21.0	14	-2.5	11	61	59	61	60	15	5
März	482.4	473.7	24	495.3	6	-18.3	-17.2	-18.2	-18.0	-22.8	16	-6.0	6	81	77	78	79	19	3
April	488.5	481.2	25	497.4	12	-9.6	-8.2	-8.9	-8.9	-17.8	18	-3.2	11	74	87	74	75	20	16
Mai	487.3	481.6	5	495.3	27	-9.5	-7.7	-9.0	-8.8	-13.6	1	-1.0	24	86	87	88	87	22	24
Juni	493.8	483.8	13	500.6	28	-3.1	-1.4	-2.6	-2.4	-11.8	13.14	4.2	29	75	74	82	77	15	28
Juli	495.3	486.0	25	500.8	8	-2.2	-1.2	-2.0	-1.9	-12.4	25	4.2	30	69	73	77	73	18	3
August	495.7	490.7	6	500.3	10	-1.9	-0.1	-1.2	-1.1	-8.8	6	4.5	11	72	75	82	76	20	11
September	493.3	486.2	15	500.7	7	-4.3	-2.6	-4.2	-3.8	-9.4	24	7.4	9	66	67	76	70	15	9
Oktober	487.5	472.8	27	496.6	17	-9.3	-8.4	-9.3	-9.1	-23.0	28	-0.2	17	86	88	88	87	30	30
November	490.8	483.3	5. 19	499.1	30	-8.6	-8.2	-8.2	-8.3	-18.7	25	0.8	8	74	69	67	70	31	24
Dezember	485.0	474.8	6	498.8	1	-15.0	-14.6	-15.2	-15.0	-29.0	29	-5.8	1	71	75	72	73	22	30
Jahr	489.5	471.2	I	500.8	VII	-8.9	-7.8	-8.6	-8.5	-29.0	XII	7.4	IX	—	—	—	—	—	—

Meiringen

Beobachter: **A. Michel**

Bewölkung				Niederschlag			Zahl der Tage							Windverteilung								1939
7^{30}	13^{30}	21^{30}	Mittel	Summe	Maximum	Tag	☔	≥1.0	✶	▲	☇	≡	heiter	trüb	N	NE	E	SE	S	SW	W	NW	Calmen	
7.3	7.6	7.7	7.5	84	28	23	12	12	7	—	—	—	—	16	—	—	6	—	—	—	2	9	76	Januar
6.2	4.6	6.1	5.6	16	4	26	9	7	5	—	—	—	5	6	—	—	6	—	—	2	1	3	72	Februar
8.1	7.5	8.2	7.9	206	51	7	16	15	14	—	—	—	2	19	—	—	—	—	—	—	5	24	64	März
6.8	6.1	6.5	6.5	98	21	26.27	13	11	1	—	—	—	5	13	—	—	4	1	—	—	3	24	58	April
9.3	8.7	8.9	9.0	184	31	18	18	18	—	—	—	—	—	25	—	—	2	2	—	—	6	18	65	Mai
5.0	5.8	7.3	6.0	121	18	10	13	11	—	—	3	—	3	10	—	1	—	—	—	—	8	19	62	Juni
5.2	5.8	6.5	5.8	163	28	25	16	16	—	—	4	—	5	8	—	—	3	—	—	2	2	23	63	Juli
6.1	5.8	7.7	6.5	128	67	5	10	10	—	—	—	—	2	12	1	—	1	—	—	—	4	23	64	August
6.6	5.7	7.3	6.5	95	30	4	12	10	—	—	—	—	4	13	—	—	—	—	—	—	1	21	68	September
8.7	8.0	7.9	8.2	177	26	6	24	23	4	—	—	—	—	18	—	1	6	—	—	—	3	15	68	Oktober
8.0	7.6	6.6	7.4	209	58	17	15	15	1	—	—	—	—	14	—	—	4	—	—	—	2	8	76	November
7.4	7.3	7.0	7.2	79	23	6	11	10	6	—	—	—	2	17	—	—	—	—	—	—	—	6	87	Dezember
7.1	6.7	7.3	7.0	1560	67	VIII	169	158	38	—	7	—	28	171	1	2	32	3	—	4	37	193	823	Jahr

Guttannen

Beobachter: **Hs. Huber**

7.1	7.4	6.6	7.0	82	24	23	10	9	8	—	—	3	4	15	—	—	1	30	1	—	1	5	55	Januar
4.4	4.6	4.5	4.5	40	13	13	9	7	8	—	—	—	12	8	1	—	—	9	—	—	3	—	71	Februar
8.0	7.4	7.9	7.8	311	53	15	18	17	16	—	—	—	3	22	1	—	—	4	1	3	17	8	59	März
7.0	5.8	6.6	6.5	184	57	26	13	12	4	—	—	—	6	13	—	—	—	24	3	—	6	4	53	April
9.6	9.3	9.7	9.5	266	58	18	21	19	4	—	—	2	—	28	—	—	—	7	1	—	13	5	67	Mai
5.0	6.2	7.3	6.2	125	21	30	11	11	—	—	—	—	6	13	—	—	—	9	—	1	15	1	64	Juni
5.6	6.2	6.3	6.0	185	22	1	17	15	—	—	—	—	6	11	1	—	—	15	1	—	2	14	60	Juli
6.5	6.3	7.5	6.8	154	75	5	10	10	—	—	1	2	3	13	1	—	—	3	—	—	—	7	82	August
5.8	5.7	6.5	6.0	118	49	4	13	12	—	—	—	6	7	13	—	—	—	2	—	—	1	6	81	September
9.1	8.6	7.8	8.5	242	?	—	23	22	8	—	—	4	—	19	—	—	—	20	—	—	—	1	72	Oktober
6.7	6.9	6.0	6.5	253	69	17	13	13	5	—	—	—	5	13	—	1	—	17	—	—	—	7	65	November
6.7	6.9	6.6	6.7	103	21	6	12	12	11	—	—	5	6	16	—	—	—	14	—	—	—	4	75	Dezember
6.8	6.8	6.9	6.8	2063	75	VIII	170	159	64	—	1	22	58	184	4	1	1	154	7	4	58	62	804	Jahr

Grimsel

Beobachter: **Imbaumgarten und Salzgeber**

7.5	7.2	6.2	7.0	162	26	23	15	12	15	—	—	5	3	16	9	3	2	37	5	18	2	1	16	Januar
4.8	5.2	3.6	4.5	85	21	19	12	10	12	—	—	3	10	9	9	—	1	14	2	21	2	3	32	Februar
8.5	7.9	8.0	8.1	338	50	15	23	21	23	—	—	9	1	21	12	5	—	9	2	6	3	19	37	März
7.6	7.0	6.8	7.1	194	49	27	17	15	17	—	—	3	7	18	5	2	3	28	2	11	2	5	32	April
7.8	9.9	9.3	9.0	342	48	12	23	23	21	—	1	13	—	24	12	—	2	20	1	1	—	9	48	Mai
5.5	7.0	7.1	6.5	140	27	13	15	14	3	—	1	7	4	13	3	—	4	20	1	3	—	6	53	Juni
6.1	6.5	6.7	6.4	202	39	25	19	17	3	—	3	8	3	13	12	—	7	17	1	6	1	6	43	Juli
6.8	6.9	8.0	7.2	153	76	5	11	9	2	—	—	14	2	16	24	—	3	12	8	10	—	1	35	August
5.7	6.2	7.0	6.3	82	36	4	11	9	2	—	—	10	7	15	19	—	2	11	2	7	1	8	40	September
9.5	9.1	8.5	9.0	314	41	6	28	25	14	—	—	8	—	24	6	—	3	36	1	4	1	19	23	Oktober
7.5	7.6	6.2	7.1	295	87	17	16	15	12	—	—	7	4	15	10	1	3	36	4	8	—	9	19	November
6.2	6.5	5.7	6.1	122	25	27	17	15	17	—	—	4	3	14	11	—	3	16	10	15	1	6	31	Dezember
7.0	7.2	6.9	7.0	2419	87	XI	207	185	141	—	5	91	44	198	132	11	33	256	39	110	13	92	409	Jahr

Jungfraujoch

Beobachter: **Jungfraubahn**

7.5	7.0	6.5	7.0	—	—	—	—	—	—	—	—	19	2	12	23	1	1	15	23	3	2	25	—	Januar
5.0	4.4	4.4	4.6	—	—	—	—	—	—	—	—	12	8	5	31	1	1	7	26	—	1	17	—	Februar
6.9	6.8	6.1	6.6	—	—	—	—	—	—	—	—	20	5	14	32	2	1	4	16	—	1	37	—	März
6.6	6.9	6.4	6.6	—	—	—	—	—	—	—	—	21	5	15	14	—	3	18	43	—	—	12	—	April
7.8	8.2	7.8	7.9	—	—	—	—	—	—	—	—	26	3	20	19	2	7	31	12	—	2	20	—	Mai
5.8	6.4	6.8	6.3	—	—	—	—	—	—	—	—	20	3	12	13	3	5	33	16	1	3	15	1	Juni
5.2	6.2	6.0	5.8	—	—	—	—	—	—	—	—	18	6	9	14	3	8	28	10	6	5	19	—	Juli
4.7	6.1	6.5	5.8	—	—	—	—	—	—	—	—	18	5	10	12	3	3	38	8	5	—	24	—	August
4.4	4.0	4.6	4.3	—	—	—	—	—	—	—	—	11	14	7	21	4	7	19	9	1	4	25	—	September
8.6	8.2	7.3	8.0	—	—	—	—	—	—	—	—	24	—	17	30	2	4	22	3	3	6	23	—	Oktober
7.1	6.2	6.3	6.5	—	—	—	—	—	—	—	—	17	3	12	25	9	6	15	6	1	5	23	—	November
6.5	6.3	6.7	6.5	—	—	—	—	—	—	—	—	21	2	12	38	—	—	11	26	4	1	13	—	Dezember
6.3	6.4	6.3	6.3	—	—	—	—	—	—	—	—	227	56	145	272	30	46	241	198	24	30	253	1	Jahr

Genf

$\lambda = 6° 9'$, $\beta = 46° 12'$, $H_b = 405.0^m$, $G = -0.03\ ^m/_m$, $h_r = 1.7^m$

1939	Luftdruck					Luft-Temperatur								Relative Feuchtigkeit					
	Mittel	Minimum	Tag	Maximum	Tag	7^{30}	13^{30}	21^{30}	Mittel	Minimum	Tag	Maximum	Tag	7^{30}	13^{30}	21^{30}	Mittel	Minimum	Tag
Januar	723.2	710.4	26	735.8	8	2.4	4.8	3.2	3.4	-6.8	7	13.0	16	86	75	82	81	57	16
Februar	730.9	713.3	24	741.0	10	0.3	4.3	2.6	2.5	-4.1	9	12.1	26	88	72	80	80	48	18
März	725.5	713.3	24.25	735.1	13	1.2	5.3	3.3	3.3	-2.6	19	14.7	6	84	63	71	73	42	4. 11
April	724.6	711.1	30	734.0	16	8.1	13.2	10.4	10.5	4.2	27	21.7	12	82	60	69	70	35	22
Mai	723.9	713.1	6	731.0	27	9.1	13.0	10.7	10.9	4.1	1	17.6	28	85	67	76	76	45	26
Juni	726.3	718.2	24	733.0	27	15.2	20.4	16.8	17.3	10.0	12.13	28.5	29	81	61	74	72	45	19
Juli	727.9	721.4	24	732.9	3	16.0	21.1	18.2	18.4	11.2	25	27.7	5	77	59	63	66	41	3. 5
August	727.3	722.1	20	732.2	1	15.9	21.6	18.3	18.5	12.4	7	25.0	11	86	66	74	75	51	6
September	726.9	718.2	30	732.5	7	12.6	17.3	14.4	14.7	6.8	28	26.6	11	88	70	78	79	53	17
Oktober	723 7	711.3	27	731.8	24	8.5	11.7	9.3	9.7	0.0	28	22.4	14	86	74	82	81	50	14.21
November	728.7	717.2	4	738.1	30	6.1	9.0	7.2	7.4	-5.0	24	15.7	8	89	78	84	84	46	26
Dezember	726.2	712.2	5	737.3	1	0.3	2.6	1.0	1.2	-10.8	30	12.8	1	88	79	85	84	51	7
Jahr	726.3	710.4	I	741.0	II	8.0	12.6	9.6	9.8	-10.8	XII	28.5	VI	85	69	77	77	35	IV

Lausanne (Champ de l'Air)

$\lambda = 6° 38'$, $\beta = 46° 31'$, $H_b = 552.9^m$, $G = -0.02\ ^m/_m$, $h_r = 1.4^m$

Januar	710.2	698.2	26	722.3	8	1.3	3.9	1.9	2.2	-6.2	7	10.6	16	83	74	78	78	49	28
Februar	717.7	700.2	24	727.8	10	0.6	4.0	1.7	2.0	-3.9	5	10.7	10	82	70	75	76	48	24
März	712.4	700.8	24	722.1	13	0.6	4.2	1.9	2.1	-4.3	19	11.7	31	76	63	70	70	43	31
April	712.4	702.5	4	721.0	16	7.9	13.1	9.5	10.0	3.6	30	20.3	13	77	58	69	68	32	24
Mai	711.2	701.7	6	717.9	23.27	8.9	12.6	9.6	10.2	5.6	3	18.6	31	82	66	75	74	44	31
Juni	713.7	704.3	24	720.4	27	15.1	20.4	16.0	16.9	7.9	13	27.4	9	79	54	73	69	37	8
Juli	715.4	708.7	24	719.8	6	15.7	20.5	16.3	17.2	9.3	25	26.4	30	79	58	74	70	39	7
August	714.8	710.2	4	719.5	1	15.8	21.5	17.3	18.0	12.8	6	25.4	12	85	61	77	74	45	16
September	714.1	706.0	30	719.4	7	12.5	16.8	13.2	13.9	4.4	28	23.9	11	87	68	84	80	51	17
Oktober	711.0	699.1	27	718.2	24	7.6	10.6	8.1	8.6	-1.0	28	18.9	14	91	77	88	85	47	21
November	715.6	704.3	5	725.0	30	5.5	8.2	6.3	6.6	-2.4	24	15.8	8	92	84	89	88	46	5
Dezember	713.0	699.4	4	724.0	1	0.1	2.0	0.1	0.6	-11.6	30	10.6	2	85	83	84	84	69	2
Jahr	713.5	698.2	I	727.8	II	7.6	11.5	8.5	9.0	-11.6	XII	27.4	VI	83	68	78	76	32	IV

Montreux-Clarens

$\lambda = 6° 54'$, $\beta = 46° 27'$, $H_b = 412^m$, $G = -0.03\ ^m/_m$, $h_r = 1.5^m$

Januar	722.5	710.2	26	735.3	8	1.7	4.9	2.6	2.9	-6.6	7	13.0	16	89	83	86	86	47	14.15
Februar	730.2	711.9	24	740.6	10	1.3	5.1	2.8	3.0	-3.5	3	12.0	24	86	80	85	84	60	24
März	724.8	711.7	24	734.0	6	1.2	5.4	2.9	3.1	-2.0	14	10.8	7	88	71	81	80	50	16
April	724.5	714.0	4	733.3	16	7.9	13.2	10.4	10.5	3.4	20	19.8	23	95	80	89	88	57	1
Mai	723.3	712.4	6	730.2	26.27	9.1	13.1	10.5	10.8	6.4	1	20.0	28	98	82	91	90	65	16
Juni	725.6	716.1	24	732.8	27	14.6	19.6	17.1	17.1	7.5	13	25.2	29	96	80	91	89	54	27
Juli	727.3	720.6	24	731.8	3	16.0	21.3	18.6	18.6	10.5	25	27.4	9	92	73	82	82	59	5. 7
August	726.6	721.4	20	731.3	1	15.7	21.9	18.5	18.7	11.8	7	25.6	31	99	80	92	90	65	30
September	726.2	717.9	30	731.8	7	12.5	18.2	15.0	15.2	5.5	30	25.4	11	99	80	93	91	65	6
Oktober	723.0	710.8	27	730.9	24	8.1	11.3	9.3	9.5	0.2	28	19.4	14	96	88	95	93	62	21
November	728.0	716.5	4	737.4	30	5.9	9.0	6.9	7.2	-2.8	24	13.5	7	96	90	97	94	72	21.23/24
Dezember	725.5	711.3	5	736.7	1	0.6	3.3	1.3	1.6	-11.2	30	12.2	1	87	79	86	84	50	28
Jahr	725.6	710.2	I	740.6	II	7.9	12.2	9.7	9.9	-11.2	XII	27.4	VII	93	81	89	88	47	I

Rochers de Naye

$\lambda = 6° 59'$, $\beta = 46° 26'$, $H_b = 1986^m$, $G = -\ ^m/_m$, $h_r = 1.5^m$

Januar	—	—	—	—	—	-4.4	-2.5	-3.6	-3.5	-13.4	6. 7	6.0	9	69	67	69	68	2	9
Februar	—	—	—	—	—	-3.4	0.3	-3.4	-2.5	-9.8	14.21	7.6	5. 11	44	43	49	46	2	4.6.6.7
März	—	—	—	—	—	-7.8	-4.0	-7.7	-6.8	-14.2	13	6.6	4	75	75	79	76	7	30
April	—	—	—	—	—	1.1	4.7	1.4	2.2	-7.2	28	11.8	10	68	53	71	64	11	21
Mai	—	—	—	—	—	-0.5	0.5	-0.4	-0.2	-3.2	14	5.8	30	86	81	94	87	56	2
Juni	—	—	—	—	—	6.7	10.3	6.3	7.4	-2.0	13	16.4	6	82	81	93	85	35	28
Juli	—	—	—	—	—	7.6	10.6	7.5	8.3	-0.3	25	16.8	5. 8	76	79	87	81	45	28
August	—	—	—	—	—	8.7	12.2	8.3	9.4	3.6	6	16.2	10	87	83	89	86	60	19
September	—	—	—	—	—	*6.0	*8.0	*6.0	*6.5	?	—	?	—	*87	*82	*89	*86	?	—
Oktober	—	—	—	—	—	0.6	2.2	0.4	0.9	-10.8	27	14.4	18	93	91	93	92	44	18
November	—	—	—	—	—	-0.2	2.5	-0.5	0.3	-11.0	21	11.3	8	93	87	88	90	48	8
Dezember	—	—	—	—	—	-5.7	-2.8	-5.4	-4.8	-19.1	30	8.6	1	*87	*82	*86	*85	?	—
Jahr	—	—	—	—	—	0.7	3.5	0.7	1.4	-19.1	XII	16.8	VII	79	75	82	79	?	—

Beobachter: **Observatorium**

Genf

Bewölkung				Niederschlag			Zahl der Tage								Windverteilung								1939
7^{30}	13^{30}	21^{30}	Mittel	Summe	Maximum	Tag	●	●≥1.0	✳	▲	⛆	≡	heiter	trüb	N	NE	E	SE	S	SW	W	NW	Calmen	
8.6	7.4	7.0	7.7	83	22	18	19	12	5	—	1	3	1	17	6	14	3	2	3	13	3	3	46	Januar
8.4	7.0	6.8	7.4	14	4	17	6	5	—	—	—	3	3	17	10	13	8	—	2	5	2	1	43	Februar
7.2	6.3	5.5	6.3	47	8	5.22	10	9	8	—	—	—	3	13	15	18	1	—	5	8	1	—	45	März
7.1	6.0	5.9	6.0	126	25	14	14	12	—	—	—	2	7	15	14	16	1	1	2	10	2	1	43	April
7.6	6.8	7.4	7.3	137	42	18	15	14	—	—	1	1	2	14	16	29	5	1	3	2	—	—	37	Mai
5.1	5.2	7.5	5.9	133	22	11	13	13	—	—	6	—	4	9	14	20	1	—	3	6	3	1	42	Juni
4.9	4.9	4.6	4.8	75	22	15	12	8	—	1	5	—	7	6	11	12	—	1	3	13	3	1	49	Juli
6.7	4.5	4.3	5.2	85	21	5	11	10	—	2	5	2	5	9	13	16	2	—	1	6	1	2	52	August
8.1	5.3	4.8	6.1	33	15	4	8	5	—	—	1	—	4	9	10	17	2	—	1	2	—	1	57	September
8.2	8.4	7.4	8.0	172	34	15	21	19	2	—	2	—	2	22	7	9	3	—	7	15	—	3	49	Oktober
8.5	8.1	7.7	8.1	93	21	4	14	12	—	1	3	2	—	18	7	9	—	—	4	6	1	—	63	November
8.5	8.0	7.5	8.0	52	15	10	10	9	5	—	—	—	1	20	9	18	1	—	1	—	3	1	60	Dezember
7.2	6.5	6.4	6.7	1050	42	V	153	128	20	4	24	13	39	169	132	191	27	5	35	86	19	14	586	Jahr

Beobachter: **A. George**

Lausanne (Champ de l'Air)

7.8	6.0	6.5	6.8	129	28	18	16	15	4	—	—	3	3	14	3	14	9	5	3	8	27	3	21	Januar
8.1	6.2	6.5	6.9	20	7	26	9	5	2	—	—	6	4	14	2	16	9	3	10	4	16	2	22	Februar
6.9	5.6	4.4	5.6	91	22	14	14	10	11	—	—	2	4	12	2	28	9	2	3	7	14	7	21	März
6.7	5.3	5.3	5.8	118	20	5	14	12	—	—	—	—	8	12	4	15	6	2	3	15	21	4	20	April
6.4	7.1	6.9	6.8	148	25	2	18	15	—	—	—	—	5	16	3	33	7	3	6	13	8	3	17	Mai
4.8	4.6	6.1	5.2	163	41	30	14	12	—	—	6	—	7	11	3	24	—	2	10	13	15	1	22	Juni
4.5	4.6	4.4	4.5	89	15	16	15	11	—	—	4	—	10	5	3	14	4	2	10	18	24	2	17	Juli
5.6	4.3	4.7	4.9	84	21	5	9	8	—	—	2	—	7	5	1	22	6	2	8	19	5	—	30	August
7.1	5.2	4.3	5.5	61	29	4	12	8	—	—	—	—	5	7	2	33	4	2	3	12	7	6	21	September
8.0	7.5	8.2	7.9	227	41	15	23	21	2	—	1	2	—	18	5	19	10	5	5	6	21	6	16	Oktober
8.7	7.3	6.6	7.5	107	24	9	15	13	—	—	—	1	3	17	2	20	8	4	1	11	21	3	20	November
8.8	7.8	6.7	7.8	72	28	4	11	7	3	—	—	—	1	17	5	24	13	2	5	7	10	1	26	Dezember
7.0	6.0	5.9	6.3	1309	41	VI	170	137	22	—	13	14	57	148	35	262	85	34	67	133	188	38	253	Jahr

Beobachter: **M. Thétaz**

Montreux-Clarens

7.5	5.9	4.8	6.1	102	23	18	12	12	2	—	—	1	4	11	1	3	—	—	4	1	—	4	80	Januar
5.6	6.3	5.9	5.9	22	8	13	6	5	—	—	—	—	4	10	1	1	—	—	3	4	—	—	75	Februar
6.3	5.7	5.1	5.7	93	28	7	11	11	7	—	—	—	7	12	—	4	1	—	2	4	1	3	78	März
6.3	5.0	5.9	5.7	80	14	14	12	12	—	—	—	—	6	10	1	3	1	—	3	4	—	1	77	April
6.1	7.1	6.8	6.7	118	16	3	17	15	—	—	—	—	3	10	2	3	—	2	6	5	—	1	74	Mai
5.0	4.9	5.4	5.1	193	41	30	16	16	—	—	—	—	5	6	—	1	1	3	4	4	—	—	77	Juni
4.7	4.6	4.9	4.7	102	19	21	14	13	—	—	—	—	8	4	—	4	1	—	1	2	1	—	84	Juli
4.8	4.7	4.7	4.7	108	23	5	13	13	—	—	—	—	7	4	1	—	—	—	3	4	1	—	84	August
4.7	5.1	5.1	5.0	76	18	4	12	10	—	—	—	—	6	4	—	3	—	1	1	5	—	—	80	September
7.7	8.0	8.3	8.0	180	28	15	22	20	3	—	—	—	—	17	—	3	—	3	1	3	—	1	82	Oktober
7.0	6.7	6.1	6.6	94	17	17	15	13	—	—	—	2	2	12	—	2	1	1	2	1	—	1	82	November
6.8	6.2	6.0	6.3	92	32	5	10	8	1	—	—	—	3	13	2	3	—	1	1	6	1	—	79	Dezember
6.0	5.9	5.8	5.9	1260	41	VI	160	148	13	—	—	3	55	113	8	30	5	11	31	43	4	11	952	Jahr

Beobachter: **A. Lenoir**

Rochers de Naye

7.4	7.1	6.2	6.9	381	63	23	16	16	15	—	—	14	2	14	—	7	—	—	4	41	15	4	23	Januar
4.9	4.8	4.5	4.7	99	35	26	8	6	8	—	—	11	10	8	—	12	1	—	3	29	12	1	25	Februar
6.8	7.5	5.6	6.6	294	75	7	16	15	16	—	—	22	6	15	—	19	—	—	—	35	1	2	36	März
7.2	6.8	6.6	6.9	129	43	14	13	13	12	—	—	10	4	14	1	8	3	6	—	25	16	3	28	April
6.6	9.4	8.8	8.3	251	36	8	20	19	20	—	—	24	—	19	3	31	2	2	1	16	1	—	37	Mai
5.3	7.5	7.1	6.6	268	56	30	14	13	3	—	1	9	3	11	—	12	—	2	—	24	4	—	48	Juni
4.5	5.5	5.1	5.0	153	32	25	13	12	3	—	—	9	8	7	2	4	—	—	—	31	1	—	55	Juli
2.6	5.6	5.6	4.6	146	47	5	9	9	—	—	—	11	9	4	—	6	—	—	—	16	6	1	64	August
*4.0	*5.0	*4.5	*4.5	*150	?	—	*14	*12	—	—	—	*15	*7	*5	—	—	—	—	—	—	—	—	—	September
7.5	7.3	7.7	7.5	392	50	25	25	25	8	—	1	24	—	13	6	7	—	—	3	56	7	1	13	Oktober
6.2	6.3	5.1	5.9	326	105	17	16	15	11	1	1	16	6	11	9	5	1	5	11	42	6	2	9	November
5.8	5.3	5.5	5.5	195	47	5	12	10	12	—	—	16	7	10	13	5	1	14	3	23	10	3	21	Dezember
5.7	6.5	6.0	6.1	2784	105	XI	176	165	108	1	3	181	62	131	—	-	—	—	—	—	—	—	—	Jahr

Leysin

$\lambda = 7^\circ 0'$, $\beta = 46^\circ 21'$, $H_b = 1350^m$, $G = -^m/_{km}$, $h_r = 1.5^m$

1939	Luftdruck					Luft-Temperatur								Relative Feuchtigkeit					
	Mittel	Minimum	Tag	Maximum	Tag	7^{30}	13^{30}	21^{30}	Mittel	Minimum	Tag	Maximum	Tag	7^{30}	13^{30}	21^{30}	Mittel	Minimum	Tag
Januar	—	—	—	—	—	-0.7	1.7	0.1	0.3	-9.4	7	10.4	16	66	61	62	63	24	9
Februar	—	—	—	—	—	-0.1	3.8	0.9	1.4	-6.8	15	10.0	8	55	51	54	53	27	5
März	—	—	—	—	—	-3.5	0.0	-2.9	-2.3	-9.2	13	8.7	6	74	64	74	71	38	4
April	—	—	—	—	—	4.5	8.3	4.8	5.6	-0.6	18.30	16.0	11	71	64	69	68	37	11
Mai	—	—	—	—	—	4.5	7.6	5.0	5.5	1.2	3	13.6	27	80	72	80	77	41	25
Juni	—	—	—	—	—	11.7	15.2	11.3	12.4	1.8	13	21.2	29	68	67	75	70	45	6
Juli	—	—	—	—	—	12.3	15.4	12.0	12.9	4.2	25	21.4	30	68	65	72	68	38	9
August	—	—	—	—	—	13.0	15.9	12.8	13.6	9.0	6	19.6	31	77	75	76	76	51	30
September	—	—	—	—	—	9.0	12.0	9.3	9.9	3.4	28	18.6	3	81	78	79	79	37	30
Oktober	—	—	—	—	—	4.6	6.8	5.1	5.4	-5.6	28	16.8	18	78	71	75	75	42	15
November	—	—	—	—	—	3.9	5.9	3.9	4.4	-7.2	23	14.8	8	69	67	71	69	25	26
Dezember	—	—	—	—	—	-1.8	0.3	-1.8	-1.3	-13.4	30	11.0	1	65	64	65	65	22	31
Jahr	—	—	—	—	—	4.8	7.7	5.0	5.6	-13.4	XII	21.4	VII	71	67	71	70	22	XII

St. Bernhard

$\lambda = 7^\circ 11'$, $\beta = 45^\circ 52'$, $H_b = 2475.8^m$, $G = -0.32\,^m/_{km}$, $h_r = 6.0^m$

Januar	558.1	544.9	27	569.2	8	-8.4	-7.5	-8.3	-8.1	-16.8	6	0.6	15	76	77	76	76	41	10
Februar	564.2	554.2	23	574.6	10	-6.5	-4.4	-6.3	-5.9	-13.4	14	4.2	11	42	40	43	42	17	5
März	557.5	547.8	24	569.9	6	-11.4	-9.3	-10.6	-10.5	-18.4	13	1.8	4	72	71	71	71	19	4
April	562.0	551.2	24	571.0	12	-3.1	-0.8	-2.4	-2.2	-9.2	18	4.6	12	86	79	87	84	40	21
Mai	560.5	554.2	6	567.7	27	-2.9	-1.1	-2.4	-2.2	-7.0	14	4.0	30	94	91	95	93	53	30
Juni	566.1	556.8	13	572.2	6. 28	3.2	6.0	3.7	4.1	-4.4	14	13.8	29	80	69	86	78	34	29
Juli	567.9	561.2	24	572.4	7. 8	5.2	8.0	5.3	5.9	-3.7	25	14.2	9	78	66	86	77	32	8
August	567.7	562.7	5	572.2	10	6.3	8.8	6.4	7.0	-0.6	6	14.1	11	78	70	88	79	26	16
September	565.6	559.0	15	572.4	7	2.7	5.2	3.0	3.5	-3.0	29	12.4	9	83	69	86	79	38	11
Oktober	560.9	545.7	27	569.5	17	-2.4	-1.1	-2.1	-1.9	-13.6	28	4.8	16.17	91	86	90	89	55	30
November	564.4	556.3	5	572.6	30	-3.0	-1.9	-2.9	-2.7	-11.4	21	4.0	14	79	78	79	79	30	25
Dezember	559.1	548.7	5. 6	572.8	1	-8.6	-7.7	-8.9	-8.5	-19.4	30	4.3	1	75	73	74	74	23	1
Jahr	562.8	544.9	I	574.6	II	-2.4	-0.5	-2.1	-1.8	-19.4	XII	14.2	VII	78	72	80	77	17	II

Sitten

$\lambda = 7^\circ 21'$, $\beta = 46^\circ 14'$, $H_b = 548.6^m$, $G = -0.11\,^m/_{km}$, $h_r = 2.4^m$

Januar	711.2	698.7	26	723.1	7	0.2	3.7	0.8	1.4	-5.4	28	10.8	18	78	64	75	72	43	29
Februar	717.8	703.9	23	727.8	11	0.2	6.6	2.6	3.0	-5.7	3	12.3	26	77	52	71	67	35	23
März	712.1	700.1	24	722.4	5	0.5	6.5	2.7	3.1	-4.9	19	14.7	31	75	53	67	65	31	30
April	712.2	704.0	25	721.4	16	8.4	16.2	11.6	12.0	4.5	20	22.1	11	72	46	59	59	33	11
Mai	710.7	701.0	6	718.3	27	10.0	16.2	11.8	12.4	5.7	13	21.9	28	77	51	63	64	35	28
Juni	713.3	703.8	24	720.7	28	15.6	23.1	17.9	18.6	11.5	12.13	28.1	6	70	47	63	60	39	8. 9
Juli	715.0	706.9	24	720.5	3	16.3	22.6	17.8	18.6	9.9	25	28.1	30	72	52	63	62	36	19
August	714.7	709.7	4	720.0	1	16.2	22.6	18.4	18.9	13.6	6	25.3	11	81	59	73	71	46	9. 16
September	714.0	707.7	14	720.1	7	12.2	19.0	14.2	14.9	4.7	30	25.8	3	86	58	78	74	35	30
Oktober	711.1	699.4	27	718.9	24	7.6	12.7	8.9	9.5	-0.9	30	22.4	18	87	62	79	76	39	2
November	716.0	705.3	4	725.1	29.30	4.8	9.8	6.3	6.8	-4.1	24	16.8	8	83	62	78	74	46	8
Dezember	713.3	700.7	5	725.2	1	-0.5	3.2	0.4	0.9	-10.2	30	10.1	1	82	66	79	76	45	16
Jahr	713.4	698.7	I	727.8	II	7.6	13.5	9.5	10.0	-10.2	XII	28.1	VI/VII	78	56	71	68	31	III

Montana

$\lambda = 7^\circ 29'$, $\beta = 46^\circ 19'$, $H_b = 1453.2^m$, $G = -0.21\,^m/_{km}$, $h_r = 1.5^m$

Januar	636.4	623.7	27	646.3	8	-2.0	1.7	-1.6	-0.9	-10.1	7	8.1	9	73	62	71	69	22	9
Februar	642.7	630.8	23	651.5	10	-1.4	4.5	0.2	0.9	-7.4	15	10.4	8	64	51	59	58	25	4
März	637.0	626.3	24	647.7	6	-4.0	0.5	-3.2	-2.5	-10.2	13	9.6	30	78	63	73	71	29	30
April	639.2	632.1	25	647.2	13	5.2	10.2	5.3	6.5	-2.2	18	17.7	13	73	57	71	67	37	11
Mai	637.8	629.7	6	644.8	24	5.4	9.3	5.7	6.5	1.0	13	17.2	30	86	67	79	77	37	1
Juni	642.0	634.4	12	647.6	28	12.4	17.5	11.8	13.4	4.1	14	23.6	4	75	54	72	67	34	4
Juli	644.1	636.5	24	647.9	8	12.4	17.0	12.4	13.5	4.0	25	23.0	18. 30	77	59	71	69	38	8. 18
August	643.6	638.8	5	647.4	11	12.8	17.5	13.0	14.1	8.0	6	21.6	31	86	64	77	76	41	11
September	642.1	635.1	30	647.6	7	9.3	13.9	9.5	10.5	4.9	15	21.8	3	88	65	80	78	32	30
Oktober	638.3	624.7	27	644.7	17	3.8	7.1	4.5	5.0	-6.0	28	15.8	17	86	73	82	80	46	31
November	642.2	632.9	4	649.9	30	2.7	6.0	3.3	3.8	-3.5	23	14.0	8	77	69	76	74	40	8
Dezember	638.2	627.3	5	650.4	1	-2.8	0.7	-2.3	-1.7	-15.8	30	12.3	2	72	63	69	68	24	31
Jahr	640.3	623.7	I	651.5	II	4.5	8.8	4.9	5.8	-15.8	XII	23.6	VI	78	62	73	71	22	I

Montana: Beobachterwechsel im Juli.

Beobachter: **M. Baud**

Leysin

Bewölkung				Niederschlag			Zahl der Tage								Windverteilung								1939
7^{30}	13^{30}	21^{30}	Mittel	Summe	Maximum	Tag	●	●≧1.0	✳	▲	𝐾	≡	heiter	trüb	N	NE	E	SE	S	SW	W	NW	Gatmen	
7.0	6.5	6.3	6.6	139	29	23	14	14	13	—	—	2	4	15	—	11	—	—	—	10	21	16	35	Januar
3.8	4.9	3.9	4.2	19	6	28	5	5	5	—	—	4	10	6	—	13	—	1	—	6	14	15	35	Februar
6.9	7.5	4.9	6.4	161	37	7	16	14	14	—	—	2	5	13	—	26	—	—	—	6	9	12	46	März
6.8	6.1	5.3	6.1	74	16	14	13	12	9	—	—	8	6	14	1	16	—	—	1	21	11	11	29	April
6.7	8.5	8.0	7.7	153	27	8	19	16	5	1	—	13	1	20	—	24	1	1	—	21	3	5	38	Mai
5.3	6.3	5.9	5.8	130	30	30	15	14	2	—	3	3	4	7	4	6	2	1	3	29	11	13	21	Juni
5.0	5.6	4.7	5.1	143	21	5	16	15	—	1	1	5	9	9	—	18	—	—	—	23	18	6	28	Juli
5.1	7.4	5.1	5.9	89	24	5	11	10	—	—	—	10	4	9	—	17	—	—	—	26	6	8	36	August
4.1	6.1	4.8	5.0	95	27	14	14	12	—	—	—	8	7	6	1	11	1	—	—	20	14	13	30	September
8.5	8.5	8.0	8.3	226	24	15	23	22	10	—	2	5	—	20	—	8	1	—	—	20	30	9	25	Oktober
6.5	7.5	4.8	6.3	214	64	19	14	11	5	1	1	3	3	11	—	15	—	—	—	17	32	9	17	November
6.0	6.4	5.7	6.0	77	17	5	11	10	10	—	—	7	6	12	—	16	—	—	—	2	28	12	35	Dezember
6.0	6.8	5.6	6.1	1520	64	XI	171	155	73	3	7	70	59	142	6	181	5	3	4	201	197	129	369	Jahr

Beobachter: **Hospiz**

St. Bernhard

5.6	6.2	5.6	5.8	271	63	23	19	19	19	—	—	10	4	9	—	37	—	—	—	47	—	—	9	Januar
2.7	2.7	3.5	3.0	87	28	24	8	7	8	—	—	7	13	3	—	31	—	—	—	33	—	—	20	Februar
5.6	7.4	6.8	6.6	236	28	7. 22	19	19	19	—	—	15	5	13	—	73	—	—	—	17	—	—	3	März
6.8	5.7	6.3	6.3	350	47	5	17	17	17	—	—	17	7	16	—	31	—	—	—	50	—	—	9	April
7.9	7.8	7.9	7.9	253	45	8	19	19	19	—	—	26	1	18	—	55	—	—	—	31	—	—	7	Mai
6.0	5.6	6.5	6.0	159	29	25	14	14	2	—	1	14	5	10	1	29	—	—	—	59	—	—	1	Juni
5.8	4.6	5.7	5.4	102	26	24	11	10	2	—	1	19	7	8	—	64	—	—	—	26	—	—	3	Juli
5.2	5.5	5.5	5.4	173	42	5	12	11	1	—	—	13	6	10	—	45	—	—	1	45	—	—	2	August
5.0	5.5	5.6	5.4	102	29	4	12	11	4	—	—	15	10	9	—	49	—	—	—	30	—	—	11	September
8.0	6.8	8.7	7.8	338	34	15	26	26	15	—	—	19	1	17	—	36	—	—	—	48	—	—	9	Oktober
6.0	6.0	4.5	5.5	266	54	17	16	16	15	—	—	17	6	7	—	50	—	—	—	31	—	—	9	November
6.3	6.2	5.0	5.8	155	22	10	17	17	17	—	—	19	10	13	—	50	—	—	—	43	—	—	—	Dezember
5.9	5.8	6.0	5.9	2492	63	I	190	186	138	—	2	191	75	133	1	550	—	—	1	460	—	—	83	Jahr

Beobachter: **Kapuzinerkloster**

Sitten

6.9	5.9	5.7	6.2	68	18	23	12	12	4	—	—	—	3	11	1	29	29	—	—	1	21	1	411	Januar
4.6	4.4	3.5	4.2	3	2	28	2	2	—	—	—	2	8	3	3	9	12	—	—	6	43	1	310	Februar
6.3	6.5	5.7	6.2	51	18	5	10	9	8	—	—	—	4	12	7	22	7	—	1	2	53	—	8	März
6.4	5.6	5.5	5.8	20	11	27	9	6	—	—	—	—	6	11	—	21	15	—	—	4	45	4	21	April
7.1	7.5	6.8	7.1	48	16	18	12	9	—	—	—	—	1	15	5	9	7	—	—	1	68	1	2	Mai
4.8	5.8	6.2	5.6	42	17	30	11	7	—	—	2	—	3	6	4	16	1	—	—	—	62	2	5	Juni
5.1	5.3	5.1	5.2	48	12	21	12	8	—	—	6	—	6	7	1	17	7	—	—	2	60	1	5	Juli
6.2	5.8	5.2	5.7	63	37	5	10	8	—	—	—	1	2	9	3	8	2	—	—	2	60	—	18	August
5.8	3.5	3.6	4.3	26	13	4	4	4	—	—	1	—	8	4	3	9	2	—	—	5	43	5	123	September
7.8	6.5	6.5	6.9	91	16	9	20	17	3	—	—	1	—	11	3	3	5	—	1	3	20	3	55	Oktober
7.5	9.1	8.7	8.4	95	25	16	13	11	—	—	—	1	4	11	5	8	9	1	—	3	14	1	49	November
6.2	5.2	4.9	5.4	29	10	4	6	6	4	—	—	3	7	10	5	7	2	—	2	2	9	7	59	Dezember
6.2	5.9	5.6	5.9	584	37	VIII	121	99	19	—	9	8	52	110	40	138	98	1	4	31	498	26	239	Jahr

Beobachter: **Sanatorium „La Moubra“: A. Hauenstein, Pralong**

Montana

6.6	6.3	5.4	6.1	90	30	23	14	13	13	—	—	4	2	9	1	17	6	—	—	—	10	3	56	Januar
3.6	4.4	3.7	3.9	7	3	26	5	3	5	—	—	2	9	3	—	9	2	1	—	2	11	4	55	Februar
6.3	6.4	5.2	6.0	144	25	15	14	13	12	—	—	1	6	12	1	6	5	—	—	2	24	12	43	März
6.6	6.0	5.3	6.0	44	12	27	10	8	6	—	—	2	6	11	—	5	21	1	—	3	6	5	49	April
8.3	8.1	6.9	7.8	75	16	18	16	13	5	—	—	5	—	16	3	1	9	1	—	4	15	6	54	Mai
5.1	6.1	6.6	5.9	57	18	30	12	8	—	—	1	3	5	11	—	5	9	3	—	9	6	5	53	Juni
5.4	5.4	4.7	5.2	81	21	21	13	10	—	—	1	1	6	5	—	2	14	1	—	7	3	1	65	Juli
4.7	4.9	4.2	4.6	78	26	5	10	9	—	—	1	5	7	6	—	3	7	—	—	6	1	2	74	August
5.4	4.2	3.5	4.4	55	25	4	7	4	—	—	—	6	9	2	1	6	4	2	—	2	3	—	72	September
7.9	7.0	6.5	7.1	151	26	28	23	19	9	—	—	2	—	13	—	11	4	—	—	6	7	9	56	Oktober
7.2	6.3	5.4	6.3	162	37	19	14	13	6	—	—	1	3	11	—	14	9	—	—	1	15	6	45	November
6.0	5.4	4.1	5.2	42	14	4	12	6	11	—	—	4	9	8	2	1	17	—	—	—	6	11	56	Dezember
6.1	5.9	5.1	5.7	986	37	XI	150	119	67	—	3	36	62	107	8	80	107	9	—	42	107	64	678	Jahr

Reckingen

$\lambda = 8°\,14'$, $\beta = 46°\,28'$, $H_b = 1332.4^m$, $G = -0.19\,{}^m/_m$, $h_r = 1.6^m$

1939	Luftdruck					Luft-Temperatur								Relative Feuchtigkeit					
	Mittel	Minimum	Tag	Maximum	Tag	7^{30}	13^{30}	21^{30}	Mittel	Minimum	Tag	Maximum	Tag	7^{30}	13^{30}	21^{30}	Mittel	Minimum	Tag
Januar	644.9	632.9	27	655.0	8	−6.0	−0.2	−5.2	−4.2	−16.6	7. 27	4.4	18	89	66	84	80	46	6
Februar	651.1	641.9	23	659.8	8	−7.9	2.6	−3.9	−3.3	−15.6	3	7.4	25	81	48	69	66	37	5. 8
März	644.8	635.0	24.25	655.2	6	−7.6	−0.9	−4.5	−4.4	−17.2	12	6.6	3	84	56	75	72	31	30
April	647.0	640.0	25	655.5	13	2.0	9.2	3.0	4.3	−0.6	18	15.4	13	83	48	75	68	26	21
Mai	645.7	638.9	6	652.2	23	4.6	10.1	4.6	6.0	0.9	14	17.4	27.30	81	51	77	70	32	6
Juni	649.7	642.0	13	655.6	28	10.8	17.8	10.6	12.5	3.4	15	24.8	29	70	40	67	59	23	9
Juli	651.1	644.1	24	656.3	8	11.3	18.6	11.3	13.1	0.8	25	24.2	8	75	43	72	63	27	29
August	651.1	646.3	5	655.4	1	12.0	18.7	12.0	13.7	4.8	6	23.6	19	84	47	79	70	32	18
September	649.9	643.3	30	656.3	8	5.8	15.9	7.7	9.3	−1.9	30	23.4	3	92	45	79	72	27	30
Oktober	645.7	633.0	27	652.9	17	2.6	7.5	3.6	4.3	−11.6	30	15.2	1, 18	90	61	87	79	37	1
November	649.9	641.2	5	658.2	30	−1.7	4.7	−0.3	0.6	−17.0	23	13.4	11	93	64	86	81	38	8
Dezember	646.4	634.8	5	658.4	1	−7.1	−1.3	−5.7	−4.9	−20.0	30	4.8	2	84	64	78	75	42	31
Jahr	648.1	632.9	I	659.8	II	1.6	8.6	2.8	3.9	−20.0	XII	24.8	VI	84	53	77	71	23	VI

Graubünden

Chur

$\lambda = 9°\,32'$, $\beta = 46°\,51'$, $H_b = 609.9^m$, $G = -0.10\,{}^m/_m$, $h_r = 1.7^m$

Januar	704.8	692.7	27	717.5	7	1.0	4.6	1.2	2.0	−5.1	7	14.2	17	72	60	71	68	42	16
Februar	712.1	699.5	24	722.7	11	−1.0	5.6	1.1	1.7	−7.7	3	13.5	24	75	63	68	69	32	22. 23
März	706.1	694.9	23	717.0	13	−0.6	4.7	0.8	1.4	−6.8	19	14.4	31	69	57	63	63	30	30.31
April	706.9	698.6	25	716.1	20	7.4	15.2	9.5	10.4	2.4	20	22.2	11.13	77	71	73	74	29	2
Mai	705.3	695.9	6	714.4	23	8.1	12.8	9.2	9.8	3.5	14	18.4	2	84	63	78	75	43	3
Juni	708.2	698.9	24	715.6	27	13.8	20.5	15.4	16.3	7.4	13	27.1	29	74	55	69	66	33	29
Juli	709.9	702.9	24	715.2	13	13.9	20.8	15.6	16.5	7.6	25	29.2	30	77	56	69	67	45	28
August	708.5	702.9	20	714.5	1	14.6	21.4	16.8	17.4	10.9	6	24.6	31	79	55	71	68	48	8.9.15
September	707.8	700.9	14	714.5	7	11.0	17.1	12.5	13.3	4.2	30	24.9	3	85	60	80	75	48	29
Oktober	705.3	693.5	27	712.3	24	6.8	11.4	7.8	8.5	−1.4	30	21.3	15	81	62	73	72	49	9.12 14. 24
November	709.9	700.4	4	717.7	30	3.9	8.8	5.0	5.7	−5.3	23	17.4	8	77	60	76	71	42	3
Dezember	707.5	694.2	5	718.0	1	−1.9	0.8	−1.7	−1.1	−15.0	30	8.1	1	75	68	76	73	43	4
Jahr	707.7	692.7	I	722.7	II	6.4	12.0	7.8	8.5	−15.0	XII	29.2	VII	77	61	72	70	29	IV

Platta-Medels

$\lambda = 8°\,51'$, $\beta = 46°\,39'$, $H_b = 1378^m$, $G = -0.21\,{}^m/_m$, $h_r = 1.2^m$

Januar	641.9	629.0	27	652.4	8	−2.4	2.2	−1.5	−0.8	−11.6	7	10.0	9	69	53	67	63	28	9
Februar	648.2	638.0	24	657.8	10.11	−3.1	4.8	−1.5	−0.3	−11.0	15	12.4	6. 7	66	49	65	60	30	3.4.6
März	642.0	631.2	23	652.0	5	−5.3	1.2	−4.2	−3.1	−13.0	19	10.0	4. 7	75	52	78	68	28	30
April	645.0	636.6	25	653.3	13	3.1	9.8	4.5	5.5	−2.4	20	17.4	12	75	51	72	66	30	10.21
Mai	643.4	635.2	5	651.3	23	3.9	8.8	4.2	5.3	0.4	12.14	17.0	27	77	58	85	73	35	24
Juni	647.4	639.8	12	653.8	27	10.0	16.1	10.5	11.8	3.2	14	23.0	9	72	51	71	65	35	1.6 9. 28
Juli	649.0	640.7	24	653.4	8	10.8	17.1	11.4	12.7	3.8	25	22.8	8	73	42	77	64	34	11
August	648.7	642.7	5	652.9	1	11.1	18.2	12.3	13.5	7.0	16	23.4	19	79	52	79	70	35	19
September	647.1	639.6	30	653.7	7	7.2	14.2	8.5	9.6	1.0	30	24.0	10	82	52	83	72	33	30
Oktober	643.1	630.2	27	650.2	17	3.7	7.2	3.9	4.7	−5.8	28.30	14.4	17.18	77	60	79	72	40	30
November	647.0	638.5	5	654.3	30	1.3	6.2	2.1	2.9	−12.6	22	15.0	13	74	57	74	68	35	13.16
Dezember	643.5	631.3	5	654.5	1	−4.6	0.3	−3.5	−2.8	−18.4	30	11.2	1	74	56	70	67	33	23
Jahr	645.5	629.0	I	657.8	II	3.0	8.8	3.9	4.9	−18.4	XII	24.0	IX	74	53	75	67	28	I/III

Arosa

$\lambda = 9°\,41'$, $\beta = 46°\,47'$, $H_b = 1865^m$, $G = -0.24\,{}^m/_m$, $h_r = 1.6^m$

Januar	603.2	590.4	27	613.5	8	−4.2	−1.0	−3.9	−3.2	−12.8	7	8.0	9	71	60	65	65	22	9
Februar	609.7	599.4	23	619.3	11	−3.3	1.8	−2.9	−1.8	−12.4	14	8.1	7	56	46	56	53	22	5
März	603.1	592.8	23	613.9	6	−7.9	−3.7	−7.3	−6.5	−14.6	19	7.2	6	78	67	78	74	30	30
April	607.0	599.0	25	615.0	12.13	1.2	6.1	1.7	2.7	−5.1	18	11.8	13	72	55	72	66	30	21
Mai	605.5	598.9	6	613.3	23	1.0	4.5	1.1	1.9	−1.6	1	10.8	31	88	78	88	85	40	3
Juni	610.3	602.3	12	615.7	6	7.8	12.6	7.3	8.8	−0.8	14	22.4	29	77	62	83	74	29	28
Juli	611.9	603.6	24	616.3	8	8.4	13.7	8.3	9.7	0.2	25	22.1	30	77	57	76	70	29	29
August	611.7	606.7	6	615.6	1. 10	9.1	14.7	9.1	10.5	4.8	6	19.6	11	83	60	83	75	36	15
September	610.0	603.0	15	616.2	7	5.3	10.7	5.6	6.8	−0.6	28	20.1	10	83	65	86	78	31	30
Oktober	605.4	591.9	27	613.7	17	1.0	4.5	1.2	2.0	−10.4	26	14.6	18	80	69	78	76	34	18
November	608.9	601.4	4	616.8	30	−0.2	3.9	−0.3	0.8	−13.2	21	13.8	8	71	57	69	66	17	24
Dezember	604.7	593.5	5	616.2	1	−6.0	−2.5	−6.0	−5.1	−19.6	30	9.0	1	69	58	66	64	28	8
Jahr	607.6	590.4	I	619.3	II	1.0	5.4	1.2	2.2	−19.6	XII	22.4	VI	75	61	75	70	17	XI

Beobachter: **J. Stucky**

Reckingen

Bewölkung				Niederschlag			Zahl der Tage								Windverteilung								1939
7^{10}	13^{40}	21^{30}	Mittel	Summe	Maximum	Tag	☀	≧1.0	✳	▲	K	≡	heiter	trüb	N	NE	E	SE	S	SW	W	NW	Calmen	
6.0	6.9	5.5	6.1	93	25	12	11	9	11	—	—	—	3	9	—	1	1	10	1	—	—	16	64	Januar
3.6	4.1	4.0	3.9	25	15	24	8	3	7	—	—	—	11	7	—	15	—	3	—	2	—	9	55	Februar
6.8	7.3	5.8	6.6	132	21	14	17	16	17	—	—	2	4	14	—	23	—	1	—	—	—	22	47	März
6.4	6.8	6.4	6.5	119	63	26	10	10	7	—	—	—	6	14	—	7	—	5	—	2	—	10	66	April
8.0	8.5	7.5	8.0	138	42	18	17	15	5	—	—	—	1	19	—	15	—	1	—	1	—	9	67	Mai
4.7	6.1	5.3	5.4	53	18	30	10	9	—	—	—	—	7	6	—	24	—	4	1	5	—	4	52	Juni
6.1	6.2	4.8	5.7	117	20	25	16	13	—	1	2	1	5	8	—	16	—	2	—	18	—	2	55	Juli
6.8	6.6	5.8	6.4	130	78	5	12	9	—	—	—	—	1	10	—	4	—	1	5	1	—	11	71	August
5.4	5.5	4.8	5.2	58	32	4	7	5	—	—	—	—	5	9	1	9	—	—	—	3	—	7	70	September
9.2	8.8	7.5	8.5	138	25	6	25	18	10	1	—	—	—	20	—	5	—	—	1	10	—	26	51	Oktober
6.6	6.8	5.7	6.4	210	73	17	16	15	7	—	—	—	3	11	—	9	1	2	—	3	—	14	61	November
6.0	6.0	5.5	5.8	20	5	4	12	7	12	—	—	1	8	14	—	15	2	1	3	7	—	9	56	Dezember
6.3	6.6	5.8	6.2	1233	78	VIII	161	129	76	2	2	4	54	141	1	143	4	30	11	52	—	139	715	Jahr

Graubünden

Chur

Beobachter: **Frl. M. Defila**

7.6	6.6	5.9	6.7	38	15	12	9	7	6	—	—	—	2	10	—	—	—	—	—	—	—	—	—	Januar
5.1	3.5	4.7	4.4	16	7	10	6	4	3	—	—	—	9	6	—	—	—	—	—	—	—	—	—	Februar
7.8	6.7	8.0	7.5	95	23	14	13	11	10	—	—	—	2	19	—	—	—	—	—	—	—	—	—	März
6.3	6.3	6.2	6.3	27	10	27	11	9	—	—	—	—	6	13	—	—	—	—	—	—	—	—	—	April
8.3	8.5	8.9	8.6	117	17	28	19	17	—	—	1	—	—	23	—	—	—	—	—	—	—	—	—	Mai
5.2	5.8	7.1	6.0	81	29	12	10	8	—	—	2	—	6	12	—	—	—	—	—	—	—	—	—	Juni
5.2	5.8	6.5	5.8	159	35	1	14	14	—	—	2	—	5	10	—	—	—	—	—	—	—	—	—	Juli
5.9	6.5	6.3	6.2	85	26	4	11	8	—	—	—	—	2	8	—	—	—	—	—	—	—	—	—	August
6.8	5.5	6.8	6.4	70	36	4	10	8	—	—	—	—	5	14	—	—	—	—	—	—	—	—	—	September
9.1	8.1	7.7	8.3	102	23	19	17	14	1	—	—	—	—	21	—	—	—	—	—	—	—	—	—	Oktober
6.7	6.3	6.4	6.5	143	61	17	13	11	—	—	—	—	4	11	—	—	—	—	—	—	—	—	—	November
6.8	5.7	6.2	6.2	30	6	10	11	9	4	—	—	—	5	13	—	—	—	—	—	—	—	—	—	Dezember
6.7	6.3	6.7	6.6	963	61	XI	144	120	24	—	5	—	46	160	—	—	—	—	—	—	—	—	—	Jahr

Platta-Medels

Beobachter: **G. Riedi**

7.9	6.7	6.4	7.0	92	25	18	13	9	11	—	—	4	2	16	—	1	—	5	33	8	2	—	44	Januar
4.5	4.8	3.7	4.3	14	5	24	8	5	8	—	—	4	12	9	—	4	1	2	15	1	3	—	58	Februar
7.9	7.5	6.7	7.4	130	31	15	19	14	18	—	—	6	2	17	6	6	12	1	12	—	1	—	55	März
6.8	6.8	6.9	6.8	175	53	26	13	12	8	—	—	6	6	16	2	1	2	3	22	8	1	—	51	April
9.0	9.0	8.9	9.0	143	26	18	24	21	9	—	1	14	—	24	2	1	2	4	7	1	1	—	75	Mai
5.5	6.4	6.2	6.0	186	41	30	12	11	—	—	1	4	4	11	1	5	4	3	26	3	—	—	48	Juni
6.5	6.8	7.3	6.9	238	46	22	18	16	—	—	8	10	4	12	2	1	3	1	25	2	1	—	58	Juli
7.6	7.3	6.6	7.2	186	104	5	8	7	—	—	1	7	1	15	—	7	4	—	15	6	—	—	61	August
5.9	6.1	7.1	6.4	83	27	4	14	11	1	—	—	14	5	13	—	2	3	—	17	—	—	—	68	September
9.5	8.9	8.3	8.9	142	31	6	18	17	17	—	—	11	—	25	—	12	3	2	22	5	—	—	49	Oktober
6.9	7.1	6.0	6.7	176	59	17	13	13	7	—	—	7	3	13	—	6	3	5	29	2	—	—	45	November
6.4	6.0	5.9	6.1	39	8	5	12	11	12	—	—	8	6	12	2	3	2	—	17	5	1	—	63	Dezember
7.0	7.0	6.7	6.9	1604	104	VIII	172	147	91	—	11	95	45	183	15	49	39	26	240	41	10	—	675	Jahr

Arosa

Beobachter: **Lichtklimatisches Observatorium**

7.7	7.0	6.2	7.0	60	12	12	13	11	13	—	—	1	2	12	—	—	2	7	—	8	4	5	67	Januar
4.8	4.3	4.7	4.6	33	15	10	10	7	10	—	—	1	10	8	—	—	1	2	—	3	9	4	65	Februar
8.0	7.9	7.7	7.9	121	23	15	20	13	19	—	—	4	1	21	—	—	3	2	—	3	8	7	70	März
6.3	6.4	5.8	6.2	53	11	27	13	12	11	—	—	4	4	9	—	—	3	10	—	6	11	2	58	April
8.5	9.1	9.2	8.9	180	24	16	24	22	19	—	2	20	—	24	—	—	7	6	1	1	2	—	76	Mai
5.8	7.2	6.8	6.6	129	37	12	16	12	3	1	3	7	4	13	—	1	14	3	—	2	7	4	59	Juni
5.8	6.7	6.3	6.3	233	45	22	16	14	2	—	9	7	5	11	—	1	7	9	4	6	3	1	62	Juli
6.3	6.7	7.0	6.7	113	33	4	10	9	—	—	3	8	2	14	—	2	5	9	1	—	1	4	71	August
6.6	6.1	6.8	6.5	123	44	4	14	14	1	—	—	10	6	15	—	—	6	9	—	2	—	—	73	September
9.7	8.2	8.0	8.6	168	32	19	20	16	12	—	1	7	—	21	—	2	4	7	—	4	6	1	69	Oktober
7.1	6.6	5.9	6.5	166	58	17	13	11	11	—	—	—	3	13	—	—	1	4	—	3	9	3	70	November
5.4	5.8	6.2	5.8	57	14	6	14	11	14	—	—	2	7	10	—	—	1	1	—	2	9	9	71	Dezember
6.8	6.8	6.7	6.8	1436	58	XI	183	152	115	1	18	71	44	180	—	6	54	69	6	40	69	40	811	Jahr

Davos-Platz

$\lambda = 9°49'$, $\beta = 46°48'$, $H_b = 1560.7^m$, $G = -0.21$ ‰, $h_r = 9.5^m$

1939	Luftdruck					Luft-Temperatur								Relative Feuchtigkeit					
	Mittel	Minimum	Tag	Maximum	Tag	7^{30}	13^{30}	21^{30}	Mittel	Minimum	Tag	Maximum	Tag	7^{30}	13^{30}	21^{30}	Mittel	Minimum	Tag
Januar	626.8	612.8	27	637.7	8	−5.5	−0.3	−5.3	−4.1	−15.2	7	8.0	18	88	67	86	80	47	18
Februar	633.4	623.2	23	643.4	10	−7.1	1.5	−4.3	−3.6	−15.4	15	7.4	24	82	54	76	71	33	15
März	626.9	616.4	23	636.9	5	−7.8	−1.5	−6.0	−5.3	−17.2	19	8.6	6	87	60	86	78	33	30
April	630.1	622.2	25	638.5	12	2.1	8.6	2.6	4.0	−3.4	1	14.2	14	82	51	83	72	32	21
Mai	628.6	621.6	5. 6	636.4	23	3.5	7.5	3.5	4.5	1.0	8	13.6	31	84	63	87	78	38	7
Juni	632.9	625.0	12	639.0	27	10.8	15.0	9.5	11.2	1.4	12	21.9	29	72	52	84	69	27	28
Juli	634.4	626.2	23	638.9	8	11.4	15.7	9.9	11.7	2.1	25	23.4	21	72	52	80	68	27	4
August	634.4	628.8	5	638.3	1. 10. 11	10.7	16.3	10.7	12.1	6.0	6	21.6	31	80	54	85	73	36	18
September	632.8	625.7	15	639.2	7	6.0	12.1	6.8	7.9	−1.1	30	18.8	10	88	59	89	79	28	30
Oktober	628.5	614.6	27	636.4	17	1.6	6.2	1.9	2.9	−9.1	28	16.1	15	88	65	87	80	42	15. 31
November	632.2	623.9	5	640.0	30	−2.0	4.2	−1.1	0.0	−15.6	23	12.6	9	88	63	86	79	38	8
Dezember	628.4	616.7	5	639.8	1	−9.0	−3.2	−7.3	−6.7	−25.6	30	4.0	2	82	66	79	76	43	4
Jahr	630.8	612.8	I	643.4	II	1.2	6.8	1.7	2.9	−25.6	XII	23.4	VII	83	59	84	75	27	VI/VII

Schatzalp (ob Davos)

$\lambda = 9°49'$, $\beta = 46°48'$, $H_b = 1868.3^m$, $G = —$ ‰, $h_r = 1.5^m$

Januar	—	—	—	—	—	−4.4	−0.4	−4.2	−3.3	−12.8	7	6.5	18	84	71	79	78	30	9
Februar	—	—	—	—	—	−3.6	2.1	−2.9	−1.8	−12.6	14	8.3	7	67	54	70	64	30	5. 15
März	—	—	—	—	—	−7.0	−3.1	−7.3	−6.2	−14.5	13	7.1	4	87	74	90	84	35	30
April	—	—	—	—	—	1.6	7.0	1.7	3.0	−4.5	19	12.6	14	76	60	89	75	37	21
Mai	—	—	—	—	—	1.7	6.3	1.5	2.8	−1.1	1	11.4	18	88	78	94	87	44	7
Juni	—	—	—	—	—	8.2	13.6	8.0	9.5	−0.2	13. 14	22.0	29	78	63	92	78	35	28
Juli	—	—	—	—	—	8.7	14.8	8.8	10.3	1.0	25	22.7	30	79	62	86	76	36	29
August	—	—	—	—	—	9.3	15.0	9.5	10.8	5.4	16	20.0	31	82	67	93	81	40	31
September	—	—	—	—	—	*5.5	*11.0	*6.0	*7.1	?	—	?	—	*82	*70	*90	*81	?	—
Oktober	—	—	—	—	—	1.5	5.2	1.0	2.2	−10.0	26. 28	14.5	15	83	72	90	81	49	27
November	—	—	—	—	—	−0.2	4.1	−0.2	0.9	−13.0	22	12.2	8. 9	80	67	82	76	32	24
Dezember	—	—	—	—	—	−6.4	−1.7	−6.0	−5.0	−20.6	30	8.8	2	77	64	75	72	30	23
Jahr	—	—	—	—	—	1.2	6.2	1.3	2.5	−20.6	XII	22.7	VII	80	67	86	78	30	I/II/XII

Schuls

$\lambda = 10°18'$, $\beta = 46°48'$, $H_b = 1253.2^m$, $G = -0.17$ ‰, $h_r = 1.5^m$

Januar	651.4	638.0	27	661.7	8	−6.2	0.8	−5.0	−3.8	−13.8	5	5.8	18. 20	87	53	83	74	36	29
Februar	657.7	648.0	23	667.2	11	−5.8	3.8	−2.8	−1.9	−13.0	15	10.2	25	71	39	62	57	23	14
März	650.9	639.6	23	661.0	3	−5.9	2.9	−4.1	−2.8	−15.0	18	11.4	30	80	38	75	64	17	30
April	653.4	644.9	25	662.4	13	4.2	13.3	5.2	7.0	0.2	23	19.6	12	77	35	60	59	15	16
Mai	651.4	643.9	6	659.3	23	6.4	12.3	5.7	7.5	2.4	16	20.2	27	76	41	78	65	24	14
Juni	655.4	647.4	12. 24	662.6	27	11.9	20.5	11.4	13.8	4.4	14	28.2	8. 30	68	36	73	59	18	28
Juli	656.9	649.4	16	661.8	4	12.2	21.0	11.7	14.2	5.0	25	27.6	8	76	36	73	62	19	5
August	656.3	651.4	6	660.9	11	12.2	20.9	12.3	14.4	6.8	16	25.0	12. 14	82	38	85	68	24	11
September	654.9	648.3	30	661.1	7	7.4	16.3	8.3	10.1	−2.4	30	24.2	3	94	43	91	76	19	26
Oktober	651.3	638.7	27	659.2	17	2.5	9.0	3.4	4.6	−9.4	30	17.4	15	95	59	93	82	25	9
November	655.4	646.9	5	662.5	30	−1.8	5.2	−0.3	0.7	−13.8	23	10.8	10	92	57	88	79	33	16
Dezember	652.1	639.5	6	661.8	1	−8.1	−2.2	−6.8	−6.0	−21.2	30	5.2	2	83	57	81	74	35	31
Jahr	653.9	638.0	I	667.2	II	2.4	10.3	3.3	4.8	−21.2	XII	28.2	VI	82	44	79	68	15	IV

Buffalora (Ofenpass)

$\lambda = 10°16'$, $\beta = 46°38'$, $H_b = $ ca. 1977^m, $G = —$ ‰, $h_r = 1.5^m$

Januar	—	—	—	—	—	−10.4	−1.8	−10.9	−8.5	−22.0	28	4.4	18	93	57	89	80	30	10
Februar	—	—	—	—	—	−12.8	0.5	−9.4	−7.8	−23.0	15	8.0	7	91	43	81	72	21	11
März	—	—	—	—	—	−12.5	−2.8	−10.9	−9.3	−21.0	17. 19	8.2	6	84	46	79	70	25	30
April	—	—	—	—	—	−0.6	6.7	−0.9	1.1	−6.0	18	12.0	13	85	47	88	73	25	10. 17
Mai	—	—	—	—	—	1.4	7.3	1.4	2.9	−4.0	1	13.8	26	81	55	87	74	30	24
Juni	—	—	—	—	—	6.6	13.5	5.9	8.0	0.0	12. 13. 14	25.0	29	78	46	85	70	30	1. 5. 6. 7. 30
Juli	—	—	—	—	—	7.0	14.9	7.2	9.1	−1.0	25	21.2	31	82	47	79	69	30	4
August	—	—	—	—	—	7.4	14.8	7.9	9.5	2.6	8	24.0	11	86	46	87	73	26	10
September	—	—	—	—	—	4.5	11.3	4.2	6.0	−2.0	26. 29	22.5	10	88	53	93	78	22	26
Oktober	—	—	—	—	—	−1.0	3.6	−1.0	0.1	−15.8	28	12.4	15	93	62	92	82	30	30
November	—	—	—	—	—	−6.1	3.1	−5.2	−3.4	−21.8	23	11.2	3	91	56	90	79	30	15. 24
Dezember	—	—	—	—	—	−14.2	−4.6	−12.0	−10.7	−32.2	30	4.0	1	88	58	84	77	30	1
Jahr	—	—	—	—	—	−2.6	5.5	−2.0	−0.3	−32.2	XII	25.0	VI	87	51	86	75	21	II

Beobachter: **Kurverein**

Davos-Platz

Bewölkung				Niederschlag			Zahl der Tage								Windverteilung								1939
7^{30}	13^{30}	21^{30}	Mittel	Summe	Maximum	Tag	❄	≧10	✳	▲	R_x	≡	heiter	trüb	N	NE	E	SE	S	SW	W	NW	Calmen	
7.5	6.8	5.3	6.5	49	10	2	14	11	14	—	—	—	2	9	2	6	3	—	1	10	2	—	69	Januar
4.4	4.1	4.1	4.2	23	11	10	5	5	5	—	—	—	11	6	—	9	2	2	2	1	—	—	68	Februar
7.9	7.3	7.8	7.7	142	31	15	17	11	17	—	—	—	2	21	—	9	4	4	—	4	—	—	72	März
6.4	6.6	5.7	6.2	33	12	29	9	7	7	—	—	3	5	13	1	13	6	7	—	15	1	—	47	April
8.7	8.9	9.0	8.9	129	25	16	18	17	11	—	2	1	—	23	1	21	2	4	1	3	—	—	61	Mai
6.6	7.4	7.3	7.1	68	18	12	12	9	2	1	2	—	3	13	—	12	1	3	—	3	—	—	71	Juni
5.8	6.9	6.3	6.3	204	47	22	15	14	2	—	2	—	5	10	—	12	3	3	2	9	—	—	64	Juli
6.7	7.6	6.7	7.0	84	28	4	15	9	—	—	3	—	1	12	—	17	2	3	—	1	—	—	70	August
6.5	6.2	6.0	6.2	90	28	4	15	13	2	—	2	1	6	12	—	12	5	4	1	2	1	—	65	September
9.0	8.5	7.2	8.2	117	37	19	20	17	8	—	—	—	—	23	—	12	3	2	—	4	2	—	70	Oktober
6.7	7.0	6.3	6.7	199	79	17	14	10	12	—	—	1	1	12	—	2	2	1	2	8	—	—	75	November
5.4	5.5	6.4	5.8	43	13	10	13	12	13	—	—	1	4	10	—	2	2	—	—	—	—	—	89	Dezember
6.8	6.9	6.5	6.7	1181	79	XI	167	135	93	1	11	7	40	164	4	127	35	33	9	60	6	—	821	Jahr

Beobachter: **Sanatorium**

Schatzalp (ob Davos)

7.9	7.4	5.5	6.9	50	?	—	11	11	11	—	—	—	2	15	1	1	3	1	—	5	13	10	59	Januar
4.9	4.3	3.5	4.2	19	10	9	6	6	6	—	—	—	12	7	—	1	5	4	—	6	—	6	62	Februar
7.9	7.4	6.8	7.4	153	32	14	18	13	18	—	—	—	3	18	1	10	14	2	—	1	2	2	61	März
6.2	7.1	5.4	6.2	38	14	28	8	8	7	—	—	5	6	12	5	3	6	5	5	9	2	2	53	April
8.5	9.0	8.8	8.8	125	22	16	22	21	17	—	—	16	—	23	1	4	8	—	—	1	5	6	68	Mai
5.8	7.0	6.8	6.5	72	17	24	13	10	2	—	1	6	5	14	—	1	2	6	—	3	4	5	69	Juni
5.5	6.8	6.3	6.2	198	47	22	16	15	6	—	—	3	5	13	—	1	10	1	—	7	5	6	63	Juli
6.2	7.4	5.7	6.4	76	26	4	12	9	1	—	—	5	2	11	—	—	6	3	—	1	8	2	73	August
*6.5	*6.2	*6.0	*6.2	*90	?	—	*15	*13	*2	—	—	*5	*6	*12	—	—	—	—	—	—	—	—	—	September
9.0	8.7	7.7	8.5	142	33	19	22	20	11	—	—	4	1	13	1	2	5	1	—	3	6	4	71	Oktober
7.1	6.6	5.7	6.5	186	?	—	14	11	14	—	—	1	4	12	1	2	3	5	1	8	16	1	53	November
5.7	5.6	5.0	5.4	51	?	—	12	10	12	—	—	2	5	7	5	1	2	—	—	1	5	3	76	Dezember
6.8	7.0	6.1	6.6	1200	?	—	169	147	107	—	1	47	51	167	—	—	—	—	—	—	—	—	—	Jahr

Beobachter: **J. Stocker**

Schuls

7.4	6.4	4.5	6.1	38	14	12	6	5	5	—	—	3	3	10	—	—	—	—	—	—	2	—	91	Januar
4.1	3.7	3.1	3.6	2	2	19	2	1	2	—	—	1	13	5	—	2	1	—	—	2	3	1	75	Februar
7.1	6.9	5.6	6.5	45	10	8	12	10	12	—	—	2	4	15	—	3	2	1	—	6	5	1	75	März
6.0	5.7	4.3	5.3	50	18	29	5	5	—	—	—	—	6	8	—	4	2	1	1	15	2	3	62	April
8.8	8.5	8.5	8.6	62	14	16	18	11	1	—	—	1	—	21	—	2	8	—	2	5	1	—	75	Mai
5.6	6.6	6.9	6.4	68	29	12	12	7	—	—	1	1	5	14	—	—	2	1	2	3	—	—	82	Juni
5.2	5.6	4.9	5.2	150	36	1	16	14	—	—	3	2	7	10	—	1	4	2	—	5	2	1	78	Juli
6.0	6.3	6.3	6.2	66	23	5	9	9	—	—	1	1	3	11	—	1	9	1	—	3	1	—	78	August
6.3	5.6	5.5	5.8	65	24	4	12	11	—	—	—	6	6	10	—	—	1	—	1	3	2	—	83	September
8.9	7.8	6.9	7.9	86	16	6. 19	19	14	5	—	—	7	1	19	—	—	3	—	—	—	—	—	90	Oktober
6.8	5.9	5.6	6.1	162	65	17	10	9	5	—	—	5	2	7	—	—	—	—	—	3	2	—	85	November
5.4	5.4	4.2	5.0	17	8	10	4	4	4	—	—	2	6	6	—	—	—	—	—	1	3	—	89	Dezember
6.5	6.2	5.5	6.1	811	65	XI	125	100	34	—	5	31	56	136	—	13	32	6	6	46	23	6	963	Jahr

Beobachter: **Ch. Waldburger**

Buffalora (Ofenpass)

6.8	5.8	5.3	6.0	32	10	2	7	6	7	—	—	—	7	12	15	1	11	14	3	—	27	2	20	Januar
3.1	3.5	2.9	3.2	6	2	28.19	4	3	4	—	—	—	13	4	2	3	20	5	—	2	21	—	31	Februar
5.6	6.5	4.1	5.4	50	14	15	10	10	10	—	—	—	7	9	9	4	7	8	3	—	36	6	20	März
5.2	5.5	4.4	5.0	46	20	27	4	3	3	—	—	—	9	10	1	3	9	6	5	4	23	1	38	April
8.6	8.1	7.2	8.0	46	19	16	11	10	11	—	—	—	—	16	4	3	23	9	1	1	33	7	12	Mai
4.5	5.6	5.8	5.3	139	29	12	13	12	2	—	—	—	6	9	—	2	8	5	1	4	36	2	32	Juni
4.1	5.3	5.0	4.8	157	45	22	10	10	2	—	—	—	7	6	1	2	11	13	1	5	39	3	18	Juli
4.6	6.8	6.2	5.9	119	32	5	11	11	—	—	—	—	3	9	1	2	12	7	2	3	32	5	29	August
5.2	5.6	4.9	5.2	102	33	12	10	10	1	—	—	—	7	7	—	9	7	1	1	10	29	3	30	September
8.3	7.5	7.1	7.6	128	22	16	18	17	8	—	—	—	1	18	1	5	4	19	—	—	39	12	13	Oktober
5.4	5.6	5.0	5.3	124	34	4	9	9	8	—	—	—	6	10	5	9	3	16	2	3	11	17	24	November
5.4	5.3	4.2	5.0	22	6	16	9	8	9	—	—	—	6	8	7	9	7	25	2	5	8	17	13	Dezember
5.6	5.9	5.2	5.6	974	45	VII	116	109	65	—	—	—	72	118	46	52	122	128	21	37	334	75	280	Jahr

Sta. Maria

$\lambda = 10° 25'$, $\beta = 46° 36'$, $H_b = 1411^m$, $G = -0.21\ ^m/_m$, $h_r = 1.5^m$

1939	Luftdruck					Luft-Temperatur								Relative Feuchtigkeit					
	Mittel	Minimum	Tag	Maximum	Tag	7^{30}	13^{30}	21^{30}	Mittel	Minimum	Tag	Maximum	Tag	7^{30}	13^{30}	21^{30}	Mittel	Minimum	Tag
Januar	638.9	624.8	27	647.2	8	-4.4	-0.8	-4.0	-3.3	-12.0	7	5.6	9	70	52	66	63	25	9
Februar	644.9	636.1	22	653.4	8	-2.8	3.2	-1.3	-0.6	-8.8	15	9.4	11	54	41	52	49	24	5
März	638.0	626.6	23	647.7	5. 6	-3.9	1.0	-3.5	-2.5	-11.4	18	7.6	31	54	38	56	49	22	30
April	641.6	633.6	24	649.5	12	4.9	11.1	5.4	6.7	0.4	19	17.0	12.13	66	41	62	56	21	16
Mai	639.6	631.8	5	646.7	27	7.2	11.0	5.9	7.5	3.4	8	16.8	27	61	47	76	61	26	15
Juni	644.1	635.9	12	650.8	7	12.3	17.3	11.9	13.3	6.2	14	23.4	30	50	47	69	55	27	5
Juli	645.7	638.7	24	650.3	4. 8	12.6	17.9	12.2	13.7	6.6	25	22.8	19	47	50	73	57	26	11
August	645.5	640.5	6	649.4	11	12.5	17.7	12.7	13.9	8.4	7	21.6	1. 12	68	53	79	67	30	15
September	643.9	636.6	15	650.0	7	8.2	13.8	8.4	9.7	-0.8	30	21.4	3	75	51	80	69	33	30
Oktober	639 9	626.3	27	647.7	18	3.1	7.4	3.7	4.5	-7.2	28	13.8	10	75	55	75	68	28	26
November	643.7	635.4	5	650.1	30	0.0	4.1	0.8	1.4	-9.4	24	9.4	12.30	69	53	65	62	31	26
Dezember	640.0	627.6	6	650.3	1	-5.1	-1.9	-4.2	-3.9	-15.6	30	8.4	1	61	49	60	57	25	30
Jahr	642.2	624.8	I	653.4	I	3.7	8.5	4.0	5.0	-15.6	XII	23.4	VI	62	48	68	59	21	IV

Bevers

$\lambda = 9° 53'$, $\beta = 46° 33'$, $H_b = $ ca. 1711^m, $G = -0.23\ ^m/_m$, $h_r = 1.4^m$

Januar	615.9	602.5	27	626.8	8	-7.8	-2.2	-7.7	-6.4	-18.1	4	4.2	16.18	87	65	85	79	39	6
Februar	621.9	613.2	22.23	630.9	11	-10.1	-0.5	-6.6	-6.0	-18.7	15	4.9	12	82	55	74	70	39	5
März	614.8	604.6	23	625.0	5	-9.8	-1.1	-7.0	-6.2	-19.8	19	9.0	7	82	51	78	70	36	30
April	618.8	611.5	25	626.9	12.13	1.2	7.8	1.7	3.1	-4.0	20	13.3	13	81	54	84	73	25	21
Mai	617.0	610.0	5	624.0	23	3.6	8.7	3.0	4.6	-0.4	3	13.6	26	79	56	84	73	36	20
Juni	621.7	613.1	13	627.6	6	9.0	15.0	7.4	9.7	1.3	28	23.0	29	72	52	88	71	32	29
Juli	623.4	615.5	24	627.9	4	9.4	16.6	9.0	11.0	2.8	2	24.2	7	80	51	85	72	37	15.26
August	623.3	618.1	5	627.3	11	9.8	16.8	9.7	11.5	2.2	16	22.0	15	83	48	88	73	30	10
September	621.6	613.8	15	627.9	8	5.0	12.2	6.2	7.4	-5.1	30	19.6	7. 9	93	56	90	80	31	7
Oktober	617.3	603.8	27	626.1	17	0.8	5.7	1.5	2.4	-14.1	30	12.1	17	90	62	84	79	38	11
November	621.1	612.7	5	627.9	30	-4.0	2.7	-2.5	-1.6	-19.7	23	10.2	12	91	63	86	86	38	12.26
Dezember	617.1	605.2	6	628.0	1	-11.5	-4.8	-9.5	-8.8	-28.1	30	5.8	1	88	65	83	79	40	31
Jahr	619.5	602.5	I	630.9	II	-0.4	6.4	0.4	1.7	-28.1	XII	24.2	VII	84	57	84	75	25	IV

Sils-Maria

$\lambda = 9° 46'$, $\beta = 46° 26'$, $H_b = 1813.6^m$, $G = -\ ^m/_m$, $h_r = 1.5^m$

Januar	—	—	—	—	—	-7.1	-2.6	-6.9	-5.9	-16.1	4	3.5	19	87	63	84	78	38	6
Februar	—	—	—	—	—	-9.2	-0.5	-6.1	-5.5	-15.6	2.15.22	6.2	11	77	44	68	63	22	15
März	—	—	—	—	—	-9.5	-2.9	-7.2	-6.7	-17.4	18	7.2	7	75	43	69	62	30	2. 30
April	—	—	—	—	—	0.4	5.5	1.0	2.0	-4.1	20	9.4	21	84	51	84	73	19	16. 21
Mai	—	—	—	—	—	2.3	7.2	2.2	3.5	-2.4	14	12.6	27	78	50	83	70	33	20
Juni	—	—	—	—	—	8.2	13.3	7.9	9.3	1.2	12	19.0	9	70	50	81	67	23	5
Juli	—	—	—	—	—	7.6	14.2	8.9	9.9	3.1	3	20.2	9	83	48	82	71	33	11
August	—	—	—	—	—	8.8	14.7	9.3	10.5	1.8	7	18.5	12	85	50	89	75	21	16
September	—	—	—	—	—	4.2	10.8	6.2	6.8	-4.8	30	17.5	3	94	55	89	79	24	30
Oktober	—	—	—	—	—	*0.4	*4.2	*0.8	*1.6	-11.7	30	10.5	18	*90	*64	*88	*81	29	30
November	—	—	—	—	—	-3.2	2.4	-2.1	-1.3	-14.7	24	7.8	12	86	55	81	74	23	24
Dezember	—	—	—	—	—	-9.5	-3.9	-8.9	-7.8	-23.8	30	8.8	1	83	55	79	72	18	1
Jahr	—	—	—	—	—	-0.5	5.2	0.4	1.4	-23.8	XII	20.2	VII	82	52	81	72	18	XII

Vicosoprano

$\lambda = 9° 37'$, $\beta = 46° 21'$, $H = 1087^m$, $G = -\ ^m/_m$, $h_r = 1.5^m$

Januar	—	—	—	—	—	-1.5	-0.4	-1.3	-1.1	-6.4	1. 4	5.8	8	71	68	69	69	27	7. 9
Februar	—	—	—	—	—	0.7	2.9	1.5	1.7	-7.8	2	13.7	12	54	51	57	54	25	5. 12
März	—	—	—	—	—	-2.0	2.0	-1.0	-0.5	-7.4	19	7.5	31	54	44	58	52	27	30
April	—	—	—	—	—	5.6	9.9	6.6	7.2	1.8	3	16.6	13	69	57	73	67	30	16. 23
Mai	—	—	—	—	—	7.3	11.2	7.4	8.3	1.6	13.17	17.8	27	65	53	72	63	32	11
Juni	—	—	—	—	—	12.8	17.1	12.8	13.9	7.2	12	23.5	5	63	52	71	62	33	5
Juli	—	—	—	—	—	14.0	18.4	14.0	15.1	8.3	25	22.8	8	67	52	73	64	32	2
August	—	—	—	—	—	14.2	18.1	14.3	15.2	10.3	8	21.7	11	72	60	79	70	25	15
September	—	—	—	—	—	10.2	14.6	11.1	11.7	1.7	30	20.7	3	73	61	77	70	29	25
Oktober	—	—	—	—	—	6.0	8.3	5.8	6.5	-1.6	28	13.6	18	73	65	76	71	34	24
November	—	—	—	—	—	2.7	5.2	3.3	3.6	-6.9	24	14.8	30	68	59	70	66	27	25
Dezember	—	—	—	—	—	-1.2	0.2	-1.2	-0.8	-10.1	30	16.8	1	59	58	61	59	19	1
Jahr	—	—	—	—	—	5.7	9.0	6.1	6.7	-10.1	XII	23.5	VI	66	57	70	64	19	XII

Beobachter: **J. Rothenberger**

Sta. Maria

Bewölkung				Niederschlag			Zahl der Tage								Windverteilung									1939
7^{30}	13^{30}	21^{30}	Mittel	Summe	Maximum	Tag	●	●≥1.0	✳	▲	⛆	≡	heiter	trüb	N	NE	E	SE	S	SW	W	NW	Calmen	
6.8	5.8	4.7	5.8	41	16	12	6	6	5	—	—	4	6	10	—	—	—	—	6	9	1	—	77	Januar
3.0	3.1	3.2	3.1	5	3	23	3	2	2	—	—	3	13	4	1	—	—	2	3	4	—	—	74	Februar
5.1	5.1	4.6	4.9	12	6	15	5	3	4	—	—	2	7	6	—	7	—	3	3	8	2	2	68	März
5.3	5.5	4.1	5.0	78	26	29	9	6	3	—	—	3	8	7	—	1	—	2	2	8	1	1	75	April
7.8	7.9	7.4	7.7	96	16	8	15	13	—	—	1	3	—	15	3	5	—	2	—	—	—	—	83	Mai
4.8	5.2	6.9	5.6	117	48	12	12	12	—	—	1	1	5	8	—	—	—	1	1	2	—	—	86	Juni
4.2	4.6	4.3	4.4	170	47	22	12	11	—	—	5	—	5	5	1	1	—	—	1	2	—	—	88	Juli
4.7	5.5	5.9	5.4	92	20	5	15	12	—	1	2	2	4	7	2	1	—	1	2	1	—	—	86	August
4.2	5.2	4.2	4.5	96	29	12	12	9	—	—	1	5	9	5	—	2	—	2	1	2	—	—	83	September
7.1	7.3	6.2	6.9	152	42	19	17	15	3	—	—	9	1	13	—	1	—	1	2	3	—	1	85	Oktober
4.8	4.2	3.3	4.1	77	31	4	8	8	3	—	—	1	7	2	—	—	—	1	3	10	—	—	76	November
4.3	4.5	3.8	4.2	25	10	5	5	4	5	—	—	2	9	5	—	1	—	4	3	8	2	—	75	Dezember
5.1	5.3	4.9	5.1	961	48	VI	119	101	25	1	10	35	74	87	7	19	—	19	27	57	6	4	956	Jahr

Beobachter: **P. Nogler**

Bevers

8.1	5.8	5.9	6.6	45	20	12	10	8	10	—	—	2	3	14	1	8	—	—	4	21	9	14	36	Januar
4.2	4.1	3.7	4.0	9	6	10	5	2	5	—	—	—	11	6	1	7	—	—	—	16	9	21	30	Februar
6.9	6.3	6.1	6.4	55	20	15	12	8	12	—	—	—	5	14	9	12	—	—	1	8	19	25	19	März
6.3	6.1	5.2	5.9	60	17	27	10	9	7	—	—	—	8	14	1	11	—	—	9	31	14	5	19	April
8.7	8.8	7.2	8.2	99	33	18	15	11	10	—	—	—	—	17	17	21	3	3	5	17	10	7	10	Mai
5.1	6.4	5.5	5.7	97	17	10	13	12	3	—	1	—	6	7	7	6	3	2	5	30	10	9	18	Juni
5.3	5.4	4.6	5.1	150	27	24	16	12	1	1	1	—	4	8	3	17	3	3	7	30	16	6	8	Juli
6.6	6.7	5.0	6.1	80	25	4	11	8	—	—	3	—	2	9	3	11	1	1	8	22	18	6	23	August
7.6	5.3	4.6	5.8	101	29	4	12	12	1	—	—	—	5	7	10	6	5	1	7	22	15	18	6	September
8.5	7.9	6.3	7.6	131	36	19	16	13	6	1	—	—	—	17	8	14	2	1	7	24	16	17	4	Oktober
7.3	6.0	5.0	6.1	88	28	17	10	7	7	—	—	—	1	7	6	6	1	—	9	13	27	15	13	November
6.3	5.5	4.0	5.3	43	19	5	12	8	12	—	—	1	6	7	7	3	—	—	—	19	39	15	10	Dezember
6.7	6.2	5.3	6.1	958	36	X	142	110	74	2	5	3	51	127	73	122	18	11	62	253	202	158	196	Jahr

Beobachter: **A. Fluor**

Sils-Maria

7.5	6.0	5.4	6.3	86	28	12	12	12	11	—	—	—	4	11	1	—	—	—	7	—	—	1	84	Januar
4.0	3.9	3.8	3.9	14	5	24	5	5	5	—	—	—	12	6	3	—	—	1	2	1	1	1	75	Februar
6.4	6.6	6.0	6.3	23	13	14	5	4	5	—	—	—	6	13	19	1	—	—	2	—	3	2	66	März
6.6	6.1	5.9	6.2	112	29	27	11	11	9	—	—	—	8	15	4	—	—	—	4	3	4	2	73	April
8.5	8.8	8.6	8.6	139	43	18	15	13	14	—	—	—	—	23	12	1	—	—	5	1	2	—	72	Mai
5.3	6.2	6.0	5.9	131	39	11	13	12	2	—	1	—	7	11	5	—	—	1	1	2	11	—	70	Juni
4.5	5.2	5.4	5.0	199	45	22	11	10	2	—	1	—	9	7	3	—	—	—	10	—	6	—	74	Juli
5.5	6.5	5.3	5.8	119	39	4	12	9	—	—	—	—	4	10	1	—	—	—	1	2	8	—	81	August
4.7	5.9	4.6	5.1	65	25	12	11	8	1	—	—	—	9	8	2	—	—	—	4	9	1	—	74	September
*8.5	*8.3	*8.3	*8.4	179	27	6.16	18	16	6	—	—	—	2	21	—	—	—	—	—	—	—	—	—	Oktober
6.4	5.4	5.5	5.6	123	50	4	10	9	7	—	—	—	5	10	4	—	—	—	—	—	2	1	83	November
5.1	6.1	4.2	5.1	40	19	5	7	7	7	—	—	—	9	9	3	—	—	—	4	—	—	—	86	Dezember
6.1	6.3	5.7	6.0	1230	50	XI	130	116	69	—	2	—	75	144	—	—	—	—	—	—	—	—	—	Jahr

Beobachter: **H. Roffler**

Vicosoprano

6.7	6.0	5.0	5.9	191	40	18	13	12	5	—	—	—	6	14	—	23	1	—	—	1	—	1	67	Januar
3.7	3.7	3.9	3.8	33	12	24	6	5	2	—	—	—	12	4	—	32	—	—	—	—	—	—	52	Februar
5.5	5.8	5.1	5.5	17	8	27	4	4	4	—	—	—	6	7	—	—	—	—	1	4	1	—	87	März
6.1	6.1	5.8	6.0	234	42	27	15	14	—	—	1	—	5	13	—	18	—	1	—	4	—	—	67	April
7.2	8.0	7.0	7.4	236	56	17	14	13	1	—	—	—	1	13	—	36	—	—	—	1	—	1	55	Mai
5.4	6.2	5.1	5.6	179	33	11	13	12	—	—	2	—	7	9	—	20	—	—	—	4	—	—	66	Juni
3.9	5.1	5.5	4.8	240	54	21	16	10	—	—	5	—	8	6	1	12	1	1	—	—	—	—	78	Juli
5.7	6.6	7.1	6.5	221	68	5	17	15	—	—	2	—	2	11	3	8	3	—	—	9	1	—	69	August
5.0	6.8	6.1	6.0	89	32	4	12	11	—	—	1	—	4	8	6	7	—	—	—	2	—	2	73	September
7.7	7.5	7.7	7.6	212	45	19	17	15	2	—	—	—	1	18	1	26	—	—	—	2	—	—	64	Oktober
5.8	5.9	4.3	5.3	94	59	3	10	6	—	—	—	—	5	9	13	9	1	2	—	—	—	—	65	November
5.7	6.0	4.7	5.5	46	12	16	7	7	6	—	—	—	9	9	4	20	1	—	—	—	—	1	67	Dezember
5.7	6.1	5.6	5.8	1792	68	VIII	144	124	20	—	11	—	66	121	28	211	7	4	1	27	2	5	810	Jahr

Splügen (Dorf)

$\lambda = 9° 19'$, $\beta = 46° 33'$, $H_b =$ ca. 1500^m, $G = -0.21\,{}^m/_m$, $h_r = 0.8^m$

1939	Luftdruck					Luft-Temperatur								Relative Feuchtigkeit					
	Mittel	Minimum	Tag	Maximum	Tag	7^{30}	13^{30}	21^{30}	Mittel	Minimum	Tag	Maximum	Tag	7^{30}	13^{30}	21^{30}	Mittel	Minimum	Tag
Januar	632.2	617.5	26	642.7	8	-4.2	-1.2	-4.0	-3.4	-13.4	7	4.9	16	76	61	72	70	37	25
Februar	638.7	629.2	22.23	647.6	7. 11	-6.2	0.9	-4.2	-3.4	-14.8	15	6.8	13	71	52	68	64	30	5
März	631.7	621.0	23	642.3	6	-7.4	-1.1	-5.6	-4.9	-16.0	19	8.6	7	77	50	73	67	23	30
April	635.2	626.4	25	643.5	12	2.6	8.2	3.2	4.3	-2.3	20	14.8	12	77	52	77	69	22	20
Mai	633.5	625.1	5	641.1	23.24	3.0	7.1	3.8	4.4	0.9	7. 8	12.9	27	80	59	80	73	39	1
Juni	637.8	630.5	14	643.7	7	9.4	14.7	9.0	10.5	1.5	13	21.6	30	73	48	76	66	30	4. 5. 9
Juli	638.6	630.3	24	643.9	4	11.7	15.0	10.5	11.9	3.1	25	21.4	8	66	51	72	63	29	3
August	639.3	633.5	5	643.6	11	10.8	16.2	11.8	12.6	5.2	16	19.9	12	78	50	76	68	30	28
September	636.3	628.9	15	642.4	7	7.4	12.1	7.4	8.6	-0.3	27	21.0	9	79	51	82	71	24	10
Oktober	632.7	618.9	27	639.9	17	2.5	5.2	2.7	3.3	-13.2	30	13.3	18	76	62	79	72	35	31
November	636.3	627.6	5	643.8	30	-0.4	3.6	0.4	1.0	-14.2	23	12.0	8. 12	78	57	77	71	32	12
Dezember	632.6	620.4	5	643.8	1	-6.9	-3.8	-6.3	-5.8	-24.4	30	4.1	1	77	64	73	71	40	23
Jahr	635.4	617.5	I	647.6	II	1.9	6.4	2.4	3.3	-24.4	XII	21.6	VI	76	55	75	69	22	IV

Splügen: Beobachterwechsel im Dezember.

Bernhardin

Die Abendbeobachtung geschieht um 20^{80h}

$\lambda = 9° 10'$, $\beta = 46° 30'$, $H_b = 2073^m$, $G = -0.25\,{}^m/_m$, $h_r = 7.9^m$

Januar	588.7	580.5	27	598.3	8	-6.7	-4.6	-6.8	-6.1	-14.0	7	3.0	9	—	—	—	—	—	—
Februar	594.2	586.0	23	603.1	8. 11	-5.4	-0.8	-4.1	-3.6	-13.8	22	6.4	7	—	—	—	—	—	—
März	588.1	581.4	23	597.8	6	-9.5	-5.0	-8.5	-7.9	-16.4	19	7.8	7	74	60	78	71	20	2
April	562.2	585.6	25	600.1	12	-0.4	3.6	0.1	0.8	-6.6	18	10.2	9	79	63	85	76	35	20. 21
Mai	590.6	585.3	5	597.2	27	0.2	3.9	-0.1	0.9	-2.4	14	6.2	10	80	62	93	78	30	10
Juni	595.6	587.5	13	601.6	6	6.6	9.2	5.8	6.7	-1.4	14	15.8	8	66	63	83	71	34	5
Juli	597.3	589.7	24	602.0	8	7.7	10.7	7.5	8.1	0.0	25	15.0	7. 9	73	70	85	76	37	11
August	597.2	591.9	5	601.0	10	8.3	11.6	8.0	8.9	4.4	16	16.0	11	80	71	85	79	40	11
September	595.2	590.0	30	601.9	6	4.8	8.3	5.4	5.9	0.1	28	15.6	9	74	70	86	77	15	18
Oktober	590.8	580.7	27	599.7	17	-0.8	0.5	-0.4	-0.4	-12.0	28	7.2	17	86	79	85	83	20	11
November	594.0	586.7	5	600.7	30	-1.9	0.2	-1.7	-1.3	-12.6	21	6.8	13	74	70	77	74	12	24
Dezember	589.9	582.1	6	600.7	1	-7.4	-5.5	-7.3	-6.8	-20.0	30	6.1	2	76	72	74	74	20	8
Jahr	592.8	580.5	I	603.1	II	-0.4	2.7	-0.2	0.4	-20.0	XII	16.0	VIII	—	—	—	—	—	—

Braggio

$\lambda = 9° 7'$, $\beta = 46° 18'$, $H_b = 1332^m$, $G = —\,{}^m/_m$, $h_r = 1.5^m$

Januar	—	—	—	—	—	-1.8	2.0	-1.3	-0.6	-7.3	27	9.7	9	76	68	73	72	26	7
Februar	—	—	—	—	—	0.1	5.5	1.4	2.1	-6.3	15	13.7	11	65	54	64	61	29	12
März	—	—	—	—	—	-3.3	1.6	-2.1	-1.5	-8.9	18	7.9	4	67	51	66	61	33	22
April	—	—	—	—	—	4.6	9.5	5.7	6.4	1.7	3. 30	16.7	12	79	66	80	75	38	17. 22
Mai	—	—	—	—	—	5.4	9.0	6.1	6.7	0.7	2	19.1	27	78	70	80	76	32	24
Juni	—	—	—	—	—	10.8	15.8	12.1	12.7	3.9	13	23.1	9	79	67	79	75	33	5
Juli	—	—	—	—	—	12.0	16.9	13.5	14.0	4.7	25	22.5	9	77	62	77	72	36	25
August	—	—	—	—	—	12.6	17.4	13.5	14.2	8.9	7	21.7	1. 11	84	72	85	80	35	15
September	—	—	—	—	—	9.0	14.2	10.6	11.1	0.9	30	19.9	3.10.11	86	73	86	82	38	24
Oktober	—	—	—	—	—	4.3	8.3	5.3	5.8	-5.1	28	15.3	10	80	72	80	77	32	26
November	—	—	—	—	—	2.7	7.0	3.2	4.0	-6.9	24	14.2	30	74	64	74	71	29	21
Dezember	—	—	—	—	—	-2.2	1.8	-1.7	-0.9	-13.4	29	16.9	1	73	63	71	69	21	8
Jahr	—	—	—	—	—	4.5	9.1	5.5	6.1	-13.4	XII	23.1	VI	77	65	76	73	21	XII

Tessin

Bellinzona

$\lambda = 9° 1'$, $\beta = 46° 12'$, $H_b = 236.6^m$, $G = -0.02\,{}^m/_m$, $h_r = 1.6^m$

Januar	737.5	722.9	27	747.2	8	0.6	4.2	1.7	2.0	-6.3	9	11.3	24	84	69	81	78	29	6
Februar	743.0	733.4	13	750.7	7	1.9	9.9	4.3	5.1	-3.7	3	18.0	11	75	50	68	64	26	14
März	736.5	723.2	23	748.4	6	2.4	10.0	5.5	5.8	-0.6	18	15.1	31	64	38	55	52	24	22
April	737.9	731.0	24	745.9	20	9.7	16.4	11.7	12.4	5.0	20	24.8	13	80	58	74	71	28	23
Mai	735.2	726.7	5	740.9	27	11.8	17.2	12.6	13.6	6.7	8	27.8	27	76	55	70	67	24	24
Juni	738.0	730.1	13	745.8	7	16.4	23.4	17.7	18.8	10.3	13	30.6	30	73	55	73	67	30	19
Juli	739.2	732.0	24	746.0	4	17.1	24.7	18.7	19.8	11.7	26	30.0	8	78	54	72	68	31	2
August	739.0	733.1	5	742.7	11	17.0	23.7	18.7	19.5	13.7	6	30.2	11	85	60	83	76	28	15
September	738.5	731.0	15	744.4	7	13.3	20.5	15.4	16.1	3.8	30	25.8	3	90	60	82	77	43	24
Oktober	736.1	724.2	27	744.3	17	9.4	14.1	10.3	11.0	0.2	30	19.9	20	82	62	79	74	?	—
November	741.2	732.3	5	747.2	30	5.6	11.1	6.9	7.6	-1.6	26	19.2	18	86	59	81	75	22	21
Dezember	739.0	726.3	5	747.8	23	0.7	4.3	1.5	2.0	-8.0	31	13.2	1	85	67	81	78	24	27
Jahr	738.4	722.9	I	750.7	II	8.8	15.0	10.4	11.1	-8.0	XII	30.6	VI	80	57	75	71	22	XI

Beobachter: **Frau A. Felix, Frau M. Schwarz-Felix**

Splügen (Dorf)

Bewölkung				Niederschlag			Zahl der Tage								Windverteilung								1939
7^{30}	13^{30}	21^{30}	Mittel	Summe	Maximum	Tag	●	●≥1.0	*	▲	⛆	≡	heiter	trüb	N	NE	E	SE	S	SW	W	NW	Calmen	
6.1	5.1	4.1	5.1	127	30	13	15	15	11	—	—	—	6	8	—	2	19	2	—	—	32	2	36	Januar
3.0	3.2	2.4	2.9	14	12	24	2	2	2	—	—	—	13	1	—	—	12	4	—	—	12	—	56	Februar
5.9	5.5	5.0	5.5	67	18	15	12	12	11	—	—	1	5	5	—	10	32	—	1	—	9	—	41	März
5.7	5.1	4.7	5.2	206	49	26	16	13	9	—	—	—	8	7	6	—	10	—	1	3	32	—	38	April
6.7	6.7	6.0	6.5	239	44	18	21	21	8	—	1	—	—	3	4	4	34	—	—	—	18	—	33	Mai
4.3	4.3	4.9	4.5	187	37	12	13	13	1	—	2	—	7	5	—	3	11	—	—	—	32	7	37	Juni
4.8	5.5	4.6	5.0	214	44	16	15	14	1	—	—	1	7	8	—	1	23	—	—	1	48	1	19	Juli
5.9	5.5	4.7	5.4	179	83	4	12	9	—	—	1	1	6	7	—	12	25	—	—	7	31	9	9	August
5.6	4.8	4.5	5.0	119	46	4	12	10	—	—	—	—	8	9	—	—	38	—	—	—	37	3	12	September
8.1	6.9	6.8	7.3	197	40	19	20	14	6	—	—	—	2	16	—	—	47	—	—	—	44	1	1	Oktober
5.1	4.5	3.6	4.4	182	64	4	9	9	6	—	—	—	9	7	—	—	26	—	—	—	55	—	9	November
4.8	5.2	3.7	4.6	34	16	5	10	5	10	—	—	1	10	7	—	—	18	—	—	—	60	1	14	Dezember
5.5	5.2	4.6	5.1	1765	83	VIII	157	137	65	—	4	4	81	83	10	32	295	6	2	11	410	24	305	Jahr

Bewölkung zu klein.

Beobachter: **E. Albertini**

Bernhardin

7.5	6.1	6.1	6.6	334	71	18	16	15	16	—	—	16	3	12	32	—	—	—	48	—	—	—	13	Januar
4.4	4.1	4.1	4.2	92	47	24	7	4	7	—	—	7	10	4	44	—	—	—	23	—	—	—	17	Februar
6.2	5.8	6.0	6.0	43	19	8	7	4	7	—	—	9	5	10	68	—	—	—	16	—	—	—	9	März
6.7	6.0	6.6	6.4	646	154	26	14	13	14	—	—	18	5	14	38	—	—	—	34	—	—	—	18	April
8.4	8.4	8.8	8.5	377	72	18	18	15	17	—	—	20	—	22	52	—	—	—	26	—	—	—	15	Mai
5.9	6.8	6.9	6.5	274	77	25	11	11	2	—	2	7	5	13	30	—	—	—	48	—	—	—	12	Juni
6.6	6.3	6.5	6.5	312	63	15	11	11	1	—	—	12	4	9	31	—	—	—	59	—	—	—	3	Juli
6.5	6.6	5.3	6.1	284	84	5	15	12	—	—	2	13	3	9	30	—	—	—	53	—	—	—	10	August
6.1	6.0	5.8	6.0	143	51	4	10	9	4	—	—	9	3	8	40	—	—	—	50	—	—	—	—	September
8.2	8.3	7.2	7.9	498	99	15	22	18	9	—	—	20	—	21	56	—	—	—	25	—	—	—	12	Oktober
6.2	5.9	5.1	5.7	219	65	4	11	9	10	—	—	10	6	9	36	—	—	—	41	—	—	—	13	November
5.8	6.2	5.8	5.9	145	44	5	12	9	12	—	—	14	8	13	52	—	—	—	36	—	—	—	5	Dezember
6.5	6.4	6.2	6.4	3367	154	IV	154	131	99	—	4	155	52	144	509	—	—	—	459	—	—	—	127	Jahr

Beobachter: **C. Berera**

Braggio

6.3	5.9	4.7	5.6	145	38	12	14	13	11	—	1	—	8	12	6	1	—	2	2	—	—	1	81	Januar
4.6	4.8	4.1	4.5	51	34	24	4	4	3	—	—	1	10	7	9	1	4	2	4	2	—	—	62	Februar
5.0	6.3	3.0	4.8	25	8	14	4	4	4	—	—	—	10	8	25	—	—	4	5	—	—	1	58	März
5.8	6.8	5.9	6.2	233	43	28	12	12	2	—	—	1	8	14	8	—	3	1	9	4	—	—	65	April
7.8	8.5	7.3	7.9	253	50	16	14	14	6	—	2	5	1	19	12	1	—	—	4	1	—	—	75	Mai
6.0	7.1	5.7	6.3	277	61	24	13	13	—	—	3	1	6	11	9	—	4	3	9	1	—	—	64	Juni
5.0	6.5	4.9	5.5	277	62	15	10	9	—	1	6	—	7	10	9	2	5	4	16	3	—	—	54	Juli
6.3	6.7	5.6	6.2	205	61	4	16	15	—	—	5	2	5	13	2	1	7	1	11	1	1	—	69	August
5.1	6.7	5.1	5.6	156	69	4	10	8	—	—	1	3	5	7	2	3	5	3	12	2	—	—	63	September
7.3	8.0	8.2	7.8	147	31	6	13	12	2	—	1	7	—	18	11	2	3	3	8	1	—	—	65	Oktober
5.6	5.2	5.1	5.3	103	62	4	7	7	2	—	—	2	6	8	10	—	3	2	2	—	—	—	73	November
6.0	5.9	5.0	5.6	78	22	16	9	8	9	—	—	5	9	11	10	1	3	—	1	—	—	—	78	Dezember
5.9	6.5	5.4	5.9	1950	69	IX	126	119	39	1	19	27	75	138	113	12	37	25	83	15	1	2	807	Jahr

Tessin

Beobachter: **A. Lienhard**

Bellinzona

6.7	5.6	4.8	5.7	161	45	12	12	11	4	—	—	3	8	13	16	11	1	—	2	—	—	—	63	Januar
4.5	4.6	2.4	3.8	69	54	24	5	4	2	—	—	—	12	5	11	9	2	—	3	—	—	—	59	Februar
4.9	5.1	2.5	4.2	12	5	15	3	3	2	—	—	—	11	5	5	21	10	—	6	2	—	—	49	März
6.5	6.1	5.1	5.9	233	42	5	12	11	—	—	—	—	6	12	4	11	2	—	14	4	—	—	55	April
8.0	7.8	6.6	7.5	265	49	16	14	13	—	—	1	—	1	16	7	23	3	—	14	4	—	—	42	Mai
5.2	5.9	4.8	5.3	274	54	24	13	12	—	1	6	—	7	8	6	24	2	—	16	5	1	—	36	Juni
5.3	4.9	4.6	4.9	350	92	15	11	11	—	1	7	—	4	6	16	22	—	—	19	7	—	—	29	Juli
6.0	6.0	5.3	5.8	181	45	5	16	15	—	—	3	—	4	9	8	19	—	—	9	12	—	—	45	August
5.6	6.3	4.4	5.4	156	74	4	9	8	—	—	1	—	7	6	8	12	—	—	12	3	—	—	55	September
7.2	7.7	7.3	7.4	155	34	18	15	13	—	—	1	—	3	16	9	21	—	—	9	3	—	—	51	Oktober
6.4	6.2	5.3	6.0	88	53	4	7	6	—	—	—	1	2	8	—	16	—	—	4	6	—	—	64	November
6.5	5.9	5.8	6.1	80	26	19	12	9	5	—	—	2	6	12	14	7	—	—	1	4	—	—	67	Dezember
6.1	6.0	4.9	5.7	2024	92	VII	129	116	13	2	19	6	71	116	104	196	20	—	109	50	1	—	615	Jahr

Bosco-Gurin

$\lambda = 8° 30'$, $\beta = 46° 19'$, $H_b = 1486^m$, $G = -{}^m/_m$, $h_r = 2.0^m$

1939	Luftdruck					Luft-Temperatur								Relative Feuchtigkeit					
	Mittel	Minimum	Tag	Maximum	Tag	7^{30}	13^{30}	21^{30}	Mittel	Minimum	Tag	Maximum	Tag	7^{30}	13^{30}	21^{30}	Mittel	Minimum	Tag
Januar	—	—	—	—	—	-3.0	-1.7	-3.2	-2.9	-11.0	7	7.0	8	75	63	73	70	30	8
Februar	—	—	—	—	—	-2.6	0.6	-1.3	-1.0	-9.5	15	9.0	10	61	55	62	59	31	12
März	—	—	—	—	—	-5.2	-0.2	-3.9	-3.3	-11.2	13	6.0	7	65	52	63	60	37	1
April	—	—	—	—	—	2.7	6.7	3.0	3.8	0.0	19	14.0	21	76	63	80	73	32	10
Mai	—	—	—	—	—	4.6	8.2	4.0	5.2	0.6	7. 12	16.0	27	72	60	79	70	41	11. 28
Juni	—	—	—	—	—	10.0	14.8	9.5	11.0	2.2	13	20.5	6	74	62	81	72	32	14
Juli	—	—	—	—	—	11.4	16.3	11.3	12.6	3.4	25	22.0	7. 29	76	64	83	74	40	26
August	—	—	—	—	—	11.3	15.8	11.7	12.6	6.0	6	21.6	15	89	73	91	84	38	15
September	—	—	—	—	—	8.0	13.7	8.8	9.8	0.0	30	19.4	10	88	66	89	81	38	30
Oktober	—	—	—	—	—	3.5	6.6	3.6	4.3	-6.6	29 30	12.6	1	80	71	82	78	31	20
November	—	—	—	—	—	0.7	3.0	0.9	1.4	-9.2	24	11.6	30	77	67	78	74	32	21
Dezember	—	—	—	—	—	-3.2	-1.4	-3.5	-2.9	-12.2	29	12.0	1	68	63	67	66	20	30
Jahr	—	—	—	—	—	3.2	6.9	3.4	4.2	-12.2	XII	22.0	VII	75	63	77	72	20	XII

Locarno-Muralto

$\lambda = 8° 48'$, $\beta = 46° 10'$, $H_b = 238.7^m$, $G = -0.02\ {}^m/_m$, $h_r = 1.2^m$

Januar	739.0	724.2	27	748.8	8	1.5	4.6	2.3	2.7	-2.8	8	11.8	24	81	71	78	77	30	6. 24
Februar	744.5	735.8	13	752.3	4	3.1	8.9	5.5	5.8	-2.0	3	16.2	11	71	54	62	62	28	14
März	737.8	724.5	23	749.3	6	3.0	10.0	5.1	5.8	-1.0	18	13.6	30	67	43	57	56	24	22
April	739.6	732.4	24	748.2	20	10.0	15.5	11.7	12.2	7.2	27	21.6	12	81	58	74	71	23	23
Mai	736.9	727.3	5	743.3	27	11.1	16.0	12.2	12.9	6.4	7	24.8	28	84	59	73	72	27	28
Juni	740.0	731.6	13	748.2	7	16.1	21.7	17.4	18.1	9.8	13	26.8	5	81	56	75	71	33	27
Juli	741.3	733.1	24	748.3	4	17.1	23.3	18.4	19.3	13.0	26	25.2	27	81	54	74	70	28	25
August	741.0	736.6	4	745.3	11	17.3	22.6	18.4	19.2	13.0	6	27.0	2	88	63	86	79	32	15
September	740.5	732.1	15	746.6	7	14.5	19.5	15.5	16.3	7.4	30	24.4	11	91	60	83	78	35	25
Oktober	737.7	725.8	27	746.1	17	9.5	13.4	10.3	10.9	1.8	28	17.8	21	86	65	81	77	27	26
November	742.7	733.1	5	748.6	30	6.3	11.0	7.7	8.2	0.2	26	20.2	18	79	63	74	72	22	21
Dezember	740.4	725.0	6	749.3	23	1.7	5.0	2.4	2.9	-6.0	31	11.6	1	80	70	77	76	29	7
Jahr	740.1	724.2	I	752.3	II	9.3	14.3	10.6	11.2	-6.0	XII	27.0	VIII	81	60	75	72	22	XI

Locarno-Monti

$\lambda = 8° 48'$, $\beta = 46° 10'$, $H_b = 380^m$, $G = -0.01\ {}^m/_m$, $h_r = 1.2^m$

Januar	726.2	710.9	27	735.4	8	1.8	4.5	2.5	2.8	-1.9	5	12.1	24	72	67	69	69	28	6. 24
Februar	732.0	723.3	13	739.7	7	3.9	8.7	6.1	6.2	-1.2	3	16.3	11	59	52	55	55	27	14
März	725.3	711.8	23	737.2	6	3.0	8.7	5.1	5.5	-1.8	18	14.3	31	58	42	51	50	27	22
April	727.3	720.1	25	735.1	20	9.8	14.1	11.8	11.9	6.0	27	19.7	12.13	72	60	66	66	26	23
Mai	724.6	715.4	5	730.5	27	10.6	14.8	12.2	12.4	6.4	7	23.7	28	77	60	67	68	28	28
Juni	727.9	719.1	13	735.7	7	15.9	20.6	18.1	18.2	11.5	1	25.5	30	74	57	64	65	33	14
Juli	729.3	721.3	24	735.7	4	17.3	22.2	19.1	19.4	12.6	26	26.8	9	73	56	63	64	29	25
August	728.9	722.7	5	733.1	11	17.2	21.5	18.9	19.1	13.1	6	25.7	2	81	65	74	73	35	15
September	728.3	720.0	15	734.2	7	14.0	18.5	15.7	16.0	6.1	30	23.5	2. 3	84	61	72	72	39	25
Oktober	725.4	712.4	27	733.9	17	9.4	12.8	10.3	10.7	1.6	30	17.4	20	76	65	73	71	28	21. 26
November	730.2	721.9	5	736.0	30	6.6	10.4	7.8	8.1	0.4	24	20.1	18	69	62	67	66	28	21
Dezember	727.8	712.2	6	736.4	23	1.8	4.1	2.2	2.6	-6.4	31	12.9	1	72	69	71	71	27	7
Jahr	727.8	710.9	I	739.7	II	9.3	13.4	10.8	11.1	-6.4	XII	26.8	VII	72	60	66	66	26	IV

Lugano

$\lambda = 8° 57'$, $\beta = 46° 0'$, $H_b = 276.2^m$, $G = -0.01\ {}^m/_m$, $h_r = 1.7^m$

Januar	735.3	719.8	27	745.1	8	1.2	5.0	2.0	2.6	-4.4	9	12.4	24	81	67	80.	76	26	24
Februar	741.1	732.5	13	748.5	4. 7	2.2	8.3	4.4	4.8	-2.4	3	17.8	10	78	57	70	68	22	14
März	734.4	721.7	23	746.7	6	2.7	9.6	4.8	5.5	-1.0	14.17	14.6	29	67	42	56	55	22	1. 22
April	736.3	729.4	24.25	744.5	20	9.5	15.3	11.4	11.9	5.4	20	20.6	9	78	57	74	70	22	23
Mai	733.5	723.6	5	739.6	27	11.1	16.1	11.8	12.7	6.8	8	26.0	28	79	56	78	71	25	28
Juni	736.6	728.2	13.14	744.9	7	15.9	22.3	18.1	18.6	11.2	13	27.2	27	79	56	71	69	26	27
Juli	737.9	729.7	24	745.6	4	17.2	24.5	19.4	20.1	10.8	25	28.6	9	77	52	65	65	26	25
August	737.6	731.4	5	742.0	11	16.9	24.0	18.9	19.7	14.6	9	29.4	15	83	60	78	74	25	15
September	*736.8	728.6	14	743.0	8	*13.5	*20.7	*15.9	*16.5	5.2	30	26.8	11	*86	*57	*83	*75	39	24
Oktober	734.4	721.5	27	743.0	17	9.5	14.5	10.6	11.3	0.0	30	19.8	11	80	61	80	74	25	23
November	739.4	729.5	5	745.2	30	6.6	11.4	7.0	8.0	-1.2	26	20.8	18	79	59	78	72	22	21
Dezember	737.1	721.1	6	745.8	21	1.2	4.8	1.4	2.2	-8.0	30	10.8	27	79	63	79	74	25	7
Jahr	736.7	719.8	I	748.5	II	9.0	14.7	10.5	11.2	-8.0	XII	29.4	VIII	79	57	74	70	22	II/III IV-XI

Beobachter: **W. Sartori**

Bosco-Gurin

Bewölkung				Niederschlag			Zahl der Tage								Windverteilung									1939
7^{30}	13^{30}	21^{30}	Mittel	Summe	Maximum Tag		•	≧1.0	*	▲	⛈	≡	heiter	trüb	N	NE	E	SE	S	SW	W	NW	Oktaven	
5.8	5.8	5.9	5.8	205	62	18	15	15	15	—	—	1	6	12	1	—	—	—	3	3	2	4	80	Januar
3.9	3.8	3.2	3.6	91	44	24	6	4	6	—	—	—	12	5	—	—	—	—	2	8	1	1	72	Februar
5.1	6.5	4.6	5.4	100	29	15	9	9	8	—	—	—	8	9	—	—	—	2	11	8	1	1	70	März
6.0	6.5	6.1	6.2	391	92	26	15	15	12	—	1	1	7	14	1	—	—	1	—	3	1	—	84	April
7.5	7.9	7.3	7.6	268	70	18	18	15	12	—	1	1	2	19	—	—	—	1	—	9	1	4	78	Mai
4.8	6.5	5.2	5.5	227	59	25	13	13	—	—	2	—	7	8	1	4	1	6	4	—	2	2	70	Juni
6.3	7.1	5.6	6.3	166	30	15	14	11	—	—	1	—	4	13	1	2	—	9	2	2	3	3	71	Juli
5.8	7.1	6.0	6.3	375	196	5	18	16	—	—	1	—	4	10	—	—	—	3	1	—	—	7	82	August
4.7	6.1	4.3	5.0	62	29	4	9	8	—	—	—	3	5	6	2	1	—	1	1	1	1	—	83	September
7.1	7.1	5.5	6.6	213	60	15	19	18	4	1	1	—	3	13	1	4	2	6	3	1	2	1	73	Oktober
5.7	5.6	5.4	5.6	180	84	4	15	10	9	—	—	—	3	10	1	7	2	5	—	—	1	1	73	November
5.0	5.9	4.7	5.2	77	18	16	16	14	16	—	—	—	10	12	2	4	3	10	5	—	—	—	69	Dezember
5.6	6.3	5.3	5.8	2355	196	VIII	167	148	82	1	7	6	71	131	10	22	8	44	32	35	15	24	905	Jahr

Beobachter: **Frau A. Mariani**

Locarno-Muralto

5.6	5.5	4.8	5.3	211	61	18	15	13	4	—	—	—	10	12	5	1	—	—	1	—	1	—	85	Januar
3.2	3.8	3.4	3.5	95	74	24	4	4	2	—	—	—	13	4	—	2	1	—	2	—	1	—	78	Februar
4.2	4.3	2.2	3.6	10	6	15	2	2	1	—	—	—	11	3	9	—	1	1	9	—	4	—	69	März
5.2	5.1	4.9	5.1	350	71	6	14	14	—	—	2	—	10	10	2	—	1	—	1	—	9	1	76	April
6.7	6.6	6.4	6.6	304	45	12	15	14	—	1	3	—	3	14	1	—	1	—	1	—	10	—	80	Mai
4.4	4.9	5.0	4.8	331	93	25	14	13	—	—	4	—	9	6	1	—	2	—	6	—	9	2	70	Juni
4.4	4.5	3.7	4.2	349	61	1	12	11	—	—	7	—	10	7	1	—	—	—	5	—	12	2	73	Juli
5.1	4.7	4.6	4.8	255	111	5	18	17	—	—	7	—	9	8	3	—	3	—	—	—	10	—	77	August
5.1	4.8	3.7	4.5	157	74	4	9	9	—	—	3	—	6	5	—	—	1	—	2	—	11	—	76	September
7.1	6.8	5.9	6.6	232	44	18	17	15	—	1	1	2	3	11	3	—	1	—	1	—	4	2	82	Oktober
4.3	4.5	3.3	4.0	108	74	4	10	9	—	—	—	2	13	6	8	—	1	—	2	2	—	—	77	November
6.0	5.6	5.6	5.7	97	22	19	13	13	1	—	—	1	9	12	3	1	—	—	—	—	1	—	88	Dezember
5.1	5.1	4.5	4.9	2499	111	VIII	143	134	8	2	27	5	106	98	36	4	12	1	30	2	72	7	931	Jahr

Beobachter: **Osservatorio Meteorologico Ticinese**

Locarno-Monti

5.5	5.1	5.1	5.2	209	61	18	13	13	5	—	—	2	11	12	15	6	5	5	3	—	1	13	45	Januar
3.2	3.8	4.4	3.8	77	58	24	4	4	2	—	—	1	13	5	20	4	3	6	6	5	8	7	25	Februar
4.4	4.1	2.7	3.7	9	5	15	4	2	2	—	—	—	12	2	15	9	5	4	3	9	13	9	26	März
5.1	5.5	5.4	5.3	340	66	6	15	13	—	—	3	1	10	11	5	4	6	2	5	8	13	8	39	April
6.5	6.6	7.0	6.7	291	44	12	15	14	—	—	3	—	4	15	7	7	5	3	3	12	12	3	41	Mai
4.2	5.1	5.0	4.8	322	81	25	14	14	—	—	4	—	9	7	14	7	8	3	1	10	8	7	32	Juni
4.1	4.0	3.2	3.8	353	64	16	11	11	—	2	8	—	12	5	14	4	7	3	3	12	8	17	25	Juli
4.8	4.4	4.4	4.5	242	114	5	17	17	—	—	6	—	12	8	16	4	9	4	1	11	3	13	32	August
4.7	4.6	4.7	4.7	125	64	4	9	7	—	—	1	—	6	4	9	4	5	1	8	14	9	12	28	September
6.5	6.7	6.9	6.7	235	56	18	16	15	1	1	2	5	6	12	9	3	6	6	1	13	13	11	31	Oktober
4.4	4.6	4.6	4.5	103	69	4	10	7	—	—	—	2	10	7	15	5	3	7	2	10	5	11	32	November
5.4	5.4	5.9	5.6	90	24	19	13	12	7	—	—	4	9	11	9	4	2	7	2	8	8	10	43	Dezember
4.9	5.0	4.9	4.9	2396	114	VIII	141	129	17	3	27	15	114	99	148	61	64	51	38	112	101	121	399	Jahr

Beobachter: **G. Vicari**

Lugano

6.2	5.7	5.7	5.9	196	51	18	13	13		—	—	4	10	12	47	11	2	4	4	—	4	4	17	Januar
4.9	4.2	4.1	4.4	84	51	24	5	5	2	—	—	—	9	9	39	7	2	—	8	2	2	—	24	Februar
4.9	4.9	3.8	4.5	4	4	27	1	1	—	—	—	—	13	9	43	13	5	2	9	2	5	1	13	März
6.0	6.4	4.8	5.7	256	54	6	13	12	—	—	—	—	9	13	25	8	4	7	14	1	4	3	24	April
7.4	7.4	7.0	7.3	303	66	16	17	16	—	—	6	—	2	13	25	8	7	2	22	3	4	2	20	Mai
5.0	5.4	5.2	5.2	324	85	11	15	13	—	—	6	—	7	9	24	8	6	3	15	3	5	—	26	Juni
4.3	4.2	3.5	4.0	238	46	14	14	10	—	—	8	—	11	5	39	9	3	6	15	—	3	3	15	Juli
5.8	4.9	4.6	5.1	356	67	4	16	15	—	—	6	—	6	5	39	4	4	7	18	1	7	1	12	August
*5.5	*5.4	*4.8	*5.2	*150	*75	4	11	9	—	—	4	—	3	6	—	—	—	—	—	—	—	—	—	September
7.1	7.0	7.2	7.1	113	23	5	19	15	—	—	1	—	4	16	29	8	6	1	11	4	6	—	28	Oktober
5.6	5.2	4.9	5.2	134	87	4	6	5	—	—	—	2	6	9	33	10	4	4	10	1	—	3	25	November
6.5	5.7	5.3	5.8	84	25	19	12	11	5	—	—	3	9	12	38	10	1	—	11	—	5	5	23	Dezember
5.8	5.5	5.1	5.5	2242	87	XI	142	125	12	—	31	9	89	118	—	—	—	—	—	—	—	—	—	Jahr

Baden

$\lambda = 8° 19'$, $\beta = 47° 22'$, $H_b = 386.6^m$, $h_r = 1.5^m$. Beobachter: **Nordostschweiz. Kraftwerke**

1939	Luft-Temperatur								Relative Feuchtigkeit						Bewölkung				Niederschlag			Zahl der Tage							
	7^{30}	13^{30}	21^{30}	Mittel	Minimum	Tag	Maximum	Tag	7^{30}	13^{30}	21^{30}	Mittel	Minim.	Tag	7^{30}	13^{30}	21^{30}	Mitt.	Summe	Maxim.	Tag	●	●* ≧1.0	*	▲	⛆	≡	helle	trübe
Jan.	1.0	3.8	1.2	1.8	-6.8	10	8.8	22	87	67	84	79	48	28	9.0	8.0	6.7	7.9	64	14	23	14	10	4	—	—	—	1	15
Febr.	-0.6	4.3	0.1	1.0	-6.6	8	16.7	24	87	55	83	75	29	24	7.5	5.9	4.8	6.1	21	5	26	6	6	1	—	—	4	5	9
März	0.5	5.2	1.6	2.2	-4.3	19	15.7	31	85	53	79	72	21	30. 31	8.1	7.2	6.1	7.1	126	23	6	20	17	16	—	—	—	3	16
April	7.6	15.2	9.2	10.3	1.1	1	23.9	13	83	41	74	66	20	13. 21	7.2	6.2	6.6	6.7	64	14	5	13	12	—	—	2	—	4	15
Mai	9.0	13.5	10.0	10.6	4.4	1	20.6	6	82	55	78	72	25	1	8.6	8.4	7.6	8.2	194	26	8	21	20	—	—	—	1	1	21
Juni	15.2	21.9	15.9	17.2	8.9	13. 14	29.8	8	74	43	76	64	17	4	5.4	5.1	6.4	5.6	105	26	30	14	13	—	—	4	3	5	8
Juli	15.0	22.0	15.8	17.1	10.0	25	30.2	30	85	46	82	71	23	4	6.0	5.5	5.8	5.8	137	?	—	18	18	—	—	3	5	3	5
Aug.	15.4	22.8	16.9	18.0	11.2	7	26.3	31	87	44	82	71	26	15	7.6	5.0	6.0	6.2	111	40	5	12	11	—	—	2	10	3	10
Sept.	11.8	17.4	12.6	13.6	3.4	26	26.9	3	94	57	89	80	36	8	9.4	6.1	6.1	7.2	139	38	4	12	11	—	—	2	9	1	15
Okt.	7.4	10.2	7.6	8.2	0.0	29	19.2	15	93	78	92	88	55	15	9.7	8.8	9.5	9.3	202	25	28	29	24	4	—	—	4	—	26
Nov.	5.6	8.3	6.0	6.5	-4.8	24	15.2	7	88	75	87	83	44	26	9.5	8.4	8.5	8.8	96	14	19	18	14	—	—	—	9	—	22
Dez.	-0.8	0.5	-1.1	-0.6	-13.2	29	12.0	1	87	77	85	83	59	3	9.8	8.4	8.6	8.9	64	18	10	10	10	6	—	—	—	1	23
Jahr	7.3	12.1	8.0	8.8	-13.2	XII	30.2	VII	86	58	83	75	17	VI	8.1	6.9	6.9	7.3	1323	40	VIII	187	166	31	—	13	45	27	185

Muri

$\lambda = 8° 20'$, $\beta = 47° 16'$, $H_b = 483^m$, $h_r = 0.9^m$. Beobachter: **A. Müller**

Jan.	-0.5	2.8	0.4	0.8	-9.0	10	9.3	22	—	—	—	—	—	—	8.4	7.7	8.4	8.2	68	7	2	15	14	7	—	—	1	1	19
Febr.	-1.4	3.3	0.0	0.5	-7.2	8	16.0	24	—	—	—	—	—	—	8.2	6.9	6.4	7.2	20	8	26	7	5	1	—	—	5	2	12
März	0.1	4.6	1.3	1.8	-5.5	19	13.8	31	—	—	—	—	—	—	8.8	7.9	7.0	7.9	123	30	7	14	14	12	—	1	—	2	20
April	7.9	13.7	8.8	9.8	3.6	1	20.8	13	—	—	—	—	—	—	7.2	6.8	6.8	6.9	61	16	14	10	10	—	—	1	—	4	16
Mai	8.2	11.9	9.4	9.7	5.8	19	17.0	24	—	—	—	—	—	—	9.0	8.7	8.4	8.7	214	37	21	21	20	—	—	—	1	—	22
Juni	14.7	19.2	15.5	16.2	7.0	14	25.7	7	—	—	—	—	—	—	5.9	5.4	7.1	6.1	129	28	30	15	14	—	—	3	1	6	14
Juli	14.9	20.0	15.6	16.5	9.0	24. 25	25.5	5	—	—	—	—	—	—	6.3	6.6	6.7	6.5	126	20	23	16	15	—	—	4	1	4	14
Aug.	15.3	20.6	16.4	17.2	11.0	6	24.0	31	—	—	—	—	—	—	7.4	6.1	6.6	6.7	119	57	5	11	11	—	—	4	2	3	12
Sept.	11.4	16.1	12.0	12.9	4.0	28. 29	23.8	3	—	—	—	—	—	—	8.8	6.9	6.0	7.2	102	33	4	13	12	—	—	2	4	1	16
Okt.	6.8	9.6	7.2	7.7	-1.2	30	19.4	15	—	—	—	—	—	—	9.1	9.0	8.1	8.9	186	32	5	25	23	4	—	—	2	—	22
Nov.	4.8	7.3	5.5	5.8	-7.5	24	13.8	27	—	—	—	—	—	—	9.8	7.5	8.1	8.5	142	38	17	13	12	—	—	1	9	—	21
Dez.	-1.8	-0.1	-1.9	-1.4	-12.0	29. 30	12.4	1	—	—	—	—	—	—	9.3	8.9	8.9	9.0	74	13	10	10	9	4	—	—	6	—	25
Jahr	6.7	10.8	7.5	8.1	-12.0	XII	25.7	VI	—	—	—	—	—	—	8.2	7.4	7.4	7.7	1364	57	VIII	170	159	28	—	16	32	23	213

Rorschach (Mariaberg)

$\lambda = 9° 30'$, $\beta = 47° 29'$, $H = 455^m$, $h_r = 1.4^m$. Beobachter: **Seminar: J. Schenk**

Jan.	1.1	3.3	2.0	2.1	-4.6	29	10.2	17	82	72	77	77	49	14. 16	8.1	8.0	5.9	7.3	33	?	—	*11	*8	*4	—	—	2	2	15
Febr.	-0.3	2.0	0.9	0.9	-7.2	15	15.7	24	82	77	76	78	34	24	7.7	8.0	5.6	7.1	16	6	13	5	5	1	—	—	7	2	12
März	0.8	2.6	1.5	1.6	-4.0	16	11.2	6. 7	77	72	75	75	31	30	7.9	7.8	7.0	7.6	122	30	8	18	16	16	—	—	1	4	19
April	8.3	11.8	9.3	9.7	3.2	3	19.2	10. 14	74	64	64	67	31	22	7.6	6.5	6.9	7.0	46	17	27	9	8	—	—	1	—	3	13
Mai	8.8	10.6	9.3	9.5	5.9	12	15.7	31	83	79	79	80	45	1	9.0	9.3	8.2	8.8	283	46	21	19	19	—	—	1	1	—	24
Juni	15.3	19.3	15.1	16.2	7.2	13. 14	25.3	8	74	65	74	71	31	6	5.9	6.1	6.2	6.1	126	37	11	11	11	—	1	4	—	6	12
Juli	15.9	20.0	16.4	17.2	9.2	24. 25	27.8	30	75	63	66	68	16	29	6.0	6.3	7.0	6.4	162	40	16	15	15	—	—	—	—	6	13
Aug.	16.0	20.3	16.8	17.5	11.6	6	24.4	31	82	69	78	76	45	2	7.5	5.8	5.8	6.4	68	24	25	6	5	—	—	—	1	2	10
Sept.	12.6	15.9	12.3	13.3	4.5	29	24.8	11	88	77	84	83	56	11	8.7	6.1	5.4	6.7	108	28	18	13	13	—	—	—	1	2	14
Okt.	7.3	9.1	7.7	7.9	0.0	27. 28	18.2	15	90	85	85	87	61	14	9.3	9.2	8.7	9.1	224	27	22	23	21	2	—	—	2	—	24
Nov.	5.2	7.4	5.9	6.1	-4.1	22. 24	14.4	30	84	80	82	82	66	27	9.3	8.8	7.9	8.7	80	26	17	13	12	1	—	—	6	1	22
Dez.	-1.0	-0.1	-0.9	-0.7	-13.6	30	13.6	1	*90	*85	*87	*87	?	—	9.5	9.0	9.3	9.3	77	30	6	9	8	4	—	—	10	—	27
Jahr	7.5	10.2	8.0	8.4	-13.6	XII	27.8	VII	82	74	77	78	16	VII	8.0	7.6	7.0	7.5	1345	46	V	152	141	28	1	6	31	28	205

Schwäbrig (bei Gais)

$\lambda = 9° 29'$, $\beta = 47° 23'$, $H = 1152^m$, $h_r = 1.6^m$. Beobachter: **Frau Küng**

Jan.	-0.7	1.1	-0.6	-0.2	-8.1	7	11.0	17	81	76	79	79	16	9	7.9	7.5	6.7	7.4	64	16	24	17	14	14	—	—	7	2	14
Febr.	-0.9	1.3	-0.9	-0.3	-9.1	1	9.9	24	68	66	68	68	19	5.6	5.0	4.7	3.6	4.4	47	12	13	9	9	6	—	—	4	9	6
März	-2.8	-1.8	-3.0	-2.7	-9.0	17. 18	7.4	6. 31	*83	*77	*80	*80	?	—	8.9	8.2	8.2	8.4	149	35	7	18	18	15	—	—	6	2	25
April	5.1	6.9	4.6	5.3	0.0	19	14.4	13	78	73	78	76	31	22	6.8	7.4	6.3	6.8	56	13	18	9	8	4	—	—	8	5	14
Mai	4.4	5.7	4.4	4.7	1.1	14	12.4	6	79	75	77	77	42	2	9.4	9.6	8.3	9.1	388	74	21	22	22	2	—	1	18	—	24
Juni	11.5	13.4	10.7	11.6	2.3	14	21.0	29	69	65	72	69	35	29	5.2	7.1	6.5	6.3	181	33	12	14	13	—	—	2	5	5	10
Juli	12.7	14.9	11.8	12.8	3.4	25	23.2	19	65	60	68	64	26	7	5.7	6.8	6.2	6.2	220	35	16	18	18	1	—	1	3	6	13
Aug.	12.9	15.5	12.7	13.5	5.6	6	19.1	24	75	68	71	71	33	29	5.3	6.4	5.7	5.8	114	25	25	10	9	—	—	—	6	5	9
Sept.	9.0	10.5	8.5	9.1	0.0	27. 28	21.0	1	*82	*75	*80	*79	?	—	6.8	7.7	5.9	6.8	160	55	4	12	12	—	—	1	11	4	15
Okt.	3.8	5.4	4.1	4.4	-5.4	26. 27. 29	17.2	15. 18	*90	*85	*88	*88	?	—	8.6	9.1	7.8	8.5	296	30	6	25	24	11	—	—	11	1	22
Nov.	3.5	5.1	3.6	4.0	-8.0	21	15.1	8	79	74	76	76	35	26	8.3	7.3	6.5	7.4	180	65	17	14	14	6	—	—	3	2	16
Dez.	-3.1	-2.7	-3.6	-3.2	-17.2	29	10.0	2	79	74	76	76	28	31	6.6	6.7	7.2	6.8	112	30	7	10	10	8	—	—	9	3	15
Jahr	4.6	6.3	4.4	4.9	-17.2	XII	23.2	VII	77	72	76	75	?	—	7.0	7.4	6.6	7.0	1967	74	V	178	171	67	—	5	91	44	183

Ebnat

$\lambda = 9^\circ 8'$, $\beta = 47^\circ 16'$, $H = 649^m$, $h_r = 1.9^m$. Beobachter: **Frl. M. Kuratle**

1939	Luft-Temperatur 7³⁰	13³⁰	21³⁰	Mittel	Minimum	Tag	Maximum	Tag	Relative Feuchtigkeit 7³⁰	13³⁰	21³⁰	Mittel	Minim.	Tag	Bewölkung 7³⁰	13³⁰	21³⁰	Mitt.	Niederschlag Summe	Maxim.	Tag	Zahl der Tage ● *	● * ≧1.0	*	▲	K	≡	helle	trübe
Jan.	-1.7	2.5	-1.6	-0.6	-10.0	28	8.0	1.17.21	85	65	84	78	50	15.21.23	6.0	5.9	5.2	5.7	79	20	23	16	10	8	—	—	—	3	8
Febr.	-3.3	4.0	-1.8	-0.7	-12.2	4	15.0	24	85	55	85	75	26	9	5.8	4.3	3.4	4.5	40	12	13	7	6	5	—	—	1	8	4
März	-1.7	3.2	-1.2	-0.2	-7.6	18	12.4	6	85	59	88	77	36	2	7.8	7.5	6.6	7.3	212	52	7	22	18	20	—	—	—	4	15
April	6.1	12.9	6.4	7.9	1.0	20	21.0	11	81	64	77	74	40	13	6.4	6.2	5.9	6.2	52	10	17	13	9	—	—	1	—	5	9
Mai	7.1	11.2	7.4	8.3	2.6	1	17.0	18	85	71	82	79	51	30	8.3	8.3	7.5	8.0	176	32	20	22	20	—	—	—	—	—	19
Juni	12.2	19.1	12.6	14.1	5.2	13	25.4	10.29	83	60	88	77	35	28	4.9	5.1	5.5	5.2	145	27	11	15	11	—	—	2	—	7	7
Juli	13.3	20.2	14.9	15.8	7.0	25	29.0	15	82	56	87	75	28	5	5.2	5.1	5.9	5.4	218	35	25	18	17	—	—	2	—	6	9
Aug.	13.3	20.6	14.2	15.6	8.4	16	24.0	31	88	57	92	79	42	15.16	5.1	4.8	5.6	5.2	199	49	8	11	11	—	—	—	—	5	5
Sept.	9.9	15.2	11.0	11.8	1.4	30	24.6	3	91	64	91	82	35	10	6.8	6.2	6.0	6.3	162	50	4	12	11	—	—	—	—	3	9
Okt.	4.8	8.9	5.5	6.2	-6.8	30	17.0	18	90	69	90	83	50	12.24	7.8	7.8	7.8	7.8	316	29	25	26	25	7	—	—	1	1	15
Nov.	2.8	7.1	3.8	4.4	-7.6	24	15.2	7	87	69	86	81	38	26	7.3	5.9	6.8	6.7	221	41	19	15	14	1	—	1	1	1	9
Dez.	-4.3	-0.5	-3.5	-2.9	-21.0	30	13.2	2	86	75	88	83	30	2	6.2	6.1	7.4	6.6	89	13	10	11	11	8	—	—	3	4	12
Jahr	4.9	10.4	5.6	6.6	-21.0	XII	29.0	VII	86	64	87	79	26	II	6.5	6.1	6.1	6.2	1909	52	III	188	163	49	—	6	6	47	121

Wald-Hittenberg

$\lambda = 8^\circ 56'$, $\beta = 47^\circ 16'$, $H = 912.3^m$, $h_r = 6.7^m$. Beobachter: **Sanatorium**

1939	Luft-Temperatur 7³⁰	13³⁰	21³⁰	Mittel	Minimum	Tag	Maximum	Tag	Relative Feuchtigkeit 7³⁰	13³⁰	21³⁰	Mittel	Minim.	Tag	Bewölkung 7³⁰	13³⁰	21³⁰	Mitt.	Niederschlag Summe	Maxim.	Tag	Zahl der Tage ● *	● * ≧1.0	*	▲	K	≡	helle	trübe
Jan.	0.6	2.4	0.8	1.1	-5.8	7.30	10.6	17	71	64	71	69	28	9	8.3	7.9	5.4	7.2	101	20	23	16	14	10	—	—	4	1	12
Febr.	-0.2	3.1	0.8	1.1	-8.3	3	13.4	24	68	57	63	63	27	24	6.1	5.5	3.7	5.1	43	13	13	6	6	6	—	—	5	7	7
März	-1.5	0.9	-0.7	-0.5	-6.8	19	9.3	6	81	73	78	77	35	2	8.0	7.5	6.5	7.3	217	38	7	25	22	22	—	—	6	1	17
April	6.0	10.8	7.5	7.9	1.2	19	17.8	11-13.14	75	55	69	66	31	4	7.1	6.2	6.4	6.6	71	12	18	11	10	2	—	—	4	5	14
Mai	6.5	9.7	7.4	7.7	3.1	1	15.2	6	86	69	78	78	35	6	9.0	8.6	7.9	8.5	290	50	21	21	21	—	—	—	9	—	21
Juni	12.4	17.1	14.0	14.4	5.2	14	23.0	29	78	60	71	70	30	4	5.1	5.5	5.9	5.5	171	22	12	16	14	—	—	2	7	6	9
Juli	13.2	17.5	14.6	15.0	5.9	25	24.0	5	74	60	69	68	31	5	6.0	6.8	7.0	6.6	195	25	1	18	18	—	—	10	5	4	11
Aug.	13.8	18.1	15.3	15.6	9.4	6	21.1	11	78	65	72	72	42	16	6.6	6.4	4.3	5.8	275	107	25	13	13	—	—	4	5	5	7
Sept.	*10.0	*13.5	*11.0	*11.4	?	—	?	—	84	74	77	78	49	27	5.6	5.5	6.1	5.7	170	50	4	12	11	—	—	1	10	4	7
Okt.	5.5	7.5	6.0	6.2	-4.0	28	19.1	18	82	77	81	80	36	18	8.1	6.9	6.8	7.3	288	?	—	*25	*24	*10	—	—	8	1	17
Nov.	4.8	6.5	5.0	5.3	-5.0	22	15.0	8	75	67	72	71	33	26	7.5	6.8	6.7	7.0	172	43	17	15	14	3	—	—	9	—	12
Dez.	-1.6	0.1	-1.4	-1.1	-14.0	30	10.2	2	65	58	63	62	24	31	6.7	6.5	6.9	6.7	*75	?	—	*11	*11	*6	—	—	5	4	17
Jahr	5.7	8.9	6.7	7.0	-14.0	XII	24.0	VII	76	65	72	71	24	XII	7.0	6.7	6.1	6.6	2068	107	VIII	189	178	59	—	17	77	38	151

Braunwald (ob Linthal)

$\lambda = 9^\circ 0'$, $\beta = 46^\circ 56'$, $H = 1189.5^m$, $h_r = 1.5^m$. Beobachter: **Sanatorium**

1939	Luft-Temperatur 7³⁰	13³⁰	21³⁰	Mittel	Minimum	Tag	Maximum	Tag	Relative Feuchtigkeit 7³⁰	13³⁰	21³⁰	Mittel	Minim.	Tag	Bewölkung 7³⁰	13³⁰	21³⁰	Mitt.	Niederschlag Summe	Maxim.	Tag	Zahl der Tage ● *	● * ≧1.0	*	▲	K	≡	helle	trübe
Jan.	-1.1	2.3	-0.5	0.1	-9.5	7.31	11.3	17	70	61	69	67	30	9	6.1	6.8	5.2	6.0	90	28	23	13	13	11	—	—	2	2	7
Febr.	*-2.0	*3.0	*-1.5	*-0.5	?	—	?	—	*75	*58	*65	*66	?	—	*5.0	*4.0	*4.5	*4.5	27	12	13	6	4	5	—	—	*2	*9	*6
März	-3.4	1.0	-2.8	-2.0	-11.0	19	9.7	6	90	66	82	79	35	4.20.30	7.8	7.7	7.5	7.7	300	50	7	20	18	18	—	—	1	5	22
April	4.8	9.5	5.2	6.2	-0.4	18	16.2	11.13	78	58	76	71	35	11	6.6	5.9	6.5	6.3	111	25	28	12	12	7	—	—	6	6	13
Mai	5.1	8.1	4.8	5.7	1.2	1	13.3	6	89	75	89	84	42	6	9.3	9.5	9.4	9.4	181	32	28	25	25	3	—	1	16	—	27
Juni	11.1	15.6	11.3	12.3	2.7	13	21.2	8	82	67	82	77	48	29	5.1	5.8	7.3	6.1	143	22	12	17	13	—	—	—	6	4	11
Juli	12.3	16.2	11.8	13.0	4.2	25	24.0	30	80	65	82	76	36	19	6.5	6.0	5.8	6.1	258	39	22	17	16	—	—	—	6	5	11
Aug.	12.7	16.9	12.8	13.8	8.0	6	22.0	11	82	70	85	79	50	11.15	6.3	6.5	6.5	6.4	166	56	5	13	11	—	—	—	7	2	13
Sept.	8.9	13.0	9.6	10.3	1.2	29	19.5	3	88	76	88	84	44	30	6.8	6.3	7.1	6.7	103	28	3	13	12	—	—	—	7	7	14
Okt.	4.4	7.5	4.7	5.3	-5.0	26	18.4	18	84	73	84	80	38	15	9.0	8.3	8.4	8.6	220	27	9	23	23	10	—	—	10	—	22
Nov.	3.2	6.0	3.4	4.0	-9.8	23	14.0	8.9	77	70	78	75	43	4.7.11	7.7	5.8	5.7	6.4	381	111	17	16	14	6	—	—	4	6	13
Dez.	-2.9	-0.6	-2.6	-2.2	-16.0	30	8.0	2	76	71	76	74	39	23	6.6	6.3	6.7	6.5	94	23	6	11	11	10	—	—	6	4	16
Jahr	4.4	8.2	4.7	5.5	-16.0	XII	24.0	VII	81	67	80	76	30	I	6.9	6.6	6.7	6.7	2074	111	XI	186	172	70	—	1	73	50	175

Vättis

$\lambda = 9^\circ 26'$, $\beta = 46^\circ 55'$, $H_b = 950^m$, $h_r = 1.5^m$. Beobachter: **F. W. Sprecher**

1939	Luft-Temperatur 7³⁰	13³⁰	21³⁰	Mittel	Minimum	Tag	Maximum	Tag	Relative Feuchtigkeit 7³⁰	13³⁰	21³⁰	Mittel	Minim.	Tag	Bewölkung 7³⁰	13³⁰	21³⁰	Mitt.	Niederschlag Summe	Maxim.	Tag	Zahl der Tage ● *	● * ≧1.0	*	▲	K	≡	helle	trübe
Jan.	0.2	3.0	0.0	0.8	-8.8	28.30	11.4	17.18	67	55	67	63	28	29	9.2	6.1	5.2	6.8	55	13	19	12	10	10	—	—	—	5	12
Febr.	-2.6	3.0	-1.0	-0.4	-11.2	1	12.2	26	71	51	70	64	22	28	5.0	3.7	4.4	4.4	18	4	19	7	6	5	—	—	—	10	7
März	-3.6	1.7	-2.3	-1.6	-11.8	19	11.1	6	79	58	79	72	12	30	7.7	7.4	8.4	7.8	132	22	8	20	14	17	—	—	—	2	21
April	4.5	11.9	6.2	7.2	-1.8	20	19.4	13	74	44	68	62	22	11	6.2	6.2	5.5	6.0	44	10	17	11	11	3	—	—	—	7	11
Mai	6.2	10.1	6.3	7.2	0.8	14	15.2	6.31	80	61	79	73	26	1	8.2	8.4	9.2	8.6	119	23	28	23	19	1	—	—	—	—	21
Juni	12.5	18.2	12.0	13.7	4.0	13	24.5	29	69	48	78	65	23	21	5.2	6.0	7.4	6.2	119	27	12	13	12	—	—	—	—	5	12
Juli	12.9	18.7	12.7	14.2	5.2	25	26.2	30	71	51	77	66	22	4	5.0	5.8	5.5	5.4	201	44	22	18	18	—	—	2	—	6	7
Aug.	11.6	19.0	13.3	14.3	5.8	16	22.6	31	85	56	80	74	46	3	5.6	5.6	6.7	6.0	96	31	5	12	6	—	—	—	—	3	10
Sept.	8.0	14.7	9.7	10.5	1.2	26	22.1	3	90	62	85	79	37	30	6.6	5.4	6.6	6.2	78	37	4	9	9	—	—	—	—	6	15
Okt.	5.3	9.3	5.8	6.6	-5.2	30	19.1	18	81	62	77	73	34	18.30	9.1	8.7	7.6	8.5	126	22	19	20	17	5	—	—	1	1	22
Nov.	2.5	7.4	3.3	4.1	-10.4	22	18.1	8	80	63	77	73	27	9	7.0	5.5	5.7	6.1	187	65	17	14	12	2	—	—	—	4	10
Dez.	-3.5	-0.3	-3.3	-2.6	-20.2	30	8.4	19	78	68	78	75	27	4	6.6	5.6	6.1	6.1	48	13	10	12	10	8	—	—	—	5	13
Jahr	4.5	9.7	5.2	6.2	-20.2	XII	26.2	VII	77	57	76	70	12	III	6.8	6.2	6.5	6.5	1223	65	XI	177	144	51	—	2	1	54	161

Bad Ragaz

$\lambda = 9° 30'$, $\beta = 47° 0'$, $H_b =$ ca. 521 m, $h_r = 1.6$ m. Beobachter: **Frl. J. Erb**

1939	Luft-Temperatur								Relative Feuchtigkeit						Bewölkung				Niederschlag		Zahl der Tage							
	7^{30}	13^{30}	21^{30}	Mittel	Minimum	Tag	Maximum	Tag	7^{30}	13^{30}	21^{30}	Mittel	Minim.	Tag	7^{30}	13^{30}	21^{30}	Mitt.	Summe	Maxim. Tag	● *	●* ≧1.0	*	▲	≋	≡	helle	trübe
Jan.	2.1	5.2	2.6	3.1	-5.7	10	16.3	18	74	63	75	71	42	18	7.2	6.9	5.2	6.4	56	21 12	9	8	6	—	—	—	3	8
Febr.	-1.5	4.1	1.1	1.2	-9.6	5	17.2	24	86	68	78	78	37	24	5.7	3.2	4.1	4.3	26	7 18	8	6	4	—	—	—	7	5
März	-0.3	4.4	0.8	1.4	-7.0	19	13.8	31	84	63	83	77	35	30	7.7	6.9	8.1	7.6	157	25 14	13	12	10	—	—	—	3	19
April	7.8	14.6	9.9	10.5	3.6	20	23.1	11	80	55	71	68	33	11	6.2	6.3	5.3	5.9	41	14 27	11	7	1	—	—	—	7	9
Mai	8.7	12.3	9.3	9.9	4.4	14	17.5	6	87	69	84	80	46	6	8.4	8.3	8.8	8.5	185	25 20	22	19	—	—	2	—	—	20
Juni	14.8	19.9	15.5	16.4	8.0	13.14	26.9	29	79	62	78	73	44	29	4.7	5.6	6.2	5.5	100	31 12	14	13	—	—	1	—	5	9
Juli	15.3	20.4	15.8	16.8	7.8	25	28.2	19	81	61	79	74	33	19	5.2	5.3	6.1	5.5	179	32 22	17	16	—	—	1	—	6	7
Aug.	15.2	20.9	16.7	17.6	11.0	6	24.4	31	86	64	81	77	51	15	5.4	5.7	6.3	5.8	82	25 5	7	7	—	—	—	—	3	7
Sept.	11.3	16.5	12.6	13.2	4.3	29	24.0	1	92	69	86	82	54	3	6.6	5.5	6.5	6.2	76	29 4	13	8	—	—	—	—	7	11
Okt.	7.1	11.1	8.3	8.7	-3.0	27	23.2	15	87	70	80	79	41	14.15 18	8.8	8.3	6.8	8.0	161	20 22	20	18	3	—	—	1	1	19
Nov.	4.2	8.7	5.9	6.2	-4.3	23	21.6	8	84	68	80	77	36	8	7.5	6.0	6.3	6.6	225	98 17	14	11	1	—	1	2	2	13
Dez.	-2.0	-0.6	-1.6	-1.2	-15.0	30	11.3	19	87	77	85	83	41	4	6.5	6.6	5.6	6.2	56	10 10	9	8	6	—	—	3	5	11
Jahr	6.9	11.6	8.1	8.7	-15.0	XII	28.2	VII	84	66	80	77	33	IV/VII	6.7	6.2	6.1	6.3	1344	98 XI	157	133	31	—	5	6	49	138

Zentralschweiz

Werthenstein

$\lambda = 8° 6'$, $\beta = 47° 3'$, $H_b = 594.4$ m, $h_r = 1.5$ m. Beobachter: **D. Ineichen**

Jan.	-1.1	2.5	-0.4	0.2	-10.2	7	8.3	22	85	70	82	79	50	10	7.5	7.3	6.2	7.0	48	8 22	15	13	6	—	—	3	2	13
Febr.	-2.5	4.3	-0.4	0.2	-11.3	5	15.4	24	85	63	85	78	27	24	6.5	5.7	4.9	5.7	20	6 26	7	6	2	—	—	—	6	7
März	-0.6	4.2	0.2	1.0	-5.6	16	14.7	4	82	62	80	75	39	31	8.4	7.2	6.2	7.3	93	32 7	19	15	17	—	—	—	2	16
April	6.5	13.2	7.7	8.8	2.7	30	22.8	13	80	55	80	72	32	22	7.3	6.8	7.0	7.0	51	10 14	12	10	1	—	—	—	4	16
Mai	7.1	11.3	7.9	8.5	4.0	1	17.0	6	90	66	88	81	45	6	9.4	9.1	8.2	8.9	211	38 21	22	20	—	—	1	—	—	23
Juni	13.5	19.7	13.5	15.1	5.5	13	28.4	29	81	58	87	75	43	29	6.0	6.0	6.6	6.2	202	30 10	19	16	—	1	7	1	3	11
Juli	14.1	20.0	14.4	15.7	7.8	25	27.5	30	82	58	84	75	40	4	5.5	6.5	6.0	6.0	150	22 25	17	17	—	—	6	3	6	11
Aug.	13.8	20.9	14.9	16.1	9.6	16	25.0	31	89	60	90	80	45	16	7.0	6.7	5.9	6.5	142	44 5	14	14	—	—	2	1	1	12
Sept.	10.1	15.6	11.2	12.0	2.7	26	26.1	11	93	69	91	84	41	11	8.1	7.8	6.6	7.5	128	41 4	13	9	—	—	2	1	2	15
Okt.	5.7	9.4	6.3	6.9	-3.8	30	21.1	15	94	76	92	87	48	2	9.1	8.9	8.7	8.9	211	36 5	25	23	5	—	—	3	—	25
Nov.	4.3	7.9	5.1	5.6	-6.5	24	17.0	8	87	72	87	82	37	26	8.9	7.9	7.5	8.1	88	20 17	17	13	1	—	1	6	—	19
Dez.	-3.0	-0.5	-2.2	-2.0	-17.9	30	13.2	2	90	82	90	87	37	2	8.3	8.5	8.5	8.4	70	18 6	12	10	6	—	—	5	2	23
Jahr	5.7	10.7	6.5	7.3	-17.9	XII	28.4	VI	87	66	86	80	27	II	7.7	7.4	6.9	7.3	1414	44 VIII	192	166	38	1	19	23	28	191

Weggis

$\lambda = 8° 26'$, $\beta = 47° 2'$, $H_b =$ ca. 444 m, $h_r = 1.5$ m. Beobachter: **Frau R. Zimmermann**

Jan.	1.0	3.7	1.8	2.1	-5.0	7	9.9	16	76	65	73	71	29	23	6.5	6.7	6.1	6.4	56	11 2	12	12	3	—	—	1	5	12
Febr.	0.8	3.7	2.2	2.2	-3.9	15	16.0	24	79	65	73	72	27	24	7.4	5.7	6.6	6.6	36	9 26	8	8	2	—	—	1	4	13
März	1.0	4.7	1.5	2.2	-3.8	19	15.0	6	73	62	70	68	40	1	7.6	6.8	7.4	7.3	125	46 7	19	15	15	—	—	—	4	20
April	7.8	13.8	9.5	10.1	2.0	20	20.4	13	73	53	70	65	35	23	5.9	4.6	5.2	5.2	68	13 18	10	10	—	—	1	—	8	9
Mai	9.3	12.5	9.4	10.2	6.5	9	18.0	24.30	75	64	76	72	47	16	8.2	7.2	7.7	7.7	232	35 21	23	19	—	—	—	—	1	18
Juni	14.3	20.4	14.9	16.1	8.0	14	28.0	8	70	53	72	65	39	28	4.7	4.1	5.1	4.6	205	37 8	19	16	—	—	2	—	9	7
Juli	15.5	21.4	15.6	17.0	9.2	25	28.0	15	70	51	72	64	37	5	4.1	4.2	5.3	4.5	205	26 15	18	18	—	1	4	—	9	5
Aug.	15.8	22.1	16.6	17.8	11.0	7	25.5	12	76	50	77	68	38	15.16	5.1	4.1	5.2	4.8	180	85 5	16	14	—	—	1	—	6	6
Sept.	12.6	16.7	12.6	13.6	5.3	29	24.4	3	76	57	74	69	41	26	7.3	5.6	6.0	6.3	108	37 4	13	13	—	—	—	—	3	12
Okt.	7.6	10.3	7.5	8.2	0.0	27.28	18.2	14	67	61	67	65	40	2	8.2	7.8	7.5	7.8	242	34 5	23	21	3	—	—	—	1	16
Nov.	5.9	7.9	5.8	6.4	-3.5	24	13.0	7.17	82	71	86	80	49	21	7.8	6.9	6.3	7.0	107	23 17	15	11	1	—	—	4	2	14
Dez.	-0.1	0.9	-0.3	0.1	-9.8	29	9.9	1	88	82	88	86	50	3	8.7	8.7	8.5	8.6	98	36 6	10	10	4	—	—	—	—	23
Jahr	7.6	11.5	8.1	8.8	-9.8	XII	28.0	VI/VII	75	61	75	70	27	II	6.8	6.0	6.4	6.4	1662	85 VIII	186	167	28	1	8	6	52	155

Lungern

$\lambda = 8° 10'$, $\beta = 46° 48'$, $H =$ ca. 745 m, $h_r = 1.7$ m. Beobachter: **O. Imfeld**

Jan.	0.3	2.7	0.5	1.0	-7.3	7	12.2	16	80	70	82	77	42	16	8.4	7.8	6.5	7.6	74	25 23	11	9	6	—	—	1	2	18
Febr.	-0.7	3.3	1.0	1.1	-8.3	3	12.1	24	84	67	75	75	33	24	7.3	5.5	6.3	6.4	29	9 13	8	5	3	—	—	3	4	11
März	-0.3	2.4	0.1	0.6	-5.4	19	11.4	31	80	71	83	78	38	31	8.5	8.5	8.1	8.4	180	43 7	18	15	16	—	—	—	3	22
April	6.4	11.3	7.3	8.1	1.0	20	20.0	14	79	64	80	74	28	14	7.0	6.5	7.2	6.9	88	18 18	13	10	—	—	—	1	4	14
Mai	7.4	9.7	7.5	8.0	5.1	13	15.2	6	89	77	89	85	51	1	9.4	9.3	9.2	9.3	193	27 18	22	19	—	—	—	3	—	27
Juni	13.1	17.8	13.3	14.4	4.3	13	24.3	8.29	82	68	87	79	45	28	5.2	6.4	7.7	6.4	162	27 26	16	14	—	—	2	2	3	10
Juli	14.4	18.9	14.3	15.5	7.2	25	28.3	30	79	65	82	75	42	30	5.1	6.1	6.8	6.0	195	32 25	18	15	—	—	1	4	6	13
Aug.	14.2	18.6	14.9	15.7	9.3	6	25.2	27	93	74	88	85	56	15	6.5	7.3	7.5	7.1	130	59 5	12	12	—	—	—	4	2	16
Sept.	10.3	13.7	11.2	11.6	3.0	28	22.2	11	94	79	94	89	54	10	6.3	7.5	7.9	7.2	95	29 4	12	9	—	—	—	7	3	16
Okt.	6.3	8.7	6.4	6.9	-2.0	27.28	18.0	14	91	79	89	86	49	20	8.7	8.6	8.0	8.4	212	32 9	26	21	5	—	—	5	—	21
Nov.	5.0	7.6	4.9	5.6	-4.2	23	15.2	4	86	76	87	83	41	4	8.5	7.5	6.6	7.5	238	56 17	13	13	1	—	—	2	3	17
Dez.	-1.9	-0.6	-1.7	-1.5	-13.4	30	10.4	2	92	88	90	90	39	1	8.5	8.5	8.5	8.5	74	17 6	13	11	6	—	—	10	—	24
Jahr	6.2	9.5	6.6	7.2	-13.4	XII	28.3	VII	86	73	85	81	28	IV	7.5	7.5	7.5	7.5	1670	59 VIII	182	153	37	—	3	42	30	209

Gurtnellen

$\lambda = 8°37', \beta = 46°44', H = 742^m, h_r = 1.5^m$.

Beobachter: **Jos. Meier**

1939	Luft-Temperatur								Relative Feuchtigkeit						Bewölkung				Niederschlag			Zahl der Tage							
	7^{30}	13^{30}	21^{30}	Mittel	Minimum	Tag	Maximum	Tag	7^{30}	13^{30}	21^{30}	Mittel	Minim.	Tag	7^{30}	13^{30}	21^{30}	Mittl.	Summe	Maxim.	Tag	●	●≥1.0	✳	▲	≡	helle	trübe
Jan.	2.2	3.8	2.3	2.6	-5.7	28	13.9	17	67	63	71	67	36	4.25	5.8	6.7	6.1	6.2	64	19	12	10	10	8	—	—	1	3	11
Febr.	-0.9	2.3	0.5	0.6	-6.7	3	12.0	25	80	67	77	75	39	23	5.0	4.1	4.8	4.6	21	5	19	9	6	7	—	—	2	7	5
März	-0.9	2.8	0.7	0.8	-7.8	19	10.9	31	77	61	80	73	34	30	7.3	7.4	7.6	7.4	121	22	14	19	15	17	—	—	—	5	21
April	7.0	12.2	8.5	9.1	1.4	27	20.4	13	75	54	71	67	33	13.22	6.4	6.1	5.8	6.1	139	45	26	14	11	3	—	—	—	6	12
Mai	7.0	10.9	8.3	8.6	3.8	19	15.4	6	88	66	83	79	36	1	7.8	8.5	8.9	8.4	173	27	18	21	18	1	—	—	—	—	21
Juni	12.3	18.5	14.2	14.8	6.2	13	26.7	6	80	57	75	71	35	3	4.3	5.6	6.4	5.4	94	22	24	13	11	—	—	1	—	7	9
Juli	13.8	19.6	15.5	16.1	7.4	25	27.0	30	80	55	75	70	32	4	5.0	5.0	6.1	5.4	139	25	22	18	16	—	—	—	—	7	9
Aug.	14.0	19.3	15.7	16.2	10.9	16	22.9	12	86	62	82	77	43	21	5.7	6.3	6.0	6.0	150	97	5	8	7	—	—	—	—	4	11
Sept.	10.8	15.5	12.6	12.9	3.3	30	23.6	3	90	66	86	81	31	30	5.1	6.0	6.5	5.9	58	37	4	10	8	—	—	—	2	9	13
Okt.	7.0	10.0	8.0	8.2	-0.8	30	21.2	18	84	68	79	77	30	14	8.7	8.0	7.8	8.2	180	27	6	20	17	4	—	—	4	1	22
Nov.	5.5	8.3	6.5	6.7	-4.9	23	19.4	8	79	70	76	75	32	8	6.5	5.9	4.8	5.7	208	76	17	14	12	2	—	—	1	5	9
Dez.	-0.8	0.6	-0.7	-0.4	-12.2	30	10.2	19	79	74	78	77	35	18	6.3	6.4	5.5	6.1	36	8	10	13	11	9	—	—	3	7	14
Jahr	6.4	10.3	7.7	8.0	-12.2	XII	27.0	VII	80	64	78	74	30	X	6.2	6.3	6.4	6.3	1383	97	VIII	169	142	51	—	1	13	61	157

Andermatt

$\lambda = 8°35', \beta = 46°38', H = 1442^m, h_r = 1.5^m$.

Beobachter: **P. Engelhard**

Jan.	-4.1	-1.0	-3.0	-2.8	-17.0	27	6.8	17	—	—	—	—	—	—	6.1	5.5	6.0	5.9	87	*20	12. 23	11	10	11	—	—	—	9	15
Febr.	-6.7	0.5	-4.3	-3.7	-16.0	22	6.0	25.26	—	—	—	—	—	—	4.7	4.2	3.6	4.2	30	6	19	10	8	10	—	—	5	12	9
März	-7.2	-0.8	-5.2	-4.6	-17.6	19	9.2	6	—	—	—	—	—	—	7.0	6.9	7.9	7.3	166	27	15	18	18	17	—	—	1	4	18
April	1.6	7.4	2.8	3.6	-5.6	20	12.6	10. 12	—	—	—	—	—	—	7.1	5.7	6.9	6.6	177	53	26	16	13	12	—	—	4	8	17
Mai	3.0	6.5	3.3	3.9	-0.4	26	11.0	27	—	—	—	—	—	—	8.1	8.1	9.7	8.6	194	36	18	20	20	14	—	1	6	—	24
Juni	8.8	14.3	9.9	10.5	0.2	13	22.2	30	—	—	—	—	—	—	4.6	5.8	7.9	6.1	118	31	24	13	10	1	—	1	5	4	12
Juli	10.0	14.8	10.7	11.3	2.0	25	22.8	8	—	—	—	—	—	—	5.7	5.4	7.3	6.1	142	32	22	17	14	—	—	3	2	6	14
Aug.	10.4	14.9	11.8	12.0	3.8	6	19.6	31	—	—	—	—	—	—	6.4	6.6	7.5	6.8	170	108	5	8	6	—	—	2	2	2	13
Sept.	6.0	11.6	7.7	8.2	-1.4	30	18.5	1	—	—	—	—	—	—	5.0	5.5	6.6	5.7	49	31	4	9	6	—	—	—	5	7	10
Okt.	2.7	5.5	2.8	3.5	-9.2	30	13.8	14	—	—	—	—	—	—	9.5	8.4	8.5	8.8	160	?	?	21	17	10	—	1	5	—	23
Nov.	-0.4	3.8	1.1	1.3	-17.4	23	12.0	8	—	—	—	—	—	—	6.6	6.2	5.5	6.1	270	45	4	12	12	9	—	—	1	5	10
Dez.	-6.7	-3.3	-5.5	-5.3	-25.0	30	5.0	2	—	—	—	—	—	—	6.0	5.7	5.9	5.9	55	16	6	13	12	13	—	—	1	8	12
Jahr	1.5	6.2	2.7	3.2	-25.0	XII	22.8	VII	—	—	—	—	—	—	6.4	6.2	6.9	6.5	1618	108	VIII	168	146	97	—	8	37	65	177

Andermatt: Die Abendbeobachtung geschieht um 20^{30h}.

Jura

La Brévine (La Châtagne)

$\lambda = 6°38', \beta = 46°59', H = \text{ca. } 1077^m, h_r = 1.5^m$.

Beobachter: **A. Pellaton**

Jan.	-3.3	0.6	-2.6	-2.0	-21.6	9	10.2	16	87	76	90	84	35	15	8.0	7.3	7.6	7.6	124	15	23	19	17	12	—	—	2	2	18
Febr.	-9.4	-0.4	-6.0	-5.4	-26.2	4	8.3	26	83	61	84	76	16	15	5.7	5.1	5.9	5.6	25	6	13	9	7	7	—	—	2	6	9
März	-4.8	0.4	-4.3	-3.3	-12.4	14	12.5	31	89	67	87	81	21	30	8.0	7.5	6.3	7.3	118	29	7	16	16	13	—	—	—	2	17
April	3.2	9.0	4.0	5.0	-3.3	22	20.3	11	82	52	82	72	22	10. 21	7.8	7.7	6.4	7.3	128	35	6	18	16	5	—	—	1	3	16
Mai	4.2	8.4	4.3	5.3	-5.4	22	16.8	31	86	66	85	79	32	6	7.9	8.4	8.0	8.1	179	26	18	21	20	3	—	—	1	—	19
Juni	10.8	16.2	10.1	11.8	1.2	14	23.3	23	74	51	76	67	17	5	5.0	7.3	6.0	6.1	154	30	23	20	17	—	—	5	—	1	7
Juli	10.0	16.7	10.0	11.7	4.6	25. 27	26.5	18	80	46	75	67	19	8	5.7	6.2	4.6	5.5	162	26	14	20	18	—	—	2	—	7	7
Aug.	10.6	17.5	11.4	12.7	5.2	3.7	23.2	29	88	49	83	73	28	16. 29	5.8	7.3	6.2	6.4	108	22	5	17	17	—	—	—	1	2	12
Sept.	6.7	13.7	8.2	9.2	-2.6	26	22.8	2	93	53	88	78	19	26	6.2	6.2	4.0	5.5	117	23	18	15	15	—	—	1	—	7	8
Okt.	4.2	6.8	4.3	4.9	-4.6	28	18.4	18	92	73	92	86	35	18	9.0	8.9	9.3	9.1	207	43	15	28	26	6	—	—	—	—	25
Nov.	1.9	6.7	2.4	3.3	-17.6	24	17.3	8	90	65	90	82	21	26	8.2	7.8	7.6	7.9	188	29	18	19	16	2	—	—	2	—	19
Dez.	-5.4	-0.1	-5.4	-4.1	-19.4	30	11.1	1	89	70	90	83	19	31	6.7	6.3	6.2	6.4	52	18	4	7	7	5	—	—	—	4	11
Jahr	2.4	8.0	3.0	4.1	-26.2	II	26.5	VII	86	61	85	77	16	II	7.0	7.2	6.5	6.9	1562	43	X	209	192	53	—	8	9	34	168

Cernier

$\lambda = 6°54', \beta = 47°4', H_b = 800^m, h_r = 1.7^m$.

Beobachter: **Ecole d'Agriculture**

Jan.	-0.5	2.2	0.2	0.5	-9.6	28	8.4	17	77	60	64	67	46	26. 29	8.6	7.8	7.3	7.9	139	32	23	17	16	7	—	—	—	2	21
Febr.	-2.2	2.8	-0.5	-0.1	-11.0	4	7.6	10	69	56	63	63	30	7.8	5.9	6.6	5.9	6.1	13	4	26	8	6	4	—	—	3	7	13
März	-0.3	2.4	0.1	0.6	-5.0	14	10.0	31	66	55	64	62	33	31	7.2	7.6	8.5	7.8	118	28	7	15	11	13	—	—	—	2	20
April	6.0	10.3	5.8	7.0	2.0	26	19.6	11	69	57	66	64	33	21	7.5	7.4	5.9	6.9	127	28	5	15	11	—	—	—	—	5	16
Mai	7.1	10.3	6.7	7.7	3.6	1	16.2	31	70	58	64	64	38	6	7.8	8.5	7.6	8.0	174	27	8	24	19	—	—	—	—	—	19
Juni	13.3	18.2	12.4	14.1	7.2	13	25.0	6	67	49	58	58	28	5	5.4	6.2	6.4	6.0	108	34	30	16	14	—	—	—	—	5	11
Juli	13.2	16.9	12.8	13.9	7.4	24	22.6	5	68	51	57	59	33	4	6.1	5.6	5.2	5.6	132	24	14	16	13	—	—	—	—	6	9
Aug.	13.7	18.6	14.6	15.4	11.4	6.9	22.6	31	74	55	62	64	34	6	7.5	6.2	6.1	6.6	78	24	5	11	8	—	—	—	1	5	12
Sept.	*10.5	*14.8	*10.9	*11.8	1.4	29	22.0	10. 11	*77	*61	*73	*70	49	24	7.6	5.9	4.8	6.1	70	?	—	8	8	—	—	—	3	3	12
Okt.	5.5	7.9	5.6	6.2	-3.0	30	15.3	18	78	72	75	75	42	30	8.9	8.6	7.8	8.4	204	21	5	26	23	5	—	—	—	—	21
Nov.	3.9	7.3	4.4	5.0	-6.0	24	12.4	18	77	67	72	72	48	22. 25	7.2	6.5	7.1	6.9	*160	?	—	*16	*14	*2	—	—	1	2	16
Dez.	-2.8	0.0	-1.8	-1.6	-15.0	30	11.2	2	75	68	73	72	30	2	8.7	8.5	8.1	8.4	*65	?	—	*9	*7	*6	—	—	9	—	20
Jahr	5.6	9.3	5.9	6.7	-15.0	XII	25.0	VI	72	59	66	66	28	VI	7.4	7.1	6.7	7.1	1388	?	—	181	150	37	—	—	17	37	190

Mont Soleil

$\lambda = 7°\,0'$, $\beta = 47°\,9'$, $H =$ ca. 1200 m, $h_r = 1.5$ m. Beobachter: **H. Kocher**

1939	Luft-Temperatur								Relative Feuchtigkeit						Bewölkung				Niederschlag		Zahl der Tage							
	7^{30}	13^{30}	21^{30}	Mittel	Minimum	Tag	Maximum	Tag	7^{30}	13^{30}	21^{30}	Mittel	Minim.	Tag	7^{30}	13^{30}	21^{30}	Mitt.	Summe	Maxim. Tag	●	●* ≧1.0	*	▲	K	≡	helle	trübe
Jan.	−1.6	1.0	−1.1	−0.7	−10.6	7	9.2	9	89	82	86	86	13	9	7.7	7.4	7.3	7.5	144	26 23	20	17	14	—	—	11	2	17
Febr.	−1.9	3.3	−0.8	0.0	−9.0	22	8.8	8	70	58	73	67	11	5.6.8	5.6	4.6	5.4	5.2	41	10 13	10	8	9	—	—	8	8	9
März	−3.3	0.4	−2.7	−2.1	−9.6	19	8.8	4	92	75	87	85	33	3	8.5	7.4	6.6	7.5	221	34 7	21	18	18	—	—	1	1	18
April	4.2	8.2	4.1	5.1	−1.0	18. 19	17.4	11	85	70	84	80	34	21	7.7	7.2	5.6	6.8	68	28 6	17	15	8	—	—	6	4	15
Mai	4.5	7.5	4.9	5.4	1.2	1	14.2	31	95	79	92	89	44	31	8.3	8.4	7.4	8.0	239	28 8	25	21	4	—	1	10	2	18
Juni	11.4	15.0	11.0	12.1	3.0	13	21.2	23	87	70	86	81	34	5	5.3	6.2	5.7	5.7	142	37 30	17	16	—	—	7	—	4	9
Juli	11.0	15.3	11.0	12.1	4.4	24	22.4	30	87	69	86	81	37	4	6.3	6.5	5.5	6.1	190	48 14	19	16	—	—	2	1	7	12
Aug.	12.0	16.5	12.2	13.2	9.2	6	21.0	10	94	75	94	88	48	19	5.7	6.1	5.2	5.7	167	32 5	15	15	—	—	4	5	7	9
Sept.	8.4	12.5	8.8	9.6	−0.6	28	20.0	3	97	78	93	89	32	30	6.9	5.6	4.8	5.8	132	36 18	15	13	—	—	1	8	6	12
Okt.	4.0	6.0	4.1	4.5	−5.0	27	15.0	17. 18	97	90	96	94	59	30	9.1	9.2	8.2	8.8	313	41 18	27	24	11	—	1	8	—	24
Nov.	3.1	5.7	3.4	3.9	−7.4	23	15.2	8	89	83	91	88	23	26	8.1	7.1	6.5	7.2	227	57 17	17	16	3	—	—	4	2	16
Dez.	−3.2	0.2	−2.9	−2.2	−16.2	31	10.0	1	82	72	80	78	9	31	6.2	6.0	5.4	5.9	72	18 10	11	11	7	—	—	6	5	10
Jahr	4.1	7.6	4.3	5.1	−16.2	XII	22.4	VII	89	75	87	84	9	XII	7.1	6.8	6.1	6.7	1956	57 XI	214	190	74	—	16	68	48	169

Olten

$\lambda = 7°\,54'$, $\beta = 47°\,21'$, $H_b =$ ca. 400 m, $h_r = 1.5$ m. Beobachter: **E. Naef**

Jan.	−0.1	2.9	0.4	0.9	−11.8	7	7.4	22	98	86	97	94	61	28	9.5	8.7	8.6	8.9	75	17 23	17	12	3	—	—	6	—	23
Febr.	−0.8	3.8	0.6	1.1	−5.8	6.7	13.2	24	98	72	91	87	46	24	8.7	7.2	6.7	7.5	26	8 26	7	6	1	—	—	8	1	12
März	0.3	5.2	1.9	2.3	−4.0	19	14.4	31	91	69	85	82	87	31	8.7	7.6	6.7	7.7	170	34 7	22	15	18	—	—	1	1	17
April	7.4	14.5	10.2	10.6	1.0	1	22.0	13	91	58	79	76	37	21	8.0	7.4	7.1	7.5	73	11 5	14	12	—	—	—	1	1	17
Mai	9.1	13.5	10.7	11.0	5.2	1	19.0	24	94	68	88	83	46	24	8.9	8.5	7.9	8.4	190	32 8	22	21	—	—	—	—	—	21
Juni	13.7	21.2	16.3	16.9	8.0	14	28.4	7	91	60	86	79	42	5	7.1	6.5	6.9	6.8	163	51 30	15	15	—	—	4	4	3	15
Juli	14.3	21.5	16.5	17.2	7.8	3	27.4	8	93	60	84	79	40	4	7.1	6.4	6.3	6.6	165	26 14	18	16	—	1	3	4	3	12
Aug.	15.4	22.4	17.6	18.2	11.0	7	26.8	31	94	60	90	81	44	15	5.3	6.8	6.9	6.3	102	28 5	16	12	—	—	1	7	1	13
Sept.	11.3	17.6	12.6	13.5	3.0	26. 29	27.0	3	99	67	98	88	52	10. 11	9.8	7.3	5.7	7.6	117	37 4	15	14	—	—	—	14	—	15
Okt.	7.2	10.5	7.8	8.3	0.4	30	20.0	15	98	83	97	93	60	11	9.8	9.3	8.7	9.3	250	31 5	29	23	4	—	—	7	—	26
Nov.	5.6	8.1	6.1	6.5	−2.8	23. 24	14.0	7	95	84	95	91	52	28	9.8	8.5	8.4	8.9	119	27 17	18	16	—	—	—	12	—	21
Dez.	−0.8	0.9	−0.7	−0.3	−12.0	30	12.0	1	93	83	92	89	51	3	9.4	9.1	8.5	9.0	66	17 4	11	8	7	—	—	6	1	24
Jahr	6.9	11.8	8.3	8.8	−12.0	XII	28.4	VI	95	71	90	85	37	IV	8.5	7.8	7.4	7.9	1516	51 VI	204	170	33	1	8	70	11	216

Liestal

$\lambda = 7°\,44'$, $\beta = 47°\,29'$, $H_b = 342$ m, $h_r = 1.5$ m. Beobachter: **O. Affolter**

Jan.	1.6	4.9	2.1	2.7	−7.4	7	13.7	16	84	63	81	76	38	16	8.6	8.1	8.8	8.5	62	13 18	15	13	1	—	—	2	—	21
Febr.	−1.3	4.8	0.4	1.1	−8.5	4.6.8	9.7	10.23	86	56	85	76	30	16	6.6	6.3	6.7	6.5	28	8 26	6	6	1	—	—	2	5	13
März	0.4	5.2	1.4	2.1	−9.4	19	15.1	6	86	55	81	74	31	31	7.7	7.5	6.7	7.3	147	37 7	17	13	12	—	—	3	3	17
April	6.9	13.6	8.8	9.5	2.4	1	22.4	14	89	52	79	73	26	22	7.7	7.2	7.7	7.5	91	16 25	17	16	—	—	—	3	3	17
Mai	8.7	12.9	9.4	10.1	2.9	1	18.3	31	92	61	87	80	30	24	8.5	8.5	8.1	8.4	166	26 9	21	19	—	—	—	4	1	21
Juni	13.6	20.4	14.8	15.9	8.0	13	27.1	7	88	51	89	76	28	5	5.3	6.1	7.4	6.3	132	29 30	17	15	—	1	2	1	4	11
Juli	13.9	20.1	14.9	15.9	9.9	2	28.8	30	90	54	86	77	30	18	5.7	6.5	6.1	6.1	133	28 14	18	17	—	2	3	—	6	11
Aug.	14.5	21.4	16.0	17.0	10.7	16	25.2	29	96	54	93	81	30	16	7.2	6.3	6.3	6.6	77	26 5	14	10	—	—	1	6	2	12
Sept.	10.9	17.0	11.6	12.8	1.2	30	25.8	3	96	60	95	84	40	28	7.7	7.1	6.6	7.1	79	25 4	13	12	—	—	—	4	3	17
Okt.	7.1	10.4	7.5	8.1	−0.2	31	19.6	15	93	71	92	85	44	19	9.8	9.6	9.3	9.6	211	33 18	27	22	3	—	—	5	—	29
Nov.	5.5	9.0	6.1	6.7	−7.0	24	16.4	7	84	67	83	78	41	27	9.1	8.3	7.6	8.3	106	19 17	18	16	1	—	—	2	—	21
Dez.	−1.9	1.4	−1.1	−0.7	−18.5	30	12.4	8	82	71	81	78	41	2	7.1	7.1	7.8	7.3	44	17 10	10	9	2	—	—	3	4	19
Jahr	6.7	11.8	7.7	8.4	−18.5	XII	28.8	VII	89	60	86	78	26	IV	7.6	7.4	7.4	7.5	1276	37 III	193	168	20	3	6	35	31	209

Rheinfelden

$\lambda = 7°\,47'$, $\beta = 47°\,33'$, $H = 283$ m, $h_r = 1.6$ m. Beobachter: **Frl. A. Hoffmann**

Jan.	1.7	4.9	2.6	2.9	−6.5	7	10.5	17	83	66	79	76	50	28	9.5	7.6	7.6	8.2	94	20 18	13	12	—	—	—	—	—	19
Febr.	−0.5	5.0	1.3	1.8	−6.7	5	10.1	10	84	59	79	74	35	16	9.1	5.3	6.2	6.9	31	10 26	6	6	2	—	—	1	—	11
März	1.6	6.5	2.1	3.1	−6.5	19	14.2	31	81	56	78	72	35	31	8.2	7.1	5.8	7.0	125	24 14	18	14	12	—	—	1	1	14
April	8.7	14.9	9.5	10.6	3.4	1	22.3	12. 13 14	90	67	90	82	32	1	7.4	6.2	7.1	6.9	106	18 25	17	15	—	—	1	2	5	16
Mai	10.2	14.8	10.3	11.4	6.3	1	19.5	24	89	76	85	83	50	17	8.2	8.0	7.1	7.8	152	23 9	21	18	—	—	—	3	2	10
Juni	15.9	22.2	15.9	17.5	9.6	13	28.9	7	82	68	81	77	50	5	5.6	5.2	7.2	6.0	177	38 30	16	15	—	—	3	1	5	7
Juli	16.4	21.8	15.5	17.3	8.9	24	29.4	5	81	66	80	76	52	12	5.4	5.1	4.8	5.1	145	24 14	17	17	—	1	3	—	9	11
Aug.	16.2	23.0	16.8	18.2	12.1	7	26.7	31	85	69	84	79	53	2	6.5	5.5	5.9	6.0	69	24 5	12	9	—	—	—	4	4	13
Sept.	12.5	18.5	12.4	13.9	3.7	29	27.5	3	87	72	86	82	40	28	8.1	5.4	5.6	6.4	87	39 4	11	10	—	—	—	5	4	13
Okt.	7.9	11.2	8.0	8.8	0.6	28	20.2	15	84	68	84	79	50	11	9.5	8.9	8.3	8.9	241	31 5	25	25	4	—	—	2	—	23
Nov.	6.3	9.6	6.7	7.3	−3.5	24	15.8	8	77	67	75	73	46	22	8.2	7.2	8.2	7.9	97	16 17	18	14	—	—	—	4	—	18
Dez.	−0.8	1.7	−0.4	0.0	−14.7	30	12.7	1	86	83	85	85	53	31	8.7	7.4	8.0	8.0	48	23 10	10	8	1	—	—	1	2	20
Jahr	8.0	12.8	8.4	9.4	−14.7	XII	29.4	VII	84	68	82	78	32	IV	7.9	6.6	6.8	7.1	1372	39 IX	184	163	19	1	7	24	32	181

Schaffhausen

$\lambda = 8°38', \beta = 47°42', H_b = 448^m, h_r = 1.5^m$.

Beobachter: **G. Meyer**

1939	Luft-Temperatur								Relative Feuchtigkeit						Bewölkung				Niederschlag		Zahl der Tage							
	7^{30}	13^{30}	21^{30}	Mittel	Minimum	Tag	Maximum	Tag	7^{30}	13^{30}	21^{30}	Mittel	Minim.	Tag	7^{30}	13^{30}	21^{30}	Mit.	Summe	Maxim. Tag	●	●≥1.0	✳	▲	≋	≡	helle	trübe
Jan.	−0.4	3.1	0.2	0.8	−7.1	6	8.4	22	91	75	87	85	55	8	8.4	7.2	7.1	7.6	65	16	16	15	14	5	—	—	4	3	17
Febr.	−1.8	3.0	−0.1	0.3	−8.5	7	10.2	25	87	68	81	79	40	24	7.9	5.6	6.1	6.5	15	4	26	7	4	1	—	—	5	4	10
März	0.0	4.6	1.1	1.7	−6.1	19	13.3	31	84	62	78	75	39	31	6.4	7.1	5.5	6.3	77	16	7	17	14	14	—	—	—	5	12
April	6.9	14.2	9.0	9.8	1.2	1	22.5	13	81	49	68	66	33	21	6.4	5.2	6.1	5.9	63	11	14	12	10	—	—	2	—	7	12
Mai	8.4	12.3	9.6	10.0	5.3	1	17.4	24	84	66	80	77	38	24	8.2	7.7	8.1	8.0	189	29	21	22	20	—	—	1	—	3	21
Juni	14.0	20.2	15.2	16.1	7.8	13	27.5	8	75	55	72	68	30	4	4.7	5.0	5.9	5.2	110	28	30	16	14	—	—	4	—	10	10
Juli	14.1	20.7	15.4	16.4	8.2	25	27.2	5	80	54	77	70	38	4	4.9	4.3	5.9	5.0	127	21	14	17	16	—	—	4	—	6	9
Aug.	14.6	21.2	16.1	17.0	11.2	6	24.8	31	84	56	80	73	42	16	5.0	3.9	6.5	5.1	124	36	5	11	11	—	—	2	—	8	9
Sept.	10.6	16.5	12.3	12.9	1.7	30	23.6	3.8	90	64	84	79	45	8.28	6.7	5.2	5.6	5.8	137	35	4	14	13	—	—	1	1	7	13
Okt.	6.2	9.4	6.7	7.2	−1.0	26	19.0	15	92	76	90	86	60	22	9.3	8.5	7.4	8.4	175	20	6	28	23	4	—	—	1	1	20
Nov.	4.3	7.1	4.9	5.3	−5.3	24	15.2	7	91	76	87	85	54	21	9.3	8.5	7.7	8.5	81	18	19	17	14	1	—	—	7	—	20
Dez.	−2.1	−0.3	−2.2	−1.7	−16.0	29	12.5	1	87	76	86	83	50	2	9.0	7.5	8.5	8.3	57	18	10	10	9	5	—	—	6	—	20
Jahr	6.2	11.0	7.4	8.0	−16.0	XII	27.5	VI	85	65	81	77	30	VI	7.2	6.3	6.7	6.7	1220	36	VIII	186	162	30	—	14	24	54	173

Oberes Aare- und Saanegebiet

Thun

$\lambda = 7°37', \beta = 46°46', H_b = 565^m, h_r = 1.9^m$.

Beobachter: **Eidg. Munitionsfabrik: E. Stucki**

Jan.	−1.5	2.1	−0.9	−0.3	−12.3	7	7.3	17	86	71	86	81	43	4	7.5	6.6	7.2	7.1	43	10	18	11	10	2	—	—	1	—	13
Febr.	−2.0	3.6	0.2	0.5	−8.3	15	14.3	24	89	60	79	76	20	24	6.5	5.6	5.9	6.0	13	5	13	3	3	2	—	—	2	—	6
März	0.1	4.9	1.8	2.2	−4.3	19	14.7	6	81	51	75	69	28	29.31	7.3	7.3	7.6	7.4	76	30	7	10	11	9	—	—	—	—	16
April	6.3	13.1	9.0	9.3	2.3	2	20.7	11	86	52	74	71	30	11	6.2	5.9	6.3	6.1	65	16	27	10	8	—	—	—	—	4	10
Mai	7.8	12.1	9.9	10.0	3.9	3	16.5	31	86	59	79	75	40	17 24.30	8.0	8.5	8.6	8.4	202	25	8	18	18	—	—	—	—	—	21
Juni	13.6	20.1	15.7	16.3	7.1	13	26.7	29	81	50	79	70	32	5	5.2	5.8	6.4	5.8	157	24	23	16	15	—	—	7	—	3	9
Juli	15.0	20.4	16.6	17.2	8.9	24	25.9	30	77	52	71	67	32	19	4.5	5.5	5.6	5.2	138	21	15	18	18	—	—	4	—	5	6
Aug.	14.7	21.5	16.2	17.2	10.9	25	24.9	31	89	50	82	74	38	7.10	6.0	5.5	5.7	5.7	105	30	5	12	12	—	—	2	—	2	6
Sept.	11.2	15.8	12.8	13.2	5.1	24	24.1	11	92	60	86	79	35	26	6.3	6.0	6.4	6.2	92	27	4	10	10	—	—	—	—	1	9
Okt.	6.8	10.8	7.4	8.1	−1.3	30	19.0	14.15	92	67	88	82	40	15	8.6	8.0	8.8	8.5	158	27	5	21	21	3	—	—	1	—	20
Nov.	4.9	8.2	5.2	5.9	−5.3	24	14.8	18	86	67	87	80	50	5.22 23 27	8.0	7.2	7.7	7.6	50	11	19	10	9	—	—	—	4	—	16
Dez.	−1.4	0.8	−0.8	−0.6	−15.5	30	9.7	1	86	77	87	83	45	2	8.6	8.1	8.3	8.3	60	16	10	8	8	4	—	—	—	2	22
Jahr	6.3	11.1	7.8	8.3	−15.5	XII	26.7	VI	86	60	81	76	20	II	6.9	6.7	7.0	6.9	1159	30	III	148	143	20	—	13	8	17	154

Heiligenschwendi

$\lambda = 7°41', \beta = 46°45', H_b = 1125^m, h_r = 1.4^m$.

Beobachter: **Sanatorium**

Jan.	−0.5	2.9	0.1	0.7	−8.8	7	10.0	16	77	62	74	71	28	9	6.5	7.1	5.6	6.4	66	12	18	11	11	8	—	—	2	4	12
Febr.	−0.4	4.7	1.0	1.6	−6.6	1	10.6	24	67	54	65	62	31	9	5.0	5.1	3.3	4.5	24	8	13	9	7	8	—	—	2	10	6
März	−1.8	2.0	−0.9	−0.4	−8.0	13	9.5	4.6	77	59	76	71	35	30	7.4	7.7	6.5	7.2	154	38	7	20	17	18	—	—	—	3	16
April	5.0	10.0	6.0	6.7	0.2	20	18.0	11	81	61	80	74	37	22	6.6	6.8	5.8	6.4	89	26	18	11	11	5	—	—	3	5	12
Mai	5.5	8.5	6.1	6.3	2.4	16	14.0	28	83	70	82	78	51	6	8.6	9.1	9.0	8.9	231	30	8	22	20	—	—	—	7	—	24
Juni	11.7	16.3	12.3	12.9	3.4	13	24.4	6	78	62	81	74	42	6.29	6.0	7.1	7.4	6.8	179	37	30	19	18	—	1	9	1	2	12
Juli	12.4	16.7	13.2	13.6	5.6	25	23.0	30	78	62	77	72	39	5	5.0	5.9	5.9	5.6	124	19	22	18	17	—	—	6	1	6	9
Aug.	13.2	17.7	13.9	14.5	9.6	6	22.0	31	83	64	83	77	46	9.19	5.5	6.6	6.5	6.2	151	54	5	13	11	—	—	2	5	2	9
Sept.	9.6	13.5	10.6	10.9	3.5	29	21.0	3.11	88	71	86	82	46	11	5.5	6.9	7.3	6.6	106	44	4	13	10	—	—	—	4	3	10
Okt.	5.4	8.2	5.7	6.2	−3.0	28	18.9	18	84	72	83	80	44	18	8.3	8.2	6.3	7.6	188	22	3.6	24	22	7	—	—	4	—	15
Nov.	4.3	6.9	4.6	5.1	−5.6	22	15.0	8	77	68	81	75	37	26	7.6	6.8	5.5	6.6	78	15	17	17	14	3	—	—	2	3	13
Dez.	−1.7	1.1	−1.1	−0.7	−12.6	30	10.7	2	74	66	73	71	32	31	7.0	7.0	6.1	6.7	80	25	6	10	8	7	—	—	8	7	15
Jahr	5.2	9.0	6.0	6.4	−12.6	XII	24.4	VI	79	64	78	74	28	I	6.6	7.0	6.3	6.6	1470	54	VIII	187	166	56	1	17	39	45	153

Heiligenschwendi: Die Abendbeobachtung geschieht um 20^{80h}.

Adelboden

$\lambda = 7°35', \beta = 46°30', H = \text{ca. } 1345^m, h_r = 1.5^m$.

Beobachter: **G. Gyger-Sport**

Jan.	−1.6	2.1	−1.3	−0.5	−13.0	7	13.4	17	65	56	67	63	25	9	5.8	5.8	6.1	5.9	?74	?18	22	*10	*10	*10	—	—	—	10	12
Febr.	−1.6	3.4	−0.2	0.3	−11.4	22	10.0	8	62	52	60	58	25	7	4.6	4.6	5.5	4.9	32	13	13	4	4	4	—	—	1	12	11
März	−3.3	1.1	−2.0	−1.6	−12.0	19	11.0	6	75	62	73	70	28	4	7.4	6.7	7.9	7.3	178	49	7	16	16	14	—	—	—	5	20
April	3.3	9.3	5.0	5.7	−1.4	18	16.0	12.13 14	72	56	73	67	32	10	6.9	5.9	7.6	6.8	85	21	17	8	8	7	—	—	—	5	17
Mai	4.5	8.7	5.1	5.9	1.0	9	16.0	27	79	65	83	76	44	12	8.3	8.5	9.5	8.8	202	31	8	21	18	10	—	—	—	—	24
Juni	11.3	16.2	11.7	12.7	2.0	14	21.0	29.30	64	55	70	63	30	4	5.2	5.7	8.1	6.3	172	41	30	15	15	—	—	5	1	4	11
Juli	12.3	16.4	12.6	13.5	4.4	25	24.8	9	67	57	73	66	35	6.29	5.5	6.3	7.6	6.5	124	34	21	15	15	2	—	3	2	5	16
Aug.	11.9	17.0	13.2	13.8	8.0	6	20.0	12. 30	80	65	79	75	34	30	5.6	6.3	8.8	6.9	122	31	5	16	15	—	—	3	—	—	11
Sept.	7.9	13.1	9.4	9.9	2.2	29	20.0	2.3	79	78	80	*79	31	5.6	5.1	6.0	7.8	6.3	93	23	4	13	13	—	—	1	9	6	14
Okt.	4.1	8.3	4.6	5.4	6.0	28.30	20.0	18	95	90	95	*93	47	20	8.3	8.5	7.8	8.2	176	19	5	24	22	11	—	—	8	—	20
Nov.	2.5	6.7	2.8	3.7	−13.0	23	16.0	4	*95	*80	*90	88	?	—	6.4	6.7	6.1	6.4	197	63	17	14	14	4	—	—	2	5	12
Dez.	−2.9	1.6	−3.2	−1.9	−12.0	29	14.0	2	*90	*75	*85	83	?	—	6.3	5.6	5.0	5.6	58	15	10	11	10	8	—	—	3	10	11
Jahr	4.0	8.7	4.8	5.6	−13.0	I/XI	24.8	VII	77	66	77	73	?	—	6.3	6.4	7.3	6.7	1513	63	XI	167	160	70	—	12	26	62	179

Château d'Oex

$\lambda = 7^\circ 7'$, $\beta = 46^\circ 29'$, $H = 1010^m$, $h_r = 1.5^m$.

Beobachter: **C. Delachaux**

1939	Luft-Temperatur								Relative Feuchtigkeit						Bewölkung				Niederschlag			Zahl der Tage							
	7³⁰	13³⁰	21³⁰	Mittel	Minimum	Tag	Maximum	Tag	7³⁰	13³⁰	21³⁰	Mittel	Minim.	Tag	7³⁰	13³⁰	21³⁰	Mitt.	Summe	Maxim.	Tag	●/✱	●✱ ≧1.0	✱	▲	K	≡	helle	trübe
Jan.	-3.1	1.1	-2.6	-1.8	-15.4	7	10.2	16	87	66	86	80	40	16	7.2	6.4	5.5	6.4	129	25	23	17	14	11	—	—	—	3	12
Febr.	-3.7	3.0	-1.1	-0.7	-10.4	1	10.2	24	80	59	78	72	28	9	4.2	4.8	4.3	4.4	25	7	28	9	5	8	—	—	—	11	5
März	-4.0	1.6	-2.0	-1.6	-12.1	19	9.7	6	86	61	84	77	37	30	6.7	7.2	5.2	6.4	159	32	7	17	13	14	—	—	—	4	13
April	3.8	10.9	5.4	6.4	0.1	20	18.4	11	88	54	82	75	32	11	6.9	6.7	6.2	6.6	88	15	14	12	11	5	—	—	—	2	12
Mai	5.3	10.3	6.7	7.2	2.1	13	15.4	28	87	62	85	78	42	28	7.2	7.9	8.1	7.7	155	31	8	20	18	1	—	1	—	—	18
Juni	11.1	17.5	11.7	13.0	3.5	13	24.9	29	83	53	88	75	30	29	5.0	6.8	5.9	5.9	138	28	30	17	15	—	1	4	—	4	8
Juli	11.6	18.1	13.3	14.1	6.1	25	24.1	5.8	84	55	80	73	36	5	6.5	6.0	5.8	6.1	119	21	5	16	14	—	—	2	—	4	5
Aug.	11.9	18.7	13.1	14.2	8.0	6	22.4	12	91	60	90	80	40	29	6.2	6.3	4.9	5.8	110	27	5	13	13	—	—	—	—	2	6
Sept.	8.0	14.7	10.3	10.8	1.2	30	22.6	3.11	94	63	93	83	31	11	6.3	5.6	7.1	6.3	120	28	14	13	12	—	—	1	—	2	12
Okt.	4.8	8.9	5.4	6.1	-7.5	30	19.2	18	92	65	91	83	36	14	8.6	8.5	8.1	8.4	213	27	15	24	20	6	—	—	1	—	20
Nov.	2.0	6.6	3.2	3.7	-9.6	23	13.5	8	93	68	93	85	43	26	7.5	7.1	5.0	6.5	190	42	19	15	13	4	—	1	—	2	11
Dez.	-4.2	-0.4	-3.2	-2.7	-18.0	30	12.3	2	89	71	86	82	26	2	6.6	6.2	6.0	6.3	79	16	5	12	10	8	—	—	2	3	12
Jahr	3.6	9.2	5.0	5.7	-18.0	XII	24.9	VI	88	61	86	79	26	XII	6.6	6.6	6.0	6.4	1525	42	XI	185	158	57	1	9	3	37	134

Marsens

$\lambda = 7^\circ 4'$, $\beta = 46^\circ 39'$, $H_b = 727^m$, $h_r = 1.5^m$.

Beobachter: **M. Galley**

1939	7³⁰	13³⁰	21³⁰	Mittel	Minimum	Tag	Maximum	Tag	7³⁰	13³⁰	21³⁰	Mittel	Minim.	Tag	7³⁰	13³⁰	21³⁰	Mitt.	Summe	Maxim.	Tag	●/✱	●✱ ≧1.0	✱	▲	K	≡	helle	trübe
Jan.	-1.0	3.0	-0.9	0.0	-12.2	7	10.0	17	94	84	91	90	70	7	8.0	7.8	6.4	7.4	113	24	18	15	14	7	—	—	2	1	15
Febr.	-2.6	3.4	-0.9	-0.2	-12.6	4	9.2	26	94	80	93	89	55	9	6.7	5.8	5.2	5.9	30	14	26	6	5	3	—	—	—	7	12
März	-1.1	3.5	-0.1	0.5	-8.4	19	11.8	6	92	79	91	87	60	30	7.4	7.3	6.2	7.0	107	36	7	15	13	12	—	—	—	5	16
April	6.4	12.1	7.9	8.6	1.6	20	19.8	11	92	77	89	86	60	11	7.4	7.2	6.4	7.0	104	19	14	13	13	—	—	—	—	5	14
Mai	7.1	11.4	8.3	8.8	1.8	1	15.8	24	96	81	92	90	68	17. 19	8.0	8.5	8.0	8.2	198	34	8	20	17	—	—	—	—	—	20
Juni	13.4	19.2	13.8	15.1	6.2	13	24.8	6.29	93	73	91	86	58	28	5.6	6.8	6.7	6.4	149	33	30	16	16	—	—	6	—	3	11
Juli	13.7	19.6	14.5	15.6	8.8	28	25.6	30	93	73	91	86	63	19. 29	5.8	6.5	5.7	6.0	134	28	14	13	12	—	—	6	—	5	11
Aug.	13.8	20.0	15.3	16.1	9.8	16. 18	23.4	11	97	80	93	90	66	9	6.8	5.9	6.0	6.2	98	23	19	12	12	—	—	2	4	3	11
Sept.	10.0	15.4	11.2	12.0	3.4	28	23.4	10	97	83	96	92	63	11	7.5	6.3	5.1	6.3	87	35	4	10	10	—	—	1	3	4	10
Okt.	6.3	9.7	6.6	7.3	-4.8	30	17.6	14	97	86	96	93	65	11. 21	8.7	8.3	8.2	8.4	252	28	15	23	22	4	—	2	2	—	20
Nov.	3.3	8.2	4.9	5.3	-7.2	24	16.2	8	96	85	94	92	63	26	8.2	7.1	6.7	7.3	194	22	9	14	13	—	—	—	7	1	18
Dez.	-3.0	0.1	-2.4	-1.9	-19.2	30	12.0	2	95	89	96	93	53	2	7.3	6.6	7.9	7.3	96	27	5	9	9	5	—	—	12	2	17
Jahr	5.5	10.5	6.5	7.2	-19.2	XII	25.6	VII	95	81	93	90	53	XII	7.3	7.0	6.5	6.9	1472	36	III	166	156	31	—	17	30	33	175

Romont

$\lambda = 6^\circ 55'$, $\beta = 46^\circ 41'$, $H_b = 764^m$, $h_r = 1.5^m$.

Beobachter: **Couvent des Capucins**

1939	7³⁰	13³⁰	21³⁰	Mittel	Minimum	Tag	Maximum	Tag	7³⁰	13³⁰	21³⁰	Mittel	Minim.	Tag	7³⁰	13³⁰	21³⁰	Mitt.	Summe	Maxim.	Tag	●/✱	●✱ ≧1.0	✱	▲	K	≡	helle	trübe
Jan.	-0.4	2.0	0.1	0.4	-10.6	7	8.1	16	85	76	83	81	43	9	7.5	7.2	5.5	6.7	80	14	22	14	13	7	—	—	1	3	13
Febr.	-1.8	2.5	-0.2	0.1	-10.4	4	8.1	10	87	67	83	79	43	9	6.4	5.8	5.2	5.8	23	10	26	7	5	3	—	—	3	7	10
März	-1.4	2.5	-0.4	0.1	-6.3	19	10.4	6	86	68	84	79	46	30	7.7	6.8	5.5	6.7	75	19	7	14	10	12	—	—	—	2	15
April	5.7	11.2	7.3	7.9	1.9	20	17.6	14	87	62	80	76	39	22	7.4	6.6	5.8	6.6	106	18	25	13	12	1	—	—	3	5	13
Mai	6.7	11.2	7.8	8.4	1.7	1	15.4	31	91	66	85	81	50	17	8.0	8.4	7.6	8.0	177	33	2	19	18	—	—	2	2	—	20
Juni	12.4	18.4	13.9	14.6	6.1	13	25.2	29	86	58	82	75	42	28	5.1	5.8	6.6	5.8	215	62	23	16	16	—	—	4	—	6	10
Juli	13.1	18.9	14.5	15.2	7.3	24	24.6	9	84	59	78	74	47	5.7	5.6	5.8	4.9	5.4	98	23	14	12	10	—	—	3	—	6	8
Aug.	13.1	19.2	15.2	15.7	9.8	7	22.1	30	92	64	85	80	52	6	6.6	6.1	5.3	6.0	62	18	5	13	11	—	—	2	3	3	11
Sept.	10.1	14.9	11.1	11.8	3.2	28	22.4	3	94	69	71	78	55	10	7.1	6.6	4.2	6.0	79	32	4	14	13	—	—	1	6	5	10
Okt.	5.7	8.9	6.3	6.8	-2.5	30	17.4	15	94	77	91	87	48	21	8.3	8.2	8.7	8.4	224	35	15	25	21	4	—	—	6	—	21
Nov.	3.9	7.1	4.8	5.2	-6.2	24	14.3	8	90	77	88	85	46	26	8.4	7.3	6.9	7.5	91	27	9	15	13	—	—	—	7	1	15
Dez.	-2.7	-0.6	-2.2	-1.9	-17.1	30	11.0	2	90	84	93	89	41	8	7.9	7.1	6.4	7.1	76	30	4	12	9	6	—	—	12	2	16
Jahr	5.4	9.7	6.5	7.0	-17.1	XII	25.2	VI	89	69	84	80	39	IV	7.2	6.8	6.1	6.7	1306	62	VI	174	151	33	—	12	43	40	162

Südwestschweiz

Siders

$\lambda = 7^\circ 32'$, $\beta = 46^\circ 18'$, $H_b = 572.7^m$, $h_r = 1.5^m$.

Beobachter: **Hôpital d'Arrondissement**

1939	7³⁰	13³⁰	21³⁰	Mittel	Minimum	Tag	Maximum	Tag	7³⁰	13³⁰	21³⁰	Mittel	Minim.	Tag	7³⁰	13³⁰	21³⁰	Mitt.	Summe	Maxim.	Tag	●/✱	●✱ ≧1.0	✱	▲	K	≡	helle	trübe
Jan.	-0.4	2.2	0.3	0.6	-8.5	7	10.3	18	70	58	62	63	41	12	6.2	5.8	4.8	5.6	49	25	23	10	7	4	—	—	—	5	8
Febr.	-0.5	3.8	0.8	1.2	-7.5	2	10.2	26	69	50	56	58	30	23	2.9	2.8	2.1	2.6	4	3	28	2	2	—	—	—	—	12	—
März	-0.2	5.0	1.1	1.7	-6.0	19	11.4	31	65	46	56	56	23	30	5.0	5.5	4.1	4.9	74	18	15	9	9	6	—	—	—	9	6
April	7.1	15.2	9.5	10.3	2.2	20	20.0	14	72	42	56	57	28	4.22	6.5	5.1	5.5	5.7	22	11	27	6	5	—	—	—	—	7	12
Mai	8.8	15.4	11.2	11.7	5.0	1	20.4	31	77	43	59	60	29	2	7.0	6.7	6.5	6.7	48	21	18	9	9	—	—	—	—	4	13
Juni	14.8	23.1	17.5	18.2	8.8	14. 15	28.5	9	67	40	54	54	30	5.8.29	3.8	4.0	4.8	4.2	47	20	30	9	6	—	—	—	—	8	3
Juli	15.3	22.6	17.7	18.3	10.7	26	28.2	5	72	43	59	58	28	19	4.2	4.2	4.1	4.2	47	14	16	10	7	—	—	—	—	8	2
Aug.	14.7	22.5	17.1	17.8	12.0	6	24.9	28	82	45	67	64	36	1.28	5.5	4.3	4.8	4.9	79	30	5	11	9	—	—	—	—	8	7
Sept.	11.4	19.0	13.3	14.3	3.9	30	23.6	3	83	46	64	64	32	30	5.4	3.7	4.2	4.4	29	17	4	4	4	—	—	—	—	8	5
Okt.	6.8	11.6	8.4	8.8	-2.8	30	21.4	18	82	59	70	70	31	1	8.3	7.1	7.6	7.7	89	15	5	20	16	3	—	—	—	—	18
Nov.	4.1	8.5	5.8	6.1	-4.5	24	15.1	21	76	58	68	67	40	4.9	6.9	6.4	5.9	6.4	101	32	16	12	9	—	—	—	—	3	11
Dez.	-1.3	1.4	-0.5	-0.2	-10.5	30	8.2	1	75	64	67	69	38	22	5.9	5.6	5.3	5.6	30	13	10	7	4	3	—	—	—	6	10
Jahr	6.7	12.5	8.5	9.1	-10.5	XII	28.5	VI	74	50	62	62	23	III	5.6	5.1	5.0	5.2	619	32	XI	109	87	16	—	—	—	78	95

Leukerbad

$\lambda = 7°\,37'$, $\beta = 46°\,23'$, $H_b = 1415^m$, $h_r = 1.1^m$.

Beobachter: **Schw. G. Gränicher**

1939	Luft-Temperatur							Relative Feuchtigkeit						Bewölkung				Niederschlag		Zahl der Tage						
	7^{30}	13^{30}	21^{30}	Mittel	Minimum	Tag	Maximum Tag	7^{30}	13^{30}	21^{30}	Mittel	Minim.	Tag	7^{30}	13^{30}	21^{30}	Mitt.	Summe	Maxim. Tag	●	●✱ ≧1.0	✱	▲	≡	helle	trübe
Jan.	−2.9	1.4	−2.2	−1.5	−12.0	7	7.0	12	70	51	68	63	26	6	5.6	6.0	4.1	5.2	123	33	23	14	13	13	—	—	2	7	8
Febr.	−2.0	3.6	−0.4	0.2	−7.3	15	8.5	26	50	36	48	45	18	15	6.4	5.5	3.9	4.6	9	4	28	4	2	4	—	—	—	14	3
März	−5.1	0.6	−3.7	−3.0	−10.2	13.18	10.0	30	69	45	66	60	12	30	6.6	6.5	5.4	6.2	175	27	8	14	12	13	—	—	—	5	13
April	3.2	9.5	4.2	5.3	−1.3	18	15.0	$11^{9/13}$	65	39	61	55	20	21	6.7	6.3	5.2	6.1	38	11	18	9	9	5	—	—	5	5	12
Mai	5.1	9.7	5.2	6.3	1.0	1	18.0	30	75	46	71	64	25	30	7.7	8.3	7.8	7.9	128	35	20	16	15	3	—	—	10	1	21
Juni	11.7	16.1	11.3	12.6	3.3	13	22.0	10.29	62	41	63	55	21	29	4.3	5.1	5.6	5.0	79	24	30	12	10	—	—	4	4	3	7
Juli	12.3	17.2	10.7	12.7	3.0	25	22.0	8.30	66	41	73	60	20	2	4.7	5.5	4.3	4.8	109	23	16	15	13	—	—	6	4	8	8
Aug.	12.2	17.7	11.8	13.4	7.0	6	20.5	13	77	51	85	71	22	15	5.0	5.4	4.6	5.0	87	31	5	13	9	—	—	3	5	10	7
Sept.	7.8	13.8	9.2	10.0	2.2	29	19.8	3	91	57	78	75	22	30	5.3	4.8	3.9	4.7	46	22	4	8	8	—	—	—	11	9	5
Okt.	3.4	8.1	4.2	5.0	−5.3	28	18.0	23	86	62	80	76	28	21	8.4	7.6	6.2	7.4	190	27	28	22	21	9	—	1	7	—	14
Nov.	1.8	6.5	2.2	3.2	−10.0	23	14.0	8	77	60	75	71	24	26	7.4	6.7	5.0	6.4	218	63	17	13	13	5	—	—	1	4	11
Dez.	−3.2	0.3	−3.0	−2.2	−15.2	30	10.2	2	63	54	61	59	21	2	5.2	5.7	4.0	5.0	51	21	4	6	6	6	—	—	3	11	8
Jahr	3.7	8.7	4.1	5.2	−15.2	XII	22.0	VI/VII	71	49	69	63	12	III	6.1	6.0	5.0	5.7	1253	63	XI	146	131	58	—	14	52	82	117

Grächen

$\lambda = 7°\,51'$, $\beta = 46°\,12'$, $H_b = 1629^m$, $h_r = 1.5^m$.

Beobachter: **St. Venetz**

Jan.	−4.4	−0.7	−3.3	−2.9	−13.9	7	5.2	9	—	—	—	—	—	—	5.8	5.7	4.1	5.2	17	8	12	4	3	4	—	—	1	5	8
Febr.	−3.8	2.9	−1.4	−0.9	−8.9	22	12.1	10	—	—	—	—	—	—	3.8	3.5	4.4	3.9	5	5	24	1	1	1	—	—	—	11	4
März	−6.1	−1.3	−4.1	−3.9	−12.0	14	7.8	4	—	—	—	—	—	—	6.0	6.1	5.2	5.8	38	13	5	11	10	10	—	—	—	5	11
April	2.7	7.2	4.1	4.5	−3.2	20	14.6	12	—	—	—	—	—	—	6.5	5.9	6.2	6.2	80	34	27	7	7	4	—	—	—	5	11
Mai	2.7	7.0	3.9	4.4	−1.8	14	13.8	27.28	—	—	—	—	—	—	8.4	8.4	8.3	8.4	76	23	18	12	11	8	—	—	1	1	22
Juni	10.1	15.0	11.7	12.1	2.9	13	20.8	5	—	—	—	—	—	—	5.7	6.8	6.7	6.4	42	14	30	7	7	1	—	—	—	3	11
Juli	10.7	17.0	12.5	13.2	4.1	25	23.5	8	—	—	—	—	—	—	6.3	5.5	5.1	5.6	38	11	16	5	5	—	—	—	—	6	6
Aug.	10.8	15.9	12.3	12.8	7.8	8	21.2	14	—	—	—	—	—	—	7.0	6.6	6.8	6.8	86	41	5	8	8	—	—	—	1	1	13
Sept.	7.3	12.4	9.2	9.5	3.2	16	19.6	10	—	—	—	—	—	—	6.5	5.5	5.5	5.8	32	23	4	3	3	—	—	—	—	5	12
Okt.	2.6	5.8	3.2	3.7	−8.1	28	14.1	17	—	—	—	—	—	—	8.6	7.8	7.5	8.0	53	16	5	11	11	3	—	—	—	—	22
Nov.	0.7	4.3	1.5	2.0	−10.2	23	12.9	13	—	—	—	—	—	—	6.5	6.0	5.7	6.1	66	25	16	8	8	6	—	—	—	3	9
Dez.	−5.0	−1.7	−4.4	−3.9	−17.7	30	7.7	2	—	—	—	—	—	—	5.4	4.6	3.8	4.6	9	7	10	2	2	2	—	—	—	9	5
Jahr	2.4	7.0	3.8	4.2	−17.7	XII	23.5	VII	—	—	—	—	—	—	6.4	6.0	5.8	6.1	542	41	VIII	79	76	39	—	—	3	54	134

Zermatt

$\lambda = 7°\,45'$, $\beta = 46°\,8'$, $H_b = 1610^m$, $h_r = 0.8^m$.

Beobachter: **G. Brantschen**

Jan.	−6.2	−0.2	−5.9	−4.6	−17.0	7	5.2	16	73	56	69	66	34	27	4.9	5.3	3.3	4.5	39	10	12	9	6	9	—	—	—	10	6
Febr.	−6.6	3.1	−3.7	−2.7	−12.6	22	8.0	9.11	70	50	65	62	34	3.22	2.2	2.7	2.6	2.5	10	6	24	4	3	4	—	—	—	15	1
März	−7.9	0.8	−5.6	−4.6	−14.2	12	8.4	30	69	45	66	60	31	30	4.8	5.3	3.9	4.7	44	11	5	11	10	11	—	—	—	10	6
April	1.3	9.8	3.4	4.5	−3.3	19	15.2	11	75	51	70	65	29	22.23	5.8	5.3	5.0	5.4	51	18	27	13	10	6	—	—	—	10	10
Mai	3.3	9.7	4.6	5.5	−3.0	1	16.8	30	80	58	76	72	35	28.30	6.6	8.0	8.3	7.6	102	24	18	20	16	11	—	—	1	—	16
Juni	9.1	17.4	9.5	11.4	2.3	13	24.0	29	73	42	72	62	27	4	4.7	5.1	6.0	5.3	64	27	30	15	13	—	—	1	—	7	8
Juli	9.4	18.3	9.6	11.7	4.2	25.26/28	24.0	8.30	74	44	75	64	29	27	4.1	4.5	4.3	4.3	87	23	21	10	10	—	—	1	4	7	2
Aug.	8.5	18.4	10.0	11.7	5.3	6	21.8	14	82	51	81	71	37	3.19	4.4	4.9	5.1	4.8	68	36	5	9	8	—	—	1	1	7	5
Sept.	5.0	15.2	7.1	8.6	−1.0	30	22.0	3	84	49	80	71	27	7	4.0	4.0	5.7	4.6	30	17	4	7	4	—	—	—	2	9	6
Okt.	1.9	7.6	2.7	3.7	−8.3	30	16.6	18	84	59	81	75	32	30	8.4	6.3	7.4	7.4	76	15	5	20	18	9	—	—	—	2	14
Nov.	−1.1	5.6	−0.5	0.9	−12.0	23	13.2	9	80	54	78	71	37	14.23	5.1	5.6	4.1	4.9	127	55	17	10	9	8	—	—	—	6	6
Dez.	−6.8	−0.7	−6.1	−4.9	−20.0	30	8.1	1	76	56	75	69	33	23	4.9	4.8	3.7	4.5	20	9	10	8	5	8	—	—	3	11	8
Jahr	0.8	8.7	2.1	3.4	−20.0	XII	24.0	VI/VII	77	51	74	67	27	VI/IX	5.0	5.1	5.0	5.0	718	55	XI	136	112	66	—	3	11	94	88

Saas-Fée

$\lambda = 7°\,56'$, $\beta = 46°\,7'$, $H = \text{ca. } 1800^m$, $h_r = 1.5^m$.

Beobachter: **Ad. Imseng**

Jan.	−6.3	−2.2	−5.5	−4.9	−15.7	7	4.1	17	59	47	56	54	22	6.10	5.1	4.9	3.5	4.5	33	11	12	8	6	8	—	—	—	7	4
Febr.	−5.7	1.9	−3.7	−2.8	−11.9	22	8.1	11	55	36	47	46	15	15	3.4	3.0	3.5	3.3	36	24	24	7	6	7	—	—	—	11	3
März	−7.3	−1.5	−6.3	−5.3	−14.4	13	8.2	4	56	38	51	48	13	30	5.6	5.7	4.7	5.3	58	10	5	12	9	12	—	—	—	6	6
April	2.1	6.6	2.9	3.6	−2.6	19	13.4	10.13	56	39	53	49	12	9	5.3	5.1	4.9	5.1	114	39	27	11	9	7	—	—	—	7	6
Mai	2.0	6.2	3.1	3.6	−1.2	1	14.7	24	72	52	71	65	18	29	7.5	8.0	7.9	7.8	149	36	18	14	13	8	—	—	—	—	17
Juni	9.0	14.2	9.2	10.4	0.1	13	22.4	29	58	38	56	51	14	28	4.2	5.5	6.4	5.4	52	14	30	11	10	1	—	—	—	6	8
Juli	10.1	15.2	9.6	11.1	2.0	25	23.2	8	57	36	59	51	15	29	3.5	4.5	4.4	4.1	53	16	16	8	7	—	—	—	—	7	2
Aug.	10.0	15.3	10.6	11.6	4.5	6	19.4	11	71	42	70	61	21	10	5.0	5.0	6.5	5.5	119	58	5	12	11	—	—	—	—	6	9
Sept.	6.3	11.9	6.7	7.9	1.5	30	18.8	9.11	74	40	68	61	16	29	4.1	4.0	4.5	4.2	38	20	4	13	8	—	—	—	—	11	4
Okt.	1.5	5.1	2.0	2.7	−7.8	26.30	15.0	18	74	55	72	67	25	9/17.18	7.3	6.7	6.7	6.9	94	18	6	17	15	7	—	—	—	3	13
Nov.	−0.6	3.8	−0.1	0.8	−9.9	23	9.8	30	61	46	60	56	18	30	5.9	5.1	4.1	5.0	67	20	16	10	10	7	—	—	—	6	7
Dez.	−6.1	−3.6	−6.1	−5.5	−19.6	30	5.4	2	55	49	54	53	20	8	5.5	4.8	4.6	5.0	26	9	10	8	7	7	—	—	—	9	8
Jahr	1.3	6.1	1.9	2.8	−19.6	XII	23.2	VII	62	43	60	55	12	IV	5.1	5.2	5.1	5.1	839	58	VIII	131	111	64	—	—	—	79	87

Seewis

$\lambda = 9^\circ 38'$, $\beta = 46^\circ 59'$, $H = 953.8^m$, $h_r = 1.5^m$.

Beobachter: **Frau B. Janett**

1939	Luft-Temperatur								Relative Feuchtigkeit						Bewölkung				Niederschlag			Zahl der Tage							
	7³⁰	13³⁰	21³⁰	Mittel	Minimum	Tag	Maximum	Tag	7³⁰	13³⁰	21³⁰	Mittel	Minim.	Tag	7³⁰	13³⁰	21³⁰	Mitt.	Summe	Maxim.	Tag	●✱	●✱ ≧1.0	✱	▲	K	≡	helle	trübe
Jan.	-1.6	3.2	-1.4	-0.3	-7.3	7.28	10.4	18	82	59	82	74	38	10	6.2	4.6	4.8	5.2	58	14	12	14	13	11	—	—	1	7	6
Febr.	-1.8	4.8	-0.3	0.6	-8.2	15	13.2	25	74	53	73	67	34	28	3.3	2.4	2.6	2.8	33	13	10	10	5	6	—	—	1	16	3
März	-2.6	2.6	-1.7	-0.8	-8.1	19	10.3	4	83	58	88	76	28	30	7.3	6.3	7.9	7.2	203	31	8	20	17	18	—	—	1	5	19
April	5.9	12.7	6.3	7.8	0.5	18	19.4	12	77	49	78	68	31	11. 22	5.5	4.2	4.9	4.9	46	14	27	13	10	1	—	—	3	8	7
Mai	6.7	11.0	6.4	7.6	2.0	14	17.3	31	85	65	90	80	36	1	8.0	6.6	7.4	7.3	169	23	28	23	20	—	—	—	13	3	13
Juni	13.4	19.7	12.6	14.6	5.1	13	27.2	29	76	56	85	72	37	29	4.0	4.3	4.8	4.4	100	40	12	13	9	—	—	—	2	11	8
Juli	13.4	20.3	13.2	15.0	5.4	25	28.1	5.30	76	53	82	70	29	5	4.6	4.2	4.1	4.3	208	39	22	17	15	—	—	2	1	13	4
Aug.	14.2	19.7	13.8	15.4	9.0	6	23.1	31	80	59	88	76	43	15	5.1	5.3	5.0	5.1	95	27	5	12	9	—	—	—	2	8	9
Sept.	10.6	15.2	10.6	11.7	4.2	29	23.2	3	86	68	92	82	46	30	6.3	4.7	5.6	5.5	90	44	4	13	8	—	—	1	10	7	12
Okt.	5.2	9.5	4.9	6.1	-3.4	30	19.3	15	89	68	89	82	37	30	8.4	8.2	7.0	7.9	161	28	19	23	18	4	—	—	4	1	18
Nov.	2.0	7.3	2.9	3.8	-9.1	22	16.2	8	86	65	88	80	34	9	6.0	5.0	5.0	5.3	257	101	17	15	12	5	—	—	—	5	9
Dez.	-3.7	0.4	-2.9	-2.3	-18.1	30	9.1	1	82	65	82	76	41	4.18 23.25	5.2	4.8	4.7	4.9	55	13	6	13	10	12	—	—	3	12	9
Jahr	5.1	10.5	5.4	6.6	-18.1	XII	28.1	VII	81	60	85	75	28	III	5.8	5.1	5.3	5.4	1475	101	XI	186	146	57	—	3	41	96	117

Schiers

$\lambda = 9^\circ 41'$, $\beta = 46^\circ 58'$, $H = 670^m$, $h_r = 1.0^m$.

Beobachter: **G. Turnitzer**

1939	7³⁰	13³⁰	21³⁰	Mittel	Minimum	Tag	Maximum	Tag	7³⁰	13³⁰	21³⁰	Mittel	Minim.	Tag	7³⁰	13³⁰	21³⁰	Mitt.	Summe	Maxim.	Tag	●✱	●✱ ≧1.0	✱	▲	K	≡	helle	trübe
Jan.	-3.0	0.6	-2.6	-1.9	-9.8	4	8.1	22	93	73	91	85	56	29	8.6	6.2	6.5	7.1	52	16	12	14	11	11	—	—	1	1	14
Febr.	-4.4	2.8	-1.9	-1.4	-11.5	3	12.5	24	90	58	84	77	36	16	4.5	3.0	4.8	4.1	24	11	10	8	5	5	—	—	3	11	7
März	-2.7	2.8	-1.0	-0.5	-10.0	19	12.6	6	87	58	85	77	32	30	7.9	7.1	7.9	7.6	179	33	10	18	15	16	—	—	—	4	20
April	4.6	12.8	7.3	8.0	-0.1	20	20.5	11	88	52	75	72	32	11. 22	7.1	6.4	5.6	6.4	38	10	27	12	10	—	—	—	—	7	15
Mai	6.3	11.0	7.6	8.1	2.9	14	16.5	6	90	67	84	80	38	6.15	8.6	8.9	8.8	8.8	147	21	16	24	19	—	—	2	—	—	23
Juni	11.2	19.0	13.7	14.4	5.5	13	25.3	29	88	56	82	75	39	11	4.8	5.2	6.9	5.6	88	36	12	14	12	—	—	3	—	5	11
Juli	11.9	19.6	14.0	14.9	6.3	25	29.5	7	88	58	82	76	29	4	5.9	5.6	6.9	6.1	158	39	1	17	16	—	—	6	—	6	12
Aug.	12.8	19.7	14.6	15.4	8.0	16	23.0	30	87	59	85	77	39	29	5.9	5.4	6.1	5.8	88	33	5	8	7	—	—	3	—	6	10
Sept.	9.0	15.6	11.1	11.7	0.0	30	23.5	3	93	64	88	82	33	30	6.8	5.4	7.0	6.4	82	39	4	12	11	—	—	1	—	7	15
Okt.	4.5	9.7	5.6	6.4	-5.0	30	21.9	15	91	68	88	82	38	15	8.6	8.8	7.7	8.4	129	25	19	22	17	2	—	—	—	1	23
Nov.	1.1	6.2	2.5	3.1	-8.6	24	13.6	4	92	70	89	84	50	2.4	6.9	6.5	6.7	6.7	197	74	17	14	12	1	—	2	2	3	13
Dez.	-5.3	-2.1	-3.9	-3.8	-18.7	30	5.5	1	90	77	89	85	50	4	5.6	5.9	7.4	6.3	42	12	10	7	7	5	—	—	3	4	12
Jahr	3.8	9.8	5.6	6.2	-18.7	XII	29.5	VII	90	63	84	79	29	VII	6.8	6.2	6.9	6.6	1224	74	XI	170	142	40	—	17	9	55	175

Flims

$\lambda = 9^\circ 17'$, $\beta = 46^\circ 50'$, $H =$ ca. 1100^m, $h_r = 1.5^m$.

Beobachter: **Erziehungsinstitut Briner**

1939	7³⁰	13³⁰	21³⁰	Mittel	Minimum	Tag	Maximum	Tag	7³⁰	13³⁰	21³⁰	Mittel	Minim.	Tag	7³⁰	13³⁰	21³⁰	Mitt.	Summe	Maxim.	Tag	●✱	●✱ ≧1.0	✱	▲	K	≡	helle	trübe
Jan.	-1.0	3.0	-1.0	0.0	-8.4	28	10.2	18	71	58	71	67	35	10	6.8	6.2	5.6	6.2	79	21	12	12	11	9	—	—	1	2	10
Febr.	-1.7	5.2	0.1	0.9	-9.0	15	11.4	24	66	49	63	59	32	5	4.7	3.6	3.5	3.9	18	6	10	9	5	8	—	—	—	11	6
März	-3.3	2.5	-2.0	-1.2	-8.3	19	11.1	4	76	58	78	71	28	30	7.7	7.3	7.7	7.6	166	29	8	23	17	21	—	—	2	2	20
April	6.6	12.5	7.1	8.3	2.0	19	20.1	13	70	51	74	65	38	21	6.4	6.4	6.8	6.5	82	24	28	14	10	5	—	—	1	6	18
Mai	6.1	10.7	6.2	7.3	1.2	14	17.2	27	82	64	82	76	38	7	8.7	8.5	8.3	8.5	140	20	28	23	20	2	—	—	10	—	20
Juni	12.5	18.9	13.1	14.4	3.6	13	26.0	29	74	54	74	67	30	30	5.0	5.5	5.5	5.3	125	21	13	14	12	—	—	—	3	8	12
Juli	12.6	19.2	13.3	14.6	5.0	25	26.2	8	74	54	73	67	32	4	5.5	5.6	5.3	5.5	214	40	22	16	15	—	—	3	4	5	8
Aug.	13.1	19.3	13.8	15.0	8.8	6	24.1	31	78	57	76	70	39	19. 31	6.2	6.6	5.7	6.2	116	37	5	12	8	—	—	2	5	2	10
Sept.	9.4	15.6	9.9	11.2	2.8	28	22.5	1	84	61	85	77	41	30	6.7	5.5	6.0	6.1	111	54	4	13	12	—	—	—	5	7	13
Okt.	4.7	8.8	5.1	5.9	-4.2	30	17.2	18	81	67	79	76	45	31	9.0	8.0	7.4	8.1	152	27	1	25	21	10	—	—	9	1	23
Nov.	2.2	7.4	3.2	4.0	-8.6	23	17.6	8	78	60	74	71	34	8	6.8	6.0	6.1	6.3	183	*60	17	11	11	5	—	—	1	5	13
Dez.	-3.3	0.6	-2.8	-2.1	-23.6	30	10.9	2	72	65	74	70	38	4 23.24	5.9	6.0	6.0	6.0	73	17	6	15	14	14	—	—	4	6	11
Jahr	4.8	10.3	5.5	6.5	-23.6	XII	26.2	VII	76	58	75	70	28	III	6.6	6.3	6.2	6.4	1459	*60	XI	187	156	74	—	5	45	55	164

Tschiertschen (ob Chur)

$\lambda = 9^\circ 36'$, $\beta = 46^\circ 49'$, $H = 1351^m$, $h_r = 1.2^m$.

Beobachter: **Gg. Meister**

1939	7³⁰	13³⁰	21³⁰	Mittel	Minimum	Tag	Maximum	Tag	7³⁰	13³⁰	21³⁰	Mittel	Minim.	Tag	7³⁰	13³⁰	21³⁰	Mitt.	Summe	Maxim.	Tag	●✱	●✱ ≧1.0	✱	▲	K	≡	helle	trübe
Jan.	-2.1	1.1	-1.7	-1.1	-8.8	7	9.4	18	—	—	—	—	—	—	6.3	5.2	6.2	5.9	42	8	12	11	10	9	—	—	—	4	8
Febr.	-2.1	3.2	-0.8	-0.1	-9.6	22	9.7	24	—	—	—	—	—	—	4.0	3.0	4.0	3.7	21	10	10	9	5	9	—	—	—	13	6
März	-4.5	-0.5	-4.3	-3.4	-10.0	14	9.2	6	—	—	—	—	—	—	7.4	6.6	7.6	7.2	153	42	15	18	18	16	—	—	—	4	18
April	4.4	9.5	4.6	5.8	-1.9	18	15.7	11	—	—	—	—	—	—	5.9	5.8	4.4	5.4	37	11	27	12	9	8	—	—	—	7	8
Mai	4.6	7.8	4.0	5.1	0.1	14	13.3	31	—	—	—	—	—	—	8.3	7.9	8.6	8.3	163	21	28	24	23	4	—	1	4	—	17
Juni	10.6	15.8	10.7	12.0	2.1	14	22.1	29	—	—	—	—	—	—	4.9	5.6	6.0	5.5	101	33	12	13	11	—	—	—	—	7	11
Juli	11.1	16.4	11.4	12.6	3.2	25	22.7	30	—	—	—	—	—	—	4.9	5.4	5.3	5.2	198	42	22	15	15	—	—	—	—	7	7
Aug.	12.4	17.0	12.5	13.6	7.8	6	20.1	31	—	—	—	—	—	—	6.0	5.3	5.2	5.5	109	28	5	13	10	—	—	—	1	5	7
Sept.	8.0	12.4	8.2	9.2	1.6	28	19.8	3	—	—	—	—	—	—	5.8	5.8	6.5	6.0	109	47	4	11	10	1	—	—	1	7	11
Okt.	3.6	7.2	3.7	4.6	-6.9	26	17.6	18	—	—	—	—	—	—	8.7	7.8	7.8	8.1	131	25	19	20	15	9	—	—	1	1	20
Nov.	1.5	5.6	2.4	3.0	-11.3	23	14.3	8	—	—	—	—	—	—	6.5	5.3	5.5	5.8	175	55	17	13	12	4	—	—	—	5	12
Dez.	-4.5	-1.6	-4.2	-3.6	-19.7	30	8.8	2	—	—	—	—	—	—	5.2	5.2	5.5	5.3	52	18	6	12	9	9	—	—	1	7	10
Jahr	3.6	7.9	3.9	4.8	-19.7	XII	22.7	VII	—	—	—	—	—	—	6.2	5.7	6.1	6.0	1291	55	XI	171	147	69	—	1	8	67	135

St. Moritz

$\lambda = 9° 50'$, $\beta = 46° 30'$, $H_b = $ ca. 1853 m, $h_r = 2.7$ m. Beobachter: J. Tuena

1939	Luft-Temperatur								Relative Feuchtigkeit						Bewölkung				Niederschlag			Zahl der Tage							
	7^{30}	13^{30}	21^{30}	Mittel	Minimum	Tag	Maximum	Tag	7^{30}	13^{30}	21^{30}	Mittel	Minim.	Tag	7^{30}	13^{30}	21^{30}	Mitt.	Summe	Maxim.	Tag	☾	≧10	✳	▲	⛆	≡	helle	trübe
Jan.	-6.2	-0.6	-6.2	-4.8	-14.4	28	5.0	22	84	67	82	78	28	9	6.9	5.3	5.3	5.8	46	19	12	13	12	13	—	—	—	6	12
Febr.	-6.7	2.8	-4.3	-3.1	-14.6	15	8.8	11.12	70	48	66	61	26	6.15	3.7	3.7	2.7	3.4	7	4	10	5	2	5	—	—	—	13	4
März	-9.1	-0.5	-7.2	-6.0	-16.6	18.19	8.4	6	81	51	77	70	32	30	5.5	5.5	5.5	5.5	27	7	15	11	9	11	—	—	—	7	8
April	1.4	7.6	1.5	3.0	-2.4	20.23	13.6	12	83	57	84	75	26	21	6.0	5.7	4.2	5.3	49	14	27	11	9	10	—	—	—	9	11
Mai	2.2	7.6	2.1	3.5	-2.2	14	12.5	27	87	58	84	76	38	20	8.2	7.9	7.0	7.7	88	29	18	15	12	11	—	—	—	—	16
Juni	7.4	13.7	7.7	9.1	1.8	14	20.4	5	88	55	86	76	34	19	4.7	5.6	5.5	5.3	94	22	12	14	13	2	—	1	1	7	8
Juli	8.6	15.0	8.7	10.2	1.0	25	20.0	21	84	54	84	74	38	11	3.9	3.8	4.3	4.0	175	33	22	16	13	1	—	—	1	11	4
Aug.	8.6	15.2	9.6	10.7	3.5	7	21.0	12	92	56	86	78	32	16	5.2	5.6	4.7	5.2	96	29	3	9	9	—	—	1	1	6	7
Sept.	4.5	11.1	5.7	6.7	-2.8	30	20.0	10	92	56	87	78	30	10	4.6	5.3	4.6	4.8	87	28	12	11	11	2	—	—	—	9	6
Okt.	0.4	5.0	0.9	1.8	-10.8	27	10.6	15	87	69	82	79	41	11. 28	8.3	7.4	6.9	7.5	130	35	19	17	13	5	—	—	—	2	17
Nov.	-2.7	3.6	-1.9	-0.7	-15.4	22	9.8	13	81	60	82	74	29	24	5.5	4.5	3.8	4.6	97	35	17	9	9	9	—	—	—	9	6
Dez.	-9.1	-2.7	-7.7	-6.8	-22.4	30	9.1	1	79	60	74	71	33	26	4.5	5.3	5.9	5.2	32	13	5	8	8	8	—	—	1	10	4
Jahr	-0.1	6.5	0.7	2.0	-22.4	XII	21.0	VIII	84	58	81	74	26	II/IV	5.6	5.5	5.0	5.4	928	35	XI	139	120	77	—	2	4	89	103

Scarl (Unterengadin)

$\lambda = 10° 20'$, $\beta = 46° 43'$, $H = $ ca. 1810 m, $h_r = 1.5$ m. Beobachter: Eidg. Grenzwachtposten

Jan.	—	—	—	—	—	—	—	—	—	—	—	—	—	—	—	—	—	—	—	—	—	—	—	—	—	—	—	—
Febr.	—	—	—	—	—	—	—	—	—	—	—	—	—	—	—	—	—	—	—	—	—	—	—	—	—	—	—	—
März	—	—	—	—	—	—	—	—	—	—	—	—	—	—	—	—	—	—	—	—	—	—	—	—	—	—	—	—
April	—	—	—	—	—	—	—	—	—	—	—	—	—	—	—	—	—	—	—	—	—	—	—	—	—	—	—	—
Mai	2.3	6.8	3.0	3.8	-3.2	14	15.0	27	71	51	69	64	23	24	7.6	7.1	7.1	7.3	72	14	7	13	10	10	—	—	8	—	12
Juni	8.7	13.8	7.6	9.4	1.0	14	20.2	28 29.30	62	44	68	58	18	29	3.9	4.8	4.1	4.3	77	32	12	8	7	1	—	—	1	8	4
Juli	8.4	15.5	8.9	10.4	2.8	25	20.4	4	67	40	67	58	18	29	4.2	4.4	3.7	4.1	132	33	22	13	10	1	—	—	—	11	6
Aug.	9.9	15.4	10.0	11.3	4.4	6	18.6	18. 19	73	43	70	62	23	11	7.5	5.4	6.1	6.3	62	24	5	9	8	—	—	—	1	2	7
Sept.	5.1	11.3	5.6	6.9	-2.8	30	17.8	3.9	77	45	78	67	11	30	4.0	4.9	5.1	4.7	103	31	4	13	13	1	—	—	5	10	5
Okt.	1.1	5.3	1.2	2.2	-12.4	28	14.2	17	70	61	78	70	29	21	6.9	7.1	7.0	7.0	96	20	16	14	13	5	—	—	—	1	14
Nov.	-1.2	2.2	-1.3	-0.4	-15.0	22.23	8.0	11	67	53	64	61	35	8 24.28	4.3	4.1	3.4	3.9	92	?	—	7	7	5	—	—	1	10	5
Dez.	-7.2	-4.2	-6.9	-6.3	-23.2	30	7.8	1	55	49	58	54	18	1	3.8	4.6	3.4	3.9	14	7	5	6	5	6	—	—	1	10	4
Jahr	—	—	—	—	—	—	—	—	—	—	—	—	—	—	—	—	—	—	—	—	—	—	—	—	—	—	—	—	—

Grono

$\lambda = 9° 9'$, $\beta = 46° 15'$, $H = 335$ m, $h_r = 1.3$ m. Beobachter: A. Parolini

Jan.	0.4	4.0	1.2	1.7	-4.0	8	10.4	24	74	64	70	69	21	6	5.7	5.7	5.0	5.5	139	47	12	11	10	4	—	—	4	10	13
Febr.	2.8	8.2	4.3	4.9	-3.0	3	19.2	11	*72	*50	*65	*62	?	—	3.7	4.6	3.6	4.0	67	49	24	5	5	1	—	—	—	11	7
März	2.1	9.2	3.9	4.8	-2.0	17. 19	14.0	31	*63	*38	*55	*53	?	—	5.0	5.5	3.0	4.5	11	4	14	4	4	2	—	—	1	10	3
April	9.5	15.9	10.7	11.7	3.6	8	22.4	12	*78	*55	*73	*69	?	—	5.8	6.2	5.2	5.7	190	37	28	11	11	—	—	1	4	6	11
Mai	10.5	16.4	11.1	12.3	6.0	7.13	24.0	27	73	53	70	65	28	24	7.6	8.0	6.8	7.5	233	41	16	14	14	—	—	—	2	1	14
Juni	16.2	22.8	16.3	17.9	9.4	20	28.4	30	65	53	67	62	31	17	5.3	6.5	4.7	5.5	218	49	24	11	11	—	—	2	—	5	9
Juli	17.3	23.7	17.5	19.0	11.3	25	29.2	7	73	51	68	64	30	2	4.7	5.2	3.4	4.4	290	65	15	13	11	—	—	5	—	7	5
Aug.	16.6	22.8	17.7	18.7	13.0	9	28.0	13	82	57	76	72	28	15	5.5	6.4	5.4	5.8	206	66	4	17	16	—	—	4	1	4	8
Sept.	13.2	19.4	14.5	15.4	4.6	30	26.0	10	84	57	75	72	31	24	5.7	6.2	5.8	5.9	150	63	4	11	9	—	—	1	—	3	8
Okt.	8.4	13.6	9.4	10.2	0.0	30	19.3	2	85	62	80	76	25	26	7.0	7.2	6.5	6.9	139	31	19	15	14	1	—	—	3	2	14
Nov.	5.3	9.7	6.5	7.0	-1.1	26	17.4	18	76	57	71	68	24	21	5.5	5.5	4.9	5.3	91	61	4	8	7	—	—	—	3	5	5
Dez.	0.7	3.6	1.0	1.6	-7.0	31	15.0	1	80	66	75	74	22	27	5.8	6.2	5.0	5.7	70	24	16	12	10	3	—	—	7	7	11
Jahr	8.6	14.1	9.5	10.4	-7.0	XII	29.2	VII	76	55	70	67	?	—	5.6	6.1	4.9	5.6	1804	66	VIII	132	122	11	—	13	25	71	108

Tessin

Airolo

$\lambda = 8° 36'$, $\beta = 46° 31'$, $H = $ ca. 1170 m, $h_r = 0.8$ m. Beobachter: Fr. Burkhalter

Jan.	-2.6	0.0	-2.1	-1.7	-8.2	4	5.5	8	77	65	76	73	38	7	6.4	6.1	6.3	6.3	187	36	12	15	13	12	—	—	—	5	12
Febr.	-1.1	3.7	-0.1	0.6	-8.0	2	10.2	12	63	53	65	60	28	5	3.7	3.4	3.7	3.6	73	41	24	5	5	4	—	—	—	12	4
März	-2.8	1.4	-1.9	-1.3	-9.6	19	7.2	4	63	52	65	60	34	30	5.9	6.2	5.4	5.8	58	19	8	10	9	9	—	—	—	5	12
April	3.9	8.6	4.3	5.3	0.6	27	17.0	13	77	60	79	72	28	21	5.9	5.7	5.9	5.8	334	59	26	17	15	7	—	—	—	7	13
Mai	5.8	9.7	5.8	6.8	1.2	13	16.2	27	75	60	80	72	41	30	7.5	7.5	7.3	7.4	223	43	12	15	14	6	—	—	—	2	11
Juni	11.2	16.7	10.9	12.4	5.2	13	22.6	23.29	73	57	75	68	33	8	4.9	5.2	5.0	5.0	188	51	25	12	11	—	—	2	1	7	6
Juli	12.1	17.3	12.2	13.4	5.4	25	23.0	8	79	59	82	73	39	3.26	5.5	5.7	5.6	5.6	289	59	21	16	14	—	—	6	1	5	6
Aug.	12.4	17.5	12.8	13.9	7.2	6	21.8	12	72	63	85	73	43	2. 8 15.16	4.9	5.8	5.4	5.4	272	130	5	15	14	—	—	2	1	7	9
Sept.	8.9	14.6	9.6	10.7	-0.5	30	20.0	10	82	60	85	76	37	25	3.7	5.0	4.9	4.5	96	37	4	11	10	—	—	—	—	6	4
Okt.	4.8	7.8	4.8	5.6	-4.4	29	12.8	1	85	68	84	79	41	24	7.6	7.7	6.9	7.4	310	62	16	19	17	3	—	—	2	1	15
Nov.	1.7	5.5	2.3	2.9	-8.2	24	13.4	30	78	64	78	73	33	26	5.5	5.7	5.1	5.4	205	76	4	16	13	5	—	—	—	6	8
Dez.	-2.7	0.1	-2.5	-1.9	-11.6	29.30	13.0	1	71	63	73	69	25	8	5.2	5.4	4.5	5.0	58	14	17	12	10	11	—	—	2	11	9
Jahr	4.3	8.6	4.7	5.6	-11.6	XII	23.0	VII	75	60	77	71	25	XII	5.6	5.8	5.5	5.6	2293	130	VIII	163	145	57	—	10	7	74	109

Comprovasco

$\lambda = 8^\circ 56'$, $\beta = 46^\circ 28'$, $H = 544.1^m$, $h_r = 1.6^m$. Beobachter: **Frl. Pia Gianella**

1939	Luft-Temperatur							Relative Feuchtigkeit						Bewölkung				Niederschlag			Zahl der Tage							
	7^{30}	13^{30}	21^{30}	Mittel	Minimum	Tag	Maximum	Tag	7^{30}	13^{30}	21^{30}	Mittel	Minim.	Tag	7^{30}	13^{30}	21^{30}	Mitt.	Summe	Maxim.	Tag	●	●★ ≧1.0	★	▲	K	≡	helle	trübe
Jan.	0.3	3.4	0.4	1.1	-6.3	27	9.0	24	—	—	—	—	—	—	6.1	5.7	5.7	5.8	145	43	18	13	10	5	—	—	1	7	11
Febr.	2.1	8.7	3.4	4.4	-4.4	3	19.7	11	—	—	—	—	—	—	4.1	3.9	4.1	4.0	55	35	24	5	4	1	—	—	—	10	5
März	1.0	7.4	2.2	3.2	-6.5	18	13.4	31	—	—	—	—	—	—	5.4	5.5	4.8	5.2	28	11	14	5	4	5	—	—	—	5	7
April	8.0	14.9	8.8	10.1	3.3	20	21.9	9	—	—	—	—	—	—	5.9	5.8	6.6	6.1	218	45	28	15	12	—	—	—	—	4	12
Mai	10.9	15.3	10.0	11.6	3.9	7	23.9	27	—	—	—	—	—	—	7.4	7.4	6.5	7.1	181	35	18	14	13	—	—	—	—	2	12
Juni	15.1	21.0	14.0	16.0	9.3	12	28.0	5	—	—	—	—	—	—	5.2	6.0	4.8	5.3	260	72	25	14	11	—	—	2	—	6	7
Juli	15.5	22.1	15.2	17.0	9.3	22	26.6	9	—	—	—	—	—	—	4.4	5.4	5.1	5.0	246	52	15	12	10	—	1	3	—	5	6
Aug.	15.0	22.0	15.5	17.0	10.6	16	26.6	1	—	—	—	—	—	—	5.3	5.8	5.3	5.5	182	59	5	17	12	—	—	1	—	6	9
Sept.	11.6	18.9	12.3	13.8	2.3	30	24.5	3	—	—	—	—	—	—	4.8	5.3	5.1	5.1	101	55	4	11	8	—	—	—	—	5	3
Okt.	8.2	12.4	8.3	9.3	-1.5	30	17.1	2	—	—	—	—	—	—	6.9	7.5	6.4	6.9	142	25	5	13	12	—	—	1	2	—	12
Nov.	5.2	9.6	5.2	6.3	-3.3	24	13.5	28	—	—	—	—	—	—	5.8	5.5	5.8	5.7	103	46	4	11	6	—	—	—	—	6	9
Dez.	0.4	3.3	0.4	1.1	-9.8	29	16.3	1	—	—	—	—	—	—	5.7	5.5	5.5	5.6	59	13	16	11	11	7	—	—	1	9	11
Jahr	7.8	13.2	8.0	9.2	-9.8	XII	28.0	VI	—	—	—	—	—	—	5.6	5.8	5.5	5.6	1720	72	VI	141	113	18	1	7	4	65	104

Monte Brë (ob Lugano)

$\lambda = 8^\circ 59'$, $\beta = 46^\circ 1'$, $H = 910^m$, $h_r = 1.5^m$. Beobachter: **A. Rezzonico**

Jan.	1.2	3.1	1.4	1.8	-3.8	27	8.0	9	—	—	—	—	—	—	5.9	5.5	5.4	5.6	124	38	18	13	13	5	—	—	1	12	12
Febr.	3.6	6.2	3.7	4.3	-2.4	2	16.0	11	—	—	—	—	—	—	4.0	4.2	3.1	3.8	39	19	24	5	5	2	—	—	1	14	5
März	0.2	4.2	1.1	1.6	-4.1	18	9.8	31	—	—	—	—	—	—	4.6	4.4	4.3	4.4	4	3	27	2	2	1	—	—	1	14	6
April	7.5	11.9	8.1	8.9	4.0	3	19.2	9	—	—	—	—	—	—	6.1	5.9	5.4	5.8	207	45	27	13	13	—	—	—		8	11
Mai	8.5	12.7	8.0	9.3	4.0	13	20.0	27	—	—	—	—	—	—	7.1	7.3	6.9	7.1	212	37	12	16	16	—	—	2	1	1	13
Juni	14.1	18.2	14.8	15.5	6.2	13	23.8	5. 9	—	—	—	—	—	—	5.0	4.9	4.8	4.9	233	53	11	13	13	—	—	2	—	7	7
Juli	16.0	20.1	16.5	17.3	10.0	24	25.0	9	—	—	—	—	—	—	5.0	3.8	3.2	4.0	190	40	14	10	10	—	—	—	—	10	4
Aug.	15.6	19.8	16.1	16.9	12.0	6	24.4	1	—	—	—	—	—	—	5.4	4.5	4.8	4.9	258	45	4	16	16	—	—	1	—	7	7
Sept.	12.1	15.7	12.3	13.1	4.4	30	22.4	2	—	—	—	—	—	—	5.5	4.6	4.9	5.0	140	74	4	10	10	—	—	1	1	6	6
Okt.	7.3	10.0	7.5	8.1	-1.2	27	15.0	18	—	—	—	—	—	—	6.3	6.8	6.5	6.5	83	20	5	15	15	1	—	1	5	3	13
Nov.	5.5	7.5	5.4	6.0	-3.2	24	14.5	18	—	—	—	—	—	—	4.9	4.5	4.8	4.7	104	61	4	5	5	—	—	—	1	11	7
Dez.	0.9	2.2	0.3	0.9	-7.6	30	13.0	1	—	—	—	—	—	—	5.7	5.8	5.5	5.7	52	30	19	10	10	7	—	—	4	9	12
Jahr	7.7	11.0	7.9	8.6	-7.6	XII	25.0	VII	—	—	—	—	—	—	5.5	5.2	5.0	5.2	1646	74	IX	128	128	16		7	15	102	103

Monte Generoso

$\lambda = 9^\circ 1'$, $\beta = 45^\circ 56'$, $H_b = 1610^m$, $G = -0.20\ ^m/_m$, $h_r = 1.4^m$ Beobachter: **G. Vassalli**

1939	Luftdruck					Luft-Temperatur						Relative Feuchtigkeit					
	Mittel	Minimum	Tag	Maximum	Tag	7^{30}	13^{30}	21^{30}	Mittel	Minimum	Tag	Maximum	Tag	7^{30}	13^{30}	21^{30}	Mittel	Minimum	Tag
Mai	624.7	616.8	5	630.9	27	4.6	6.2	5.2	5.3	0.1	7	16.2	24	50	62	63	58	11	28
Juni	629.2	620.2	13	636.0	28	10.3	12.5	10.7	11.1	1.0	24	19.6	9	45	50	51	49	10	8. 14
Juli	631.3	624.1	25	637.0	3	12.1	15.4	12.8	13.3	2.0	14	19.8	23	43	43	42	43	9	11
August	631.6	628.8	5	633.7	12	12.6	15.2	14.5	14.2	9.0	20	24.0	15	54	54	51	53	12	15

Bewölkung				Niederschlag			Zahl der Tage								Windverteilung									1939
7^{30}	13^{30}	21^{30}	Mittel	Summe	Maximum	Tag	●	●★ ≧1.0	★	▲	K	≡	heiter	trüb	N	NE	E	SE	S	SW	W	NW	Calmen	
6.3	7.7	6.4	6.8	314	64	16	16	15	4	2	2	14	4	14	1	9	1	3	3	49	—	27	—	Mai
4.4	6.4	4.8	5.2	200	35	24	11	11	—	—	—	11	10	11	1	—	—	2	—	59	—	28	—	Juni
3.8	4.5	3.5	3.9	118	44	14	6	6	—	1	1	6	14	8	3	—	—	—	1	78	—	11	—	Juli
4.3	5.6	5.2	5.0	144	74	3	7	7	—	—	—	9	10	9	3	—	—	—	4	78	—	8	—	August

Anhang

zum Jahrgang 1939 der

Annalen der Schweizerischen Meteorologischen Zentralanstalt

Ergänzende Beobachtungen und

Abhandlungen

Nr. 1.

Übersicht über den Witterungsverlauf in der Schweiz im Jahre 1939

von M. Grütter.

Die mittleren Temperaturen des Jahres 1939 sind gegenüber den normalen meist etwas zu hoch. Doch betragen die Abweichungen nirgends mehr als ein halbes Grad. Schwache negative Abweichungen ergeben sich für die westschweizerische Jurazone und den Alpensüdfuß. Zu warm waren besonders Januar, April und November, zu kalt März, Mai und Juli. Die thermische Veränderlichkeit beträgt für Zürich 16.9° (Summe der positiven und negativen Abweichungen vom Normalwert). — Die Niederschlagsmengen waren mit Ausnahme des Wallis überall zu groß, besonders in der Jurazone und auf der Alpensüdseite. Im Mittelland beträgt der Ueberschuß etwa 10—20 %. Nasse Monate waren auf der Alpennordseite besonders März, Mai, Oktober und November, für die westlichen Landesteile auch der Januar, auf der Alpensüdseite hauptsächlich der Januar, dann auch April, Mai, Juni und August. Trocken waren auf der Alpennordseite der Februar, im Nordosten auch der April, für die Südseite März und Oktober. — Die Anzahl der Sonnenscheinstunden betrug ungefähr 80 % der normalen. Das Defizit war besonders groß in den Monaten Mai und Oktober. Relativ trübe waren ferner im Westen der Februar, im Nordosten der März, auf der Alpensüdseite der Januar, der August und der Dezember.

Die einzelnen Monate zeigen folgende Verhältnisse:

Der **Januar** zeichnet sich durch hohe Temperaturen und große Niederschläge im Westen und Süden aus. Die Temperaturüberschüsse betragen in der Nord- und Ostschweiz meist 3—4 Grad (Basel 4.2), in der Südwestschweiz 2—3 und am Alpensüdfuß 1—2 Grad. — Der Bewölkungsgrad war im Mittelland annähernd normal, dagegen im Alpengebiet und am Alpensüdfuß (hier bis zu 40%) zu groß. Für die Alpenstationen ergeben sich statt 10 nur ungefähr 3 helle Tage. Die Sonnenscheindauer weicht nur im Alpengebiet und am Alpensüdfuß erheblich von der normalen ab. Davos hatte 75 statt 102, Lugano 97 statt 127 Stunden. — Die Niederschlagsmengen waren im Osten etwas unternormal. Dagegen ergibt sich für die Westschweiz und die Jurazone strichweise das zweieinhalbfache, für die Südschweiz das dreieinhalbfache des Normalwerts. Niederschlagsmengen von 146 mm im Januar sind in Neuenburg seit 1910 nicht mehr vorgekommen.

Zu Beginn des Monats verursachte die Passage zweier Depressionen in der Kanalgegend bei uns trübes Wetter und leichte Schneefälle. Vom 5. zum 6. bildete sich über Frankreich ein Hoch und vom 8. an waren die Höhen (anfangs auch der Alpensüdfuß) heiter und mild, die Niederungen bei leichtem Frost meist neblig. Am 12. verursachte die Störungslinie einer im Norden vorbeiziehenden Zyklone wieder etwas Niederschlag. Vom 16. an hat man in Frankreich eine kräftige Warmluftströmung aus SW. Auf der Alpennordseite herrschte meist stark bewölktes Wetter bei Temperaturen von 6—11 Grad in den Niederungen. Erhebliche Niederschläge fielen hier nur am 17. und 18., dagegen war der Alpensüdfuß ziemlich anhaltend regnerisch. Mit dem Uebertritt der atlantischen Zyklonen auf den Kontinent traten vom 21. bis 25. auch auf der Nordseite wieder stärkere Niederschläge auf. Durch Druckanstieg im Norden geriet unser Land etwa am 28. ins Randgebiet einer Antizyklone mit Kern zwischen Nordsee und Island und hatte daher bis ans Monatsende wieder heiteren Himmel und Hochdruckwärme in der Höhe, kühles und nebliges Wetter bei leichter Bise im Mittelland.

Der **Februar** war in der ganzen Schweiz etwas zu warm, besonders am Alpensüdfuß und im Wallis, wo die Ueberschüsse 1.5° erreichen, ferner im Alpengebiet. Besonders große Ueberschüsse zeigen die Hochstationen. Im westschweizerischen Mittelland und am Genfersee dagegen blieben sie unter 0.5°. Chaux-de-Fonds verzeichnet sogar ein Defizit. — Der Bewölkungsgrad war im Mittelland und am Alpensüdfuß zu groß, im Alpengebiet zu klein. Entsprechendes zeigt die Zahl der hellen und die der trüben Tage sowie die Sonnenscheindauer (Lausanne hatte nur 80 statt 110 Stunden Sonnenschein). — Die Niederschlagsmengen waren am Alpensüdfuß um etwa 40% zu groß, sonst überall zu klein. Im Mittelland betragen sie etwa 30—40% des Normalbetrags. Sion hatte nur zirka 7%, Chur 20% des Normalbetrags.

Während des ersten Monatsdrittels stand die Schweiz anhaltend unter dem Einfluß eines Hochdruckgebiets, dessen Kern am Monatsanfang über Süddeutschland entstanden war und sich später langsam gegen WSW verlagerte. Wir hatten daher zunächst, abgesehen von Hochnebel und Nebel über den Niederungen, relativ helles und kaltes Wetter. Vom 13. an liegt das Hoch auf dem

Atlantik in der Gegend der Azoren. Am 13. brachte uns eine Störungslinie stärkere Bewölkung und etwas Niederschlag, worauf ein sehr starker Druckanstieg auf dem Kontinent vorübergehend zu einer hellen Bisenlage führte. Nach Rückzug des Hochs bringen einige Störungslinien dem Alpennordfuß vom 17.—19. leichte Niederschläge. Am 24. verursachte eine Depression über Frankreich im Alpengebiet eine kräftige Föhnlage mit Erwärmung auch in den Niederungen und stärkeren Niederschlägen auf der Alpensüdseite. Das Monatsende brachte stark bewölktes Wetter. Namhafte Niederschläge fielen in der Nacht vom 26. zum 27.

Der **März** war durchwegs zu kalt. Das Temperaturdefizit beträgt in Graubünden und auf den Hochstationen 3—2½°, am Genfersee und im Wallis 2½—2°, im Mittelland 2—1½°, in Basel und Lugano 1,4°. — Der Bewölkungsgrad war im Genferseegebiet und am Alpensüdfuß zu klein, sonst zu groß, meist um 20, in Graubünden bis 50%. Die Sonnenscheindauer ist dementsprechend nur im Tessin und am Genfersee etwas zu groß, sonst erheblich zu klein. Zürich hatte nur 85 statt 130 Stunden. — Die Niederschläge verteilen sich sehr ungleichmäßig. Auf der Alpennordseite sind sie fast überall zu groß, besonders im Alpengebiet und in der Jurazone, wo sie das 2—2½fache des Normalwertes betragen. Nahezu normale Werte hat man am Genfersee. Aehnlich verteilt sich die Zahl der Niederschlagstage. Fast alle, d. h. in den Niederungen eine ungewöhnlich große Zahl sind solche mit Schneefall. (17 Schneetage in Zürich sind noch nie gezählt worden. Die Schneemengen waren allerdings im März 1931 bedeutend größer.) Durch auffallende Trockenheit zeichnet sich der Alpensüdfuß aus. Für Lugano ergeben sich nur 4 statt 109 mm Regen und nur 1 statt 9 Niederschlagstage.

Bei hohem Druck im Osten Europas, tiefem über dem Atlantik, waren die ersten Tage des Monats (2.—4.) hell. Dann erfolgte durch Verlagerung des Hochs nach dem Mittelmeer ein Einbruch maritimer Warmluft in Frankreich, der uns trübes, regnerisches und warmes Wetter brachte. Am 7. folgte ein kräftiger Kaltlufteinbruch nach. Vom 9. an liegt über England ein Hochdruckkern mit einem Kaltluftausläufer über Skandinavien, der uns in der Folge ziemlich feuchte Kaltluft aus N zuführte, was in der Nordostschweiz starke wechselnde Bewölkung mit Schneeschauern zur Folge hatte, während der Westen unter Bisceinfluß bis und mit dem 13. hell blieb. Dann wurde der skandinavische Ausläufer zunächst zeitweilig, später (durch Verlagerung des Hochdruckkerns nach den Azoren) gänzlich beiseite gedrängt durch Zyklonen, die von Norden nach Süden über die Nordsee hinwegzogen und uns kräftige Schneefälle, besonders am 14. und 17., brachten. Etwa am 25. baute sich über dem Nordatlantik ein Hochdruckgebiet auf, was Bisenlage zur Folge hatte. Damit hörten die Schneefälle auf und es trat Aufhellung zunächst in der Höhe und vom 29. an auch in den Niederungen ein.

Für den **April** ergeben sich durchwegs übernormale Temperaturen. Die Abweichungen vom Normalwert erreichen im Mittelland und im Alpengebiet 1½—2°. In der Jurazone und am Alpensüdfuß sind sie meist kleiner als 1°. Der Bewölkungsgrad war etwas zu groß, weicht aber vom normalen wenig ab. Die Zahl der trüben Tage war namentlich in der Nord- und Ostschweiz zu groß. Doch erreicht die Sonnenscheindauer in Davos einen Ueberschuß von 19 Stunden. Basel hatte 25, Lugano 29 Stunden zu wenig; sonst waren die Abweichungen vom Normalwert gering. — Was die Niederschlagsmengen anbetrifft, so wurde im Wallis und im nordostschweizerischen Mittelland etwa die Hälfte des Normalbetrages, weiter im Osten noch etwas weniger erreicht, dagegen zeigt die Jurazone und besonders der Alpensüdfuß größere Ueberschüsse. Basel und Lugano haben etwa das anderthalbfache, Genf das doppelte des Normalbetrages erhalten.

Die ersten sechs Tage des Monats brachten uns meist stark bewölktes Wetter und etwas Niederschlag, der durch Störungslinien von Zyklonen, die etwa über England hinweg nordostwärts zogen, verursacht wurde. Dann bildete sich über dem Kanal, später über Nord- und Osteuropa ein Hochdruckgebiet, was bei uns vom 10. bis 13. helles und relativ warmes Wetter zur Folge hatte. Störungen stellten sich wieder ein mit der Verlagerung des Hochdruckgebiets nach Süden vom 14. an, während die Alpensüdseite vom 16. bis 22. helles Wetter hatte. Nach einem Kaltlufteinbruch entwickelte sich am 17. über Irland, später über Frankreich ein Hochdruckgebiet, das vom 20. bis 22. auch auf der Nordseite der Alpen helles Wetter verursachte. Eine eigentliche Schlechtwetterperiode (vgl. Mai) setzte am 25. ein. Die Niederschläge hängen zunächst mit Zyklonen über Nordeuropa zusammen, später geriet die Schweiz bei hohem Druck im Norden, tiefem Druck über dem Mittelmeer in den Bereich eines mehr oder weniger stationären Regengebiets, das sich an die Grenzzone zwischen einer kalten Strömung aus Nordosten und einer warmen aus S knüpfte.

Der **Mai** zeichnete sich durch nasses und trotz des Fehlens eigentlicher Frosttage ungewöhnlich kaltes Wetter aus. Die Abweichungen der Temperatur vom Normalwert betragen im Mittelland und auf der Nordabdachung der Alpen (—) 2,8°, in Graubünden und im Tessin sowie am Genfersee etwas weniger als 2,5°, in Basel und im Wallis etwa 2°. Derart niedrige Maitemperaturen wurden auf der Alpennordseite seit etwa 1902, in Lugano seit 1879 nicht mehr erreicht. — Der Bewölkungsgrad war im Westen wenig, im Osten bis zu 50% zu groß. Helle Tage fehlen hier zum Teil völlig. Die Anzahl trüber Tage überschreitet besonders in den Alpen das Doppelte des Normalwerts und die Sonnenscheindauer weist ein starkes Defizit besonders in Zürich und Basel (30%) auf. Günstiger stellt sich mit 65% die Westschweiz. — Die Niederschlagsmengen betragen in der Nordschweiz und im Mittelland zum Teil mehr als das Doppelte des Normalwerts. Für Zürich ergibt sich mit 255 mm (232%) der größte Betrag seit 1872. Geringer waren die Beträge in den Alpentälern. Der Alpensüdfuß und Genf haben etwa 80% Ueberschuß.

Für die Kälte und Nässe des Mai ist namentlich die folgende Situation verantwortlich zu machen, die mehr oder weniger verändert den ganzen Monat hindurch vorherrschte: Ein Hochdruckrücken erstreckte sich von der Ostsee über die Kanalgegend nach den Azoren, wodurch

unserer Gegend kalte Luft zugeführt wurde, während eine Depression über Südosteuropa in ähnlicher Weise wie im April Niederschläge verursachte. Diese Situation lag vor vom 2. bis 4., dann am 8. und 9., die besonders kalt und niederschlagsreich waren, ferner vom 21. bis 26. Zeitweise verlagerte sich der hohe Druck nach Nordwesten auf den Atlantik und die Depression entsprechend nach dem Kontinent, z. B. vom 11. bis 18. (Am 16., 17. und 18. erstreckte sich eine Tiefdruckrinne von Skandinavien nach Frankreich. Die warme Südluft ihrer Ostseite brachte dem Alpensüdfuß durch Stauung große Niederschläge, während die Nordseite trocken blieb.) — Dazwischen kamen kleinere oder größere Unterbrechungen des Hochdruckrückens (Sättel) vor (5. bis 8., 19. und 20.), wobei die Temperatur etwas höher war. Trocken waren die letzten fünf Tage des Monats bei hohem Druck über Großbritannien.

Im Mittelland erscheint der **Juni** ungefähr normal warm. Dagegen ergeben sich für Graubünden, das Wallis und das Genferseegebiet um ½ bis 1° zu hohe Temperaturen. Ueberschüsse haben auch die Hochstationen. Dagegen weist Lugano ein Defizit von 0,4° auf. — Der Bewölkungsgrad war meist etwas zu groß, besonders im Wallis und in Graubünden, die Sonnenscheindauer dementsprechend um 10 bis 20 % zu klein. Dagegen zeigen die Gipfelstationen zu niedrige Bewölkungszahlen und für den Säntis ergibt sich ein Ueberschuß an Sonnenschein von 19 Stunden. — Die Niederschlagsmengen waren in der West- und Südschweiz um zirka 60 %, in der Jurazone um 20—40 % zu groß. Für den Alpennordhang und Graubünden ergeben sich zu kleine Werte. Entsprechendes zeigt die Zahl der Niederschlagstage.

Während der ersten acht Tage des Monats befand sich die Schweiz am Südrand eines Hochdruckgebiets (Kern über der Nordsee). Mit Ausnahme der drei ersten Tage war das Wetter vorwiegend hell und bei leichter Bise mäßig warm. Nachher traten unter dem Einfluß einer langsam von NNW her gegen das Alpengebiet heranrückenden Tiefdruckrinne (Kaltfront) Gewitterstörungen auf. Ein starker Druckfall am 10. führte rasch zur Ausbildung einer kräftigen Depression über Skandinavien und Mitteleuropa, unter deren Einfluß am Alpennordfuß besonders am 12. und 13. eigentliches kühles Regenwetter herrschte, während am Südfuß Gewitterregen auftraten. Nach kurzer Besserung am 16. blieb nun das Wetter für den Rest des Monats veränderlich. Ziemlich hell waren der 21., 22. und 23. im Nordosten und Süden des Landes, dann der 27., 28. und 29. An den übrigen Tagen traten Niederschläge (zum Teil Gewitter) auf, welche aber nicht bedeutend waren und meist nachts fielen. Dabei lag vom 20. an der Hochdruckkern bei Island, über dem Kontinent ein Tiefdruckgebiet. Der 27., 28. und 29. standen vorübergehend unter Hochdruckeinfluß.

Der **Juli** war etwas zu kühl. Die Abweichungen der Temperatur vom Normalwert betragen im Westen (Neuenburg) nicht ganz —2 °, im Nordosten etwa —1 °, im Wallis und in Graubünden noch etwas weniger, in Lugano —1,3 °. — Der Bewölkungsgrad war meist um 10 bis 20 % zu groß, dementsprechend die Sonnenscheindauer und die Zahl der hellen Tage zu klein, die der trüben Tage zu groß. Umgekehrt ergeben sich jedoch für die Gipfelstationen zu wenig trübe und zu viel helle Tage. Auf dem Säntis wurde eine um 6 Stunden zu große Sonnenscheindauer registriert. — Die Niederschlagsmengen waren nur in der Umgebung des Vierwaldstättersees, im Wallis und auf den Gipfelstationen zu klein, sonst zeigen sie überall Ueberschüsse über den Normalwert: Im Mittelland 10 bis 20 %, im Tessin und Graubünden 40 bis 60 %. Die Zahl der Niederschlagstage war meist zu groß, besonders im Jura.

Die Störung, die schon Ende Juni erschienen war, entwickelte sich über Mitteleuropa und dem Nordmeer rasch zu einer Depression. Der 1. und 2. Juli brachten daher etwas Niederschlag. Doch begann sich schon am 2. über dem Kontinent wieder ein Hoch aufzubauen, das sich in der Folge als ziemlich beständig erwies, so daß der 3. bis 13. meist hell und warm waren. Nur am 5. und 10. fiel etwas Niederschlag gewittrigen Charakters, verursacht durch Störungen, die das Hoch zeitweise abbauten. Am 14. erschien über den britischen Inseln ein Tief, das bis zum 21. hier liegen blieb, später sich etwas nordostwärts verlagerte. Damit setzte eine Periode unbeständigen Wetters ein mit Niederschlägen am 14. bis 16. und 20. bis 25. (Im Nordosten bis 27.) Ein kräftiger Kaltlufteinbruch am Abend des 25. brachte dem Mittelland einen Rückgang der Temperatur auf zirka 9 °. Erst der 28. bis 30. waren unter dem Einfluß eines Hochs wieder hell und warm.

Der **August** war auf der Nordseite der Alpen etwas zu warm. Die Abweichungen vom Normalwert betragen im Westen höchstens ½°, im Nordosten ½ bis 1°. Für die Südseite ergibt sich ein Defizit (für Lugano —0,8°). — Der Bewölkungsgrad war überall zu groß, besonders im Alpengebiet (Säntis), in der Nordschweiz und im Tessin. Dem entspricht ungefähr die Verteilung der Anzahl trüber Tage. Bemerkenswert ist die geringe Anzahl heller Tage. So hatten St. Gallen und Davos nur einen statt etwa acht. — Nach der Sonnenscheindauer, deren Beträge zwischen 75 und 90% des Normalwerts schwanken, erscheint der Jura am stärksten getrübt (Basel 57 Stunden Defizit). — Die Niederschlagsmengen betragen am Alpensüdfuß etwa das Doppelte des Normalwerts. In der Nordschweiz sind sie um etwa ein Viertel zu groß, sonst überall zu klein; stellenweise (Bern, St. Gallen) sinken sie auf nahezu die Hälfte des Normalbetrages. Auch die Anzahl der Tage mit Niederschlag ist fast nur in der Jurazone und am Alpensüdfuß zu groß.

Die zwei ersten Tage des Monats waren unter dem Einfluß einer schwachen Hochdruckzunge noch trocken. Die Zeit vom 3. bis 8. brachte dann täglich Niederschläge, die zunächst durch ein Tief über Frankreich und dem Mittelmeer, später durch eine vom Balkan bis nach Island reichende Tiefdruckrinne verursacht waren, welch letztere uns auch kühlere Luftmassen zuführte. Vom 9. bis 18. herrschte dann wieder ziemlich helles und warmes Wetter, bedingt durch ein Hochdruckgebiet über Westeuropa. Nur am 13. fielen am Alpensüdfuß namhafte Niederschläge gewittrigen Charakters. Die Zeit vom 19. bis 31. brachte bei flacher Druckverteilung über Europa lokale Gewitter oder gewittrige Regenfälle. Verbreitete Niederschläge fielen nur am 21. Sie stehen im Zusammenhang mit einer

Depression, die zwischen dem 19. und 23. von Südwestfrankreich nach Dänemark zog und am 21. über Frankreich ihre größte Entwicklung erreicht hatte.

Die Temperaturen des **September** waren in der ganzen Schweiz etwas zu niedrig. Die Abweichungen vom Normalwert betragen meist etwa ½°, im Mittelland und in der Jurazone auch mehr (Bern 1,1°), im Wallis weniger. — Der Bewölkungsgrad war allgemein zu groß, auf der Alpennordseite um 20 bis 30 %, im Wallis und Tessin etwas kleiner. Die trüben Tage waren besonders in der Nordostschweiz zu häufig, auch im Alpengebiet (Luzern 18 statt 9, Chur 14 statt 8). Zu wenig trübe Tage hatten Wallis und Tessin. Die Zahl der hellen Tage war überall zu klein, besonders im Mittelland und am Alpensüdfuß, wo nur ein Drittel der normalen gezählt wurde, dementsprechend auch die Sonnenscheindauer (meist zirka 20 % Defizit). Die relativen Niederschlagsmengen verteilen sich sehr ungleichmäßig. Große Ueberschüsse (bis 50 %) finden sich in der Nordschweiz (Rhein-Aaregebiet). Das Mittelland weist annähernd normale Beträge auf, dagegen ergibt sich ein starkes Defizit für das Genfersee-Gebiet und das Wallis (etwa 40 bis 60 %), das Tessin und die Ostschweiz. Die Zahl der Regentage ist besonders für das Alpengebiet und die Nordschweiz (um 30 %) zu groß.

Unter dem Einfluß einer von Südwesten nach Nordosten über den Kontinent hinwegziehenden flachen Tiefdruckrinne traten bei warmem, aber bewölktem Wetter vom 1. bis 3. Gewitterstörungen auf. Die Rückseite der Rinne brachte Abkühlung und Regenwetter am 4. und 5. Vom 6. bis 11. herrschte unter dem Einfluß einer sich ostwärts verlagernden Antizyklone über Mitteleuropa anfangs im Westen, dann auch im Osten helles und zunehmend warmes Wetter. Dagegen war das Wetter bei hohem Druck im Nordwesten, Depressionen über Mittel- und Südosteuropa in der Zeit vom 12. bis 21. wieder unbeständig und kühl durch Kaltluftzufuhr aus Nordosten. Während des letzten Monatsdrittels erstreckte sich ein Hochdruckausläufer von einem Hochdruckkern über Island nach dem Balkan hin. Die Alpennordseite war meist bewölkt, kühl und, eine Unterbrechung der Situation am 24. ausgenommen, trocken. Dagegen herrschte am Alpensüdfuß vom 22. bis 25. völlig heiteres, am 27. und 28. unter dem Einfluß einer Depression über Italien Regenwetter. Heiter waren, abgesehen von strichweisen Hochnebeln über den Niederungen, der 29. und 30.

Für den **Oktober** ergeben sich Mitteltemperaturen, die auf der Alpennordseite und in Graubünden um etwa 0.5 °, im Wallis und im Tessin um 0.2 ° nach unten, in Genf um 0,2 ° nach oben vom Normalwert abweichen. — Der mittlere Bewölkungsgrad überschreitet den Normalwert auf der Alpennordseite und am Alpensüdfuß um 30 %, im Wallis um 40 %, auf den Hochstationen und in Graubünden um 40 bis 60 %. Hier erreicht auch die Anzahl trüber Tage das Zweieinhalbfache der normalen. Helle Tage fehlen fast überall ganz. Relativ am hellsten erscheint der Tessin, wenigstens nach der Sonnenscheindauer (Lugano 95 statt 147 Stunden). Dagegen ergibt sich für die Nordschweiz nur etwa ein Viertel der normalen Dauer. — Ganz ungewöhnlich groß sind die Niederschlagsmengen. Im Jura mit Südostfuß und in der Nordschweiz ergibt sich das Zweieinhalb- bis Dreifache, im Mittelland etwa das Doppelte, im Wallis und im Genferseegebiet sowie in Graubünden (im Mittel) das Anderthalbfache des Normalbetrages. So große Oktobermengen sind auf mehreren Stationen seit 1864 (Eröffnung des Beobachtungsnetzes) noch nie gemessen worden. Für den Alpensüdfuß ermittelt sich ein Defizit von etwa 50 %. Es wurden nahezu doppelt soviele Niederschlagstage gezählt wie normal.

Während des ersten Monatsdrittels zogen bei hohem Druck im Norden Störungen im Süden der Alpen vorbei und verursachten bei uns besonders am 5. und 6. Niederschläge. Unter dem Einfluß einer derartigen, als kräftige Depression sich abzeichnenden Störung hatte der Alpennordfuß am 7. kaltes Wetter mit Niederschlägen und der Alpensüdfuß am 8. (und nochmals am 10.) einen hellen Tag. Durch vorübergehende Verlagerung der Zugstraße der Zyklonen auf die Nordseite der Alpen stellte sich unter Zufuhr maritimer Luft aus Westen vom 14. bis 20. eine relativ warme Periode mit häufigen Niederschlägen ein. Vom 21. an liegt die Hauptdepression wieder im Süden oder Südosten der Alpen und ein Hoch über Nordwesteuropa. Das vorübergehende Erscheinen einer Depression über Skandinavien leitet am 25. eine Kälteperiode durch Kaltluftzufuhr aus Norden bis Nordosten ein. Niederschläge auf der Nordseite der Alpen und helles Wetter auf der Südseite (am 26., 28. und 30.) charakterisieren wieder die Staulage. Vom 29. an bringt eine neue Depression (im Südwesten) Entlastung.

Auch dieses Jahr zeichnete sich der **November** durch ungewöhnlich hohe Temperaturen aus, wenn auch die letztjährigen Werte nur auf vereinzelten Stationen erreicht oder überschritten wurden. Die Ueberschüsse über den Normalwert betragen in der Jurazone und im Mittelland etwa 2½—3°, in der Westschweiz und im Wallis 2—2½°, in der Ostschweiz und am Alpensüdfuß 1½—2°. — Der Bewölkungsgrad war im Mittelland annähernd normal, in der Ostschweiz und besonders im Wallis zu groß. Helle Tage wurden im Mittelland keine gezählt, im Wallis und Tessin etwa die Hälfte der normalen Anzahl. — An Sonnenscheindauer wurden in Bern und Lugano etwas zu große Werte registriert; für Ost- und Westschweiz ergibt sich ein Defizit von ungefähr 30%. — Die Niederschlagsmengen betragen im ostschweizerischen Alpengebiet zum Teil mehr als das Dreifache, im Jura etwa das Doppelte des Normalwerts. Für das Genferseegebiet und das westschweizerische Mittelland ergeben sich etwa 20 %, für das nordostschweizerische Mittelland etwa 50 %, für Sion 75 % Ueberschüsse. Basel und Lugano haben nahezu normale Beträge erhalten.

Bei hohem Druck über Skandinavien, tiefem über Südwesteuropa war das Wetter zu Beginn des Monats ziemlich trübe und kalt. Etwa vom 4. an dehnte sich eine Depression vom Atlantik her langsam nordostwärts über Großbritannien bis nach Skandinavien aus, während sich das Hochdruckgebiet nach Südosteuropa verlagerte. Einer kurzen Föhnlage folgten am 4. und 5. Niederschläge, sodann nochmals am 9. auf der Alpennordseite nach einem Warmluftvorstoß aus Südwesten.

Vom 16. bis 20. lag das Hoch über Spanien, Depressionen im Osten über Skandinavien und der Adria. Diese Situation brachte der Alpennordseite vom 16. bis 20. Niederschläge und hohe Temperatur durch Warmluftzufuhr aus Westen. Auf den 21. dehnte sich das Hoch stark nordostwärts aus. Dies hatte heiteres Wetter im Gebirge (21.—23.) und eine erneute Temperaturerniedrigung durch Kaltluftzufuhr aus Nordosten zur Folge. Vom 24. bis zum 29. verursachte eine tiefe, ausgedehnte Depression (Zentrum am 26. nördlich von Schottland) Westwind, Erwärmung und etwas Niederschlag am Alpennordfuß. Dagegen war der Südfuß am 28. und 29. hell.

Im **Dezember** waren die Temperaturen im Mittelland und im Jura um etwa ½ ° zu niedrig. Bern macht eine Ausnahme, indem sich hier ein Ueberschuß von 0.4 ° über den Normalwert findet. Auch das Wallis war zu warm (Abweichung in Sion: + 0.9 °). Für die Nordostschweiz und Graubünden ergeben sich negative Abweichungen bis etwa 1½ °. Auch der Alpensüdfuß war etwas zu kalt. — Der Bewölkungsgrad war in der Westschweiz ungefähr normal. Zu stark bewölkt waren dagegen Graubünden und besonders das Tessin (Lugano 30 % Ueberschuß), dann auch das Mittelland, wo helle Tage fehlen. Diesen Verhältnissen entsprechend findet sich ein Zuviel an Sonnenscheindauer in La Chaux-de-Fonds (71 statt 59 Stunden). Die übrigen Stationen zeigen ein Defizit, das größte Lugano (79 statt 117 Stunden). — Die Niederschlagsmengen waren im größten Teil der Schweiz unternormal. Im Jura, Wallis und in Graubünden sinken die Beträge bis auf 50 % des Normalwerts herunter. Das Mittelland zeigt ein Defizit (von 10 %). Dagegen ergeben sich in der Nordschweiz Ueberschüsse (von 10 bis 20 %), für Lugano ungefähr der normale Betrag; doch ist hier, ebenso im Alpengebiet (nicht aber im Jura) die Zahl der Niederschlagstage zu groß.

Während des ersten Monatsdrittels war das Wetter meist bedeckt bis stark bewölkt. Namhafte Niederschläge fielen am 2./3., am 5., am 6./7. und am 10./11. Anfangs befanden sich die Haupttiefs nordseits der Alpen. Wir hatten daher vorwiegend westliche Winde und normale Temperaturen. Vom 6. an wandern die Tiefs nach dem Süden. Am 8. bildete sich vorübergehend ein Hochdruckrücken über Mitteleuropa aus, der uns kältere Luft aus Nordosten zuführte und uns einen hellen Tag bescherte. — Am 11. setzte eine trockenere Periode ein. Die Antizyklone lag zunächst über Nord-, später über Ost- und Südosteuropa, wurde aber durch Druckwellen zweimal, nämlich am 19./20. und am 27. (etwas Niederschlag) vorübergehend abgebaut. Während der ersten Periode (12. bis 19.) lag eine Bisenlage vor. Die Temperatur war unternormal, die Niederungen bedeckt, die Höhen oberhalb 1700, später 600 m hell bis bewölkt. Vom 21. bis 26. herrschte im Tessin, dem Alpengebiet und auf den Jurahöhen helles Wetter; das Mittelland hatte Nebel oder Hochnebel. Die dritte Periode zeichnete sich durch Kälte aus infolge Zufuhr kontinentaler Kaltluft aus Osten. Die Temperatur sank am 30. auf das Minimum (Bern: —14 °) des Monats. Eine Schneedecke bestand in den Niederungen nur zeitweise (Zürich: 7. bis 9., 15., 17., 27. bis Monatsende).

Abweichungen von den langjährigen Mitteln 1939

	Höhe m	Januar	Februar	März	April	Mai	Juni	Juli	August	September	Oktober	November	Dezember	Jahr
		a) **Temperatur** (Monats- und Jahresmittel)												
Basel	318	4.2	1.0	-1.4	1.5	-2.0	1.0	-1.0	0.7	-0.3	-0.1	3.3	-0.4	0.5
La Chaux-de-Fonds	990	2.4	-0.4	-2.8	0.7	-2.7	0.2	-1.8	0.1	-1.1	-0.8	2.7	-0.5	-0.3
Zürich	493	3.5	0.8	-1.6	1.7	-2.8	0.2	-1.1	0.6	-0.6	-0.6	2.7	-0.5	0.2
Bern	572	2.6	0.5	-1.7	1.4	-2.8	0.0	-1.7	0.2	-1.1	-0.3	3.2	0.4	0.1
Lausanne	553	2.6	0.6	-2.2	1.4	-2.5	0.7	-1.3	0.5	-0.5	-0.5	2.1	-0.3	0.0
Genf	405	3.4	0.4	-1.6	1.2	-2.3	0.4	-0.9	0.2	-0.4	0.2	2.4	0.0	0.2
Davos	1561	3.1	1.3	-2.8	1.8	-2.3	0.9	-0.4	0.8	-0.4	-0.6	1.4	-0.9	0.2
Säntis	2500	1.4	3.1	-2.7	2.0	-1.6	1.5	-0.3	1.2	-0.5	-1.7	1.6	-2.1	0.1
Lugano	276	1.2	1.4	-1.4	0.6	-2.4	-0.4	-1.3	-0.8	-0.5	-0.2	1.8	-0.3	-0.1
		b) **Sonnenscheindauer** (Monats- und Jahressummen in Stunden)												
Basel	318	-10	17	-46	-25	-141	-45	-32	-57	-38	-82	-6	-7	-472
La Chaux-de-Fonds	990	-11	29	-32	-18	-83	-25	-16	-43	-18	-88	-27	12	-320
Zürich	493	12	-6	-45	0	-144	-23	-14	-29	-41	-61	-5	-4	-360
Bern	572	-7	4	-14	11	-120	-41	-2	-43	-37	-57	1	-11	-316
Lausanne	553	-5	-30	5	1	-78	-36	1	-45	-25	-63	-12	-10	-297
Genf	405	1	-22	7	-9	-85	-40	-2	-33	-39	-52	-12	-3	-289
Davos	1561	-27	19	-40	19	-94	-5	0	-38	-32	-85	-16	-14	-313
Säntis	2500	-39	42	-44	10	-98	19	6	-38	-19	-106	-44	-5	-316
Lugano	276	-30	4	21	-29	-98	-38	-34	-71	-43	-52	15	-38	-393

Nr. 2

Liste des chutes de grêle en Suisse pendant l'année 1939

établie à l'aide des statistiques de la Station centrale de météorologie, de celles de la Société Suisse d'Assurance contre la Grêle à Zurich et de l'Assurance-Grêle cantonale vaudoise à Lausanne, par Ch. Golaz.

Canton	Mars	Avril			Mai								Juin																	Juillet													
	9	12	26	28	7	11	12	15	16	19	20	26	3	7	8	9	10	11	13	17	20	22	23	24	25	26	28	29	30	1	2	5	6	7	9	10	11	12	13	14	15	16	17
Argovie	.	.	.	.	.	.	.	.	.	.	.	.	.	.	.	10	.	.	.	.	.	.	.	12	.	1	.	.	.	.	.	1	.	.	4	.	.	.	.	2	3	.	.
Appenzell	.	.	.	1	.	.	.	.	.	.	.	.	.	.	.	.	1	3	.	.	.	.	.	.	.	.	.	.	.	.	.	.	.	.	.	.	.	.	.	.	.	.	.
Bâle	.	.	.	.	.	.	.	.	.	.	.	.	.	.	.	.	1	.	.	.	.	.	.	19	.	.	.	.	1	.	.	1	.	.	10	.	.	.	.	12	.	.	.
Berne	.	.	.	.	.	.	.	.	.	18	.	.	2	26	19	30	10	.	3	3	.	10	8	36	.	.	1	.	1	.	.	4	.	.	.	.	.	.	.	74	9	.	.
Fribourg	.	.	.	.	.	.	.	.	.	3	.	.	.	4	.	5	19	.	.	3	.	21	14	10	.	.	.	.	.	.	.	.	.	.	.	.	.	.	.	14	.	.	.
St-Gall	.	.	.	.	.	.	.	.	.	.	.	3	.	.	4	.	3	1	.	.	.	.	.	1	.	.	.	3	.	.	.	2	.	.	8	1	.	.	.	.	10	.	.
Genève	.	.	.	.	.	.	.	.	.	.	.	.	.	.	.	.	5	.	.	.	.	.	.	.	.	.	.	.	.	.	.	.	.	.	.	.	.	.	.	.	.	.	.
Glaris	.	.	.	.	.	.	.	.	.	.	.	.	.	.	.	.	.	.	.	.	.	.	.	.	.	.	.	.	.	.	.	.	.	.	.	.	.	.	.	.	.	.	.
Grisons	.	.	.	.	.	.	.	.	.	.	.	.	.	.	1	.	.	.	.	.	.	.	.	.	.	.	.	.	.	.	.	.	.	.	1	.	.	.	.	.	1	3	.
Lucerne	.	.	.	.	.	3	.	.	.	.	.	.	.	5	7	2	11	.	2	.	.	1	.	5	.	13	.	.	2	.	.	3	.	.	.	.	.	.	.	.	18	.	.
Neuchâtel	.	.	.	.	.	.	.	.	.	14	.	.	1	1	1	.	.	.	.	.	.	.	.	2	.	.	.	.	.	.	.	.	.	.	.	.	.	.	.	6	.	.	.
Schaffhouse	.	.	.	.	.	.	.	.	.	.	.	.	.	.	.	1	.	.	.	.	.	.	.	.	.	.	.	.	.	.	2	.	.	.	.	.	.	.	.	.	.	.	.
Schwyz	.	1	.	.	.	.	.	.	.	.	.	.	.	.	2	2	1	.	.	.	.	.	.	.	.	.	.	.	.	.	.	.	.	.	1	.	.	.	.	.	2	.	.
Soleure	.	.	.	.	.	.	.	.	.	.	1	.	.	.	.	.	1	.	.	.	.	.	.	11	.	.	.	.	.	.	.	.	.	.	1	.	.	.	.	30	.	.	.
Tessin	.	.	1	.	10	4	.	6	2	2	1	.	.	.	.	.	4	.	.	.	1	.	.	4	3	4	.	.	.	11	.	.	1	1	.	.	1	3	.	.	19	84	1
Thurgovie	.	.	.	.	.	.	.	.	.	.	.	.	.	.	.	9	.	.	.	.	.	.	.	.	.	20	.	.	.	.	2	.	.	.	.	1	.	.	.	.	.	.	.
Unterwald	.	.	.	.	.	.	.	.	.	.	.	.	.	1	5	.	5	.	.	.	.	.	.	.	.	.	.	.	.	.	.	2	.	.	1	.	.	.	2	.	2	.	.
Uri	.	.	.	.	.	.	.	.	.	.	.	.	.	.	.	.	.	.	.	.	.	.	.	.	.	.	.	.	.	.	.	.	.	.	.	.	.	.	.	.	.	.	.
Vaud	.	.	.	.	.	.	3	.	.	1	1	.	1	9	.	1	6	.	9	8	.	11	9	15	.	.	.	.	.	.	.	2	.	.	.	.	.	.	.	8	4	.	.
Valais	.	.	.	.	.	.	.	.	.	.	.	.	.	1	.	.	.	.	.	.	.	.	.	.	.	.	.	.	.	.	.	.	.	.	.	.	.	.	.	.	1	.	.
Zurich	1	1	.	.	.	.	.	.	.	.	.	.	.	.	5	9	.	.	.	.	.	3	.	.	1	13	.	4	.	.	.	6	.	.	.	.	.	.	.	.	2	.	.
Zoug	.	.	.	.	.	.	.	.	.	.	.	.	.	.	.	.	.	.	.	.	.	.	.	.	.	.	.	.	.	.	.	5	.	.	1	.	.	.	.	.	1	.	.
Totaux	1	2	1	1	10	7	3	6	2	38	3	3	4	47	44	69	67	4	14	14	1	46	31	115	4	51	1	7	4	11	4	26	1	1	27	2	1	3	2	146	72	87	1
par mois	1	4			72								523																	601													

Suite de la dite statistique.

Canton	Juillet											Août																	Septembre												Octobre				Somme
	19	20	21	22	23	24	25	26	27	28	31	1	2	3	4	5	6	10	13	14	19	21	22	23	24	27	28	31	1	2	6	9	12	14	15	16	18	19	20	21	6	7	19	21	
Argovie	15	.	2	.	.	.	.	.	1	.	.	.	.	.	.	.	.	.	.	.	.	.	2	.	9	.	.	.	2	.	.	1	.	.	.	.	.	.	.	1	.	.	.	.	66
Appenzell	.	.	.	.	.	.	.	.	.	.	.	.	.	.	.	.	.	.	.	.	.	1	.	.	.	.	.	.	.	.	.	.	.	.	.	.	.	.	.	.	.	.	.	.	6
Bâle	19	.	1	.	.	.	1	.	.	.	.	.	.	.	.	.	.	.	.	.	13	.	.	.	.	.	.	.	.	.	.	.	.	.	.	.	.	.	.	.	.	.	.	.	78
Berne	25	3	13	1	.	2	.	.	.	.	.	.	.	1	.	.	.	.	.	1	19	.	1	5	.	.	1	8	.	.	.	.	.	.	.	.	.	.	.	.	.	.	.	.	334
Fribourg	.	.	.	1	.	.	.	.	.	.	.	.	.	.	.	.	.	.	.	.	3	.	.	.	.	.	.	.	.	.	.	.	1	.	.	.	.	.	.	.	.	.	.	.	98
St-Gall	.	12	.	.	.	.	.	2	5	.	4	.	.	2	.	.	.	.	.	.	.	2	.	3	4	.	.	1	.	.	.	.	.	.	.	.	1	.	.	.	.	.	.	.	72
Genève	.	.	.	.	.	.	.	.	.	.	.	.	.	.	.	.	.	.	.	.	8	.	.	2	.	.	.	.	.	.	.	.	.	.	.	1	.	.	.	1	.	.	2	.	19
Glaris	1	.	.	.	.	.	.	.	.	.	.	.	.	.	.	.	.	.	.	.	1	.	.	.	2	.	.	.	.	.	.	.	.	.	.	.	.	.	.	.	.	.	.	.	4
Grisons	.	.	.	.	.	.	.	.	.	.	.	.	1	.	.	.	1	.	.	.	.	.	.	.	.	.	.	.	.	.	.	.	.	.	1	.	.	.	.	.	.	.	.	.	9
Lucerne	5	6	.	.	3	1	1	1	.	.	.	.	.	.	4	.	.	1	.	.	15	.	1	.	.	.	.	1	7	.	.	.	.	.	.	.	.	.	.	1	.	.	.	.	119
Neuchâtel	.	.	.	.	.	.	.	.	.	.	.	.	.	.	.	.	.	.	.	.	2	.	.	3	.	.	.	.	.	.	.	.	.	.	.	.	.	.	.	.	.	.	.	.	30
Schaffhouse	.	.	.	.	.	4	.	.	1	.	.	.	.	.	.	.	.	.	.	.	.	.	.	5	.	.	.	.	.	.	.	.	.	.	.	.	.	.	.	.	.	.	.	.	13
Schwyz	4	.	.	.	.	.	.	.	.	.	2	.	.	.	.	.	.	.	.	.	2	.	.	.	2	.	.	.	.	.	.	.	.	.	.	.	.	.	.	.	.	.	.	.	19
Soleure	9	.	5	.	.	.	.	.	.	.	.	.	.	.	.	.	.	.	.	.	11	.	.	.	.	.	.	.	.	2	.	.	.	.	2	.	.	.	.	.	.	.	.	.	73
Tessin	.	1	.	.	.	17	.	1	.	.	.	1	3	11	25	31	53	.	2	.	21	.	.	.	.	.	10	.	.	.	4	.	9	1	.	.	10	1	1	.	59	1	.	1	426
Thurgovie	.	.	.	.	.	.	.	3	6	.	9	.	.	.	.	.	.	.	.	.	.	.	2	8	.	.	.	.	.	.	.	.	.	.	.	.	1	.	.	.	.	.	.	.	61
Unterwald	3	.	2	.	.	.	.	.	.	.	.	.	.	1	.	.	.	.	.	.	2	.	.	.	.	.	.	.	.	.	.	.	.	.	.	.	.	.	.	.	.	.	.	.	26
Uri	.	.	.	.	.	.	.	.	.	.	.	.	.	.	.	.	.	.	.	.	.	.	.	.	.	.	.	.	.	.	.	.	.	.	.	.	.	.	.	.	.	.	.	.	0
Vaud	.	.	.	.	.	.	.	.	.	.	.	.	.	.	.	.	.	.	.	.	7	.	1	.	14	1	.	.	.	.	.	.	.	.	2	.	.	.	.	.	.	.	.	.	113
Valais	.	.	.	.	.	.	.	.	.	.	1	.	.	.	.	.	.	.	.	.	.	.	.	.	.	.	.	.	.	.	.	.	.	.	.	.	.	.	.	.	.	.	.	.	3
Zurich	15	.	.	.	.	1	.	2	4	1	.	.	.	.	.	.	.	.	.	.	.	4	3	7	6	.	.	2	.	.	1	.	1	.	.	.	1	.	.	.	.	.	.	.	93
Zoug	.	.	.	.	.	.	.	.	.	.	1	.	.	.	.	.	1	.	.	.	1	.	.	.	.	.	.	.	.	.	.	.	.	.	.	.	.	.	.	.	.	.	.	.	10
Totaux	96	22	23	2	3	25	2	9	17	1	17	1	4	15	29	31	55	1	2	1	105	7	10	33	37	1	11	12	9	2	5	1	11	1	5	1	13	1	1	3	59	1	2	1	1672
par mois												355																	53												63				1672

Monats- und Jahressummen

der Niederschlagsmessungen sämtlicher meteorol. Stationen I.—III. Ordnung

im Jahre 1939.

Bei Zählung der Niederschlagstage sind in dieser Tabelle nur die Tage mit mindestens 1,0 mm berücksichtigt worden.
Die mit * bezeichneten Summen sind nach den Nachbarstationen interpoliert.

Stationen:	Höhe üb. Meer	Jan.	Febr.	März	April	Mai	Juni	Juli	Aug.	Sept.	Okt.	Nov.	Dez.	Jahr	Maxima		Zahl d. Tage
A. Rheingebiet																	
I. Quellgebiet bis Bodensee.																	
Sedrun (Tavetsch)	ca 1401	89	15	183	158	128	112	189	156	71	123	259	52	1535	93	5. VIII.	141
Platta (Medels)	1378	92	14	130	175	143	186	238	186	83	142	176	39	1604	104	5. VIII.	147
Vial	ca 1280	110	8	92	185	163	197	305	192	96	271	184	42	1845	84	5. VIII.	141
Val	1210	94	8	118	150	143	170	219	150	76	155	206	46	1535	82	17. XI.	142
Surrhein	ca 892	77	5	112	123	111	135	179	125	87	120	224	42	1340	81	18. XI.	121
Panix	ca 1300	68	18	203	105	134	108	198	117	102	164	218	78	1513	72	17. XI.	161
Vrin	ca 1454	91	12	98	110	143	151	206	127	109	144	159	51	1401	53	17. XI.	125
Vals	ca 1248	75	7	61	153	154	148	177	151	94	131	142	36	1329	61	5. VIII.	123
Ilanz	ca 704	59	6	109	82	93	100	185	107	79	106	173	36	1135	57	17. XI.	126
Flims	ca 1102	79	18	166	82	140	125	214	116	111	152	183	73	1459	*60	17. XI.	156
Safienplatz	ca 1270	67	12	95	88	141	128	209	133	120	147	185	47	1372	61	17. XI.	146
Bernhardin-Pass	2073	334	92	43	646	377	274	312	284	143	498	219	145	3367	154	26. IV.	131
Hinterrhein	ca 1624	166	27	56	295	225	230	311	227	121	143	188	34	2023	70	26. VI.	151
Splügen (Dorf)	ca 1500	127	14	67	206	239	187	214	179	119	197	182	34	1765	83	4. VIII.	137
Avers am Bach	ca 1955	68	8	39	49	145	168	253	132	128	211	98	30	1329	47	22. VII.	142
Inner-Ferrera	ca 1480	56	1	31	140	256	190	272	140	153	189	113	16	1557	56	22. VII.	116
Andeer	ca 980	63	8	50	71	134	122	195	138	109	146	105	21	1162	51	4. VIII.	93
Thusis	ca 711	58	9	65	58	127	96	188	99	94	129	125	28	1076	46	17. XI.	114
Bivio	ca 1780	67	22	121	82	234	157	211	121	108	189	149	49	1510	48	17. XI.	137
Savognin	ca 1213	49	13	76	43	145	101	191	99	113	122	113	30	1095	50	17. XI.	121
Weissfluhjoch	2660	79	59	241	96	271	145	284	119	110	—	—	100	—	—	—	—
Davos-Platz	1561	49	23	142	33	129	68	204	84	90	117	199	43	1181	79	17. XI.	135
Davos (Schatzalp)	1868	50	19	153	38	125	72	198	76	*90	142	186	51	1200	?	?	147
Albula (Hospiz)	ca 2315	46	5	49	57	109	123	175	107	106	113	?45	31	?966	33	23. VII.	133
Filisur	ca 1040	47	13	72	14	113	96	196	90	112	134	106	32	1025	52	22. VII.	125
Lenzerheide	ca 1477	42	5	114	22	133	136	176	93	*100	111	129	39	1100	54	17. XI.	133
Nisellas (Alvaschein)	ca 890	30	8	66	35	130	106	183	94	96	104	111	26	1121	38	17. XI.	108
Tomils	ca 823	44	9	95	42	98	93	181	99	83	110	138	29	1021	56	17. XI.	119
Arosa	1854	60	33	121	53	180	129	233	113	123	168	166	57	1436	58	17. XI.	152
Tschiertschen	1351	42	21	153	37	163	101	198	109	109	131	175	52	1291	55	17. XI.	147
Chur	610	38	16	95	27	117	81	159	85	70	102	143	30	963	61	17. XI.	120
Klosters	ca 1207	69	27	191	54	185	94	214	102	123	173	257	92	1581	88	17. XI.	157
St. Antönien	ca 1460	75	37	207	48	166	115	201	104	94	165	207	79	1498	58	17. XI.	156
Schiers	670	52	24	179	38	147	88	158	88	82	129	197	42	1224	74	17. XI.	142
Seewis	954	58	33	203	46	169	100	208	95	90	161	257	55	1475	101	17. XI.	146
Plantahof b. Landquart	ca 530	51	26	152	31	160	89	175	76	64	128	220	52	1224	100	17. XI.	120
Vättis	950	55	18	132	44	119	119	201	96	78	126	187	48	1223	65	17. XI.	144
Bad Ragaz	521	56	26	157	41	185	100	179	82	76	161	225	56	1344	98	17. XI.	133
Sargans	508	52	19	188	60	191	106	222	120	105	168	245	83	1559	86	17. XI.	153
Sevelen	464	40	13	23	39	186	121	188	134	97	171	140	45	1197	44	17. XI.	139
Vaduz (Liechtenstein)	ca 460	27	10	71	34	206	128	176	129	100	166	113	33	1193	40	22. VII.	136
Haag	448	47	20	112	52	193	166	203	163	129	224	190	76	1575	78	17. XI.	151
Altstätten	452	44	25	188	41	224	144	205	96	110	200	138	98	1513	48	7. III.	158
Heiden	ca 808	50	31	136	56	313	146	197	114	146	294	134	93	1710	66	21. V.	176

Stationen:	Höhe üb. Meer	Jan.	Febr.	März	April	Mai	Juni	Juli	Aug.	Sept.	Okt.	Nov.	Dez.	Jahr	Maxima		Zahl d. Tage
II. Bodensee bis Basel.																	
Rorschach	455	33	16	122	46	283	126	162	68	108	224	80	77	1345	46	21. V.	141
St. Gallen	702	35	23	108	39	246	143	180	90	146	217	85	75	1387	52	21. V.	156
Arbon	ca 409	30	22	104	33	202	90	154	85	136	201	83	67	1207	57	4. IX.	143
Amriswil	ca 455	42	30	99	36	245	95	137	76	121	206	78	64	1229	47	4. IX.	151
Altnau	ca 458	50	29	104	31	169	91	110	98	135	178	67	61	1123	50	4. IX.	149
Kreuzlingen	446	77	24	113	36	197	102	110	125	133	193	78	72	1260	51	4. IX.	164
Haidenhaus	694	69	13	87	43	238	95	111	150	158	219	86	69	1338	66	4. IX.	154
Steckborn	ca 400	62	16	89	38	197	79	110	124	123	176	73	63	1150	46	4. IX.	150
Eschenz	ca 417	66	25	103	47	211	86	117	154	121	198	71	73	1272	42	23. VIII.	157
Thayngen	ca 455	59	7	85	46	169	95	121	153	110	170	77	56	1148	32	5. VIII.	158
Buch (Schaffhausen)	430	51	12	78	45	189	158	111	114	129	173	68	62	1190	45	9. VI.	145
Diessenhofen	ca 410	60	11	87	56	221	156	115	143	134	223	78	64	1348	56	23. VIII.	145
Lohn	ca 643	67	8	98	53	177	95	111	110	118	179	88	63	1167	35	5. VIII.	167
Merishausen	ca 535	80	12	105	65	164	129	117	109	146	206	91	63	1287	37	5. VIII.	172
Schaffhausen	448	65	15	77	63	189	110	127	124	137	175	81	57	1220	36	5. VIII.	162
Rheinau	ca 361	62	11	65	58	172	94	118	85	133	170	66	56	1090	35	5. VIII.	149
Flaach	362	61	14	30	59	198	111	117	137	145	198	70	79	1219	44	4. IX.	155
Wil (bei Rafz)	ca 410	63	12	103	53	179	95	124	98	125	194	89	64	1199	39	4. IX.	153
Kaiserstuhl	ca 342	75	17	106	63	187	93	130	86	131	206	102	58	1254	44	4. IX.	164
Schleitheim	477	75	8	83	58	164	129	110	82	130	185	87	47	1158	31	4. IX.	158
Hallau	450	72	9	70	56	155	110	107	78	101	181	88	51	1078	38	30. VI.	153
Wilchingen	ca 415	76	10	97	71	174	113	130	82	110	190	103	61	1217	39	4. IX.	160
Laufenburg	ca 325	110	26	145	88	192	219	158	86	101	266	148	57	1596	51	30. VI.	167
Wittnau	ca 415	88	32	142	80	165	170	154	79	86	203	118	49	1366	37	4. IX.	161
Frick	ca 350	100	29	130	81	196	185	156	85	88	243	139	64	1496	55	30. VI.	160
Möhlin	ca 332	98	31	128	98	159	175	148	61	108	249	106	49	1410	38	30. VI.	158
Wintersingen	444	85	32	140	103	177	143	166	80	107	220	101	43	1397	40	4. IX.	167
Rheinfelden	280	94	31	125	106	152	177	145	69	87	241	97	48	1372	39	4. IX.	163
Kilchberg	ca 582	81	31	123	92	196	154	152	90	112	214	115	49	1409	37	4. IX.	182
Böckten	ca 385	67	28	123	90	181	150	153	75	92	224	96	44	1323	41	30. VI.	173
Eptingen	ca 571	79	23	126	80	213	129	147	82	93	235	97	27	1331	34	8. V.	159
Bennwil	ca 526	80	30	126	87	198	142	148	97	99	217	106	45	1375	36	30. VI.	173
Waldenburg	ca 533	94	29	130	84	213	152	140	103	92	223	113	57	1430	34	30. VI.	175
Lampenberg	ca 404	66	28	120	83	194	132	122	86	90	206	100	39	1266	38	30. VI.	161
Reigoldswil	ca 497	88	30	123	80	199	142	157	113	95	203	115	50	1395	43	30. VI.	176
Liestal	325	62	28	147	91	166	132	133	77	79	211	106	44	1276	37	7. III.	168
Arisdorf	ca 430	53	24	122	86	190	170	156	70	103	218	91	46	1329	31	9. V.	162
Basel-Augst	ca 275	67	26	103	98	149	151	144	55	80	223	85	44	1225	36	14. VII.	157
Mervelier	ca 560	85	22	117	80	242	156	125	46	133	217	113	68	1404	39	8. V.	148
Bellelay	ca 930	102	32	175	137	270	178	185	208	114	299	182	57	1939	88	5. VIII.	188
Delémont	ca 435	68	27	95	106	201	135	160	123	117	195	117	39	1383	57	19. VIII.	155
Seewen	ca 551	64	24	121	90	189	153	128	152	95	220	98	50	1384	39	19. VIII.	169
Grellingen	ca 328	60	25	101	104	214	148	140	98	100	215	85	49	1339	29	14. VII.	166
Pfeffingen	ca 394	84	27	124	98	203	164	141	93	80	208	77	43	1342	34	3. V.	168
Neue Welt	ca 267	47	24	99	95	180	122	146	99	78	198	72	42	1202	38	19. VIII.	150
Therwil	ca 310	51	20	91	98	191	136	145	114	72	202	57	42	1219	46	19. VIII.	154
Basel-Binningen	310	50	25	98	99	182	117	135	112	67	215	64	41	1205	49	19. VIII.	149
Basel-Bernoullianum	277	57	25	93	113	171	118	134	108	69	202	62	41	1193	44	19. VIII.	151
III. Thur.																	
Wildhaus	1115	104	59	202	91	—	—	—	—	—	—	—	—	—	—	--	--
Starkenbach	ca 894	90	45	248	75	280	195	291	168	140	312	308	110	2262	86	17. IX.	166
Ebnat	649	79	40	212	52	176	145	218	199	162	316	221	89	1909	52	7. III.	163
Ricken	790	94	46	179	64	277	183	227	169	163	296	230	94	2022	52	4. IX.	179
Lichtensteig	ca 617	62	26	198	58	276	146	213	166	162	284	179	96	1866	68	21. V.	177
Peterzell	ca 705	61	36	171	42	285	148	200	130	174	257	131	55	1690	76	21. V.	174
Nollen	ca 740	37	17	83	39	247	103	147	86	155	213	96	70	1293	52	4. IX.	158

Stationen:	Höhe üb. Meer	Jan.	Febr.	März	April	Mai	Juni	Juli	Aug.	Sept.	Okt.	Nov.	Dez.	Jahr	Maxima		Zahl d. Tage
Degersheim	ca 814	48	33	132	48	318	142	190	107	190	260	99	99	1666	87	21. V.	165
Herisau	ca 777	39	22	144	38	287	117	175	101	189	232	93	94	1531	79	4. IX.	158
Flawil	ca 616	46	28	127	40	259	116	145	82	167	188	74	87	1359	59	20. V.	168
Säntis	2500	156	90	299	69	197	211	307	265	173	425	376	236	2804	72	17. XI.	196
Urnäsch	ca 837	51	36	181	68	290	172	206	146	141	253	147	98	1789	50	4. IX.	179
Befang b. Hundwil	870	59	37	202	60	306	157	207	138	171	259	151	110	1857	75	21. V.	173
Appenzell	ca 781	42	29	129	54	274	211	187	144	179	222	132	94	1697	61	21. V.	161
Schwäbrig	1152	64	47	149	56	388	181	220	114	160	296	180	112	1967	74	21. V.	171
Teufen	ca 853	50	36	163	61	369	185	203	144	191	281	127	111	1921	94	21. V.	171
Bischofszell	ca 502	39	18	122	42	253	101	163	82	165	215	72	76	1348	67	4. IX.	153
Sulgen	ca 483	34	18	95	35	208	94	123	98	138	187	78	65	1173	49	4. IX.	149
Weinfelden	ca 446	48	19	109	34	207	90	109	113	123	201	81	59	1193	50	4. IX.	148
Raperswilen	ca 590	54	19	103	31	226	92	111	119	143	200	81	71	1250	48	4. IX.	153
Müllheim	ca 415	59	14	107	34	234	103	117	116	126	209	84	67	1270	56	4. IX.	155
Dussnang	ca 595	80	34	157	47	235	111	166	121	123	232	122	85	1513	54	4. IX.	170
Eschlikon	ca 502	39	18	103	31	185	92	116	122	100	178	66	69	1119	49	25. VIII.	160
Wängi	ca 430	48	14	108	26	208	76	95	98	132	170	83	72	1130	46	4. IX.	152
Aadorf	ca 538	62	21	108	40	222	103	120	91	122	215	96	84	1284	51	4. IX.	161
Affeltrangen	ca 495	41	32	86	42	250	94	119	96	156	192	75	71	1254	56	4. IX.	152
Thundorf	ca 560	48	8	87	13	246	92	96	106	118	204	75	50	1143	59	4. IX.	137
Frauenfeld	433	55	15	79	34	210	101	102	93	121	187	73	66	1136	46	4. IX.	157
Kalchrain	ca 585	48	17	87	41	217	106	111	150	169	199	60	59	1234	55	4. IX.	156
Nieder-Neunforn	ca 446	50	13	72	40	199	121	118	127	138	193	74	60	1205	50	4. IX.	155
Andelfingen	370	51	14	77	52	201	121	107	106	144	212	65	58	1208	42	12. IX.	169
IV. Töss.																	
Bauma	ca 643	101	42	176	60	299	111	165	189	141	275	129	96	1784	57	21. V.	178
Sternenberg	ca 880	94	43	179	58	295	117	161	146	143	272	132	99	1739	59	21. V.	176
Kollbrunn	ca 495	86	30	155	51	250	111	131	134	122	237	106	87	2072	50	4. IX.	166
Fehraltorf	ca 536	62	25	123	47	280	128	138	149	141	213	97	82	1485	52	4. IX.	170
Winterthur	ca 448	56	22	136	53	236	105	132	141	127	205	97	73	1383	45	5. VIII.	173
V. Glatt.																	
Grüningen	ca 488	64	29	136	58	224	156	179	139	199	213	107	78	1582	54	5. VIII.	167
Hinwil	ca 569	72	36	157	54	293	142	179	214	139	254	112	82	1734	59	5. VIII.	165
Pfäffikon	ca 550	63	26	135	51	298	124	133	148	143	230	99	91	1541	54	5. VIII/4. IX	171
Uster	ca 466	54	25	114	49	219	118	114	162	122	204	90	68	1339	56	5. VIII.	167
Strickhof (Landwirtschaftl. Schule)	515	54	18	129	47	244	103	123	185	123	208	98	72	1404	47	5. VIII.	167
Oerlikon	ca 450	58	25	124	57	286	118	156	194	143	224	93	83	1561	51	5. VIII.	163
Hochfelden	ca 401	55	11	104	60	208	110	133	96	129	204	73	63	1246	42	5. VIII.	159
VI. Limmat.																	
Weisstannen	ca 1006	108	38	172	66	190	141	255	138	133	191	189	61	1682	53	17. XI.	185
Walenstadt	ca 430	57	19	213	49	171	142	208	126	102	179	315	64	1645	138	18. XI.	150
Obstalden	ca 690	67	19	152	59	159	163	232	166	133	219	251	80	1700	85	17. XI.	172
Auen (Linthal)	821	114	41	306	93	165	117	218	148	106	199	352	104	1963	144	17. XI.	169
Urnerboden	1389	84	24	200	126	149	156	266	255	117	183	346	79	1985	140	17. XI.	181
Braunwald ob Linthal	1190	90	27	300	111	181	143	258	166	103	220	381	94	2074	111	17. XI.	172
Elm	959	92	40	207	102	230	142	243	158	134	208	252	82	1890	70	5. VIII.	172
Glarus	480	83	26	185	77	192	150	211	171	117	205	283	78	1778	122	17. IX.	157
Klönthal	ca 838	69	37	197	99	189	199	252	224	138	258	314	84	2060	110	17. IX.	182
Weesen	ca 430	76	33	210	52	195	177	240	149	132	311	288	153	2016	79	17. IX.	154
Oberkirch (b. Uznach)	ca 468	85	40	204	60	242	171	210	160*	184	236	182	100*	1874	?	?	167
Vorder-Wäggithal	ca 740	96	45	211	113	220	205	243	273	174	306	201	110	2197	78	25. VIII.	177
Lachen	ca 410	48	33	103	55	177	140	182	268	158	221	116	72	1573	84	5. VIII.	160
Wald (Sanatorium)	912	101	43	217	71	290	171	195	275	170	288	172	75*	2068	107	25. VIII.	178
Bachtel	1120	57	55	246	48	300	109	219	340	225	264	141	73	2077	186	25. VIII.	178
Rapperswil	ca 412	50	33	115	48	207	158	148	180	139	181	108	68	1435	56	5. VIII.	162
Männedorf	ca 415	58	29	155	50	201	141	153	120	131	192	96	76	1402	55	5. VIII.	162
Horgen	ca 445	79	37	157	59	232	117	125	199	110	205	142	75	1537	67	5. VIII.	161

Stationen:	Höhe üb. Meer	Jan.	Febr.	März	April	Mai	Juni	Juli	Aug.	Sept.	Okt.	Nov.	Dez.	Jahr	Maxima		Zahl d. Tage
Pfannenstiel	ca 853	79	37	191	59	251	170	146	156	154	241	105	87	1676	61	5. VIII.	178
Küsnacht (Zürich)	ca 412	56	24	128	49	221	120	129	140	106	198	112	69	1352	54	5. VIII.	167
Zollikon (Anst. f. Epil.)	ca 460	59	18	118	50	241	119	139	134	119	195	106	67	1365	53	5. VIII.	167
Zürich (Meteor. Z.-A.)	493	55	16	119	44	255	109	132	123	123	117	101	67	1361	51	5. VIII.	161
Oberiberg	1090	93	31	263	114	245	222	239	272	177	301	298	104	2359	94	17. XI.	186
Willerzell	ca 892	79	32	206	66	223	172	187	255	185	309	165	118	1997	87	25. VIII.	170
Einsiedeln	914	91	37	197	73	190	169	203	236	208	305	195	98	2002	73	5. VIII.	174
Schönenberg (Waldhalde)	ca 700	89	39	166	70	247	158	171	192	150	238	145	79	1744	76	5. VIII.	167
Uetliberg (Bahnhof)	815	46	12	114	49	263	129	129	152	126	223	90	68	1401	57	21. V.	166
Dietikon	ca 392	74	30	138	60	216	106	106	140	132	203	119	71	1395	46	5. VIII.	165
Otelfingen	ca 447	62	22	150	73	215	122	142	112	139	209	95	69	1410	45	5. VIII.	163
Baden	381	64	21	126	64	194	105	137	111	139	202	96	64	1323	40	5. VIII.	166

VII. Reuss.

Andermatt (Dorf)	ca 1442	87	30	160	177	194	118	142	170	49	160	270	55	1618	108	5. VIII.	146
Göschenen	1102	83	32	164	208	215	118	147	152	60*	108	231	38	1556	92	5. VIII.	150
Gurtnellen	742	64	21	121	139	173	94	139	150	58	180	208	36	1383	97	5. VIII.	142
Unterschächen	ca 1015	84	23	267	122	222	135	171	312	121	201	289	76	2023	200	5. VIII.	169
Altdorf	456	54	24	147	119	209	105	153	143	85	168	207	55	1469	82	5. VIII.	155
Isenthal	ca 1000	82	24	192	120	232	160	178	148	104	224	274	105	1843	86	5. VIII.	168
Muotathal	ca 624	119	56	260	136	251	207	277	223	110	307	346	116	2408	109	17. XI.	178
Schwyz	517	85	41	237	106	221	192	225	204	149	290	186	124	2060	76	5. VIII.	169
Sattel	ca 832	85	40	207	75	225	174	188	186	117	287	273	93	1950	94	17. XI.	166
Gersau	ca 450	75	55	97	70	246	157	208	176	88	251	195	103	1721	102	5. VIII.	170
Weggis	450	56	36	125	68	232	205	205	180	108	242	107	98	1662	85	5. VIII.	167
Rigi-Kulm	1787	119	92	249	107	273	274	232	181	180	383	236	157	2483	71	5. VIII.	179
Küsnacht (Schwyz)	ca 440	60	23	126	75	277	198	183	173	165	264	123	101	1768	76	5. VIII.	161
Engelberg	1018	72	38	207	126	265	135	173	151	121	239	266	98	1891	122	17. XI.	182
Stans	ca 456	63	29	113	61	209	168	200	171	115	214	116	74	1533	81	5. VIII.	160
Lungern	726	74	29	180	88	193	162	195	130	95	212	238	74	1670	59	5. VIII.	153
Sarnen	ca 474	50	17	47	61	174	150	180	163	95	168	105	72	1332	62	5. VIII.	158
Pilatus-Kulm	2068	92	57	247	109	313	175	228	161	140	189	135	127	1973	51	7. III.	183
Luzern (Wesemlin)	498	49	20	93	49	218	122	149	140	94	205	91	66	1296	56	5. VIII.	165
Luzern (Regierungsgeb.)	ca 440	48	21	81	48	214	125	235	142	97	197	95	66	1369	95	5. XI.	164
Flühli	ca 893	101	26	176	71	234	185	235	164	102	239	233	101	1867	75	5. XI.	169
Entlebuch	ca 722	80	34	156	61	274	187	177	157	112	256	124	80	1698	43	5. IX.	171
Werthenstein	594	48	20	93	51	211	202	150	142	128	211	88	70	1414	44	5. VIII.	166
Buchsteg (Eigental)	ca 1050	95	43	194	107	325	226	268	204	136	333	146	122	2199	67	5. VIII	188
Morgarten	ca 729	81	47	177	75	226	152	179	214	162	277	209	107	1906	72	5. VIII.	165
Unter-Aegeri	ca 735	80	39	172	65	234	146	202	177	175	260	182	115	1847	74	5. VIII.	175
Lorzetobel	ca 550	85	36	139	63	269	157	165	198	183	260	127	97	1779	76	5. VIII.	174
Walchwil	452	56	29	111	97	221	179	244	280	161	285	108	100	1871	131	5. VIII.	155
Zug	ca 429	63	26	97	54	221	144	132	157	178	209	94	87	1462	80	1. IX.	158
Hausen a. Albis	ca 603	72	29	108	64	259	174	132	136	150	227	100	82	1533	62	5. VIII.	165
Mettmenstetten	ca 483	50	16	183	57	239	145	109	114	99	186	73	75	1346	57	5. VIII.	156

VIII. Aare.

Grimsel	1962	162	85	338	194	342	140	202	153	82	304	295	122	2419	87	17. XI.	185
Guttannen	ca 1055	82	40	311	184	266	125	185	154	118	242	253	103	2063	75	5. VIII.	159
Gadmen	1207	87	47	208	105	274	133	198	166	102	204	311	94	1929	118	17. XI.	176
Meiringen	605	84	16	206	98	184	121	163	128	95	177	209	79	1560	67	5. VIII.	158
Brienz	ca 575	63	18	144	111	227	152	205	149	72	187	301	64	1693	113	17. XI.	158
Grindelwald	1050	97	19	160	112	210	142	168	142	76	184	173	76	1559	79	5. VIII.	154
Eigergletscher	2323	108	41	209	186	369	222	197	138	117	223	244	110	2164	92	17. XI.	184
Lauterbrunnen	ca 810	79	18	131	86	209	130	146	110	81	159	206	62	1417	69	17. XI.	147
Interlaken	595	84	21	167	76	191	124	172	170	82	174	178	60	1499	61	17. XI.	165
Beatenberg	1148	93	34	227	85	204	135	129	128	79	171	154	67	1508	42	17. XI.	167

Stationen:	Höhe üb. Meer	Jan.	Febr.	März	April	Mai	Juni	Juli	Aug.	Sept.	Okt.	Nov.	Dez.	Jahr	Maxima		Zahl d. Tage
Kandersteg	ca 1170	70	25	141	93	183	116	104	97	99	165	131	58	1282	37	17. XI.	158
Adelboden	ca 1365	?74	32	178	85	202	172	124	122	93	176	197	58	1313	63	17. XI.	160
Frutigen	ca 820	94	25	153	73	171	142	137	146	83	175	156	56	1411	56	17. XI.	153
Kienthal	ca 970	82	27	154	93	179	149	149	127	85	180	127	69	1421	45	21. VII.	172
Zweisimmen	ca 960	123	28	187	76	147	169	125	128	84	206	184	64	1521	38	17. XI.	167
Boltigen	ca 830	112	22	172	74	172	143	125	103	96	227	280	64	1590	55	18. XI.	150
Wimmis	ca 640	110	37	136	83	204	168	122	123	80	211	111	70	1455	39	7. III.	155
Heiligenschwendi	1125	66	24	154	89	239	179	124	151	106	188	78	80	1470	54	5. VIII.	166
Thun	565	43	13	76	65	202	157	138	105	92	158	50	60	1159	30	7. III.	149
Schwarzenegg	ca 910	59	19	149	81	216	202	141	148	139	204	89	77	1524	65	4. IX.	174
Grosshöchstetten	ca 750	87	32	131	70	224	229	174	109	105	179	80	89	1509	48	7. VI.	168
Belp	ca 525	84	32	108	69	201	128	153	67	81	184	90	66	1263	27	7. III.	153
Bern	572	51	17	67	79	181	140	127	57	95	174	80	42	1110	35	30. VI.	140
Lauenen	ca 1260	102	19	172	96	167	117	128	129	92	196	175	71	1464	43	5. VIII.	153
Gsteig bei Saanen	ca 1180	92	16	145	86	135	134	127	102	80	197	201	57	1372	38	18. XI.	149
Château-d'Oex	ca 1010	129	25	159	88	155	135	119	110	120	213	190	79	1525	42	19. XI.	158
Jaun	ca 1030	133	29	205	81	203	160	190	121	118	284	281	109	1914	99	17. XI.	179
La Valsainte	ca 1032	131	46	170	110	213	241	163	116	167	267	181	106	1911	67	10. VI.	173
Marsens	727	113	30	107	104	198	149	134	98	87	252	104	96	1472	36	7. III.	156
La Roche	ca 770	84	25	84	107	184	209	145	98	109	245	85	87	1462	40	4. IX.	156
Romont	764	80	23	75	106	177	215	98	62	79	224	91	76	1306	62	23. VI.	151
Freiburg	670	70	25	67	100	194	163	123	117	80	197	86	58	1280	39	4. IX.	155
Gauglera	ca 925	68	32	78	95	163	139	153	88	120	222	86	65	1309	38	30. VI.	159
Schwarzenburg	ca 800	91	28	98	81	186	165	154	89	106	204	96	71	1369	36	4. IX.	164
Wahlendorf	ca 760	97	30	110	102	151	194	111	123	101	234	106	53	1412	40	4. IX.	154
Aarberg	ca 465	96	13	103	94	151	145	104	88	101	226	98	36	1255	43	18. X.	154
Palézieux	ca 633	—	—	—	—	—	—	—	—	—	—	—	—	—	—	—	—
Rossenges s. Moudon	ca 700	105	16	77	110	172	168	119	80	72	256	98	68	1341	54	30. VI.	158
Moudon	515	79	16	70	95	143	137	92	75	74	201	90*	57	1129	52	30. VI.	142
Payerne	ca 445	76	15	47	106	189	153	117	83	95	233	96	44	1254	40	30. VI.	140
Avenches	480	67	14	41	98	154	150	96	64	83	191	81	32	1071	40	30. VI./18. X.	139
Murten	ca 460	—	—	—	—	—	—	—	—	—	—	—	—	—	—	—	—
Witzwil	ca 448	110	15	64	110	187	163	111	58	101	247	26	54	1246	41	30. VI.	150
La Cure	ca 1165	211	40	70	153	203	165	148	139	122	318	234	82	1885	69	15. X.	180
Le Sentier	ca 1024	188	31	177	149	192	188	148	194	94	334	207	90	1992	68	15. X.	193
Le Pont	ca 1012	166	36	191	155	179	155	142	176	108	283	165	82	1838	49	15. X.	163
Vallorbe-Reposoir	930	191	38	179	171	210	149	154	134	109	300	156	101	1892	54	15. X.	184
Montchérand	565	95	21	77	125	150	112	81	88	72	201	128	45	1195	33	5. VIII.	141
L'Abergement	640	134	38	171	181	180	144	144	123	99	229	200	64	1707	46	15. X.	173
Valleyres-sous-Rances	505	98	16	95	122	142	118	86	79	57	214	122	39	1188	41	15. X.	138
Echallens	ca 625	132	18	79	120	154	192	119	92	76	255	118	70	1425	47	30. VI.	150
Bochuz	ca 440	96	16	67	143	171	131	81	79	56	227	118	43	1228	47	15. X.	142
Yverdon	440	93	9	67	97	159	139	100	88	63	256	145	45	1261	52	5. VIII.	150
Baulmes	ca 634	150	24	174	167	168	147	132	128	106	347	206	74	1823	56	15. X.	175
L'Auberson	ca 1110	161	41	169	157	187	198	171	111	127	304	220	77	1923	58	15. X.	185
St-Sulpice	ca 760	171	35	151	131	218	178	129	87	102	259	223	55	1739	44	15. X.	182
Couvet	ca 750	138	25	146	147	172	184	132	106	101	255	177	42	1625	52	15. X.	179
Grandchamp-Areuse	ca 450	137	17	76	102	136	121	99	117	75	260	115	47	1302	45	30. VI.	147
Chambrelien	ca 743	157	26	97	165	192	145	170	59	85	224	161	75	1556	43	19. XI.	162
La Brévine	ca 1077	124	25	118	128	179	154	162	108	117	207	188	52	1562	43	15. X.	192
Les Ponts	1020	127	30	153	157	211	139	166	102	124	287	189	74	1759	52	15. X.	184
Cernier	800	139	13	118	127	174	108	132	78	70	204	160*	65*	1388	?	?	150
Serrières	ca 470	138	17	100*	102	162	87	112	76	80*	216	104	60*	1254?	44	18. X.	141*
Neuchâtel	487	146	19	120	122	187	131	98	72	84	278	160	66	1483	45	18. X.	152
Chaumont	ca 1115	139	17	106	122	176	148	144	89	101	253	165	45	1505	50	18. X.	171
Biel	ca 440	132	15	130	89	149	146	113	127	118	254	145	58	1476	51	30. VI.	152
Evilard	ca 700	185	19	205	102	167	152	150	89	97	284	168	71	1689	44	18. X.	165
Mont-Soleil	ca 1200	144	41	221	168	239	142	190	167	132	313	227	72	2056	57	17. XI.	190
Courtelary	ca 699	112	26	161	132	160*	141	150	139	99	257	183	57	1617	47	17. XI.	167
Weissenstein	1285	177	22	188	99	216	207	185	120	135	297	157	120	1923	70	30. VI.	178

Stationen:		Höhe üb. Meer	Jan.	Febr.	März	April	Mai	Juni	Juli	Aug.	Sept.	Okt.	Nov.	Dez.	Jahr	Maxima		Zahl d. Tage
Solothurn		470	137	24	185	96	214	175	173	119	117	291	159	93	1783	41	30. VI.	167
Marbach	ca	875	117	32	202	104	237	185	211	168	117	267	199	124	1963	60	17. XI.	186
Escholzmatt	ca	853	104	36	216	96	278	186	177	162	89	278	178	98	1898	63	21. V.	184
Langnau i. E.	ca	685	77	29	153	65	228	167	152	181	99	231	91	87	1550	49	4. IX.	159
Wasen i. E.	ca	755	76	31	148	80	237	158	148	125	85	222	100	77	1487	37	21. V./4. IX.	163
Affoltern i. E.		795	75	22	138	72	207	160	27	102	102	223	95	88	1311	42	4. IX.	159
Burgdorf	ca	535	63	23	104	76	205	114	119	149	108	186	68	63	1278	52	25. VIII.	150
Gerlafingen		454	99	23	114	78	203	134	131	99	131	253	113	50	1428	33	25. VII./5. X.	165
Herzogenbuchsee	ca	475	71	18	75	69	158	109	149	115	112	194	73	50	1193	37	4. IX.	151
St. Urban	ca	452	89	30	155	74	188	134	169	139	108	263	117	65	1531	35	25. VII./7. X.	163
Luthern	ca	778	74	34	119	66	195	149	161	153	107	242	117	83	1500	40	4. IX.	160
Zofingen	ca	436	71	26	153	62	172	128	186	100	114	209	117	61	1399	34	4. IX.	165
Herbetswil	ca	526	108	24	153	92	207	155	154	63	135	213	123	74	1501	40	4. IX.	169
Langenbruck		705	86	36	176	81	234	148	158	87	103	280	117	63	1569	39	30. VI.	178
Balsthal	ca	503	77	24	137	72	196	129	162	79	103	208	97	55	1339	33	30. VI.	166
Allerheiligen	ca	900	70	25	175	88	226	174	165	94	120	283	119	67	1613	48	30. VI.	170
Olten	ca	400	75	26	170	73	190	163	165	102	117	250	126	66	1516	51	30. VI.	170
Barmelweid	ca	770	90	12	175	52	168	87	92	72	82	223	111	56	1223	39	9. X.	141
Aarau		406	76	24	129	76	183	124	164	136	116	220	131	60	1439	33	8. V.	167
Kölliken	ca	431	80	27	140	65	182	114	173	118	113	238	125	62	1437	36	8. V.	160
Beromünster	ca	656	74	31	122	64	211	156	131	129	108	210	151	64	1451	58	5. VIII.	163
Burg	ca	625	80	31	128	69	226	133	134	97	103	213	140	69	1423	52	5. VIII.	162
Unter-Kulm	ca	470	76	25	135	62	178	117	160	115	111	211	48	64	1302	48	17. XI.	160
Aesch (Hitzkirch)	ca	520	61	19	109	68	213	110	130	111	124	204	143	64	1356	49	5. VIII./4. IX.	165
Muri		483	68	20	123	61	214	129	126	119	102	186	142	74	1364	57	5. VIII.	159
Bötzberg	ca	500	76	27	107	68	187	130	152	117	111	213	119	57	1364	37	4. IX.	168
Beznau	ca	330	93	21	133	65	165	115	135	110	102	240	132	55	1366	39	4. IX.	163
Schöfflisdorf	ca	476	69	20*	130*	71	200	93	151	101	94	215	102	61	1307	40	5. VIII.	163

B. Rhonegebiet.

I. Rhone und Genfersee.

Furka (Galenhütten)	ca	2406	232	44	372	219	251	78	117	109	59	218	418	80	2197	135	17. XI.	148
Reckingen		1332	93	25	132	119	138	53	117	130	58	138	210	20	1233	78	5. VIII.	129
Fiesch	ca	1080	62	25	83	120	127	47	78	124	82	123	162	17	1050	75	5. VIII.	116
Binn	ca	1450	64	32	76	191	145	66	98	48	59	90	135	21	1025	77	26. IV.	119
Saas-Fee	ca	1800	33	36	58	114	149	52	53	119	38	94	67	26	839	58	5. VIII.	111
Zermatt		1610	39	10	44	51	102	64	87	68	30	76	127	20	718	55	17. XI.	112
Grächen	ca	1629	17	5	38	80	76	42	38	86	32	53	66	9	542	41	5. VIII.	76
Visp		648	36	22	78	63	62	33	42	68	28	62	97	20*	611	39	5. VIII.	83
Kippel	ca	1376	74	9	127	55	71	49	70	78	34	124	179	48	918	57	16. 17. XI.	118
Leukerbad		1415	123	9	175	38	128	79	109	87	46	190	218	51	1253	63	17. XI.	131
Varen bei Leuk	ca	750	56	2	64	34	47	50	55	59	40	92	88	26	613	27	4. XI.	99
Siders		573	49	4	74	22	48	47	47	79	29	89	101	30	619	32	16. XI.	87
Montana		1453	90	7	144	44	75	57	81	78	55	151	162	42	986	37	19. XI.	119
Grimentz	ca	1570	48	4	67	50	92	78	71	102	75	129	121	24	861	40	5. VIII.	132
Hérémence	ca	1240	65	4	64	39	66	61	78	85	29	86	99	29	705	45	5. VIII.	115
Sion		549	68	3	51	20	48	42	48	63	26	91	95	29	584	37	5. VIII.	99
Bagnes (Châble)	ca	836	83	5	113	114	91	95	79	78	31	114	107	46	958	68	27. IV.	127
St. Bernhard		2475	271	87	236	350	253	159	102	173	102	338	266	155	2492	63	23. I.	186
Bourg St-Pierre	ca	1633	63	21	87	112	112	108	102	91	68	148	81	51	1044	44	27. IV.	113
Orsières	ca	890	66	5	78	97	63	62	84	59	30	71	100	37	732	30	17. XI.	96
Martigny-Ville	ca	480	91	8	107	40	66	55	50	67	36	109	95	38	762	26	15. III.	116
Marécottes		1090	171	14	170	109	114	72	110	51	42	143	116	60	1172	40	8. III.	123
Dailly	ca	1253	—	23	165	71	147	56	80?	69	117	313	142	52	—	67	23. X.	–
Savatan		679	55	7	62	40	83	52	36	45	26?	83	63	38	592*)	26	30. VI.	—
Les Plans	ca	1100	141	35	191	99	194	112	103	74	100	203	198	89	1539	76	17. XI.	146
Gryon	ca	1130	134	17	168	77	173	133	113	86	121	209	185	82	1498	77	17. XI.	159

*) zu klein.

Stationen:	Höhe üb. Meer	Jan.	Febr.	März	April	Mai	Juni	Juli	Aug.	Sept.	Okt.	Nov.	Dez.	Jahr	Maxima		Zahl d. Tage
Bex	430	82	15	88	64	116	109	94	79	68	138	91	59	1003	30	17. XI.	140
Diablerets-village	1168	115	19	181	94	166	135	115	86	92	211	207	81	1502	48	19. V.	133
Leysin	1398	139	19	161	74	153	130	143	89	95	226	214	77	1520	64	19. XI.	155
Chessel	380	71	31	98	77	122	122	86	89	89	235	106	71	1197	42	7. III.	101
Porte du Scex (Vouvry)	478	103	22	110	69	117	129	78	87	77	253	115	66	1226	54	7. III.	129
Rochers de Naye	1975	381	99	294	129	251	268	153	146	150*	392	326	195	2784	105	17. XI.	165
Clarens	412	102	22	93	80	118	193	102	108	76	180	94	92	1260	41	30. VI.	148
Vevey	380	111	24	90	84	146	174	110	95	170	184	91	73	1352	74	14. IX.	135
Riex	445	164	28	135	128	156	241	106	95	83	252	115	86	1589	49	15. X.	140
Gourze-Nord	800	153	24	81	114	172	220	95	103	96	266	129	77	1530	53	15. X.	120
Lausanne	553	129	20	91	118	148	163	89	84	61	227	107	72	1309	41	30. VI.	137
Cossonay	ca 575	119	13	61	126	150	111	113	69	52	222	89	55	1180	41	30. VI.	138
Morges	380	138	15	66	129	150	150	88	63	67	261	93	63	1283	41	4. IX.	139
Marcelin s. Morges	ca 425	122	18	52	125	144	157	96	63	69	247	90	59	1242	50	30. VI.	134
Le Marchairuz	1450	197	34	172	124	210	137	133	167	—	—	229	82	—	?	—	?
Longirod	ca 900	140	11	101	180	187	149	163	139	52	316	184	62	1684	49	18.V./15.VII.	—
Gland	430	128	19	82	121	176	141	71	93	68	254	128	56	1337	39	15. X.	133
Nyon	ca 405	129	16	69	133	163	129	74	80	60	257	121	64	1295	40	4. IX.	137
Céligny	ca 435	143	18	86	142	174	155	79	105	55	236	123	78	1394	43	18. V.	161
Genève	405	83	14	47	126	137	133	75	85	33	172	93	52	1050	42	18. V.	128
Jussy	ca 475	89	23	44	112	138	149	78	79	37	195	80	53	1077	38	15. X.	133
Compésières	ca 476	93	18	45	140	133	139	93	103	39	184	81	71	1139	39	18. V.	134
Satigny	ca 460	112	6	44	103	92	97	54	71	29	115	94	52	869	24	15. VII.	112
II. Doubs.																	
Les Brenets	878	138	39	178	155	194	146	145	117	143	263	180	67	1765	43	6. IV.	192
La Chaux-de-Fonds	986	184	46	289	168	203	158	208	135	120	355	212	65	2143	58	14. VII.	186
Saignelégier	ca 985	125	42	142	152	226	127	191	106	154	377	186	63	1791	62	17. IX.	188
Mormont	ca 550	81	40	103	116	—	—	177	107	—	268?	138	69	—	?	—	?
C. Pogebiet.																	
I. Tessin.																	
Gotthard	2103	231	78	340	350	335	221	304	285	75	462	324	141	3146	146	5. VIII.	212
Airolo	1143	187	73	58	334	223	188	289	272	96	310	205	58	2293	130	5. VIII.	145
Lago di Tremorgio	1851	150	61	90	388	257	244	351	297	103	267	196	59	2463	141	5. VIII.	148
Olivone	ca 893	158	61	41	263	198	262	267	195	85	204	147	59	1940	69	5. VIII.	116
Comprovasco	544	145	55	28	218	181	260	246	182	101	142	103	59	1720	72	25. VI.	143
Biasca	ca 300	211	59	18	307	282	294	279	240	126	249	114	90	2269	80	5. VIII.	121
Mesocco (Misox)	ca 785	165	59	15	224	229	239	211	216	106	191	92	76	1823	60	4. VIII.	132
Braggio	1332	145	51	25	233	253	277	277	205	156	147	103	78	1950	69	4. IX.	119
Grono	335	139	67	11	190	233	218	290	206	150	139	91	70	1804	66	4. VIII.	122
Bellinzona	237	161	69	12	233	265	274	350	181	156	155	88	80	2024	92	15. VII.	116
Fusio	ca 1285	181	42	55	368	224	225	269	288	83	211	144	74	2164	163	5. VIII.	114
Cevio	ca 430	221	95	21	365	327	276	236	221	64	207	116	63	2212	113	26. IV.	127
Bosco-Gurin	1486	205	91	100	391	268	227	166	375	62	213	180	77	2355	196	5. VIII.	148
Mosogno	ca 790	213	100	15	459	363	344	318	403	89	181	96	76	2657	242	5. VIII.	128
Camedo	ca 610	146	108	26	400*	385	486	414	513	78	195	118	79	2948	301	5. VIII.	112
Locarno-Muralto	239	211	95	10	350	304	331	349	255	157	232	108	97	2499	111	5. VIII.	134
Locarno-Monti	380	209	77	9	340	291	322	353	242	125	235	103	90	2396	114	5. VIII.	129
Ascona	ca 203	227	97	8	350	284	323	353	257	111	267	103	91	2471	126	5. VIII.	125
Brissago	ca 210	232	105	10	494	368	359	356	326	111	377	124	97	2959	212	5. VIII.	125
Mezzana	ca 335	429	178	13	398	526	208	150	200	115	158	144	84	2603	107	24. II.	122
Monte Generoso	1610	—	—	—	—	314	200	118	144	—	—	—	—	—	—	—	—
Monte Brè	910	124	39	4	207	212	233	190	258	140	83	104	52	1646	74	4. IX.	128
Lugano	276	196	84	9	256	303	321	238	356	150	113	134	84	2242	87	4. XI.	125
Piandanazzo (Val Colla)	ca 1610	216	110	32	236	291	411	329	234	175	173	97	129	2433	75	4. IX.	150
Crana-Torricella	1010	276	84	17	485	425	422	357	388	236	279	128	106	3203	119	4. IX.	141
Ponte Tresa	ca 280	232	94	4	365	350	284	239	267	155	103	123	94	2310	79	4. XI.	121

Stationen:	Höhe üb. Meer	Jan.	Febr.	März	April	Mai	Juni	Juli	Aug.	Sept.	Okt.	Nov.	Dez.	Jahr	Maxima		Zahl d. Tage
II. Adda.																	
Bernina-Hospiz	ca 2309	209	52	41	239	179	193	231	186	101	332	117	65	1945	63	4. XI.	144
Cavaglia	ca 1701	163	23	22	134	149	188	189	147	148	228	94	51	1536	67	20. X	131
Brusio	ca 755	75	10	6	92	98	145	169	107	109	135	66	30	1042	51	4. XI.	107
Vicosoprano	1087	191	33	17	234	236	179	240	221	89	212	94	46	1792	68	5. VIII.	124
Soglio	ca 1090	147	25	20	198	252	176	232	199	100	62	80	47	1538	62	19. X.	131
D. Donaugebiet.																	
Inn.																	
Sils-Maria	1814	86	14	23	112	139	131	199	119	65	179	123	40	1230	50	4. XI.	116
St. Moritz	1853	46	7	27	49	88	94	175	96	87	130	97	32	928	35	17. XI.	120
Bevers	ca 1710	45	9	55	60	99	97	150	80	101	131	88	43	958	36	19. X.	110
Buffalora	ca 1977	32	6	50	46	46	139	157	119	102	128	124	25	974	45	22. VII.	109
Süs	ca 1440	27	5	50	58	68	77	137	44	101	72	157	23	819	36	22. VII.	94
Scarl	ca 1810	—	—	—	—	72	77	132	62	103	96	92	14	—	—	—	—
Schuls	1236	38	2	45	50	62	68	150	66	65	86	162	17	811	65	17. XI.	100
Martinsbruck	1040	22	11	61	30	70	97	133	57	80	74	170	20	825	72	17. XI.	100
E. Etschgebiet.																	
Sta. Maria	1411	41	5	12	78	96	117	170	92	96	152	77	25	961	48	12. VI.	101

Monats- und Jahresmengen im Jahre 1939, ausgedrückt in Prozenten der Normalmengen.

Stationen	Höhe über Meer	Jan.	Febr.	März	April	Mai	Juni	Juli	Aug.	Sept.	Okt.	Nov.	Dez.	Jahr
Platta	1378	200	31	186	206	121	152	190	122	61	84	202	60	131
Bernhardin	2073	355	128	28	312	162	150	158	129	56	156	108	127	149
Splügen	ca 1500	231	36	88	186	153	122	123	104	70	111	160	52	121
Davos-Platz	1561	107	42	258	60	222	67	165	67	95	172	355	68	131
Chur	610	97	39	207	52	177	103	153	81	80	131	270	58	120
Altstätten	452	77	38	241	41	190	88	122	62	89	187	175	126	117
St. Gallen	702	61	35	121	36	185	80	108	58	107	192	113	104	103
Kreuzlingen	446	188	53	222	51	229	105	115	120	151	261	156	138	147
Lohn	ca 643	168	21	200	85	213	98	125	112	151	221	154	119	141
Basel-Bernoullianum	277	154	64	179	171	209	112	152	126	88	246	100	79	144
Glarus	480	124	32	220	75	181	94	104	94	92	169	325	86	126
Einsiedeln	914	125	42	176	59	127	88	100	122	150	233	205	100	125
Zürich	493	112	28	161	46	224	81	100	92	112	211	142	91	119
Rigi-Kulm	1787	238	156	351	91	166	114	88	75	95	309	332	218	149
Engelberg	1018	106	51	213	104	173	63	71	63	74	155	289	110	110
Luzern	498	112	46	119	53	183	84	150	93	86	207	153	120	119
Guttannen	ca 1055	85	38	255	137	199	86	116	91	94	162	218	94	132
Beatenberg	1148	127	42	208	71	158	76	75	75	68	143	171	71	104
Bern	572	116	35	112	113	215	135	125	54	114	183	119	71	120
Chaumont	ca 1115	267	34	171	169	200	135	141	84	112	232	220	68	153
Neuchâtel	487	286	37	194	174	228	130	105	73	100	270	216	97	158
Affoltern i. E.	795	123	34	166	73	175	111	22	77	100	206	127	117	111
Olten	ca 400	147	45	262	103	209	141	150	87	133	260	161	94	151
Muri	483	136	36	184	72	210	101	103	101	109	198	215	109	130
Reckingen	1349	118	33	171	134	142	64	144	155	68	97	189	22	113
St. Bernhard	2475	222	77	193	222	137	96	82	114	74	171	163	116	140
Sion	549	158	7	106	53	112	93	79	84	49	138	161	49	92
Clarens	412	189	36	121	101	111	165	84	86	77	143	124	139	114
Lausanne	553	248	38	134	164	159	172	95	80	62	196	134	106	132
Genf	405	198	31	87	194	169	177	95	94	41	152	118	93	122
Lugano	276	293	153	4	161	169	175	150	195	77	54	97	117	132
Sils-Maria	1814	191	44	42	156	160	144	176	103	57	170	164	73	128
Bevers	ca 1710	129	35	134	107	150	113	138	73	95	149	142	93	115

Ergebnisse

der im Alpengebiet aufgestellten Niederschlags-Totalisatoren

für das hydrographische Jahr 1938—1939

Gemeinsame Mitteilung der Meteorologischen Zentralanstalt (M Z A) und des Instituts für Gewässerkunde an der Eidg. Techn. Hochschule (I G)

Station	m ü. M.	Zeitdauer	Gemessene Werte in cm	Reduzierte Werte 1. X. 1938 bis 30. IX. 1939
Suchetgebiet (Jura) M Z A				
Suchet (Chalet)	1465	1. X. 1938 bis 28. IX. 1939	173	174
Diableretsgebiet M Z A				
Becca d'Audon	2870	29. IX. 1938 bis 24. X. 1939	199	175
Mont Blancgebiet M Z A				
Col d'Orny	3169	20. IX. 1938 bis 23. IX. 1939	?281	?276
Dent du Midigebiet I G				
Montagne de Salaufe	1973	25. IX. 1938 bis 27. IX. 1939	110	110
La Tour	2211	6. X. 1938 bis 27. IX. 1939	185	190
Plateau d'Emosson	1800	1. X. 1938 bis 19. IX. 1939	144	145
Col de Tanneverge	2501	27. IX. 1938 bis 22. IX. 1939	316	312
Mont Ruan	2860	29. IX. 1938 bis 21. IX. 1939	282	278
Le Vieux Emosson	2170	28. IX. 1938 bis 20. IX. 1939	207	204
Monte Rosagebiet I G M Z A				
Mattmark (Seestein)	2117	29. IX. 1938 bis 21. IX. 1939	67	66
Weisstal-Stelli	2620	20. IX. 1938 bis 19. IX. 1939	214	211
Galmen	2690	20. IX. 1938 bis 18. IX. 1939	208	205
Schwarzenbergkopf	2565	29. IX. 1938 bis 23. IX. 1939	202	200
Ofentalpass	2800	20. IX. 1938 bis 19. IX. 1939	266	262
Seewinenberg	3025	23. IX. 1938 bis 21. IX. 1939	353	349
Allalingletscher	3369	27. IX. 1938 bis 23. IX. 1939	267	263
Furgghorn	3390	5. X. 1938 bis 20. IX. 1939	350	354
Gornergrat	3100	4. X. 1938 bis 19. IX. 1939	172	173
Simplongebiet M Z A				
Magenhorn	2470	Keine Resultate erhalten	—	—
Saflish (im Freien)	2000	„ „ „	—	—
Saflish (in Waldlichtung)	2000	„ „ „	—	—
Jungfraugebiet M Z A				
Mönchgrat	3810	1. X. 1938 bis 25. IX. 1939	432	432
Trugberg	3530	8. X. 1938 bis 27. IX. 1939	268	274
Kranzberg	3180	4. X. 1938 bis 26. IX. 1939	424	428
Konkordia	2890	5. X. 1938 bis 28. IX. 1939	162	165
Aletschwald	2040	1. X. 1938 bis 23. X. 1939	128	109
Grimsel- und Gelmergebiet M Z A				
Gelmer Bergli	2144	6. IX. 1938 bis 30. IX. 1939	184	178
Grimsel I	1900	5. IX. 1938 bis 26. IX. 1939	139	134
Pavillon Dolifuss	2415	21. IX. 1938 bis 28. IX. 1939	166	165
Abschwung	2900	10. IX. 1938 bis 29. IX. 1939	215	211
Oberaaralp	2257	20. IX. 1938 bis 29. IX. 1939	141	140
Oberaarjoch	3310	20. IX. 1938 bis 27. IX. 1939	293	292
Kl. Siedelhorn	2430	5. IX. 1938 bis 26. IX. 1939	305	294
Titlisgebiet M Z A				
Trübsee-Jochpass	1800	5. X. 1938 bis 3. X. 1939	201	204
Rhätisches Alpengebiet M Z A I G				
Piz Curvèr	2810	29. VIII. 1938 bis 11. X. 1939	137	124
Piz Scalotta	2970	30. IX. 1938 bis 2. X. 1939	?156	?156
Julier-Hospiz	2310	Keine Resultate in 1938	—	—
Albula-Hospiz	2315	21. X. 1938 bis 28. X. 1939	100	89
Cluoza (Blockhaus)	1910	1. X. 1938 bis 1. X. 1939	100	100
Silvrettagebiet M Z A				
Silvrettahütte	2370	15. IX. 1938 bis 26. IX. 1939	140	140
Eckhorn	3150	15. IX. 1938 bis 26. IX. 1939	136	136
Taminagebiet I G				
Vättnerälpli	1885	12. X. 1938 bis 6. XI. 1939	130	116
First (Wasserböden)	2200	10. X. 1938 bis 10. XI. 1939	123	110
St. Martin	1396	12. X. 1938 bis 8. XI. 1939	164	147
Panäraalp	2028	11. X. 1938 bis 13. XI. 1939	173	155
Tödigebiet M Z A				
Klaridenfirn	2710	13. X. 1938 bis 23. IX. 1939	328	341
Säntisgebiet M Z A				
Säntis	2504	1. X. 1938 bis 1. X. 1939	296	296
Gebiet des Hohen Randen (Jura) M Z A				
Auf dem Hagen	915	13. X. 1938 bis 21. X. 1939	100	92

Ergebnisse einiger Totalisatoren, ausgedrückt in Prozenten der mittleren Jahresmenge

Station	1938–1939	Jahresmittel	Anzahl der Jahre	%
Suchet	174	188	10	93
Hagen	92	85	12	108
Becca d'Audon	175	166	16	106
Col d'Orny	276	319	18	786
Gornergrat	173	124	15	140
Furgghorn	354	314	12	113
Mönchsgrat	432	391	18	110
Trugberg	274	196	12	140

Station	1938–1939	Jahresmittel	Anzahl der Jahre	%
Kranzberg	428	399	10	107
Konkordia	165	151	18	109
Aletschwald	109	116	3	94
Trübsee	204	214	11	95
Scalotta	?156	204	17	?76
Silvretta	140	146	20	96
Eckhorn	136	134	19	101
Clariden	341	346	20	99

Die Niederschläge des Jahres 1939

Im Jahre 1939 waren die Jahressummen der Niederschläge fast überall größer als der Normalwert. Nur vereinzelte Alpentalstationen zeigen normale oder etwas unternormale Werte, sonst betragen die Ueberschüsse meistens 10 bis 30 %, in der Jurazone 50 %.

Der Alpensüdfuß erhielt im *Januar* sehr große Niederschlagsmengen, auch *April, Mai, Juni* und *August* waren hier naß, dagegen der *März* (mit nur 4 % des Normalwerts in Lugano) sehr trocken. — Für die übrige Schweiz war der *Mai* ein ausgesprochen nasser Monat, dann der *März* und der *November*, letztere besonders für die östlichen Landesteile, der *Oktober* für die Jurazone und der *Januar* für die Westschweiz. Als trocken kann dagegen der *Februar* mit nur 35 % gelten, für die Nordostschweiz auch noch der *April*. Im Westen und Nordwesten des Landes brachten außer dem *Februar* auch *August* und *Dezember*, im Wallis und in Südgraubünden *September* und *Dezember* zu geringe Niederschlagsmengen.

Besonders *bemerkenswerte Niederschläge* waren die folgenden:

Am 21. Mai erzeugte eine Depression über der Adria ein orographisch verstärktes Aufgleitregengebiet. Dabei wurde der Kanton Appenzell, das Toggenburg, das Quellgebiet der Glatt und das Entlebuch mit mehr als 40 mm überregnet. In Teufen wurde ein Maximum von 94 mm erreicht. Degersheim hatte 87, Bauma 57 mm. Das Ansteigen der Flüsse im genannten Gebiet führte da und dort zu Ueberschwemmungen, so u. a. bei Andelfingen, in der Gegend des Greifensees, bei Affoltern (am Albis) und bei Grellingen (Birs). Im Toggenburg kam es zu Verschüttungen.

Der 5. August brachte dem Centovalligebiet ungewöhnlich große Regenmengen. Das Maximum wurde in Camedo mit 300 mm erreicht. Fusio hatte 163 mm, Bosco 196, Brissago 212, Locarno-Monti 114, dagegen Mezzana (Südspitze) nur noch 18. Die großen Beträge greifen aber auch über die Alpen hinüber; so wurden in Walchwil (Zugersee) noch 131 mm, in Gersau 102, in Unterschächen sogar 200 mm gemessen. Mehr als 60 mm fielen im größten Teil des Kantons Tessin, in der östlichen Hälfte des Berner Oberlandes sowie im Kantonsgebiet von Unterwalden, Uri, Schwyz und Zug. Diese großen Wassermengen hatten beträchtliche Hochwasserschäden zur Folge, namentlich im Urserental und Reußtal, ferner in der Gegend Brunnen-Ingenbohl durch Hochwasser der Muota und endlich im Maggiatal und Onsernone. Auch in Alpnachstad und Cham kam es zu Ueberschwemmungen durch Ansteigen der Seespiegel. — Die Wetterkarte vom 5. August, 8 h zeigt eine ziemlich flache Depression in Frankreich und über dem westlichen Mittelmeer. Bemerkenswert sind die hohen Bodentemperaturen in Italien und auf dem Balkan (22 bis 27 °), denen etwa 13 ° in Frankreich gegenüberstehen. Die genannte Depression verlagerte sich ostwärts und lag am 6., um 8 h über Deutschland und Italien. Dieser Verlagerung entspricht ein Windwechsel über den Alpen (Säntis: von SE nach W zwischen 20 ½ und 1 h). Nach dem Pluviogramm von Locarno-Monti und Zürich fiel die Hauptmenge der Niederschläge vor diesem Windwechsel (in Locarno-Monti 105 mm). Sie ist offenbar durch Stauung der warmen, feuchten, labil geschichteten Mittelmeerluft an der Südabdachung der Alpen verursacht. Der Einbruch der Rückseitekaltluft erfolgte auf der Alpennordseite erst um ca. 2 h des 6. (Zürich). Er trägt hier einen erheblichen Teil zu den Niederschlägen bei. Der Uebertritt der Kaltluft über die Alpen löste am Alpensüdfuß um ca. 6 h des 6. Gewitter aus, die aber der Station Locarno-Monti nur noch 6 mm einbrachten. Der vorliegende Fall erinnert an diejenigen vom 21. Juni und 21. September 1933.

Am 25. August ging im Gebiet des Kantons Schwyz, bei Appenzell, namentlich aber im Zürcher Oberland, ein Starkregen nieder, der besonders im Gebiet der Jona (Jona, Rüti, Fischental) bedeutenden Schaden verursachte. Es wurden gemessen in Appenzell 53 mm, Willerzell 87, Rapperswil 50, Wald 107 und auf dem Bachtel sogar 180 mm. Ein weiterer Kern liegt bei Burgdorf (52 mm); außerhalb des genannten Gebiets nehmen jedoch die Beträge sehr rasch ab. Die Schweiz befand sich während dieser Zeit auf der Südwestseite einer flachen Tiefdruckrinne. Gewittererscheinungen wurden keine gemeldet.

Am 17. November wurde hauptsächlich die Nordwestseite des Jura und der Hochalpen überregnet. Mehr als 60 mm Niederschlag fielen im Kantonsgebiet von Appenzell, St. Gallen (Südhälfte), Schwyz, Glarus, Obwalden, Uri, in den östlichen Teilen des Berner Oberlandes, im Oberwallis, im Vorderrheintal und im Prättigau. Die ungewöhnlich hohen Maxima finden sich bei Seewis (101 mm), Wallenstadt (138), Glarus (122), Auen (Linthal) [144], Engelberg (122), Furka (135), Brienz (113), Jaun (99), Saignelégier (62), l'Auberson (51). Wasserschäden und Erdverschüttungen kamen vor u. a. in der Gegend von Schiers, Wallenstadt, im Klöntal und unterhalb Schwyz (Muota). Dieser Fall stimmt in jeder Hinsicht mit den ebenfalls bedeutenden Regenfällen vom 28. Oktober 1935 und vom 3. Dezember 1936 überein. Die Niederschläge sind verursacht durch Stauung einer labil geschichteten Warmluftströmung aus WNW an den Alpen.

M. Grütter.

Nr. 4.

Ergebnisse der Registrierungen der Sonnenscheinautographen im Jahr 1939

U = Stationen mit Sonnenscheinautographen „Usteri"
N = Stationen mit Sonnenscheinautographen „Negretti & Zambra"
F = Stationen mit Sonnenscheinautographen „Fuess"

Monats- und Jahressummen der Sonnenscheindauer in Stunden

1939		Januar	Februar	März	April	Mai	Juni	Juli	August	September	Oktober	November	Dezember	Jahr
Zürich	N	60	91	85	150	71	208	237	203	123	35	47	34	1344
Säntis	U	83	160	90	147	54	166	172	142	140	32	93	118	1397
Hallau	U	32	76	93	157	88	201	218	201	134	33	37	30	1300
Braunwald	F	73	132	69	149	59	196	190	169	127	51	83	64	1362
Unterägeri	U	70	122	77	138	45	185	193	181	106	49	77	57	1300
Luzern	N	47	74	95	144	55	181	206	173	86	46	55	30	1192
Jungfraujoch	N	74	158	112	158	107	187	205	193	196	51	88	89	1618
Beatenberg	U	65	135	57	121	43	144	165	136	119	52	71	65	1173
Bern	N	53	104	111	149	85	187	239	194	127	50	59	34	1392
Basel	N	55	117	81	120	76	186	214	177	124	26	58	50	1284
Allerheiligen	U	46	99	73	112	74	163	199	173	75	29	66	64	1173
Mont Soleil s. St. Imier	U	55	131	78	109	83	150	195	166	144	30	57	83	1281
La Chaux-de-Fonds	U	65	124	86	108	91	163	199	169	139	36	56	71	1307
Neuchâtel	U	32	66	119	142	122	197	241	202	123	34	37	31	1346
Genève	N	63	81	159	174	165	244	293	246	163	70	53	47	1758
Lausanne	N	69	80	148	167	154	224	264	213	161	62	62	50	1656
Montreux-Clarens	U	64	73	114	142	110	152	217	188	135	53	52	56	1356
Rochers de Naye	U	69	134	72	111	61	116	152	*125	—	—	—	—	—
Leysin	U	86	145	100	145	101	164	211	176	127	49	79	86	1469
Montana s/Sierre	U	104	174	148	170	115	214	255	210	192	88	99	99	1868
Wallenstadtberg	U	76	135	72	145	64	174	178	174	120	47	94	76	1355
Plantahof b/Landquart	U	65	127	106	174	81	200	224	186	129	47	73	60	1472
Arosa	N	78	146	97	188	66	190	231	175	139	67	108	97	1582
Davos-Platz	N	75	128	109	177	81	171	210	171	140	48	86	77	1473
St. Moritz	U	74	148	132	163	78	175	235	179	142	69	98	70	1563
Schuls	N	68	137	107	194	95	193	237	194	157	57	89	64	1592
Lugano	N	97	151	202	154	116	206	258	202	*158	95	119	79	1837
Monte Brè	U	100	151	198	160	131	231	283	223	161	103	129	90	1960
Locarno-Monti	N	109	153	211	179	132	227	272	216	190	102	136	84	2011

1939

Tägliche Dauer des Sonnenscheins in Stunden.

Januar

Tag	Lugano	Genf	Montana s. Sierre	Chaux-de-Fonds	Bern	Luzern	Basel	Zürich	Davos	Säntis
1	5.6	1.5	2.0	0.3	0.5	0.4	0.2	0.0	2.4	0.0
2	0.0	1.0	0.0	0.1	0.0	0.0	0.0	0.0	1.6	0.6
3	3.4	1.1	4.4	0.0	1.5	2.0	1.2	0.0	0.0	0.0
4	6.1	6.1	7.0	4.4	5.0	1.9	4.8	7.0	5.3	5.9
5	0.0	0.4	0.0	0.0	0.0	0.0	0.0	0.1	0.0	0.5
6	6.5	6.9	7.8	1.8	4.3	2.5	2.0	6.7	3.9	3.6
7	6.7	1.7	4.0	3.3	1.4	3.1	3.0	3.3	5.3	6.2
8	5.1	3.8	7.3	0.0	2.4	0.0	0.0	0.0	3.8	5.3
9	6.8	5.8	7.5	6.6	3.9	0.0	6.8	2.5	4.7	8.0
10	0.3	1.8	7.0	5.5	2.9	1.8	5.6	4.3	5.3	6.3
11	0.0	5.1	4.8	5.3	4.3	3.3	3.3	4.0	2.0	2.8
12	0.0	0.0	0.1	0.0	0.0	0.4	0.0	0.0	0.8	0.0
13	6.5	7.1	6.4	0.8	6.0	4.6	3.9	3.7	4.9	0.0
14	4.9	0.0	0.0	0.1	0.0	1.2	0.2	0.3	3.4	0.0
15	0.0	0.0	1.8	0.6	0.0	0.0	0.1	0.2	0.0	0.0
16	0.0	0.0	0.0	0.0	0.0	0.3	0.0	0.0	0.6	0.0
17	0.0	0.0	0.6	0.0	0.0	1.1	0.1	0.6	1.6	3.0
18	0.0	0.0	0.0	0.0	0.1	0.0	0.0	0.7	0.9	0.0
19	0.0	2.7	0.3	1.3	1.0	0.3	2.9	0.6	0.0	0.0
20	0.0	0.1	0.0	0.0	0.0	1.8	0.1	1.9	2.8	3.8
21	0.0	0.0	0.0	0.0	0.0	2.2	0.6	2.3	1.0	3.9
22	6.2	0.2	1.1	0.0	0.0	0.3	0.0	0.1	2.9	0.0
23	2.8	0.4	0.0	0.0	1.0	5.9	0.1	5.4	0.0	0.0
24	7.5	1.1	0.0	0.0	0.1	5.3	0.1	0.0	0.0	0.0
25	1.2	0.2	3.8	3.4	3.6	0.0	2.9	2.6	5.6	5.0
26	0.0	4.1	1.1	4.3	2.8	0.3	2.1	0.0	0.0	0.0
27	5.9	2.9	5.8	4.8	1.5	0.0	0.6	0.0	0.0	0.0
28	7.4	5.3	8.2	6.3	6.2	6.8	7.8	8.3	6.1	6.5
29	0.0	4.0	7.2	5.5	4.4	1.7	3.6	5.7	2.3	4.9
30	6.3	0.0	6.8	5.8	0.0	0.0	0.1	0.0	2.1	7.5
31	8.1	0.0	8.9	5.2	0.0	0.0	3.1	0.0	6.1	9.4
Mittel	3.1	2.0	3.4	2.1	1.7	1.5	1.8	1.9	2.4	2.7

Februar

Tag	Lugano	Genf	Montana s. Sierre	Chaux-de-Fonds	Bern	Luzern	Basel	Zürich	Davos	Säntis
1	0.0	0.0	8.9	6.8	0.0	0.0	6.6	0.0	6.5	9.4
2	8.0	0.0	8.9	6.6	0.0	0.0	5.2	0.0	6.5	9.5
3	8.3	0.0	8.9	7.8	2.8	0.0	7.8	2.7	6.6	9.6
4	8.5	2.5	9.0	8.2	4.1	1.1	8.4	2.8	6.6	9.8
5	5.7	0.0	4.3	5.7	1.6	0.0	4.6	0.3	1.5	2.6
6	8.5	0.0	9.1	8.3	6.3	0.3	8.4	2.7	6.7	9.5
7	8.6	0.0	9.2	8.3	6.3	0.0	8.6	4.6	6.8	9.8
8	8.6	0.0	9.0	8.4	6.8	0.7	8.8	4.4	6.7	9.9
9	8.0	0.9	5.5	4.6	3.3	3.5	4.8	3.5	6.4	7.4
10	5.0	5.3	1.4	0.1	3.4	0.6	0.5	0.7	0.3	0.0
11	8.2	8.6	9.2	4.8	8.4	5.7	4.6	3.8	3.6	9.2
12	8.8	2.8	7.7	4.1	4.1	4.5	2.9	3.0	6.7	7.4
13	0.2	1.0	0.0	1.0	0.1	0.0	1.3	0.0	1.0	0.0
14	8.9	7.9	8.1	7.3	8.6	7.3	8.3	7.6	6.0	8.0
15	8.7	8.9	9.4	8.1	9.2	9.2	8.4	9.2	7.0	10.0
16	8.9	9.3	9.4	7.7	9.6	9.5	2.9	9.4	7.1	10.3
17	3.9	0.8	2.0	0.0	0.6	3.0	0.0	1.7	5.7	4.4
18	7.6	6.3	4.5	3.0	2.9	2.8	2.1	1.9	2.0	2.2
19	9.0	7.0	6.4	0.9	1.4	0.1	0.7	0.4	0.0	0.0
20	1.6	0.6	4.8	0.0	2.0	0.0	0.3	1.5	0.0	0.0
21	5.8	2.8	5.7	6.1	2.2	0.0	2.0	3.2	3.9	0.9
22	4.0	6.2	7.7	5.2	6.9	6.9	6.3	7.5	7.1	9.0
23	0.0	0.0	3.3	1.3	2.5	4.5	1.0	3.6	4.5	5.0
24	0.0	0.0	2.2	0.0	0.3	5.1	0.0	3.9	6.0	1.0
25	0.0	2.1	8.2	0.0	2.9	3.8	2.3	6.9	3.8	9.3
26	0.0	0.1	0.6	0.0	0.5	0.9	0.0	0.2	1.8	0.2
27	6.3	6.4	6.2	5.2	2.6	0.8	5.7	1.5	0.1	0.0
28	0.0	2.0	4.3	4.4	4.4	3.9	4.4	3.5	6.6	5.8
Mittel	5.4	2.9	6.2	4.4	3.7	2.7	4.2	3.2	4.6	5.7

März

Tag	Lugano	Genf	Montana s. Sierre	Chaux-de-Fonds	Bern	Luzern	Basel	Zürich	Davos	Säntis
1	9.8	2.6	4.7	2.4	3.5	6.7	5.5	4.7	1.5	0.0
2	10.0	10.2	7.3	4.6	4.6	3.7	1.8	2.8	7.6	8.2
3	8.7	10.2	10.1	9.2	10.0	9.7	9.4	9.4	8.0	9.6
4	10.1	9.4	9.7	9.1	9.4	9.2	9.5	9.3	8.1	10.2
5	0.4	0.0	0.0	0.0	0.0	0.0	0.0	0.0	0.1	0.0
6	0.0	0.6	0.0	0.0	0.0	0.0	0.1	0.0	0.6	0.0
7	2.7	0.0	0.0	0.0	0.0	0.0	0.0	0.0	0.0	0.0
8	10.6	0.1	0.0	0.0	0.0	0.1	0.6	0.2	0.0	0.0
9	8.1	5.9	1.9	9.1	0.3	0.6	1.1	0.0	0.1	0.0
10	10.3	4.0	0.0	0.4	2.6	2.4	1.4	3.1	0.2	0.0
11	10.5	9.5	9.3	1.7	3.5	2.2	4.1	1.3	1.2	2.4
12	10.4	7.9	9.9	3.4	4.9	3.2	2.2	3.9	3.0	0.6
13	10.5	10.7	9.9	0.0	6.8	7.1	1.5	2.6	5.4	0.0
14	8.3	0.0	1.2	0.0	0.0	0.0	0.0	0.0	0.0	0.0
15	2.3	4.7	0.0	2.9	3.0	3.8	1.1	4.3	0.0	0.0
16	10.1	6.8	0.3	0.0	3.4	2.8	2.9	0.5	4.5	2.1
17	2.8	0.0	0.0	0.0	0.0	0.0	0.2	0.3	0.0	0.0
18	0.0	0.7	8.7	0.6	0.0	0.0	0.1	0.6	6.2	6.6
19	10.2	5.6	8.3	5.8	5.1	0.0	7.2	3.1	9.7	9.4
20	10.4	8.0	5.2	0.4	3.7	5.4	1.9	0.6	3.3	0.4
21	9.5	2.0	0.0	1.5	2.1	0.0	0.1	1.1	0.0	0.0
22	10.6	0.5	2.6	0.6	2.4	4.3	0.6	1.9	3.6	0.0
23	2.3	4.8	1.7	1.9	2.5	0.4	4.2	2.4	2.6	0.3
24	1.3	8.7	8.4	3.2	6.2	4.9	3.0	3.0	6.3	0.0
25	2.2	7.4	5.5	2.5	4.2	1.1	0.2	3.5	0.9	0.0
26	4.7	7.5	10.2	2.7	6.8	0.5	0.7	0.4	7.7	9.6
27	0.3	0.4	7.6	0.0	0.0	0.0	0.0	0.0	2.4	6.8
28	5.0	3.2	1.0	0.4	0.7	0.4	1.8	0.4	0.4	1.0
29	11.3	11.0	10.9	9.4	10.6	9.2	5.5	7.8	8.3	7.7
30	5.0	5.9	3.7	4.0	4.8	7.9	6.6	10.9	9.4	9.6
31	3.3	10.3	10.3	10.0	10.0	9.5	8.0	7.0	7.6	5.2
Mittel	6.5	5.1	4.8	2.8	3.6	3.1	2.6	2.7	3.5	2.9

April

Tag	Lugano	Genf	Montana s. Sierre	Chaux-de-Fonds	Bern	Luzern	Basel	Zürich	Davos	Säntis
1	0.7	5.3	4.4	3.2	6.2	6.5	4.2	5.9	7.3	7.3
2	1.5	0.0	2.7	0.0	2.8	3.5	2.0	5.2	6.3	7.1
3	0.0	5.6	0.6	2.2	1.5	1.1	3.2	0.4	1.6	0.0
4	0.0	1.7	6.3	3.3	6.9	8.7	1.0	8.8	5.6	7.1
5	0.0	1.3	1.3	0.0	0.3	0.9	0.1	0.1	1.4	4.4
6	0.0	0.0	0.5	0.0	0.0	2.0	0.0	1.7	1.8	2.8
7	4.2	0.6	1.1	0.0	0.7	0.0	0.0	1.0	6.7	1.4
8	2.9	0.8	3.8	0.0	0.0	0.3	0.0	0.0	4.3	3.7
9	4.4	3.1	5.1	0.1	1.4	0.0	2.4	1.2	9.1	9.7
10	11.2	10.1	11.8	10.9	9.7	10.9	10.2	6.2	10.2	11.9
11	8.5	11.6	11.5	10.0	11.3	11.7	11.6	12.0	10.7	11.9
12	10.9	11.1	11.5	5.2	9.2	11.1	10.1	10.3	10.5	9.3
13	10.3	11.8	11.6	7.2	11.4	11.7	8.7	11.5	9.3	12.0
14	1.8	4.6	4.8	3.8	4.9	3.8	3.6	3.5	5.1	1.5
15	0.5	3.4	0.4	2.8	2.2	0.1	5.6	2.6	0.0	0.0
16	11.4	12.1	9.2	8.0	11.8	10.4	9.5	11.8	10.3	6.9
17	11.6	5.9	4.5	1.2	2.6	4.9	2.2	5.4	7.4	1.7
18	11.6	6.3	2.6	2.3	4.1	2.4	2.8	4.1	2.0	0.0
19	9.7	12.4	8.9	6.4	6.6	6.0	3.3	5.4	7.7	0.0
20	11.5	13.0	12.1	11.3	12.4	12.4	11.2	12.7	10.7	10.0
21	11.5	13.0	12.5	12.6	13.1	12.4	12.1	13.1	10.7	13.0
22	10.6	12.2	11.1	11.2	11.8	12.7	10.5	12.1	10.9	9.5
23	8.8	11.6	11.8	1.3	9.9	8.3	3.6	7.1	4.1	0.0
24	5.0	7.0	10.3	0.7	3.7	0.4	0.5	2.4	3.5	0.3
25	0.0	3.1	0.1	4.0	3.5	0.2	1.7	1.1	1.2	0.0
26	0.0	0.0	2.4	0.0	0.0	1.3	0.0	3.7	10.5	2.4
27	0.0	0.0	0.0	0.0	0.0	0.0	0.0	0.0	0.8	0.0
28	5.7	4.1	4.6	0.0	0.0	0.0	0.0	0.0	4.1	9.9
29	0.0	0.9	2.7	0.0	0.9	0.0	0.0	0.0	1.3	1.5
30	0.2	1.0	0.2	0.1	0.1	0.0	0.1	0.9	2.4	1.4
Mittel	5.1	5.8	5.7	3.6	5.0	4.8	4.0	5.0	5.9	4.9

Tägliche Dauer des Sonnenscheins in Stunden. 1939

Mai

Tag	Lugano	Genf	Montana s. Sierre	Chaux-de-Fonds	Bern	Luzern	Basel	Zürich	Davos	Säntis
1	6.1	9.6	7.9	8.9	9.0	9.2	11.4	11.3	10.6	5.2
2	0.0	3.7	3.5	3.3	3.2	1.7	1.0	1.0	2.1	0.0
3	2.1	0.0	0.0	0.0	0.0	0.5	0.0	0.0	4.7	1.1
4	8.0	6.6	4.1	0.0	0.4	0.2	0.0	1.7	1.7	0.8
5	5.5	0.7	0.0	0.7	0.6	0.0	0.0	0.4	0.1	0.7
6	0.4	4.1	6.3	4.7	6.3	9.0	4.4	8.4	4.2	6.0
7	2.1	2.7	0.9	1.3	3.0	2.4	0.9	2.5	4.0	3.0
8	0.9	2.4	0.0	0.0	0.0	0.0	0.0	0.0	0.0	0.0
9	2.8	0.0	0.0	0.0	0.0	0.0	0.0	0.0	0.0	0.0
10	4.0	3.3	1.3	0.0	0.3	2.7	0.3	1.5	1.4	1.9
11	6.5	6.2	1.3	0.2	3.7	0.9	0.6	0.0	0.7	0.0
12	0.0	3.3	0.4	1.1	0.1	0.0	0.2	0.0	0.6	0.0
13	0.0	1.7	0.1	0.0	0.0	0.0	0.0	0.0	2.9	0.5
14	1.4	0.0	0.0	0.0	0.0	0.0	0.1	0.0	3.5	0.0
15	7.0	0.0	0.5	0.0	1.1	1.6	0.0	1.3	4.4	0.6
16	0.0	7.5	2.4	8.1	4.7	2.2	4.1	2.8	0.9	0.0
17	0.0	8.3	1.5	6.3	3.5	0.6	6.4	2.8	0.5	0.4
18	0.0	0.0	4.3	0.0	0.0	3.1	0.1	0.4	5.0	1.3
19	4.2	6.8	1.0	2.9	3.6	0.0	2.3	1.4	5.1	2.5
20	0.4	10.7	0.4	5.0	1.9	0.8	0.9	0.0	4.1	0.0
21	0.4	0.0	0.4	0.0	0.0	0.0	0.0	0.0	0.0	0.0
22	1.4	0.0	0.2	0.0	0.0	0.0	0.0	0.0	0.0	0.0
23	4.2	5.3	1.4	0.0	0.0	0.0	0.0	0.0	0.4	0.0
24	12.2	3.5	10.9	13.3	7.8	6.2	12.0	12.2	5.3	2.5
25	1.4	5.1	0.9	0.0	0.0	0.0	0.0	0.0	0.0	0.0
26	8.7	13.5	10.2	6.6	6.3	3.4	4.2	5.0	1.4	7.8
27	12.0	10.8	12.7	2.3	4.8	0.1	1.8	0.1	5.1	4.0
28	13.0	13.5	12.1	2.2	6.6	0.2	2.9	2.4	0.9	0.0
29	7.0	14.3	10.7	2.3	3.2	2.5	1.9	2.2	1.0	0.0
30	3.4	12.6	12.0	9.5	4.6	5.3	8.4	6.2	6.5	8.5
31	0.8	13.2	7.5	11.9	10.0	2.1	12.6	7.1	3.7	7.5
Mittel	3.7	5.3	3.7	2.9	2.7	1.8	2.5	2.3	2.6	1.8

Juni

Tag	Lugano	Genf	Montana s. Sierre	Chaux-de-Fonds	Bern	Luzern	Basel	Zürich	Davos	Säntis
1	2.1	12.2	10.1	10.9	13.7	5.3	9.9	6.9	4.2	7.7
2	0.0	8.0	4.4	5.5	1.9	3.0	3.2	3.5	3.0	5.4
3	6.0	5.7	2.5	3.2	3.0	6.2	7.6	9.3	4.7	7.2
4	13.0	11.8	13.8	13.3	13.3	13.9	14.3	14.6	12.1	14.4
5	9.5	11.5	12.1	10.2	10.8	13.6	11.5	13.7	10.8	7.2
6	6.5	11.6	13.5	14.1	14.2	13.8	13.3	14.2	11.7	14.0
7	5.9	6.4	9.7	6.3	6.6	9.2	10.8	13.3	11.6	11.6
8	13.0	13.3	13.0	8.0	9.3	11.3	12.9	12.3	9.7	7.9
9	12.8	11.5	11.5	5.3	8.8	9.1	9.8	10.3	9.0	8.3
10	6.3	8.7	9.9	3.7	4.6	4.8	3.1	5.2	6.9	9.0
11	1.8	0.9	3.2	0.4	3.2	3.3	0.4	2.9	3.8	0.2
12	0.0	0.0	0.0	0.0	0.0	0.0	0.0	0.0	0.0	0.0
13	0.0	5.2	2.3	0.0	0.0	0.0	0.1	0.0	0.0	0.0
14	12.0	8.7	0.1	1.5	1.0	0.0	2.8	0.0	0.0	0.0
15	5.5	7.6	2.9	3.7	3.9	3.4	6.6	4.2	0.7	0.0
16	2.4	14.1	6.2	9.0	13.9	11.3	13.1	13.8	9.3	5.7
17	8.7	7.5	2.1	0.9	0.8	0.9	1.0	0.2	0.7	0.0
18	9.3	14.0	8.4	5.2	8.6	0.6	2.8	0.1	0.1	0.0
19	7.7	6.7	9.2	2.6	3.6	3.1	4.4	2.7	0.2	0.0
20	0.4	3.9	0.0	0.0	0.0	0.0	0.1	0.0	0.3	0.0
21	9.2	5.8	9.4	9.0	7.0	6.8	7.3	6.0	6.1	8.8
22	12.0	5.6	5.9	4.8	6.1	10.5	5.6	9.3	11.7	9.4
23	8.0	9.6	8.8	8.3	7.4	7.7	10.7	11.0	8.7	9.5
24	0.0	4.6	1.8	2.1	2.3	3.4	1.6	3.2	3.5	1.3
25	0.4	2.1	3.2	0.9	2.8	4.7	1.9	3.6	2.6	6.0
26	2.8	5.5	5.2	2.8	4.3	2.2	1.1	3.3	1.1	0.1
27	13.2	13.2	11.2	8.5	9.4	6.4	7.7	11.4	3.0	0.7
28	13.0	14.6	13.8	14.0	14.1	12.4	14.2	14.4	12.0	13.9
29	12.9	10.3	12.8	8.1	10.8	11.5	6.9	12.4	12.5	10.8
30	11.3	2.9	6.6	1.1	2.1	3.0	0.9	5.9	10.6	7.3
31										
Mittel	6.9	8.1	7.1	5.4	6.2	6.0	6.2	6.9	5.7	5.5

Juli

Tag	Lugano	Genf	Montana s. Sierre	Chaux-de-Fonds	Bern	Luzern	Basel	Zürich	Davos	Säntis
1	4.5	8.6	6.7	6.2	8.7	0.1	8.5	2.8	0.0	0.0
2	13.1	8.5	10.4	3.5	7.7	3.8	3.9	6.9	4.0	0.0
3	11.8	13.5	13.1	13.4	13.0	13.5	13.3	14.0	11.2	11.2
4	11.2	14.5	13.5	14.2	14.2	14.2	14.1	14.4	11.7	12.7
5	8.0	11.1	9.4	9.5	9.2	10.7	9.1	11.7	11.7	11.5
6	10.3	7.9	6.3	0.5	2.9	0.6	1.3	3.4	3.1	0.0
7	11.5	13.8	11.3	11.0	11.0	10.7	11.6	12.2	11.4	9.3
8	12.3	14.6	13.8	14.4	14.7	14.3	14.7	14.7	11.7	14.3
9	8.2	10.7	6.5	6.7	8.4	8.4	7.5	10.1	8.3	4.8
10	10.4	10.7	4.2	1.4	5.3	3.3	2.1	4.2	2.4	0.0
11	12.4	14.0	12.9	11.3	10.9	7.0	12.0	9.6	8.8	2.8
12	7.1	12.5	10.0	5.9	6.2	5.9	11.1	9.3	7.8	0.3
13	7.0	9.3	9.2	9.3	10.2	11.5	10.1	11.9	11.6	10.8
14	0.7	10.2	6.6	3.2	8.7	7.0	2.5	6.3	4.8	2.4
15	0.1	0.4	6.2	2.0	3.0	7.6	1.6	8.2	3.3	3.6
16	1.8	3.4	2.3	1.2	0.3	1.7	0.4	0.1	4.1	4.0
17	6.6	12.1	11.8	7.0	12.0	8.2	7.0	9.7	6.3	0.9
18	8.5	9.7	11.5	9.7	11.7	12.3	9.7	10.4	10.3	10.1
19	11.0	7.7	8.4	4.1	7.8	6.8	6.1	9.6	9.9	9.1
20	4.6	6.6	7.5	3.0	7.4	4.2	4.0	6.5	7.1	5.7
21	6.2	9.0	5.2	3.5	3.7	1.2	6.6	2.4	8.7	9.4
22	0.0	2.8	0.1	1.3	0.0	0.0	0.3	0.0	0.0	0.0
23	7.9	4.3	2.1	3.2	2.5	1.3	0.6	0.1	1.7	0.2
24	0.0	4.9	6.1	1.8	4.1	1.6	2.2	2.5	1.6	0.0
25	12.4	2.3	0.5	0.0	0.4	0.0	0.3	0.8	1.6	0.0
26	12.2	13.2	9.6	8.7	8.9	6.3	8.6	6.3	0.7	0.5
27	12.2	11.3	8.2	2.1	2.7	1.7	2.8	3.1	0.9	0.0
28	12.6	13.9	13.4	13.8	13.8	12.6	13.3	13.5	11.9	12.8
29	12.4	14.0	13.1	12.0	13.5	13.4	13.8	13.8	11.2	13.1
30	12.1	13.7	13.1	13.5	12.8	13.7	13.7	13.8	12.0	13.5
31	8.5	3.5	1.8	1.9	3.1	2.3	1.1	4.2	10.4	8.5
Mittel	8.3	9.4	8.2	6.4	7.7	6.6	6.9	7.6	6.8	5.5

August

Tag	Lugano	Genf	Montana s. Sierre	Chaux-de-Fonds	Bern	Luzern	Basel	Zürich	Davos	Säntis
1	10.1	10.4	8.8	6.5	7.2	4.6	6.5	7.1	7.4	1.9
2	9.4	10.4	11.3	6.0	8.9	8.1	9.9	9.2	8.3	4.4
3	0.0	7.8	6.2	1.3	4.1	4.8	3.4	6.7	3.2	5.2
4	0.0	8.4	3.6	4.3	3.3	1.9	3.9	2.4	0.9	0.9
5	0.0	0.0	0.1	0.0	0.0	0.0	0.0	0.1	3.5	2.7
6	9.5	7.9	3.1	2.6	4.2	0.9	0.8	1.7	1.3	0.3
7	4.6	5.9	5.1	4.3	5.2	8.7	5.3	8.2	7.3	6.1
8	3.2	0.8	0.0	0.1	0.0	1.0	1.1	0.4	0.9	0.8
9	11.8	11.1	9.2	6.6	7.8	5.7	5.4	6.9	4.7	2.9
10	12.2	13.3	12.0	10.1	12.2	13.1	12.1	13.4	11.5	12.8
11	11.3	12.5	12.2	9.8	12.1	11.2	6.6	11.9	11.1	6.5
12	12.0	10.5	12.3	4.9	7.7	3.3	3.4	8.7	8.4	2.5
13	4.1	8.5	7.6	3.3	3.3	0.2	4.2	1.7	2.9	0.1
14	8.0	7.4	9.5	7.8	9.1	1.1	7.4	7.6	7.6	7.0
15	12.2	10.2	9.8	11.8	12.9	11.1	7.9	12.5	9.3	2.2
16	12.2	13.1	9.2	12.5	12.5	12.7	12.0	13.2	10.5	8.5
17	5.8	11.3	10.7	10.4	9.0	5.4	9.0	7.3	10.4	7.5
18	11.1	10.9	12.2	8.6	8.3	6.1	8.9	6.4	10.3	10.8
19	9.2	8.1	9.5	5.0	4.4	5.9	9.7	10.2	6.0	7.1
20	1.6	4.7	3.3	1.9	3.7	4.5	2.7	3.6	0.9	0.9
21	0.0	2.9	0.0	2.7	0.1	5.3	0.4	4.6	0.7	2.9
22	0.0	9.1	2.6	1.1	4.7	6.2	2.3	6.0	4.0	3.7
23	1.3	4.1	1.7	1.4	3.0	3.7	2.3	2.0	0.8	3.0
24	1.5	6.7	5.4	5.7	4.0	5.4	5.3	6.7	4.1	7.3
25	1.6	2.4	0.0	0.0	0.0	0.0	0.0	0.0	0.7	0.2
26	6.8	4.6	1.5	3.0	2.1	1.0	3.5	2.6	0.6	1.6
27	10.8	9.5	5.6	10.8	10.1	9.6	8.2	7.9	6.7	5.6
28	9.1	9.9	9.5	7.4	9.7	9.5	8.0	9.1	8.7	5.1
29	8.9	11.5	11.2	7.1	10.6	9.0	11.0	9.9	7.2	9.6
30	6.4	5.1	8.5	5.9	5.3	4.5	8.3	5.7	3.3	4.9
31	7.8	6.6	8.8	5.8	8.4	8.5	7.4	9.2	8.1	7.2
Mittel	6.5	7.9	6.8	5.4	6.3	5.6	5.7	6.5	5.5	4.6

1939

Tägliche Dauer des Sonnenscheins in Stunden.

September

Tag	Lugano	Genf	Montana s. Sierre	Chaux-de-Fonds	Bern	Luzern	Basel	Zürich	Davos	Säntis
1	2.0*	4.7	0.1	1.0	4.7	5.8	1.1	7.3	6.9	3.0
2	2.0*	9.0	3.8	6.2	7.5	6.8	8.3	6.7	0.3	0.9
3	7.0*	6.2	4.8	4.7	5.1	6.8	6.4	8.9	3.1	3.3
4	0.0	0.2	0.0	0.0	0.0	0.0	0.0	0.2	0.0	0.0
5	1.0*	0.0	0.2	0.0	0.0	0.0	0.0	0.0	0.0	0.0
6	10.0*	11.0	8.1	4.6	8.2	0.7	3.9	3.4	5.7	11.9
7	8.6	8.6	10.1	10.5	9.2	4.3	4.3	3.9	9.8	10.4
8	2.2	6.1	11.5	11.0	2.8	4.1	9.4	8.1	10.5	11.7
9	8.7	8.5	11.3	10.8	8.9	6.1	11.5	10.6	10.4	11.9
10	10.3	11.4	11.1	9.4	9.9	10.4	9.1	8.2	10.3	11.8
11	9.9	11.5	11.3	10.1	11.4	11.1	9.5	11.3	9.8	8.3
12	0.7	1.3	0.3	1.1	0.0	0.4	1.2	0.0	0.7	0.7
13	4.0	1.2	4.0	1.2	2.3	1.6	0.7	1.8	0.0	0.0
14	6.2	2.2	2.0	0.0	2.9	6.2	1.0	4.0	5.7	3.6
15	1.4	4.3	3.3	0.4	0.3	0.1	0.1	0.0	0.0	0.0
16	3.3	4.4	4.2	0.0	0.4	0.1	0.0	0.0	2.2	0.0
17	10.5	9.3	9.6	0.4	6.3	0.5	0.2	0.0	0.0	0.0
18	1.2	3.3	0.3	0.0	0.0	0.0	0.1	0.1	2.5	2.6
19	8.0	4.0	4.2	0.0	0.5	1.0	0.0	1.9	1.6	0.0
20	5.6	5.2	5.6	0.9	4.2	1.4	0.7	1.2	1.1	0.0
21	1.4	3.6	5.3	1.0	2.8	0.3	0.2	1.3	0.8	0.3
22	8.0	6.0	9.7	10.0	4.0	0.0	2.6	4.1	6.2	3.6
23	9.8	3.0	10.2	5.3	1.7	1.8	4.5	5.4	8.0	6.9
24	10.4	8.8	9.6	1.6	7.0	0.3	5.9	0.1	0.9	0.0
25	10.6	6.4	5.4	9.4	10.6	1.4	3.8	9.1	8.1	6.7
26	0.1	9.3	9.0	9.1	6.3	8.1	9.7	8.3	9.3	9.6
27	4.6	7.0	10.5	1.2	0.3	0.0	4.3	1.0	2.8	0.0
28	0.0	0.0	6.9	9.0	0.0	0.0	8.4	2.8	4.7	11.0
29	3.5	2.3	10.2	10.1	2.9	0.6	8.2	6.5	9.3	10.8
30	7.2	4.5	9.3	10.0	7.1	5.8	8.5	7.3	9.5	10.9
Mittel	5.3	5.4	6.4	4.6	4.2	2.9	4.1	4.1	4.7	4.7

Oktober

Tag	Lugano	Genf	Montana s. Sierre	Chaux-de-Fonds	Bern	Luzern	Basel	Zürich	Davos	Säntis
1	4.1	6.5	6.1	2.2	4.6	4.1	1.8	1.2	2.2	0.0
2	6.7	2.0	8.7	0.3	5.5	7.8	0.6	1.3	3.7	0.0
3	0.0	0.0	0.0	0.0	0.0	0.0	0.0	0.0	0.0	0.0
4	0.0	0.0	1.5	3.0	0.0	0.0	1.8	0.2	2.9	2.8
5	0.0	0.6	0.0	0.0	0.0	0.0	0.0	0.0	0.0	0.0
6	4.0	2.1	0.0	0.2	0.0	0.0	0.0	0.0	0.1	0.0
7	2.5	3.2	0.0	0.0	0.0	0.0	0.0	0.0	1.9	0.0
8	8.2	8.8	7.4	0.4	2.8	1.4	0.3	0.0	0.0	0.0
9	1.2	0.2	0.0	0.0	0.0	0.0	0.0	0.1	0.6	1.5
10	9.3	0.1	2.0	0.4	0.1	0.1	0.5	0.1	0.0	0.0
11	7.5	8.2	5.3	0.3	3.4	4.6	0.4	4.5	6.3	4.8
12	0.0	0.0	0.4	0.0	0.0	0.7	0.0	0.0	0.6	0.1
13	0.0	0.0	0.0	0.0	0.0	0.0	0.0	0.0	1.4	0.0
14	0.0	8.2	8.3	3.9	6.9	6.7	3.3	5.3	0.8	6.6
15	0.0	0.6	1.0	0.3	5.3	7.1	1.1	6.4	4.4	5.9
16	0.0	0.8	3.6	1.3	0.1	0.7	1.2	0.3	0.5	0.0
17	0.0	0.1	3.6	6.7	1.0	0.0	3.8	0.2	0.0	3.8
18	0.0	0.1	0.9	0.3	2.0	1.4	0.1	0.8	0.6	0.0
19	0.0	1.3	1.4	2.3	2.8	1.2	1.8	2.5	0.2	0.4
20	8.4	7.5	7.7	0.1	3.7	4.8	1.1	5.1	2.8	0.0
21	6.4	8.3	8.6	3.6	4.9	0.9	0.8	0.0	1.5	0.0
22	0.0	0.0	0.1	0.0	0.0	0.0	0.0	0.0	0.0	0.0
23	4.5	0.0	0.4	0.1	0.0	0.0	0.0	0.0	0.0	0.0
24	8.4	1.0	1.5	0.0	0.0	0.0	0.0	0.6	1.6	0.0
25	0.0	1.1	0.6	0.0	1.6	1.9	0.1	0.0	0.0	0.0
26	8.1	2.6	3.0	0.8	2.6	1.0	0.8	0.5	0.4	0.0
27	0.0	0.0	0.0	0.0	0.0	0.0	0.0	0.0	0.0	0.0
28	5.3	0.0	0.0	0.0	0.0	0.3	0.0	1.3	3.0	0.0
29	4.1	0.0	0.0	0.0	0.0	1.0	0.0	0.1	5.5	0.0
30	0.0	1.6	7.0	2.6	0.0	0.0	4.1	4.4	4.8	6.5
31	6.7	5.4	8.8	7.1	2.3	0.0	2.5	0.0	1.8	0.0
Mittel	3.1	2.3	2.8	1.2	1.6	1.5	0.8	1.1	1.5	1.0

November

1	3.2	0.0	1.9	3.4	1.8	0.0	2.3	0.0	5.1	6.9
2	0.0	0.0	4.0	0.0	0.0	0.0	0.1	0.0	2.5	4.3
3	0.0	0.0	0.0	0.8	0.6	1.6	2.1	1.3	1.5	1.2
4	0.0	0.2	0.0	0.1	0.0	0.3	0.2	0.2	0.0	0.0
5	0.5	3.3	3.7	2.0	4.3	2.5	2.3	3.1	0.0	0.0
6	7.3	0.0	0.0	0.2	0.3	0.2	0.1	0.9	4.7	1.6
7	8.5	3.3	8.9	8.2	8.6	7.8	7.6	8.0	6.6	7.9
8	6.2	6.3	8.4	6.9	8.3	6.5	6.5	5.5	6.6	7.8
9	0.0	1.5	3.4	2.6	2.8	3.5	3.0	1.6	5.7	3.5
10	0.0	0.0	2.1	0.1	0.1	0.7	0.1	0.1	2.3	1.2
11	0.0	0.0	4.0	1.5	0.0	0.0	2.8	0.0	2.8	2.8
12	0.0	0.0	4.7	0.0	4.7	1.7	0.7	0.7	2.6	4.6
13	3.5	0.0	7.1	6.5	0.0	0.0	0.0	0.0	6.0	7.2
14	7.8	0.0	8.3	0.0	0.0	0.0	0.6	0.0	6.4	5.1
15	2.3	1.4	4.7	2.6	0.2	3.0	1.5	1.2	5.6	6.5
16	4.6	0.2	2.2	0.0	1.2	1.5	1.3	3.1	2.6	0.0
17	7.4	0.0	0.0	0.0	0.0	0.0	0.0	0.0	0.0	0.0
18	7.5	1.8	1.2	0.0	1.4	0.3	0.8	0.5	0.0	0.0
19	3.8	2.2	0.0	0.0	0.0	1.9	1.9	0.2	1.2	0.0
20	7.2	2.0	0.0	0.0	0.9	0.0	0.1	0.0	0.0	0.0
21	5.6	5.4	0.0	5.6	0.4	2.0	3.6	3.5	1.6	5.1
22	6.7	0.0	3.6	1.0	0.0	4.0	0.1	0.0	4.8	8.7
23	0.0	2.7	7.9	7.4	4.8	0.0	5.5	2.7	4.9	8.8
24	4.4	0.1	3.1	0.0	0.5	4.1	2.2	1.6	2.8	5.7
25	7.1	7.5	7.2	0.0	0.0	2.7	3.4	4.0	2.7	0.0
26	4.5	0.5	0.0	4.1	7.0	0.0	0.0	0.0	0.0	0.0
27	2.5	5.7	5.2	0.0	5.3	6.9	1.8	3.1	4.1	3.6
28	6.4	7.2	6.8	3.0	5.4	4.3	7.3	6.2	2.6	0.0
29	6.9	0.0	0.0	0.0	0.0	0.0	0.0	0.0	0.0	0.0
30	4.6	1.9	0.7	0.0	0.2	0.0	0.0	0.0	0.2	0.0
Mittel	4.0	1.8	3.3	1.9	2.0	1.8	1.9	1.6	2.9	3.1

Dezember

1	5.8	7.9	6.9	6.3	7.2	6.2	5.9	6.1	5.3	8.0
2	3.6	6.1	6.0	3.9	4.9	4.9	4.5	5.2	4.8	5.1
3	0.7	4.6	5.7	0.0	5.5	3.2	0.4	3.5	0.7	0.0
4	2.3	0.0	0.0	0.0	0.0	0.0	0.0	0.0	3.1	0.0
5	0.0	0.2	0.0	0.0	0.0	0.0	0.1	0.0	0.0	0.0
6	0.0	1.5	1.0	0.3	0.0	0.0	0.2	0.0	0.0	0.0
7	0.8	3.5	0.3	0.0	0.5	0.6	1.0	0.5	0.0	0.0
8	6.9	5.5	4.4	1.9	4.7	4.9	5.0	5.9	5.0	8.2
9	3.5	1.1	0.1	1.3	0.0	0.0	0.0	0.0	0.1	0.0
10	0.0	0.0	0.0	0.0	0.0	0.0	0.0	0.0	0.0	0.4
11	0.0	0.0	0.0	0.0	0.0	0.0	0.0	0.0	0.0	0.0
12	0.0	0.0	0.0	0.0	0.0	0.0	0.0	0.0	2.5	7.6
13	0.0	0.0	0.0	0.0	0.0	0.0	0.0	0.0	4.1	2.8
14	0.0	0.0	0.0	0.4	0.0	0.0	0.0	0.0	4.4	7.9
15	0.0	0.0	1.0	3.5	0.5	0.0	0.0	0.0	0.9	4.4
16	0.0	0.0	1.6	0.5	0.0	0.0	0.0	2.1	1.7	1.4
17	0.0	0.0	7.7	1.1	0.0	0.0	0.0	0.0	1.5	5.8
18	0.1	0.0	3.1	0.3	0.0	0.0	0.4	0.0	4.4	5.9
19	0.0	0.0	0.8	0.2	0.0	0.0	0.0	0.0	2.1	4.9
20	4.9	0.0	0.0	5.3	0.0	0.0	0.0	0.0	0.0	3.8
21	0.0	0.0	7.1	6.3	0.0	0.0	1.5	0.1	5.0	8.2
22	6.4	0.0	6.6	5.7	0.0	0.2	6.9	5.5	5.4	6.4
23	5.1	0.0	6.9	6.0	0.0	0.0	6.1	0.0	4.7	7.3
24	6.1	0.0	7.1	7.4	0.0	0.0	6.2	0.0	5.3	7.6
25	4.5	0.0	5.6	0.0	0.0	0.0	0.7	0.0	4.7	8.1
26	6.8	0.0	7.8	7.4	0.0	0.0	2.9	0.0	5.4	7.4
27	6.8	2.5	4.5	1.2	1.6	0.0	0.1	0.0	0.0	0.0
28	1.7	3.5	1.2	0.0	3.2	4.0	0.6	0.0	1.7	0.0
29	0.0	0.0	0.0	2.7	0.0	0.0	0.0	0.0	0.0	0.3
30	6.0	3.2	7.5	5.2	4.8	5.7	7.2	4.7	4.3	6.8
31	6.8	7.6	6.1	4.4	1.4	0.1	0.4	0.1	0.0	0.0
Mittel	2.5	1.5	3.2	2.3	1.1	1.0	1.6	1.1	2.5	3.8

Nr. 5

Jahresbericht 1939 des Erdbebendienstes

der Schweizerischen Meteorologischen Zentralanstalt.

Von Dr. **E. Wanner.**

Stationen: **Zürich** — *Direktor*: Prof. P.-L. Mercanton, *Bearbeiter*: Dr. E. Wanner; **Chur** — Prof. A. Kreis; **Neuchâtel** — Dr. E. Guyot; **Basel** — Prof. Dr. Niethammer; **Sion** — Domherr Gustav Gottsponer

1. Allgemeines.
2. Tabellarische Zusammenstellung der in der Schweiz im Jahre 1939 verspürten und auf den Erdbebenwarten registrierten Erdbeben.

1. Allgemeines.

Im Berichtsjahre wurden auf den schweizerischen Erdbebenstationen 91 Nahebeben und 178 Fernbeben registriert. Außerdem wurden in unserem Lande 21 Erdbeben verspürt. Fast alle diese Ereignisse hatten ihren Ursprung im eigenen Lande selbst und sie waren in ihrer Mehrzahl von ganz lokaler Natur. Auf die verschiedenen Tagesstunden verteilen sich die Stöße wie folgt:

0–2 h	2–4 h	4–6 h	6–8 h	8–10 h	10–12 h	12–14 h	14–16 h	16–18 h	18–20 h	20–22 h	22–24 h
4	5	1	2	1	1	—	1	—	—	4	2

77% der Beben fielen also auf die Ruhezeit (18–6 h). Auf die verschiedenen Monate verteilen sich die Stöße:

Januar	Februar	März	April	Mai	Juni	Juli	August	September	Oktober	November	Dezember
1	0	0	0	1	0	0	1	2	2	4	10

Als Instrumentalkonstanten gelten die folgenden Werte:

Station	Apparat	Masse in kg	Komponente	Vergrösserung für schnelle Schwingungen	Eigenperioden in Sek.	Dämpfung	Reibung in mm	Registriergeschwindigkeit pro Minute	Mittlerer Zeitinterpolationsfehler in Sek
Zürich	U-S Q.-P.	20600	N–S	1500	3.0	3.0 : 1	1.0	ca. 90 mm/m	± 0.1
			E–W	1500	3.0	2.5 : 1	0.5	90 mm/m	± 0.1
			V	1800	1.0	2.5 : 1	0.8	90 mm/m	± 0.1
	Mainka	450	N–S	100	7.0	3.0 : 1	0.6	30 mm/m	± 0.1
			E–W	100	7.0	3.0 : 1	0.4	30 mm/m	± 0.1
	Kreis	1050	V	180	7.8	3.0 : 1	1.5	30 mm/m	± 0.1
Chur	U-S	13000	N 28° E	1208	2.7	2.5 : 1	1.1	60 mm/m	± 0.1
			E 28° S	1360	2.7	2.0 : 1	1.8	60 mm/m	± 0.1
			V	2355	1.7	1.9 : 1	0.8	60 mm/m	± 0.1
Neuchâtel	U-S	19000	N–S	1690	2.8	4.7 : 1	0.6	60 mm/m	± 0.1
			E–W	1650	2.7	4.0 : 1	0.6	60 mm/m	± 0.1
			V	1960	1.2	2.3 : 1	0.1	60 mm/m	± 0.1
Basel	U-S	19750	N–S	2000	3.2	3.0 : 1	0.2	60 mm/m	± 0.1
			E–W	2100	3.4	3.6 : 1	0.2	60 mm/m	± 0.1
		19500	V	1930	3.5	4.4 : 1	0.3	60 mm/m	± 0.1
Sion	Mainka	135	N–S	80	3.5	3.5 : 1	0.5	25 mm/m	—
			E–W	80	3.5	3.5 : 1	0.5	25 mm/m	—

U-S Q.-P. = Universalseismograph Quervain-Picard.

2. Tabellarische Zusammenstellung der in der Schweiz verspürten und der an den Erdbebenstationen Zürich, Chur, Basel, Neuchâtel und Sion registrierten Erdbeben.

Tabelle I. In der Schweiz verspürte Erdbeben 1939.

Z = Zürich. Ch = Chur. B = Basel. N = Neuchâtel. S = Sion. (Vgl. auch Tafel)

Nr.	Datum	M.-E. Zeit 0—24 h	Epizentralgebiet (gesperrt gedruckt) und erschütterte Gebiete	Grad Forel-Rossi	Grösste Ausdehnung	Zahl d. pos. Meldungen	Zahl d. neg. Meldungen	Registriert in	Bemerkungen über Charakter, Zahl der Stösse und Wirkungen
	1939	h m			km				
1	Jan. 1.	4.45	Varen (Wallis) Lokalstoß (Tafel 4)	IV	—	1	—	—	Vertikalstoß, von vielen beobachtet.
2	Mai 18.	3.24	Brig-Visp IV-V, Oberwallis IV Berneroberland III (vgl. Tab. II Nr. 34 und Tafel 1)	V	40	8	1	N, B, Ch, Z	Auch im Freien verspürt, Krachen im Gebälk.
3	Aug. 23.	11.47	Martigny und Umgebung Lokalstoß (vgl. Tab. II Nr. 51 u. Tafel 3)	V	10	4	0	N, B, Z, Ch	Erzittern der Häuser.
4	Sept. 26.	3.37	Giarsun Unter-Engadin (Tafel 2)	II-III	—	1	—	—	Deutliche Erschütterung.
5	„ 26.	3.42	Unter-Engadin V, Davos IV (vgl. Tab. II Nr. 56 und (Tafel 2) Nachstoß zu Nr. 4	V	20	5	—	Z, Ch	Zittern der Hauswände, allgemeines Erwachen der Bewohner.
6	Okt. 10.	3.29	Mittel-Wallis von Siérre bis Sion (vgl. Tab. II Nr. 57 und Tafel 2)	IV	20	4	—	Z, N, Ch, B	Schwache Erschütterung.
7	„ 15.	15.06	Starkes Beben in der Provinz Carrara, Italien, in der Schweiz schwach verspürt in Lugano und Locarno (vgl. Tab. II Nr. 59 und Tafel 3)	—	—	2	—	Z, N, B, Ch	Wellenartige Erschütterung.
8	Nov. 17.	21.15	Aargau IV-V, Zürich III, Solothurn III, Schaffhausen III (vgl. Tab. II Nr. 75 und Tafel 4)	V	70	18	—	Z, B, N, Ch	In Aarau Vertikalstoß, schlagartig oder explosionsartig wahrgenommen.
9	„ 20.	0.18	Sion Lokalstoß (Tab. II Nr. 76 und Tafel 5)	V	—	2	—	S, Z	Erschütterung.
10	„ 20.	0.31	Sion Lokalstoß (Tafel 5)	III	—	1	—	—	Erschütterung.
11	„ 20.	0.53	Sion Lokalstoß (Tafel 5)	III	—	1	—	—	Erschütterung.
12	Dez. 3.	23.03	Sierre Lokalstoß (Tafel 4)	III	—	1	—	—	Deutliche Erschütterung mit Lärm.
13	„ 5.	6.43	Oberes Baselbiet [1]) IV-V Epizentrum östl. von Bennwil (vgl. Tab. II Nr. 78 und Tafel 5)	V	20	21	—	Z, N, B, Ch.	Im Epizentrum Vertikalstoß mit explosionsartigem Knall.
14	„ 6.	8.45	Nachstoß zu Nr. 13 (Tab. II Nr. 79)	III	10	2	—	B	
15	„ 6.	21.35	Nachstoß zu Nr. 13 (Tab. II Nr. 80)	III	10	4	—	B, Z	
16	„ 7.	2.44	Nachstoß zu Nr. 13 (Tab. II Nr. 81)	III	5	3	—	B, Z	
17	„ 7.	21.30	Innerferrera (Avers) Lokalstoß (vgl. Tab. II Nr. 82 und Tafel 6)	V	—	2	—	Ch, Z	
18	„ 7.	21.43	Nachstoß zu Nr. 13 (Tab. II Nr. 83)	IV	10	8	4	B, N, Z	Dumpfer Knall.
19	„ 8.	1.43	Nachstoß zu Nr. 13	III	10	2	—	--	
20	„ 9.	23.27	Nachstoß zu Nr. 13 (Tab. II Nr. 84 und Tafel 5)	III	10	2	—	B	
21	„ 25.	6.10	Gebiet südl. von Sierre, Wallis (vgl. Tab. II Nr. 91 und Tafel 6) zwischen Leuk und Sion verspürt mit Int. IV, im Val d'Anniviers IV, Zermatt III	IV	20	5	—	S, N, B, Z, Ch	Wellenartige Erschütterung.

[1]) Die makroseismische Bearbeitung dieses Bebens, sowie der Nachstöße, wurde von Herrn Dr. Bieder in Basel ausgeführt. Als Herdtiefe fand er nach der makroseismischen Methode 1—1.5 km.

Tabelle II. In der Schweiz 1939 registrierte Nahebeben.

Mittlere Zeit Greenwich;

Station	Meereshöhe	Lage	Untergrund
Erdbebenwarte Zürich (Z);	604 m;	Breite: 47° 22′ 7.2″ N; Länge: 8° 34′ 49.5″ E;	Molassesandstein u. Mergel, wechsellagernd.
Erdbebenwarte Chur (Ch);	630 m;	Breite: 46° 50′ 59.5″ N; Länge: 9° 32′ 12.1″ E;	Bündnerschiefer der penninischen Decke.
Observatoire Neuchâtel (N);	487 m;	Breite: 46° 59′ 50.6″ N; Länge: 6° 57′ 26.2″ E;	Gewachsener Kalkfels.
Erdbebenwarte Basel (B);	309 m;	Breite: 47° 32′ 24″ N; Länge: 7° 34′ 58.5″ E;	Nagelfluhschichten.
Erdbebenwarte Sion (S);	500 m;	Breite: 46° 16′ 4.0″ N; Länge: 7° 21′ 39″ E;	Alluvium.

Nr.	Datum	Station	Epizentralentfernung nach S–P	Max. Amplitude	Ungefähre Dauer der Registr.	Phasen, Bemerkungen Wo nichts weiteres bemerkt ist, beziehen sich die Ablesungen auf die Apparate Quervain-Piccard der Stationen Zürich, Chur, Neuchâtel und Basel.
	1939		km	μ	Min.	
1	Januar 3.	Ch	440	—	2.0	ePn 6h 47m 38.9s, eP̄? 6h 47m 41.2s, eS̄ 6h 48m 47.0s
		Z	540	2.0	2.0	ePn 6h 47m 43.8s, eP̄ 6h 48m 5.2s, eS 6h 49m 11.2s
		B	610	—	2.0	eP 6h 48m 5.2s, eS̄ 6h 49m 44.7s Herdregion: Adria.
2	„ 4.	Z	92	1.0	1.0	eP̄ 15h 5m 5.8s, eS̄ 15h 5m 17.7s, nach Stuttgart-Ebingen, schwäb. Alb III.
3	„ 5.	Z	—	0.1	0.3	e 5h 51m 10.1s, Spuren eines Nahebebens.
4	„ 10.	Ch	230	—	1.0	eP̄ 2h 53m 12.4s? eS̄ 2h 53m 31.6s
		Z	250	0,5	1.0	eP̄ 2h 53m 30.3s, eS̄ 2h 54m 2.1s
5	„ 10.	Ch	—	—	2.0	eP 3h 2m 55.6s
6	„ 10.	Ch	—	—	2.0	eP̄? 10h 19m 23.6s, i 10h 19m 27.8s
7	„ 10.	Z	—	0.5	0.3	i 12h 25m 56.6s
8	Febr. 2.	Z	270	0,5	1.0	ePn 4h 11m 37.0s, eS̄ 4h 12m 15.2s
		B	315	—	1.0	ePn 4h 11m 49.4s, eS̄ 4h 12m 35.2s
		N	—	—	1.0	e 4h 12m 9.8s Alto-Adige, Italien.
9	„ 2.	Z	520	2.0	2.0	ePn 12h 51m 40.4s, eS̄ 12h 53m 2 7s
		N	—	—	2.0	ePn 12h 51m 50.7s
		B	570	—	2.0	ePn 12h 51m 59.5s, eS̄ 12h 53m 29.1s Adria?
10	„ 2.	B	—	—	0.5	e 14h 9m 36.3s
		Z	200	0.5	0.5	eP̄ 14h 10m 28.3s, eS̄ 14h 10m 53.9s
11	„ 5.	Ch	400	—	3.0	ePn 22h 1m 20.0s, eSn 22h 2m 07.0s
		Z	510	7.0	3.0	ePn 22h 1m 29.5s, eP̄ 22h 1m 46.0s, eS̄ 22h 2m 47.3s
		B	600	—	3.0	ePn 22h 1m 38.3s, eSn 22h 2m 50.2s, eS̄ 22h 3m 15.2s
		N	640	—	3.0	ePn 22h 1m 41.3s, eS̄ 22h 3m 23.0s
						Nach Rom verspürt mit Int. V in Fiume.
12	„ 6.	Z	—	1.0	1.0	eP 0h 7m 22.9s; Nachstoss zu Nr. 12.
13	„ 6.	Ch	400	—	4.0	iPn 7h 24m 20.0s, e Sn 7h 25m 07.0s, Azimut 90°
		Z	500	12.0	4.0	iPn 7h 24m 30.4s, Dilat. eP̄ 7h 24m 47.4s, eS̄ 7h 25m 47.4s
		B	610	—	5.0	ePn 7h 24m 39.3s, eS̄ 7h 26m 16.3s
		N	640	—	5.0	ePn 7h 25m 42.6s, eP̄ 7h 25m 07.0s, eS̄ 7h 26m 24.0s Nachstoss zu Nr. 12.
14	„ 6.	N	—	—	2.0	ePn 10h 40m 47.9s
		Z	—	1.0	2.0	ePn 10h 40m 49.4s
		B	—	—	2.0	ePn 10h 40m 51.1s Nachstoss zu Nr. 12.
15	„ 7.	Ch	400	—	5.0	ePn 1h 1m 23.1s, eSn 7h 02m 11.0s, eS̄ 7h 02m 25.6s
		B	610	—	5.0	ePn 1h 1m 39.5s, eS̄ 1h 03m 17.5s Nachstoss zu Nr. 12.
16	„ 7.	Z	—	0.3	0.5	eP̄ 15h 41m 50.7s
		B	—	—	0.5	eP̄ 15h 41m 54.6s, eS̄? 15h 42m 41.6s, nach Strasbourg—Basses-Alpes.
17	„ 9.	Z	95	2.0	2.0	eP̄ 16h 45m 49.9s, i 16h 45m 57.9s, iS̄ 16h 46m 1.9s
		B	100	—	2.0	eP̄ 16h 45m 52.2s, iS̄ 16h 46m 05.1s
		N	78	—	2.0	eP̄ 16h 45m 53.2s, iS̄ 16h 46m 3,2s
		Cn	--	—	2.0	eS 16h 46m 10.8s
						Daten widersprechen sich, vermutliches Epizentrum im Gebiet des Brienzersees. Keine makroseismischen Meldungen.

Tabelle II (Fortsetzung).

Nr.	Datum	Station	Epizentralentfernung nach S-P	Max. Amplitude	Ungefähre Dauer der Registr.	Phasen, Bemerkungen
	1939		km	μ	Min.	
18	Febr. 11.	Ch	—	—	10.0	ePn $11^h\ 17^m\ 46.5^s$, $e\bar{P}$? $11^h\ 17^m\ 58.0^s$
		Z	410	10.0	10.0	ePn $11^h\ 17^m\ 57.3^s$, $e\bar{P}$ $11^h\ 18^m\ 15.3^s$, $e\bar{S}$ $11^h\ 18^m\ 58.3^s$
		B	490	—	10.0	ePn $11^h\ 18^m\ 2.3^s$, eSn? $11^h\ 19^m\ 03.1^s$, $e\bar{S}$ $11^h\ 19^m\ 18.5^s$
		N	480	—	10.0	ePn $11^h\ 18^m\ 3.4^s$, $e\bar{S}$ $11^h\ 19^m\ 18.0^s$
						Nach Rom Stoss Int. VI in Val. Mugello Toscana.
19	„ 11.	B	—	—	3.0	e $12^h\ 33^m\ 59.3^s$. vermutlich Nachstoss zu Nr. 18.
20	„ 20.	N	110	—	2.0	$e\bar{P}$ $13^h\ 18^m\ 33.9^s$ $i\bar{S}$ $13^h\ 18^m\ 47.9^s$ Val d'Anniviers (Wallis).
		Z	146	1.0	2.0	$e\bar{P}$ $13^h\ 18^m\ 39.1^s$ Dilat. $i\bar{S}$ $13^h\ 18^m\ 57.6^s$
		B	155	—	2.0	$e\bar{P}$ $13^h\ 18^m\ 39.2^s$ $e\bar{S}$ $13^h\ 18^m\ 58.8^s$ Keine makroseismischen Meldungen.
21	„ 28.	Ch	700?	—	4.0	eP $13^h\ 38^m\ 38.9^s$, eS? $40^m\ 33.0^s$
		Z	940?	5.0	4.0	eP $13^h\ 38^m\ 49.6^s$, $e\bar{P}$ $13^h\ 39^m\ 17.2^s$, eS? $13^h\ 40^m\ 36.5^s$
		B	800?	—	4.0	eP $13^h\ 38^m\ 58.6^s$, eS? $13^h\ 41^m\ 07.0^s$
22	März 1.	Z	96	8.0	1.0	$i\bar{P}$ $11^h\ 33^m\ 56.2^s$, iS $11^h\ 34^m\ 8.7^s$
		B	127	—	1.0	$e\bar{P}$ $11^h\ 34^m\ 01.8^s$, $e\bar{S}$ $11^h\ 34^m\ 18.0^s$
		Ch	150	—	1.0	$e\bar{P}$ $11^h\ 34^m\ 06.1^s$, $e\bar{S}$ $11^h\ 34^m\ 25.0^s$
		N	175	—	1.0	$e\bar{P}$ $11^h\ 34^m\ 13.8^s$, $e\bar{S}$ $11^h\ 34^m\ 36.0^s$ Schwäbische Alb, südlich von Ebingen.
23	„ 5.	N	200	—	2.0	$i\bar{P}$ $23^h\ 23^m\ 47.3^s$, i $23^h\ 23^m\ 48.1^s$, $e\bar{S}$ $23^h\ 24^m\ 13.0^s$
		B	280	—	2.0	$e\bar{P}$ $23^h\ 24^m\ 00.7^s$, $e\bar{S}$ $23^h\ 24^m\ 36.0^s$
		Z	320	0.5	2.0	$e\bar{P}$ $23^h\ 24^m\ 04.3$? eS $23^h\ 24^m\ 46.1^s$ Nach Strasbourg - Saint-André (Isère).
24	„ 14.	Z	—	0.5	1.0	i_1 $5^h\ 42^m\ 19.0^s$, i_2 $5^h\ 42^m\ 23.4^s$.
25	„ 15.	Ch	145	—	3.0	$e\bar{P}$ $11^h\ 27^m\ 23.7^s$, $e\bar{S}$ $11^h\ 27^m\ 52.0^s$
		Z	255	2.0	3.0	$e\bar{P}$ $11^h\ 27^m\ 37.3^s$, $e\bar{S}$ $11^h\ 28^m\ 9.5^s$
		B	300	—	3.0	ePn? $11^h\ 27^m\ 49.1^s$, $e\bar{P}$ $11^h\ 27^m\ 53.9^s$, $e\bar{S}$ $11^h\ 28^m\ 33.1^s$
		N	400	—	3.0	eP $11^h\ 27^m\ 53.4^s$, $e\bar{S}$ $11^h\ 28^m\ 44.0^s$ Alto Adige, Italien.
26	„ 20.	N	270	—	2.0	eP $3^h\ 4^m\ 16.9^s$, $e\bar{P}$? $3^h\ 4^m\ 24.0^s$, $e\bar{S}$ $3^h\ 4^m\ 55.0^s$
		Ch	—	—	2.0	eP $3^h\ 4^m\ 20.3^s$
		B	280-300	—	2.0	ePn $3^h\ 4^m\ 23.9^s$, eSn $3^h\ 04^m\ 57.4^s$, eS? $3^h\ 5^m\ 11.4^s$
		Z	300	1.0	2.0	ePn $3^h\ 4^m\ 27.6^s$, $e\bar{S}$ $3^h\ 05^m\ 9.3^s$
						Westalpen. nach Rom verspürt in Susa IV; nach Strasbourg Epizentrum 44.6°, 7.1° E. Herdtiefe $h = 50$ km.
27	„ 24.	Z	—	1.0	2.0	eP $21^h\ 25^m\ 38.3^s$
28	„ 24.	Z	92	—	0.5	$e\bar{P}$ $5^h\ 16^m\ 55.4^s$, $i\bar{S}$ $5^h\ 17^m\ 6.9^s$
		B	123	—	0.5	$e\bar{P}$? $5^h\ 17^m\ 00.0^s$, $i\bar{S}$ $5^h\ 17^m\ 15.5^s$
		Ch	—	—	0.5	$e\bar{S}$ $5^h\ 17^m\ 23.2^s$ Schwäbische Alb, SW von Ebingen.
29	April 10.	Ch	—	—	2.0	eP $5^h\ 39^m\ 15.5^s$
		Z	—	1.0	2.0	eP? $5^h\ 39^m\ 22.9^s$, e $5^h\ 39^m\ 32.9^s$
		B	—	—	2.0	e $5^h\ 40^m\ 00.0^s$ Bergsturz bei Fidaz, 17 Personen umgekommen.
30	„ 22.	B	210	—	1.0	eP $15^h\ 03^m\ 37.8^s$, eS $15^h\ 4^m\ 04.0^s$
		Z	220	0.5	1.0	eP? $15^h\ 03^m\ 43.5^s$, $e\bar{S}$ $15^h\ 4^m\ 11.3^s$
		N	300	—	1.0	eP $15^h\ 03^m\ 48.4^s$, $e\bar{S}$ $15^h\ 4^m\ 26.0^s$ Rheinpfalz, nach Strasbourg zirka 49.5° N, 8° E.
31	„ 25.	Ch	—	—	2.0	eP $18^h\ 25^m\ 43.4^s$
		Z	345	4.0	2.0	ePn $18^h\ 25^m\ 51.9^s$, $e\bar{P}$ $18^h\ 25^m\ 59.6^s$, $e\bar{S}$ $18^h\ 26^m\ 43.6^s$
		B	420	—	2.0	ePn $18^h\ 26^m\ 00.5^s$, $e\bar{S}$ $18^h\ 27^m\ 06.0^s$
		N	440-470	—	2.0	ePn $18^h\ 26^m\ 5.8^s$, $e\bar{P}$ $18^h\ 26^m\ 18.0^s$, $e\bar{S}$ $18^h\ 27^m\ 19.0^s$
						Nach Rom Stoss der Intensität IV im Friaul.
32	Mai 6.	Ch	310	—	3.0	eP $4^h\ 11^m\ 7.4^s$, $e\bar{S}$ $4^h\ 12^m\ 6.4^s$
		Z	480	6.0	3.0	ePn $4^h\ 11^m\ 14.6^s$, $e\bar{S}$ $4^h\ 12^m\ 20.0^s$
		B	580	—	3.0	ePn $4^h\ 11^m\ 23.1^s$, eSn $4^h\ 12^m\ 32.0^s$, $e\bar{S}$ $4^h\ 12^m\ 53.0^s$
		N	—	—	3.0	ePn $4^h\ 11^m\ 27.6^s$
						Herdgebiet Steiermark zirka 47.0° N 14.0° E.
33	„ 16.	N	400	—	2.0	$e\bar{P}$ $4^h\ 06^m\ 17.0^s$, $e\bar{S}$ $4^h\ 07^m\ 07.0^s$
		B	475	—	2.0	$e\bar{P}$ $4^h\ 06^m\ 29.5^s$, $e\bar{S}$ $4^h\ 07^m\ 30.0^s$
		Z	520	0.5	2.0	eP $4^h\ 06^m\ 36.0^s$, eS? $4^h\ 07^m\ 38.3^s$
						Nach Strasbourg Haute Loire-Lozère 44° 34′ N 3° 11′ E. Herdtiefe 57 km, verspürt mit Int. V.

Tabelle II (Fortsetzung).

Nr.	Datum	Station	Epizentral-entfernung nach S–P	Max. Amplitude	Ungefähre Dauer der Registr.	Phasen, Bemerkungen.
	1939		km	μ	Min.	
34	Mai 18.	N	115	—	1.0	$i\bar{P}$ $2^h\,24^m\,21.3^s$, $e\bar{S}$ $2^h\,24^m\,35.0^s$
		Z	118	5.0	1.0	$i\bar{P}$ $2^h\,24^m\,23.2^s$, $e\bar{S}$ $2^h\,24^m\,37.9^s$; i $2^h\,24^m\,41.3^s$
		Ch	130	—	1.0	$e\bar{P}$ $2^h\,24^m\,23.4^s$, $e\bar{S}$ $2^h\,24^m\,40.0^s$; i $2^h\,24^m\,44.0^s$
		B	130	—	1.0	$e\bar{P}$ $2^h\,24^m\,26.4^s$, i $2^h\,24^m\,26.4^s$, $e\bar{S}$ $2^h\,24^m\,43.4^s$
						Herdregion Brig (Wallis), (vgl. Tab. I, Nr. 2).
35	„ 20.	Ch	940	—	10.0	eP $9^h\,37^m\,43.2^s$, eS $9^h\,39^m\,29.0^s$
		Z	1120	10.0	10.0	eP $9^h\,37^m\,53.8^s$, eS $9^h\,40^m\,00.5^s$
		N	1080	—	10.0	eP $9^h\,37^m\,57.9^s$, eS $9^h\,39^m\,58.0^s$
		B	1200	—	10.0	eP $9^h\,38^m\,2.3^s$, eS $9^h\,40^m\,16.0^s$
						Nach Strasbourg 41° N 19° 19' E, nach Trieste in Albanien und Puglien verspürt.
36	„ 24.	B	45	—	0.5	$e\bar{P}$ $16^h\,35^m\,43.4^s$, $e\bar{S}$ $16^h\,35^m\,49.0^s$
		N	60	—	0.5	$e\bar{P}$ $16^h\,35^m\,47.5^s$, $e\bar{S}$ $16^h\,35^m\,54.8^s$
		Z	125	0.2	0.5	$\bar{S}-\bar{P} = 16.0^s$ Keine Zeitmarken.
						Epizentrum zirka 47.5° N 7.0° E. Keine makroseismischen Meldungen.
37	Juni 17.	N	170	—	1.0	$e\bar{P}$ $20^h\,57^m\,19.7^s$, $e\bar{S}$ $20^h\,57^m\,41.6^s$
		B	295	—	1.0	$e\bar{P}$ $20^h\,57^m\,25.6^s$, $e\bar{S}$ $20^h\,58^m\,3.0^s$
		Z	205	0.2	1.0	$e\bar{P}$? $20^h\,57^m\,37.0^s$, $e\bar{S}$ $20^h\,58^m\,2.7^s$
						Epizentrum vermutlich Westalpen.
38	„ 21.	B	215	—	1.0	$e\bar{P}$ $23^h\,13^m\,27.5^s$, $i\bar{S}$ $23^h\,13^m\,54.7^s$
		Z	—	—	1.0	e $23^h\,13^m\,29.3^s$, $e\bar{S}$ $23^h\,13^m\,58.9^s$
39	„ 22.	Z	370	1.0	2.0	ePn $4^h\,51^m\,18.8^s$, $e\bar{P}$? $4^h\,51^m\,36.0^s$, $e\bar{S}$ $4^h\,52^m\,14.8^s$
		B	420	—	2.0	ePn $4^h\,51^m\,37.7^s$, $e\bar{S}$ $4^h\,52^m\,43.5^s$
40	Juli 1.	Ch	45	—	1.0	$e\bar{P}$ $17^h\,49^m\,53.8^s$, $e\bar{S}$ Min.-Lücke $17^h\,50^m\,01.0^s$
		Z	110	2.0	1.0	eP $17^h\,50^m\,5.3^s$, iP $17^h\,50^m\,7.3^s$, $e\bar{S}$ $17^h\,50^m\,17.4^s$
		B	180	—	1.0	$e\bar{P}$ $17^h\,50^m\,14.8^s$, $e\bar{S}$ $17^h\,50^m\,37.5^s$
		N	170	—	1.0	$e\bar{P}$ $17^h\,50^m\,16.4^s$, $e\bar{S}$ $17^h\,50^m\,38.0^s$ Klostertal, Vorarlberg.
41	„ 2.	Ch	225	—	2.0	$e\bar{P}$ $15^h\,51^m\,19.8^s$, $e\bar{S}$ $15^h\,51^m\,48.0^s$
		Z	300	2.0	3.0	ePn $15^h\,51^m\,29.4^s$, $e\bar{P}$ $15^h\,51^m\,36.3^s$, $e\bar{S}$ $15^h\,52^m\,12.6^s$
		B	420	—	3.0	ePn $15^h\,51^m\,33.9^s$; eSn $15^h\,52^m\,23.0^s$, $e\bar{S}$ $15^h\,52^m\,39.0^s$
		N	510	—	3.0	$e\bar{P}$? $15^h\,51^m\,42.9^s$, $e\bar{S}$ $15^h\,52^m\,48.0^s$ Provinz Belluno, Italien.
42	„ 2.	Ch	615	—	4.0	ePn $23^h\,47^m\,48.5^s$, $e\bar{S}$ $23^h\,49^m\,24.0^s$
		Z	720	5.0	4.0	ePn $23^h\,47^m\,58.9^s$, $e\bar{S}$ $23^h\,49^m\,52.5^s$
		B	830	—	4.0	ePn $23^h\,48^m\,08.0^s$, $e\bar{S}$ $23^h\,50^m\,20.0^s$
		N	—	—	4.0	ePn $23^h\,48^m\,10.5^s$ Herdregion Balkan, nicht näher bestimmbar.
43	„ 10.	Ch	250	—	3.0	$e\bar{P}$ $16^h\,28^m\,30.5^s$, $e\bar{S}$ $16^h\,29^m\,02.0^s$
		Z	310	10.5	3.0	ePn $16^h\,28^m\,41.4^s$, $e\bar{P}$ $16^h\,28^m\,48.2^s$, $e\bar{S}$ $16^h\,29^m\,27.2^s$
		B	380	—	3.0	ePn $16^h\,28^m\,51.2^s$, $e\bar{P}$ $16^h\,29^m\,2.0^s$, $e\bar{S}$ $16^h\,29^m\,49.0^s$
		N	400	—	3.0	ePn $16^h\,28^m\,54.6^s$, $e\bar{P}$ $16^h\,29^m\,5.0^s$, eSn $16^h\,29^m\,40.0^s$ Ostalpen.
44	„ 17.	Z	240	1.0	1.0	$e\bar{P}$ $21^h\,29^m\,21.6^s$, $e\bar{S}$ $21^h\,29^m\,52.3^s$
		B	300	—	1.0	$e\bar{P}$ $21^h\,29^m\,34.9^s$, $e\bar{S}$ $21^h\,30^m\,12.7^s$
45	„ 20.	N	—	—	0.5	$i\bar{P}$ $12^h\,29^m\,7.8^s$, i_1 $12^h\,29^m\,8.3^s$, i_2 $12^h\,29^m\,9.5^s$
46	„ 21.	B	330	—	1.0	$e\bar{P}$ $13^h\,05^m\,00.1^s$, $e\bar{S}$ $13^h\,05^m\,41.7^s$
		Z	—	2.0	1.0	$e\bar{P}$ $13^h\,05^m\,1.5^s$, $e\bar{S}$? $13^h\,05^m\,39.8^s$
		N	370	—	1.0	$e\bar{P}$ $13^h\,05^m\,15.0^s$, i $13^h\,05^m\,18.5^s$, $e\bar{S}$ $13^h\,06^m\,01.0^s$
						Nach der Presse in Koblenz, Rheinland, verspürt.
47	„ 25.	B	8.0	—	0.3	$i\bar{P}$ $19^h\,16^m\,30.7^s$, $i\bar{S}$ $19^h\,16^m\,31.7^s$ Sprengung in einem Steinbruch in Ettingen.
48	„ 30.	Z	—	0.2	2.0	e $21^h\,4^m\,23.4^s$ Spuren eines Nahebebens.
49	„ 31.	Ch	—	0.3	1.0	$e\bar{P}$? $1^h\,24^m\,36.6^s$, e $1^h\,24^m\,40.6^s$ Spuren eines Nahebebens.
		Z	—	—	1.0	$e\bar{P}$ $1^h\,25^m\,5.2^s$
50	Aug. 22.	Ch	880	—	4.0	eP $12^h\,59^m\,45.0^s$, eS $12^h\,52^m\,25.0^s$
		Z	940	0.6	4.0	eP $12^h\,50^m\,59.1^s$, eS? $12^h\,52^m\,46.1^s$
		B	1100	—	4.0	eP $12^h\,51^m\,07.0^s$, eS $12^h\,52^m\,48.1^s$ Herdgebiet Adria.
51	„ 23.	N	118	—	1.0	$i\bar{P}$ $11^h\,47^m\,33.0^s$, e $11^h\,47^m\,35.0^s$, $i\bar{S}$ $11^h\,47^m\,48.0^s$
		B	163	—	1.0	$e\bar{P}$ $11^h\,47^m\,44.3^s$, $i\bar{S}$ $11^h\,48^m\,05.7^s$
		Z	190	1.0	1.0	$e\bar{P}$? $11^h\,47^m\,46.6^s$ Min.-Lücke $e\bar{S}$ $11^h\,48^m\,10.1^s$
		Ch	208	—	1.0	$e\bar{P}$ $11^h\,47^m\,51.5^s$, $e\bar{S}$ $11^h\,48^m\,18.0^s$ Martigny, Wallis (vgl. Tab. I, Nr. 3).

Tabelle II (Fortsetzung)

Nr.	Datum	Station	Epizentral-Entfernung nach S-P	Max. Amplitude	Ungefähre Dauer der Registr.	Phasen, Bemerkungen
	1939		km	μ	Min.	
52	Sept. 3.	Ch	110	—	2.0	ep 9h 47m 47.3s, es 9h 48m 04.0s
		Z	230	1.0	2.0	ePn 9h 48m 2.4s, ep 9h 48m 04.4s, es 9h 48m 32.7s
		N	—	—	2.0	ep 9h 48m 9.8s, i 9h 48m 15.5s
		B	300	—	2.0	eP 9h 48m 12.9s, es 9h 48m 49.5s Trentino.
53	„ 18.	Ch	510	—	12.0	ePn 0h 15m 41.6s, es 0h 16m 59.0s
		Z	570	60.0	15.0	ePn 0h 15m 48.8s, ep 0h 16m 7.7s, eSn 0h 16m 47.5s, es 0h 17m 16.4s
		B	640	—	15.0	ePn 0h 15m 57.5s, ep? 0h 16m 25.0s, eSn 0h 17m 40.0s
		N	680	—	15.0	ePn 0h 15m 03.8s, ep 0h 16m 19.0s, es 0h 17m 53.0s
						Zerstörungen in Fuchsberg bei Wien.
54	„ 20.	N	32	—	1.0	ep 15h 35m 10.6s, is 15h 35m 14.8s
		B	45	—	1.0	ep 15h 35m 12.3s, es 15h 35m 18.0s
		Z	95	1.0	1.0	ep 15h 35m 22.0s, es 15h 35m 34.3s
						Herd Jura nördl. von Biel. Keine makroseismischen Meldungen.
55	„ 21.	Z	4.0	1.0	2.0	ip 5h 45m 59.1s, is 5h 45m 59.6s
56	„ 26.	Ch	45	—	1.0	ep 2h 42m 20.6s, is 2h 42m 26.4s Azimut 90°
		Z	142	0.5	2.0	ip 2h 42m 36.8s, es 2h 42m 54.8s Unterengadin (vgl. Tab. I, Nr. 5).
57	Okt. 10.	N	112	—	1.0	ep 2h 29m 39.6s, es 2h 29m 54.1s
		B	160	—	1.0	ep 2h 29m 47.4s, es 2h 30m 7.4s
		Z	155	1.0	1.0	ep 2h 29m 47.5s, es 2h 30m 7.2s
		Ch	155	—	1.0	ep 2h 29m 53.8s, es 2h 30m 13.3s Südl. von Sierre, Wallis (vgl. Tab. I, Nr. 6).
58	„ 11.	B	90	1.0	1.0	ep 17h 43m 43.6s, es 17h 43m 55.4s
		Z	123	—	1.0	ep 17h 43m 48.3s, es 17h 44m 04.0s Schwäbische Alb.
59	„ 15.	Ch	306	—	10.0	ePn 14h 6m 9.6s Dilat. es 14h 6m 54.4s
		Z	340	60.0	10.0	ePn 14h 6m 18.4s, ep 14h 6m 29.7s, es 14h 7m 18.2s
		N	—	—	10.0	ePn 14h 6m 22.3s, eSn? 14h 6m 55.3s
		B	380	—	10.0	ePn 14h 6m 24.5s, eSn 14h 7m 10.0s
						Zerstörungen in der Provinz Carrara, auch in der Schweiz verspürt (vgl. Tab. I, Nr. 7).
60	„ 15.	Z	—	1.0	0.5	s 15h 6m 55.7s
61	„ 15.	Z	—	1.0	1.0	es 19h 46m 54.4s
		B	—	—	1.0	e 19h 47m 25.0s
62	„ 16.	Ch	146	—	2.0	ep 17h 13m 01.5s, es 17h 13m 20.2s
		Z	200	6.0	3.0	ep 17h 13m 14.1s, es 17h 13m 39.5s
		B	270	—	3.0	ep 17h 13m 27.2s, es 17h 14m 01.0s
		N	325	—	3.0	ep 17h 13m 27.9s, ip 17h 13m 35.0s Trentino, Italien.
63	„ 21.	B	—	—	1.0	e 6h 06m 59.8s Sprengung bei Kembs.
64	„ 22.	B	—	1.0	2.0	eP 14h 51m 57.0s
65	„ 23.	Ch	220	—	1.0	ePn 7h 8m 00.8s, es 7h 8m 28.4s
		Z	270	2.0	1.0	ePn 7h 8m 16.9s, es 7h 8m 53.7s
		B	350	—	1.0	ePn 7h 8m 27.4s, es 7h 8m 20.1s Provinz Belluno, Italien (Trieste $d = 130$ km).
66	„ 27.	Z	290	2.0	2.0	eP 11h 17m 42.7s, es 11h 18m 18.7s
		B	330?	—	2.0	eP 11h 17m 56.6s, es 11h 18m 49.0s
						Nach Trieste gespürt in Bassano del Grappa Vicenza.
67	„ 31.	Ch	260	—	1.0	ep 03h 36m 07.8s, es 3h 36m 39.5s
		Z	355	2.0	1.0	ePn 03h 36m 14.2s, es 3h 37m 1.9s
		B	—	—	1.0	ePn 03h 36m 19.5s, e 3h 36m 46.0s Nach Roma Apuanische Alpen.
68	„ 31.	Ch	230	—	4.0	ep 6h 48m 01.1s, es 6h 48m 29.8s
		Z	370	18.0	4.0	ePn 6h 48m 07.6s, ep 6h 48m 17.7s, es 6h 49m 3.9s
		N	—	—	4.0	ePn 6h 48m 12.1s, eSn? 6h 48m 49.0s
		B	415	—	4.0	ePn 6h 48m 13.3s, es 6h 49m 20.2s Nachstoss zu Nr. 67.
69	Nov. 4.	B	500?	—	3.0	eP 23h 52m 47.1s, es? 23h 55m 05.5s
		Z	—	0.5	3.0	eP 23h 52m 50.9s, e 23h 53m 31.3s
70	„ 5.	N	33.0	—	1.0	ep 3h 7m 56.4s, is 3h 8m 00.6s
		B	65.0	—	1.0	ep 3h 8m 01.1s, es 3h 8m 9.0s
		Z	—	0.1	0.1	Schwache Spuren, is 3h 8m 19.3s
						Jura nördl. von Biel, Keine makroseismischen Nachrichten.

Tabelle II (Schluß).

Nr.	Datum	Station	Epizentralentfernung nach S–P	Max. Amplitude	Ungefähre Dauer der Registr.	Phasen, Bemerkungen
	1939		km	μ	Min.	
71	Nov. 13.	B	60	—	0.5	eP 18h 02m 9.3s, i 18h 02m 16.1s, iS 18h 02m 16.8s
72	„ 15.	B	23	—	0.5	iP 10h 59m 11.1s, iS 10h 59m 13.8s evtl. Sprengung.
73	„ 17.	Ch	—	—	2.0	eP 7h 57m 50.0s
74	„ 17.	Z	—	1.0	1.0	S 13h 31m 53.9s
		B	—	—	1.0	Schwache Spuren
75	„ 17.	Z	36	16.0	0.5	iP 20h 15m 11.5s, iS 20h 15m 16.1s
		B	41	—	0.5	eP 20h 15m 14.8s, iS 20h 15m 20.0s
		N	93	—	1.0	eP 20h 15m 22.2s, i 20h 15m 25.0s, iS 20h 15m 34.3s
		Ch	114	—	1.0	eP 20h 15m 25.6s eS 20h 15m 40.0s Südl. Aarau (vgl. Tab. I, Nr. 8).
76	„ 19.	S	—	—	0.2	iP 23h 17m 42.8s
		Z	168	1.0	1.0	iP 23h 18m 8.8s, eS 23h 18m 30.1s Lokalstoss in Sion (vgl. Tab. I, Nr. 9).
77	Dez. 4.	Z	65	1.0	1.0	eP 4h 26m 16.6s, eS 4h 26m 25.4s
		N	—	—	1.0	eP 4h 27m 00.3s Keine makroseismischen Meldungen.
78	„ 5.	B	18	—	0.5	iP 5h 42m 44.5s, iS 5h 42m 46.8s
		Z	54	2.0	0.5	iP 5h 42m 49.0s, iS 5h 42m 55.7s
		N	74	—	0.5	eP Min.-Lücke 5h 42m 52.5s, iS 5h 43m 4.8s, i 5h 43m 1.8s
		Ch	—	—	0.5	eS 5h 43m 22.2s
						Herdgebiet bei Bennwil (vgl. Tab. I, Nr. 13).
79	„ 6.	B	15	—	0.5	iP 7h 45m 23.4s, iS 7h 45m 24.8s Nachstoss zu Nr. 78 (vgl. Tab. I, Nr. 14).
80	„ 6.	Z	54	1.0	0.5	eP 20h 34m 39.8s, iS 20h 34m 46.7s, i 20h 34m 51.2s
		B	—	—	0.5	Keine Zeitmarken (vgl. Tab. I, Nr. 15).
81	„ 7.	Z	—	0.5	0.3	iS 1h 44m 11.2s, i 1h 44m 45.2s
		B	—	—	—	Keine Zeitmarken Nachstoss zu Nr. 78 (vgl. Tab. I, Nr. 16).
82	„ 7.	Ch	35	—	0.5	eP 20h 31m 13.0s, iS 20h 31m 17.4s
		Z	--	0.5	0.5	i 20h 31m 42.6s Avers, Graubünden (vgl. Tab. I, Nr. 17).
83	„ 7.	B	15	—	0.5	eP 20h 42m 37.2s, iS 20h 42m 39.0s
		Z	55	1.0	0.5	eP 20h 42m 40.5s, eS 20h 42m 47.5s, i 20h 42m 51.7s
		N	—	—	0.5	eP 20h 42m 52.3s, i 20h 42m 56.9s
						Nachstoss zu Nr. 78 (vgl. Tab. I, Nr. 18).
84	„ 9.	B	—	—	0.5	iS 22h 27m 28.0s Nachstoss zu Nr. 78 (vgl. Tab. I, Nr. 20).
85	„ 10.	N	84	—	1.0	eP 12h 17m 31.0s, i 12h 17m 33.4s, iS 12h 17m 47.9s, i 12h 17m 45.5s
		B	135	—	1.0	eP 12h 17m 39.8s, eS 12h 17m 57.0s
		Z	138	1.0	1.0	eP 12h 17m 39.9s, eS 12h 17m 57.4s
						Herdgebiet bei Sierre, Wallis, keine makroseismischen Meldungen.
86	„ 13.	B	—	—	0.5	eS 4h 04m 30.9s
87	„ 14.	Ch	145	—	1.0	ePn? 20h 19m 01.4s, iP 20h 19m 01.8s, eSn 20h 19m 20.3s, iS 20h 19m 22.1s
		Z	195	2.0	1.0	eP 20h 19m 13.2s, eS 20 19m 37.9s
		B	250	—	1.0	eP 20h 19m 25.0s, eS 20h 19m 56.3s
		N	360?	—	2.0	eP 20h 19m 25.0s, eS? 20h 20m 10.0s Vermutliches Herdgebiet Trentino, Italien.
88	„ 20.	Z	—	1.0	0.3	i_1 10h 34m 31.6s, i_2 10h 34m 33.9s
89	„ 20.	Z	—	3.0	0.3	i_1 10h 37m 13.5s, i_2 10h 37m 15.5s
90	„ 20.	Z	—	1.0	0.3	i_1 10h 37m 51.2s, i_2 10h 39m 53.1s Vermutlich Sprengungen.
91	„ 25.	S	13	—	0.5	eP 5h 10m 35.2s, iS 5h 10m 36.8s
		N	100	—	1.0	eP 5h 10m 50.0s, iS 5h 10m 03.0s, e 5h 10m 06.0s
		Z	145	4.0	1.0	eP 5h 10m 58.1s, Compr. iS 5h 11m 16.2s
		B	145	—	2.0	eP 5h 10m 58.6s, iS 5h 11m 17.s
		Ch	170	—	2.0	eP 5h 10m 01.8s, e 5h 11m 20.8s, eS 5h 11m 23.3s
						Epizentrum südl. von Sierre, Wallis (vgl. Tab. I, Nr. 21).

Tabelle III. In der Schweiz 1939 registrierte Fernbeben.

Mittlere Zeit Greenwich.

Nr.	Datum	Station	Epizentralentfernung nach S P	Ungefähre Dauer der Registr.	Phasen, Bemerkungen (Wo nichts weiteres bemerkt ist, beziehen sich die Ablesungen auf die Apparate Quervain-Piccard.)
	1939		km	Std.	
1	Januar 2.	Ch	- -	0.2	eP $4^h\ 39^m\ 45.2^s$
		Z	—	0.2	eP $4^h\ 39^m\ 51.4^s$, e_1 $4^h\ 44^m\ 50.6^s$, e_2 $4^h\ 46^m\ 19.4^s$
		B	- -	0.2	eP $4^h\ 40^m\ 2.7^s$
2	„ 5.	B		0.2	eP $3^h\ 43^m\ 52.6^s$, e $43^m\ 57.0^s$
		Z	—	0.2	eP $3^h\ 43^m\ 52.7^s$, e $43^m\ 58.0^s$ Dilat. e $52^m\ 51.4^s$
		Ch		0.2	eP $3^h\ 43^m\ 53.6^s$, e $43^m\ 58.3^s$
		N		0.2	eP $3^h\ 43^m\ 56.6^s$
3	„ 20.	Ch	1800	0.2	P-S = 190s Keine Zeitmarken
		Z	1890	0.2	eP $1^h\ 28^m\ 12.4^s$, eS $1^h\ 31^m\ 26.1^s$
		N	-	0.2	eP $1^h\ 28^m\ 15.3^s$
		B	1900	0.2	eP $1^h\ 28^m\ 14.6^s$, eS $1^h\ 31^m\ 35.3^s$
					32° N, 15° E, nach Strasbourg 31° N, 16° E, Tripolis.
4	„ 20.	Ch	1800	0.6	eP $14^h\ 26^m\ 21.7^s$, eS $14^h\ 29^m\ 31.5^s$
		Z	1890	0.6	eP $14^h\ 26^m\ 25.2^s$, eS $14^h\ 29^m\ 44.1^s$
		N	1800	0.6	eP $14^h\ 26^m\ 28.4^s$, eS $14^h\ 29^m\ 37.0^s$
		B	1900	0.6	eP $14^h\ 26^m\ 33.2^s$ Nachstoss zu Nr. 3.
5	„ 20.	N	- -	0.2	eP $20^h\ 53^m\ 01.5^s$
		B	—	0.2	eP $20^h\ 53^m\ 03.0^s$, e_1 $20^h\ 53^m\ 04.0^s$, e_2 $21^h\ 1^m\ 47.0^s$
		Z	9890	0.2	eP $20^h\ 53^m\ 06.3^s$, ePP $20^h\ 56^m\ 51.0^s$
		Ch	-	0.2	eP $20^h\ 53^m\ 10.6^s$ Dilat. i $20^h\ 58^m\ 11.5^s$
					Azimut 290°, pazifische Küste von Zentralamerika, nach J.S.A. zirka 31° N, 89.5° W.
6	„ 22.	Z	—	0.1	eP $4^h\ 51^m\ 54.8^s$
		Ch	—	0.1	eP $4^h\ 51^m\ 55.7^s$
7	„ 22.	B	—	0.1	eP $11^h\ 02^m\ 29.8^s$, e $11^h\ 03^m\ 28.4^s$
		N	—	0.1	eP $11^h\ 02^m\ 33.6^s$
8	„ 23.	Ch	1810	0.5	eP $2^h\ 26^m\ 38.3^s$, eS $2^h\ 29^m\ 51.1^s$
		Z	1870	0.5	eP $2^h\ 26^m\ 48.1^s$, eS $2^h\ 29^m\ 55.7^s$
		N	1900	0.5	eP $2^h\ 26^m\ 48.8^s$, eS $2^h\ 30^m\ 06.0^s$
		B	1902	0.5	eP $2^h\ 26^m\ 54.2^s$, eS $2^h\ 30^m\ 13.0^s$ Nachstoss zu Nr. 3.
9	„ 24.	Z	--	0.1	eP $4^h\ 14^m\ 19.1^s$
		Ch	—	0.1	eP $4^h\ 14^m\ 20.9^s$, e $4^h\ 14^m\ 35.2^s$
		B	-	0.1	eP $4^h\ 14^m\ 21.7^s$, eP $4^h\ 14^m\ 22.0^s$
		N	--	0.1	eP $4^h\ 14^m\ 25.1^s$
10	„ 25.	N	12300	2.0	eP $3^h\ 46^m\ 39.1^s$, eSKS $3^h\ 57^m\ 13.0^s$
		B	12300	2.0	eP $3^h\ 46^m\ 42.5^s$, ePP $3^h\ 51^m\ 28.0^s$, ePPP $3^h\ 54^m\ 19.0^s$
		Ch	12300	2.0	eP $3^h\ 46^m\ 43.5^s$, eP' $3^h\ 50^m\ 43.1^s$, ePP $3^h\ 51^m\ 47.0^s$
		Z	12400	2.0	eP $3^h\ 46^m\ 45.2^s$, eP' $3^h\ 50^m\ 27.2^s$, ePP $3^h\ 51^m\ 37.0^s$, ePPP $3^h\ 54^m\ 00.0^s$
					Grosse Katastrophe in der Provinz Chillan, Chile, nach Tacubaya zirka 36.5° S, 72.1° W, nach J.S.A. 36.4° S, 72.1° W.
11	„ 25.	B		0.1	e $5^h\ 1^m\ 54.9^s$
12	„ 25.	Ch	- -	0.1	e $11^h\ 9^m\ 19.0^s$
13	„ 25.	Ch	- -	0.1	eP $20^h\ 45^m\ 31.5^s$, e $20^h\ 45^m\ 39.0^s$
		B	—	0.1	eP $20^h\ 45^m\ 31.7^s$
		Z		0.1	eP $20^h\ 45^m\ 38.3^s$
		N	- -	0.1	eP $20^h\ 45^m\ 40.0^s$
14	„ 27.	Ch	—	0.1	eP $20^h\ 12^m\ 29.6^s$
		Z	—	0.1	eP $20^h\ 12^m\ 42.6^s$
		N	- -	0.1	eP $20^h\ 12^m\ 43.6^s$
		B	-	0.1	eP $20^h\ 12^m\ 46.2^s$ Liparische Inseln.
15	„ 30.	Z	11800	2.0	eP $2^h\ 31^m\ 24.0^s$, ePKP $2^h\ 37^m\ 28.9^s$, ePP $2^h\ 39^m\ 52.1^s$, e $2^h\ 41^m\ 02.9^s$
		Ch	—	2.0	ePKP $2^h\ 37^m\ 26.0^s$, e $2^h\ 41^m\ 04.0^s$
		N	- -	2.0	ePKP $2^h\ 37^m\ 35.6^s$, e_1 $2^h\ 40^m\ 00.3^s$, e_2 $2^h\ 41^m\ 08.0^s$
		B	11800	2.0	ePKP $2^h\ 37^m\ 36.8^s$, ePP $2^h\ 39^m\ 58.0^s$, e $2^h\ 41^m\ 06.0^s$
					Nach Manila zirka 6° S, 155° E. auf den Salamon-Inseln verspürt.

Bemerkung: Die Buchstaben J.S.A. bezw. U.S.C.G.S. sind gebräuchliche Abkürzungen für Jesuit Seismological Association bezw. United States Coast and Geodetic Survey.

Tabelle III (Fortsetzung).

Nr.	Datum	Station	Epizentral-entfernung nach S–P	Ungefähre Dauer der Registr.	Phasen, Bemerkungen
	1939		km	Std.	
16	Januar 31.	N	—	1.0	eP 0h 8m 55.3s
		Z	—	1.0	eP 0h 9m 6.3s, e 0h 11m 41.7s. e 0h 13m 40.4s
		B	—	1.0	eP 0h 9m 8.3s, e 0h 11m 44.8s
17	Febr. 2.	Z	—	0.1	eP 13h 4m 1.9s
		B	—	0.1	eP 13h 4m 2.3s
18	„ 2.	Ch	1800	0.2	eP 23h 54m 32.2s, eS 23h 57m 41.0s
		Z	1890	0.2	eP 23h 54m 37.6s, eS 23h 57m 55 6s
		N	—	0.2	eP 23h 54m 38.8s
		B	—	0.2	eP 23h 54m 43.0s Nach Strasbourg 31.9° N 16° E
19	„ 3.	Z	15-16000	0.2	ePKP 5h 15m 41.1s, ePP 5h 48m 30.0s
		Ch	—	0.2	ePKP 5h 45m 41.2s
		B	—	0.2	ePKP 5h 45m 49.5s, ePP 5h 48m 20.6s
		N	15-16000	0.2	ePP 5h 48m 01,1s Nach J.S.A. 10.5° S 159.4° E
20	„ 3.	N	—	0.2	e 20h 33m 12.9s
21	„ 4.	Z	—	0.1	eP 5h 42m 7.4s
		B	—	0.1	eP 5h 42m 13.0s Nach Manila 9° S 156° E (nach Bllt. de l'Urss 19.5° S 151° E)
22	„ 7.	N	—	0.1	e 6h 41m 38.3s
		Z	—	0.1	e 7h 2m 56.0s
23	„ 8.	Ch	—	0.1	e 10h 38m 28.1s
24	„ 8.	N	—	0.1	eP 20h 53m 02.7s
		B	—	0.1	eP 20h 53m 6.6s
		Z	4200	0.1	eP 20h 53m 11 2s, eS 20h 59m 11.2s Azimut zirka 260°, Atlantik SW der Azoren
25	„ 9.	Z	—	0.2	eP 2h 50m 19.0s
		B	—	0.2	eP 2h 50m 19.7s, e 2h 53m 12.0s
		N	—	0.2	eP 2h 50m 21.0s
26	„ 9.	Ch	—	0.1	eP 11h 58 17.0s
27	„ 14.	Z	—	0.2	eP 3h 46m 06.0s
28	„ 14.	B	—	0.1	e 10h 55m 48.9s
29	„ 16.	Ch	—	0.5	eP 15h 49m 43.7s
30	„ 16.	Z	9350	0.3	eP 19h 3m 44.3s, eS 19h 14m 08.3s
		Ch	—	0.3	eP 19h 3m 45.8s, ePP 19h 6m 58.0s. eS 19h 38m 24.0s
		B	9450	0.3	eP 19h 3m 47.2s, eS 19h 14m 20.2s Pazifische Küste von Japan nach Strasbourg zirka 38.5° N 141.5° E
31	„ 17.	Ch	—	0.2	eP 3h 27m 06.3s
		Z	1600	0.2	eP 3h 27m 17.5s, eS 3h 30m 6.4s
		B	1600	0.2	eP 3h 27m 27.7s, eS 3h 30m 18.0s, e 3h 31m 31.3s Verspürt im Strumatal Bulgarien nach Strasbourg, Herdgebiet 41.8° N 23.1° E
32	„ 20.	Z	—	0.1	e 4h 4m 44.9s
33	„ 24.	Z	—	0.1	eP 14h 27m 47.6s, e 14h 28m 2.4s
		B	—	0.1	eP 14h 27m 49.3s, e 14h 28m 3.3s
		Ch	—	0.1	eP 14h 27m 54.7s (Bllt. de l'Urss 53.5° N 160° W)
34	„ 27.	N	—	0.1	eP 17h 41m 53.5s
		B	—	0.1	eP 17h 41m 59.4s, e 17h 42m 56.0s
35	März 2.	Ch	—	0.1	eP 7h 19m 08.9s
36	„ 6.	Z	—	0.2	eP? 2h 13m 10.0s
37	„ 6.	Z	—	0.1	eP 8h 59m 42.8s
38	„ 8.	Ch	—	0.2	e 22h 17m 17.7s, e 22h 20m 49.0s
		Z	—	0.2	e 22h 17m 27.0s, e 22h 20m 50.0s
		B	—	0.2	e 22h 17m 27.3s, e 22h 20m 54.0s
		N	—	0.2	e 22h 17m 28.3s Auf Neu-Guinea verspürt nach Wellington, Herd zirka 8° S 152° E (Nach Bllt. de l'Urss 4.5° S 159.5° E)
	„ 13.	Ch	—	0.1	eP 3h 41m 04.0s
39		Z	—	0.1	eP 3h 41m 10,3s Compr.
		B	—	0.1	eP 3h 41m 22.7s

Tabelle III (Fortsetzung)

Nr.	Datum	Station	Epizentral-entfernung nach S-P	Ungefähre Dauer der Registr.	Phasen, Bemerkungen
	1939		km	Std.	
40	März 13.	Z	—	0.1	eP $5^h\ 29^m\ 59.3^s$ Dilat.
		Ch	—	0.1	eP $5^h\ 30^m\ 00.4^s$
		B	—	0.1	eP $5^h\ 30^m\ 00.7^s$
41	„ 20.	Ch	—	1.0	eP $3^h\ 35^m\ 00.5^s$, e $3^h\ 43^m\ 17.0^s$
		Z	9560	1.0	eP $3^h\ 35^m\ 1.1^s$, ePP $3^h\ 38^m\ 22.8^s$, eSKS $3^h\ 45^m\ 18.2^s$, eS $3^h\ 45^m\ 43.2^s$
		B	9450	1.0	eP $3^h\ 35^m\ 2.1^s$, eS $3^h\ 45^m\ 33.0^s$
		N	9450	1.0	eP $3^h\ 35^m\ 5.5^s$, eS $3^h\ 45^m\ 37.0^s$
					nach J. S. A. 33.4° N 129.5 E, Provinz Kiouschiou Japan
42	„ 21.	Ch	9400	1.0	eP $1^h\ 23^m\ 41.4^s$, eS $1^h\ 34^m\ 12.0^s$
		Z	9300	1.0	eP $1^h\ 23^m\ 47.2^s$ Compr., e $1^h\ 26^m\ 23.9^s$, eS $1^h\ 31^m\ 11.4^s$
		B	9200	1.0	eP $1^h\ 23^m\ 51.5^s$, eS $1^h\ 34^m\ 11.0^s$
		N	—	1.0	eP $1^h\ 23^m\ 52.8^s$, eS $1^h\ 34^m\ 25.0^s$
					nach Stuttgart 2.5° S 92° N, nach Strasbourg 3.0° S 90.6° E
43	„ 23.	Ch	—	0.2	eP $16^h\ 40^m\ 25.8^s$
		Z	—	0.2	eP $16^h\ 40^m\ 46.9^s$
		B	—	0.2	eP $16^h\ 41^m\ 12.7_s$
					nach Wellington 32° S 178° W, nach Blit. de l'Urss 24.5° S 171.5° W
44	April 1.	Ch	1200?	0.1	eP $21^h\ 07^m\ 55.9^s$, eS? $21^h\ 10^m\ 7.4^s$
		Z	1300?	0.1	eP $21^h\ 8^m\ 14.2^s$, eS? $21^h\ 10^m\ 32.2^s$
		N	—	0.1	eP $21^h\ 8^m\ 21.2^s$
		B	1550	0.1	eP $21^h\ 8^m\ 21.8^s$, eS $21^h\ 11^m\ 08.0^s$
					Vermutliche Herdgegend: Jonisches Meer. Nach Blit. de l'Urss 16.5° N 37.5° E
45	„ 4.	B		0.1	eP $10^h\ 30^m\ 39.1^s$
46	„ 5.	Ch		2.0	ePKP $17^h\ 2^m\ 21.5^s$ Manila gibt 29° S 168° E
		B		2.0	ePKP $17^h\ 2^m\ 23.5^s$ J. S. A. „ 27° S 167° E
		Z		2.0	ePKP $17^h\ 2^m\ 23.7^s$ Dilat. Strasbourg „ 20° S 168° E, Herdtiefe 150–175 km
		N		2.0	ePKP $17^h\ 2^m\ 24.3^s$
47	„ 8.	B		0.1	eP $10^h\ 44^m\ 03.7^s$
		Ch		0.1	eP $10^h\ 44^m\ 11.3^s$
		Z		0.1	e $10^h\ 44^m\ 15.0^s$
48	„ 18.	N	11600–11700	1.0	eP $6^h\ 36^m\ 33.1^s$, ePP $6^h\ 40^m\ 55.0^s$, eSKS $6^h\ 47^m\ 11.0^s$
		B	11600–11700	1.0	eP $6^h\ 36^m\ 35.8^s$, ePP $6^h\ 40^m\ 55.0^s$, eSKS $6^h\ 47^m\ 31.0^s$ eS $6^h\ 49^m\ 59.0^s$
		Z	11600–11700	1.0	eP $6^h\ 36^m\ 38.0^s$, eP' $6^h\ 40^m\ 18.8^s$, ePP $6^h\ 40^m\ 50.2^s$. eSKS $6^h\ 47^m\ 14.2^s$,
		Ch	11660	1.0	eP $6^h\ 36^m\ 40.0^s$, ePP $6^h\ 40^m\ 52.8^s$, eSKS $6^h\ 47^m\ 28.0^s$ ePS $6^h\ 49^m\ 59.8^s$
					Starke Zerstörungen in Copiapó und Caldera Chile. Epizentrum nach J. S. A. 26.6° S 71.3° W. Herdtiefe zirka 100 km.
49	„ 21.	Z	8550	0.5	eP $4^h\ 40^m\ 00.4^s$, ipP $4^h\ 41^m\ 54.0^s$ Dilat., eS $4^h\ 49^m\ 00.9^s$
		Ch	—	0.5	eP $4^h\ 40^m\ 1.0^s$ Dilat., i $4^h\ 40^m\ 1.8^s$ Dilat., epP $4^h\ 41^m\ 54.7^s$ Dilat.
		B	8650	0.5	eP $4^h\ 40^m\ 1.0^s$, eS $4^h\ 49^m\ 12.0^s$
		N	8580	0.5	eP $4^h\ 40^m\ 4.8^s$, e $4^h\ 40^m\ 6.0^s$, epP $4^h\ 41^m\ 59.0^s$, eS $4^h\ 49^m\ 09.0^s$
					Azimut 33°, Herd 46° N 138° E. Herdtiefe zirka 500 km. J. S. A. gibt 48.6° N 138.0 E, Herdtiefe zirka 550 km.
50	„ 23.	N	5600	0.6	eP $16^h\ 32^m\ 9.9^s$, eS $16^h\ 39^m\ 28.0^s$ Atlantischer Ozean zirka 8° N 19° W
		B	5700	0.6	eP $16^h\ 32^m\ 13.8^s$, eS $16^h\ 39^m\ 39.0^s$ Nach J. S. A. 0.1° N 18° W.
		Ch	5670	0.6	eP $16^h\ 32^m\ 15.5^s$, eS $16^h\ 39^m\ 39\ 0^s$
		Z	5660	0.6	eP $16^h\ 32^m\ 15.6^s$, Compr. $16^h\ 39^m\ 38.5^s$
51	„ 30.	Z	—	2.5	ePKP? $3^h\ 14^m\ 41.3^s$, e_1 $3^h\ 17^m\ 28.3^s$, e_2 $3^h\ 18^m\ 31.9^s$, e_4 $3^h\ 19^m\ 27.8^s$
		Ch	—	2.5	eP $3^h\ 14^m\ 41.9^s$, i $3^h\ 15^m\ 17.7^s$
		N	—	2.5	eP $3^h\ 14^m\ 45.2^s$
		B	—	2.5	eP $3^h\ 14^m\ 46.0^s$, e $3^h\ 17^m\ 51.0^s$, e $3^h\ 18^m\ 57.0^s$
					Salomon-Inseln, nach J. S. A. zirka 10.8° S 158.5° E, nach U. S. C. G. S. 11°S 158.5° E.
52	Mai 1	Z	9050	1.0	eP $6^h\ 10^m\ 52.1^s$, eS $6^h\ 21^m\ 6.3^s$
		Ch	—	—	eP $6^h\ 10^m\ 52.8^s$
		B	9020	1.0	eP $6^h\ 10^m\ 53.0^s$, eS $6^h\ 21^m\ 6.0^s$
		N	—	1.0	eP $6^h\ 10^m\ 57.0^s$ Auf Akita Japan verspürt. Nach J. S. A. zirka 39° N 137.5° E.
53	„ 1.	Z	9050	1.0	eP $6^h\ 12^m\ 39.2^s$, eS $6^h\ 22^m\ 52.2^s$
		B	—	—	eP $6^h\ 12^m\ 39.3^s$ Nachstoss zu Nr. 52, diesem Beben überlagert.
54	„ 1.	B	—	0.1	e $7^h\ 40^m\ 40.7^s$

Tabelle III (Fortsetzung).

Nr.	Datum	Station	Epizentral-entfernung nach S–P	Ungefähre Dauer der Registr.	Phasen, Bemerkungen.
	1939		km	Min.	
55	Mai 1.	Z	9120	1.0	eP 16h 18m 12.0s, ePP 16h 21m 19.2s, eS 16h 28m 32.5s
		Ch	—	1.0	eP 16h 18m 13.8s
		B	9060	1.0	eP 16h 18m 14.9s, eS 16h 28m 30.0s
		N	—	1.0	eP 16h 18m 18.9s Nachstoss zu Nr. 52.
56	„ 2.	B	9340	1.0	eP 13h 27m 34.9s, e 13h 39m 34.0s
		N	—	1.0	eP 13h 27m 40.4s
		Z	—	1.0	eP 13h 27m 42,4s, e 13h 31m 16.2s
		Ch	—	1.0	eP 13h 27m 44.3s, e 13h 30m 54.0s
					In San Diego und Tucson verspürt. Herd nach J.S.A. 29.4° N 113.5° W.
57	„ 6.	N	—	0.2	ePKP 6h 12m 53.9s Nach J.S.A. 7.5° N 84.5° W.
58	„ 8.	N	2790	1.0	eP 1h 52m 18.7s, eS 1h 56m 47.0s
		B	2700	1.0	eP 1h 52m 22.1s, eS 1h 56m 46.0s, e 57m 05.0s, e 58m 14.0s
		Z	8250	1.0	eP 1h 52m 29.0s Compr., eS 1h 57m 2,8s
		Ch	2940	1.0	eP 1h 52m 31.9s, e 1h 52m 35.0s, eS 1h 57m 11.0s
					Azimut zirka 266°, Herd 40° N 23° W, verspürt auf den zentralen und östlichen Azoren, Schadenwirkungen auf der Insel Santa Maria.
59	„ 8.	N	—	0.1	eP 16h 20m 45.3s
		Z	—	0.1	eP 16h 20m 56.7s Nachstoss zu Nr. 58.
60	„ 10.	B	—	0.5	eP 7h 56m 33.4s
		Ch	—	0.5	eP 7h 56m 37.1s
		Z	—	0.5	eP 7h 56m 39.2s Compr.
61	„ 13.	Ch	—	0.1	eP 4h 47m 10.0s
62	„ 16.	Z	—	0.1	e 7h 6m 21.7s
63	„ 17.	Ch	10700	1.0	eP 18h 44m 13.3s, ePP 18h 48m 14.0s
		B	10700	1.0	eP 18h 44m 13.7s, ePP 18h 48m 14.0s
		Z	—	1.0	eP 18h 44m 25.4s, ePP! 18h 48m 7.3s
		N	—	1.0	ePP 18h 47m 50.1s Nach Strasbourg 24° N 143° E südl. der Bonin Inseln.
64	„ 17.	B	—	0.1	eP? 21h 48m 15.4s, eS? 21h 51m 5.0s
65	„ 20.	Ch	—	0.5	eP 13h 37m 43.2s, eS 13h 39m 25.0s
66	„ 21.	B	—	0.5	eP 20h 40m 39.7s, e 20h 41m 10.0s
		Z	—	0.5	eP 20h 40m 41.6s, e 20h 41m 10.1s
		N	—	0.5	eP 20h 40m 42.8s, e 20h 40m 43.0s Herdtiefe zirka 600 km, nach Pasadena Tonga Inseln.
67	„ 23.	Ch	—	0.5	eP 4h 28m 27.3s
		Z	—	0.5	eP 4h 28m 28.9s Compr.
		B	—	0.5	eP 4h 28m 37.3s
		N	—	0.5	eP 4h 28m 39.4s Nach Strasbourg arabisches Meer zirka 10° N 60° E.
68	„ 24.	B	—	0.1	e 18h 32m 40.7s
69	„ 26.	B	—	0.7	eP 9h 50m 37.2s Nach Pasadena Baikalsee 55° N 110° E.
70	„ 27.	Ch	7400	0.7	eP 3h 56m 44.0s, eS 4h 5m 39.0s
		N	—	0.7	eP 3h 56m 55.9s
		B	7400	0.7	eP 3h 56m 59.4s, eS 4h 5m 54.2s Nach Strasbourg Burma zirka 25° N 95° E.
71	„ 30.	B	—	0.7	eP 10h 15m 22.8s, e 17m 11.0s
72	„ 31.	Ch	—	0.5	eP 00h 26m 55.9s
		N	—	0.5	eP 00h 27m 3.6s
		B	1450	0.5	eP 00h 27m 21.4s, eS 00h 29m 56.4s
					Nach Athen auf Kreta verspürt, Strasbourg gibt 37.8° N 22.1 E.
73	Juni 1.	Ch	12400	0.2	eP 01h 13m 25.5s, eS 01h 15m 23.0s
		B	1220	0.2	eP 01h 13m 42.2s, eS 01h 16m 25.4s
		N	—	0.2	eP 01h 13m 51.3s
74	„ 2.	Ch	9450	1.0	eP 3h 47m 18.4s, eS 3h 57m 48,0s
		B	9450	1.0	eP 3h 47m 22.5s, ePP 3h 51m 47.5s, eS 3h 57m 53.0s
		N	—	1.0	eP 3h 47m 25.3s Nach Manila auf Mindanao verspürt.
75	„ 2.	B	1300	1.0	eP 14h 14m 53.5s, eS 14h 17m 36.4s

Tabelle III (Fortsetzung).

Nr.	Datum	Station	Epizentralentfernung nach S-P	Ungefähre Dauer der Registr.	Phasen, Bemerkungen
	1939		km	Std.	
76	Juni 2.	B	—	0.1	eP 17h 3m 6.7s
77	„ 4.	Z	—	0.1	eP 20h 37m 31.2s
78	„ 5.	Z	—	0.1	iP 0h 38m 17.5s Dilat.
79	„ 5.	B	—	0.5	eP 23h 09m 58.9s
		N	—	0.6	eP 23h 10m 5.7s
		Z	—	0.6	eP 23h 10m 14.6s Compr.
		Ch	—	0.6	eP 23h 10m 20.3s
80	„ 8.	B	—	0.7	ePKP 21h 06m 29.1s, i 06m 34.0s, e_1 08m 15.0s, e_2 12m 32.0s
		Ch	—	0.7	iPKP 21h 06m 29.2s, i 06m 35.0s
		Z	—	0.7	ePKP 212 06m 29.7s Compr., i 21h 07m 3.4s Compr.
					Nach J. S. A. 14.5° S 174.3° W, Herdtiefe 100 km auf den Samoa-Inseln verspürt.
81	„ 8.	Z	—	0.1	eP 22h 29m 27.0s
		B	—	0.1	eP 22h 29m 27.9s
82	„ 12.	N	—	0.7	eP 4h 15m 43.9s
		B	7150	0.7	eP 4h 15m 45.1s, eS 4h 24m 24.0s
		Z	7150	0.7	eP 4h 15m 50.5s Compr., eS 4h 24m 27.8s
		Ch	7250	0.7	eP 4h 15m 55.5s, eS 4h 24m 40.0s
					Nach J. S. A. 20.1° N 67.6° W auf Porto Rico verspürt.
83	„ 17.	B	—	0.2	eP 12h 22m 23.0s
		Z	—	0.2	eP 12h 22m 40.0s
84	„ 18.	Z	—	0.1	eP 16h 58m 23.5s
		B	—	0.1	eP 16h 58m 28.7s Auf Costa-Rica verspürt!
85	„ 19.	Z	—	0.1	e 0h 41m 7.8s
86	„ 22.	N	4500	0.6	eP 19h 27m 19.9s, eS 19h 33m 38.0s
		Ch	4520	0.7	eP 19h 27m 21.5s, eS 19h 33m 41.0s
		Z	4570	0.7	eP 19h 27m 24.2s Dilat., eS 19h 33m 46.3s
		B	4660	0.7	eP 19h 27m 24.9s, eS 19h 33m 51.0s
					Azimut 190°, Herdgebiet Goldküste, zirka 6° N 1° E. Nach J. S. A. 6.3° N 1.0 W, in Accra grössere Schadenwirkung.
87	„ 27.	B	11300	0.7	eP 23h 18m 23.3s, ePP? 23h 22m 20.0s, eL 23h 30m 08.0s
		Z	—	0.7	eP? 23h 18m 55.6s
		N	—	0.7	e 23h 30m 23.3s Nach Manila auf Mindanao, Leyte und Samar verspürt. Herdgebiet zirka 7.5° N 127° E.
88	Juli 2.	Z	—	0.1	eP 17h 12m 5.6s, e 17h 12m 19.6s
		Ch	—	0.1	eP 17h 12m 6.9s
		B	—	0.1	eP 17h 12m 8.0s
89	„ 4.	N	—		eP 18h 38m 59.9s
		Z	10-11000		eP 18h 39m 4.3s, eSKS 19h 49m 19.2s
		Ch	10-11000		eP 18h 39m 6.5s, eSKS 19h 49m 20.0s
					Nach J. S. A. 19.9° S 67.3° W, Herdtiefe 300 km. U. S. C. G. S. gibt 23.0° S 67.0° W.
90	„ 5.	B	—	0.7	ePKP 22h 59m 45.8s, e 23h 00m 15.0s
		Ch	—	0.7	ePKP 22h 59m 46.5s, epPKP 23h 02m 15.0s, e 23h 02m 23.0s
		Z	—	0.7	ePKP 22h 59m 46.4s, epKP 23h 02m 26.0s
					Nach J. S. A. 24° S 179° W südl. der Fidji Inseln.
91	„ 12.	B	—	1.0	eP 20h 20m 40.0s, e 20h 20m 46.0s, eS 20h 31m 00.0s
		Ch	—	1.0	eP 20h 20m 43.7s
		Z	—	1.0	eP 20h 20m 44.8s Compr., eS 20h 30m 56.4s
92	„ 12.	B	—	0.1	e 23h 9m 8.5s, e 18m 37.8s
		Z	—	0.1	e 23h 9m 30.5s
		Ch	—	0.1	e 23h 17m 7.1s
93	„ 14.	B	—	0.1	e 8h 43m 34.4s
94	„ 16.	Ch	—	0.1	eP 12h 33m 33.8s
		Z	—	0.1	eP 12h 33m 48.7s
		B	—	0.1	eP 12h 33m 55.1s

Tabelle III (Fortsetzung).

Nr.	Datum	Station	Epizentral-entfernung nach S–P	Ungefähre Dauer der Registr.	Phasen, Bemerkungen
	1939		km	Min.	
95	Juli 19.	Z	—	0.5	eP $23^h\ 35^m\ 32.0^s$
		N	—	0.5	eP $23^h\ 35^m\ 38.6^s$, e $23^h\ 41^m\ 46.6^s$, e $23^h\ 42^m\ 12.0^s$
		B	—	0.5	eP $23^h\ 35^m\ 48.6^s$
96	„ 20.	B	—	0.5	ePKP $2^h\ 41^m\ 46.1^s$. epPKP $2^h\ 42^m\ 12.0^s$
		Z	1700	0.5	ePKP $2^h\ 41^m\ 47.3^s$, i $2^h\ 42^m$ **11.2**^{s} Compr., ePP $2^h\ 45^m\ 43.0^s$
					Nach J.S.A. 22° S 180° E, Herdtiefe 650-700 km Tonga Inseln.
97	„ 25.	Z	2450	0.3	eP $3^h\ 44^m\ 23.5^s$, eS $3^h\ 48^m\ 28.2^s$
		N	—	0.3	eP $3^h\ 44^m\ 30.9^s$.
		B	2000	0.3	eP $3^h\ 44^m\ 31.7^s$, eS $3^h\ 48^m\ 00.0^s$
					Azimut 135°, vermutliches Herdgebiet Aegäisches Meer.
98	„ 27.	B	—	0.1	e $23^h\ 39^m\ 30.9^s$
99	„ 28.	Ch	—	0.2	eP $10^h\ 16^m\ 37.0^s$, e $10^h\ 19^m$ **41.5**^{s}
		Z	—	0.2	eP $10^h\ 16^m\ 46.0^s$. e $10^h\ 19^m\ 36.7^s$
		B	—	0.2	eP $10^h\ 16^m\ 57.9^s$
100	Aug. 1.	B	—	0.1	eP $3^h\ 48^m\ 31.6^s$
		Z	—	0.1	eP $3^h\ 48^m\ 35.2^s$
101	„ 1.	Z	—	0.1	eP $16^h\ 7^m\ 44.2^s$
		B	—	0.1	eP $16^h\ 7^m\ 44.6^s$
102	„ 2.	B	9250	0.2	eP $0^h\ 59^m\ 02.0^s$, eS? $1^h\ 9^m\ 25.5^s$
		Z	9700	0.2	eP $0^h\ 59^m\ 03.4^s$, eS $1^h\ 9^m\ 46.6^s$ Herdregion Süd Atlantik.
103	„ 2.	Z	—	0.3	eP $9^h\ 27^m\ 57.3^s$, eS? $9^h\ 30^m\ 57.1^s$
		B	2780	0.6	eP $9^h\ 28^m\ 23.7^s$, eS? $9^h\ 32^m\ 58.4^s$
		N	2890	0.6	eP $9^h\ 28^m\ 23.9^s$, eS? $9^h\ 32^m\ 50.0^s$
104	„ 2.	Z	2480?	0.2	eP $13^h\ 10^m\ 11.4^s$. eS? $13^h\ 14^m\ 15.4^s$
		B	2200	0.5	eP $13^h\ 10^m\ 19.4^s$, eS $13^h\ 13^m\ 59.2^s$
		N	—	0.5	eP $13^h\ 10^m\ 20.6^s$, e $13^h\ 16^m\ 13.0^s$ Vermutliche Herdregion Kleinasien.
105	„ 3.	Z	2000	0.4	eP $12^h\ 36^m\ 49.9^s$ Compr., eS $12^h\ 40^m\ 17.0^s$
		B	2110	0.4	eP $12^h\ 36^m\ 57.4^s$, eS $12^h\ 40^m\ 32.4^s$
		N	—	0.4	eP $12^h\ 36^m\ 59.5^s$, eL? $12^h\ 42^m\ 44.0^s$
					Herdregion Kleinasien, vermutlich Nachstoss zu Nr. 104.
106	„ 9.	Z	1020	0.2	eP $3^h\ 33^m\ 1.1^s$, eS $3^h\ 34^m\ 56.2^s$
		B	1390	0.2	eP $3^h\ 33^m\ 6.2^s$, eS $3^h\ 35^m\ 34.7^s$ Adria, nach Prato in Bari verspürt.
107	„ 11.	Z	—	0.1	eP $3^h\ 26^m\ 38.9^s$
108	„ 12.	Z	—	0.2	ePKP $2^h\ 26^m\ 42.2^s$ Dilat., epPKP $2^h\ 27^m\ 15.0^s$, ePP $2^h\ 29^m\ 42.0^s$, e $30^m\ 40.9^s$
		B	—	0.2	ePKP $2^h\ 26^m\ 45.1^s$, ep PKP $2^h\ 27^m\ 32.0^s$, e $30^m\ 03.0^s$
					Nach Wellington 14° S 168° E, Herdtiefe 150-175 km (Distanz von Zürich ∽ 15000 km)
109	„ 12.	B	9230	0.4	eP $10^h\ 2^m\ 13.3^s$, eS $10^h\ 12^m\ 36.0^s$
		Z	9020	0.4	eP $10^h\ 2^m\ 14.7^s$, eS $10^h\ 12^m\ 26^s$
					Herdregion Kurilen, nach J.S.A. 44.3° N 152.5 E.
110	„ 17.	Z	—	0.1	eP $11^h\ 37^m\ 5.7^s$, e $11^h\ 38^m\ 0.4^s$
111	„ 18.	B	—	0.1	eP $4^h\ 59^m\ 7.1^s$
112	„ 18.	B	—	0.2	ePKP $22^h\ 35^m\ 38.6^s$, ePP $22^h\ 39^m\ 09.0^s$
		Z	—	0.2	ePKP $22^h\ 35^m\ 40.0^s$, e $22^h\ 36^m\ 24.5^s$, ePP $22^h\ 39^m\ 6.1^s$
					Nach Wellington 18° S 167° E.
113	„ 18.	Z	—	0.1	ePKP $23^h\ 00^m\ 14.1^s$, e $23^h\ 06^m\ 36.6^s$
		B	—	0.1	ePKP $23^h\ 00^m\ 32.4^s$ Nachstoss zu Nr. 112.
114	„ 19.	B	—	0.2	e $1^h\ 7^m\ 10.3^s$
		Z	—	0.2	e $1^h\ 7^m\ 11.8^s$ Nachstoss zu Nr. 112.
115	„ 20.	Z	—	0.1	e $5^h\ 25^m\ 21.2^s$
116	„ 21.	B	—	0.2	eP $0^h\ 18^m\ 59.6^s$, e $19^m\ 00.0^s$
117	„ 22.	Z	—	0.1	eP $0^h\ 18^m\ 57.6^s$ Compr.
		B	—	0.1	eP $0^h\ 18^m\ 59.6^s$

Tabelle III (Fortsetzung).

Nr.	Datum	Station	Epizentral-entfernung nach S–P	Ungefähre Dauer der Registr.	Phasen, Bemerkungen
	1939		km	Std.	
118	August 22.	Z	—	0.1	e $2^h\ 41^m\ 3.0^s$
		B	—	0.1	e $2^h\ 41^m\ 8.1^s$, e $2^h\ 42^m\ 9.2^s$
119	„ 25.	B	—	0.2	eP $4^h\ 07^m\ 12.0^s$
		Ch	—	0.2	eP $4^h\ 07^m\ 16.0^s$
		Z	—	0.2	eP $4^h\ 07^m\ 17.9^s$, eL $4^h\ 8^m\ 18.0^s$
120	„ 27.	B	—	0.1	eP $12^h\ 37^m\ 4.9^s$, e $12^h\ 38^m\ 12.0^s$
		Z	—	0.1	eP $12^h\ 37^m\ 8.3^s$, e_1 $12^h\ 37^m\ 12.0^s$, e_2 $12^h\ 38^m\ 16.0^s$
121	Sept. 4.	Ch	—	0.1	eP $7^h\ 15^m\ 07.7^s$
		B	—	0.1	eP $7^h\ 15^m\ 48.9^s$, e $7^h\ 16^m\ 26.0^s$
		Z	—	0.1	eP $7^h\ 15^m\ 53.5^s$
122	„ 5.	Ch	—	0.2	eP $6^h\ 04^m\ 43.3^s$, e $6^h\ 05^m\ 15.0^s$
		Z	1450	0.2	eP $6^h\ 04^m\ 54.1^s$, eS $6^h\ 06^m\ 28.1^s$ Herdgebiet Balkan
123	„ 8.	Z	9100	1.0	eP $12^h\ 16^m\ 58.4^s$ Dilat., eS $12^h\ 27^m\ 13.9^s$
		B	9200	1.0	eP $12^h\ 16^m\ 59.0^s$, eS $12^h\ 27^m\ 18.0^s$
		N	9200	1.0	eP $12^h\ 17^m\ 1.5^s$, eS $12^h\ 27^m\ 20.0^s$
					Nach J. S. A. 53.7° N 175.8° E, Herdtiefe 50 km.
124	„ 11.	B	—	0.1	eP $8^h\ 05^m\ 35.1^s$
125	„ 12.	B	—	0.1	eP $12^h\ 26^m\ 13.4^s$, e $27^m\ 00.0^s$
126	„ 15.	Ch	1800	0.5	eP $23^h\ 20^m\ 19.6^s$, eS $23^h\ 23^m\ 30.0^s$
		Z	1800	0.5	eP $23^h\ 20^m\ 28.3^s$, eS $23^h\ 23^m\ 38.5^s$
		B	2000	0.5	eP $23^h\ 20^m\ 36.6^s$, eS $23^h\ 23^m\ 58.8^s$
		N	2000	0.5	eP $23^h\ 20^m\ 38.5^s$, eS $23^h\ 24^m\ 04.1^s$ Azimut zirka 110°, Kleinasien.
127	„ 19.	Ch	—	0.5	eP $3^h\ 31^m\ 01.6^s$
		Z	—	0.5	eP $3^h\ 31^m\ 06.7^s$
		B	—	0.5	eP $3^h\ 31^m\ 12.7^s$
128	„ 20.	Ch	1200	0.5	eP $00^h\ 22^m\ 25.5^s$, eS $0^h\ 24^m\ 32.0^s$
		Z	1250	0.5	eP $00^h\ 22^m\ 33.6^s$, i $00^h\ 22^m\ 45.3^s$ Compr., eS 0 $24^m\ 51.2^s$
		N	1250	0.5	eP $00^h\ 22^m\ 40.8^s$, eS $00^h\ 24^m\ 56.0^s$
		B	1330	0.5	eP $00^h\ 22^m\ 41.7^s$, eS $00^h\ 25^m\ 05.0^s$
					Azimut zirka 135°, Herdgebiet Jonisches Meer, zirka 38° N 18° E.
129	„ 21.	B	—	0.5	e $11^h\ 35^m\ 00^s$, e_1 $11^h\ 47^m\ 39.6^s$, e_2 $11^h\ 49^m\ 35.7^s$
		Z	—	0.5	e $11^h\ 49^m\ 42.0^s$
130	„ 22.	Ch	—	0.3	eP $00^h\ 40^m\ 06.5^s$, e $0^h\ 44^m\ 39.0^s$
		Z	1700	0.3	eP $00^h\ 40^m\ 16.6^s$, eS $0^h\ 43^m\ 19.6^s$
		B	1850	0.3	eP $00^h\ 40^m\ 25.4^s$, eS $0^h\ 43^m\ 38.5^s$
		S	1800	0.3	eP $00^h\ 40^m\ 26.5^s$, eS $0^h\ 43^m\ 35.8^s$
		N	—	0.3	eP $00^h\ 40^m\ 27.6^s$, e $0^h\ 45^m\ 33.0^s$
					Azimut zirka 110° Herdregion Ostküste von Kleinasien, in Smyrna grosse Schäden und zirka 200 Opfer.
131	„ 24.	Z	—	0.1	e $15^h\ 43^m\ 16.2^s$
132	„ 24.	Z	—	0.1	e $16^h\ 32^m\ 6.4^s$
133	Oktober 2.	Z	—	0.1	eP $1^h\ 40^m\ 57.7^s$, e $43^m\ 23.0^s$
134	„ 2.	N	—	0.2	eP $21^h\ 40^m\ 30.1^s$, e $21^h\ 42^m\ 06.0^s$
		B	1440	0.2	eP? $21^h\ 40^m\ 43.7^s$, eS? $21^h\ 43^m\ 15.5^s$
		Z	—	0.2	eP $21^h\ 40^m\ 47.8^s$
		—	—	0.2	e $21^h\ 44^m$ Spuren
					Nach Toledo in der Provinz Burgos, Spanien verspürt.
135	„ 9.	Z	—	0.1	e $2^h\ 37^m\ 31.4^s$
		Ch	—	0.1	e $2^h\ 37^m\ 41.0^s$
		B	—	0.1	e $2^h\ 37^m\ 44.4^s$
		N	—	0.1	e $2^h\ 37^m\ 48.2^s$ Nach Wellington Neue Hebriden.
136	„ 10.	Z	9220	1.1	eP $18^h\ 44^m\ 33.9^s$ Compr. ePP $18^h\ 47^m\ 56.7^s$, eS $18^h\ 54^m\ 54.7^s$, e $18^h\ 55^m\ 21.0^s$
		Ch	9220	1.2	eP $18^h\ 44^m\ 34.1^s$, eS $18^h\ 54^m\ 56.0^s$
		B	9330	1.2	eP $18^h\ 44^m\ 34.3^s$, eS $18^h\ 54^m\ 59.0^s$
		N	9450	1.2	eP $18^h\ 44^m\ 38.5^s$, eS $18^h\ 55^m\ 11.0^s$
					Azimut zirka 30° Herdgebiet 41° N 146° E, nach J.S.A. 41.2° N 143.4° E.

Tabelle III (Fortsetzung).

Nr.	Datum	Station	Epizentral-entfernung nach S–P	Ungefähre Dauer der Registr.	Phasen, Bemerkungen
	1939		km	Std.	
137	Okt. 10.	B	—	1.0	eP $19^h\ 3^m\ 27.5^s$ dem Beben 136 überlagert.
138	„ 17.	Z	—	0.2	ePKP $7^h\ 41^m\ 29.2^s$, epPKP $7^h\ 42^m\ 28.0^s$, ePP $7^h\ 44^m\ 34.0^s$
		Ch	—	0.2	iPKP $7^h\ 41^m\ 30.4^s$, i $7^h\ 41^m\ 34.0^s$
		B	—	0.2	ePKP $7^h\ 41^m\ 30.9^s$, e $7^h\ 41^m\ 38.0^s$, e $7^h\ 43^m\ 16.0^s$
		N	—	0.2	ePKP $7^h\ 41^m\ 32.9^s$ Nach Wellington 15° S 167° E. $h = 100$ km. Neue Hebriden (Distanz von Zürich 15 800 km).
139	„ 19.	B	—	0.1	eP $9^h\ 19^m\ 47.1^s$
140	„ 19.	Z	—	0.2	eP $19^h\ 36^m\ 43.3^s$ Compr.
141	„ 19.	Ch	—	0.7	eP $21^h\ 36^m\ 34.0^s$
		Z	—	0.7	eP $21^h\ 36^m\ 43.3^s$ Compr.
		B	—	0.7	eP $21^h\ 36^m\ 52.2^s$, e $21^h\ 40^m\ 30.0^s$, e $21^h\ 42^m\ 48.0^s$
		N	—	0.7	eP $21^h\ 36^m\ 54.8^s$, e $21^h\ 42^m\ 53.0^s$ Herdgebiet Kleinasien.
142	„ 20.	Z	—	0.1	eP $4^h\ 55^m\ 36.2^s$
		Ch	—	0.1	eP $4^h\ 56^m\ 01.1^s$
		B	—	0.1	eP $4^h\ 57^m\ 58.1^s$
		N	—	0.1	eP $4^h\ 57^m\ 58.2^s$
143	„ 20.	B	—	0.1	e $11^h\ 14^m\ 37.1^s$
144	„ 22.	Z	—	0.1	eP $0^h\ 22^m\ 47.8^s$
		Ch	—	0.1	eP $0^h\ 23^m\ 4.6^s$
145	„ 26.	B	—	0.1	eP $1^h\ 6^m\ 40.8^s$, eS? $1^h\ 14^m\ 11.0^s$
146	„ 28.	Z	1250	0.1	eP $2^h\ 28^m\ 16.0^s$, eS? $2^h\ 30^m\ 31.1^s$
		Ch	—	0.1	e $2^h\ 30^m\ 9.0^s$
		B	—	0.1	e $2^h\ 30^m\ 15.6^s$, e $2^h\ 31^m\ 42.0^s$
147	„ 30.	Z	—	0.1	eP $13^h\ 32^m\ 5.9^s$
		Ch	—	0.1	eP $13^h\ 32^m\ 9.6^s$
		B	—	0.1	eP $13^h\ 32^m\ 11.1^s$
148	„ 31.	N	—	0.1	eP $13^h\ 17^m\ 13.0^s$
149	Nov. 4.	Ch	3500	0.2	eP $10^h\ 21^m\ 57.8^s$, eS $10^h\ 27^m\ 15.0^s$
		Z	3560	0.2	iP $10^h\ 22^m\ 05.2^s$ Compr. eS $10^h\ 27^m\ 23.9^s$
		B	3670	0.2	eP $10^h\ 22^m\ 10.3^s$, eS $10^h\ 27^m\ 38.0^s$
		N	3670	0.2	eP $10^h\ 22^m\ 13.7^s$, eS $10^h\ 27^m\ 41.0^s$ Herdgebiet Mesopotamien, zirka 32° N 47° E.
150	„ 5.	N	—	0.1	eP $2^h\ 11^m\ 25.8^s$
		B	—	0.1	eP $2^h\ 11^m\ 32.0^s$, e $2^h\ 17^m\ 10.0^s$
		Z	—	0.1	eP $2^h\ 11^m\ 39.0^s$
151	„ 5.	B	—	—	e $8^h\ 12^m$
152	„ 11.	Z	—	—	e $4^h\ 20^m\ 54.5^s$
153	„ 13.	B	—	0.1	eP $7^h\ 57^m\ 39.3^s$, eL $8^h\ 4^m\ 04.0^s$
		Ch	—	0.1	eP $7^h\ 57^m\ 50.0^s$
		Z	—	0.1	eP $7^h\ 57^m\ 54.1^s$ Dilat. Nach J.S.A. 47.7° N 123.4° W, Herdtiefe 50 km.
154	„ 17.	Z	—	0.1	eP $18^h\ 58^m\ 20.1^s$ Dilat. i_1 $18^h\ 59^m\ 30.0^s$, i_2 $18^h\ 59^m\ 43.6^s$
		B	—	0.1	eP $18^h\ 58^m\ 22.2^s$ e $18^h\ 58^m\ 45.0^s$
		N	—	0.1	eP $18^h\ 58^m\ 23.3^s$
		Ch	—	0.1	eP $18^h\ 58^m\ 30.6^s$ Tiefherdbeben.
155	„ 18.	B	—	0.1	eP $1^h\ 44^m\ 44.5^s$
		Z	—	0.1	eP $1^h\ 44^m\ 44.9^s$ Compr.
		Ch	—	0.1	eP $1^h\ 44^m\ 46.8^s$
		N	—	0.1	eP $1^h\ 44^m\ 49.2^s$ Nach Pasadena Kamtschatcha.
156	„ 21.	Ch	—	0.7	eP $8^h\ 53^m\ 59.0^s$
		Z	2610	0.7	eP $8^h\ 54^m\ 5.4^s$ Compr. eS $8^h\ 58^m\ 22.2^s$
		B	2700	0.7	eP $8^h\ 54^m\ 10.4^s$, eS $8^h\ 58^m\ 33.0^s$ In Anatolien starke Zerstörungen und Todesopfer.
		N	2740	0.7	eP $8^h\ 54^m\ 15.2^s$, eS $8^h\ 58^m\ 40^s0^s$ 39° N 38° E
157	„ 21.	Ch	—	1.0	iP $11^h\ 9^m\ 49.0^s$ Azimut 70°
		Z	—	1.0	iP $11^h\ 9^m\ 52.2^s$ Compr. epP $11^h\ 10^m\ 54.6^s$, e $11^h\ 13^m\ 5.7^s$, e $11^h\ 20^m\ 8.0^s$
		B	—	1.0	eP $11^h\ 9^m\ 58.6^s$, ipP $11^h\ 10^m\ 47.0^s$ Nach Strasbourg 10° N 60° E. Herdtiefe
		N	—	1.0	eP $11^h\ 10^m\ 2.6^s$ 200 km, nach Trieste 37° N 70° E, nach Pasadena 86.5° N 70.5° E.

Tabelle III (Schluss).

Nr.	Datum	Station	Epizentral-entfernung nach S–P	Ungefähre Dauer der Registr.	Phasen, Bemerkungen
	1939		km	Std.	
158	Nov. 28.	Z	--	0.1	eP 14h 29m 00.8s
		B	—	0.1	eP 14h 29m 19.3s
159	Dez. 5.	N	—	1.0	eP 8h 42m 47.5s
		B	--	1.0	eP 8h 42m 48.2s, eS 8h 53m 12.0s
		Z	9600	1.0	eP 8h 42m 52.7s Compr. eP 8h 46m 15.9s, eS 8h 53m 24.3s
		Ch	—	1.0	eP 8h 42m 57.5s, eL 9h 15m 20.0s
160	„ 6.	Z	--	0.1	eP 22h 14m 18.6s
		N	--	0.1	eP 22h 14m 23.8s
161	„ 16.	Z	8900	0.7	eP 10h 58m 49.4s, eS 11h 8m 56.8s
		B	9000	0.8	eP 10h 58m 50.4s, e 10h 59m 12.0s, eS 11h 9m 02.0s
		Ch	9000	0.8	eP 10h 58m 51.0s, eS 11h 9m 2.6s Herdgebiet Kurilen, nach J.S.A.
		N	8900	0.8	eP 10h 58m 53.2s, eS 11h 9m 00.0s ca. 45.7° N 145.3° E. $h = 80$ km.
162	„ 20.	B	--	0.1	e 18h 27m 34.1s
163	„ 21.	B	--	0.1	e 1h 55m 05.0s
164	„ 21.	N	—	1.3	eP 21h 07m 18.4s, e 21h 14m 45.0s
		B		1.3	eP 21h 07m 20.0s, e 21h 14m 43.0s, e 21h 26m 03.0s, e 21h 27m 08.0s, e 21h 30m 50.0s
		Z		1.3	eP 21h 07m 25.8s, e_1 21h 14m 41.4s, e 21h 18m 50.4s
		Ch		1.3	eP 21h 07m 37.9s, e 21h 14m 35.4s Analyse unsicher. 2 Beben überlagert. 1. Beben nach J.S.A. 9.9° N 84.7° W, 2. Beben nach J.S.A. 0° N 122° E. auf Mindanao verspürt.
165	„ 22.	Z	-	0.2	eP 1h 55m 8.9s
166	„ 22.	N	—	1.0	eP 4h 56m 30.2s
		B	--	1.0	eP 4h 56m 31.7s
		Z	9700	1.0	eP 4h 56m 37.1s, eSKS 5h 6m 53.7s
		Ch	—	1.0	eP 4h 56m 40.0s Nach J.S.A. 9.8° N 84.2° W.
167	„ 22.	B		0.1	e 5h 26m 52.9s
168	„ 24.	Z	--	0.2	eP 19h 04m 22.6s
		B	--	0.2	eP 19h 04m 31.3s
		N	--	0.2	eP 19h 04m 47.6s
		Ch	-	0.2	eP 19h 04m 58.9s
169	„ 25.	Ch	--	0.2	eP 5h 37m 55.8s
		Z	-	0.2	eP 6h 38m 09.8s, e 6h 43m 01.1s
		B	—	0.2	eP 6h 38m 16.1s, e 6h 43m 13.0s
		N	--	0.2	eP 6h 38m 18.4s
170	„ 25.	Ch	—	0.5	e 12h 58m
		Z	--	0.5	e 12h 58m 20.0s
		N	—	0.5	e 12h 58m 20.4s
		B	—	0.5	e 12h 58m 20.8s
171	„ 27.	Ch	2660	2.0	eP 00h 02m 21.1s, eS 0h 06m 39.0s
		Z	2560	2.0	eP 00h 02m 28.5s Dilat. eS 0h 06m 52.0s Schreibfeder abgeworfen.
		B	2800	2.0	eP 00h 02m 35.0., eS 0h 07m 07.0s
		S	2703	2.0	eP 00h 02m 35.6s, eS 0h 07m 00.0s
		N	2940	2.0	eP 00h 02m 38.4s, eS 0h 07m 18.0s Grosse Katastrophe in Anatolien, im Mittelmeer bis nach Puglien und Malta verspürt.
172	„ 27.	Z		0.2	eP 0h 50m 47.1s
		B	2700	0.2	eP 0h 50m 58.7s, eS 00h 55m 18.7s Dem Beben 171 überlagert, vermutlich Nachstoss.
173	„ 27.	Ch	2400	0.4	eP 2h 53m 22.6s, eS 2h 57m 20.1s
		Z	2550	0.5	eP 2h 53m 27.1s, eS 2h 57m 35.6s
		B	2580	0.5	eP 2h 53m 35.7s, eS 2h 57m 49.7s
		N	—	0.5	eP 2h 53m 38.2s Nachstoss zu Nr. 171.
174	„ 27.	Z	-	0.1	eP 22h 38m 58.9s, eS 22h 42m 58.9s
		B	—	0.1	eP 22h 39m 05.3s, eS 22h 43m 09.0s Nachstoss zu Nr. 171.
175	„ 28.	Z	--	0.1	e 7h 1m 00.0s
176	„ 28.	Z	2500	0.5	eP 3h 30m 12.4s, eS 3h 34m 16.1s
		B	2550	0.5	eP 3h 30m 20.2s, eS 3h 34m 27.2s
		N	2660	0.5	eP 3h 30m 23.4s, eS 3h 34m 42.0s Nachstoss zu Nr. 171.
177	„ 29.	B	5680	0.5	eP 11h 38m 17.6s, eS 11h 43m 10.0s Nachstoss zu Nr. 171.
178	„ 29.	B	-	0.5	eP 13h23m 31.6s Nachstoss zu Nr. 171.

In der Schweiz im Jahre 1939 verspürte Erdbeben.

M.E. Zeit.

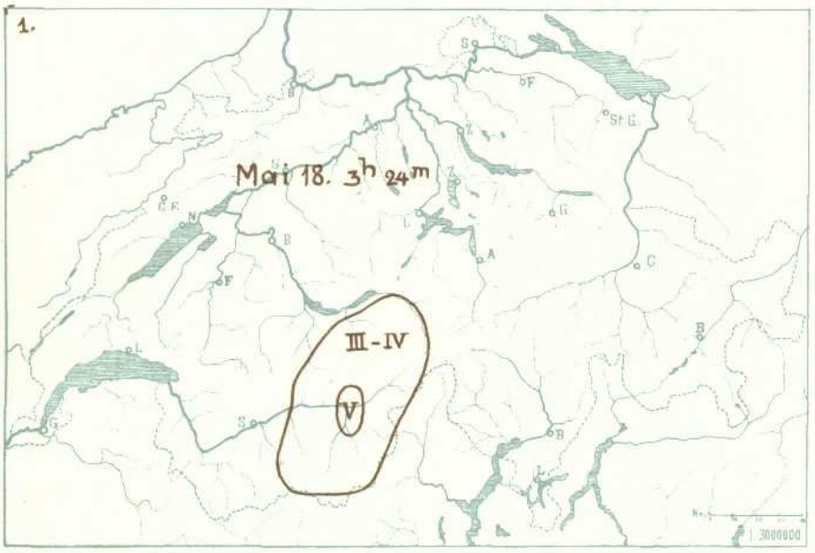

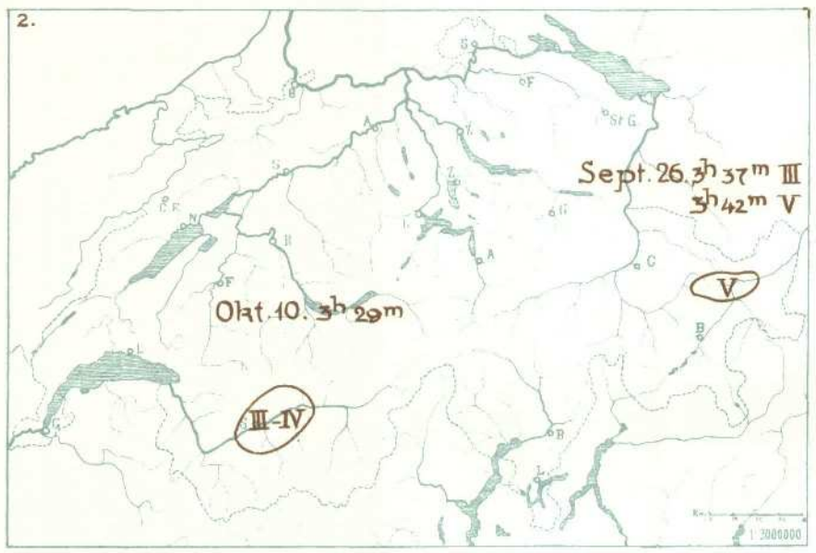

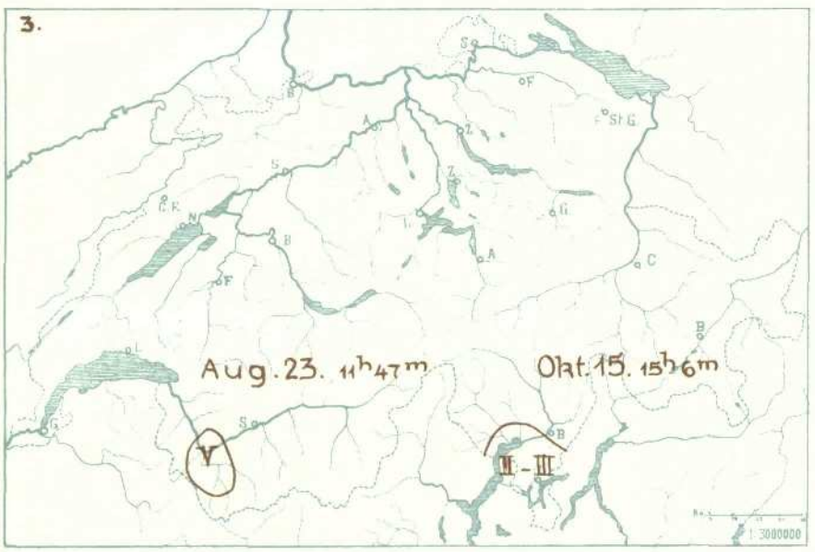

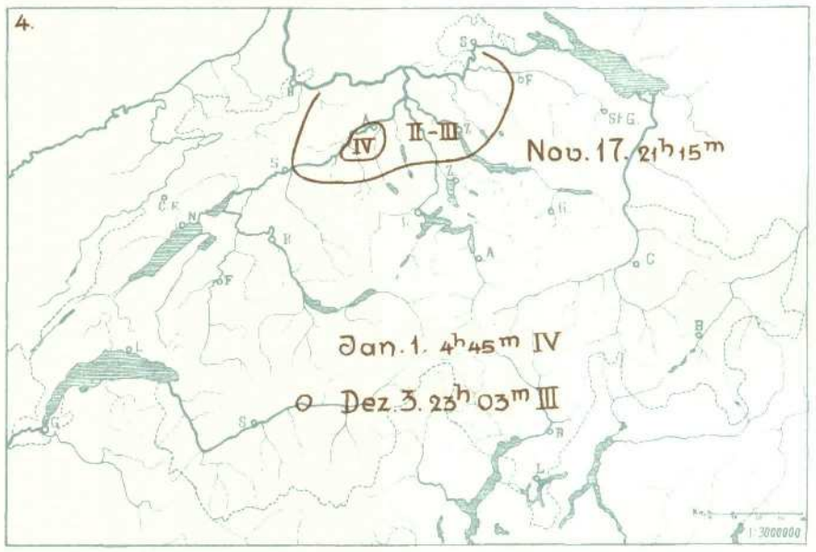

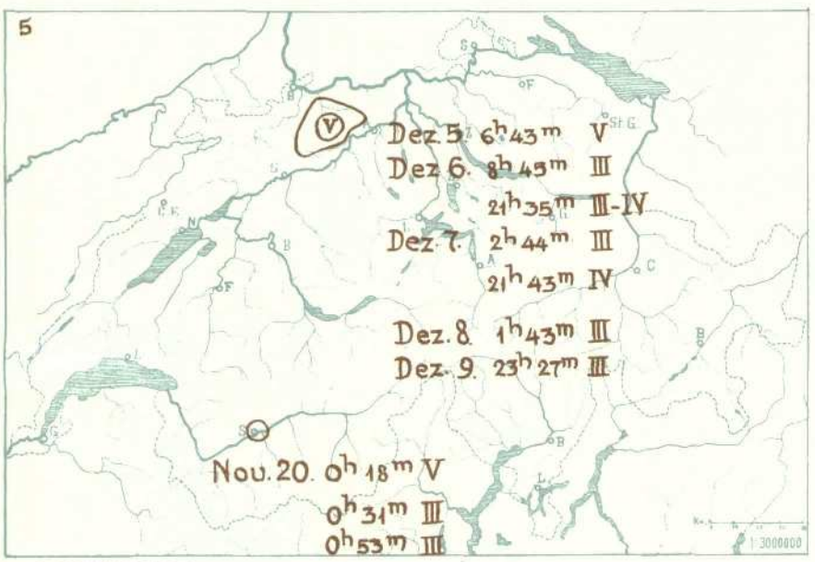

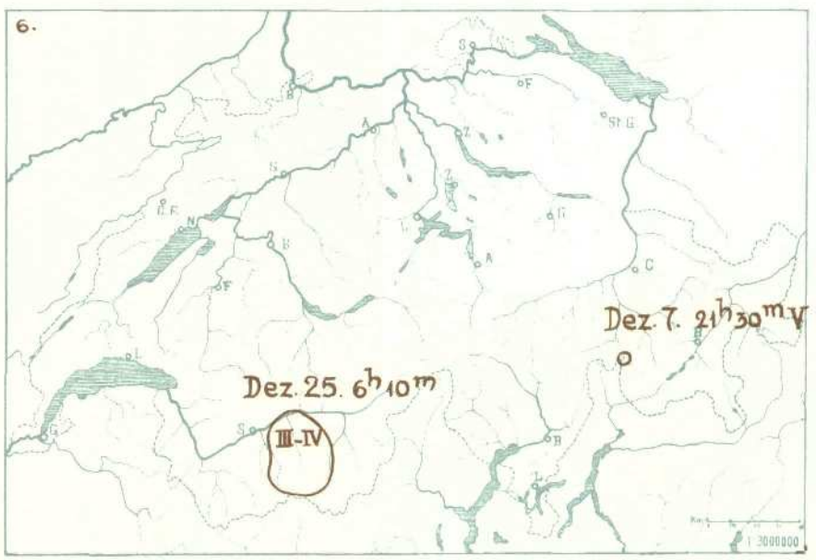

LITH. FREY & KRATZ, ZUR. CH. 2

Nr. 6

Beobachtungen 1939 des Observatoriums Locarno-Monti

von

W. Brückmann und F. Ambrosetti

Die Tätigkeit an unserem Osservatorio Ticinese hat unter den militärischen Ansprüchen der gegenwärtigen Zeit ebenfalls erheblich zu leiden gehabt, um so mehr, als die Zahl seines Personals an und für sich schon ein Minimum des Möglichen und Nützlichen darstellt. Beobachtungen, die geplant oder begonnen worden waren, mußten wieder aufgegeben und zurückgestellt werden, und auch Aufgaben instrumenteller Art erfuhren unerwünschte Verzögerungen. Unter diesen letzteren sind namentlich notwendige Arbeiten am absoluten Strahlungsapparat zu nennen, mit dem infolgedessen Messungen für längere Zeit unterbleiben mußten.

Wir geben im folgenden Tabellen der wesentlichsten beobachteten Elemente, in gleicher Weise wie in den vorangegangenen Jahren (vgl. Annalen 1935, 1937, 1938). Statt der Tabelle der absoluten Strahlungsmessungen, die wir aus dem eben genannten Grunde diesmal weggelassen haben *), ist neu hinzugekommen eine Zusammenstellung über Ionenzählungen, die mit dem Apparat von H. Israël für die mittleren und großen Ionen und dem Zusatzgerät von N. Weger für die kleinen Elektrizitätsträger vorgenommen worden sind. Diese Tabelle enthält nur eine Auswahl der bisher erhaltenen Resultate, um einen Eindruck von den hier vorkommenden Variationen der Ionenzahl zu vermitteln, eine Verarbeitung in Beziehung auf die wechselnden meteorologischen Situationen wird erst mit umfangreicherem Material nützlich sein. Neben den Bestimmungen der Gesamtzahl der Ionen wurden auch zahlreiche Messungen des «Ionenspektrums» vorgenommen, also Messungen, die die Zahl der Ionen in Funktion ihrer Beweglichkeit darstellen.

Wir bringen dann ferner noch 2 Tafeln mit graphischen Darstellungen, die von uns zum Zweck der Charakterisierung der hauptsächlichen *Bioklimate* der Schweiz aufgestellt worden sind. Als Grundtypen in dieser Beziehung bestehen in unserem Land: ein nordalpines, ein südalpines und ein eigentlich alpines Bioklima. Für das nordalpine Gebiet ist bioklimatisch bestimmend, daß es dem Einfluß der atlantischen Depressionen noch fast uneingeschränkt ausgesetzt ist und damit der häufigen Ueberflutung durch kalte Luftmassen aus nördlichen Richtungen, wobei dann zudem durch Stau dieser Massen an der südwärts vorgelagerten Alpenkette Wolken- und Niederschlagsbildung begünstigt wird. Infolgedessen trägt die Witterung hier noch den stark veränderlichen Charakter des übrigen Mitteleuropas mit relativ großer interdiurner Variabilität der Lufttemperatur.

Die südalpine Zone dagegen erfährt durch die im Norden von ihr gelegene Alpenkette einen weitgehenden Schutz vor den genannten Einflüssen und ist daher durch einen viel ruhigeren, viel weniger wechselvollen Ablauf der Witterung bei nahezu allen Wetterlagen und damit auch durch kleinere interdiurne Veränderlichkeit der Temperatur ausgezeichnet. Die geringe Bewölkung, die ihr infolge ihrer Lage im Schutz und in der Nähe der Alpen eigentümlich ist, und die entsprechend große Sonnenscheindauer läßt vor allem den Eindruck eines wohltuend *hellen* Klimas erwecken.

Das dritte der schweizerischen Bioklimate, das eigentlich alpine, ist zunächst durch die spezifischen Merkmale charakterisiert, die die Höhenlage bedingt, im übrigen ist dann für jede einzelne Berglandschaft die Richtung, nach der sie sich öffnet, maßgebend für eine größere oder geringere Zugehörigkeit zum nordalpinen oder zum südalpinen Bioklima.

Zur Charakterisierung dieser Verhältnisse geben wir in den genannten zwei Tafeln vergleichende Diagramme einiger der vom bioklimatischen Standpunkt aus wesentlichen Elemente für je eine Station der drei Bioklimate, nämlich für Zürich, Locarno-Monti und Davos. Die Vergleichungen betreffen (und sind in dieser Reihenfolge in den Tafeln zu finden): Sonnenscheindauer in Prozenten der möglichen, Bewölkungsmenge, relative und absolute Feuchtigkeit mit physikalischem und physiologischem Defizit, Regenmenge und Abkühlungsgröße, ferner die Zahl der heiteren, der trüben und der Niederschlagstage sowie schließlich — für Zürich und Monti — die interdiurne Temperaturschwankung. Von diesen Elementen sind dargestellt die *Differenzen* der Werte, zwischen Zürich und Monti einerseits, Davos und Monti anderseits, für jeden Monat zwischen Mai 1935 und Juli 1940. Am Schluß der zweiten Tafel findet sich noch, für Zürich und Monti, eine Darstellung der Anzahl von Tagen mit einer Sonnenscheindauer von 0, 1, 2, 4, 6, 8, 10, 12 Stunden, und zwar in Prozenten für jedes ganze Jahr. In den Zeichnungen sind die für Monti geltenden Flächen hell gelassen, die für Zürich, bzw. für Davos ausgefüllt, und ferner die Differenzen immer so genommen, daß die Station mit *den größeren* Werten *oberhalb* der Nullinie liegt. Das Diagramm für das physiologische Sättigungsdefizit ist nicht besonders gezeichnet worden, da es einfach das Spiegelbild desjenigen für die absolute Feuchtigkeit ist. Man erhält somit das Bild der Verteilung dieses Defizits, wenn man sich im Diagramm der absoluten Feuchtigkeit die hellen Flächen ausgefüllt denkt und umgekehrt.

Zu den Tafeln sind ausführliche Erläuterungen kaum nötig, ihr Inhalt ergibt sich leicht bei der Betrachtung. In den Differenz-Diagrammen zwischen Zürich und Monti, also zwischen nordalpinem und südalpinem Bioklima, tritt deutlich der oben erwähnte helle Charakter des südlichen gegenüber dem nördlichen hervor (größere Sonnenscheindauer, geringere Bewölkung usw.), ferner — ebenfalls zugunsten des südlichen — geringere interdiurne Temperaturschwankung und kleinere Abkühlungsgröße, kleinere relative Feuchtigkeit und geringeres physiologisches Sättigungsdefizit, daneben kleinere Häufigkeit von Niederschlägen bei im allgemeinen größeren Monatsmengen.

Die *alpine* Station hat im ganzen, wie man beim Vergleich der Diagramme Zürich—Monti und Davos—Monti erkennt, mittlere Verhältnisse in diesen Elementen zwischen nordalpinem und südalpinem Bioklima.

Qui sotto seguono le tabelle con le principali osservazioni eseguite nel 1939 dalla Stazione Metcorologica e Bioclimatica a Locarno-Monti, analogamente agli anni precedenti (vedi Annali del 1935, 1937 e 1938, dove si trovano pure tutte le spiegazioni necessarie).

Per la prima volta pubblichiamo una parte dei risultati delle misurazioni sull'elettricità atmosferica allo scopo di dare un'idea come varia il numero degli ioni durante uno stesso giorno e da un giorno all'altro secondo le diverse condizioni atmosferiche. Le ricerche sono state effettuate con un apparecchio Israël per gli ioni medii e grandi, per i piccoli con un'apposita aggiunta di Weger. Abbiamo pure eseguito parecchie misurazioni sullo «spettro degli ioni», cioè sulla loro distribuzione in funzione della mobilità. Le misurazioni saranno continuate per raccogliere ulteriore materiale che servirà a studiare le relazioni tra la variazione del numero degli ioni e le diverse situazioni meteorologiche.

Diamo inoltre alcuni grafici per caratterizzare i principali bioclimi della Svizzera: il nordalpino, il sudalpino e l'alpino propriamente detto. Il primo è determinato principalmente dal fatto che le depressioni atlantiche raggiungono il nord delle Alpi senza impedimenti essenziali, cagionando frequenti afflussi di aria artica fredda. L'urto di quest'ultima con la catena alpina favorisce inoltre la formazione di nubi con susseguenti precipitazioni. Il tempo si svolge in forma irregolare con variazioni interdiurne della temperatura relativamente grandi.

Il bioclima sudalpino invece — grazie alla protezione della catena alpina contro gli afflussi sopracitati — presenta, in tutte le situazioni meteorologiche, uno svolgimento più calmo del tempo ed una variazione interdiurna della temperatura essenzialmente inferiore a quella del nord delle Alpi. Il sud ha quindi nebulosità minore e durata superiore del sole; ciò che dà soprattutto l'impressione di un clima particolarmente sereno. Il terzo bioclima, quello alpino, è caratterizzato — oltre che dalle singolarità provenienti dall'altitudine sopra il livello del mare — dall'appartenenza più o meno grande delle singole regioni al bioclima nordalpino o sudalpino, secondo la posizione e la direzione dello sbocco delle vallate.

I diagrammi delle due tavole servono a paragonare alcuni dei più importanti elementi dei tre bioclimi. Per ciascuno di questi ultimi è stata presa una stazione e precisamente: Zurigo, Locarno-Monti e Davos. Sono stati confrontati la durata del sole in % del possibile, la nebulosità, l'umidità relativa ed assoluta, il deficit fisico e fisiologico, la quantità d'acqua caduta ed il potere raffreddante. In più il numero dei giorni rispettivamente: chiari, oscuri, con precipitazioni. Infine — solo per Zurigo e Monti — la variazione interdiurna della temperatura. Le figure rappresentano le *differenze* dei valori degli elementi per ogni mese dal maggio 1935 al luglio del 1940, tra Zurigo e Monti, rispettivamente tra Davos e Monti. Alla fine della seconda tavola si trova — solo per Monti e Zurigo — una rappresentazione in % del numero dei giorni durante l'anno con una durata del sole di 0, 1, 2, 4, 6, 8, 10, 12 ore. Nel disegno le superfici riferentesi à Zurigo e Davos sono in nero, quelle per Monti sono state lasciate in bianco. I valori maggiori si trovano sempre al di sopra della linea di terra. Il diagramma del deficit fisiologico non è stato disegnato essendo semplicemente simmetrico, per rapporto alla linea di terra, a quello dell'umidità assoluta.

Per comprendere le tavole basta osservarle, abbiamo perciò tralasciato lunghe spiegazioni. Nei diagrammi tra Zurigo e Monti, quindi tra il bioclima nordalpino e quello sudalpino, risalta in modo evidente il carattere più sereno del sud rispetto al nord (maggiore durata del sole, minore nebulosità, ecc.); in più — pure a vantaggio del sud — minori variazione interdiurna della temperatura e potere raffreddante, minori umidità relativa e deficit fisiologico, precipitazioni meno frequenti però con somme mensili generalmente superiori.

La stazione *alpina* presenta in complesso, come si vede confrontando i diagrammi Zurigo—Monti e Davos—Monti, per i diversi elementi considerati condizioni intermedie tra il bioclima nordalpino ed il sudalpino.

---

* Auch die Tabelle der UV-Messungen wurde, bis zur Nachkontrolle der Eichwerte, zurückgestellt.

Insolazione / Sonnenscheindauer

Durata registrata in % della durata possibile: / Registrierte Dauer in % der möglichen:

		I	II	III	IV	V	VI	VII	VIII	IX	X	XI	XII	Anno
1939	Locarno	50%	60%	64%	48%	33%	56%	66%	55%	54%	35%	60%	40%	52%
	Zürich	24	34	24	38	16	47	54	50	34	11	18	14	30

Numero dei giorni con durata del sole di ore: / Zahl der Tage mit Sonnenscheindauer von:

	I	II	III	IV	V	VI	VII	VIII	IX	X	XI	XII	Somma	Locarno	Zürich
0^h	10	5	1	7	4	3	1	2	2	10	6	12	63	17%	25%
$\geq 1^h$	18	22	29	20	21	25	27	25	26	17	23	17	270	74%	61%
$\geq 2^h$	18	21	28	18	18	23	27	23	25	15	23	15	254	70%	52%
$\geq 4^h$	16	18	23	16	13	21	26	20	20	12	19	10	214	59%	36%
$\geq 6^h$	11	15	20	15	10	18	24	20	17	9	13	7	179	49%	27%
$\geq 8^h$	—	12	14	15	5	16	19	17	14	7	2	—	121	33%	18%
$\geq 10^h$	—	—	7	10	3	13	14	11	5	—	—	—	63	17%	12%
$\geq 12^h$	—	—	—	4	2	7	11	6	—	—	—	—	30	8%	7%

Radiazione totale / Totalstrahlung (Aktinograph Robitzsch)

1939 (Somme giornaliere / Tagessummen in gcal · cm^{-2} · min^{-1}) **Locarno-Monti**

	I	II	III	IV	V	VI	VII	VIII	IX	X	XI	XII
1	198	85	436	240	517	503	404	578	358	380	214	244
2	18	291	434	261	89	331	756	562	329	430	57	(0)
3	166	325	420	38	463	432	717	143	450	150	61	164
4	210	350	448	16	560	717	691	119	67	143	(0)	107
5	69	244	170	(0)	513	620	525	55	234	40	50	(0)
6	208	337	105	(0)	115	515	578	572	535	194	342	40
7	230	341	267	305	164	408	648	380	537	236	341	117
8	216	339	459	386	279	711	661	202	525	448	321	226
9	236	329	394	440	354	663	519	620	515	253	83	79
10	214	198	434	550	438	477	626	634	495	446	20	18
11	(0)	342	414	501	517	226	693	586	497	406	30	(0)
12	(0)	354	436	540	109	91	517	588	77	38	184	(0)
13	232	146	(479)	495	186	313	604	366	325	77	246	(0)
14	178	368	374	259	392	738	275	497	438	38	299	40
15	54	335	174	146	503	590	75	616	287	24	279	(0)
16	(0)	354	424	586	107	277	115	616	323	54	244	(0)
17	(0)	273	230	604	103	552	655	499	533	26	269	(0)
18	(0)	305	346	602	52	679	592	564	283	40	277	67
19	(0)	350	465	548	362	648	636	537	465	26	202	(0)
20	77	214	511	612	293	97	394	248	386	382	265	146
21	(0)	226	384	610	311	644	493	81	303	412	242	89
22	281	267	521	588	279	701	93	305	509	99	224	160
23	119	85	287	622	(453)	594	501	107	501	250	182	160
24	285	(0)	309	562	703	101	107	184	501	388	184	214
25	192	(0)	313	75	467	224	693	252	527	139	206	222
26	(0)	(0)	396	34	568	317	707	477	224	414	188	263
27	234	406	390	38	687	738	723	544	450	(0)	117	253
28	271	101	487	531	703	735	677	546	87	259	259	89
29	95		550	317	527	691	681	487	252	216	257	(0)
30	289		442	196	479	661	580	473	491	303	186	(204)
31	300		279		305		432	521		174		198
Somma	4381	6965	11778	10702	11598	14994	16368	12959	11504	6485	5829	3100
Media	141.3	248.8	379.9	356.7	374.1	499.8	528.0	418.0	383.5	209.2	194.3	100.0

Somma annuale 116663 — Media 319.5

Frigorimetro / Frigorimeter

1939 (in mgcal · cm^{-2} · sec^{-1}) **Locarno-Monti**

Giorno	Gennaio		Febbraio		Marzo		Aprile		Maggio		Giugno		Luglio		Agosto		Settembre		Ottobre		Novembre		Dicembre	
	n	d	n	d	n	d	n	d	n	d	n	d	n	d	n	d	n	d	n	d	n	d	n	d
1	15.9	14.4	15.4	18.6	14.2	16.0	8.2	10.7	11.1	9.3	10.8	8.8	14.1	10.2	7.9	3.0	(8.4)	6.2	11.3	13.1	13.5	14.0	14.0	9.6
2	14.1	15.4	15.0	13.6	15.2	13.0	10.7	12.3	18.4	18.3	8.5	7.6	12.4	6.3	7.7	4.0	8.1	5.4	12.4	10.4	13.2	13.3	15.3	17.2
3	14.1	13.4	15.4	12.8	14.0	11.8	16.8	12.9	13.0	10.4	8.5	5.4	11.5	5.0	9.5	10.8	7.9	4.7	11.4	10.9	12.8	14.6	14.8	15.7
4	17.8	13.2	16.1	11.1	14.0	11.9	11.2	15.6	11.0	10.4	7.8	2.3	9.8	3.7	13.4	15.4	9.3	16.7	11.6	12.8	17.9	20.6	16.6	16.0
5	14.7	15.7	15.1	10.3	13.8	13.9	17.9	16.4	10.8	6.5	7.5	2.6	8.0	4.2	12.5	18.2	19.8	10.1	19.1	15.2	18.4	16.5	16.8	19.5
6	17.7	18.0	14.5	9.4	12.8	12.9	20.6	20.4	11.2	14.4	10.2	5.9	8.1	3.9	13.1	8.4	10.8	7.2	11.7	13.1	16.0	11.9	16.1	15.1
7	20.2	15.1	13.4	8.8	13.6	11.6	16.1	9.1	18.6	15.7	12.1	7.0	8.1	3.4	10.7	8.5	9.1	6.8	15.0	13.7	15.2	11.5	17.2	18.6
8	15.7	13.4	13.4	8.1	17.9	18.8	10.0	7.8	12.8	15.2	8.3	4.1	7.4	2.8	11.8	9.7	7.6	7.1	16.0	10.5	14.8	9.0	20.2	14.5
9	16.1	10.9	13.2	8.9	16.1	18.3	10.4	5.3	12.6	13.4	7.0	3.0	6.0	3.6	10.6	4.4	8.7	5.4	14.3	12.3	12.6	10.8	16.3	15.5
10	15.1	12.5	13.2	10.2	17.4	17.0	9.7	6.5	17.9	8.1	10.2	5.2	7.0	2.7	9.2	4.5	8.4	6.2	13.0	10.0	11.9	11.4	16.1	15.8
11	16.0	15.6	11.7	6.9	16.1	17.6	9.0	7.3	10.1	9.4	10.7	11.6	9.1	3.7	8.3	4.0	8.1	6.0	12.2	12.4	10.8	10.7	17.9	17.8
12	15.3	18.9	12.0	8.0	17.0	17.4	9.3	6.3	14.3	17.7	13.8	15.8	11.3	6.0	7.9	3.6	8.5	15.4	18.9	12.9	11.5	13.4	15.2	17.1
13	16.2	10.7	12.8	16.1	18.2	19.3	8.7	7.3	17.4	15.7	11.6	16.0	8.6	4.7	9.5	5.9	10.4	10.1	11.8	11.6	12.0	11.8	20.1	18.6
14	15.2	13.2	16.8	17.4	17.9	16.4	8.8	13.4	11.1	10.6	13.1	7.5	16.6	10.9	7.9	4.4	11.9	8.5	11.6	11.7	13.5	10.8	15.9	15.6
15	14.6	12.9	15.7	16.1	19.8	19.8	13.0	10.7	11.7	8.0	11.6	9.0	13.0	16.0	7.8	4.1	11.8	10.1	14.9	17.4	13.6	13.4	16.1	15.4
16	14.0	14.2	16.0	14.6	19.6	20.3	10.6	5.6	18.5	13.9	11.7	7.6	10.2	14.8	7.9	5.1	10.9	9.9	20.2	15.9	14.1	10.8	16.6	19.8
17	16.9	13.3	14.3	15.2	17.9	17.4	9.8	6.5	18.3	17.5	9.3	4.7	9.8	4.4	9.7	6.3	11.2	8.2	16.6	14.5	16.2	15.9	15.4	15.5
18	15.2	18.5	12.8	14.6	15.3	18.3	15.5	13.6	17.4	17.9	11.1	6.5	8.2	4.8	9.3	4.0	10.3	10.7	12.1	13.8	14.5	12.2	14.5	13.7
19	20.7	17.9	14.9	13.0	19.8	18.1	15.2	12.2	17.1	11.1	9.0	4.5	8.1	(3.5)	8.6	7.7	11.0	9.0	20.4	18.8	13.2	16.9	15.7	15.7
20	13.4	12.1	15.5	14.7	17.1	15.2	12.4	10.9	12.0	11.1	16.5	12.0	6.8	6.4	10.6	9.5	10.9	8.6	13.2	11.4	18.4	17.8	19.0	14.9
21	13.5	13.5	15.0	15.8	18.0	18.4	12.4	9.9	11.8	10.3	8.8	4.4	7.9	3.9	8.5	9.7	12.0	9.9	14.6	12.4	18.0	19.4	16.2	19.0
22	11.5	10.8	17.9	17.7	17.5	16.3	11.5	9.0	12.9	8.8	8.5	3.9	10.5	14.6	8.8	8.3	11.6	8.1	17.6	15.5	17.0	17.4	20.8	16.9
23	15.1	14.7	18.0	18.9	14.9	15.0	11.3	(12.6)	12.1	7.0	7.6	3.9	11.9	6.6	11.9	13.0	11.4	8.7	14.3	14.3	16.0	17.8	17.0	15.3
24	14.3	14.0	19.0	20.8	16.3	16.7	16.2	12.1	10.1	4.2	11.0	12.3	9.7	14.5	9.1	10.1	10.9	6.3	17.5	11.6	17.5	17.0	16.3	15.9
25	16.3	13.9	19.8	12.6	14.2	16.9	14.7	14.7	10.6	8.5	13.3	15.8	5.6	15.5	11.6	(6.9)	11.7	6.6	13.8	13.3	15.4	14.8	17.7	16.7
26	14.7	17.0	16.1	10.5	15.6	13.4	17.7	20.0	11.0	7.8	18.1	9.5	12.8	4.9	8.8	7.2	10.8	16.0	16.1	14.1	18.4	14.9	16.9	13.8
27	18.8	12.8	13.8	12.7	15.5	15.6	16.9	20.0	9.6	5.0	8.9	4.2	9.2	6.2	9.1	5.4	10.6	14.0	20.6	17.8	15.8	13.5	17.7	16.4
28	17.4	13.4	15.2	13.6	18.0	13.6	16.1	11.1	8.4	7.4	9.3	4.4	10.8	4.6	8.7	5.3	19.6	15.4	17.2	17.4	14.1	12.9	20.4	19.4
29	13.7	12.6			15.0	12.5	17.9	11.1	14.2	9.0	8.0	2.4	9.0	4.3	10.3	6.8	14.6	15.5	15.3	15.7	15.7	12.5	20.4	21.4
30	13.8	12.4			13.5	12.7	16.8	13.1	11.4	10.7	8.1	3.0	7.8	4.1	7.3	6.9	13.6	11.0	15.9	14.2	15.4	12.5	19.7	19.5
31	14.8	11.7			12.2	11.6			13.6	12.2			7.3	4.5	8.7	4.3			15.0	13.7			19.0	17.5
Somma	482.8	436.1	422.0	371.0	498.4	487.7	395.4	344.4	411.0	345.5	310.9	210.9	296.6	204.7	296.7	225.4	329.9	283.8	465.6	422.4	447.4	420.0	531.9	513.4
Media	15.6	14.1	15.1	13.2	16.1	15.7	13.2	11.5	13.3	11.1	10.4	7.0	9.6	6.6	9.6	7.3	11.0	9.5	15.0	13.6	14.9	14.0	17.2	16.6
	14.8		14.2		15.9		12.4		12.2		8.7		8.1		8.4		10.2		14.3		14.4		16.9	

Medie annue / Jahresmittel: 13.4 e 11.6

Umidità dell'aria / Luftfeuchtigkeit

1939 (medie giornaliere / Tagesmittel) Locarno-Monti

Giorno	Gennaio				Febbraio				Marzo				Aprile				Maggio				Giugno			
	Umidità		Deficit di satur.ne		Umidità		Deficit di satur.ne		Umidità		Deficit di satur.ne		Umidità		Deficit di satur.ne		Umidità		Deficit di satur.ne		Umidità		Deficit di satur.ne	
	relativa	assoluta	fisico	fisiol.co	relativa	assoluta	fisico	fisiol.co	relativa	assoluta	fisico	fisiol.co	relativa	assoluta	fisico	fisiol.co	relativa	assoluta	fisico	fisiol.co	relativa	assoluta	fisico	fisiol.co
1	70	3.7	1.6	35.8	75	3.8	1.4	35.7	50	3.6	3.7	35.9	54	5.3	4.4	34.2	62	6.2	3.8	33.3	66	8.5	4.4	31.0
2	88	4.3	0.6	35.2	72	3.8	1.4	35.7	45	3.1	3.7	36.4	76	7.0	2.2	32.5	91	7.0	0.8	32.5	72	10.6	4.1	28.9
3	66	3.5	1.8	36.0	56	2.9	2.2	36.6	54	3.8	3.2	35.7	94	7.1	0.5	32.4	71	6.6	2.8	32.9	66	10.6	5.5	28.9
4	50	2.4	2.4	37.1	46	2.7	3.2	36.8	60	4.2	2.9	35.3	94	7.5	0.5	32.0	64	7.0	3.9	32.5	61	10.5	6.7	29.9
5	62	2.8	1.7	36.7	44	2.8	3.6	36.7	76	5.2	1.6	34.3	97	7.7	0.3	31.8	55	6.7	5.5	32.8	56	10.7	8.4	28.8
6	28	1.7	4.5	37.8	41	3.2	4.6	36.3	78	5.3	1.5	34.2	96	7.6	0.4	31.9	88	8.4	1.2	31.1	60	10.6	7.0	28.9
7	39	2.0	3.2	37.5	42	3.3	4.6	36.2	69	5.7	2.6	33.8	77	7.7	2.2	31.8	83	6.8	1.4	32.7	63	10.2	6.1	29.3
8	59	2.8	1.8	36.7	43	3.7	4.9	35.8	39	2.8	4.5	36.7	58	6.9	5.0	32.6	74	6.3	2.3	33.2	63	11.1	6.5	28.4
9	65	3.4	1.8	36.1	40	3.7	5.6	35.8	47	3.2	3.8	36.3	49	6.4	6.6	33.1	74	7.4	2.7	32.1	60	12.0	8.0	27.5
10	66	3.6	1.9	35.9	37	4.2	7.1	35.3	32	2.4	5.0	37.1	53	7.2	6.3	32.3	72	7.4	2.9	32.1	64	11.3	6.4	28.2
11	96	4.8	0.2	34.7	39	4.2	6.6	35.3	35	2.4	4.4	37.1	56	7.8	6.1	31.7	63	7.4	4.3	32.1	81	11.2	2.6	28.3
12	98	4.7	0.1	34.8	39	4.1	6.5	35.4	34	2.1	4.1	37.4	60	8.3	5.5	31.2	88	7.6	1.0	31.9	88	10.4	1.4	29.1
13	72	4.0	1.6	35.5	31	2.9	6.4	36.6	32	1.9	3.9	37.6	62	8.7	5.3	30.8	90	6.9	0.8	32.6	62	6.5	4.0	33.0
14	62	3.3	2.1	36.2	29	2.2	5.4	37.3	39	2.4	3.6	37.1	78	9.0	2.6	30.5	75	6.8	2.2	32.7	34	5.0	9.6	34.5
15	65	4.0	1.9	35.5	55	3.2	2.7	36.3	73	4.0	1.5	35.5	79	7.6	2.0	31.9	60	6.5	4.3	33.0	55	7.6	6.2	31.9
16	98	5.6	0.2	33.9	58	3.3	2.5	36.2	40	2.2	3.3	37.3	52	6.1	5.6	33.4	88	7.7	1.0	21.8	67	9.0	4.4	30.5
17	98	5.9	0.1	33.6	57	3.6	2.8	35.9	45	2.4	2.7	37.1	50	6.6	6.5	32.9	96	7.6	0.4	31.9	54	8.7	7.5	30.8
18	99	6.0	0.1	33.5	64	4.2	2.4	35.3	69	3.6	1.6	35.9	31	3.4	7.5	36.1	98	8.0	0.1	31.5	42	7.5	10.5	32.0
19	93	5.8	0.4	33.7	48	3.8	4.1	35.7	62	3.6	2.2	35.9	31	3.5	7.8	36.0	80	8.1	2.0	31.4	50	9.4	9.3	30.1
20	80	5.5	1.4	34.0	36	3.2	5.8	36.3	36	2.4	4.2	37.1	50	5.2	5.3	34.3	68	7.1	3.4	32.4	82	10.1	2.3	29.4
21	94	6.1	0.4	33.4	54	4.0	3.4	35.5	38	2.4	4.0	37.1	58	6.4	4.7	33.1	38	5.4	8.7	34.1	67	10.6	5.2	28.9
22	80	5.8	1.4	33.7	56	3.7	2.9	35.8	33	2.6	5.3	36.9	50	6.2	6.2	33.3	49	6.8	7.2	32.7	63	10.9	6.4	28.6
23	79	5.2	1.3	34.3	76	4.3	1.4	35.2	43	3.1	4.1	36.4	30	3.6	8.4	35.9	60	7.9	5.2	31.6	66	12.4	6.4	27.1
24	32	2.7	5.7	36.8	94	4.6	0.3	34.9	47	3.4	3.8	36.1	57	6.2	4.8	33.3	55	8.2	6.6	31.3	93	12.6	0.9	26.9
25	47	3.0	3.3	36.5	88	5.2	0.8	34.3	71	4.6	1.8	34.9	78	7.0	1.9	32.5	45	6.2	7.6	33.3	91	10.6	1.0	28.9
26	96	4.6	0.2	34.9	94	6.0	0.4	33.5	64	4.3	2.4	35.2	89	7.2	0.8	32.3	51	6.8	6.6	32.7	84	10.6	2.0	28.9
27	50	2.6	2.6	36.9	67	5.1	2.5	34.4	69	5.0	2.3	34.5	96	7.8	0.3	31.7	57	8.6	6.5	30.9	48	8.0	8.8	31.5
28	46	2.4	2.8	37.1	65	4.4	2.3	35.1	58	4.4	3.2	35.1	76	6.9	2.2	32.6	40	6.4	9.6	33.1	55	9.0	7.3	30.5
29	50	2.9	2.8	36.6					36	2.9	5.1	36.6	69	6.3	2.8	33.2	48	6.6	7.1	32.9	64	11.8	6.6	27.7
30	61	3.6	2.3	35.9					43	3.6	4.6	35.9	77	6.4	2.0	33.1	49	6.6	7.0	32.9	64	12.8	7.2	26.7
31	65	3.8	2.0	35.7					49	4.8	5.0	34.7					78	8.9	2.5	30.6				
Media	69.5	4.0	1.8	35.5	55.3	3.8	3.5	35.7	50.5	3.5	3.4	36.0	65.9	6.7	3.9	32.8	68.1	7.2	3.9	32.3	64.7	10.0	5.8	29.5

	Luglio				Agosto				Settembre				Ottobre				Novembre				Dicembre			
1	77	11.2	3.3	28.3	64	12.7	7.1	26.8	74	13.4	4.8	26.1	69	7.5	3.4	32.0	75	5.9	2.0	33.6	53	5.2	4.5	34.3
2	39	6.2	9.7	33.3	64	13.0	7.3	26.5	71	13.0	5.3	26.5	74	8.3	3.0	31.2	82	6.5	1.4	33.0	94	5.8	0.4	33.7
3	51	7.8	7.4	31.7	87	13.6	2.0	25.9	72	13.0	5.1	26.5	79	8.8	2.3	30.7	93	7.4	0.6	32.1	68	4.8	2.2	34.7
4	63	10.6	6.3	28.9	89	13.2	1.6	26.3	93	14.0	1.1	25.5	88	9.8	1.4	29.7	96	7.2	0.4	32.3	60	3.7	2.4	35.8
5	61	10.9	6.9	28.6	86	12.3	2.0	27.2	75	9.8	3.3	29.7	93	10.0	0.8	29.5	71	5.6	2.2	33.9	94	5.4	0.4	34.1
6	60	11.4	7.6	28.1	64	8.6	4.8	30.9	69	10.9	4.8	28.6	79	8.1	2.1	31.4	51	4.0	4.0	35.5	46	3.3	3.9	36.2
7	57	10.8	8.2	28.7	69	10.0	4.4	29.5	73	12.2	4.5	27.3	59	6.0	4.1	33.5	63	5.1	3.0	34.4	29	2.2	5.4	37.3
8	64	13.5	7.5	26.0	85	11.2	2.0	28.3	70	12.2	5.3	27.3	62	6.1	3.8	33.4	70	6.1	2.7	33.4	39	2.4	4.0	37.1
9	71	15.0	6.1	24.5	54	9.1	7.7	30.4	66	11.9	6.2	27.6	65	5.8	3.2	33.7	71	7.0	2.8	32.5	53	2.8	2.6	36.7
10	60	12.2	8.1	27.3	67	11.6	5.7	27.9	76	13.2	4.2	26.3	73	7.7	2.8	31.8	94	8.7	0.5	30.8	64	3.8	2.1	35.7
11	47	8.6	9.7	30.9	72	13.6	5.2	25.9	72	13.0	5.1	26.5	75	8.3	2.8	31.2	95	9.1	0.5	30.4	93	4.8	0.4	34.7
12	65	10.6	5.7	28.9	71	13.7	5.6	25.8	86	12.7	2.1	26.8	89	8.3	1.1	31.2	93	9.2	0.7	30.3	91	5.2	0.4	34.3
13	62	11.1	6.9	28.4	78	14.3	4.1	25.2	71	9.7	3.9	29.8	88	8.5	1.2	31.0	77	7.3	2.1	32.2	94	4.8	0.3	34.7
14	83	13.0	2.7	26.5	75	14.2	4.8	25.3	62	8.2	4.9	31.3	96	9.7	0.4	29.8	65	5.6	3.0	33.9	88	4.7	0.7	34.8
15	93	13.2	1.1	26.3	48	9.3	10.1	30.2	70	8.7	3.8	30.8	95	10.6	0.5	28.9	75	6.1	2.0	33.4	92	4.7	0.4	34.8
16	91	12.6	1.2	26.9	51	8.6	8.4	30.9	73	8.8	3.3	30.7	94	11.9	0.7	27.6	48	4.6	5.0	34.9	93	4.6	0.4	34.9
17	70	11.5	5.0	28.0	60	10.5	7.0	29.0	70	8.8	3.8	30.7	93	12.4	1.0	27.1	60	6.5	4.3	33.1	93	4.8	0.4	34.7
18	64	11.0	6.2	28.5	68	12.4	5.8	27.1	72	8.9	3.5	30.6	87	11.8	1.8	27.7	39	5.4	8.6	34.1	79	4.8	1.3	34.7
19	62	11.7	7.1	27.8	78	13.2	3.8	26.3	73	9.0	3.2	30.5	94	11.7	0.7	27.8	55	4.8	4.0	34.7	89	5.5	0.7	34.0
20	70	12.9	5.5	26.6	80	12.2	3.1	27.3	74	9.4	3.2	30.1	54	6.8	5.8	32.7	35	3.5	6.4	36.0	86	5.5	0.9	34.0
21	69	13.6	6.2	25.9	88	12.7	1.7	26.8	81	9.6	2.2	29.9	34	3.8	7.3	35.7	29	2.4	6.1	37.1	60	3.7	2.5	35.8
22	90	12.5	1.4	27.0	71	11.1	4.5	28.4	73	8.8	3.2	30.7	72	5.9	2.3	33.6	52	3.2	3.0	36.3	62	3.3	1.9	36.2
23	48	7.7	8.4	31.8	89	12.4	1.5	27.1	74	9.4	3.2	30.1	36	3.7	6.5	35.8	63	3.8	2.3	35.7	83	4.0	0.7	35.5
24	81	10.1	2.4	29.4	78	11.8	3.4	27.7	55	7.2	5.9	32.3	46	4.3	5.0	35.2	65	3.6	1.8	35.9	72	3.4	1.3	36.1
25	44	6.0	7.6	33.5	89	12.8	1.6	26.7	51	6.6	6.5	32.9	74	5.8	2.0	33.7	63	3.6	2.2	35.9	69	3.2	1.4	36.3
26	59	8.8	6.1	30.7	79	13.0	3.4	26.5	77	8.8	2.7	30.7	36	2.8	4.8	36.7	76	4.2	1.4	35.3	57	3.0	2.3	36.5
27	41	7.2	10.5	32.3	73	12.4	4.7	27.1	75	9.1	3.1	30.4	88	4.8	0.6	34.7	61	4.2	2.6	35.3	43	3.2	4.2	36.3
28	52	8.4	7.7	31.1	70	12.2	5.2	27.3	81	7.7	1.8	31.8	42	2.8	3.8	36.7	57	4.6	3.5	34.9	55	2.6	2.1	36.9
29	64	11.1	6.3	28.4	75	12.8	4.2	26.7	68	6.2	2.9	33.3	65	4.2	2.2	35.3	48	3.5	3.8	36.0	67	2.2	1.2	37.3
30	63	12.0	7.0	27.5	72	12.6	4.9	26.9	76	6.9	2.2	32.6	56	3.6	2.9	35.9	63	4.8	2.8	34.7	67	2.4	1.1	37.1
31	65	13.1	7.0	26.4	73	13.0	4.8	26.5					58	4.3	3.1	35.2					56	2.0	1.5	37.5
Media	64.1	10.8	6.2	28.6	73.1	12.1	4.6	27.4	72.4	10.0	3.8	29.5	71.4	7.2	2.7	32.3	66.2	5.4	2.9	34.0	70.6	3.9	1.7	35.6

Umidità relativa / Relative Feuchtigkeit

Locarno-Monti

1939 **Numero dei giorni con umidità minima del: / Zahl der Tage mit Minimum von:**

	20–29%	30–39%	40–49%	50–59%	60–69%	70–79%	80–89%	90–100%
I	1	2	2	4	8	3	3	8
II	1	5	7	6	3	3	1	2
III	—	10	8	3	6	4	—	—
IV	—	3	1	10	3	7	1	5
V	—	1	5	4	6	6	5	4
VI	—	1	2	5	15	1	4	2
VII	—	1	4	4	13	4	2	3
VIII	—	—	1	2	7	13	8	—
IX	—	—	—	2	4	20	3	1
X	—	3	2	4	4	7	5	6
XI	1	2	2	4	8	7	1	5
XII	1	1	2	5	8	2	4	8
Anno	4	29	36	53	85	77	37	44

Temperatura dell'aria / Lufttemperatur

1939 (medie giornaliere / Tagesmittel) **Locarno-Monti**

Giorno	I	II	III	IV	V	VI	VII	VIII	IX	X	XI	XII
1	2.1	1.7	6.6	10.9	11.3	15.2	17.1	22.1	20.7	12.6	7.7	10.9
2	1.0	1.8	5.7	10.0	7.5	17.3	18.5	22.5	20.8	13.1	7.8	4.2
3	2.1	1.6	5.9	7.2	10.3	18.7	17.8	18.2	20.6	12.9	7.9	6.0
4	0.7	3.5	6.2	7.9	12.6	19.8	19.5	17.4	17.7	13.0	7.1	4.1
5	−0.2	4.8	5.7	7.9	14.3	21.5	20.4	16.8	15.5	12.4	7.6	3.2
6	4.2	7.6	5.7	7.9	10.6	20.2	21.4	15.8	18.3	11.6	7.9	6.4
7	1.7	7.7	8.5	11.2	8.4	18.9	21.4	17.0	19.3	11.5	8.2	7.3
8	0.2	9.0	6.6	14.0	9.0	20.2	23.1	15.6	20.1	11.1	9.3	4.6
9	1.7	10.2	5.9	15.3	11.4	22.3	23.2	19.4	20.6	9.7	11.0	2.2
10	2.6	13.2	6.8	15.9	11.8	20.3	22.5	19.9	20.0	12.0	10.1	3.6
11	1.1	12.5	5.5	16.4	13.7	16.3	20.8	21.3	20.6	12.9	10.6	1.7
12	0.6	12.1	4.3	16.3	9.1	13.8	18.9	21.7	17.4	10.3	11.1	2.9
13	2.8	10.2	3.3	16.5	7.4	12.0	20.5	20.9	16.1	10.8	10.4	1.4
14	2.2	7.1	3.8	13.5	9.7	17.2	18.3	21.4	15.5	11.4	9.1	2.2
15	3.5	3.6	2.5	10.7	12.4	16.3	16.8	21.8	14.7	12.9	8.2	1.6
16	3.2	3.2	2.5	13.7	9.2	15.8	16.3	19.6	14.2	14.9	10.6	1.1
17	3.9	4.6	1.6	15.5	7.9	18.8	19.1	20.1	14.9	15.8	12.4	1.9
18	4.1	5.2	1.8	12.6	8.2	20.5	19.8	20.7	14.6	16.1	16.5	4.1
19	4.3	7.7	3.2	13.1	11.4	21.2	21.3	19.6	14.4	14.6	9.4	4.2
20	5.8	9.7	5.1	12.0	12.0	14.6	20.9	17.9	14.9	14.9	11.2	4.8
21	5.0	6.9	4.7	12.9	16.6	18.4	22.1	17.0	13.8	12.9	8.8	4.2
22	6.4	5.2	7.8	14.6	16.5	19.9	16.4	18.2	14.1	8.3	4.2	1.9
23	5.0	3.0	6.5	14.1	15.5	21.3	18.7	16.4	14.9	11.6	4.0	0.4
24	8.7	0.9	6.5	12.7	17.4	15.9	14.7	17.8	15.4	10.2	2.4	0.4
25	4.4	3.7	4.8	9.6	16.3	13.6	16.0	17.0	15.4	7.6	3.3	0.1
26	0.7	4.7	5.4	8.0	15.8	14.9	17.5	19.0	13.4	7.3	2.7	2.1
27	1.9	7.2	6.7	8.1	17.7	19.4	20.3	19.7	14.3	2.3	5.7	6.9
28	1.9	5.3	7.1	9.9	18.6	18.9	18.7	20.0	10.5	5.2	8.1	0.3
29	3.1		8.0	9.9	16.2	20.9	20.0	19.6	9.9	4.6	6.7	−4.2
30	3.5		8.4	8.6	16.0	22.3	21.4	20.1	9.8	4.9	7.1	−3.6
31	3.2		11.0		13.3		22.4	20.4		6.8		−3.7
Media	2.8	6.2	5.5	11.9	12.4	18.2	19.4	19.1	16.0	10.7	8.1	2.6
Anno						11.1						

1939

Numero degli ioni / Jonenzahl

Locarno-Monti

Giorno Tag	Ora Stunde	piccoli kleine −		medii e grandi mittl. u. große +	
I.					
9	16^{00}—16^{10}			2009	1785
	16^{15}—16^{25}			2145	2283
24	14^{55}—15^{05}			968	756
	15^{25}—15^{40}			589	302
	15^{55}—16^{10}			442	302
	16^{25}—16^{40}			454	236
27	10^{30}—10^{40}			6534	6773
	11^{25}—11^{35}			6621	6621
	11^{35}—11^{45}			7442	7577
30	14^{50}—15^{00}			4806	4952
	15^{00}—15^{10}			2476	1373
	16^{35}—16^{40}	—		2895	474
II.					
6	8^{50}— 9^{00}			7240	5028
	9^{00}— 9^{05}			3686	
	14^{25}—14^{30}			3223	2954
	14^{30}—14^{35}				2255
7	8^{40}— 8^{55}			1745	1543
	9^{00}— 9^{10}			2036	3393
	9^{30}— 9^{40}			3740	4898
	10^{00}—10^{10}			4198	3963
	11^{00}—11^{10}			5827	4895
	11^{30}—11^{40}			6993	7225
	12^{00}—12^{05}			4415	3827
	13^{30}—13^{40}			4568	3150
	14^{00}—14^{10}			2785	3356
	14^{30}—14^{40}			3822	3263
	15^{00}—15^{10}			2797	2704
	15^{30}—15^{40}			4173	5080
	16^{00}—16^{10}			5411	4629
	16^{50}—16^{40}			6201	5827
8	8^{50}— 9^{00}			1138	2255
	9^{00}— 9^{10}			1471	2448
	13^{50}—13^{55}			4856	4382
	16^{10}—16^{20}			4410	3330
	17^{15}—17^{25}			4415	3065
9	15^{00}—15^{10}			4811	3066
	17^{50}—18^{00}			3978	3882
11	8^{35}— 8^{10}			1013	506
	9^{10}— 9^{20}			(1723)	3589
	11^{50}—12^{00}			3469	3350
14	11^{30}—11^{40}			518	707
	14^{30}—14^{40}			918	1147
	17^{00}—17^{10}			1561	1836
15	11^{35}—11^{45}			4134	2951
	11^{50}—12^{00}			3133	2872
	14^{10}—14^{20}			2583	2533
	17^{20}—17^{30}			5268	5080
16	11^{10}—11^{20}			4995	2498
	11^{40}—11^{50}			2123	3396
	11^{50}—11^{55}			4623	4181
	15^{10}—15^{35}	449	351	2317	1801
III.					
8	8^{55}— 9^{05}			1717	966
	9^{05}— 9^{25}	322	455	1826	1268
	9^{25}— 9^{50}	600	360	895	1427
	9^{50}—10^{00}	—		2346	1189
10	9^{40}—10^{00}	238	256	2213	1639
	15^{20}—15^{30}		—	529	419
16	15^{00}—15^{25}	275	303	2064	1769
	15^{45}—16^{10}	—		2322	1785
	16^{30}—16^{40}	—		1878	2034
17	14^{25}—14^{35}	—	—	4087	3724
	14^{35}—14^{50}	329	203	3980	3517
	15^{05}—15^{20}	182	168	3954	3046
23	9^{55}—10^{05}	375	210	2873	3010
	11^{50}—12^{05}	461	410	4833	3498
24	8^{30} - 9^{00}	262	219	1827	1517
	12^{00}—12^{05}	—	—	948	890
	14^{15} -14^{35}	488	244	1673	1338
28	11^{55}—12^{05}	—	—	827	819
	14^{25}—14^{35}	263	123	1572	983
	17^{30}—17^{47}	—	—	1106	1103
	17^{50}- 18^{00}	211	155	1572	1379
29	8^{10} 8^{30}	243	109	690	558
	11^{45}- 12^{05}	392	454	1310	1508
	14^{10}—14^{30}	359	367	612	680
	17^{15}- 17^{35}	244	174	1386	1357
30	11^{15}- 12^{05}	712	506	948	884
	14^{15} -14^{35}	666	327	1177	1112
	16^{25}- 16^{45}	507	318	2495	1990
31	14^{25}- 14^{45}	260	324	875	1339
	16^{15}—16^{35}	530	286	1011	1144
IV.					
8	9^{00}- - 9^{20}	140	134	3950	4422
	11^{35}—11^{50}	337	343	3142	2547
11	9^{10}—10^{00}	329	422	3183	2589
	11^{55}- 12^{05}	—	—	1902	1314
	15^{00}- 15^{20}	400	276	2866	2892
	17^{35}- 17^{55}	488	287	2687	2952
12	8^{30}- 8^{50}	250	215	3145	2694
	11^{35}- 12^{00}	298	256	1856	1120
	16^{25}- 16^{15}	223	244	2196	2044
13	8^{50}- - 9^{05}	348	304	3318	3089
	9^{20}— 9^{35}	466	388	2458	2317
	9^{50}- 10^{05}	572	492	2012	2115
	11^{10}- 11^{25}	606	462	1276	1101
	11^{35}- 11^{50}	598	510	1141	873
	11^{55} -12^{10}	406	388	1511	1276
13	14^{25}- 14^{30}	238	192	2850	2753
	17^{20}—17^{50}	184	171	2558	2299
14	11^{50}- 12^{05}	412	352	2115	1813
	14^{25}— 14^{40}	510	462	1375	1482
17	8^{55}- - 9^{05}	352	310	2975	3440
	14^{55}—15^{15}	223	216	3224	2849
	16^{15}—17^{05}	245	244	3216	3463
18	8^{55}— 8^{55}	—	—	453	495
	9^{05}- - 9^{25}	552	332	617	601
	9^{40} 10^{00}	386	161	747	702
	11^{15} -12^{00}	602	438	935	505
	14^{05}—14^{25}	390	434	910	1040
	17^{25}—17^{45}	164	224	665	538
19	8^{40}— 9^{00}	328	226	1933	2162
	15^{00}—15^{10}	—	—	1176	705
	15^{15}—15^{35}	482	308	1906	1223
20	8^{40}— 9^{05}	234	458	1253	1485
	16^{30}—16^{35}	—	—	2756	3114
21	8^{55}— 9^{20}	399	193	2442	2335
	11^{55}- 12^{05}	326	220	1663	1449
	14^{25}- 14^{35}	330	304	1960	1862
	15^{55}—16^{10}	461	276	2911	2653
24	11^{50}- 12^{05}	522	392	1086	1032
	14^{10}—15^{00}	546	422	1952	1745
	17^{30}—17^{15}	442	236	1633	1358
V.					
3	15^{00}—15^{20}	479	594	1564	1715
	16^{30}—16^{55}	608	304	2555	2009
4	14^{10}—14^{30}	394	316	2096	2602
	17^{45}—18^{00}	216	352	2642	3087
11	12^{00}—12^{10}	—	—	1796	1922
	16^{10}—16^{30}	363	375	1500	1339
23	8^{55}— 9^{20}	217	220	3859	3496
	15^{45}—16^{00}	532	444	1685	1350
	16^{50}—17^{10}	512	458	2669	2093
24	11^{35}—11^{55}	499	438	1602	1563
	14^{45}—15^{00}	613	652	1531	1572
27	9^{50}—10^{10}	509	703	1288	1209
	11^{40}—12^{00}	853	656	1069	1246
30	9^{10}— 9^{20}	—	—	1337	1258
	16^{35}—16^{40}	—	—	2608	2385
	16^{40}—17^{00}	530	556	2483	2475
VI.					
1	15^{00}—15^{30}	479	461	2149	2629
30	12^{05}—12^{15}	—	—	1060	1325
	17^{05}—17^{30}	122	156	2769	2651
VII.					
5	14^{30}—15^{00}	360	220	1912	1838
	16^{50}—17^{10}	477	427	1657	1465
6	8^{40}— 9^{05}	584	221	1830	1585
	14^{20}—14^{40}	692	520	1516	1574
	16^{10}—16^{35}	311	(242)	1417	2083
11	11^{25}—11^{50}	873	769	1126	1299
	16^{05}—16^{20}	683	619	2026	2190
25	8^{35}— 9^{10}	704	600	(1348)	(1075)
	14^{10}—14^{10}	200	222	948	786
26	8^{30}— 9^{00}	377	377	5386	4756
	14^{35}—15^{00}	499	711	1923	1568
27	8^{25}— 8^{50}	553	599	1192	909
	11^{45}—12^{00}	849	925	1040	961
	14^{10}—14^{40}	268	382	733	1297
29	8^{40}— 9^{00}	547	577	1832	1714
	11^{30}—11^{55}	480	377	1642	1537
VIII.					
2	11^{30}—11^{55}	447	449	1588	1360
	14^{35}—14^{55}	479	439	1075	1278
9	8^{40}— 9^{05}	357	429	1104	851
	11^{10}—12^{00}	388	327	1820	2452
	15^{30}—15^{50}	656	384	1562	1632
10	8^{15}— 8^{30}	428	648	2335	2565
	11^{45}—12^{05}	714	599	1655	1189
	14^{20}—14^{35}	414	309	2647	1423
18	16^{55}—17^{05}	—	-	1283	891
	17^{10}—17^{20}	423	516	1048	969
19	17^{15}—17^{35}	408	303	2255	2110
20	11^{30}—11^{50}	534	419	985	888
22	15^{35}—16^{00}	226	570	1267	1601
28	16^{10}—17^{00}	658	517	1336	1531
X.					
23	11^{30}—11^{55}	757	832	858	612

Monatliche Klimadifferenzen

Tav. 1.

Differenze climatiche mensili

Mai 1935 – Juli 1940 zwischen Zürich u. Monti (Zü, Mo), Davos u. Monti (Da, Mo).

Schwarz: Zü, Da; hell: Mo.

Reihenfolge: Sonnenscheindauer, Bewölkungsmenge, Feuchtigkeit (relative, absolute), Sättigungsdefizit (physiolog., physisches), Niederschlagsmenge, Abkühlungsgröße.

maggio 1935 – luglio 1940 tra Zurigo e Monti (Zü, Mo), Davos e Monti (Da, Mo).

Nero: Zü, Da; chiaro: Mo.

Ordine: durata del sole, nebulosità, umidità (relativa, assoluta), deficit di saturazione (fisiol., fisico), quantità di precipitazioni, potere raffreddante.

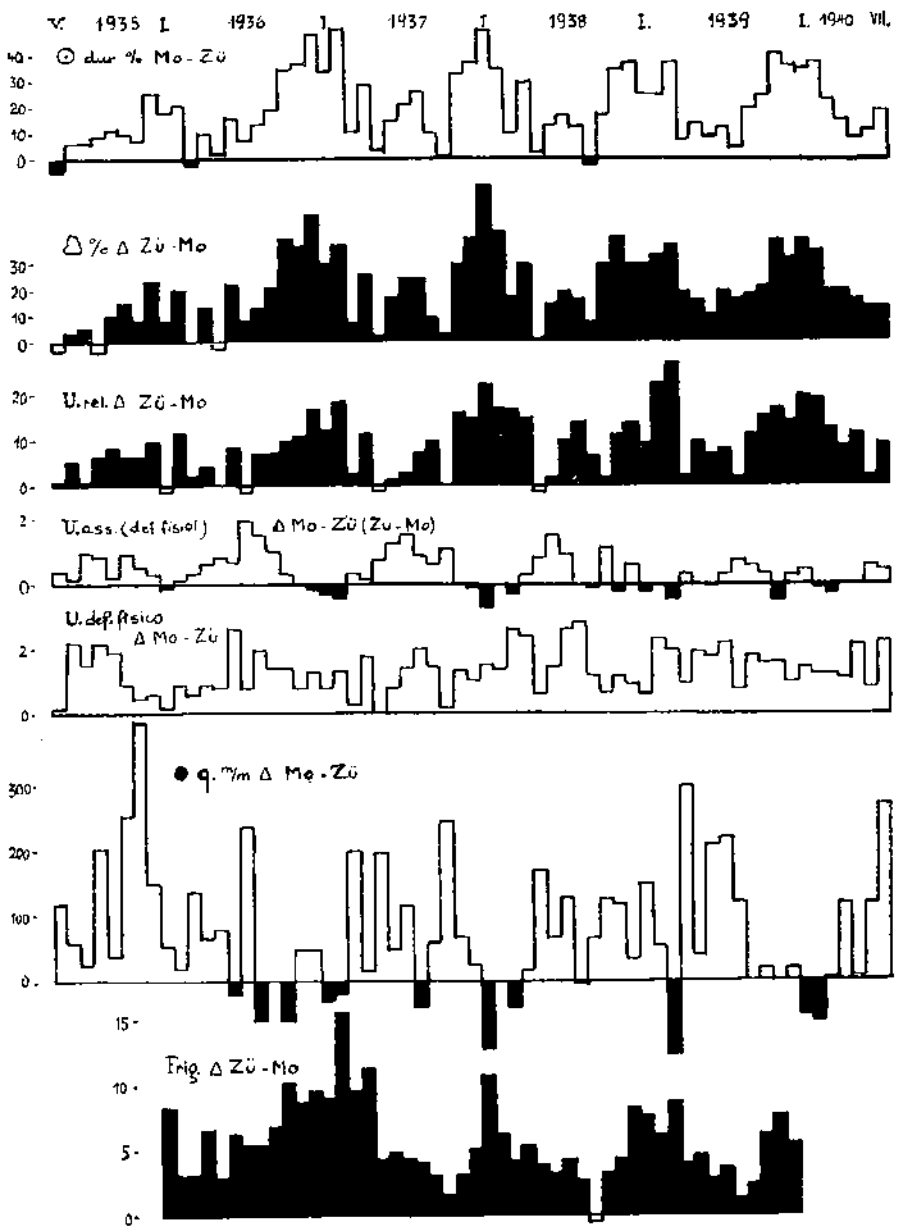

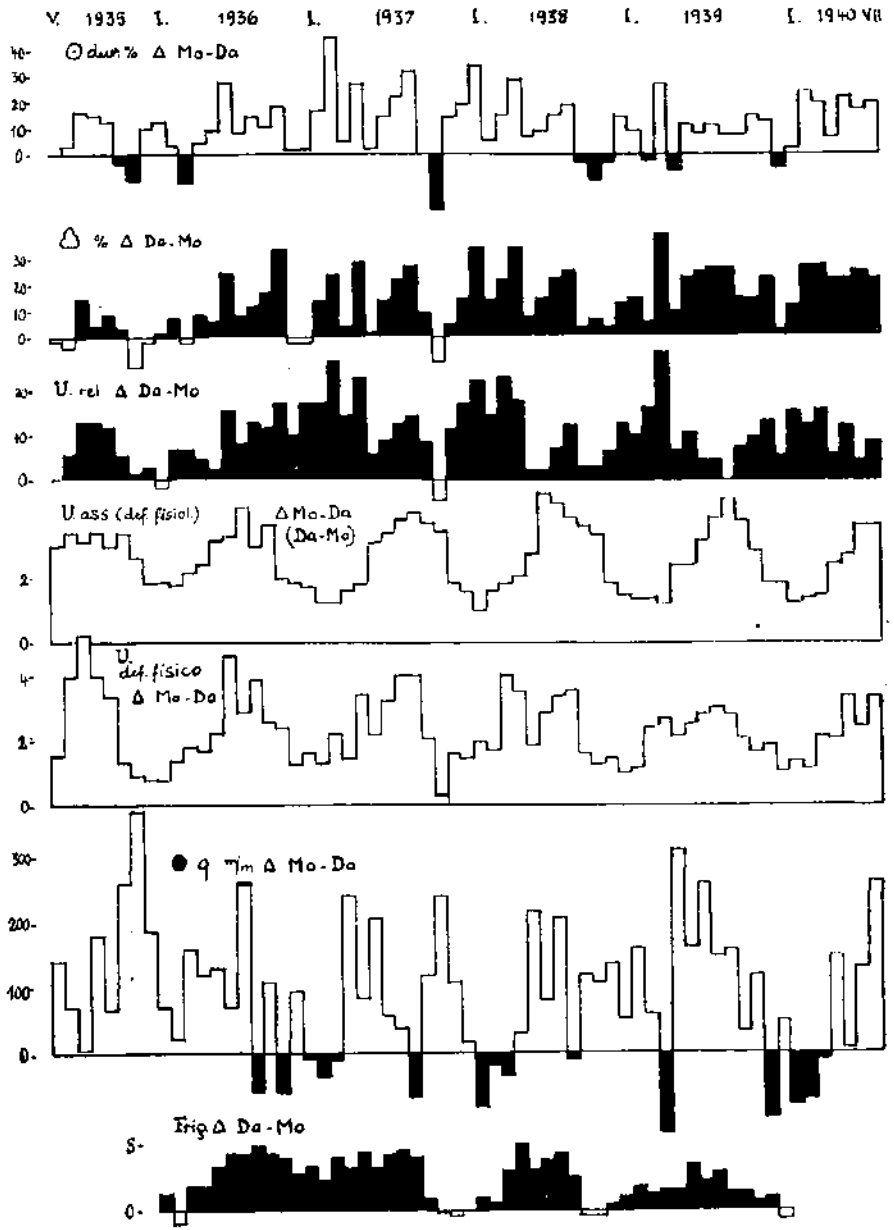

Monatliche Klimadifferenzen

Tav. 2.

Mai 1935 – Juli 1940 zwischen Zürich u. Monti (Zü, Mo), Davos u. Monti (Da, Mo).

Schwarz: Zü, Da; hell: Mo.

Reihenfolge: Zahl der heiteren Tage, trüben Tage, Niederschlagstage; interdiurne Temperaturschwankung (nur Zü u. Mo), Zahl der Tage im Jahr mit bestimmter Sonnenscheindauer (nur Zü u. Mo).

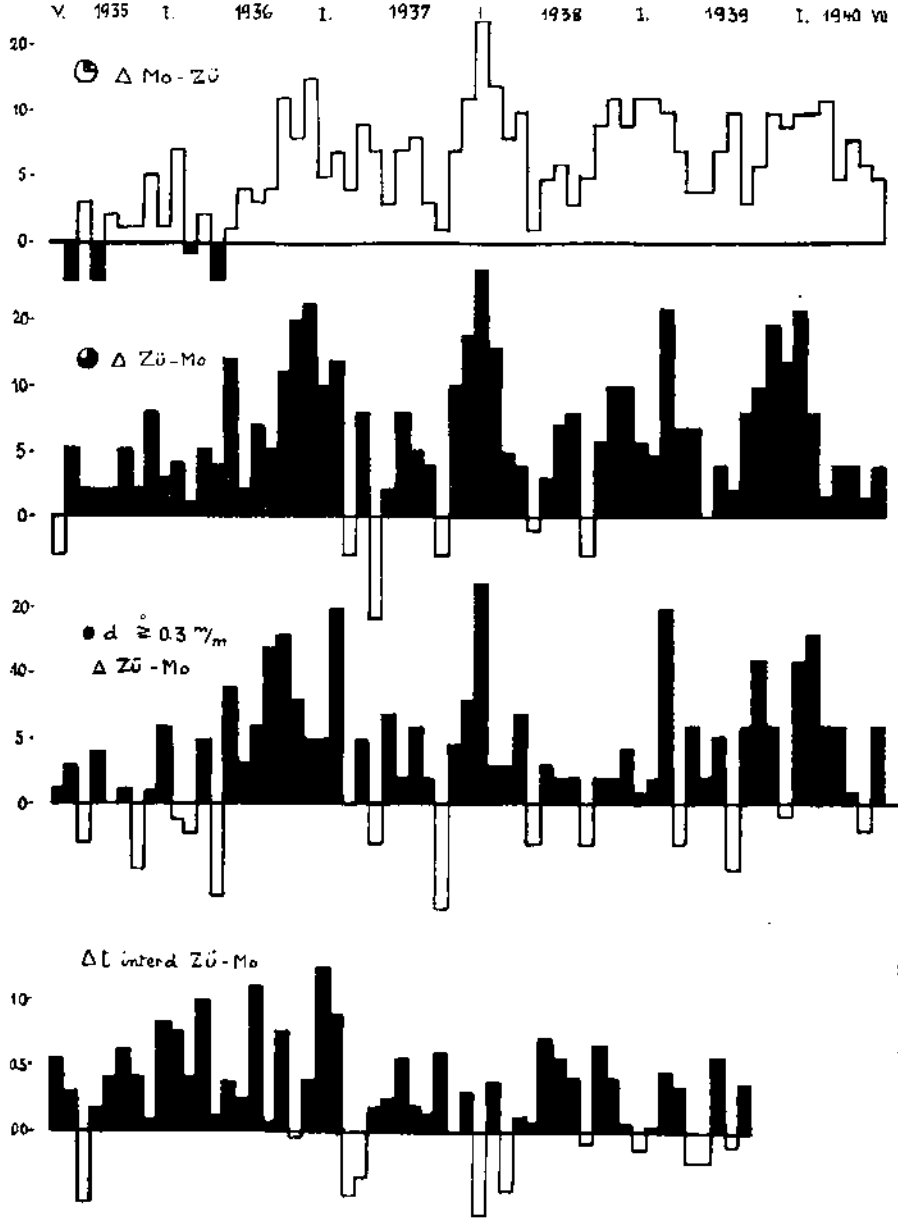

Differenze climatiche mensili

maggio 1935 – luglio 1940 tra Zurigo e Monti (Zü, Mo), Davos e Monti (Da, Mo).

Nero: Zü. Da; chiaro: Mo.

Ordine: numero dei giorni chiari, giorni scuri, giorni con precipitazioni; variazione interdiurna della temperatura (solo Zü. e Mo), numero annuale dei giorni con certe durate del sole (solo Zü e Mo).

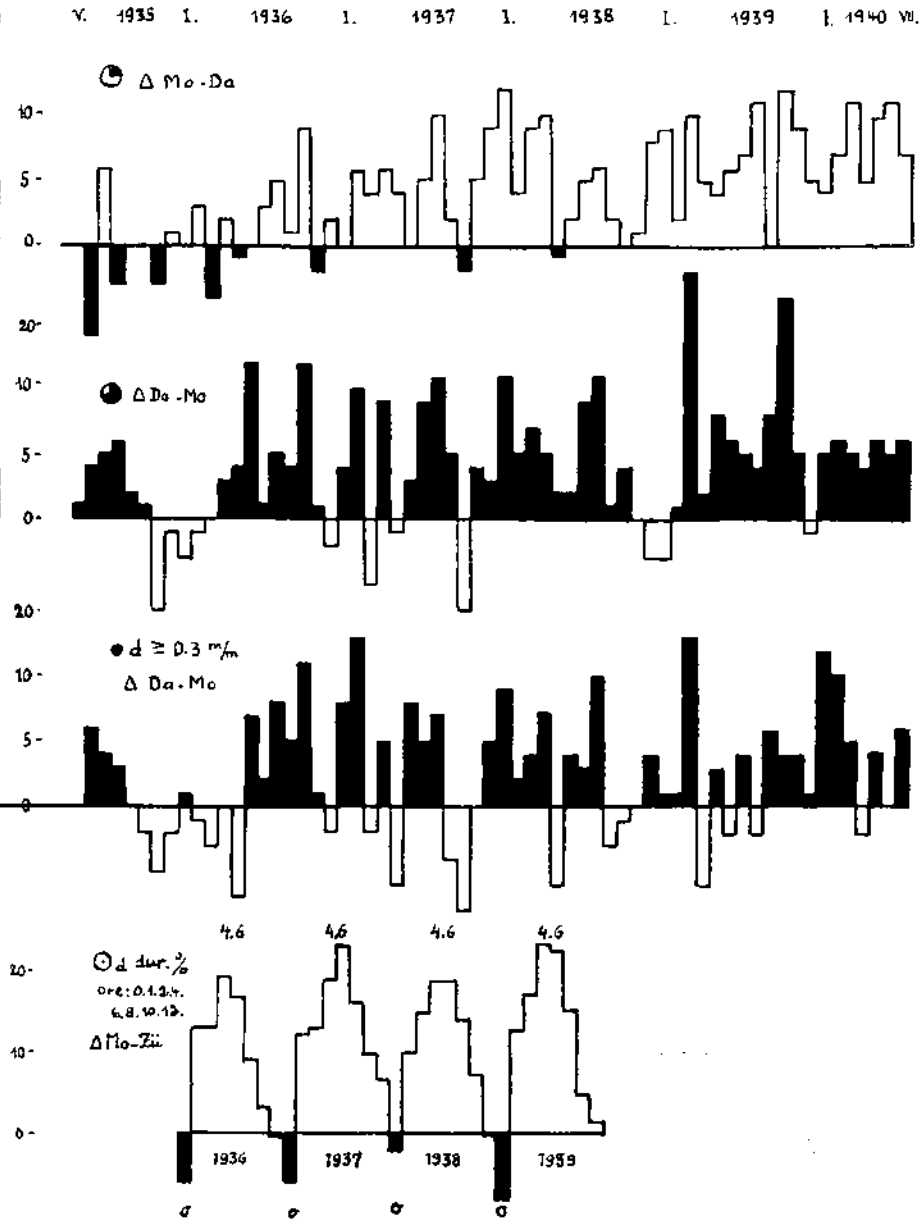

Nr. 7

Über die Frequenz der Windstärke auf dem Säntis 1932–39

von E. Wanner

A. Sommer.

In einer früheren Arbeit [1] wurde gezeigt, daß die Frequenzkurve der stündlichen Windgeschwindigkeiten auf dem Säntis für die Nachtstunden 21 h 30 bis 04 h 30 der Sommermonate Juni, Juli und August mit guter Näherung durch die Wahrscheinlichkeitsansteckung beschrieben werden kann. Die Station Säntis liegt nahezu in der freien Atmosphäre, so daß Störungen der allgemeinen Zirkulation, insbesondere der Windstärke durch Lokalwinde am wenigsten zu befürchten sind. Auch wird das Anemometer seit 1932, dem Amtsantritt des jetzigen Beobachters, sehr sorgfältig überwacht, was bei den vielen Störungsmöglichkeiten auf einer Bergstation absolut notwendig ist. In Fig. 1 sind die Beobachtungen sowie die theoretischen Kurven für zufällige Verteilung (Poisson) und Verteilung mit Ansteckung nochmals dargestellt.

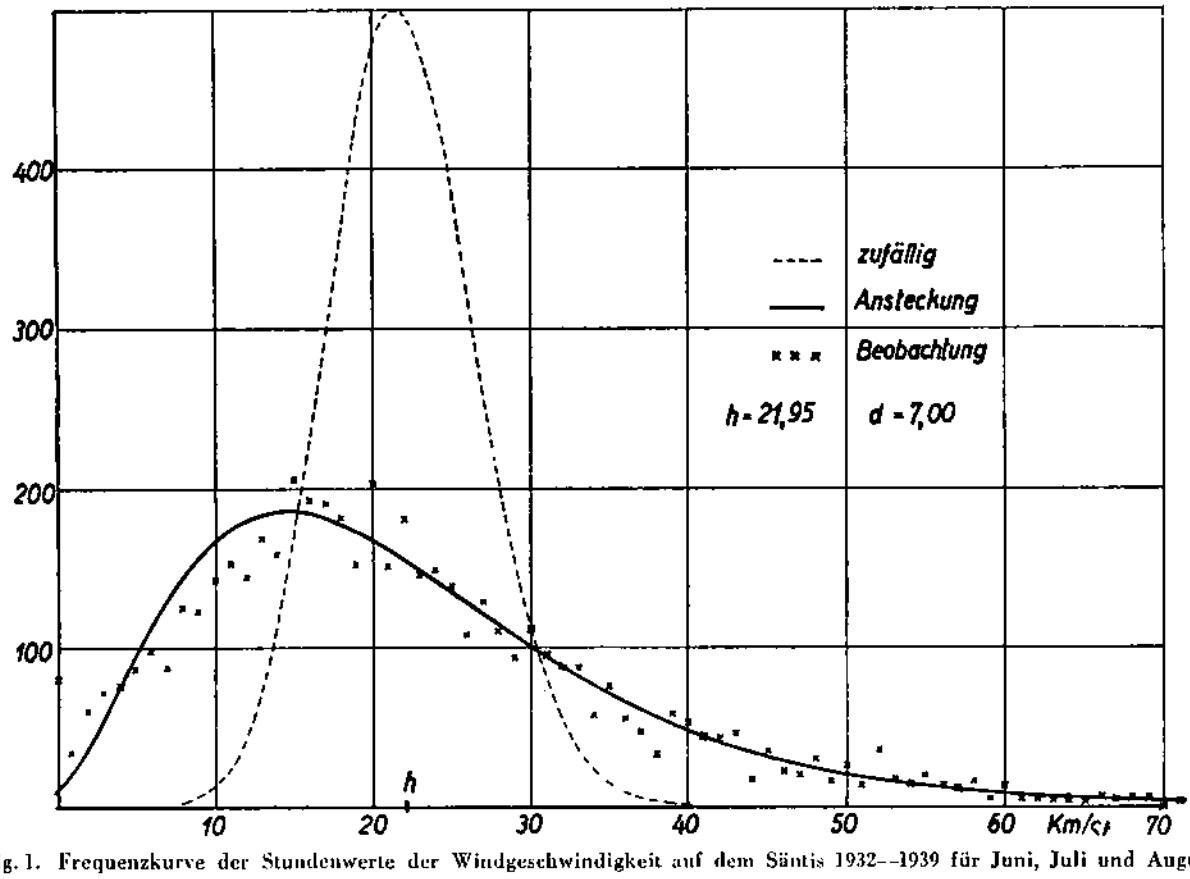

Fig. 1. Frequenzkurve der Stundenwerte der Windgeschwindigkeit auf dem Säntis 1932—1939 für Juni, Juli und August, 21.30 Uhr bis 4.30 Uhr.

Wenn man bedenkt, daß auch für die Stunden von 21 h 30 bis 4 h 30 mit einem kleinen Gang in der mittleren Windstärke zu rechnen ist, so gibt die Wahrscheinlichkeitsansteckung die beobachtete Frequenzkurve ziemlich gut wieder. Kleinere systematische Abweichungen sind besonders bei den kleinen Windgeschwindigkeiten vorhanden. So wurden z. B. wesentlich mehr Calmen beobachtet, was aber auch von kleinen Mängeln am Instrument rühren kann. Vom formalen Standpunkt aus kann man also die Windstärken für den angegebenen Zeitraum durch die zwei für die Wahrscheinlichkeitsansteckung charakteristischen Konstanten erschöpfend beschreiben. Diese Konstanten oder Charakteristiken sind die mittlere Windgeschwindigkeit h = 21.95 km/Std. und die Ansteckung d = 7.0 ± 0.3. Für d = 0 hätte man zufällige Verteilung, die Frequenzkurve ist allein durch den Mittelwert h bestimmt. Wie aber die Fig. 1 zeigt, kann man in diesem Fall nicht von einer Uebereinstimmung mit den Beobachtungen sprechen. Die «Luftquanten» passieren eben die Station nicht nach den Gesetzen des reinen Zufalls; Zeiten mit mehr oder weniger dichten Schwärmen wechseln mit relativ ruhigen Zeiträumen. Die Erscheinung zeigt, um anschaulich zu sprechen, eine gewisse Aehnlichkeit mit dem Verkehr auf einer Ueber-

[1] E. Wanner: Beiträge zur meteorologischen Statistik. Vierteljahrsschr. der Naturforsch. Ges. Zürich, Bd. 85, 1940.

landstraße, wo die Fahrzeuge meistens auch schwarmweise einen bestimmten Ort passieren.

Schon sehr bald nach der Errichtung der ersten Bergobservatorien fand man für die Windstärke auf diesen Stationen einen täglichen Gang. Die Windstärke zeigt ein Maximum in den Nachtstunden und ein Minimum während des Tages. Der Gang der Windstärke auf den Höhenstationen ist also gerade umgekehrt derjenigen von Talstationen. Diese Beobachtungstatsache gab im Laufe der letzten 50 Jahre Anlaß zu verschiedenen Erklärungsversuchen [2].

Vom rein statistischen Standpunkt aus stellt sich die Frage, ob außer dem Mittelwert h eventuell auch die zweite Charakteristik die Ansteckung d Tagesschwankungen erleidet. Um dies zu entscheiden, wurden die Frequenzkurven der Windstärken für den gleichen Zeitraum (1932 bis 1939, Juni, Juli, August), aber für die ausgesprochenen Tagesstunden 9 h 30 bis 16 h 30 ausgezählt. Diese Statistik umfaßt also die genau gleiche Zahl von Elementen (5152). In Fig. 2 sind die Beobachtungen dargestellt.

Wiederum gibt die Wahrscheinlichkeitsansteckung in erster Näherung die Frequenzkurve befriedigend. Beide Charakteristiken sind aber etwas verschieden. Man erhält die Werte h = 18.4 ± 0.2 km/Std. und d = 8.3 ± 0.3

Zahl der kleinen Geschwindigkeiten, aber ebenso eine Zunahme der Zahl der großen Geschwindigkeiten, alles auf Kosten der Anzahl der mittleren Werte. Die Kurve senkt sich in der Mitte, erhebt sich dagegen bei den kleinen und großen Geschwindigkeiten. Bei ganz großen Geschwindigkeiten überwiegt der Einfluß von d gegenüber demjenigen von h. *Es besteht also theoretisch die Möglichkeit, daß die mittägliche Labilisierung infolge der starken Einstrahlung und die daraus resultierende Vertikalkonvektion auf die Geschwindigkeiten in der Höhe nicht nur verkleinernd wirkt, sondern diese Labilisierung kann bei den großen Geschwindigkeiten auch verstärkend wirken.*

Wir hätten also auch in der Höhe infolge der mittäglichen Labilisierung eine analoge Einwirkung, wie sie Wagner zur Erklärung des mittäglichen Maximums am Boden heranzieht [3]. Wie die folgende Tabelle zeigt, ist ein solcher Gang tatsächlich im vorliegenden Beobachtungsmaterial angedeutet. Die Tabelle gibt in Zeile 2 Anzahl Tagwerte minus Anzahl Nachtwerte für die Stufen 0—10, 10—20, 20—30 km/Std. usw. Die dritte Zeile gibt diese Differenz ausgedrückt in Prozenten der entsprechenden Tagwerte.

	0–10	10–20	20–30	30–40	40–50	50–60	60–70	80–80	grösser 80 km
Anzahl Tag - Nacht	+612	+114	−402	−203	−74	−45	−9	+2	± 1
% der Tagwerte	+37	+6	−44	−46	−33	−43	−29	+22	± 20%

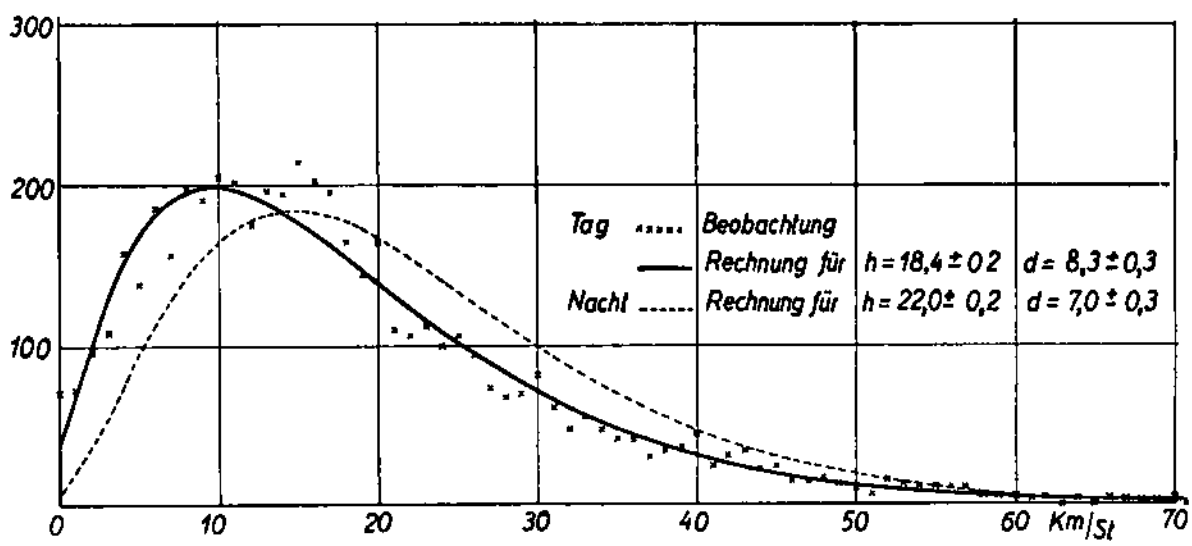

Fig. 2. Frequenzkurve der Stundenwerte der Windgeschwindigkeit auf dem Säntis 1932—1939 für Juni, Juli und August, 9.30 Uhr bis 16.30 Uhr.

Die mittlere Geschwindigkeit ist, wie zu erwarten war, am Tag um 3.6 km/Std. kleiner als bei Nacht. Die Ansteckung d dagegen ist größer. Zur weiteren Diskussion der Frequenzkurven verweisen wir auf die Untersuchungen von F. Eggenberger: «Die Wahrscheinlichkeitsansteckung», Diss., ETH. 1924, S. 14 bis 15 und 38. Eine Verkleinerung von h bewirkt, bei gleichbleibendem Umfang der statistischen Masse, ein Zunehmen der Zahl der kleinen Geschwindigkeiten auf Kosten der mittleren und großen Geschwindigkeiten. Die ganze Frequenzkurve wird gegen die Ordinatenaxe verschoben. Ein Anwachsen von d dagegen bewirkt auch eine Zunahme der

Das Ueberwiegen der Tagwerte über die Nachtwerte bei den Windstärkengrößen 70 km/Sek. ist, absolut genommen, nur schwach und könnte auch als rein zufällig aufgefaßt werden. Die Prozentzahlen sind dagegen von der gleichen Größenordnung wie bei den andern Stufen. Zu einer definitiven Entscheidung ist die Analyse für einen längeren Zeitraum notwendig.

B. Winter.

In den Wintermonaten ist die Einstrahlung viel geringer. Außerdem ist die weitere Umgebung der Station Säntis meistens mit Schnee bedeckt, so daß sich die mittägliche Konvektion viel weniger entwickeln kann. Es

[2] W. Köppen: Ueber die tägliche Aenderung des Windes über dem Lande und dem Meere. Ann. Hydrogr. u. marit. Meteor. 1883.

[3] A. Wagner: Gerlands Beiträge, Bd. 47, S. 185, P. 3.

A. Wagner: Zur Theorie des täglichen Ganges des Windverhältnisse. Gerlands Beitr., Bd. 47, S. 172.

hat daher ein gewisses Interesse, auch für diese Zeit die Tages- und Nachtfrequenzkurven in der Windstärke miteinander zu vergleichen. Die Auszählung wurde für die Monate Dezember, Januar und Februar ausgeführt. Der Unterschied zwischen den Tag- und Nachtkurven erwies sich als klein. Wir geben deshalb in Fig. 3 nur die Beobachtungen für die Tagesstunden 9 h 30 bis 16 h 30. (Normalkurve im Sommer), so findet man außer einer Verstärkung der mittleren Geschwindigkeit im Winter auch eine Zunahme von d. Die Abweichungen von der rein zufälligen Geschwindigkeitsverteilung sind also im Winter noch ausgeprägter, was wohl mit der viel intensivern Ausbildung der Hoch- und Tiefdruckgebiete im Zusammenhang steht.

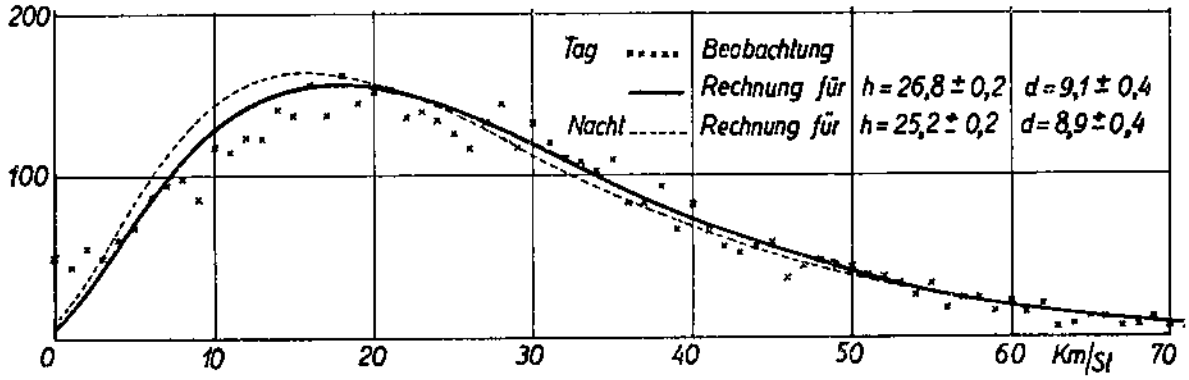

Fig. 3. Frequenzkurve der Stundenwerte der Windgeschwindigkeit auf dem Säntis 1932–1940 für Dezember, Januar und Februar,

Wiederum gibt die Wahrscheinlichkeitsansteckung in erster Näherung eine gute Beschreibung dieser statistischen Maße. Die Charakteristiken sind $h = 26.8 \pm 0.2$ km/Std., $d = 9.1 \pm 0.4$. In Fig. 3 ist ferner zum Vergleich punktiert die theoretische Kurve für die Nachtstunden eingetragen; die Charakteristiken für diese Kurve sind $h = 25.2 \pm 0.2$ km/Std. $d = 8.9 \pm 0.4$. Die Ansteckung erweist sich innerhalb der Fehlergrenze in beiden Fällen als gleich. Dagegen ist hier der Mittelwert am Tage etwas größer, was auch teilweise durch die bessere Ueberwachung des Anemometers in den Tagesstunden erklärt werden kann. Diese Vermutung drängt sich auf, weil die Zahl der Calmen und ganz kleinen Windstärken bei Nacht auffällig größer ist. Vergleicht man diese Winterkurven mit der Nachtkurve im Sommer

Soweit bis jetzt die Frequenzkurven von Flachlandstationen analysiert worden sind, so zeigte sich die Theorie der Wahrscheinlichkeitsansteckung als ungenügend. Die systematischen Abweichungen sind zu groß, als daß man jeweils die Kurven als durch h und d allein bestimmt betrachten könnte. Am besten ist die Uebereinstimmung für die Nachtstunden. In den Tagesstunden nähern sich die Frequenzen für die mittleren Geschwindigkeiten eher wieder der zufälligen Verteilung, so daß man den Eindruck bekommt, daß die durch die mittägliche Konvektion erzeugten Zusatzgeschwindigkeiten genähert eine zufällige Verteilung aufweisen. Darüber überlagert sich die allgemeine Zirkulation, deren Geschwindigkeits-Verteilungsgesetz, genähert durch die Wahrscheinlichkeitsansteckung, beschrieben werden kann.

Zürich, den 30. November 1940.

Nr. 8

Die erdmagnetische Station Regensberg

von E. Wanner

Für die erste erdmagnetische Landesaufnahme in den Jahren 1927—1931 hatte Herr Dr. W. Brückmann in Regensberg, zirka 20 km nordwestlich von Zürich, eine Variationsstation unterhalten, um die in den verschiedenen Landesteilen und in verschiedenen Jahren ausgeführten Messungen auf eine einheitliche Basis reduzieren zu können. Herr Brückmann hat diese Station ausführlich in den Annalen 1930 der MZA. beschrieben. Aber auch nach dem Abschluß der Arbeiten für die Landesaufnahme wurde die Station auf Wunsch der Direktion der MZA. weiter betrieben. Herr Direktor Mercanton hatte zunächst die Absicht, wenigstens für einen Punkt des Landes die magnetischen Elemente jederzeit und mit genügender Genauigkeit zur Verfügung zu haben.

Variationsmessungen.

Variometer. Dank dem Entgegenkommen der Schweiz. Geodätischen Kommission der SNG., die der MZA., wie seinerzeit bei der Landesvermessung, ihren magnetischen Fonds zur Verfügung gestellt hat, konnte zu einer Vervollkommnung der Station geschritten werden. Am Variationshäuschen wurden die notwendigen baulichen Verbesserungen ausgeführt. Ferner wurde das Häuschen mit elektrischem Licht versehen. Der Mietvertrag mit der Gemeinde Regensberg wurde um 10 Jahre verlängert.

Im Laufe der Zeit zeigten sich aber besonders bei der Loydschen Waage gewisse Unzulänglichkeiten. Nach vergeblichen Verbesserungsversuchen wurde beschlossen, den alten Töpferschen Variometersatz durch die modernen Variometer von Kopenhagen zu ersetzen. Das Registrierwerk des Töpferschen Instrumentarismus wurde beibehalten, nur wurde die mit Spiritus betriebene Spaltlampe durch eine elektrische Birne mit geradem Glühdraht ausgewechselt. Die Variometer von Kopenhagen hatten sich schon vorher auf verschiedenen Beobachtungsstationen während des Polarjahres gut bewährt, so daß man hoffen konnte, daß sie bei den einfachen räumlichen Verhältnissen in Regensberg das geeignete Instrumentarium sein werden. Für eine ausführliche Beschreibung der Variometer verweisen wir auf die Publikationen des Dänischen Meteorologischen Institutes[1]. Wir erwähnen hier nur kurz die Vorzüge dieser modernen Variometer. Die verwendeten Magnete sind klein. Die Art ihrer Aufhängung beim D- und H-Variometer ist so, daß die anerkannt guten Eigenschaften der Quarzfäden möglichst voll ausgenützt werden. Bei der Waage sind Magnet, Spiegel und Schneiden aus einem einzigen Stück Wolframstahl angefertigt. Veränderungen der Distanz des Schwerpunktes von der Drehachse, wie sie bei den ältern Systemen aufgetreten sind und den Skalenwert beeinflußt haben, sind bei der Waage von Godhavn ausgeschlossen. H- und Z-Variometer besitzen eine optische Temperaturkompensation, was bei den großen jährlichen Temperaturschwankungen im Variationshäuschen von Regensberg von großem Vorteil ist. Alle Instrumente können bequem und rasch von außen justiert werden, ohne daß die Magnete berührt werden müssen.

Skalenwerte. Die Skalenwertbestimmungen werden mit einer Helmholtz-Gaugain-Spule ausgeführt. Im Jahre 1939 wurden die folgenden Werte gefunden:

		D	H	Z
April	12. 1939	0.98′	3.53 γ/mm	3.35 γ/mm
Juni	19. 1939	—	3.53 γ/mm	3.33 γ/mm
Aug.	31. 1939	—	3.57 γ/mm	3.33 γ/mm
Nov.	18. 1939	—	3.58 γ/mm	3.06 γ/mm
Dez.	20. 1939	—	3.56 γ/mm	3.06 γ/mm
Febr.	29. 1940	—	3.58 γ/mm	3.02 γ/mm
März	14. 1940	- -	3.56 γ/mm	3.00 γ/mm
Mai	3. 1940	—	3.60 γ/mm	3.05 γ/mm

Der Skalenwert von H erweist sich als ziemlich konstant und befriedigend. Dagegen zeigt der Skalenwert von Z am 18. November einen unerklärlichen Sprung von nahezu 0.3 γ. Bei den seither ausgeführten Bestimmungen hat sich dieser Wert gehalten; er schwankt wenig um den Wert 3.00 γ/mm.

Temperaturkoeffizient. Durch die Temperaturkompensation sind die Temperatureinflüsse auf die Magnete von H und Z nicht vollkommen kompensiert. Aus den Registrierungen von ruhigen Tagen ergibt sich für H ein Temperaturkoeffizient von —2.2 γ/Grad und für Z —6.5 γ/Grad. Die Kompensation reduziert bei H den Koeffizienten auf zirka 25 %, bei Z auf zirka 50 % des ursprünglichen Wertes. Ohne diese Einrichtung wäre es bei den großen Temperaturschwankungen in Regensberg nicht möglich, die Lichtpunkte auf dem Papier zu halten.

Kontrolle der Variometer.

Aus verschiedenen Gründen stand von vorneherein fest, zur Kontrolle der Basiswerte der Variometer auf eigene, absolute Messungen zu verzichten, und sich auf

[1] D. La Cour: «La balance de Godhavn.»
D. La Cour et V. Laursen: «Le Variomètre de Copenhague.»
D. la Cour et Joh. Olsen: «Contribution à la Connaissance du comportement des variomètres modernes, espérienees obtenues à Godhavn.»

irgendeine Art, an ein schon bestehendes gutes Observatorium anzuschließen. Dieser Plan wurde durch die Ausbildung des Quarzhorizontal-Magnetometers (QHM.) am Kopenhagener Institut sehr erleichtert. Dieses neuartige von Dr. La Cour konstruierte Instrument erweist sich als äußerst wertvoll, und seine Verwendungsmöglichkeiten sind sehr vielseitig [2]. Es gestattet, in Verbindung mit einem magnetischen Theodoliten, eine sehr genaue Messung von H und neuerdings auch von D. Das Instrument kann ohne Schwierigkeiten per Post an ein benachbartes Observatorium zur Prüfung geschickt werden. Die Station Regensberg ist im Besitze von drei solchen Magnetometern und damit ist auch eine gegenseitige Kontrolle der H-Messungen gewährleistet.

Durch Herrn Prof. Niethammer, Präsident der Schweiz. Meteorologischen Kommission, wurde der Station Regensberg der magnetische Theodolit Wild-Edelmann der Universität Basel leihweise zur Verfügung gestellt. Außerdem besitzt die Station einen kleinen Feldtheodoliten Tesdorpf.

Im Laufe des Winters 1938/39 wurden in der Nähe des Variationshäuschens (im Bilde rechts oben) zwei kleine Holzbaracken erstellt (links unten). In der nähern Hütte steht ein Beobachtungspfeiler aus Kalkstein, dem Material des Untergrundes.

Auf diesem Pfeiler werden seit einem Jahre regelmäßige Kontrollmessungen der Basiswerte von H und neuerdings von D mit den drei QHM. durchgeführt. Als Temperaturkoeffizienten findet man für H nach dieser Methode 2.0 γ/Grad. In der zweiten Hütte sollen in Zukunft die Kontrollmessungen für Z ausgeführt werden. Als Kontroll-Instrument ist ein BMZ. des Kopenhagener Institutes vorgesehen.

Bis jetzt wurden die magnetischen Registrierungen von Regensberg zur Bestimmung der internationalen Charakterzahlen verwendet. Diese Ziffern werden jeweils im Internationalen Bulletin von De Bilt publiziert. Außerdem sind sie mit Erfolg bei verschiedenen Feldmessungen zur Reduktion benutzt worden. Für die Epoche 1940.75 gelten auf Station 123 der Brückmannschen Vermessung die Werte:

$$D = 5^\circ 53'.2 \qquad H = 20528\,\gamma$$

[2] D. La Cour: «Le Quartz-Magnétomètre, Q. H. M.» (Publikationen des Dänischen Meteorologischen Institutes.)
D. La Cour et E. Suckstorff: «Exemple d'Emploi du Q. H. M. pour le contrôle des variomètres.» (Publikationen des Dänischen Meteorologischen Institutes.)

Nr. 9

Recherches de technique pluviométrique [1]

P.-L. Mercanton.

III. Essais comparatifs sur le toit de la Station météorologique centrale, à Zurich.

Pour leur ajustage et leurs premiers essais pratiques, au voisinage immédiat de l'atelier et en attendant leur installation dans un champ d'épreuves approprié, nos nouveaux pluviomètres à écran ellipsoïdal, dont le tunnel a prouvé la neutralité dans un vent uniforme, ont dû

P_t P'_E T_e P_W

Toit de la Station centrale suisse de Météorologie vu du NW

être installés sur le toit même de la Station météorologique centrale. Le spectre aérodynamique d'un toit, même en large terrasse comme celui-ci, est — on le sait — des plus compliqués; «au vent» de l'édifice existent des composantes ascendantes, «sous le vent» des régions tourbillonnaires. D'autre part ce spectre change avec la direction du vent. Nous ne nous faisions donc aucune illusion sur la valeur absolue des résultats obtensibles; il ne pouvait s'agir ici que d'indications, d'autant que nous ne disposions, pour les comparaisons, que de pluviomètres ordinaires, eux-mêmes sensibles au vent. Néanmoins les quelques instruments distribués au voisinage des engins ellipsoïdaux ont manifesté des différences instructives, entre eux et surtout avec le pluviomètre de base de la Station.

Le toit de la Station centrale est celui même du Bâtiment de physique de l'Ecole polytechnique fédérale *(fig. 1)* dans sa partie sud. Cet édifice occupe une situation dégagée au flanc SW du Zürichberg. Sa façade principale court du SE au NW, sur 40 m. Des ailes, en avancées de 4 m. et larges de 14 m., la prolongent à chaque extrémité; leurs toits sont en terrasse avec balustrade, tandis que celui du corps médian, un peu plus haut, est en plateforme libre avec un très léger dos d'âne. Au SW cette plateforme se relie à la corniche par une toiture inclinée; au NE elle se coupe verticalement sur un couloir à 1,6 m. en contre-bas, le long d'une cour profonde, bordée elle-même à son NE par un corps de bâtiment mais moins élevé. Une avenue sépare le Bâtiment de la Physique de la colline où se dresse plus haut, mais assez loin déjà pour ne plus guère intervenir ici, la longue façade de l'Institut hydraulique fédéral. La corniche du Bâtiment de la Physique est à 20 m. environ au-dessus du terre-plain; les terrasses sont à 22,5 m. et la toiture principale à 23,5 m. Cette dernière toiture domine donc d'un mètre les terrasses des ailes. Le plan et les coupes ci-contre illustrent d'ailleurs toutes ces indications. La coupe ouest-est suit la direction moyenne des vents qui nous apportent les précipitations; c'est donc sur cet alignement que nous avons distribué au mieux nos engins pluviométriques. Notons enfin la présence, sur le toit, de quelques saillies coupant peu ou prou le vent, cheminées, tour anémométrique (celle-ci haute et massive mais placée sous le vent et assez hors d'alignement pour ne pouvoir intervenir sensiblement), enfin l'édicule radio-électrique élevé vers la fin

Station centrale suisse de Météorologie - Façade et aile sud-orientale

[1] cf. «Recherches de technique pluviométrique» I et II. Annales de la Station centrale suisse de Météorologie, Zurich. Année 1938.

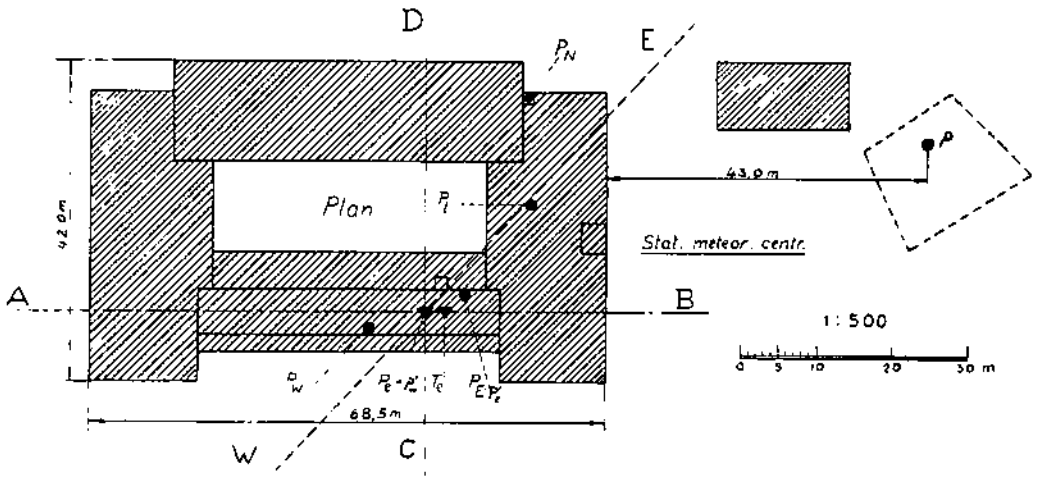

des essais à côté du toit principal: il est peu gênant lui aussi.

A quelque 45 m. au SE de l'édifice, dans le parc climatologique de la Station centrale, s'érige notre pluviomètre de base, un Hellmann de 200 cm². P, entouré d'arbres, de murs et de constructions qui l'abritent des grands vents: il faut remarquer toutefois que quoique assez dégagé, il est un peu comme au fond d'une fosse, si large soit-elle, et très «sous le vent» du grand Bâtiment de Physique. On se référera constamment à cet instrument «normal».

Les pluviomètres utilisés n'ont pas été toujours les mêmes, ni n'ont occupé toujours les mêmes points de la toiture. Au début, en mai 1937, on y avait:

1. P_e, notre premier pluviomètre, à gaîne ellipsoïdale, de relevé quotidien: son ouverture, circulaire, de 100 cm², était à 2.6 m. au dessus du toit principal, sur l'axe de celui-ci.
2. Pc, à 2 m. au SE de Pe, sur ce même axe, un Hellmann ordinaire de 200 cm², au centre d'un écran tronconique, modèle MZA.
3. P_E, un Hellmann de 200 cm², avec son ouverture à 1,9 m. au dessus du même toit, fixé à la cheminée NE voisine qu'il dépassait largement.
4. P_N, un Hellmann semblable, reposant sur un dé de pierre à l'angle N de la terrasse orientale du bâtiment. Ce dernier pluviomètre a été bientôt reporté en bordure du toit principal, sur la cheminée avoisinant le pluviomètre ellipsoïdal et dans l'W à lui: on l'a désigné depuis par Pw.

Dès janvier 1940, on avait:

1. remplacé le pluviomètre ellipsoïdal quotidien Pe par un Hellmann ordinaire P'_W:
2. placé à 2 m. dans son SE un totalisateur ellipsoidal de 100 cm² T_e qui dominait le toit de 2,6 m lui aussi;
3. disposé le pluviomètre de 100 cm² du premier engin Pe, mais sans sa gaîne ellipsoïdale, sur la cheminée E.: soit P'_E:
4. placé le Hellmann de la cheminée ouest, P'w, sur un support ajouré, à peu près au milieu de la terrasse; on le désignera depuis lors par P_t.

Notons ici un point important: pendant la saison des précipitations liquides, pour éliminer le plus possible l'erreur due au rejaillissement des gouttes tombées à son voisinage, l'ouverture était entourée d'une zone ajourée chez le pluviomètre ellipsoïdal quotidien Pe et du revêtement en brosse métallique dit «oursin» chez le totalisateur Te (cf. Recherches ... I). En période neigeuse on a essayé pour le premier engin le chauffage au gaz; pour le totalisateur on a employé une calotte chauffée électriquement. Les vents chargés de précipitations soufflent, chez nous, essentiellement du secteur SW à NW, exceptionnellement ils viennent du N. La discrimination exacte, d'ailleurs bien compliquée à faire, des directions intervenues dans nos longues observations pluviométriques, était sans grande portée; nous l'avons donc laissée de côté. Voici, résumés, les résultats de nos diverses comparaisons; il va sans dire que les mesures ont été réduites, pour tous les instruments, à la même ouverture pluviométrique, classique, de 200 cm²:

a) Comparaison du pluviomètre ellipsoïdal Pe, de relevé quotidien, avec le pluviomètre du parc de la Station centrale P:

du 27.V. au 26.XI.1937 et du 28.I.1938 au 7.XII.1939, Pe *2582* mm., P *2755* mm.;

différence au détriment de l'engin ellipsoïdal: 173 mm., soit environ 6 % de la récolte du parc. Quand on considère les différences journalières, on les voit pour la plupart dans ce même sens: toutefois, sur nos 200 relevés, il s'en trouve 42 chez lesquels Pe l'emporte sur P, de peu d'ailleurs et rarement d'un millimètre plein.

b) Si l'on compare maintenant entre elles les données fournies par les divers engins répartis à ce moment sur la toiture, soit P_e, P_E, P_c, P_N (voir plus haut) on a d'abord:

du 24. VI. au 16. VII. 1937:

Pe 74,4 mm., P_E 69.8 mm., Pc 69.3 mm., enfin P 80,0 mm.

— le pluviomètre ellipsoïdal marque donc un avantage sur ses voisins immédiats, mais pas sur celui du parc —, puis:

du 20. VII. au 9. X. 1937:

Pc 308.3 mm., P_E 301,0 mm., Pc 301,4 mm.,
P_N 306.5 mm., P 337,3 mm.

— l'instrument du parc continue à l'emporter de 10 % environ sur l'ensemble des instruments du toit —. Le Hellmann à écran tronconique n'a montré qu'une différence insignifiante avec le Hellmann nu voisin: on l'a supprimé.

L'hiver 1937/38 a été consacré à des essais de chauffage au gaz de l'écran ellipsoïdal de Pe. Ces essais ont été décevants: on n'a pu, en effet, empêcher entièrement l'évaporation des flocons de neige par les produits chauds de la combustion. Il a donc fallu renoncer à ce procédé et songer à l'application d'un chauffage électrique réglable. La calotte chauffante dont nous avons muni notre nouveau totalisateur ellipsoïdal (cf. Recherches ... I.) réalise le desidératum et s'est bien comportée à son épreuve première durant l'hiver 1939/40. Un champ d'essais rationnels, en préparation, confirmera ou infirmera l'applicabilité du procédé. Le chauffage au gaz avait pu toutefois, à la fin de l'hiver précédent, être mieux ordonné, ce qui laisse quelque signification aux résultats obtenus du 28. I. au 18. V. 1938. Les voici — le pluviomètre P_N avait été transféré au bord SW du grand toit, à quelques mètres dans l'W de Pe; nous le désignerons désormais par P_W. P_W et P_E encadraient donc Pe —:

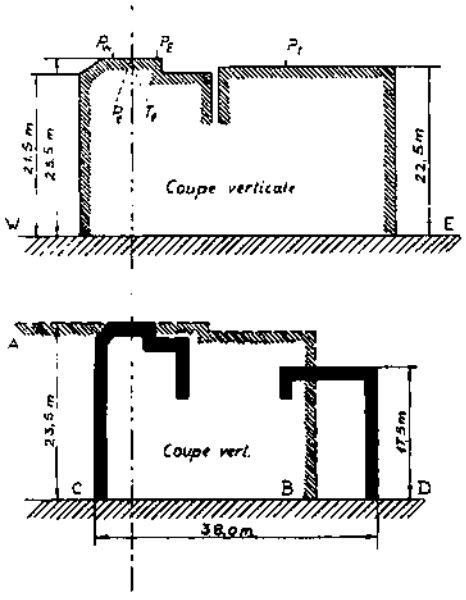

P_W 102.2 mm., Pe 118.3 mm., P_E 114.1 mm.
enfin P 135.1 mm.

Pe a donc reçu un excès de pluie par rapport à chacun de ses acolytes dont la récolte moyenne a été 108.1 mm., mais tous les appareils du toit restent prétérités par rapport à celui du parc et de 15 % en moyenne. Pe, l'engin ellipsoïdal, a pourtant emmagasiné plus que ses voisins et n'est en reste que de 12 % sur P.

En 1940, on a mis en observation, à quelque 2 m. au SE de Pe, le nouvel engin Te à galbe ellipsoïdal de mêmes dimensions et figure que Pe, mais aménagé intérieurement en totalisateur (cf. Recherches .... I.). Il s'ouvrait (100 cm²) aussi à 2.5 m. du toit. Un «oursin» fait de brosse métallique devait empêcher le rejaillissement et la pénétration illicite des gouttes de pluie tombées en dehors de l'ouverture; pour l'hiver, on l'a remplacé par la calotte précitée, chauffée électriquement à une température juste suffisante pour fondre la neige aussitôt qu'elle y atterrissait, sans provoquer toutefois une évaporation sensible de la neige pénétrant dans l'ouverture. Supprimé, Pw a été remplacé, sur le support devenu libre de Pc et à la même hauteur, par un Hellmann ordinaire nu, P'w. D'autre part le récipient même de Pc (100 cm²) a remplacé le P_E primitif — nous le désignerons par P'_E. — Enfin, un autre Hellmann, Pt, se dressait vers le milieu de la terrasse orientale du bâtiment, sur un support ajouré et avec son ouverture à 1.8 m. de hauteur, dans l'alignement W—E des autres appareils. Les mesures se font faites pour tous les appareils ordinaires quotidiennement si possible, sinon aussitôt après l'arrêt des précipitations; quant au totalisateur Te on le vidait au début de chaque mois, en mesurant son contenu, et on le remettait en service chaque fois avec une charge initiale, contrôlée, d'eau que recouvrait une forte couche d'huile de vaseline pour supprimer l'évaporation. En hiver une addition de chlorure de calcium à l'eau pure combattait la congélation du contenu. Le tableau ci-dessous résume les mensurations.

1940	Hauteurs d'eau brutes, en mm				
Mois	P'_W	T_e	P'_E	P_t	P_s
I	50.3		53.7	53.4₅	55.1
II	62.3	188.0	65.1	67.8	76.8
III	69.0		73.2	76.7	82.8
(IV)	66.0	- -	72.1	77.1	82.4
V	129.8	134.0	136.1	133.6	142.2
VI	110.2	108.4	116.7	114.4₅	122.8₅
VII	149.4₅	146.8	154.6	156.0₅	164.2
VIII	111.7	112.6	119.0	127.0	134.6
IX	180.5	192.2	190.2	191.4	201.5
	Hauteurs totales, en mm., sans avril:				
brutes:	863.5	882.0	908.6	920.5	980.1
réduites à 200 cm²	860.5	881.5	899.5	920	980

Moyenne $P'_W + T_e + P'_E + P_t : 4 = 890.5$ mm.

Une incertitude malencontreuse sur le chiffre d'avril 1940 pour Te dépare cette série, obligeant de surcroît à éliminer ce mois de la récapitulation. Néanmoins les résultats suffisent à mettre en lumière la réaction aérodynamique du bâtiment sur le comportement des pluviomètres. Elle se traduit par l'accentuation graduelle de la quantité d'eau météorique emmagasinée, quand on va du récepteur le plus occidental au plus oriental et cette augmentation est assez régulière. Le pluviomètre du parc continue à marquer un avantage notable, sur ceux du toit dont la moyenne des récoltes, pour les quatre appareils, atteint péniblement 91 % de celle du jardin. D'autre part les différences entre les quatre engins sont relativement fortes et ne sauraient être mises au compte

seul de leur comportement intrinsèque dans le vent. Rapportés à la donnée du totalisateur ellipsoïdal — l'instrument certainement le plus neutre de tous dans le vent — ces écarts procentuels sont en effet:

$$P_W -2.4\% \quad P_E +2.0\%, \quad P_t +4.3\%$$

Il s'agit ici de huit mois entiers dont trois d'hiver avec des chutes de neige au cours de 27 journées et qui font une hauteur totale de 72 cm.

Que conclure de cet ensemble d'essais et de chiffres? Sur le comportement même des pluviomètres ils ne nous en apprennent pas autant que nous le désirions: la réaction aérodynamique trop prépondérante du bâtiment a masqué celles, plus faibles, des appareils eux-mêmes. Cette dernière influence, comme on sait, et comme nos précédentes expériences (cf. «Recherches ...» I.) l'ont montré, s'exerce dans le sens d'un déficit d'emmagasinage. Les engins ellipsoïdaux, neutres, y échappent et l'on doit s'attendre à trouver chez eux, quand le vent n'est pas perturbé par des obstacles, une récolte plus forte que dans les autres. C'est bien ce que nos mesures de 1937 et 1938 confirment: Pe a toujours fourni un chiffre supérieur à ceux des autres appareils de la toiture. Les mesures de 1940 donnent une indication moins directement probante: si P'w est en déficit de 2,4% sur Te, celui-ci l'est lui-même de 2,0% sur le Hellmann, son proche voisin oriental. Remarquons toutefois que P'w était plus proprement dans le NW que dans l'W de Te, sur l'axe et non plus au bord du toit principal où se trouvait Pw antérieurement: sa ventilation ne pouvait donc qu'être plus semblable à celle de Te; pourtant ce dernier l'emporte déjà de 2,4% sur lui. D'autre part l'accroissement graduel des précipitations sur le profil W-E de la toiture, quand on va vers l'est, avantageait manifestement les engins situés dans l'E des ellipsoïdaux.

A la technique pluviométrique générale, nos mesures apportent — si, après Jevons (1861) et tant d'autres, il en était besoin encore — la preuve qu'une toiture, même en terrasse étendue, n'est décidément pas l'endroit où établir normalement un pluviomètre. Les ascendances aérodynamiques qui naissent «au vent» de l'édifice contrarient la chute des hydrométéores tandis que l'espace tourbillonnaire «sous le vent» la favorise au contraire: dans son ensemble la toiture aura donc un déficit d'eau et le terrain «sous le vent» en recevra un excès. C'est le cas précisément du parc instrumental de la Station centrale dominé de plus de 20 m. par une façade s'étendant dans le NW à lui sur 42 m. et qui dresse son écran à moins de 50 m. de notre pluviomètre de base dont les récoltes doivent donc être présumées trop fortes. Pourtant on s'est conformé, pour le placer voici tantôt 50 ans, à la règle depuis lors toujours invoquée et suivie qui prescrit de situer un pluviomètre dans un entourage assez élevé et continu pour le tenir à l'abri des vents. Ceci on l'a fait d'ailleurs partout et le mieux possible. Mais alors une question se pose et des plus troublantes: l'extrapolation, si hardie déjà, que nous faisons quand nous étendons à des territoires entiers les données de nos pluviomètres, n'aboutit-elle pas, pour la précipitation totale, à un chiffre *excessif?*

De tous temps les hydrauliciens se sont préoccupés du grand écart qui, dans un bassin fluvial, sépare précipitation et débit d'écoulement d'un bassin, cette «évaporation hydrologique» qui obéit à des lois si complexes. Parmi les nombreux facteurs qu'ils en ont rendu responsables, l'excès instrumental précité ne joue-t-il pas un rôle, jusqu'ici méconnu? L'évaporation physique et l'infiltration — d'ailleurs si difficiles et aléatoires à connaître — ne comblent pas l'hiatus.

Je dois laisser aux spécialistes le soin de contrôler la pertinence de la remarque de principe énoncée ici. En dehors de nos totalisateurs de haute montagne, d'ailleurs en nombre très insuffisant et mal répartis, notre réseau de pluviomètres ordinaires s'étend principalement sur le Plateau suisse ou dans les régions d'altitudes moyennes: c'est donc à des bassins hydrographiques de ces régions qu'il faudra s'adresser pour y voir plus clair. Si l'on y trouvait un «indice d'évaporation» sensiblement plus fort qu'à l'ordinaire, cela viendrait à l'appui de notre thèse; d'autre part dans un bassin où les appareils seraient très nombreux, donc forcément placés dans des situations diverses, inégalement abritées, on devrait trouver un écart moindre entre la précipitation totale et l'écoulement. Peut-être M. Lütschg, grâce à l'ensemble dense d'appareils qu'il a établi et qu'il surveille dans le bassin de la Baye de Montreux, nous l'apprendra-t-il un jour? Je ne méconnais d'ailleurs pas que, si la mesure correcte des précipitations est difficile, celle de l'écoulement l'est souvent plus encore.

Un mot pour finir: je dois admettre que «sous le vent» d'un obstacle il parvient un excès d'eau météorique. C'est une conséquence logique de la genèse des précipitations. Elles tombent de l'atmosphère libre, comme d'une pomme d'arrosoir, en nappes plus ou moins étendues et plutôt homogènes et c'est le jeu du vent dans les obstacles terrestres qui engendre les inégalités de distribution à leur arrivée au sol. Dès lors il y a forcément compensation entre les aires prétéritées et les surfaces comblées d'eau. Par ailleurs les inégalités typiques abondent dans notre pays de grand relief. N'en citons que deux: aux Rochers de Naye, le totalisateur, fixé sur la crête, près du sommet, à 2040 m., n'a reçu en moyenne, de 1930 à 1936, que 33,5 % de la précipitation recueillie sur le terre-plain de l'Hôtel, à quelque 200 m. en contre bas et 300 m. dans l'est du dit sommet; on a observé là, à la même époque, une hauteur d'eau annuelle de *269 cm.* C'est beaucoup plus que l'altitude du lieu, 1986 m., ne le comporte: si l'on calcule en effet le taux d'accroissement de la précipitation avec l'élévation à partir de la station météorologique de Clarens, située à 412 m. d'altitude et à 7 km. dans l'ouest de Naye, on trouve 9,6 cm. par hectomètre, taux qui dépasse les plus forts taux moyens annuels que la comparaison du Rigi avec Lucerne et Kussnacht d'une part, du Sæntis avec Ebnat et Urnæsch, d'autre part, permet d'établir pour la même période et dont la moyenne générale est + 6 cm. par hectomètre. Avec cette dernière valeur Naye n'aurait droit annuellement qu'à 212 cm. de précipitation, soit 21 % de moins que la hauteur réellement observée. La carte des isohyètes scrupuleusement établie par la M. Z. A. (MM. Lugeon

et Maurer) pour 1901/1925 n'attribue d'ailleurs que 180 cm. d'eau à la Station des Rochers de Naye. La singularité constatée s'en accentue encore. Evidemment les précipitations soulevées par le vent le long du flanc abrupt de la grande muraille W des Rochers sont rejetées par dessus leur crête dans le Creux de Naye où règne la turbulence.

Le second cas m'est fourni par la Baye de Montreux [2]. Parmi les nombreux engins pluviométriques installés de part et d'autre de la chaîne des Verraux qui oppose directement aux vents d'W ses roides pentes gazonnées, crêtées de rochers nus, quelques-uns jalonnent un profil transversal de la montagne. Il débute à l'W, au Jor (alt. 1103 m., bassin de la Baye), passe par le mur paravalanche n° 187 (1715 m.), culmine au Courcy (1820 m.) puis par Oucliou (1710 m.), aboutit aux Cases (1440 m., bassin de l'Hongrin) à l'E. Le tracé pluviométrique correspondant (loc. cit. *fig. 8)* montre nettement la dissymétrie des précipitations: sur le versant occidental «au vent» il y a, par rapport à la moyenne des deux stations Paravalanche n° 187 et Oucliou, un déficit d'eau météorique, lequel déficit a son maximum au sommet même du Courcy; le versant E, en revanche, a un excès. Voici les chiffres pour 15 mois de récolte durant la saison chaude; de 1933 à 1936, on a mesuré: mur 243 cm. d'eau; sommet du Courcy 184,5 cm. et Oucliou 321 cm. Durant la saison des neiges, les différences eussent sans doute été plus fortes encore. Les mesures d'enneigement de M. Lütschg ont d'ailleurs corroboré les chiffres précédents.

On voit par ces faits quelle prudence il faut apporter dans toute évaluation des précipitations reçues par un territoire un peu étendu. C'est vraiment miracle qu'on ait pu dessiner des actes d'isohyètes inspirant et méritant quelque confiance. La circonspection reste de sigueur dans leur emploi.

[2] cf. O. Lütschg: «Der Kugelniederschlagsmesser Haas-Lütschg», Gerlands Beiträge. Band 50, 2. 4. 1937.

Décembre 1940.

Station météorologique centrale suisse.

Nr. 10

Le radiogoniographe de la Station centrale suisse de Météorologie et son utilisation pour la prévision du temps

par

Jean Lugeon

Indroduction.

Dans un Mémoire intitulé «Sur la nécessité d'une station polaire permanente d'observations radiométéorologiques, suivi d'un appendice Atmoradiographes et Radiogoniographes» [1], publié à l'occasion de la Conférence mondiale des directeurs d'instituts météorologiques, réunie à Varsovie en 1935, j'ai donné une description des divers types d'enregistreurs directionnels de parasites atmosphériques, que je construisis en Suisse et en Pologne. J'y ai rappelé, entre autres, le principe du radiogoniographe à secteur étroit, qu'utilisèrent à peu près à la même époque mes collègues Watson Watt, en Angleterre, et Bureau, en France [2]. Ces appareils équipés avec des relais électromécaniques, introduisant une grande constante de temps dans les circuits de verrouillage du secteur étroit, travaillent d'une manière insuffisamment parfaite. Les directions obtenues n'étaient certainement pas altérées, mais un grand nombre de sources secondaires se trouvaient éliminées. On ne pouvait guère enregistrer plus de deux sources côte à côte, sur le même diagramme.

Quelques années plus tard, en reprenant ces travaux en Suisse, j'ai pu, grâce à l'appui bienveillant de la direction de la Station centrale suisse de Météorologie, faire construire un radiogoniographe à secteur étroit basé sur un nouveau système de vérouillage, par un spécialiste très autorisé, le Dr Ing. Guido Nobile[1]. Cet appareil, décrit sommairement ici, complète l'équipement de la dite Station. Il est d'une remarquable sensibilité et présente de nombreux avantages sur mes anciens enregistreurs. Il n'a ni contact mobile, ni relais, et sa constante de temps est pratiquement nulle; ses diagrammes sont d'une grande fidélité, comportant jusqu'à 6 et même 7 foyers proches ou très éloignés sur une seule révolution du cylindre enregistreur. Grâce à ces avantages, j'ai pu confirmer expérimentalement, en Suisse, la théorie du repérage sans radiogoniographe, découlant des enregistrements simultanés de l'Ile des Ours et Varsovie, pendant l'Année Polaire 1932—1933, tant pour des foyers proches que lointains [3].

Cet appareil a révélé d'autres propriétés inattendues: ainsi son tracé indique non seulement la direction de nombreux foyers simultanés, mais il donne également une idée sur leur distance. J'ai pu repérer, en particulier, avec une précision remarquable, dans des plages denses de foyers lointains, des grains orageux traversant les Alpes. Une année d'enregistrements simultanés de l'atmoradiographe, du radiomaxigraphe et du radiogoniographe, nous ont apporté un enseignement des plus précieux pour la prévision radiométéorologique du temps en Europe centrale.

Principe du radiogoniographe à secteur étroit.

Je rappelle sommairement le principe de cet appareil, *fig. 1.* Soit deux cadres T. S. F. verticaux disposés rectangulairement et tournant à vitesse constante autour de leur axe de rotation commun, passant par leur centre. Chacun de ces cadres est relié à un amplificateur. La caractéristique de réception de l'un est une lemniscate et celle du second est déformée en une cardioïde, par l'adjonction d'une antenne à effet non directif couplée sur le circuit d'accord. La longueur d'onde est d'environ 11 000 m., conformément aux résolutions de l'Union Radio Scientifique Internationale.

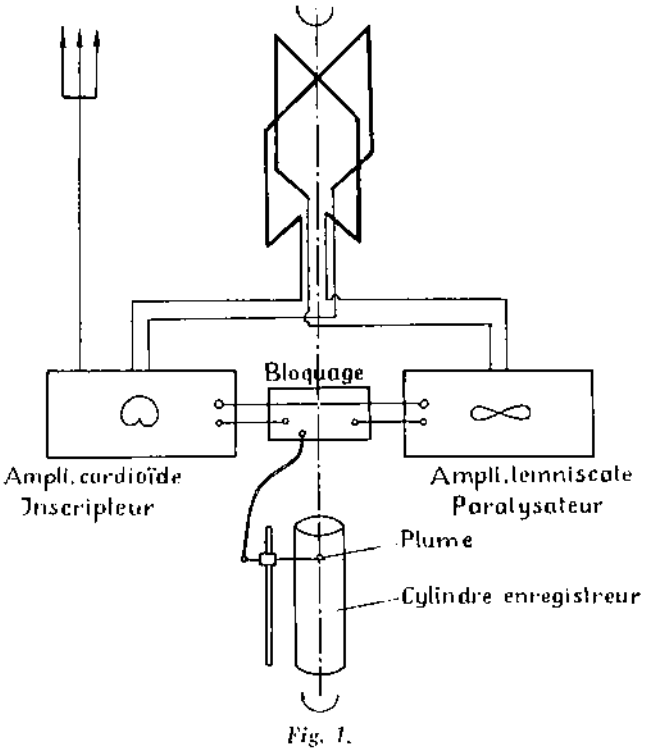

Fig. 1.

[1] Le Dr C. Nobile se réserve de publier ultérieurement une note sur certaines caractéristiques radioélectriques du goniographe. Cet appareil, ainsi que le radiomaxigraphe et l'atmoradiographe peuvent être acquis chez lui.

La combinaison de ces deux caractéristiques, par un jeu de relais, dit bloquage, permet de lever le doute de 180°. Le rapport des amplitudes maxima des deux courbes définit l'ouverture angulaire du secteur de réception, dit *secteur étroit*, qui balaye l'espace à la vitesse de rotation des cadres, à la manière du pinceau lumineux d'un phare maritime.

Le cylindre enregistreur est généralement situé sur le prolongement de l'axe des cadres et animé par un moteur commun. Le long de la génératrice se déplace un style inscripteur, dont la plume est commandée par l'amplificateur à cardioïde. L'inscription a lieu par pointé, de sorte qu'à chaque source individuelle de parasites rencontrée par le secteur étroit correspond un point sur le diagramme enveloppant le cylindre.

Les deux courants de sortie répondant aux caractéristiques de rayonnement de la lemniscate et de la cardioïde, *fig. 2*, se soustraient de la manière suivante. Lorsque le courant I_1 induit dans le cadre à lemniscate est plus intense que le courant I_2 induit dans le cadre à cardioïde, l'inscription ne se produit pas, car la différence $I_1 - I_2$ est positive et paralyse l'organe inscripteur. Par

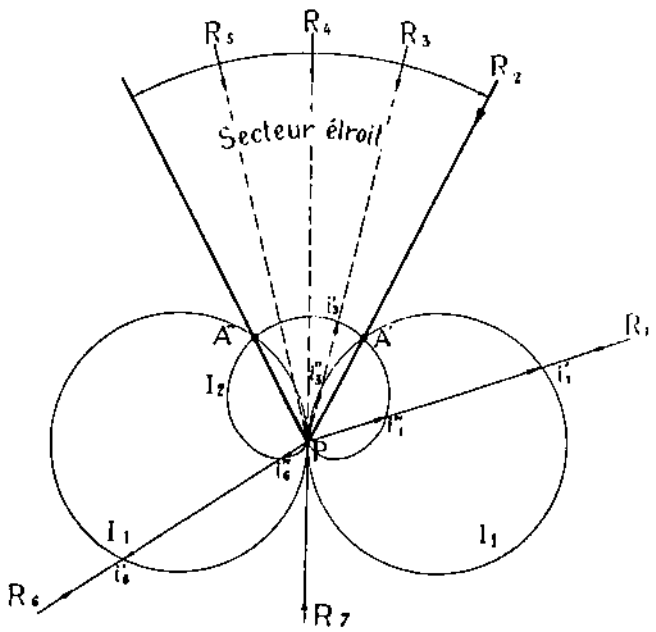

Fig. 2.

opposition, dès que le courant I_1 devient inférieur au courant I_2, le reste de la soustraction est négatif et le relais inscripteur, solidaire de l'amplificateur à cardioïde, se met à taper. L'inscription a donc lieu dans l'angle aigu du secteur étroit, limité exactement dans le système de coordonnées polaires de la figure, par ses deux côtés $I_1 - I_2 = 0$, soit PA', PA''.

On voit donc facilement que l'ouverture du secteur étroit dépend du rapport des amplitudes des caractéristiques, c'est-à-dire du rapport des sensibilités des deux amplificateurs qui ont, bien entendu, la même constante de temps et la même longueur d'onde.

Plus la lemniscate est grande par rapport à la cardioïde, plus les points A' A'' se rapprochent, resserrant le secteur. Inversément, plus l'amplification est poussée dans la cardioïde, plus le secteur s'élargit.

Supposons les cadres au repos. Soit un foyer au nord-est, en R_1. Il induit dans l'amplificateur à lemniscate un courant i'_1 et dans l'amplificateur à cardioïde un courant i''_1. La différence de ces vecteurs étant positive, le courant résiduel engagé dans le circuit d'inscription, paralyse le relais porte-plume, qui n'enregistre ainsi aucun signal. Lorsque le foyer se déplace en R_2, sur le prolongement de PA', les courants induits dans les deux cadres sont égaux et s'annulent. C'est la limite du secteur étroit. Quand le foyer pénètre dans le domaine angulaire du secteur en R_3, le courant induit dans le circuit en lemniscate est plus faible que celui de la cardioïde, la différence est négative, le relais d'inscription est mis en mouvement et pointe la direction R_3 sur le cylindre. Il en est de même pour les positions R_4 et R_5, jusqu'au rayon vecteur PA'', au-delà duquel l'inscription cesse de nouveau. R_6, comme R_1, n'est pas enregistré. R_7, situé sur le côté opposé de la cardioïde, ne laisse non plus aucune inscription, puisque pour ce point les courants sont nuls dans les deux amplificateurs.

Le même raisonnement s'applique si les cadres tournent, que les foyers soient fixes ou mobiles. Dans ce dernier cas, en effet, la vitesse angulaire d'un foyer relativement à celle des cadres est si faible, qu'elle n'intervient pas, ce qui se conçoit aisément. Il faut cependant se souvenir que lorsque le secteur étroit balaye un foyer ponctuel à émission continue, celui-ci inscrit un trait sur le diagramme dont la largeur est exactement celle de l'ouverture du secteur. L'azimut exact de ce foyer ponctuel est donc le milieu du trait enregistré. En conséquence, un foyer d'une certaine superficie, compris entre les orthodrômes ω_1 et ω_2 s'enregistrera sous un arc égal à $(\omega_1 - \omega_2) + 2\alpha$, où α est l'ouverture angulaire du secteur étroit. La direction du centre du foyer est $\dfrac{(\omega_1 - \omega_2) + 2\alpha}{2}$.

Dans les radiogoniographes doués d'une certaine constante de temps, il arrive souvent que, de plusieurs foyers de puissance inégale, répartis d'une manière quelconque, le plus puissant seulement soit enregistré. En effet, le dispositif de vérouillage pourra interdire dans ce cas l'inscription des foyers faibles, si le courant résiduel restant en retard dans la lemniscate est plus fort que le courant de la cardioïde, ceci même en dehors de la région du secteur. Tous les bloquages à relais électromécaniques sont donc paresseux. C'est pour celà que nous nous en sommes débarrassés dans notre nouvel appareil, dont la célérité est telle, qu'il répond à quelques milliers de parasites de toutes intensités, en une seule révolution des cadres. La répartition statistique des décharges orageuses, tant en azimut qu'en fréquence, n'est jamais suffisante, même dans les situations estivales les plus troublées, où l'on compte à Zurich plus de 10 000 parasites à la minute, pour produire un bloquage dans l'une ou l'autre des directions.

Pour fixer les idées, considérons le cas, d'ailleurs rare, de 7 foyers répartis comme dans la figure 2. Dans la position d'arrêt des cadres le foyer R_1 induit un cou-

rant i'_1 dans l'amplificateur paralysateur et un courant i''_1 dans l'amplificateur inscripteur, soit un courant résiduel paralysateur $i'_1 - i''_1 = +A_1$. Les foyers R_2 et R_7 s'annulent et n'entrent pas en considération. Les foyers 3, 4, 5, situés dans le secteur donnent respectivement des courants négatifs $i'_3 - i''_3 = -A_3$; $i'_4 - i''_4 = -A_4$; $i'_5 - i''_5 = -A_5$; enfin le foyer 6 redonne un courant résiduel positif paralysant $i'_6 - i''_6 = +A_6$. Si tous ces foyers émettent simultanément les mêmes types de parasites, il n'y aura inscription possible du seul foyer R_1, situé le plus près du maximum de la cardioïde, que si l'inégalité suivante est satisfaite:

$$(+A_1) + (+A_6) < (-A_3) + (-A_4) + (-A_5),$$

ce qui suppose, bien entendu, que la constante de temps des circuits de vérouillage est voisine de zéro, ou inférieure à la durée d'une décharge.

Or, l'expérience enseigne que des conditions aussi défavorables ne se rencontrent guère dans la nature, en tous cas pas en Europe centrale, au Sahara et dans les régions polaires, où j'ai eu l'occasion d'oscillographier un grand nombre de foyers proches et lointains. L'inégalité est toujours satisfaite, si non à chaque révolution des cadres, du moins dans le 90 % du temps. Si le bloquage devait supprimer l'impression de l'un ou de l'autre des foyers, pendant une révolution, elle reprendrait au tour suivant, de sorte que l'image finale ne laisse apparaître aucune interruption.

Plusieurs conséquences découlent de ces considérations, tant pour les foyers espacés à rares décharges, égrainées le long des fronts froids, que pour les lignes de grains complets, à grande densité de parasites, et les zones orageuses proches et lointaines, solidaires des vastes régions de grande turbulence et de forte convection.

On suppose que la plume inscriptrice descend à une vitesse constante le long du cylindre, quelle que soit la vitesse de rotation de celui-ci, admettant, en sus, que chaque parasite est représenté par un point sur le diagramme. Alors:

a) La vitesse de rotation des cadres est indépendante de la densité des points du diagramme (nombre de points par millimètre carré).

b) Plus le secteur est étroit, moins il y a de parasites enregistrés, à sensibilité égale.

c) Il y a une limite due au seuil de brouillage de l'antenne, au-delà de laquelle on ne peut pas regagner des points en augmentant la sensibilité des amplificateurs.

d) Si le secteur est trop étroit, on risque de perdre les foyers pauvres en parasites ou des foyers lointains, altérés par la propagation.

Les meilleures conditions de fonctionnement sont réunies pour une vitesse angulaire d'un tour à la minute et un secteur étroit de 10° d'ouverture environ. L'appareil construit par le Dr. Nobile permet de diminuer le secteur étroit à 1°, sans difficulté. Des enregistrements des postes T. S. F. proches et lointains ont démontré la grande stabilité d'un secteur de cette ouverture.

Le dispositif de bloquage.

Dans des travaux antérieurs (1930—1935), j'ai publié les schémas de divers dispositifs de bloquage, dont je ne rappellerai ici que le plus simple, pour faciliter les explications suivantes, *fig. 3.*

L'amplificateur à lemniscate actionne le relais R_1, qui s'arrête à chaque demi-tour du cadre, au passage des

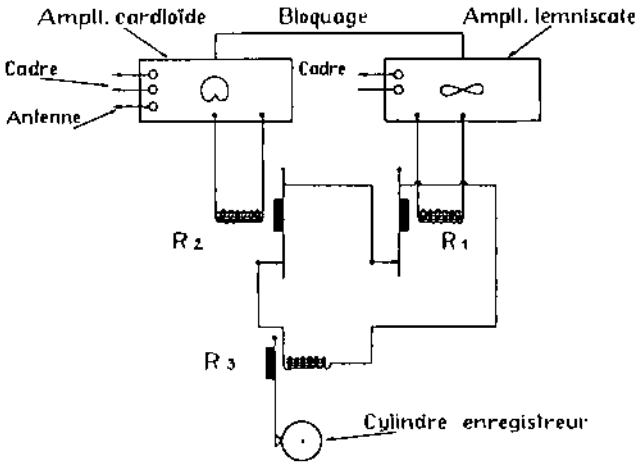

Fig. 3.

deux minima. L'amplificateur à cardioïde est relié au relais R_2, réglé de telle sorte qu'il ne bascule que lorsque le courant atteint une certaine valeur, conditionnée par l'amplitude maximum de la cardioïde. Le relais d'inscription R_3 portant la plume est situé dans le circuit $R_1 - R_2$, comme indiqué sur la figure, de sorte qu'il ne peut taper que lorsque le relais de la lemniscate est au repos et que celui de la cardioïde est au travail.

Le fonctionnement s'explique aisément, par exemple, pour le cas d'un foyer sollicitant les cadres. Lorsqu'à chaque demi-tour le cadre de la lemniscate est normal à la direction du foyer, le relais R_1 autorise l'inscription. Mais celle-ci n'a lieu que si le maximum de la cardioïde du second cadre est orienté dans la direction du foyer. A ce moment-là, R_2 bascule et le circuit de R_3 se trouve fermé. Au demi-tour suivant la cardioïde présente son minimum dans la direction du foyer et R_2 reste ouvert, le pointage ne peut plus se produire.

Si la constante de temps des relais ne dépasse pas $^1/_{30}$ième de seconde, ce dispositif permet, ainsi que je l'ai rappelé ci-dessus, d'enregistrer deux ou tout au plus trois foyers pendant une révolution des cadres.

Il est clair que plusieurs solutions permettent de modifier ce schéma. On peut, par exemple, opposer les courants de sortie dans la bobine d'un relais polarisé, ce qui diminue, dans une faible mesure, la constante de temps. Mais le gain est réduit par les difficultés de réglage et l'instabilité du relais.

Dans le nouveau radiogoniographe ces inconvénients disparaissent, toutes les opérations étant rendues électriques par la suppression des relais.

*

Le radiogoniographe de la Station centrale suisse de Météorologie, construit par le Dr Ing. Guido Nobile.

Les bobinages des deux cadres rectangulaires blindés, correspondant aux longueurs d'onde de 800 et 11 000 m., sont renfermés dans deux jeux de cerceaux tubulaires, en aluminium et montés sur un tube vertical formant l'axe de rotation, *fig. 4°*. Ce dernier s'emboîte dans un manchon mû par un moteur synchrone de 220 V., logé dans un socle. L'ensemble est installé dans une maisonnette en bois à double parois, bien isolée contre les intempéries, *fig. 5°*.

Le socle contient deux amplificateurs apériodiques reliés aux cadres par deux circuits inductifs, stator et rotor, logés dans le tube axial des cadres, de la sorte que tout collecteur à contact est supprimé. Ce dispositif présente d'indiscutables avantages sur les prises à contacts mobiles, telles que les rigoles à mercure ou les bagues huilées or-laiton, qui nécessitent des révisions fréquentes. L'armature des cadres et une des sorties de chaque amplificateur sont soigneusement soudées à la prise de terre encerclant, par un large réseau de fils de cuivre, toutes les aspérités du bâtiment. L'antenne de 30 mètres, légèrement inclinée, descend jusqu'au niveau des cadres et passe de là par un fil blindé à la salle d'enregistrement. Les deux amplificateurs sont joints aux organes de réception de la même manière, par deux fils feeder de 50 m. de longueur. Des commutateurs sur l'axe des cadres et le chassis des amplificateurs permettent de passer immédiatement de l'une à l'autre des longueurs d'onde.

Les organes de réception, d'enregistrement et de contrôle sont dans mon bureau. Un grand chassis à trois étages contient, au haut les deux amplificateurs accordés des cadres, ayant une caractéristique de rayonnement en lemniscate et en cardioïde, avec les boutons de réglage nécessaires, ainsi que les organes de bloquage pour le lever du doute et le secteur étroit, *fig. 6°*.

Dans l'étage du milieu sont logés deux amplificateurs séparés, couplés sur les mêmes aériens, soit un atmoradiographe donnant la fréquence des parasites par minute et un radiomaxigraphe donnant leur intensité absolue et instantanée. Ce dernier appareil peut être enclanché dans une position fixe quelconque du secteur étroit, avec un domaine d'ouverture également quelconque. On peut ainsi enregistrer l'intensité vraie dans un azimut de son choix.

Enfin, l'étage inférieur contient un oscilloscope cathodique, à vitesse de balayage et amplitude réglables, en connection, par un commutateur multiple, avec les divers amplificateurs. Il sert principalement à photographier les parasites, contrôlables simultanément dans un haut-parleur.

Les trois enregistreurs sont logés dans une armoire en métal, avec une large porte en verre à deux battants, *fig. 7°*. Un moteur synchrone de 20 Watts actionne, par les démultiplications nécessaires, deux rouleaux horizontaux de caoutchouc durci, montés en laminoir, entre lesquels se déroule le papier, sous les plumes horizontales de l'atmoradiographe et du radiomaxigraphe. Le même mouvement fait tourner le cylindre vertical du radiogoniographe. Le chariot portant le relais d'inscription par pointé glisse le long d'une colonne verticale creuse fendue sur sa longueur. Une vis hélicoïdale, mue par le moteur, tourne dans l'axe de la colonne et entraîne le chariot, par un timon à cliquet traversant la fente. Un levier permet de séparer facilement la vis hélicoïdale du chariot, qui s'arrête automatiquement en fin de course, à la base du cylindre. Le diagramme de papier est fixé par deux colliers au haut et au bas du cylindre, sans qu'il soit nécessaire de le coller. Le bord du papier peut bailler sans inconvénient le long de la génératrice, car il se trouve appliqué contre la surface même du cylindre avant et pendant le passage de la plume, par un sabot de protection élastique solidaire du chariot.

Les cadres et le cylindre tournent toujours rigoureusement en parallèle et à la même vitesse, puisqu'ils sont entraînés par des moteurs synchrones alimentés sur le même réseau. La synchronisation s'opère une fois pour toutes et automatiquement par un cliquet à relais, commandé par les cadres et verrouillant le cylindre sur son axe-moteur. Enfin, à la base du cylindre, se trouvent les deux curseurs à buttor réglables, renversant à leur passage un contact à culbuteur enclanchant le radiomaxigraphe dans une direction quelconque. Deux roues dentées permutables, logées dans les mécanismes des cadres et du cylindre, permettent en quelques secondes de changer les vitesses de rotation qui sont de 1 tour en 20 secondes, 1 et 3 minutes. Un chronographe imprime toutes les 10 minutes une marque horaire sur le papier commun à l'atmoradiographe et au radiomaxigraphe. Le déplacement de la plume du radiogoniographe étant parfaitement régulier, nous nous contentons d'une marque au début et à la fin en maintenant la plume sur le papier pendant un tour, par un manipulateur fermant le circuit du relais inscripteur.

Le secteur étroit.

Les photographies du spectre des parasites atmosphériques sur l'oscillographe cathodique ont conduit à la découverte d'au moins 400 types de décharges différentes, dont les formes individuelles varient lentement avec la distance de la source, par une altération de propagation. En règle générale, la forme de l'oscillation se simplifie au fur et à mesure que la source s'éloigne. Si une décharge dessine un grand nombre de zig-zag, à quelques dizaines de kilomètres du récepteur, elle n'est plus qu'une boucle lâche et aplatie à quelques milliers de kilomètres. Il découle de là, que les caractères du parasite peuvent, en une certaine mesure, donner une indication sur la distance qui sépare le récepteur de l'orage. Nous avons essayé de conserver cet effet dans notre radiogoniographe, ce que tout dispositif à relais eut rendu pratiquement impossible. Le principe consiste à juxtaposer dans le bloquage, sans aucun retard ni inertie, les mêmes parasites reçus séparément dans les deux amplificateurs. La variation des formes n'intervient alors que par la durée de la présence du parasite. Si deux ou plusieurs parasites de sources différentes ve-

Les figures marquées ° sont hors texte.

Le radiogoniographe de la Station centrale suisse de Météorologie

(Constructeur: Dr. Ing. Guido Nobile)

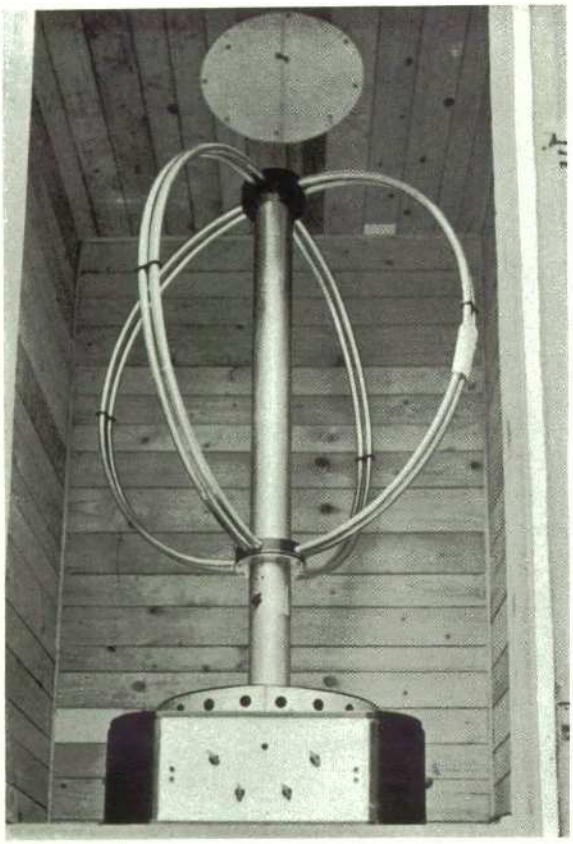

Fig. 4.

Les cadres rotatifs et les amplificateurs apériodiques dans le socle.

(Page 4)

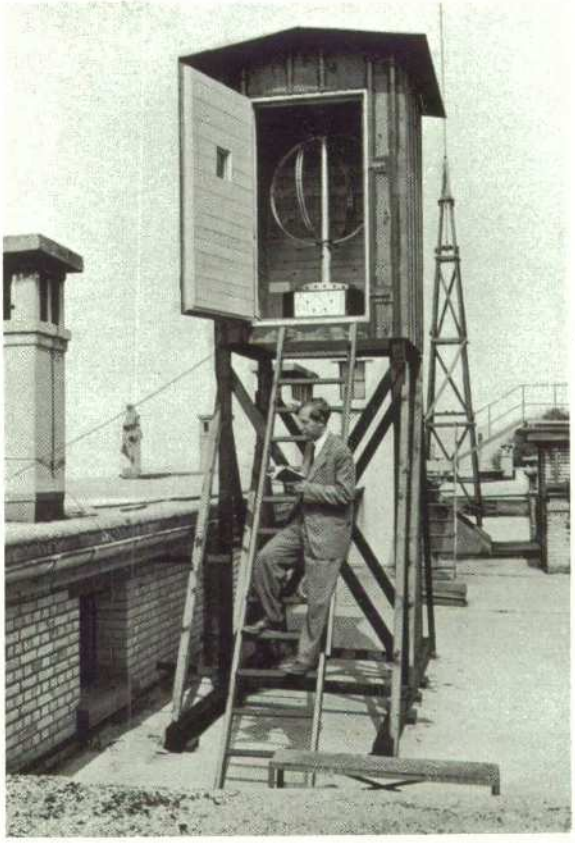

Fig. 5.

La baraque aux cadres sur le toit du bâtiment de physique.

(Page 4)

Fig. 6.

Les amplificateurs et les instruments de contrôle.

(Page 4)

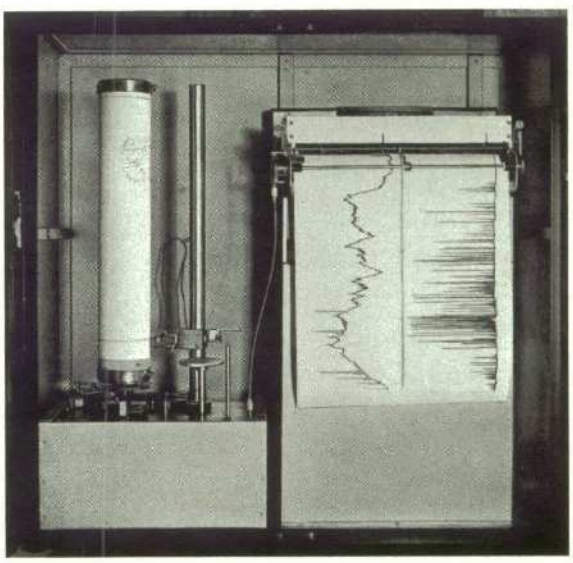

Fig. 7.

Les enregistreurs: cylindre vertical du radiogoniographe à gauche et dérouleur à bande de l'atmoradiographe et du radiomaxigraphe.

(Page 4)

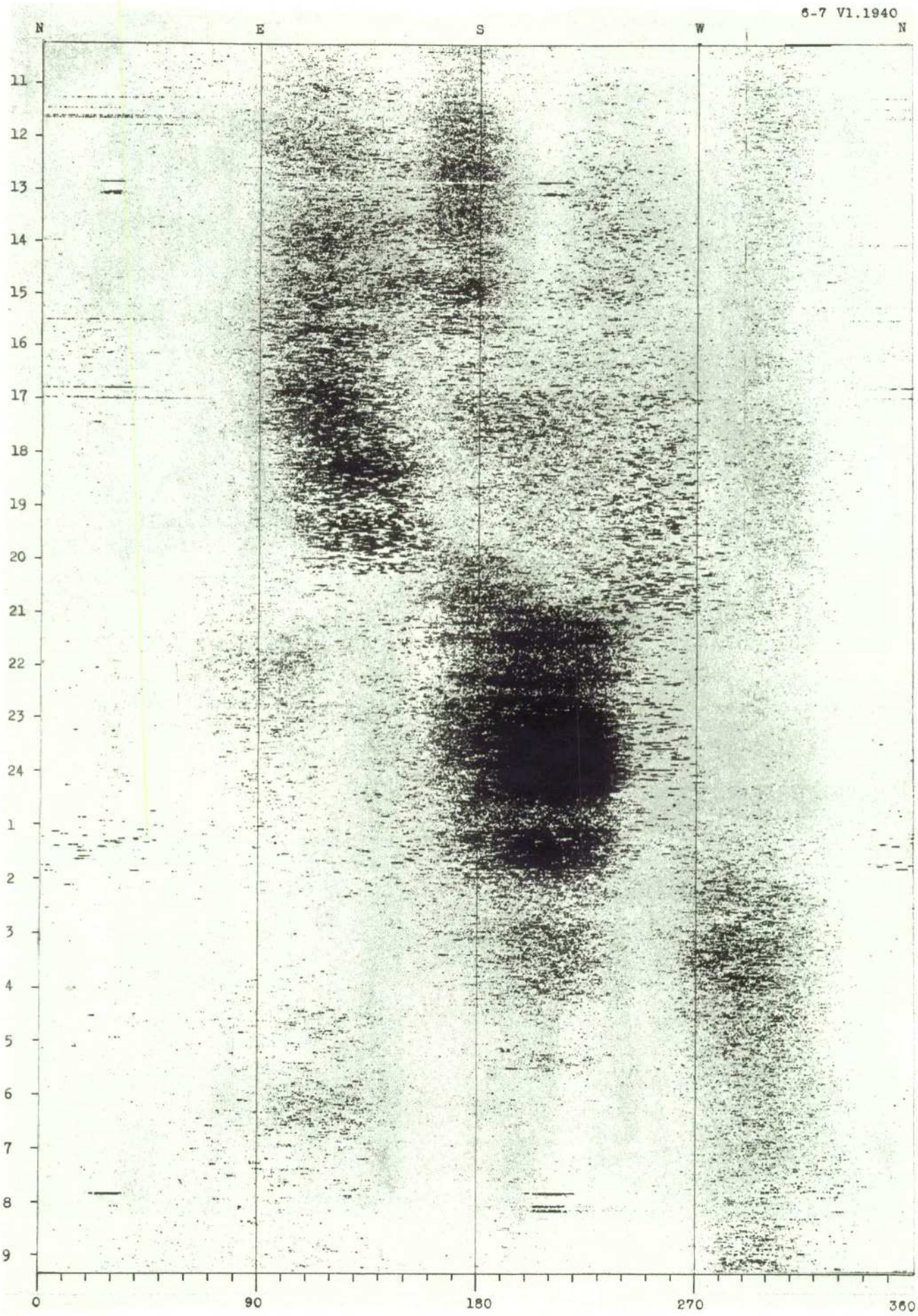

Fig. 13.

(Texte explicatif: page 8)

naient à se mélanger irrégulièrement à l'entrée des amplificateurs, le bloquage ne laisserait rien traverser. La combinaison ne peut se faire que pour des mêmes types de courbes émanant des mêmes sources.

On sait qu'il existe, en quasi-permanence, un certain seuil de brouillage dans tout récepteur T. S. F. ultra-sensible, dû à la fois aux décharges proches et faibles à courte portée [1], et au bruissement continuel des orages extrêmement éloignés, à 10.000 km. ou plus, dont l'atmosphère est toujours le siège, dans l'un ou l'autre des hémisphères.

L'idée a été, tout en travaillant avec des récepteurs de haute sensibilité, de n'utiliser de ce seuil dans le circuit de bloquage, que ce qui en sort franchement. Ainsi, le bloquage ne fonctionne qu'au-delà d'un certain niveau de réception. Autrement dit, nous ne combinons individuellement que les crêtes de parasites ou tout au moins une partie assez élevée au-dessus de l'axe des temps.

A cette fin, les deux amplificateurs à lemniscate (paralysateur) et à cardioïde (inscripteur) comportent chacun, indépendamment des boutons d'amplification, un dispositif de soupape élévateur de seuil, réglable par un bouton. Dans le paralysateur, la soupape agit sur le volume global du bloquage et dans l'inscripteur sur le taux d'admission du courant dans le relais porte-plume, tant en amplitude qu'en durée. La *figure 8* donne une explication de ce mécanisme.

Les trains parasites arrivant à la lampe détectrice sont dessinés le long d'un axe des temps. Le bouton de la soupape du paralysateur permet de déplacer à volonté le niveau AA entre les graduations 0 et 10, de manière à introduire dans le circuit bloquant l'inscripteur tout ou une partie des parasites représentés par la surface hâchurée. Ainsi, quand le bouton indique 10, tous les parasites sont admis dans le circuit de bloquage de la cardioïde et l'inscripteur ne réagit pas. Par contre, si le bouton est à 0, le bloquage est supprimé et l'enregistreur n'est sollicité que par la cardioïde, le secteur atteint alors sa largeur maximum. Sur 5, position normale de travail, les crêtes seulement des parasites sont utilisées.

Il découle du principe du secteur étroit, que les mêmes successions de formes représentées à la *fig. 8* se retrouvent identiques dans les deux amplificateurs, à une fraction d'amplitude près, dépendant de la position des cadres par rapport au foyer. Dans la réalisation pratique de l'appareil construit par le Dr Nobile, on ne fait pas une simple soustraction algébrique des courants des deux amplificateurs, comme je l'ai indiqué dans la théorie du secteur étroit, mais on emploie la tension du courant fourni par l'amplificateur à lemniscate, pour commander le degré de bloquage d'un tube spécial situé dans le dit circuit de bloquage, lequel est également parcouru par le courant de l'amplificateur à cardioïde.

Pour une certaine amplitude de la tension de bloquage, on obtient un bloquage parfait. Par contre, pour des amplitudes de parasites faibles n'atteignant pas cette valeur, il passe encore une certaine quantité de courant dans le circuit de l'inscripteur. Il découle de là, qu'au commencement et à la fin d'un parasite de forme pyramidale, quelle que soit son intensité, on n'aura théoriquement jamais une extinction complète dans l'inscripteur, c'est-à-dire que la base même de la pyramide passera dans le circuit de cet amplificateur. C'est justement pour éliminer cet inconvénient, qu'on a interposé une

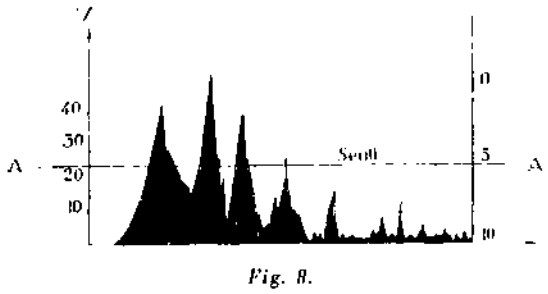

Fig. 8.

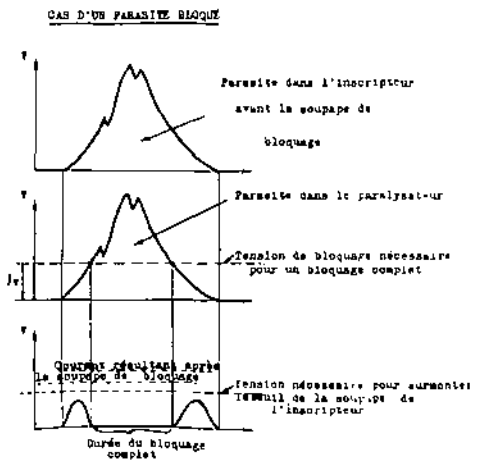

Fig. 9.

soupape entre l'amplificateur à cardioïde proprement dit, et l'amplificateur final, qui le suit et commande le relais inscripteur. Cette soupape permet de doser exacte-

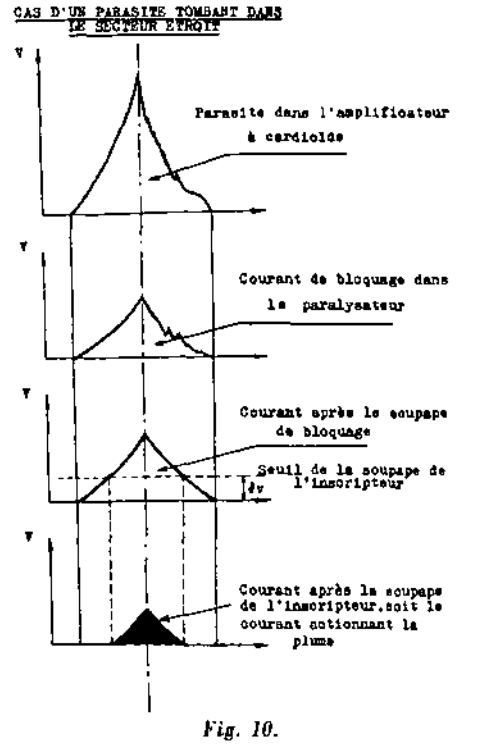

Fig. 10.

[1] Dans nos amplificateurs réglés sur 10.000 m. de longueur d'onde, branchés sur une excellente antenne et des grands cadres, avec une tolérance de sélectivité de quelques kilocycles, les brouillages internes sont négligeables.

ment le courant de sortie de la cardioïde, en éliminant le seuil inférieur non-admissible, d'un parasite insuffisamment bloqué. Grâce aux propriétés du circuit de bloquage ce courant résiduel inadmissible ne peut surpasser, pour aucun type de parasite, une certaine valeur, qui a pu être choisie très petite, de sorte que l'emploi de la soupape ne gêne jamais le fonctionnement de l'appareil, même pour les plus faibles parasites, *fig. 9* et *10*.

Ce dispositif nous rend complètement maître de l'inscription. Notons que cette seconde soupape agit aussi, en une certaine mesure, sur la largeur du secteur, d'autant plus grande que le seuil est plus petit.

Le réglage des divers organes du radiogoniographe est résumé au schéma, *fig. 11*.

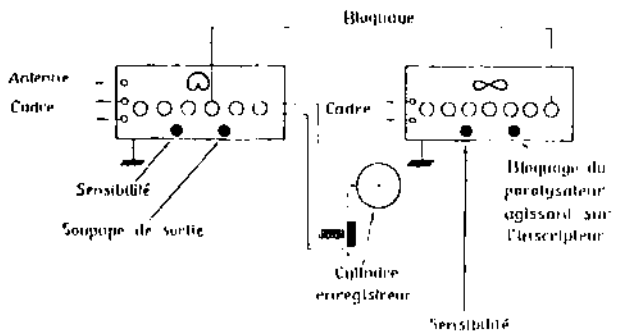

Fig. 11.

Réglage du radiogoniographe.

Je ne résume que la marche à suivre, longue et délicate.

Les cadres sont orientés au théodolite, à la précision d'un demi-degré, dans une triangulation de troisième ordre. Le contact de synchronisation est fixé sur l'un des 4 points cardinaux. Le bord du papier est appliqué contre la génératrice nord du cylindre ou dans la direction du minimum habituel des parasites. L'élimination des postes transmetteurs de T. S. F. se fait par tâtonnement, en agissant sur le circuit d'accord des deux amplificateurs par un bouton commun. Puis, on passe au réglage de la cardioïde, en choisissant de préférence un poste de T. S. F. éloigné, dont la fréquence est voisine de la fréquence muette du goniographe, en manœuvrant successivement le bouton d'amplitude et de phase de l'antenne. On se rappelle que la cardioïde est la somme vectorielle des rayons vecteurs de la boucle de la lemniscate et du cercle, *fig. 12*. L'amplitude est mise sur zéro. La trotteuse d'un chronographe est enclanchée; c'est le temps zéro. La vitesse de rotation des cadres étant de un tour à la minute, l'amplitude est augmentée progressivement jusqu'à ce qu'au temps 30 secondes l'intensité reçue sur le circuit d'antenne seul, corresponde exactement à l'intensité du maximum de la lemniscate de l'inscripteur sans son antenne. Ainsi, l'intensité du champ circulaire de l'antenne A_a est égale au champ maximum de la lemniscate A_1. L'addition des rayons vecteurs A_a et A_1 produit alors la cardioïde, de rayon vecteur A_c. On vérifie, qu'au temps 15 secondes, l'intensité de la cardioïde passe bien par un maximum. Au temps 45 secondes, elle devra alors passer par zéro. Si le zéro n'est pas parfait, c'est qu'un certain courant résiduel parcourt encore le circuit cadre-antenne; il y a déphasage. On agit alors lentement sur le bouton de phase pour annuler le déphasage, ce qui supprime le courant résiduel. La cardioïde est réglée.

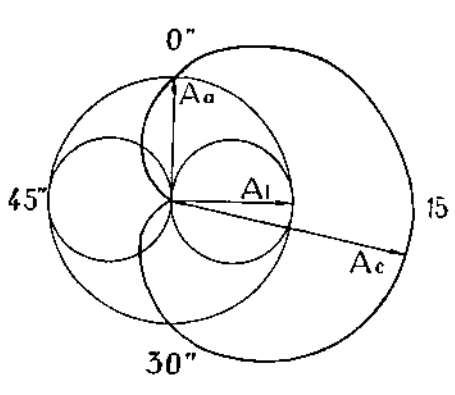

Fig. 12.

Le réglage de la largeur du secteur étroit se fera de préférence sur un foyer unique lointain de parasites atmosphériques. On commence par déclancher complètement le circuit de bloquage du paralysateur, de manière à ne faire travailler que la cardioïde. Le secteur est alors très large. On pousse la sensibilité de la cardioïde le plus possible, pour obtenir un bon tracé. On agit ensuite sur la soupape de l'inscripteur pour diminuer la violence du pointage. Puis, le circuit du paralysateur est enclanché sur l'inscripteur, tandis que l'intensité de la lemniscate est augmentée progressivement, jusqu'à ce que l'ouverture du secteur diminue à une trentaine de degrés. A ce moment, la soupape de bloquage est fermée lentement pour obtenir finalement une ouverture du secteur de 10°. Ces opérations demandent plusieurs jours, quisqu'elles dépendent de la situation météorologique, soit de la position géographique des foyers et de leur largeur orthodrômique réelle.

Aspect des diagrammes.

La photographie, *fig. 13**, donne un bon exemple des principaux types de tracés du radiogoniographe. On y remarque des plages étroites et peu denses, tel le foyer diurne à l'W-N-W, dû à un centre éloigné de quelques milliers de kilomètres sur l'Océan Atlantique. A côté de celui-ci se distinguent trois autres foyers plus serrés, aux points plus épais; ce sont des foyers à l'WSW, à l'ESE et au S, éloignés de quelques 500 à 1000 km. Les traits courts des plages du cadran ESE et S entre 17 h. et 20 h. répondent à des orages, dans un rayon de 300 à 400 km., dont les ondes sont reçues directement, sans passer par l'ionosphère. Enfin, les traits longs sont les parasites d'orages éclatant dans le proche voisinage de la station, à 100 ou 200 km. de distance. La large plage du SSW, entre 21 h. et 2 h. du matin est l'émission des violentes perturbations d'une grosse zone dépressionnaire s'étendant sur le nord de l'Italie, le Golfe du Lion et le large de la Côte-d'Azur. Les traits de quelques millimètres de longueur vers 13 h., 8 h. et 8 h. 30 sont dus à l'onde directe d'un poste T. S. F. proche, ayant accidentellement influencé l'appareil pendant quelques secondes. Les parasites industriels du bâtiment de physique ont imprimé quelques sillages au NE et au NW

au début du diagramme. Des troubles de ce genre sont très rares.

La comparaison journalière de 200 diagrammes de l'année 1940 avec la situation météorologique continentale et les observations d'orages de quelque 350 postes du réseau suisse, doublé des indications de distance du radiomaxigraphe, m'ont conduit à définir l'ordre de grandeur suivant, pour l'échelle d'intensité du radiogoniographe:

Pointé très fin: foyer à plus de 2000 km. (propagation par rayon indirect réfléchi par l'ionosphère).

Pointé fin: foyer à plus de 1000 km. (propagation par rayon indirect réfléchi par l'ionosphère).

Pointé épais: foyer entre 500 et 1000 km. (propagation partielle par rayon indirect et par rayon de surface).

Trait court: foyer proche à quelques centaines de kilomètres (propagation par rayon de surface, essentiellement).

Trait long: foyer orageux très rapproché, à moins de 300 km. ou orage sur la station (propagation de long du sol ou entre les nuages et le récepteur).

*

L'origine météorologique et le régime mondial des parasites.

Il est clair que les diagrammes du radiogoniographe révèleront les mêmes variations générales que celles, maintes fois décrites, de l'atmoradiographe, enregistrant le nombre de parasites par minute, ou du radiomaxigraphe mesurant l'intensité absolue de ceux-ci. Pour faire bien comprendre l'emploi des goniogrammes, je dois rappeler sommairement, ici, les principes de ma méthode de sondage en longitude et en latitude, découlant des enregistrements de l'atmoradiographe (1929 à 1935).

Origine des parasites.

Elle est maintenant parfaitement connue. Les parasites, qui se conduisent sensiblement comme des ondes hertziennes amorties à étincelle ronflante, à fort décrément, sont assimilables aux décharges brutales, explosives, lumineuses ou obscures des condensateurs. Ils rayonnent a) de l'éclair ou de la foudre, qui leur communiquent une portée considérable, dépassant souvent 10.000 km., pour des récepteurs très sensibles accordés sur de grandes longueurs d'onde; b) de la plupart des régions de l'atmosphère, où des manifestations électriques importantes accompagnent la convection, la turbulance ou les effets de contact d'obstacles interposés dans les courants aériens labiles, comme des chaînes de montagnes élevées et accidentées (orages locaux orographiques, production du feu St-Elme, d'effluves, d'aigrettes, etc.); leur portée est alors réduite, atteignant cependant quelques centaines de kilomètres; c) de certaines régions, sièges de changements d'état, comme dans les zones de passage du stade de gélive au stade nival et aqueux, ou, en général, dans les masses atmosphériques à forte instabilité, que traduit l'irrégularité du gradient vertical de température; ces parasites ont une courte portée, quelques kilomètres à quelques centaines de mètres (précipitations électrisées, correspondant à des «parasites obscurs», se manifestant souvent au contact de l'antenne, seulement); d) des vents de sable, du poudrin, du blizzar, du chasse-neige des grandes plaines, du frottement de courants d'air d'origine géographique différente au proche voisinage du sol, de l'embrun attaquant la falaise d'une île maritime montagneuse, etc.; ces parasites locaux ont une portée très réduite.

En résumé, les parasites permettent, par leur portée, leur intensité, leur forme, leur dénombrement par unité de temps, de définir en une certaine mesure, à courte et à longue distance, la nature géographique des corps d'air où ils naissent, stagnent ou d'où ils s'échappent.

La distribution et le régime des parasites est intimément lié à la migration de leurs sources, qui suivent des variations journalières et saisonnières d'une étonnante régularité.

Les parasites à longue portée, susceptibles d'atteindre l'ionosphère, sont essentiellement réfléchis par la couche de Kennelly-Heaviside, à 100 km. d'altitude, qui règle leur propagation de jour et de nuit dans des conditions particulièrement simples et avantageuses. S'ils étaient renvoyés, comme les ondes courtes, par les couches supérieures F_1 ou F_2, très capricieuses, leur régime eut été beaucoup plus compliqué et je crois même qu'il n'aurait alors pas été possible d'utiliser les enregistrements pour le sondage radiométéorologique à grande distance, les variations de propagation masquant les variations météorologiques. Certaines altérations de la propagation, produites par les éruptions chromosphériques solaires de jour, par la formation de E sporadique de nuit, se reconnaissent d'une manière si nette sur les diagrammes, qu'elles ne revêtent pas d'importance pour la diagnose météorologique continentale. Des diagrammes de ces phénomènes sont reproduits dans la note sur le radiomaxigraphe et ailleurs [4].

Le régime journalier et la distribution géographique des foyers.

Par mes enregistrements simultanés entre les latitudes de 30° et 74°, j'ai pu établir les lois essentielles du régime mondial, journalier et annuel des parasites atmosphériques, tant pour les régions soumises aux alternances du jour et de la nuit, que dans le jour polaire et la nuit polaire. Le travail varsovien [1] contient un résumé de ces lois; je me contente de revenir ici sur le régime des latitudes moyennes, intéressant la prévision du temps en Suisse.

On reconnaît d'une manière générale sur tous les diagrammes deux maxima, l'un diurne, d'origine essentiellement météorologique, dû à la variation de l'activité orageuse et à la convection, plus ample en été qu'en hiver, l'autre nocturne, dû au changement des conditions de propagation, par la variation du taux d'ionisation de l'ionosphère, se traduisant en une forte augmentation de la portée et par conséquent à la réception d'un plus grand nombre de foyers lointains de nuit que de jour.

Les deux minima encadrant ces maxima durent, le matin quelques heures, et le soir quelques dizaines de

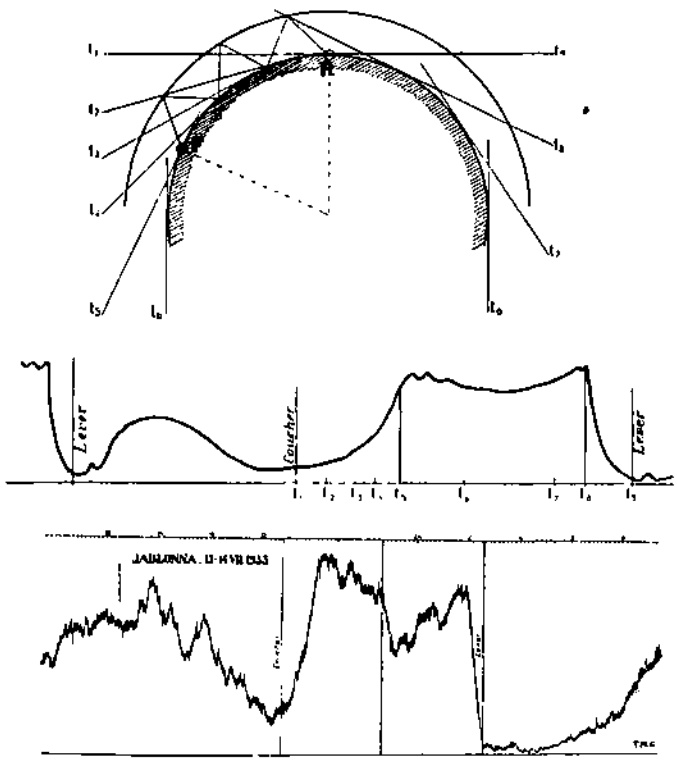

Fig. 14.

minutes, seulement, La *fig. 14* représente la forme moyenne de la courbe en 24 heures. Elle monte modérément après le coucher du soleil, car la recombinaison électronique de l'ionosphère est lente; la propagation met un certain temps à s'établir. Au lever du soleil il en est autrement; la première trace lumineuse apparaissant à 100 km., provoque une forte ionisation par effet photoélectrique, absorbant avec brutalité les ondes parasites qui se trouvent réfractées en cet endroit à ce moment-là, d'où la chute spontanée de la courbe.

Considérons, *fig. 14*, le cas d'un foyer à l'ouest, suffisamment éloigné pour n'être reçu que par ses rayons indirects, réfléchis à 100 km. d'altitude. Pendant le jour, entre les temps t_0 et t_1, on reconnaît le maximum diurne suivi du minimum vespéral. Quelques dizaines de minutes après le coucher du soleil t_1, le terminateur (limite du jour et de la nuit), défini en altitude par les rayons rasants tangents à la terre, atteint 100 km.; la réception des foyers lointains commence. Dès que le terminateur, au temps t_2, entre en contact avec le premier sommet du triangle de réflexion du foyer lointain F_1, celui-ci commence à être enregistré. Lorsqu'au temps t_5 le foyer est entièrement plongé dans l'obscurité, sa réception est maximum, tant en fréquence qu'en intensité, et va durer toute la nuit. Puis, dès que le premier rayon rasant apparaît à l'aube sur le sommet du dernier triangle de réflexion, la réception cesse, se traduisant par la cassure brutale du lever qu'on observe tous les jours.

Le sondage en longitude et latitude.

Ces propriétés universelles, découvertes à Zurich en 1927, servirent de base à la méthode de sondage en longitude et latitude avérée exacte au cours des ans, par quelques milliers de journées d'enregistrements simultanés (Sahara, Açores, Suisse, Pologne, Norvège, Ile des Ours). Le texte suivant, de la Note du 24 juin 1929, à l'Académie des Sciences de France, conserve toute son actualité. [5]

«La position géographique des discontinuités météorologiques d'où rayonnent des atmosphériques lointains est donnée par la forme de la courbe d'enregistrement. Soit un foyer d'émission F sur le méridien du récepteur R (dépression sur la Méditerranée), *fig. 15*. La courbe des parasites sera symétrique par rapport à minuit vrai, puisque, toutes proportions gardées, les phases crépusculaires sont les mêmes en F et R. Si le foyer est à l'ouest de R, sensiblement sur le même parallèle (dépression sur l'Atlantique ou front polaire), le départ des parasites lointains aura lieu après le coucher du soleil en R, avec un retard équivalent à la différence de temps entre les crépuscules en R et en F. Le diagramme donnant ce temps, on en déduit la longitude de F. Si le foyer est à l'est de R (front régénéré sur les Balkans, la Russie), la courbe est identique au cas précédent, mais renversée par rapport à minuit vrai. La longitude de F est alors donnée par le dernier maximum nocturne, correspondant à la fin de la nuit au foyer.

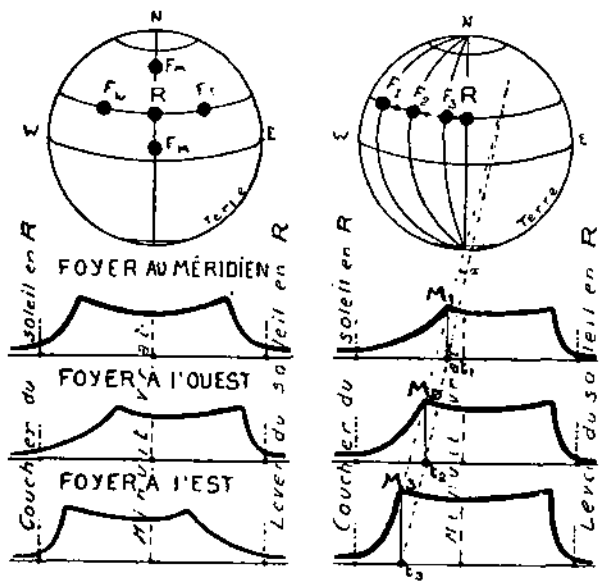

Fig. 15.

La comparaison de ces courbes, jour après jour, permet de déterminer à grande distance la vitesse de déplacement moyenne par jour d'une perturbation solidaire d'un foyer de parasites. Considérons un foyer à l'ouest de R et qui s'en rapproche, *fig. 15*. Soient F_1, F_2, F_3 ses positions successives, au moment où l'anneau crépusculaire le traverse. Sa longitude initiale F_1 sera déterminée par le premier maximum M_1 en R, et qui correspond au moment où le trajet RF_1 est plongé dans l'obscurité totale, soit à la fin du crépuscule en F_1, au temps t_1. Le jour suivant, le même maximum se produira, mais plus tôt, au temps t_2, puisque le foyer en F_2 se sera rapproché de R. On a sa longitude pour les mêmes raisons. Et ainsi de suite pour F_3. Si le foyer s'est déplacé sensiblement sur le même parallèle que R, sa vitesse en kilomètres-heures est alors $\frac{F_1 - F_2}{t_1 - t_2}$ en con-

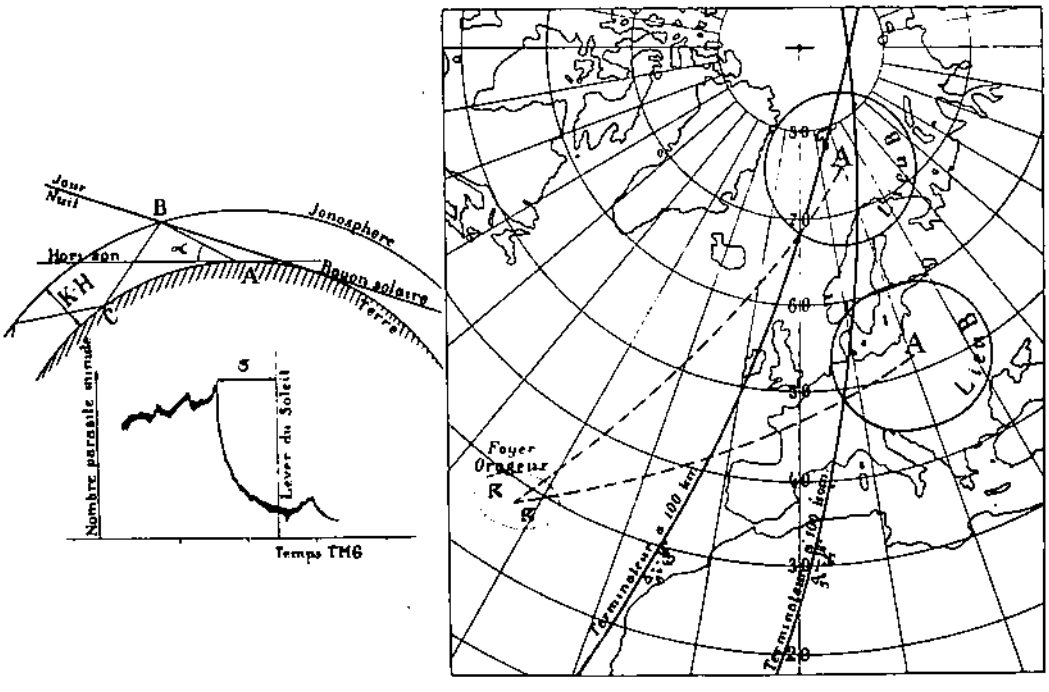

Fig. 17.

vertissant les différences de longitudes en kilomètres et les temps en heures.»

Il découle de ces faits, que si plusieurs foyers dispersés le long d'orthodrômes quelconques influencent simultanément le récepteur, la disparition matinale a lieu successivement dans les différentes directions de propagation, au fur et à mesure que les terminateurs à 100 km. entrent en contact avec les sommets des rayons électromagnétiques, situés dans la couche de Kennelly-Heaviside. La courbe s'abaisse donc en cascade, par sauts successifs, chaque crête fixant une direction bien déterminée. Si la reprise d'intensité est suffisante, le maximum satellite après le lever du soleil au sol sur le récepteur, correspond au même phénomène d'extinction appliqué au second triangle de réflexion du foyer lointain. Ce second maximum post-nocturne sert à lever le doute, dans la méthode de sondage azimutale, dont il est question plus loin.

Rappelons que l'élévation de la courbe, après le coucher du soleil au récepteur, s'opère en sens inverse, selon le même rythme. D'abord apparaissent les foyers orientaux, puis les foyers méridionaux et finalement la troisième ascendance trouve sa source dans les foyers occidentaux.

Les mêmes successions se retrouvent fidèlement sur les goniogrammes, tels que le démontrent plusieurs centaines de diagrammes. La légende de la *fig. 16*° complète cette explication, en situant les foyers.

J'ai pu mettre à profit ces remarquables propriétés électromagnétiques crépusculaires pour déterminer la position géographique rigoureuse des foyers, sans radiogoniographe, *fig. 17*.

Le temps σ, qui s'écoule entre la dernière cassure nocturne de la courbe de fréquence des parasites et le lever du soleil à l'horizon du récepteur A, dépend de l'angle α du rayon électromagnétique avec l'horizon, de l'altitude K-H de la région réfractante et de l'azimut du soleil. Pour α et K-H supposés constants, ce temps est maximum σm, si l'azimut du soleil coïncide avec le plan de propagation, et minimum si cet azimut est perpendiculaire à ce plan. L'azimut Az du foyer de parasites est dès alors connu, $A_{\odot}$ étant l'azimut du soleil:

$$A_z = n\pi + A_{\odot} \pm \tau, \text{ où } \cos\tau = \frac{\sin\frac{\sigma}{2}\cos\left(\frac{\sigma m}{2}+\alpha\right)}{\cos\left(\frac{\sigma}{2}-\alpha\right)\sin\frac{\sigma m}{2}}$$

La détermination graphique de l'azimut se fait de la manière suivante: le lieu des points de réfraction B dans l'ionosphère est un cercle, soit la base du cône dont le sommet est le récepteur A et la génératrice le rayon réfracté, *fig. 17*. On projette ce cercle sur la carte, ainsi que le cercle terminateur à l'altitude K-H de B, soit le lieu des points où le soleil se lève au même moment σ, correspondant à la brisure de la courbe. Les deux points d'intersection du terminateur et du cercle B, joints au récepteur A, donnent deux azimuts du foyer. Il est facile d'en lever le doute, presque tous les foyers décelés en Europe centrale se trouvant dans les directions sud et ouest au lever. Avec deux enregistreurs distants de plusieurs centaines de kilomètres, on déterminera aisément les coordonnées géographiques des foyers par cette nouvelle méthode, ainsi que je l'avais déjà annoncé en 1929, *fig. 18*. Pour 180 jours d'enregistrements à l'Ile des Ours et à Jablonna (Pologne), les recoupements coïncident remarquablement avec les orages des trois continents et de l'Atlantique, relevés sur les cartes météorologiques. Il a été possible, ainsi, de suivre pendant plusieurs jours consécutifs à des milliers de kilomètres de distance, des perturbations orageuses traversant les Etats-Unis et l'Atlantique, confirmant mes constatations et théories antérieures du Sahara et de Zurich

[2]. K-H a été considéré ici à 100 km. et l'angle α, obtenu par approximations successives, vaut en moyenne 2° pour les enregistreurs utilisés, accordés sur 11.000 m. Il varie légèrement avec la distance du foyer, si l'on

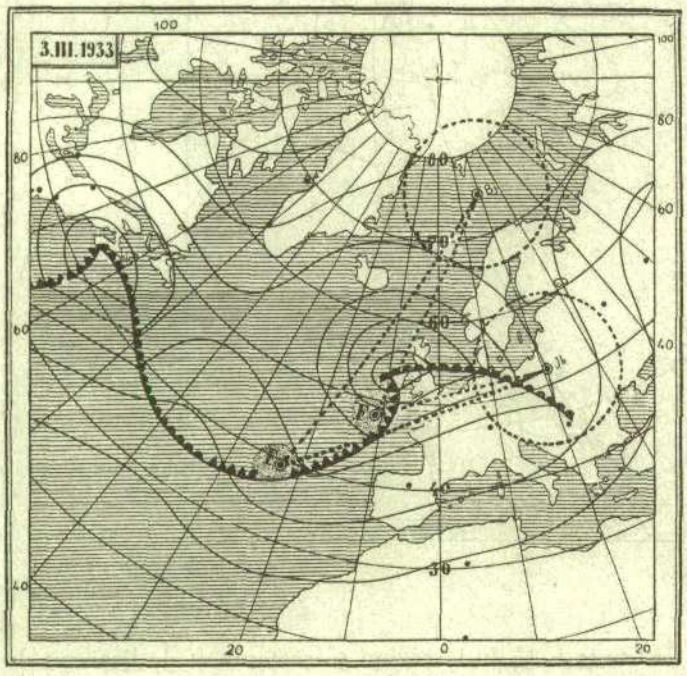

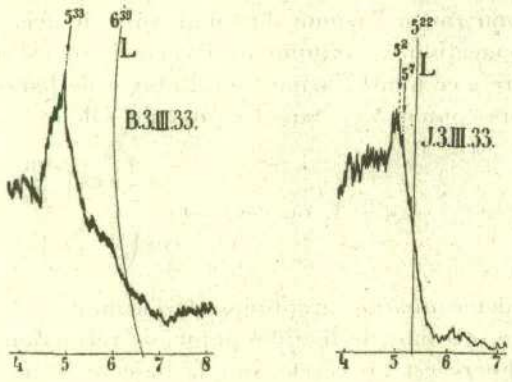

Fig. 18.

L = lever du soleil au sol,
B = Ile des Ours, J = Jablonna (Pologne).

admet la propagation par réflexions successives, mais sans que cela influence notablement l'azimut. Les variations du magnétisme terrestre paraissent également influencer cet angle, mais dans de faibles proportions. Sur 7000 m., α conserve presque la même valeur; par contre pour un enregistrement apériodique, il tend vers zéro, ce qui laisse supposer que la région réfractante, pour les fréquences très basses est parfois au-dessous de l'horizon du récepteur.

Cette méthode à été contrôlée, depuis lors, dans un grand nombre de cas par les radiogoniographes polonais et le nouvel appareil zurichois. La coïncidence du calcul et des goniogrammes est surprenante d'exactitude.

Connaissant ainsi l'azimut des foyers avec une remarquable précision, il est possible, en une certaine mesure, de les situer sur la carte géographique, à la fois par le radiomaxigraphe, qui donne une bonne idée de la distance, comme je l'ai indiqué dans la Note de 1939, ou par la nature du pointé du goniographe, avec l'échelle indiquée ici.

Pour les foyers lointains, à plus de 2000 km., les résultats sont meilleurs, si l'on applique les propriétés de la propagation sus-mentionnées. La position géographique est fixée sur la carte par le recoupement du terminateur du coucher au foyer, dont la position est connue par l'heure d'apparition des premiers signaux et de l'orthodrôme de propagation également connu par le goniographe, *fig. 19*. Mon terminatogramme [1] résout instantanément le problème; je n'y reviens pas.

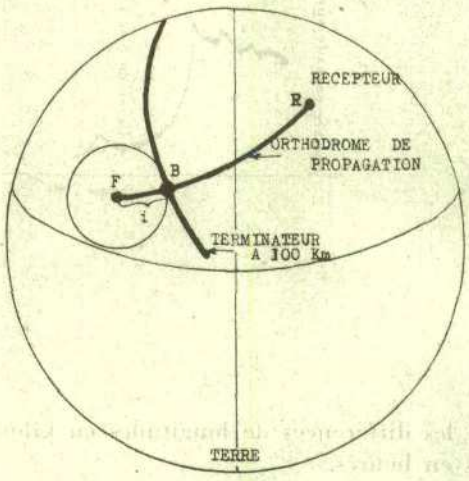

Fig. 19.

Cette dernière méthode n'est évidemment pas applicable aux foyers se trouvant à l'intérieur même du cercle de réception, qui sont reçus par leurs rayons directs, sans réflexion sur l'ionosphère. Le rayon du cercle est d'environ 960 km., pour un angle d'incidence de l'onde de 2° sur l'horizon.

En conséquence, lorsqu'au lever du soleil, la chute habituelle de l'atmoradiographe et la disparition sur le goniographe ne se produit pas, les foyers de parasites se trouvent à l'intérieur de ce cercle, c'est-à-dire à moins de 960 km. Un tel renseignement est précieux pour la diagnose. On trouve dans mon travail de 1935 plusieurs photographies suggestives de ce phénomène.

Si la concordance des goniogrammes et atmoradiogrammes est parfaite au lever, l'intensité, par contre, n'est pas affectée dans les mêmes proportions par l'effet solaire. Pour des sources nocturnes peu éloignées se prolongeant de jour, la diminution d'intensité au crépuscule aubal est de l'ordre de 25% et, pour les perturbations à très grande distance de 50%.

On peut dire, en résumé, que le rayon d'action des appareils utilisés, dépasse 10.000 km. de nuit, mais qu'il n'atteint que 2.000 à 3.000 km. de jour.

J'ai montré, en 1927 [6] que la courbe de l'atmoradiographe permet, en une certaine mesure, de définir la nature géographique de l'air. Les enregistrements de ces dernières années avec des appareils mieux équipés ont confirmés et améliorés ces constatations. Ainsi, l'air polaire pur ou mélangé d'air maritime, dont le rôle est si important, se reconnaît, sans doute possible, par les précipitations fortement chargées et remarquablement enregistrables, qu'il apporte presque toujours avec lui.

Dans le large flux des vents d'ouest, on peut ainsi tracer, à quelques degrés d'azimut près, sur une distance de quelques centaines ou même de mille kilomètres, la limite entre les filets côtoyant de l'air polaire et de l'air maritime, ou maritime tropical, puisque ces derniers sont dépourvus de condensations électrisées.

Les irrégularités du dôme estival diurne de l'atmoradiographe dénoncent la présence de traces d'air polaire à grande distance ou l'arrivée d'une occlusion devenant orageuse. L'amoliissement de ce dôme, par contre, implique une hausse de température, dans les altitudes élevées de la troposphère, comme la présence d'un front chaud à trace lointaine sur le sol. Ces phénomènes ne se retrouvent pas tous dans le goniographe, le rôle de cet appareil étant différent. Une station radiométéorologique complète doit donc être équipée avec les trois enregistreurs décrits.

La migration annuelle des foyers, fonction de la température mensuelle.

On sait qu'un nombre restreint de perturbations météorologiques émettent des parasites. En règle générale, le front chaud pur en est dénué toute l'année, tandis que le front froid est générateur jusqu'à une certaine latitude, qui dépend de la température moyenne de la région où il se trouve. Sous nos latitudes, les méthodes de sondage des perturbations, par l'observation de leurs parasites, ne s'appliquent donc pas invariablement; elles dépendent des conditions de température. La migration en latitude des centres parasitaires est sensiblement parallèle au lent déplacement nord-sud des isothermes de l'été à l'hiver et sud-nord, de l'hiver à l'été. Ce glissement annuel des foyers a été observé également aux Etats-Unis d'Amérique, par Austin, et au Japon, par Noto. Il a un caractère mondial qui s'explique facilement par l'activité des orages, d'autant plus faible qu'il fait plus froid et d'autant plus intense, qu'il fait plus chaud. Des exceptions nombreuses, sans infirmer la règle, rendent cependant les enregistrements aussi utiles en hiver qu'en été. La courbe de la *fig. 20* représente cette migration sur les goniogrammes. En hiver, le domaine moyen d'emploi du secteur du goniographe couvre les régions méridionales, par environ 150 ° d'ouverture de l'ESE à l'WSW. Vers la fin de la période hiémale, il s'ouvre lentement, pour atteindre à gauche et à droite les orthodrômes W et E, soit une ouverture de 180 °. D'avril à octobre les centres émetteurs ont émigré au nord des Alpes, et le domaine du secteur d'enregistrement intéresse tous les azimuts, soit 360 °.

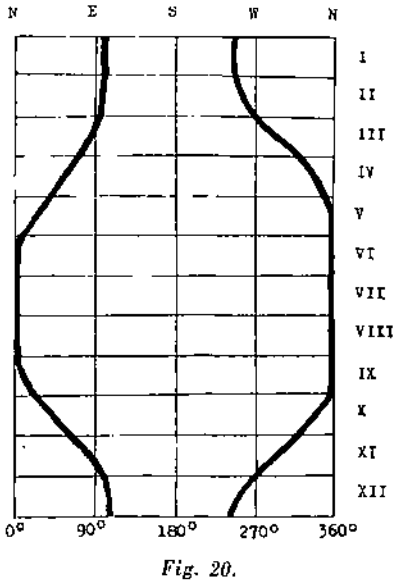

Fig. 20.

Cette courbe de migration ressemble à celle de la température mensuelle avec ses irrégularités, minima et maxima. Ainsi, il n'est pas rare de voir sur le goniogramme, en plein hiver, des foyers au nord-ouest, quand le front polaire refoule des masses tempérées très haut en latitude.

Mais, je tiens à souligner que la tête septentrionale des fronts froids de beaucoup de perturbations atlantoeuropéennes, dénuées de parasites dans la saison froide, échappent à nos enregistreurs. Un secteur WN silencieux, ne signifie pas qu'il n'y a aucune perturbation météorologique dans cette direction-là. Il faut une certaine prudence et de l'esprit critique dans les interprétations des goniogrammes d'hiver. Par contre la richesse électrique estivale des perturbations atlantiques facilite l'emploi des diagrammes, d'avril à octobre.

Dans la région des Alpes, la méthode rend néanmoins d'appréciables services toute l'année, car le complexe méditerranéen, qui régit la moitié de notre climat, n'est pour ainsi dire pas soumis à la loi de migration. L'affaiblissement électrique hiémal y est très faible, comparé à celui de l'Océan. Les dépressions du versant sud des Alpes, de la péninsule Ibérique à l'Italie et aux Balkans sont presque sans exception chargées d'électricité. En cela, l'enregistreur zurichois donne toujours de précieuses informations sur le gradient de bise, quelle que soit la saison.

Si dans les hautes latitudes les fronts froids des dépressions du front polaire sont plus ou moins muets au gros de l'hiver, la règle d'épuration du front chaud subsiste toute l'année, atténuant considérablement les parasites alpins — plus spécialement les parasites obscurs — jusque dans les latitudes relativement basses du bassin méditerranéen.

Les alternances des deux climats européens, témoignés par les foyers de parasites nocturnes.

L'Europe est soumise grosso-modo à deux grands mouvements atmosphériques, l'un, le front polaire atlantique, amenant vers le continent les masses d'air tempéré et humide déterminant notre climat maritime, l'autre, l'anticyclone d'Eurasie, donnant aux vents une composante Est-Nord et fixant les caractères du climat sec continental, *fig. 21.*

Ces deux mouvements ont leur répercussion sur la fréquence des orages et affectent d'une manière considérable le régime des parasites, *fig. 16*.*

Les deux maxima nocturnes successifs vont nous permettre de départager le rôle de ces deux climats.

Les vérifications goniographiques ont donc prouvé que le premier maximum, suivant le coucher du soleil, est créé par les foyers méditerranéens et le second par les foyers atlantiques. J'ai acquis la certitude que l'intensité,

ou mieux la fréquence par minute des parasites est directement proportionnelle à la différence de température entre les courants froids et chauds, dont le contact finit par donner naissance aux dépressions, selon l'image de Bjerknes. Ainsi, plus cette différence est accusée, plus les manifestations orageuses démarquent le front polaire. Il y a donc, quant au foyer atlantique, une relation causale entre le champ parasitaire après 22 heures et l'intensité des échanges d'air polaire et tropical, sur l'Atlantique occidental.

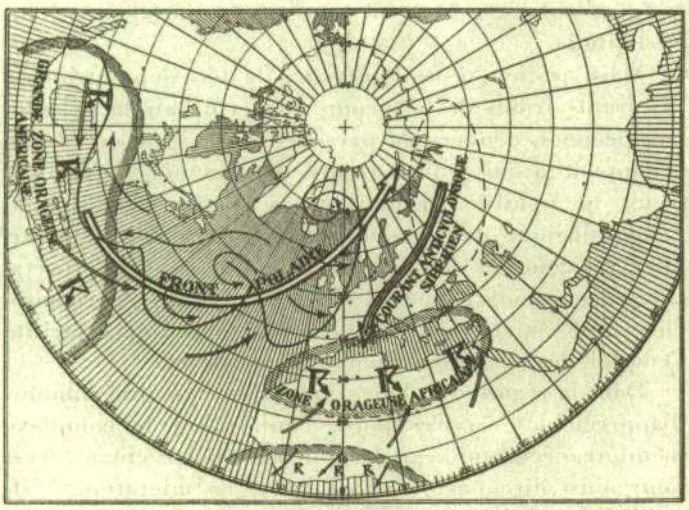

Fig. 21.

Ce fait est d'une haute importance pour la diagnose des états atmosphériques en Europe et partant pour la prévision du temps, à l'échéance de quelques jours. En effet, la région précitée est justement celle qui à été considérée de tout temps, depuis la vieille école de Ferrel, Faye, van Bebber et d'autres, jusqu'à la frontologie de Bjerknes, comme la plus critique, quant aux variations du temps en Europe. Malheureusement, elle est mal connue, car nous en recevons peu de radiométéogrammes. Son activité orageuse, par contre, facilement observable depuis l'Europe, va contribuer d'une manière inespérée, à «tâter le pouls du front polaire», selon l'expression de M. Robert Bureau.

Quand, en hiver, l'anticyclone continental maintient la froidure, l'activité des parasites atlanto-américains est constante et faible. Puis, quelques jours avant que le temps ne se décide à changer, l'amplitude du maximum de 22 heures croit, pour atteindre finalement le plafond des enregistreurs. Les jeunes dépressions atlantiques ont alors emmagasiné suffisamment d'énergie potentielle, pour rompre l'équilibre anticyclonique européen. La migration des foyers en direction du nord commence, et la plage nocturne du radiogoniographe tourne progressivement, jour après jour, du SW vers l'WNW. Il suffit d'un déplacement de quelques degrés seulement, à de pareilles distances, pour dévoiler l'avance considérable des fronts froids en direction de l'Europe (azimut 260 à 275, par exemple). Quelque 24 à 48 heures avant l'apparition du premier front chaud, au large des îles Britanniques, la baisse barométrique s'accuse et l'anticyclone s'effondre. Puis, le régime maritime tempéré s'établit sur nos contrées, les rigueurs de l'hiver disparaissent. Le front polaire a fait son œuvre. Voilà, ce qui résume le rôle du second maximum nocturne.

Mais il faut aussi prendre en considération les renseignements météorologiques que nous apporte le premier, dû aux orages africains. Celui-ci est nettement en rapport avec la circulation de l'air froid sur le continent, descendant vers la Méditerranée à la rencontre des masses tempérées africaines.

Lorsque l'anticyclone se gonfle et que les dépressions de Gibraltar à l'Adriatique se creusent, le champ des parasites nocturnes émanant du secteur sud subit toujours une recrudescence. Les variations d'amplitude de ce maximum vont donc aussi concourir à nous renseigner sur le degré de stabilité de l'anticyclone.

Le rapport des amplitudes des deux maxima nocturnes représente donc, en une certaine mesure, le degré de stabilité, de renforcement ou d'altération de l'anticyclone. Quand le maximum méridional dépasse le maximum occidental, il y a tendance au beau temps froid; quand au contraire ce dernier augmente, l'activité du front polaire reprend le dessus pour compromettre l'anticyclone, qui s'effondre plus tard avec la disparition du foyer méditerranéen.

Ces nouveaux procédés contribuent à préciser *l'indice de stabilité* des périodes allant d'un à plusieurs jours, sans remplacer, bien entendu, les observations du réseau synoptique, cependant que les parasites de l'Océan, fixant la position des fronts froids, comblent pour une part, les lacunes du réseau maritime.

*

Quelques règles d'emploi des goniogrammes pour la prévision du temps, en Suisse.

Définitions.

Pour tirer tout le parti possible des enregistrements simultanés des trois composantes, direction, fréquence, intensité, il faut toujours avoir présent à la mémoire les liens entre les parasites et les phénomènes météorologiques de la carte circumpolaire. Pour les enregistreurs réglés sur une sensibilité moyenne, réagissant aux foyers les plus éloignés, abstraction faite des parasites très faibles et locaux de moindre signification pour la diagnose continentale, on distingue les *régions parasitaires actives*, où les foyers se forment et évoluent et les *régions muettes*, dénuées complètement de parasites. Le domaine de sensibilité des enregistreurs zurichois s'étend de nuit jusqu'aux Etats-Unis d'Amérique, au nord de l'Amérique du sud, à la région des calmes équatoriaux, à l'Afrique du nord, au bassin méditerranéen oriental jusqu'à la Mer Noire, à la Russie occidentale, à la Scandinavie et à une partie du bassin polaire.

Régions actives.

Les parasites naissent essentiellement dans les zones de turbulance ou d'instabilité verticale, de convection, d'ascendances en général, entre le sol et les hauts niveaux de condensation, atteignant 4000 à 6000 m. La tropopause et la stratosphère en sont exempts. La production a lieu:

Au point de vue frontologique:

a) dans les fronts froids,
b) dans tous les types d'orages,
c) dans les zones orageuses comprises entre deux discontinuités,
d) dans les grains complets,
e) dans les occlusions fraîches, dont la trace est encore près du sol et où l'air polaire est prédominant,
f) dans presque tous les fronts régénérés,
g) dans certaines parties des fronts quasi-stationnaires,
h) dans les régions montagneuses élevées et accidentées, soumises à un régime turbulant, où l'air polaire est prédominant;

au point de vue synoptique barométrique, s'il y a présence de condensations:

a) dans les zones de faible gradient barométrique,
b) dans les champs isobariques irréguliers,
c) dans les cols barométriques définissant une ligne de grain,
d) dans les zones d'interférence, en bordure d'un anticyclone,
e) dans les dépressions continentales régénérées avec apport de masses d'air d'origine différentes:

au point de vue des corps d'air et des nuages:

a) dans l'air polaire ou maritime polaire instable, se déplaçant par saccades,
b) dans les nuages du type convectif, Cu, Cu-Nb, Cu-cast, etc.,
c) au niveau de condensation et de précipitation de nuages convectifs surmontant des nuages stratifiés, évoluant à la limite entre les stades de gélivé, nival et pluvial [pluies ou neiges électrisées, caractérisant essentiellement l'air polaire ou polaire maritime, en période non orageuse]:

au point de vue de la température et de l'humidité:

a) l'activité parasitaire dans les régions énumérées, prédisposées à la formation de foyers, est d'autant plus importante que la température et l'humidité spécifique sont plus élevées,
b) les foyers émigrent en latitude avec les isothermes.

Régions muettes.

D'une manière générale les régions où la circulation de l'air est «laminaire», quasi-horizontale, descendante ou très légèrement inclinée sur l'horizon sont complètement dénuées de foyers de parasites, soit:

au point de vue frontologique:

a) dans les fronts chauds,
b) dans la plupart des grandes occlusions à stade avancé, sans ou avec peu de nuages cumuliformes,
c) dans la plupart des grands systèmes nuageux solidaires ou émanant des grandes dépressions atlantiques à fort gradient barométrique;

au point de vue synoptique barométrique:

a) par gradient barométrique fort et circulation laminaire, jusque dans de hautes altitudes,
b) dans les champs isobariques réguliers, sur de grandes étendues,
c) dans la plupart des grandes dépressions atlantiques en stade avancé ou en voie de comblement, sans potentiel thermodynamique important, stationnant des îles Britanniques à la Scandinavie, ou se mouvant lentement de l'ouest à l'est, en conservant sensiblement leur forme;

au point de vue des corps d'air et des nuages:

a) dans l'air tropical stratifié et laminaire,
b) dans l'air tropical maritime stratifié et laminaire,
c) dans l'air continental pur débarassé de condensations et peu poussiéreux,
d) dans tous les nuages stratifiés sans composante verticale importante,
Nb, St, Str-Cu, Al-St, A-Cu, Ci-Str, Ci-Cu, Ci:

au point de vue de la température et de l'humidité:

a) dans les champs isothermiques réguliers,
b) dans l'air adiabatique indifférent ou stable.

Cette énumération précise l'emploi des données radiométéorologiques et ne saurait prêter à confusion dans la diagnose, si l'on suit attentivement l'évolution des foyers, en s'inspirant des méthodes de la frontologie. Il y a deux points à considérer:

A) On connaît la situation météorologique par la carte; alors les parasites ne servent qu'à confirmer, corriger ou infirmer le diagnostique, c'est-à-dire à préciser la position géographique des fronts, à définir la nature des corps d'air en circulation, à renseigner sur le degré de stabilité des anticyclones, etc., selon les faits précédemment décrits. Les foyers donnent, en plus, une idée sur l'énergie des perturbations, leur étendue et leur évolution. Ils sont donc, associés aux régions muettes, un facteur météorologique nouveau, une sorte de tour d'horizon.

B) On ne connaît pas ou insuffisamment la situation météorologique continentale; alors le repérage comblera les lacunes du réseau international, si l'analyse des enregistrements suffit à définir les types de temps liés aux foyers et aux régions muettes. C'est là le point délicat de la méthode. On jugera souvent de la valeur des troubles radioélectriques par éliminations successives de leurs hypothèses de causalité, selon le schéma précédent, en s'aidant des conjonctures météorologiques locales, principalement de la courbe barométrique et des vents en altitude. C'est ainsi revenir aux anciens principes de la prévision locale du temps, avec l'élément radioélectrique en plus.

Les principales directives pour la prévision radioélectrique du temps sont contenues implicitement dans les textes précédents, auxquels j'ajoute quelques règles pratiques, intéressant les trois régimes principaux de notre climat: le régime maritime-atlantique (gradient S-N à SW-NE), le régime méditerranéen (gradient N-S à NE-SW), le régime continental-anticyclonique (gradient quelconque).

Règles.

Régime maritime-atlantique:

L'activité radioélectrique des dépressions de l'Atlantique, dont le centre aborde les côtes européennes, au-

dessus du 50° de latitude, dépend de la saison, de l'âge de la dépression, du stade d'évolution de ses fronts définis par les différences de température au sol.

Les dépressions ne sont directement repérables que par leurs fronts orageux (front froid ou ligne de grain étendue) situés généralement sur le côté arrière. Cependant, la zone de silence du front chaud est aussi un élément de repérage par la négative, lorsqu'il s'avance assez près des Alpes (environ 1000 km.) (voir à ce sujet les exemples dans la Note sur le radiomaxigraphe), *fig. 22.*

Il peut y avoir une certaine ambiguité dans la dé-

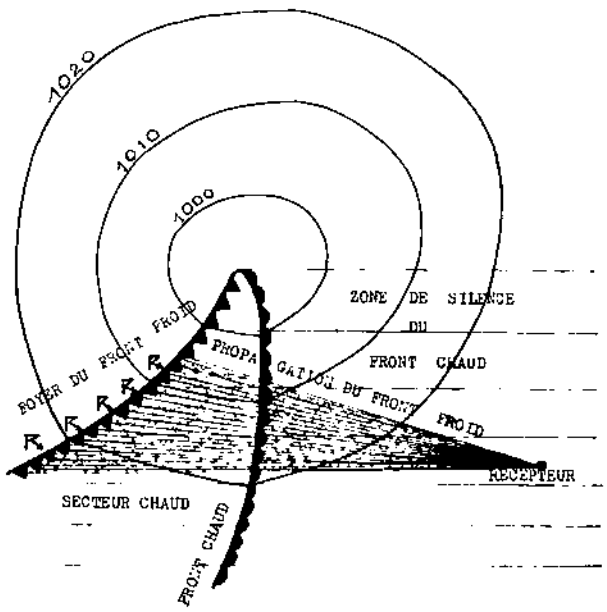

Fig. 22.

signation de l'importance de la dépression, par l'antagonisme entre la production des parasites du front froid et l'épuration électrique du front chaud, qui le précède. Le doute est levé par la comparaison des amplitudes nocturnes de deux jours consécutifs. Il s'écoule d'ailleurs presque toujours plus de 24 heures entre les phénomènes d'évanouissement et la recrudescence des parasites, ce qui est suffisant pour une diagnose.

Une dépression fraîche est liée à un foyer de parasites, en tous cas d'avril à octobre.

Une grande dépression âgée de quelques jours, en voie de comblement, est liée à une vaste zone de silence. (Cette règle peut faire croire à la présence d'un anticyclone dans la zone de silence, mais le doute est levé par la direction du gradient barométrique en altitude observable, en Suisse, par la vitesse et la direction des nuages moyens et supérieurs).

Une occlusion ou un grand système nuageux d'une dépression atlanto-européenne sont exceptionnellement émissifs sur l'Océan; ils peuvent le devenir entre avril et octobre, en abordant le continent et sur celui-ci, pour des raisons orographiques.

Plus la circulation est intense autour d'une grande dépression occlue, moins son activité parasitaire se fait sentir.

Les petits cyclones n'ont généralement pas de parasites.

Les fronts d'une dépression atlantique, en voie de régénération sur le continent, sont producteurs de parasites.

Une dépression couvrant le NW ou le N de l'Europe est émissive, si elle contient une certaine quantité d'air polaire, par contre, elle est muette, si elle n'est composée que d'air maritime ou de masses complexes dégénérées.

Les foyers des dépressions atlanto-européennes paresseuses occupant les latitudes septentrionales à la Suisse ont rarement l'aspect migrateur sur les goniogrammes.

L'activité radioélectrique des dépressions lointaines du front polaire est conditionnée par la différence de température entre l'air polaire-atlantique et l'air tropical-atlantique. En conséquence, l'amplitude nocturne des foyers situés près de l'Amérique donne une idée de l'intensité du front polaire.

La giration dextrorsum lente des foyers atlanto-américains du SW vers le WNW est en corrélation avec la translation générale du front polaire, en direction de l'Europe.

Le régime maritime tend à s'établir sur l'Europe occidentale, dès que l'azimut matinal du centre des foyers dépasse l'W. (La largeur des foyers du front polaire est en moyenne de 30°.)

Les orages des fronts froids atlantiques, de latitude élevée, diminuent considérablement en hiver, où ils ne se manifestent qu'au moment du maximum d'insolation. Conséquemment, les foyers disparaissent de nuit et réapparaissent de jour, principalement entre 11 h. et 15 h. locale sur le front, soit entre 14 h. et 18 h. à Zurich. L'heure d'apparition sur le diagramme, dans les azimuts 260° à 300°, dépend de la distance du front.

En cas d'avance du front polaire, la giration azimutale dextrorsum des foyers n'est que d'une dizaine de degrés en 24 heures. Elle est d'autant plus faible que les dépressions sont plus éloignées. A l'approche du continent la vitesse angulaire dextrorsum augmente.

Si la direction des foyers atlantiques reste stationnaire pendant quelques jours, puis prend un mouvement sinistrorsum lent, l'activité du front polaire est en régression; le régime maritime ne s'établit pas en Europe: il y a formation d'un pseudo-front polaire.

La vitesse d'approche des dépressions atlantiques se calcule par la différence des temps entre la production des maxima nocturnes. La position géographique des foyers atlantiques est donnée par le recoupement de l'orthodrôme de propagation et du terminateur du coucher, à l'heure de production du maximum nocturne à Zurich. (Voir la note: sondage en longitude et en latitude.)

Régime méditerranéen:

Le bassin méditerranéen et les Balkans sont très riches en parasites, faciles à repérer avec précision. L'activité radioélectrique des dépressions méditerranéennes est sensiblement indépendante de la saison.

Les foyers les plus intenses et les plus fréquents s'observent sur le bassin de l'Adriatique.

La migration est souvent rapide, passant par exemple de l'azimut 180° à l'azimut 120°, en quelques heures.

Le développement des foyers méditerranéens est en rapport direct avec le gradient de bise, sur le versant nord des Alpes.

La stagnation de larges plages parasitaires méridionales à faible densité a pour corollaire la stabilité de l'anticyclone européen.

La disparition lente des foyers du secteur sud implique généralement une hausse de pression et le renversement consécutif du gradient barométrique, en Suisse.

Le fœhn anticyclonique correspond à une plage muette au sud des Alpes. L'effet est analogue à celui du front chaud. Le fœhn cyclonique, par contre (seconde phase) donne naissance à un important foyer sur le nord de l'Italie, assiégeant parfois toute la chaîne alpine.

Un foyer balkanique ou adriatique rétrograde, c'est-à-dire se dirigeant dans les sens E-W accuse ou détermine le gradient de bise sur le versant nord des Alpes.

Un foyer se déplaçant rapidement de l'azimut des Baléares à celui de la Sicile ou de la Grèce diminue le gradient de bise sur le versant nord des Alpes.

Les vents du NW, commandés par le gradient SW-NE d'une dépression centrée sur la Scandinavie, amenant de l'air polaire au bassin méditerranéen par la France, engendrent un foyer important au large de la Côte-d'Azur. L'évolution de ce foyer et sa migration vers l'est répond souvent du relâchement du gradient, en Suisse, et de la formation d'un anticyclone temporaire sur les Alpes, ou de la poussée des hautes pressions açoriennes.

Les foyers occidentaux très éloignés, situés au-delà du littoral africain (Tripolitaine, Egypte) n'intéressent pas la prévision du temps en Suisse.

Régime continental-anticyclonique.

Le degré de stabilité de l'anticyclone européen est donné par les variations d'amplitude des maxima nocturnes sur la Méditerranée et l'Atlantique, selon une règle énoncée précédemment.

La disparition définitive ou le retrait momentané de l'anticyclone est prévisible plusieurs jours à l'avance, par le sondage du front polaire.

L'anticyclone est dénué de parasites. Lorsque l'intensité des foyers sur ses bords, oriental et méridional, est en voie d'augmentation, il a tendance à se renforcer.

Quand l'anticyclone se développe lentement sur le continent et que la pression dépasse 775 mm. en Suisse, les foyers méditerranéens s'éloignent généralement à de grandes distances. Cet éloignement renseigne indirectement sur l'importance de l'anticyclone.

L'aspect du maximum diurne de la courbe de l'atmoradiographe, situé dans le voisinage du centre de l'anticyclone, témoigne de l'importance des foyers marginaux. Si le maximum a une forme ogivale pure, les parasites, filtrés par la distance, émanent de perturbations limitrophes très éloignées et sans influence sur l'anticyclone. Si l'ogive s'écrase ou se déforme en une courbe irrégulière, ces perturbations deviennent destructives, en attaquant l'anticyclone généralement par son flanc occidental. Par contre, les altérations des maxima nocturnes par des ondulations ou des crêtes ne sont pas toujours des signes destructeurs.

Causes d'erreurs dans les interprétations.

La propagation diurne et nocturne sur les grandes longueurs d'onde utilisées est peu affectée par les variations accidentelles du taux d'ionisation de l'ionosphère. J'ai rappelé, dans la note sur le radiomaxigraphe [4], les effets très nets et toujours reconnaissables des perturbations ionosphériques à début brusque (orages ionosphériques diurnes de courte durée: quelques minutes à une heure), correspondant aux éruptions chromosphériques solaires, qui se séparent nettement de tous les phénomènes parasitaires. Mais, je dois ajouter, ici, que la formation nocturne de E sporadique, au-dessous de 100 km. d'altitude, peut renforcer notablement le seuil de réception moyen pendant quelques heures. Il en résulte une élévation de la courbe de l'atmoradiographe. On reconnaîtra facilement que ce renforcement de la propagation n'est pas en rapport avec l'activité des foyers, s'il se produit simultanément sur toutes les plages du gonigramme, qui s'assombriront par le serrage des points. Dans le cas d'un seul foyer, cependant, il sera difficile de faire la part de la propagation, ce qui peut entraîner à des erreurs d'interprétation.

La couche E sporadique, toutefois, due vraisemblablement à la recrudescence temporaire du bombardement corpusculaire solaire, dans la région sombre de l'ionosphère, se produit rarement et presque essentiellement dans les mois d'été. A cette époque, il y a assez de plages de densités différentes présentes, pour lever le doute.

Une autre cause d'erreur est l'apparition spontanée, de courte durée, de petits orages de chaleur orographiques. La lecture du diagramme, à ce moment-là, peut donc aussi prêter à des confusions. On ne saurait formuler de règle; seule la pratique enseignera ce qu'il faut penser de ces «points épars», sur les goniogrammes.

Enfin, il semble que certains phénomènes de polarisation d'origine ionosphérique, d'ailleurs extrêmement rares, suppriment pendant quelques instants le lever du doute du goniographe, surtout au passage des anneaux crépusculaires.

L'effet nocturne, par contre, ne semble pas influencer le repérage, la couche E restant généralement stable pour les longueurs d'onde utilisées.

Le repérage des orages et des lignes de grain en Suisse.

La plupart des orages suisses sont migrateurs et solidaires de lignes de grains. J'en ai donné une classification dans mon rapport annuel de 1925 (Annalen M. Z. A., 1926 [7].

Voici deux cas remarquables d'une ligne de grain longeant le Plateau suisse, en passant sur le goniographe.

Ligne de grain orageuse du 11 juillet 1910:

A 9 h., le goniographe dessine une large plage très éloignée, entre les azimuts 40° et 80° ainsi qu'un foyer diffus moins éloigné, entre 290° et 340°, *fig.* 25°.

A 12 h. 30, le radiomaxigraphe, orienté dans le secteur SW, réagit à des coups de foudre, à 300 kilomètres. *Fig. 25**. Le goniographe enregistre les premières traces du grain dans la direction 230°, sur la vallée du Rhône français.

A 13 h., ces points se transforment en traits, signifiant que l'orage s'approche de la frontière suisse. A 13 h. 30, *fig. 23*, Genève signale des éclairs sur le Salève et le sud du Jura; la ligne de grain a pénétré sur le Plateau suisse, le goniographe en donne exactement la direction (235° à 240°).

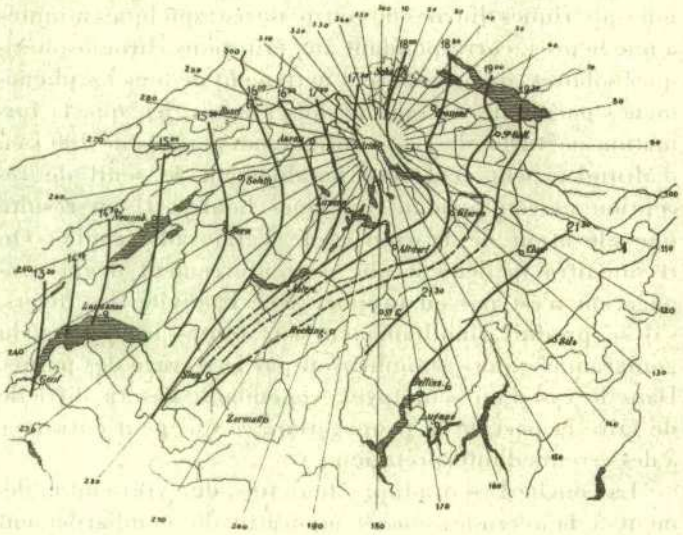

Fig. 23.

Après 14 h., le foyer s'élargit et prend une forme pyramidale. L'isobronte frontale s'étend du Petit Léman au lac de Joux.

A 15 h. 30, la ligne de grain a balayé le canton de Vaud. L'isobronte va des Préalpes fribourgeoises au lac de Bienne. Quelques instants plus tard, la foudre tombe sur le Palais fédéral, à Berne, fondant les fusibles du réseau de lumière.

A 16 h. 30, la ligne de grain touche le canton de Lucerne. La station de Werthenstein enregistre un beau crochet barométrique, *fig. 24*.

A 17 h. 50, le rouleau du grain est en vue de Zurich, puis s'entend sur la ville à grand fracas. Il grêle avec abondance. Le vent saute du SSW au NNW.

A 18 h., la ligne de grain traverse exactement le zénith de la station. Elle se confond avec l'axe du secteur étroit. Le goniographe trace une plage étroite embrassant les azimuts de 0 à 360°, pendant les quelques minutes que dure ce passage.

A 18 h. 05, le grain a sauté définitivement du SW au NE et il s'éloigne de la ville. A 18 h. 45, l'intensité diminue déjà fortement sur le radiomaxigraphe, *fig. 25**. Vers 19 h., le secteur se rélargit, l'orage se régénère dans les ascendances des collines de l'Oberland zurichois, puis il envahit St-Gall et Appenzell, pour mourir au-delà du lac de Constance, vers 21 h. 30.

La carte des isobrontes, dressée d'après les observations d'environ 200 postes disséminés sur tout le parcours de la perturbation, correspond d'une manière remarquablement sincère au tracé du goniographe. La vitesse de la ligne de grain fut de 45 km. à l'heure, *fig. 23*.

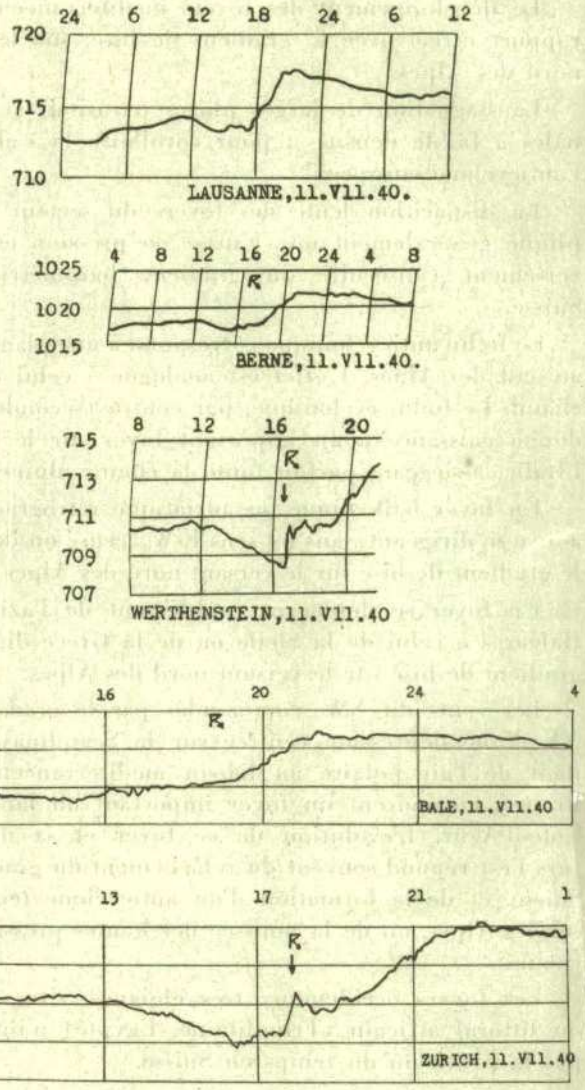

Fig. 24.

Ligne de grain orageuse du 24 septembre 1940:

L'inscription ressemble frappement à celle du 11 juillet. Vers. 13 h., le radiomaxigraphe se ressent des premiers symptômes d'orages proches, *fig. 27**. On distingue, dès 14 h., deux fronts fortement chargés dans les secteurs NE et WSW. Le premier se déplaça du NE à 1'E, dans les cantons de Thurgovie, St-Gall et le nord des Grisons. Le second est plus intéressant, car il longea tout le nord de la Suisse. Je le décris sommairement:

Vers 15 h., le radiomaxigraphe indique 250 à 280 km., comme distance approximative de l'orage, en direction W 1/4 SW. La plage du goniographe est relativement étroite, le front se déplace au delà de notre frontière, jusqu'à 17 h., *fig. 28**. A 18 h., il déborde du Jura sur La Chaux-de-Fonds, *fig. 26*. L'intensité augmente fortement. A 19 h., l'isobronte relie en ligne droite Bâle et Berne. A 20 h., elle se place entre Baden et le lac de Hallwil, sans descendre plus au sud. C'est exactement la direction repérée par le goniographe. A 20 h. 50, l'orage passe sur Oerlikon, en frôlant l'enregistreur. La plage s'étire en azimut, sans cependant balayer les 360°, puisqu'elle ne passe

qu'en tangente. Le tracé est, en celà, d'une extraordinaire fidélité.

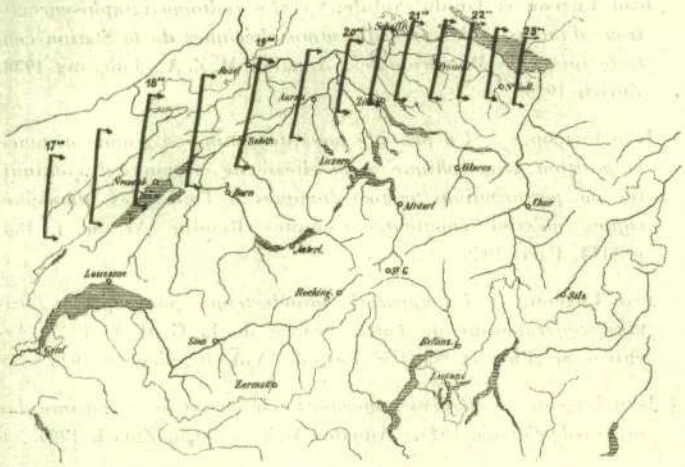

Fig. 26.

A 21 h., on signale de violents coups de foudre sur Dübendorf, où le vent saute de 180°. La ligne de grain s'éloigne du Zürichberg, en direction de l'E, pour rejoindre entre 21 et 23 h., le premier orage signalé, dans la vallée du Rhin. La vitesse de la ligne de grain fut de 42 km. à l'heure, *fig. 26.*

Cet exemple est d'autant plus intéressant que la plume traçait simultanément d'importants foyers éloignés, en migration du S vers le SW et l'W, démontrant les propriétés remarquables du nouveau radiogoniographe zurichois, *fig. 28*.*

Ces deux diagrammes, choisis entre beaucoup d'autres, au cours de la première période estivale de fonctionnement, montrent combien les repérages sont précis. Un second enregistreur, placé en Suisse française, permettrait de suivre minute après minute la position géographique rigoureuse des orages de notre pays, par des recoupements trigonométriques.

Une telle installation, facile à synchroniser, pourrait vraisemblablement nous dispenser d'une grande partie du réseau d'informations synoptiques des orages pour l'aéronautique.

Les Ursigrammes M.Z.A. [1]

Depuis plus d'une année, la Station centrale suisse de Météorologie (M. Z. A.) transmet journellement par télescripteur à ses annexes des textes (Ursigrammes) rédigés dans un langage conventionnel, donnant en quelque 50 à 200 mots, l'azimut et les principaux caractères des foyers de parasites intéressant l'Europe et l'Atlantique. On essaie, actuellement, chaque fois que les circonstances le permettent, d'adjoindre à ces textes une courte diagnose radiométéorologique européenne. Ces ursigrammes, aux dires des usagers, ont rendu des services, prouvant qu'il n'est pas toujours nécessaire d'avoir les enregistreurs sous les yeux, pour les applications pratiques, dans les sous-stations de prévision du temps.

Voici quelques exemples se rapportant aux figures [2].

*

Ursigramme M. Z. A., 7. VI. 1940 *(fig. 13*):* Plage nocturne très intense et proche avec nombreuses décharges dans le pays de 20 h. à 4 h., azimut: 180° à 230°. Parasites à 9 h.: grande dispersion de 20° à 140°. Foyer mieux marqué 190° à 195°. Zone dense et serrée peu éloignée 275° à 320°. Intensité nocturne violente, diurne en affaiblissement. Encore de nombreux signes de labilité et de convection proche.

Ursigramme M. Z. A., 11. VII. 1940 *(fig. 24*):* Parasites à 9 h.: Foyer net éloigné, peu dense, 30° à 80°, se prolongeant par quelques points dispersés jusqu'à 125°. Rares décharges peu éloignées entre 290° et 340°.

Ursigramme M. Z. A., 12. VII. 1940 *(fig. 24*):* Parasites à 9 h.: Foyer orageux proche jusqu'au lever 10° à 145°. Orages dans le pays, en migration du S vers l'E: 120° à 170°. Autres azimuts entièrement calmes.

Ursigramme M. Z. A., 22. XI. 1940 *(fig. 16*):* Hier soir maximum méditerranéen éloigné très net de 155° à 205° se retrouvant le matin rapproché de 115° à 140°. Second foyer atlantique éloigné très net et serré 235° à 275° avec maximum de densité sur 250°. Traces éparses peu éloignées de 300° à 315°. Deux colonies très éloignées à 140° et 175°.

Ursigramme M. Z. A., 24. IX. 1940 *(fig. 28*):* Au lever importante zone dispersée et peu éloignée de 180° à 275° avec maximum de densité sur 270°, au-delà de 1000 km. Points épars peu éloignés 350° à 360°. Décharges nettes proches 55° à 85°, soit les restes d'orages d'hier en bordure du pays.

Ursigramme M. Z. A., 16. VII. 1940 *(fig. 29*)*, 14 h.: Au lever importante et violente zone orageuse étroite et proche ayant émigré depuis 6 heures de 170°—185° à 90°—115°. Distance actuelle 200 km. à 250 km. Colonie peu éloignée 5° à 120° également en migration E-N.

Ursigramme M. Z. A., 17. VII. 1940 *(fig. 29*):* Au lever 4 foyers serrés et nets 60° à 90° peu éloignés se prolongeant de jour, soit les restes du front froid ayant passé hier au sud des Alpes et sur l'Adriatique, à moins de 600 km. Autres foyers 175° très éloigné, 210° à 230° éloigné, 265° à 290° peu éloigné se retrouvant mais anémié de jour. Intensité en augmentation.

Ursigramme M. Z. A., 6. VIII. 1940 *(fig. 30*):* Remarquable migration de 14 h. jusqu'au lever d'une grande zone orageuse de l'WNW à SSW s'anémiant vers la fin de la nuit. Parasites 8 h.: Dispersions dans presque tous les azimuts: 40° proche, 220° à 250° dans le pays. Le second grand centre nocturne proche autour de 270° s'étale de 220° à 320°. Il intéresse déjà le pays. Forte intensité.

Ursigramme M. Z. A., 10. VIII. 1940 *(fig. 31*)*, 14 h.: Migration remarquablement nette d'un foyer étroit et proche de 190°—220°, à 9 h. à 45°—100° à 14 h. Orages importants en Suisse orientale et méridionale. Second foyer très précis et proche à 150°—175°. Troisième zone orageuse proche peu dense avec décharges éparses 260° à 310°. Traces 350° superposées à un foyer lointain diffus.

Ursigramme M. Z. A., 20. IX. 1940 *(fig. 32*):* Parasites au lever: Zone diffuse avec répartition inégale proche et lointaine dans le cadran N-E. Foyer net à moins de 500 km. 150°—160°. Orages à moins de 300 km. faisant suite au grand foyer SSW ayant débuté hier après-midi. 185°—220°. Foyer éloigné relativement peu dense autour de 270°. Zone de convection orageuse nette à rares décharges à moins de 300 km. de 335° à 360°.

[1] Ursigramme: abréviation des radiogrammes quotidiens de l'Union Radio-Scientifique Internationale (U. R. S. I.) contenant des informations sur l'agitation magnétique, l'activité solaire, etc. Pendant quelques années, le Comité national anglais ajoutait la position géographique des foyers atmosphériques triangulés sur une base de 550 km. Voir [1], les ursigrammes polaires.

[2] Les directions azimutales se lisent sur la carte orthodrômique de Zurich, page 20.

Bibliographie.

[1] Jean Lugeon. — «*Sur la nécessité d'une station polaire permanente d'observations radiométéorologiques pour les services de prévision du temps, suivi d'un appendice donnant la description sommaire des atmoradiographes et radiogoniographes.*» In-8°, 96 pages, 65 figures. Warszawa 1935. (Ce livre contient un résumé des travaux de l'auteur et une liste bibliographique de 1920 à 1935.)

[2] Robert Bureau. — «*Les foyers d'atmosphériques.*» Mémorial de l'Office National Météorologique de France, n° 25, Paris 1936. (C'est l'ouvrage fondamental de R. Bureau qui contient la synthèse de ses principales idées et une bonne bibliographie de ses travaux de 1924 à 1936, auquel nous renvoyons le lecteur.)

[3] Jean Lugeon. — «*Localisation à grande distance des foyers de parasites atmosphériques sans radiogoniomètre.*» Comptes Rendus, Ac. Sc. t. 199, p. 1059, Paris 1934.

[4] Jean Lugeon et Guido Nobile. — «*Le radiomaxigraphe-enregistreur d'intensité des parasites atmosphériques de la Station centrale suisse de Météorologie*», Annalen M. Z. A., Jahrgang 1938, Zurich 1939.

[5] Jean Lugeon. — «*Un procédé pour déterminer à grande distance la position géographique et la vitesse de certaines discontinuités ou perturbations météorologiques à l'aide des atmosphériques qu'elles émettent.*» Comptes Rendus Ac. Sc. t. 188, p. 1114, Paris 1929.

[6] Jean Lugeon. — «*Un appareil radioélectrique pour déceler l'origine géographique de l'air.*» Séance de la G. M. A. 1927. Archives Sc. Phy. et Nat. 5e Période. Vol. 10. Genève 1928.

[7] Jean Lugeon. — «*Brèves remarques concernant le mécanisme des orages de l'année 1925.*» Annales M. Z. A. 1925, Zurich 1926.

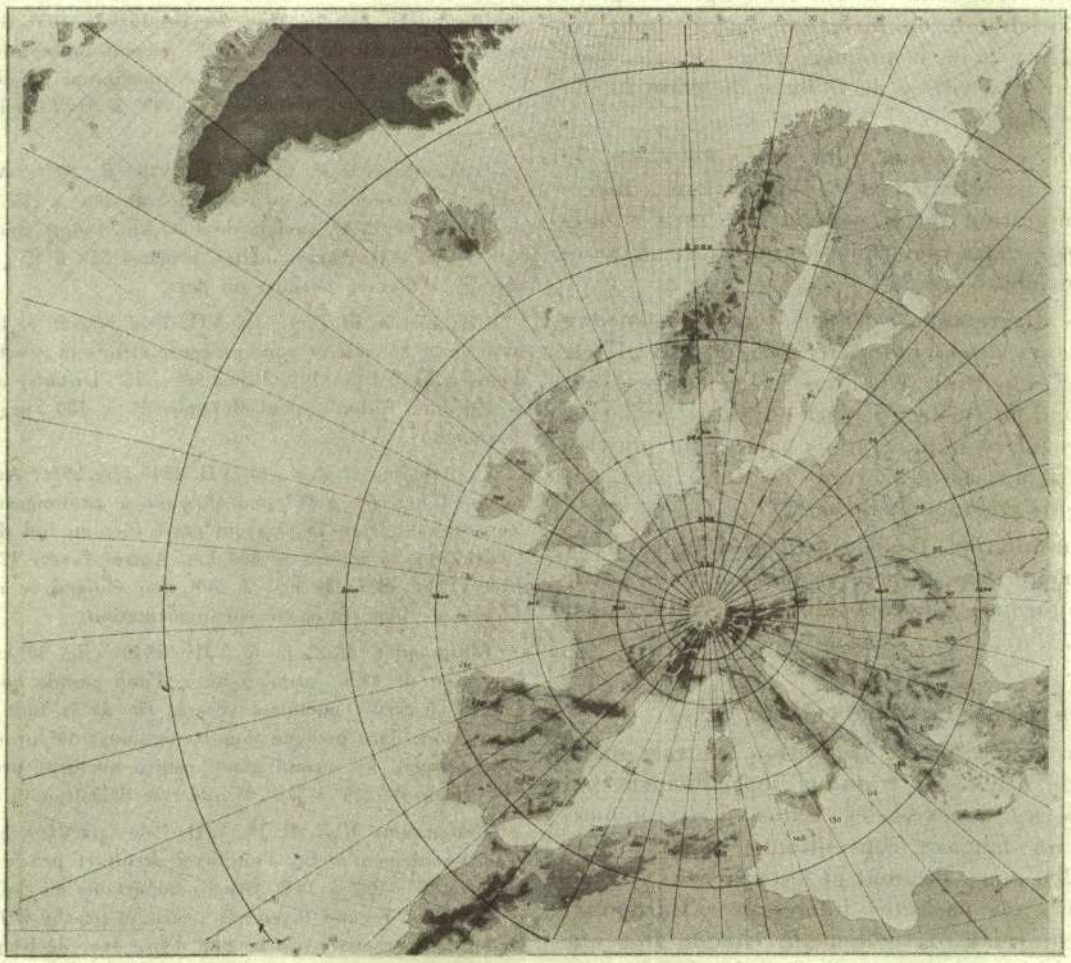

Carte orthodrômique pour Zurich

Décembre 1940.

Station centrale suisse de Météorologie.

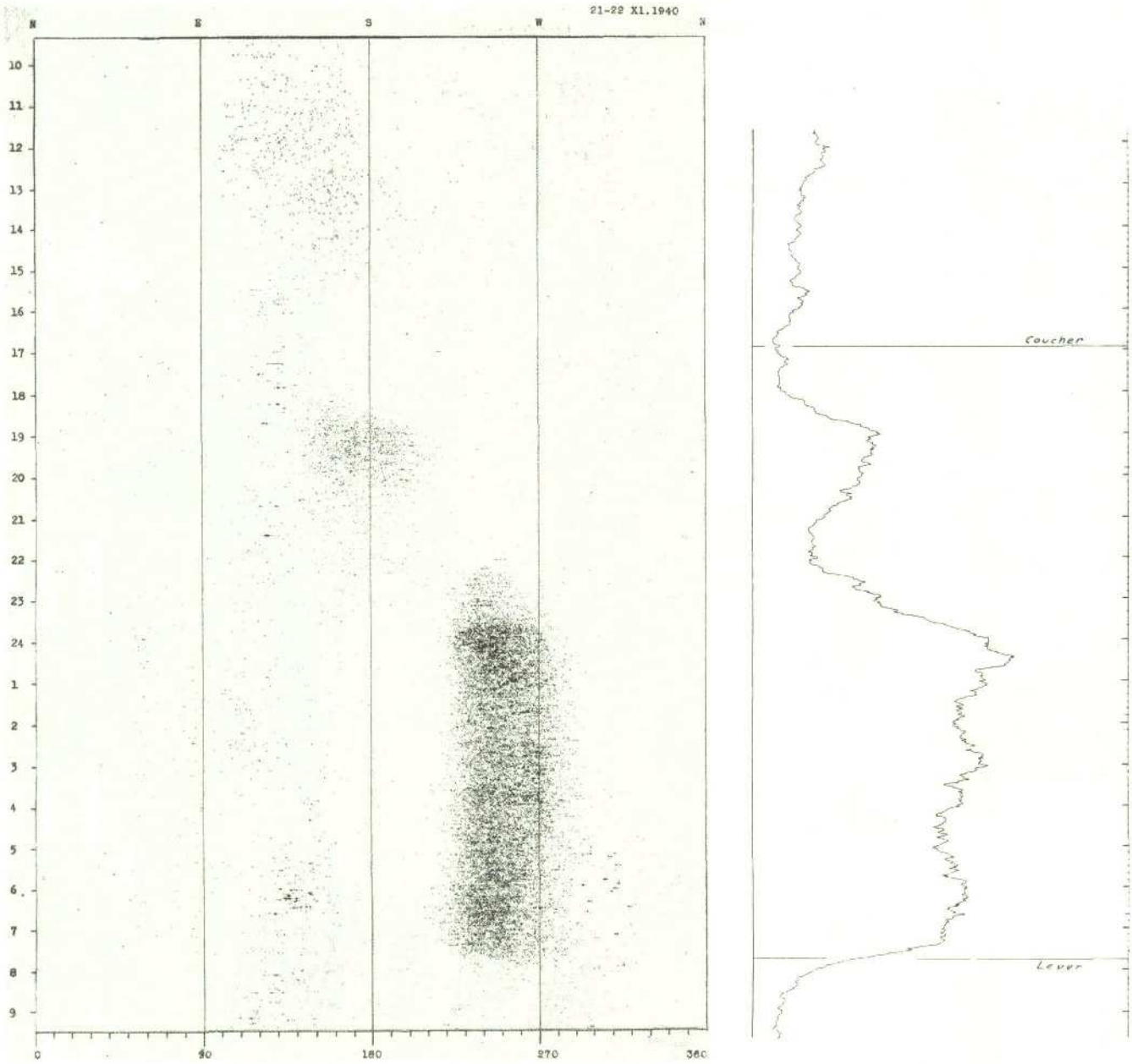

Fig. 16.
(Pages 11 et 13)

Radiogoniogramme

Atmoradiogramme
(Nombre de parasites par minute en ordonnées)

A 18^h, une heure après le coucher du soleil au sol, à Zurich, l'atmoradiographe dessine un premier et remarquable maximum dû au foyer méridional. Le radiogoniographe en donne exactement la direction par la plage dense centrée entre 18^h et 21^h sur le sud. Puis, au moment où le soleil se couche sur les foyers atlantiques, vers 22^h, un second maximum très élevé se dessine sur l'atmoradiogramme. Sa montée correspond exactement avec l'apparition de la seconde plage du radiogoniogramme comprise entre les azimuts 225° et 280°. La chute universelle des parasites au lever du soleil au récepteur se retrouve parallèle sur les deux enregistreurs. La brisure de la courbe de l'atmoradiographe a lieu vers 8^h, en même temps que le pointage cesse sur le radiogoniogramme.

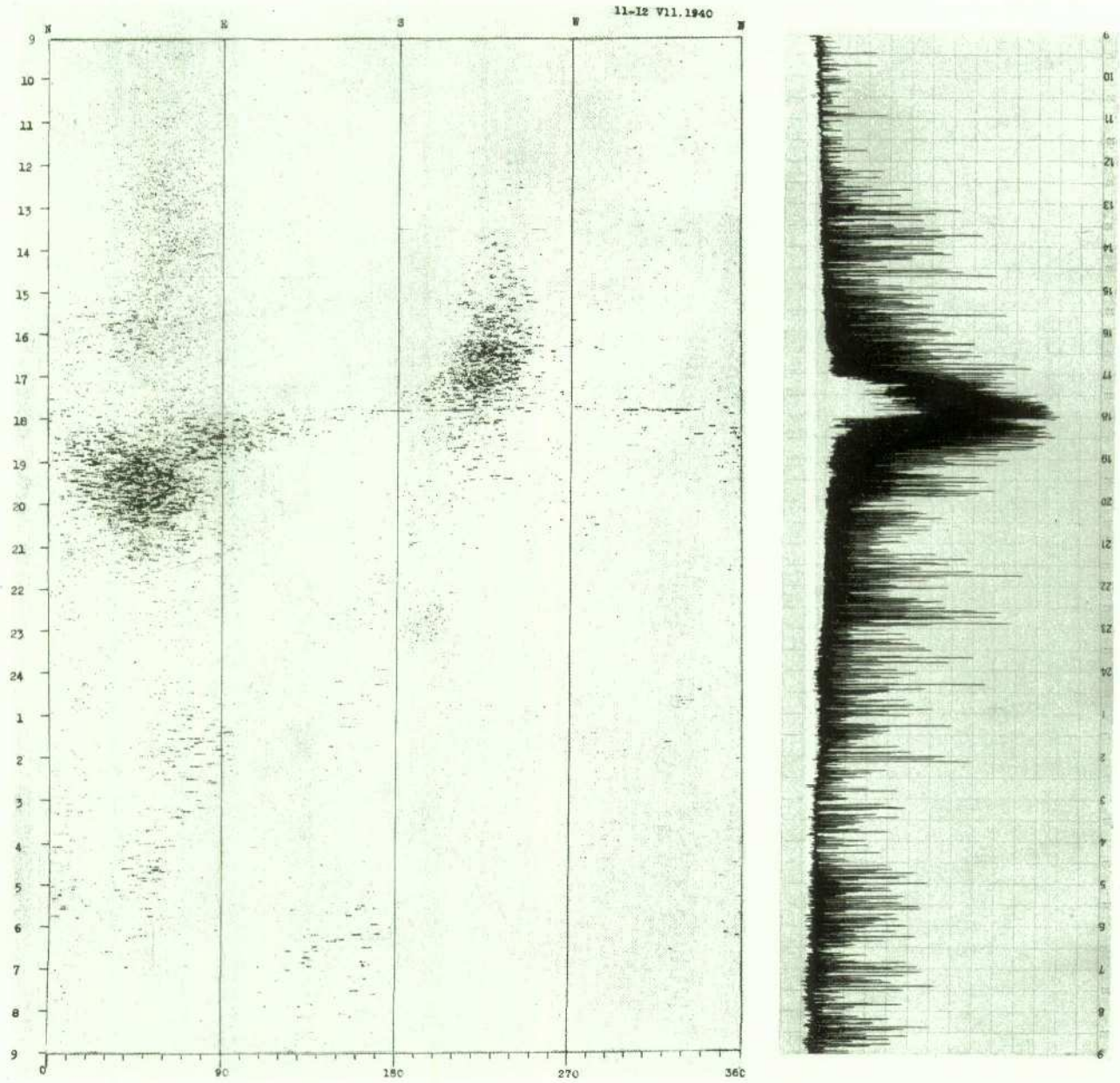

Fig. 25.
(Page 18)

Radiogoniogramme **Radiomaxigramme**

Passage d'un grain orageux sur Zurich, à 18^{h}

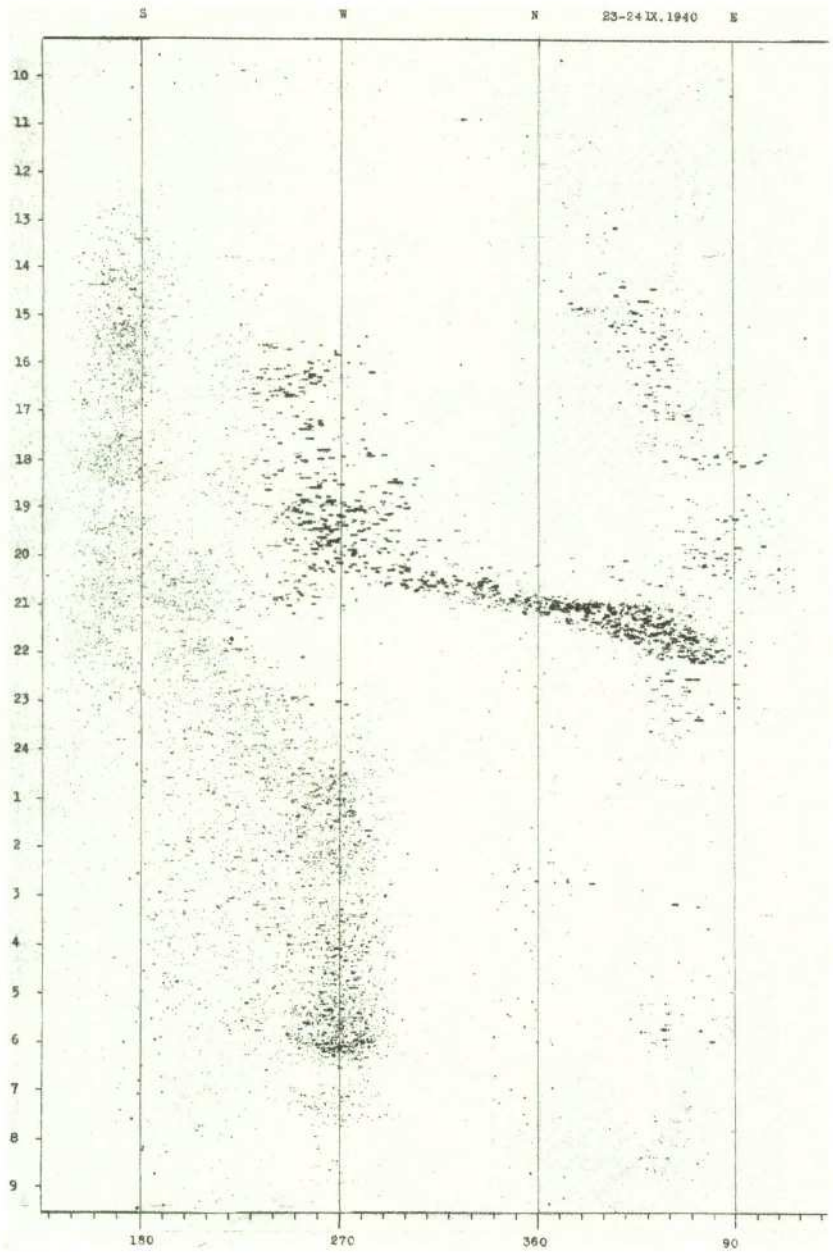

Fig. 28.
(Page 18)

Radiogoniogramme

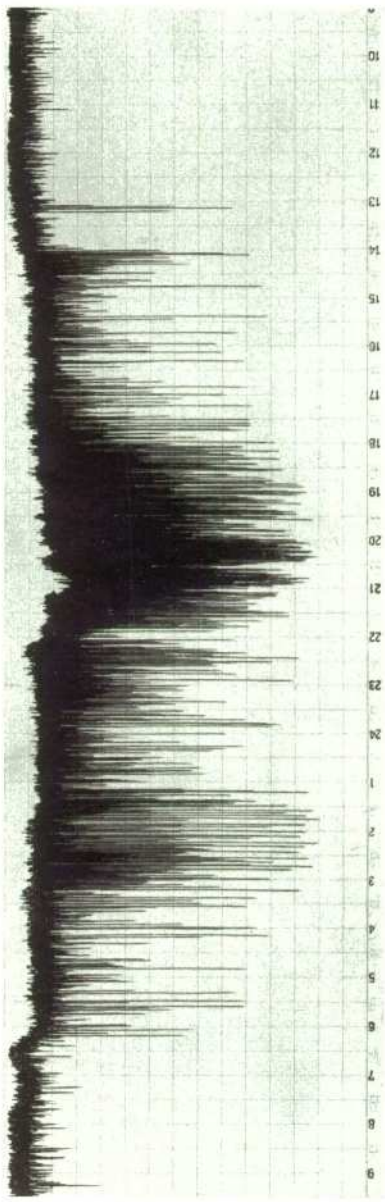

Fig. 27.
(Page 18)

Radiomaxigramme

Passage d'un grain orageux en marge de Zurich, à 21 h

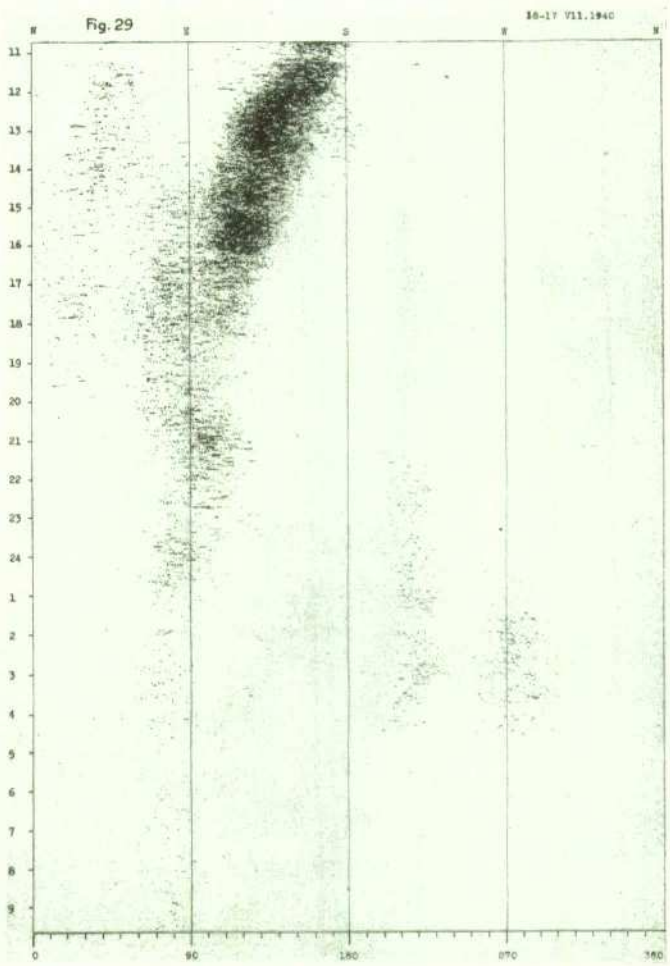

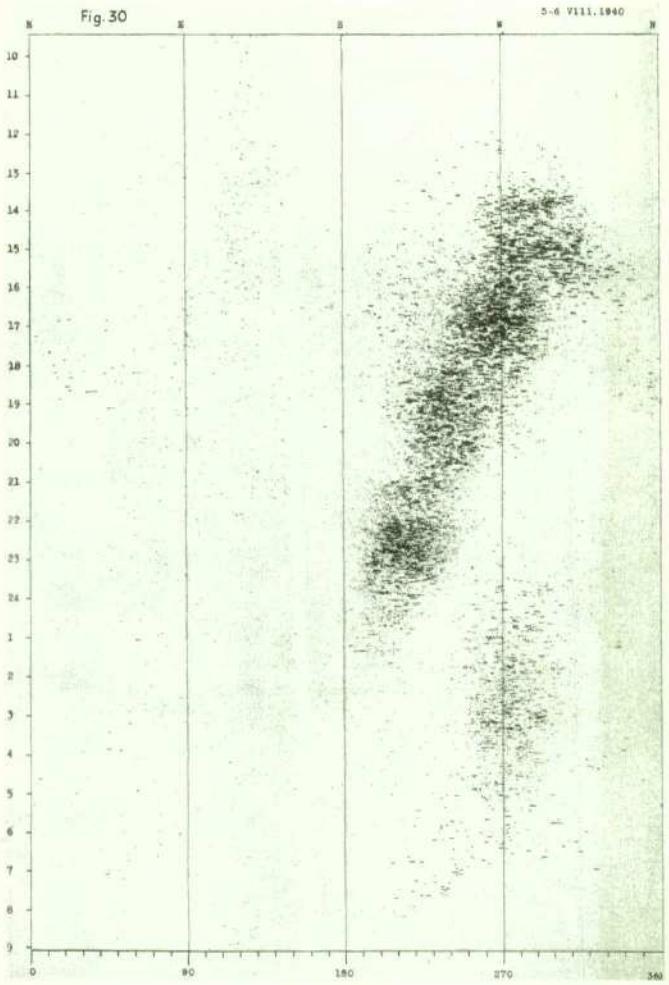

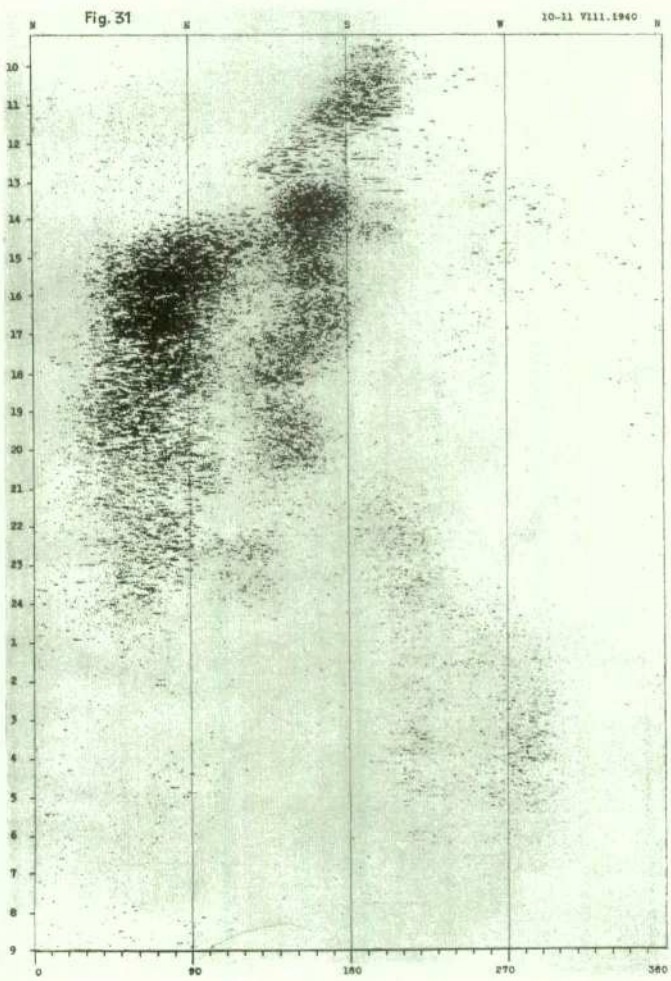

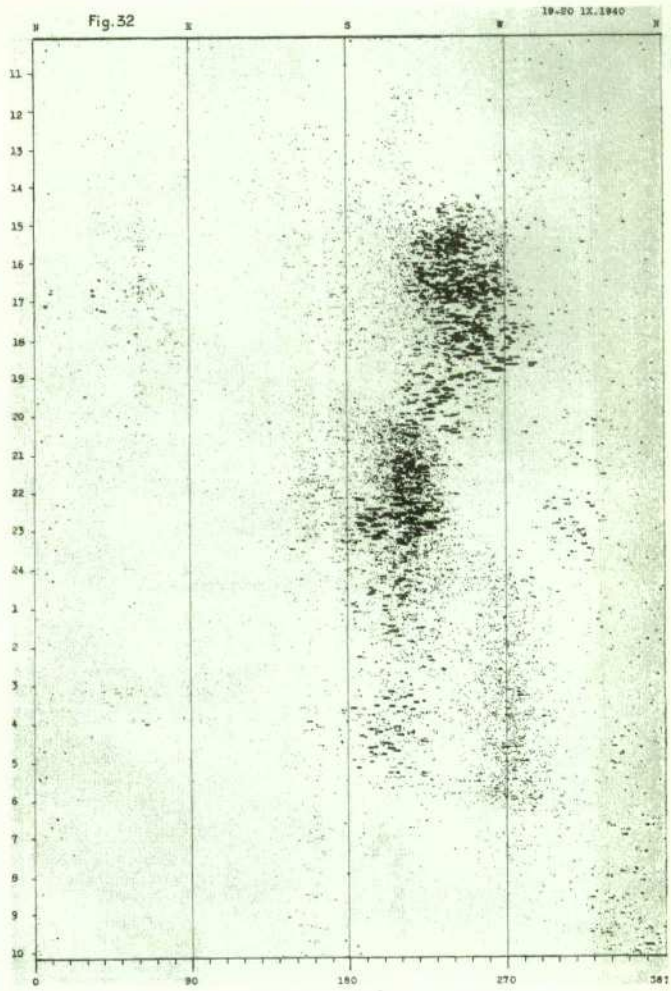

Note: La réduction photographique (3 : 1) a malheureusement laissé échapper un grand nombre de petits points dans les images 29, 30, 31.

(Texte explicatif: page 19)